

**Recherches sur les ossemens fossiles : où l'on rétablit les caractères de plusieurs animaux dont les révolutions du globe ont détruit les espèces.
Atlas / par Georges Cuvier.**

Contributors

Cuvier, Georges, baron, 1769-1832.
Royal College of Physicians of London

Publication/Creation

Paris : Edmond d'Ocagne, 1836.

Persistent URL

<https://wellcomecollection.org/works/xfuucu59>

Provider

Royal College of Physicians

License and attribution

This material has been provided by This material has been provided by Royal College of Physicians, London. The original may be consulted at Royal College of Physicians, London. where the originals may be consulted. This work has been identified as being free of known restrictions under copyright law, including all related and neighbouring rights and is being made available under the Creative Commons, Public Domain Mark.

You can copy, modify, distribute and perform the work, even for commercial purposes, without asking permission.



Wellcome Collection
183 Euston Road
London NW1 2BE UK
T +44 (0)20 7611 8722
E library@wellcomecollection.org
<https://wellcomecollection.org>

(9) 31/27-c-19

568.2




45/23

DELBECHEA

OSSEMENTS FOSSILES

ATLAS



Digitized by the Internet Archive
in 2016

<https://archive.org/details/b2803465x>

AVIS AU LECTEUR.

Le tome premier de l'Atlas se compose des planches 1 à 161 inclusivement, précédées des titres (1), du portrait de l'auteur (2) et de l'explication des planches, formant les feuilles 1 à 17, in-4.

Le tome deuxième de l'Atlas se compose des planches 162 à 320 inclusivement (3) avec leur explication, et 5^e l'Atlas particulier de la Description géologique des environs de Paris, dont les planches sont marquées par les lettres A à S, et dont l'explication se trouve dans notre tome IV, p. 603-650.

OSSEMENS FOSSILES.

(1) Ces nouvelles cartes du tome premier doivent être reliées avec les planches de l'Atlas.
(2) Ce beau portrait, gravé par M. Lortie, ex-pensionnaire du roi, d'après M. Jacquet, sera lié avec soin sur grand papier vélin, non de Jean, afin de laisser à M. L. les contours de la face encadrée, soit de la face encadrée, soit de la face encadrée, et leur sera livré avec la vignette et dernière livraison de l'ouvrage.
(3) Il y a deux planches 319 : la seconde est marquée 319 bis.

I.

PARIS. — IMPRIMERIE DE CASIMIR, RUE DE LA VIEILLE-MOENNE, N° 13.
Près la rue des Lombards et la place du Châtelet.

AVIS AU RELIEUR.

Le *tome premier* de l'ATLAS se compose des planches 1 à 161 inclusivement, précédées des titres (1), du portrait de l'auteur (2) et de l'explication des planches, formant les feuilles 1 à 12, in-4°.

Le *tome deuxième* de l'ATLAS comprendra, 1° les titres, 2° les planches 162 à 260 inclusivement (3) avec leur explication, et 3° l'Atlas particulier de la Description géologique des environs de Paris, dont les planches sont marquées par les lettres A à S, et dont l'explication se trouve dans notre tome IV, p. 608-650.

L'ÉDITEUR.

(1) Ces nouveaux titres du tome premier doivent être substitués à ceux qui accompagnaient la première livraison de l'Atlas.

(2) Ce beau portrait, gravé par M. Lorichon, ex-pensionnaire du roi, d'après M. Jacques, sera tiré avec soin sur grand papier vélin, nom de jésus, afin de laisser à MM. les souscripteurs la faculté, soit de le faire encadrer, soit de le faire placer en tête du tome I^{er} de l'Atlas, et leur sera livré avec la *vingtième* et dernière livraison de l'ouvrage.

(3) Il y a deux planches 219 : la seconde est marquée 219 *bis*.



PARIS. — IMPRIMERIE DE CASIMIR, RUE DE LA VIEILLE-MONNAIE, N° 12,
près la rue des Lombards et la place du Châtelet.





Jacques Delmeire del.

C. Verelstael sculp. 1826.

GEORGES CUVIER.

RECHERCHES
SUR LES
OSSEMENTS FOSSILES,

OÙ L'ON RÉTABLIT LES CARACTÈRES
DE PLUSIEURS ANIMAUX DONT LES RÉVOLUTIONS DU GLOBE ONT DÉTRUIT LES ESPÈCES;

PAR

GEORGES CUVIER.

Quatrième Edition,

APPROUVÉE ET ADOPTÉE PAR LE CONSEIL ROYAL DE L'INSTRUCTION PUBLIQUE.

Triomphante des eaux, du trépas et du temps,
La terre a cru revoir ses premiers habitants.
DEUILLE.

ATLAS.

TOME PREMIER,

Contenant les planches 1 à 161, avec leur explication.



PARIS.

EDMOND D'OCAGNE, ÉDITEUR,

12, RUE DES PETITS-AUGUSTINS.

J.-B. BAILLIÈRE,

13 bis, rue de l'École-de-Médecine.

F.-G. LEVRAULT,

81, rue de la Harpe.

CROCHARD,

13, place de l'École-de-Médecine.

RORET,

10 bis, rue Hautefeuille.

1836.

ROYAL COLLEGE
OF
PHYSICIANS
OF
LONDON

ROYAL COLLEGE OF PHYSICIAN LIBRARY	
CLASS	568.2
ACCN.	12681
SOURCE	
DATE	

EXPLICATION DES PLANCHES.

PLANCHE 1.

Squelette humain incrusté dans un travertin de la Guadeloupe. Il est couché sur le côté droit; le crâne et le pied gauche sont enlevés :

- a. Le zygoma gauche.
- b. La mâchoire inférieure du même côté.
- c. Portion antérieure de l'omoplate.
- d. L'humérus.
- e. Portion du cubitus.
- f. Portion du radius.
- g. g. Quelques-uns des os du poignet et des doigts.
- h. Os innominé gauche, mutilé.
- i. Fémur.
- k. Tibia.
- l. Péroné.
- m. m. L'épine du dos.
- o. o. o. Les côtes.
- p. p. p. Coquilles éparses dans la roche.

PLANCHE 2.

Figures 1 et 2. Deux moitiés d'une pierre à plâtre de Montmartre, contenant une portion d'un squelette de chauve-souris, le premier qui ait été découvert dans ces carrières.

Fig. 1. Le côté du dos, où l'on voit les restes des omoplates, de la tête, la moitié des humérus et des radius fendus longitudinalement, et une petite portion des clavicules.

Fig. 2. Le côté du ventre, où l'on voit la mâchoire inférieure, les dents, quelques restes de vertèbres, les clavicules, les humérus et les radius fendus longitudinalement.

Fig. 3. Pierre à plâtre de Montmartre, contenant toute la mâchoire supérieure, le palais et les dents bien conservés de l'anoplotherium leporinum, que l'auteur ne possédait pas à l'époque où a paru le troisième tome in-4° de ses ossemens fossiles.

Fig. 4 et 5. Un côté de la mâchoire inférieure du mastodonte à dents étroites, trouvé dans les terres de M. le comte de Breuner.

Ce morceau est représenté au neuvième de sa grandeur naturelle.

PLANCHE 3.

Figure 1. Squelette de plésiosaurus, recueilli par miss Mary Anning, et donné au Muséum d'Histoire naturelle par M. Prévost.

Comme la tête et la plus grande partie du cou y manquent, on a ajouté ces parties, fig. 2, d'après un autre squelette qui appartient au duc de Buckingham.

PLANCHE 4.

IBIS. Pl. I.

Squelette d'ibis tiré d'une momie de Thèbes en Égypte, au tiers de sa grandeur, dans sa position naturelle. Ce squelette est déposé dans les galeries anatomiques du Muséum.

PLANCHE 5.

IBIS. Pl. II.

Numénus ibis, oiseau que l'auteur pense être le véritable ibis des Égyptiens, dessiné au tiers de sa grandeur naturelle. Cet individu se trouve au Muséum, provenant de la collection du Stathouder.

A. Section de l'une des quatre dernières pennes secondaires de l'aile.

b. c. Sections de deux grandes pennes de l'aile, blanches dans presque toute leur étendue, mais terminées à leur sommet par un beau noir.

PLANCHE 6.

IBIS. Pl. III.

Figure d'ibis copiée sur l'un des temples de la Haute-Égypte, communiquée par M. Geoffroy. Bec tiré d'une momie d'ibis, par M. Olivier, à moitié grandeur.

PLANCHE 7.

ÉLÉPHANS. Pl. I.

Fig. 1. Squelette entier de l'éléphant des Indes.

Fig. 2. F. Astragale fossile recueilli dans le val d'Arno.

I. Astragale de l'éléphant d'Asie.

A. Astragale de l'éléphant d'Afrique.

Fig. 3. Têtes supérieures des trois humérus de la même planche.

Fig. 4. F. Humérus fossile, appartenant à un jeune individu, de Casan.

- I. Humérus de l'éléphant des Indes.
a. b. Crête condyloïdienne externe.
c. Tubérosité externe.
d. Arête deltoïdienne.
b. e. Poulie inférieure, formant l'articulation cubito-humérale.
 A. Humérus d'éléphant d'Afrique.

PLANCHE 8.

ÉLÉPHANS. Pl. II.

Fig. 1. Crâne fossile trouvé en Sibérie, copié sur une figure de Breynius. La trainée de points indique la place de la mâchoire inférieure.

Fig. 2. Crâne de l'éléphant des Indes.

- a.* Bec pointu terminant un canal demi-cylindrique, formé par la réunion des deux branches de la mâchoire inférieure.
a. b. Direction et longueur de ce canal demi-cylindrique.
c. d. e. Bord postérieur de la mâchoire renflé et arrondi.
f. Apophyse coronôide.
g. Apophyse condyloïdienne.
h. Trous mentonniers, au nombre de deux.

Fig. 3. Crâne d'Afrique.

Fig. 4. Mâchoire inférieure fossile brisée par son bord externe.

Fig. 5. Branche dentaire séparée de la branche montante. Ces deux mâchoires sont figurées par en-dessus pl. II, fig. 4 et 5.

Fig. 6. Pied de l'éléphant des Indes.

Fig. 7. Pied de l'éléphant d'Afrique.

Fig. 6, 7. a. Astragale.

b. Calcanéum.

c. Scaphoïde.

d. Cuboïde.

e. f. g. Les trois cunéiformes.

Fig. 8. Face antérieure.

Fig. 9. Face supérieure.

Fig. 10. Face inférieure.

} d'un métacarpien gauche du petit doigt, donné par M. Deluc.

PLANCHE 9.

ÉLÉPHANS. Pl. III.

Fig. 1. Troisième molaire d'éléphant des Indes.

a. b. Portion de ses lames déjà usée en table.

b. c. Portion encore intacte.

- d. e. f.* Ses racines qui s'enfoncent entre les productions de l'alvéole, *g. h. i.*
k. l. m. Noyau pulpeux de la dent.
n. o. p. q. r. s. Petits murs transverses qui séparent les racines de la dent.
t. u. v. x. Pédicules concourant à la formation des racines.

Fig. 2. Germe de la dernière molaire.

- a. b.* Reste du périoste de l'alvéole.
c. d. Partie antérieure de la membrane externe de la capsule.
e. f. Portion de cette membrane externe détachée et rejetée en bas pour montrer la membrane interne *g. h. i.*
k. k. k. k., etc. Productions transversales de cette membrane interne.
l. l. l. Le corps du noyau pulpeux de la dent.
m. m. m. m., etc. Productions de ce noyau pulpeux.
n. n. n. n., etc. Lames osseuses dont l'ensemble doit former la dent.
o. o. o. o., etc. Émail déposé sur ces lames par la face interne de la capsule.
d. g. h. Partie où le cortical a déjà couvert l'émail.
p. p. p. Solutions de continuité qui séparent les commencemens des pédicules des racines.

Fig. 3. Partie moyenne de ce même germe, vue par sa face postérieure.

- a. a.* Sa base, vue en raccourci.
b. Un des derniers petits murs transverses.
c. Lame dite osseuse qui n'enveloppe encore que ses dentelures.
d. Une dentelure dont l'enveloppe n'est pas encore jointe aux autres.
e. e. e. e. L'émail qui commence à se déposer sur cette lame.
f. Reste de la capsule.
g. g. Extrémités des lames transverses de la capsule.
h. h. Bases des petits murs transverses du noyau pulpeux.
i. i. i. Lames de la dent qui les enveloppent.
k. k. Émail qui commence à se déposer sur ces lames.

Fig. 4. Représente les derniers petits murs du noyau pulpeux détachés du reste et écartés les uns des autres.

- a.* Lames en cornet qui avaient commencé à se former sur les dentelures du plus antérieur.
b. Lames qui ne faisaient que de naître sur les dentelures de l'avant-dernier.
c. Les derniers de tous qui n'avaient encore aucune enveloppe dure.

Fig. 5. Lame de germe de dent de l'éléphant des Indes.

- a. a.* Sa partie qui devait bientôt poindre hors de la capsule et de la gencive.
b. b. Sa partie moyenne.
c. c. Sa partie de la base.

Fig. 6. Une lame pareille de l'éléphant d'Afrique.

- a.* Arête qui donne à la coupe des lames de cette espèce la figure d'un losange.

PLANCHE 10.

ÉLÉPHANS. Pl. IV.

- Fig. 1.* Crâne d'éléphant des Indes, vu en - dessous.
Fig. 2. Crâne d'éléphant d'Afrique, vu en - dessous.
Fig. 3. Portion de crâne fossile copiée d'après P. Camper.
Fig. 4. Portion de crâne du cabinet de Stuttgart, d'après un dessin de M. Jæger.
Fig. 5. Coupe verticale d'une tête d'éléphant des Indes, dont on a enlevé la lame interne du maxillaire pour montrer de quelle manière sont logées les dents.

- a.* Canal des narines.
b. b. Intervalle cellulaire séparant les deux lames du crâne en avant de la crête occipitale.
c. Cavité cérébrale.
d. Condyle occipital.
e. Inter-maxillaire.
f. Racine de la défense.
g. Germe de la dernière molaire enveloppée dans sa capsule sur laquelle rampent en *m* quelques vaisseaux.
h. Deuxième molaire prête à tomber.
i. Troisième molaire dont les deux tiers antérieurs ont déjà servi à broyer des alimens, et dont le tiers postérieur *m* n'était point encore sorti de l'alvéole.
k. Racines de cette même dent.
o. Portion du nerf de la cinquième paire.

- Fig. 6.* Mâchoire inférieure d'éléphant des Indes, dont on a enlevé la lame interne pour faire voir comment les dents sont implantées et se succèdent.
Fig. 7. Portion de l'occiput et du temporal d'un éléphant fossile rapporté de Sibérie, vue par sa face postérieure.
Fig. 8. Le même morceau, vu par sa face latérale.
Fig. 9. Crâne d'éléphant des Indes, vu de face.
Fig. 10. Crâne d'éléphant d'Afrique, vu de face.
Fig. 11. Crâne d'éléphant fossile, dessiné sur la même échelle que ceux des éléphants d'Asie et d'Afrique, fig. 9 et 10, afin de faire mieux sentir la différence de grandeur.

PLANCHE 11.

ÉLÉPHANS Pl. V.

- Fig. 1.* Mâchoire inférieure de l'espèce d'Afrique.
Fig. 2. Mâchoire inférieure d'une tête des Indes à longues défenses.
Fig. 3. Mâchoire inférieure d'éléphant des Indes à courtes défenses.
Fig. 4 et 5. Mâchoires fossiles privées de leurs apophyses, trouvées aux environs de Cologne.

Fig. 6. Fémur d'Afrique.

Fig. 7. Fémur des Indes.

Fig. 8. Fémur fossile de Sibérie, décrit par Daubenton.

Fig. 9. Tête inférieure de fémur d'Afrique.

Fig. 10. Tête inférieure de fémur des Indes.

Fig. 11, 13. Têtes inférieures de fémurs fossiles du Muséum.

Fig. 12. Tête inférieure du fémur fossile de la fig. 8.

Fig. 14. Quatrième vertèbre cervicale d'un jeune individu, de Sibérie.

PLANCHE 12.

ÉLÉPHANS. Pl. VI.

Fig. 1. Dent molaire inférieure d'un vieux éléphant, tout usée, trouvée dans la forêt de Bondy.

Fig. 2. Molaire de lait d'un jeune éléphant, de Fouvent.

Fig. 3. Molaire supérieure d'un éléphant d'âge moyen, de Sibérie, copiée de Daubenton.

Fig. 4. Une des secondes molaires d'un jeune éléphant, des environs de Toulouse.

Fig. 5. Molaire inférieure d'un vieux éléphant.

PLANCHE 13.

ÉLÉPHANS. Pl. VII.

Fig. 1, 2. Bassin fossile mutilé, vu par sa face supérieure, fig. 1, et par sa face inférieure, fig. 2, d'après une copie tirée du cabinet de Darmstadt.

Fig. 3, 4. Bassin de l'éléphant des Indes, vu par les mêmes faces.

a. b. Crête iliaque externe ou bord antérieur de l'os des iles.

c. Cavité ilio-pubienne destinée à loger la tête du fémur.

f. g. Symphyse pubienne.

a. d. Articulation de l'os des iles avec le sacrum.

Fig. 5. Face articulaire de l'omoplate de la figure suivante.

Fig. 6. Fragment d'omoplate fossile du Muséum.

Fig. 7. Tibia fossile. Dessin envoyé par M. Jæger du cabinet de Stuttgart. Face articulaire supérieure fig. 8, inférieure fig. 9.

Fig. 11. Tibia des Indes, face articulaire supérieure fig. 10, inférieure fig. 12.

Fig. 13. Tibia d'Afrique, face articulaire supérieure fig. 14, inférieure fig. 15.

Fig. 16, 17. Avant-bras de l'éléphant d'Afrique.

Fig. 18. Face articulaire inférieure.

Fig. 19. Face articulaire supérieure.

Fig. 20, 21. Avant-bras de l'éléphant des Indes.

a. Tête du radius enchâssée entre deux éminences, *b, b*, de l'apophyse sigmoïde du cubitus.

Fig. 22. Face articulaire inférieure de l'avant-bras.

Fig. 23. Face articulaire supérieure.

PLANCHE 14.

ÉLÉPHANS. PL. VIII.

Fig. 1. Mâchoire inférieure fossile, d'après un dessin envoyé par l'Académie de Saint-Petersbourg.

Fig. 2. Crâne fossile de Sibérie, vu de profil, d'après un dessin envoyé par l'Académie de Saint-Petersbourg.

Fig. 4. Portion d'astragale du cabinet de Stuttgart.

Fig. 5. Tête inférieure de fémur fossile de Canstadt, d'après un dessin envoyé par M. Jæger.

Fig. 6. Omoplate de l'éléphant des Indes.

a. b. Côté postérieur de l'omoplate.

c. d. Côté antérieur.

a. c. Côté spinal.

e. Proéminence acromiale.

f. Crochet de l'épine acromiale.

d. Apophyse coracoïde.

d. b. Facettes humérales servant à l'articulation scapulo-humérale.

Fig. 7. Omoplate de l'éléphant d'Afrique.

Fig. 8. Omoplate fossile du squelette de M. Adams, pl. 17, d'après un dessin envoyé du cabinet d'anatomie de Berlin.

Fig. 9. Face articulaire de cette omoplate.

Fig. 10, 11. Fragmens d'omoplate fossile du cabinet de Stuttgart.

PLANCHE 15.

ÉLÉPHANS. PL. IX.

Fig. 1. Fragment de crâne fossile dessiné à Florence, vu de profil.

Fig. 2. Le même, les molaires vues de face.

Fig. 3. Fragment de mâchoire inférieure fossile de Monte-Verde.

Fig. 4. Petite dent d'un éléphant de Toscane.

Fig. 5 et 6. Mâchoire inférieure fossile copiée d'après M. Nesti.

Fig. 7. Crâne des bords du Volga, copié d'après Tilésius.

Fig. 8. Mâchoire inférieure fossile trouvée à Romagnano.

Fig. 9, 11. Molaires fossiles de l'Amérique septentrionale, usées par le frottement.

Fig. 10. Mâchoire trouvée aux bords du Volga, copiée d'après Tilésius.

Fig. 12. Crâne trouvé dans le Necker, copié d'après Keissler et Merck.

PLANCHE 16.

ÉLÉPHANS. Pl. X.

Fig. 1 et 2. Moitié d'un bassin fossile qui se trouvait, en 1811, au cabinet d'Asterdam, vu par-dessous, fig. 2, et par-dessus, fig. 1.

Fig. 3. Fémur fossile du cabinet du Collège - Romain.

Fig. 4. Tête inférieure de ce même fémur.

Fig. 5. Autre du cabinet du grand-duc à Florence.

Fig. 6. Autre du cabinet de M. Targioni Tozzetti.

Fig. 7, 8, 9 et 10. Autre retirée du Bog, et apportée par M. Raynaud; vue par sa face inférieure, fig. 7; par sa face antérieure, fig. 8; par sa face latérale extérieure, fig. 9; et par sa face postérieure, fig. 10.

Fig. 11. Face articulaire interne de la tête inférieure d'un péroné fossile du Mont - Ferrat.

Fig. 12. Tibia fossile, de Florence.

Fig. 13. Face articulaire inférieure.

Fig. 13 bis et 14. Humérus du squelette découvert par M. Adams à l'embouchure de la Lèna; face postérieure, fig. 13 bis; face antérieure, fig. 14.

Fig. 15, 16, 17. Cubitus fossile rapporté par Faujas des bords du Pô; vu antérieurement, fig. 15; vu extérieurement, fig. 16; vu supérieurement, fig. 17.

Fig. 18. Semi-lunaire droit du carpe fossile, de Florence.

Fig. 19. Cunéiforme droit fossile, de Florence.

Fig. 20. Unciforme droit fossile, de Florence.

Fig. 21. Trapézoïde droit fossile, de Florence.

Fig. 22. Semi-lunaire gauche du carpe, d'Abbeville.

Fig. 23. Métacarpien du médus, du val d'Arno.

Fig. 24. Métacarpien de l'annulaire gauche, trouvé à Romagnano.

Fig. 25. Métacarpien de l'annulaire droit, des bords de l'Ohio.

Fig. 26. Seconde vertèbre lombaire, trouvée aux bord du Pô, vue de profil.

Fig. 27. La même, vue par sa face antérieure.

PLANCHE 17.

ÉLÉPHANS. Pl. XI.

Fig. 1. Squelette entier d'éléphant fossile, rapporté par M. Adams de la mer Glaciale et copié d'après Tilésius. L'oreille *a b* a conservé quelques parties molles, et les pieds sont encore couverts de peau, et garnis de leurs semelles.

Fig. 2. Fragment de mâchoire inférieure fossile, d'après de Canstadt.

Fig. 3. Face condyloïdienne } d'un atlas fossile d'Incisa en Toscane.

Fig. 4. Face axoïdienne }

PLANCHE 18.

ÉLÉPHANS. Pl. XII.

Fig. 1 et 2. Jeune tête des Indes, du cabinet de M. Brookes, vue de face, *fig. 1*, et de profil, *fig. 2*, et montrant les sutures.

Fig. 3. Crâne d'éléphant des Indes, mâle et adulte (du cabinet des Chirurgiens de Londres).

Fig. 1, 2 et 3. a. b. Os inter-maxillaires.

d. Os du nez.

Fig. 2, 3. b. c. Suture qui sépare l'inter-maxillaire du maxillaire.

e. f. g. Renflement de la partie supérieure temporale et postérieure du crâne.

f. Crête occipitale.

h. Trou occipital.

Fig. 1, 2. i. Apophyse post-orbitaire du frontal.

Fig. 1, 2, 3. k. l. Arcade zygomatique *.

Fig. 3. m. Apophyse post-orbitaire du jugal.

Fig. 1, n. o. Enfoncement qui sépare les deux alvéoles des défenses.

Fig. 2, 3. p. Trou auditif.

q. Apophyse mastoïde.

c. r. Voûte arrondie qui sépare les alvéoles des défenses de ceux des molaires.

Fig. 1, 2. i. s. Partie descendante des frontaux qui borde l'orbite en avant.

Fig. 2. t. Os lacrymal.

v. Os jugal.

l. Apophyse zygomatique du temporal.

Fig. 3. y. q. l. Le temporal.

Fig. 1. z. Occipital supérieur.

Fig. 2. A. Les pariétaux.

Fig. 1, 2. s. i. w. L'os frontal.

* Dans la *fig. 1*, l'apophyse zygomatique du temporal est, par erreur, marquée *b* au lieu de *l*.

Fig. 2. α . Partie ptérigoiidienne du splénoïde.

$s'. i$. Crête du frontal séparant l'orbite de la tempe.

Fig. 4. Dessin d'une tête très-adulte, fait à Londres.

PLANCHE 19.

GRAND MASTODONTE. Pl. I.

Fig. 2. Molaire à dix pointes encore intactes, donnée par le duc de Plaisance.

Fig. 1. Dent à dix pointes en partie usée, du cabinet de Joubert, vue de profil.

Fig. 3. La même, vue par sa couronne.

Fig. 4. Dent à dix pointes, rétrécie en arrière, communiquée par feu M. Tonnellier.

Fig. 5. Molaire à six pointes à demi usée, d'après un dessin de M. Blumenbach.

PLANCHE 20.

GRAND MASTODONTE. Pl. II.

Fig. 1, 2, 5. Fragment de crâne, trouvé en 1785 par Brown, et communiqué à Camper par Michaelis; vu par dessus, fig. 1; vu par dessous, fig. 2; vu de profil, fig. 5.

Fig. 3. Autre fragment du même crâne, dont la partie $a b$ a dû toucher la partie $a' b'$, fig. 2.

B. Fig. 3. Apophyse malaire de l'os maxillaire.

C. C. Fig. 1, 2 et 5. Apophyses ptérigoiides des os palatins.

D. Fig. 2. Bord postérieur du palais.

E. E. Fig. 2. Suture qui sépare les os palatins des maxillaires.

F. F. Fig. 1. Trous sphéno-palatins. H G, fig. 2, terminaison du canal sphéno-palatin.

A. Fig. 3, molaire congénère de A', fig. 2.

Fig. 4. Fragment de mâchoire supérieure avec une molaire à huit pointes, envoyé par M. Jefferson.

PLANCHE 21.

GRAND MASTODONTE. Pl. III.

Fig. 1 et 2. Branche d'une mâchoire inférieure adulte où l'on voit une machelière à dix pointes précédée par une à six; donnée par M. Jefferson.

Fig. 3 et 4. Mâchoire inférieure d'un jeune individu présentant des dents dont les pointes n'ont éprouvé aucune détérioration.

Fig. 5. Mâchoire inférieure, copiée de Mitchill.

Fig. 6. Mâchoire inférieure de mastodonte, vue par devant pour montrer le condyle, d'après un dessin de M. Peale.

Fig. 7. Mâchoire inférieure de l'éléphant, vue par devant, pour servir de terme de comparaison.

PLANCHE 22.

GRAND MASTODONTE. Pl. IV.

- Fig. 1 et 2.* Fragment de mâchoire inférieure d'un individu adulte, rapporté par M. Legris Belle-Isle.
- Fig. 3.* Défense tronquée à ses deux extrémités.
- Fig. 4.* Molaire fort usée par la détritron, rapportée par M. Legris-Belle-Isle.
- Fig. 5.* Face extérieure
- Fig. 6.* Face antérieure
- Fig. 7.* Face inférieure
- } d'un fémur envoyé par M. Jefferson.

PLANCHE 23.

GRAND MASTODONTE. Pl. V.

Squelette entier d'un grand mastodonte, d'après M. Peale.

PLANCHE 24.

GRAND MASTODONTE. Pl. VI.

- Fig. 1.* Face latérale externe
- Fig. 2.* Face antérieure
- Fig. 3.* Face articulaire inférieure
- Fig. 4.* Face articulaire supérieure
- } d'un tibia envoyé par M. Jefferson.
- Fig. 5.* Radius entier avec ses faces articulaires, supérieure, fig. 6; inférieure, fig. 7, envoyé par M. Jefferson.
- Fig. 8.* Face antérieure
- Fig. 9.* Face postérieure
- } d'un humérus fossile du cabinet de M. Camper.
- Fig. 10.* Esquisse du bassin du grand mastodonte, vu de face.

PLANCHE 25.

GRAND MASTODONTE. Pl. VII.

Os du carpe.

- Fig. 1.* Cunéiforme.
- Fig. 2.* Semi-lunaire.
- Fig. 3.* Unciforme.

Fig. 4. Grand os.

Fig. 5. Assemblage des quatre os précédents.

Fig. 6. Métacarpien de l'index.

Fig. 7. Métacarpien de l'annulaire.

Os du tarse.

Fig. 8. Astragale.

Fig. 9. Calcanéum.

Fig. 10. Scaphoïde.

Fig. 11. Deuxième métatarsien.

Fig. 12. Troisième métatarsien.

Fig. 13. Quatrième métatarsien.

Fig. 14. Première phalange.

Fig. 15. Première et deuxième phalanges. Tous ces os ont été envoyés par M. Jefferson.

PLANCHE 26.

DIVERS MASTODONTES. Pl. I.

Fig. 1. Germe de dent inférieure postérieure de mastodonte à dents étroites cassée en avant.
— De simorre.

Fig. 2. Dent de simorre à demi usée du mastodonte à dents étroites, du Muséum.

Fig. 3. Moitié antérieure d'une molaire postérieure supérieure de mastodonte à dents étroites, du cabinet de M. de Drée.

Fig. 4. Dent du mastodonte à dents étroites, de simorre, décrite par Daubenton, XII, n° 1109.

a. b. Disque à quatre lobes formé par la détrition des deux paires de pointes antérieures.

c. Pointe mitoyenne usée en trèfle, laissant encore un petit disque rond isolé.

d. Pointe mitoyenne elliptique, bilobée.

e. f. Dernières pointes n'offrant encore que quatre disques, dont un seulement commence à se loper.

g. Une des pointes mousses qui forment le talon.

a. d. e. Côté externe de la dent.

i. Grosse racine postérieure rompue.

Fig. 5. Dent postérieure supérieure de mastodonte à dents étroites de Trévoux; germe intact et sans racines.

Fig. 6. Dent molaire de mastodonte à dents étroites du Pérou, par Dombey.

Fig. 7. Dent implantée dans une portion de palais du mastodonte à dents étroites, apportée du Pérou par Dombey.

b. Reste de l'alvéole de la dent qui suivait celle-ci en arrière.

PLANCHE 27.

DIVERS MASTODONTES. Pl. II.

- Fig. 1.* Molaire d'une grande espèce de mastodonte, trouvée par M. de Humboldt auprès du volcan d'Imbaburra.
- Fig. 2.* } Fraginens de dents de mastodonte à dents étroites, du Camp-des-Géans, par
Fig. 3. } M. de Humboldt.
- Fig. 4.* Fragment de molaire inférieure de mastodonte à dents étroites qui commence à s'user.
- Fig. 5.* Molaire d'une espèce de mastodonte, apportée du Chili par M. de Humboldt.
- Fig. 6.* Partie postérieure d'une dent inférieure de derrière de mastodonte à dents étroites, du Camp-des-Géans.
- Fig. 7.* Dent de mastodonte à dents étroites cassée longitudinalement, trouvée aux environs d'Asti.
- Fig. 8.* Partie postérieure d'une molaire inférieure de derrière de mastodonte à dents étroites, du val d'Arno.
- Fig. 9.* Molaire de mastodonte à dents étroites cassée par les deux bouts, du val d'Arno.
- Fig. 10.* Molaire postérieure supérieure de mastodonte à dents étroites dont la détrition est avancée, du cabinet de M. Hammer.
- Fig. 11.* Molaire d'une petite espèce de mastodonte, envoyée de Saxe.
- Fig. 12.* Dent tronquée de chiquitos, sur un dessin donné par M. Alonzo de Barcelone, même espèce que celle de la fig. 1.
- Fig. 13.* Partie postérieure d'une molaire de mastodonte à dents étroites, du val d'Arno, par M. Fabroni.

PLANCHE 28.

DIVERS MASTODONTES. Pl. III.

- Fig. 1.* Première rangée d'une molaire postérieure supérieure de mastodonte à dents étroites non encore sortie. — De simorre.
- Fig. 2.* Dents implantées dans un fragment de mâchoire supérieure de mastodonte à dents étroites, du cabinet de M. Borda.
- Fig. 3.* Dent de simorre à six pointes, sans talon, du mastodonte à dents étroites.
- Fig. 4.* Fragment de mâchoire inférieure de mastodonte à dents étroites, rapporté par Dombey.
- Fig. 5.* Portion de mâchoire inférieure de mastodonte à dents étroites où la dent est profondément usée.

Fig. 6. Dent d'une petite espèce de mastodonte, trouvée dans une carrière de calcaire d'eau douce près d'Orléans.

Fig. 7. Molaire postérieure supérieure de mastodonte à dents étroites.

Fig. 8 et 9. Faces antérieure et postérieure d'un tibia de mastodonte à dents étroites, rapporté du Camp-des-Géans par M. de Humboldt; face articulaire supérieure, fig. 10; inférieure, fig. 11.

Fig. 13. Dent à quatre pointes déjà attaquée, munie de sa racine, offrant encore un reste de la dent qui l'avait précédée.

Fig. 14. Dent non usée de mastodonte à dents étroites, du cabinet de M. Hammer.

PLANCHE 29.

DIVERS MASTODONTES. Pl. IV.

Fig. 1 et 2. Molaire de mastodonte à dents étroites, dont la détritition est avancée, vue en dessus, fig. 1; vue de côté, fig. 2; trouvée à La Rocchetta di Tanaro.

Fig. 3. Portion postérieure de molaire de mastodonte à dents étroites, du cabinet de l'université de Padoue.

Fig. 4. Dent molaire de mastodonte à dents étroites cassée en arrière, trouvée dans les Alpes cénédoises; vue en dessus.

Fig. 5. Dent précédente, vue de profil.

Fig. 6. Dent de mastodonte à dents étroites cassée en arrière et au bord interne; du cabinet de l'université de Pise.

Fig. 7. Molaire supérieure postérieure de mastodonte à dents étroites; du cabinet de M. Boldovinetti, à Livourne.

Fig. 8. Partie supérieure }
Fig. 9. Tête articulaire } d'humérus.

PLANCHE 30.

HIPPOTAME VIVANT. Pl. I.

Fig. 1. Squelette entier d'hippopotame vivant.

A. Omoplate.

B. Humérus.

E. E. Radius.

F. F. Cubitus.

G. Bassin.

K. K. Fémur.

L. L. Tibia.

- | | | |
|---------------------------|---|-------------------------------------|
| Fig. 2. Face supérieure | } | de l'atlas. |
| Fig. 3. Face inférieure | | |
| Fig. 4. Face latérale | } | de l'axis. |
| Fig. 5. Face antérieure | | |
| Fig. 6. Face latérale | } | de la quatrième vertèbre cervicale. |
| Fig. 7. Face antérieure | | |
| Fig. 8. Face latérale | } | de la troisième vertèbre dorsale. |
| Fig. 9. Face antérieure | | |
| Fig. 10. Face antérieure | } | de la dernière vertèbre lombaire. |
| Fig. 11. Face postérieure | | |

PLANCHE 31.

HIPPOPOTAME VIVANT. Pl. II.

- Fig. 1. Tête d'hippopotame vivant, vue de profil.
- Fig. 2. Tête vue par devant, ou face supérieure du crâne.
- Fig. 3. Face inférieure du crâne.
- Fig. 4. Mâchoire inférieure.
- a. b. Fig. 1 et 2. Ligne droite du chanfrein étendue depuis la crête occipitale jusqu'au bord antérieur du nez.
- c. Saillie des voûtes orbitaires.
- d. Fig. 2 et 3. Sillon oblique qui sépare l'os incisif du maxillaire.
- f. f. Fig. 2. Racine du museau.
- m. m. Os lacrymal.
- e. e. Fig. 2 et 3. Fosses temporales.
- x. Fig. 2. Angle frontal.
- d. e. Fig. 1. Arcade zygomatique.
- g. f. Fig. 2 et 3. *Idem, idem.*
- u. Fig. 3. Échancrure du palais entre les os incisifs.
- v. v. Double trou incisif.
- w. Angle postérieur formé par la suture qui sépare l'incisif du maxillaire.
- γ. γ. Petit canal formé par un trou incisif et un autre trou du maxillaire.
- z. Pointe aiguë formée par la réunion des os palatins.
- &. Échancrure postérieure.
- α. Petit crochet formé par le prolongement de l'aile ptérygoïde.
- β. β. Os tympanique.
- ξ. Dent antérieure supérieure.
- t. Dernière arrière-molaire supérieure.
- c. d. Fig. 4. Bord antérieur de l'espace quadrilatère qui sépare les deux branches de la mâchoire et laisse voir les alvéoles des incisives.

- e.* Angles antérieurs saillans obliquement pour porter les canines.
- f.* Fig. 1. Angle postérieur saillant et recourbé en demi-cercle.
- h. i.* Fig. 4. Les deux premières molaires de remplacement inférieures.
- l. m. n.* Fig. 3. Les trois molaires de remplacement supérieures.
- k.* Fig. 4. Troisième molaire de lait inférieure.
- o.* Première arrière-molaire inférieure.
- p.* Fig. 3. Première arrière-molaire supérieure.
- r. q.* Fig. 4. Dernières molaires inférieures.
- s. t.* Fig. 3. Dernières molaires supérieures.
- v. v.* Fig. 1, 4. Les deux incisives médianes inférieures.
- ô. ô.* Les deux incisives latérales inférieures.
- a.* Fig. 1 et 3. Incisives externes supérieures.
- ε. ε.* Incisives intermédiaires supérieures.
- δ.* Canines supérieures.
- η. η.* Fig. 4. Canines inférieures.

Fig. 5. Face inférieure articulaire de l'omoplate.

Fig. 6. Omoplate.

- a. c.* Épine de l'omoplate.
- a.* Espèce d'acromion formé en crochet.
- d.* Base de l'épine.
- b.* Arête de l'épine.
- g. h.* Fig. 5 et 6. Cavité glénoïde.

Fig. 7. Face antérieure

Fig. 8. Face postérieure

Fig. 9. Face articulaire supérieure

Fig. 10. Face articulaire inférieure

} de l'humérus.

- a.* Grande tubérosité de l'humérus.
- a'.* Lobe postérieur de la grande tubérosité de l'humérus.
- b.* Petite tubérosité.
- c.* Tête articulaire.
- d. e.* Ligne âpre.
- e.* Tubercule formé par le renflement de la ligne âpre.
- g.* Condyle externe.
- f.* Condyle interne.
- h.* Poulie articulaire.
- i.* Cavité pour loger la tête de l'olécrâne.

Fig. 11. Les deux os de l'avant-bras réunis, le radius, *a b*; le cubitus, *c d*.

- c.* Tête supérieure ou olécrânienne du cubitus.
- f.* Tête inférieure.
- a.* Tête supérieure du radius.
- b.* Tête inférieure, offrant en dessous deux têtes obliques et concaves, *g h*.

Fig. 12. Facette articulaire supérieure des deux os de l'avant-bras.

Fig. 13. Carpe, métacarpe et phalanges du membre antérieur.

- | | | |
|---|---|---------------|
| a. Le scaphoïde. | } | du carpe. |
| b. Le semi-lunaire. | | |
| d. Le cunéiforme. | | |
| e. Le pisiforme. | | |
| f. Petit os pointu assez semblable à un pisiforme | | |
| g. Le trapézoïde. | | |
| h. Le grand os. | } | du métacarpe. |
| i. L'unciforme. | | |
| k. l. Les deux os extrêmes | | |
| m. n. Les deux os moyens | | |

Fig. 14. Bassin complet, vu de face.

- a. b. Le sacrum.
 c. d. Les os des iles.
 f. f. Les pubis.
 g. h. Diamètre antéro-postérieur.
 i. k. Diamètre transverse.
 m. m. Partie postérieure de l'ischion.
 e. e. Col de l'os des iles.
 c. c. Articulation des os iliaques avec le sacrum.

Fig. 15, 16 et 17. Le fémur; par devant, *fig. 15*; par derrière, *fig. 16*; par sa face articulaire inférieure, *fig. 17*.

- a. Le grand trochanter.
 b. Tête de fémur.
 c. Petit trochanter.
 d. Poulie rotulienne.

Fig. 18. Le tibia; avec sa face articulaire inférieure, *fig. 19*.

- a. Tubérosité antérieure.
 b. Malléole interne.
 c. Extrémité malléolaire du péroné.
 d. Le péroné.

Fig. 20. Tarse, métatarse et phalanges du membre postérieur.

- A. L'astragale dont la poulie inférieure, *a b*, est divisée en deux gorges.
 c. Facette qui s'articule avec le tibia.
 B. Le calcanéum.
 C. Le cuboïde.
 D. Le scaphoïde.
 E. F. Les deux os cunéiformes.

PLANCHE 32.

HIPPOPOTAMES FOSSILES. Pl. I.

- Fig. 1.* Face supérieure } d'un astragale fossile.
Fig. 4. Face latérale }
- Fig. 2.* Fragment de mâchoire supérieure du grand hippopotame fossile, contenant la dernière et l'avant-dernière molaire gauche.
- Fig. 3.* Antépénultième molaire supérieure ou inférieure de grand hippopotame fossile, de Florence.
- Fig. 5.* Dernière molaire inférieure de la même espèce prête à percer la gencive.
- Fig. 6.* Mâchelière fossile de petit hippopotame fossile. Les pointes des deux collines antérieures, *a b*, ne sont qu'un peu usées en triangle, et cependant la partie voisine du collet, *c*, est un peu entamée.
- Fig. 7.* Grande mâchelière de petit hippopotame fossile, retirée d'un bloc de grès à base calcaire; *a*, petite partie transverse de sa couronne, dont *b c* représente une paire de collines séparée par un profond vallon d'une autre paire, *d e*, qui l'est encore par un second vallon d'une colline simple, *f*.
- Fig. 8.* Mâchelière de petit hippopotame fossile. Ses deux collines antérieures, *a, b*, ont déjà confondu leur disque par l'effet de la détritition; les deux autres, *c, d*, ne montrent encore que deux triangles séparés.
- Fig. 9.* Astragale appartenant à la petite espèce; *a*, arête qui divise sa partie inférieure en deux poulies d'égale largeur.
- Fig. 10 et 11.* Deux des trois molaires antérieures du petit hippopotame fossile.

PLANCHE 33.

HIPPOPOTAMES FOSSILES. Pl. II.

- Fig. 1.* Portion de la mâchoire inférieure du côté droit du grand hippopotame fossile, contenant la pénultième et l'antépénultième molaire.
- Fig. 2.* Pénultième molaire supérieure dans un état de détritition moyenne, même espèce.
- Fig. 3.* Germe d'une dent mâchelière de petit hippopotame fossile.
- Fig. 4.* Germe de molaire antérieure appartenant probablement au petit hippopotame fossile.
- Fig. 5.* Tête inférieure d'humérus du petit hippopotame fossile, assez mal conservée, ayant une simple poulie, *a*, avec une très-légère excavation latérale vers *b*; en *c* est un trou produit par la pression de l'olécrâne dans l'extension.
- Fig. 6.* Extrémité antérieure de la canine supérieure du petit hippopotame fossile.
- Fig. 7.* Incisive latérale inférieure du petit hippopotame fossile.

Fig. 8. Fragment mutilé de la mâchoire inférieure de la petite espèce; *a*, bord inférieur se recourbant en arc de cercle pour former le crochet caractéristique de la mâchoire de l'hippopotame.

Fig. 9. Fragment d'une incisive intermédiaire supérieure du petit hippopotame; *a b*, partie usée; *c b*, sillon longitudinal qui n'existe pas dans la grande.

Fig. 10. Fragment de canine inférieure de grand hippopotame fossile.

Fig. 11. Canine inférieure de petit hippopotame fossile.

PLANCHE 34.

HIPPOPOTAMES FOSSILES. Pl. III.

Fig. 1. Portion de fémur du petit hippopotame fossile. Il a perdu sa tête, la sommité du grand trochanter et à peu près son tiers inférieur.

Fig. 2. Trois quarts inférieurs d'un humérus, appartenant à la petite espèce.

Fig. 3. Portion de mâchoire inférieure fossile de la petite espèce : elle contient la dernière dent presque entière, *a*, et montre une grande partie de son angle inférieur en arc de cercle, *b*, et surtout une grande portion de son bord postérieur, *c d*.

Fig. 4. Fragment de bassin représenté de côté.

Fig. 5. Le même, vu par devant.

Fig. 6 et 8. Tiers antérieur de la mâchoire gauche d'un jeune individu du petit hippopotame fossile.

Fig. 7. Germe d'une molaire postérieure de petit hippopotame fossile trouvé dans un bloc; envoyé par M. Journu - Aubert.

PLANCHE 35.

HIPPOPOTAMES FOSSILES. Pl. IV.

Fig. 1. Tête fossile, vue en dessus; du cabinet de Florence.

Fig. 2. La même, vue de profil.

Fig. 3. Mâchoire inférieure fossile, vue en dessus; du cabinet de Florence.

Fig. 4. La même, vue de profil.

Fig. 5. Fragment de mâchoire supérieure fossile encore armée de ses dents.

PLANCHE 36.

HIPPOPOTAMES FOSSILES. Pl. V.

Fig. 1. Fragment d'omoplate fossile appartenant à un individu de 14 à 15 pieds.

Fig. 2. Face articulaire de ce fragment.

Fig. 3 et 4. Tête supérieure d'humérus fossile, du cabinet de Florence.

Fig. 5. Face antérieure } du tiers inférieur de deux humérus, appartenant à des indi-
Fig. 6. Face postérieure } vidus différents.

Fig. 7 et 8. Les deux os de l'avant-bras.

Fig. 9. Tête supérieure des deux os soudés.

Fig. 10. Tête inférieure.

Fig. 11. Unciforme.

Fig. 12. Quatrième ou cinquième vertèbre dorsale.

Fig. 13. Première vertèbre lombaire.

Fig. 14. Première vertèbre sacrée.

Fig. 15. Grand os du carpe.

Fig. 17. Cunéiforme du carpe.

PLANCHE 37.

HIPPOPOTAME FOSSILE. Pl. VI.

Fig. 1 et 2. Os innominé; de Toscane.

Fig. 3, 4, 5 et 6. Fémur; vu antérieurement, fig. 3; postérieurement, fig. 4; tête articulaire supérieure, fig. 5, et inférieure, fig. 6.

Fig. 7 et 8. Cuboïde du tarse; face latérale, fig. 7; face postérieure, fig. 8.

Fig. 9, 10, 11 et 12. Tibia; face antérieure, fig. 9, face postérieure, fig. 10; face articulaire supérieure, fig. 11, et inférieure, fig. 12.

Fig. 13 et 14. Calcanéum gauche, vu latéralement, fig. 13, et supérieurement, fig. 14.

Fig. 15. Deuxième métatarsien droit, vu par ses faces supérieure et latérale.

PLANCHE 38.

HIPPOPOTAME FOSSILE. Pl. VII.

Fig. 1. Cunéiforme gauche, face supérieure.

Fig. 2. *Idem*, face inférieure.

Fig. 3. *Idem*, face postérieure.

Fig. 4. *Idem*, face antérieure.

Fig. 5. Semi-lunaire gauche, face supérieure.

Fig. 6. *Idem*, face postérieure.

Fig. 7. *Idem*, face inférieure.

Fig. 8. *Idem*, face interne.

Fig. 9. Fragment de mâchoire inférieure du côté gauche, indiqué comme pouvant appartenir à une espèce moyenne d'hippopotame, mais que M. Christol a depuis rapporté à un genre nouveau de cétacé.

Fig. 10. Molaires du morceau précédent, vues par leur couronne et de grandeur naturelle.

Fig. 11. Autre dent du côté opposé, également de grandeur naturelle.

Fig. 12 à 17. Dents trouvées dans un bloc calcaire près de Blaye, qui indiquent une espèce voisine de l'hippopotame et plus petite que le cochon.

Fig. 18 à 20. Autre dent usée plus profondément que les précédentes.

PLANCHE 39.

RHINOCÉROS. Pl. I.

Squelette entier de rhinocéros unicolore des Indes.

PLANCHE 40.

RHINOCÉROS. Pl. II.

Rhinocéros bicolore.

Fig. 1. Mâchoire supérieure de rhinocéros bicolore jeune; du Muséum.

Fig. 2. Mâchoire inférieure du même.

Fig. 5. Une molaire inférieure, présentant deux collines, *a b*, placées obliquement l'une derrière l'autre.

Rhinocéros unicolore.

Fig. 3. Mâchoire supérieure du rhinocéros unicolore vieux.

Fig. 4. Mâchoire inférieure du même.

PLANCHE 41.

RHINOCÉROS. Pl. III.

Fig. 1. Face postér.	} d'un fémur de rhinocéros; <i>a</i> , saillie médiane ou troisième trochanter, formant un crochet ascendant qui va s'unir au crochet descendant du grand trochanter ordinaire <i>b</i> , de sorte que ces deux crochets forment par leur réunion un trou ovale; <i>c</i> , poulie rotulienne dont le bord interne, <i>d</i> , est beaucoup plus saillant que l'externe <i>e</i> .
Fig. 2. Face antér.	
Fig. 3. Tête infér.	
Fig. 4. Tête supér.	

Fig. 5 et 6. Omoplate; et face articulaire du même os.

a. e. Bord antérieur.

b. a. Bord supérieur.

b. g. Bord postérieur.

c. Apophyse très-saillante de la crête de l'omoplate, *c, d*.

e. Tubérosité qui remplace le bec coracoïde.

f. g. Cavité glénoïde.

Fig. 7, 8, 9 et 10. Humérus; face antérieure, fig. 7; face postérieure, fig. 8; tête articulaire supérieure, fig. 9; inférieure, fig. 10.

- a.* Grosse tubérosité supérieure en forme de large crête.
- b.* Petite tubérosité supérieure.
- c.* Crochet très-saillant formé par la terminaison brusque de la ligne âpre. Ces deux tubérosités forment deux crochets; l'un d'avant en arrière, l'autre d'arrière en avant, et produisent ainsi un canal destiné sans doute au passage du tendon du biceps brachial.
- e.* Condyle externe saillant.
- f.* Condyle interne presque en ligne droite avec la suite de l'os.

Fig. 11, 12 et 13. Cubitus; vu par devant, fig. 11; de côté, fig. 12; par sa face articulaire inférieure, fig. 13.

Fig. 14, 15 et 16. Radius avec ses têtes articulaires; supérieure, fig. 15; inférieure, fig. 16.

- c. d.* Courtes apophyses qui terminent cet os à sa partie inférieure; l'une est externe et tronquée, *d*, l'autre interne et pointue, *c*.

Fig. 17, 18 et 19. Tibia; avec ses têtes articulaires; supérieure, fig. 18, et inférieure, fig. 19.

Fig. 20. Calcanéum, vu supérieurement.

Fig. 21. Le même os, vu antérieurement.

Fig. 22. Face antérieure

Fig. 23. Face inférieure

Fig. 24. Face latérale interne

Fig. 25. Face supérieure

Fig. 26. Face latérale externe

} de l'astragale.

Fig. 27 à 30. Moitié de l'atlas; vu, fig. 27, inférieurement; fig. 28, supérieurement; fig. 29, antérieurement; fig. 30, postérieurement.

PLANCHE 42.

RHINOCÉROS. Pl. IV.

Fig. 1. Tête d'unicorne des Indes, adulte.

Fig. 2. Crâne d'unicorne de Java, très-ressemblant à celui du bicorne de Sumatra.

Fig. 4. Os incisif d'un très-jeune unicolore, copié de Camper. Il est représenté d'après nature, pl. 43, fig. 3.

Fig. 5. Bout de mâchoire inférieure d'un très-jeune rhinocéros, copié de Camper. La même pièce a été représentée d'après nature, pl. 43, fig. 2.

Fig. 6. Crâne de rhinocéros adulte bicolore du Cap, copié de Camper.

Fig. 7. Jeune crâne de la même espèce; du Muséum.

Fig. 8. Crâne de rhinocéros de Sumatra, copié de Bell.

Fig. 9. Fragment de tibia fossile de l'espèce cloisonnée, copié de Hollmann.

Fig. 10. Le même os entier dont la tête supérieure est un peu mutilée.

Fig. 11. Fragment d'occiput de rhinocéros à narines cloisonnées, copié de Hollmann.

PLANCHE 43.

RHINOCÉROS. Pl. V.

- Fig. 1.* Mâchoire supérieure de rhinocéros unicolore, de Java, d'âge intermédiaire.
- Fig. 2.* Bout de mâchoire inférieure d'un très-jeune sujet, donné au cabinet par Adrien Camper.
- Fig. 3.* Mâchoire supérieure d'un très-jeune rhinocéros, montrant les alvéoles de deux incisives.
- Fig. 4.* Pied de derrière; le calcanéum, *a*; poulie de l'astragale, *b*; le cuboïde, *c*; le scaphoïde, *d*; troisième cunéiforme, *e*; deuxième cunéiforme, *f*; métatarsien interne, *g*; métatarsien moyen, *h*; métatarsien externe, *i*.
- Fig. 5.* Pied de devant; le scaphoïde, *a*; le semi-lunaire, *b*; le cunéiforme, *c*; le pisi-forme, *d*; le trapézoïde, *g*; osselet conique qui s'articule, d'une part, avec une facette du trapézoïde, et une autre du scaphoïde, et qui tient lieu du pouce, *i*; le grand os, *f*; l'unciforme, *e*; os rond qui remplace le petit doigt, *h*.
- Fig. 6.* Bassin d'unicorne; *a*, épine fourchue de la crête iliaque; *g*, col de l'os des îles.
a. b. c. Bord externe de l'os des îles.
d. e. f. Bord interne.
h. Tubérosité de l'ischion.

PLANCHE 44.

RHINOCÉROS. Pl. VI.

- Fig. 1.* Deuxième molaire gauche.
- Fig. 2.* Troisième molaire gauche: ces deux dents paraissent être deux molaires de lait.
- Fig. 3.* Quatrième molaire droite, médiocrement usée.
- Fig. 4.* Septième molaire droite, assez usée.
- Fig. 5.* Cinquième molaire du côté gauche, peu usée: ces cinq molaires appartiennent à la mâchoire supérieure. Elles viennent du cabinet de feu Adrien Camper, et ont été recueillies en Allemagne.
- Fig. 6.* Cinquième molaire gauche, trouvée à Chagny.
- Fig. 7.* Dent fossile, trouvée en 1700 aux bords du Necker, communiquée par M. Jäger.
- Fig. 8.* Cinquième molaire du côté droit, trouvée à Strasbourg en 1750.
- Fig. 9 et 10.* Dent incisive supérieure de rhinocéros; du cabinet de Sæmmering, d'après un dessin d'Adrien Camper.
- Fig. 11.* Deuxième molaire droite peu usée; du cabinet d'Adrien Camper.
- Fig. 12.* Seconde molaire supérieure très-usée; de Grenoble.

PLANCHE 45.

RHINOCÉROS. Pl. VII.

- Fig. 1.* Dessin du crâne de rhinocéros à narines cloisonnées ; des bords du Tchikoï , copié de Pallas.
- Fig. 2.* Dessin copié de Collini , pour montrer la réunion des os du nez avec les incisifs.
- Fig. 3.* Mâchoire inférieure de Sibérie , copiée de Pallas.
- Fig. 4.* Fragment de crâne fossile de l'espèce cloisonnée , vu de côté ; du cabinet de Gœttingue.
- Fig. 5.* Le même , vu en dessous ; *a a* , les deux os incisifs.
- Fig. 6.* Fragment de crâne de l'espèce cloisonnée , copié de Pallas.
- Fig. 7.* Fragment de mâchoire encore armée de deux dents , de la même espèce.
- Fig. 8 et 9.* Axis fossile , copié de Hollmann.

PLANCHE 46.

RHINOCÉROS. Pl. VIII.

- Fig. 1 et 2.* Portion d'humérus fossile trouvée en 1750 dans les environs de Schartzfels , copié de Hollmann.
- Fig. 3.* Fragment d'humérus offrant sa crête inférieure , copié de Hollmann.
- Fig. 6 , 7 et 8.* Atlas fossile , copié de Hollmann.
- Fig. 9.* Troisième vertèbre cervicale , vue par sa face antérieure , copiée de Hollmann.
- Fig. 11.* Omoplate fossile trouvée en 1773 au pied du Hartz ; d'après un dessin de M. Wiedemann.
- Fig. 12.* Crâne de Sibérie à narines cloisonnées , donné par M. Camper ; vu par dessous.
- Fig. 13.* Le même , vu de profil.
- Fig. 12'.* Fragment mutilé de radius fossile , d'après un dessin de M. Wiedemann.

PLANCHE 47.

RHINOCÉROS. Pl. IX.

- Fig. 1 et 2.* Partie postérieure de tête trouvée dans les environs de Brengue (Lot).
- Fig. 3.* Tête de l'espèce à narines cloisonnées , envoyée par M. Howship.
- Fig. 4.* Tête de la même espèce , dessinée par mademoiselle Morland ; vue par dessous.
- Fig. 5.* La même , vue de profil.
- Fig. 6.* Tête de la même espèce , d'après un dessin envoyé par l'Académie de Pétersbourg.

- Fig. 7.* Tête de rhinocéros à narines non cloisonnées, découverte par M. Cortesi.
Fig. 8 et 9. Mâchoire inférieure de l'espèce d'Italie à narines non cloisonnées.
Fig. 10. Mâchoire inférieure fossile de rhinocéros à narines cloisonnées, trouvée au pied du mont Blancano, et donnée autrefois par Monti comme une tête de morse.
Fig. 11. Portion de mâchoire inférieure d'un très-jeune individu, trouvée près d'Abbeville.

PLANCHE 48.

RHINOCÉROS. Pl. X.

- Fig. 1 et 2.* Humérus fossile avec ses têtes articulaires, supérieure, fig. 3 ; inférieure, fig. 4, et qui paraît appartenir à l'espèce à narines non cloisonnées ; recueilli dans le val d'Arno et copié de M. Nesti.
Fig. 5, 6 et 7. Tête supérieure d'humérus fossile de l'espèce non cloisonnée.
Fig. 8 et 9. Tête inférieure d'humérus mutilée, vue par ses faces antérieure et postérieure, de l'espèce non cloisonnée.
Fig. 11, 12, 13 et 14. Radius qui paraît de l'espèce à narines non cloisonnées ; copié de M. Nesti.
Fig. 13'. Cubitus du val d'Arno de la même espèce, copié de M. Nesti. Sa tête supérieure est unie à celle du radius, fig. 14'.
Fig. 15. Os du métacarpe, copié de M. Nesti, et qui paraît ressembler beaucoup à l'un des deux métacarpiens externes de l'unicorne.
Fig. 16. Phalanges du pied de devant, d'après le dessin de M. Nesti.

PLANCHE 49.

RHINOCÉROS. Pl. XI.

- Fig. 1.* Semi-lunaire, face supérieure.
Fig. 2. Le même, face postérieure.
Fig. 3. Le même, face antérieure.
Fig. 4. Le même, face interne.
Fig. 5. Le même, face externe.
Fig. 6. Rotule, face postérieure.
Fig. 7. La même, face antérieure.
Fig. 8 et 9. Extrémités supérieure et inférieure d'un péroné trouvé en France.
Fig. 10 et 11. Extrémité postérieure droite presque entière, contenant le fémur, le tibia, le péroné, la rotule, et tous les os du pied en place et liés ensemble par le tuf dans lequel ils sont incrustés.

Fig. 12. Portion moyenne de fémur, de Fouvent, par M. Lefèvre de Money.

Fig. 13 et 14. Partie inférieure de tibia, d'Abbeville, envoyée par M. Baillon.

Fig. 15. Tibia d'Italie de l'espèce non cloisonnée, avec son péroné et ses têtes articulaires; supérieure, fig. 17; et inférieure, fig. 16; copié de M. Nesti.

Fig. 18. Bassin trouvé dans le val d'Arno, probablement de l'espèce non cloisonnée; copié de M. Nesti.

Fig. 19, 20 et 21. Fémur de l'espèce d'Italie, vu par ses faces; antérieure, fig. 19, et postérieure, fig. 20; copié de M. Nesti.

Fig. 22. Pied de derrière, du cabinet du grand-duc à Florence, et de l'espèce d'Italie.

PLANCHE 50.

RHINOCÉROS. Pl. XII.

Crâne de l'espèce à narines cloisonnées, donné au Cabinet du roi par le professeur Buckland; vu par-dessous et de profil.

PLANCHE 51.

RHINOCÉROS. Pl. XIII.

Fig. 1. Troisième ou quatrième molaire gauche très-usée.

Fig. 2. Sixième molaire droite encore très-peu usée, déterrée à Cronstadt; d'après un dessin de M. Autenrieth.

Fig. 3. Molaire inférieure.

Fig. 4. Sixième molaire gauche peu usée, de Crazes (Gard).

Fig. 5. Molaire trouvée dans le même endroit, très-usée.

Fig. 6. Sixième molaire gauche d'origine inconnue et mal conservée.

Fig. 7. Molaire dont le bord externe est cassé; de Monte Verde, près de Rome.

Fig. 8. Troisième molaire de lait déjà un peu usée; de Brengue.

Fig. 9. Germe de la quatrième molaire de lait non encore entamé; de Brengue.

PLANCHE 52.

RHINOCÉROS. Pl. XIV.

Dessins envoyés par mademoiselle Morland d'après des ossemens de rhinocéros découverts près de Rugby, qui paraissent appartenir à l'espèce cloisonnée.

Fig. 1 et 2. Demi-bassin.

Fig. 3 et 4. Tibia fort entier.

Fig. 5 et 6. Humérus.

Fig. 7 et 8. Fragment de cubitus.

Fig. 9 et 10. Vertèbre axis.

Fig. 11 et 12. Quatrième vertèbre cervicale.

Fig. 13 et 14. Septième vertèbre cervicale.

PLANCHE 53.

RHINOCÉROS. Pl. XV.

Ossemens trouvés près de Moissac et paraissant appartenir à une ou plusieurs espèces particulières de rhinocéros fossiles.

Fig. 1. Fragment de mâchoire inférieure contenant les trois dernières molaires gauches.

Fig. 2. Moitié supérieure de radius fossile.

Fig. 3. Tête supérieure d'humérus fossile.

Fig. 4 et 5. Incisive supérieure gauche.

Fig. 6. Incisive inférieure droite.

Fig. 7, 8 et 9. Troisième, quatrième et cinquième molaires supérieures du côté gauche.

Fig. 10. Portion considérable d'astragale.

PLANCHE 54.

RHINOCÉROS. Pl. XVI.

Squelette du rhinocéros bicolore du Cap.

PLANCHE 55.

RHINOCÉROS. Pl. XVII.

Fig. 1. Squelette du rhinocéros unicolore de Java.

Fig. 2. Bassin de l'unicorne de Java, vu antérieurement.

PLANCHE 56.

RHINOCÉROS. Pl. XVIII.

Fig. 1. Molaires supérieures du rhinocéros bicolore adulte.

Fig. 2. Molaires supérieures de l'unicorne de Java.

Fig. 3. Germe de la première arrière-molaire extrait de la jeune tête du bicolore du Cap (A., pl. 40, fig. 1).

Fig. 4. Omoplate de l'unicorne de Java.

Fig. 5. Humérus, de l'unicorne de Java.

Fig. 6. Fémur, du même.

PLANCHE 57.

ÉLASMOTHERIUM.

Fig. 1. Branche gauche de mâchoire inférieure contenant trois dents; copiée de M. de Fischer, et vue en dessus.

Fig. 2. La même, vue par sa face externe.

Fig. 3. La même, vue par sa face interne.

Fig. 5. La troisième dent représentée à part; sa couronne, fig. 6; la coupe de sa base, fig. 7.

PLANCHE 58.

CHEVAL. Pl. I.

Fig. 1. Tête de cheval vivant.

Fig. 2. Têtes supérieures des trois os du métacarpe.

Fig. 3. Têtes supérieures des trois os du métatarse.

Fig. 4. Bassin vu de face; vu de profil, fig. 5.

Fig. 6. Pied de devant comprenant le carpe, le métacarpe et les phalanges.

Fig. 7. Pied de derrière, comprenant le tarse, le métatarse et les phalanges.

Fig. 8. Carpe du cheval.

Fig. 9. Le tarse; le scaphoïde, *e*; le cuboïde, *f*.

PLANCHE 59.

CHEVAL. Pl. II.

Fig. 1 et 3. Les deux mâchoires du poulain n'ayant que ses molaires de lait.

Fig. 2 et 4. Les deux mâchoires de l'adulte, ayant déjà toutes ses molaires de remplacement et ses arrière-molaires.

PLANCHE 60.

CHEVAL. Pl. III.

Fig. 1. Omoplate du cheval; acromion, *b*; tubercule coracoïde, *c*.

Fig. 2. Face articulaire de l'omoplate.

Fig. 3 et 4. Humérus, vu par ses faces antérieure et postérieure avec ses têtes articulaires; inférieure, fig. 5; supérieure, fig. 6; grande tubérosité, *a*; crête deltoïdale, *a d*.

Fig. 7 et 8. Radius et cubitus; *fig. 9*, tête supérieure du radius; *fig. 10*, tête inférieure du radius.

Fig. 11, 12, 13 et 14. Le fémur; face postérieure, *fig. 11*; face antérieure, *fig. 12*; tête articulaire supérieure, *fig. 13*; tête articulaire inférieure, *fig. 14*; grand trochanter, *a*; troisième trochanter, *b*.

Fig. 15. Le tibia.

Fig. 16. Tête supérieure du tibia.

Fig. 17. Tête inférieure du tibia.

Fig. 18. Face supérieure } du calcaneum.

Fig. 19. Face antérieure }

Fig. 20. Face tibiale; *fig. 21*, face calcanienne; *fig. 22*, face scaphoïdienne de l'astragale.

PLANCHE 61.

COCHONS. Pl. I.

Fig. 1. Tête de cochon vivant, vue de profil.

Fig. 2. La même, vue en dessous.

Fig. 3. Mâchoire inférieure et mâchoire supérieure, *fig. 5*, d'un cochon adulte, présentant toutes les dents de remplacement et les arrière-molaires.

Fig. 4 et 6. Mâchoire d'un jeune individu qui n'a que ses molaires de lait.

PLANCHE 62.

COCHONS. Pl. II.

Fig. 1. Omoplate du cochon vivant; crochet de son épine, *a*; son tubercule coracoïde, *b*.

Fig. 2. Face articulaire de l'omoplate; cavité glénoïde, *c*.

Fig. 3 et 4. Humérus avec ses têtes articulaires; supérieure, *fig. 5*; inférieure, *fig. 6*; sa grande tubérosité, *a*; rainure bicipitale, *b*.

Fig. 7 et 8. Cubitus et radius réunis.

Fig. 9, 10 et 11. Corps et faces articulaires du radius.

Fig. 12 et 13. Le bassin.

Fig. 14. Face postérieure

Fig. 15. Face antérieure

Fig. 16. Tête supérieure

Fig. 17. Tête inférieure

} du fémur; tête articulaire supérieure, *a*; grand trochanter, *b*.

Fig. 18. Tibia avec son péroné, et ses faces articulaires supérieure et infér., *fig. 19 et 20*.

Fig. 21. Extrémité antérieure, contenant le carpe, le métacarpe et les phalanges; le trapézoïde, *a*; le grand os, *b*.

Fig. 22. Extrémité postérieure, contenant le tarse, le métatarse et les phalanges.

Fig. 23 à 27. Astragale, vue par ses faces; antérieure, fig. 23; interne, fig. 24; inférieure, fig. 25; externe, fig. 26; et supérieure, fig. 27.

Fig. 28 et 29. Calcanéum.

PLANCHE 63.

DAMAN. Pl. I.

Squelette entier de daman du Cap.

PLANCHE 64.

DAMAN. Pl. II.

Fig. 1. Tête de daman adulte, vue de profil.

Fig. 2. Moitié de la même, vue en dessous.

Fig. 3. Mâchoire inférieure, vue en dessus.

Fig. 4. Tête d'un daman jeune.

Fig. 5. Tête d'un individu d'âge moyen.

Fig. 6. Dent molaire supérieure grossie.

PLANCHE 65.

DAMAN. Pl. III.

Fig. 1. Omoplate; tubercule coracoïde, *a*; crête de l'épine, *b*.

Fig. 3 et 4. Humérus avec ses têtes articulaires; supérieure, fig. 5; inférieure, fig. 6.

Fig. 7. Les deux os de l'avant-bras réunis, vus de face.

Fig. 7'. Leur face inférieure.

Fig. 8. Extrémité antérieure, contenant le carpe, le métacarpe et les phalanges.

a. Tête inférieure du radius.

b. Tête inférieure du cubitus.

c. Le pisiforme.

d. Le cunéiforme.

e. Le semi-lunaire.

f. Le scaphoïde.

g. Le trapèze.

h. Le grand os.

i. L'unciforme.

Fig. 9. Le bassin, vu par-dessous.

Fig. 10 et 11. Le fémur, vu par sa face antérieure, fig. 10, et postérieure, fig. 11; avec ses têtes articulaires, supérieure, fig. 12, et inférieure, fig. 13.

Fig. 14. Le tibia avec son péroné et leurs têtes articulaires, supérieures et inférieures, *fig. 15 et 16.*

Fig. 17. Extrémité postérieure, vue de face, contenant le tarse, le métatarse et les phalanges.

Fig. 18. L'astragale, vu supérieurement; et inférieurement, *fig. 19.*

Fig. 20. Le calcanéum.

PLANCHE 66.

TAPIRS. Pl. I.

Fig. 1. Squelette du tapir d'Amérique.

Fig. 2. Le carpe et une portion de métacarpe.

Fig. 3. Le tarse et la portion tarsienne du métatarse.

PLANCHE 67.

TAPIRS. Pl. II.

Fig. 1. Tête du tapir d'Amérique, vue de profil.

a. b. Élévation de la pyramide du crâne.

c. Triangle formé par les os frontaux.

d. Os du nez s'articulant à la base de ce triangle.

e. Sillon profond produit par le redressement du bord supérieur de l'orbite.

f. Trou sous-orbitaire.

g. Os lacrymal.

h. Temporal.

i. Pariétal.

k. l. Ouverture des narines osseuses.

m. Les os maxillaires.

n. Les os inter-maxillaires.

o. L'os de la pommette.

p. Méat auditif interne.

q. Apophyse mastoïde.

r. Branche montante de la mâchoire inférieure.

s. Angle postérieur de cette mâchoire arrondi en arrière.

t. Apophyse coronoïde.

Fig. 2. Mâchoire supérieure d'un individu jeune, où les quatre molaires de lait sont encore adhérentes, et où la première arrière-molaire vient de percer l'alvéole.

a. b. Le trou incisif (et *fig. 6*).

d. Suture qui sépare le palatin du maxillaire (et *fig. 6*).

u. Intervalle vide de dents (et *fig. 3*).

be d. Les trois molaires antérieures supérieures.

Fig. 3. Mâchoire inférieure ayant aussi ses trois molaires de lait et la première arrière-molaire.

Fig. 4. Germe de seconde arrière-molaire inférieure, de grandeur naturelle.

Fig. 5. Seconde arrière-molaire supérieure, de grandeur naturelle.

Fig. 6. Mâchoire supérieure d'adulte de tapir des Indes, avec ses dents de remplacement et ses arrière-molaires complètes.

Fig. 7. Mâchoire inférieure de ce même tapir dans les mêmes conditions.

Fig. 8. Une des dernières molaires supérieures de tapir des Indes, représentée de manière à montrer sa face externe.

PLANCHE 68.

TAPIRS. Pl. III.

Tapir d'Amérique.

Fig. 1 et 2. Fémur avec ses têtes articulaires; supérieure, fig. 3; inférieure, fig. 4.

Fig. 5. Tibia avec ses faces articulaires; supérieure, fig. 6; inférieure, fig. 7.

Fig. 8. Omoplate.

Fig. 9. Face articulaire de cette omoplate.

Fig. 10 et 11. Humérus, vu par ses deux faces antérieure et postérieure; avec sa tête supérieure, fig. 12, et sa tête inférieure, fig. 13.

Fig. 14. Radius avec ses faces articulaires; supérieure, fig. 15; inférieure, fig. 16.

Fig. 17 et 18. Le cubitus.

Fig. 19 et 20. Le calcanéum.

Fig. 21 à 25. L'astragale.

Fig. 26 à 29. L'atlas.

PLANCHE 69.

TAPIRS. Pl. IV.

Squelette du tapir des Indes.

PLANCHE 70.

TAPIRS. Pl. V.

Fig. 1. Tête du tapir des Indes, vue en dessus.

Fig. 2. La même, vue de profil.

Fig. 3. Tête d'un tapir d'Amérique, vue en dessus pour montrer la différence qui existe entre ces deux espèces.

PLANCHE 71.

ANIMAUX FOSSILES VOISINS DES TAPIRS. Pl. I.

LOPHIODONS.

Fig. 1. Mâchoire inférieure de lophiodon du cabinet de Joubert, espèce moyenne d'Issel. Le profil en est représenté pl. 72, fig. 1.

Le côté droit a sa branche montante cassée et emportée en *a a* :

- b.* Dernière molaire, avec deux hautes collines transverses et tranchantes.
- c.* Pénultième molaire n'ayant que deux collines saillantes déjà un peu usées.
- d.* Antépénultième molaire cassée à sa face externe.
- e. f. g.* Les trois premières molaires.
- h. i. k. l. m. n.* Molaires du côté gauche, dont deux seulement, *h. i.*, ont conservé leur couronne. Les autres sont cassées plus ou moins profondément.
- o. p.* Les deux canines.
- q. r. s.* Les trois incisives du côté droit. Celles du côté gauche manquent.

Fig. 2. Autre portion de mâchoire inférieure de lophiodon du cabinet de Joubert, espèce moyenne d'Issel.

- a. b.* Traces des deux premières molaires de chaque côté, qui y sont cassées jusqu'à la racine.
- c.* Alvéole de la canine droite remplie de sable. La gauche manque totalement.
- d.* Incisive gauche externe.
- e. f.* Retrécissement de la mâchoire.

Fig. 3. Germe de dent d'origine inconnue, qui paraît appartenir à la grande espèce de lophiodon de Buchsweiler.

PLANCHE 72.

ANIMAUX FOSSILES VOISINS DES TAPIRS. Pl. II.

LOPHIODONS ET TAPIR GIGANTESQUE OU DINOTHERIUM (*Kaup.*)

Fig. 1. Mâchoire inférieure de lophiodon. C'est le profil du morceau représenté pl. 71, fig. 1. Les mêmes lettres indiquent les mêmes choses.

- t. u.* Sont deux trous mentonniers.

Fig. 2. Dernière molaire supérieure droite du tapir gigantesque publiée par Rozier en 1773.

Fig. 3, 4, 5. Première molaire appartenant probablement au tapir gigantesque ou dinotherium.

- 3. Vue en dessus.
- 4. Bord postérieur.
- 5. Vue d'avant en arrière.

- a. d.* Côté postérieur.
- a. b.* Côté latéral externe.
- c.* Pointe conique mousse au bord interne.

PLANCHE 73.

ANIMAUX FOSSILES VOISINS DES TAPIRS. Pl. III.

LOPHIODONS ET TAPIR GIGANTESQUE (DINOTHERIUM).

Fig. 1. Portion de mâchoire inférieure du côté droit de lophiodon, espèce moyenne d'Issel.

Fig. 2. Molaire de la mâchoire de la fig. 1, représentée de grandeur naturelle.

Fig. 3. Fragment de mâchoire de lophiodon de la grande espèce d'Issel.

Fig. 4. Molaire de lophiodon de la grande espèce d'Issel.

Fig. 5. Autre molaire de la même espèce.

Fig. 6. Portion supérieure de fémur de lophiodon, espèce moyenne d'Issel.

Fig. 7. Dernière molaire supérieure (1) droite de tapir gigantesque déterrée à Grenoble.

PLANCHE 74.

ANIMAUX FOSSILES VOISINS DES TAPIRS. Pl. IV.

TAPIR GIGANTESQUE (DINOTHERIUM).

Fig. 1. Dent molaire supérieure, trouvée à Chevilly.

Fig. 2. Autre molaire, de Chevilly.

Fig. 3. Germe de molaire d'origine inconnue.

Fig. 4. Dernière molaire supérieure droite, trouvée dans le Couserans.

Fig. 5. Troisième molaire de lait inférieure, de Chevilly.

PLANCHE 75.

ANIMAUX FOSSILES VOISINS DES TAPIRS. Pl. V.

TAPIR GIGANTESQUE (DINOTHERIUM).

Fig. 1, 2. Les deux séries de dents d'un tapir gigantesque tirées d'une mâchoire du cabinet de Joubert.

(1) M. Cuvier indique ces dents à trois collines comme étant la dernière molaire. En effet, dans plusieurs pachydermes et dans tous les ruminans, la dernière molaire inférieure a trois collines; mais les mâchoires entières du tapir gigantesque ou dinotherium trouvées par M. Kaup dans les sablières d'Eppelsheim ont montré que ces dents à trois collines sont les antépénultièmes, et qu'elles existent dans la mâchoire supérieure aussi bien que dans la mâchoire inférieure. La position de ces dents, d'un tiers plus longues que les autres, au milieu de la mâchoire, pourrait faire considérer cet animal comme formé sur le type des carnassiers, où l'on trouve en effet, dans la plupart des espèces, une dent plus forte qui est souvent suivie en arrière de deux autres moins grandes. (Laur.)

1. Dents supérieures.
2. Dents inférieures.

PLANCHE 76.

ANIMAUX FOSSILES VOISINS DES TAPIRS. Pl. VI.

LOPHIODONS.

Fig. 1. Portion considérable de mâchoire inférieure de lophiodon avec les dents du côté gauche. Cette mâchoire appartient à l'espèce secondaire de Buchsweiler.

- a. a.* Reste de branche montante.
- b. b. b.* Emplacement de la dernière molaire circonscrit par une traînée de points.
- c. d. e. f. g.* Les cinq autres molaires encore bien conservées.
- h.* Fragment et empreinte d'une canine.
- i. k. l.* Les trois incisives gauches.
- m.* Canine incrustée dans la pierre.

Fig. 2. Fragment de mâchoire supérieure droite de lophiodon, vu par sa face interne et présentant les trois avant-dernières molaires, *n, o, p*. Espèce secondaire de Buchsweiler.

Fig. 3. c. d. e. f. Les quatre molaires intermédiaires de la *fig. 1*, représentées par leurs couronnes.

Fig. 4. Dernière ou avant-dernière molaire supérieure gauche de lophiodon. Grande espèce de Buchsweiler.

Fig. 5. Fragment représenté *fig. 2*, vu par sa face externe.

PLANCHE 77.

ANIMAUX FOSSILES VOISINS DES TAPIRS. Pl. VII.

LOPHIODONS.

Fig. 1. Portion antérieure de mâchoire inférieure de lophiodon. Grande espèce de Buchsweiler.

Fig. 2. Fragment de mâchoire inférieure de lophiodon contenant la pénultième molaire et les deux qui la précèdent. Espèce secondaire de Buchsweiler.

Fig. 3. Portion de mâchoire supérieure avec les dernières molaires droites de lophiodon. Grande espèce de Buchsweiler.

Fig. 4. Molaire supérieure de lophiodon. Espèce moyenne de Buchsweiler.

Fig. 5. Troisième molaire inférieure de la grande espèce de Buchsweiler.

Fig. 6. Dernière molaire supérieure des environs de Soissons, qui paraît avoir des rapports avec les grands lophiodons du Bastberg et d'Argenton.

PLANCHE 78.

ANIMAUX FOSSILES VOISINS DES TAPIRS. Pl. VIII.

LOPHIODONS ET TAPIR GIGANTESQUE (DINOTHERIUM).

- Fig. 1.* Molaire de tapir gigantesque, trouvée à Carlat-le-Comte.
- Fig. 2.* Molaire à trois collines, prise pour une arrière-molaire. Du même animal et du même lieu.
- Fig. 3.* Dernière molaire de lait de tapir gigantesque trouvée à Carlat-le-Comte.
- Fig. 4.* Molaire supérieure de tapir gigantesque trouvée à Carlat-le-Comte.
- Fig. 6.* Portion d'os maxillaire supérieur de lophiodon avec sa dernière molaire. Espèce moyenne d'Issel.
- Fig. 7.* Fragment de molaire déterré à Orléans et pouvant être rapporté au tapir gigantesque.
- Fig. 8.* Portion de mâchoire inférieure de lophiodon. Grande espèce d'Orléans.

PLANCHE 79.

ANIMAUX FOSSILES VOISINS DES TAPIRS. Pl. IX.

LOPHIODONS ET AUTRES.

- Fig. 1.* Tête d'omoplate de lophiodon. Grande espèce d'Issel.
- Fig. 2.* Face articulaire de cette omoplate.
- Fig. 3, 4.* Bassin trouvé dans le Val-d'Arno et ayant appartenu à un animal inconnu, voisin des tapirs, et de la taille du bœuf.
3. Vu extérieurement ou latéralement.
4. Vu inférieurement.
- Fig. 5.* Fragment de fémur retiré des terres noires du Laonnais, et qui peut être rapproché des lophiodons.
- Fig. 6, 7.* Fragment supérieur d'humérus retiré des terres noires du Laonnais, et appartenant à un animal voisin du daman.
6. Face antérieure.
7. Face externe.
- Fig. 9.* Tête inférieure de tibia de lophiodon, petite espèce d'Issel.
- Fig. 8.* Sa face articulaire.
- Fig. 10.* Moitié externe d'astragale de lophiodon. Grande espèce d'Issel.
- Fig. 11.* Grosse canine des environs de Montpellier, et qu'on peut rapprocher du grand lophiodon de Buchsweiler.

PLANCHE 80.

ANIMAUX FOSSILES VOISINS DES TAPIRS. Pl. X.

LOPHIODONS.

- Fig. 1.* Molaire supérieure gauche de lophiodon. Grande espèce d'Argenton.
Fig. 2. Arrière-molaire inférieure de lophiodon. Même espèce.
Fig. 3. Canine de lophiodon. } Grande espèce d'Argenton.
Fig. 4, 5. Incisives de lophiodon. }
Fig. 6. Tête supérieure de radius de lophiodon. Grande espèce d'Argenton.
Fig. 7. Sa face articulaire.
Fig. 9. Molaire supérieure
Fig. 10. Molaire supérieure gauche
Fig. 11. Autre molaire supérieure
Fig. 12. Canine
Fig. 13. Pénultième? molaire
Fig. 14. Fragment d'arrière-molaire } de lophiodon. Espèce moyenne d'Argenton.
Fig. 15. Pénultième? molaire inférieure de lophiodon. Petite espèce d'Argenton.
Fig. 16. Portion supérieure de cubitus.
Fig. 17. Canine de lophiodon? } Petite espèce d'Argenton.
Fig. 18. Tête inférieure de tibia de lophiodon }
Fig. 19. Sa face articulaire.
Fig. 20. Molaire supérieure gauche de lophiodon. Très-petite espèce d'Argenton.
Fig. 21. Pénultième molaire inférieure de lophiodon. }
Fig. 22. Canine de lophiodon. } Très-petite espèce d'Argenton.
Fig. 23. Fragment de tête inférieure de fémur de lophiodon. }
Fig. 24, 25. Parties de métatarsiens de doigt du milieu de lophiodon; très-petite espèce d'Argenton.

PLANCHE 81.

ANIMAUX FOSSILES VOISINS DES TAPIRS. Pl. XI.

LOPHIODONS.

- Fig. 1, 2.* Astragale de lophiodon. Grande espèce d'Orléans.
 1. Vu en dessus.
 2. Vu en dessous.
Fig. 3. Fragment d'humérus de lophiodon vu par sa face antérieure. Espèce moyenne d'Orléans.

Fig. 4. Même moreeau, vu par sa face postérieure,

Fig. 5. Autre fragment d'humérus de lophiodon vu par sa face postérieure. Espèce moyenne d'Orléans.

Fig. 6. Même morceau vu par sa face antérieure.

Fig. 7. Arrière-molaire inférieure de lophiodon des environs de Montpellier.

Fig. 8. Molaire intermédiaire

Fig. 9. Molaire antérieure

Fig. 10. Canine, vue par sa face externe,

Fig. 11. La même, par sa face interne,

} de lophiodon des environs de Montpellier.

PLANCHE 82.

Fig. 1. Branche droite de mâchoire inférieure de palæotherium crassum dont le bord inférieur, de *a* en *b* et de *c* en *d*, a été emporté, ainsi que l'apophyse coronoïde et le condyle. La partie qui contenait les canines et les incisives, *a*, *e*, *f*, a laissé son empreinte. — Morceau de la collection de l'École des mines.

g. Moitié du fond de l'alvéole de la canine.

h. Sommet d'une canine.

i. Incisive adhérente au plâtre.

k. Première molaire.

l, m, n, o, p, q. Les autres molaires inférieures.

Fig. 2. Le même morceau vu par sa face externe. Les mêmes lettres indiquent les mêmes objets.

Fig. 3. Les dents du même morceau vues en dessus.

PLANCHE 83.

Fig. 1. Fragment de mâchoires supérieure et inférieure de palæotherium medium. Donné par M. de Saint-Genis.

De *b* en *a*. Les cinq premières molaires.

c. Empreinte de la sixième molaire.

f. Espace vide entre les canines et les molaires.

d. Canine saillante inférieure.

e, g, h, i. Les quatre incisives inférieures.

k, l, m. Empreintes de trois molaires antérieures supérieures.

n. Canine supérieure entière et bien conservée.

o, p. Deux incisives également entières.

q. Empreinte d'une troisième.

Fig. 2. Portion considérable du côté gauche d'une mâchoire inférieure d'anoplotherium commune adulte; donnée par M. Héricart-Ferrand.

a, b, c, d, e. Cinq molaires.

f. Place des deux premières molaires antérieures. *g.* Canine. *h.* Une incisive.

- k.* Apophyse coronoïde.
- l.* Bord postérieur arrondi.
- i.* Condyle de la mâchoire.

PLANCHE 84.

Fig. 1. Portion de mâchoire supérieure de *palæotherium medium*. — Du cabinet de Camper.

Fig. 2. Fragment de mâchoire supérieure de *palæotherium medium* présentant une série de six molaires.

Fig. 3. Morceau qui montre presque tout le pourtour de la mâchoire supérieure du *palæotherium crassum*.

- a. b. c. d.* Alvéoles pour les incisives.
- e.* Alvéole pour la canine.
- f. f.* Trou incisif.

PLANCHE 85.

Fig. 1. Côté presque entier de la tête d'un jeune *palæotherium medium* où l'on voit les molaires des deux mâchoires se correspondant les unes aux autres. — Du cabinet de Joubert et de M. de Drée.

- a. b. c.* Trois molaires supérieures entières.
- i. k.* Les alvéoles de deux autres.
- r.* La place d'une sixième molaire.
- n.* Empreinte d'incisive.
- d. e. f. g.* Quatre molaires inférieures. *m.* Loge où était renfermé un germe de molaire postérieure inférieure.
- h.* Sixième molaire inférieure cassée jusqu'à sa racine.
- l.* Fragment de canine.
- o. p.* Deux incisives inférieures dont il ne reste que l'empreinte dans le plâtre.
- q.* Fragment d'incisive latérale.
- t.* Trou sous-orbitaire.
- u.* Saillie qui sépare l'orbite de la fosse temporale.
- r.* Un des deux os du nez en place.
- R.* Second os du nez dessiné séparément.
- s. s.* Bord du maxillaire légèrement concave.

Fig. 2, 3 et 4. Molaire supérieure de *palæotherium medium* peu usée.

- 2. Face externe.
- 3. Couronne.
- 4. Côté antérieur.
- a. b.* Côté externe de ces dents.
- c. d.* Côté interne.
- b. d.* Côté postérieur.

a. c. Côté antérieur.

f. g. Deux concavités arrondies vers la racine et terminées en pointe vers la surface qui broie.

h. i. k. Angles rentrants que produisent les pointes.

Fig. 5. Arrière-molaire d'anoplotherium commune.

PLANCHE 86.

Fig. 1. Fragmens de la mâchoire supérieure et de l'inférieure du palæotherium medium.

Fig. 2. Autres fragmens restés sur le côté opposé de la pierre et dont l'empreinte se voit dans la fig. 1.

i. i. Empreinte d'une grande partie du museau.

k. Échancrure nasale.

l. Trace de l'os nasal. Les os qui avaient formé cette empreinte se trouvent représentés dans la fig. 2.

h. Canine supérieure.

a. Canine droite inférieure coupée obliquement en lèvre de sifflet.

c. d. e. f. g. Cinq incisives.

b. Racine de la canine gauche.

Fig. 3, 4. Arrière-molaires entières d'anoplotherium commune.

Fig. 5. Arrière-molaire brisée ; même espèce.

a. b. Côté externe.

c. d. Côté interne.

b. d. Côté postérieur.

a. c. Côté antérieur.

f. g. Concavités de la face externe.

l. Colline transversale postérieure simple.

m. Pointe caractéristique de la dent d'anoplotherium qui termine la colline transversale antérieure.

PLANCHE 87.

Fig. 1. Dents de la mâchoire inférieure de palæotherium medium, montrant l'angle que forment entre elles les deux branches dentaires.

Fig. 2. Fragment de mâchoire supérieure de palæotherium crassum engagé dans le plâtre.
— Du cabinet de Joubert.

a. b. c. d. e. f. Six des molaires. Il devait y en avoir encore une vers *g.*

Il y a encore sur cette planche trois figures non numérotées, et qui représentent, en allant de haut en bas, une première molaire, une canine, et une incisive d'anoplotherium commune.

PLANCHE 88 (1).

Fig. 1. Morceau contenant la région de l'oreille et le condyle de l'anoplotherium commune, vu par sa face externe.

Fig. 2. Même morceau, vu par sa face inférieure.

a. a. Cavité glénoïde.

b. b. Lame verticale transversale qui borne en arrière cette cavité.

d. Apophyse mastoïde.

e. Condyle occipital.

f. Trou vasculaire s'ouvrant dans le crâne.

Fig. 3. Cerveau de l'anoplotherium commune reproduit par la glaise qui s'est moulée dans la cavité du crâne.

Fig. 4. Bord postérieur de l'orbite et partie inférieure de son cadre de l'anoplotherium commune.

Fig. 5. Apophyse de l'arcade zygomatique qui termine l'orbite en arrière. — Anopl. commune.

Fig. 6. Restitution du crâne du palæothérium, vu en dessous.

Fig. 7. Le même, vu de profil.

PLANCHE 89.

Fig. 1. Deux molaires inférieures de palæotherium magnum, vues par leur face interne.

Fig. 2. Canine et trois incisives inférieures de palæotherium magnum.

Fig. 3. Fragment de mâchoire inférieure d'anoplotherium leporinum adulte, contenant trois molaires en partie mutilées.

Fig. 4. Fragment de mâchoire inférieure d'anoplotherium leporinum montrant les trois pointes doubles de la troisième molaire de lait. — De la collection de M. Brongniart.

Fig. 5. Mâchoire inférieure de jeune anoplotherium secundarium.

a. Alvéole d'une canine.

c. Troisième molaire de lait très-usée.

g. Molaire de remplacement prête à lui être substituée.

b. Molaire de remplacement toute fraîche.

d. e. f. Trois arrière-molaires également toutes fraîches.

Fig. 6. Mâchoire inférieure d'anoplotherium murinum, mutilée par devant et contenant les quatre dernières molaires.

(1) Les figures 1, 2, 4 et 5 avaient été décrites dans le premier mémoire de M. Cuvier, comme appartenant au palæothérium. Depuis, et dans l'édition qu'il a refondue, il les a restituées à l'anoplotherium commune. (Laur.)

Fig. 7. Fragment de mâchoire inférieure d'anoplotherium murinum contenant les deux dernières molaires et une partie de l'antépénultième.

PLANCHE 90.

Fig. 1. Mâchoire inférieure d'anoplotherium leporinum (sous-genre des dichobunes).

Fig. 2. Mâchoire inférieure de palæotherium minus, où la sixième molaire n'a pas encore percé la gencive, et où la troisième est tombée. — Cabinet de M. de Drée.

Fig. 3. Portion de mâchoire inférieure de palæotherium magnum, contenant la dernière et l'avant-dernière molaire vues par leur face externe. — De la collection de M. de Drée.

Fig. 4. Couronne de l'avant-dernière molaire précédente.

Fig. 5, 6, 7. Germe de molaire supérieure d'anoplotherium commune, non sorti de l'alvéole.

5. Vu par sa face externe.

6. Vu par sa couronne.

7. Vu du côté des racines.

Fig. 8. Grande molaire supérieure de palæotherium magnum, vue par sa face externe.

PLANCHE 91.

Fig. 1. Les deux côtés d'une mâchoire inférieure d'anoplotherium commune.

a. b. c. d. e. Les cinq dernières molaires.

Fig. 2. Les molaires précédentes vues par leur couronne.

Fig. 3. Fragment de mâchoire inférieure de la même espèce, contenant les deux dernières molaires.

PLANCHE 92.

Fig. 1. Portion de mâchoire inférieure de palæotherium minus, contenant six molaires.

Fig. 2. Extrémité antérieure de mâchoire inférieure d'anoplotherium, probablement le secundarium. — Du cabinet de Faujas.

a. Empreinte d'une incisive simple.

b. c. Deux incisives un peu bilobées.

d. Quatrième incisive ou canine.

e. Première molaire.

Fig. 3. Fragment de mâchoire supérieure d'anoplotherium commune, vu en dessous.

a. b. Le trou incisif.

c. La première incisive, cassée.

d. e. Les deux incisives suivantes.

f. La quatrième dent, de même forme, mais plus grande que les précédentes, ou la canine.

g. Alvéole de la première molaire.

h. i. k. Trois molaires de remplacement qui n'ont pas encore subi de détrition.

Fig. 4. Germe de molaire supérieure de palæotherium magnum, vu en dessus.

- Fig. 5.* Base de crâne très-incomplète d'anoplotherium leporinum.
- Fig. 6.* Germe de la dernière molaire supérieure de remplacement de l'anoplotherium commune, commençant à percer l'alvéole.
- Fig. 7.* Seconde molaire antérieure supérieure d'anoplotherium commune, usée.
- Fig. 8.* Quatrième molaire inférieure d'anoplotherium commune.
- Fig. 9.* Troisième molaire inférieure d'anoplotherium commune.

PLANCHE 93.

- Fig. 1.* Mâchoire inférieure d'anoplotherium commune, où la troisième molaire de lait était encore en place, et où les deux premières arrière-molaires venaient de percer la gencive.
- i. k. l.* Trois incisives antérieures.
- e.* Une des premières molaires de lait déjà rejetée au-dehors.
- Fig. 2.* Mâchoire inférieure d'anoplotherium commune, montrant la série continue de toutes les dents.
- a. b. c.* Les trois dernières molaires.
- d. e. f. g.* Les quatre molaires antérieures.
- h.* La canine.
- i.* Une incisive latérale.
- k. l.* Deux incisives antérieures.
- Fig. 3.* Incisive antérieure d'anoplotherium commune.
- Fig. 4.* Mâchoire inférieure d'anoplotherium leporinum, contenant les six dernières molaires bien entières.
- Fig. 5.* Molaire supérieure d'anoplotherium commune, très-vieille et fort usée.

PLANCHE 94.

Os séparés et restitution du pied de derrière de l'anoplotherium commune. Toutes les figures de cette planche sont aux deux tiers de la grandeur naturelle, la figure 12 exceptée.

- Fig. 1.* Calcanéum.
- a.* Facette astragaliennne.
- b.* Facette péronienne.
- c.* Facette astragaliennne latérale.
- d.* Bord inférieur de la facette astragaliennne.
- e.* Extrémité cuboïdienne (1).

(1) La lettre *f*, citée dans le texte in-4°, tome III, page 79, remplacée, par erreur, par la lettre *d* dans l'édition in-8°, tome V, page 137, et qui n'a point été gravée sur la figure, désigne cette facette triangulaire qui se détache en blanc au milieu de l'espace compris entre *a* et *b*.

Fig. 2. Astragale.

- a.* Poulie concave pour le scaphoïde.
- b.* Poulie pour le cuboïde.

Fig. 3. Cuboïde.

- a.* Partie qui répond à l'astragale.
- b.* Partie qui répond au calcanéum.
- c. c.* Face antérieure du cuboïde, ressemblant à une équerre.

Fig. 4. Cuboïde vu par sa face inférieure.

- a.* Grande facette arrondie pour un des os du métatarse.

Fig. 5. Cunéiforme.*Fig. 6.* Scaphoïde vu par sa face inférieure.

- a.* Facette large et arrondie pour le cunéiforme.
- b.* Autre facette plus petite pour un petit cunéiforme ou un os surnuméraire.

Fig. 7. Doigt interne, et os du métatarse qui s'articule avec le cunéiforme.

- a. b. c.* Les trois phalanges.

Fig. 9. Os du métatarse qui tient au cuboïde; vu par sa face interne.

- α. β. Fig. 7, γ, δ. fig. 9,* sont les facettes par lesquelles les deux métatarsiens se correspondent.

Fig. 10. Facette cuboïdienne du même os.*Fig. 11.* Face externe de sa tête supérieure.*Fig. 12.* Le pied de derrière restitué.

PLANCHE 95.

Fig. 1. 2. Deux fragmens d'un pied de derrière d'anoplotherium commune, qui se recouvraient. Le fragment *fig. 1* a passé dans la collection de M. Lecamus, et l'autre *fig. 2*, dans celle de M. Brongniart.

Fig. 3. Calcaneum de palæotherium magnum.

PLANCHE 96.

Fig. 1. Pied de derrière gauche presque entier, et partie du pied droit de l'anoplotherium gracile.

Pied gauche.

- a.* Le calcanéum, brisé.
- b.* Poulie tibiale de l'astragale, également brisée.
- c. c.* Poulie tarsienne de l'astragale.
- d.* Le cuboïde.
- e.* Le scaphoïde.
- f.* Un grand cunéiforme.
- g. h.* Deux métatarsiens.
- i. k.* Premières phalanges.

l. m. Phalanges unguéales.*Pied droit.**o.* Osselet surnuméraire attaché au petit cunéiforme.*p.* Le scaphoïde, par sa face externe.*n.* Petit cunéiforme.*Fig. 2.* Tarse complet et fragmens de métatarse de *palæotherium minus*.*a. b. c.* Les os du métatarse fracturés par en bas.*d.* Le calcanéum.*e.* L'astragale.*f.* Le scaphoïde.*g.* Le cuboïde.*h. i.* Les deux cunéiformes.*Fig. 3.* Astragale d'*anoplotherium gracile*, mutilé.*Fig. 4.* Scaphoïde de la fig. 1, séparé et vu par sa face inférieure.*r. q.* Facettes pour le grand et le petit cunéiforme.*Fig. 5.* 6. Astragale d'un carnassier fossile voisin des genettes. — De Montmartre.

5. Vu en dessus.

6. Vu en dessous.

Fig. 7. Astragale d'*anoplotherium leporinum*.*Fig. 8.* 9. Astragale de *palæotherium latum*.

8. Vu en dessus.

9. Vu en dessous.

PLANCHE 97.

Fig. 1. 2. Tarse complet de *palæotherium medium*.

1. Vu par sa face externe.

2. Vu par sa face interne.

A. Calcaneum.*B.* Astragale.*D.* Scaphoïde.*E. F.* Deux cunéiformes.*C. Fig. 1,* cuboïde.*e.* Facette destinée à s'articuler avec le métatarsien que portait le cuboïde.*d.* Facette du cuboïde pour un métatarsien.*G. Fig. 2,* os surnuméraire.*Fig. 3.* L'astragale *B* et le calcanéum *A*, vus par leur face tarsienne.*g.* Facette scaphoïdienne } de l'astragale.*h.* Facette cuboïdienne }*e.* Facette cuboïdienne du calcanéum.*Fig. 4.* Tête articulaire supérieure du moyen métatarsien de *palæotherium medium*.*Fig. 5.* Moyen métatarsien de *palæotherium medium*.

Fig. 6. Calcanéum, séparé du tarse complet, fig. 1.

- a.* Facette astragaliennne supérieure.
- b.* Partie de cette facette qui se recourbe sur le dos de l'os.
- c.* Facette astragaliennne interne.
- d.* Facette astragaliennne inférieure.
- e.* Facette cuboïdienne.
- f.* Bord externe du calcanéum.

Fig. 7. Scaphoïde, détaché du tarse complet fig. 1, et vu par sa face métatarsienne.

- a. b.* Deux facettes pour les deux cunéiformes.
- c.* Facette pour l'os surnuméraire, G. fig. 2.

Fig. 8. Face métatarsienne du tarse fig. 1.

- C. Le cuboïde.
- d.* Facette pour un métatarsien.
- D. Le scaphoïde.
- E. F. Les deux cunéiformes.

PLANCHE 98.

Fig. 1. Jambe et pied de derrière gauche de *palæotherium crassum*. — De l'ancien Cabinet de l'Académie des Sciences.

- a. b.* Tibia dans toute sa longueur.
- c. d.* Péroné.
- e. f.* Portion considérable d'astragale.
- g.* Partie d'empreinte du même os.
- h. i.* Empreinte entière et quelques débris du calcanéum.
- t. u.* Diamètre vertical de cet os.
- k.* Fragment du cuboïde.
- l.* Scaphoïde entier.
- m. n.* Deux portions du grand cunéiforme.
- o.* Quelques parties de l'os surnuméraire.
- p.* Moyen métatarsien.
- q.* Métatarsien externe.
- r. s.* Quelques portions de phalanges et d'os sésamoïdes.

Fig. 2. Pied de derrière droit de *palæotherium crassum*, vu par son côté interne. — De l'ancien Cabinet de l'Académie des Sciences.

- a. b.* Partie inférieure du tibia.
- A. Calcanéum presque entier.
- c.* Petit fragment d'astragale.
- d.* Portion considérable de scaphoïde.
- e.* Le grand cunéiforme.
- f.* Cuboïde.
- g.* Fragment d'os surnuméraire.
- h.* Moitié complète du grand métatarsien.

- i. k. l.* Les phalanges, fendues comme le métatarsien, par le milieu.
m. Empreinte du métatarsien interne.
n. Quelques fragmens de cet os restés adhérens.
o. p. Débris de phalanges et d'os sésamoïdes.

Fig. 3. Scaphoïde extrait du morceau de la fig. 1. — Grandeur naturelle.

Fig. 4. Même morceau que la fig. 2, après qu'on a enlevé tout le plâtre qui avait reçu l'empreinte *m*, fig. 2, et une partie de l'os *h*, pour voir le troisième métatarsien.

- d.* Partie d'empreinte du scaphoïde.
e. Empreinte du grand cunéiforme.
f. Cuboïde mis à découvert.
h. Ce qui reste du grand métatarsien.
g. i. k. l. m. n. o. p. Désignent les mêmes choses que dans la fig. 2.
q. q. q. Métatarsien cuboïdal ou externe découvert en creusant la pierre.

Fig. 5. Scaphoïde de *palæotherium indeterminatum*, vu par sa face métacarpienne.

Fig. 6. Métatarsien interne de *palæotherium crassum*.

Fig. 7-10. Cuboïde de *palæotherium indeterminatum*.

7. Face latérale externe.
 8. Face postérieure ou calcanééo-astragaliennne.
 9. Face antérieure ou métatarsienne.
 10. Face interne ou cuboïdo-scaphoïdienne.

PLANCHE 99.

Fig. 1. 2. Tarse de *palæotherium minus*, rétabli dans son état de liaison naturelle.

1. Vu en dessus.
 2. Vu en dessous.

Fig. 3. Calcanéum.

- a.* Sa facette cuboïdienne.

Fig. 4. Astragale.

Fig. 5. Scaphoïde, vu par sa face cunéiformienne.

Fig. 6. Face métatarsienne du cuboïde et des deux cunéiformes.

Fig. 7. Pied de derrière de *palæotherium minus*, auquel l'astragale et le métatarsien moyen manquent.

- a.* Première phalange d'un doigt latéral.

Fig. 8. Autre pied de derrière de *palæotherium minus*, presque complet.

- a.* Première phalange du doigt du milieu.

PLANCHE 100.

Fig. 1. Pied droit de devant presque complet de *palæotherium medium*. — Du Cabinet de M. de Drée.

- a. b.* Portion du radius.

- c.* Portion du cubitus.
- d.* Empreinte de sa partie inférieure.
- e.* Cunéiforme.
- f.* Semi-lunaire.
- g.* Scaphoïde.
- h.* Unciforme.
- i.* Le grand os.
- k.* Trapézoïde.
- l.* Métacarpien de l'index.
- m.* Métacarpien du médius.
- n.* Métacarpien de l'annulaire.
- o.* Vestige du petit doigt.

Fig. 2. Partie d'un pied de devant de *palæotherium latum*. — Du Cabinet de M. de Drée.

- f.* Semi-lunaire.
- k.* Trapézoïde.
- i.* Grand os.
- h.* Unciforme par sa face inférieure.
- e.* Facettes pour l'articulation avec le grand os.
- r. x. t.* Facettes pour le métacarpien du médius, pour l'annulaire, et le vestige du petit doigt.
- g.* Fragment du scaphoïde.
- l.* Fragmens du métacarpien de l'index.
- m.* Fragmens du métacarpien du médius.
- n.* Empreinte du métacarpien de l'annulaire.

Fig. 3. Ces mêmes os réunis et remis dans leur position naturelle. Les mêmes lettres indiquent les mêmes choses.

- o.* Os surnuméraire.

Fig. 4. 5. 6. 7. Semi-lunaire de *palæotherium crassum*.

- 4. Vu par sa face latérale externe.
- 5. Par sa face latérale interne.
- 6. Par sa face supérieure.
- 7. Par sa face inférieure.
- a.* Facette articulaire radiale.
- d.* Tubérosité postérieure.
- c. f.* Facette pour les cunéiformes.
- b. i.* Facettes pour l'articulation du scaphoïde.
- e.* Facette pour l'unciforme.
- g. h.* Facettes pour le grand os.
- x.* *Fig. 3.* Angle formé par l'obliquité de ces facettes.

Fig. 8. et 9. Unciforme de *palæotherium medium* détaché de la figure 1.

- 8. Vu par sa face supérieure.
- 9. Par sa face latérale externe.
- a.* Facette pour l'articulation avec le semi-lunaire.
- b.* Facette pour l'articulation avec le cunéiforme.

c. Tubérosité postérieure.

Fig. 10. 11 et 12. Grand os de *palæotherium latum*, tronqué.

10. Vu par sa face supérieure.

11. Par sa face inférieure.

12. Par sa face latérale interne.

a. Facette pour le scaphoïde.

b. Facette pour le semi-lunaire.

c. Facette pour l'unciforme.

d. e. Facette pour le second métacarpien.

f. Facette pour le trapézoïde.

i. Face antérieure.

Fig. 13. 14. 15 et 16. Cunéiforme de *palæotherium medium*, détaché de la fig. 1.

13. Vu par sa face interne.

14. Par sa face externe.

15. Par sa face supérieure.

16. Par sa face inférieure.

a. Facette cubitale.

b. Facette unciformienne.

c. Facette pisiformienne.

d. Facette semi-lunairienne.

e. Face externe et rugueuse de l'os.

g. Facette semi-lunairienne inférieure.

PLANCHE 101.

Fig. 1 et 2. Deux morceaux fossiles contenant des fragmens très-incomplets des deux membres antérieurs de *palæotherium crassum*.

u. v. Portion inférieure d'humérus.

a. b. c. d. e. f. Double empreinte d'avant-bras du côté gauche avec plusieurs débris d'os.

a'. e'. f'. Empreinte très-incomplète d'avant-bras droit.

g. h. i. k. l. m. n. o. p. q. r. Empreinte très-incomplète de carpe et de métacarpe gauche.

h'. k'. l'. m'. n'. q'. r'. Débris mal conservés du carpe et du métacarpe droits.

h''. l''. m''. n''. Empreinte du même corps.

a'. e' Fig. 2, partie inférieure du cubitus.

k. Semi-lunaire droit, seul os entier de tout ce morceau.

Fig. 3. Métacarpien du doigt medius de *palæotherium medium*, vu par sa face antérieure.

Fig. 4. Tête articulaire supérieure de cet os.

Fig. 5. Face latérale externe
Fig. 6. Face latérale interne } de cette tête.

Fig. 7. Avant-bras de palæotherium minus.

Fig. 8. 9. 10 et 11. Représentent un os, que M. Cuvier avait décrit dans sa première édition comme étant un métacarpien du doigt surnuméraire externe de l'anoplotherium commune. Mais depuis qu'il eut rencontré des pieds d'anoplotherium complets, il douta de l'exactitude de cette détermination, et ne l'a point reproduite dans le texte de sa nouvelle édition in-4°. La détermination de cet os reste donc à établir : peut-être appartient-il au chéropotaïne. — Il est représenté :

- 8. Par sa face supérieure.
- 9. Par sa face inférieure.
- 10. Par sa face latérale interne.
- 11. Par sa face carpienne.

Fig. 12. 13. 14 et 15. Scaphoïde de palæotherium medium, extrait du morceau de la fig. 1, pl. 100.

- 12. Vu par sa face interne.
- 13. Par sa face supérieure.
- 14. Par sa face inférieure.
- 15. Par la face qui s'articule avec le semi-lunaire.
 - a. Facette radiale.
 - b. Facette pour l'articulation avec le grand os.
 - c. Facette pour le trapézoïde.
 - d. Partie de l'os où, dans le tapir, il y a une troisième facette semi-lunairienne.
 - e. Facette semi-lunairienne supérieure.
 - f. Facette semi-lunairienne inférieure.
 - g. Facette qui portait sans doute l'os surnuméraire.

PLANCHE 102.

Les figures I, II, III de cette planche représentent trois os du carpe de l'anoplotherium commune.

Fig. I est le semi-lunaire ; *fig. II* l'unciforme ; et *fig. III* le grand os. Chacun de ces trois os est représenté :

- N° 1. Par sa face supérieure.
- N° 2. Par sa face antérieure.
- N° 3. Par sa face inférieure.
- N° 4. Par sa face latérale externe.
- N° 5. Par sa face latérale interne.

Le semi-lunaire et l'unciforme, *fig. I et II*, sont en outre représentés :

- N° 6. Par leur face postérieure.

Fig. I. Le semi-lunaire droit.

- a. Facette articulaire supérieure, ou radiale.
- c. d. e. Carène longitudinale séparant la face inférieure en deux facettes.
- f. Facette pour le grand os.
- g. Facette pour l'unciforme.

- z.* Facette cunéiformienne inférieure.
- z'.* Retour de la même facette.
- k.* Facette cunéiformienne supérieure.
- l. m.* Facette scaphoïdienne inférieure.
- n. o.* Facette scaphoïdienne supérieure.

Fig. II. L'unciforme droit.

- a. b.* Deux facettes, séparées par une arête saillante *c, d, e*, et qui s'articulent *a* avec le semi-lunaire, et *b* avec le cunéiforme.
- f.* Tubérosité postérieure de l'os.
- g. h.* Ligne du contour d'en bas de la face antérieure.
- H.* Face inférieure parfaitement plane.
- i.* Facette qui porte le vestige du petit doigt.
- K.* Facette pour l'articulation avec l'os métacarpien du médus.
- m.* Facette pour l'articulation avec le grand os.
- n.* Autre petite facette articulaire pour le même os.

Fig. III. Le grand os du côté gauche.

- a. b. c.* Arête longitudinale.
- d.* Facette interne ou scaphoïdienne.
- e.* Facette externe ou semi-lunairienne.
- f. g.* Ligne du contour d'en bas de la face antérieure.
- H.* Face inférieure.
- m. n.* Facettes correspondantes à celles de la face latérale interne de l'unciforme.
- o.* Facette pour l'articulation avec le trapézoïde.
- p.* Autre facette pour le même os.
- x.* Tubérosité postérieure de l'os.

Fig. IV. Nos 1 et 2. Ces deux figures représentent un os de même nature que celui qui se trouve à la planche 101, fig. 8, 9, 10 et 11. (Voyez l'explication de ces figures.)

Fig. V. Unciforme d'un pied gauche de devant du palæotherium magnum.

- N° 1. Vu par sa face supérieure.
- N° 2. Vu par sa face antérieure.
- N° 3. Vu par sa face inférieure.
- a.* Facette pour l'articulation semi-lunairienne.
- b.* Facette pour la cunéiformienne.
- d.* Facette pour le grand os.
- r. s. t.* Facettes pour les os du métacarpe.

PLANCHE 103.

Fig. 1. Morceau contenant une partie du membre antérieur de l'anoplotherium commune.

- A.* Portion de la tête inférieure de l'humérus gauche.
- B. C.* Empreinte du cubitus.
- D. E.* Deux os du carpe. *D.* Est le semi-lunaire du côté gauche et bien entier.

F. G. Deux doigts presque complets.

Fig. 2. 3. 4 et 5. Métacarpien externe du pied droit.

2. Vu par sa face antérieure.

3. Par sa face supérieure.

4. Le côté interne de la tête.

5. Le côté externe de la tête.

i. f. Facette pour l'autre métacarpien.

d. Facette latérale externe, indiquant un vestige de petit doigt.

Fig. 6. 7 et 8. Métacarpien du médius de palæotherium crassum.

6. Vu par sa face antérieure.

7. Face articulaire supérieure.

8. Côté latéral externe de la tête.

a. Poulie postérieure.

b. Facette pour le grand os.

c. Facette pour l'unciforme.

d. e. Facettes pour le métacarpien de l'annulaire.

Fig. 9 et 10. Tête supérieure de métacarpien du médius de palæotherium magnum.

9. Vue par sa face externe.

10. Par sa face articulaire.

Fig. 11. 12. 13 et 14. Tête supérieure du métacarpien de l'annulaire droit de palæotherium crassum.

11. Face articulaire.

12. Face antérieure.

13. Face latérale externe.

14. Face latérale interne.

a. b. Facettes correspondantes à celles de la face externe du métacarpien.

c. Facette pour le vestige du petit doigt.

d. Facette pour l'unciforme.

PLANCHE 104.

Fig. 1. 2. 3. 4 et 5. Trapézoïde du carpe de palæotherium medium.

1. Face externe ou cubitale.

2. Face postérieure ou pollicaire.

3. Face interne ou qui touche au grand os.

4. Face inférieure ou métacarpienne.

5. Face supérieure ou scaphoïdienne.

Fig. 6. 7 et 8. Grand os du carpe de palæotherium medium, mutilé, extrait du morceau pl. 100, fig. 1.

6. Face externe.

7. Face interne.

8. Face postérieure.

Fig. 9. Morceau contenant une partie de l'extrémité antérieure de l'anoplotherium leporinum.

- a.* Unciforme gauche.
- c. c.* Fragmens et empreinte du métacarpien de l'annulaire.
- d. d.* Fragmens et empreinte du métacarpien du petit doigt.
- e.* Commencement de la première phalange de l'annulaire.
- f.* Première phalange entière du petit doigt.
- g. h.* Les deux autres phalanges du petit doigt.

Fig. 10. Portion d'avant-bras, mutilé, d'anoplotherium leporinum, avec l'empreinte incomplète des doigts.

Fig. 11. Jambe et pied de derrière d'anoplotherium leporinum.

- a.* Astragale.
- h.* Calcanéum.
- f. f.* Les autres os du tarse, fracturés.
- b. c.* Les deux grands métatarsiens.
- d. d'.* Métatarsien du doigt surnuméraire externe.
- b'.* Première phalange du grand doigt externe.
- c'.* Première phalange du grand doigt interne.
- c''.* Deuxième phalange du même doigt.
- b'' b'''.* Fragmens des deuxième et troisième phalanges du grand doigt externe.
- g. g'.* Empreintes des première et deuxième phalanges du doigt surnuméraire interne.
- k.* Point où sont probablement cachés les phalanges du doigt surnuméraire externe *d. d'.*

Fig. 12. 13. 14. 15 et 16. Unciforme gauche d'anoplotherium leporinum, séparé du morceau *fig. 9.*

- 12. Vu en dessus.
- 13. Vu par devant.
- 14. Vu en dessous.
- 15. Vu du côté interne.
- 16. Vu du côté externe.

- a.* Facette pour le métacarpien de l'annulaire.
- b.* Facette pour le métacarpien du petit doigt.

Fig. 17. 18. 19 et 20. Cunéiforme du même animal et du même morceau.

- 17. Vu en dessous.
- 18. Vu en dehors.
- 19. Vu en dedans.
- 20. Vu en dessus.
- a.* Facette radiale.

Fig. 21. Semi-lunaire du même animal et du même morceau, vu par sa face antérieure.

Fig. 22. Carpe restitué de l'anoplotherium leporinum.

- c.* Cunéiforme.

- f.* Semi-lunaire.
- g.* Scaphoïde.
- h.* Unciforme.
- i.* Grand os.
- k.* Trapézoïde.
- l.* Métacarpien de l'index.
- m.* Métacarpien du médius.
- n.* Métacarpien de l'annulaire.
- o.* Métacarpien du petit doigt.

Fig. 23. Figure du carpe et du commencement du métacarpe du *palæotherium medium*, lorsque tous les os sont dans leur position naturelle. Les lettres sont les mêmes que dans les fig. 1, 2, 3, pl. 100.

Fig. 24. Carpe d'*anoplotherium*, restitué comme M. Cuvier supposait qu'il devait l'être, lors de sa première édition. Mais la découverte de pieds complets lui a fait depuis supprimer dans son texte la citation de cette figure, à cause de l'os *l*, qui y est figuré, qu'il attribuait alors à l'*anoplotherium*, et qui ne lui appartient point, l'os analogue dans ce dernier animal étant plus petit. (Voyez l'explication des fig. 8-11, pl. 101.)

Fig. 25. 26. 27 et 28. Cunéiforme probablement d'*anoplotherium secundarium* (grandeur naturelle.)

- 25. Vu par sa face externe.
- 26. Par le côté interne.
- 27. Par sa facette unciformienne.
- 28. Par sa facette cubitale.

PLANCHE 105.

Fig. 1. 2 et 3. Première phalange du pied de derrière de l'*anoplotherium commune*.

- 1. Vue par sa face antérieure.
- 2. Face articulaire supérieure.
- 3. Face articulaire inférieure.

Fig. 4. 5 et 6. Seconde phalange du même.

- 4. Face antérieure.
- 5. Face articulaire supérieure.
- 6. Face articulaire inférieure.

Fig. 7 et 8. Troisième phalange du même.

- 7. *a.* Face antérieure ou supérieure.
- 7. *b.* Face inférieure ou postérieure.
- 8. Face articulaire.

Fig. 9. Phalanges unguéales de l'*anoplotherium secundarium*, de grandeur naturelle.

Fig. 10. Extrémité de métatarsien d'une espèce d'*anoplotherium*, un peu plus grande que le gracile, dont M. Cuvier ne fait pas mention dans sa seconde édition. L'os est vu par sa face interne.

- Fig. 11. Première phalange }
 Fig. 12. Seconde phalange } du même individu vues par leur face interne.
 Fig. 13. Troisième phalange }
- Fig. 14. Facette articulaire du métatarsien, fig. 10.
- Fig. 15. Facette articulaire supérieure }
 Fig. 16. ————— inférieure } de la première phalange, fig. 11.
- Fig. 17. Facette articulaire supérieure }
 Fig. 18. ————— inférieure } de la seconde phalange, fig. 12.
- Fig. 19. Facette articulaire de la troisième phalange, fig. 13.
- Fig. 20. Première phalange d'un doigt de derrière d'*anoplotherium leporinum*, vue par sa face antérieure.
- Fig. 21. La même, vue par sa face interne.
- Fig. 22. Seconde phalange du même, face antérieure.
- Fig. 23. ————— face interne.
- Fig. 24. Troisième phalange du même, face antérieure.
- Fig. 25. ————— face interne.
- Fig. 26. Première phalange d'un des doigts latéraux du pied de devant du *palæotherium crassum*, vue par sa face antérieure.
- Fig. 27. 28 et 29. Première phalange du doigt du milieu du pied de derrière du *palæotherium minus*.
 27. Face articulaire supérieure.
 28. Face antérieure.
 29. Face articulaire inférieure.
- Fig. 30. 31 et 32. Seconde phalange du doigt du milieu du pied de devant du *palæotherium crassum*.
 30. Face articulaire supérieure.
 31. Face antérieure.
 32. Face articulaire inférieure.
- Fig. 33. Phalange unguéale du doigt du milieu du *palæotherium magnum*.

N. B. La description et les mesures des os représentés dans cette planche, depuis la fig. 10 jusqu'à la figure 33, n'ont pas été reproduites par M. Cuvier, dans le texte de sa nouvelle édition; on les trouve dans la première édition, tome III, troisième mémoire, page 115-120.

PLANCHE 106.

- Fig. 1. 2. 3. 4 et 5. Fémur gauche de *palæotherium crassum*.
 1. Vu par sa face postérieure.
 2. La tête supérieure vue par sa face antérieure.
 3. Ce qui reste de la tête inférieure.

4. Face externe de la tête supérieure, vue obliquement.
 5. Face supérieure, prise l'œil étant dans l'axe de l'os.
- Fig. 7.* Fémur d'anoplotherium commune, vu par devant.
a. Tête du fémur.
b. Condyle interne.
c. d. Diamètre transversal de la tête.
d. Grand trochanter.
e. f. Diamètre transversal de l'extrémité inférieure.
f. Condyle externe.
g. Petit trochanter.
i. k. Diamètre transverse de la partie moyenne de l'os.
q. Poulie rotulienne.
- Fig. 8.* Tête inférieure de fémur d'anoplotherium commune.
o. Condyle interne.
p. Condyle externe.
p'. Dépression de ce condyle.
q. Demi-poulie rotulienne.
r. Canal profond qui sépare les deux éminences condyliennes.
- Fig. 9.* Fémur très-incomplet d'anoplotherium secundarium, montrant la face postérieure.
c. Tête du fémur.
g. Petit trochanter.
h. Côte saillante naissant du grand trochanter.
m. Creux formé derrière cette côte.
- Fig. 10.* Tête inférieure du fémur de la fig. 7. — Voyez, pour l'explication des lettres, celle de la fig. 8, ci-dessus.
- Fig. 11.* Portion de têtes inférieures de tibia et de péroné d'anoplotherium commune.
a. Apophyse interne.
c. Empreinte de l'apophyse antérieure.
g. Empreinte de la partie inférieure du péroné.
h. h. Fragment du péroné.

PLANCHE 107.

- Fig. 1.* 2 et 3. Tibia presque entier de palæotherium medium.
 2. La tête articulaire inférieure de cet os, incomplète.
 3. Ce qui reste de cette tête, vu de face.
- Fig. 4.* Partie supérieure d'un tibia de palæotherium medium, vue par devant.
a. b. Les deux fosses condyloïdiennes.
c. d. Les deux tubercules.
e. Tubérosité antérieure.
- Fig. 5 et 7.* Tête inférieure de tibia de palæotherium magnum,
 5. Vue par sa face articulaire.

7. Vue par sa face antérieure.
- a. Apophyse postérieure.
- b. Saillie arrondie qui divise la face articulaire en deux entonchemens.
- c. Entonchement interne.
- e. Entonchement externe.
- d. Bord interne.
- f. Facette pour le péroné.

Fig. 6. Tibia mutilé de palæotherium minus.

Fig. 8. Tibia très-mutilé de palæotherium magnum.

Fig. 9 et 10. Tête inférieure complète de tibia de palæotherium medium.

9. Vue par sa face postérieure.
10. Sa face articulaire astragaliennne.

Les lettres expriment les mêmes choses que dans les fig. 5 et 7.

Fig. 11. Tête supérieure assez entière de tibia de palæotherium medium.

- a. b. Les deux fosses condyliennes.
- c. d. Les deux tubercules.
- e. Tubérosité antérieure.
- g. Bord externe au-dessous duquel est l'articulation du péroné.

PLANCHE 108.

Fig. 1. Tibia et tarse d'anoplotherium gracile.

- a. Astragale.
- b. Calcanéum.
- c. Facette pour la tête du péroné.
- d. Cuboïde.
- e. Scaphoïde.
- f. Cunéiforme.
- g. Fragment du métatarsien externe.
- h. Facette de l'astragale pour l'articulation du péroné.
- i. Facette du tibia qui annonce l'existence d'un péroné.

Fig. 2. 3. 4. 5 et 6. Tête inférieure de tibia d'anoplotherium gracile.

2. Vue par devant.
3. — Par sa face astragaliennne.
4. — Par derrière.
5. — Par le côté interne.
6. — Par le côté externe.

Les mêmes lettres indiquent les mêmes parties dans ces cinq figures.

- a. Apophyse interne.
- c. Apophyse antérieure.
- d. Apophyse de derrière.
- b. Apophyse externe.
- e. Facette sur le bord externe pour l'articulation avec le péroné.

f. g. Les deux enfoncemens pour les saillies de l'astragale.

Fig. 7. Facette articulaire de tibia d'anoplotherium secundarium. Le corps de l'os avec des débris du péroné se voit pl. 109, fig. 1.

Fig. 8. Tibia mutilé d'anoplotherium commune, posé dans le gypse sur le côté interne.
a. Apophyse interne de la tête inférieure.

Fig. 9. Autre tibia mutilé, du même animal.

Fig. 10. Tête inférieure de l'os précédent, pour en faire voir la partie postérieure qui est seule entière.

d. Apophyse postérieure.

f. Enfoncement interne.

g. Enfoncement externe.

e. Facette pour le péroné.

Fig. 12. Tête articulaire inférieure du tibia de palæotherium minus représenté en entier, pl. 109, fig. 2.

Fig. 13. Tête articulaire supérieure de tibia d'anoplotherium commune.

Fig. 14. Tête inférieure complète, détachée comme épiphyse, d'un jeune fémur d'anoplotherium commune.

Fig. 15 et 16. Tête inférieure de péroné d'anoplotherium commune.

15. Vue par sa face interne.

16. Vue par sa face externe.

PLANCHE 109.

Fig. 1. Portion mutilée de tibia d'anoplotherium secundarium, avec un fragment du péroné.

Fig. 2. Tibia d'un jeune palæotherium minus.

a. Épiphyse inférieure du péroné.

Fig. 3. Péroné très-mutilé d'anoplotherium commune.

Fig. 4. Face externe

Fig. 5. Face interne

} de la tête inférieure du même os.

Fig. 7. Tibia très-bien conservé de palæotherium magnum. — Du cabinet de M. de Drée.

Fig. 6. Sa tête articulaire supérieure.

Fig. 8. Sa tête articulaire inférieure.

Fig. 9. Morceau contenant un fémur, un tibia, un péroné, un astragale et deux phalanges unguéales d'anoplotherium secundarium.

Fig. 10. Tête inférieure de fémur de palæotherium minus.

PLANCHE 110.

Fig. 1. Morceau contenant plusieurs os des membres, une portion de radius, un fémur, un péroné, une empreinte de calcaneum, un scaphoïde d'anoplotherium commune.

Fig. 2. Tibia bien entier de palæotherium minus.

Fig. 3. Sa face articulaire supérieure.

Fig. 4. Sa face articulaire inférieure.

Fig. 5. Tête inférieure de tibia d'anoplotherium commune.

Fig. 6. La même, vue par sa face articulaire.

PLANCHE 111.

Fig. 1. Empreinte d'humérus d'anoplotherium commune.

Fig. 2. 3 et 4. Tête inférieure d'humérus d'anoplotherium commune.

2. Vue par devant.

3. Vue par derrière.

4. Vue en dessous.

Fig. 5 et 6. Extrémité inférieure d'humérus de palæotherium crassum. (Grandeur naturelle.)

5. Vue par devant.

6. — Par derrière.

Fig. 7. Humérus brisé longitudinalement, de palæotherium latum. — Du cabinet de M. de Drée.

a. Tête supérieure.

b. Tête inférieure.

Fig. 8. Tête inférieure de radius d'anoplotherium commune. (Grandeur naturelle.)

a. Bord antérieur.

b. Bord postérieur.

c. Bord externe.

d. Bord interne.

a. c. d. Facette scaphoïdienne.

a. c. b. c. Facette semi-lunairienne.

Fig. 9. 10 et 11. Tête inférieure de radius d'anoplotherium gracile. (Grandeur naturelle.)

9. Vue par devant.

10. Vue par derrière.

11. Vue par sa face carpienne.

a. Facette pour l'extrémité inférieure du cubitus.

b. Facette pour le semi-lunaire.

c. Facette pour le scaphoïde.

d. Portion recourbée de la face articulaire qui correspond au scaphoïde du carpe.

e. Apophyse pointue.

Fig. 12. Portion de tête inférieure de radius d'anoplotherium commune, vue par sa face carpienne.

Fig. 13. 14. 15 et 16. Humérus presque complet d'anoplotherium leporinum.

13. Vu par sa face antérieure.

14. Vu par sa face latérale externe.

15. La portion inférieure, vue par sa face postérieure.

16. Face articulaire inférieure.

PLANCHE 112.

Fig. 1. Extrémités supérieures de cubitus et de radius réunies, d'anoplotherium gracile.

Fig. 2. Le même cubitus seul, vu par devant.

Fig. 3. Tête supérieure du radius de la fig. 1, isolée, et vue par sa face antérieure.

Fig. 4. La même, vue par sa face postérieure ou cubitale.

Fig. 5. Le même cubitus isolé, vu par sa face latérale externe.

Fig. 6. Fragment de cubitus d'anoplotherium commune, comprenant l'olécrâne, et une partie de la facette sigmoïde du côté externe.

Fig. 7. Radius d'anoplotherium commune, mutilé par le bas.

Fig. 8. 9. 10. 11 et 12. Tête supérieure du radius d'anoplotherium leporinum, de la figure 9, pl. 104.

8. Vue par devant.

9. Vue par son côté externe.

10. Vue par sa face postérieure.

11. Vue par son côté interne.

12. Vue par sa face articulaire humérale.

Fig. 13. Cubitus de palæotherium medium, vu par sa face latérale interne.

Fig. 14. Tête supérieure de radius d'anoplotherium commune, vue par sa face articulaire. (Grandeur naturelle.)

Fig. 15. Tête articulaire supérieure de radius de palæotherium crassum. (Grandeur naturelle.)

Fig. 16. Extrémité supérieure du même os, vue par sa face externe. (Demi-grandeur naturelle.)

Fig. 17. Cubitus de palæotherium medium, de la fig. 13, vu par devant, de manière à montrer l'articulation supérieure.

Fig. 19. Face articulaire inférieure du même os.

Fig. 18. Tête supérieure du radius, fig. 16, vue par derrière, et de grandeur naturelle.

Fig. 20 et 21. Tête inférieure de cubitus d'anoplotherium commune.

20. Face radiale.

21. Face carpienne.

PLANCHE 113.

Fig. 1. Omoplate d'un palæotherium moyen. Probablement le palæotherium crassum.

Fig. 2. Facette articulaire humérale de cet os.

Fig. 3. Autre omoplate de palæotherium moyen. Probablement le palæotherium medium.

Fig. 4 et 5. Fragment d'omoplate, comprenant la facette articulaire, et qui paraît se rapporter à la même espèce que la précédente.

4. Vu de face.

5. Vu de profil.

Fig. 6. Fragment d'omoplate d'anoplotherium gracile.

Fig. 7. 8 et 9. Tête d'omoplate d'anoplotherium commune.

7. Vue par sa face externe.

8. Vue par son bord inférieur ou postérieur.

9. Vue par sa face articulaire.

Fig. 10. Facette articulaire de l'omoplate de l'anoplotherium gracile, représentée *fig. 6.*

Fig. 11. Empreinte d'une omoplate d'anoplotherium commune. — Du cabinet de M. de Drée.

Fig. 12. Omoplate d'anoplotherium leporinum. — D'après un dessin de Camper. (Demi-grandeur.)

Fig. 13. Omoplate d'anoplotherium gracile. (Demi-grandeur). — Du cabinet de M. de Drée.

Fig. 14 et 15. Fragment de bassin, os des îles mutilé par le haut; probablement de l'anoplotherium gracile.

14. Vu par sa face latérale externe.

15. Même os présentant sa cavité cœtyloïdienne.

Fig. 16. Ischion, probablement de la même espèce, vu par son bord supérieur; voyez-en la face antérieure, pl. 114, *fig. 7.*

PLANCHE 114.

Fig. 1 et 2. Portion considérable de bassin d'anoplotherium commune. (Demi-grandeur.)

1. Vue par sa face latérale interne.

2. Vue par devant.

Fig. 3. Autre fragment de bassin d'anoplotherium commune, aussi vu par devant.

Fig. 4 et 5. Fragment de bassin de palæotherium crassum ou medium.

4. Vu par sa face externe.

5. Vu par devant.

Fig. 6. Fragment de bassin du côté opposé au morceau précédent.

Fig. 7. Ischion qui paraît appartenir à l'anoplotherium gracile. C'est l'os de la fig. 16, pl. 113, vu par devant.

PLANCHE 115.

Fig. 1. Squelette presque entier de palæotherium minus, trouvé à Pantin, et donné au Muséum par la ville de Paris.

Dans l'espace A. B. se trouvent épars des os d'un autre individu beaucoup plus jeune.

La plus grande partie de la tête est tronquée en C.

L'avant-bras fracturé en D, la jambe en E.

La tête supérieure du fémur est fortement endommagée en F, et la queue avec presque tout le bassin sont emportés suivant la ligne F. A. G.

a. Dent molaire supérieure entière.

b. Moitié de molaire inférieure.

c. d. e. Branche montante de la mâchoire inférieure.

c. Apophyse coronoïde.

d. Condyle.

f. g. h. i. k. l. Portions de six vertèbres cervicales. L'atlas est la seule qui manque.

m. n. o. Omoplate.

p. q. r. Humérus.

s. u. Le cubitus.

t. Le radius.

De 2 à 11. Dix côtes presque entières.

De 12 à 16. Portions de cinq autres côtes.

De XIII à XVI. Dernières vertèbres dorsales.

De I à VII. Vertèbres lombaires.

β. γ. Apophyses transverses des II^e et III^e lombaires.

v. w. f'. Fémur.

x. Rotule.

γ. Restes du tibia.

z. Partie supérieure du péroné.

PLANCHE 116

Fig. 1. Squelette d'anoplotherium commune, trouvé à Montmartre.

A. B. C. D. E. F. G. Les sept morceaux de gypse dans lesquels il était incrusté.

a. f. Femur fracturé dans son milieu.

b. c. Mâchoires supérieure et inférieure.

d. Osselet surnuméraire, articulé à la petite facette du scaphoïde et à celle du métatarsien interne.

g. Petit fragment d'une côte.

h. i. Dix vertèbres caudales.

Fig. 2. Morceau contenant quatre vertèbres caudales, probablement de l'anoplotherium commune.

Fig. 3. Autre morceau contenant les cinq vertèbres qui terminent la queue, probablement du même anoplotherium.

Fig. 4. Première, deuxième et troisième phalanges d'anoplotherium commune.

Fig. 5. Deuxième et troisième phalanges de la même espèce.

Fig. 6. Deuxième phalange de la même espèce.

PLANCHE 117.

Fig. 1. Squelette d'anoplotherium commune, trouvé à Antony, en mars 1807.

a. b. c. Tête.

d. c. Arcade zygomatique.

2. Position de l'orbite.

3. Suture inter-maxillaire.

f. g. h. i. Fragmens des côtes.

k. l. Vertèbres dorsales.

m. n. Vertèbres lombaires.

o. p. Vertèbres sacrées.

q. Fragment de l'os iliaque gauche.

s. s'. Fragmens du fémur gauche.

t. t'. Fragmens du tibia gauche.

u. u'. Fragmens du péroné gauche.

v. Rotule gauche entière.

w. w'. Avant-bras gauche.

x. x'. Main du même côté, entière.

y. Fragmens de l'omoplate droite.

z. Fragmens de l'humérus droit.

& &' Quelques vertèbres de la queue, éparses.

PLANCHE 118.

Fig. 1. 2 et 3. Atlas d'anoplotherium commune.

1. Vu par sa face supérieure.

2. Vu par la postérieure.

3. Vu par l'antérieure.

Fig. 4 et 5. Fragment d'axis d'anoplotherium commune.

4. Sa face supérieure.

5. Sa face inférieure.

a. Épine de l'axis pénétrant dans l'atlas.

- b. b.* Facettes articulaires pour l'atlas.
c. c. Naissance des arêtes latérales *d. e.*

Fig. 6 et 7. Portion inférieure antérieure d'axis de palæotherium de moyenne taille.

6. Vue par sa face supérieure.

7. Vue par sa face inférieure.

Fig. 8. Vertèbre cervicale d'anoplotherium commune; probablement la quatrième.

a. Face antérieure de son corps.

b. b. Apophyses articulaires antérieures.

c. c. Apophyses articulaires postérieures.

Fig. 9. Vertèbre cervicale d'anoplotherium commune; probablement la cinquième ou la sixième. Vue par sa face postérieure.

Fig. 10 et 11. Vertèbre dorsale d'anoplotherium commune. Vue par sa face postérieure ou concave, *fig. 10*, et de profil, *fig. 11*.

a. Facette costale antérieure.

b. Facette costale postérieure.

Fig. 13. Vertèbre lombaire d'anoplotherium; probablement d'anoplotherium secundarium.

a. a. Apophyses articulaires antérieures.

b. b. Espèce de crête placée sur ces apophyses, en dehors.

c. Apophyse épineuse inférieure.

Fig. 14. Vertèbre lombaire d'anoplotherium commune. Tirée du squelette d'Antony.

a. a. Apophyses articulaires antérieures, en forme de crochets.

b. Espèce de crête placée sur ces apophyses, en dehors.

Fig. 15. 16. 17 et 18. Vertèbre lombaire; probablement d'anoplotherium gracile.

15. Face supérieure.

16. Face latérale.

17. Face antérieure.

18. Face postérieure.

Fig. 19. Première vertèbre sacrée d'anoplotherium commune.

Fig. 20. Fragment d'une vertèbre cervicale d'un palæotherium de moyenne taille.

PLANCHE 119.

Fig. 1. Une des premières vertèbres caudales d'anoplotherium commune.

Fig. 2. Les deux vertèbres de la base de la queue de l'anoplotherium commune.

Tirées du squelette de Montmartre, pl. 116.

- | | | |
|---|---|-----------------------------------|
| <i>a.</i> Bord antérieur | } | du corps de la première vertèbre. |
| <i>b.</i> Bord postérieur | | |
| <i>c.</i> Apophyse articulaire antérieure. | | |
| <i>d.</i> Apophyse articulaire postérieure. | | |
| <i>e. f.</i> Apophyse épineuse. | | |
| <i>g. h.</i> Apophyse transverse. | | |

Fig. 3. Vertèbres du milieu de la queue de l'anoplotherium commune. Prises du même squelette de Montmartre.

a. a. Osselets en chevron, très-considérables, auxquels viennent s'implanter les muscles de la queue.

Fig. 4. Vertèbre de l'extrémité de la queue, tirée du même squelette.

Fig. 5. Axis de palæotherium; probablement le palæotherium crassum.

a. Épine de l'axis pénétrant dans l'atlas.

b. Apophyse articulaire postérieure.

c. Une des facettes articulaires supérieures.

d. Apophyse transverse.

Fig. 6 et 7. L'une des premières vertèbres dorsales d'un palæotherium de moyenne taille.

6. Vue de côté.

7. Vue par sa face antérieure.

a. b. Longueur du corps de cette vertèbre.

a. c. Hauteur verticale.

d. e. Diamètre transverse.

f. g. Plus grande largeur entre les deux extrémités des deux apophyses transverses.

h. i. Hauteur de l'apophyse épineuse.

Fig. 8. Vertèbre lombaire, probablement de palæotherium minus.

Fig. 9. Portion de queue composée de cinq vertèbres, appartenant probablement à l'un des palæotheriums de moyenne taille.

Fig. 10. Vertèbre cassée verticalement en travers, et qui paraît être une vertèbre cervicale d'anoplothierium commune.

Fig. 11. Autre vertèbre cassée verticalement en travers, et qui paraît être une lombaire de palæotherium medium.

PLANCHE 120.

Fig. 1. Demi-mâchoire inférieure de palæotherium crassum.

a. b. Longueur totale de cette mâchoire.

c. d. Longueur de l'espace occupé par les molaires.

e. c. Distance de la première molaire à la canine.

d. b. Distance de la dernière molaire au bord postérieur.

d. f. Hauteur de la mâchoire vis-à-vis de la dernière molaire.

Fig. 2. Les six molaires de ce morceau, vues par leur couronne.

Fig. 3. Grande portion de mâchoire inférieure de palæotherium magnum, présentant par leur face interne les six premières molaires, ainsi qu'une portion de canine et d'incisive.

a. b. Longueur de l'espace occupé par les molaires.

a. c. Bord libre, et distance de la première molaire à la canine.

d. e. Hauteur de la mâchoire vis-à-vis de la seconde molaire.

Fig. 4. Calcanéum de palæotherium indeterminatum, vu par sa face supérieure.

Fig. 5. Le même, vu par sa face antérieure.

Fig. 6. 7. 8. 9 et 10. Astragale de palæotherium indeterminatum.

- 6. Vu en dessus.
- 7. Vu en avant.
- 8. Vu par le côté péronien.
- 9. Vu par le côté tibial.
- 10. Vu en dessous.

Fig. 11 et 12. Le scaphoïde du même animal.

- 11. Vu par sa face astragaliennne.
- 12. Vu par sa face cunéiformienne.

PLANCHE 121.

Fig. 1. Mâchoire inférieure presque entière de palæotherium medium.

- a. b.* Longueur totale de cette mâchoire.
- c. d.* Longueur de l'espace occupé par les molaires.
- d. e.* Distance de la première molaire à la canine.
- a. c.* Distance de la dernière molaire au bord postérieur.
- c. f.* Hauteur de la mâchoire vis-à-vis de la dernière molaire.
- d. g.* Hauteur de la mâchoire vis-à-vis de la première molaire.

Fig. 2. Mâchoire inférieure de palæotherium minus, vue de profil.

- d. b.* Longueur de l'espace occupé par les molaires.
- d. e.* Distance de la première molaire à l'empreinte de la canine.
- b. c.* Distance de la dernière molaire au bord postérieur.
- b'. c'.* Largeur de la branche au-dessous du condyle.
- b. f.* Hauteur de la mâchoire vis-à-vis de la dernière molaire.
- g. h.* Hauteur de la mâchoire depuis le bord inférieur jusqu'au condyle.
- g. i.* Hauteur de la mâchoire depuis le bord inférieur jusqu'à l'apophyse coronôide.
- h. l.* Largeur transversale du condyle.

Fig. 3. Le même morceau, vu en dessus.

Fig. 4. 5. 6. 7 et 8. Astragale bien entier de palæotherium medium.

- 4. Vu par sa face tibiale externe.
- 5. Vu par sa face supérieure.
- 6. Vu par le côté péronien.
- 7. Vu en avant.
- 8. Vu en dessous.

Fig. 9. 10. 11 et 12. Cuboïde d'anoplotherium gracile, décrit dans la première édition sous le nom d'anoplotherium medium.

- 9. Face supérieure.
- 10. Face inférieure
- b.* Facette pour le métatarsien du grand doigt externe.
- c.* Apophyse saillante.
- 11. Côté interne.

12. Côté externe.

a. Partie échancrée pour le calcanéum.

Fig. 13. 14. 15. 16. 17 et 18. Scaphoïde d'anoplotherium gracile, décrit dans la première édition sous le nom d'anoplotherium medium.

13. Face inférieure.

a. Facette pour le cunéiforme.

b. Facette pour le vestige du troisième doigt.

14. Côté interne ou qui s'articule au cuboïde.

15. Face antérieure.

16. Côté externe ou du bord interne du pied.

17. Face postérieure.

18. Face supérieure.

PLANCHE 122.

Fig. 1. Morceau offrant une portion considérable de deux mâchoires de palæotherium magnum. On y voit une incisive, la canine inférieure cassée, mais ayant laissé son empreinte; la supérieure cassée et sa pointe déplacée; les six premières molaires inférieures entières, et cinq de celles d'en haut cassées verticalement.

a. b. Longueur de l'espace occupé par les molaires inférieures.

b. c. Distance de la première molaire inférieure à la canine.

b. d. Hauteur de la mâchoire inférieure vis-à-vis de la première molaire.

e. f. Longueur de l'espace occupé par les molaires supérieures.

Fig. 2. Métacarpien ou métatarsien du doigt du milieu de palæotherium magnum.

Fig. 3. Scaphoïde de palæotherium magnum, vu par sa face cunéiformienne.

PLANCHE 123.

Fig. 1. Tête presque complète de palæotherium curtum.

a. b. Longueur totale de la mâchoire inférieure.

c. e. Espace occupé par les molaires inférieures.

c. d. Distance de la première molaire inférieure à la canine.

f. Canine supérieure.

g. h. Profondeur de l'échancrure nasale.

h. i. Distance de l'échancrure nasale à l'orbite.

l. Bord supérieur de l'arcade zygomatique.

m. Apophyse post-orbitaire du frontal.

o. p. Hauteur de la tête, depuis le bord inférieur de la mâchoire jusqu'au haut du frontal.

q. Trou sous-orbitaire.

Fig. 2. Fragment de mâchoire inférieure de palæotherium medium, offrant les six molaires intactes, et tronqué vers son tiers antérieur.

a. b. Espace occupé par les six molaires.

d. e. Distance de l'apophyse coronôide au condyle.

Fig. 3. Pied de devant d'anoplotherium commune, tiré du squelette trouvé à Antony, et représenté en entier, pl. 117. — Il est vu par sa face postérieure, et aux deux tiers de la grandeur naturelle.

A. Extrémité inférieure du radius.

B. Le grand os.

C. L'unciforme.

D. Vestige du petit doigt.

E. Débris du cunéiforme.

F. Débris du semi-lunaire.

G. Débris du scaphoïde.

H. Vestiges de l'index.

I. K. Premier et second métacarpien.

L. M. Premières phalanges.

N. Débris d'une seconde phalange.

O. O. O. O. Os sésamoïdes.

Fig. 4. Cubitus d'anoplotherium gracile mutilé par le bas, et vu par sa face antérieure.

Fig. 5. Mâchoire inférieure d'anoplotherium obliquum, contenant la première arrière-molaire et la dernière molaire de lait.

Fig. 6. Métatarsien du doigt du milieu du palæotherium curtum, vu par sa face antérieure.

Fig. 7. Tête articulaire supérieure du même os.

PLANCHE 124.

Fig. 1. Série des dents supérieures de palæotherium magnum. Ce morceau présente sept molaires de *a* en *b* et une canine *d* brisée dans son milieu.

e. f. Largeur transversale de la seconde molaire.

Fig. 2. Coupe horizontale d'un crâne de palæotherium medium, trouvé aux environs de Meaux. — Donné par M. Héricart-Ferrand.

a. Point où répondait la septième molaire.

b. ————— la première molaire.

c. Partie concave où devait répondre la canine inférieure quand les mâchoires étaient fermées.

d. Point où répondait le bord antérieur de l'orbite.

e. Face condyloïdienne.

f. f. Les deux rochers.

g. Fenêtre ronde.

h. ——— ovale. } du rocher droit.

l. Partie de la caisse du côté droit.

i. Partie du vestibule

k. Canal semi-circulaire } du rocher gauche.

l. Partie de la caisse du côté gauche.

- m.* Moitié supérieure de l'ouverture extérieure de l'oreille du côté droit.
n. La moëlle allongée, représentée par la forme que le gypse a prise dans la cavité qui la contenait.
o. Restes de l'occiput.
p. Partie sur laquelle étaient les apophyses ptérygoïdes qui sont enlevées.
q. Traces des canaux qui logeaient les nerfs trijumeaux.
d. D. }
d'. D'. } espace qu'occupaient les bases des orbites.

Fig. 3. Calcanéum bien conservé de *palæotherium medium* : vu par sa face supérieure.

PLANCHE 125.

- Fig. 1.* Profil presque entier de la tête de l'*anoplotherium commune*.
Fig. 2. Portion de mâchoire inférieure de *palæotherium minus*, offrant les cinq dernières molaires fort usées. — Du cabinet de Lamétherie.
Fig. 3. Le morceau précédent, vu en-dessous, pour montrer l'écartement des deux branches de la mâchoire.
Fig. 4. Morceau offrant les cinq premières machelières de *palæotherium latum*.
a. b. Longueur de l'espace occupé par les molaires.
c. d. Largeur transversale de la cinquième molaire.
e. f. ————— seconde molaire.
Fig. 5. Fragment de mâchoire inférieure d'*anoplotherium secundarium*, ne contenant que trois molaires.

PLANCHE 126.

- Fig. 1.* Profil presque complet d'un crâne d'*anoplotherium commune*, appartenant au squelette trouvé à Antony et représenté en entier pl. 117.
Fig. 2. Calcanéum incomplet de *palæotherium crassum*.
Fig. 3. 4. 5 et 6. Scaphoïde du carpe d'*anoplotherium commune*.
 3. Sa face externe.
 4. Sa face supérieure.
 5. Sa face interne.
 6. Sa face inférieure.
a. b. Facette semi-lunairienne.
c. d. Facettes pour le trapézoïde.
e. f. Facettes pour la partie interne de la face supérieure du grand os.
Fig. 7. Morceau contenant un tibia et un fémur, presque réduit à son empreinte, d'*anoplotherium leporinum*.

PLANCHE 127.

- Fig. 1.* Morceau qui offre la coupe horizontale de la presque totalité de la tête de l'*anoplotherium commune*; son bord antérieur est tronqué jusqu'à la canine *a*.

- a.* Canine droite supérieure.
- b. c.* Racines des deux premières molaires.
- d. e. f.* Empreintes des trois molaires suivantes.
- g. h.* Les deux dernières molaires vues par leur couronne.
- e'.* Quatrième molaire restée seule du côté opposé.
- i.* Légères traces de l'arcade zygomatique droite.
- k. k.* Bases temporales très-bien conservées des arcades zygomatiques.
- l.* Apophyse mastoïde.
- m. m.* Condyles occipitaux, dont un seul est entier.
- n.* Portion de l'occipital restée entre ces deux condyles.
- o.* Diamètre du trou occipital rempli par le gypse. Tout l'espace en avant d'*o* et entre *k* et *k* est la base intérieure du crâne sur laquelle reposait le cerveau.
- p. p.* Restes des fosses qu'occupaient les lobes postérieurs.
- q. q.* Surface sur laquelle était couchée la moëlle allongée.
- r.* Plancher du méat auditif osseux.
- s.* Partie du cadre du tympan.
- t.* Cavité de la caisse ouverte en-dessus.
- u. u.* Trous analogues des trous ovales des ruminans.
- v. v.* Sillons conduisant à la fente sphéno-orbitaire.
- x. y.* Les deux branches d'un trou qui paraît tenir lieu du trou nommé épineux dans l'homme.
- x'.* Point de sortie du crâne du trou *x*.

Fig. 2. Dents de la mâchoire supérieure de l'anoplotherium commune, vues par leur couronne.

Fig. 3. Les deux dents antérieures de la figure précédente, c'est-à-dire la canine et l'incisive latérale, vues sous une autre face.

Fig. 4. Mâchoire inférieure d'un jeune anoplotherium commune.

- a. b. c.* Trois molaires de lait encore en place.
- d.* Première arrière-molaire seule en place, mais non encore usée.
- e.* Seconde arrière-molaire en germe, et non encore sortie de l'alvéole.
- l.* Incisive.
- m.* Bord postérieur de la mâchoire.
- n.* Bord inférieur.
- o.* Condyle.
- p.* Apophyse coronoïde.

Fig. 5. Fragment contenant les trois dernières molaires supérieures de palæotherium medium (1) entières, et un fragment de celle qui les précède.

(1) La description de ce morceau n'ayant pas été reproduite dans la dernière édition, nous prenons dans la première édition, sixième mémoire, p. 14, les mesures suivantes de ces dents :

Longueur occupée par les trois dernières, <i>a—b.</i>	0,063.
Longueur de la dernière. <i>b—c.</i>	0,025.
Largeur en avant, <i>c—d.</i>	0,023.
Largeur en arrière. <i>d—e.</i>	0,015.

PLANCHE 128.

Fig. 1. Fragmens des mâchoires supérieure et inférieure de l'anoplotherium commune, montrant la série entière des dents.

- c.* Première incisive supérieure gauche.
- d.* Première incisive inférieure droite.
- e. f. g. h.* Racines des quatre dents inférieures suivantes du côté droit.
- e'. f'. g'.* Dents du côté opposé correspondant à celles des mêmes lettres dans le côté droit.
- d'.* Première incisive inférieure gauche.
- i.* Incisive supérieure moyenne.
- k.* Incisive supérieure externe.
- l.* Canine supérieure.
- m.* Première molaire supérieure.

Fig. 2. Partie d'un pied de derrière d'anoplotherium commune (grandeur naturelle), vu par sa face latérale interne.

Fig. 3. Le tarse et la partie supérieure du métatarsien du même, vu lorsqu'on a enlevé l'os surnuméraire *h*, fig. 2.

- a. a.* Scaphoïde du tarse.
- b. b.* Grand cunéiforme.
- c.* Métatarsien du doigt interne.
- d.* Première phalange du même doigt.
- e.* Première phalange du doigt externe.
- f.* Un des os sésamoïdes hors de place.
- g.* ————— en place.
- h.* Fig. 2, os surnuméraire qui représente à lui seul tout le troisième doigt.
- i.* Facette du scaphoïde,
- k.* Facette du métacarpien, } contre lesquelles s'articule l'os surnuméraire *h*.
- n.* Crochet postérieur du scaphoïde.

Fig. 4. Os surnuméraire séparé du morceau de la fig. 2, et vu par sa face articulaire. La facette *l* répond à la facette *i*, fig. 3, et la facette *m* à la facette *k*, même figure.

Fig. 5. 6. 7 et 8. Trapézoïde du carpe d'anoplotherium commune, auquel est soudé un petit os (*a*), qui est le vestige du pouce.

- 5. Vu par sa face externe.
- 6. Vu par sa face interne, ou qui touche au grand os.
- 7. Vu par sa face inférieure ou métacarpienne.
- 8. Vu par sa face supérieure ou scaphoïdienne.

Fig. 9. 10. 11 et 12. Cunéiforme du carpe d'anoplotherium commune représenté pl. 132, fig. 6. — (Grandeur naturelle.)

- 9. Vu en dessous ou par sa face unciformienne.
- 10. Vu en arrière.
- 11. Vu par sa face externe libre.

12. Vu en dessus ou par sa face cubitale.

a. Face cubitale presque rhomboïdale.

b. Facette postérieure oblique pour le pisiforme.

c. et c'. Facettes semi-lunaires.

d. Facette pour l'unciforme.

Fig. 13. Fragment de mâchoire inférieure d'*anoplotherium secundarium*.

Fig. 14. Fragment de mâchoire supérieure de *palæotherium medium*, sur les dents de laquelle on peut suivre l'effet de la trituration.

PLANCHE 129.

Fig. 1. Portion considérable de mâchoire inférieure de *palæotherium magnum*, vue par sa face externe, avec la branche montante complète. — Trouvée à Montmartre.

Fig. 2. A et B. Dessous du crâne, palais et molaires supérieures de *palæotherium crassum*. Les dents sont remarquables par les traces légères et régulières qu'a laissées la trituration.

e. Face inférieure de la naissance antérieure de l'arcade zygomatique.

f. f. Surface sur laquelle reposait l'apophyse ptérygoïde, qui en a été entièrement arrachée.

g. Petite aile du sphénoïde un peu brisée, allant se joindre à la partie h du temporal qui reçoit le condyle de la mâchoire inférieure.

i. Corps du sphénoïde laissant entre lui et la petite aile g une échancrure qu'occupait en partie le rocher.

k. Apophyse basilaire de l'occipital.

l. Fragment de l'apophyse mastoïde.

Fig. 3. 4. 5 et 6. Cuboïde de *palæotherium magnum*.

3. Face interne ou scaphoïdo-cunéiformienne.

4. Face externe ou libre.

5. Face supérieure ou calcanééo-astragaliennne.

6. Face inférieure ou métatarsienne.

Fig. 7. Cunéiforme de *palæotherium magnum*, vu par sa face antérieure ou libre.

Fig. 8. Le même, vu par sa face métatarsienne.

Fig. 9. Pied fossile de devant d'un carnassier voisin des genettes, et qui paraît appartenir au même animal que la tête et le cubitus représentés pl. 150, fig. 2 et 3, et pl. 151, fig. 6 et 7.

a. Métacarpien entier du petit doigt.

b. Métacarpien de l'annulaire un peu mutilé vers le haut.

c. Fragment du métacarpien du médius.

d. Unciforme entier, vu par ses faces inférieure et interne.

e. f. Empreinte de deux autres os du carpe peu reconnaissables.

Fig. 10. 11 et 12. L'unciforme du morceau précédent.

10. Vu par devant.

11. Vu par dessous.

12. Vu par dessus.

PLANCHE 130.

Fig. 1. Humérus mutilé de palæotherium magnum.

Fig. 2. Fémur mutilé de palæotherium magnum.

Fig. 3. Cubitus du même animal mutilé, surtout à son extrémité carpienne.

Fig. 4. A. Omoplate de palæotherium magnum.

Fig. 4. B. Radius du même, uni avec son pied de devant.

Fig. 4. C. Débris du carpe de ce pied.

a. Tête inférieure du radius épiphysée.

b. c. d. Débris de trois os du carpe.

Fig. 4. D. Métacarpiens et phalanges du même pied.

f. Métacarpien du doigt interne, au bout duquel se trouvent et les véritables phalanges de ce doigt, et celles du doigt externe.

g. Doigt du milieu.

Fig. 4. E. Pisiforme détaché.

Fig. 5. A. Humérus de palæotherium medium ayant sa tête inférieure seule entière.

Fig. 5. B. Tête inférieure du même, vue par sa face antérieure.

Fig. 6. Pied de devant de palæotherium crassum.

A. Métacarpien du médius,

B. Métacarpien de l'annulaire,

C. Débris de celui de l'index,

D. E. F. Phalanges du médius.

G. H. I. Phalanges de l'annulaire.

K. Débris des phalanges de l'index.

L. Le semi-lunaire du carpe.

M. Le cunéiforme.

N. Le pisiforme déplacé.

O. L'unciforme.

P. Vestige de petit doigt.

} vus par leur face postérieure.

PLANCHE 131.

Fig. 1. Tête presque entière de palæotherium magnum.

Fig. 2. Fémur de palæotherium magnum trouvé avec la tête précédente. On voit en haut un fragment de la cavité cotyloïde, et en bas quelques débris du tibia et de la rotule.

PLANCHE 132.

Fig. 1. A. Radius de *palæotherium crassum*, vu par sa face antérieure.

Fig. 1. B. Sa face articulaire inférieure.

Fig. 1. C. Son extrémité inférieure, vue par derrière.

Fig. 2. Fragmens des mâchoires supérieure et inférieure de *palæotherium medium*, montrant les sept molaires supérieures en place, plus ou moins bien conservées, précédées d'une canine. La mâchoire inférieure est garnie encore d'une incisive, d'une canine, d'une molaire à double croissant, et de l'empreinte d'une autre. — Morceau du cabinet de Lavoisier.

Fig. 3. A. Fragment de mâchoire inférieure de *chæropotame*. — Morceau tiré des plâtrières de Villejuif.

a. Canine.

b. Première molaire.

c. Seconde molaire.

Fig. 3. B et C. Deux molaires tuberculeuses de *chæropotame*, provenant du même morceau.

Fig. 4. A et B. Fragmens et empreintes d'une tête d'un pachyderme fossile nommé *Adapis*.

a. Fragment du côté de la mâchoire opposé à celui sur lequel la tête est couchée, et qui cache une partie des dents de ce côté.

b. Dent canine supérieure droite.

c. d. Canines inférieures.

f. f. Deux incisives supérieures.

g. Incisive inférieure.

h. i. Les deux premières molaires inférieures pointues et tranchantes.

k. k. Troisième molaire inférieure de même forme, mais plus haute et plus large.

l. m. n. Alvéoles des trois molaires suivantes.

o. Dernière molaire oblongue.

p. Première molaire supérieure tranchante.

q. Seconde molaire supérieure entourée d'une arête.

r. Troisième molaire supérieure.

s. Quatrième molaire supérieure.

t. u. Les deux dernières molaires supérieures.

Fig. 5. Fragment de mâchoire supérieure de *palæotherium curtum*, présentant les quatre dernières machelières d'un côté et trois de l'autre.

Fig. 6. Portion considérable de carpe d'*anoplotherium commune*.

A. Le semi-lunaire.

B. Le cunéiforme.

C. Le trapézoïde.

D. Le grand os.

E. L'unciforme.

G. H. Têtes supérieures des deux métacarpiens.

F. Vestige du petit doigt.

Fig. 7. 8. 9. 10. 11 et 12. Trapézoïde du morceau précédent, représenté séparément.

7. Par devant.

8. Par sa face interne.

9. Par sa face externe.

10. Par sa face postérieure.

11. Par sa face supérieure.

12. Par sa face inférieure.

a. Facette pour le trapèze.

b. Facette pour le vestige du pouce.

c. Facette scaphoïdienne.

d. Facette pour le grand os.

Fig. 13. Fragment comprenant un humérus et une tête supérieure de cubitus de l'anoplotherium secundarium.

Fig. 14. Métacarpien de l'annulaire du côté droit de palæotherium curtum.

Fig. 15. Fragment de tête de palæotherium crassum.

a. Crête occipitale.

b. Région ethmoïdale.

c. Facette articulaire du condyle.

d. Empreinte de l'arcade zygomatique.

Fig. 16. 17 et 18. Radius entier d'anoplotherium commune (demi-grandeur).

17. Tête supérieure.

18. Tête inférieure.

Fig. 19. 20. 21. 22. 23 et 24. Grand os du carpe de palæotherium medium.

19. Face latérale interne.

20. Face latérale externe.

21. Face antérieure.

22. Face postérieure.

23. Face supérieure.

24. Face inférieure.

PLANCHE 133.

Os d'anoplotherium gracile (sous-genre Xiphodon).

Fig. 1. Moitié d'une pierre qui contenait la tête presque entière, les membres antérieurs et quelques parties du tronc de l'anoplotherium gracile.

a. b. Tête renversée.

p. Quelques restes du rocher.

q. Ouverture du trou occipital.

Pour les chiffres, voyez l'explication de la fig. 2.

c. d. e. Trois vertèbres cervicales.

f. Partie de l'omoplate d'un côté.

g. h. Humérus.

i. k. Cubitus rompu en avant.

l. m. Radius rompu également.

<i>g'. h'.</i>	}	Les mêmes os du côté opposé conservés dans toute leur longueur.
<i>i'. k'.</i>		
<i>l'. m'.</i>		

n. o. Carpe et commencement du métacarpe, vu par sa face interne. (Ces deux dernières parties sont représentées sous d'autres faces, fig. 3 et 4.)

A. Métacarpien du médus.

B. Métacarpien de l'annulaire.

D. Vestige de l'index.

E. Vestige du pouce représentant en même temps le trapèze.

F. Le scaphoïde.

G. Le semi-lunaire.

I. Le pisiforme.

K. Le trapézoïde.

L. Le grand os.

M. L'unciforme.

Fig. 2. Portion de tête restée dans la pierre opposée à celle qui contenait la figure précédente, et où l'on voit un plus grand nombre de dents.

1. 2. 3 Trois arrière-molaires supérieures.

4. Quatrième molaire de remplacement.

5. 6. 7. Trois premières molaires de remplacement.

8. Empreinte de la dernière molaire inférieure à trois croissants.

9. 10. 11. Empreintes des deuxième, troisième et quatrième molaires postérieures inférieures.

12. 13. 14. Trois molaires antérieures bien conservées.

15. Canine supérieure.

16. Incisives externes supérieures.

17. Fragment d'une canine inférieure.

18. Incisives externes de la mâchoire inférieure.

19. 19. 20. 20. Quatre incisives mitoyennes d'en bas.

21. 21. Deux incisives mitoyennes supérieures.

22. Empreinte de l'incisive placée à côté de la mitoyenne supérieure.

Fig. 3. Le carpe et le commencement du métacarpe du morceau fig. 1, vu par devant.

Fig. 4. Le même, vu par son côté externe.

Les lettres majuscules indiquent les mêmes choses que dans la fig. 1. On y voit de plus :

C. Le vestige du petit doigt.

H. Le cunéiforme.

Fig. 5. Les facettes articulaires supérieures des cinq os de ce métacarpe réunis. Ils sont désignés par les mêmes lettres que dans les figures précédentes.

Fig. 6. Le grand os vu par ses faces inférieure et supérieure.

Fig. 7. L'unciforme vu de même.

Fig. 8. Le trapézoïde vu de même.

Fig. 9. Le semi-lunaire.

1. Face supérieure.

2. — inférieure.

3. — interne (renversée par l'inadvertance du graveur).

4. — externe.

Fig. 10. Le cunéiforme.

1. Face interne.

2. — inférieure.

3. — supérieure.

Fig. 11. Le scaphoïde.

1. Face supérieure.

2. — inférieure.

Fig. 12. Le pisiforme, vu par sa face articulaire.

PLANCHE 134.

Fig. 1. Crâne et mâchoire inférieure de *palæotherium crassum*, extraits presque entiers d'un bloc de gypse.

Fig. 2. Tibia entier de *palæotherium medium*.

Fig. 3. Première vertèbre lombaire d'*anoplotherium* commune à laquelle il ne manque que les apophyses transverses.

Fig. 4. Fémur presque entier d'*anoplotherium gracile*.

Fig. 5. Atlas de *palæotherium magnum*.

PLANCHE 135.

Fig. 1. Tête de *palæotherium crassum*, vue en-dessus. C'est la même qui est représentée de profil, pl. 134, fig. 1.

Fig. 2. 3 et 4. Astragale de *palæotherium magnum*.

2. Vu en dessus.

3. Vu en dessous.

4. Vu en devant.

Fig. 5. Morceau contenant un fémur fracturé, un péroné, un tibia, et une grande partie du pied de l'*anoplotherium leporinum*. — D'un individu encore épiphysé.

PLANCHE 136.

- Fig. 1.* Crâne de *palæotherium medium* vu en-dessus. On y voit l'empreinte du cerveau, formée par le gypse, qui s'est moulé dans la cavité.
a. b. Crête occipitale tronquée.
c. Partie postérieure de l'arcade zygomatique droite.
- Fig. 2.* Fragments d'une tête de *palæotherium curtum* montrant une grande partie du palais, trois incisives gauches en place, suivies d'une canine. A quelque distance sont trois molaires plus ou moins entières.
- Fig. 3.* Morceau offrant la région basilaire et occipitale du crâne du *palæotherium curtum*.
- Fig. 4.* Mâchoire supérieure d'*anoplotherium commune*, vue en-dessus, et montrant une partie du palais. — Donnée par M. le comte Breuner.
- Fig. 5.* Le même morceau que la figure 3, vu par sa face postérieure, et montrant l'apophyse mastoïde fourchue.
- Fig. 7.* Fragment de mâchoire inférieure de *palæotherium minus*.
- Fig. 8.* Mâchoire inférieure d'un jeune individu d'*anoplotherium leporinum*.

PLANCHE 137.

- Fig. 1.* Partie du palais et de la base du crâne du *palæotherium medium*. Ce morceau contient les deux condyles occipitaux entiers, l'os basilaire, le corps du sphénoïde postérieur, l'apophyse mastoïde gauche entière, et les tubérosités de l'arrière des deux arcades zygomatiques.
- Fig. 2.* Mâchoire inférieure de *palæotherium medium* montrant les incisives de remplacement prêtes à chasser de leurs alvéoles les incisives de lait; la première molaire de lait prête à tomber, les suivantes fort usées; la première arrière-molaire déjà sortie, et les loges alvéolaires qui contenaient encore les deux suivantes.
- Fig. 4.* Fémur de *palæotherium crassum*.
- Fig. 5.* Tête inférieure de ce fémur, incomplète.
- Fig. 6.* Condyles et trou occipital de *palæotherium crassum*.
- Fig. 7.* Petit fragment de mâchoire supérieure d'*anoplotherium leporinum*, contenant une molaire antérieure, et une partie de celle qui la suit.
- Fig. 8.* Bord alvéolaire d'une mâchoire inférieure, qui contient les six molaires, et qui appartient probablement à l'*anoplotherium murinum*.

PLANCHE 138.

Fig. 1. Morceau représentant une grande partie du crâne de l'anoplotherium commune.

Fig. 2. Autre morceau contenant une partie du dessus du crâne et de la face de l'anoplotherium commune, et le semi-lunaire du carpe entier.

PLANCHE 139.

Fig. 1. Radius de palæotherium crassum, avec tout son pied de devant.

A. Radius un peu mutilé vers son extrémité humérale.

B. Tête inférieure de cubitus mutilée.

C. Le semi-lunaire.

D. Le cunéiforme.

E. L'unciforme.

F. Le grand os.

G. Le scaphoïde.

H. Métacarpien du medius.

I. Métacarpien de l'annulaire.

K. Vestige de petit doigt.

Ce morceau venait d'un individu encore jeune, car les épiphyses y sont distinctes.

Fig. 2. Radius de palæotherium crassum, très-bien conservé.

Fig. 3. Radius entier de palæotherium medium avec son cubitus et une partie de son carpe et de son métacarpe en situation.

Fig. 4. Face articulaire supérieure du radius de la fig. 2.

Fig. 5. Face articulaire inférieure du même.

Fig. 6. Fragment de mâchoire supérieure d'anoplotherium commune, contenant les 2^e, 3^e et 4^e molaires *c*, *b*, *a*.

PLANCHE 140.

Fig. 1. Avant-bras entier de palæotherium latum.

Fig. 2. Métacarpien du médius de palæotherium latum.

Fig. 3. Semi-lunaire du même, vu par sa face externe ou cunéiformienne.

Fig. 4. Cunéiforme du même, vu par sa face inférieure ou unciformienne.

Ces quatre figures appartenait au même morceau de gypse.

Fig. 5, 6 et 7. Humérus d'anoplotherium commune.

5. Vu par devant.

6. Vu par derrière.

7. Vu par le côté interne.

PLANCHE 141.

Fig. 1. Groupe d'ossements de *palæotherium magnum*, trouvé à Montmartre, où l'on voit les métatarsiens des deux pieds de derrière : l'un des pieds a conservé une partie de ses phalanges en place, l'autre a son astragale à peu de distance ; un tibia avec son péroné ; un fémur ; un bassin dont l'ischion et le pubis sont assez bien conservés.

Fig. 2. Groupe d'os de *palæotherium magnum*, contenant une omoplate mutilée dans son milieu ; son humérus, vu par sa face postérieure, avec les deux os de l'avant-bras, et tout le pied de devant avec des portions d'un second pied : l'humérus est de plus représenté isolément par sa face antérieure. On voit au premier pied :

A. Le scaphoïde.

B. Le trapèze.

C. Le trapézoïde.

D. Le grand os.

E. F. G. Les trois métacarpiens bien entiers et les phalanges qui appartiennent à deux d'entre eux.

Le second pied ne possède que quelques os :

H. Le scaphoïde.

I. Le trapézoïde.

K. L. Deux métacarpiens et deux phalanges.

M. Le grand os.

N. Le scaphoïde.

O. Le trapézoïde.

P. Le trapèze.

} représentés séparément par leurs faces externes.

PLANCHE 142.

Fig. 1. Pied de derrière de *palæotherium latum*, bien conservé.

A. Astragale.

B. Le cuboïde.

C. Le scaphoïde.

D. E. Les deux cunéiformes.

F. G. H. Les trois os du métatarse dans leur situation naturelle.

I. Les deux dernières phalanges d'un doigt latéral.

Fig. 2, 3, 4, 5 et 6. Cuboïde de *palæotherium latum*, tiré du morceau précédent.

2. Face antérieure.

3. Face postérieure.

4. Face métatarsienne.

5. Face interne ou scaphoïdo-cunéiformienne.

6. Face calcanééo-astragalienne.

Fig. 7. Scaphoïde du même, vu par sa face cunéiformienne.

Fig. 8 et 9. Le grand cunéiforme du même.

8. Vu par sa face métatarsienne.

9. ————— scaphoïdienne.

Fig. 10. Débris d'un pied de derrière de *palæotherium crassum*.

A. Partie inférieure du tibia.

B. Grande partie de l'astragale.

C. Le scaphoïde.

D. Le grand cunéiforme.

E. Le cuboïde.

F. G. H. Les trois métatarsiens.

I. L'osset surnuméraire.

L. K. Deux phalanges.

M. Un os sésamoïde.

Fig. 11. Pied de devant d'*anoplotherium gracile*.

Fig. 11 bis. Métatarsien du doigt du milieu du *palæotherium minimum*.

Fig. 12 et 13. Tête supérieure de cubitus d'*anoplotherium commune*.

12. Vue par sa face latérale interne.

13. Vue par sa face antérieure.

Fig. 14. Cubitus encore épiphysé d'un jeune *anoplotherium gracile*, avec une partie du carpe, un os du métacarpe et deux phalanges.

PLANCHE 143.

Squelette d'*anoplotherium commune* restitué.

PLANCHE 144.

Squelette d'*anoplotherium gracile* restitué.

PLANCHE 145.

Squelette de *palæotherium minus* restitué.

PLANCHE 146.

Squelette de *palæotherium magnum* restitué.

PLANCHE 147.

Restitution de deux espèces d'*anoplotheriums* et de deux espèces de *palæotheriums* avec leurs grandeurs proportionnelles et leurs formes extérieures pour compléter l'idée que l'on peut se faire de cette ancienne population animale.

PLANCHE 148.

Fig. 1. a et b. Portion antérieure de mâchoire inférieure de palæotherium du Puy en Velay, dessinée dans le cabinet de M. Bertrand-Roux, par M. Adolphe Brongniart.

1. *a.* Vue de profil.

1. *b.* Vue en-dessous.

Fig. 2. Mâchelière inférieure de palæotherium d'Orléans. — Du cabinet de M. Defay.

Fig. 3. Molaires antérieures inférieures

Fig. 4. Molaires inférieures

Fig. 5. Dernière molaire inférieure

Fig. 6. Mâchelière inférieure

Fig. 7. Molaires inférieures

Fig. 8 et 9. Mâchelieres supérieures

Fig. 10. Molaire inférieure.

de palæotherium d'Orléans. — Du cabinet de M. Defay.

Fig. 11. Mâchelière supérieure de palæotherium d'Orléans, non encore entamée.

Fig. 12. Mâchelière supérieure de palæotherium d'Orléans, à moitié usée.

Fig. 13. Portion de mâchoire inférieure de palæotherium d'Orléans. — Communiquée par M. de Morogues. Ce morceau montre, par leur face interne, les cinq dernières molaires en place, et fait voir en *a b*, par leur face externe, la première et la seconde molaire du côté opposé.

Fig. 14. Les deux dernières molaires du morceau précédent, vues par leur couronne.

Fig. 15. Tête de fémur mutilée de palæotherium d'Orléans.

Fig. 16. Os moyen du métatarse de palæotherium d'Orléans.

a. Face antérieure.

b. — externe.

c. — interne.

d. Tête articulaire supérieure.

Fig. 17. Fragment de mâchoire inférieure du côté gauche, contenant les quatre dernières molaires, d'un palæotherium de Montpellier.

Fig. 18. a et b. Fragmens de mâchoire inférieure de palæotherium, des environs d'Issel, contenant les trois dernières molaires.

18. *a.* Vues par leur face interne.

18. *b.* Vues par leur couronne.

PLANCHE 149.

Ossemens d'animaux qui accompagnent ceux des palæotheriums et des anoplotheriums dans les carrières à plâtre des environs de Paris. I.

Fig. 1. Base incomplète de crâne et de face de chæropotame. — De Montmartre?

a. La région mastoïdienne.

- b. b.* Les deux facettes glénoïdes.
- c. c.* Les deux arcades zygomatiques.
- d.* La partie postérieure du palais.
- e. e.* Les apophyses ptérygoïdes.
- f. g. h.* Les trois arrière-molaires de chaque côté.
- i. k. l.* Les trois molaires de remplacement.
- n.* Première molaire.

Fig. 2. La même base de tête, vue de côté.
o. Bord inférieur de l'orbite.

Fig. 3. Fragment de mâchoire d'un carnassier fossile, de la famille des coatis, des rats, etc., et de même espèce que celui figuré pl. 150, fig. 2 et 3.

Ce morceau contient la partie antérieure du palais, la seconde et la quatrième molaire en place.

Fig. 4. Les deux tiers d'un cubitus qui paraît appartenir au même animal que la tête représentée pl. 150, fig. 5, 6 et 7.

Fig. 5 et 6. Squelette d'un petit rongeur du sous-genre des Loirs. — De Montmartre.

- a.* Tête.
- b.* Omoplate.
- c.* Humérus.
- d.* Avant-bras droit.
- e.* Bassin.
- f.* Fémur.
- g.* Jambe.
- h.* Pied de derrière.

Fig. 7. Mâchoire inférieure d'une autre espèce du même genre, mais plus grande. De grandeur naturelle.

Fig. 8. Molaires du muscardin (*Mus avellanarius*), vues par leur couronne.

Fig. 9. Molaires du lérot (*Mus nitela*), vues par leur couronne.

Fig. 10. Molaire de loir (*Mus glis*), vue par sa couronne.

Fig. 11. Dents de l'animal des figures 5 et 6, vues par leur couronne et grossies à la loupe.

Fig. 12. Molaire inférieure de la mâchoire fig. 7, grossie à la loupe.

Fig. 13. Dent molaire du rat d'Amérique, vue à la loupe.

PLANCHE 150.

Ossements d'animaux qui accompagnent ceux des palæotheriums et des anoplotheriums dans les carrières à plâtre des environs de Paris. II.

Fig. 1. Mâchoire inférieure de chien ou de renard.

- a.* Apophyse coronôide.

- b.* Bord postérieur échancré.
- c.* Condyle.
- d.* Angle postérieur.
- e. f. g. h.* Les quatre fausses molaires.
- k.* La carnassière.
- l.* Les tuberculeuses.
- i.* Canine.
- p.* Bord antérieur de l'apophyse coronoïde.
- α.* Apophyse coronoïde de la mâchoire d'un renard, tracée en points.
- δ.* Angle postérieur de la même.
- π.* Bord antérieur de l'apophyse coronoïde de la même.

Fig. 2. Portions de tête et de mâchoire d'une grande espèce appartenant à un genre de la famille des coatis, des rats, etc.

Fig. 3. Fragment de mâchoire inférieure provenant d'un carnivore de la même espèce que le morceau précédent.

Fig. 4. Occiput, avec les bases postérieures des arcades zygomatiques, qui paraît appartenir à l'espèce des *fig. 2* et *3*.

Fig. 5, 6 et 7. Tête fossile d'un animal du genre des genettes, trouvée à Montmartre.

5. Vue en dessous.

6. ——— dessus.

7. ——— de profil.

Fig. 8. Péroné et calcanéum appartenant probablement au même animal que la tête représentée *fig. 2* et *3*.

Fig. 9. Humérus d'un carnassier de la taille de la civette, vu par sa face antérieure et interne.

Fig. 10 et 11. Ces deux figures représentent probablement des mâchoires inférieures de deux petites espèces d'insectivores ou de didelphes. — Nous n'en avons pas trouvé la mention dans le texte, et les morceaux d'après lesquels leurs dessins auraient été faits n'existent pas dans la collection du Muséum. (Laur.)

PLANCHE 151.

Fig. 1, 2 et 3. Tête inférieure d'humérus d'une espèce particulière de civette.

a. Poulie articulaire.

b. Condyle interne.

c. Trou dont ce condyle a dû être percé.

Fig. 4 et 5. Métacarpien d'un carnassier voisin des civettes.

4. Vu par sa face postérieure.

5. ————— antérieure.

La tête supérieure de cet os est représentée à part *fig. 10* et *11*.

Fig. 6 et 7. Cubitus de jeune carnassier, dont les épiphyses sont perdues, appartenant peut-être au même animal que la tête de la pl. 150, *fig. 2, 3* et *4*.

6. Vu par sa face externe.

7. ———— antérieure.

Fig. 8 et 9. Métacarpien et phalange d'une espèce de canis particulier. — De Montmartre. — Dessin envoyé par M. Adrien Camper.

8. Vu par sa face latérale externe.

9. ———— interne.

Fig. 10 et 11. La tête du métacarpien représenté en entier, fig. 4 et 5.

10. Vu par sa face externe.

11. ———— interne.

Fig. 12. Fragment de mâchoire inférieure fossile de genette. — De Montmartre.

Fig. 13. Portion de mâchoire inférieure de genette vivante adulte, offrant la dernière fausse molaire, la carnassière et la petite tuberculeuse.

Fig. 14. *Id.* de jeune genette.

Fig. 15. *Id.* de jeune chien.

Fig. 16. *Id.* de mangouste d'Égypte.

Fig. 17. *Id.* de chien.

Fig. 18. *Id.* de furet.

Fig. 19. *Id.* de mangouste du Cap.

Fig. 20. *Id.* de renard.

Fig. 21. *Id.* de fouine.

Fig. 22. *Id.* de zorille.

Fig. 23. *Id.* de blaireau.

Fig. 24. *Id.* de civette.

Fig. 25. *Id.* de grison.

Fig. 26. *Id.* de chinche.

Fig. 27. *Id.* de loutre.

Fig. 28. *Id.* de zibet.

PLANCHE 152.

Sarigue fossile de Montmartre.

Fig. 1. Morceau contenant la plus grande partie d'un squelette d'une petite espèce de sarigue. — De Montmartre.

On y reconnaît la tête, le cou, l'épine du dos, le bassin, les côtes, l'omoplate, le bras, l'avant-bras, la cuisse, la jambe, et des traces de queue et de pied de derrière.

a. Apophyse coronoïde.

b. Condyle.

c. Angle postérieur de la mâchoire.

Fig. 2. Partie postérieure de la mâchoire inférieure du côté droit, retrouvée en creusant la pierre, fig. 1.

a. b. Mêmes choses qu'à la fig. 1.

c. Apophyse de l'angle de ce nouveau côté de la mâchoire.

f. Canine supérieure entière.

g. h. Arrière-molaires du côté droit.

Fig. 3. Dent canine de la mâchoire d'en haut et les quatre molaires postérieures, découvertes en creusant la pierre, fig. 1.

a. b. c. f. Mêmes choses qu'à la fig. 2.

d. e. Les quatre molaires supérieures.

Fig. 4. Morceau de la pierre opposé à celui de la fig. 1, mais moins entier. On y voit l'empreinte des os qui sont restés sur la pierre opposée, et d'autres plus entiers.

b. Vertèbres sacrées.

c. e. Os innominés.

d. f. Sacrum.

Fig. 5. Fragment de mâchoire inférieure, grossi à la loupe.

a. Molaire antérieure.

b. Canine inférieure.

Fig. 6. Pénultième molaire inférieure du côté droit, grossie à la loupe. C'est celle qui est marquée *g*, fig. 2. (Voyez, pour l'explication des lettres, tome V, p. 527.)

Fig. 7. Une des quatre molaires supérieures représentées fig. 3, grossie à la loupe.

Fig. 8. Mâchoire inférieure de la même espèce, copiée d'après Delamétherie, dans le Journal de physique de brumaire, an XI.

a. Apophyse coronoïde.

b. Condyle.

Fig. 9. Dernière molaire inférieure droite, grossie à la loupe. C'est celle qui est marquée *h*, fig. 2 (1).

Fig. 10. Partie postérieure du morceau représenté fig. 4, où l'on a creusé entre *c. d. e. f.* pour découvrir et mettre à nu les os marsupiaux, *a. a.*

Fig. 11. Quatrième et cinquième métatarsiens de la même espèce, découverts en creusant la pierre, fig. 1.

(1) Pour la fig. 6 et pour celle-ci, nous répétons les lettres de renvoi *g* et *h* telles que M. Cuvier les donne dans son texte ; mais il est vraisemblable que le graveur aura mal placé ces lettres sur la planche, et qu'elles sont trop en avant d'une dent ; ainsi la dent représentée fig. 6 serait, non pas la dent *g*, mais la dent *h*, qui est véritablement la pénultième, et celle de la fig. 9 ne serait marquée d'aucune lettre dans la fig. 2, et serait la dent placée immédiatement derrière *h*, c'est-à-dire la dernière. (Laur.)

PLANCHE 153.

Ossemens d'oiseaux fossiles des environs de Paris. I.

- Fig. 1.* Jambe et pied assez complets d'oiseau. Espèce très-commune dans le gypse des environs de Paris. (VII^e espèce.)
- Fig. 2.* Fin du tibia et pied complet d'oiseau. Même espèce que la fig. 1. (VII^e espèce.)
- Fig. 3.* Pied d'oiseau du cabinet de Delamétherie. (VI^e espèce.)
- Fig. 4.* Fragmens d'un pied d'oiseau offrant les premières phalanges du pouce, du doigt externe et de celui du milieu. Probablement de même espèce que la fig. 6, *a. b.* (IV^e espèce.)
- Fig. 5.* Mandibule inférieure d'oiseau fossile.
- Fig. 6. a. et b.* Copie exacte et faite par M. Cuvier du pied fossile d'oiseau appartenant à M. Elluin, et gravé très-incorrectement dans le Journal de physique, thermidor an VIII. (IV^e espèce.)
- Fig. 7.* Os du tarse d'oiseau de même espèce que la fig. 11. (V^e espèce.)
- Fig. 8.* Jambe d'oiseau offrant le tibia entier, le pouce et les trois autres doigts bien complets. (VII^e espèce.)
- Fig. 9.* Pied d'oiseau de même espèce que la fig. 11. (V^e espèce.)
- Fig. 10.* Pied d'oiseau, décrit et dessiné par M. Cuvier en 1800. (VIII^e espèce, voisine de la VII^e et de l'ordre des échassiers.)
- a.* Osselet surnuméraire qui porte le pouce.
- Fig. 11.* Jambe et pied d'oiseau plus petit que celui de la fig. 4, et qui pourrait annoncer une cinquième espèce. (V^e espèce.)

PLANCHE 154.

Ossemens d'oiseaux fossiles des environs de Paris. II.

- Fig. 1.* Dessin d'un ornitholithe mal conservé, et ayant appartenu à M. d'Arcet. Il forme une espèce différente de toutes les autres. (X^e espèce.)
- Fig. 2. a. et b.* Les deux côtés d'un corps mal conservé d'oiseau fossile, appartenant à M. Elluin et dessinés par M. Cuvier.
- x.* Vestiges de bassin.
- Fig. 3. a. b. et c.* Phalange d'un pied d'oiseau d'une espèce plus grande que toutes les autres. (I^e espèce.)
- Fig. 4.* Portion d'aile d'oiseau fossile.
- a.* Le bas de l'humérus.
- b.* Cubitus.

c. Les deux osselets du carpe.

e. Empreinte de l'apophyse de l'os du métacarpe, destinée à porter le pouce.

f. Empreinte d'une partie d'une autre branche du métacarpe.

Fig. 5. Portion d'aile d'oiseau fossile, du cabinet de Delaméthérie, voisine de l'alouette de mer. (VIII^e espèce.)

Fig. 6. Côte d'oiseau fossile.

Fig. 7. Radius d'oiseau.

Fig. 8. Radius d'oiseau. (X^e espèce.)

Fig. 9. Humérus d'oiseau de rivage, vu par ses faces antérieure et postérieure. (Peut-être de la IV^e espèce.)

Fig. 10. Humérus d'oiseau. (IX^e espèce.)

Fig. 11. Autre humérus d'oiseau. (IX^e espèce.)

Fig. 12. a. et b. Tête d'une omoplate d'oiseau ressemblant en petit à celle d'un cormoran.

a. Face interne.

b. Face externe.

Fig. 13. Fémur d'oiseau voisin du genre pélican.

a. Face postérieure.

b. Face antérieure.

c. Tête articulaire inférieure.

x. Échancrure péronienne du condyle externe.

Fig. 14. a. b. et c. Fémur d'oiseau de l'ordre des échassiers et du genre ibis.

a. Face externe.

b. Faces antérieure et postérieure.

c. Tête articulaire inférieure.

x. Échancrure péronienne du condyle externe.

Fig. 15. Portion du tronc et des deux ailes, et fémur d'oiseau fossile. (IX^e espèce.)

PLANCHE 155.

Ossements d'oiseaux fossiles des environs de Paris. III.

Fig. 1. Ornitholithe de Montmartre assez bien conservé, de la famille des gallinacés. (V^e espèce.)

a. Empreinte du bec inférieur.

b. Sa branche gauche, presque entière.

c. c'. Restes des deux côtés de la base du crâne.

1 à 9. Vertèbres du cou, fort reconnaissables.

d. Clavicule du côté droit.

d'. Restes de la clavicule du côté gauche.

- e. Petit reste de l'omoplate.
 f. f. Sternum fort écrasé et défiguré.
 g. g. Empreinte également défigurée du bassin où l'on ne reconnaît distinctement que les deux pointes formées par les ischions et par les pubis.
 h. Humérus du côté droit.
 h'. ——— du côté gauche.
 i. Cubitus droit. i'. *Idem* gauche.
 k. Radius droit. k'. *Idem* gauche.
 l. Un des petits osselets du carpe.
 m. m'. Métacarpe.
 n. n'. Petit osselet qui tient lieu de pouce.
 o. o'. Os de la première phalange du grand doigt.
 p. Osselet qui représente le petit doigt.
 q. Osselet de la dernière phalange.
 r. Moitié inférieure du fémur.
 s. Tibia presque entier.
 t. Petit reste de péroné enté sur la partie supérieure de ce tibia.

Fig. 2. Les quatre phalanges d'un médius d'oiseau de proie, semblables à leurs analogues dans le busard. (II^e espèce.)

Fig. 3. Mandibule inférieure.

Fig. 4. Fourchette (réunion des deux clavicules).

Fig. 5. Os coracoïdien.

Fig. 6. Autre os coracoïdien, plus grêle à proportion que le précédent.

Fig. 7. Métacarpe et phalanges de la troisième espèce.

a. Métacarpe mutilé par le bas (1).

b. c. d. Les trois phalanges du doigt interne de devant.

e. f. g. Les trois dernières phalanges du médius.

Fig. 8. Mandibule inférieure d'oiseau fossile, d'une autre espèce que la fig. 3. (V^e espèce.)

Fig. 9. Humérus (probablement de la V^e espèce).

Fig. 10. Autre humérus.

Fig. 11. Petit humérus. (X^e espèce.)

PLANCHE 156.

Ossemens d'oiseaux fossiles des environs de Paris. IV.

Fig. 1. Jambe et pied de la même espèce que la fig. 7, pl. 155. (III^e espèce.)

a. Troisième phalange du médius, sous l'onguéal du doigt externe.

(1) C'est par erreur que cet os est désigné dans le texte, t. V, p. 568, ligne 12, comme le tibia.

b. Onguéal du médus, au bout de celui de l'externe.

Fig. 2. Petit pied d'oiseau, probablement de l'espèce du squelette représenté *fig. 5.* (IX^e espèce.)

Fig. 3. Métacarpe d'un oiseau de proie de forte taille et à longues ailes, de la grandeur du balbusard; probablement de la même espèce que le fémur pl. 154, *fig. 13.* (XI^e espèce.)

Fig. 4. Autre métacarpe d'une espèce d'oiseau de proie plus petite et dont les ailes étaient plus courtes; peut-être de même espèce que l'humérus *fig. 7.*

Fig. 5. Squelette de Montmartre. (IX^e espèce.)

a. e. L'aile gauche étendue.

a. b. L'humérus.

b. c. L'avant-bras, où l'on ne voit presque plus de traces du radius.

c. d. La main.

d. Première phalange.

e. Dernière phalange.

a. f. Quelques vestiges de l'omoplate gauche.

g. h. Vestiges plus marqués de l'omoplate droite.

i. k. Humérus de ce côté presque entier.

l. m. n. Sternum écrasé, en forme de triangle.

o. p. q. Les trois dernières vertèbres du cou.

r. s. Dernières côtes des deux côtés.

t. Le coccyx.

u. v. Le fémur.

v. w. Le tibia.

w. x. Le tarse.

x. y. z. Le pied.

w'. x'. y'. z'. Mêmes parties de la jambe droite.

Fig. 6. Squelette bien conservé et bien caractérisé. — De Montmartre. De la même espèce que la précédente (IX^e espèce).

a. b. La tête et le bec.

c. Reste de fourchette.

d. Une partie de l'os coracoïde droit.

e. Une partie de l'omoplate du même côté.

d'. e'. Le coracoïdien et l'omoplate gauche.

f. g. h. L'humérus, le cubitus et le radius droits.

f'. g'. h'. Les mêmes os du côté gauche.

i. Le pouce.

k. Os du métacarpe.

l. Première phalange du doigt.

e. f. Côtes où se distinguent la partie vertébrale et la partie sternale de la côte, ainsi que l'apophyse récurrente.

m. n. o. Le bassin.

- p.* Le pubis.
- r.* Le coccyx.
- t.* Le fémur.
- u.* Le tibia.
- v.* Le tarse.

Fig. 7. Humérus mutilé d'une espèce particulière, et semblable à celui d'une chouette.

Fig. 8. Radius d'oiseau fossile.

Fig. 9. Pied fossile bien conservé. Même espèce que la fig. 11, pl. 153. (V^e espèce.)

PLANCHE 157.

Fig. 1. Une des deux premières côtes qui forment la partie antérieure de la carapace d'une espèce de trionyx fossile.

Fig. 2. Une des côtes de la partie moyenne de la carapace d'une espèce de trionyx fossile.
a. Prolongement des côtes.

Fig. 3. Pièce impaire du plastron, placée en avant entre la première et la seconde paire des huit autres pièces; d'une espèce de tortue fossile d'eau douce.

Fig. 4. Un des os du pourtour qui joignent le plastron à la carapace, d'une espèce fossile de tortue d'eau douce.
a. b. Pliléger qui coupe cet os en travers.
c. c. Les dentelures obliques de la suture d'une extrémité.
e. f. g. Lignes qui marquent la séparation des écailles.

Fig. 5 et 6. Fragmens de côtes de tortue fossile d'eau douce, plus petite que l'espèce des fig. 4 et 15.

Fig. 7 et 8. Os frontal d'une espèce de crocodile des environs de Paris.

- 7. Vu en dessus.
- 8. Vu en dessous.

Fig. 9. Épaule de trionyx fossile.

- a.* Os qui se rend au plastron, ou clavicule.
- b.* Empreinte laissée sur le plâtre par l'os qui va s'attacher à la carapace, ou l'omoplate.
- c.* Os qui reste libre se dirigeant en arrière et vers le bas, et ayant la forme aplatie d'un scapulum. — C'est le coracoïdien.

Fig. 10. Os de l'épaule d'un trionyx vivant, de petite taille.

- a.* Clavicule.
- b.* Omoplate.
- c.* Coracoïdien.

Fig. 11. Débris d'un poisson qu'on peut reconnaître pour une truite.

- a.* Empreinte des yeux.
- b.* ——— de la plus grande partie de la mâchoire inférieure.
- c.* Os analogue à l'os carré.

- d.* Os palatin du même côté, qui vient rejoindre l'os carré.
- e.* Portions des os des tempes.
- f.* Empreinte presque entière de l'opercule.
- g.* ——— de trois des rayons branchiostéges.
- h.* Une partie de l'os de la langue.
- k. l.* Parties écrasées et éparses des autres os de la tête.
- m. m.* Empreintes des écailles, rangées sur plusieurs lignes parallèles.

Fig. 12. Poisson qui a été rapporté, par Delamétherie, au genre des brochets. C'est peut-être une espèce du genre des mormyres. — Du cabinet de Delamétherie.

- a.* Une nageoire de la queue, fourchue.
- b.* ——— dorsale.
- c.* ——— anale.
- d.* Os du bassin, fort étroits.
- e.* Vestige de nageoire ventrale.
- f.* ——— pectorale.

Fig. 13. Empreinte d'un poisson décrit par de Lacépède comme voisin des muges; c'est un poisson voisin de l'*amia*.

Fig. 14. Autre poisson des plâtrières qui paraît être un abdominal très-petit.

Fig. 15. Os du plastron d'une espèce fossile de tortue d'eau douce.

- a.* Saillie transverse, sous laquelle est l'échancrure qui donne passage à la cuisse.

Fig. 16 et 17. Les deux empreintes d'un poisson du genre des spares, trouvé à Montmartre, et du cabinet de Delamétherie.

La partie dorsale est enlevée dans tous les deux.

- a.* Machoire inférieure bien conservée (*fig. 16*).
- b.* Nageoire ventrale (*fig. 17*).
- c.* ——— anale, dans les deux figures.
- d.* Une partie de celle de la queue, également dans les deux figures.

Fig. 18. Partie plane du rebord postérieur de la carapace d'une tortue d'eau douce.

Fig. 19. Os particulier d'une espèce de tortue d'eau douce, qui, dans certaines tortues, complète la barre transverse qui renforce la jonction du plastron et de la carapace au-dessus de l'échancrure pour le passage de la cuisse.

Fig. 20. Fémur fossile semblable à celui des tortues d'eau douce.

PLANCHE 158.

Fig. 1. Tête et trois vertèbres cervicales d'une espèce fossile de tortue d'eau douce.

- a.* Os basilaire.
- b.* Corps du sphénoïde.
- c. c. c.* Fragmens des os que M. Cuvier a nommés *ptérygoidiens internes*.
- d.* Palatin droit.

- e. e.* Os de la caisse, ou *tympanaux*, portant la facette articulaire pour la mâchoire inférieure.
f. f. f. Fragmens des parties latérales de la mâchoire inférieure.
g. Partie moyenne de la mâchoire inférieure.
h. Le vomer.
i. Portion du *frontal* antérieur.
k. k. k. Fragmens des autres parties du frontal ou du maxillaire supérieur.
l. Le rocher du côté gauche.
m. m. Extrémités des grandes cornes de l'os hyoïde.
n. o. p. Les trois premières vertèbres du cou.

Fig. 2. Portion de bassin d'un trionyx fossile, contenant la fosse cotyloïde, et des parties des trois os qui concourent à la former.

Fig. 3, 4 et 5. Partie supérieure de l'humérus gauche d'un crocodile fossile.

3. Vu par sa face antérieure.

4. ———— interne.

5. Tête articulaire supérieure.

Fig. 6. Fémur de tortue d'eau douce, mutilé par le bas.

Fig. 8. Opercule de poisson fossile.

Fig. 9. Vertèbres de poisson fossile.

Fig. 10. Préopercule analogue à ceux des Acantho-ptérygiens.

Fig. 11. Sphénoïde allongé, ayant quelque ressemblance avec celui d'un brochet.

Fig. 12. Os temporal, ayant de la ressemblance avec celui de l'orphie.

Fig. 13. Opercule de poisson fossile.

Fig. 14. Autre poisson fossile qui appartient bien sûrement aux cyprins.

Fig. 15. Poisson fossile des carrières à plâtre, que l'on peut rapporter aux cyprins.

a. Les inter-maxillaires proéminens.

b. Le maxillaire supérieur, tel qu'il est dans beaucoup de cyprins, et notamment dans le *nasus*.

c. Mâchoire inférieure reculée en arrière.

d. Trois rayons branchiostéges.

e. Débris d'os qui pourraient être de l'épaule, autant que des apophyses transverses des premières vertèbres.

PLANCHE 159.

Squelette de la petite race du Rhinocéros bicolore de Sumatra, envoyé par MM. Diard et Duvaucel.

PLANCHE 160.

Différentes têtes de rhinocéros, vues en dessus, et dessinées sur la même échelle, pour rendre sensibles les caractères des espèces.

- Fig. 1.* Tête de rhinocéros unicolore des Indes.
Fig. 2. ————— de Java.
Fig. 3. ————— bicolore de Sumatra.
Fig. 4. ————— d'Afrique.
Fig. 5. ————— fossile, à narines cloisonnées.

PLANCHE 161.

ANTHRACOTHERIUMS.

- Fig. 1.* Fragment de mâchoire supérieure d'anthracotherium, grande espèce, contenant deux molaires du côté gauche. — De Cadibona, par M. Laffin.
Fig. 2. Fragment de mâchoire inférieure d'anthracotherium, grande espèce, contenant les deux dernières molaires. — De Cadibona, par M. Laffin.
Fig. 3. Très-grosse canine, écrasée, envoyée de Cadibona par M. Laffin, et qu'on ne peut rapporter qu'avec beaucoup de doute à l'anthracotherium.
Fig. 4. Petite espèce d'anthracotherium de Cadibona. Fragment envoyé par M. Buckland.
Fig. 5. Fragment de mâchoire inférieure gauche, contenant les trois dernières molaires, et qui paraît appartenir au genre anthracotherium. — Trouvé dans le département de Lot-et-Garonne.
Fig. 6. Dent (incisive ou canine) du morceau de la figure 7, représentée, de grandeur naturelle, par sa face interne.
Fig. 7. Fragment antérieur de mâchoire inférieure d'anthracotherium, grande espèce. — Envoyé par M. Borson.



Illustration of the Salmon, showing the scales and the fins.

PLANCHE III.

Différentes vues de l'écorce de l'arbre, en coupe, et des fruits, sur le même arbre, pour servir à l'usage des botanistes et des artistes.

Fig. 1. Vue de l'écorce de l'arbre, en coupe.

Fig. 2. Vue de l'écorce de l'arbre, en coupe.

Fig. 3. Vue de l'écorce de l'arbre, en coupe.

Fig. 4. Vue de l'écorce de l'arbre, en coupe.

Fig. 5. Vue de l'écorce de l'arbre, en coupe.

PLANCHE IV.

Fig. 1. Vue de l'écorce de l'arbre, en coupe, montrant la structure interne.

Fig. 2. Vue de l'écorce de l'arbre, en coupe, montrant la structure interne.

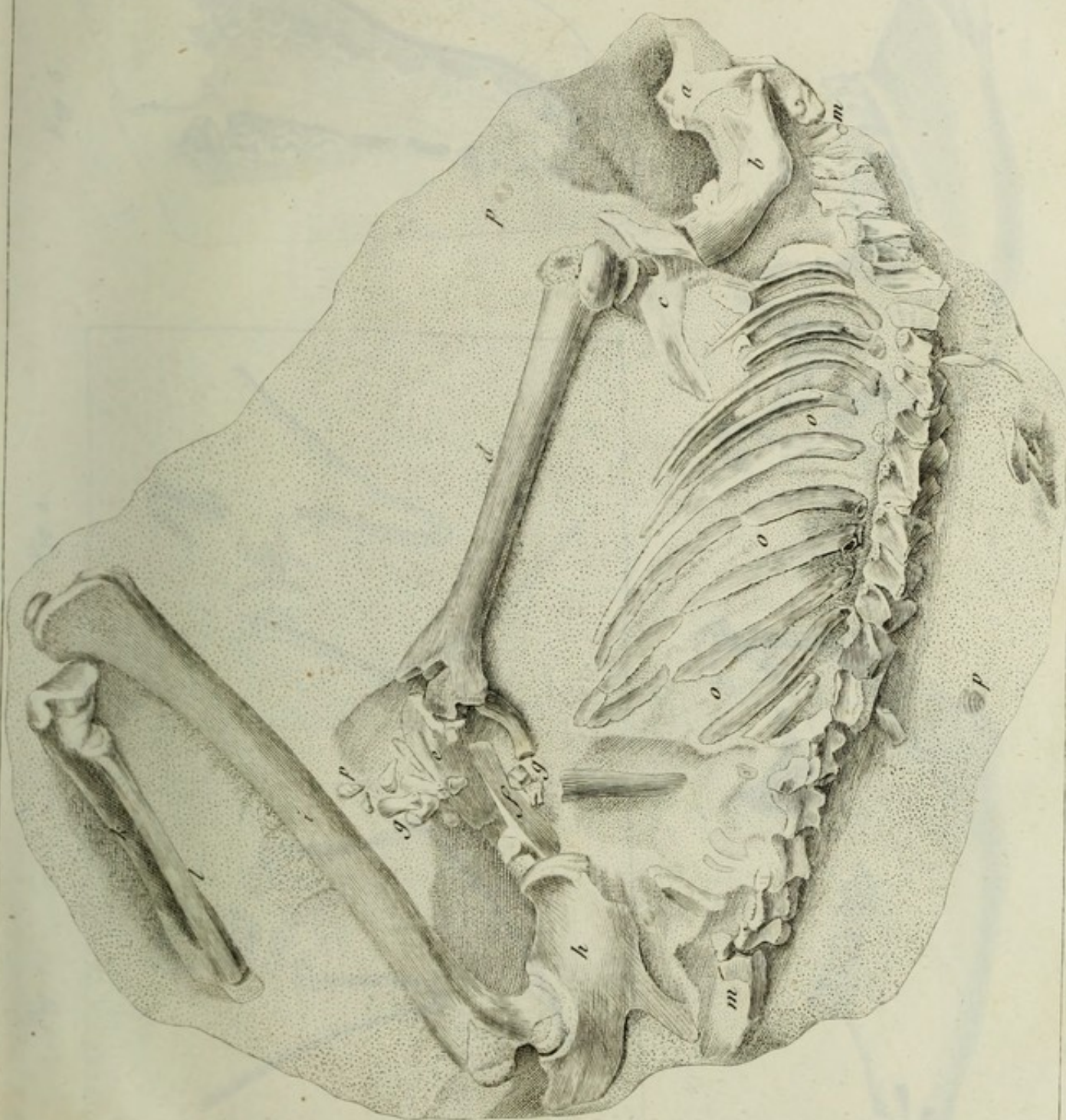
Fig. 3. Vue de l'écorce de l'arbre, en coupe, montrant la structure interne.

Fig. 4. Vue de l'écorce de l'arbre, en coupe, montrant la structure interne.

Fig. 5. Vue de l'écorce de l'arbre, en coupe, montrant la structure interne.

Fig. 6. Vue de l'écorce de l'arbre, en coupe, montrant la structure interne.

Fig. 7. Vue de l'écorce de l'arbre, en coupe, montrant la structure interne.



SQUELETTE HUMAIN TROUVÉ À LA GUADELOUPE.

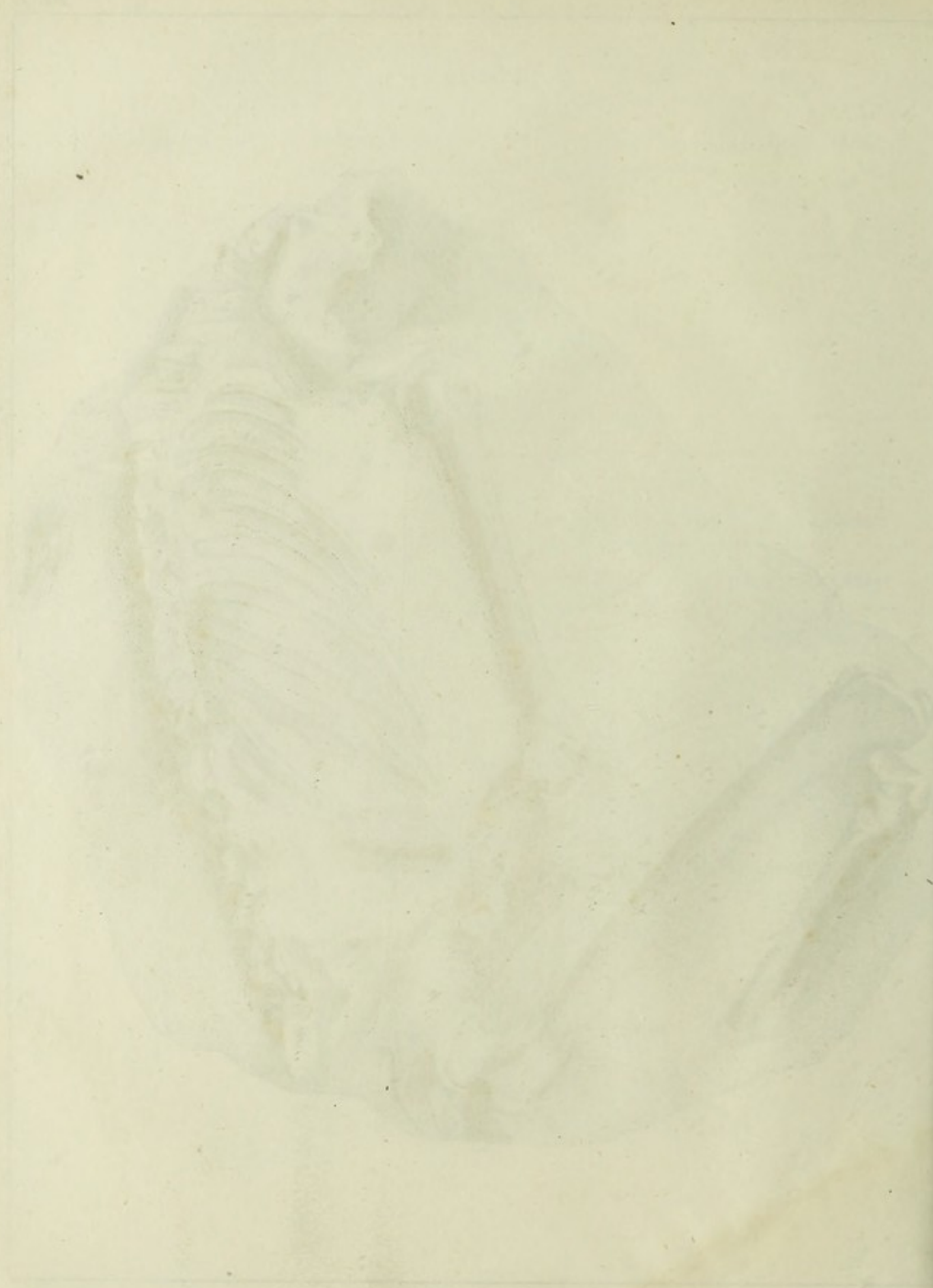


Illustration of a fish, possibly a salmon, shown in profile facing left.

Fig. 1.

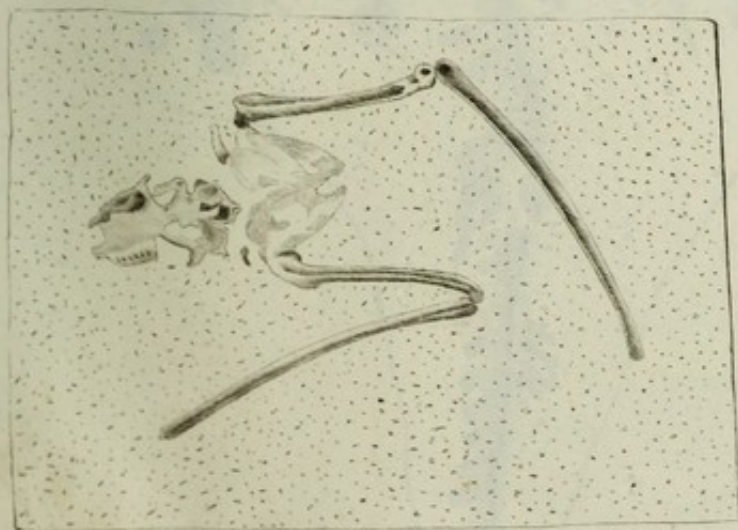


Fig. 2.

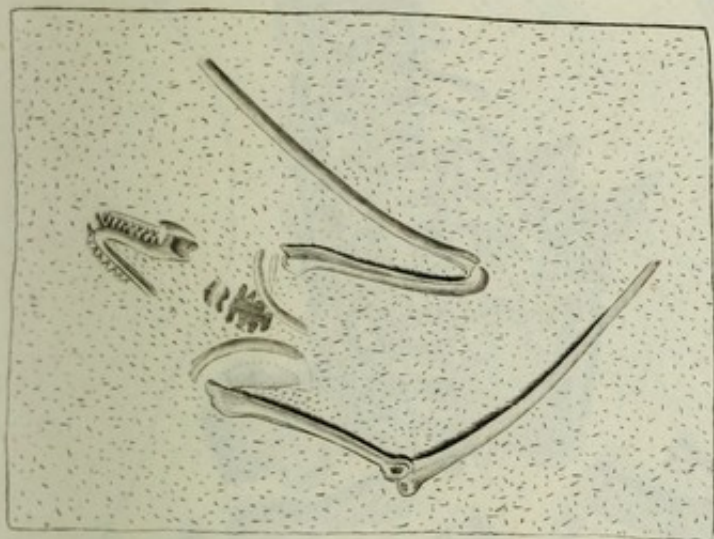


Fig. 3.

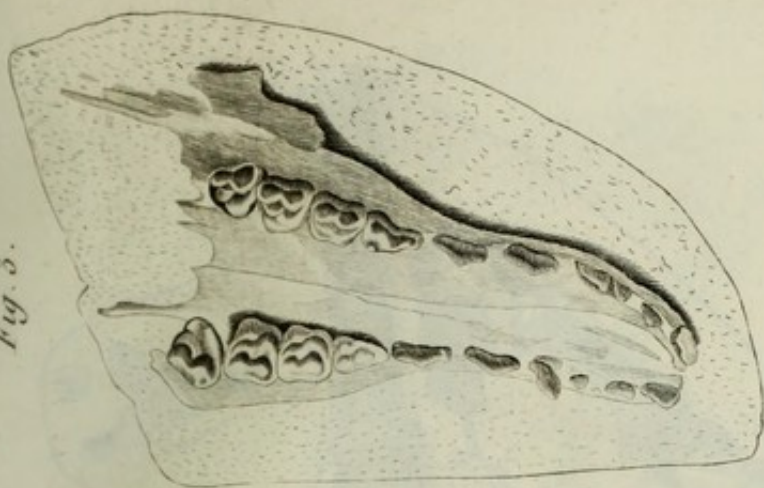


Fig. 4.



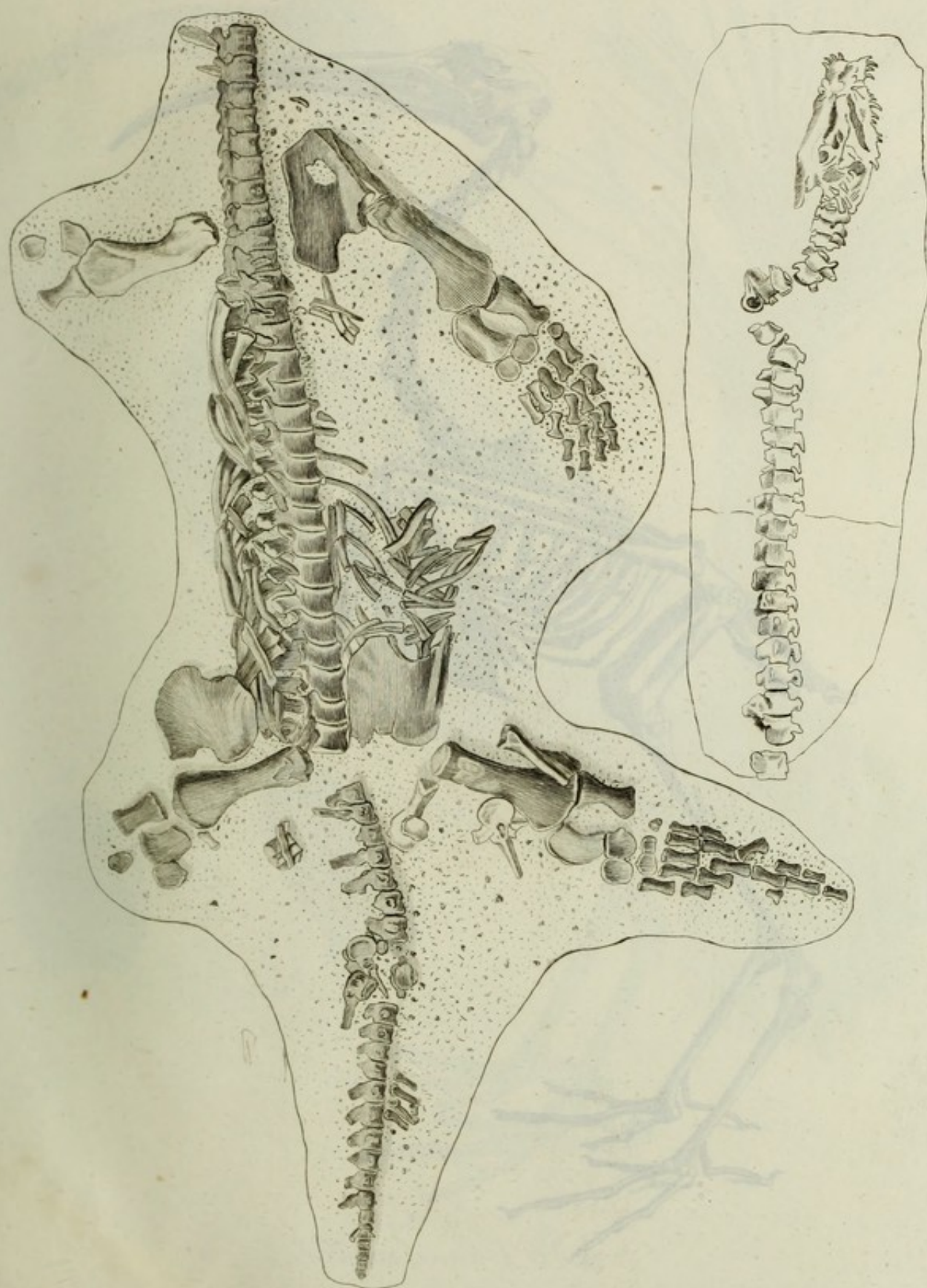
Fig. 5.



Fig. 1 et 2 Portion de squelette de Chauve-souris de Montmartre. Fig. 3. Machoire supérieure d'*Anoplotherium leporinum*.

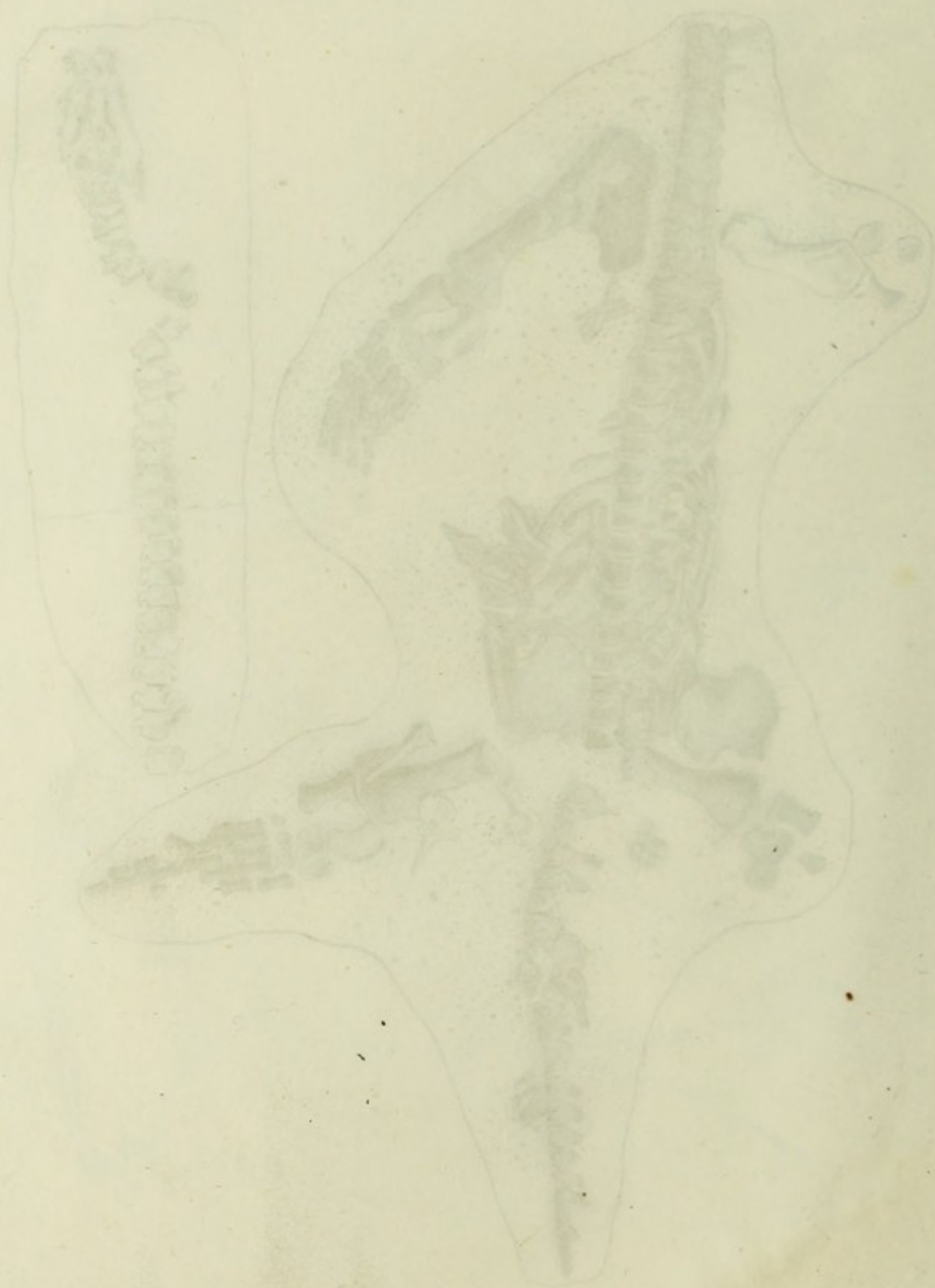
Fig. 4 et 5. Machoire inférieure de *Mastodonte* à dents étroites.





SQUELETTE FOSSILE DE PLESIOSAURUS DE LYME-REGIS.

Squelette d'un Plesiosaurus d'une espèce de Chelone en Egypte.





Squelette d'Ibis, tiré d'une momie de Thèbes en Egypte.

M^e Boissac. del.

au tiers de sa grandeur.



Scorpion (Scorpio) - Eine Zeichnung eines Scorpions.



Numenius Ibis,
Oiseau que je pense être le véritable Ibis des Egyptiens.

M^e Boleac ad nat. del.

au tiers de sa grandeur,



Plumage de l'heron
Ces plumes se trouvent dans le cabinet de l'heron
et sont de couleur blanche.

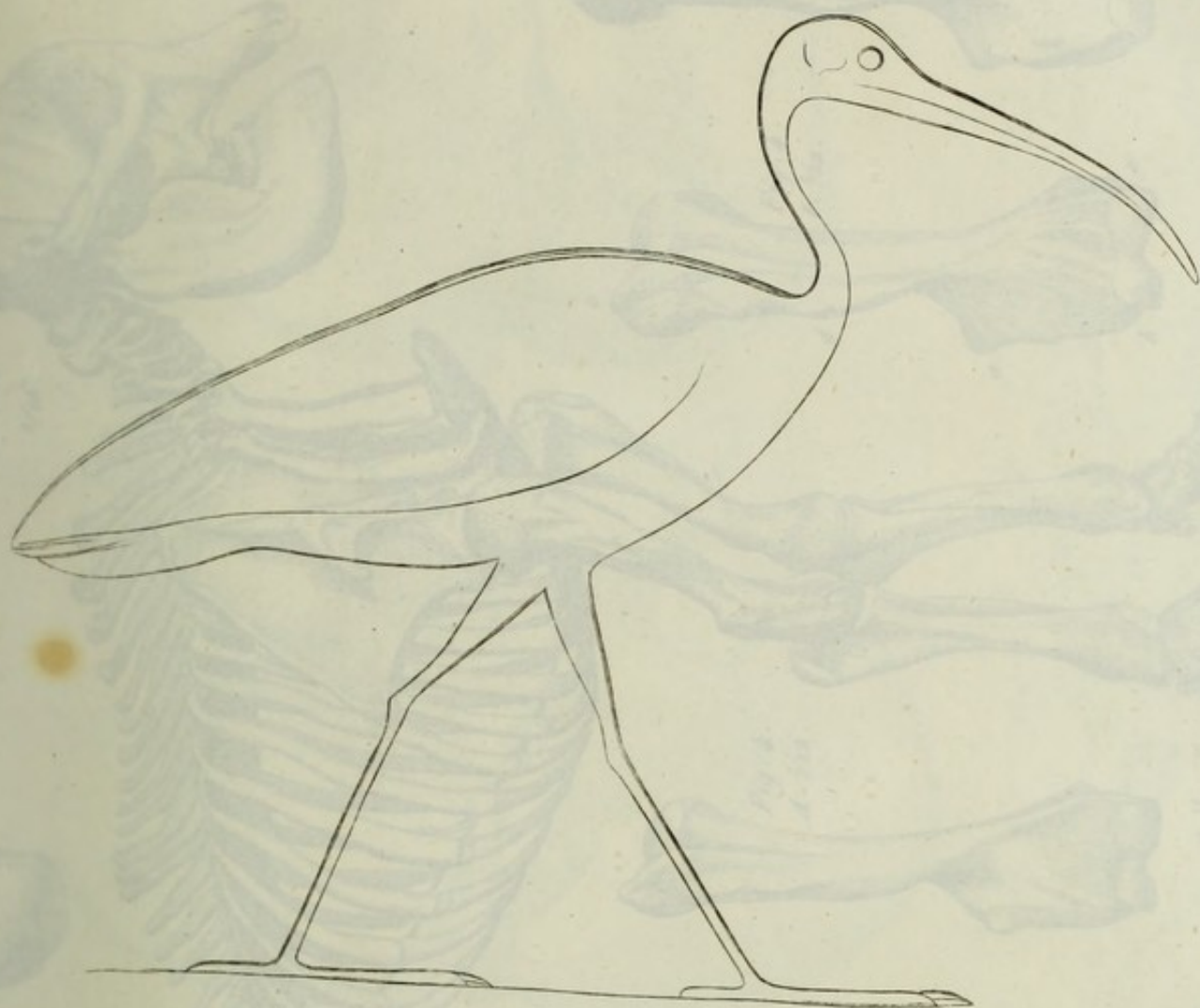


Figure d'Ibis, copiée sur l'un des temples de la haute Egypte.



bec tiré d'une momie d'Ibis, par M^r. Olivier, à moitié-grandeur.

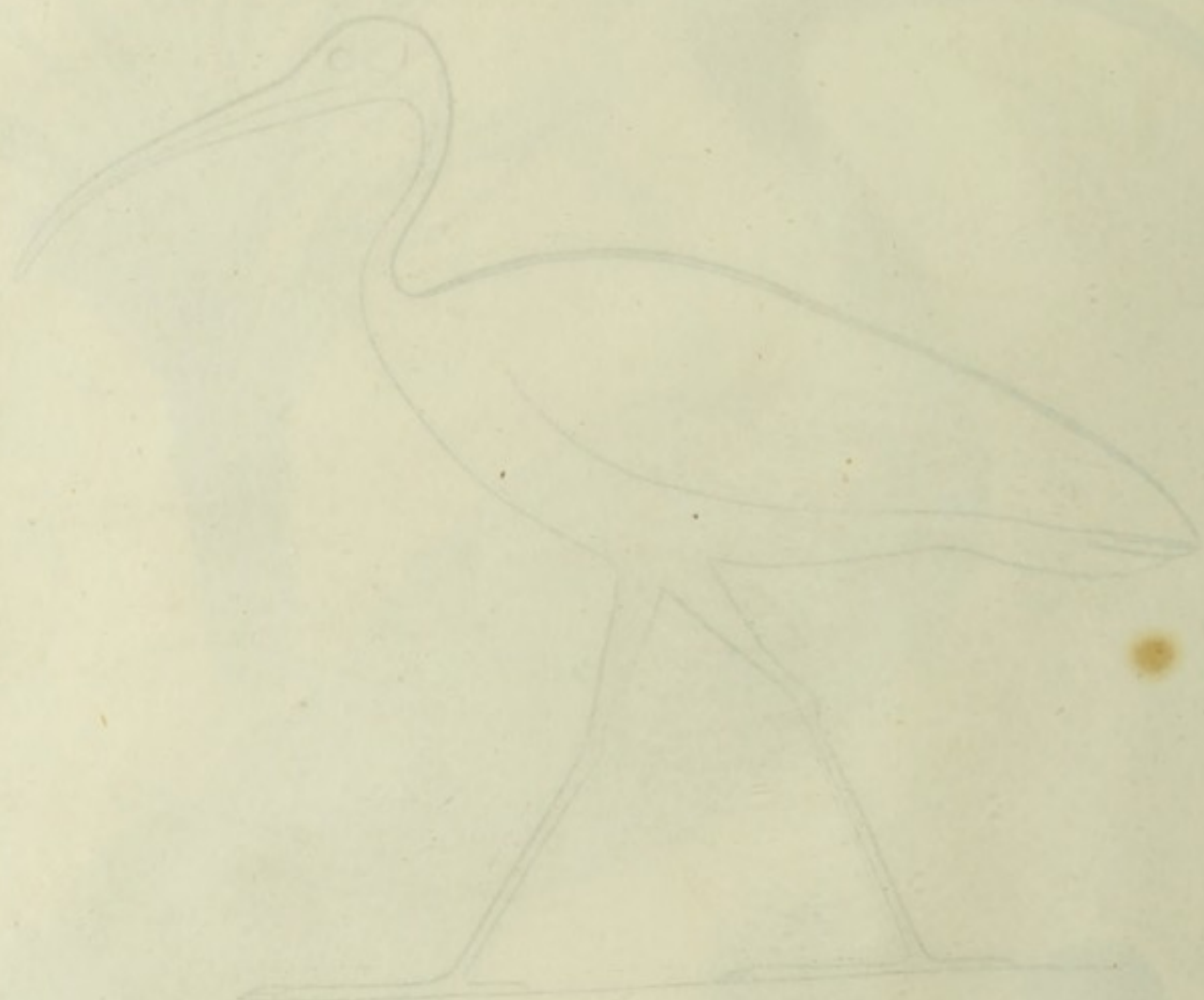
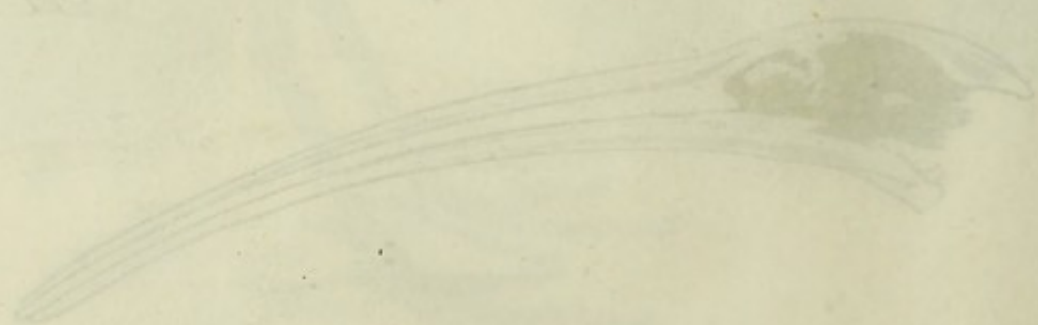


Figure de l'espèce sur l'un des bords de la page



Les deux figures sont de l'espèce de l'oiseau

L.

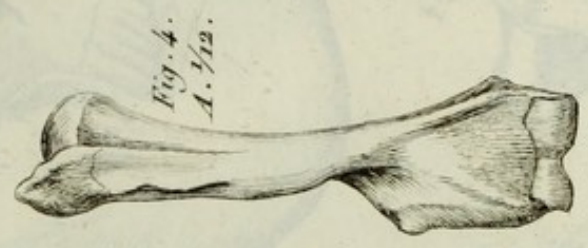
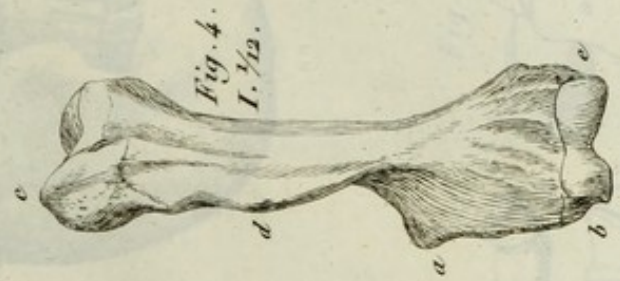
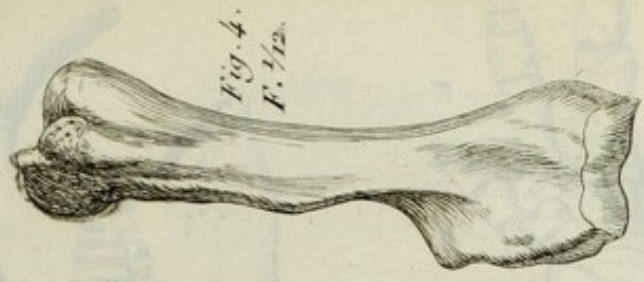
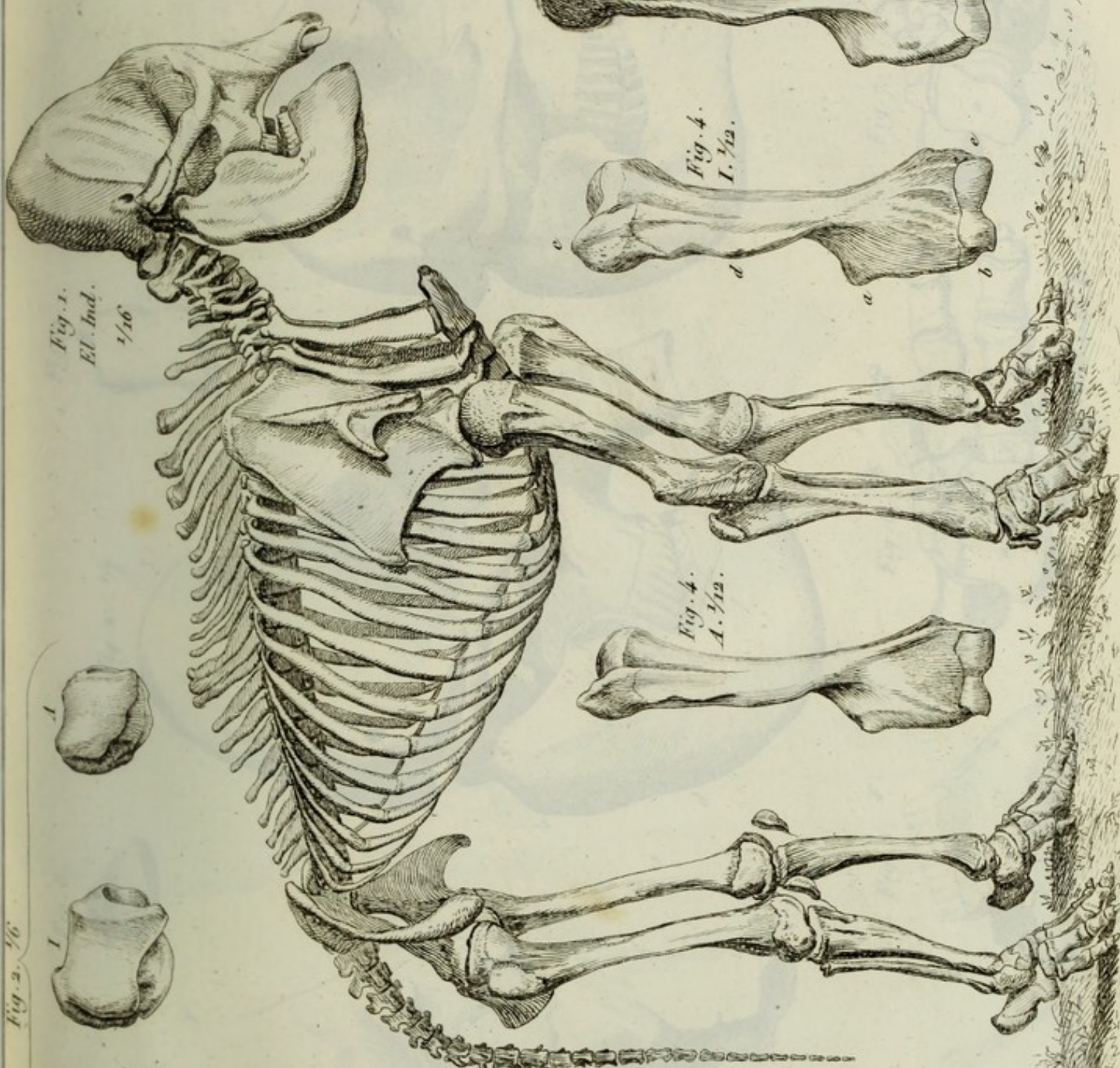


Fig. 5. 1/12

Fig. 1. 2. 3. 4. 5. 6. 7. 8. 9. 10. 11. 12. 13. 14. 15. 16. 17. 18. 19. 20. 21. 22. 23. 24. 25. 26. 27. 28. 29. 30. 31. 32. 33. 34. 35. 36. 37. 38. 39. 40. 41. 42. 43. 44. 45. 46. 47. 48. 49. 50. 51. 52. 53. 54. 55. 56. 57. 58. 59. 60. 61. 62. 63. 64. 65. 66. 67. 68. 69. 70. 71. 72. 73. 74. 75. 76. 77. 78. 79. 80. 81. 82. 83. 84. 85. 86. 87. 88. 89. 90. 91. 92. 93. 94. 95. 96. 97. 98. 99. 100.

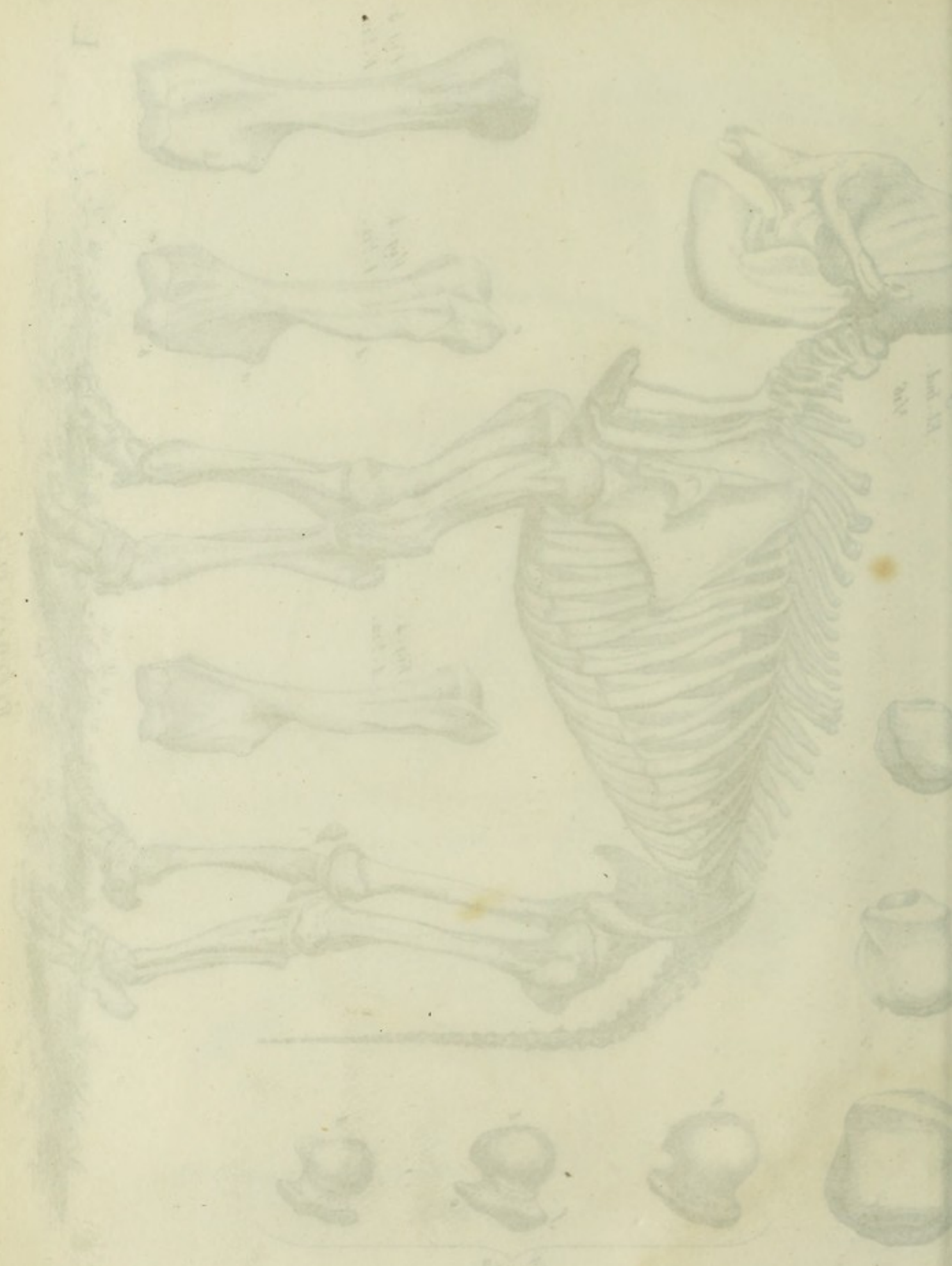


Fig. 1.

Fig. 2.



Fig. 5. $\frac{1}{7}$

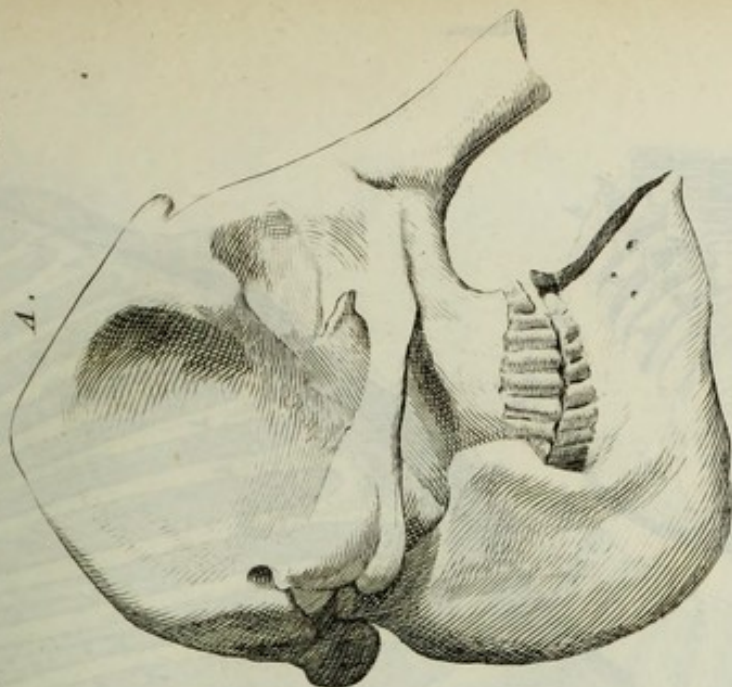


Fig. 2. $\frac{1}{7}$

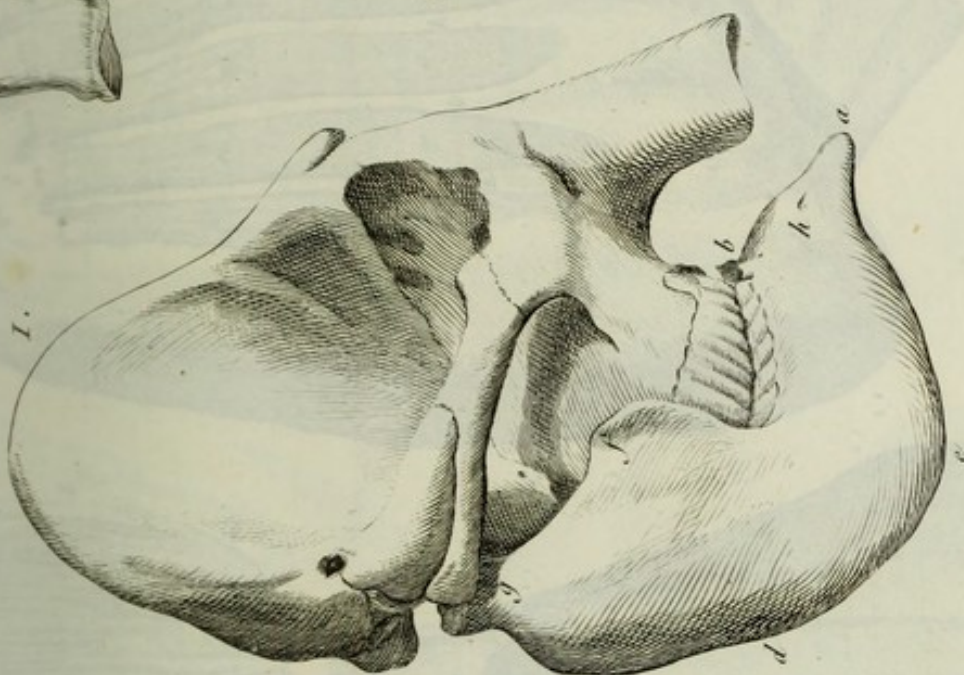


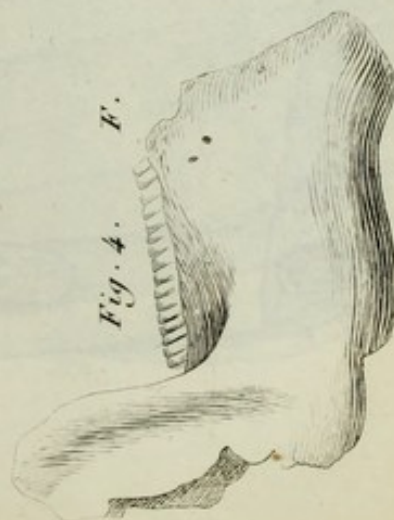
Fig. 1.

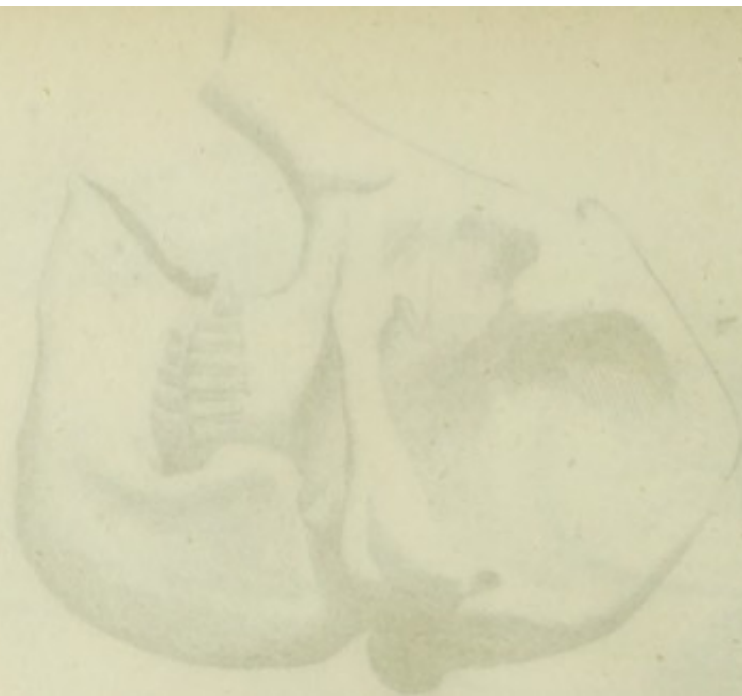


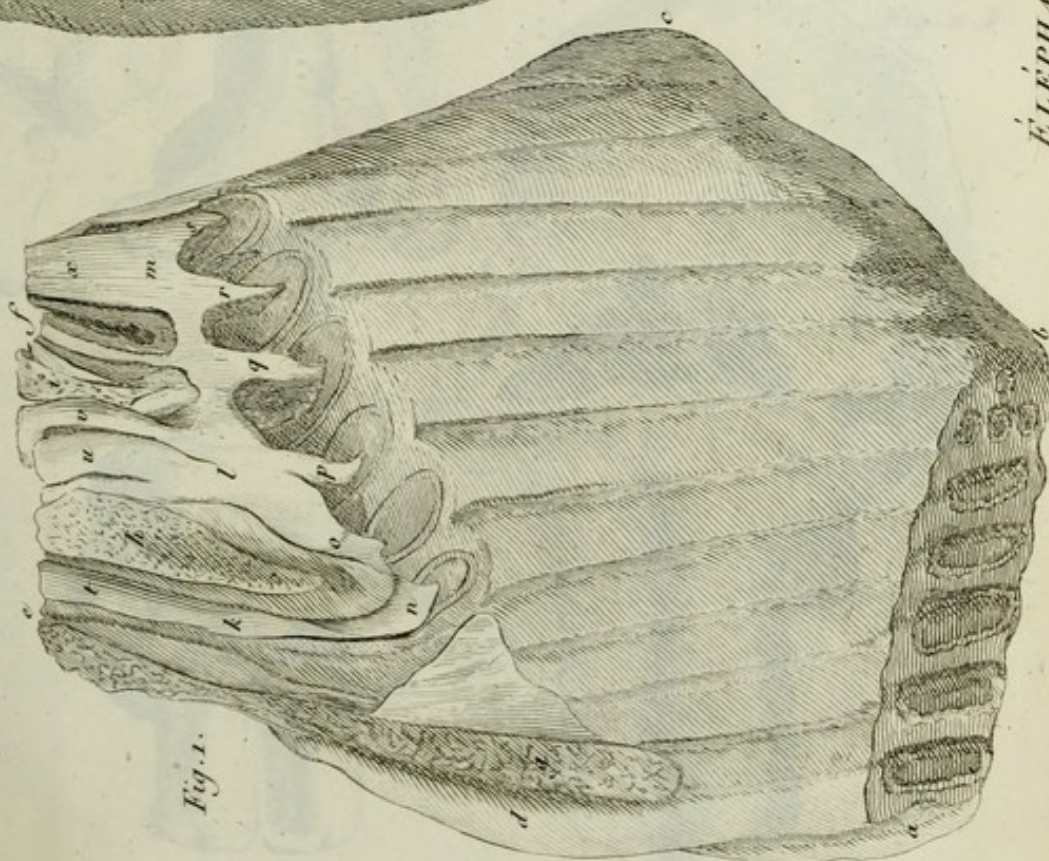
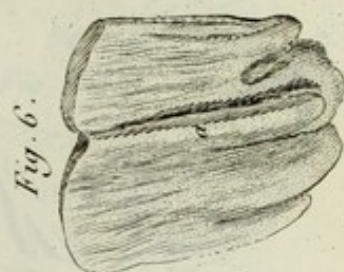
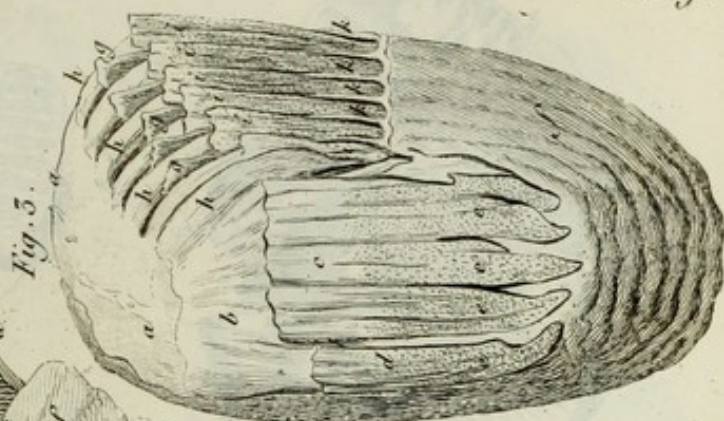
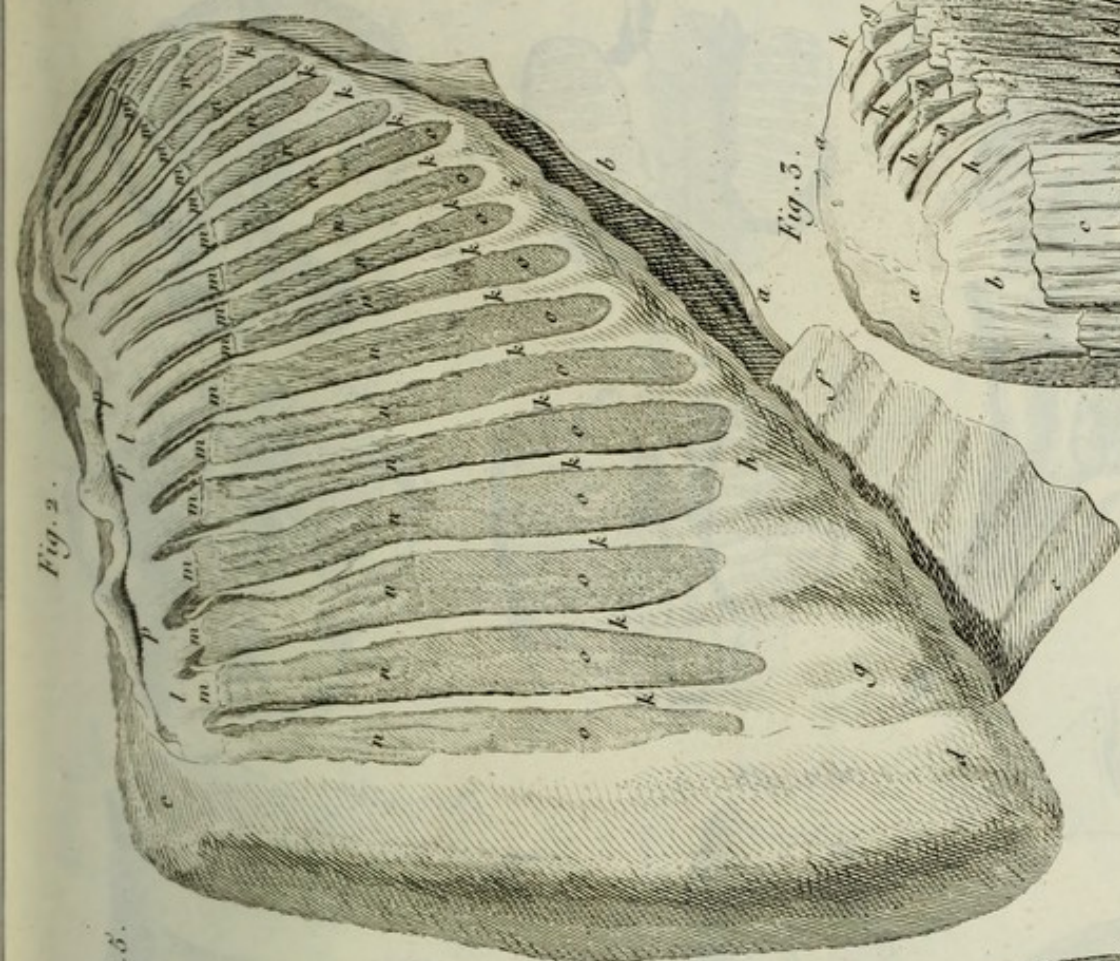
Fig. 5. F.



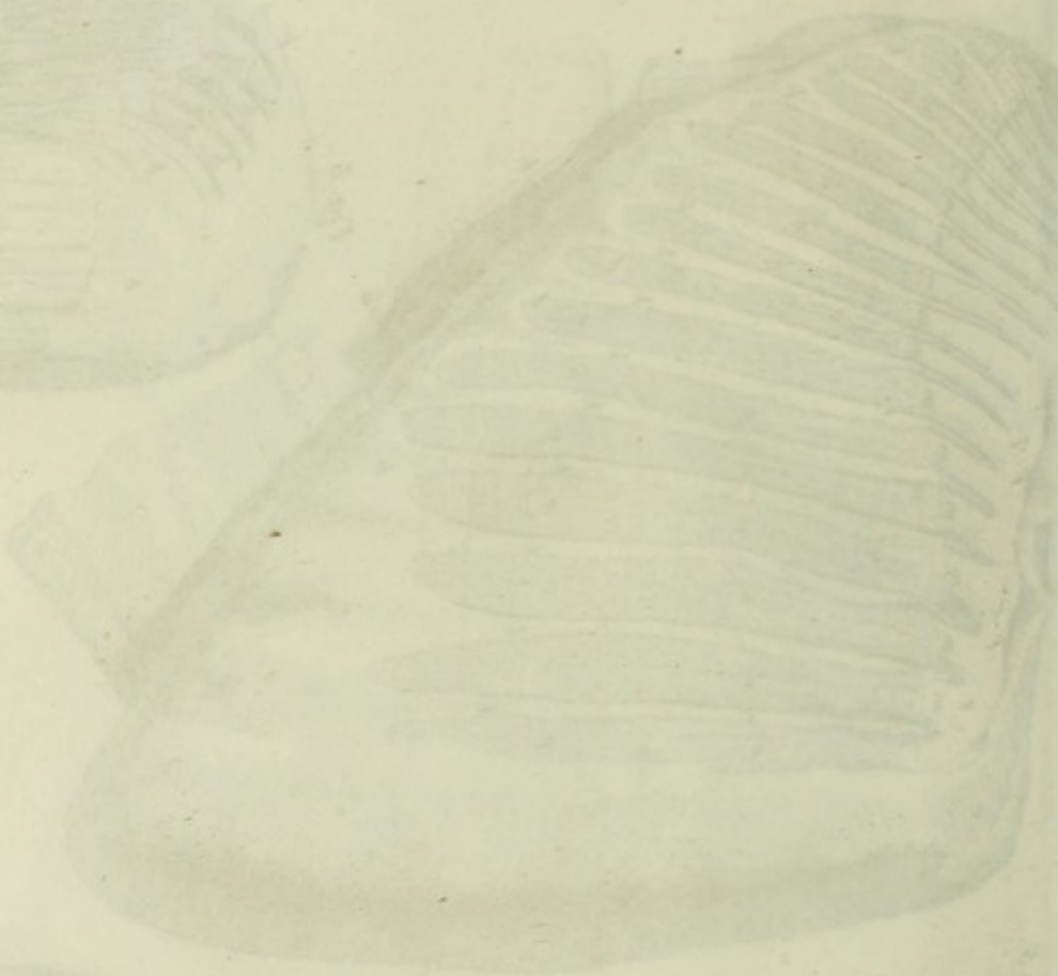
Fig. 4. F.







17



18

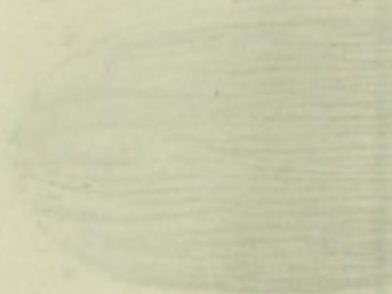


Fig. 1. I. $\frac{1}{15}$

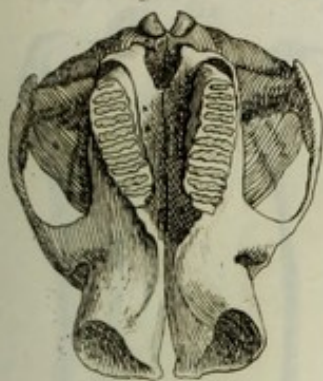


Fig. 3. F.

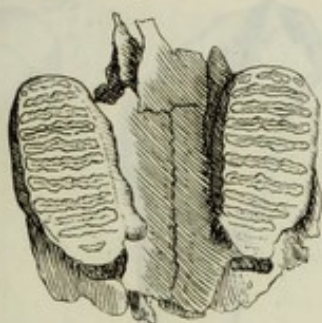


Fig. 5. I. $\frac{1}{7}$

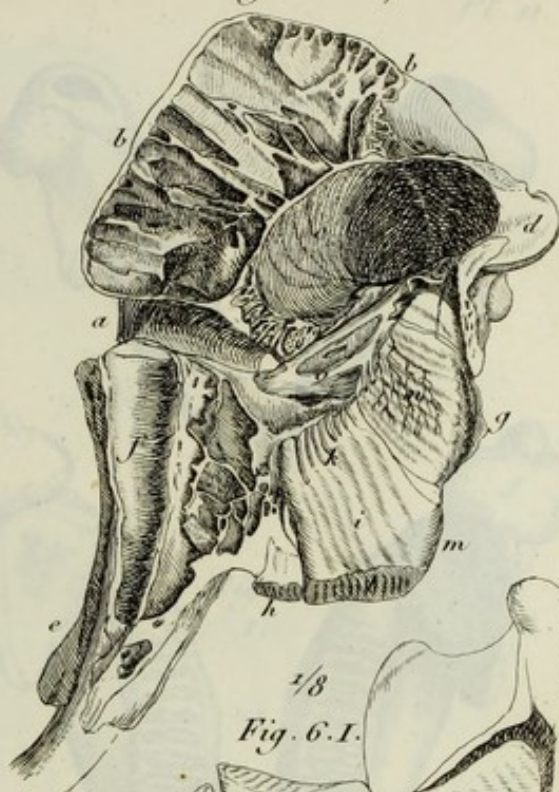


Fig. 2. A. $\frac{1}{15}$

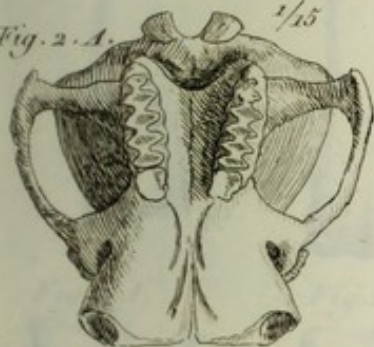
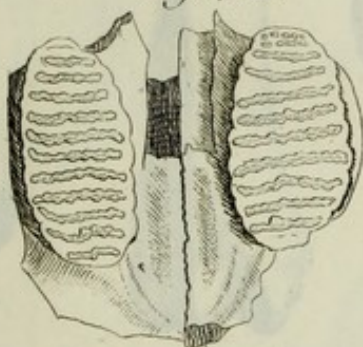


Fig. 4. F.



$\frac{1}{8}$
Fig. 6. I.



Fig. 7. F.

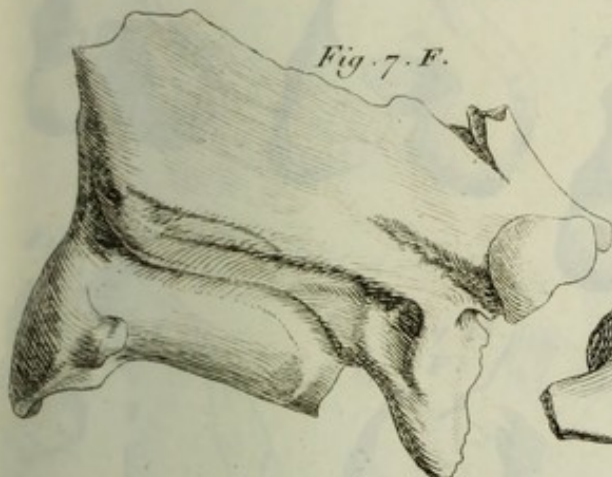


Fig. 8. F.



Fig. 9. I. $\frac{1}{12}$

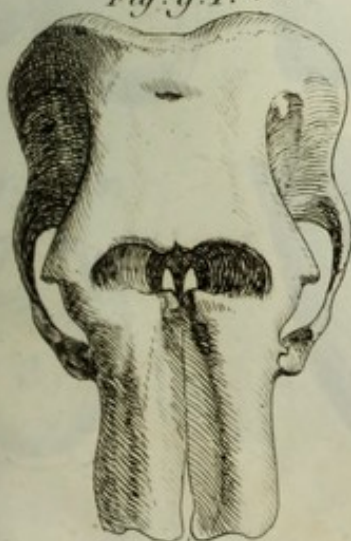


Fig. 10. A. $\frac{1}{12}$



Fig. 11. F.





Fig. 6. A. $\frac{1}{12}$



Fig. 7. I. $\frac{1}{12}$



Fig. 8. F. $\frac{1}{12}$



Fig. 1.

A.
 $\frac{1}{8}$

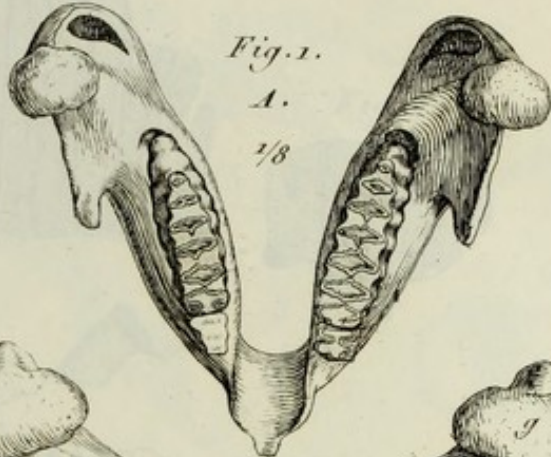


Fig. 2.

I.
 $\frac{1}{8}$

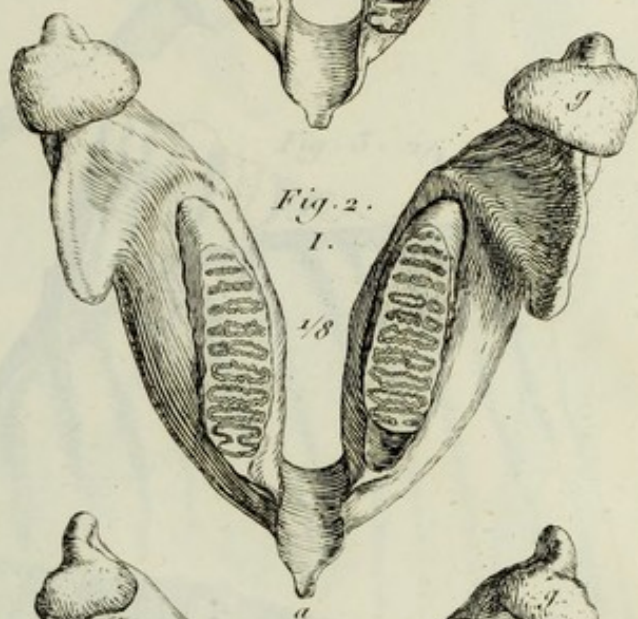


Fig. 9. A.

$\frac{1}{6}$



Fig. 10. I.

$\frac{1}{6}$



Fig. 11. F.

$\frac{1}{6}$



Fig. 12. F.

$\frac{1}{6}$



Fig. 13.

F.
 $\frac{1}{6}$



Fig. 14. F.

$\frac{1}{6}$



Fig. 3.

F.
 $\frac{1}{6}$

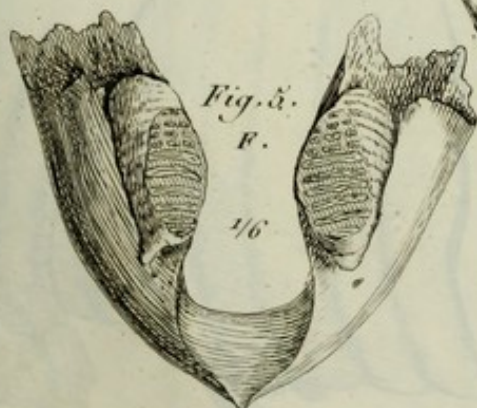
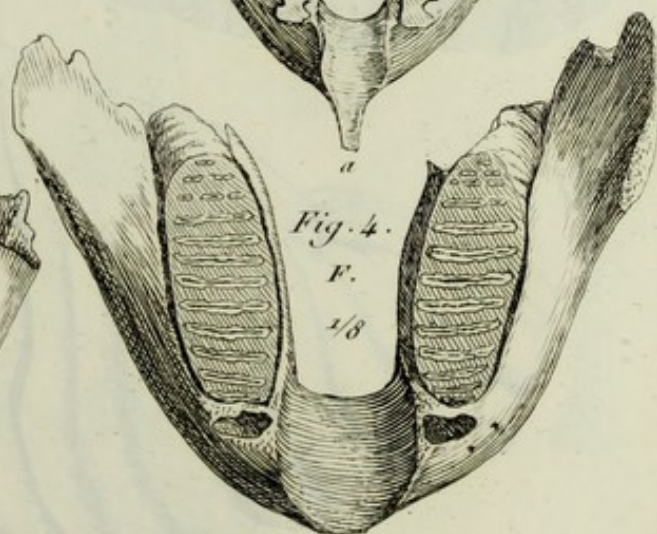


Fig. 4.

F.
 $\frac{1}{8}$





$\frac{1}{2}$ Fig. 1.

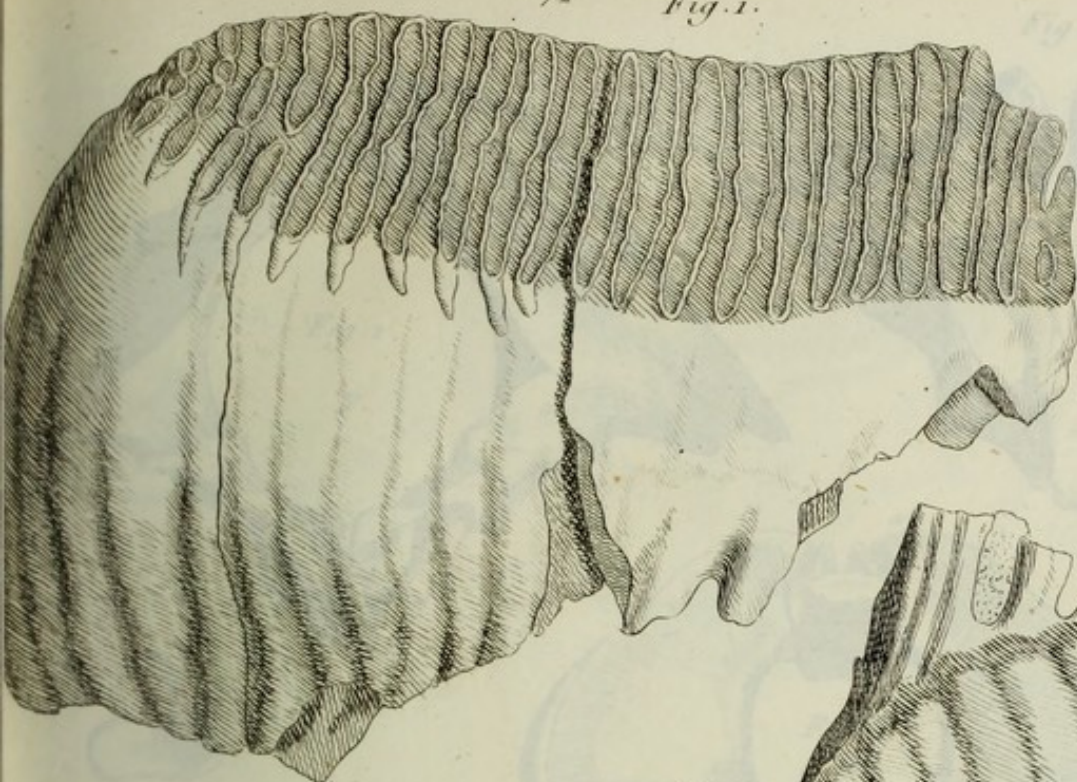


Fig. 2.



Fig. 3. $\frac{1}{2}$

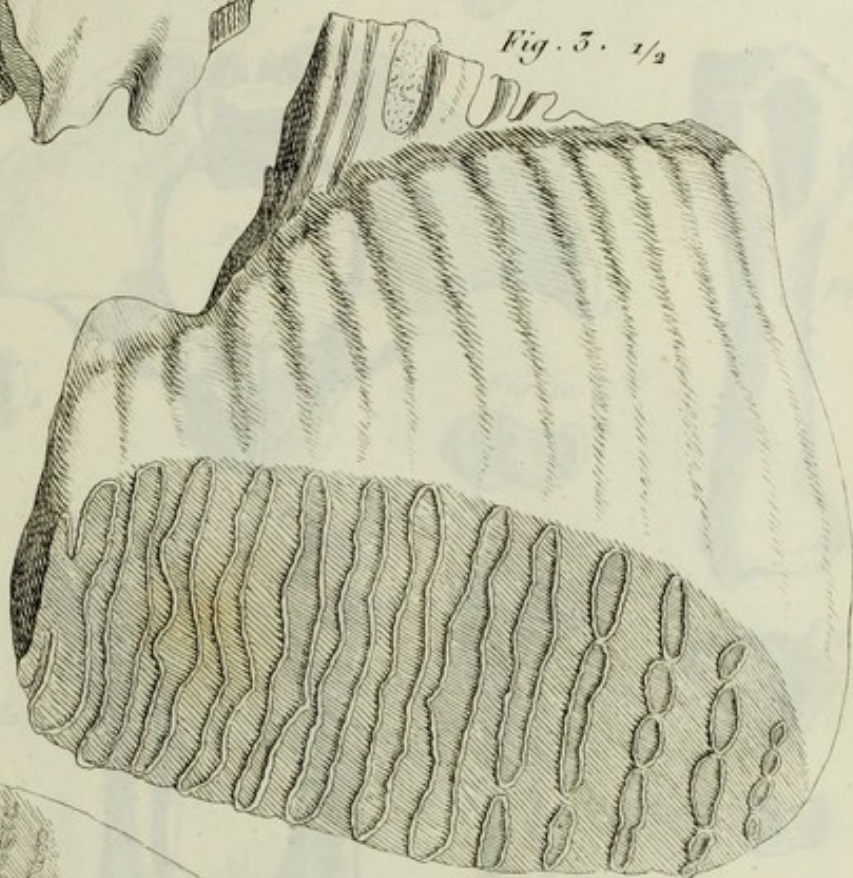
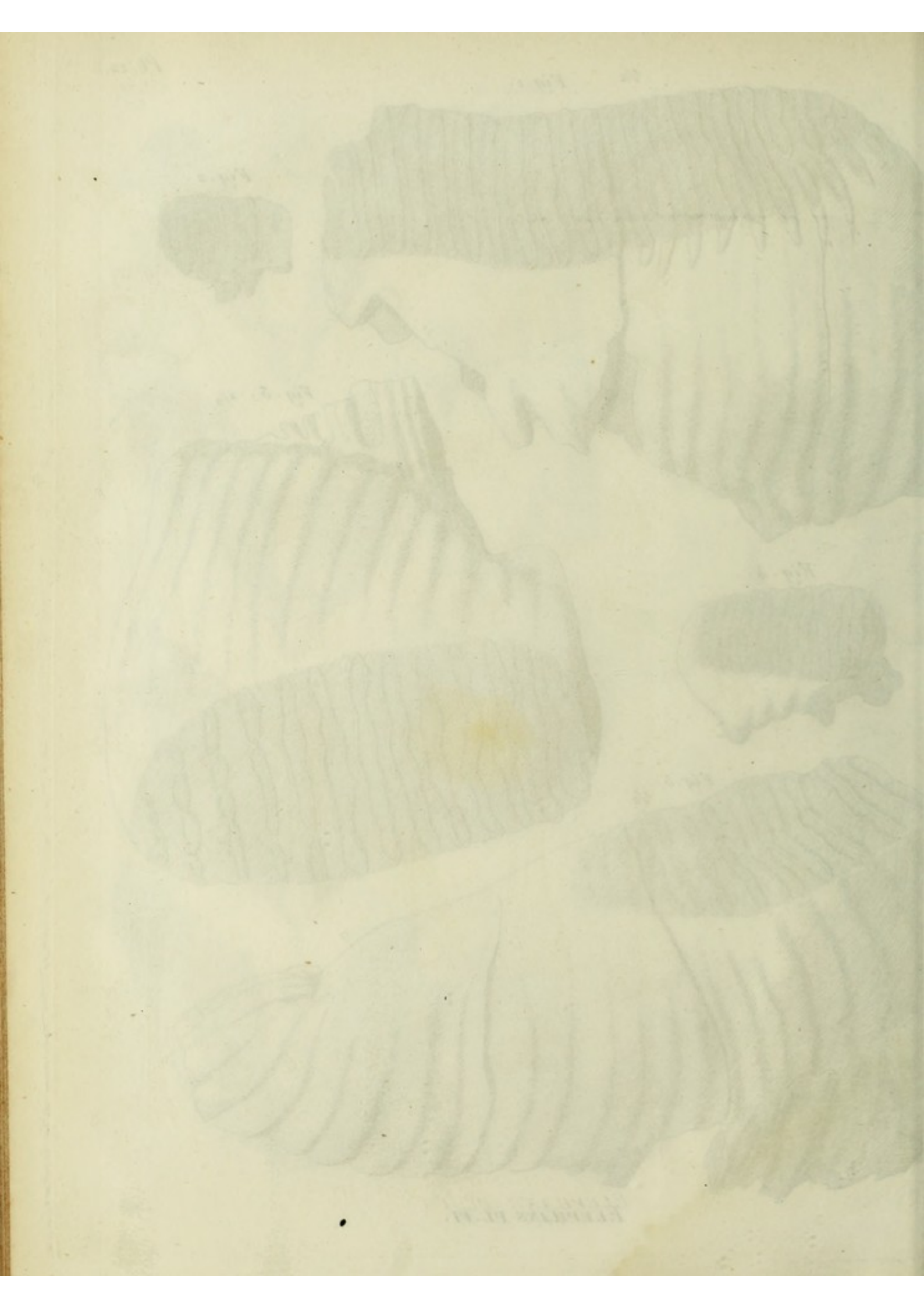


Fig. 4.

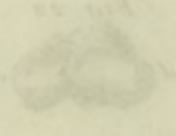
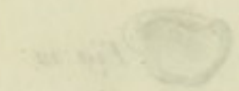
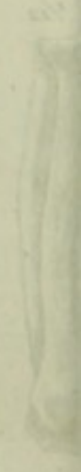
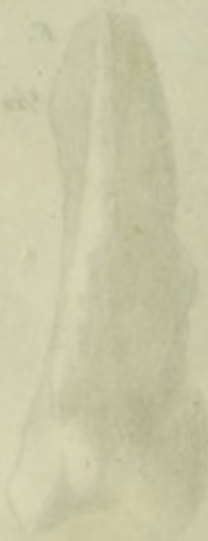
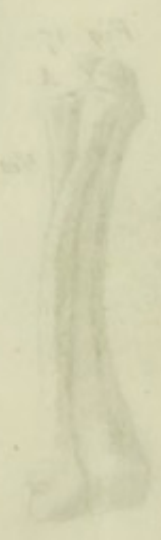
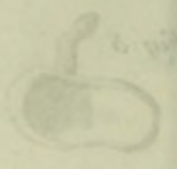


Fig. 5. $\frac{1}{2}$









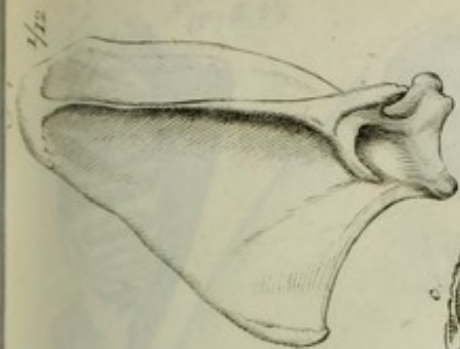


Fig. 10. F.



Fig. 12. F.

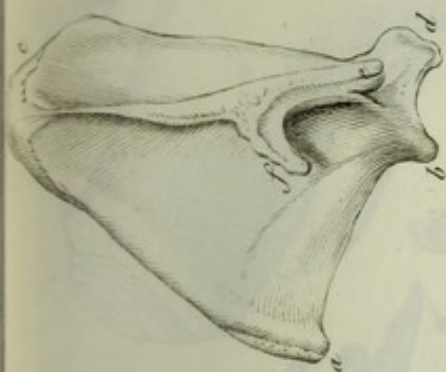
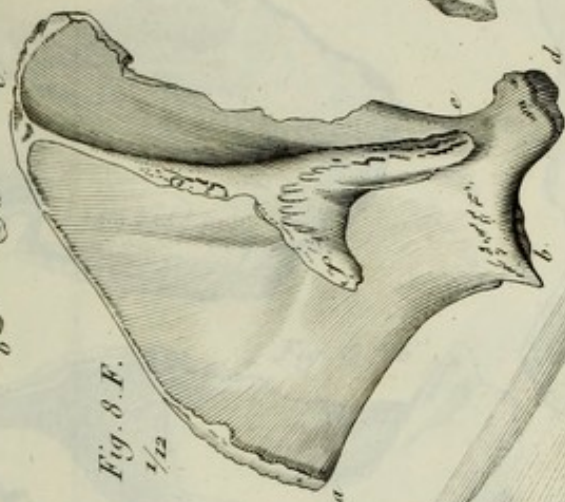


Fig. 8. F.



1/2



Fig. 4. F.

Fig. 5. F.

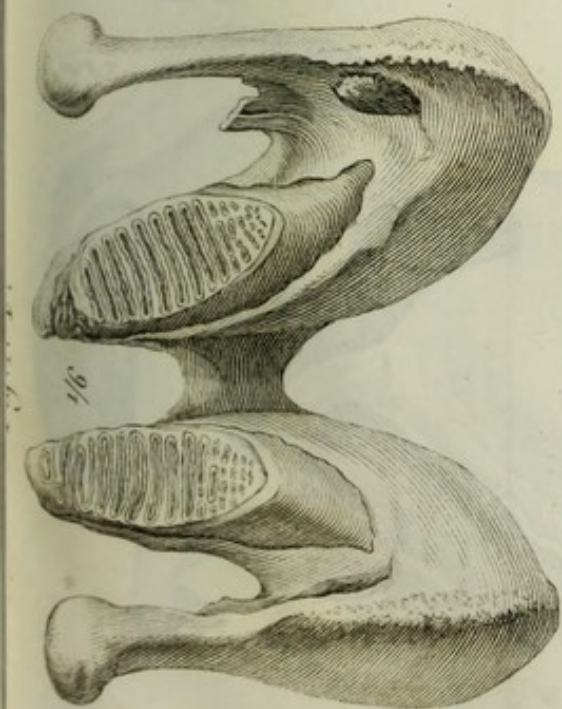


Fig. 2. F. 1/6



Fig. 9. 1/2



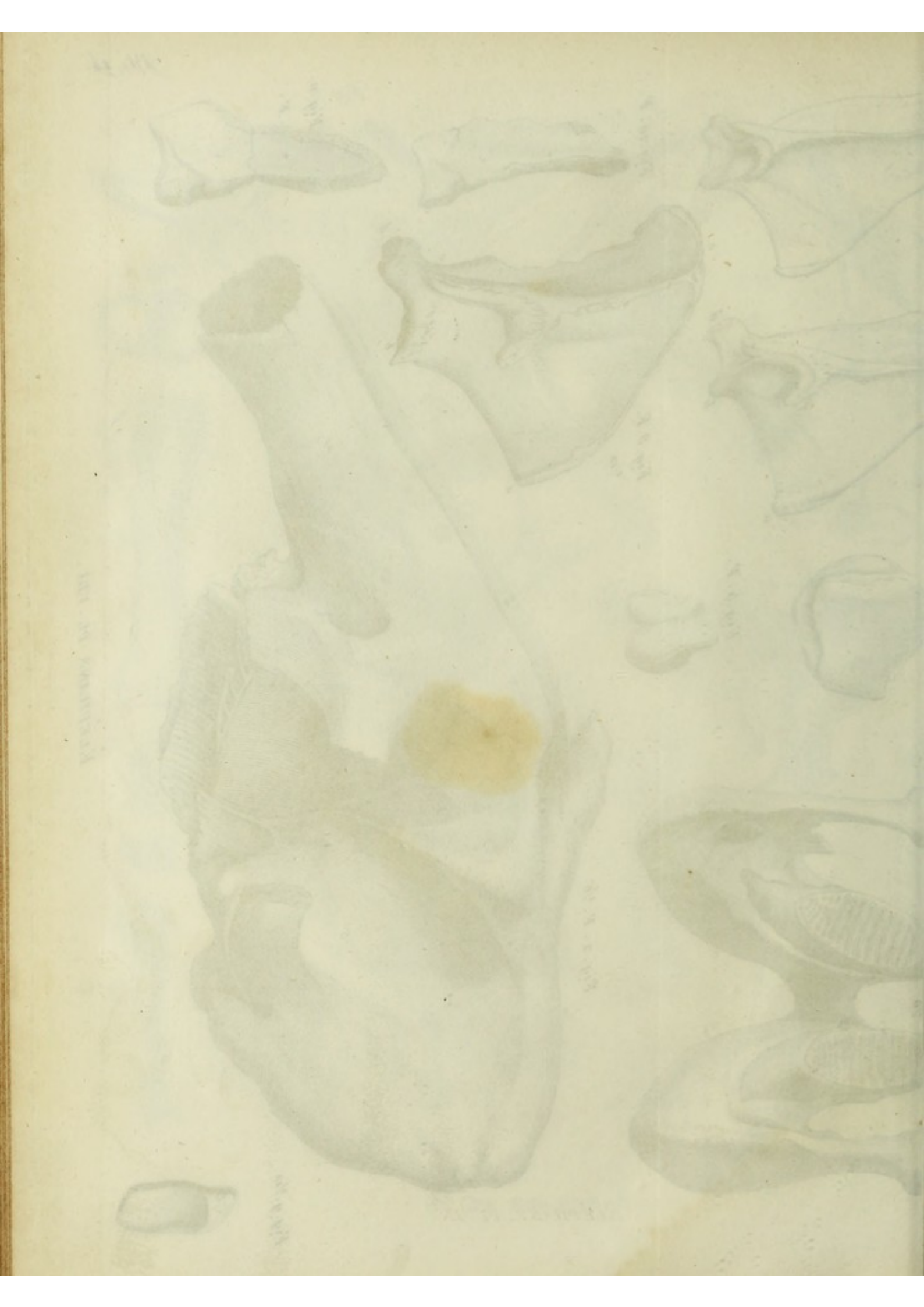




Fig. 1.
 $\frac{1}{8}$

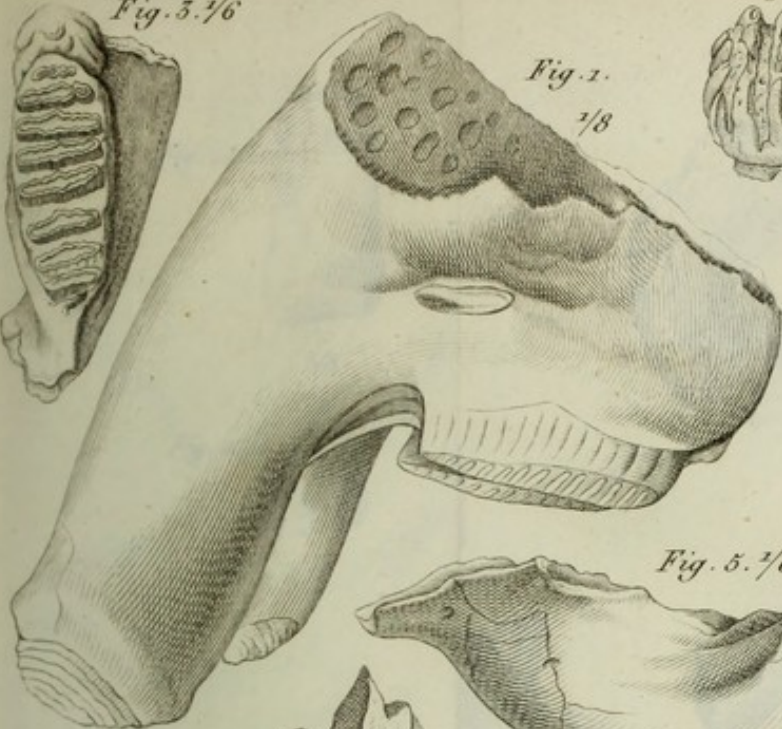


Fig. 2.
 $\frac{1}{8}$

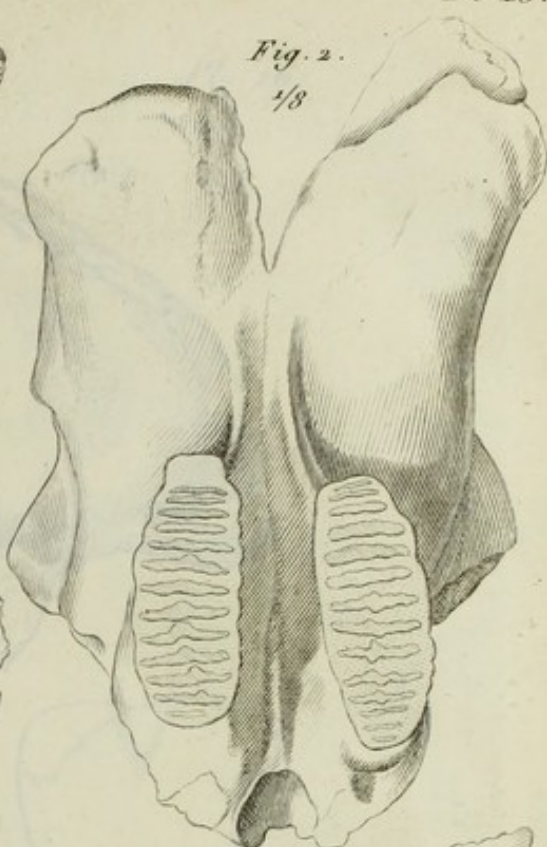


Fig. 5. $\frac{1}{6}$



Fig. 6.

$\frac{1}{6}$

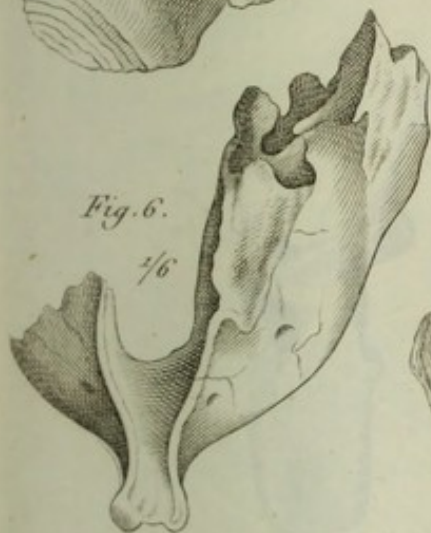


Fig. 9. $\frac{1}{6}$



Fig. 8.

$\frac{1}{6}$

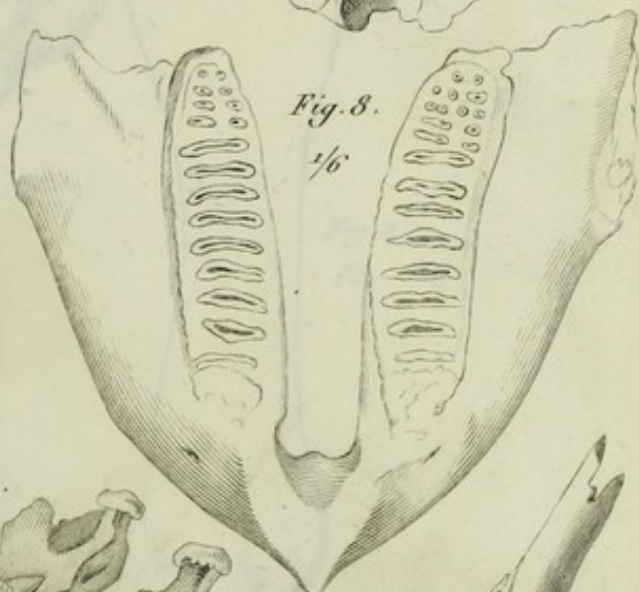


Fig. 7.
 $\frac{1}{12}$

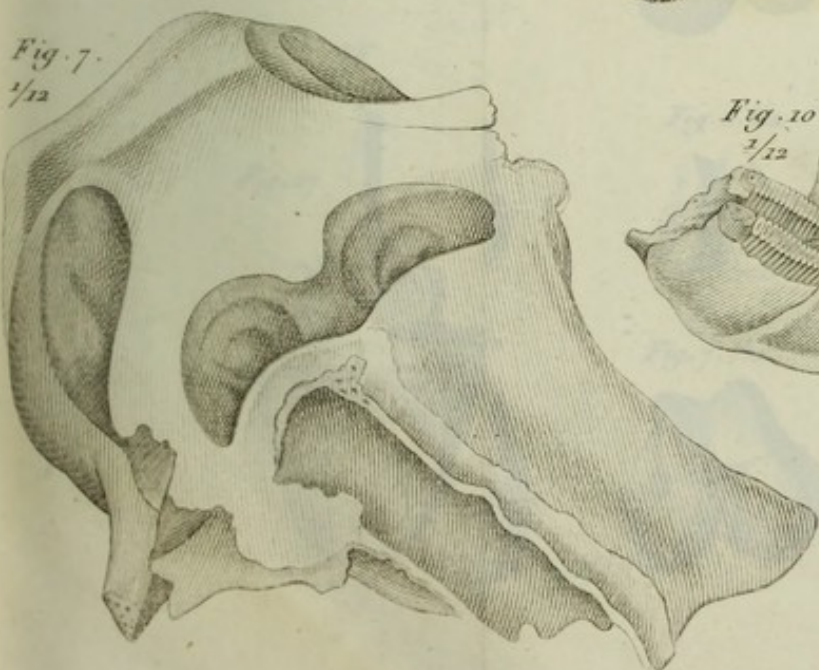


Fig. 10.

$\frac{1}{12}$

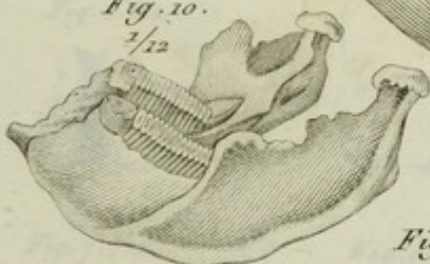


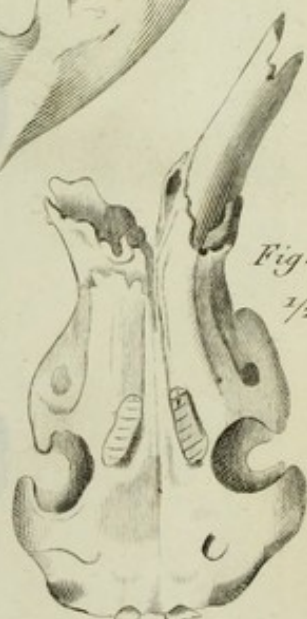
Fig. 11.

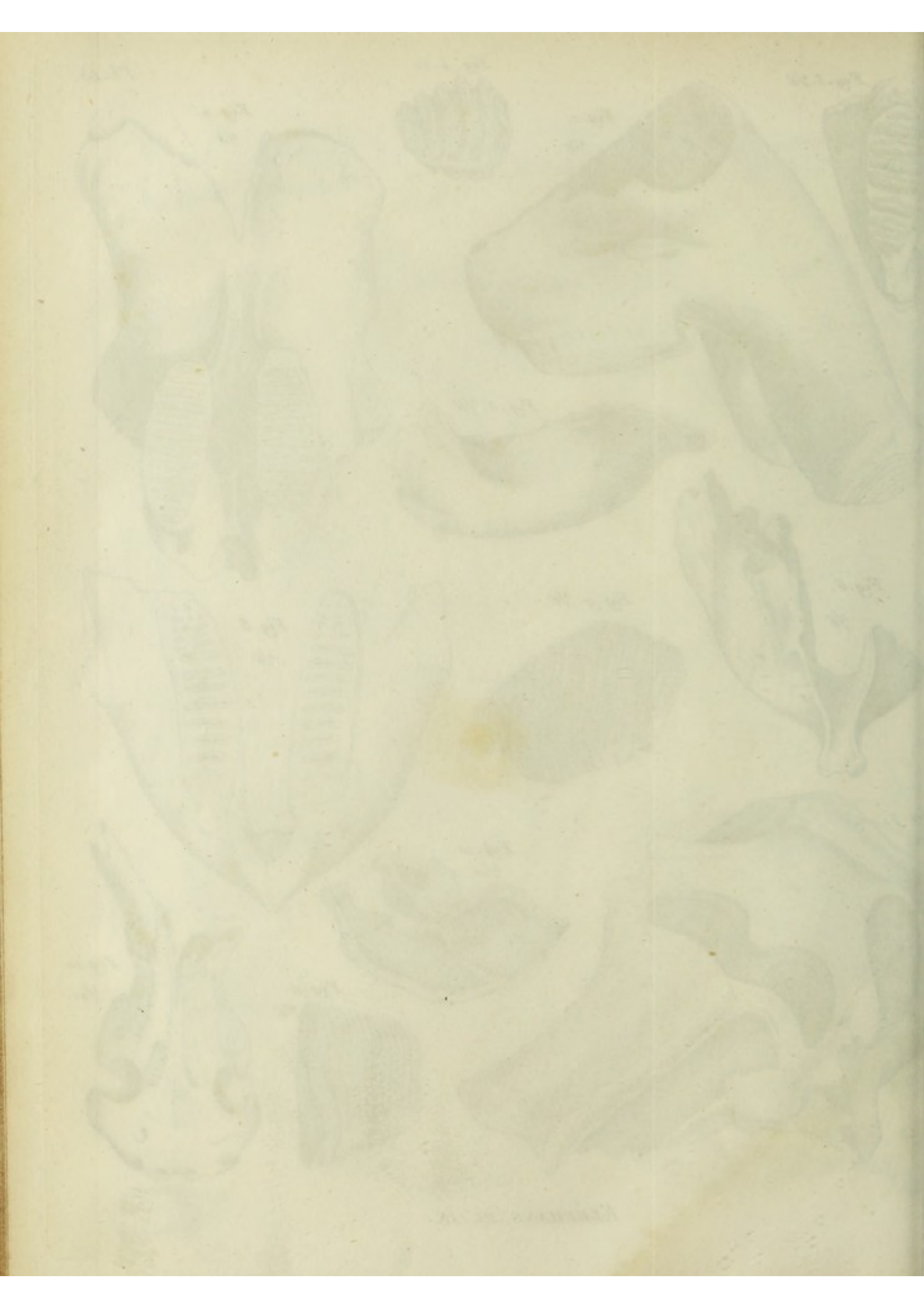
$\frac{1}{6}$



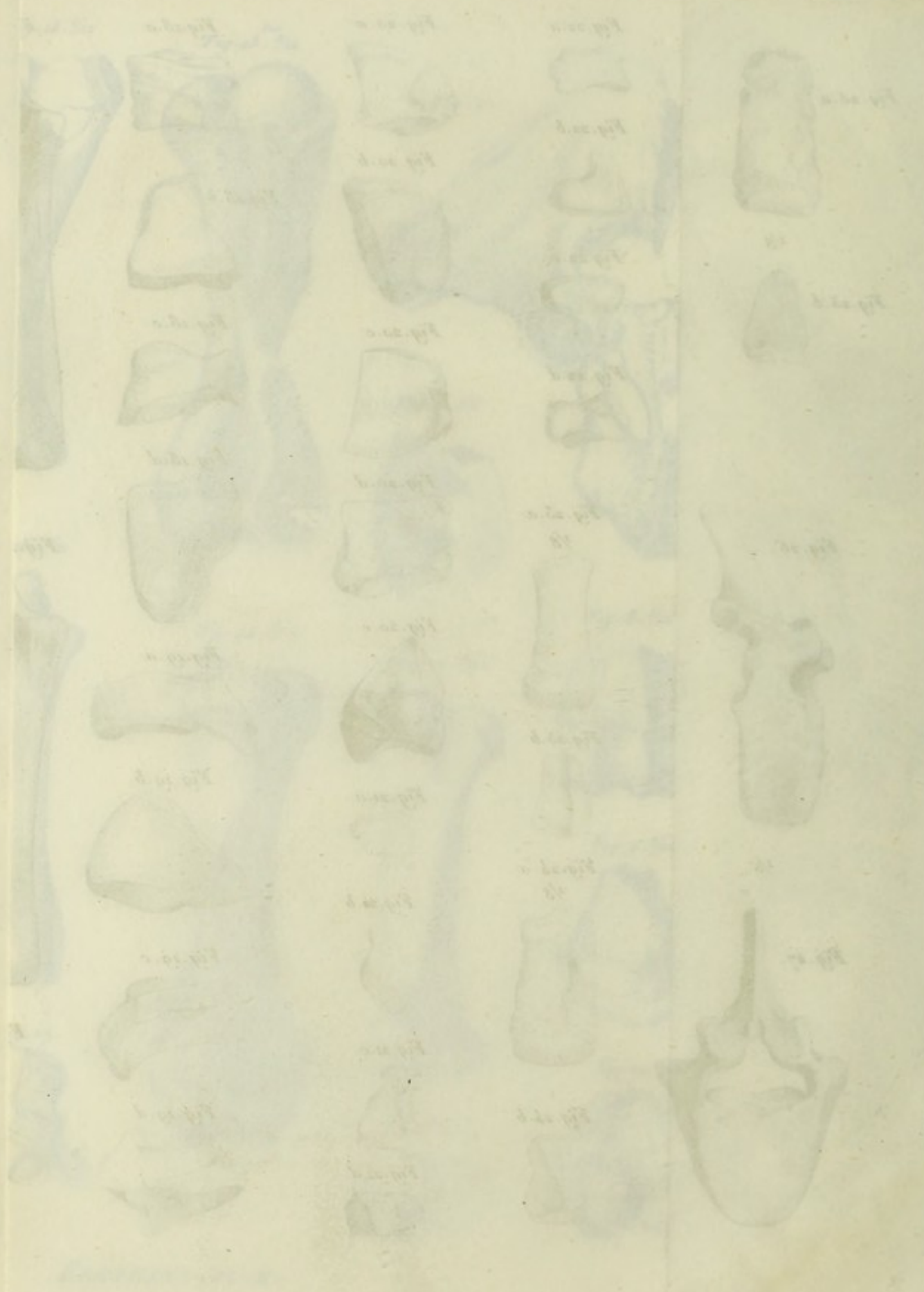
Fig. 12.

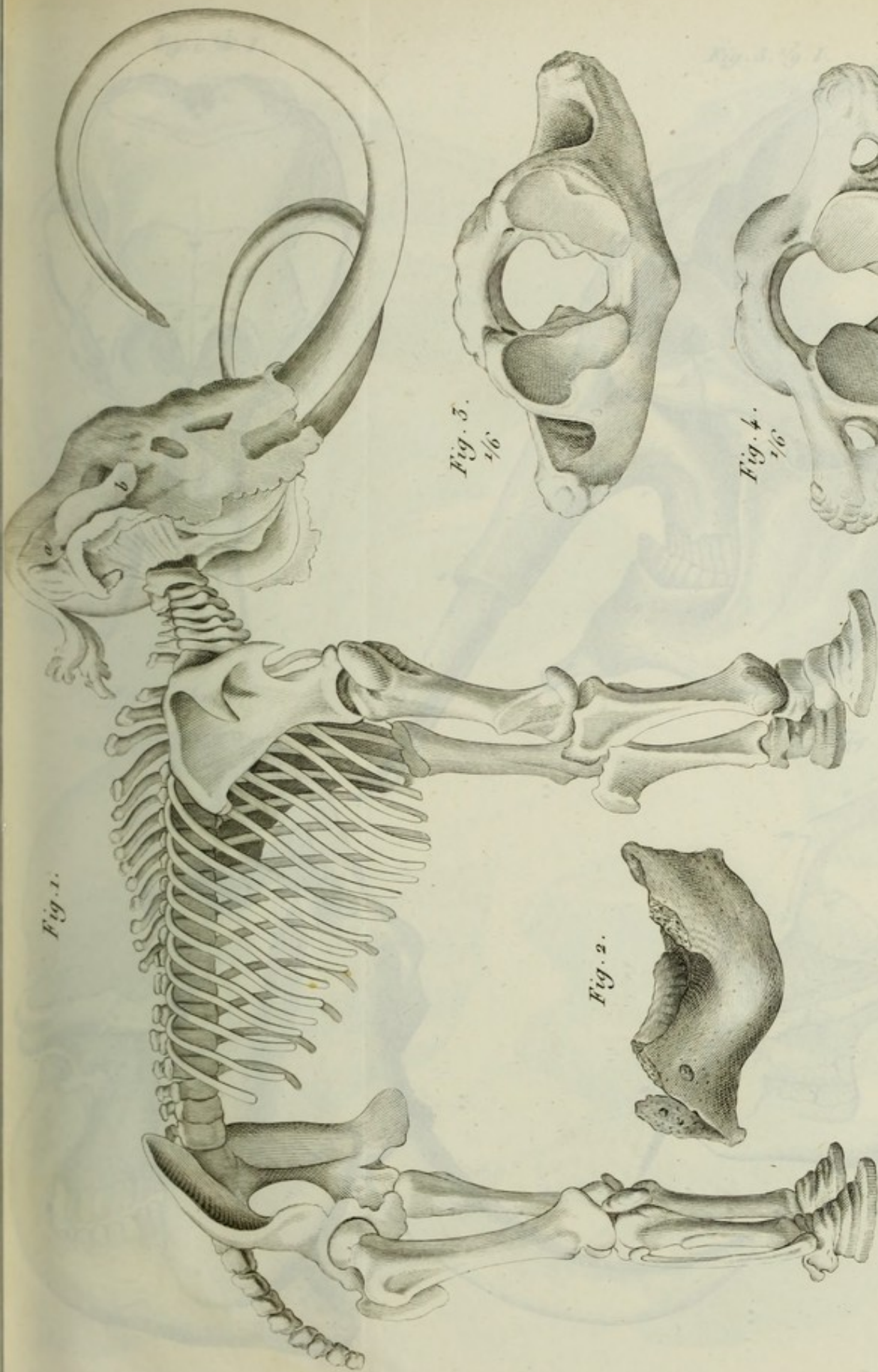
$\frac{1}{20}$











PL. IV. ANATOMIA

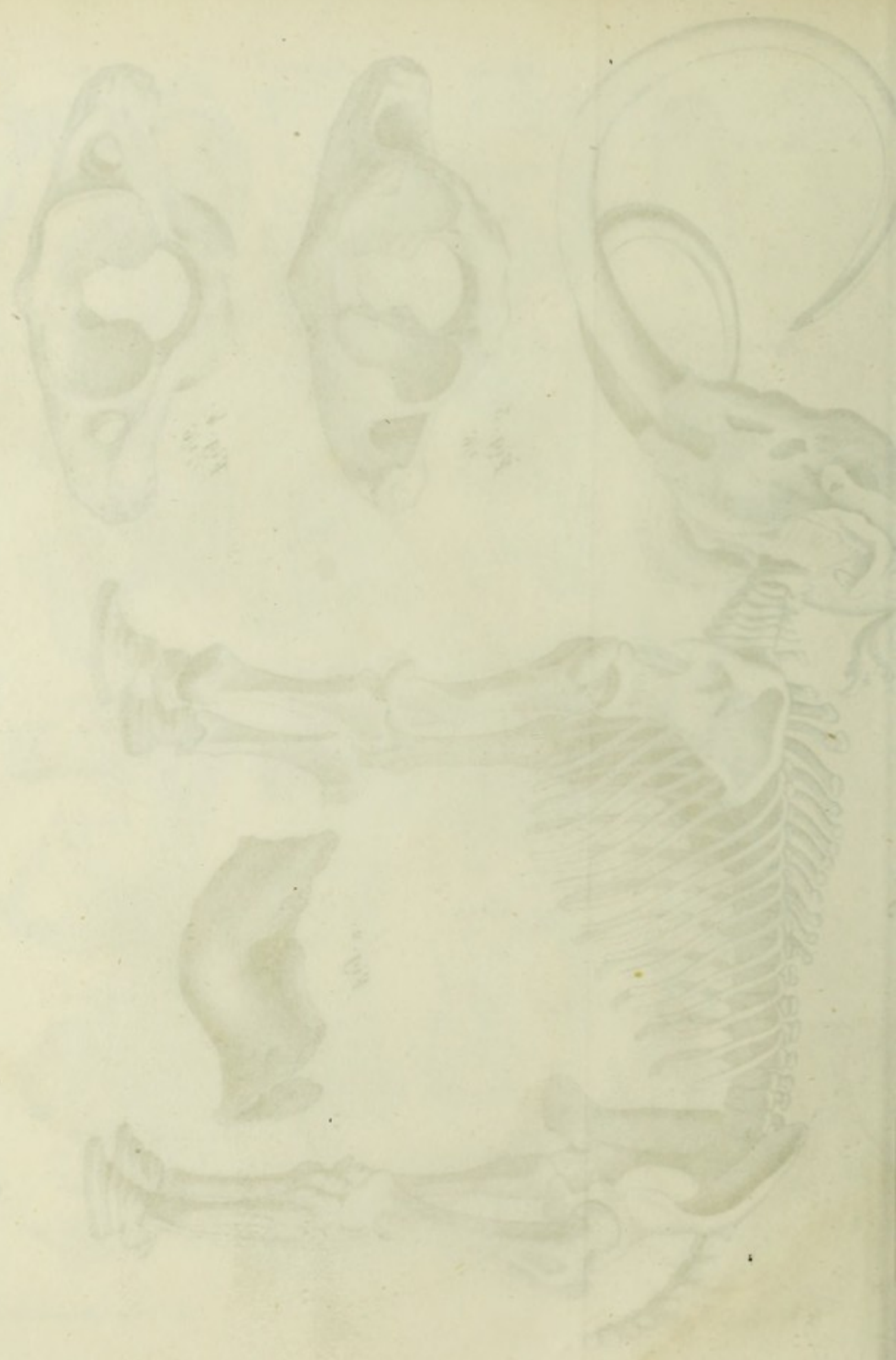


Fig. 1. $\frac{1}{6}$. I.

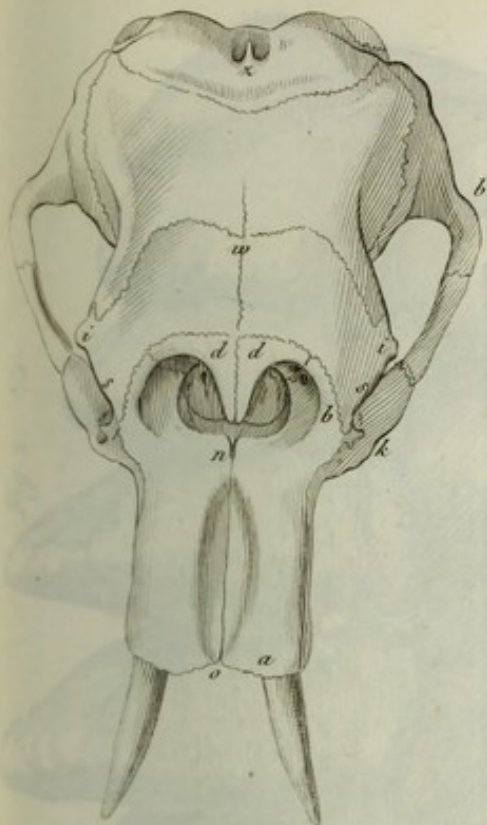


Fig. 4. $\frac{1}{12}$. I.

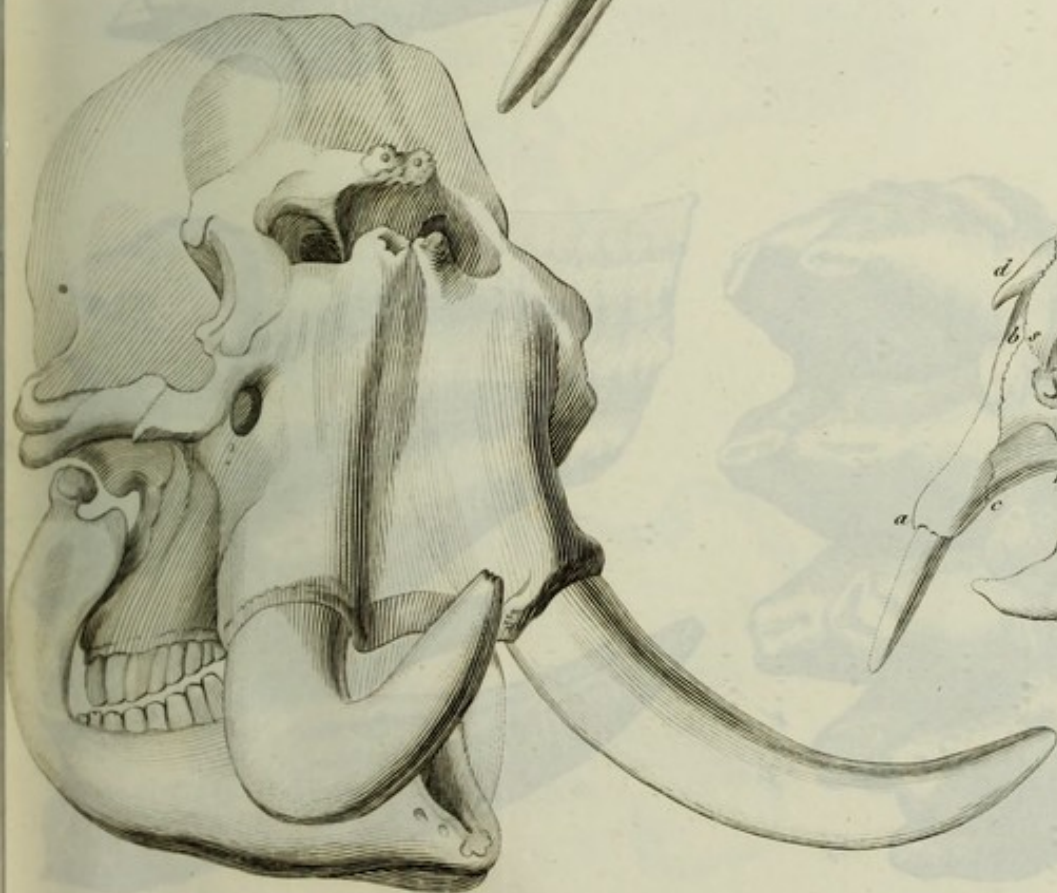


Fig. 3. $\frac{1}{9}$. I.

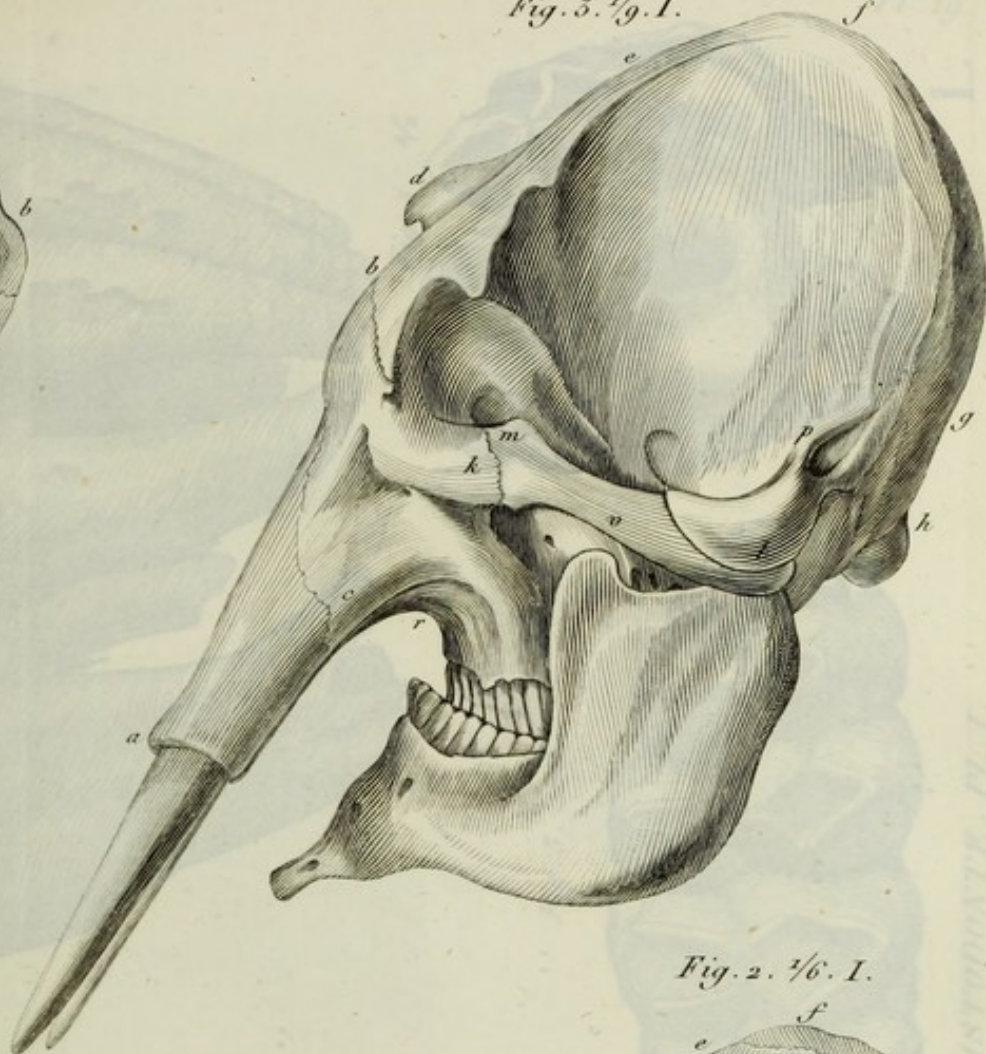
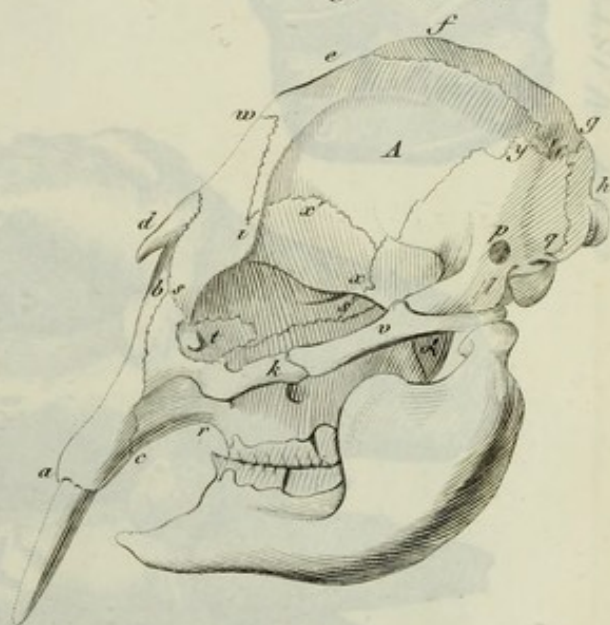
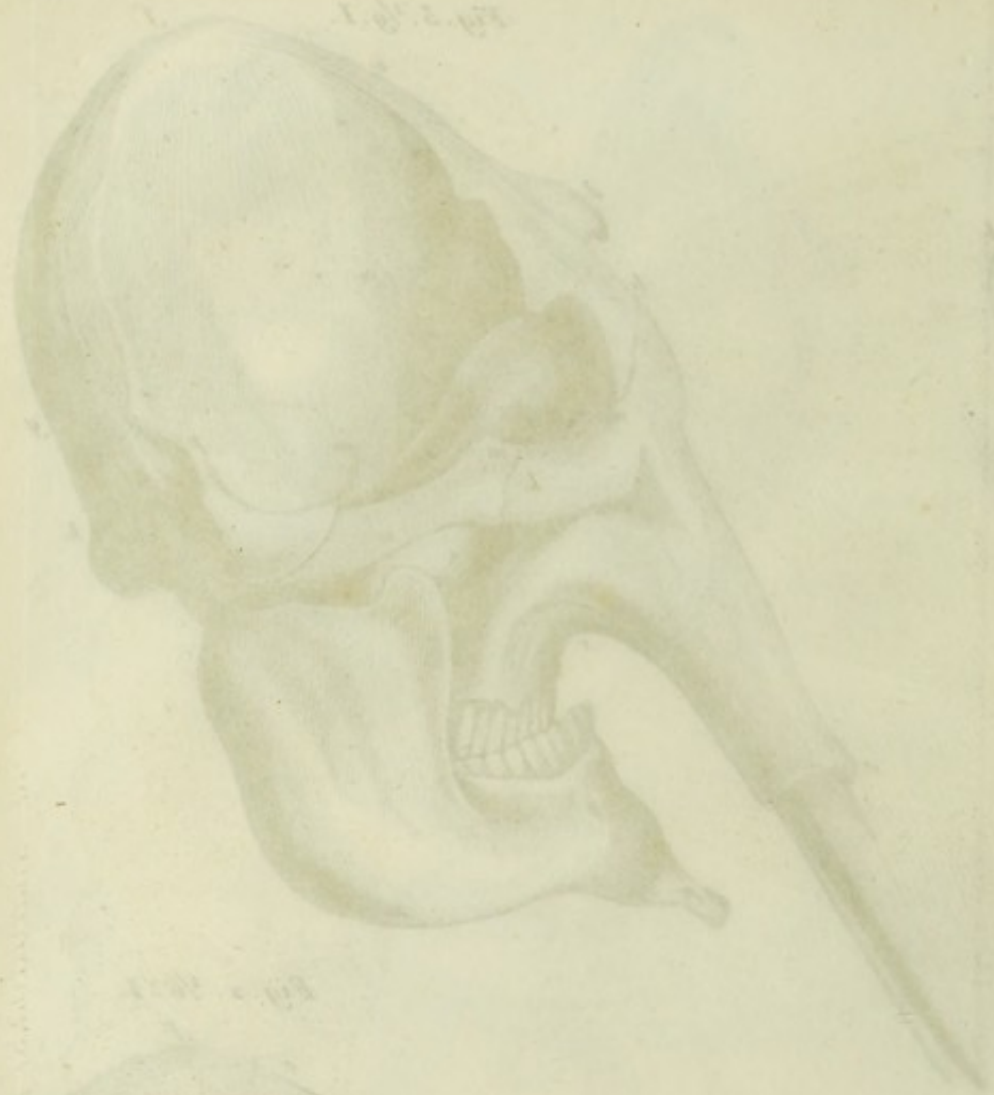


Fig. 2. $\frac{1}{6}$. I.





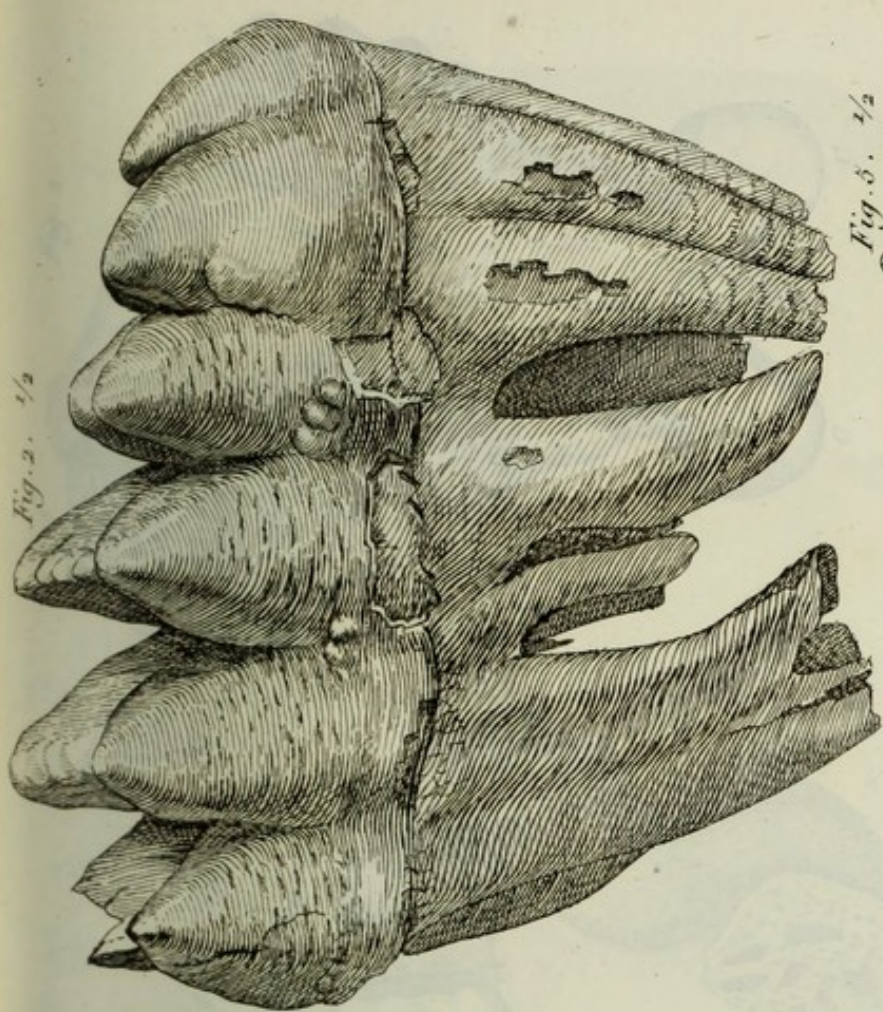


Fig. 2. 1/2

Fig. 3. 1/2

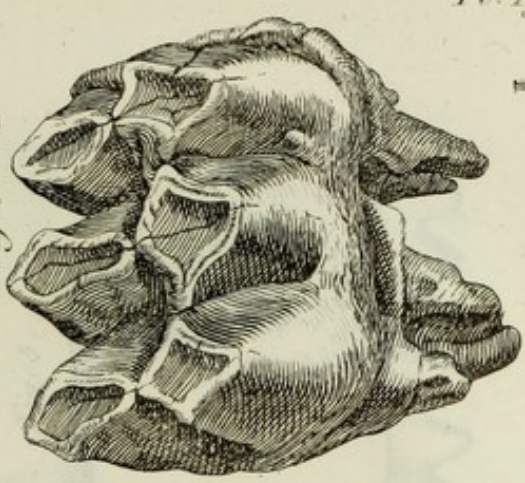


Fig. 3. 1/2

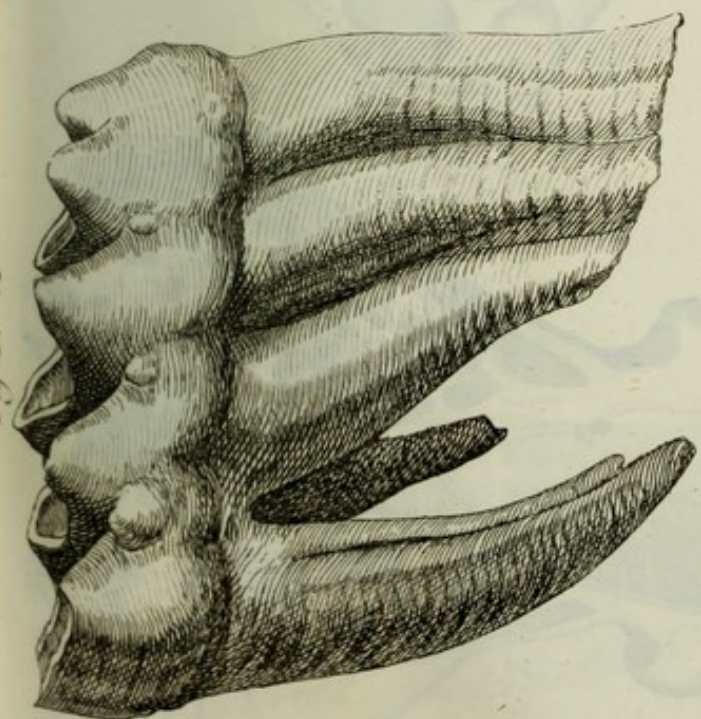
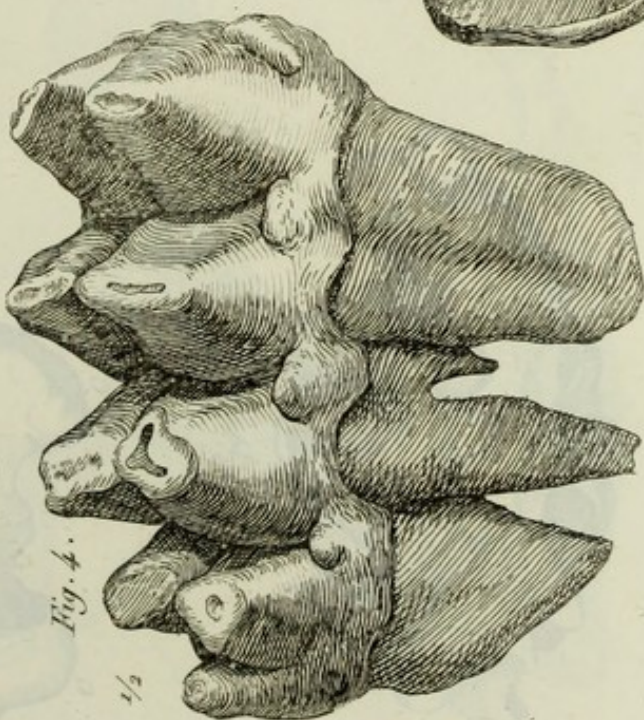


Fig. 4.

1/2



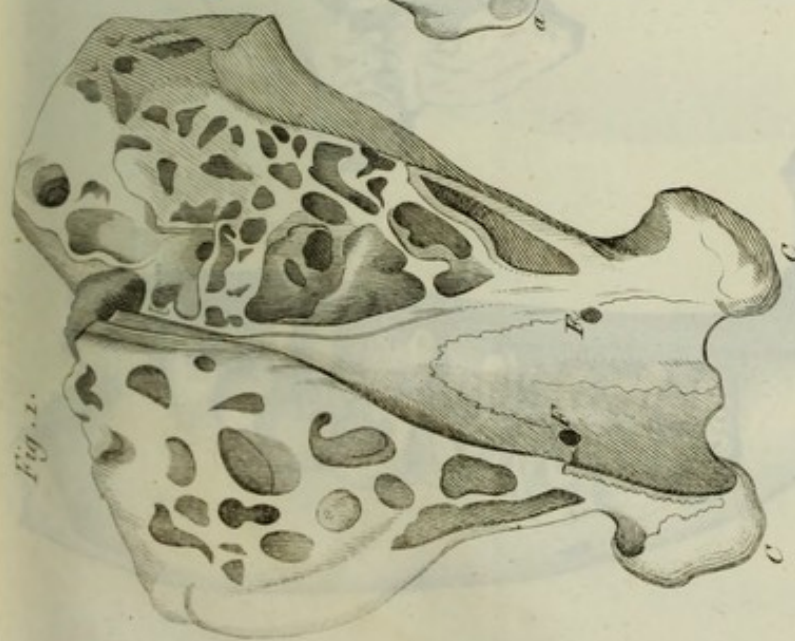


Fig. 2.

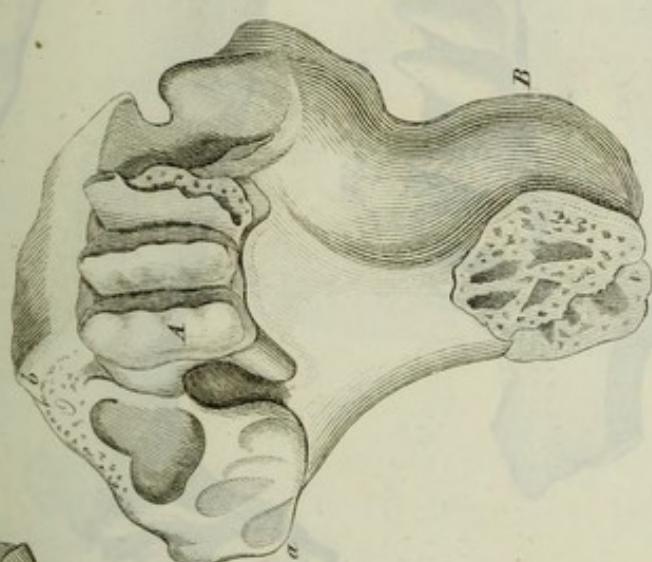


Fig. 3.

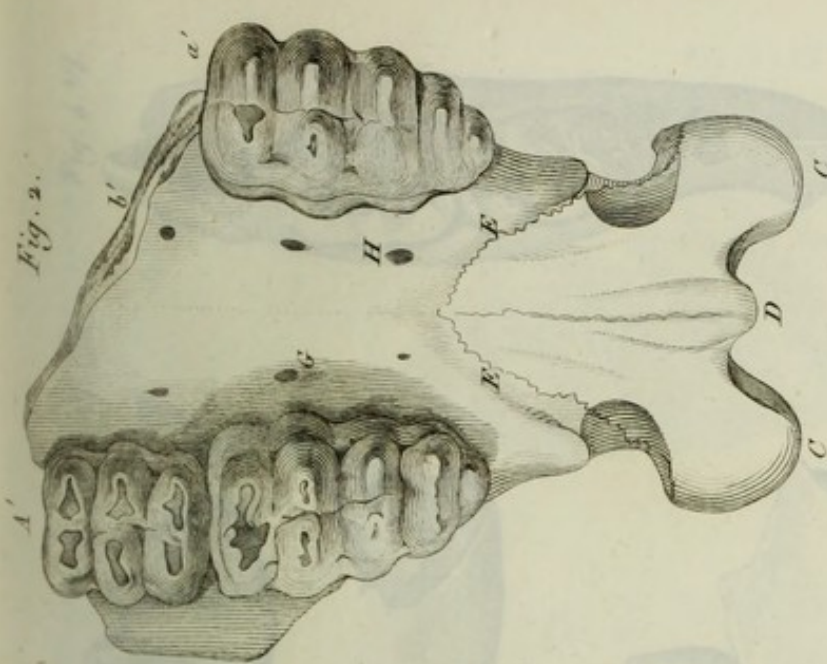


Fig. 4.

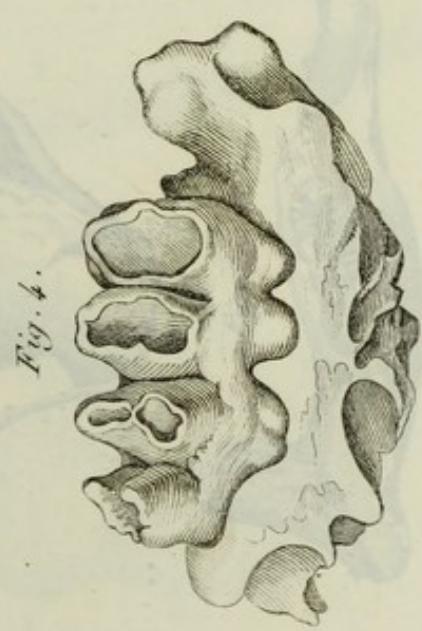


Fig. 5.

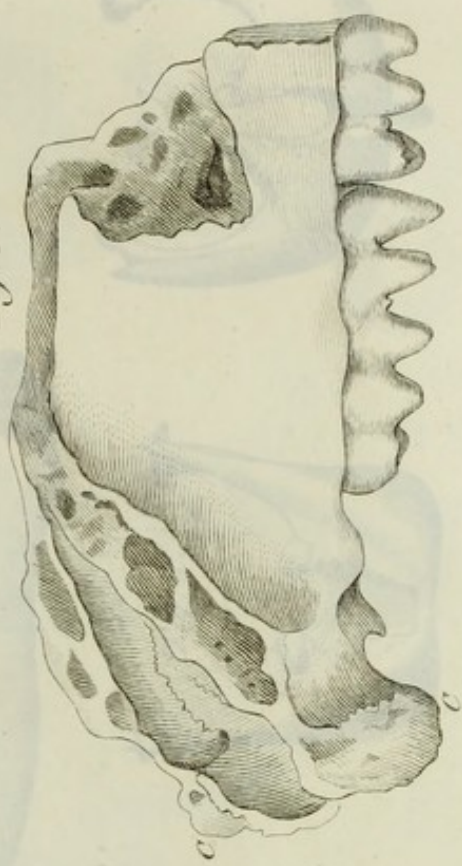


Fig. 6.

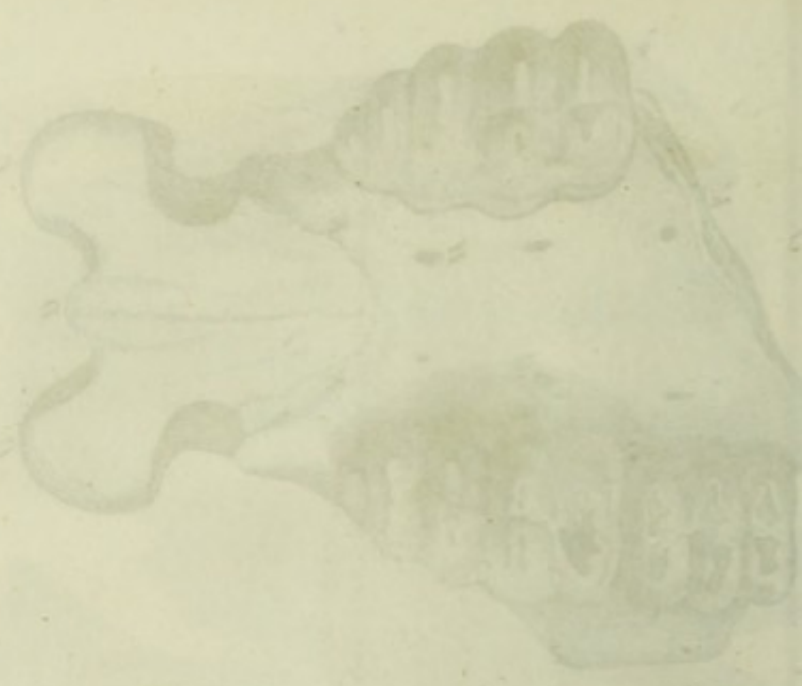
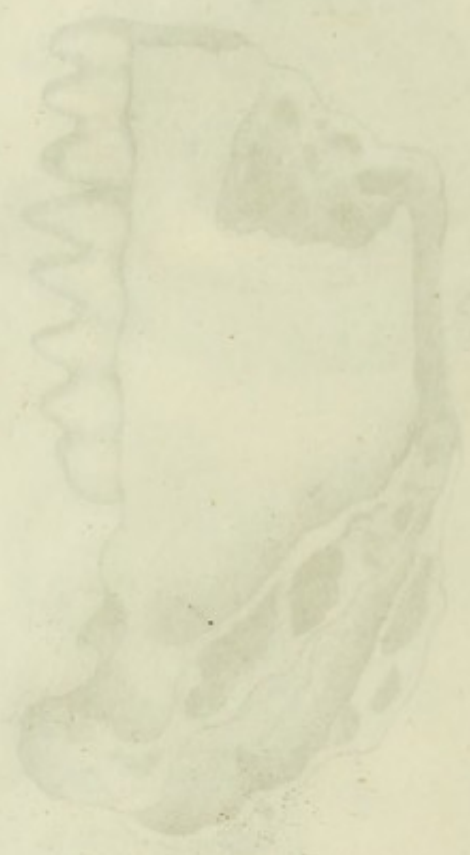


Fig. 1. $\frac{1}{4}$

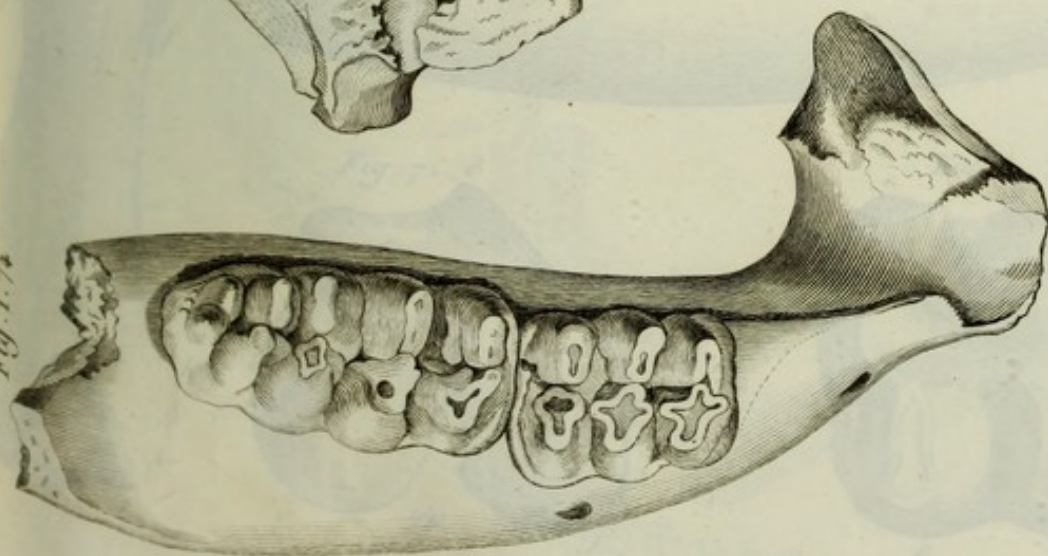


Fig. 2. $\frac{1}{4}$



Fig. 4. $\frac{1}{4}$

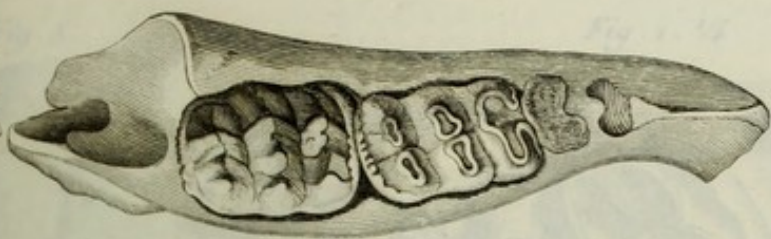


Fig. 3. $\frac{1}{4}$

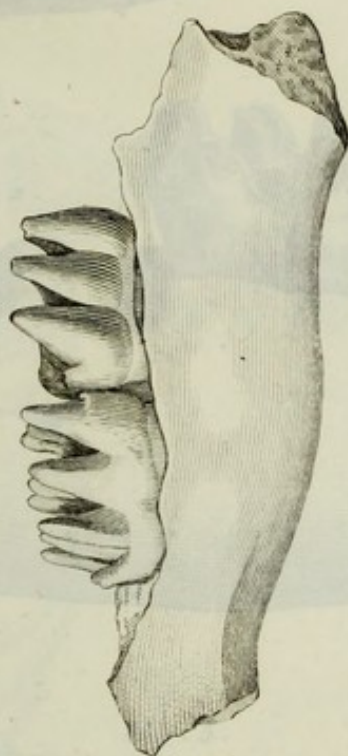


Fig. 5.



Fig. 6.

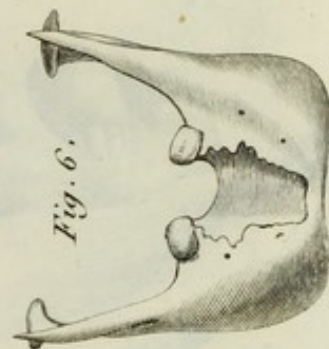
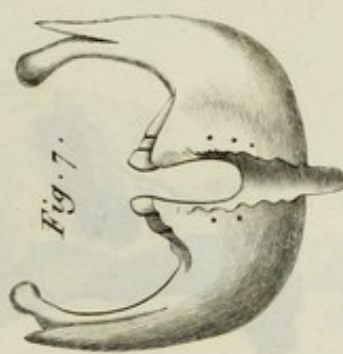


Fig. 7.



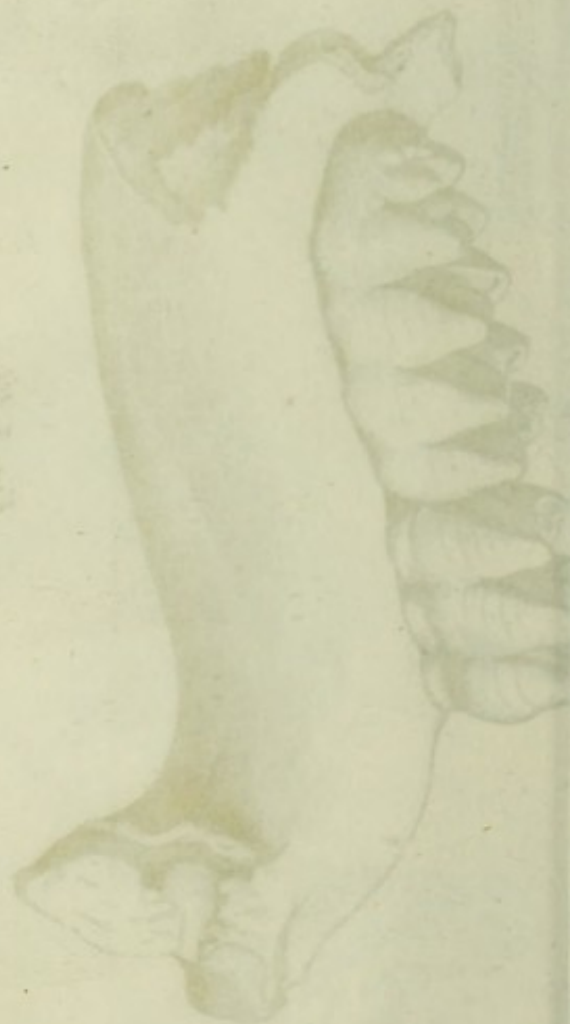
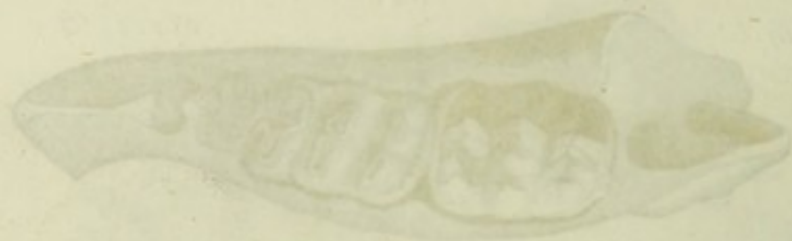


Fig. 5.

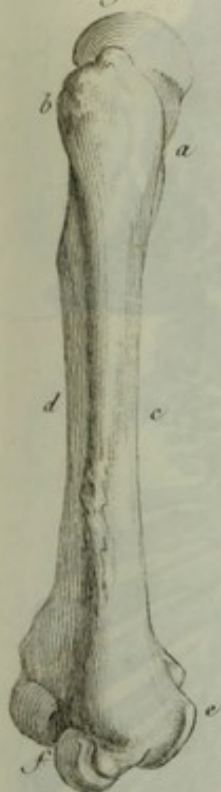


Fig. 1. $\frac{1}{4}$

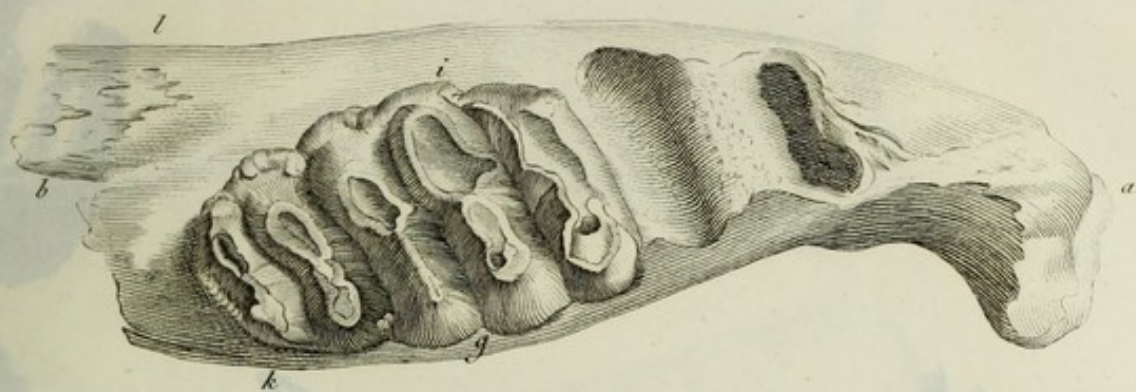


Fig. 2.

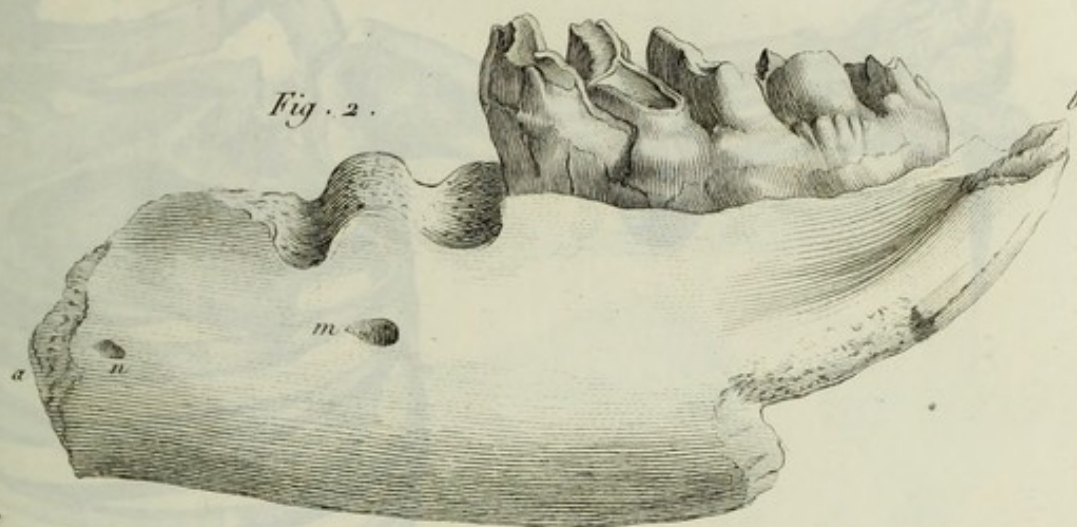


Fig. 6. $\frac{1}{12}$



Fig. 3.

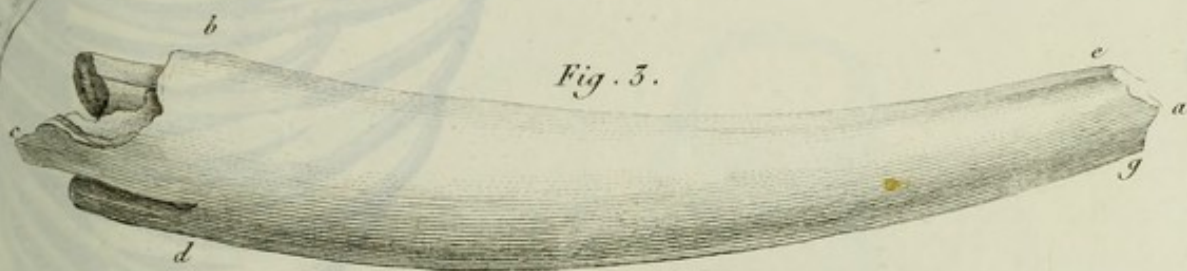
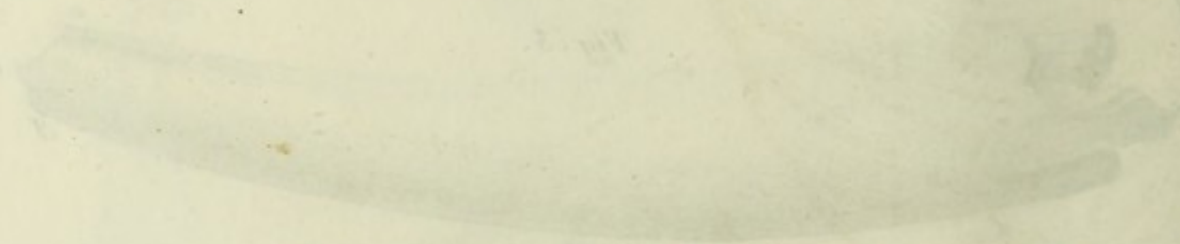
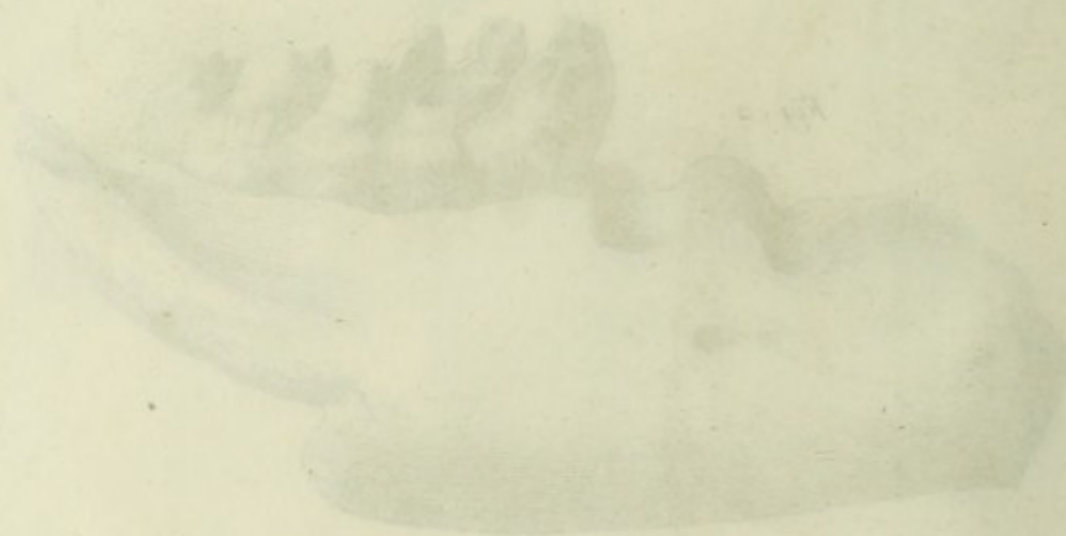


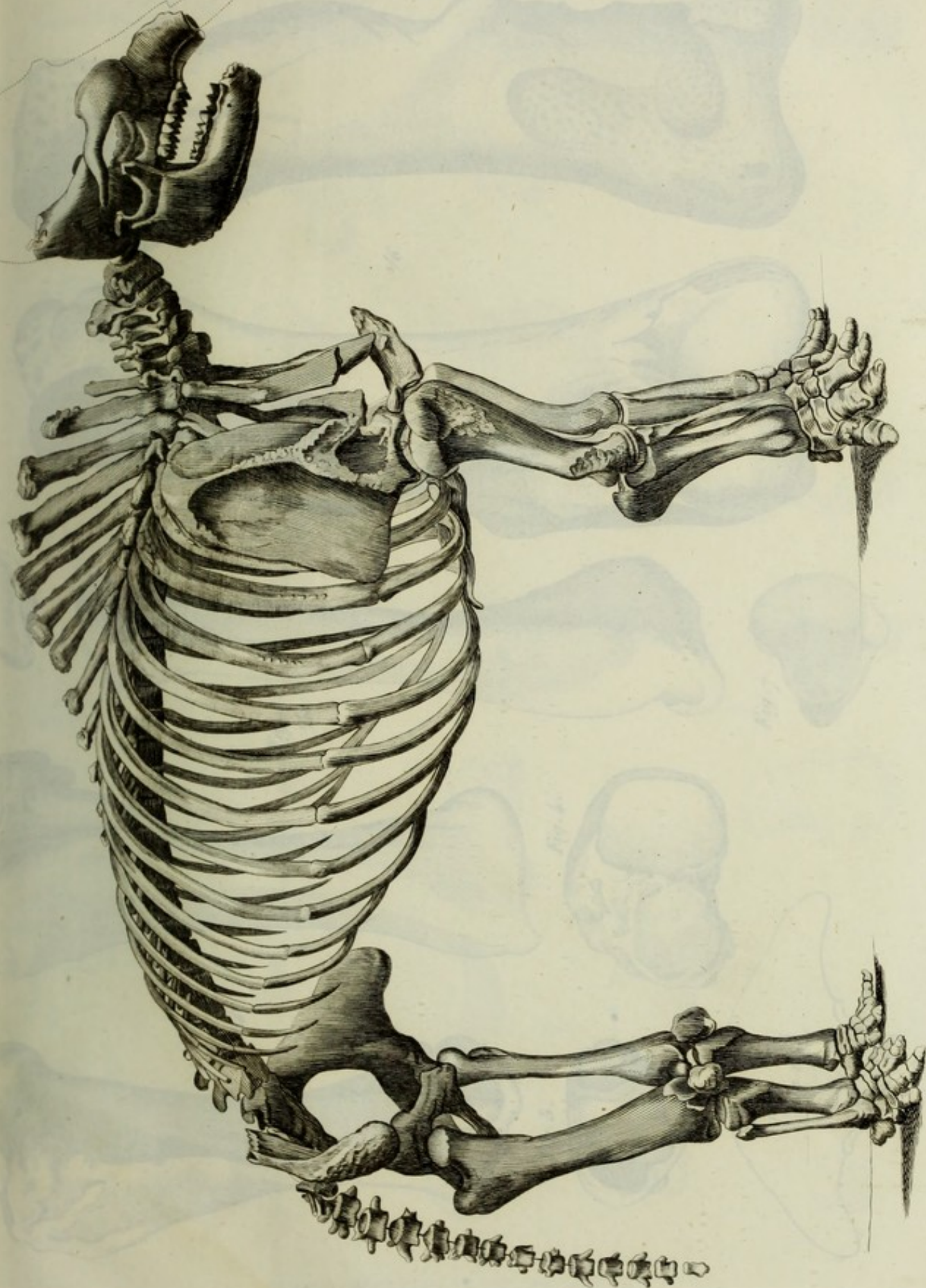
Fig. 7. $\frac{1}{6}$



Fig. 4. $\frac{1}{2}$







Grand MASTODONTE, PL. V.

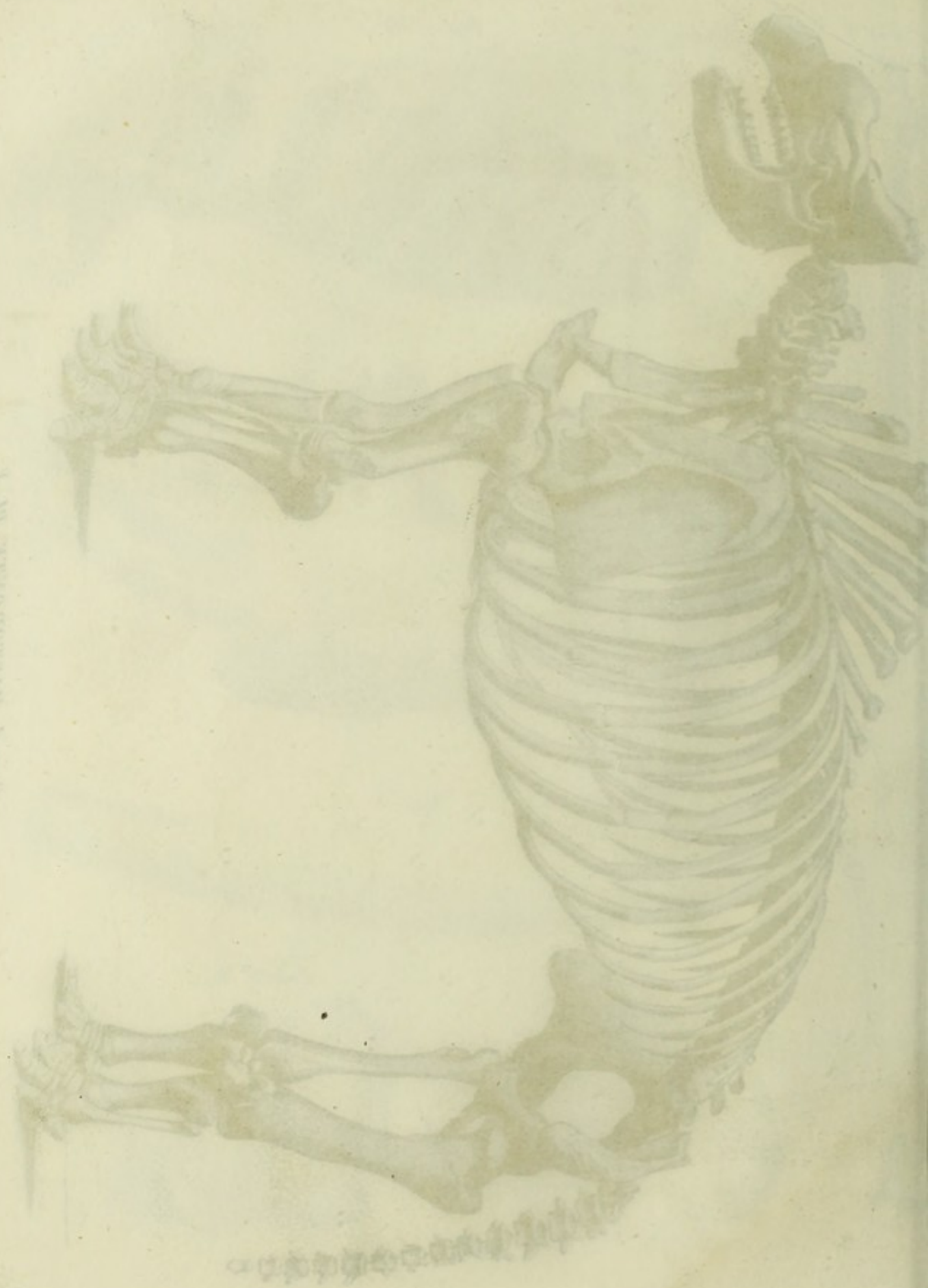
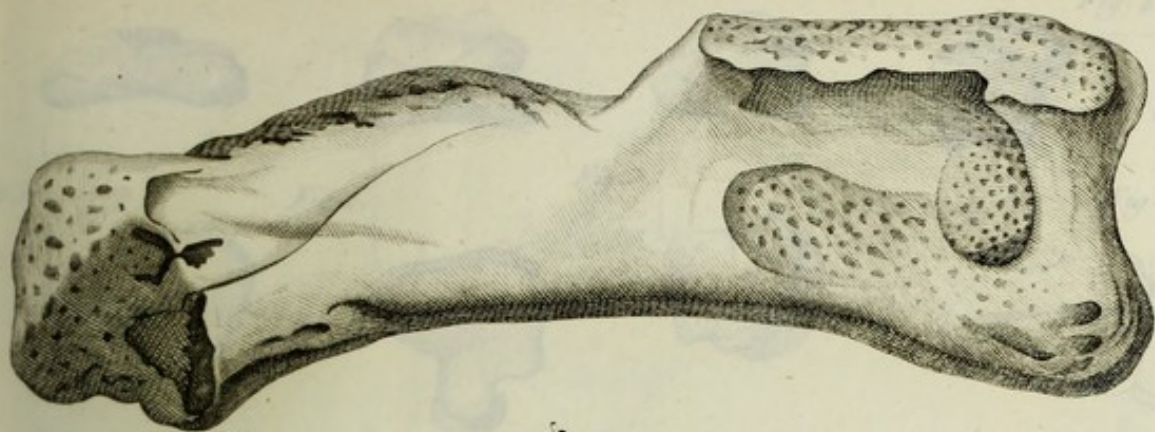


Fig. 9.



$\frac{1}{6}$

Fig. 8.

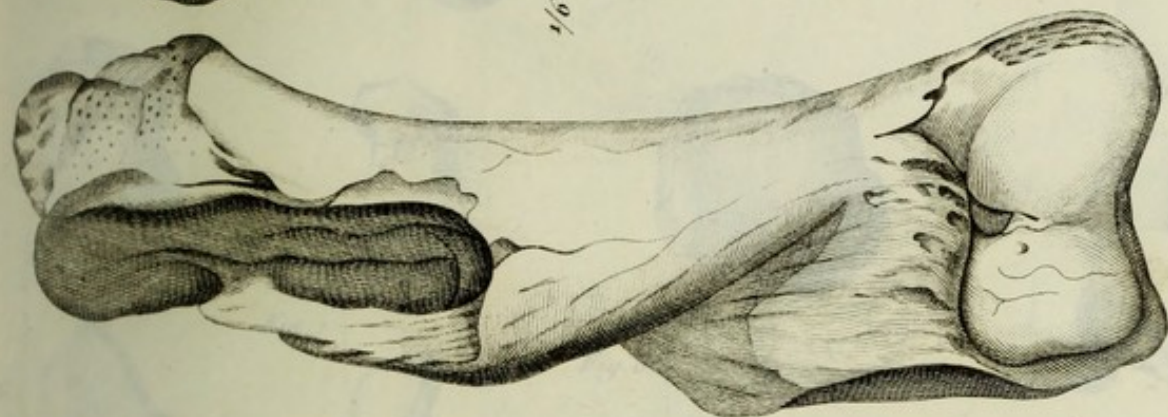


Fig. 5.
 $\frac{1}{6}$

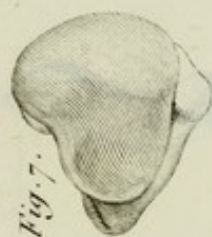
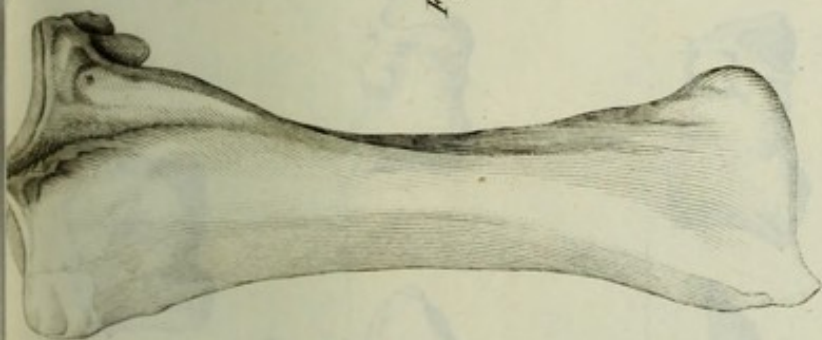


Fig. 7.



$\frac{1}{6}$

Fig. 4.



Fig. 3.

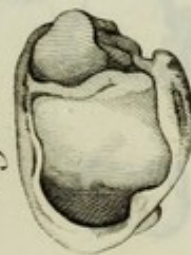
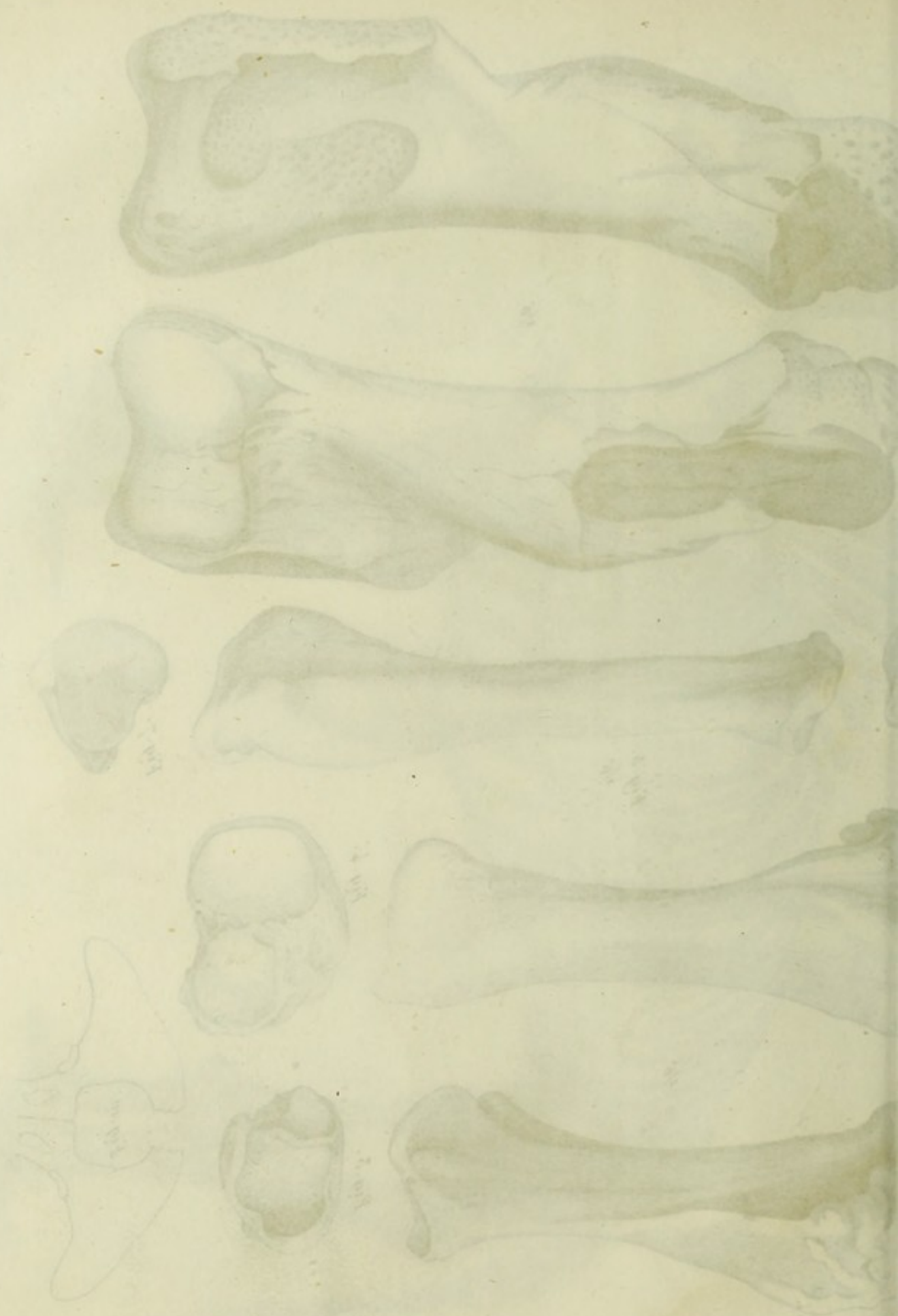
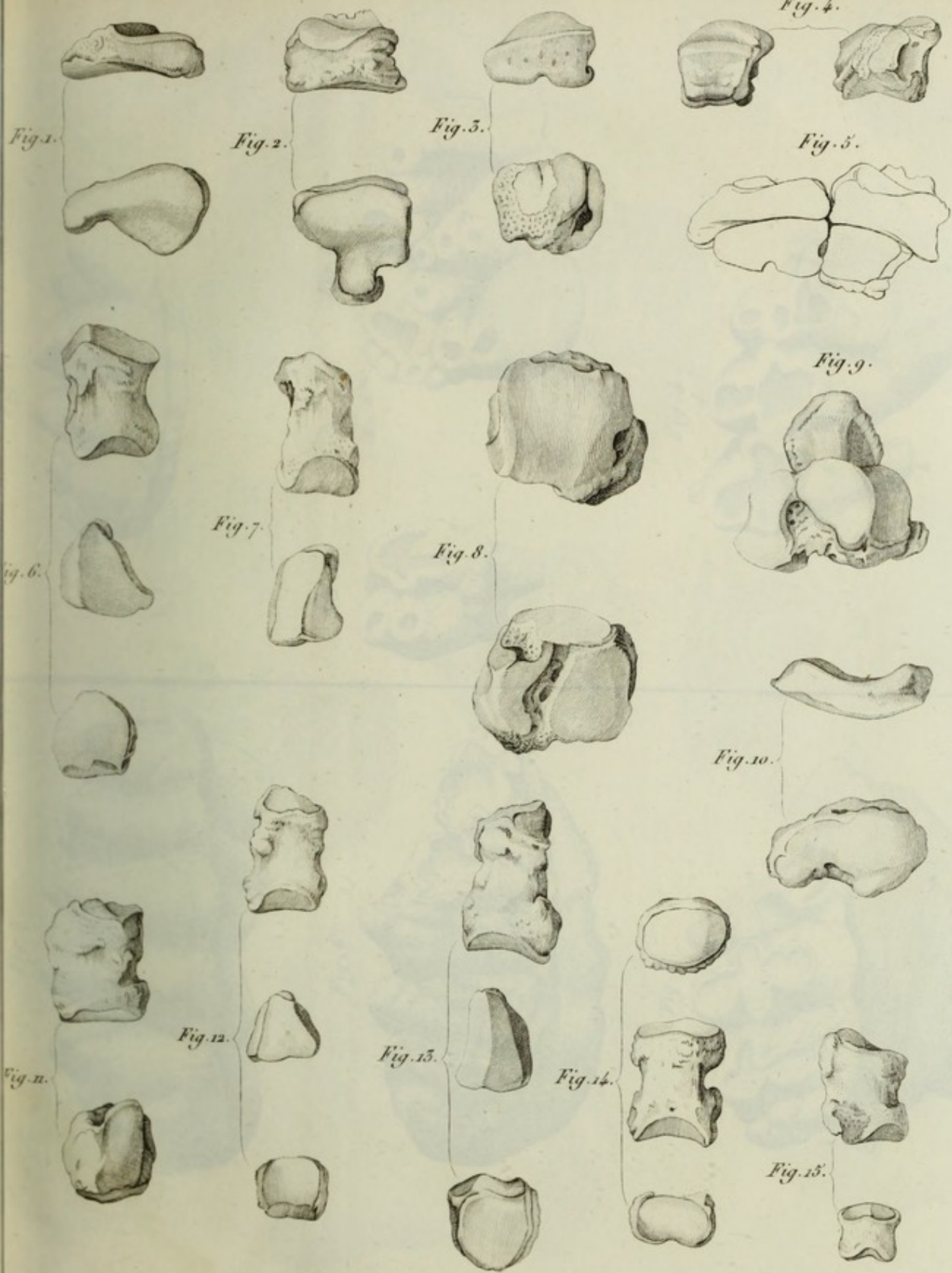


Fig. 10.



PLATE 11. FISHES OF THE





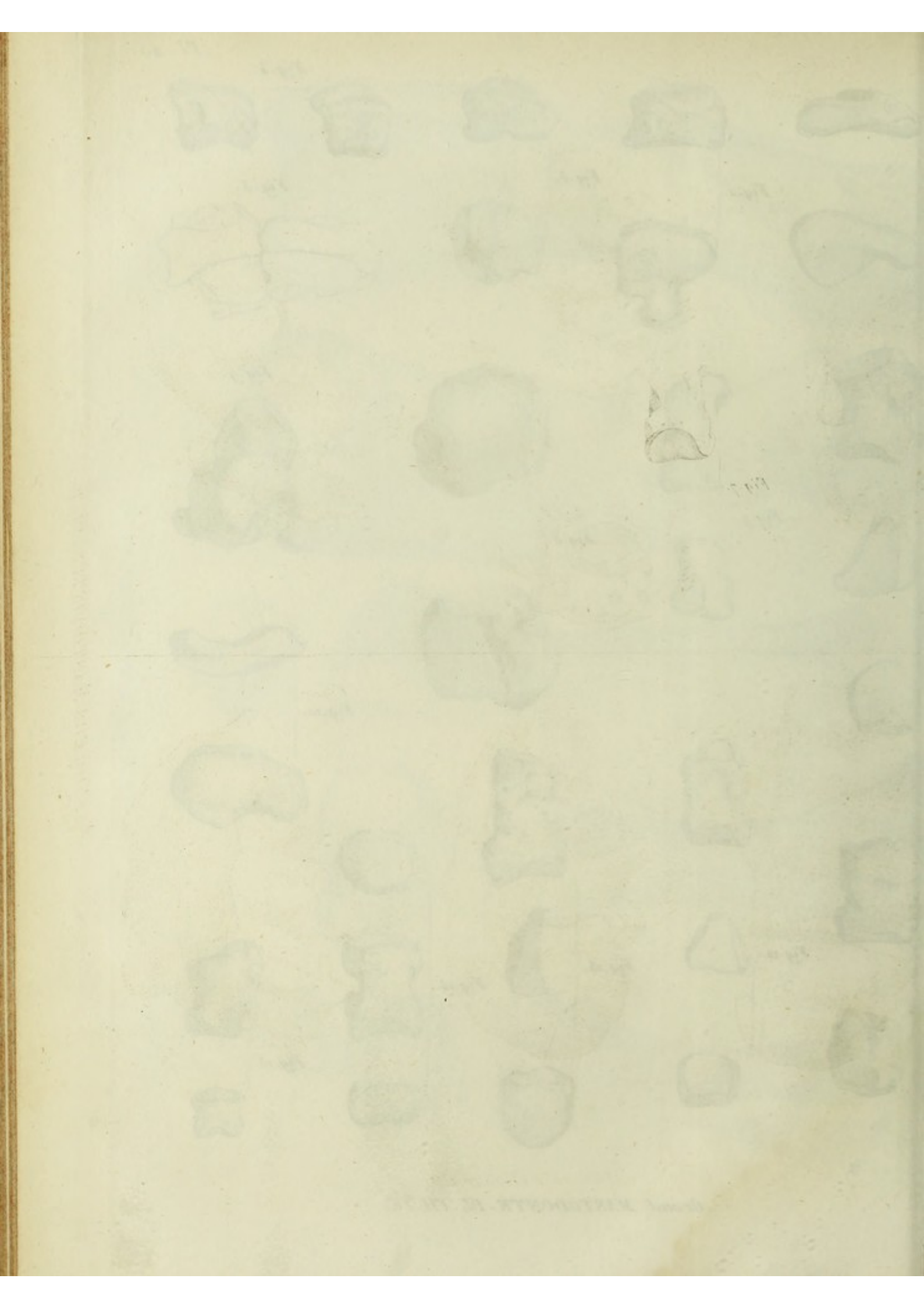




Fig. 1.



Fig. 2.



Fig. 3.

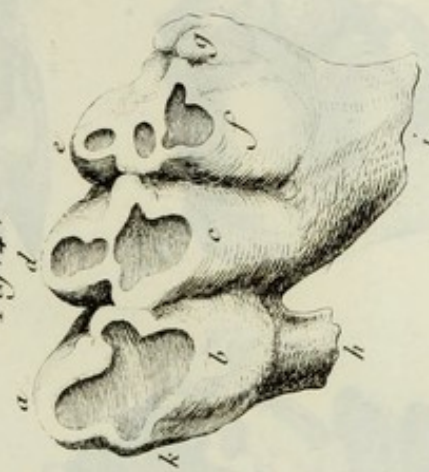


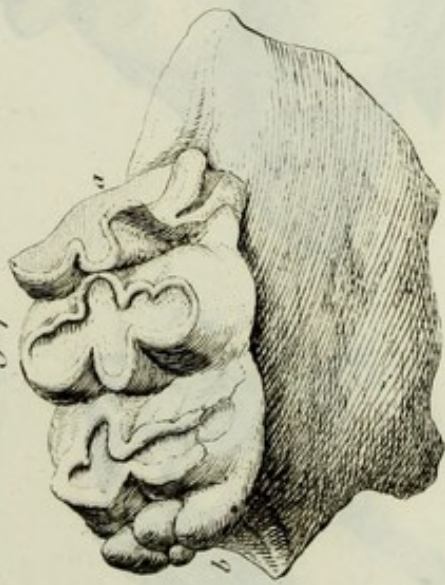
Fig. 5.



Fig. 6.

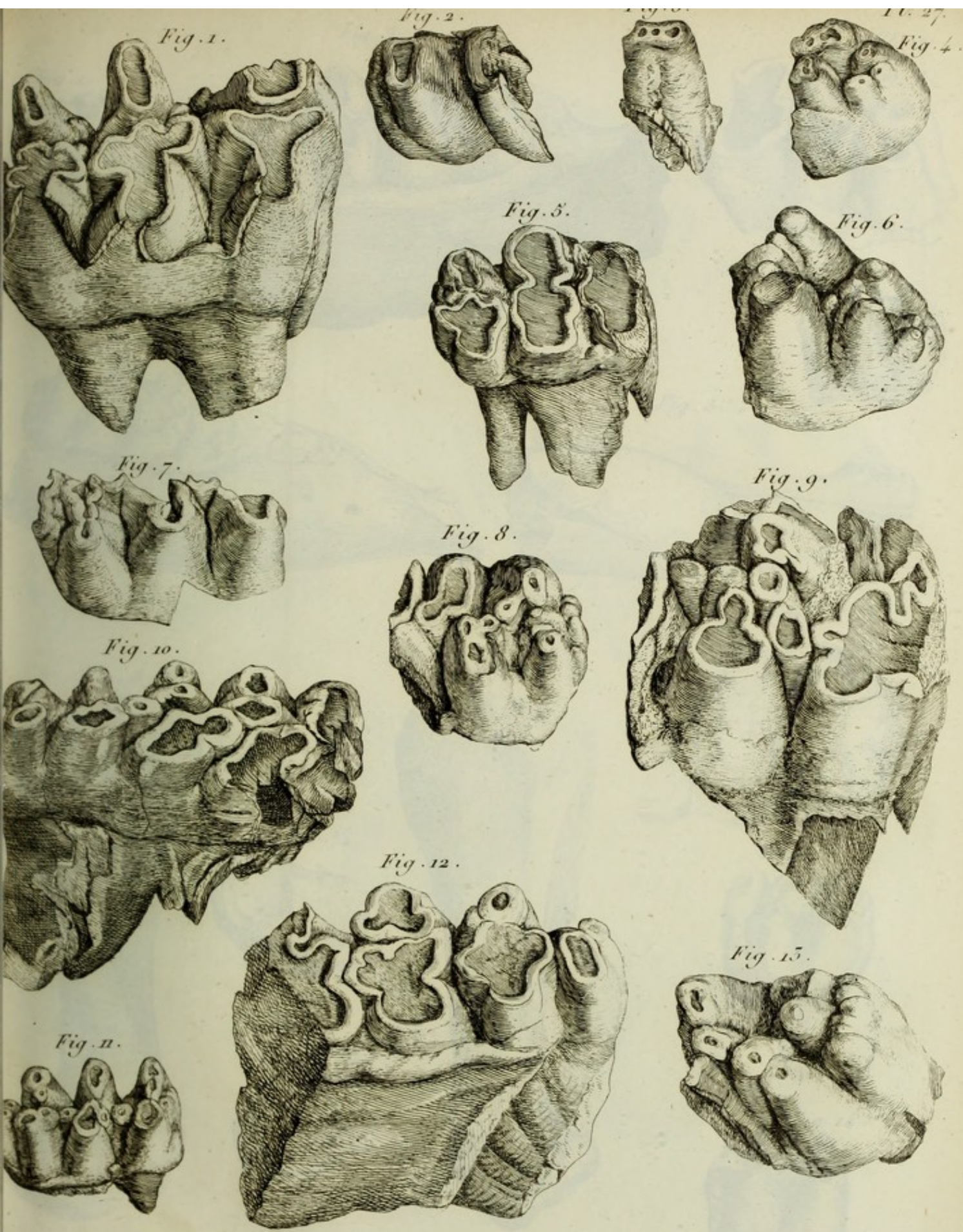


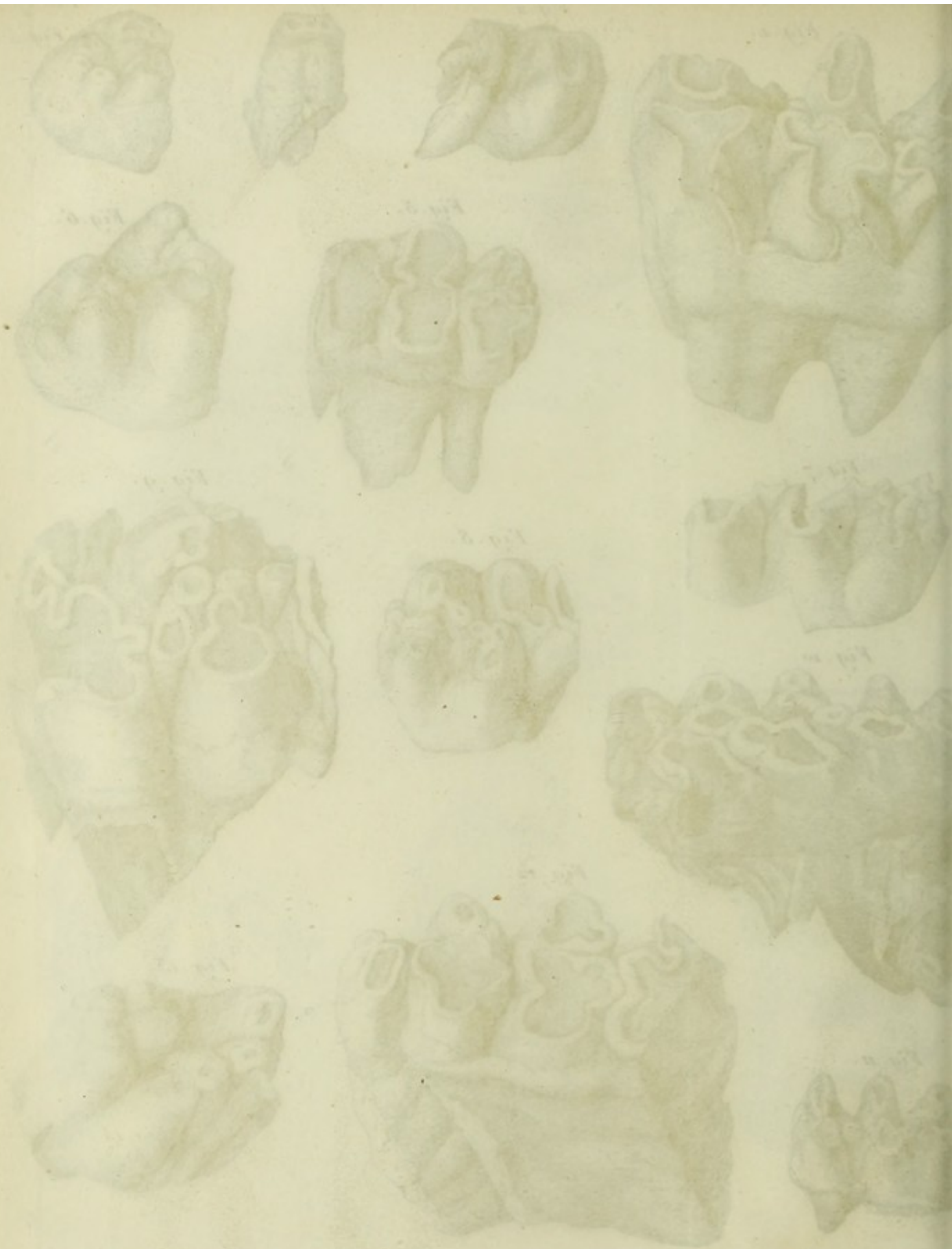
Fig. 7.





PLANTAE RARISSIMAE





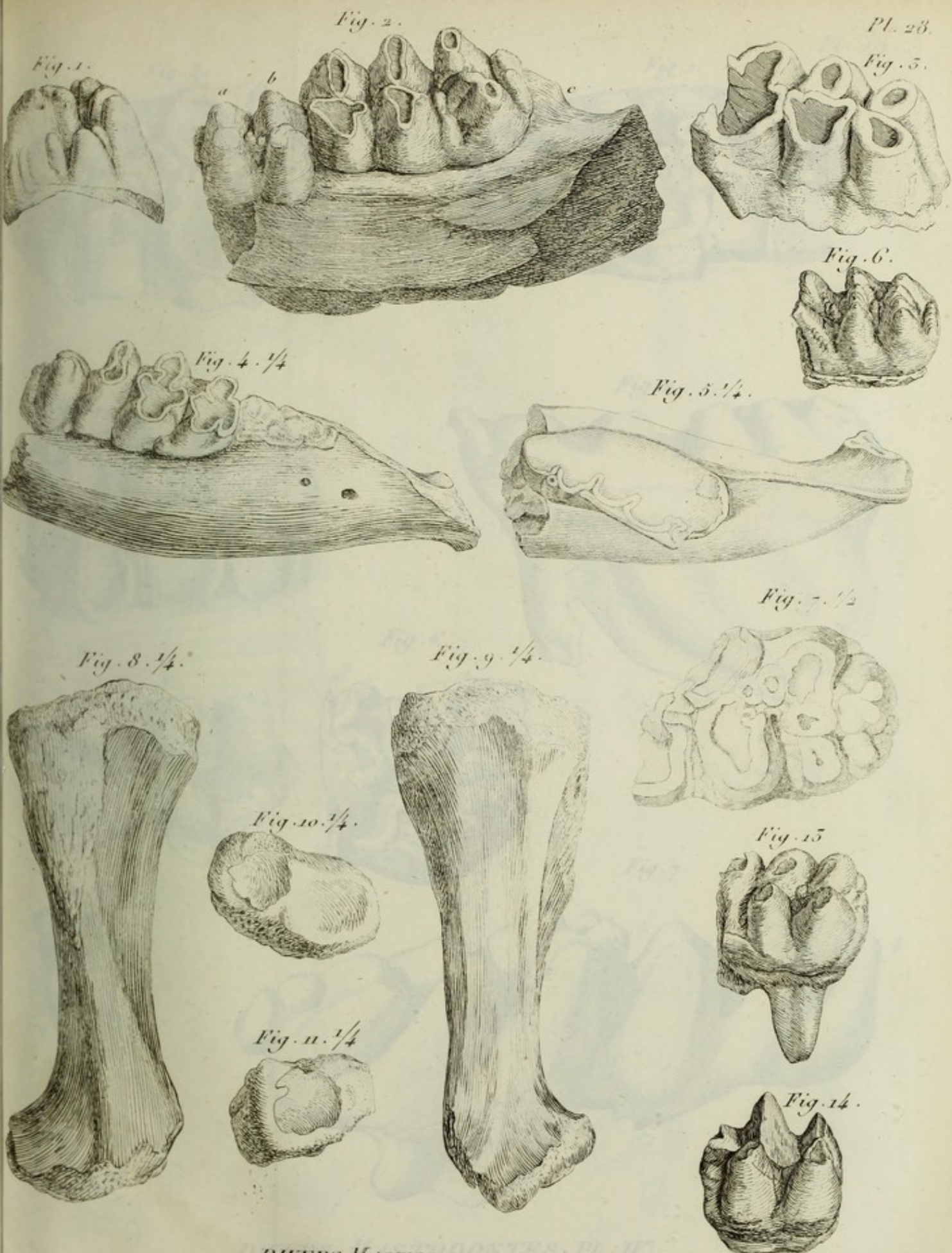


Fig. 3.

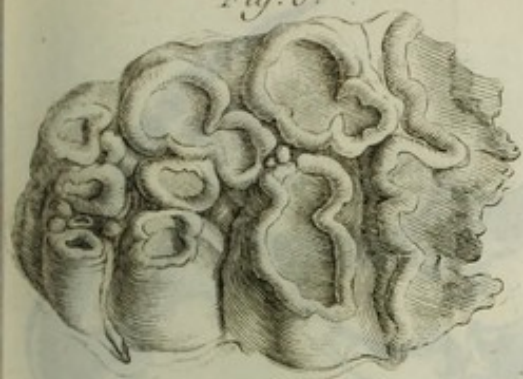


Fig. 1.



Fig. 4.



Fig. 2.



Fig. 6.

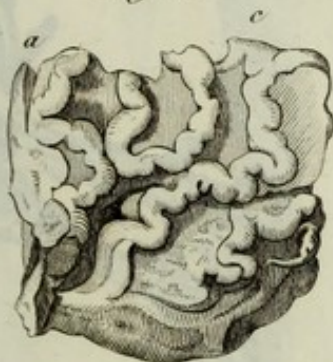


Fig. 5.



Fig. 7.

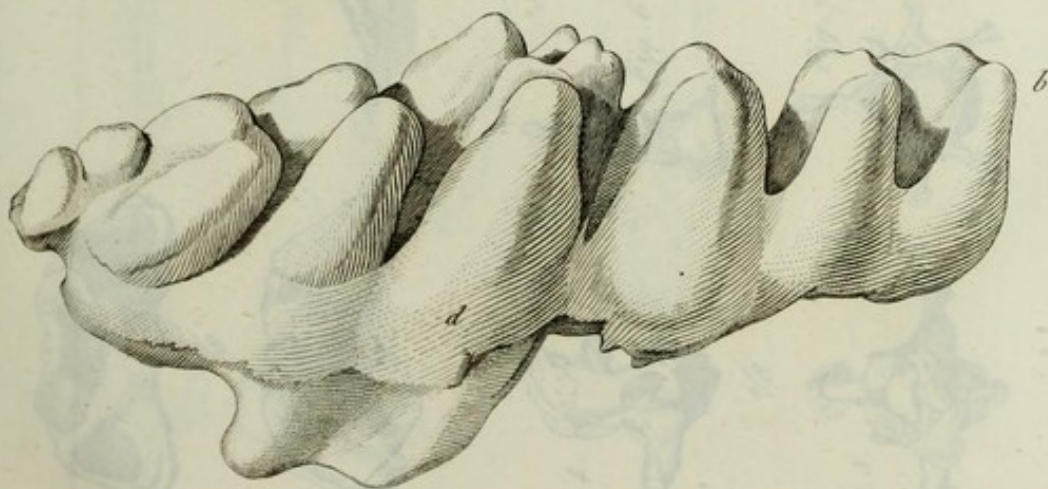


Fig. 8.



Fig. 9.



Fig. 1.



Fig. 2.



Fig. 3.



Fig. 4.

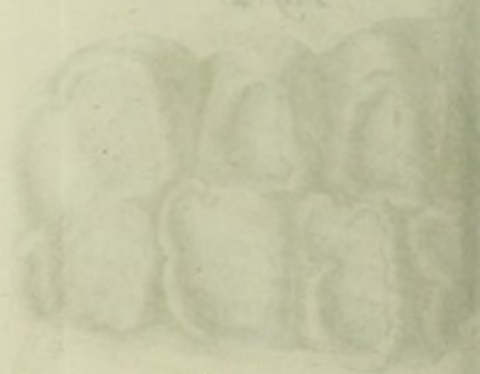


Fig. 5.



Fig. 6.



Fig. 7.



Fig. 8.



PLATE II. MISTOPOLYTES. PL. II.

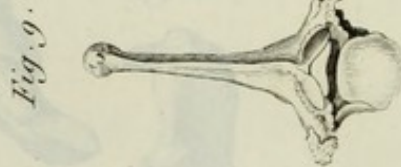
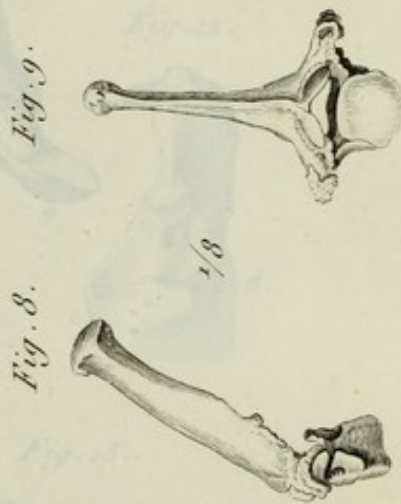
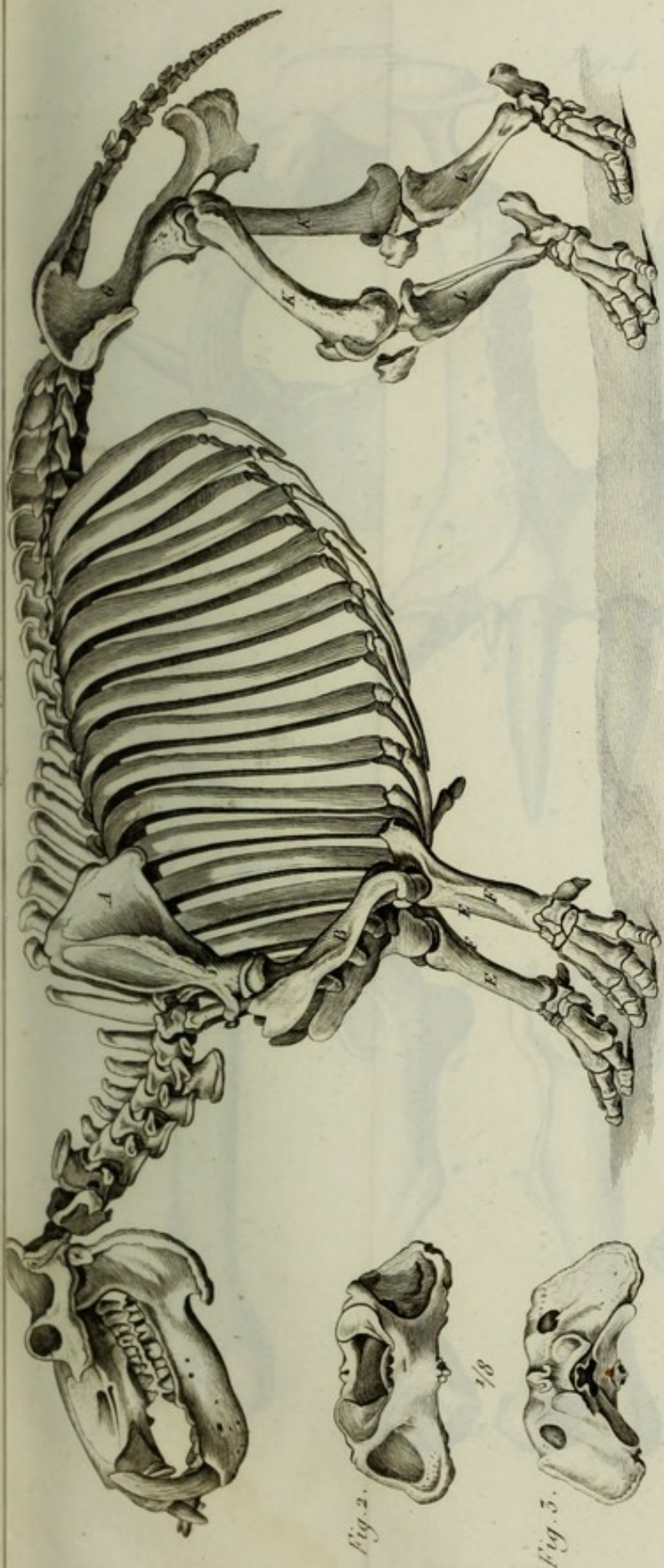
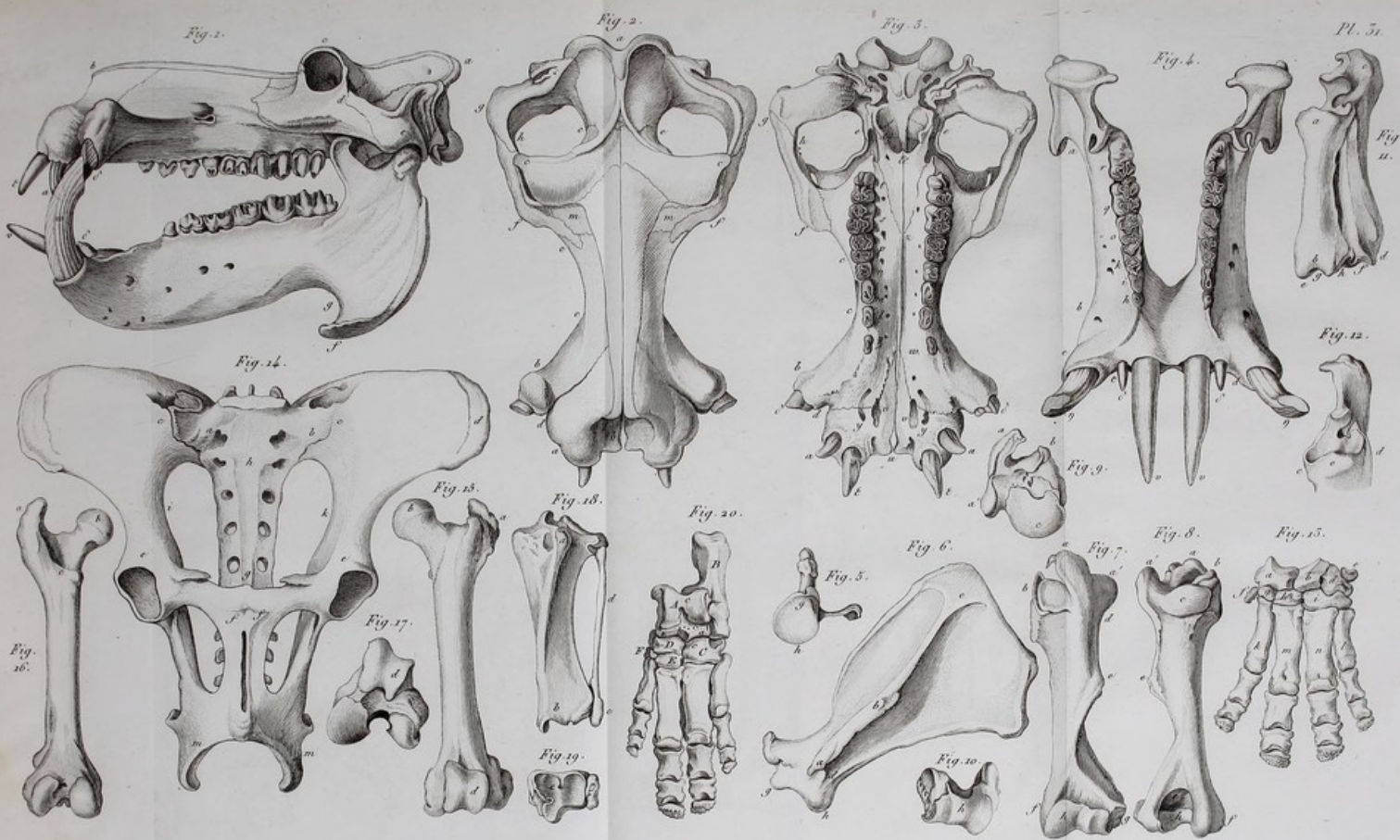
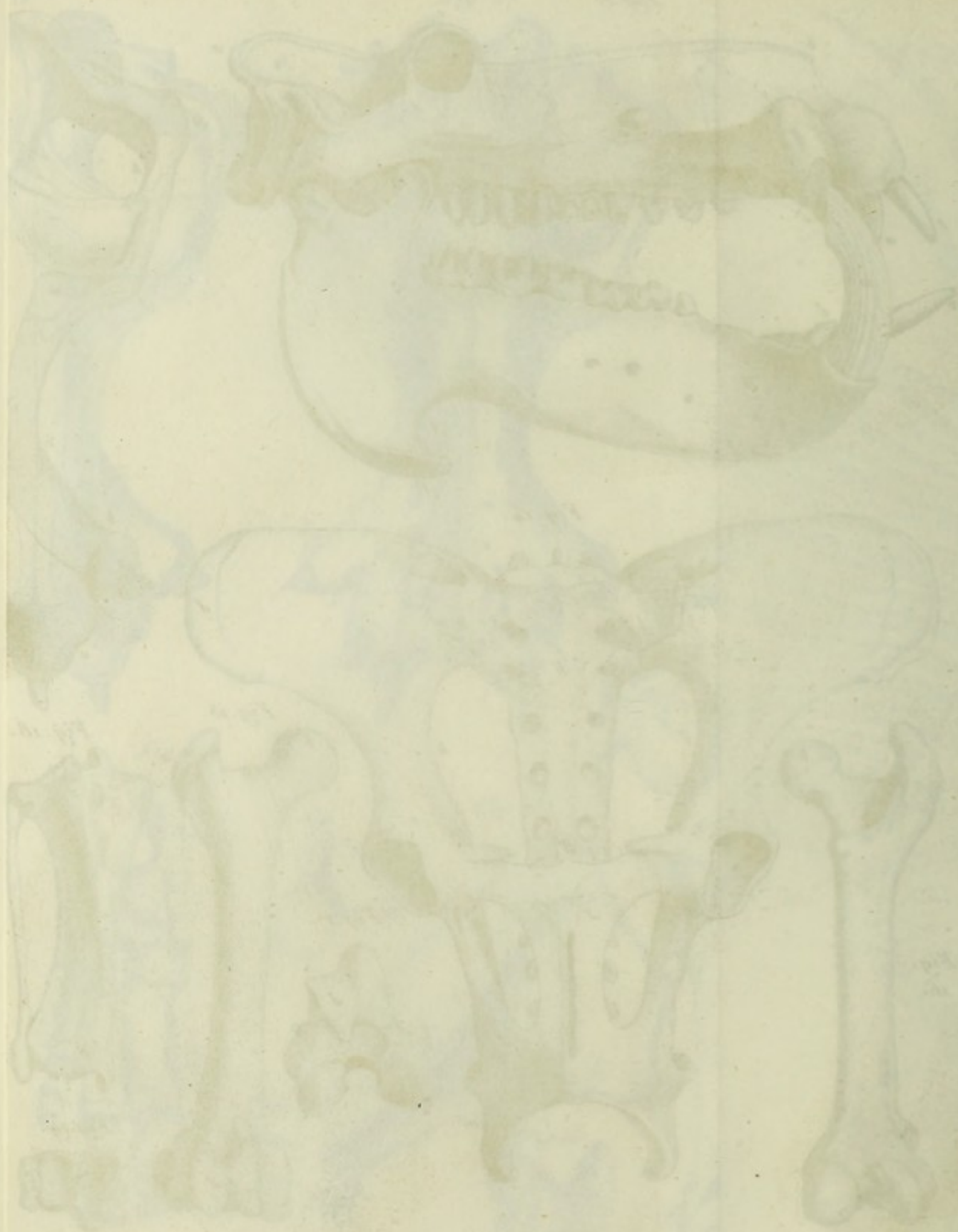


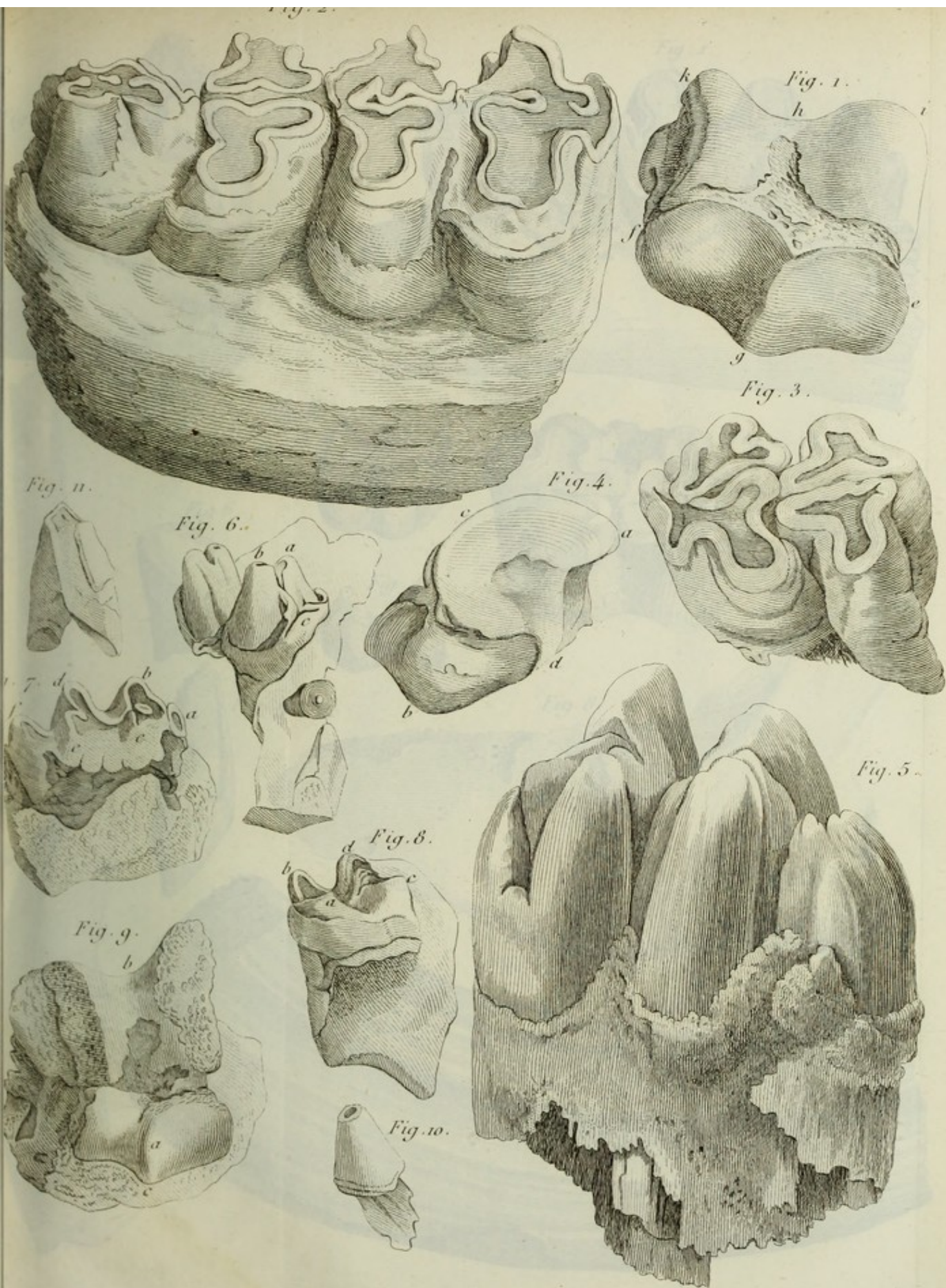
PLATE 24. THE BONES OF THE

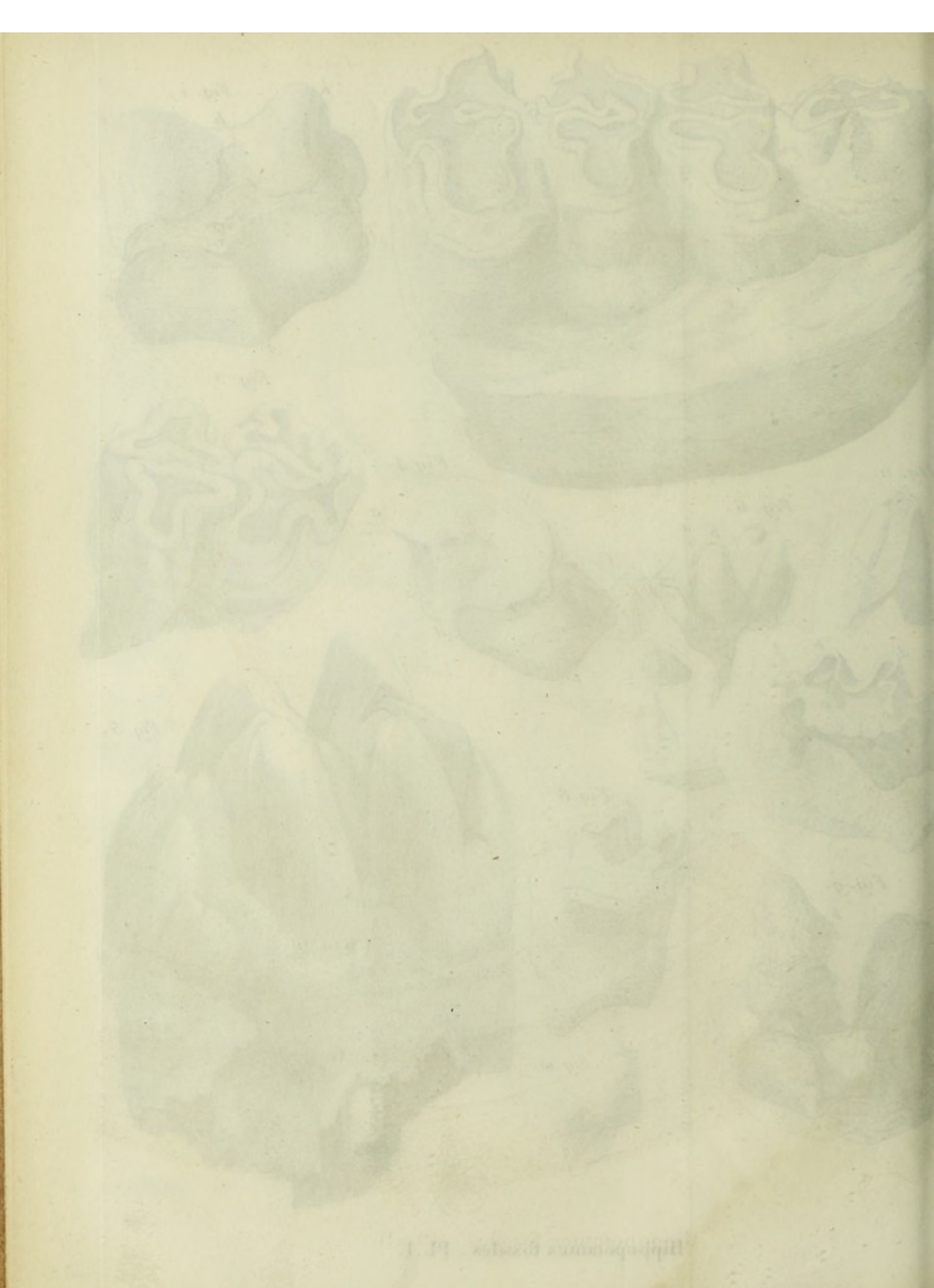




HIPPOPOTAME VIVANT. PL. II.









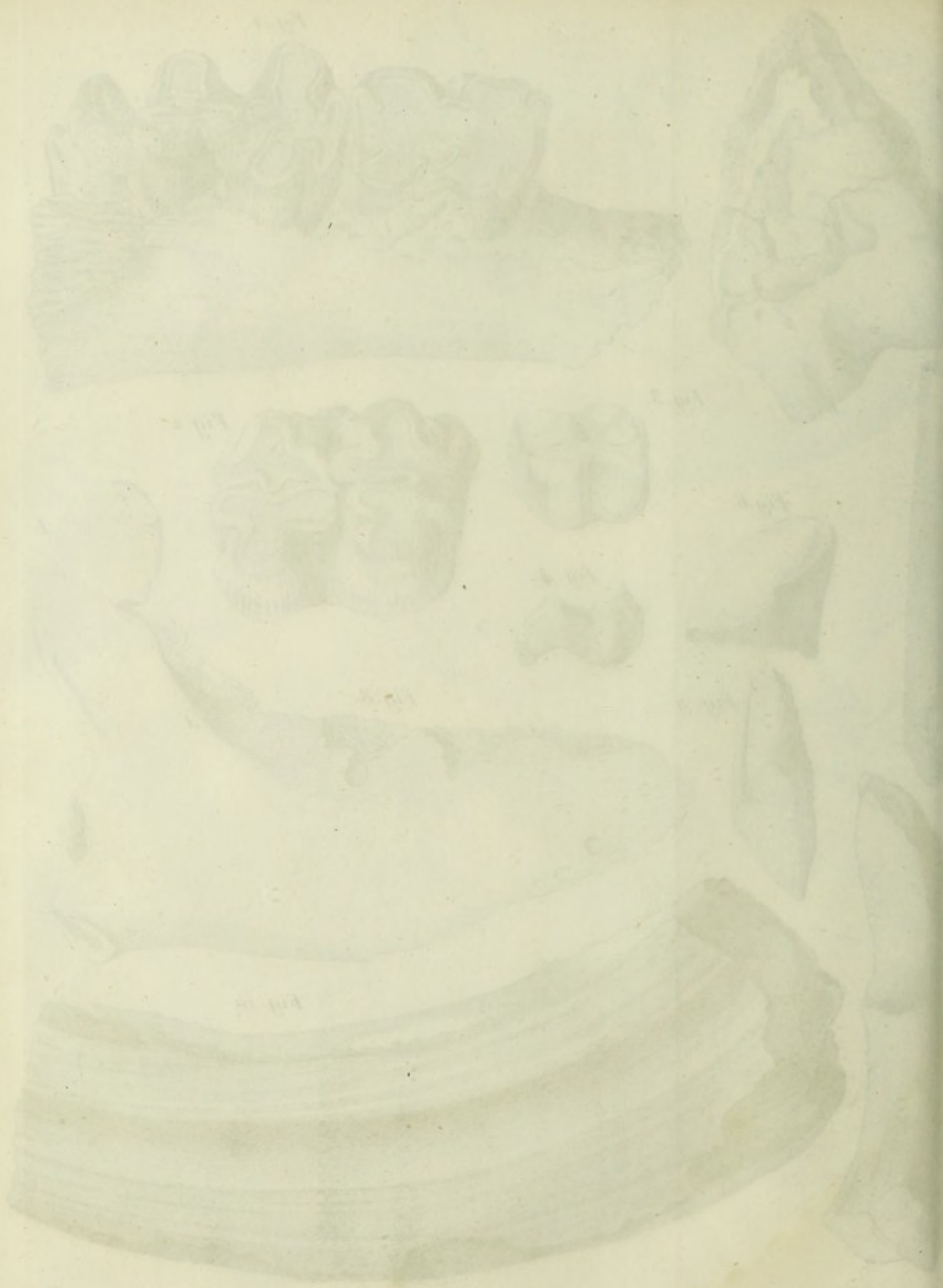


Fig. 2.

Fig. 4.

Fig. 1.

Fig. 6.

Fig. 7.

Fig. 3.

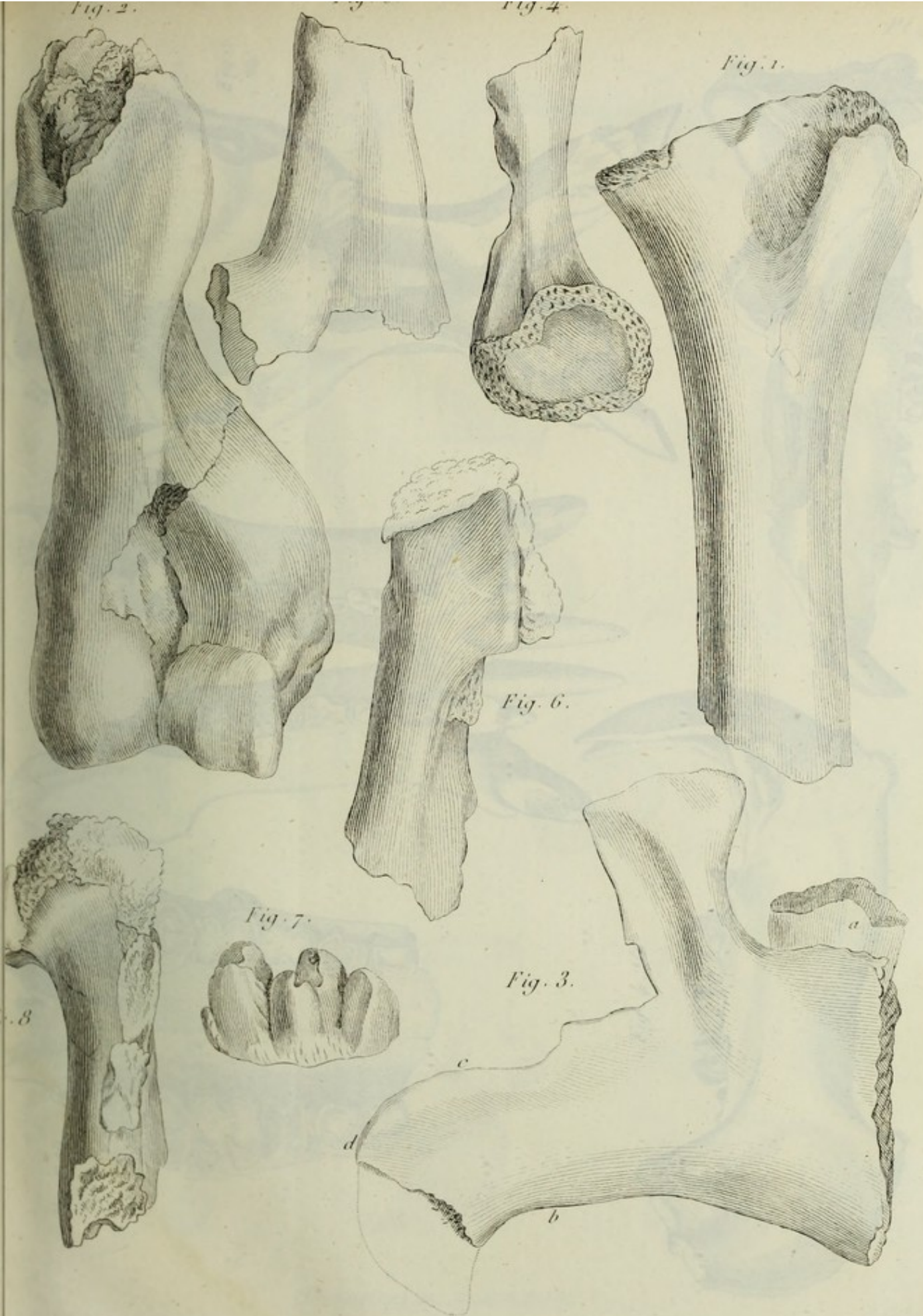


Fig. 1.
 $\frac{1}{6}$

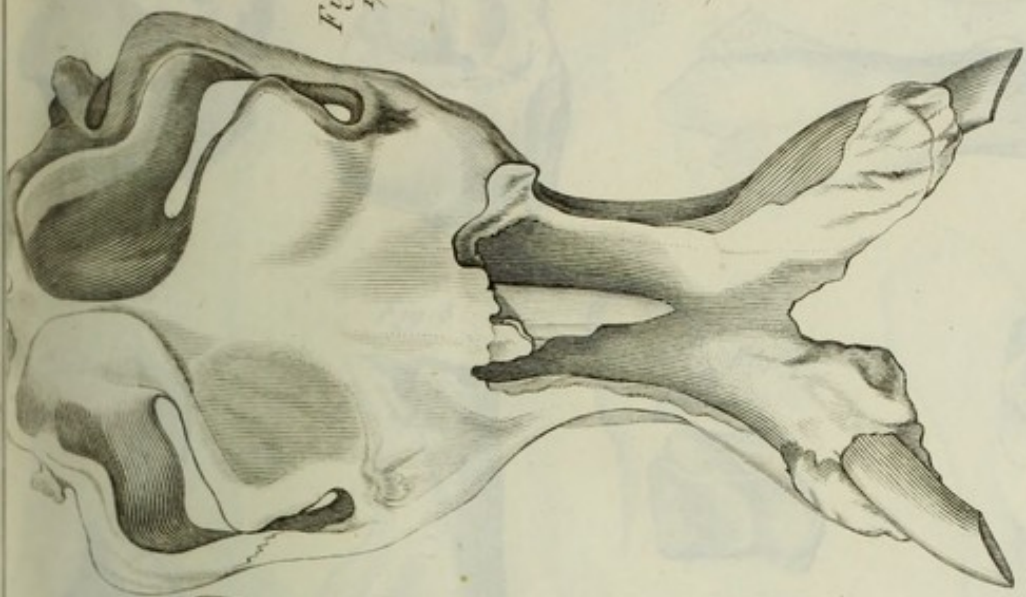


Fig. 2. $\frac{1}{6}$

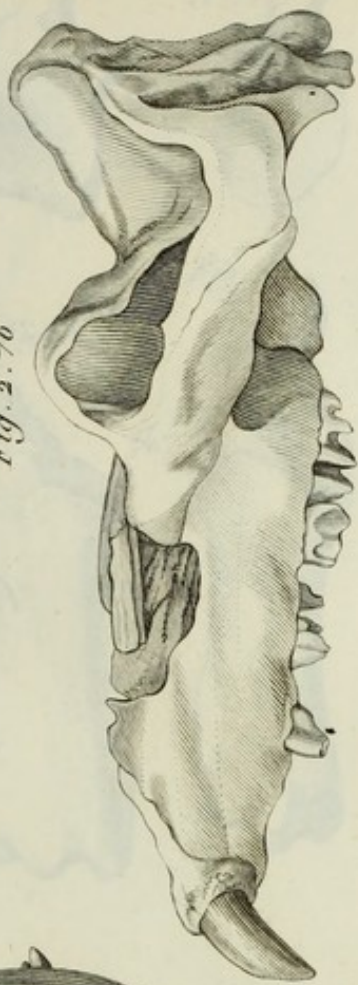


Fig. 3. $\frac{1}{6}$

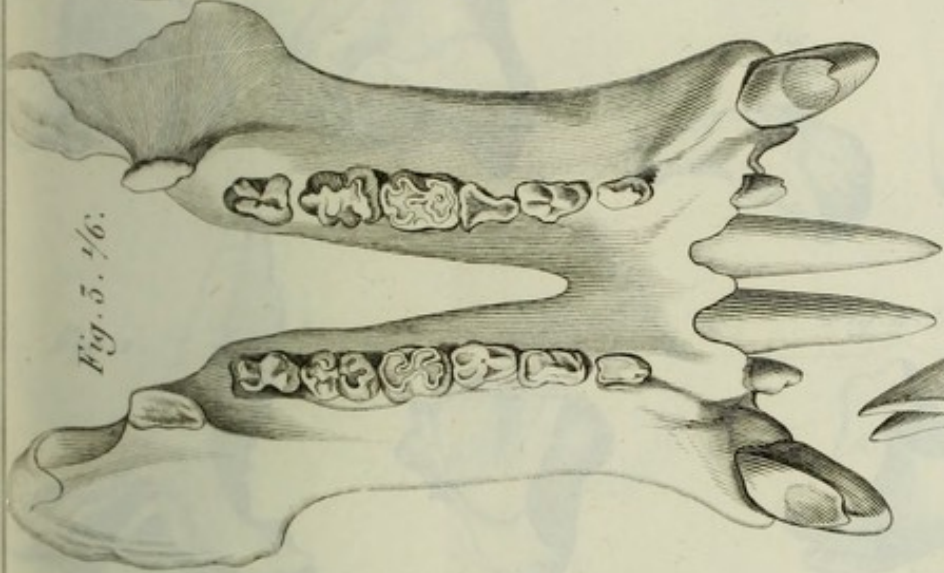


Fig. 4. $\frac{1}{6}$

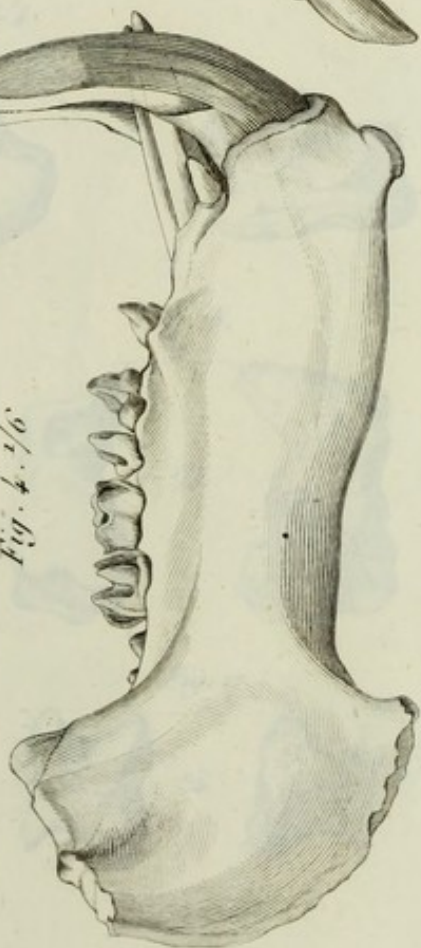
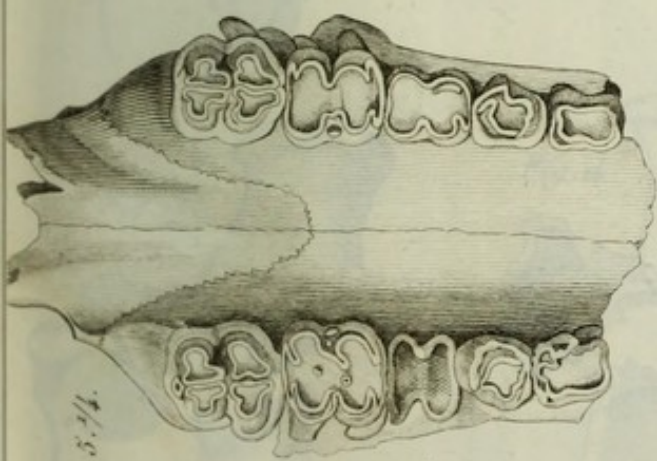


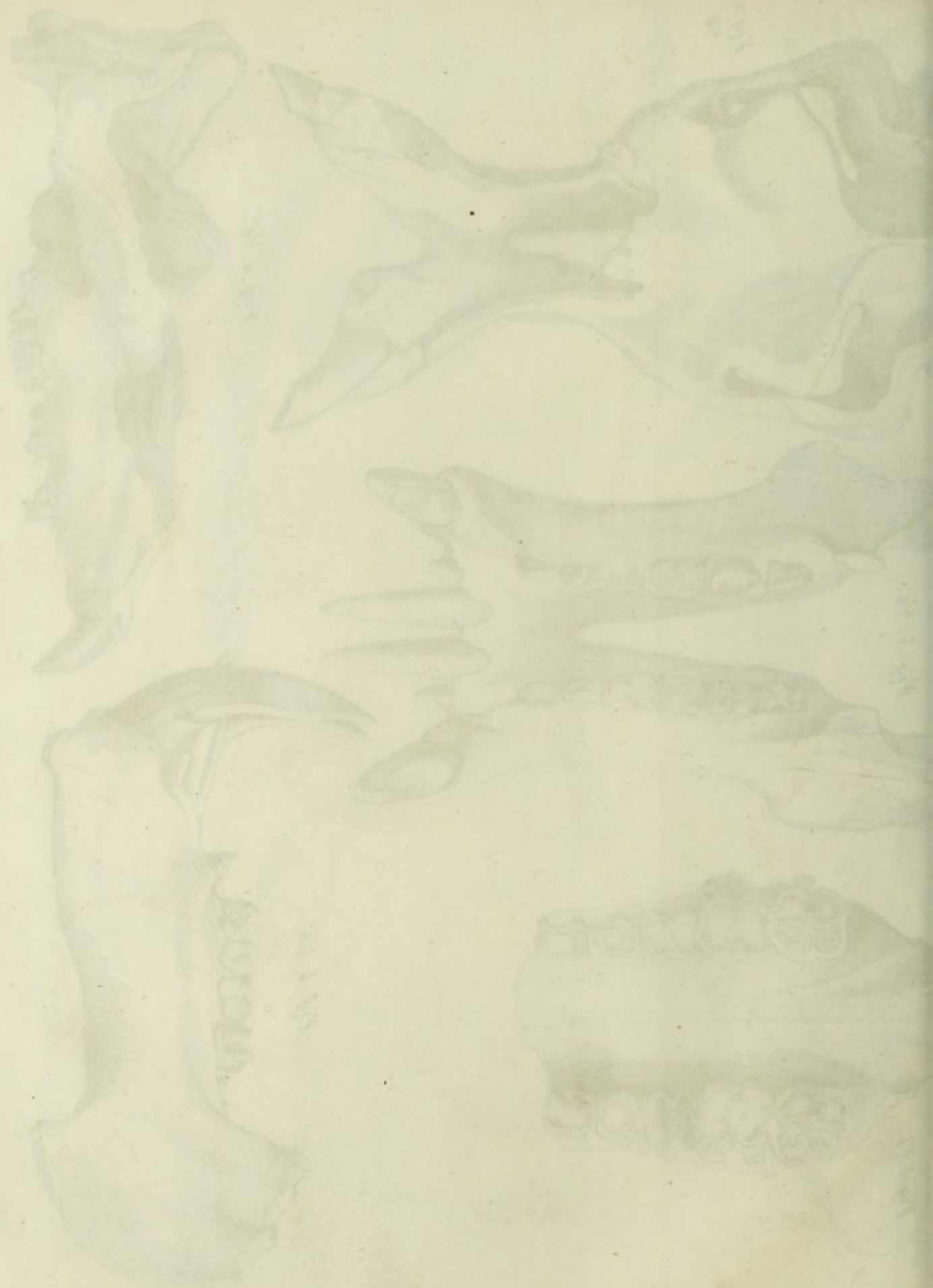
Fig. 5. $\frac{1}{4}$



HIPPOPOTAME FOSSILE. PL. IV.

HIPPOPOTAME FOSSILE. PL. V.

UNIVERSITY OF MICHIGAN



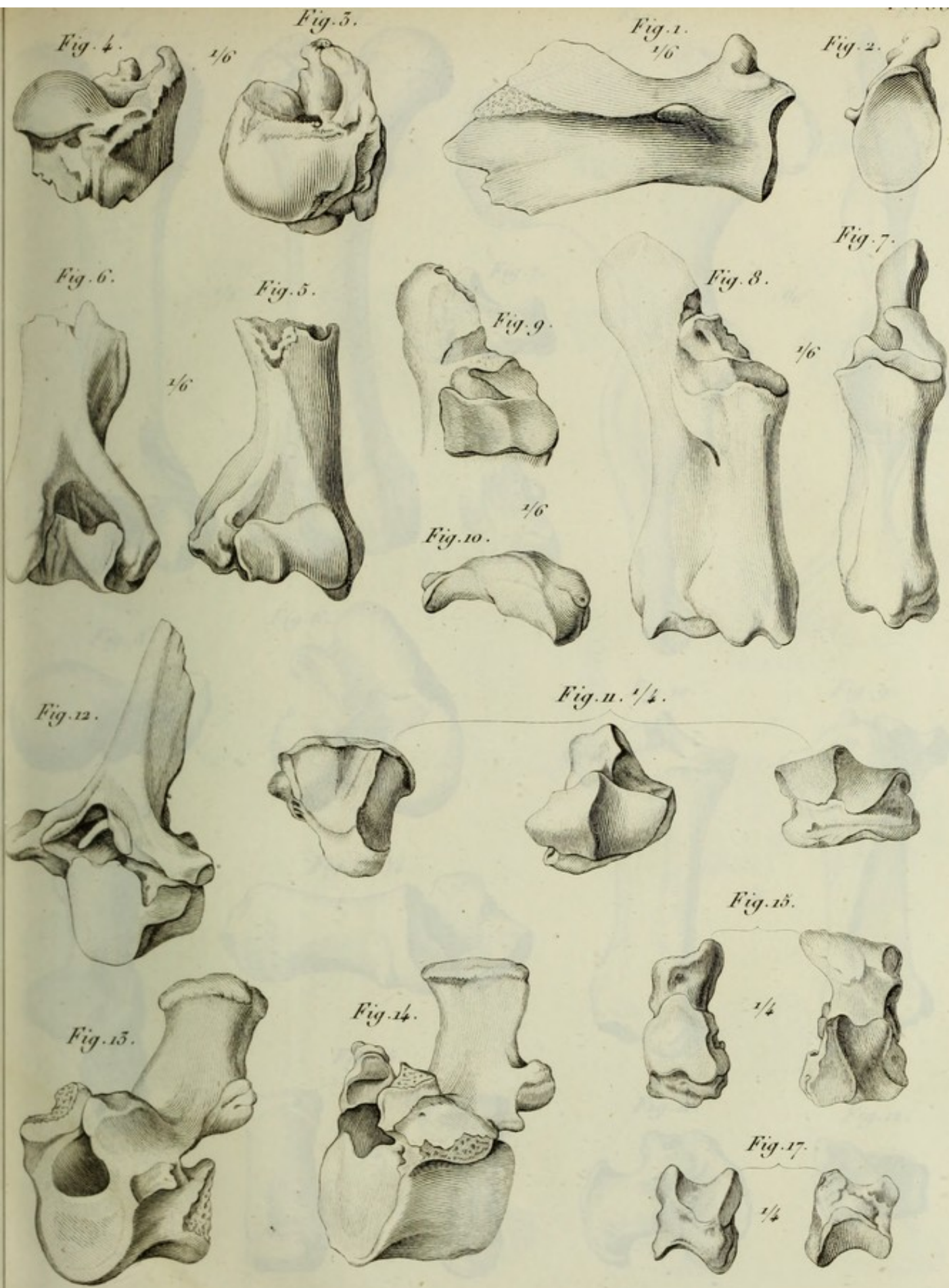
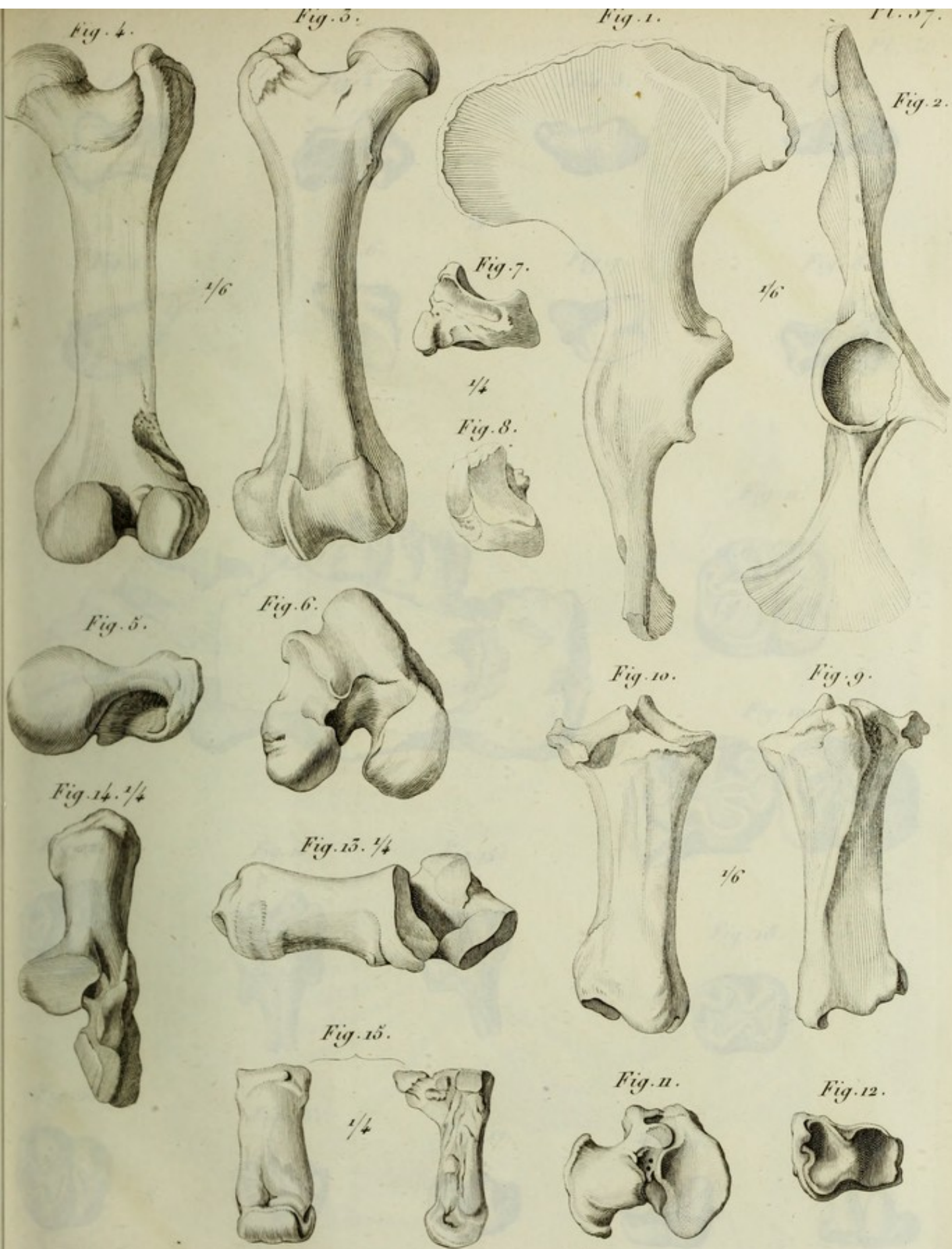




Illustration of the human skeleton, showing the skull, spine, and ribs.



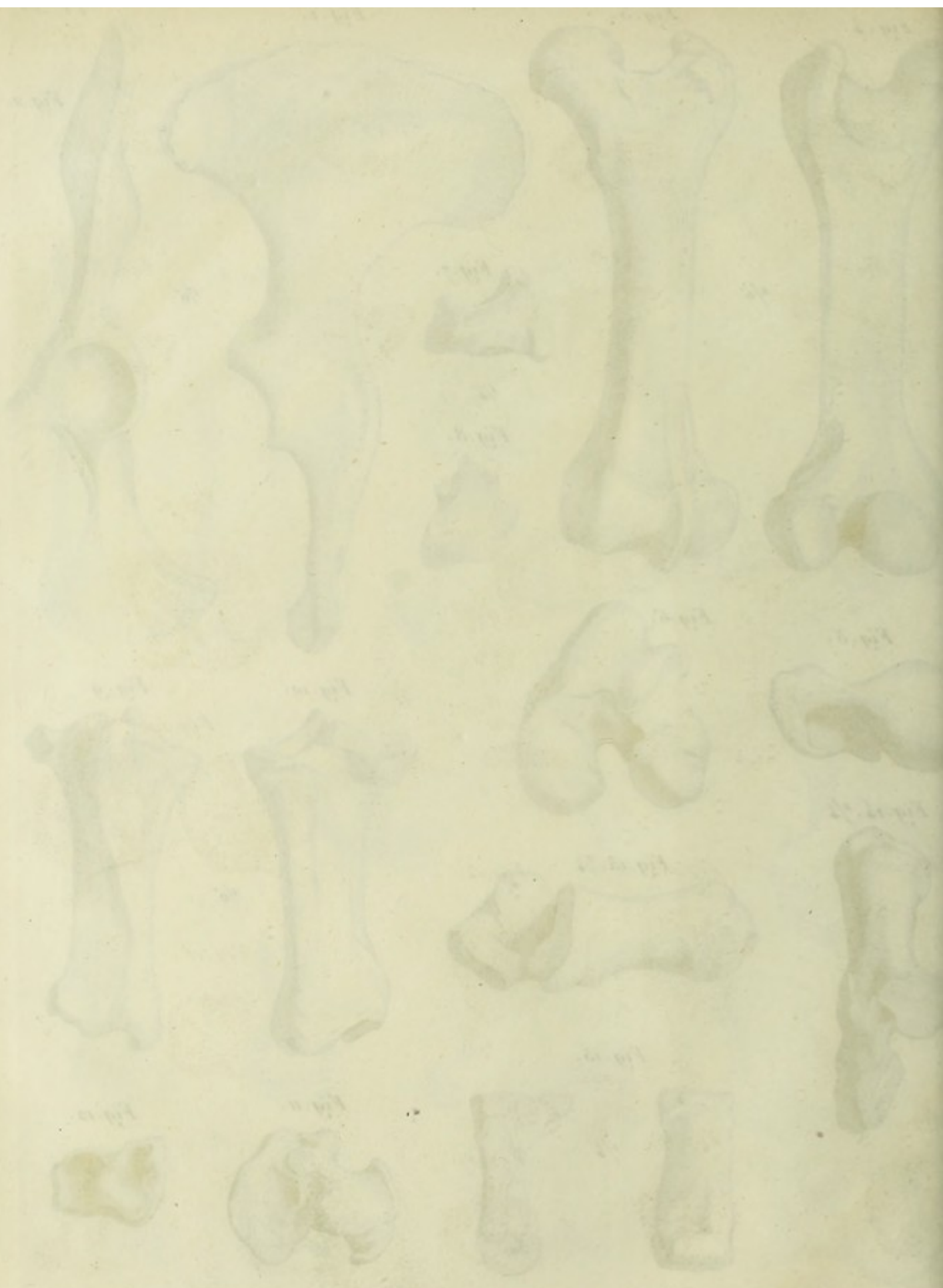


Illustration of the bones of the human body

Fig. 1.



Fig. 2.



Fig. 3.



Fig. 4.



$\frac{1}{4}$

Fig. 5.



Fig. 6.



Fig. 7.



Fig. 8.



Fig. 9. $\frac{1}{2}$



Fig. 11.



Fig. 10.

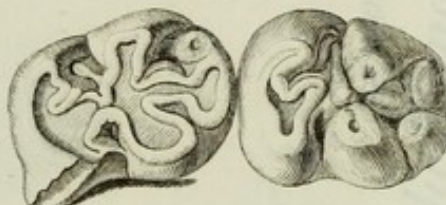


Fig. 12.



Fig. 13.



Fig. 14.



Fig. 18.



Fig. 15.



Fig. 16.



Fig. 17.

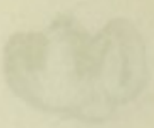
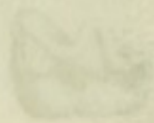
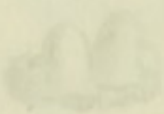
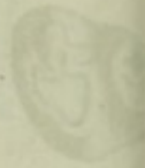
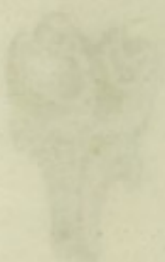
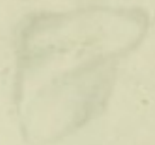
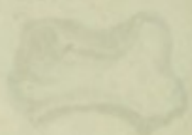


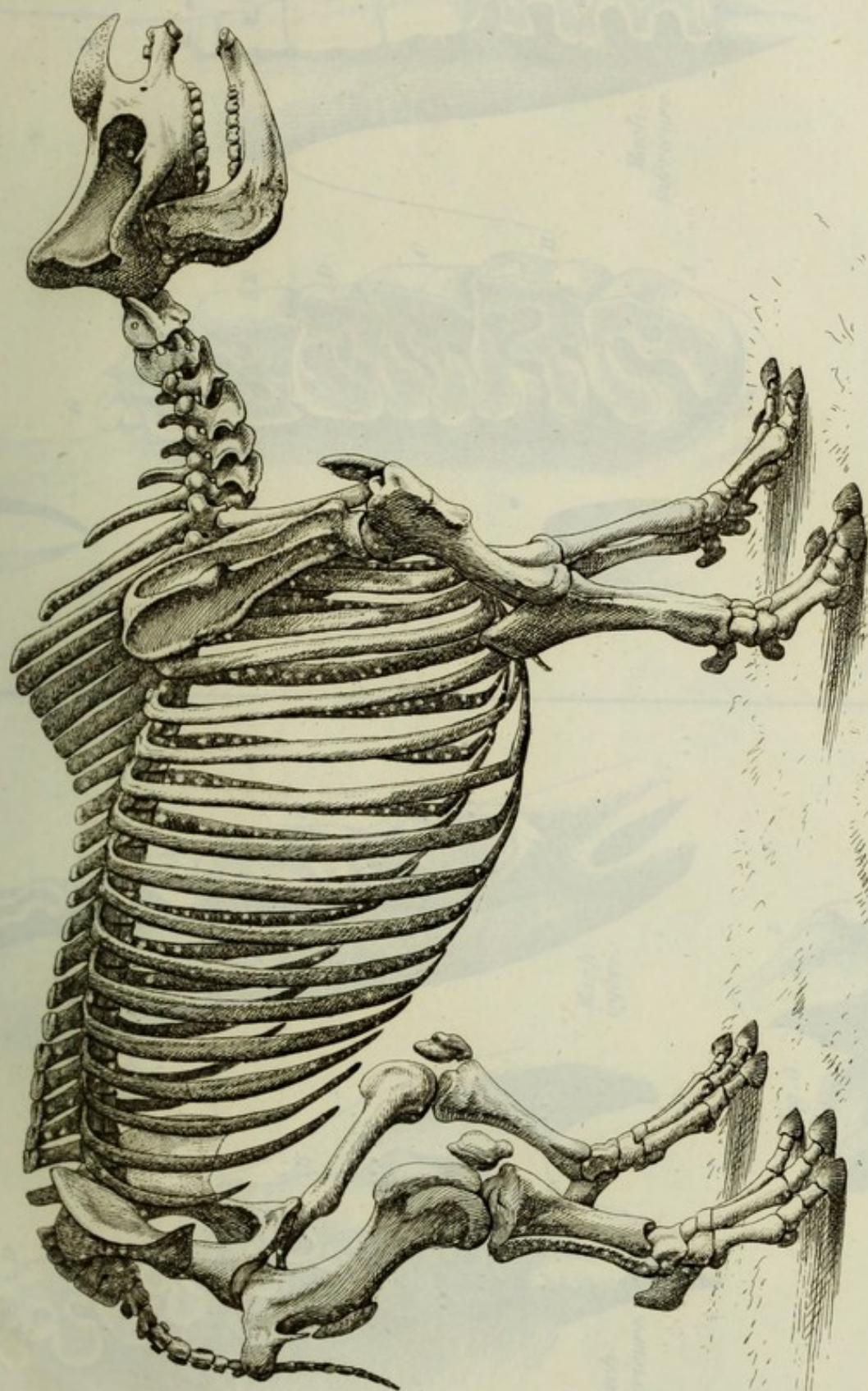
Fig. 19.



Fig. 20.

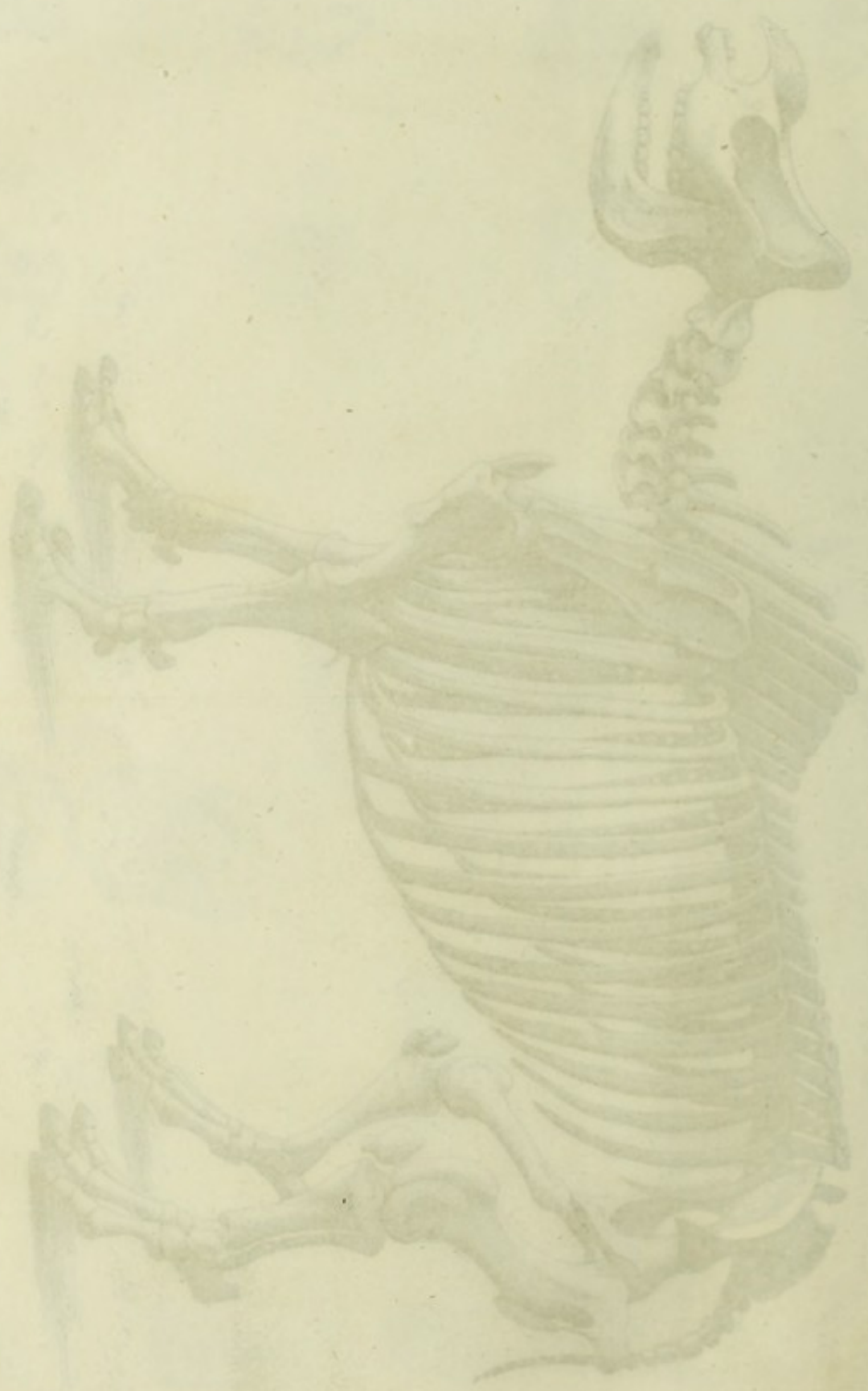






RHINOCÉROS, PL. I.
Squelette du Rhinocéros unicorn.
des Indes.

Скелет лошади
в натуральную величину



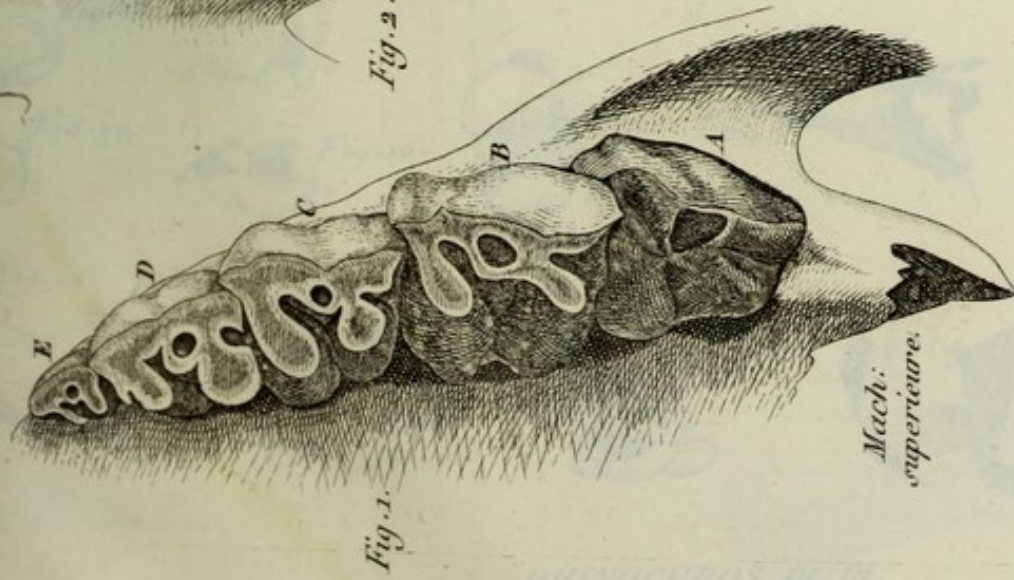


Fig. 1.

Mach.
supérieure.

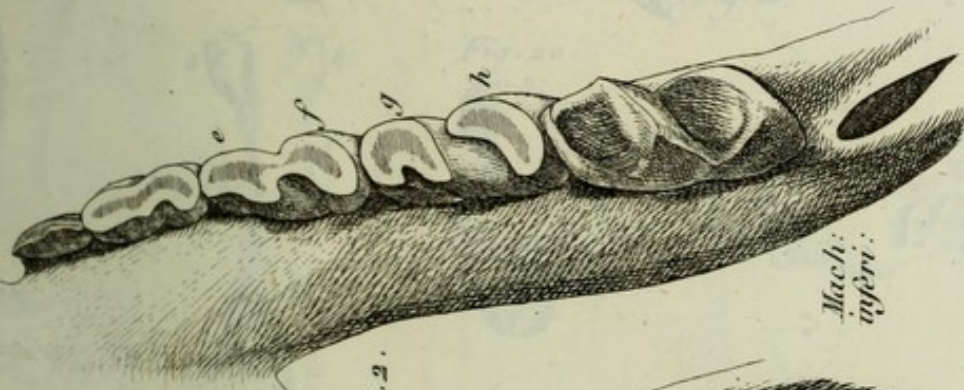


Fig. 2.

Mach.
inférieure.

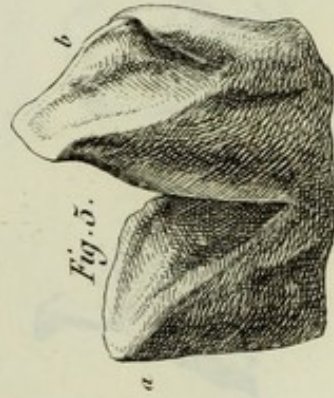


Fig. 3.

a

b

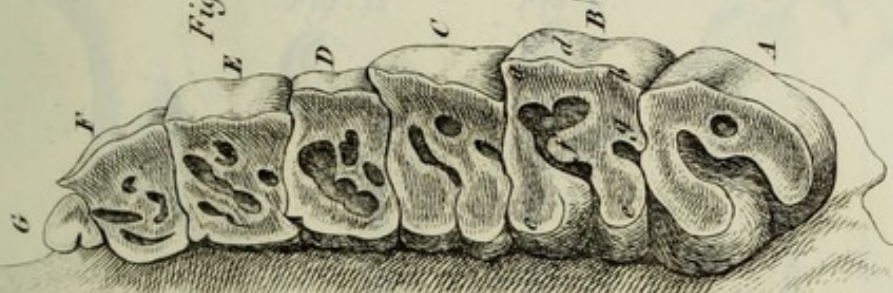


Fig. 3.

Mach.
supérieure.

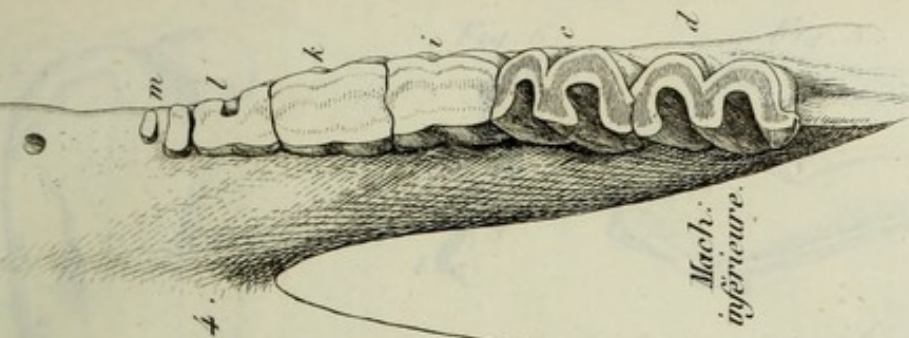


Fig. 4.

Mach.
inférieure.

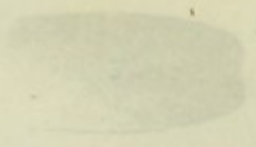
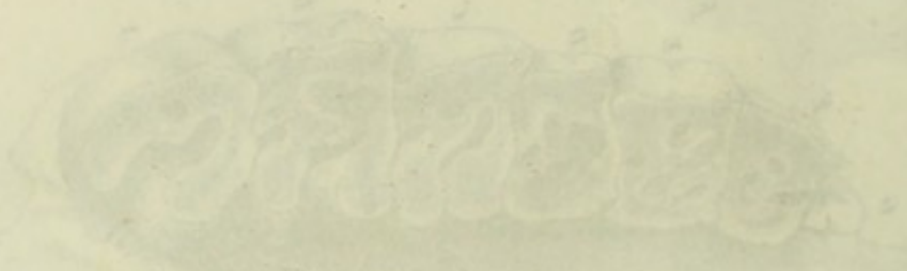
Rhinocéros bicorné.

RHINOCEROS. PL. II.

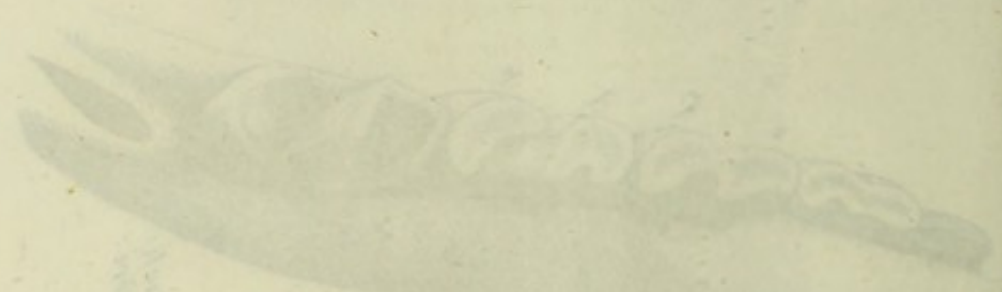
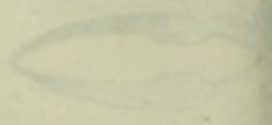
Rhinocéros unicolore.



Mountain
Peak



Small
Stone



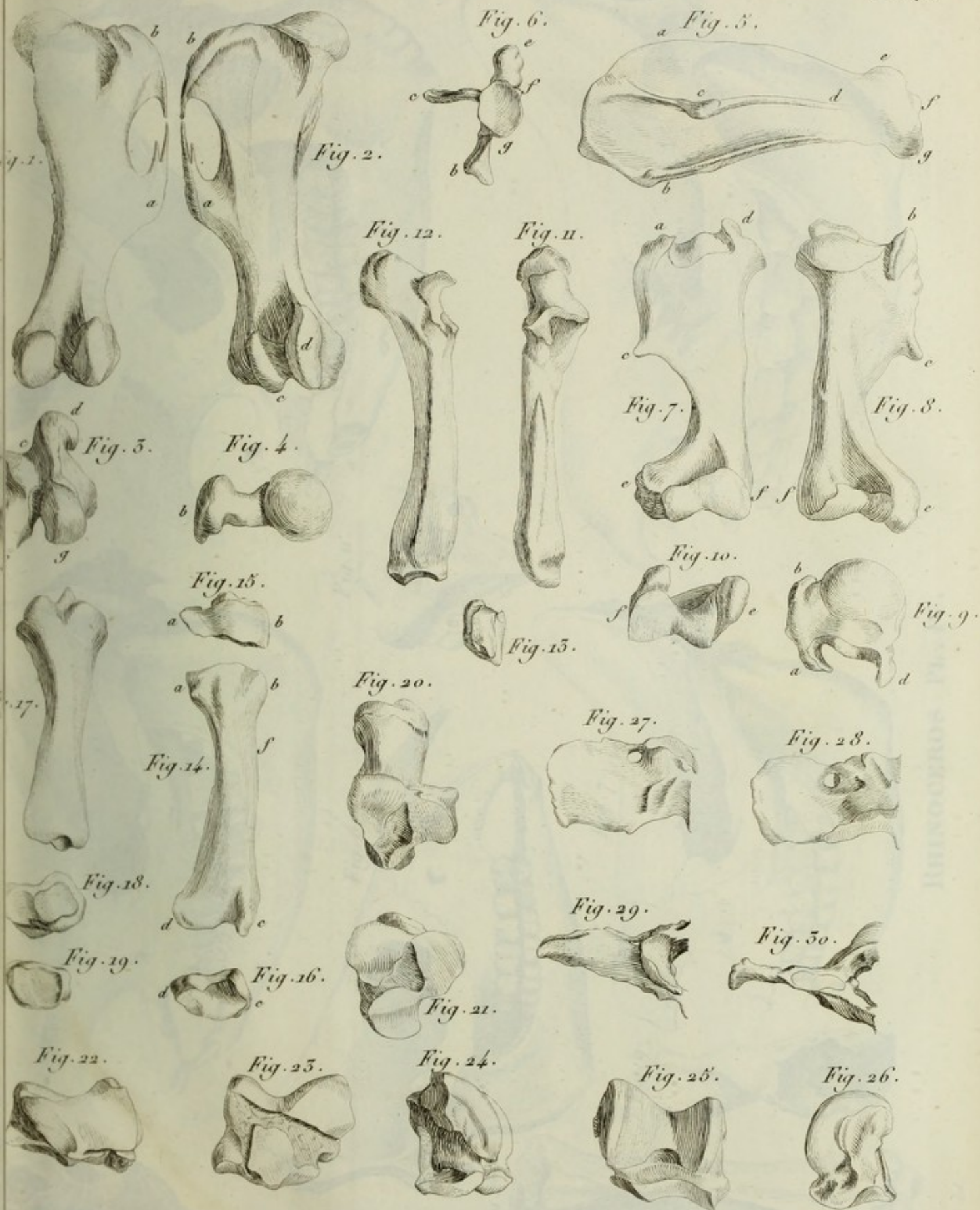
Long
Bone



Large
Rock



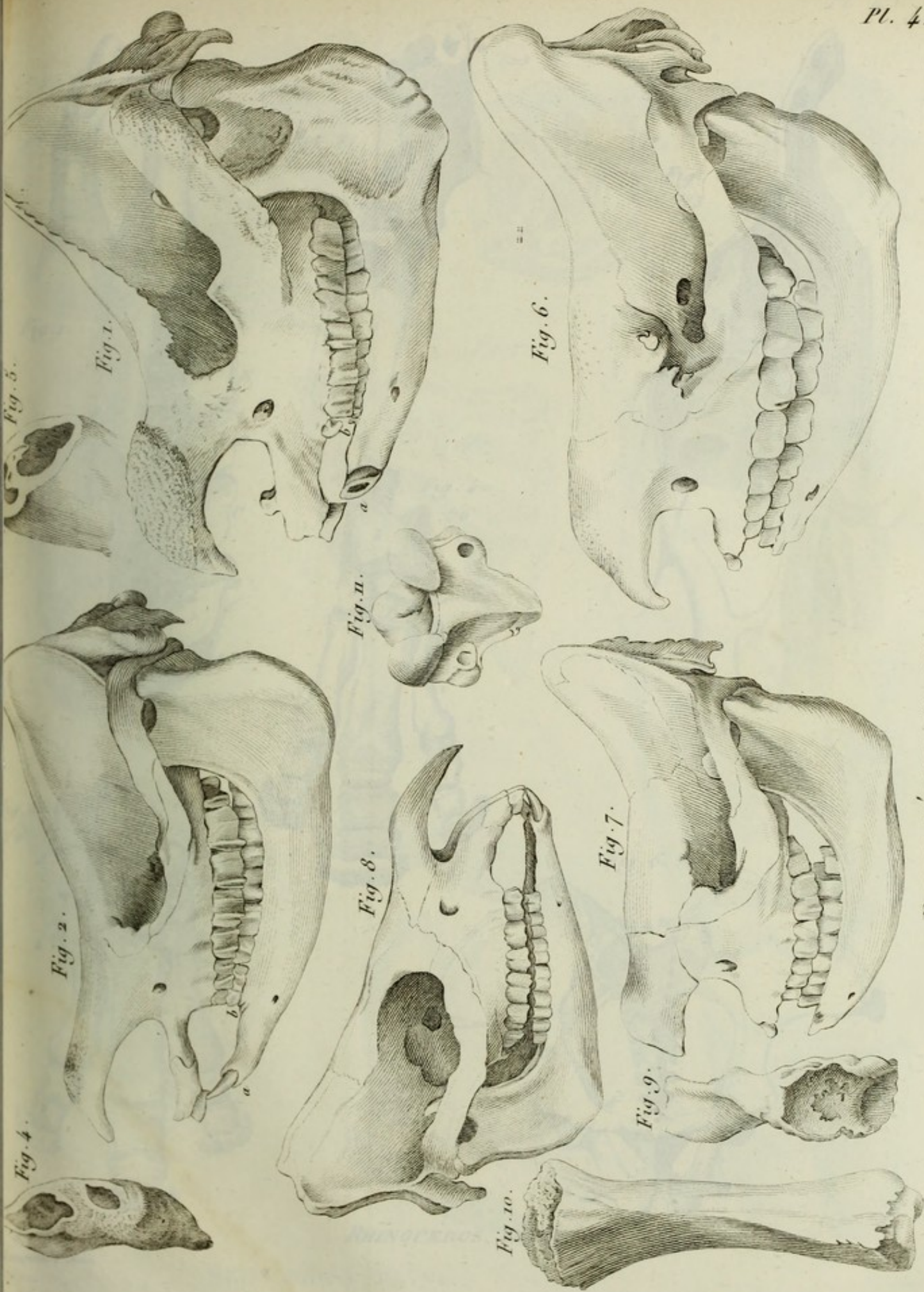
Large
Wood



1712
1713

1714
1715
1716
1717
1718
1719
1720
1721
1722
1723
1724
1725
1726
1727
1728
1729
1730
1731
1732
1733
1734
1735
1736
1737
1738
1739
1740
1741
1742
1743
1744
1745
1746
1747
1748
1749
1750
1751
1752
1753
1754
1755
1756
1757
1758
1759
1760
1761
1762
1763
1764
1765
1766
1767
1768
1769
1770
1771
1772
1773
1774
1775
1776
1777
1778
1779
1780
1781
1782
1783
1784
1785
1786
1787
1788
1789
1790
1791
1792
1793
1794
1795
1796
1797
1798
1799
1800

1801
1802
1803
1804
1805
1806
1807
1808
1809
1810
1811
1812
1813
1814
1815
1816
1817
1818
1819
1820
1821
1822
1823
1824
1825
1826
1827
1828
1829
1830
1831
1832
1833
1834
1835
1836
1837
1838
1839
1840
1841
1842
1843
1844
1845
1846
1847
1848
1849
1850
1851
1852
1853
1854
1855
1856
1857
1858
1859
1860
1861
1862
1863
1864
1865
1866
1867
1868
1869
1870
1871
1872
1873
1874
1875
1876
1877
1878
1879
1880
1881
1882
1883
1884
1885
1886
1887
1888
1889
1890
1891
1892
1893
1894
1895
1896
1897
1898
1899
1900



RHINOCÉROS. PL. IV.

17. 12. 1900

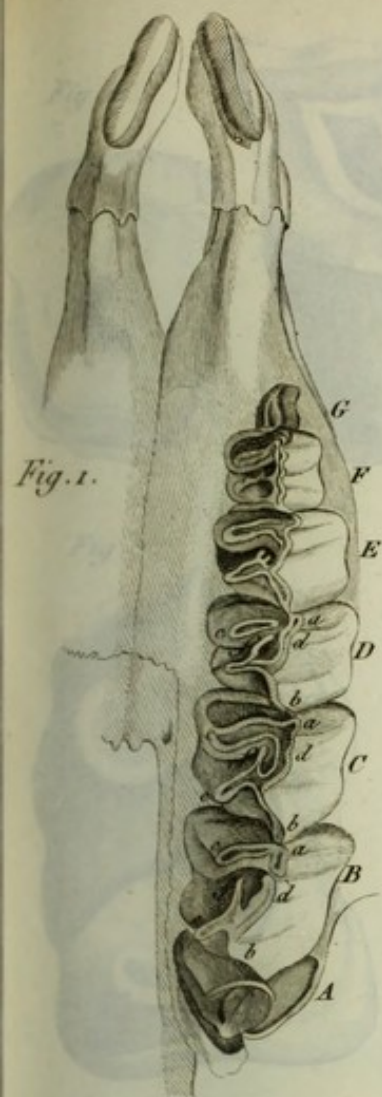


Fig. 2.

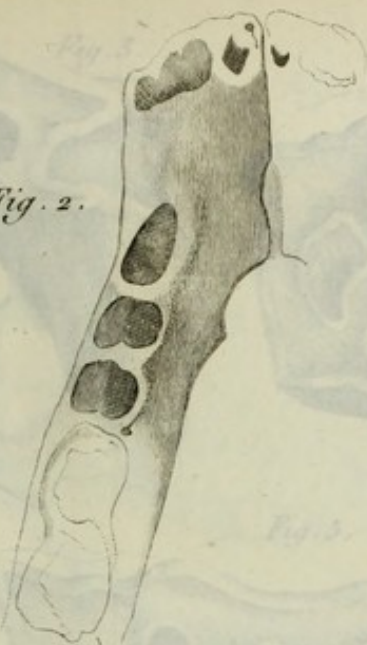


Fig. 3.
2/3

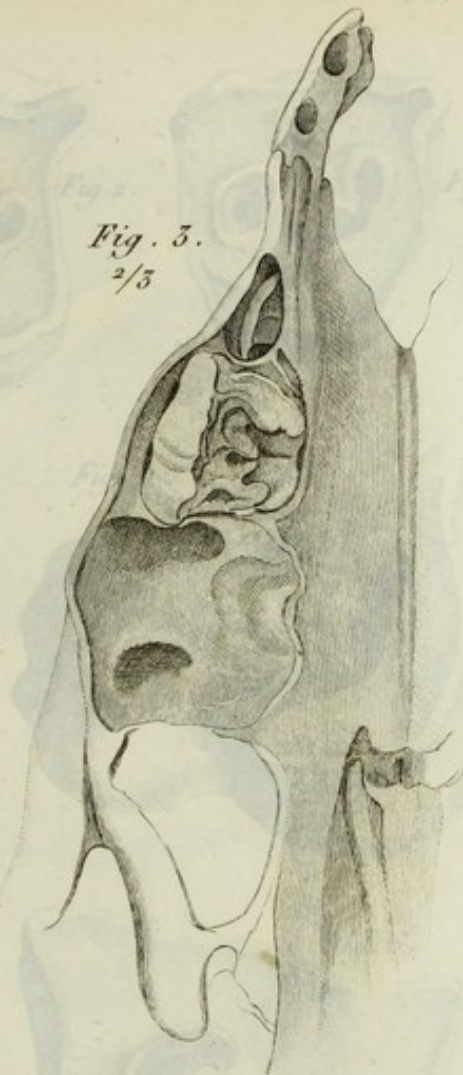


Fig. 4.
1/6

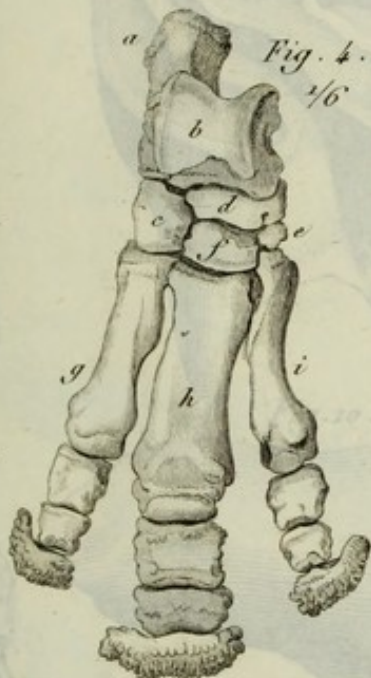
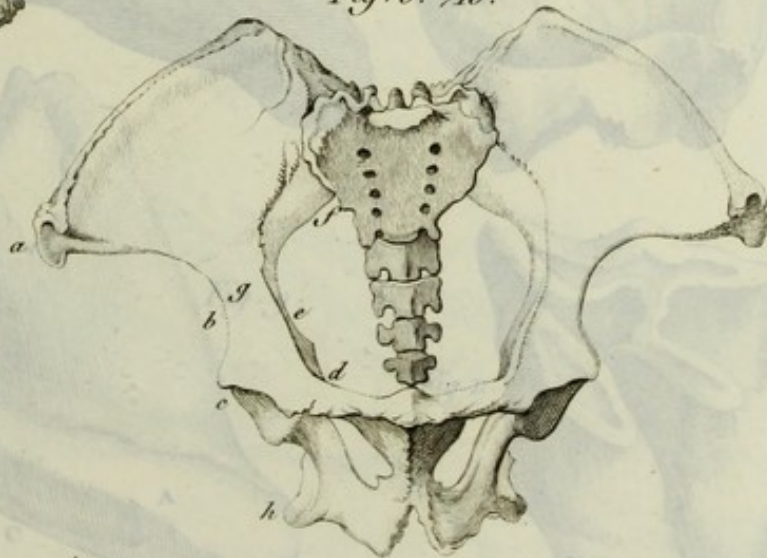


Fig. 6. 1/10.



RHINOCÉROS, PL. V.

RHINOCÉROS, PL. VI.

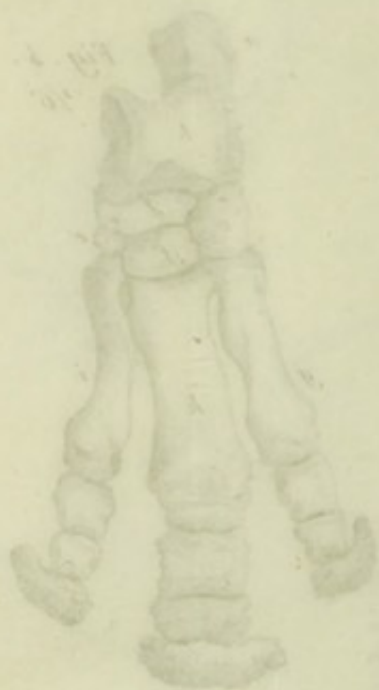
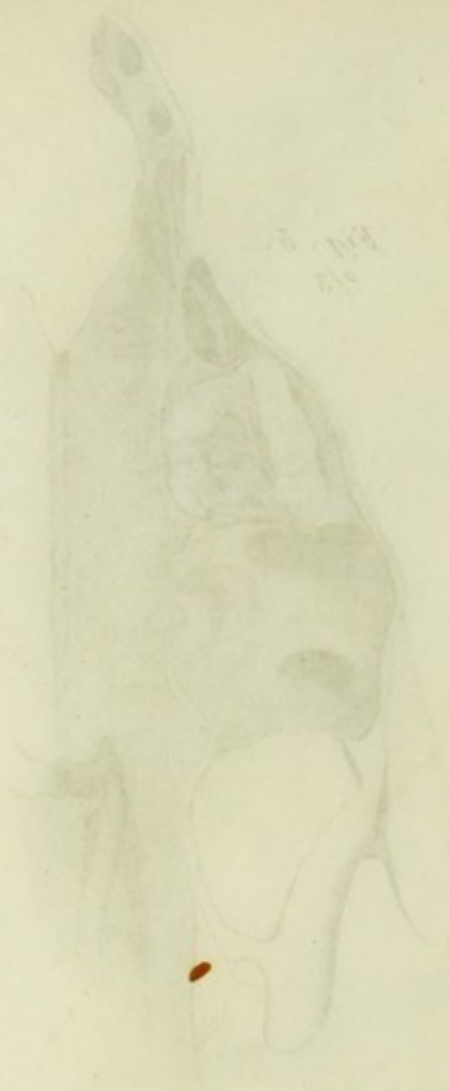
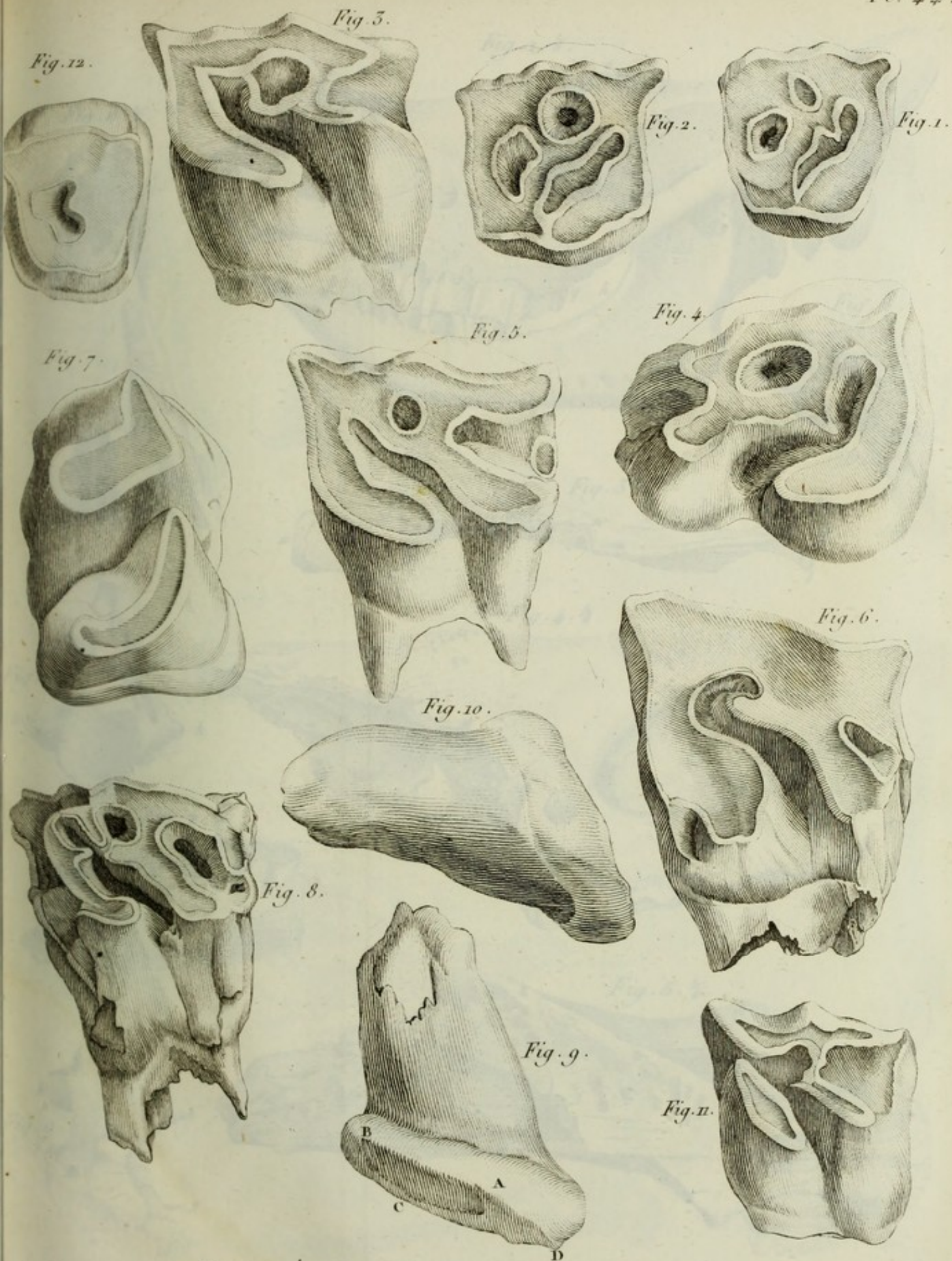


Illustration of a larva or insect body, showing internal structures.



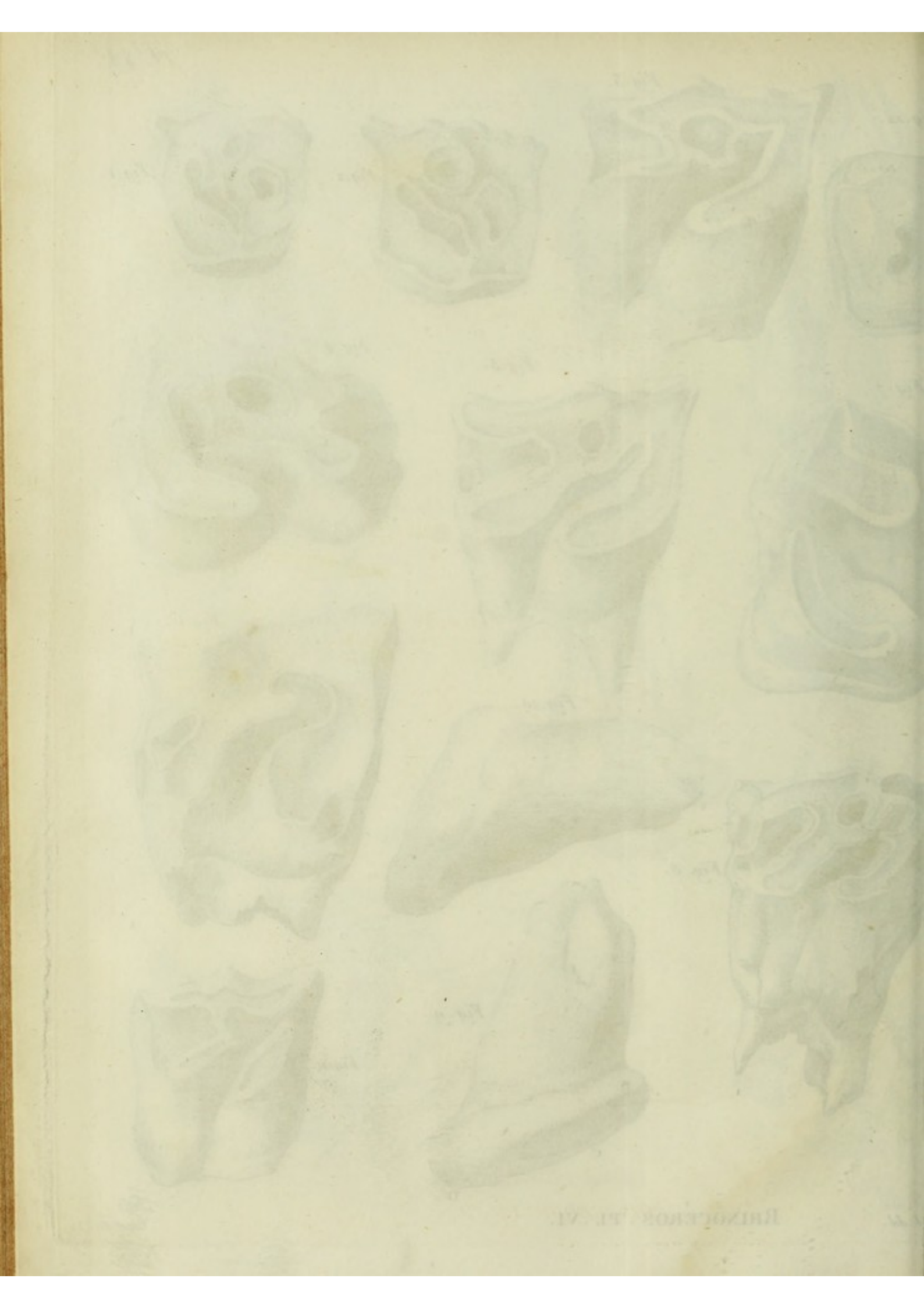


Fig. 1. $\frac{1}{2}$.

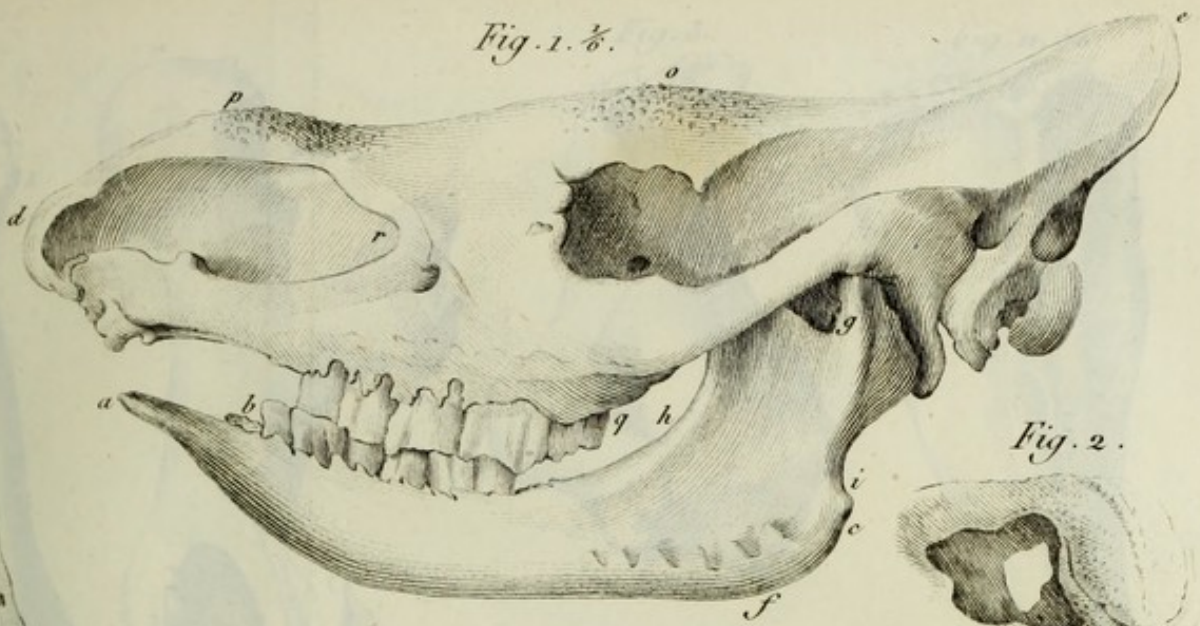


Fig. 2.

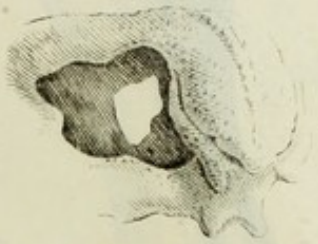


Fig. 3. $\frac{1}{2}$.



Fig. 4. $\frac{1}{4}$.

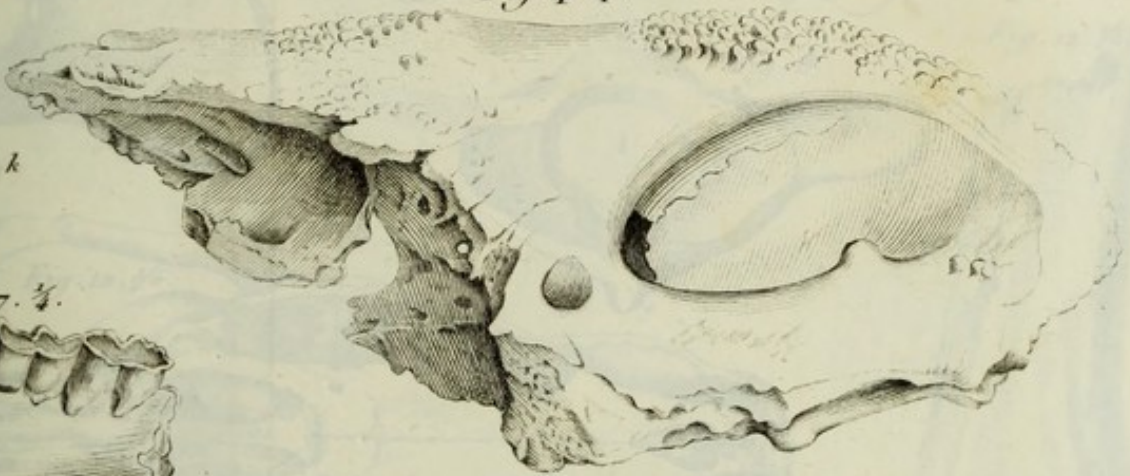


Fig. 7. $\frac{1}{4}$.



Fig. 5. $\frac{1}{4}$.

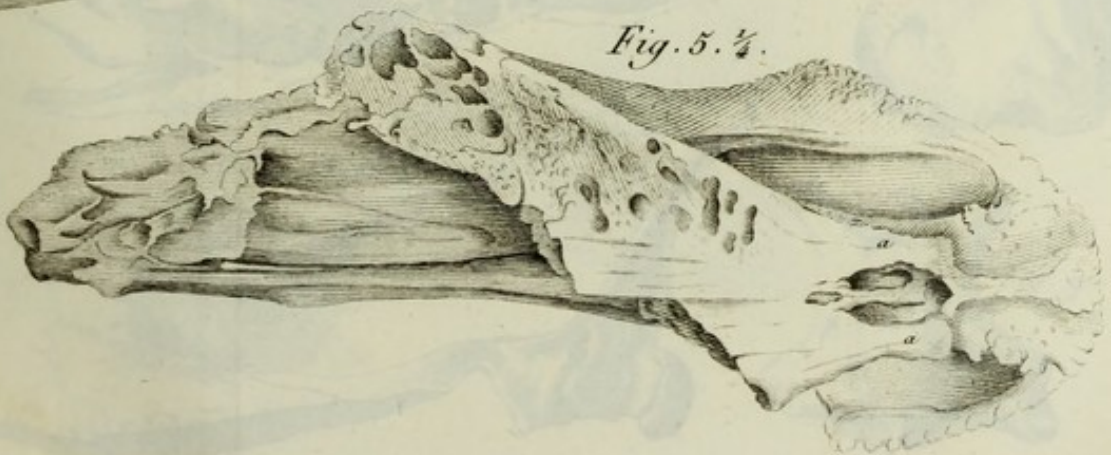


Fig. 6. $\frac{1}{2}$.



Fig. 9.





PLATE III



Fig. 1. $\frac{1}{8}$



Fig. 3. $\frac{1}{6}$



Fig. 7. $\frac{1}{6}$



Fig. 2. $\frac{1}{8}$

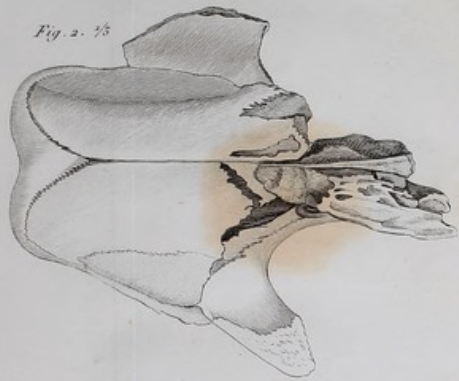


Fig. 4. $\frac{1}{6}$

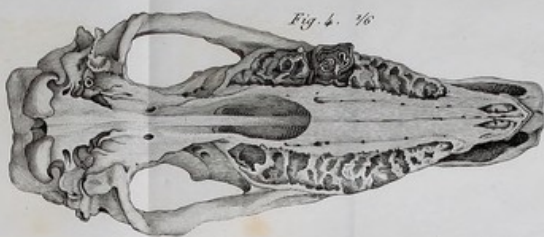


Fig. 5. $\frac{1}{6}$



Fig. 6. $\frac{1}{6}$



Fig. 11. $\frac{1}{8}$



Fig. 8. $\frac{1}{4}$



Fig. 9.



Fig. 10.



Fig. 3.

Fig. 4.



Fig. 5.



Fig. 6.

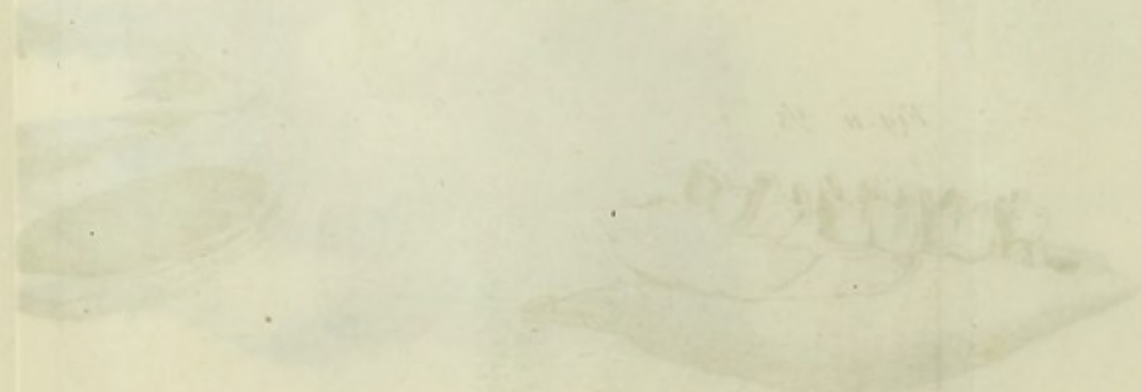
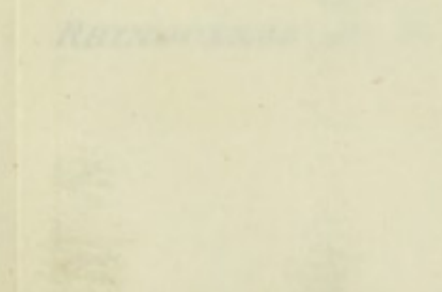
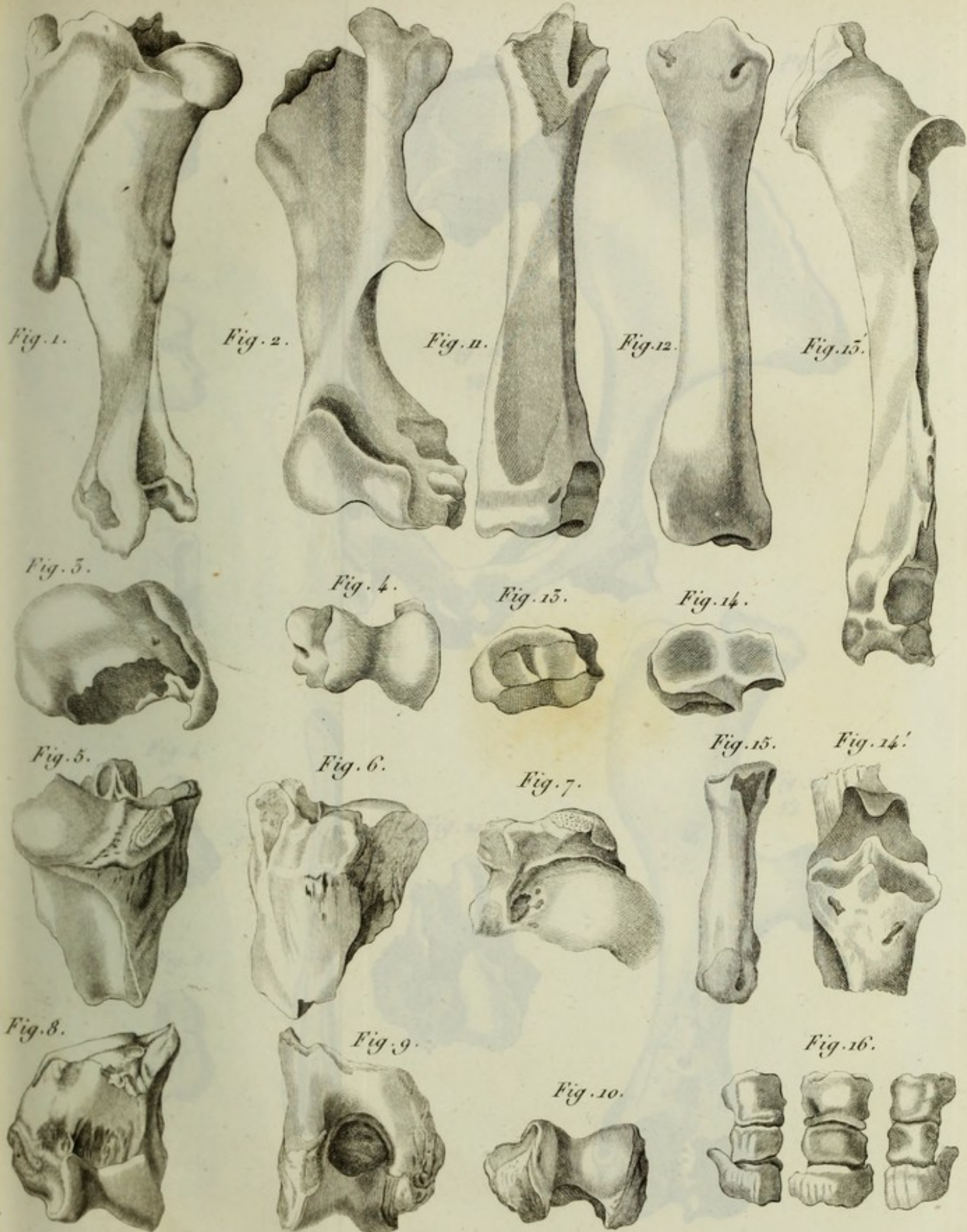
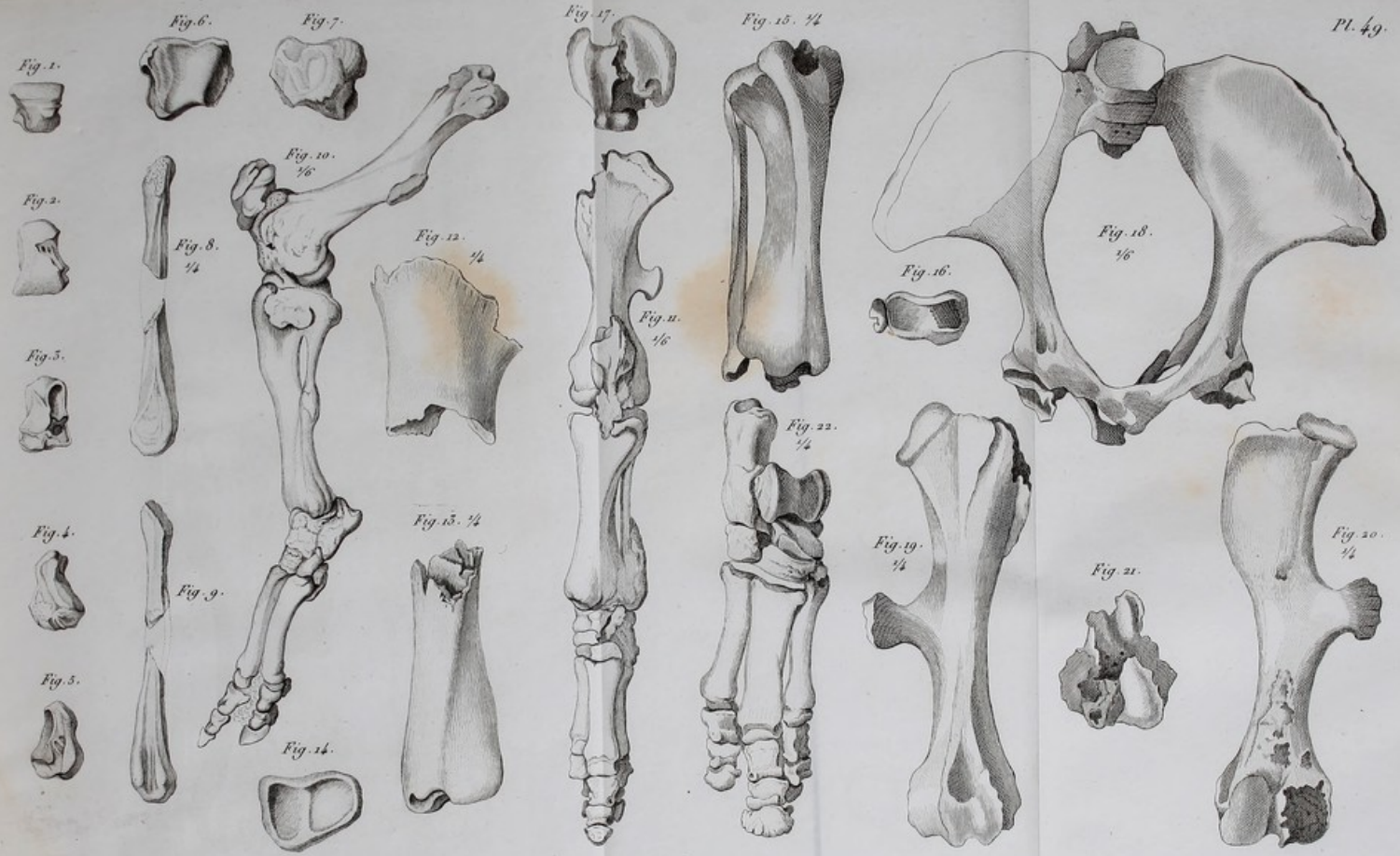


Fig. 7.



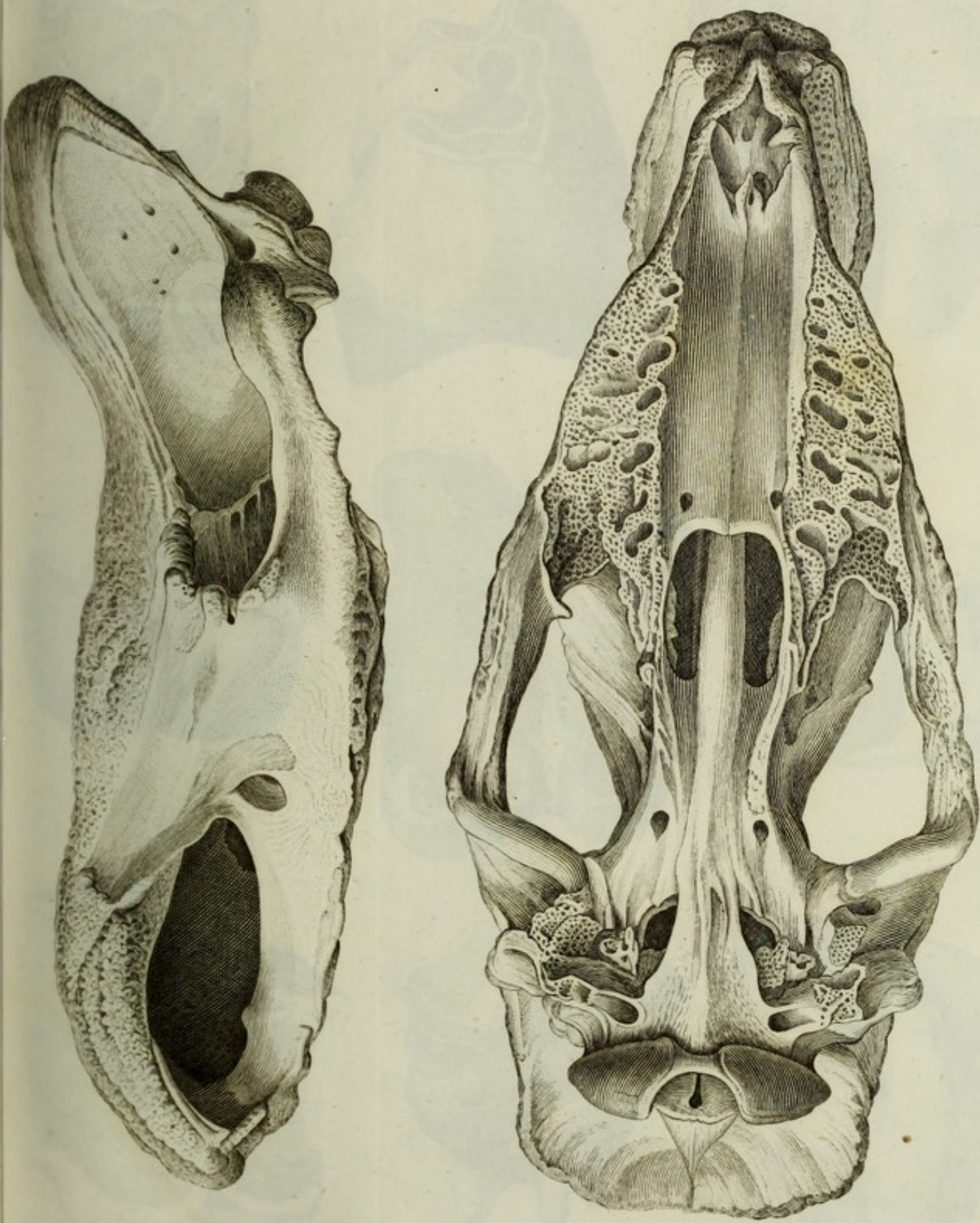








RHINOCEROS PL. XI.



RHINOCÉROS. PL. XII.



Fig. 1.

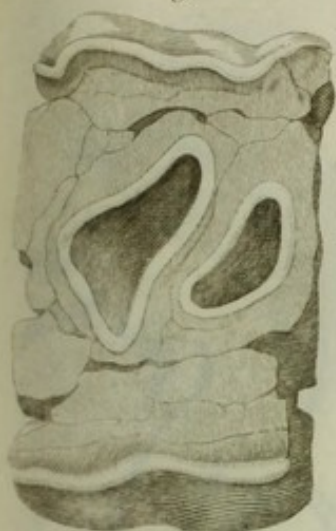


Fig. 2.

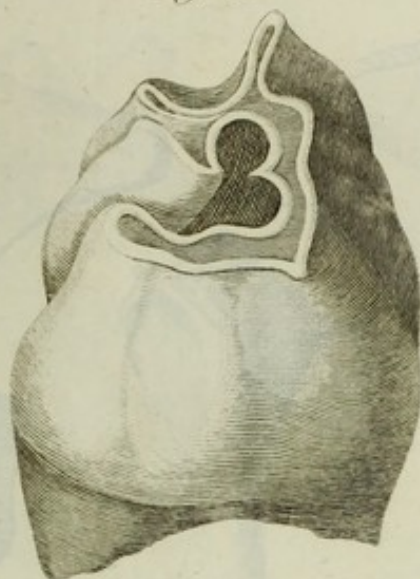


Fig. 4.

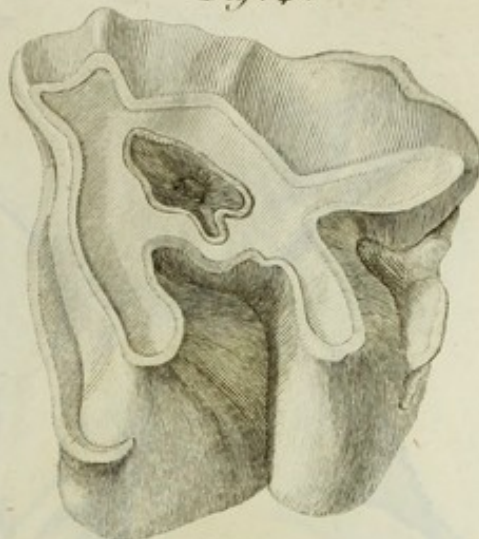


Fig. 5.

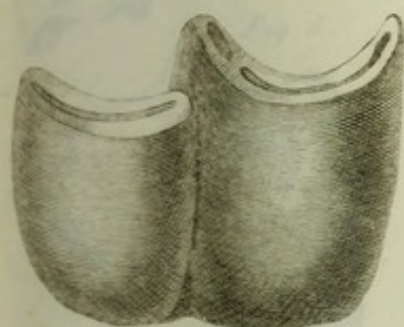


Fig. 5.

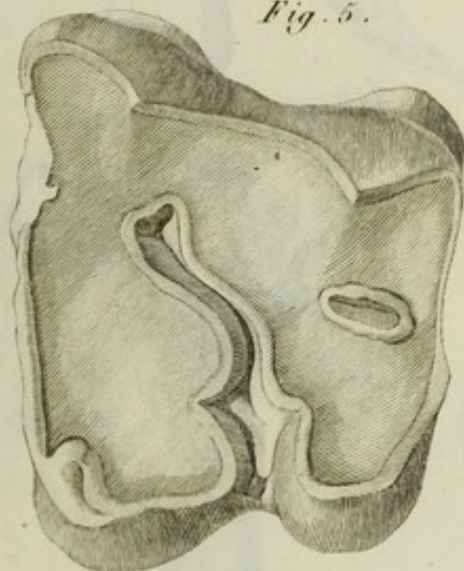


Fig. 7.

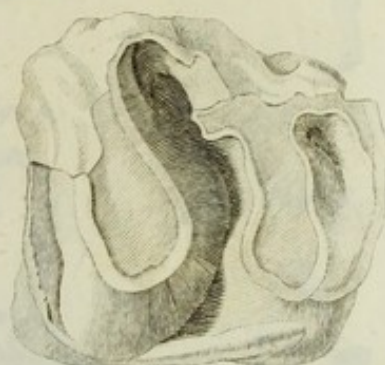


Fig. 6.



Fig. 8.



Fig. 9.

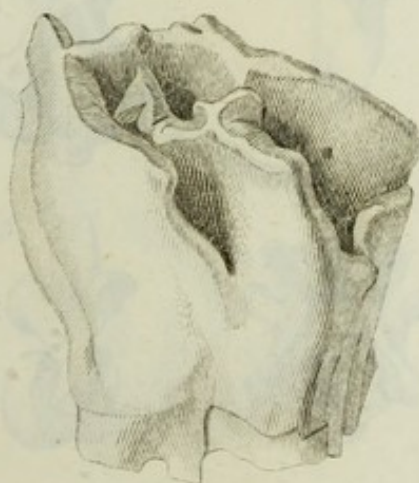




Fig. 1.

Fig. 2.

Fig. 3.

Fig. 4.

Fig. 7.

Fig. 5.

Fig. 6.

Fig. 9.

Fig. 8.

Fig. 10.

Fig. 14.

Fig. 11.

Fig. 12.

Fig. 13.



Fig. 1.

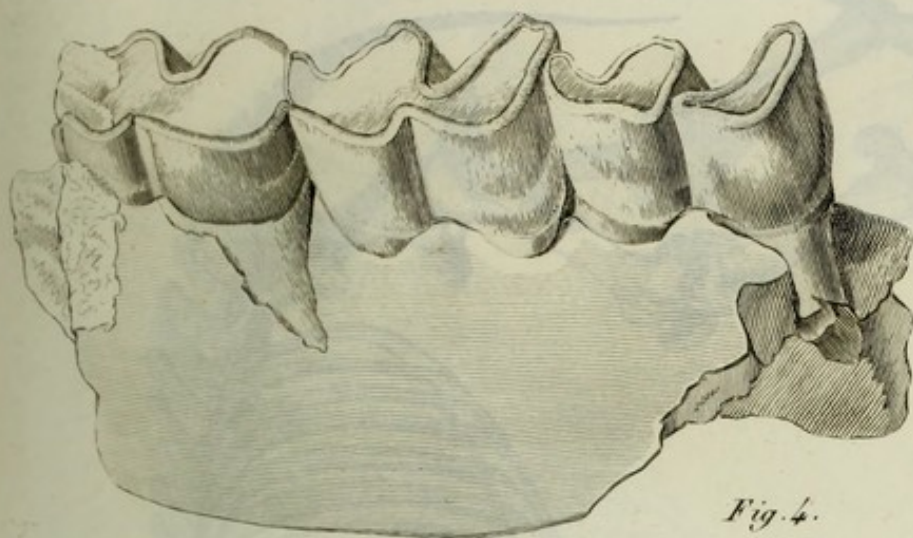


Fig. 2. $\frac{1}{2}$



Fig. 4.



Fig. 3. $\frac{1}{2}$

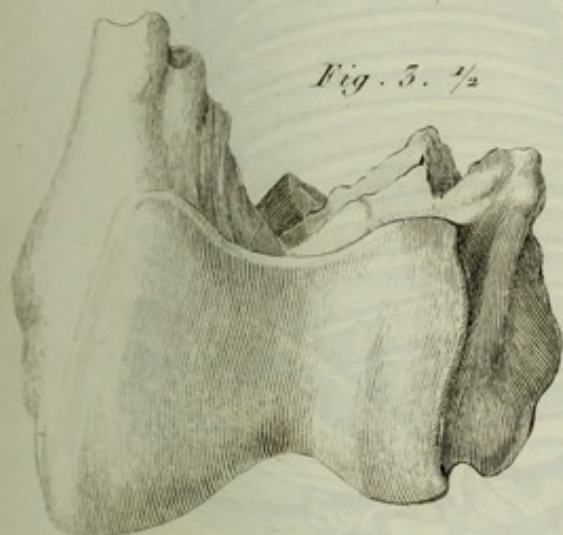


Fig. 5.



Fig. 6.



Fig. 10. $\frac{1}{2}$

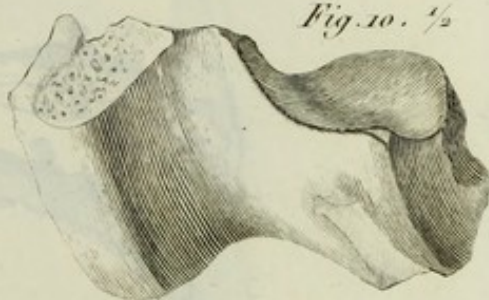


Fig. 7.



Fig. 8.

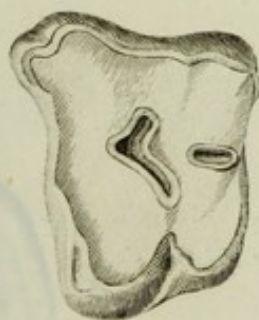
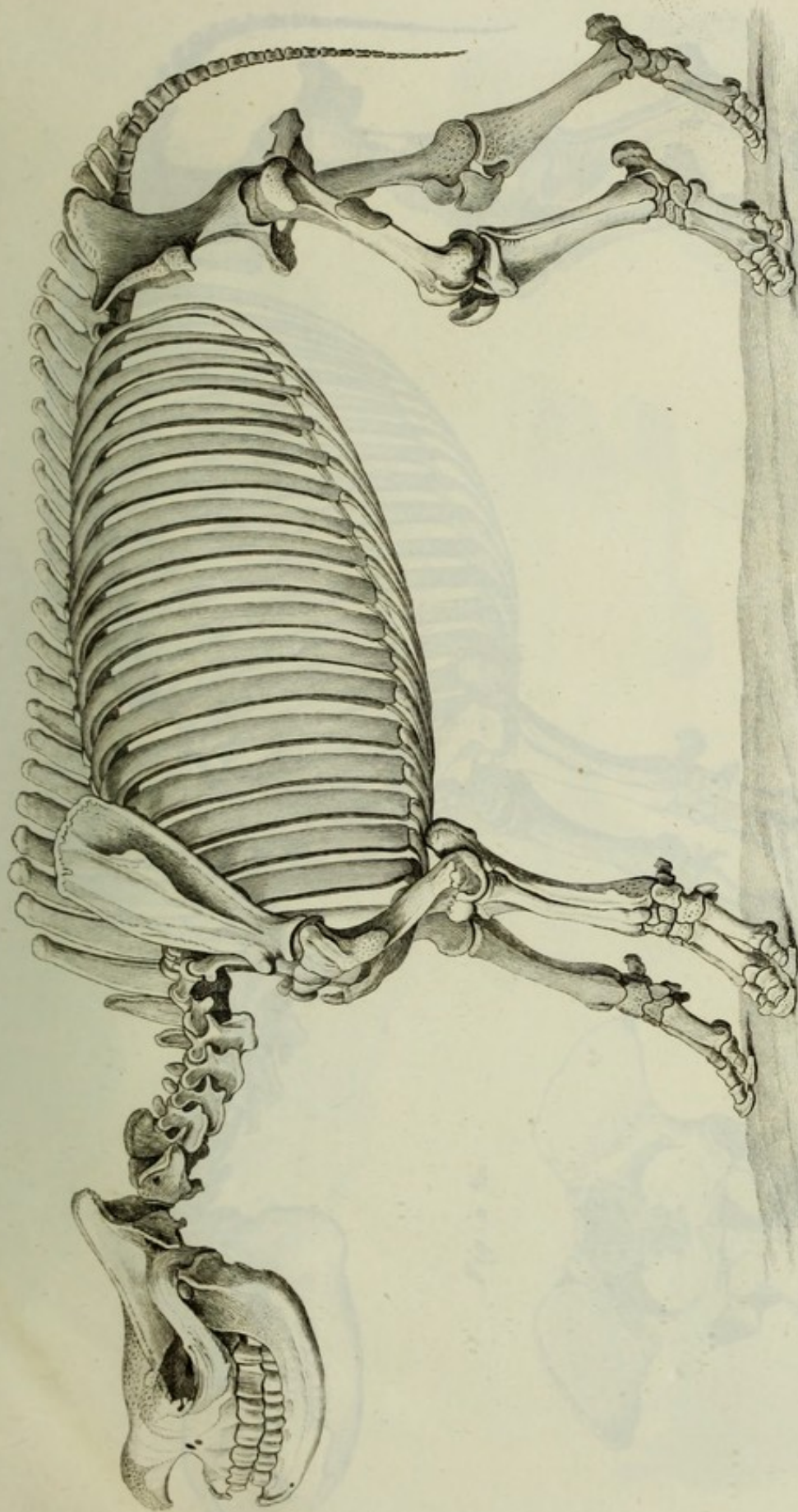


Fig. 9.







RHINOCÉROS PL. XVI. Squelette du Rhinocéros bicorne du Cap.

PLATE 1. THE SKELETON OF A HORSE.

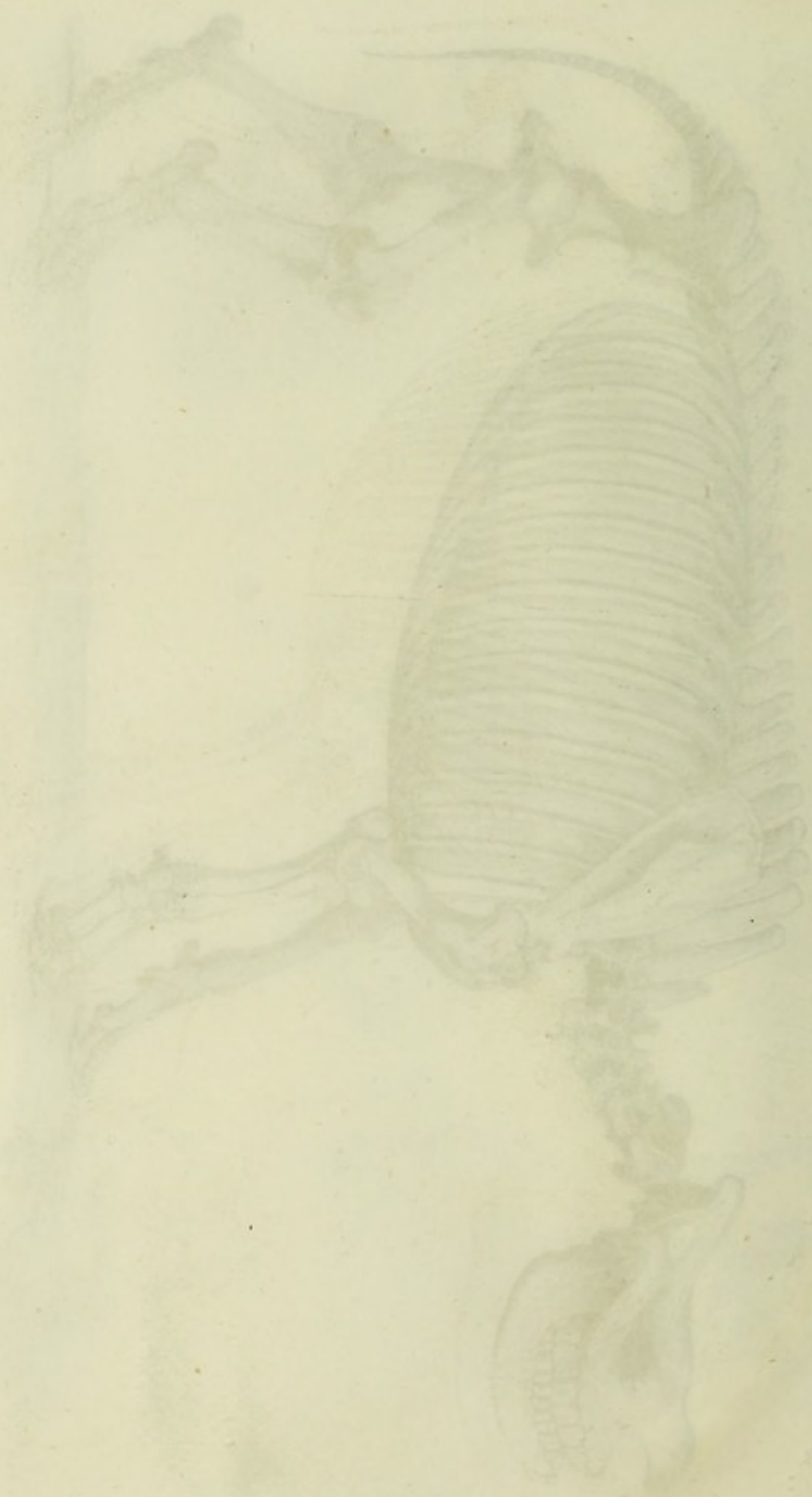


Fig. 1 $\frac{1}{12}$.

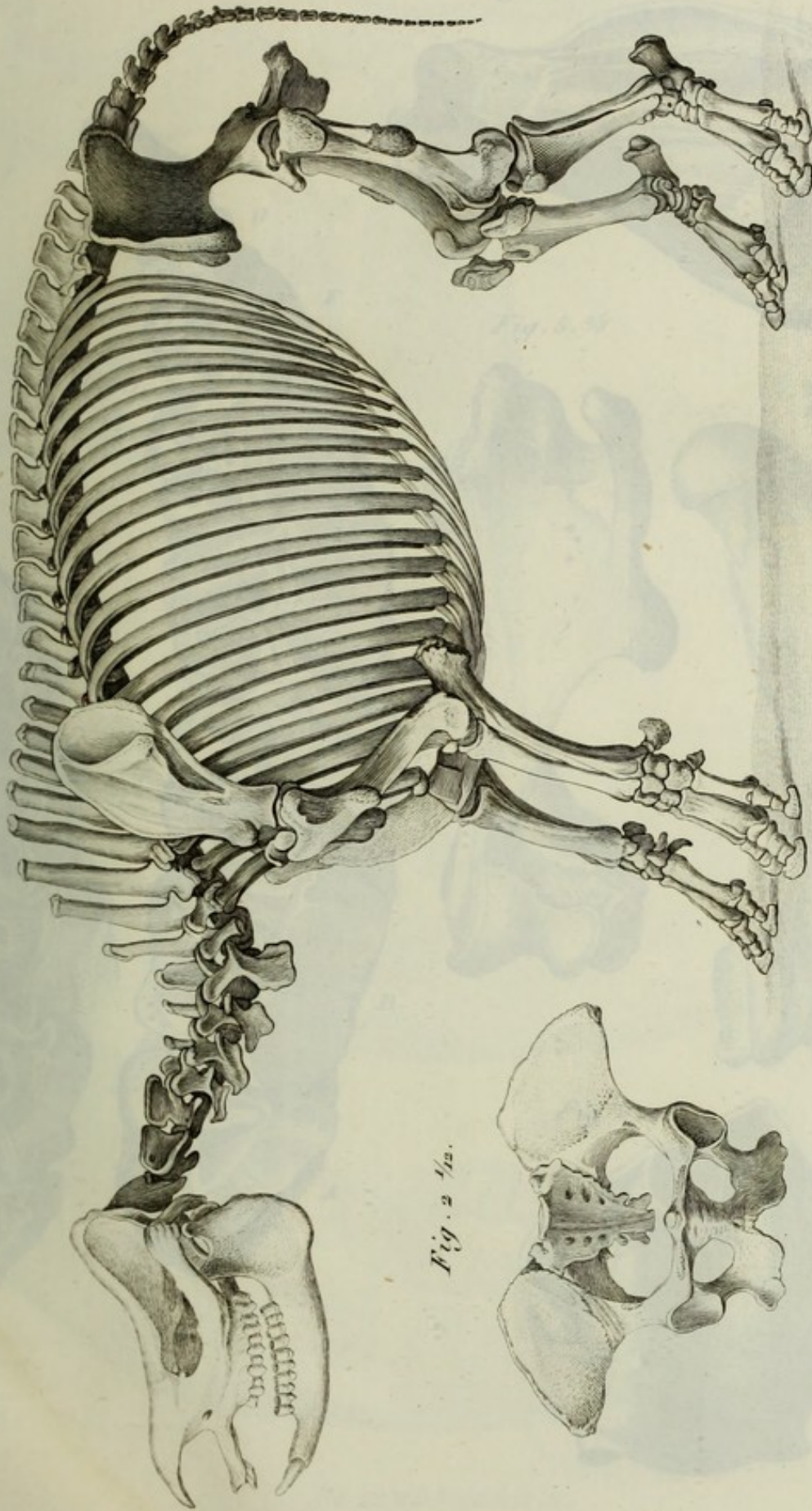


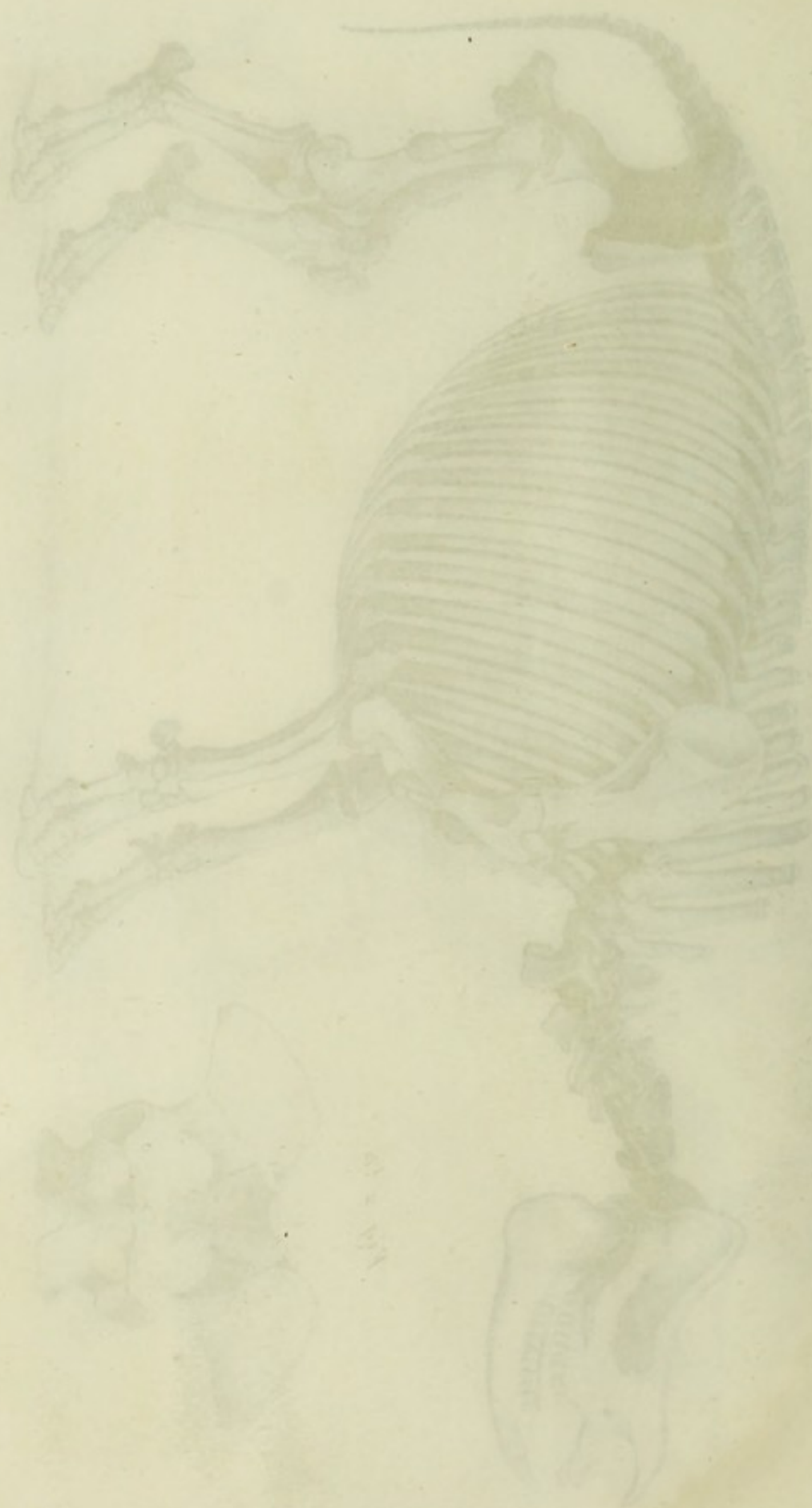
Fig. 2 $\frac{1}{12}$.



RHINOCÉROS. PL. XVII. Squelette du Rhinocéros unicolore de Java.

Illustr. del.

Tab. 12. Anatomia corporis humani. Tab. 12. Anatomia corporis humani.



Tab. 12

Fig. 4. $\frac{1}{3}$.

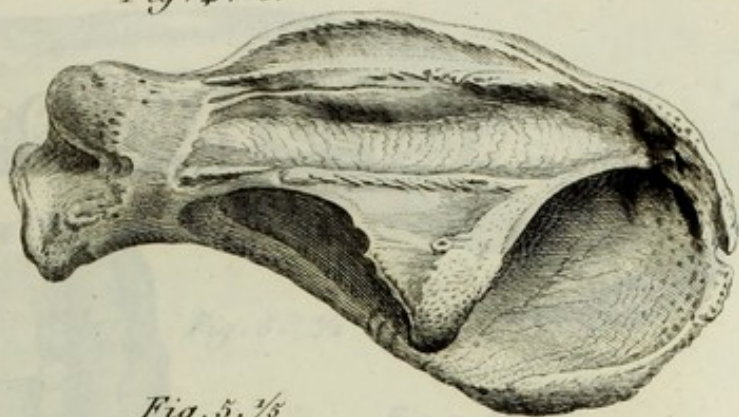


Fig. 5. $\frac{1}{3}$.



Fig. 6. $\frac{1}{3}$.

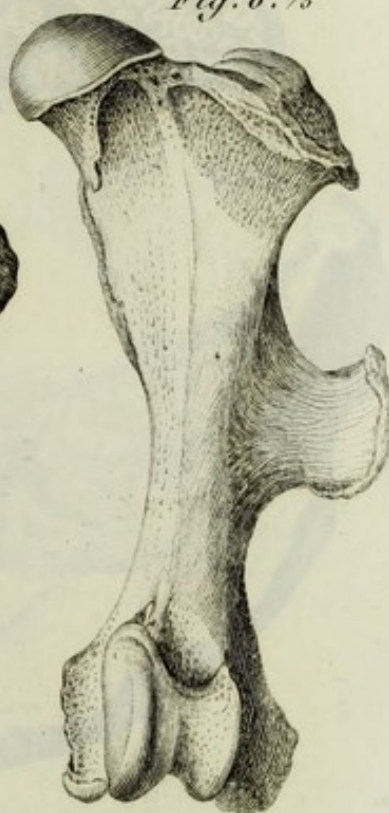


Fig. 3.

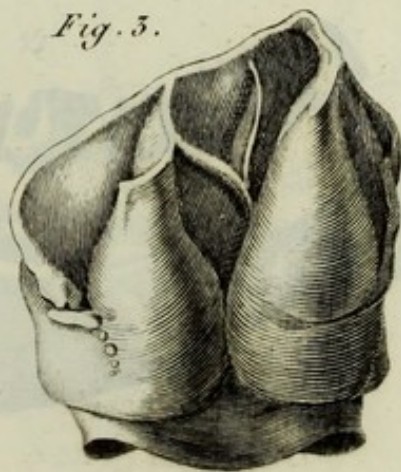
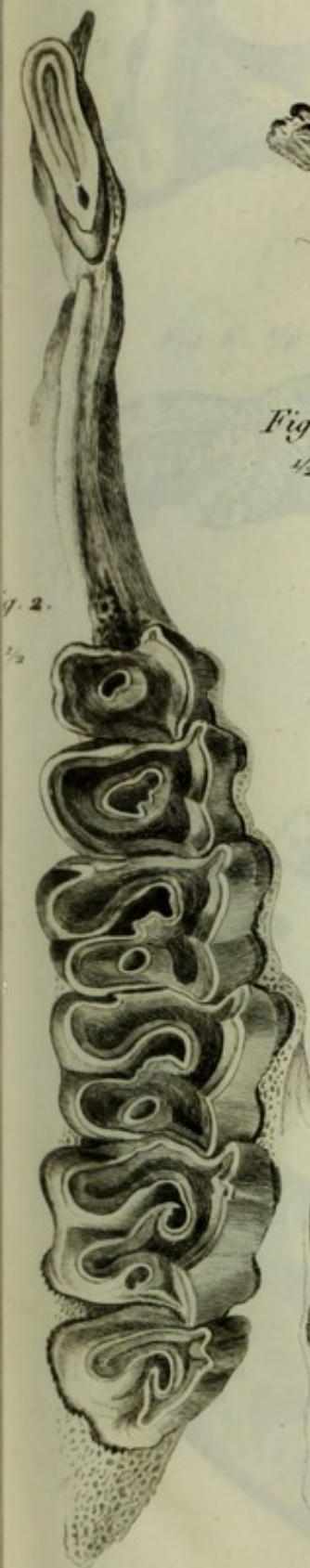
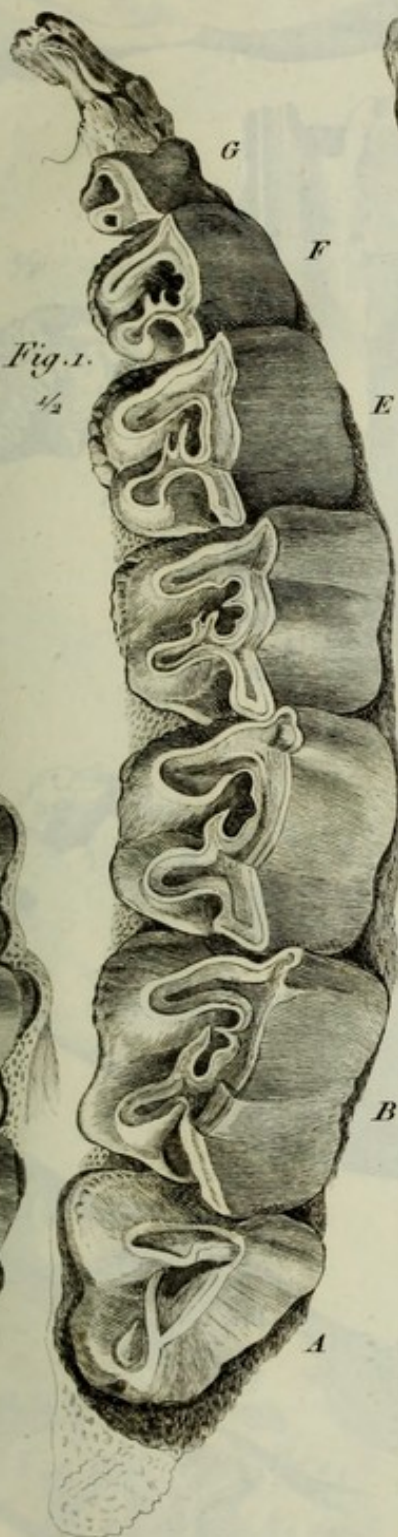


Fig. 1. $\frac{1}{2}$.



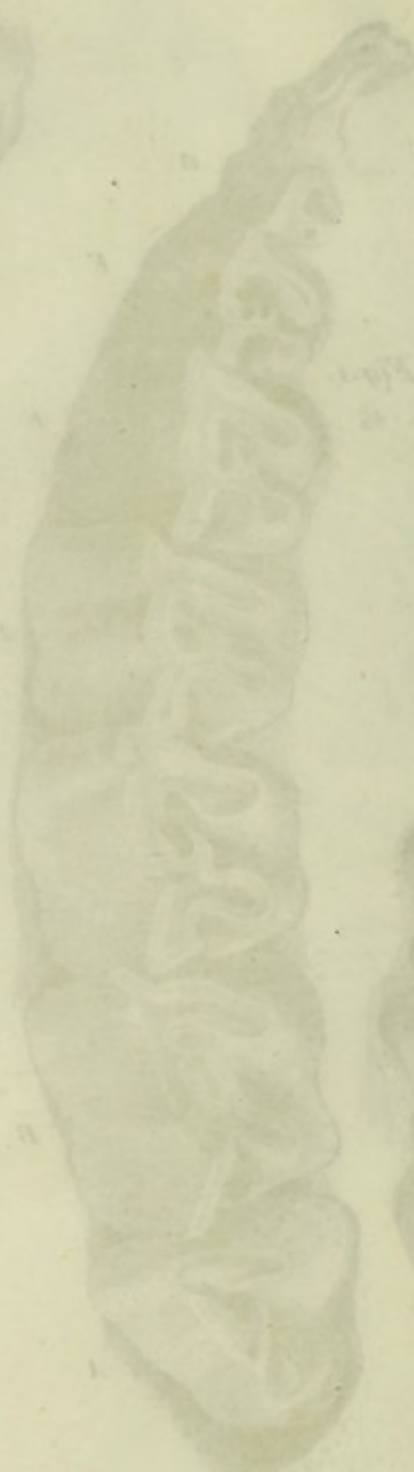


Fig. 1. $\frac{1}{4}$



Fig. 5. $\frac{1}{2}$



Fig. 6. $\frac{1}{2}$



Fig. 7. $\frac{1}{2}$



Fig. 2. $\frac{1}{4}$

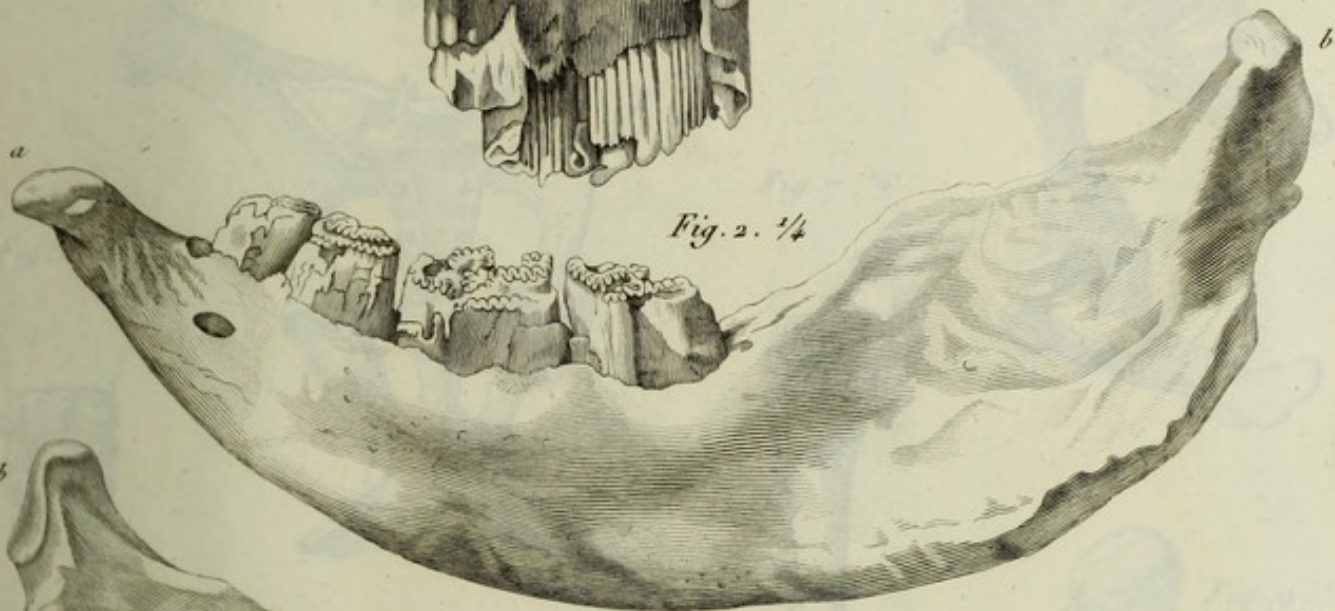


Fig. 3. $\frac{1}{4}$



ELASMOTHERIUM.

CEYLON. PL. I.



Fig. 1.

Fig. 2.

Fig. 3.



Fig. 4.



Fig. 5.

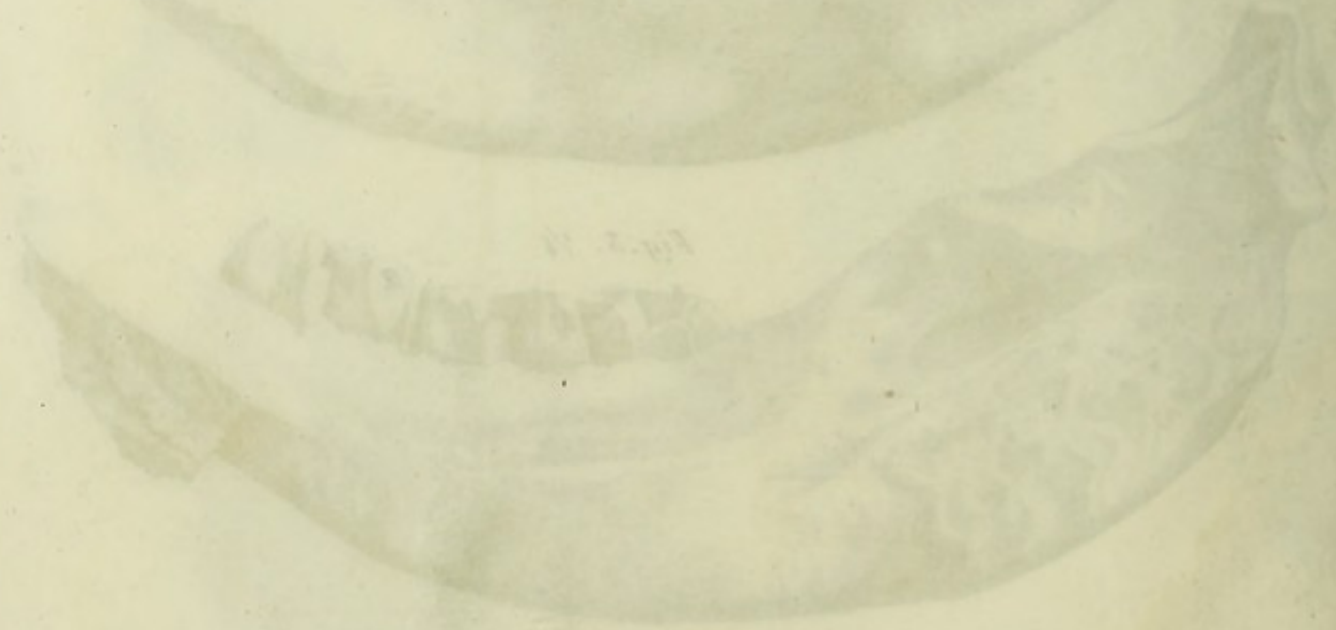


Fig. 6.

Fig. 1. $\frac{1}{4}$

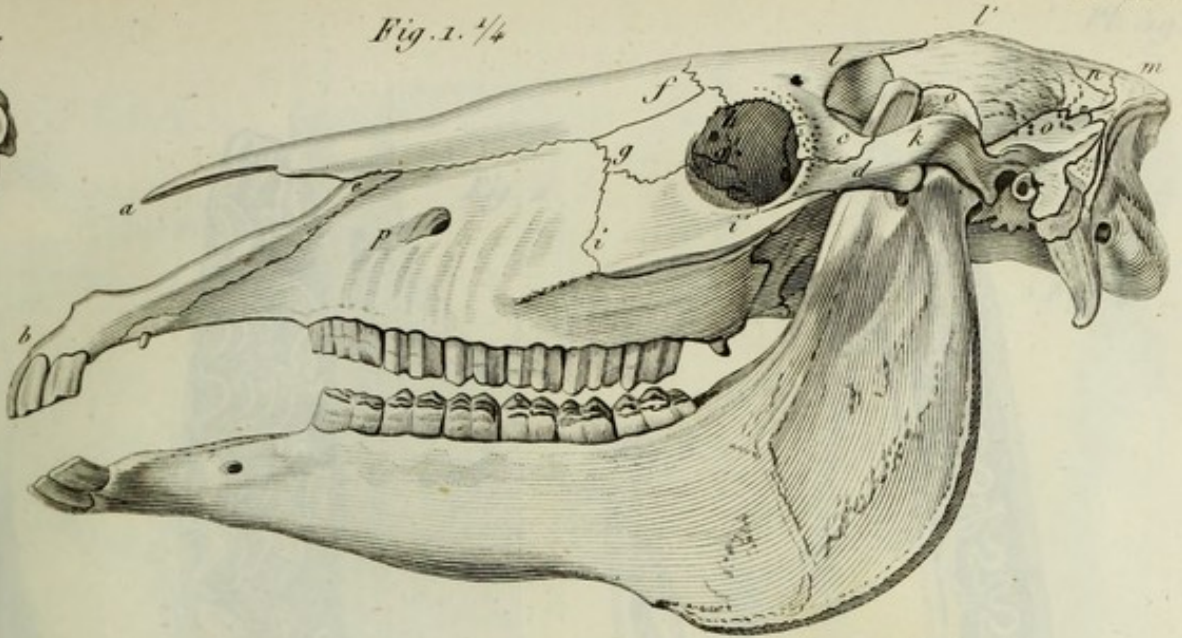


Fig. 2. $\frac{1}{3}$



Fig. 3. $\frac{1}{3}$



Fig. 5. $\frac{1}{6}$

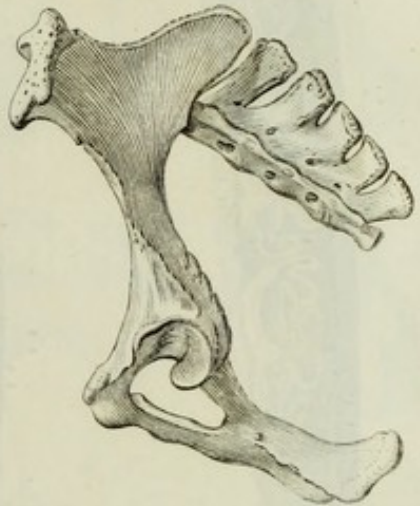


Fig. 4. $\frac{1}{6}$

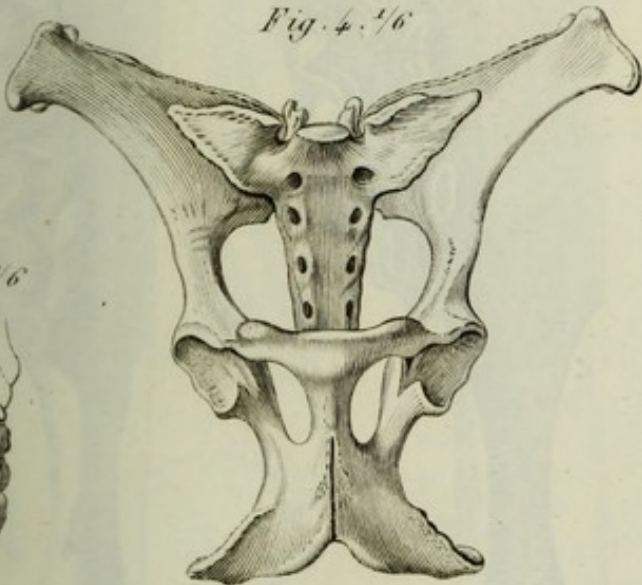


Fig. 7. $\frac{1}{6}$



Fig. 6. $\frac{1}{6}$



Fig. 8. $\frac{1}{3}$

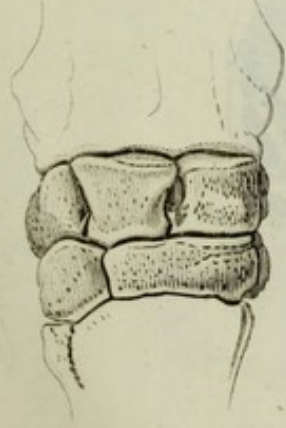
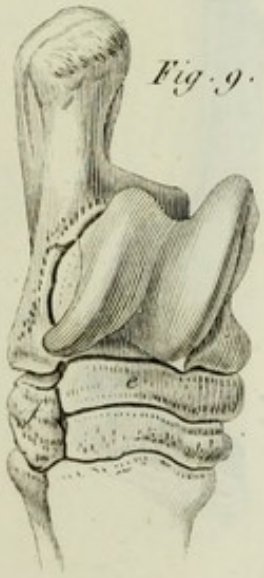


Fig. 9. $\frac{1}{3}$



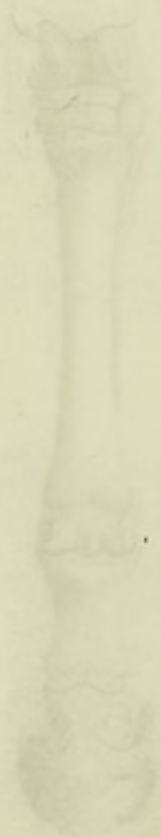


Fig. 1.



Fig. 2.

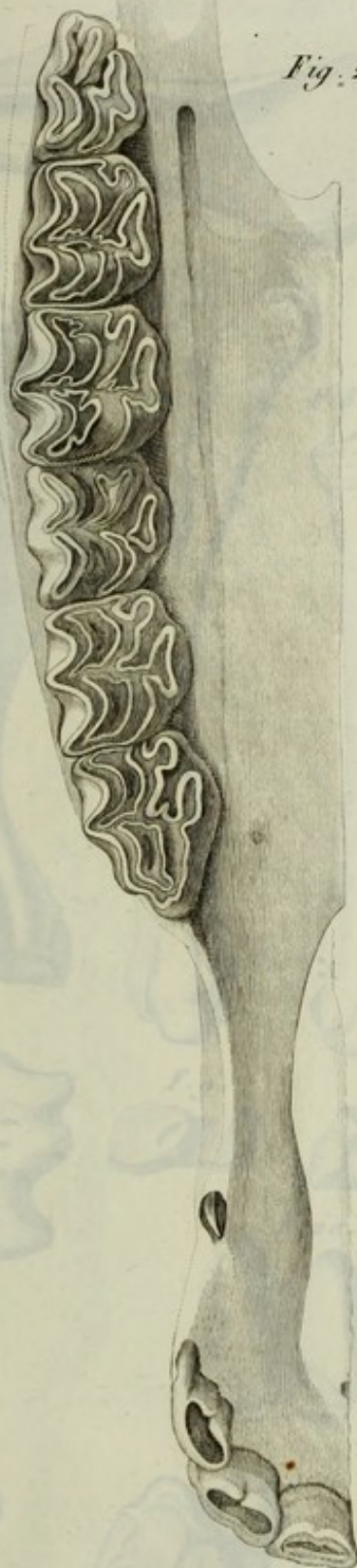
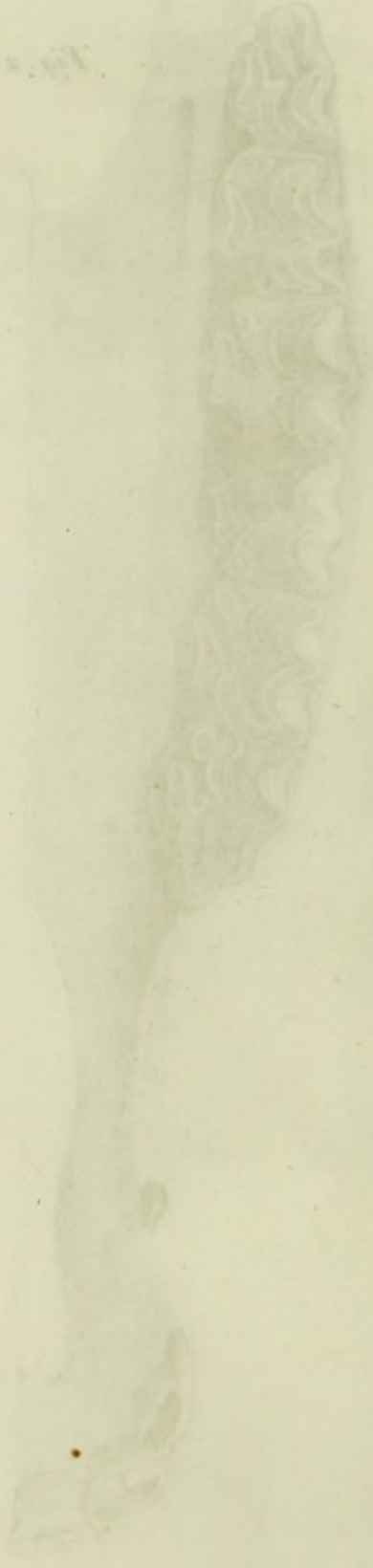
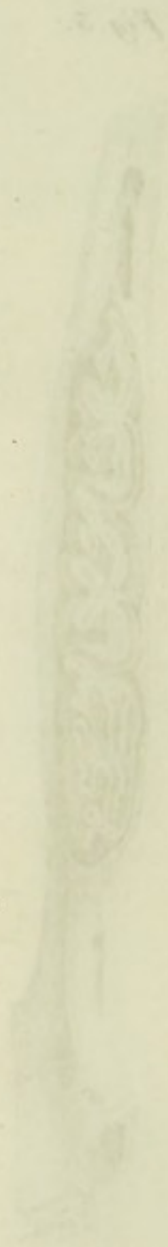


Fig. 3.



Fig. 4.







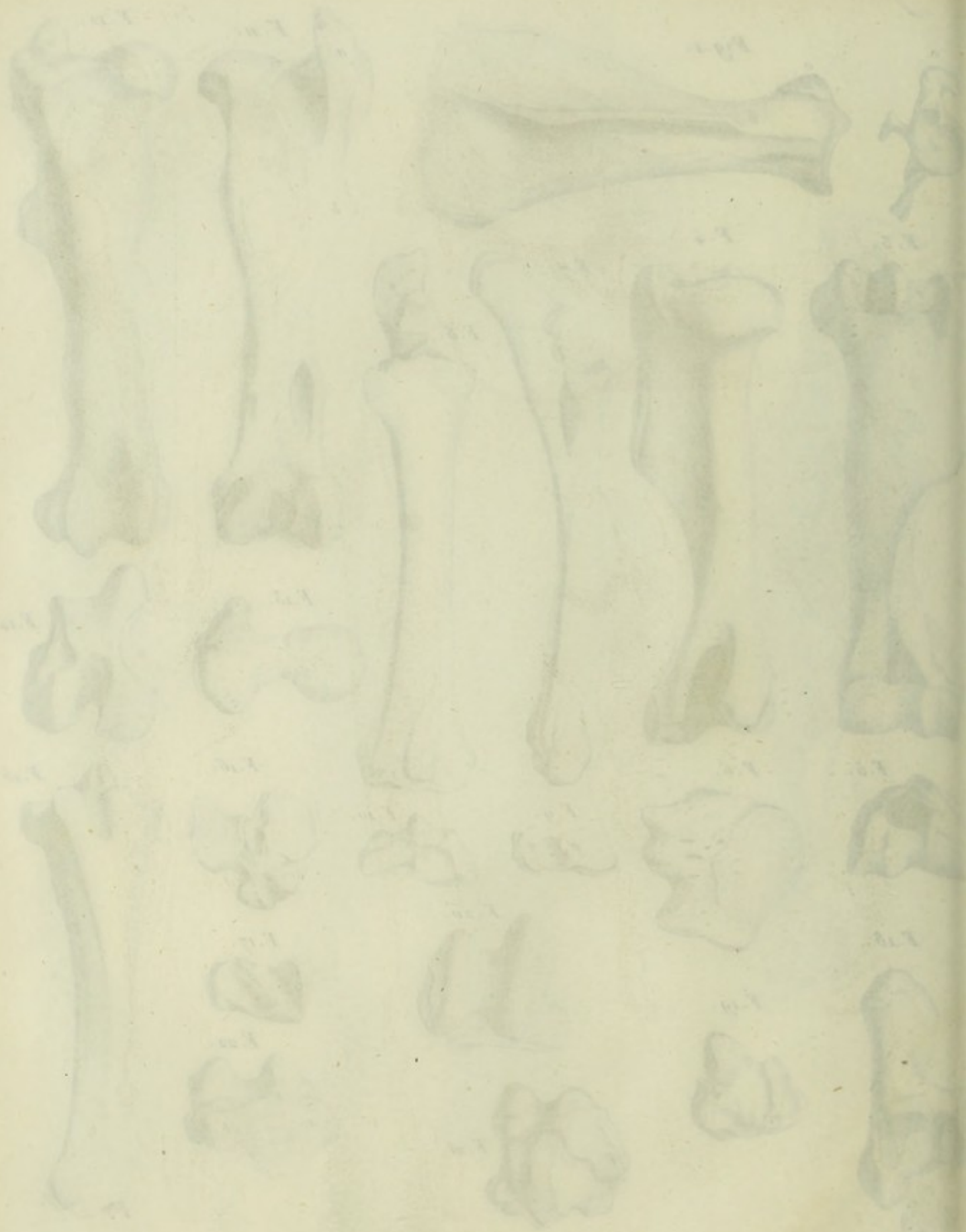


Fig. 1.

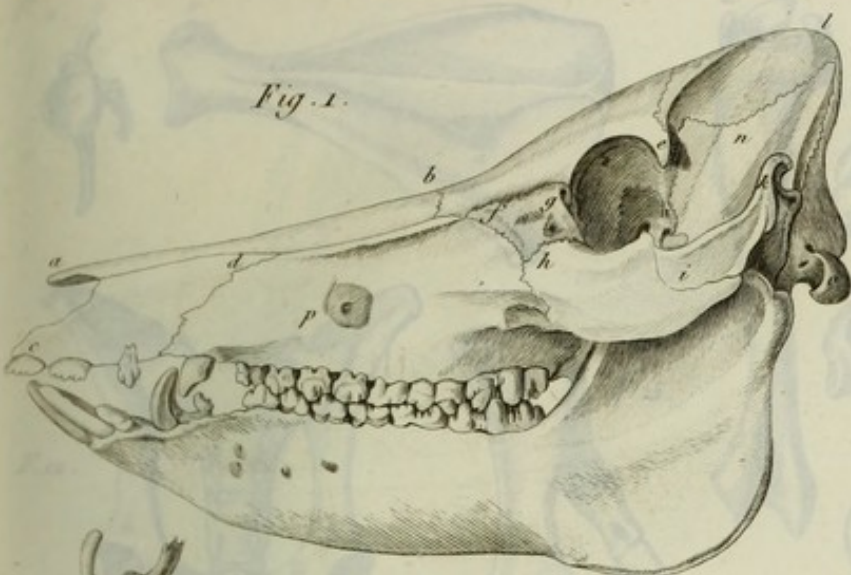


Fig. 2.

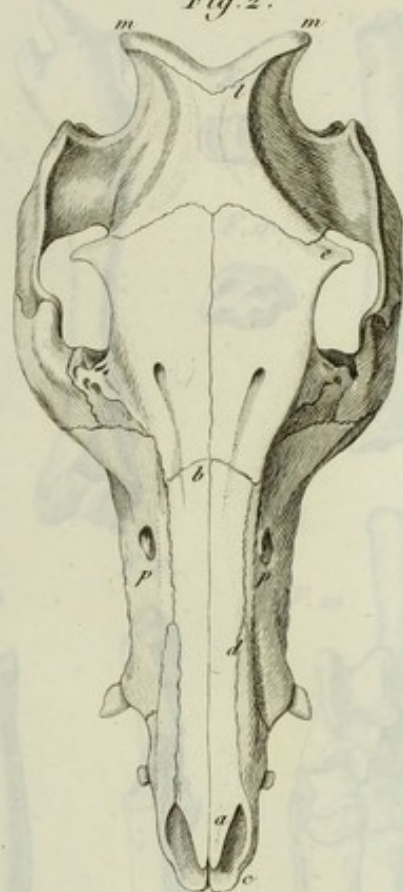


Fig. 3.

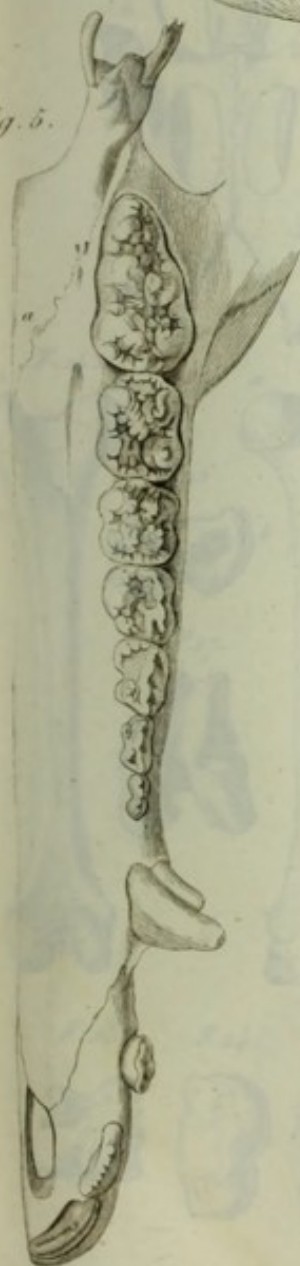


Fig. 6.



Fig. 5.



Fig. 4.

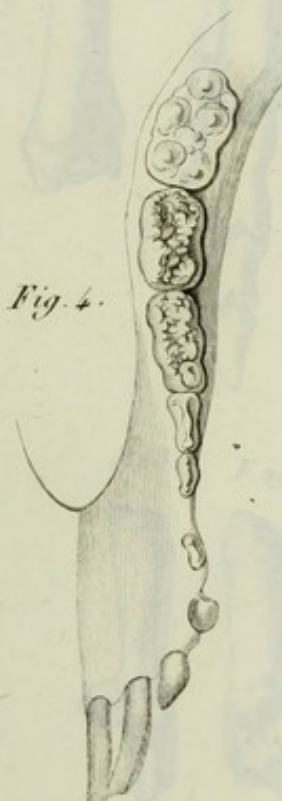
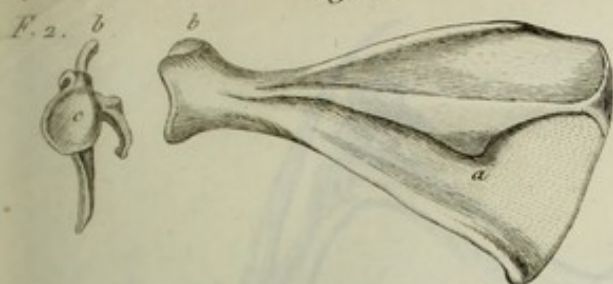




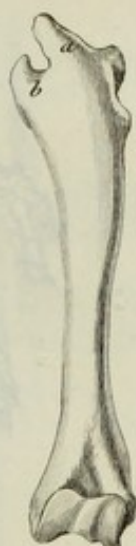
Fig. 1.



F. 3.



F. 4.



Pl. 62.

F. 9.



F. 10.



F. 11.



F. 5.



F. 6.



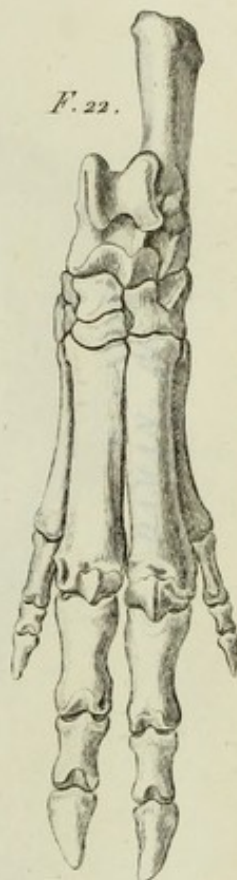
F. 15.



F. 8.



F. 22.



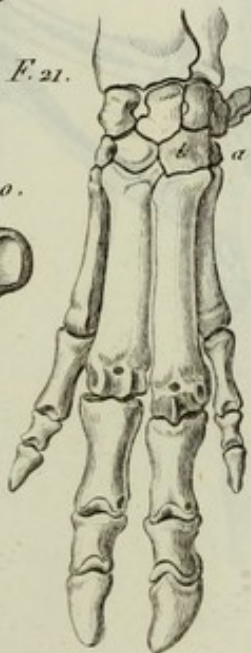
F. 7.



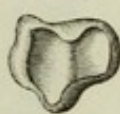
F. 19.



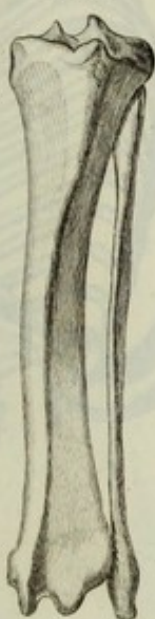
F. 21.



F. 20.



F. 18.



F. 15. b



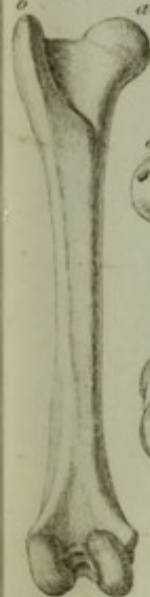
F. 16.



F. 17.



F. 14. a



F. 23.



F. 24.



F. 25.



F. 26.



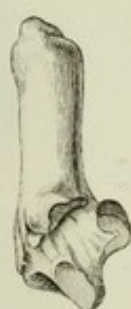
F. 27.

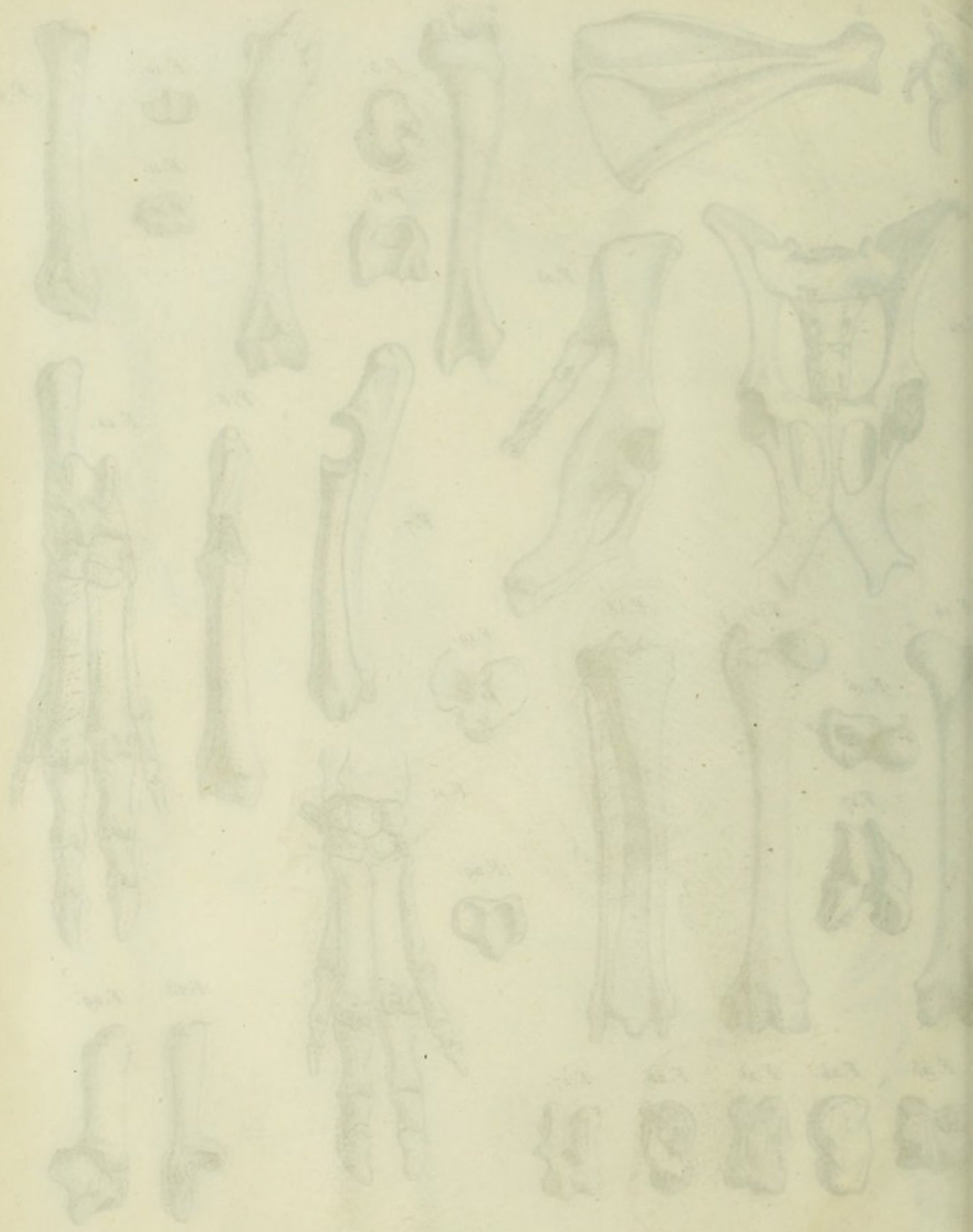


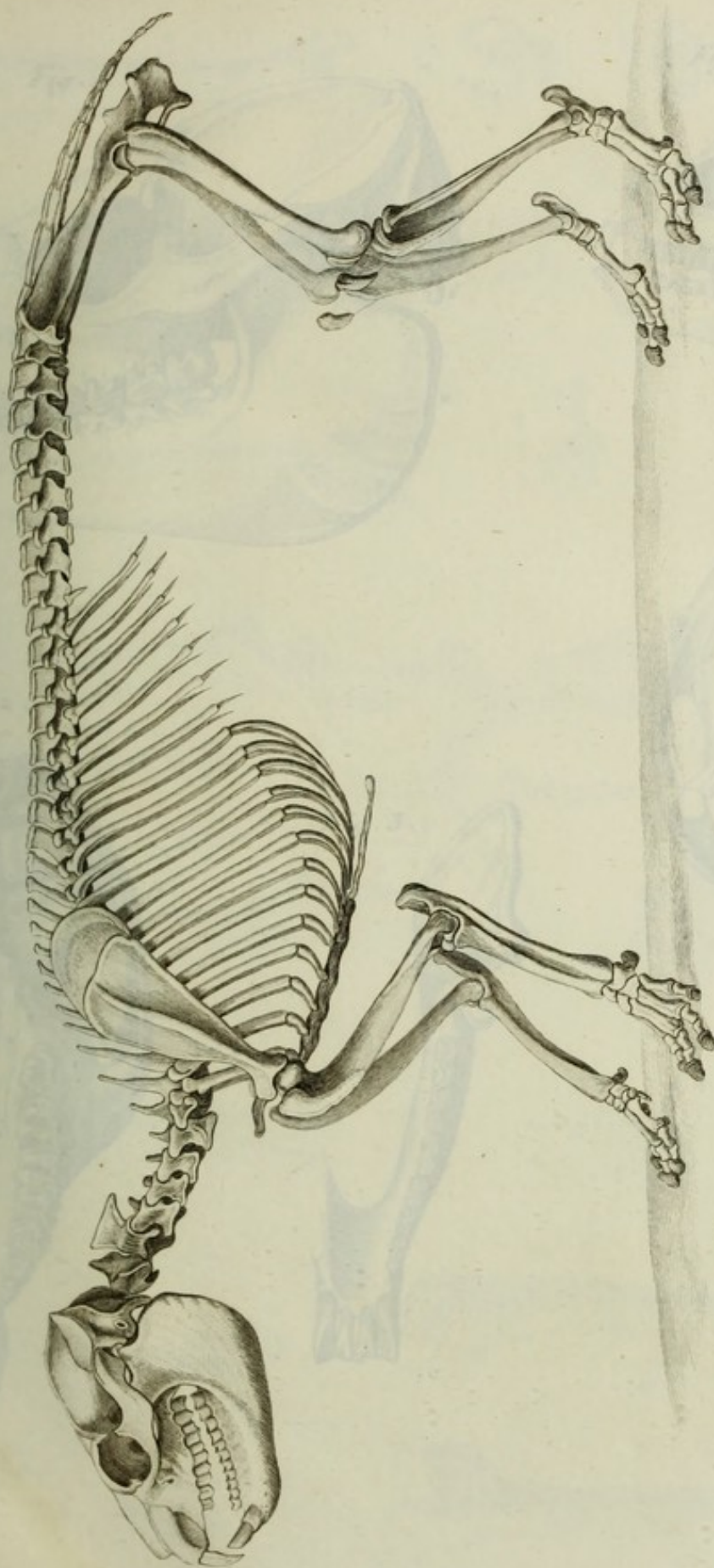
F. 28.



F. 29.







DAMAN. PL. I.

DAMAN. PL. II.

Illustr. del.

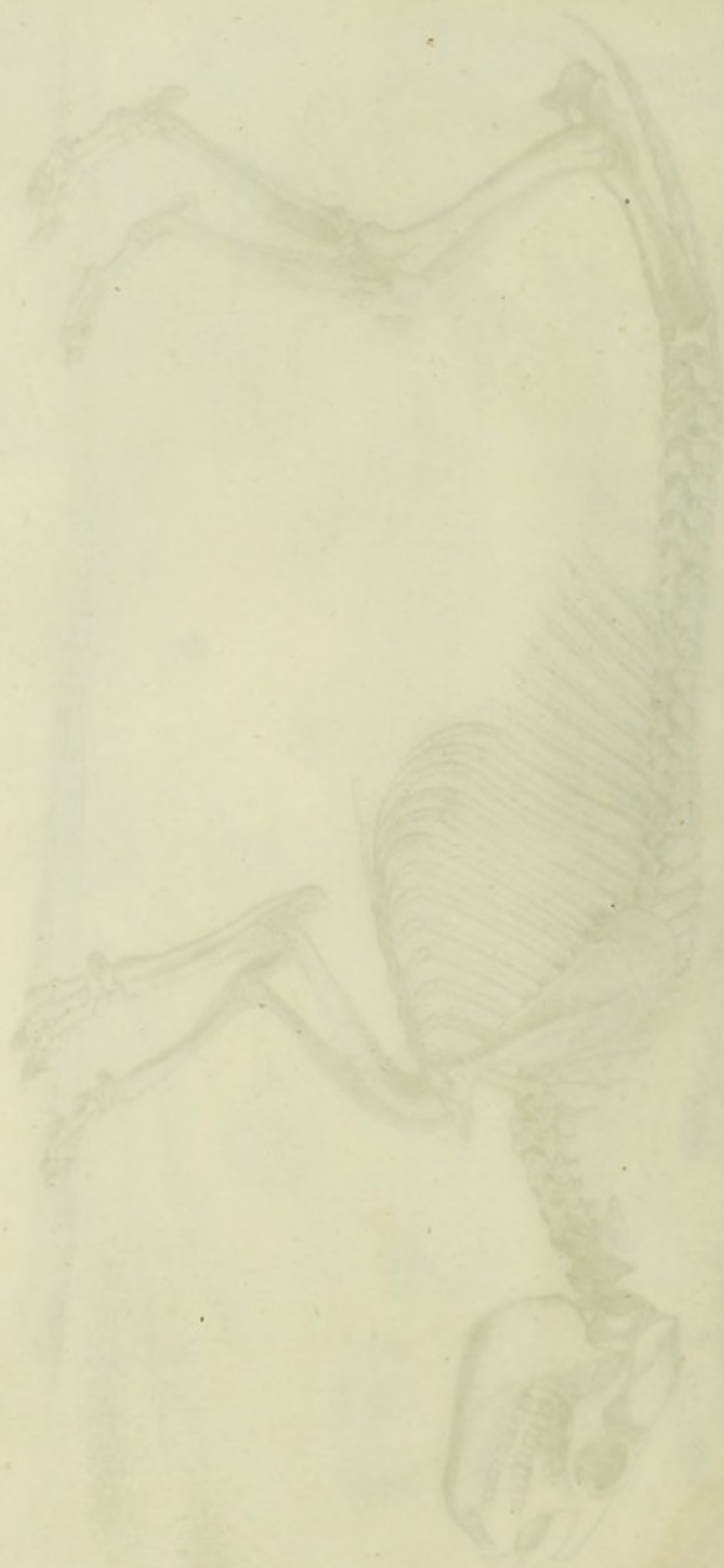


Fig. 1.

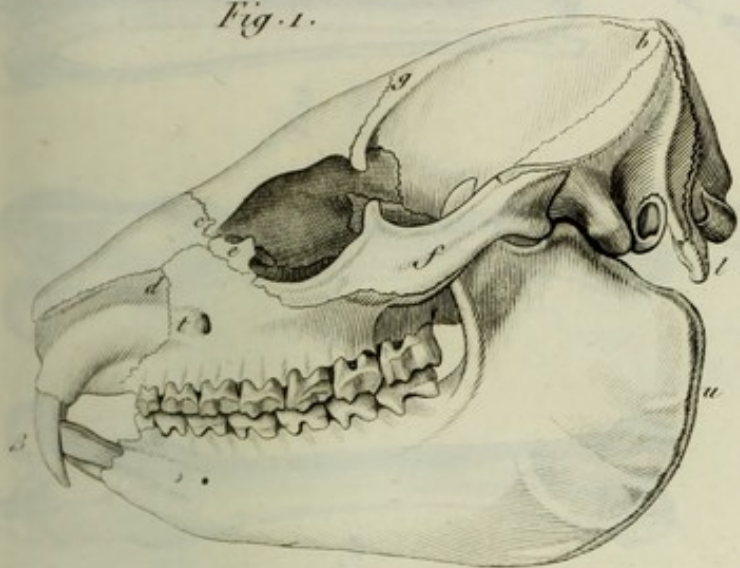


Fig. 4.

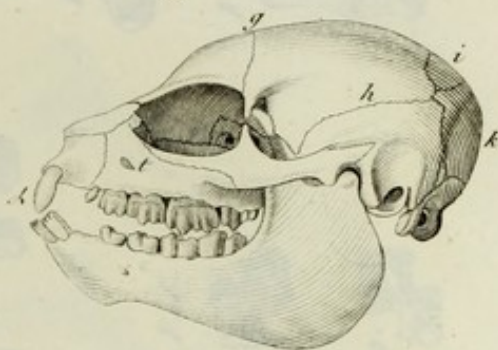


Fig. 2.

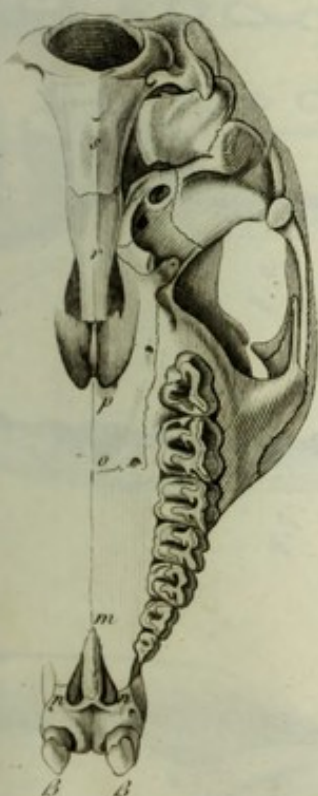


Fig. 3.



Fig. 5.

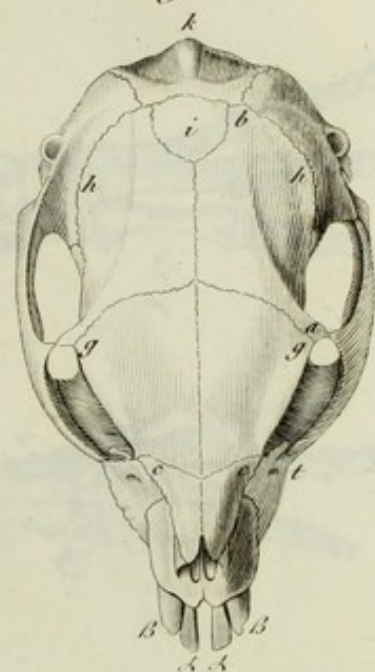
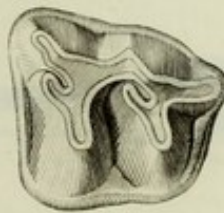
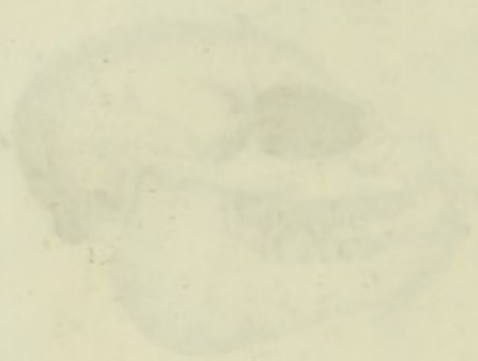
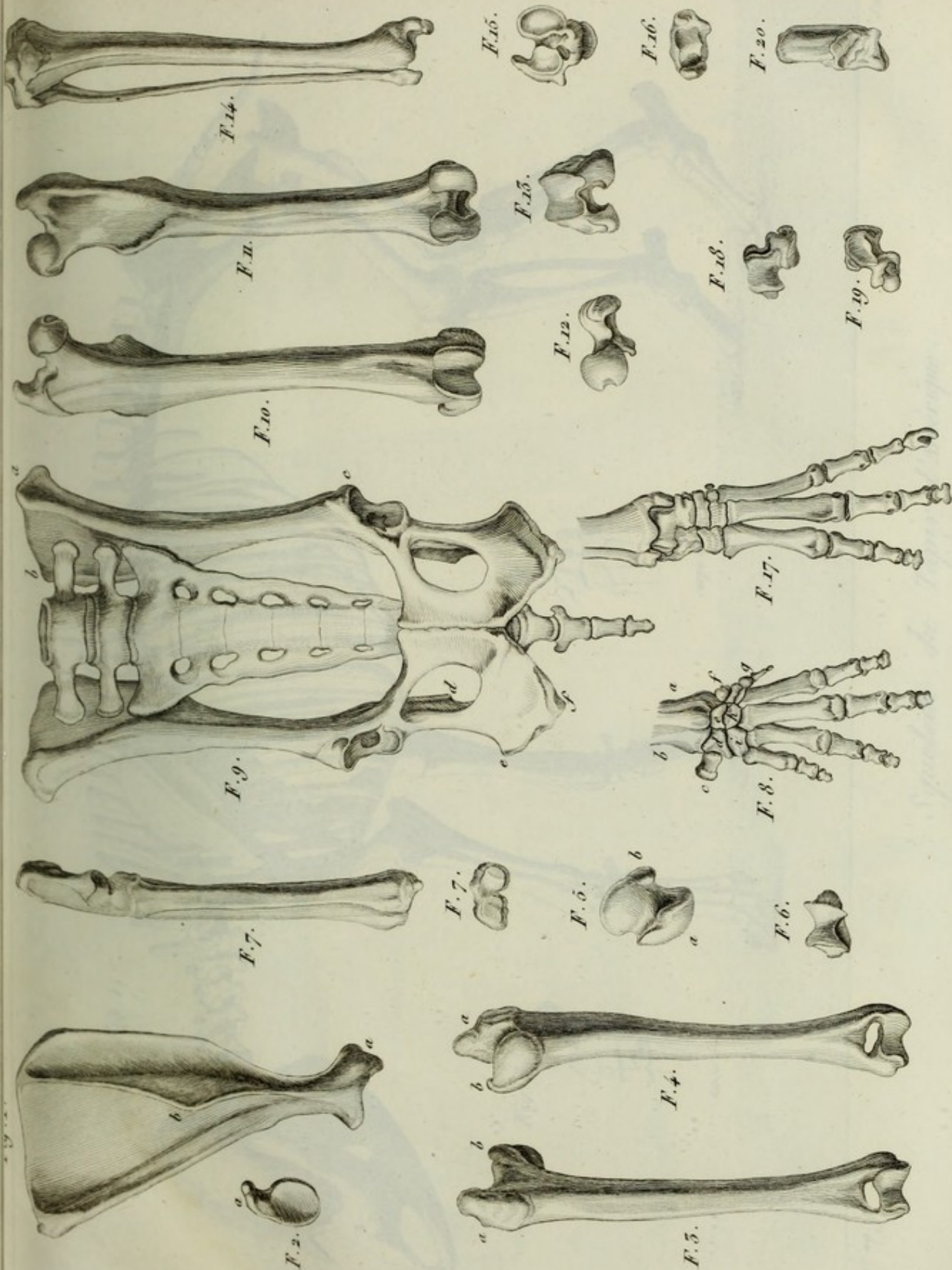
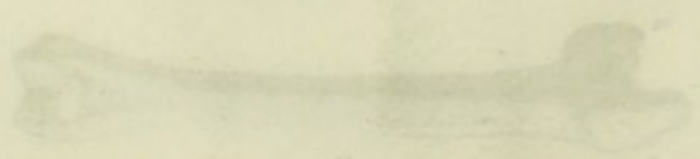
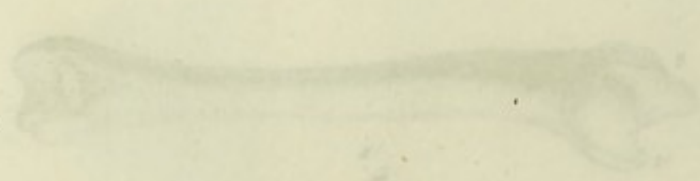
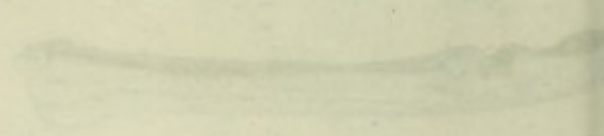
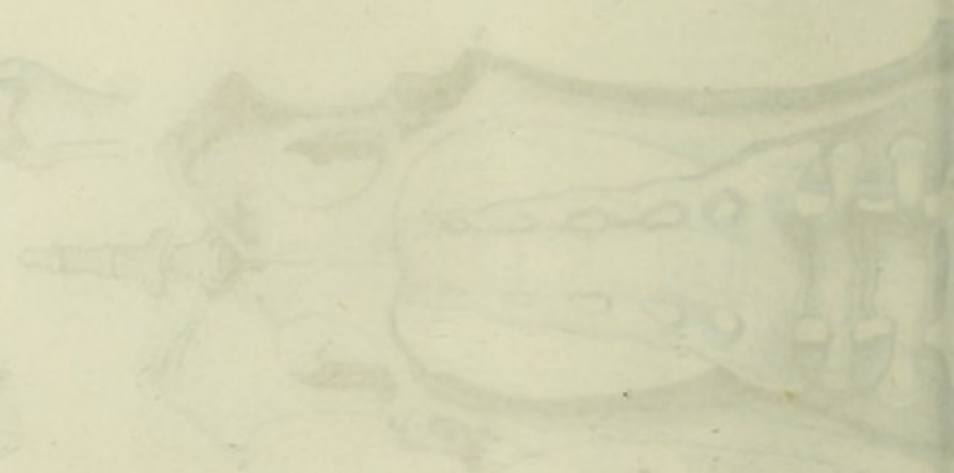
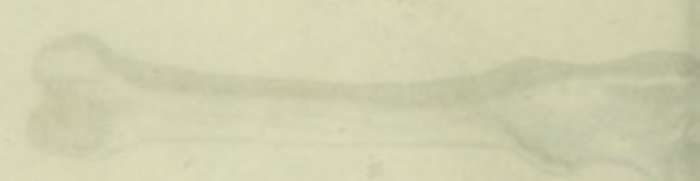
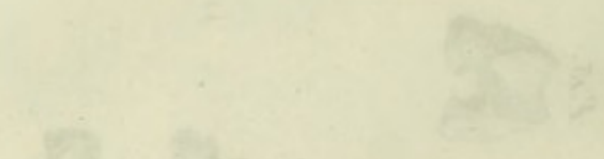
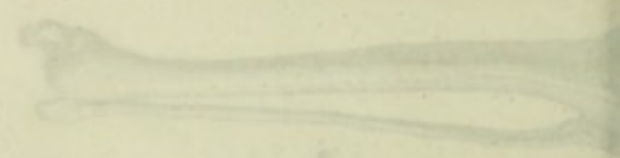


Fig. 6.









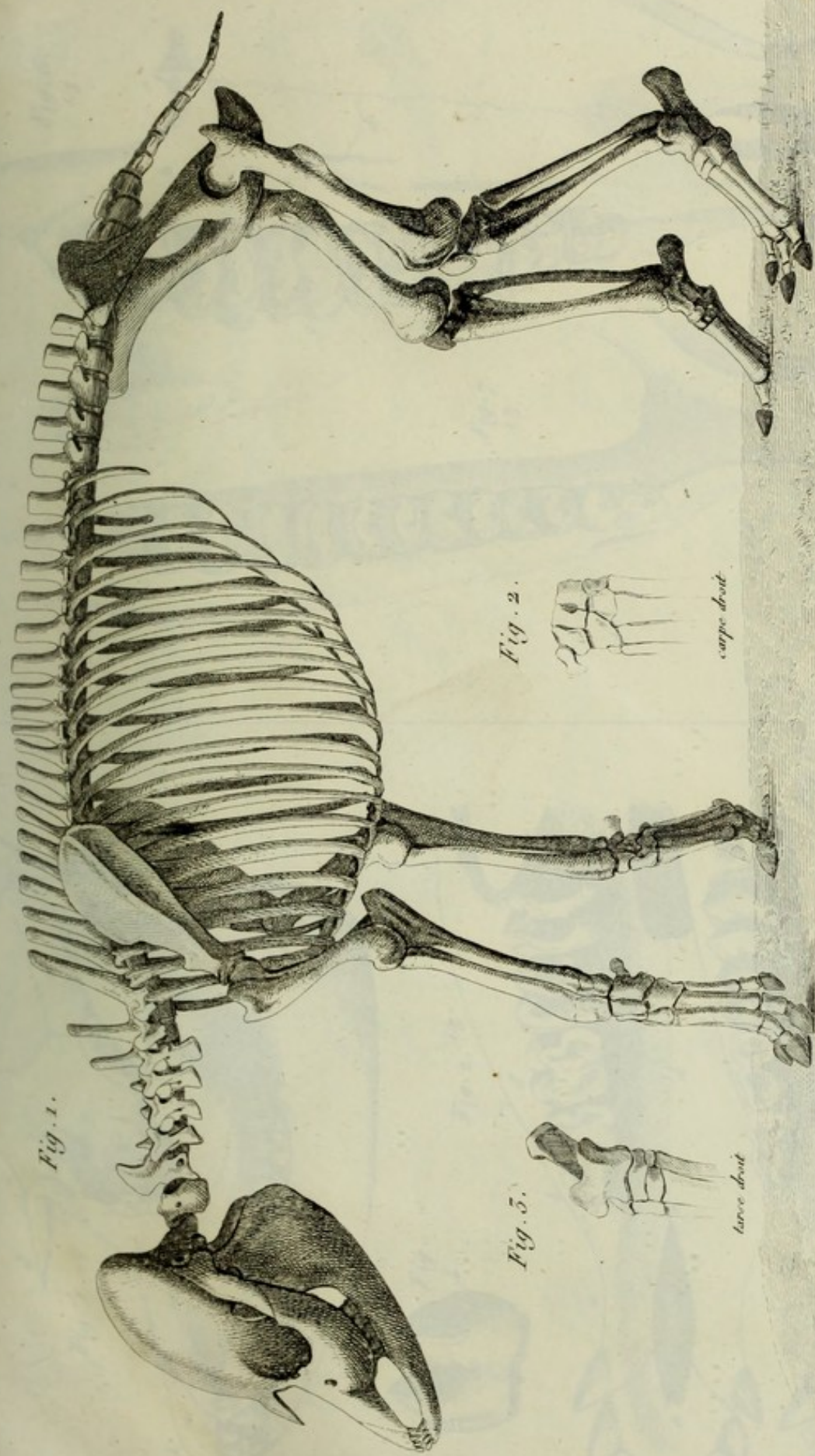


Fig. 1.

Fig. 3.

Fig. 2.

tarse droit

carpe droit

Cuvier del. et sculp.

Squelette du Tapir d'Amérique.

Cuvier sculp.

Fig. 1. *Antelope*

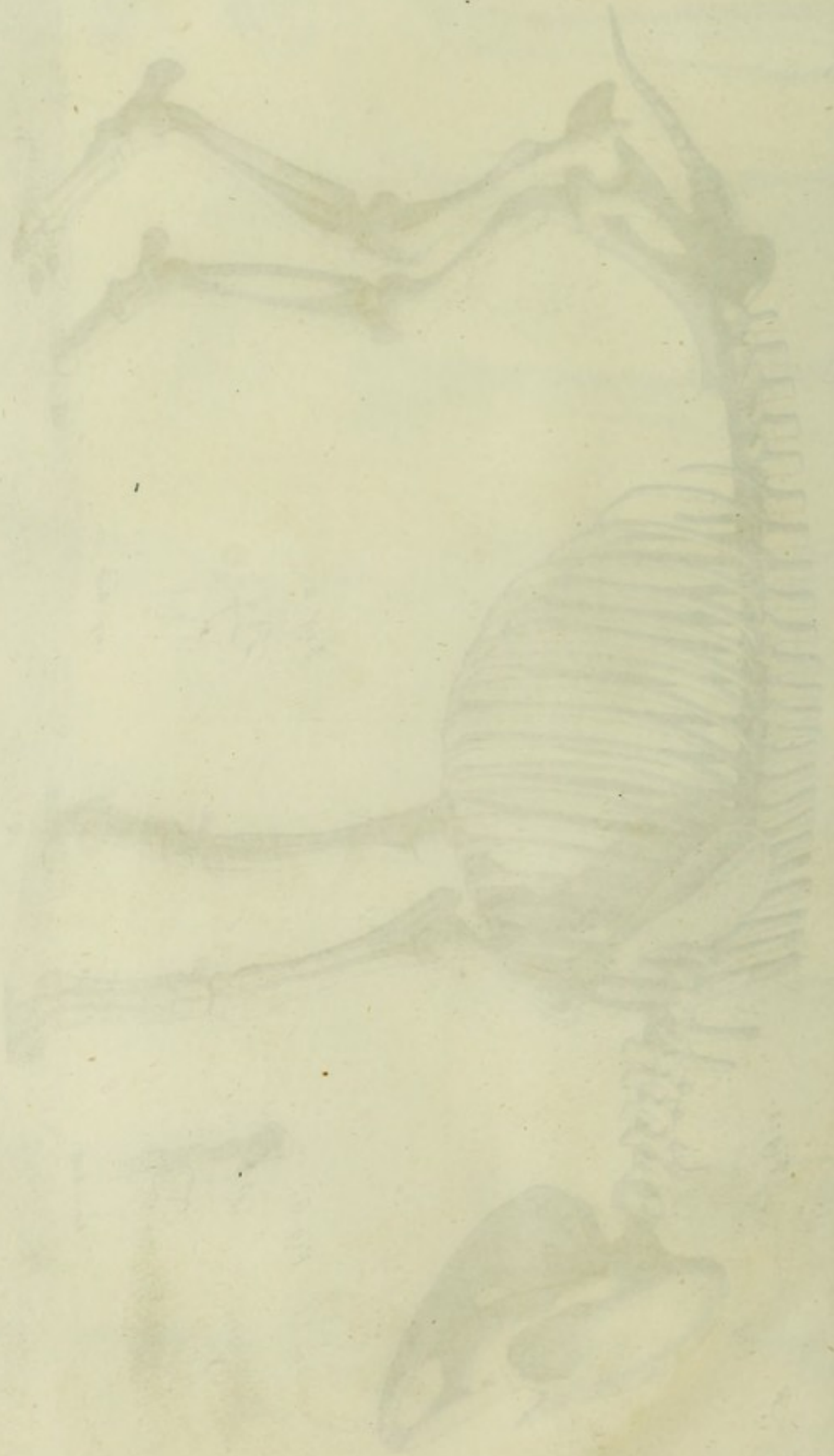


Fig. 6.
 $\frac{1}{5}$

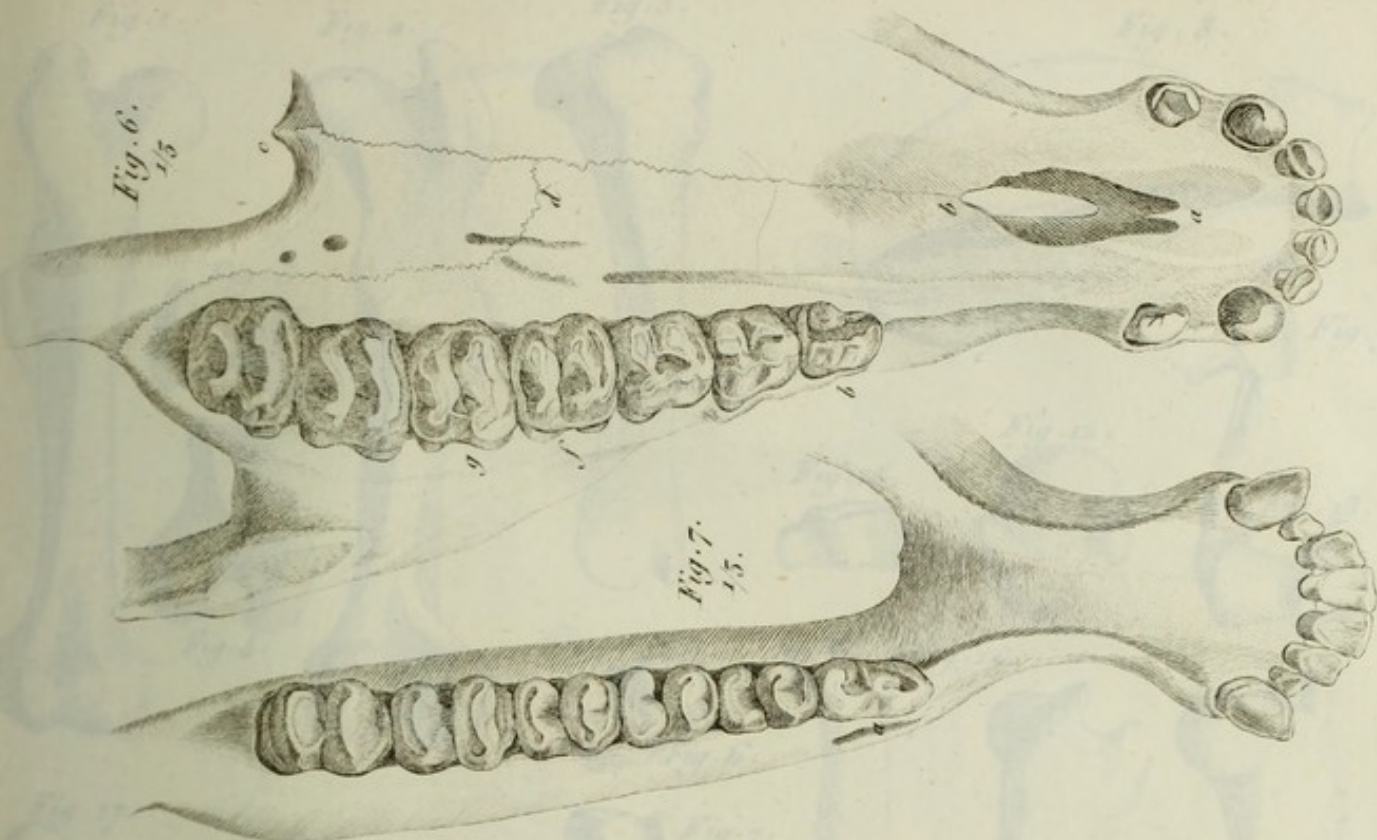


Fig. 7.
 $\frac{1}{5}$

Fig. 1.
 $\frac{1}{5}$

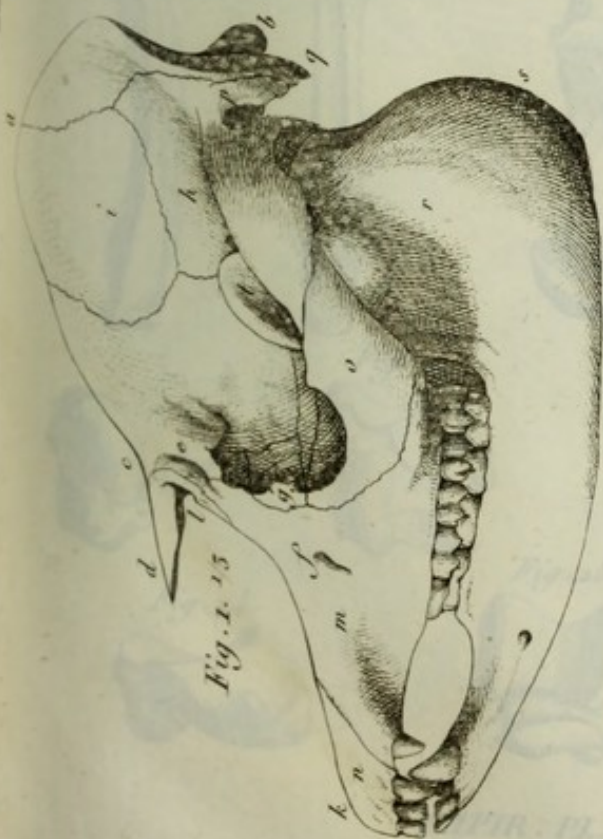


Fig. 2.
 $\frac{1}{5}$

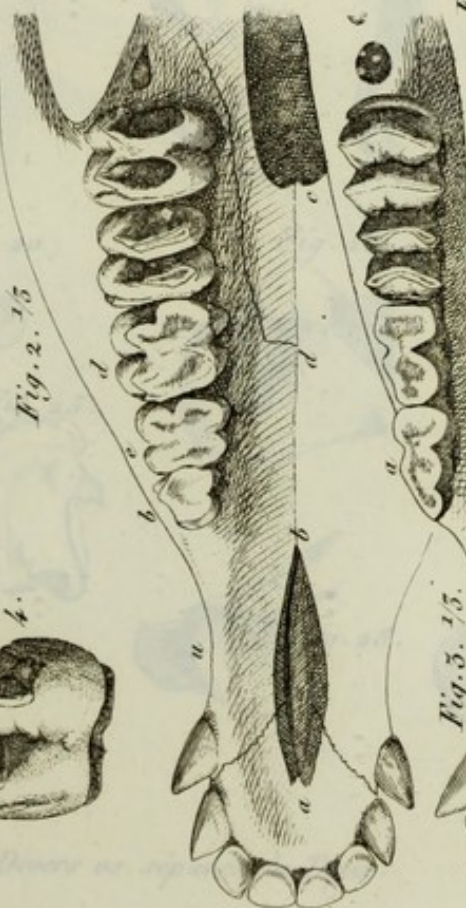


Fig. 4.



Fig. 8.

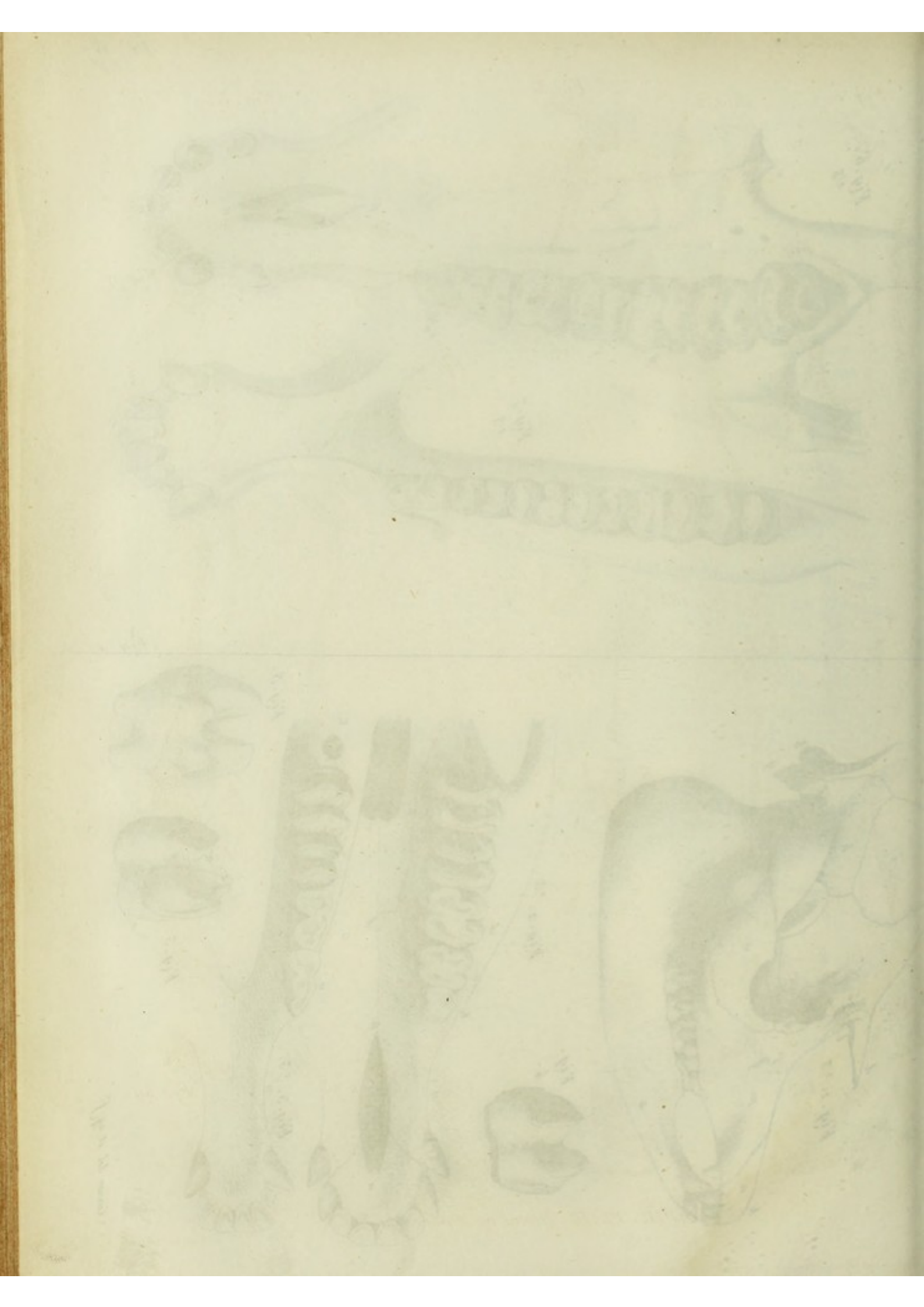


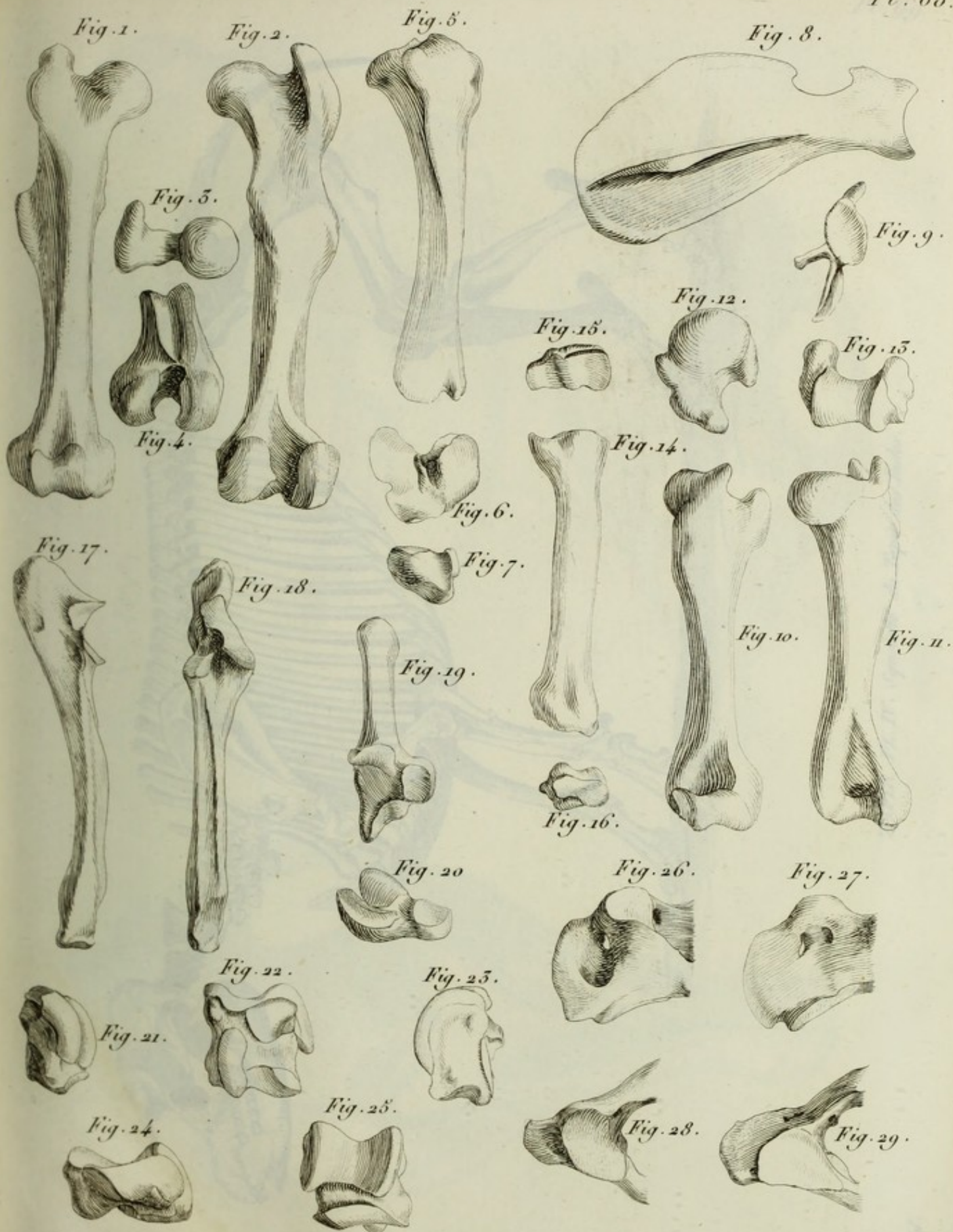
Fig. 5.

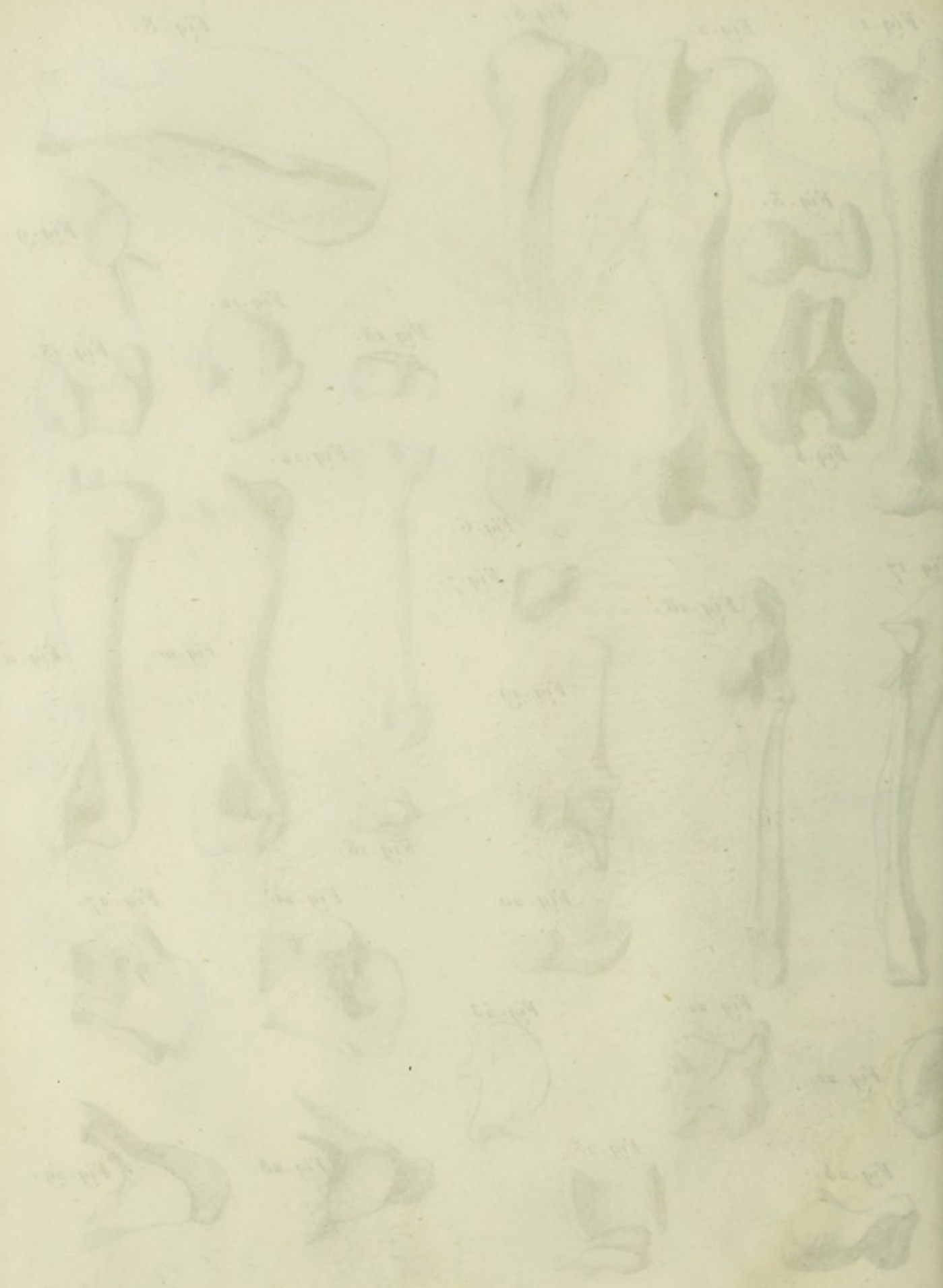


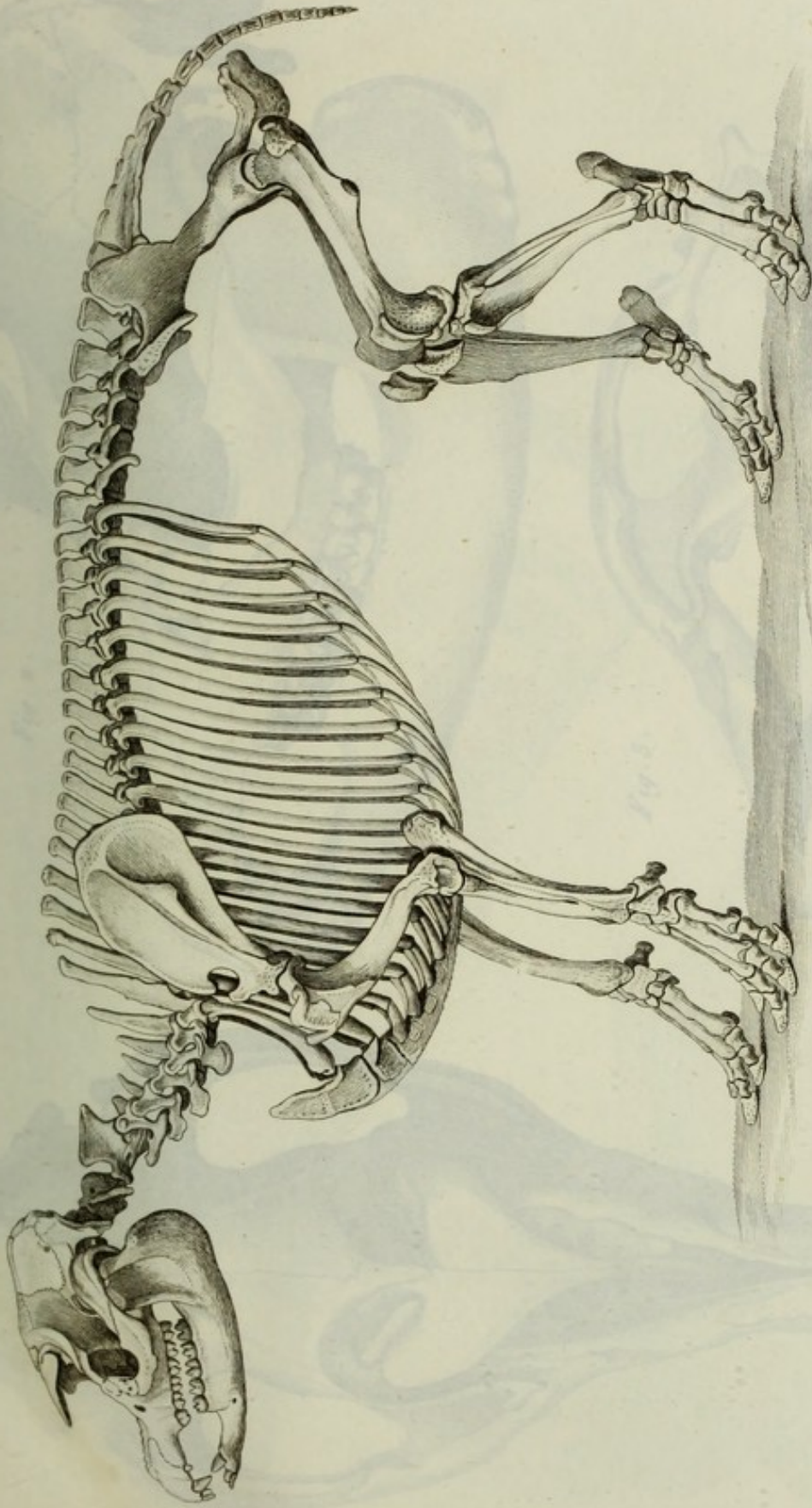
Fig. 3.
 $\frac{1}{5}$





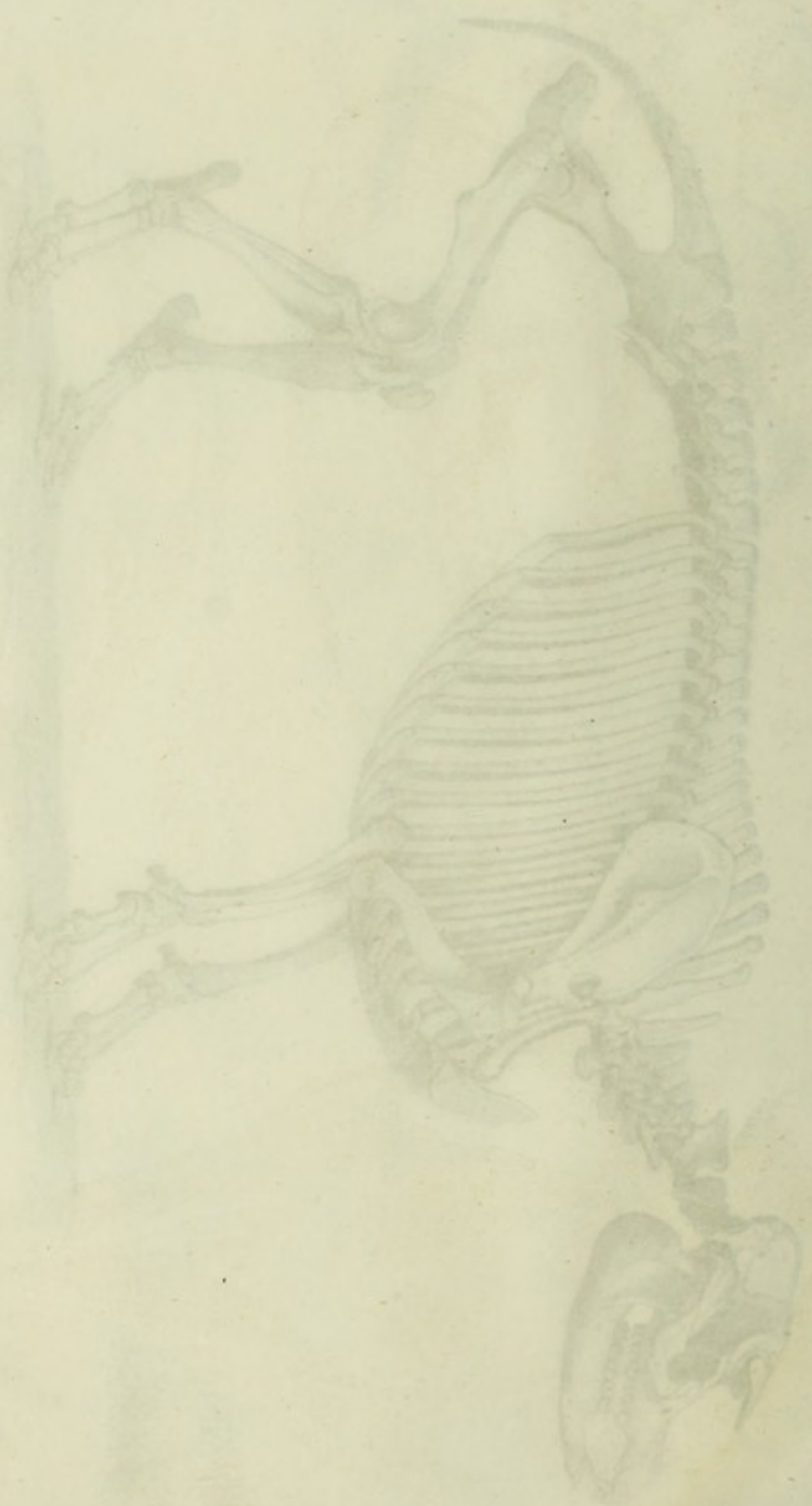






TAPIR PL. IV. Squelette du Tapir des Indes.

Small, the weight of the animal, in the water



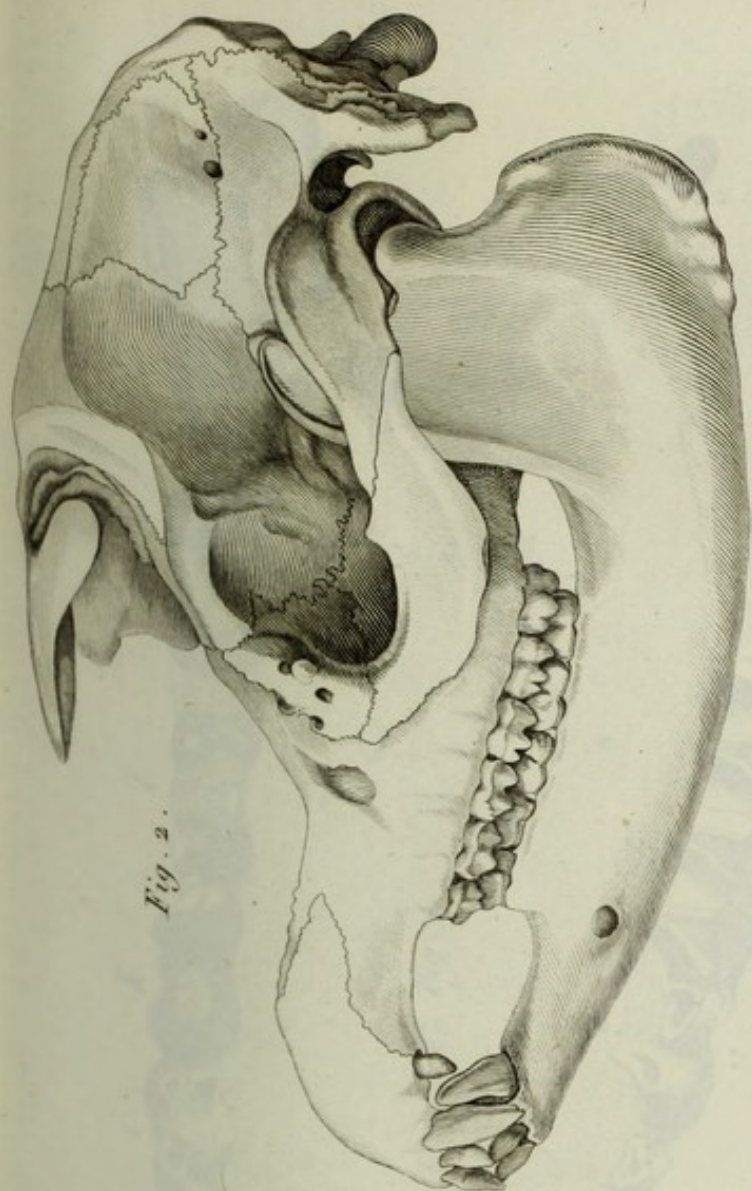


Fig. 2.

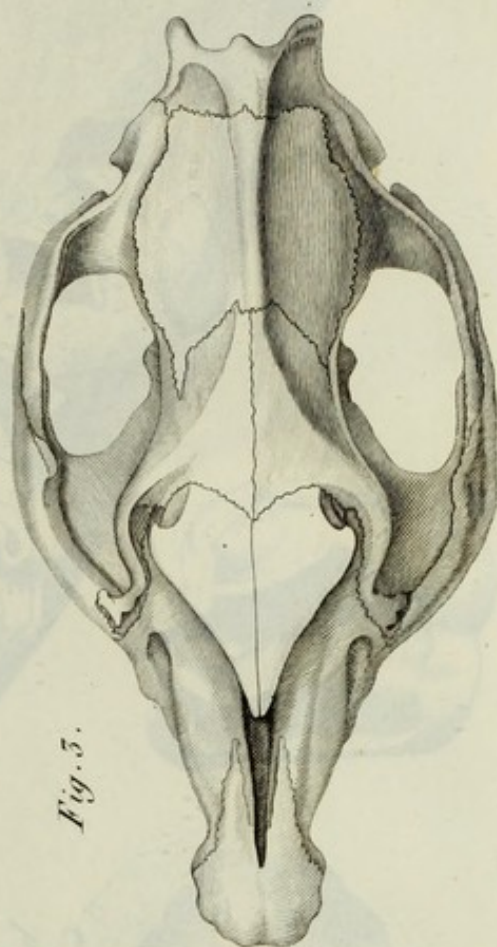


Fig. 3.

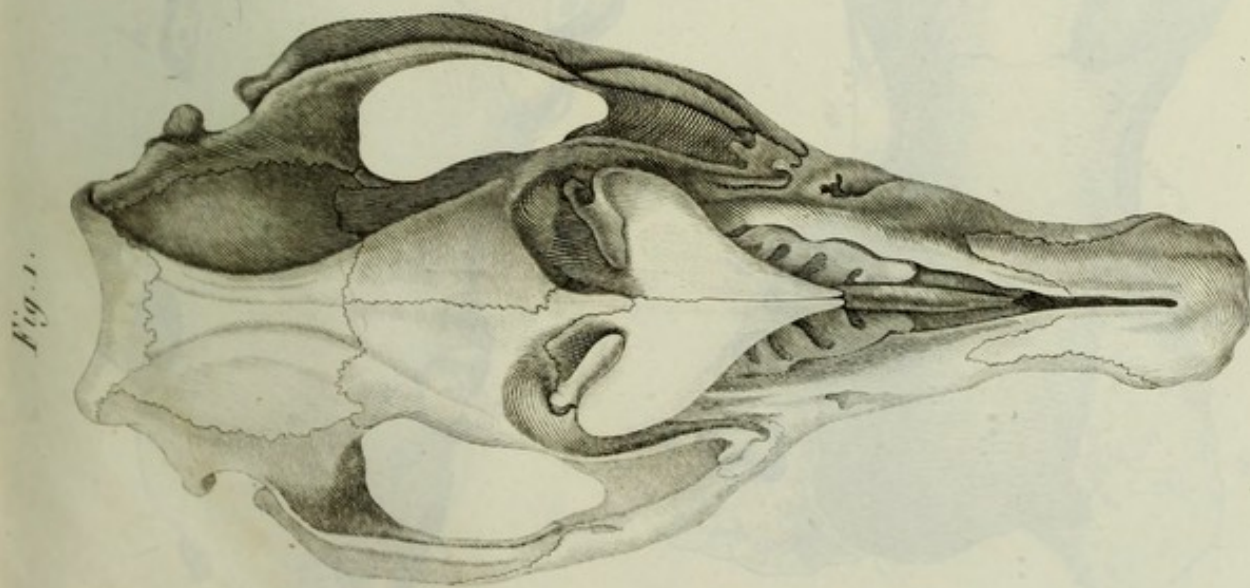


Fig. 1.

TAPIRS. PL. V.



Fig. 1

Fig. 2

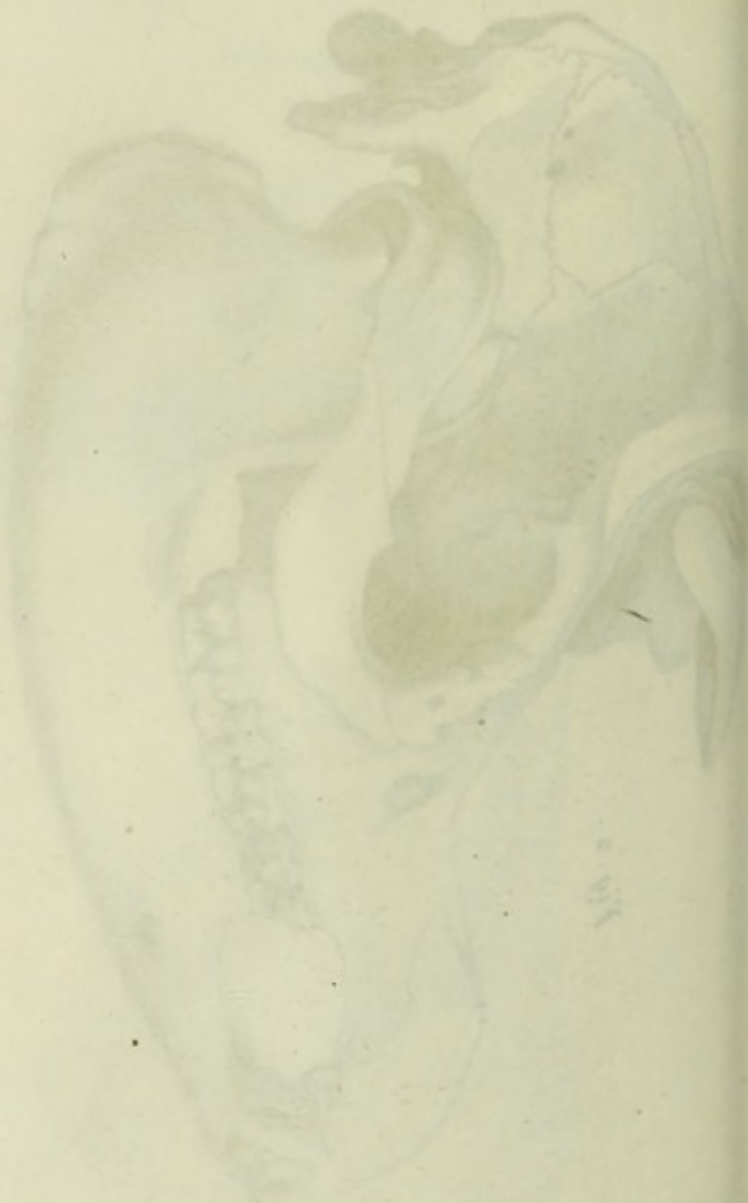
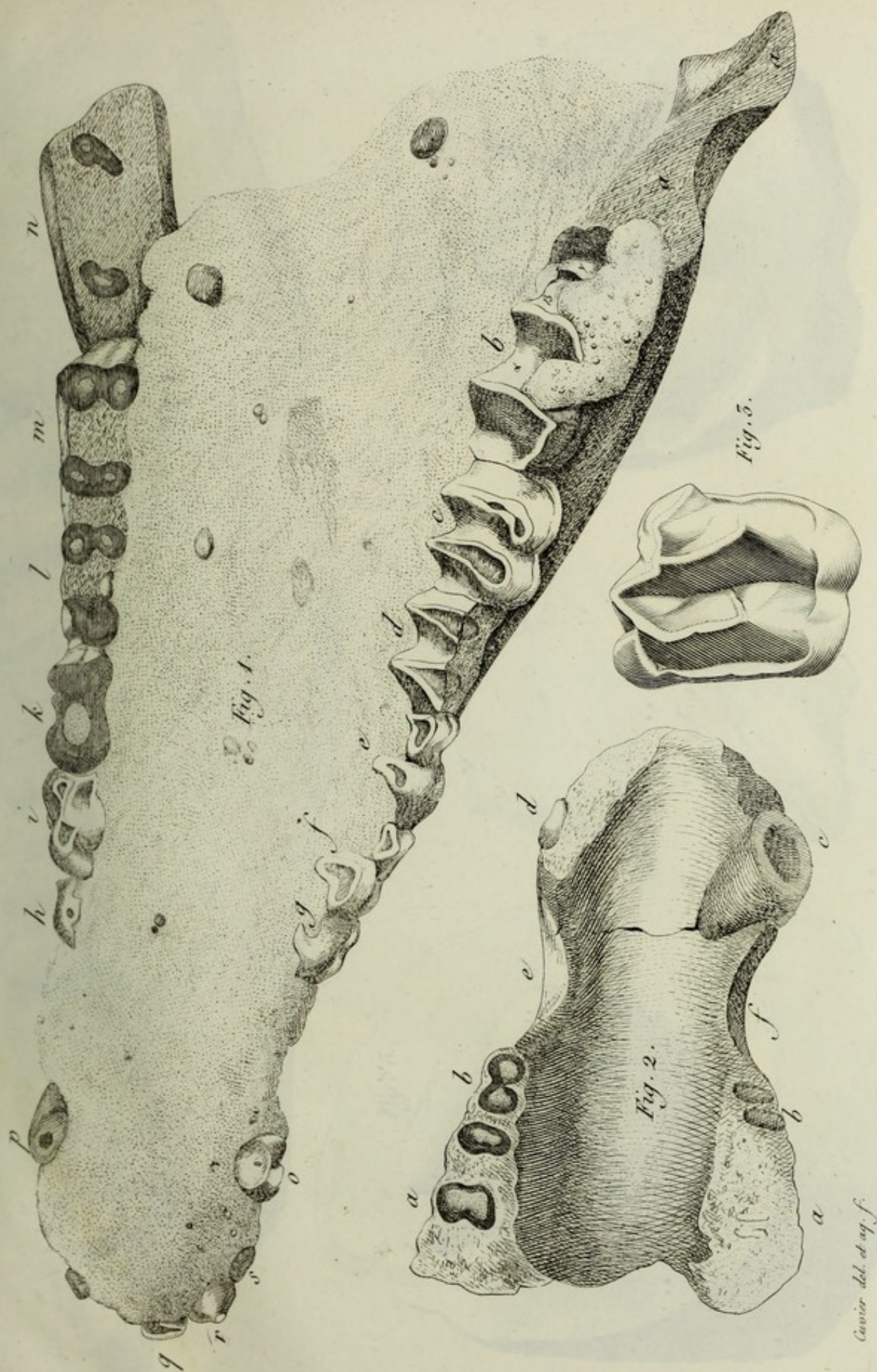
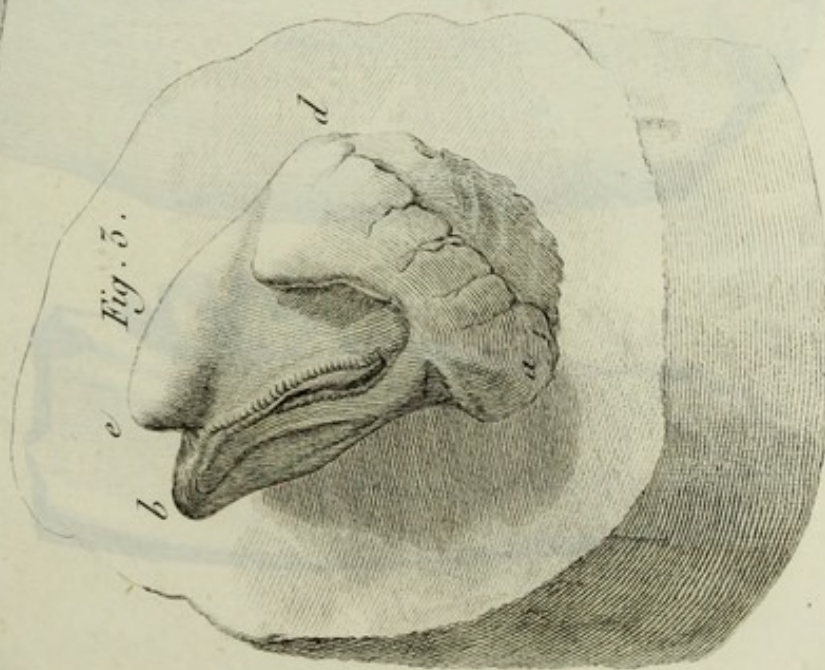
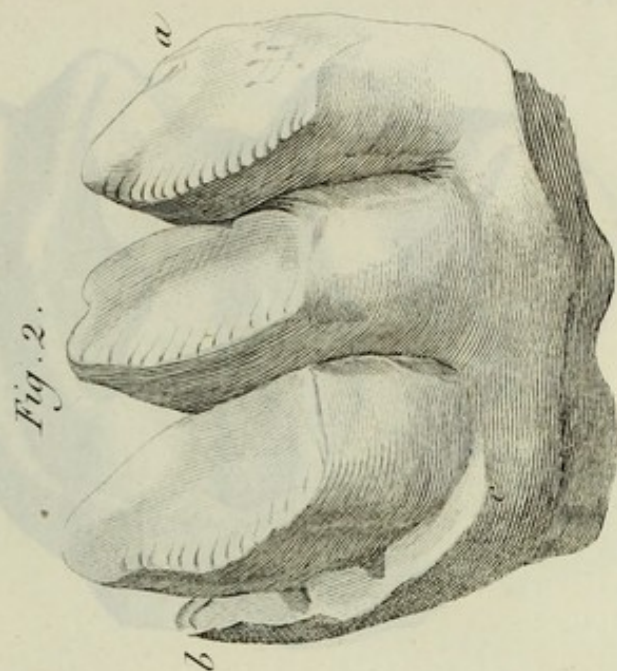
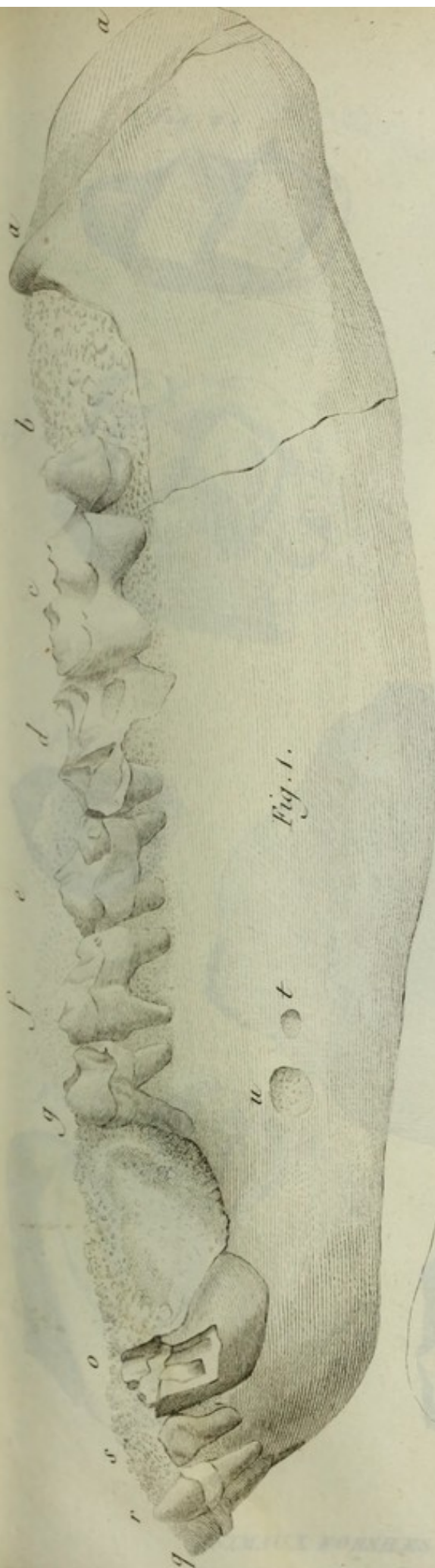


Fig. 3



Fig. 4





ANIMAUX FOSSILES VOISINS DES TAPIRS. PL. II.

Cuvier del.

THE UNIVERSITY OF CHICAGO PRESS

Fig. 2.



Fig. 7.

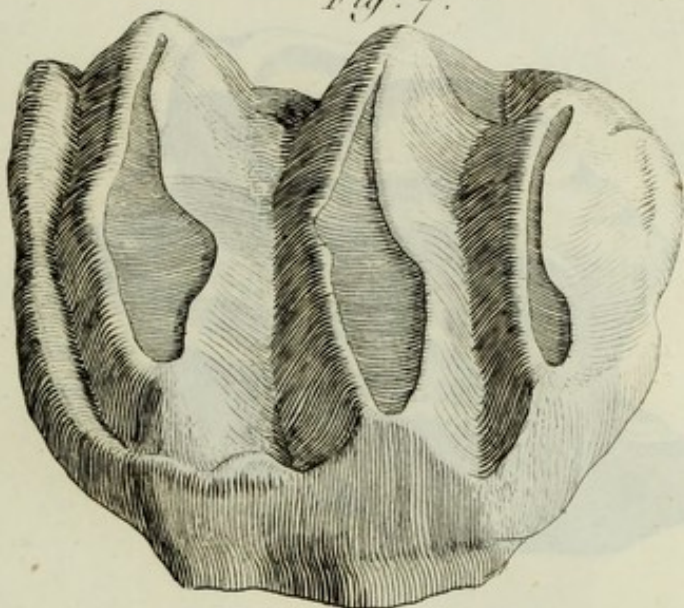


Fig. 4.

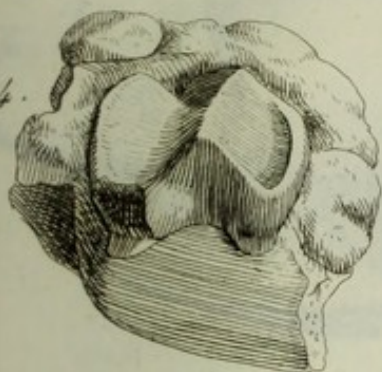


Fig. 5.

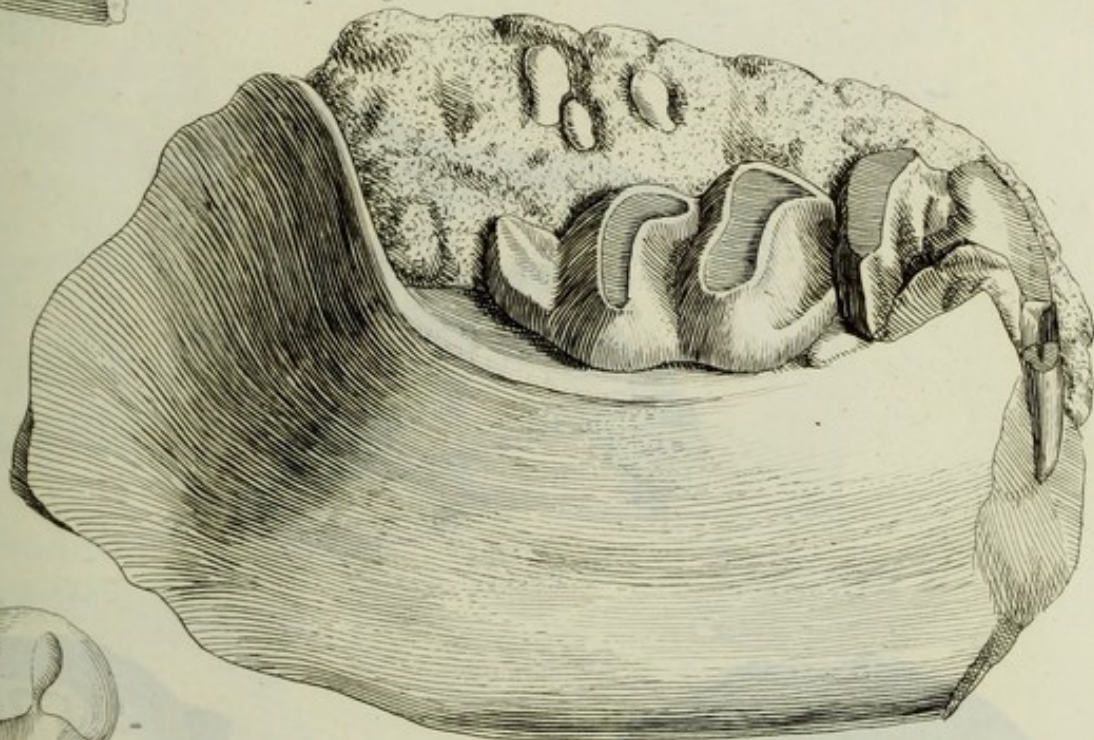


Fig. 3.



Fig. 6.



Fig. 1. 1/2.



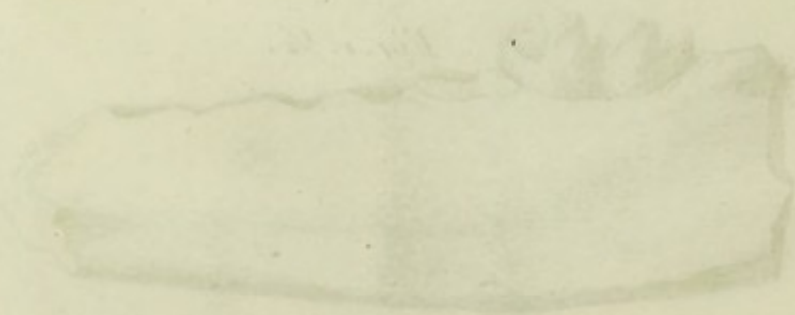


Fig. 3.

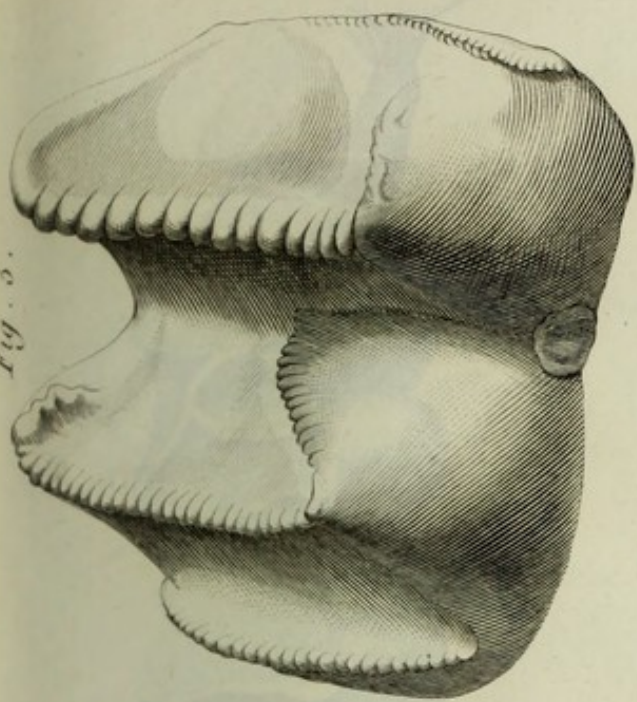


Fig. 4.

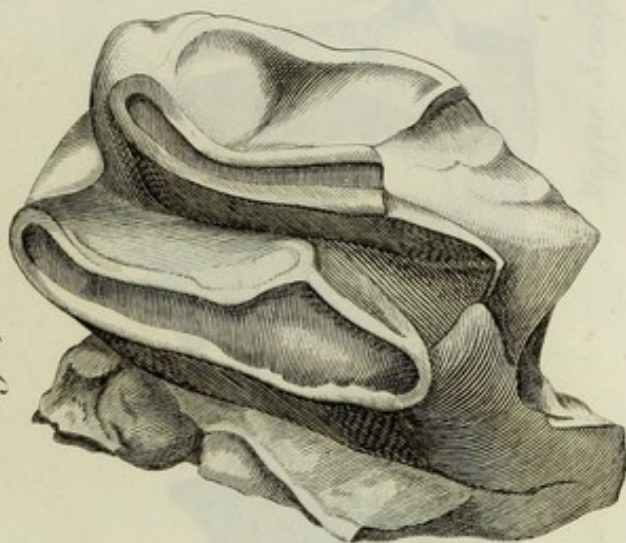


Fig. 5.

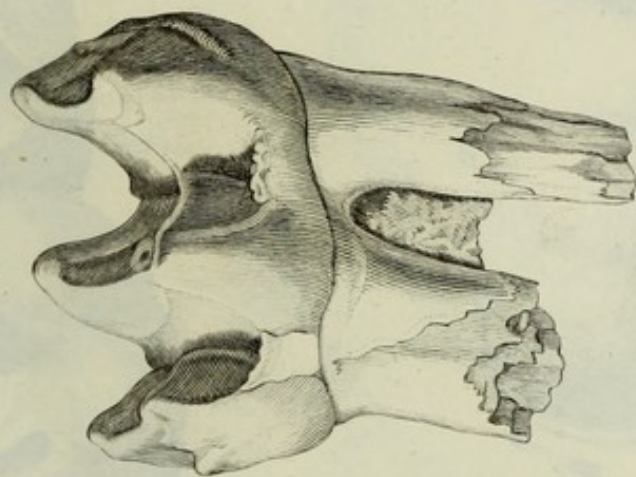
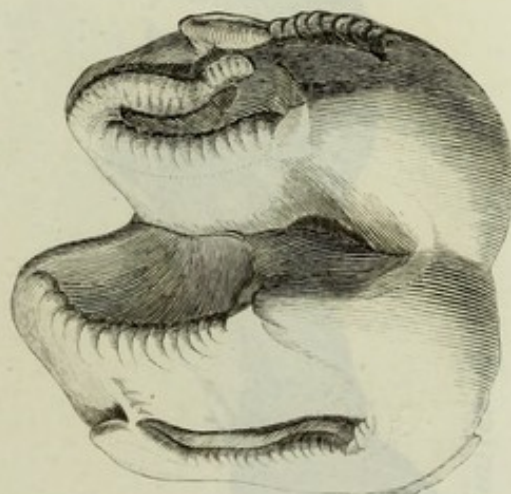


Fig. 1.

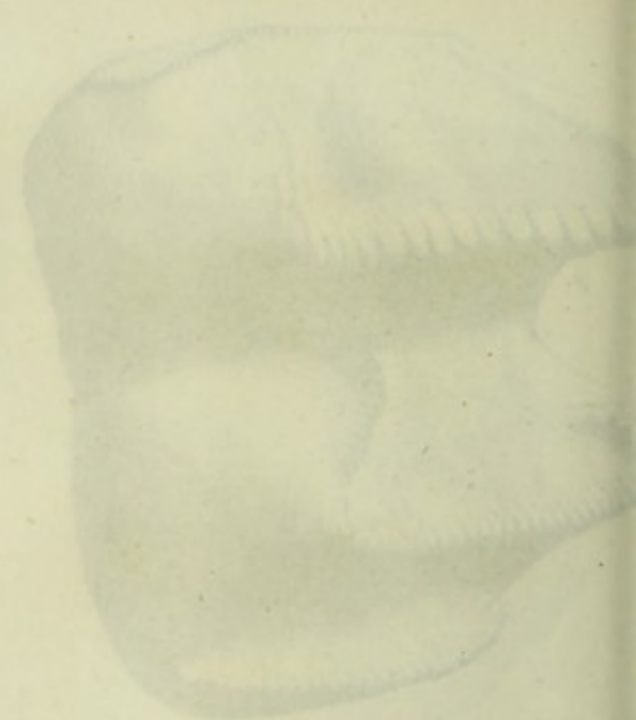


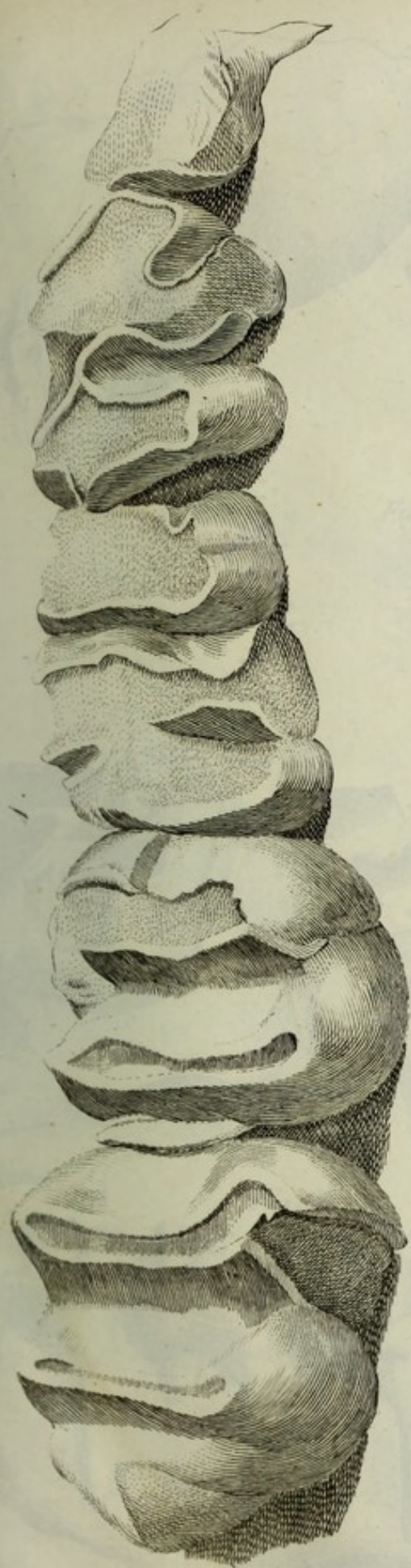
Fig. 2.



ANIMAUX FOSSILES VOISINS DES TAPIRS. PL. IV.

PLATE 1. COLORED DRAWINGS OF THE SKULL OF THE





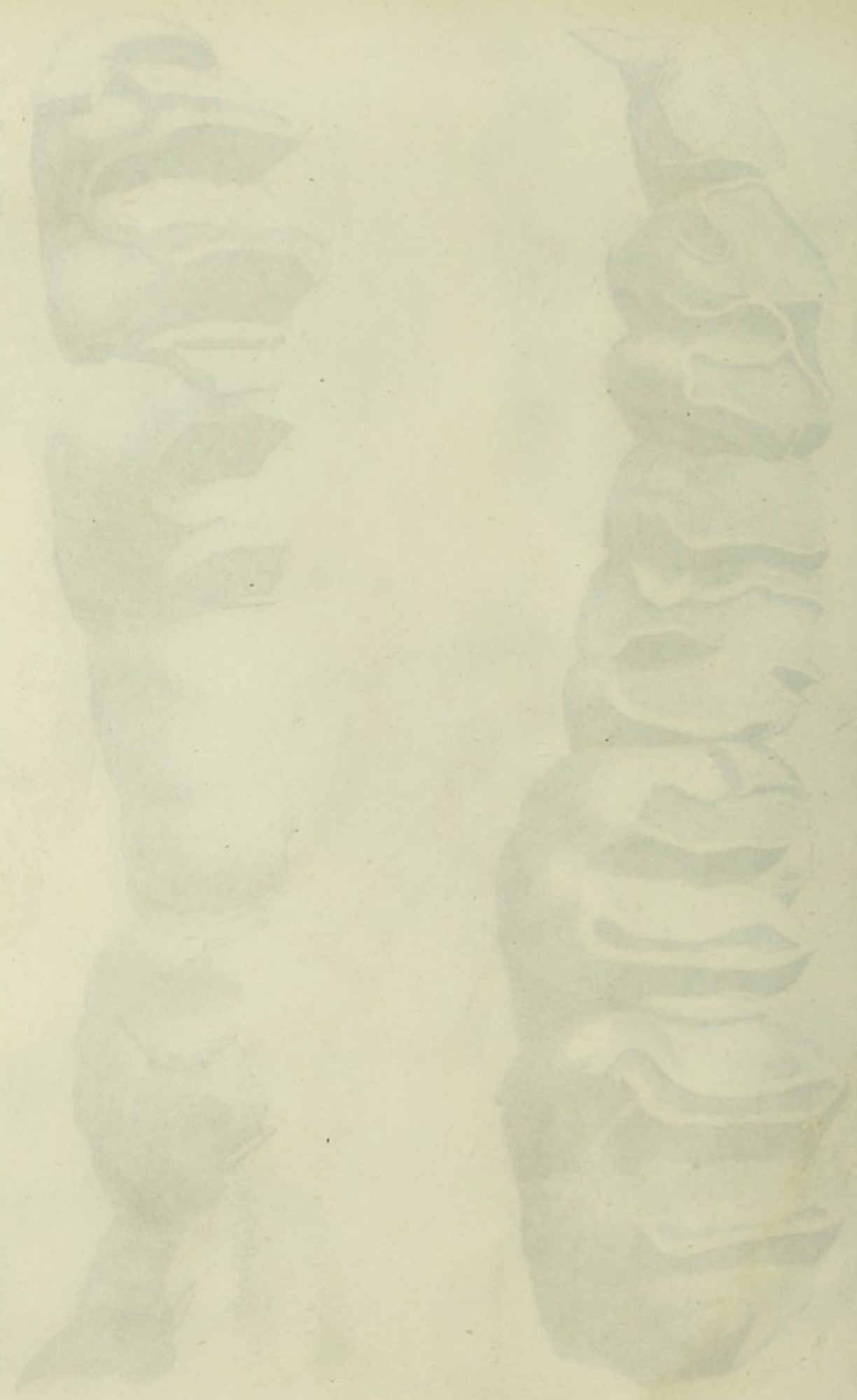
Cuvier del.

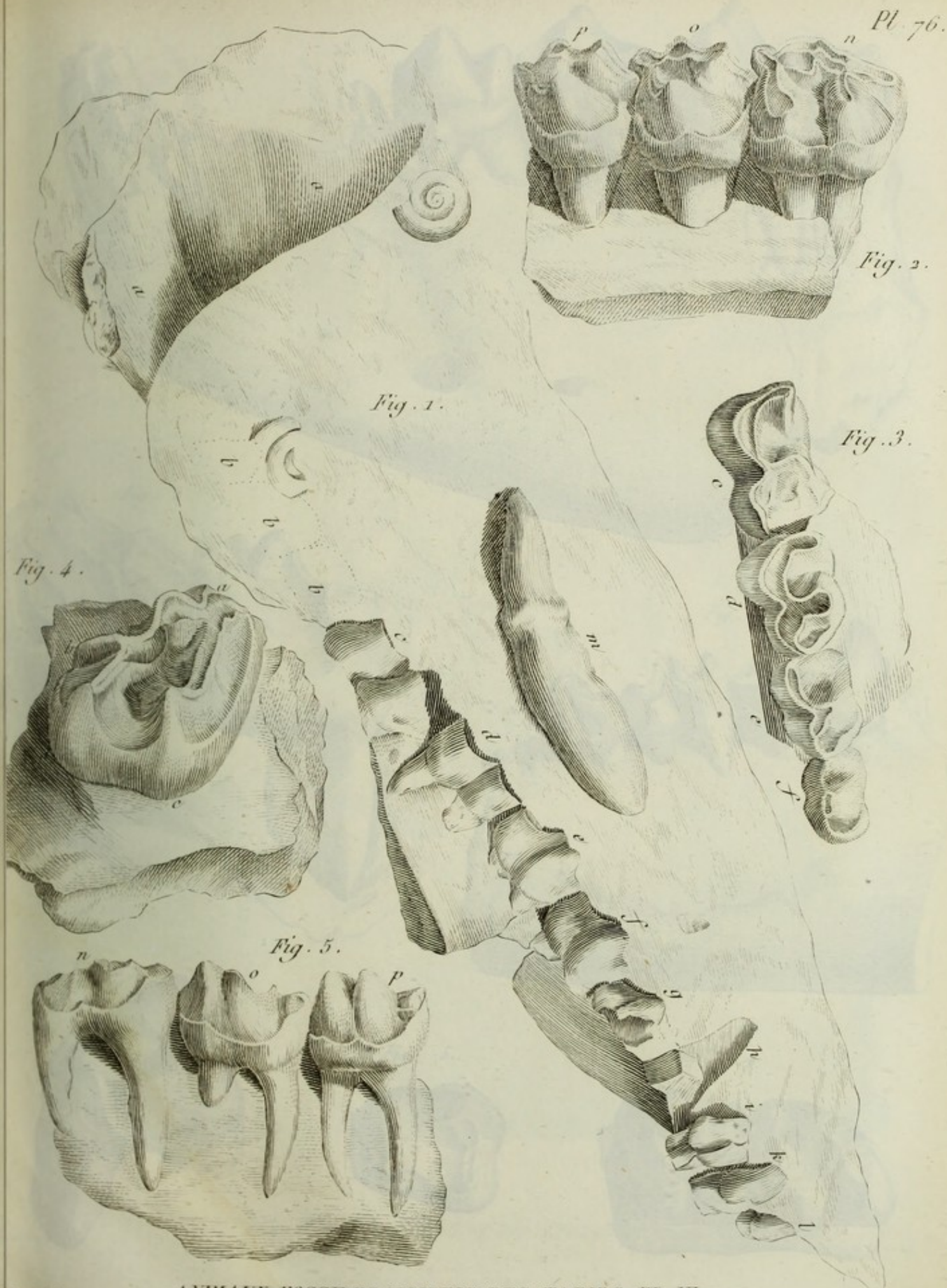
Miger Sculp.

2.

THE UNIVERSITY OF CHICAGO PRESS

1892





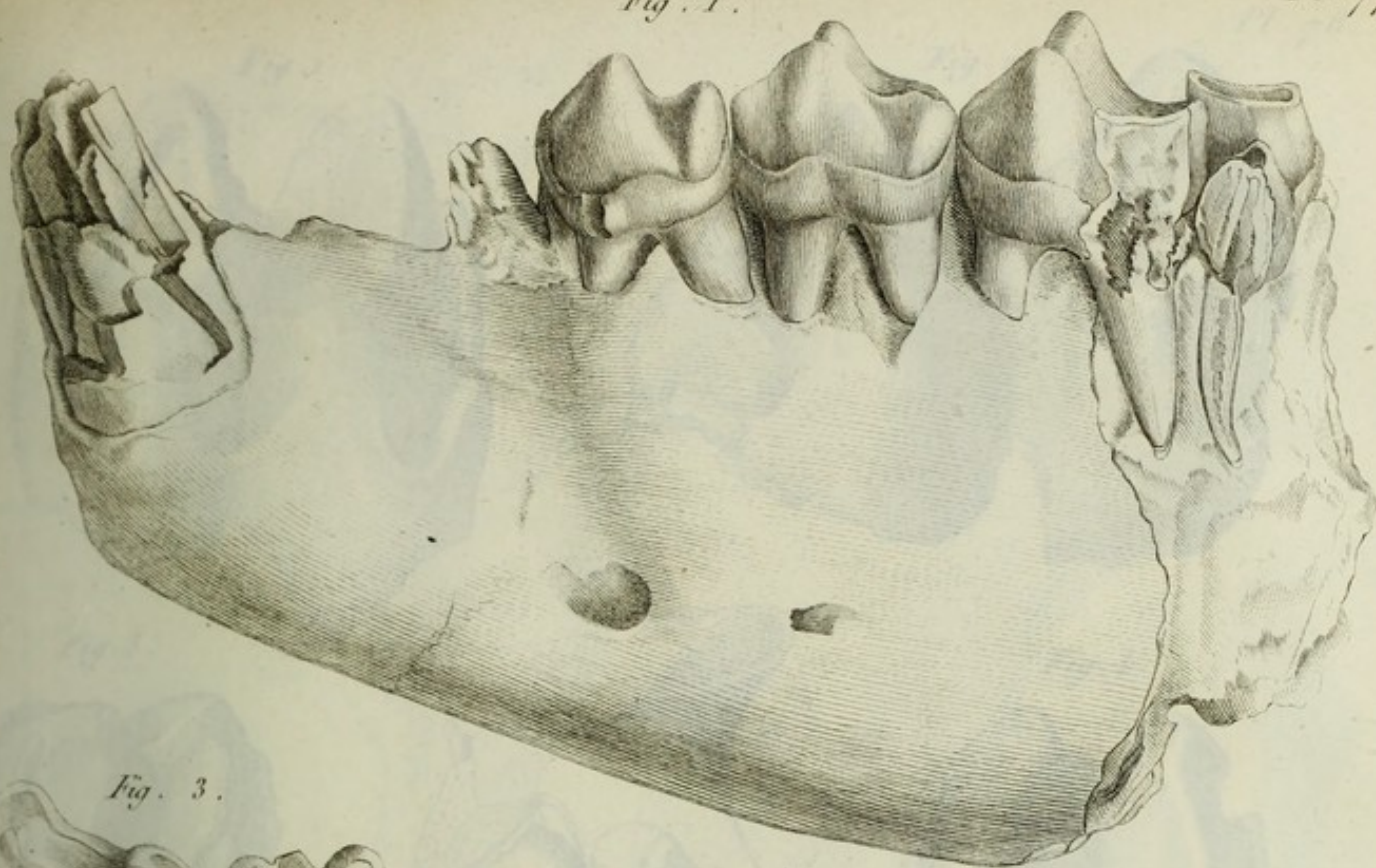


Fig. 3.



Fig. 2

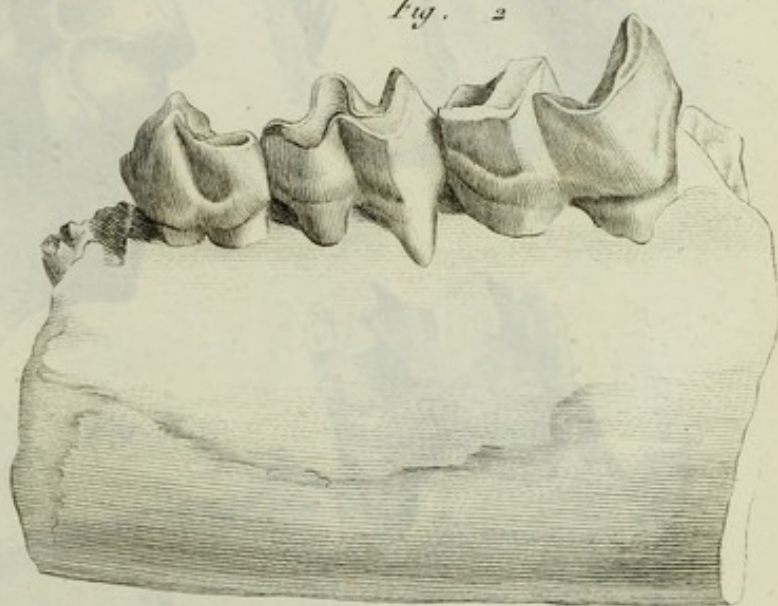


Fig. 6.



Fig. 5.

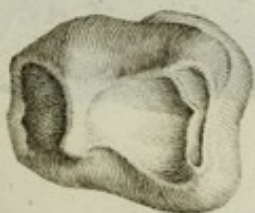
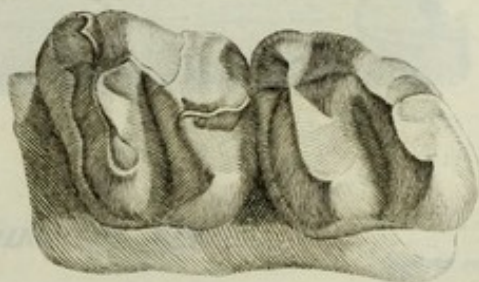


Fig. 4



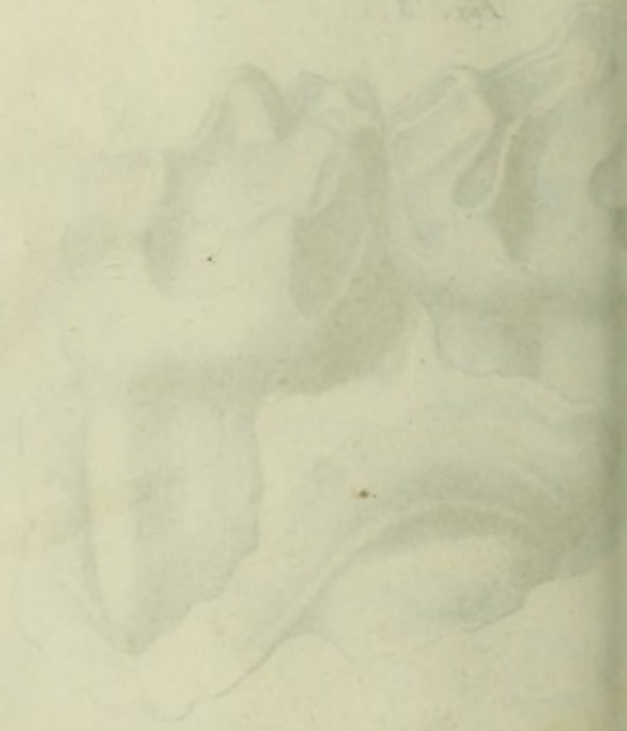
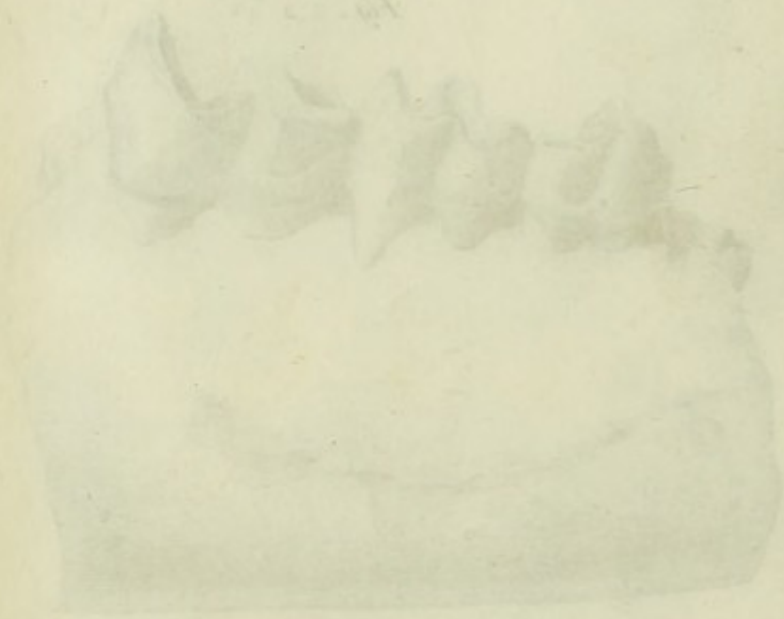


Fig. 1.

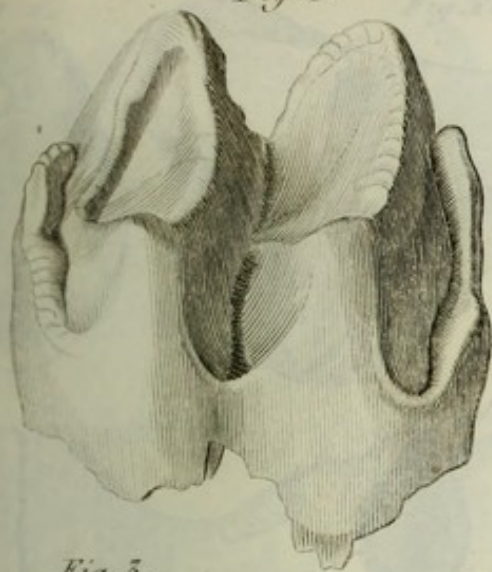


Fig. 2.

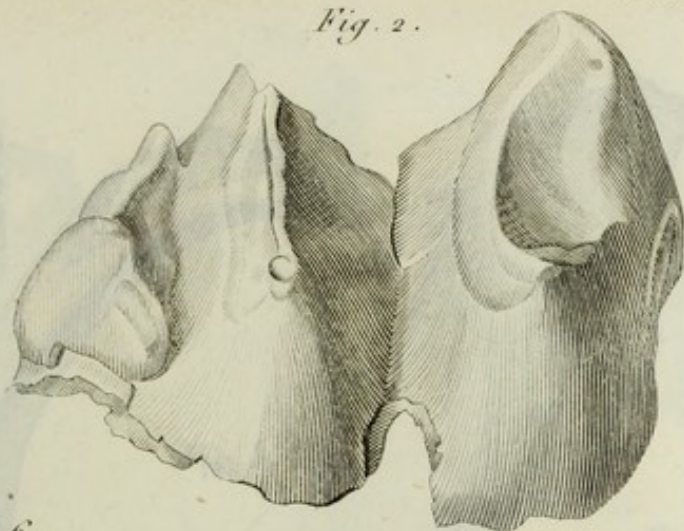


Fig. 6.

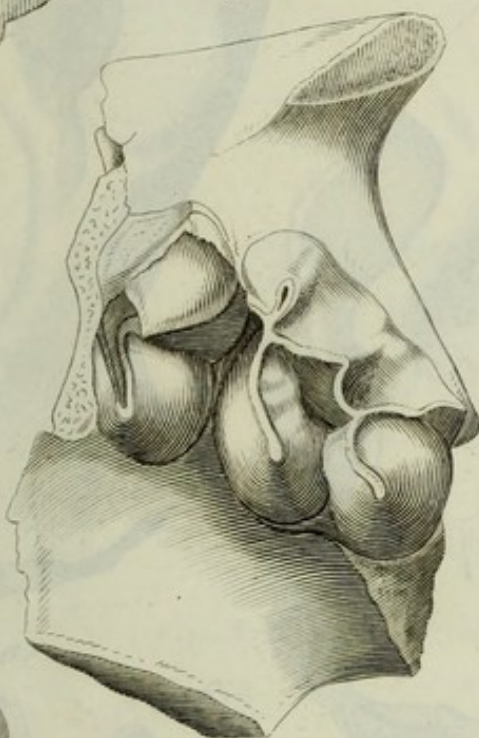


Fig. 5.

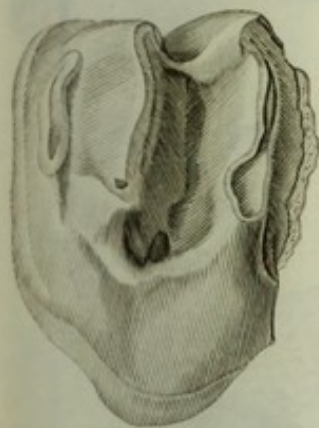


Fig. 4.



Fig. 7.

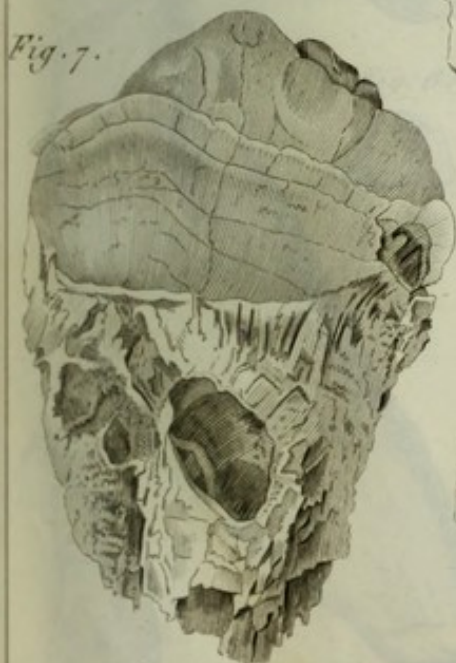


Fig. 8.

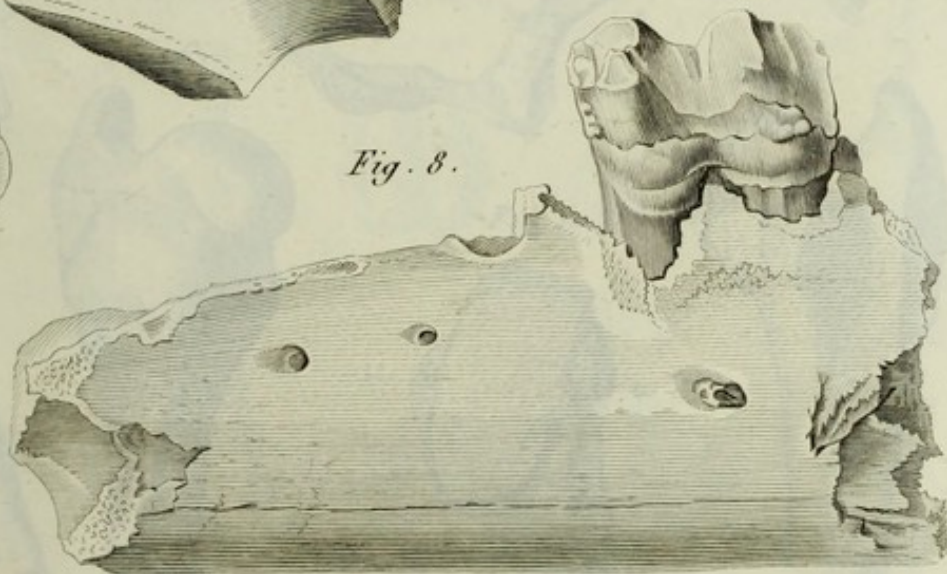




Fig. 2.

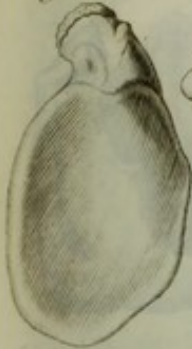


Fig. 1. 1/2

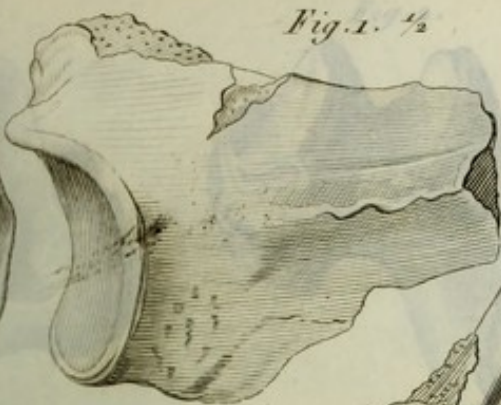


Fig. 5.

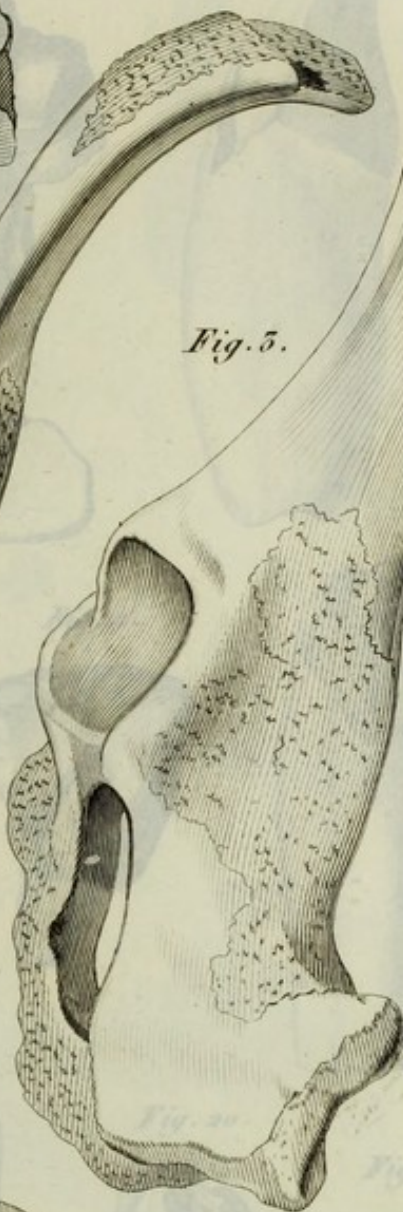


Fig. 5. 1/2

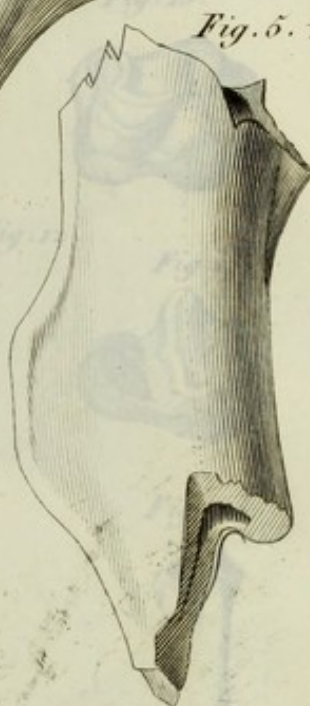


Fig. 4. 1/2

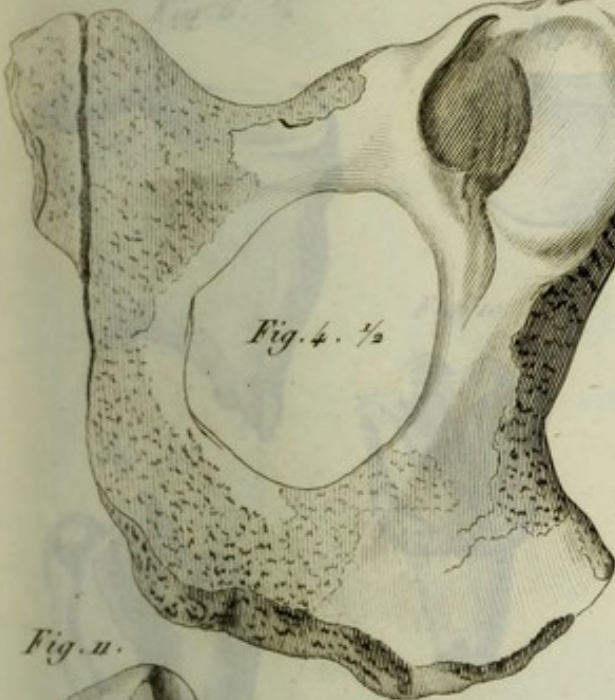


Fig. 11.

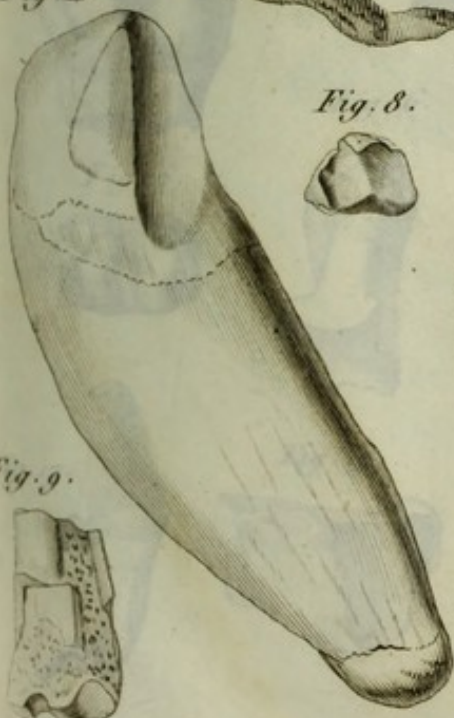


Fig. 8.



Fig. 6.

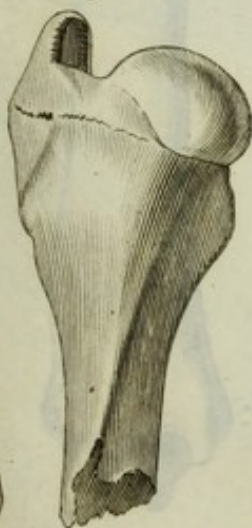


Fig. 10.



Fig. 7.



Fig. 9.





Fig. 1.

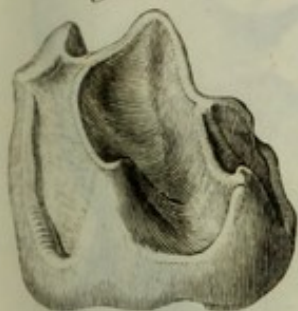


Fig. 2.



Fig. 3.



Fig. 4.



Fig. 5.



Fig. 6. 1/2

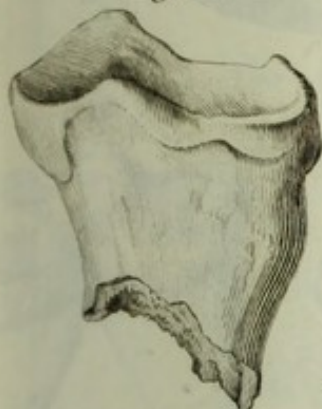


Fig. 7. 1/2



Fig. 13.



Fig. 10.



Fig. 11.



Fig. 12.

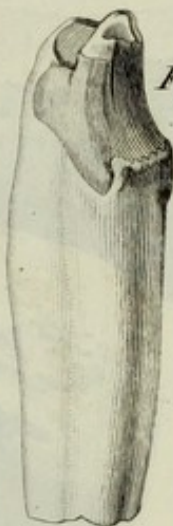


Fig. 14.



Fig. 9.



Fig. 24.



Fig. 16.



Fig. 18.



Fig. 20.



Fig. 21.



Fig. 15.



Fig. 23.



Fig. 25.



Fig. 19.

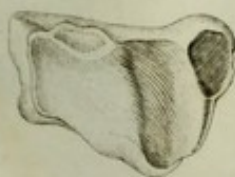


Fig. 22.

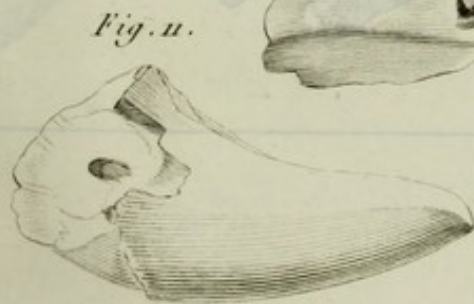
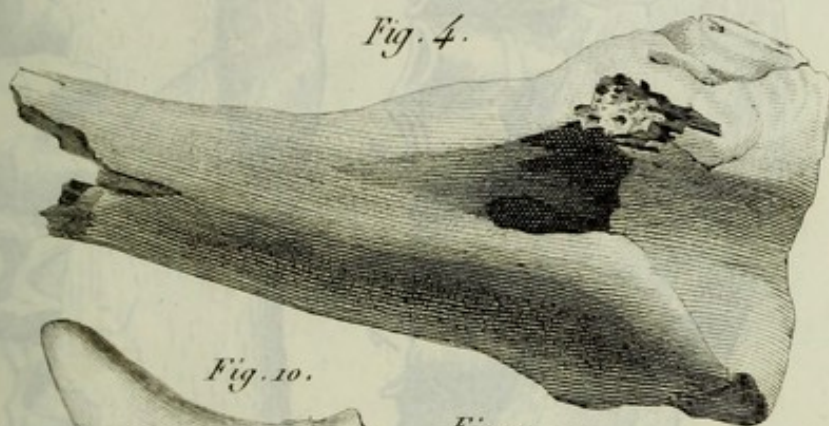
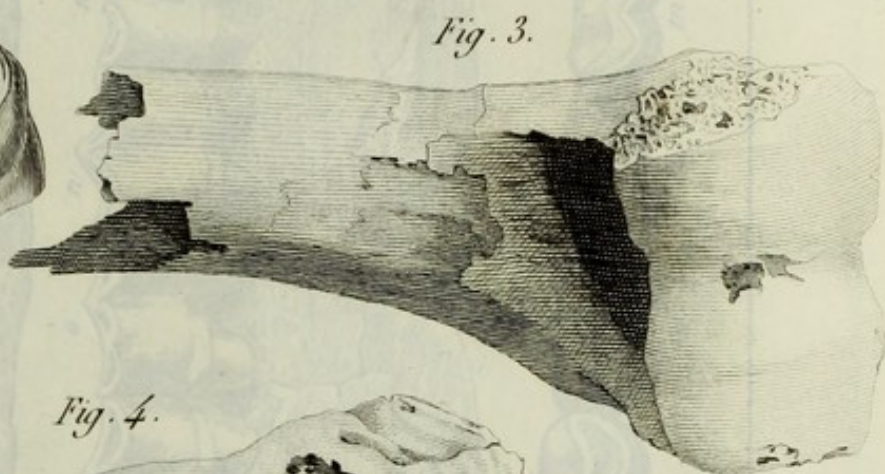
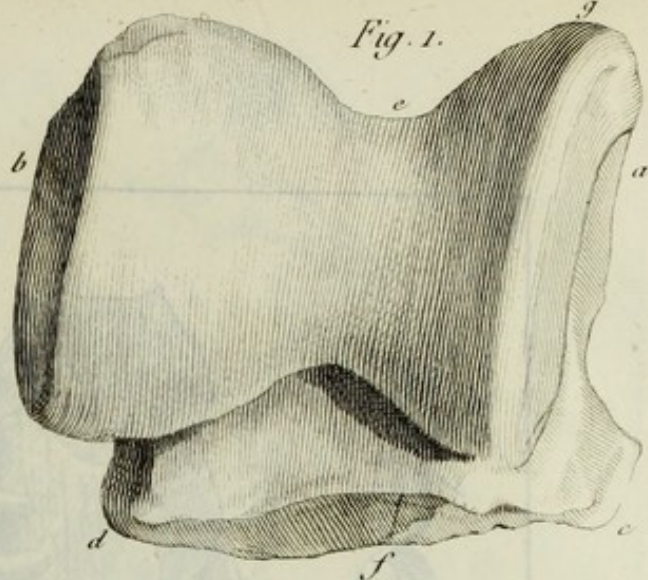
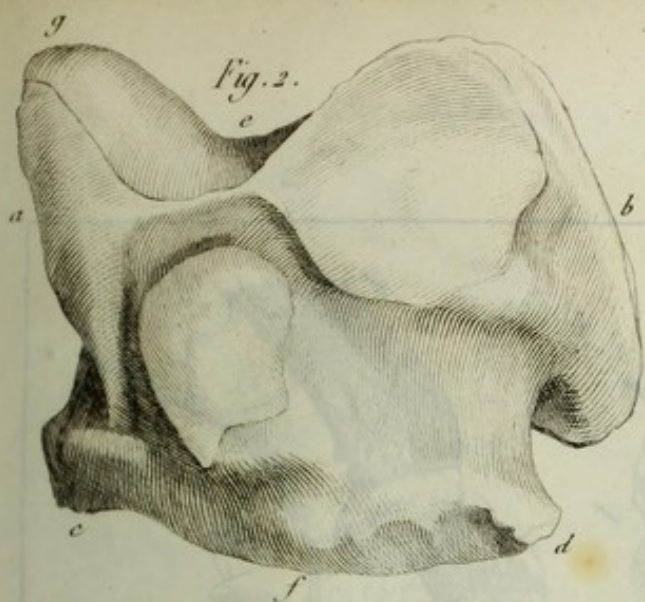


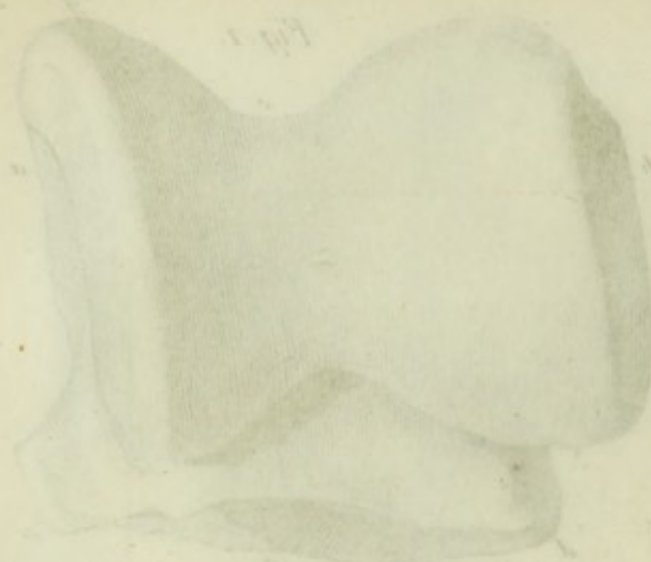
Fig. 17.





PLATE I. FIGURES 1 TO 20. (Faint, mirrored text, likely bleed-through from the reverse side)





28

Fig. 1.

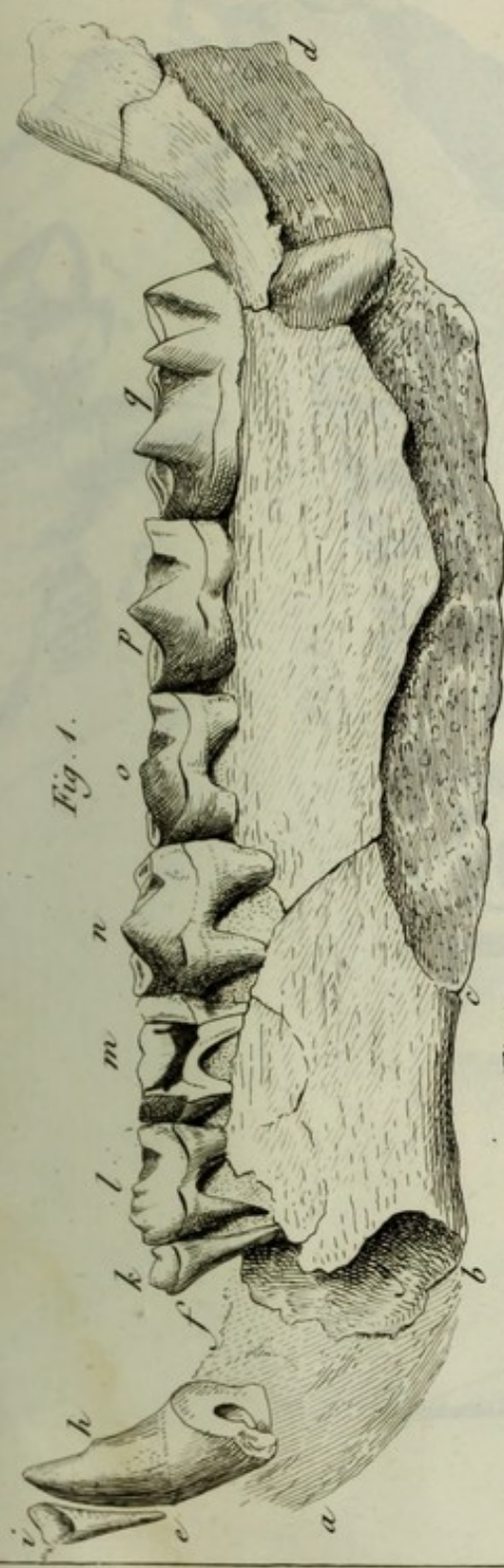


Fig. 2.

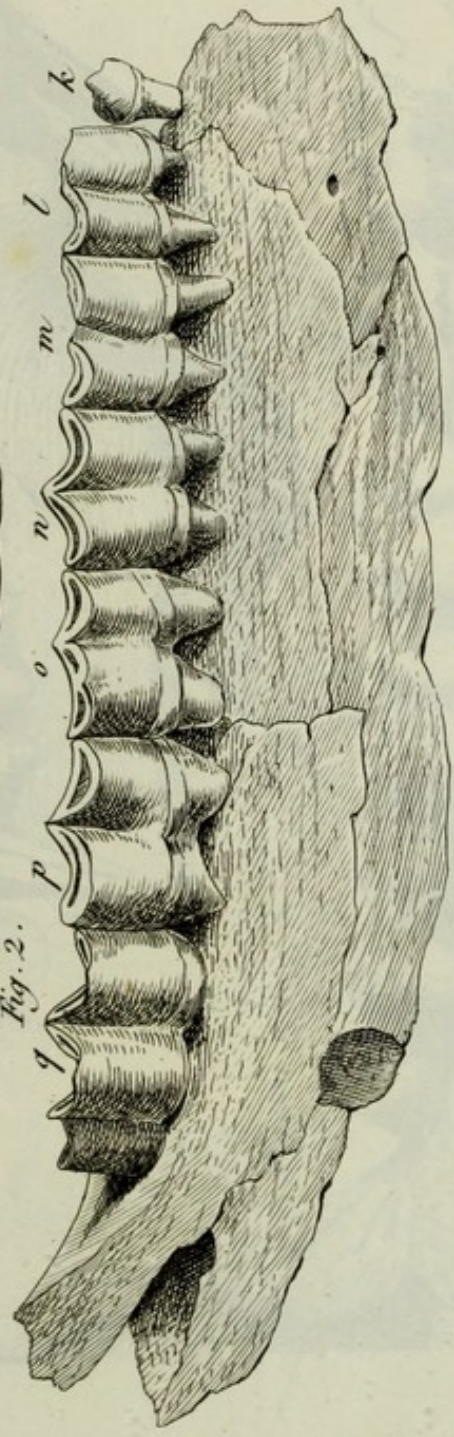


Fig. 3.





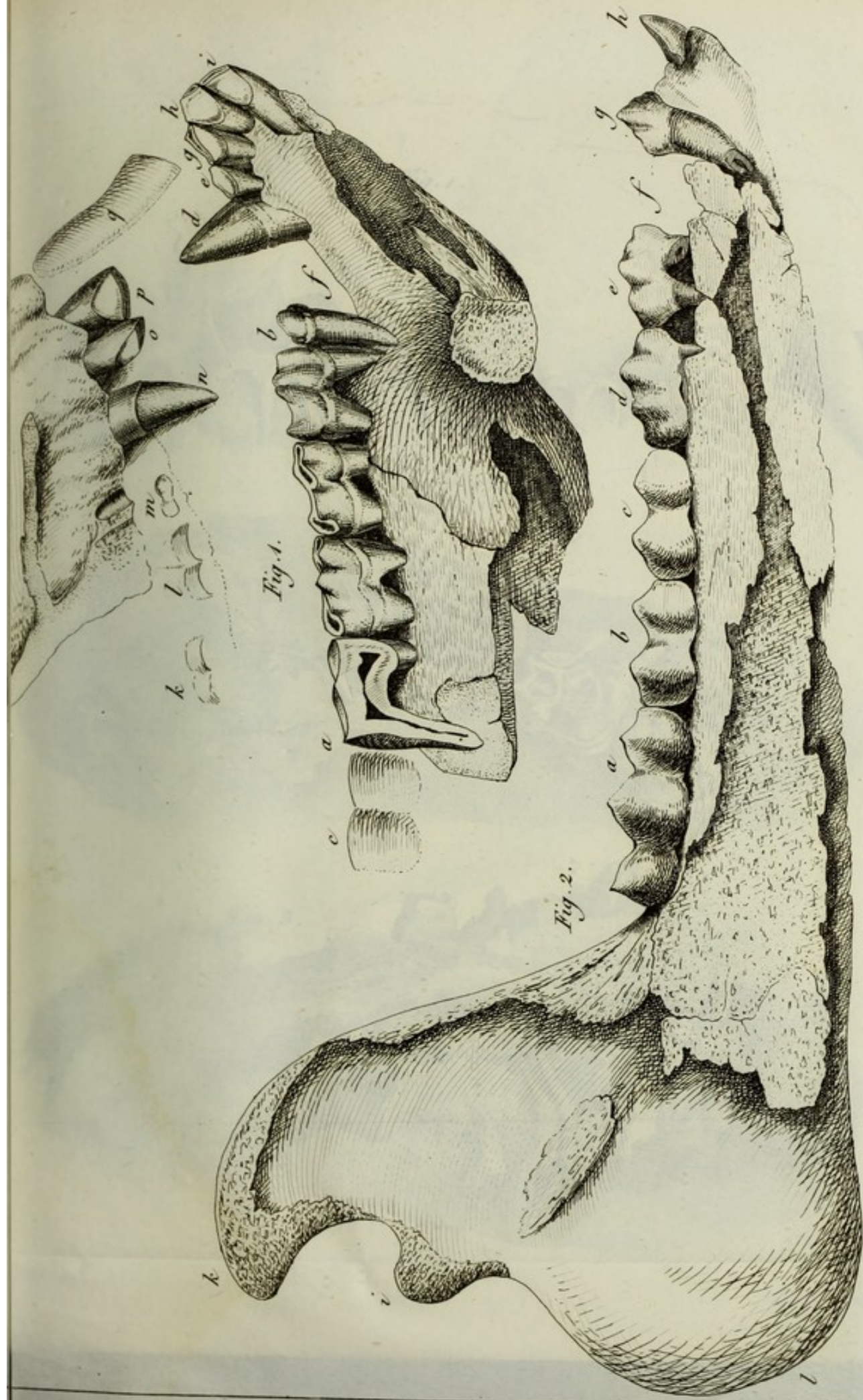




Fig. 1.

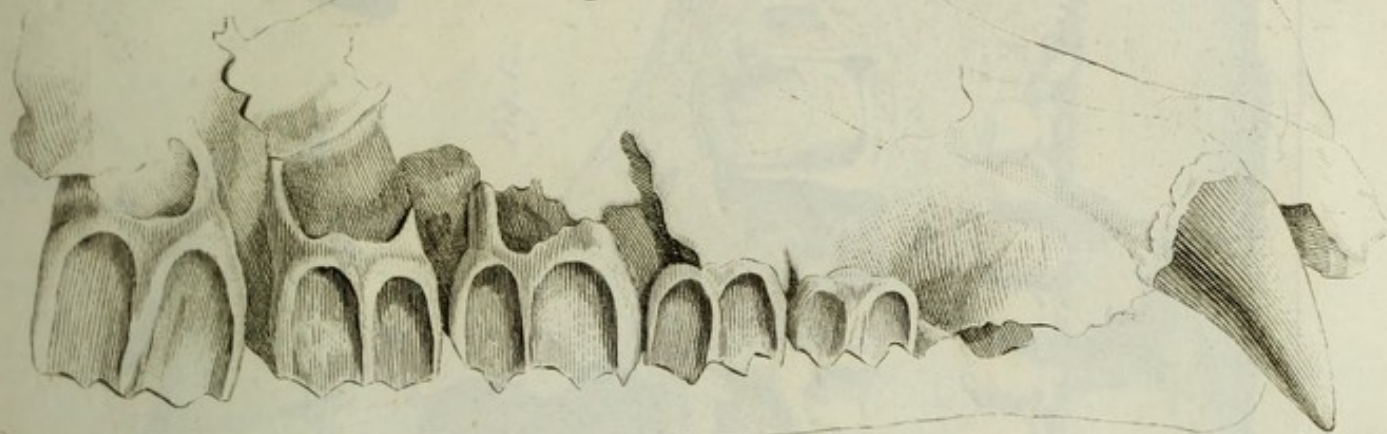


Fig. 2.

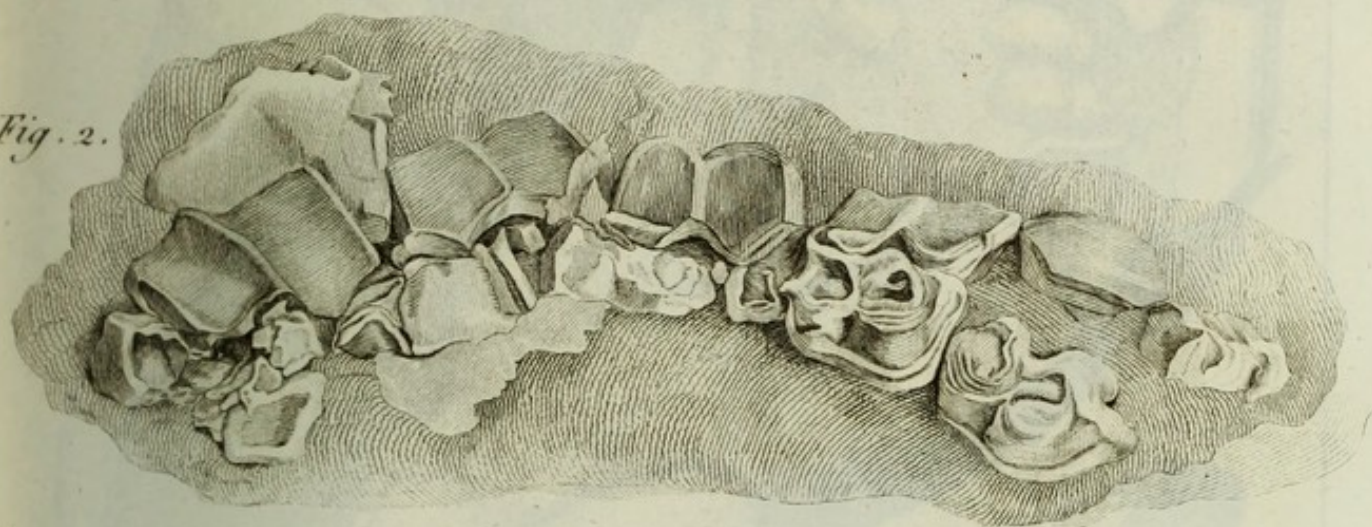
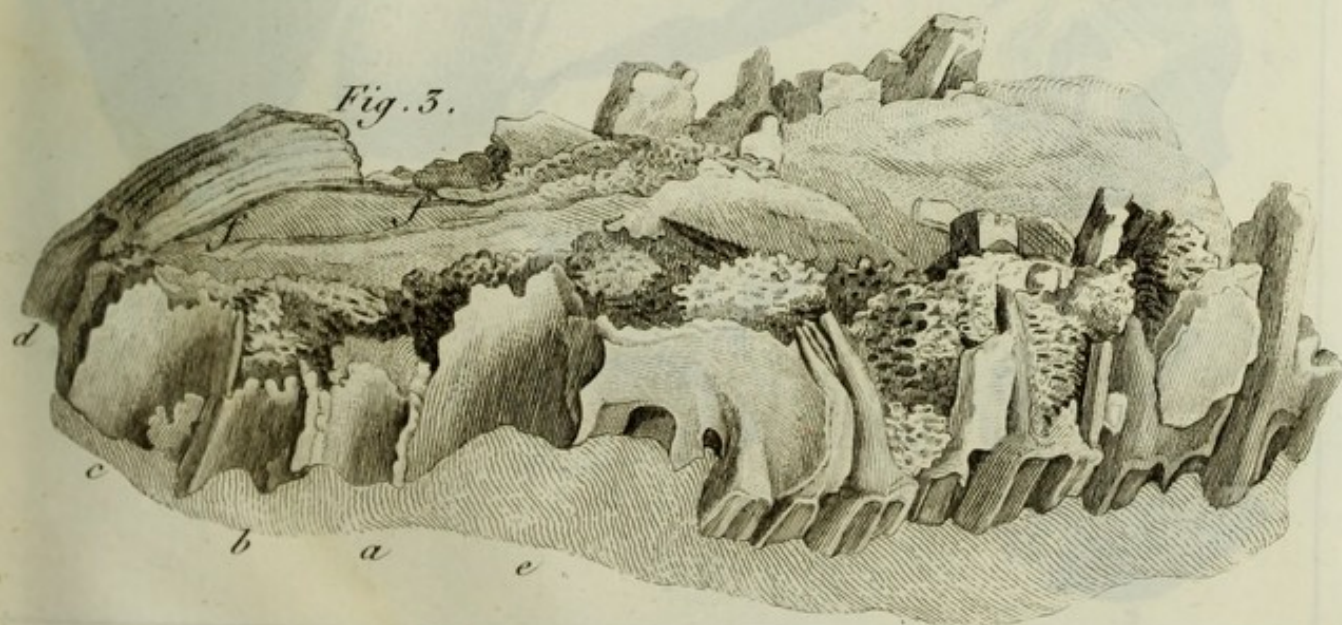
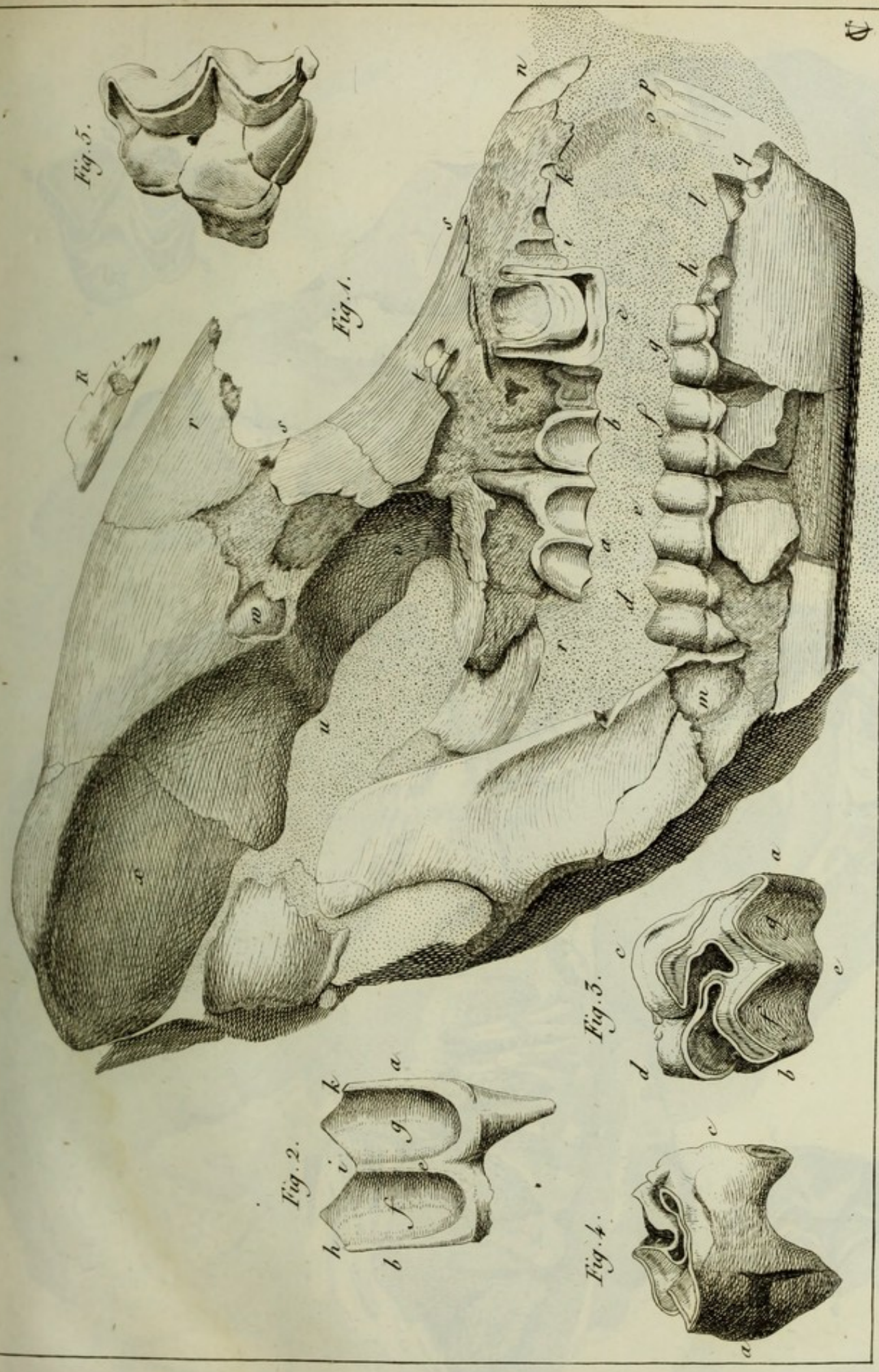


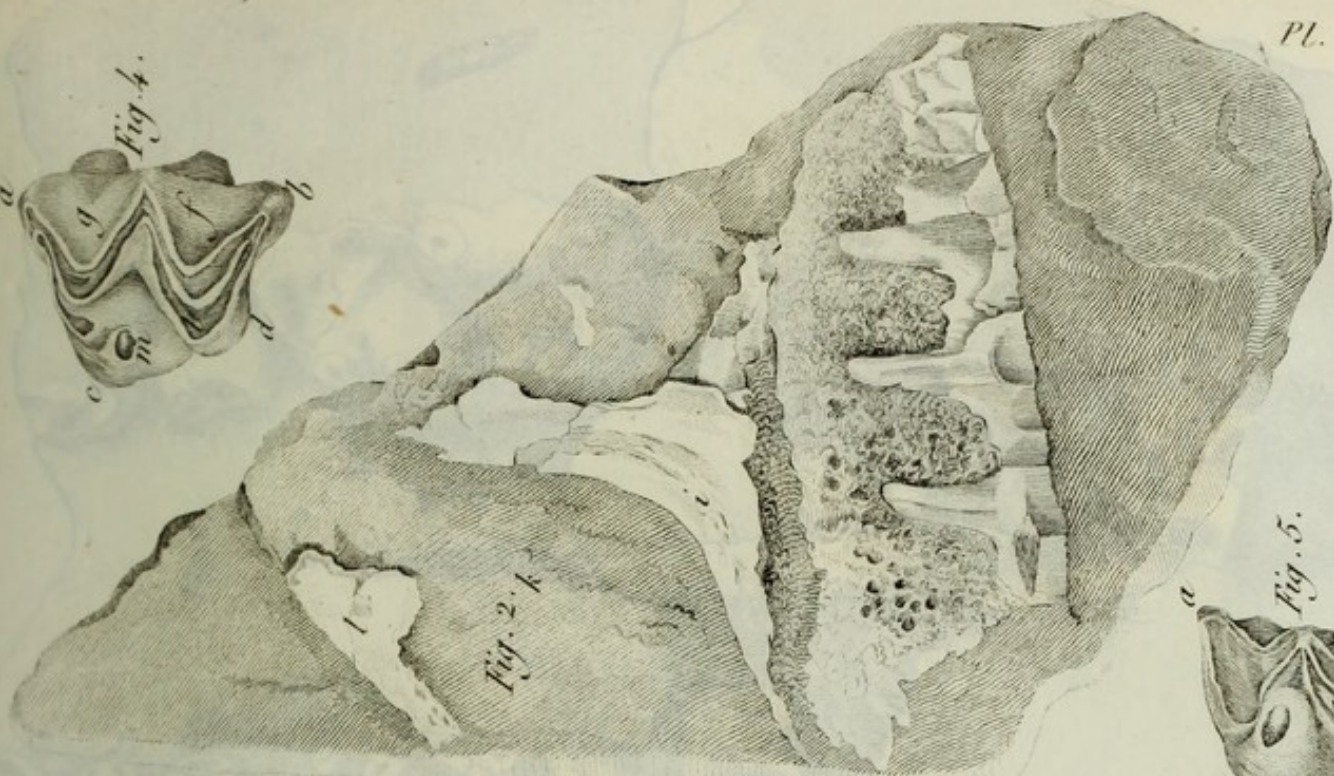
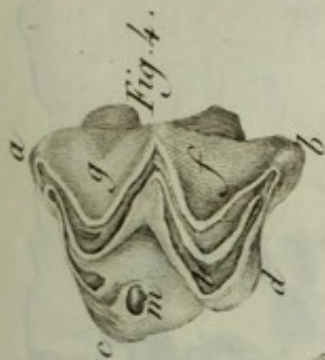
Fig. 3.

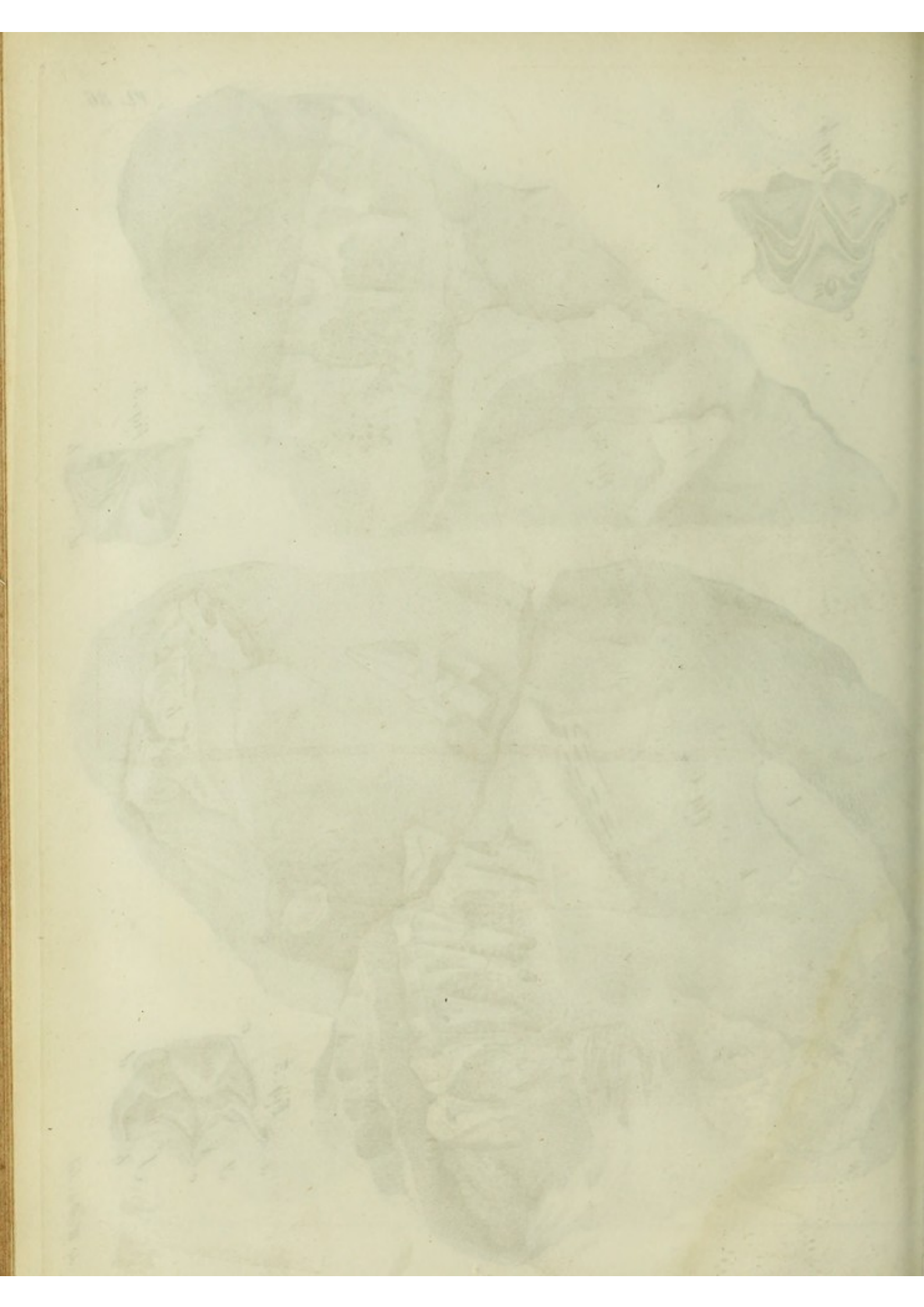


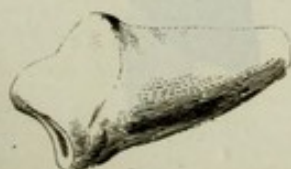
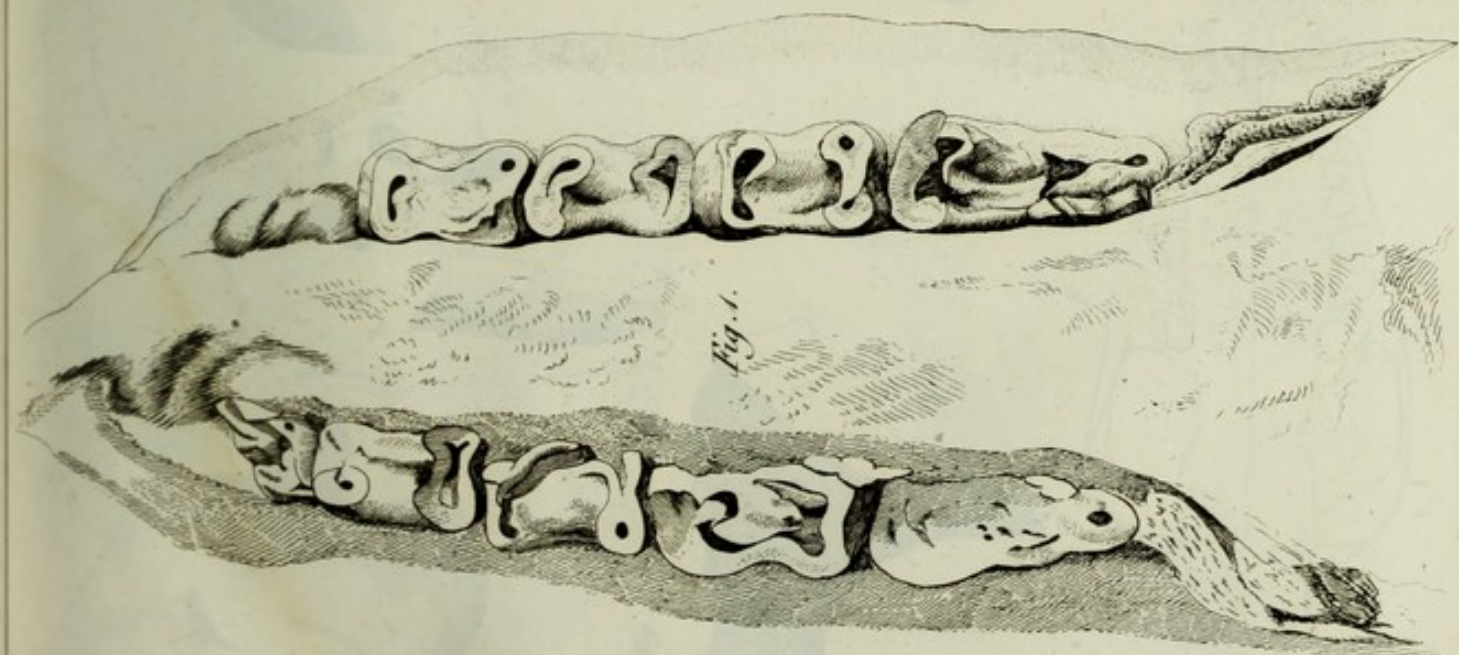
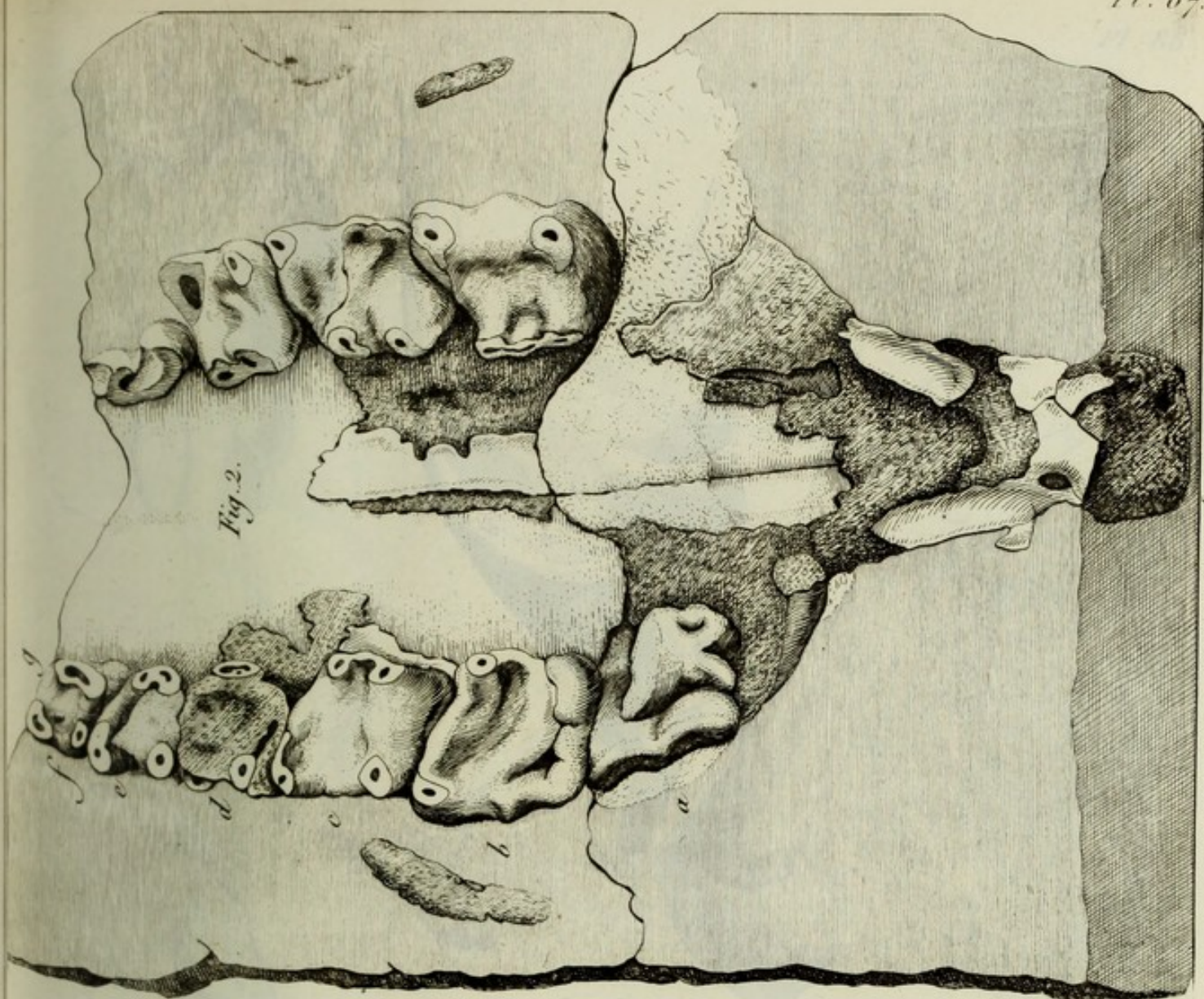
Q

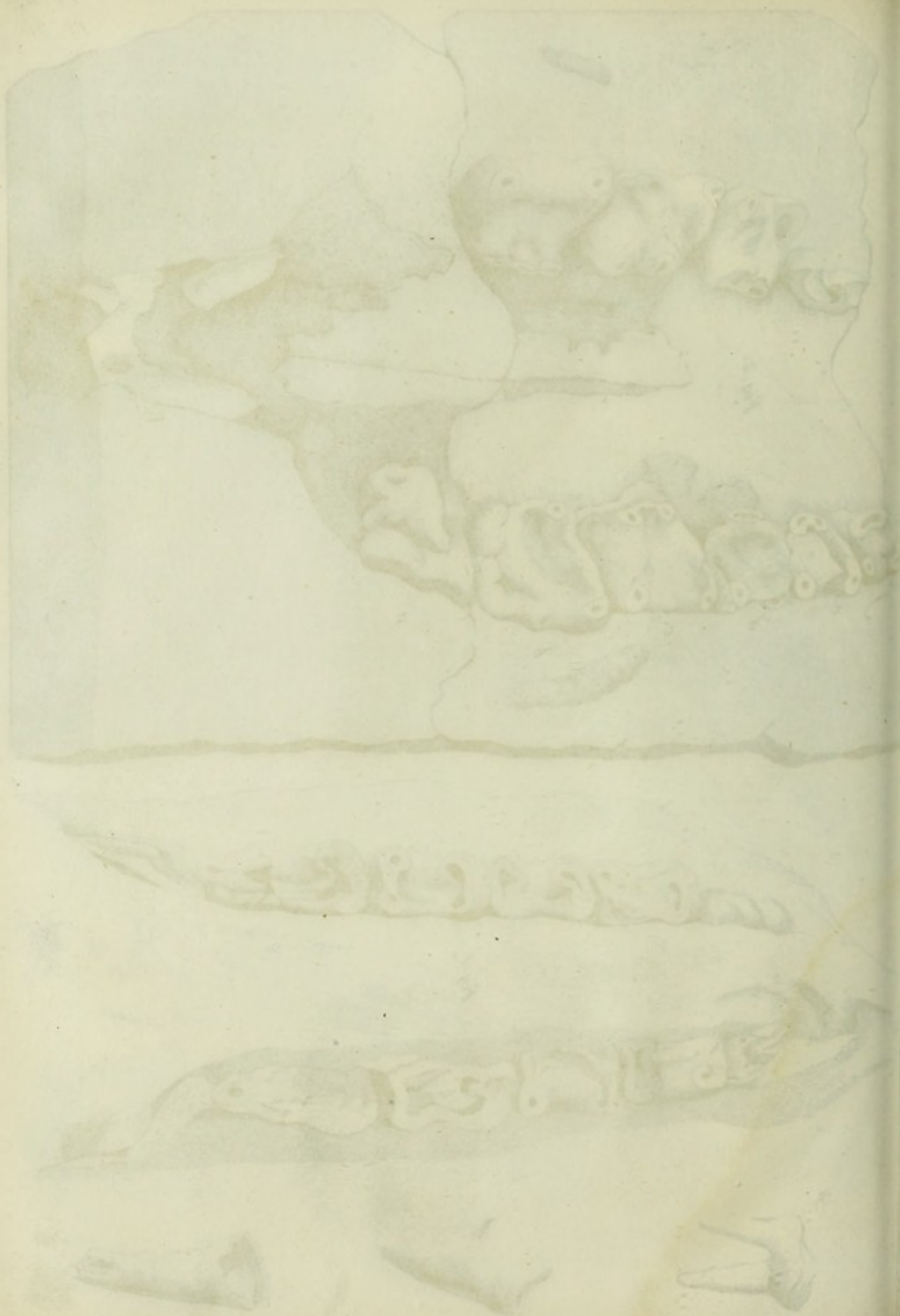














Gravé par Gouvier

Cuvier del.

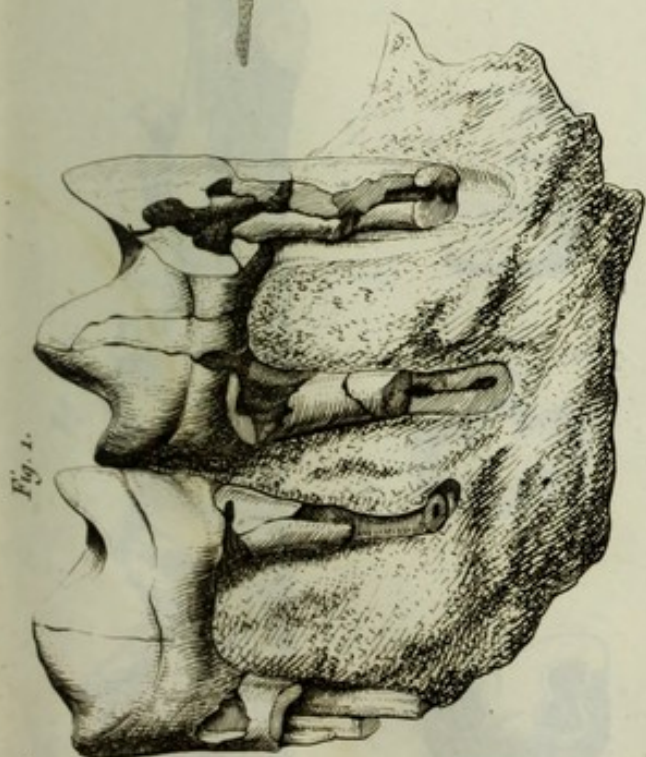


Fig. 1.

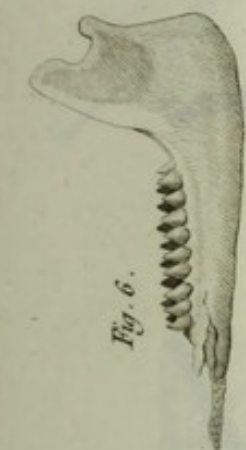


Fig. 6.



Fig. 2.

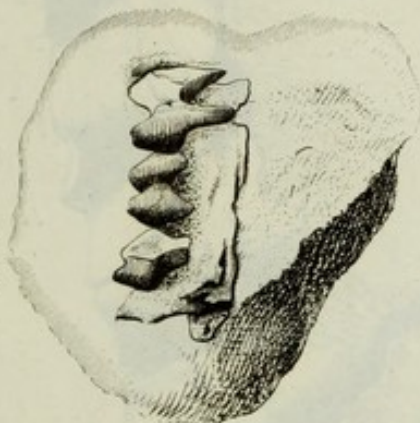


Fig. 3.



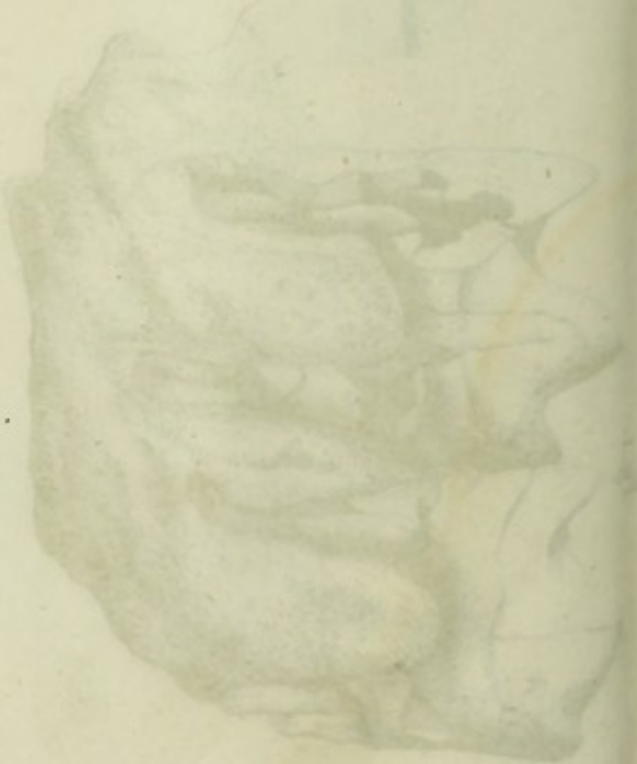
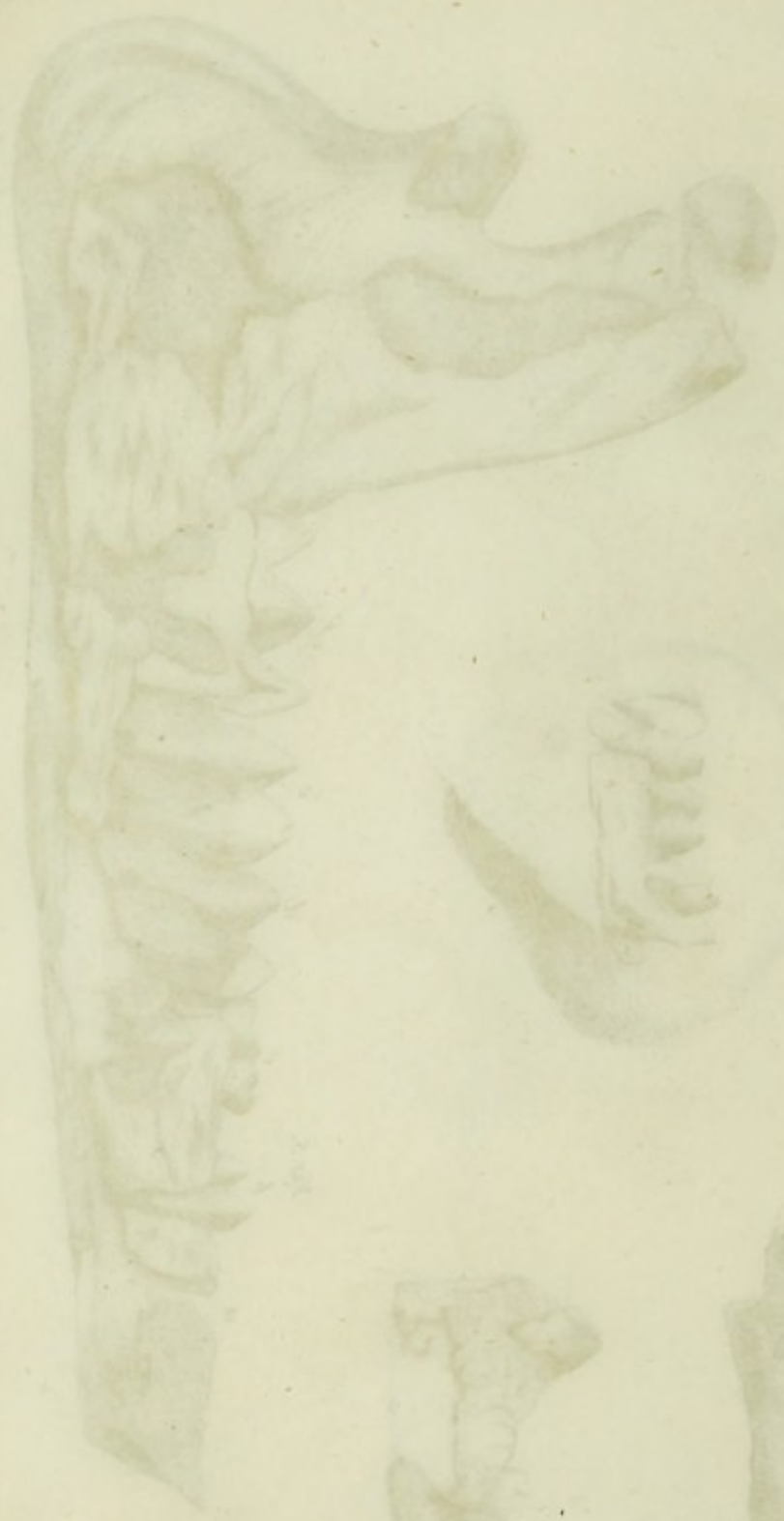
Fig. 4.



Fig. 7.



Fig. 5.



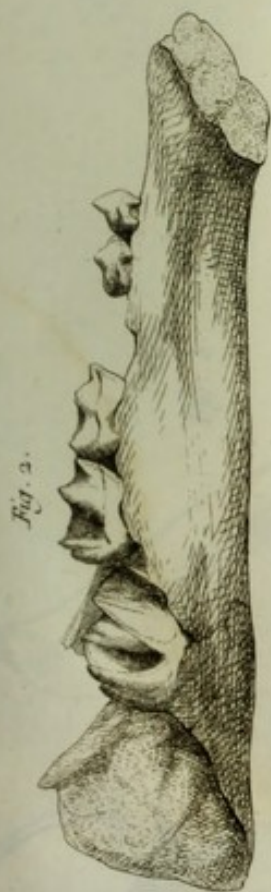


Fig. 2.



Fig. 1.

Fig. 7.



Fig. 6.



Fig. 5.



Fig. 4.

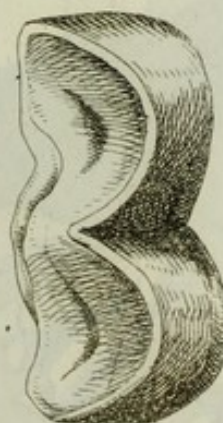
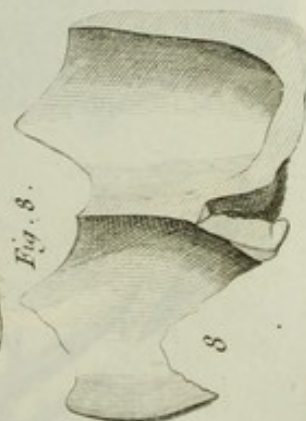
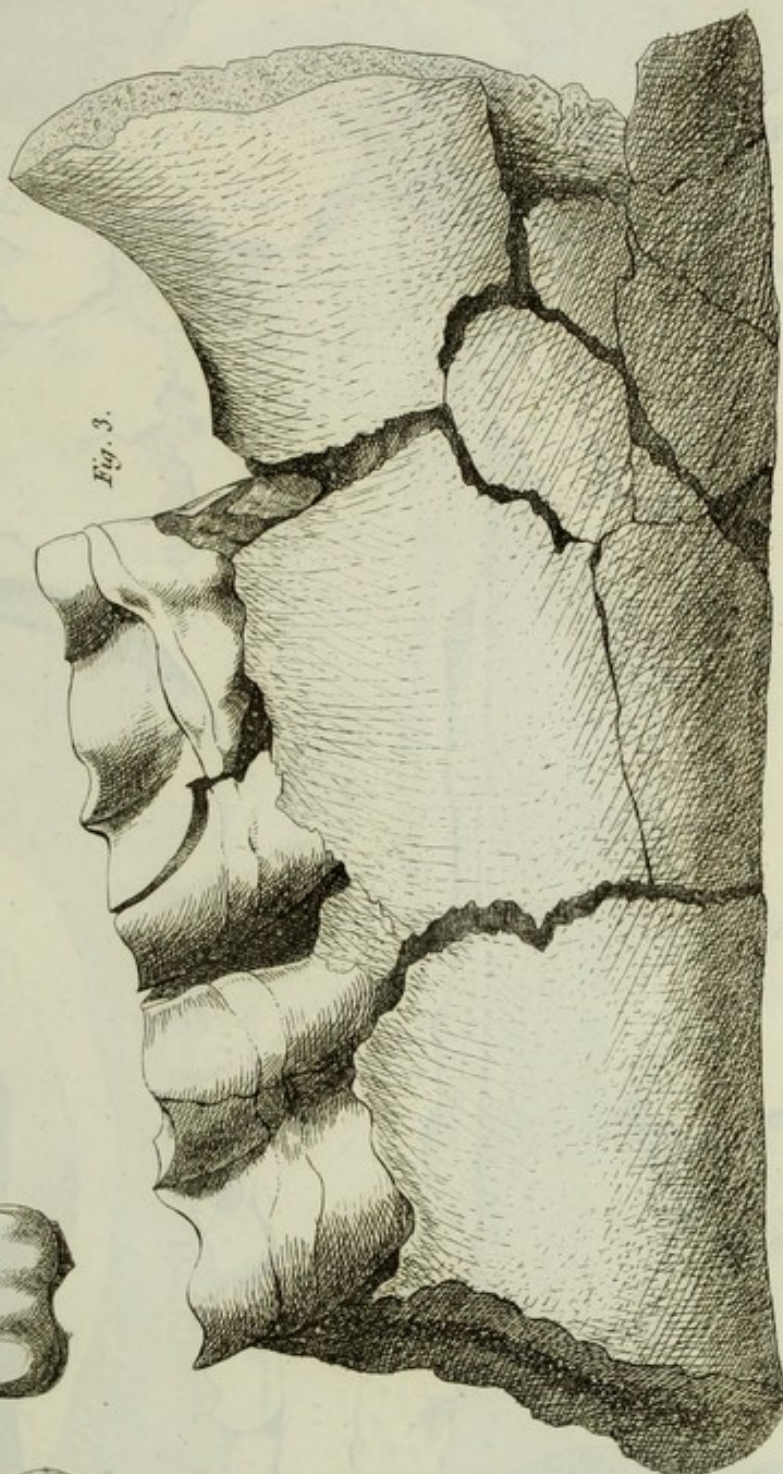


Fig. 8.



8

Fig. 3.



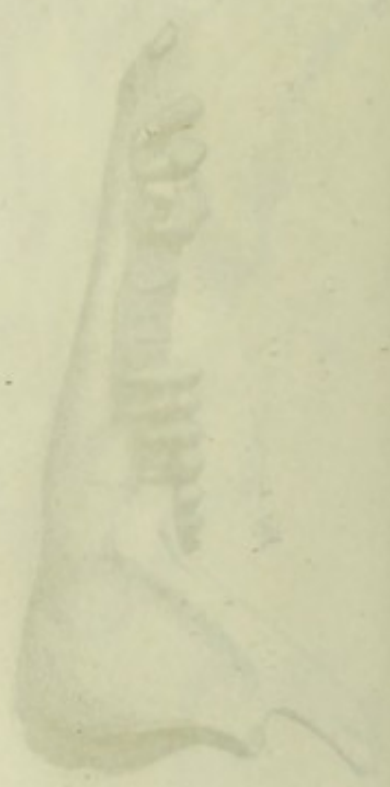


Fig. 2.



Fig. 1.

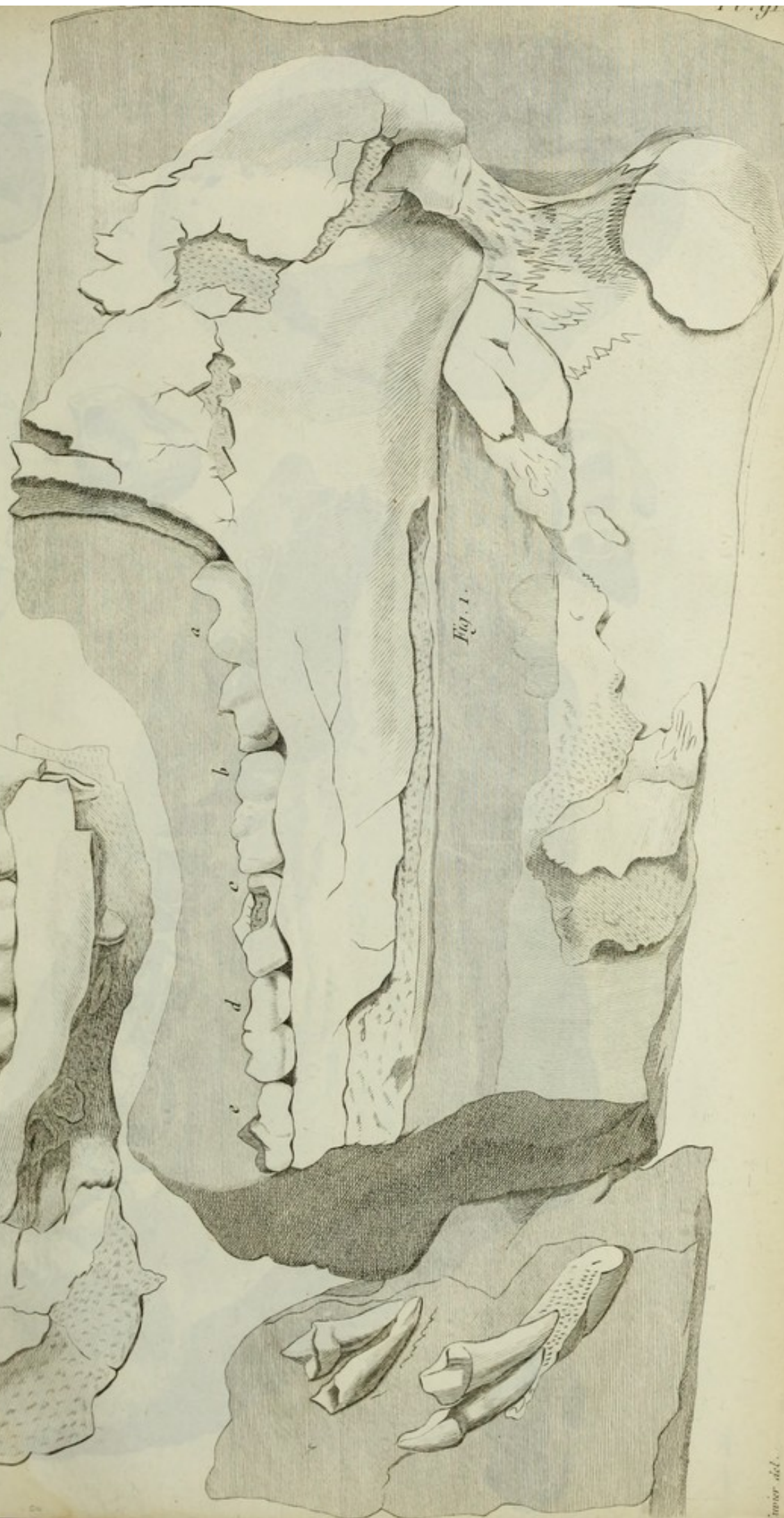
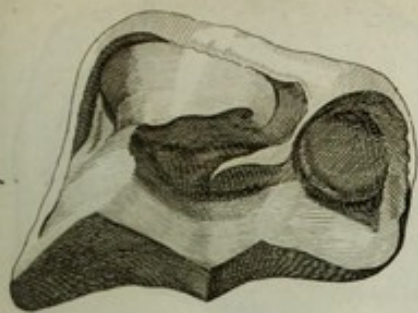


Fig. 1.

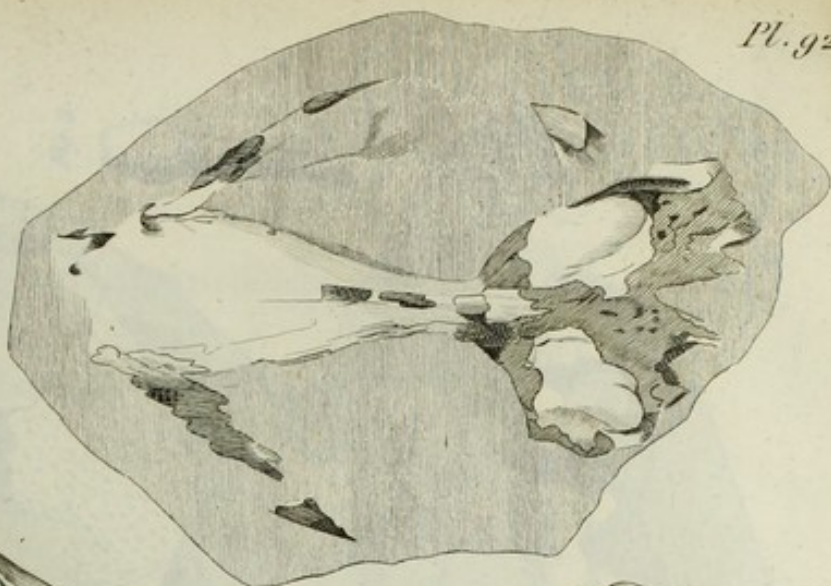
Fig. 3.



F. 4.



F. 5.



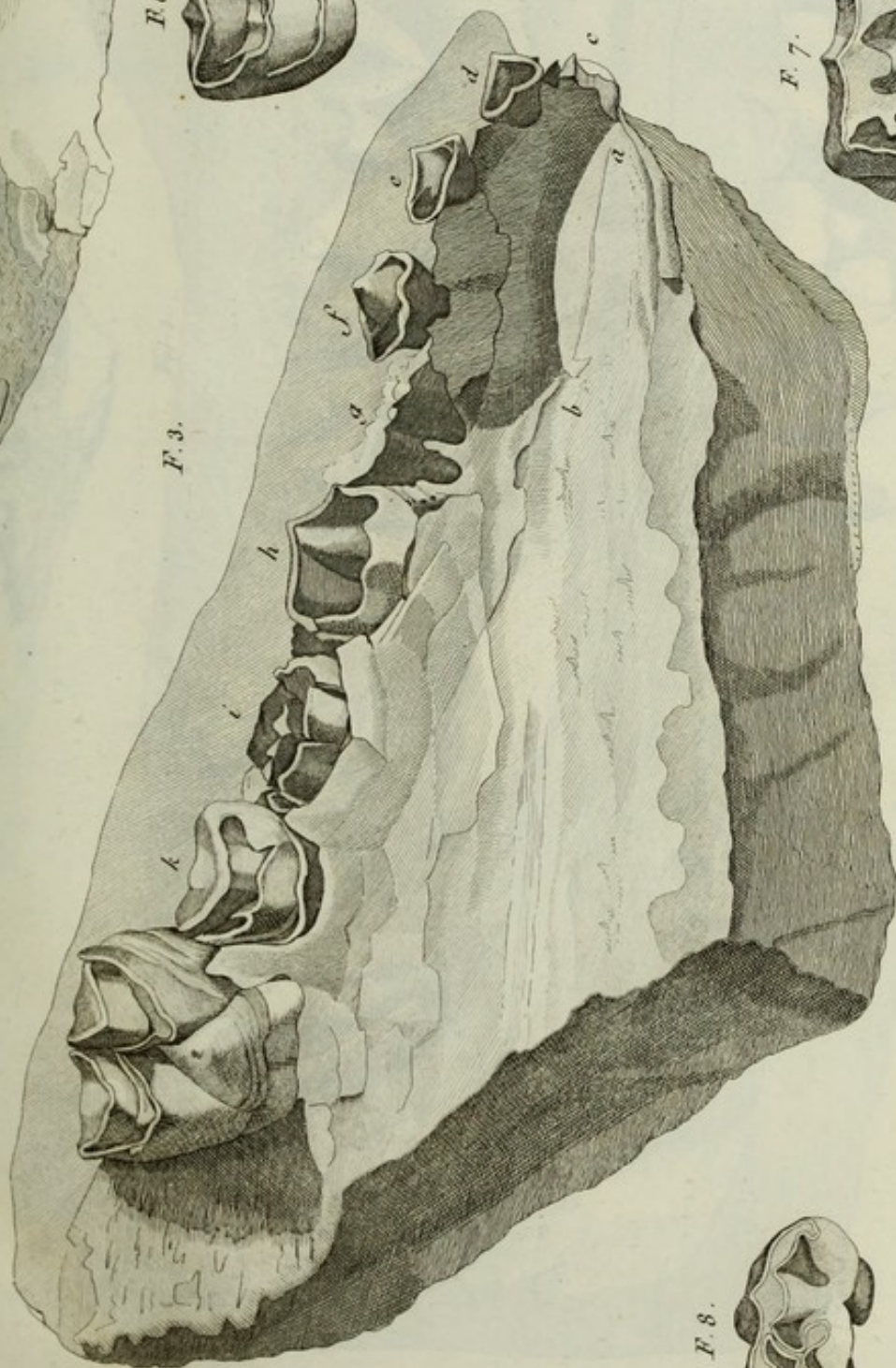
R. 6.



F. 7.



F. 3.



F. 8.



F. 2.



F. 9.



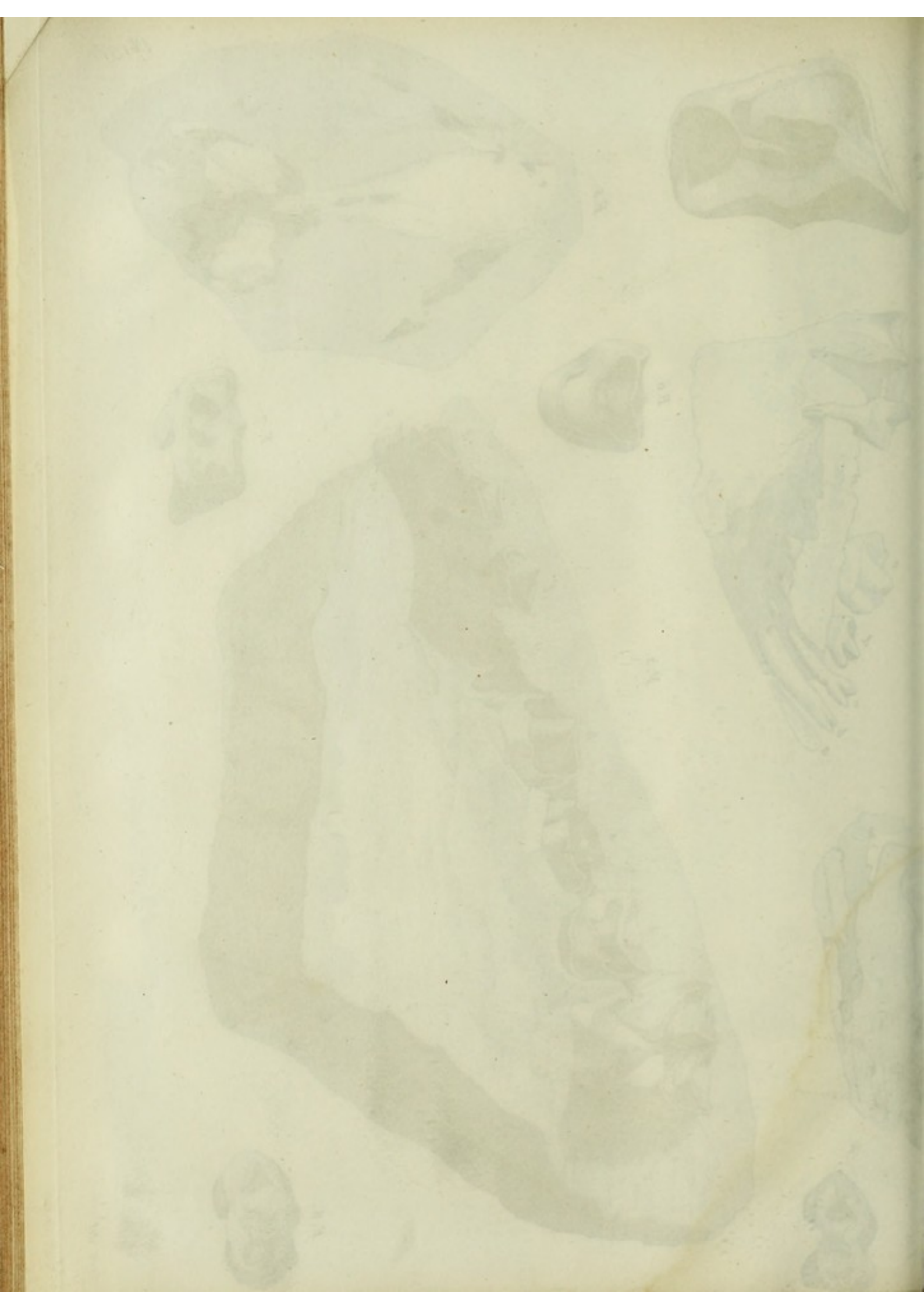


Fig. 3.



Fig. 1.

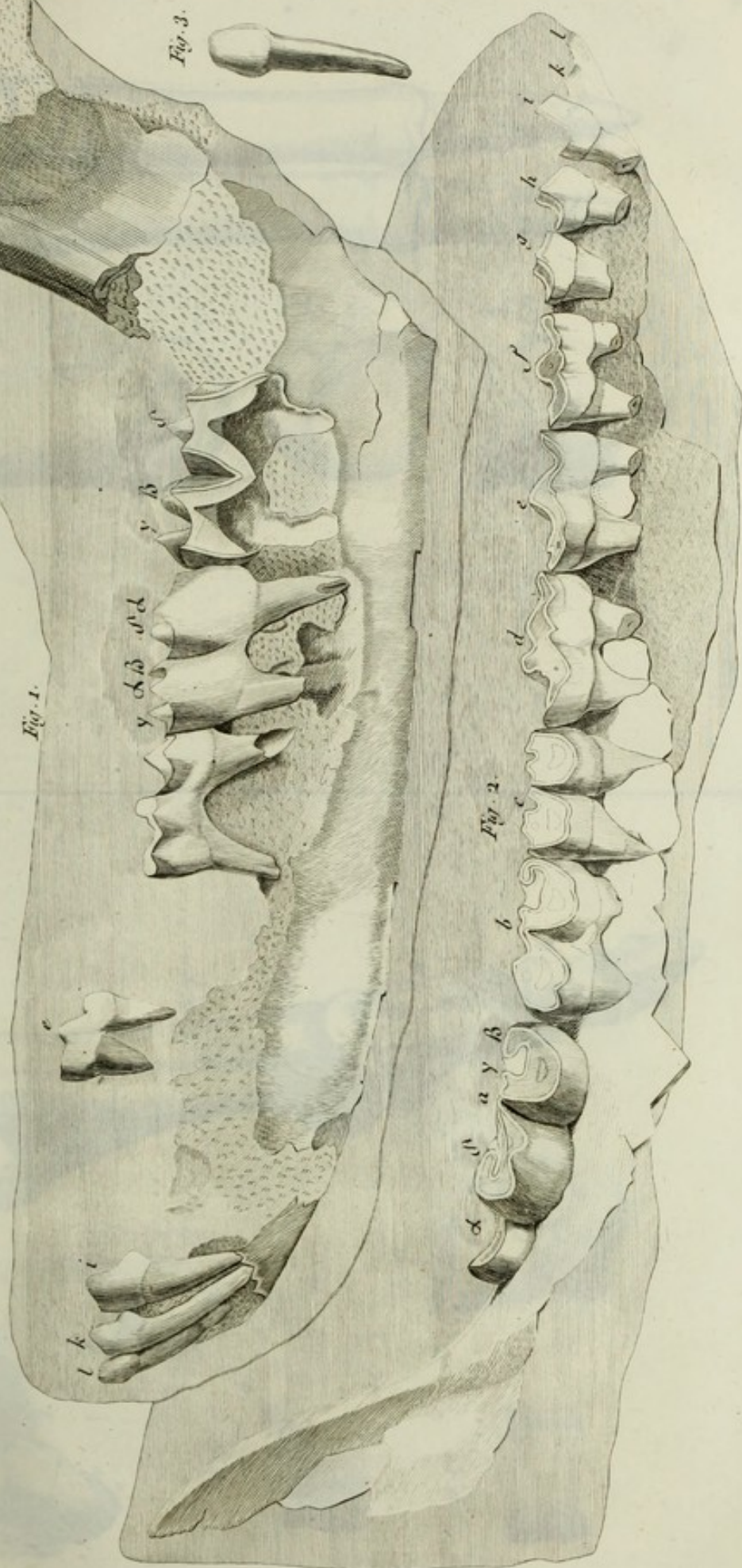


Fig. 2.

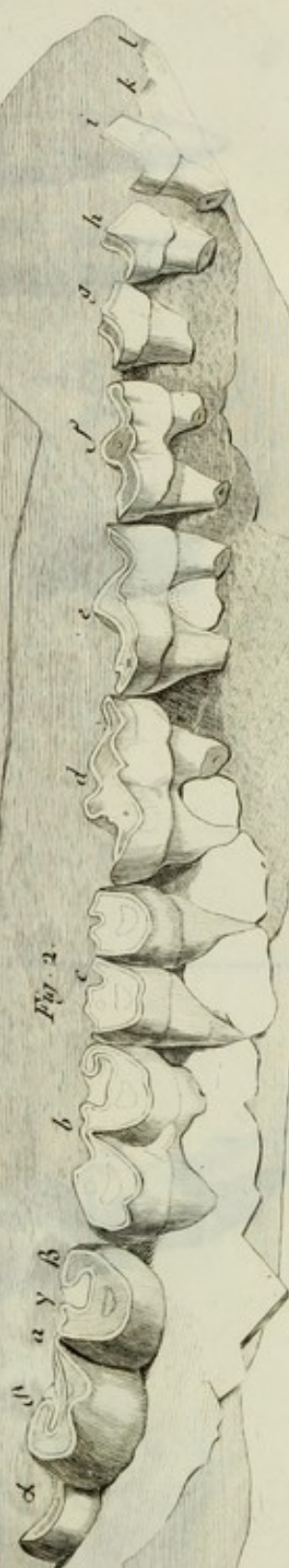
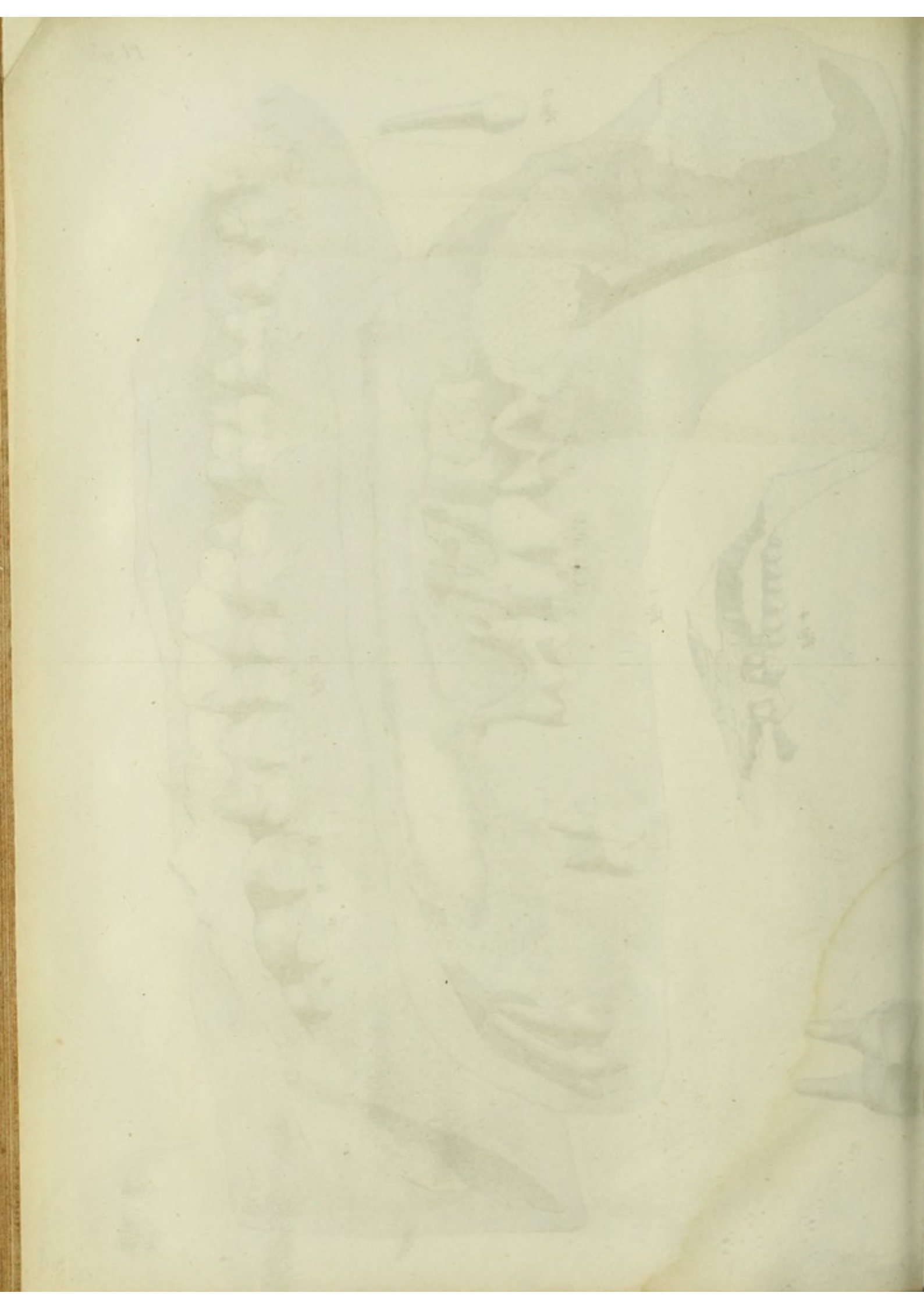
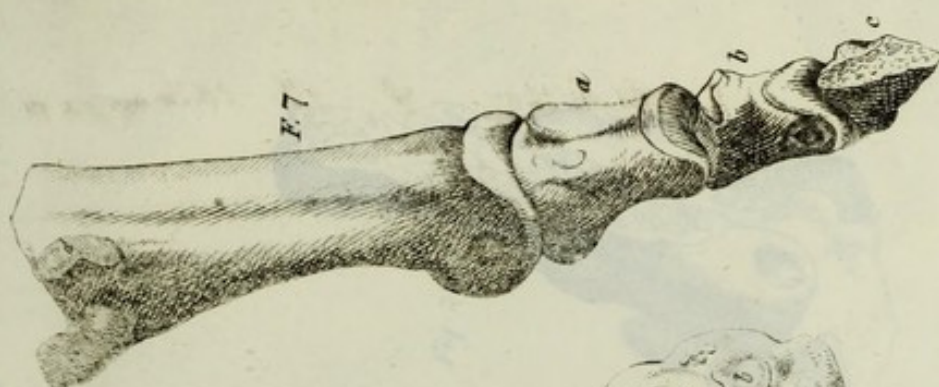
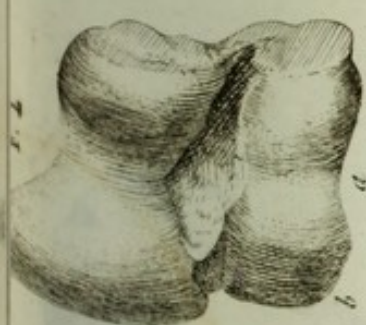
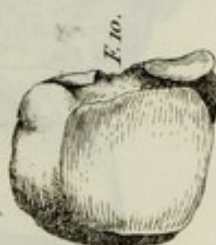
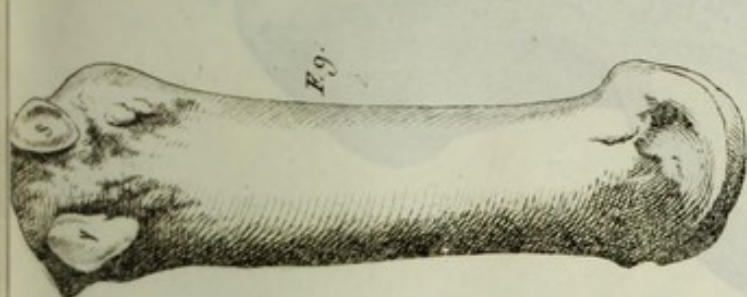
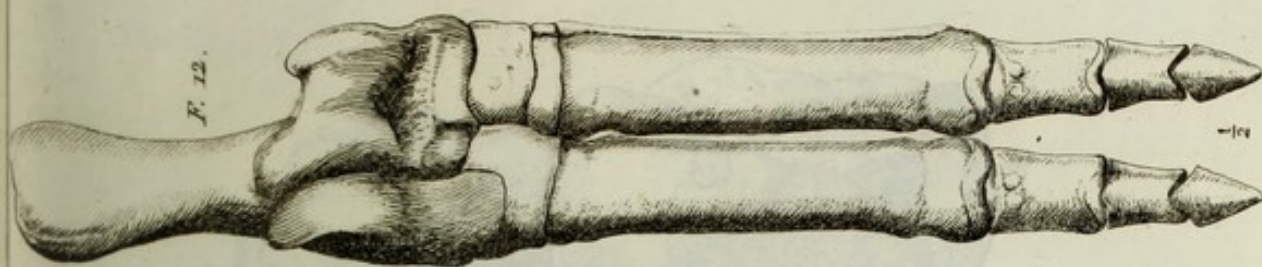


Fig. 4.

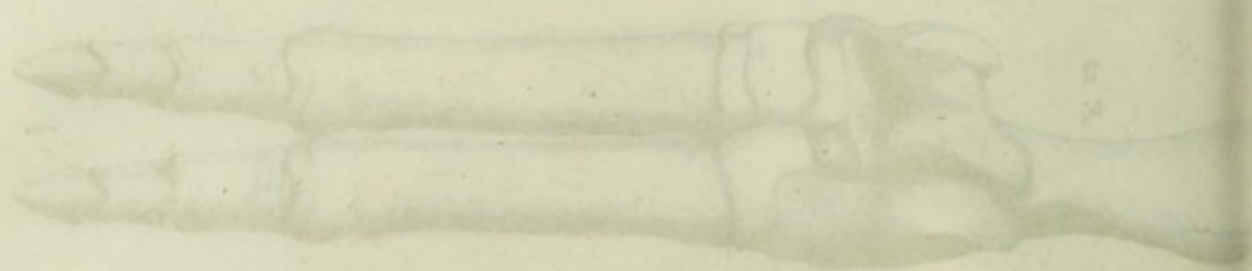






F. 3.





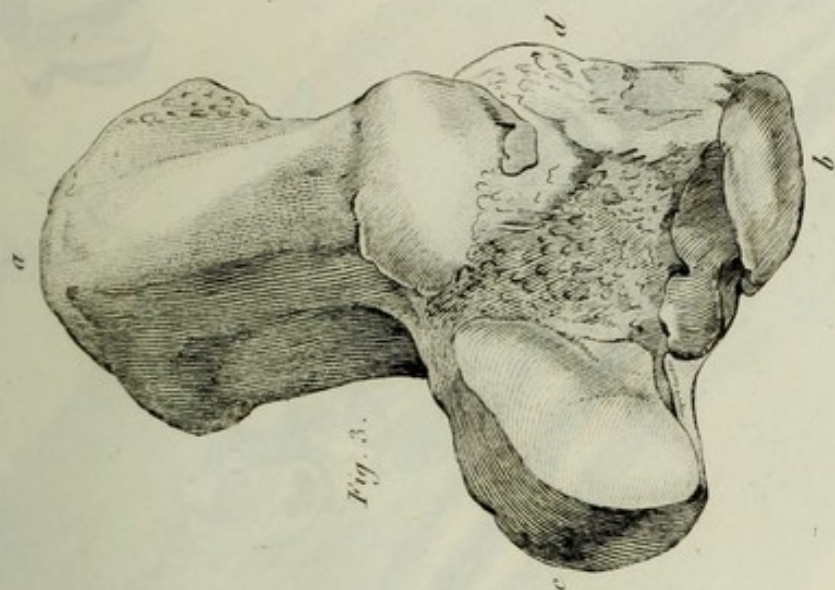


Fig. 3.



Fig. 1.

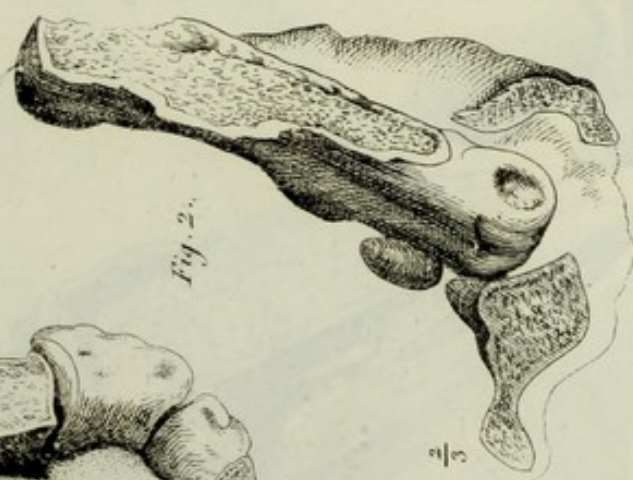
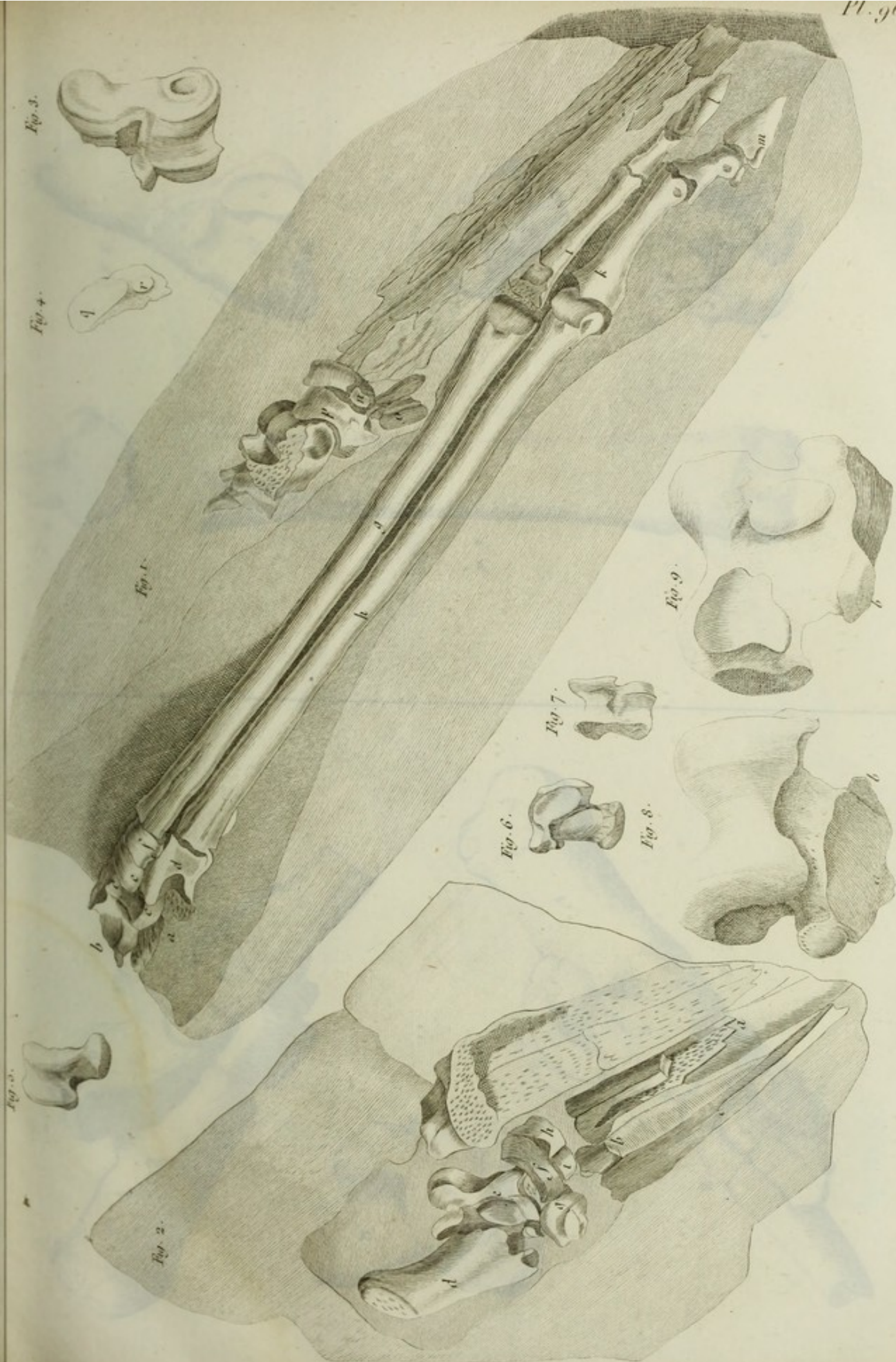


Fig. 2.



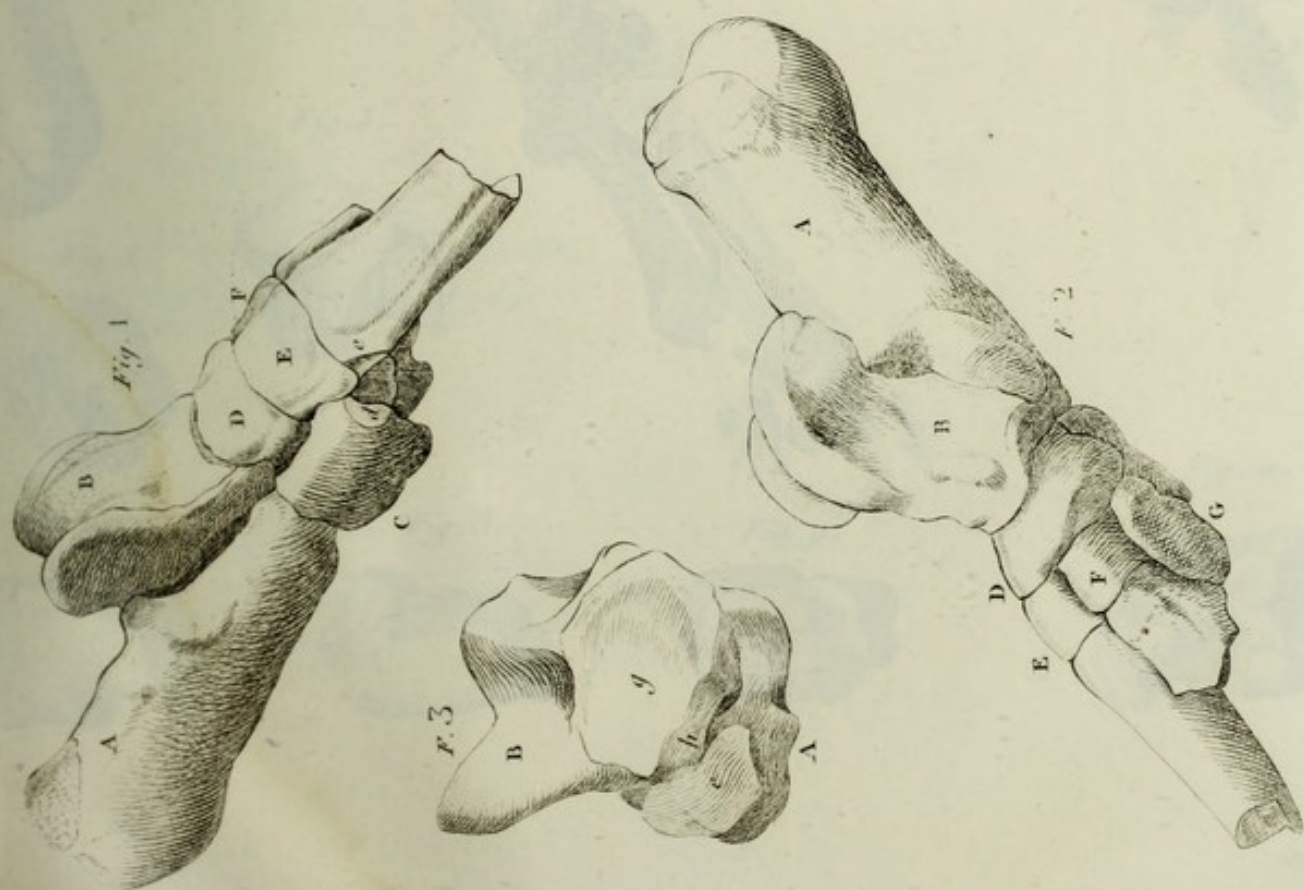
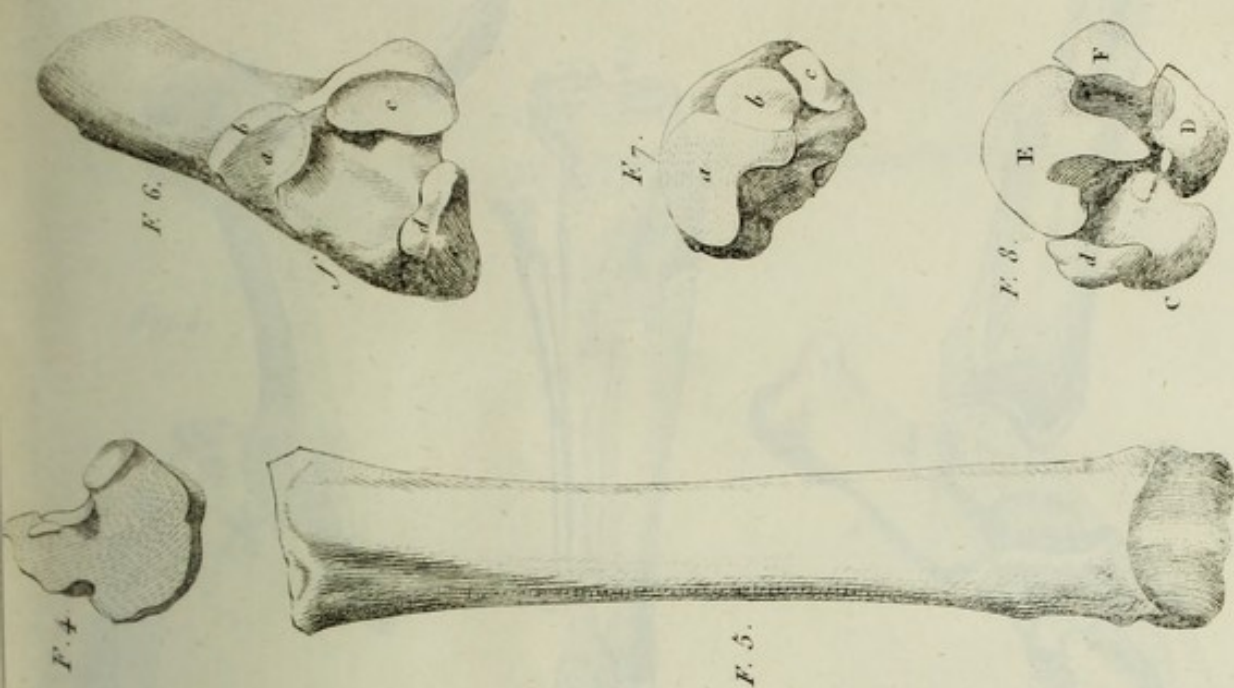


Fig. 4.



Fig. 6.

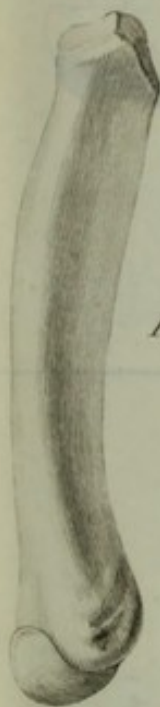


Fig. 5.



Fig. 7.



Fig. 8.



Fig. 9.



Fig. 10.

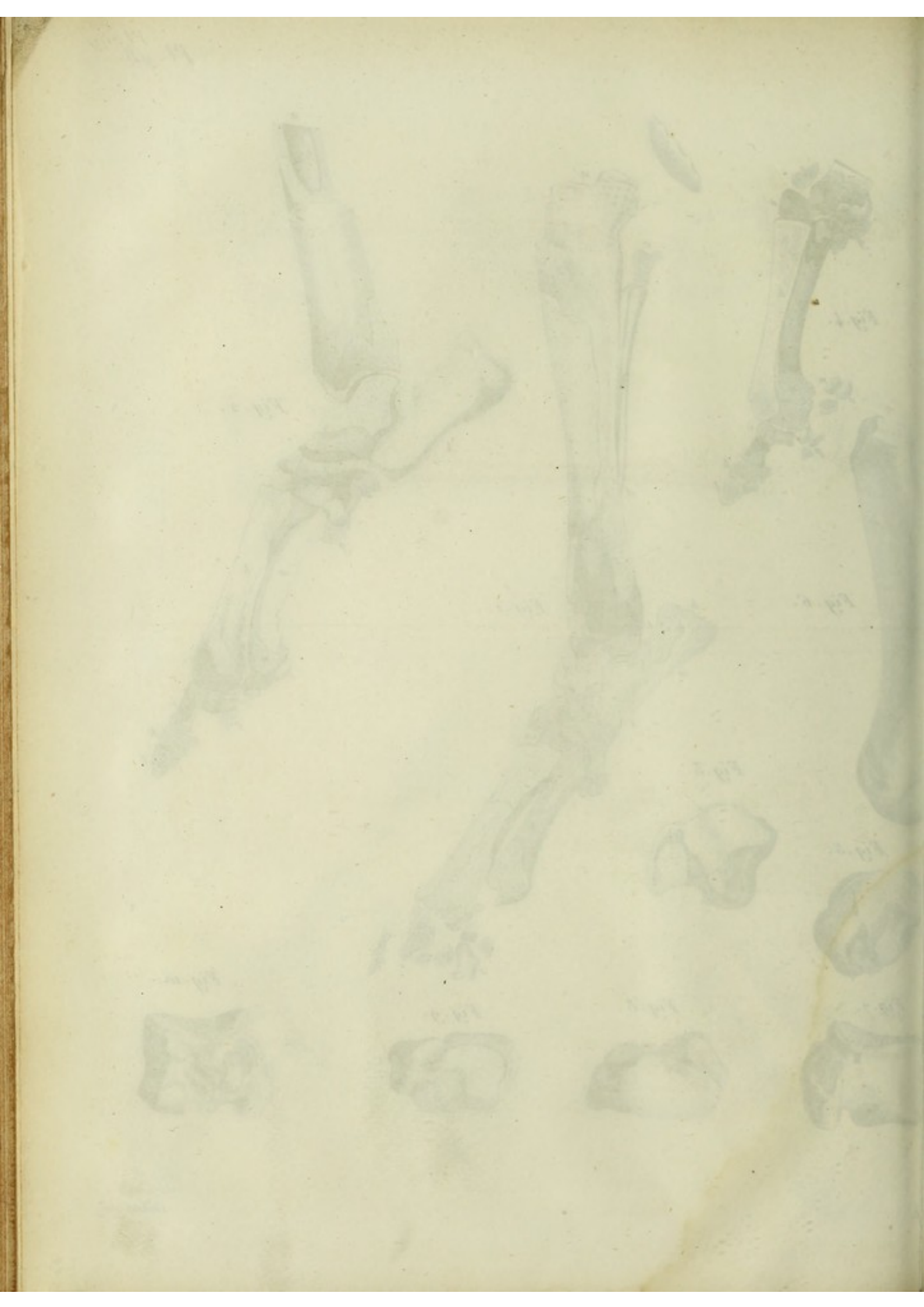


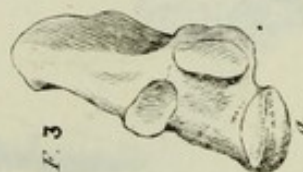
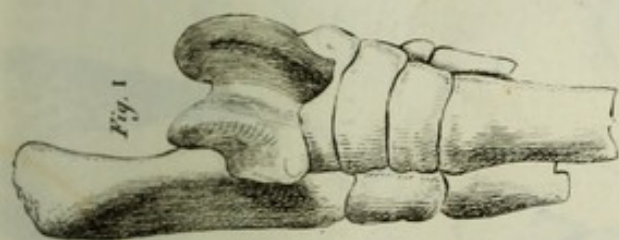
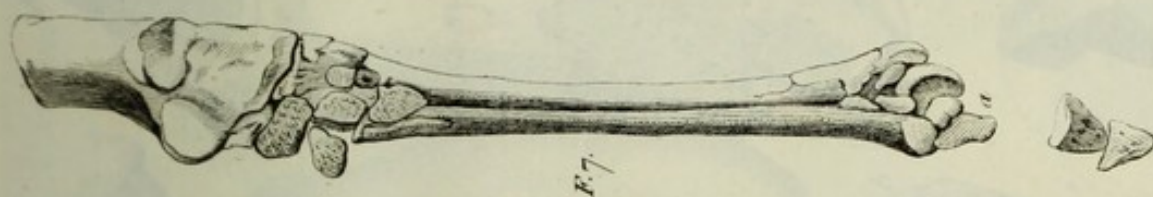
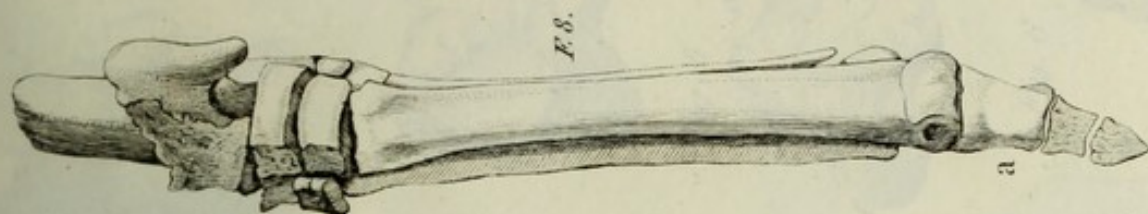
Fig. 1.

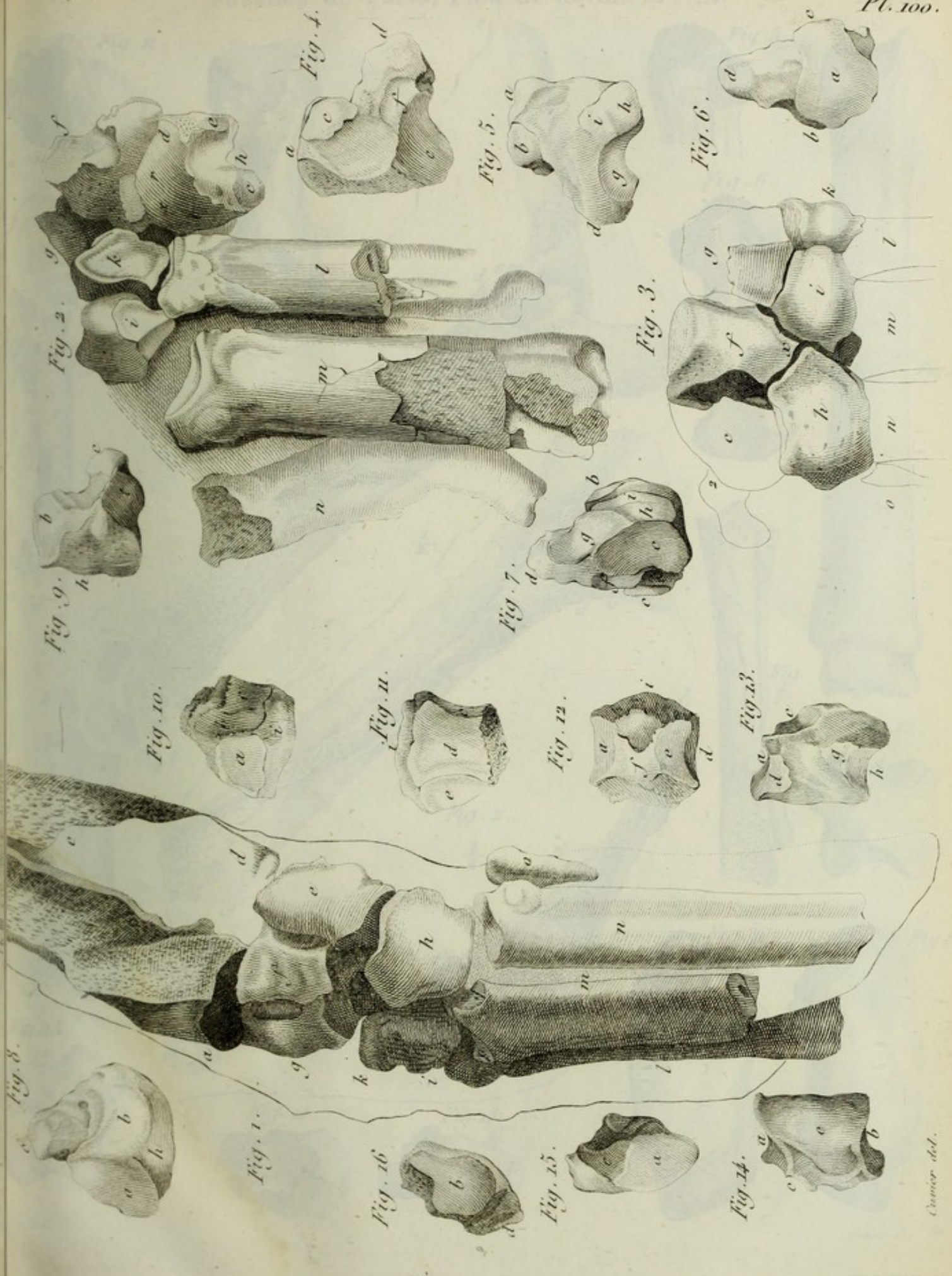


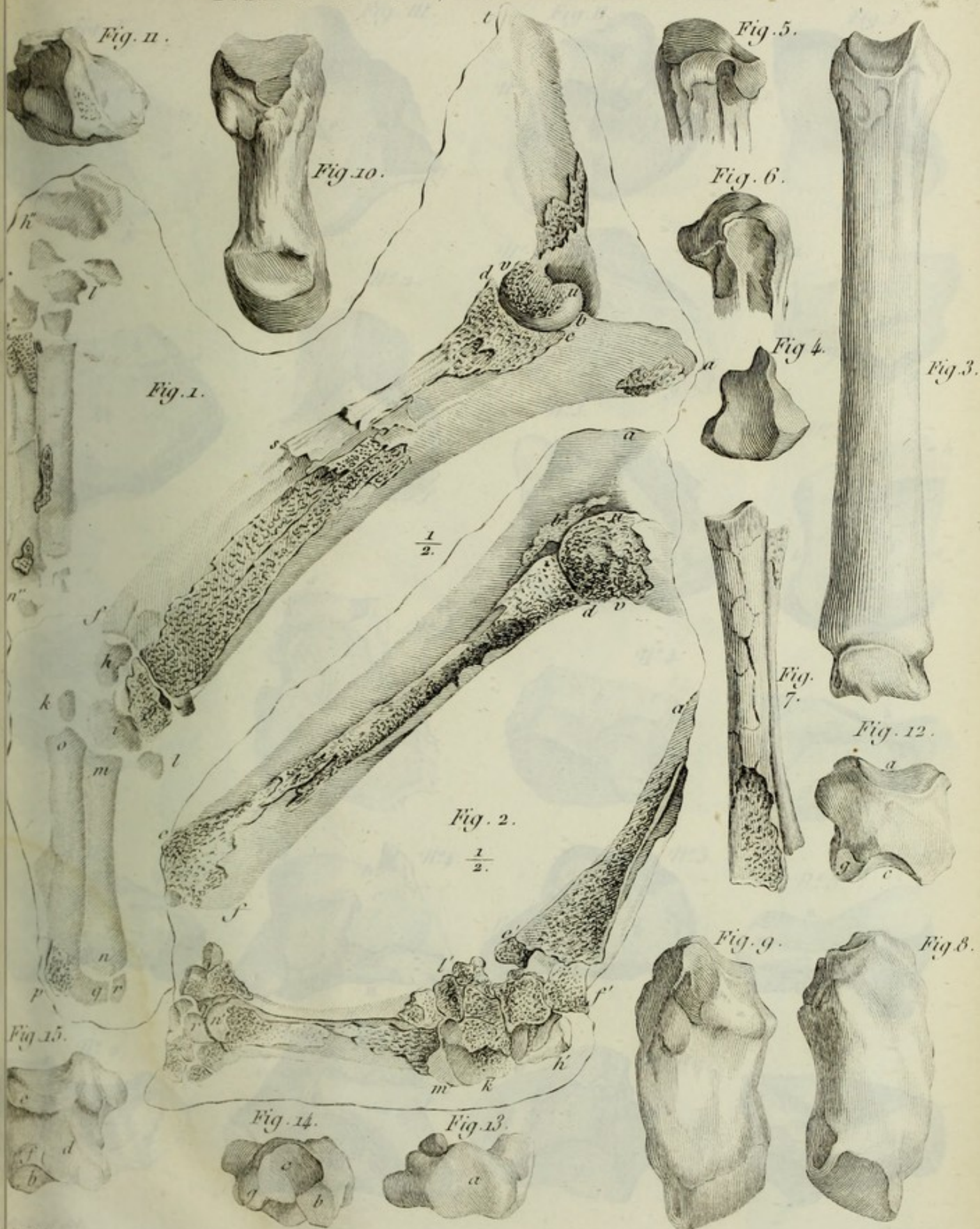
Fig. 2.











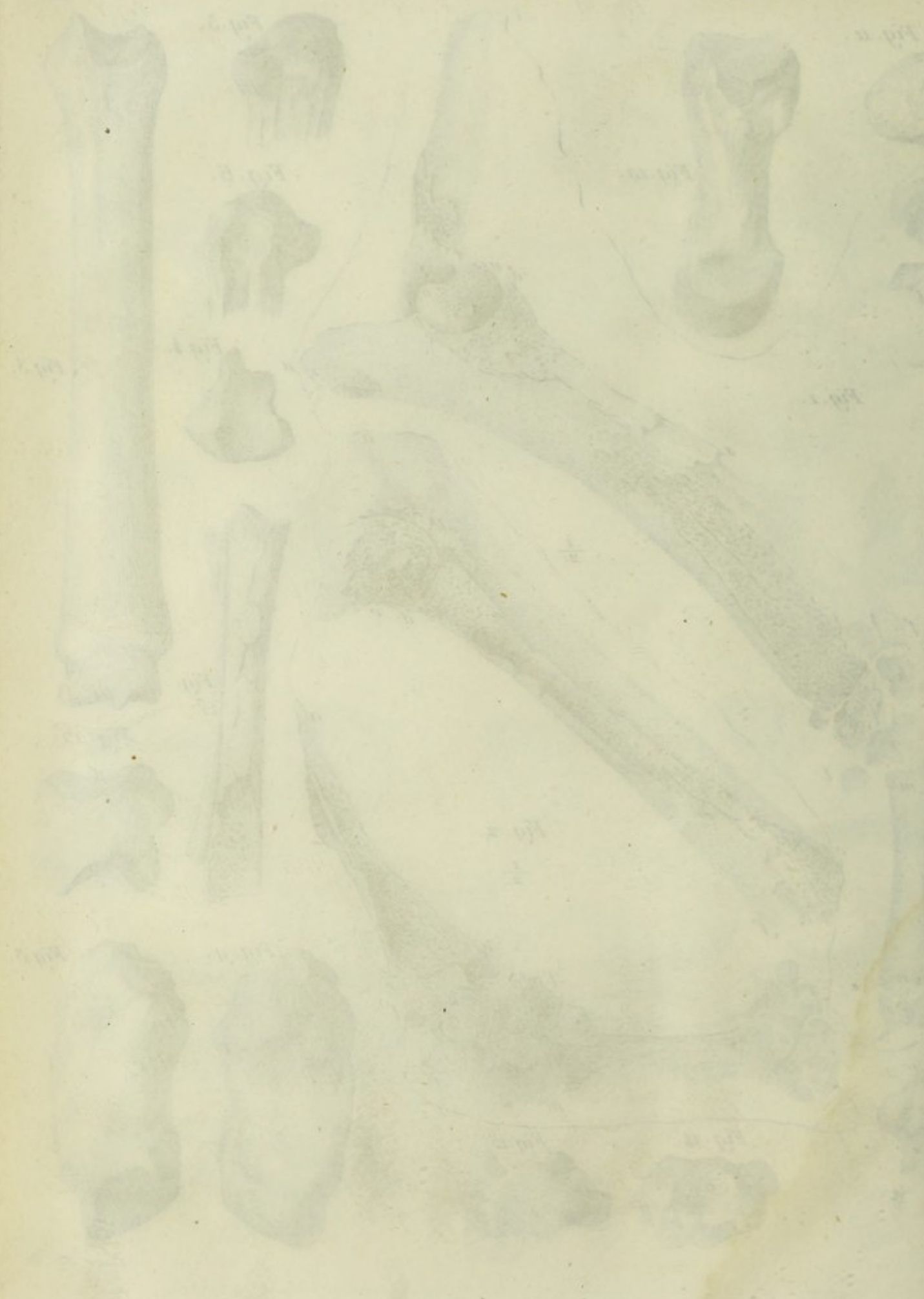


Fig. V.



Fig. III.

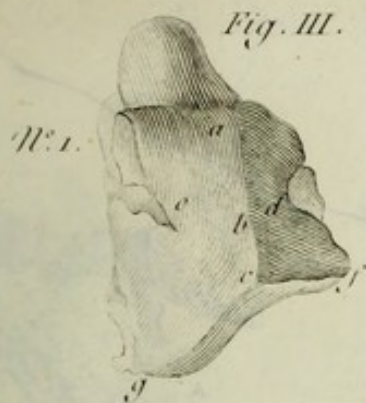


Fig. II.

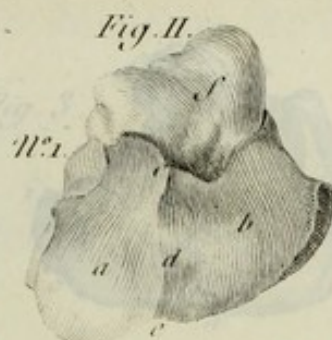
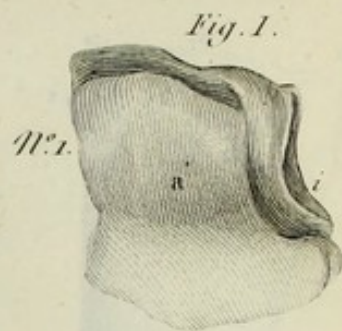


Fig. I.



N°2.



N°2.



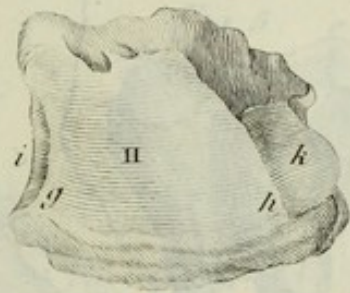
N°2.



N°2.



N°3.



N°3.



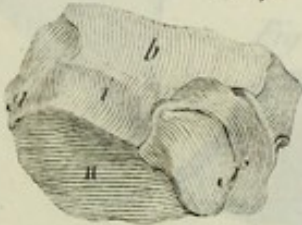
N°3.



N°3.



N°4.



N°4.



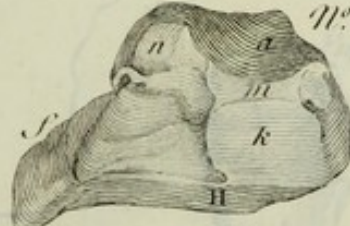
Fig. IV.



N°4.



N°5.



N°5.



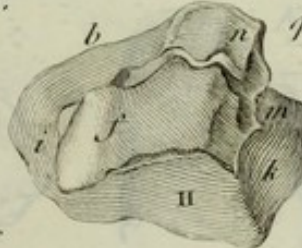
N°2.



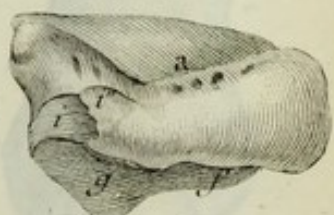
N°5.

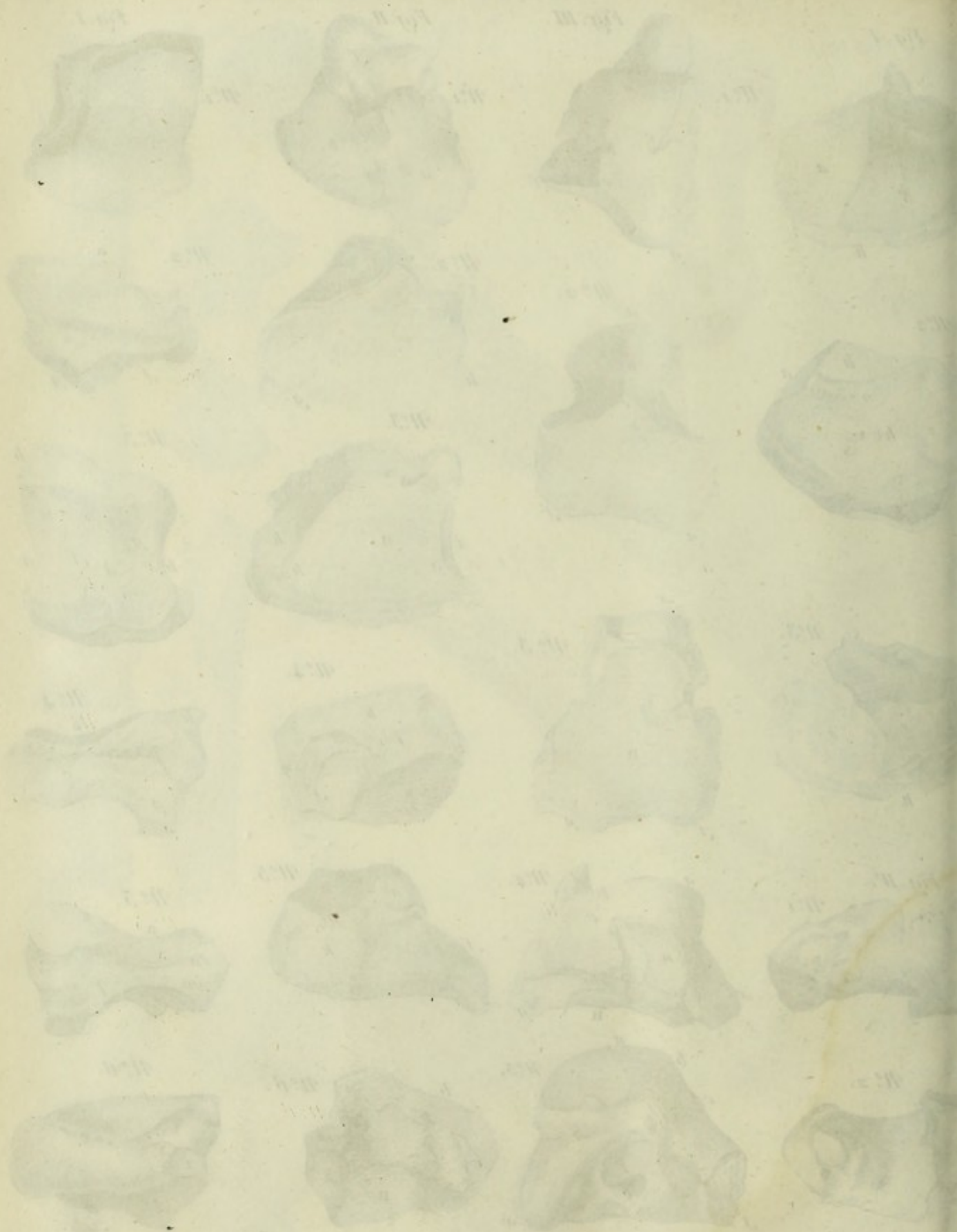


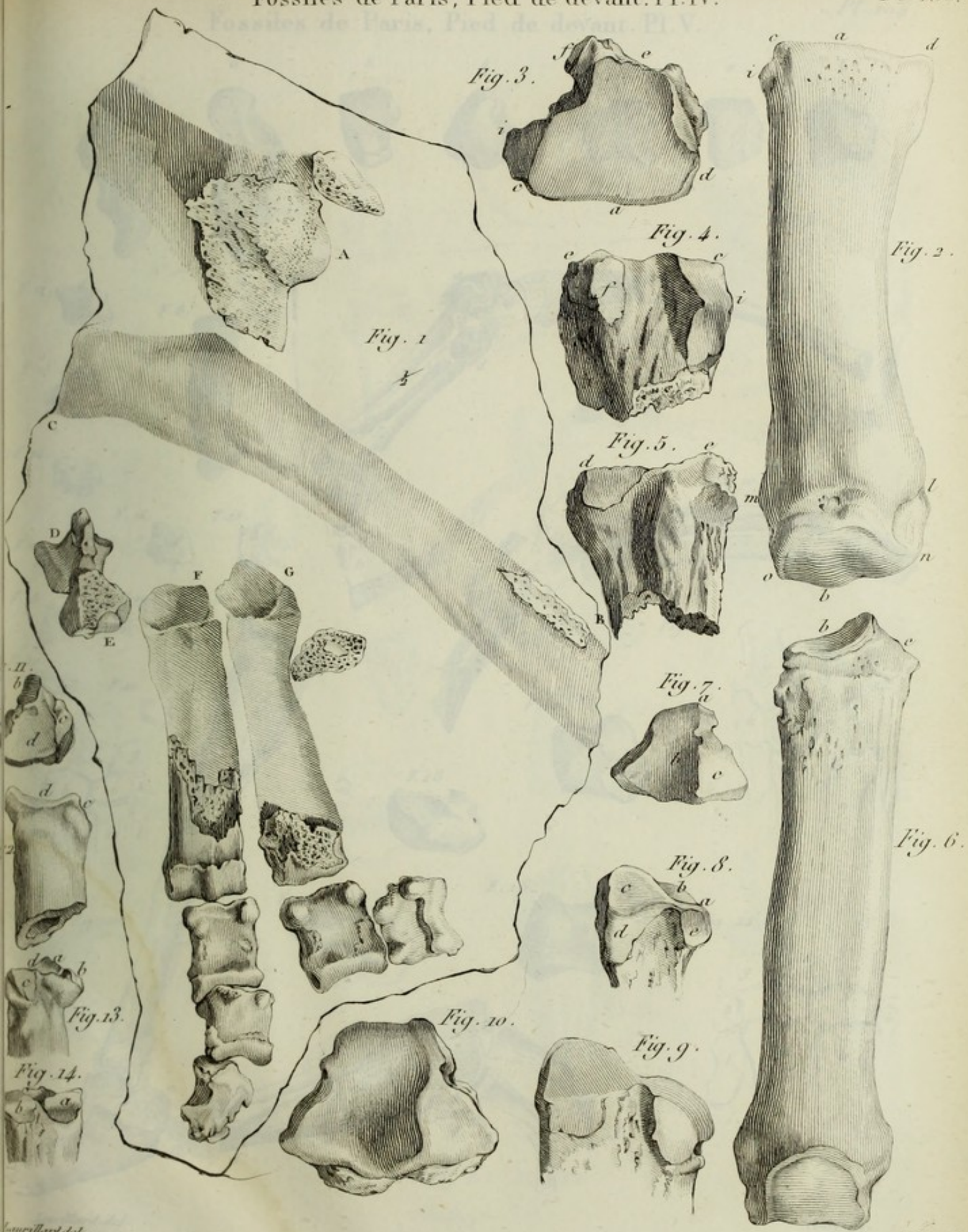
N°6.

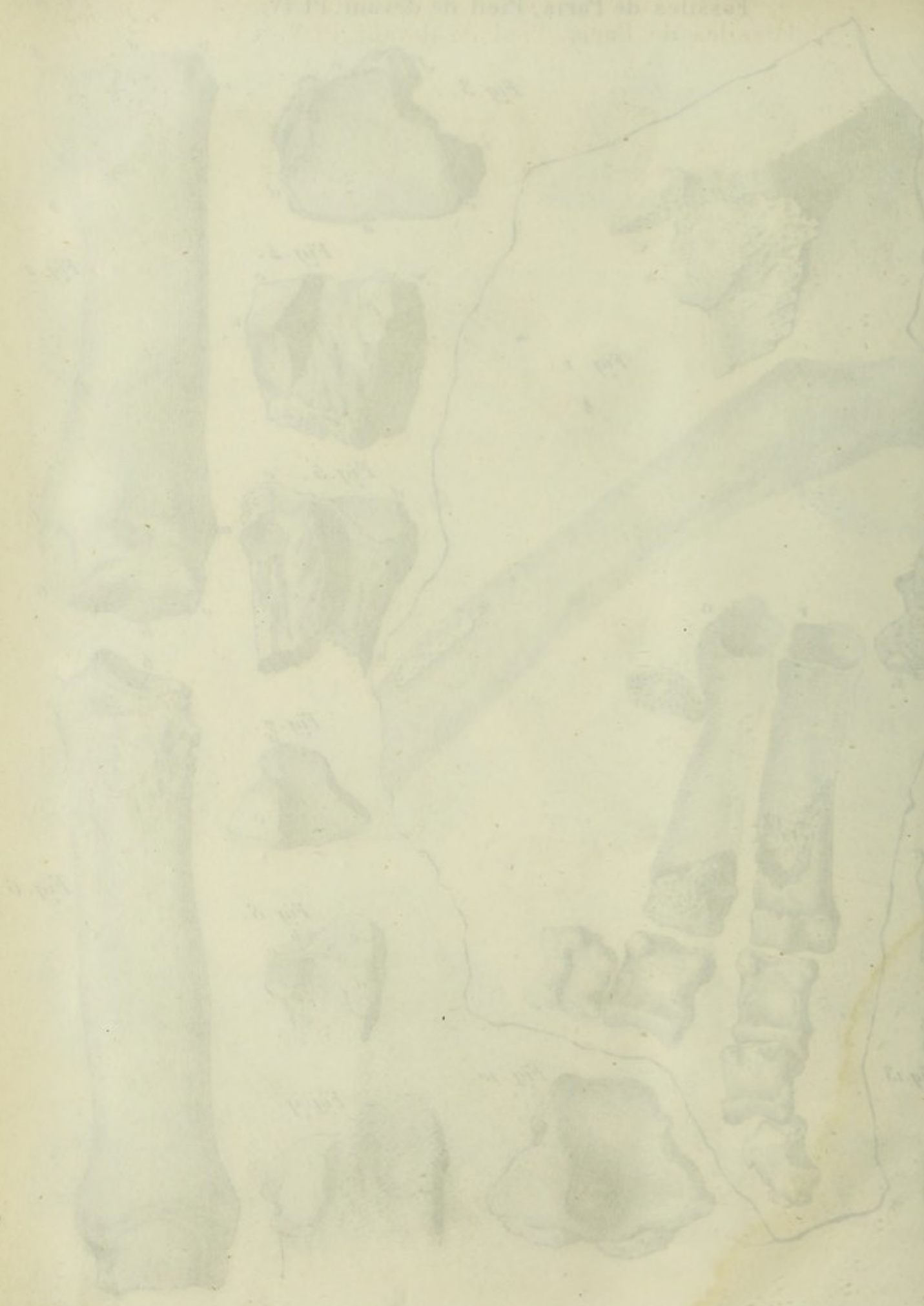


N°6.



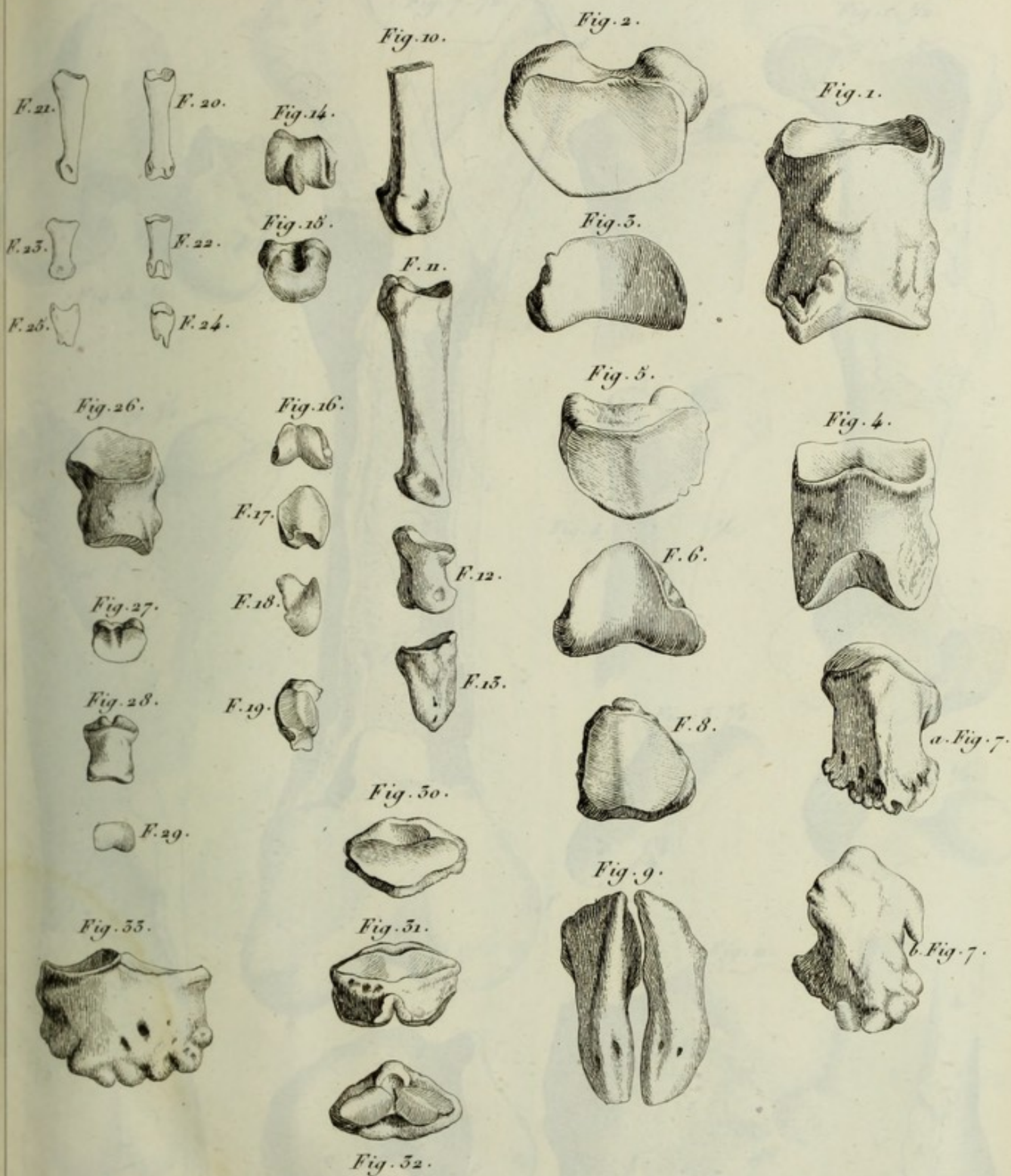






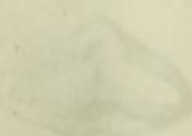
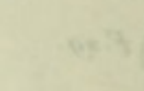
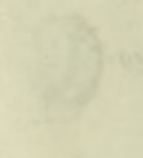
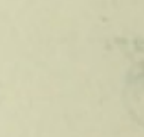
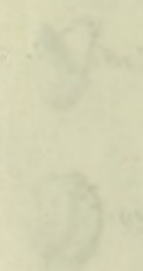
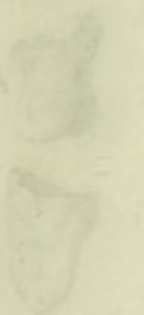
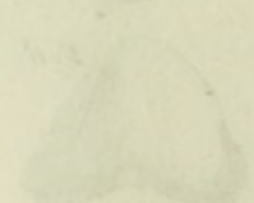
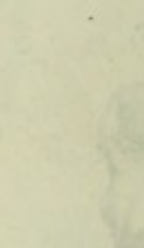
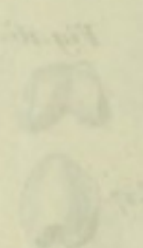
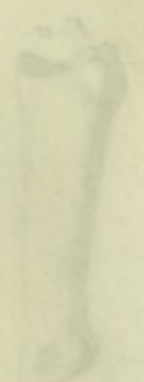
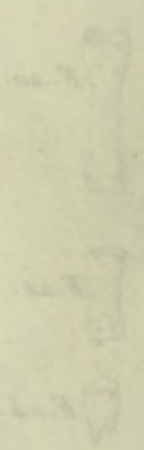
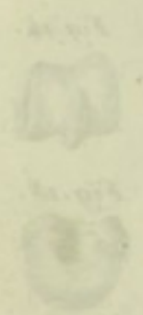
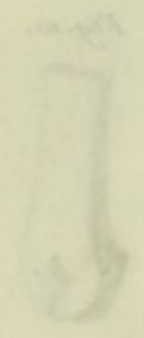




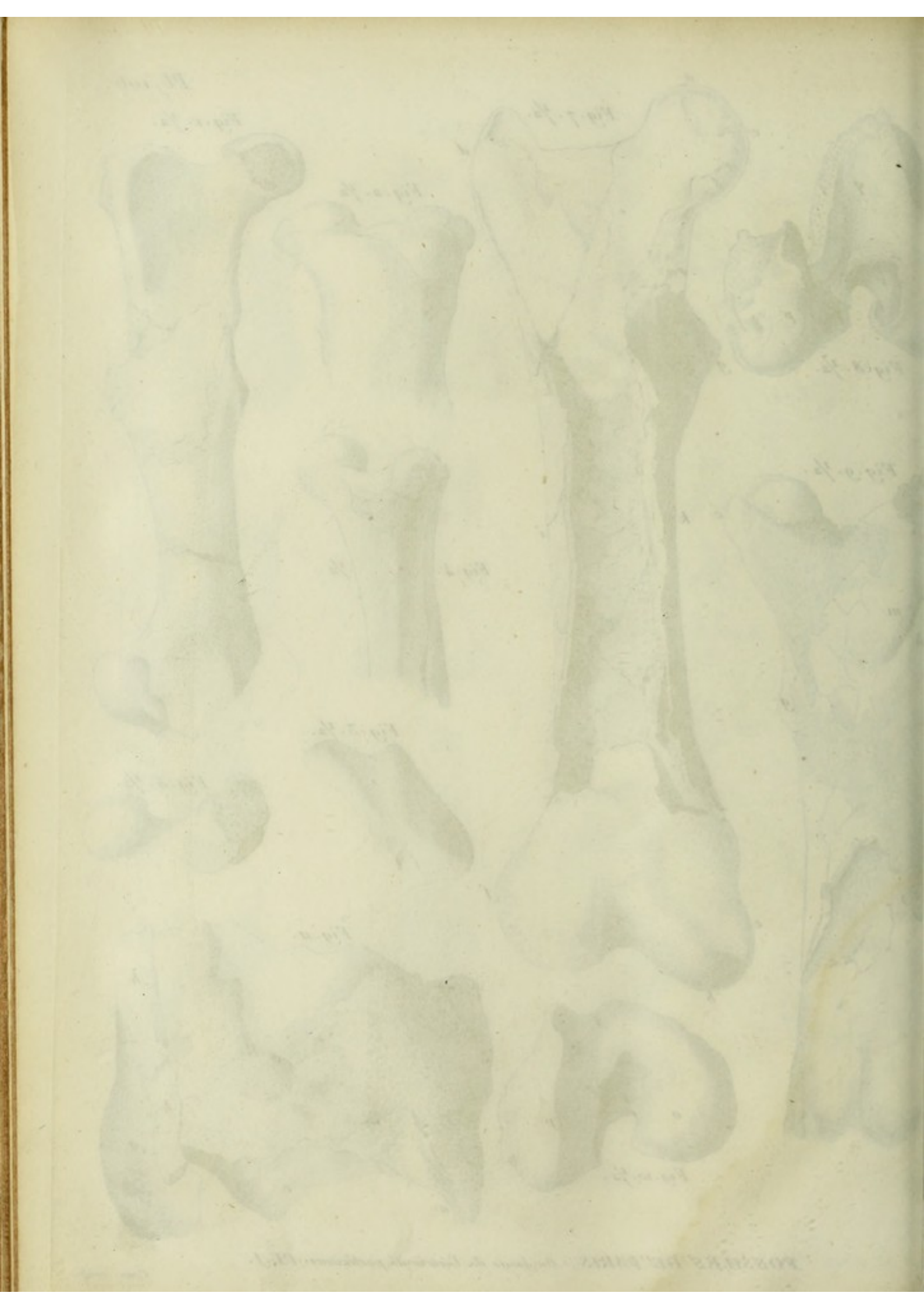


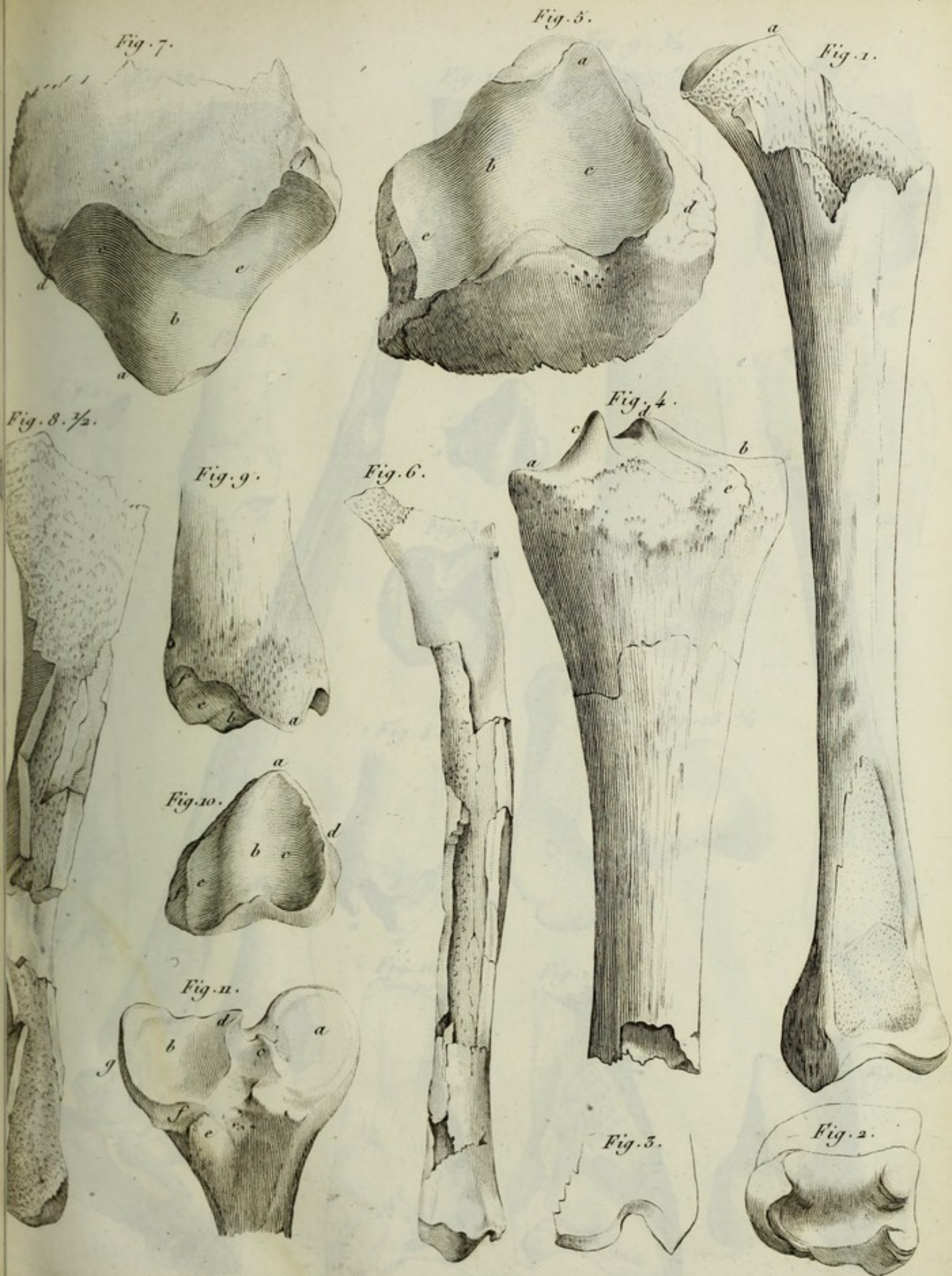
FOSSILES DE PARIS.

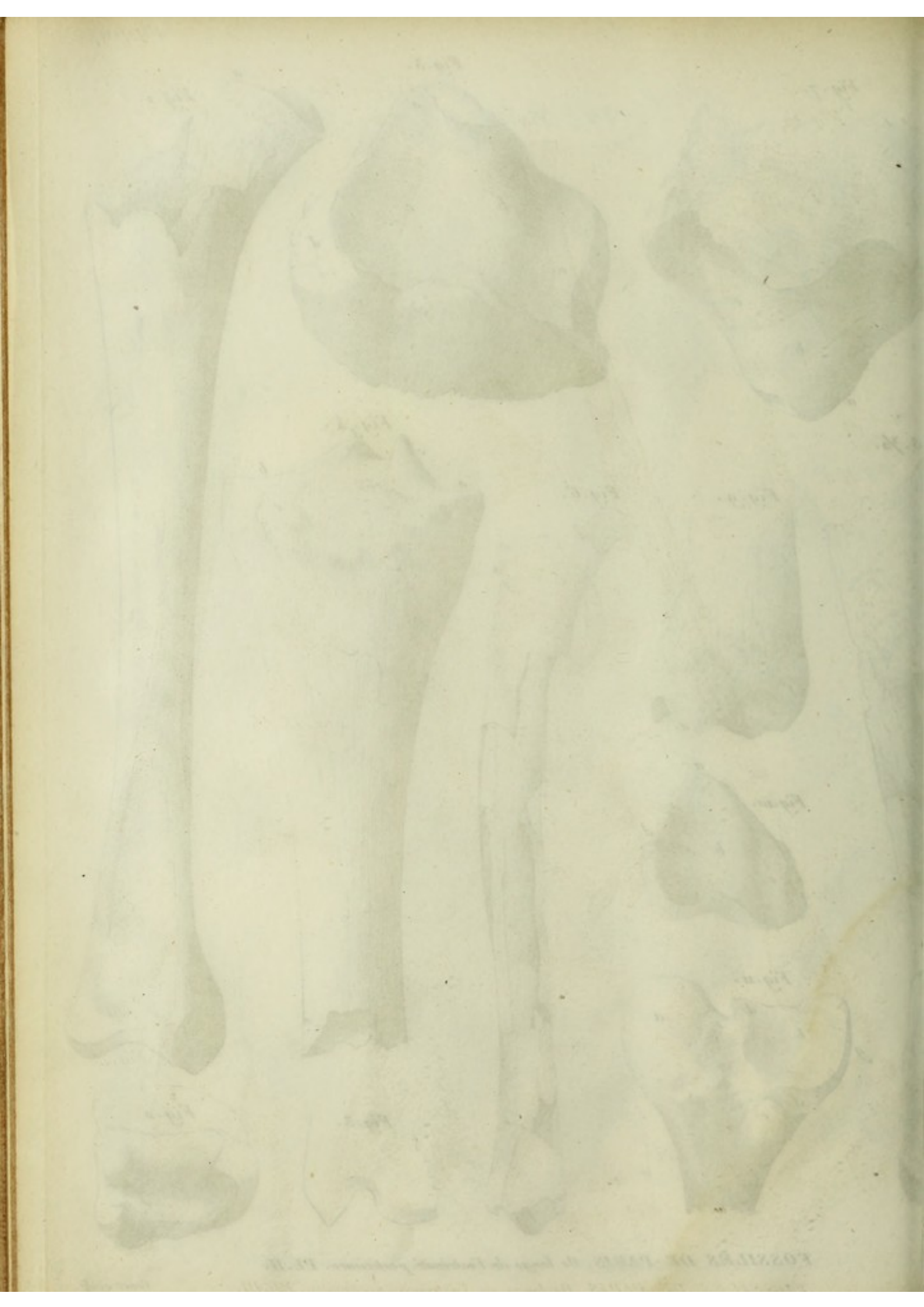
Phalanges.



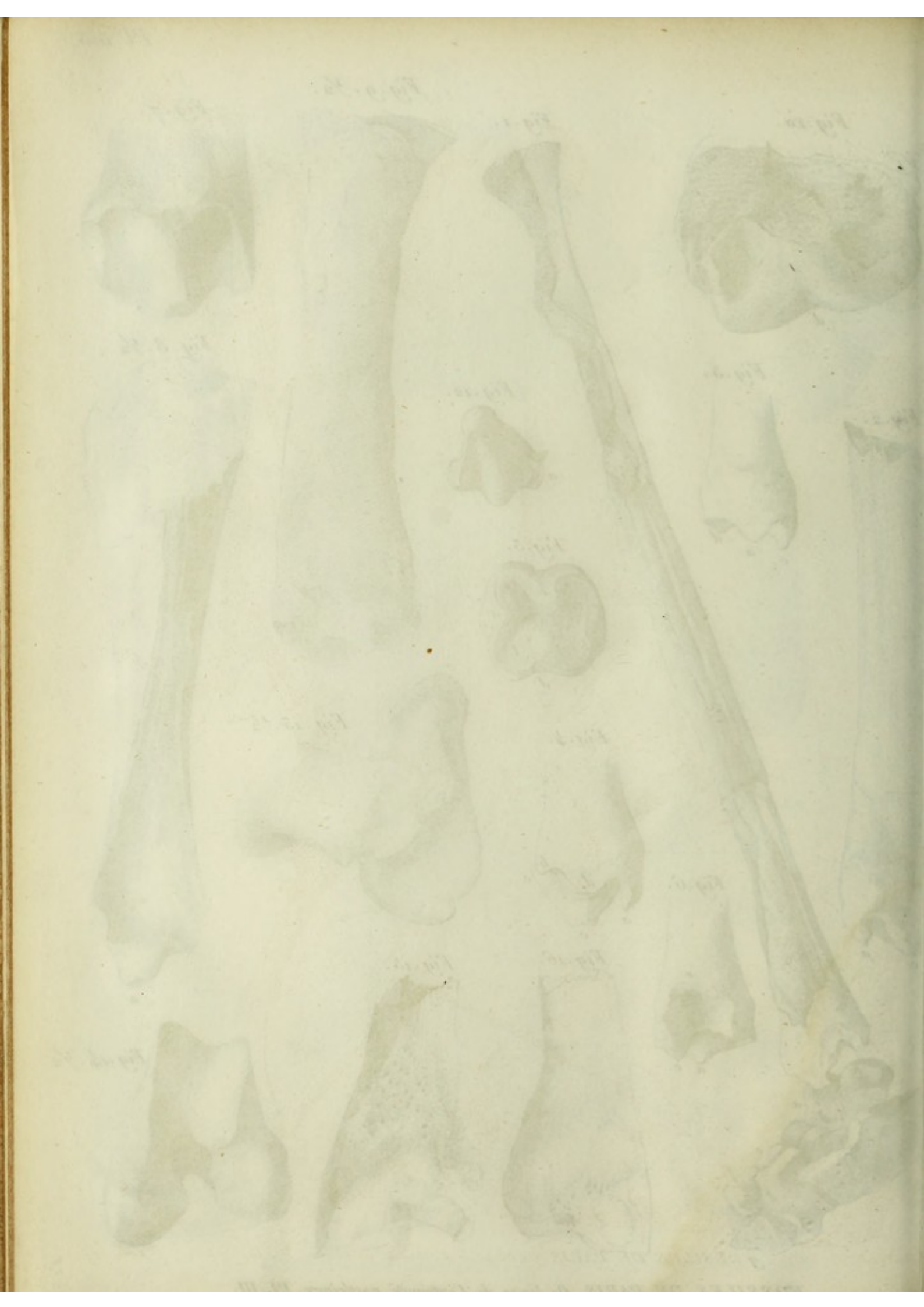












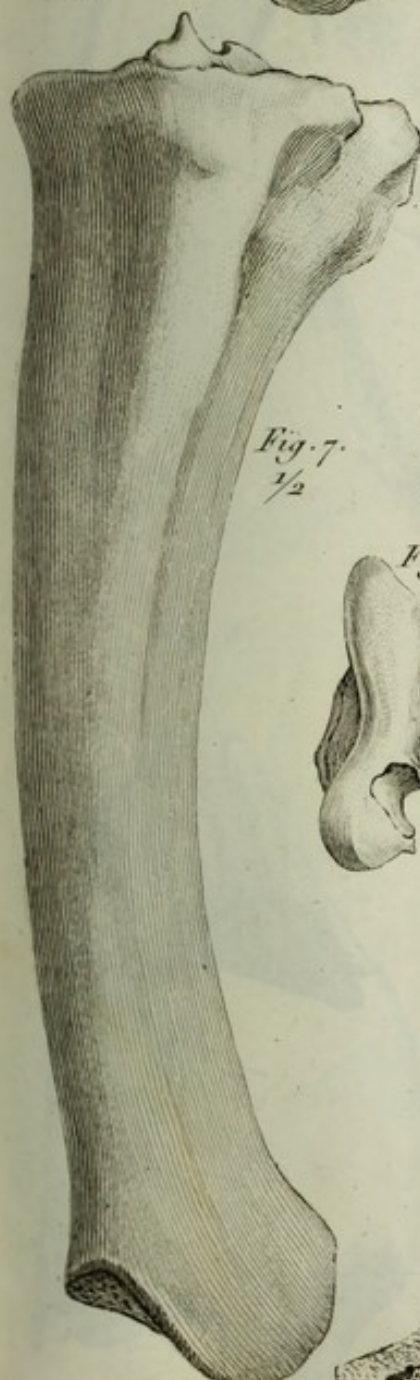
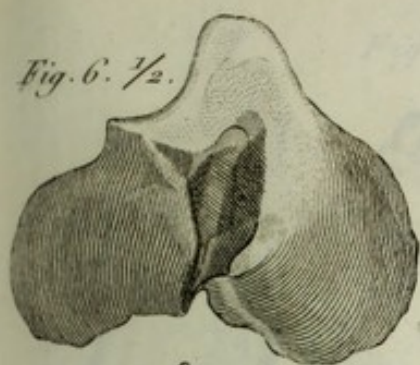


Fig. 5.
1/2.



Fig. 2.

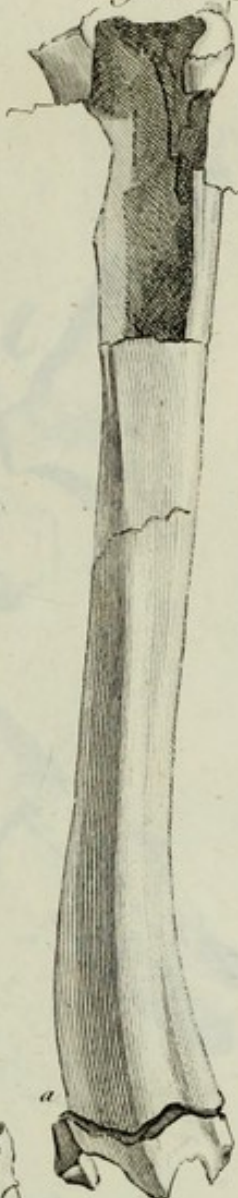


Fig. 1.

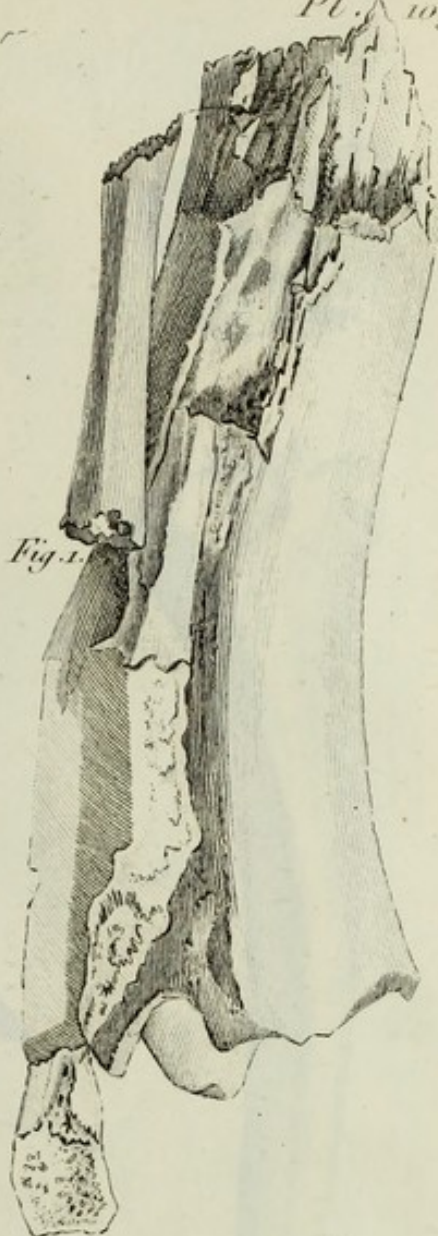


Fig. 9. 1/5.

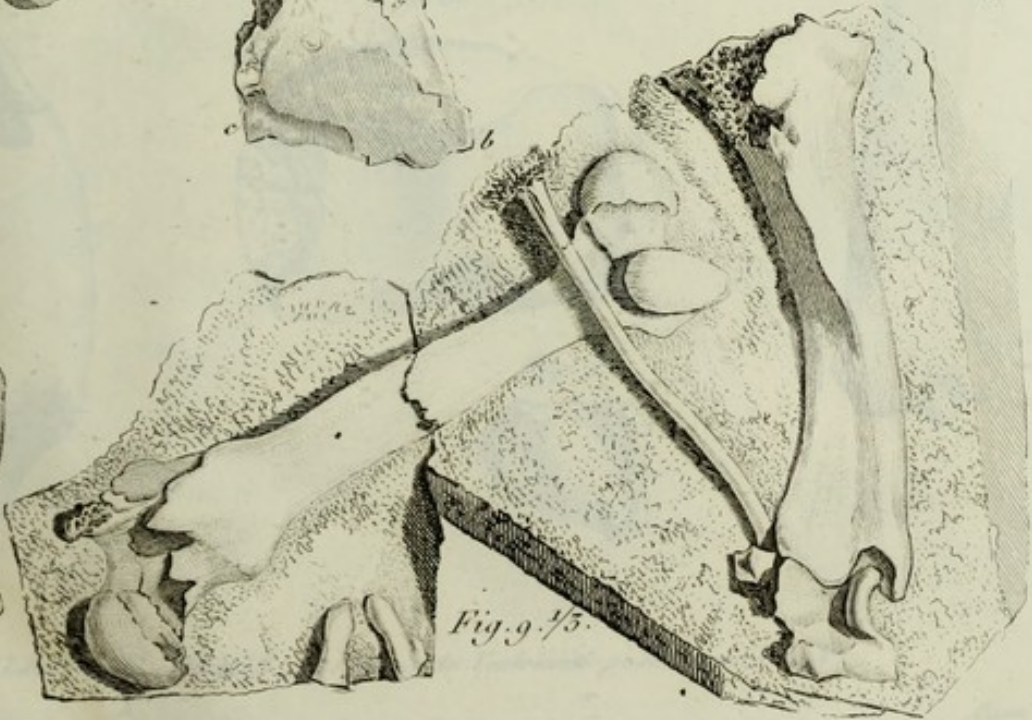


Fig. 8. 1/2.



Fig. 1. $\frac{1}{3}$.

Fig. 5.

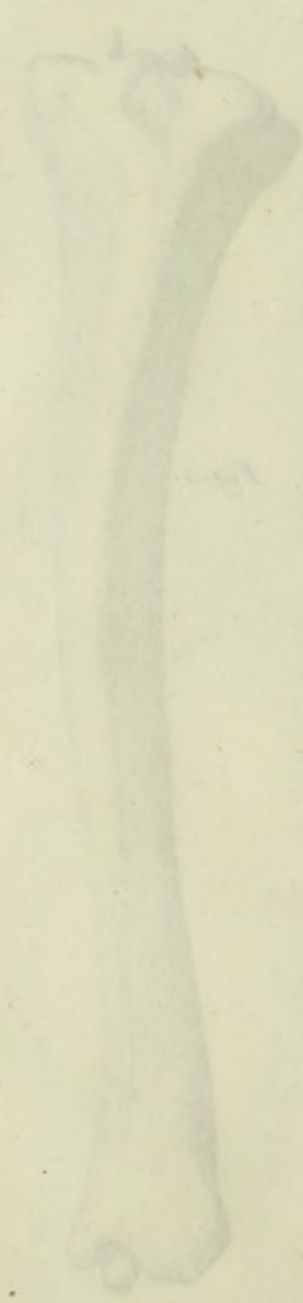
Fig. 2.

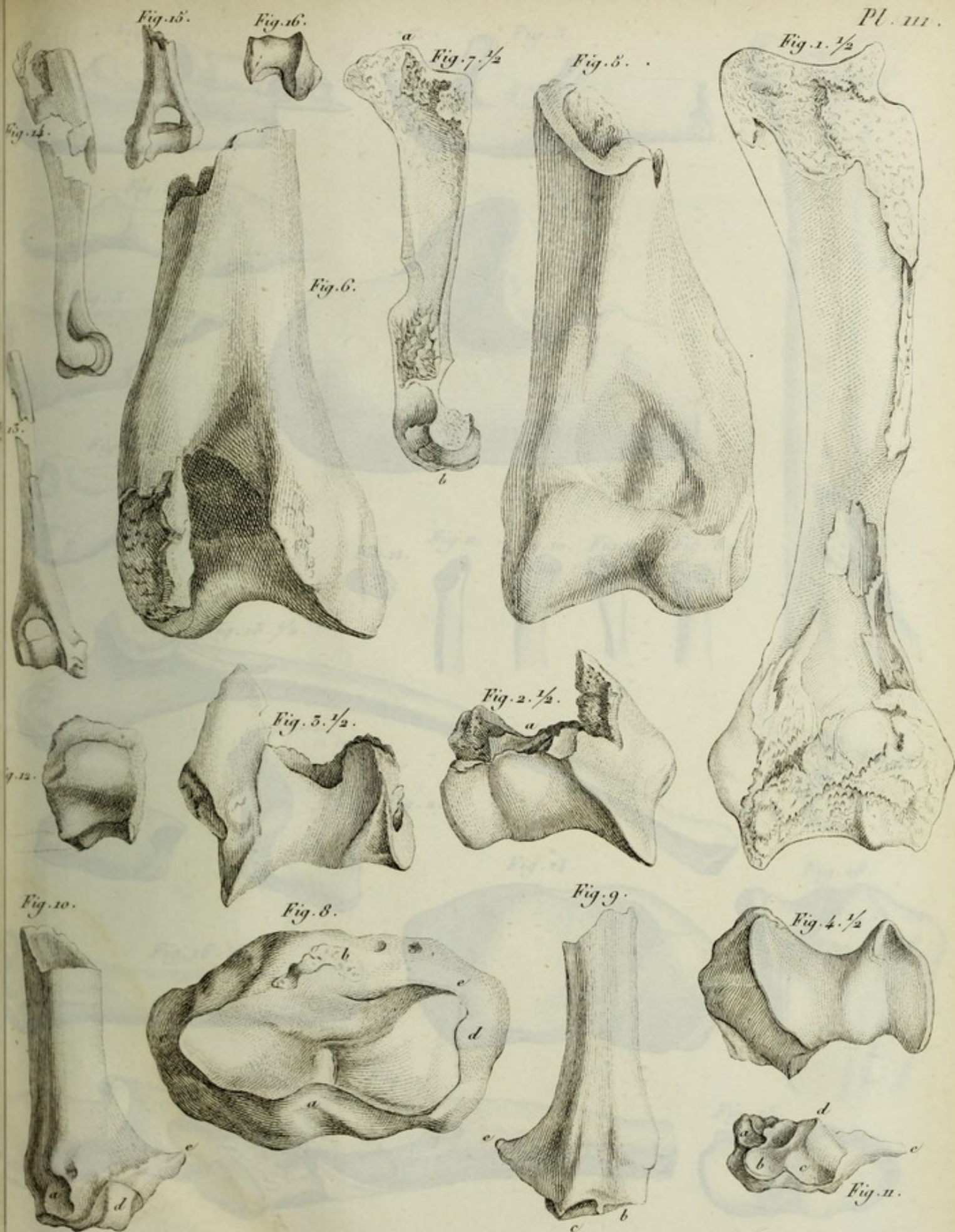
Fig. 3.

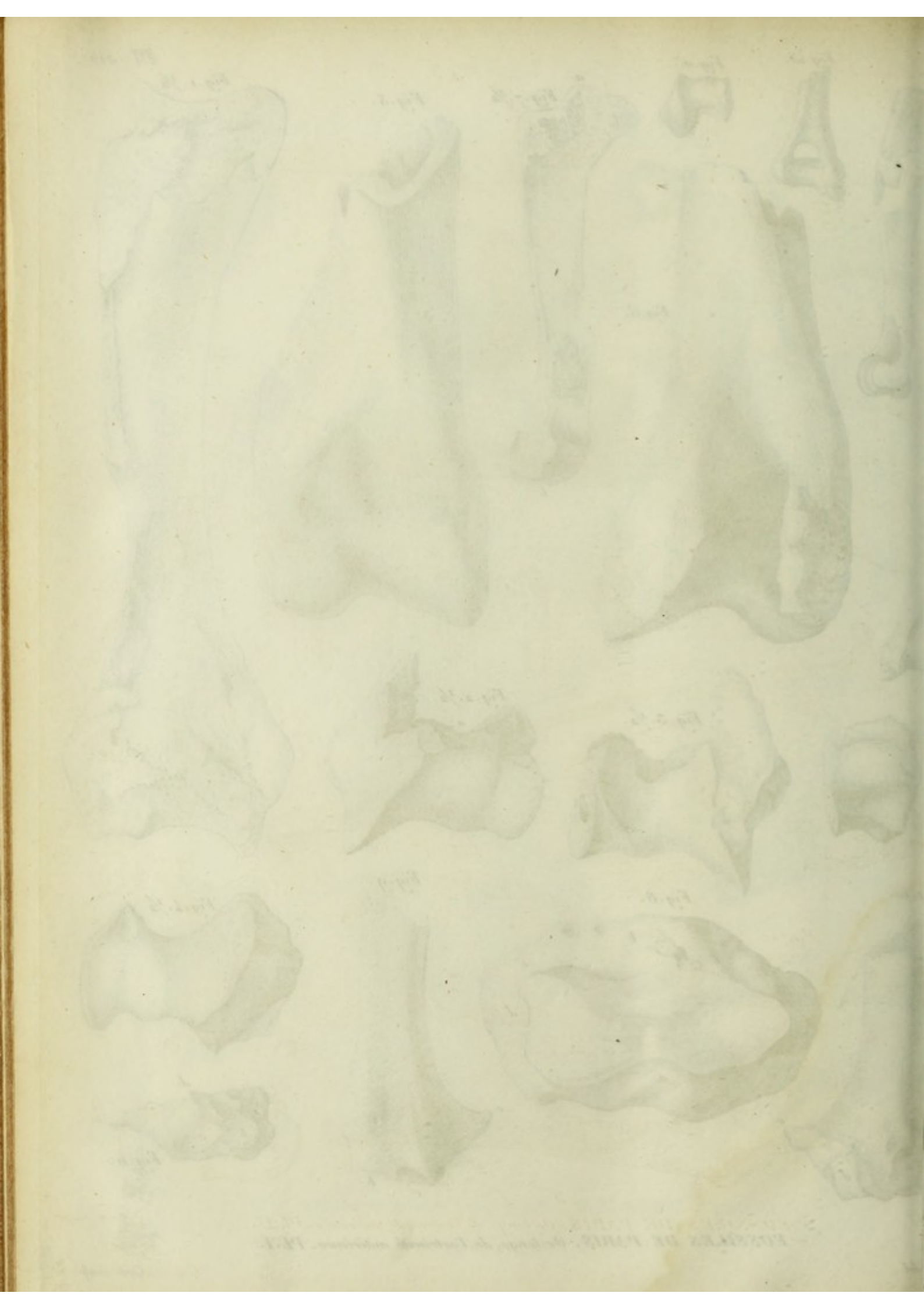
Fig. 6.

Fig. 4.

FOSSILES DE PARIS, Os longs de l'extrémité postérieure. PL. V.







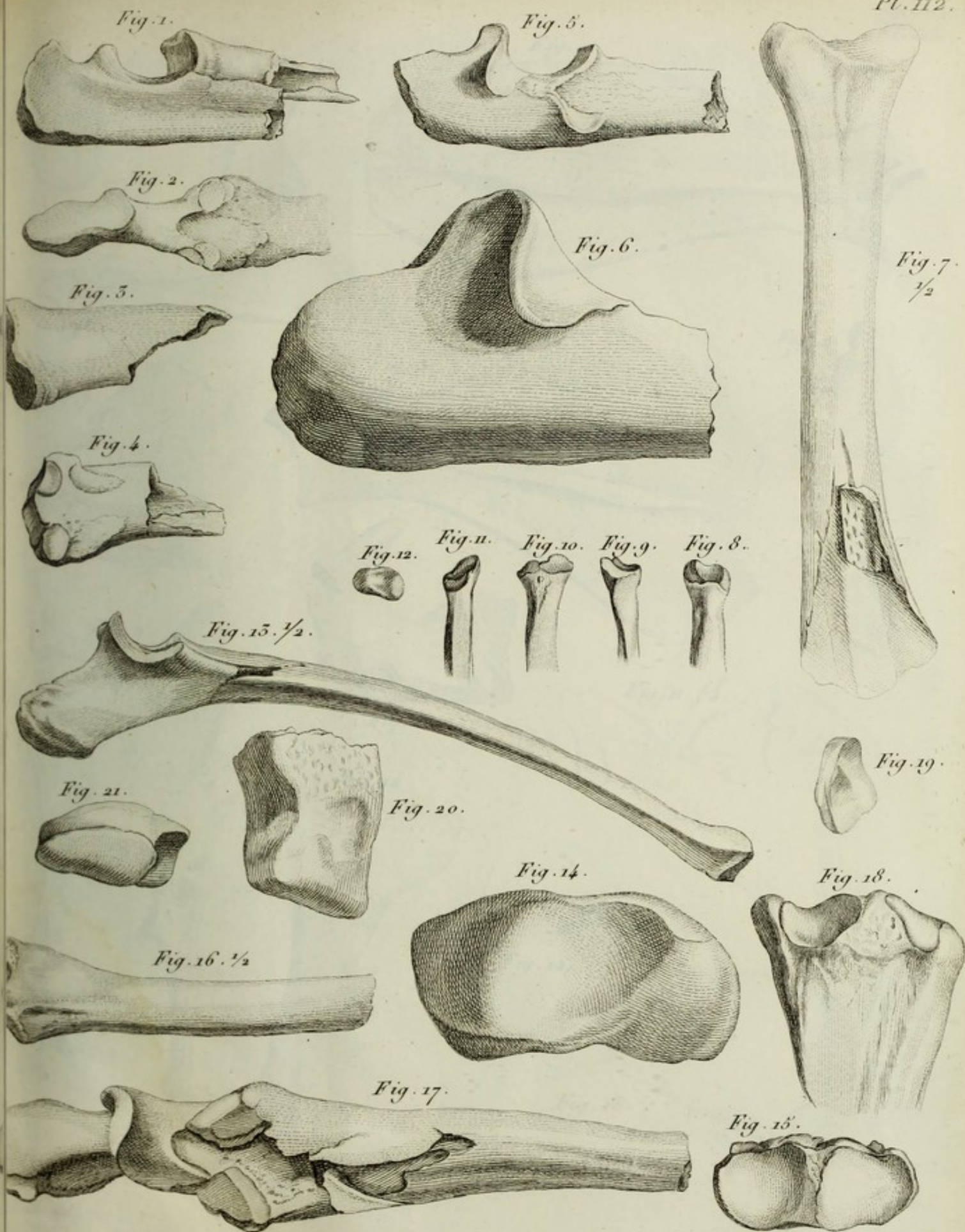




Fig. 1.



Fig. 4.



Fig. 5.



Fig. 6.



Fig. 2.



Fig. 3.



Fig. 7.



Fig. 10.



Fig. 8.



Fig. 11. 1/4.



Fig. 14.



Fig. 12.



Fig. 15.



Fig. 16.



Fig. 9.



Fig. 13.



Fig. 1.

Fig. 4.

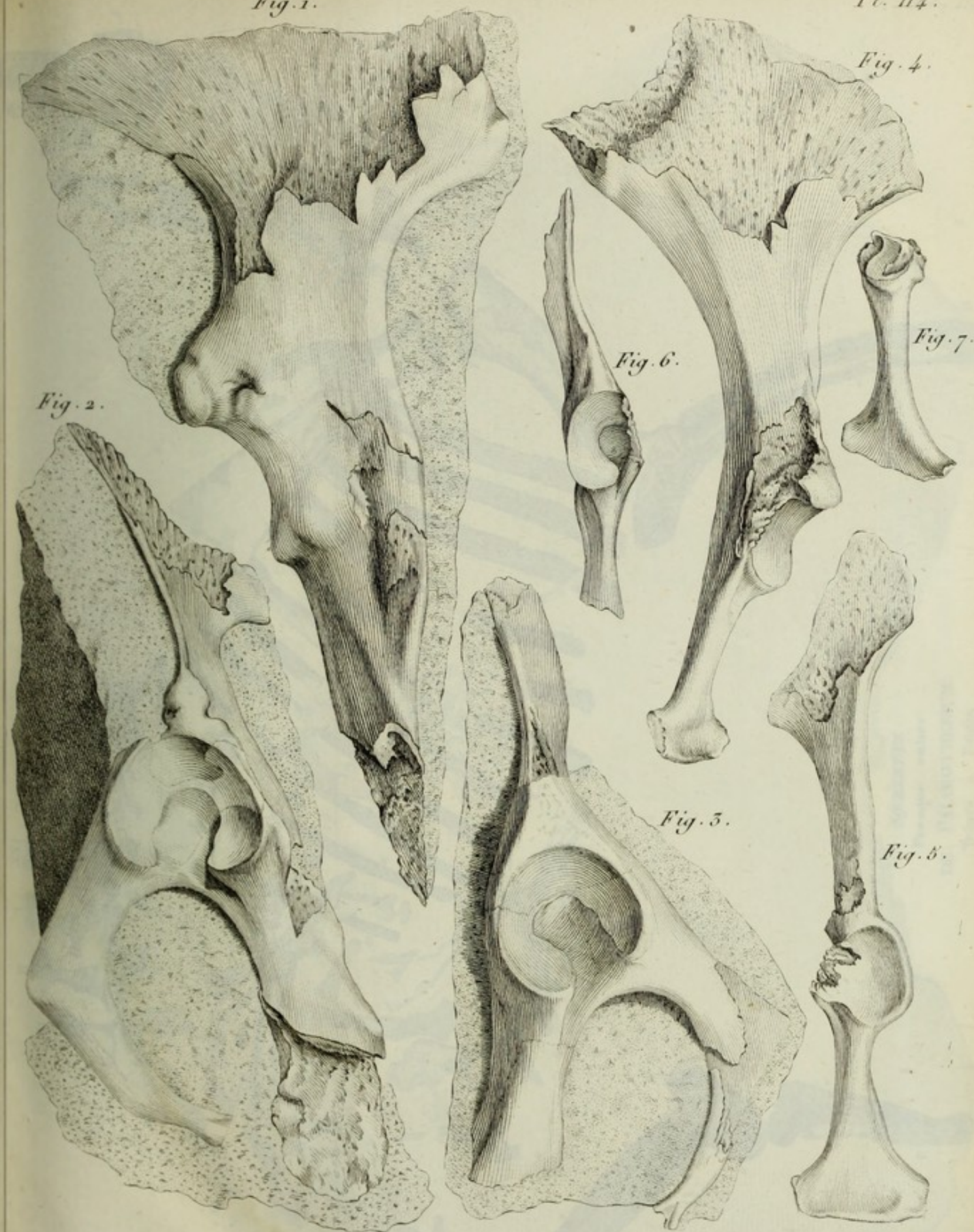
Fig. 2.

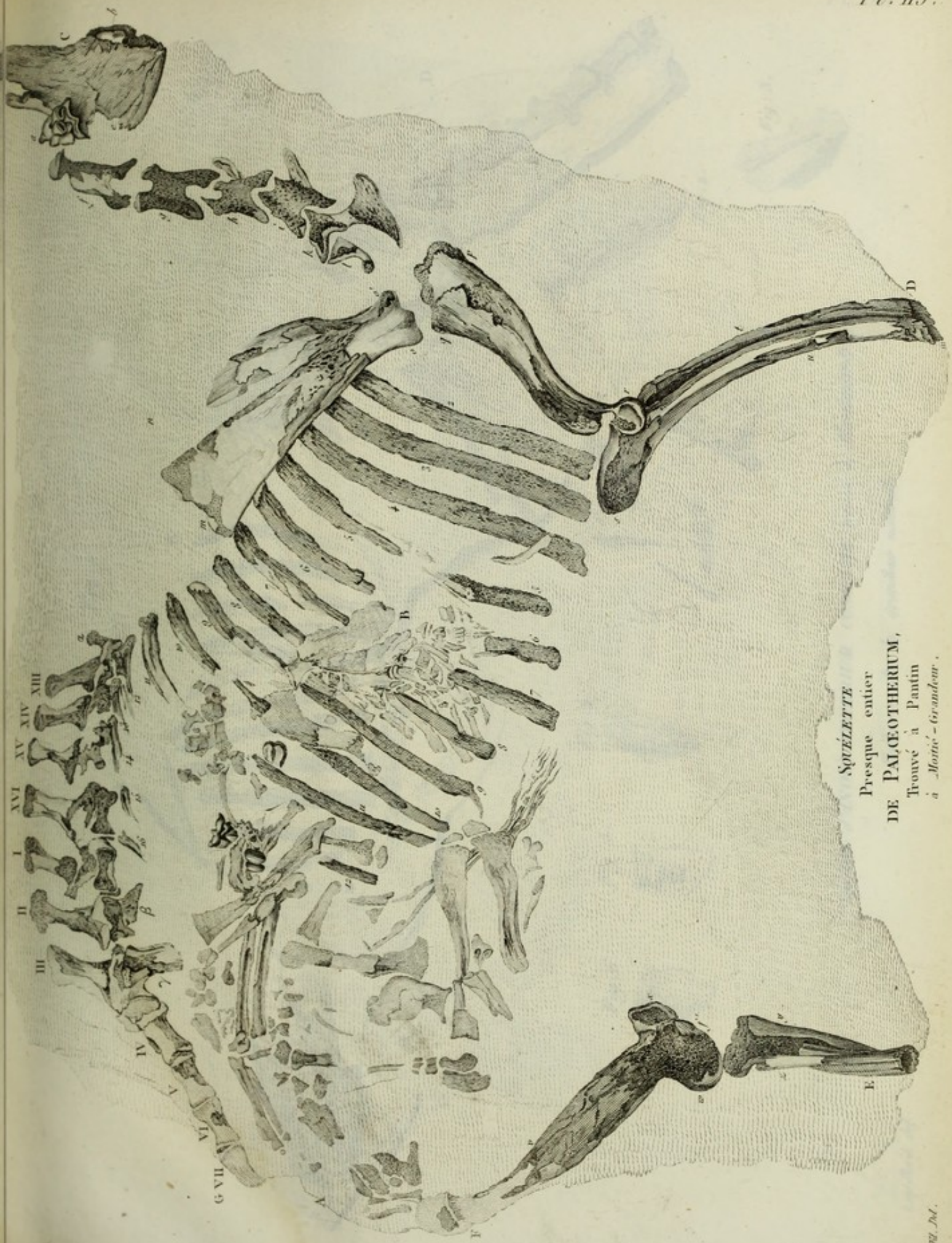
Fig. 6.

Fig. 7.

Fig. 5.

Fig. 8.





SKELETTE
Presque entier
DE PALAEOTHERIUM,
Trouvé à Pantin
à Montreuil - Grandeur.

THE UNIVERSITY OF
CHICAGO
PRESS

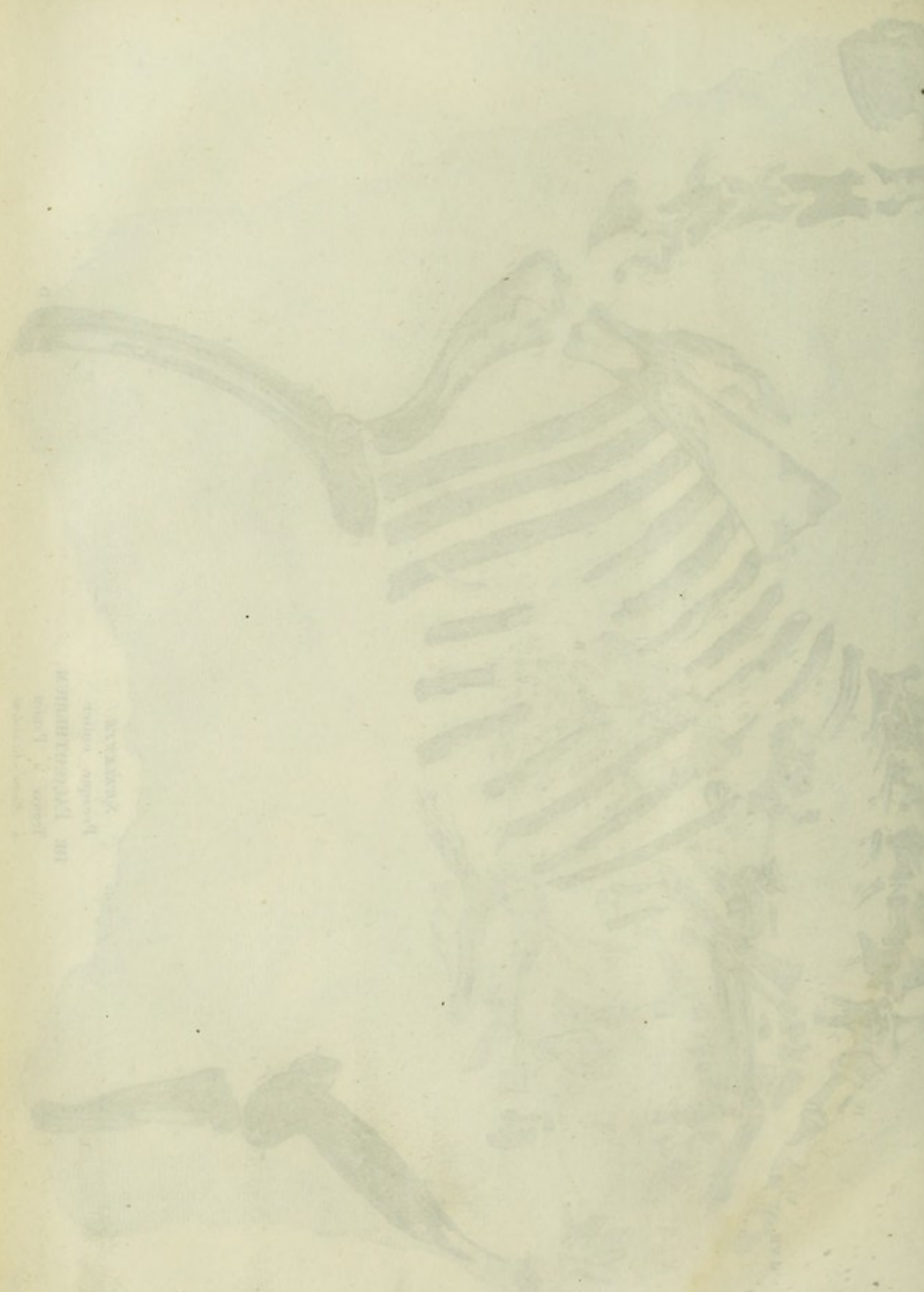
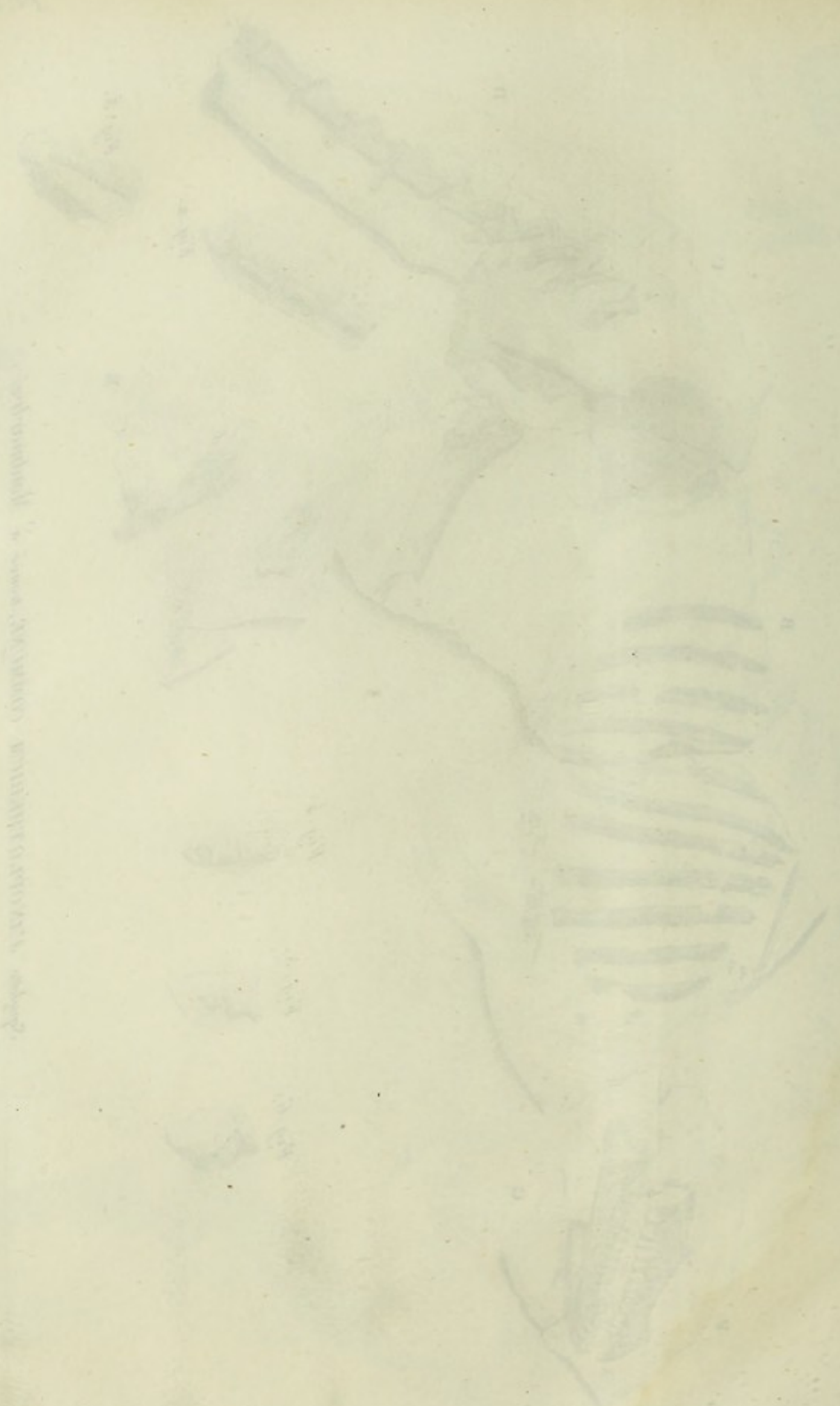


Fig. 1.

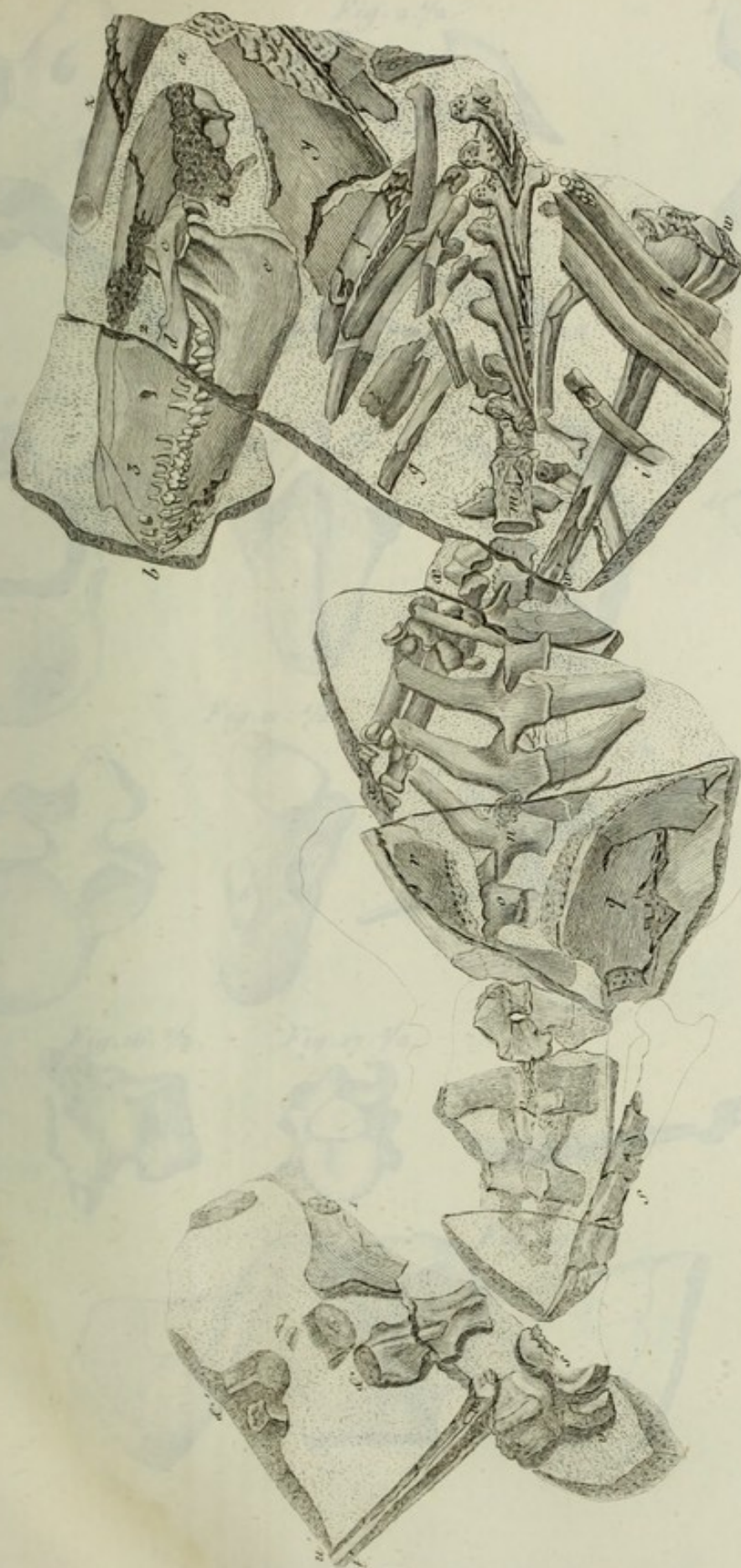


Squelette d'ANOPLOTHERIUM COMMUNE, trouvé à Montmartre.

Indicé de la grandeur naturelle.



Sketch of a human figure in various poses.



Squelette d'ANOPLOTHERIUM COMMUNE trouvé à Antony.

Représenté de la grandeur naturelle.

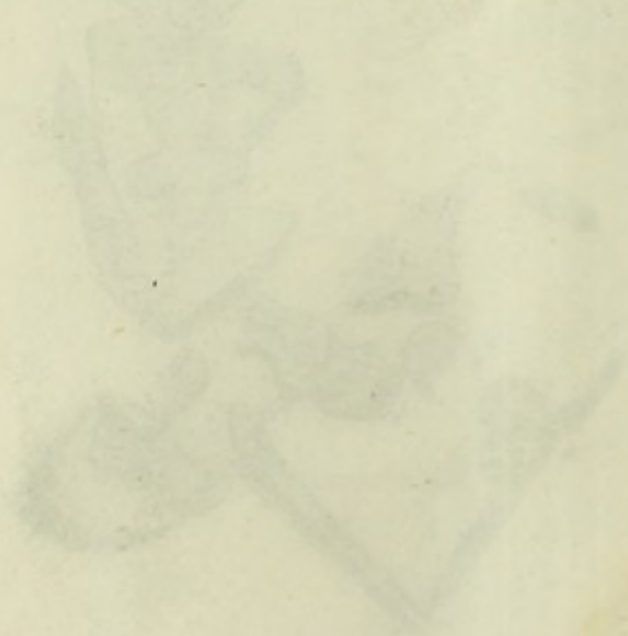
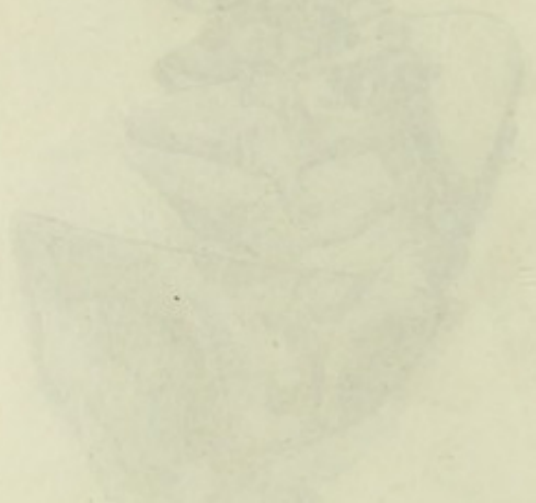


Fig. 1. $\frac{1}{2}$.

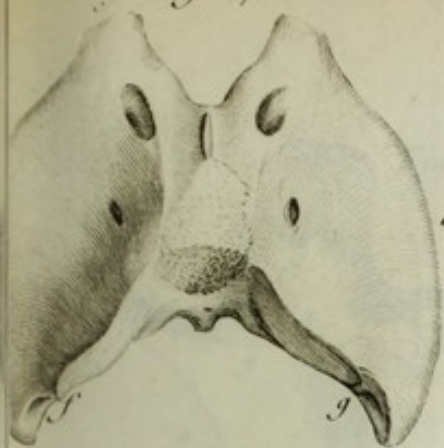


Fig. 2. $\frac{1}{2}$.



Fig. 5. $\frac{1}{2}$.



Fig. 8. $\frac{1}{2}$.

Pl. 118.

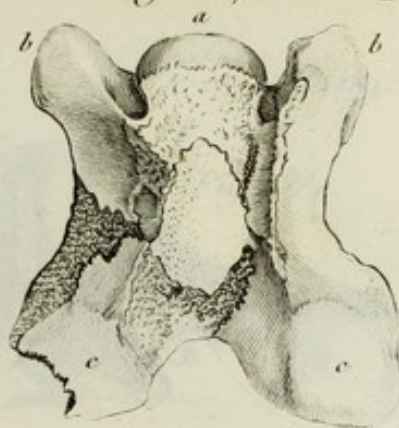


Fig. 4. $\frac{1}{2}$.



Fig. 9. $\frac{1}{2}$.



Fig. 7. $\frac{1}{2}$.

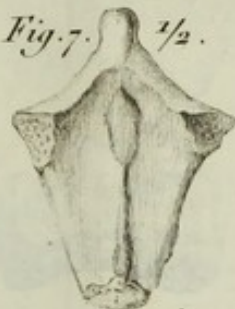


Fig. 6. $\frac{1}{2}$.



Fig. 11. $\frac{1}{2}$.



Fig. 15. $\frac{1}{2}$.

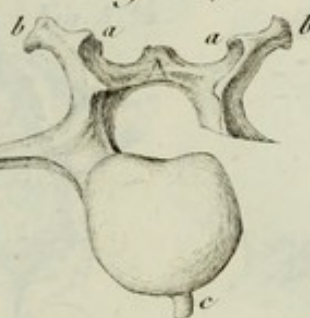


Fig. 5. $\frac{1}{2}$.

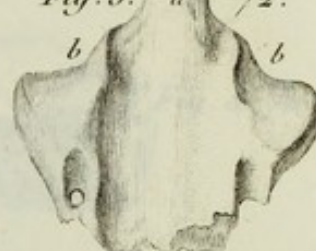


Fig. 10. $\frac{1}{2}$.



Fig. 13. $\frac{1}{2}$.



Fig. 16. $\frac{1}{2}$.



Fig. 17. $\frac{1}{2}$.



Fig. 18. $\frac{1}{2}$.



Fig. 19. $\frac{1}{2}$.

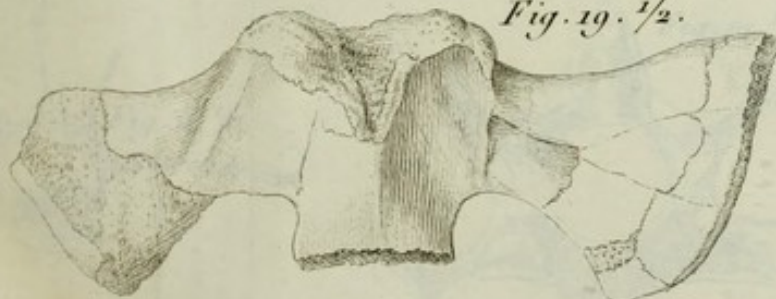


Fig. 14. $\frac{1}{2}$.



Fig. 20. $\frac{1}{2}$.



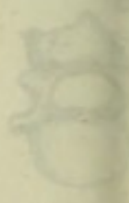
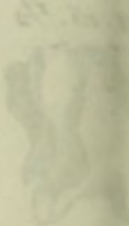
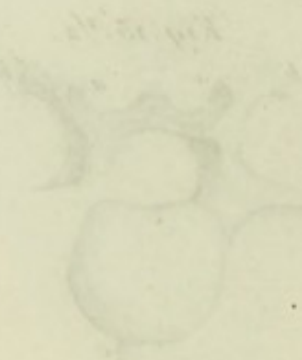
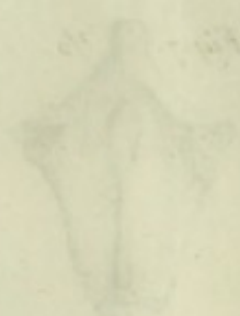
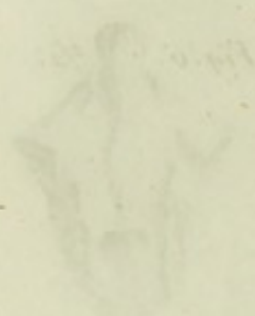
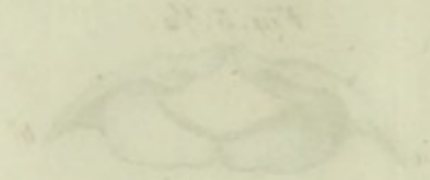


Fig. 1. $\frac{1}{2}$.



Fig. 3. $\frac{1}{2}$.

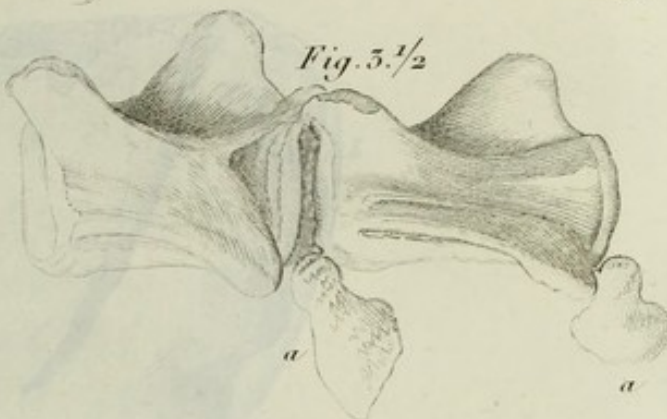


Fig. 4. $\frac{1}{2}$.



Fig. 5. $\frac{1}{2}$.



Fig. 8. $\frac{1}{2}$.



Fig. 9. $\frac{1}{2}$.



Fig. 10. $\frac{1}{2}$.

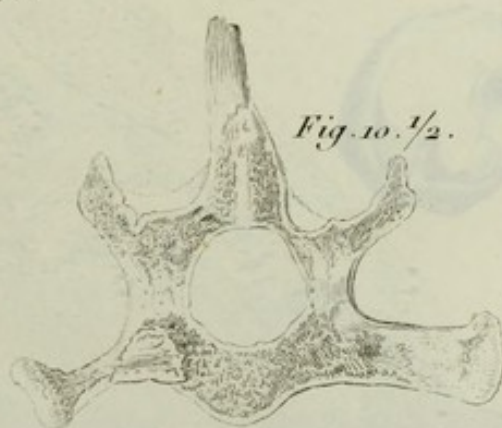


Fig. 2. $\frac{1}{2}$.



Fig. 6. $\frac{1}{2}$.

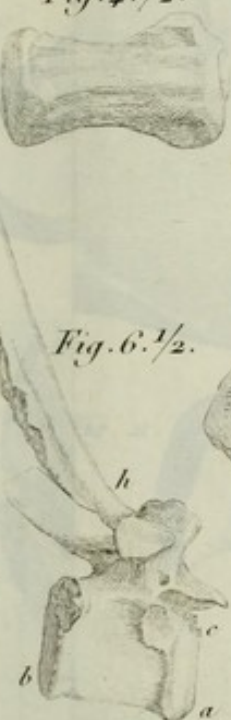


Fig. 7. $\frac{1}{2}$.

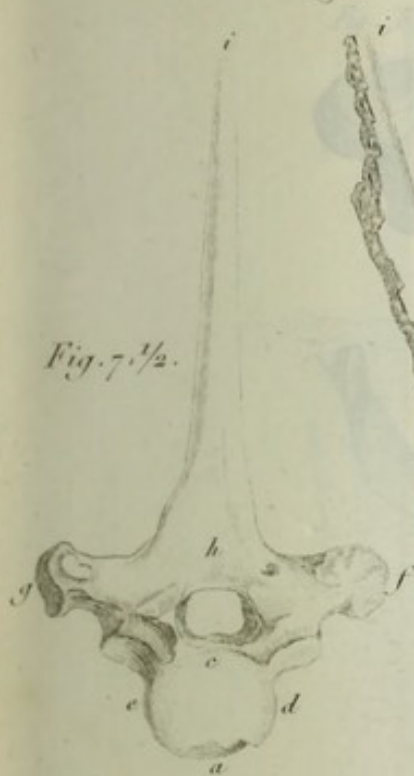
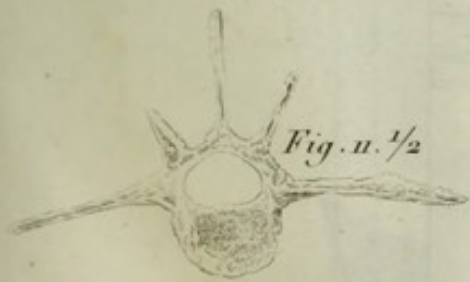
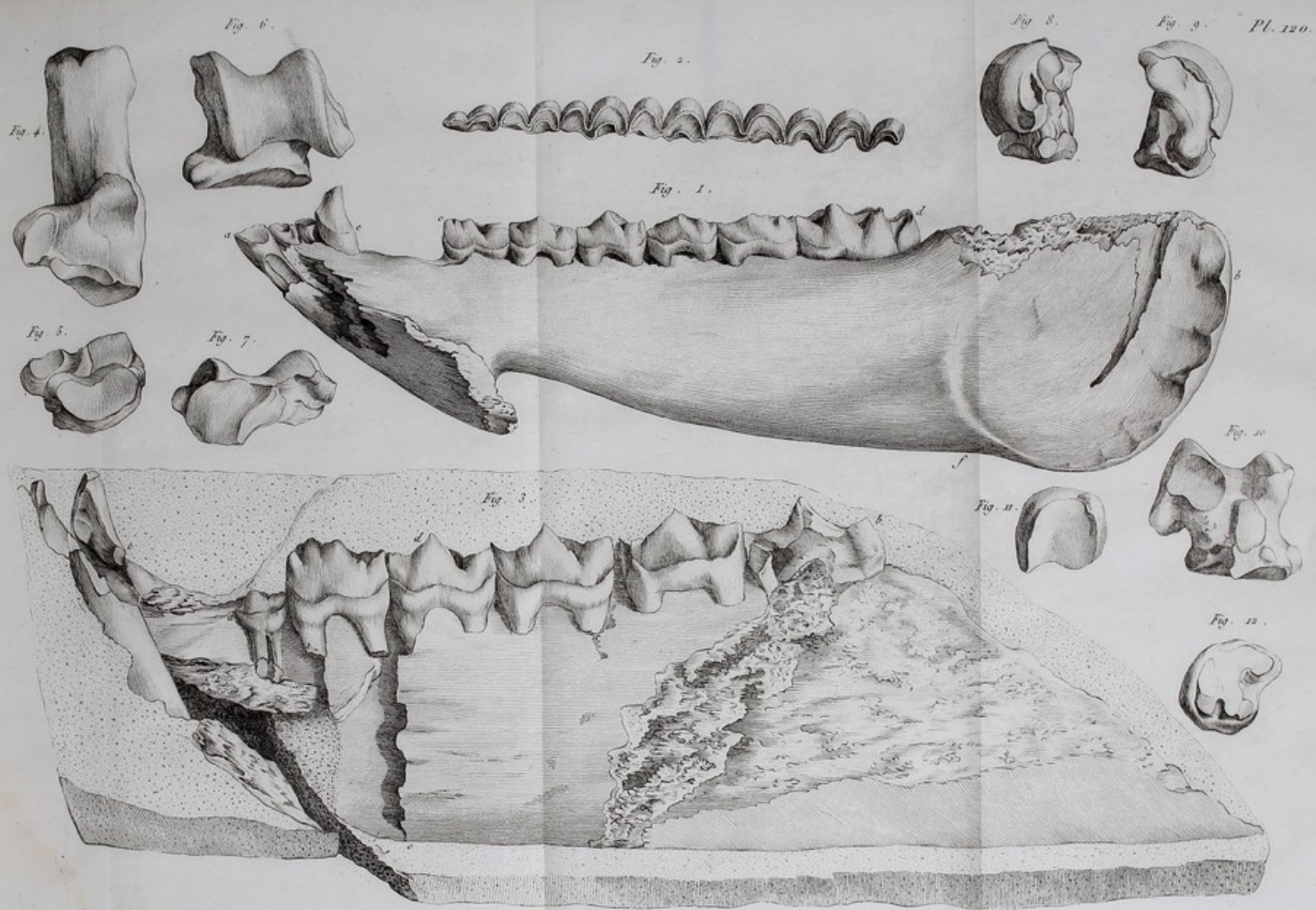


Fig. 11. $\frac{1}{2}$.





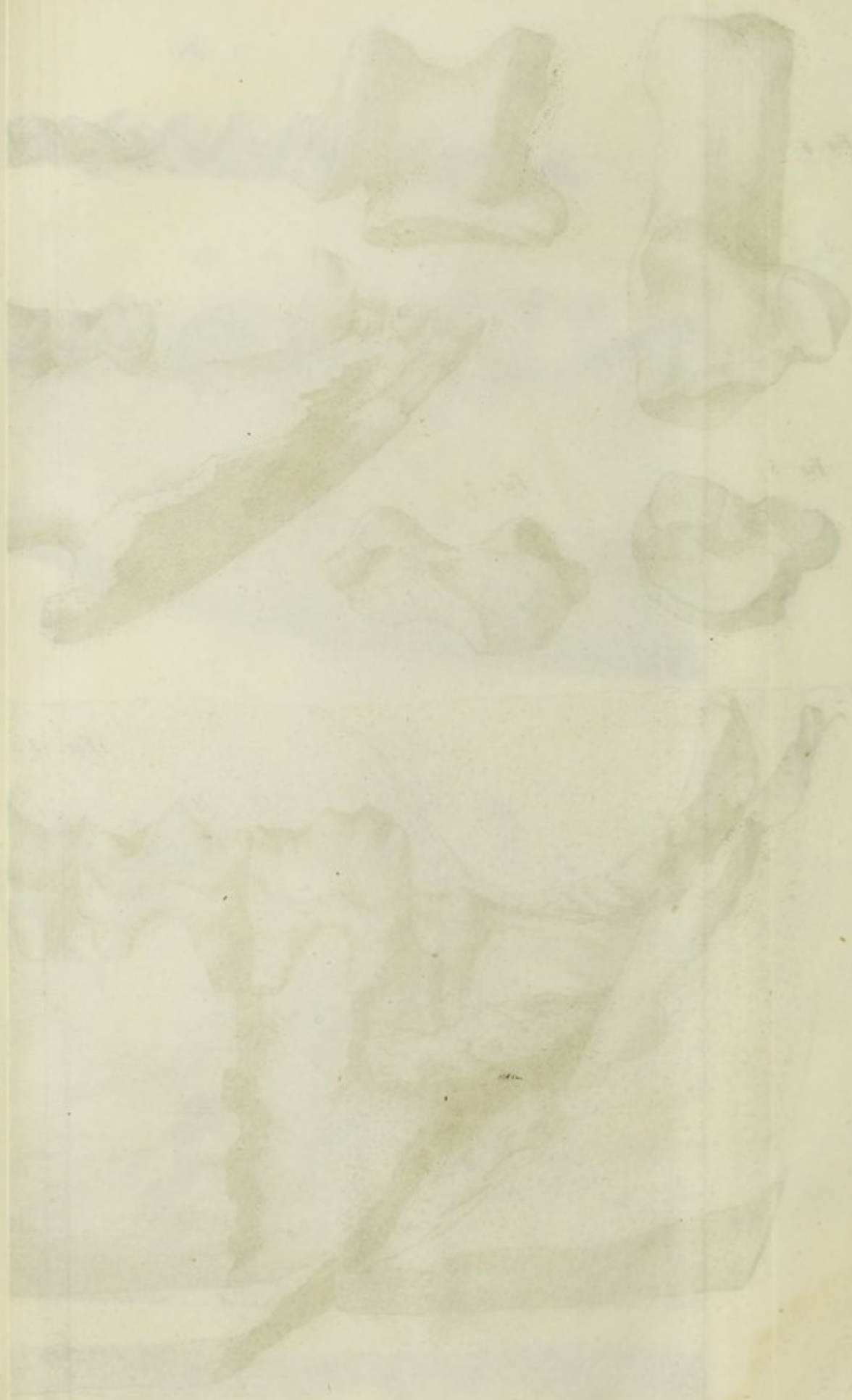


Fig. 4.



Fig. 5.



Fig. 6.



Fig. 7.



Fig. 3.



Fig. 8.



Fig. 1.

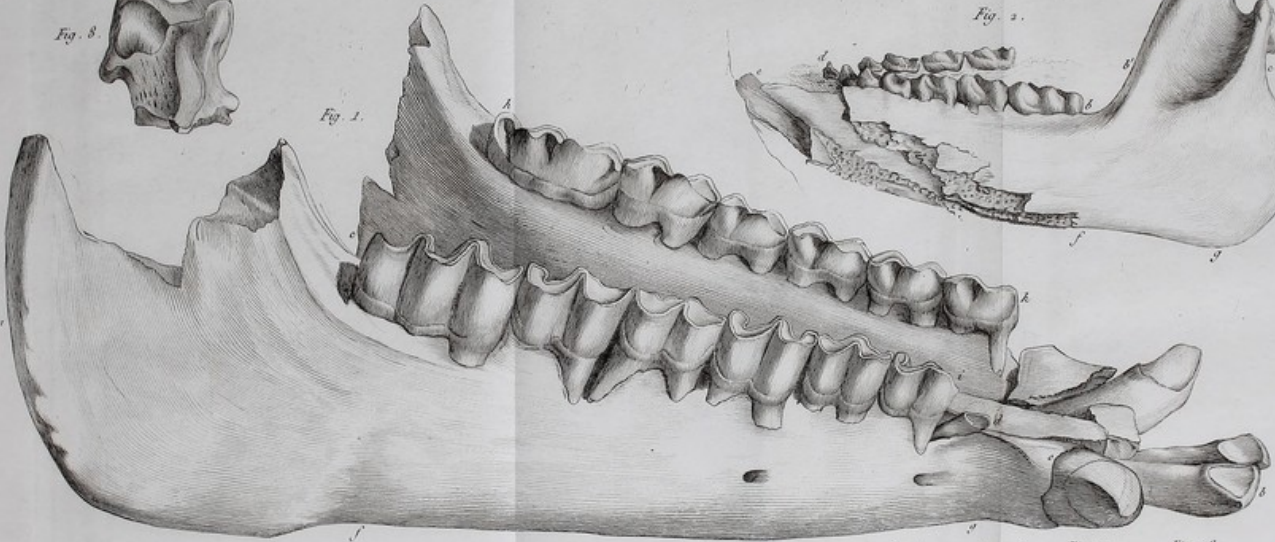


Fig. 2.

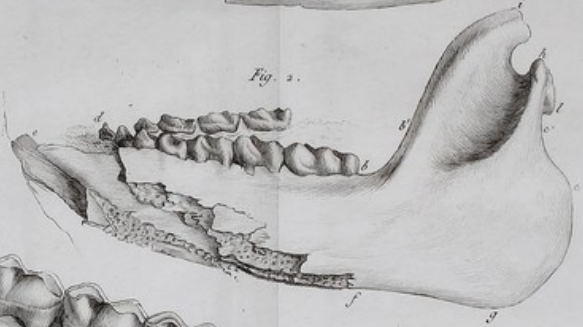


Fig. 9.



Fig. 11.



Fig. 12.



Fig. 13.



Fig. 14.



Fig. 15.



Fig. 16.



Fig. 17.



Fig. 18.



Fig. 10.





Fig. 1.



Fig. 2.

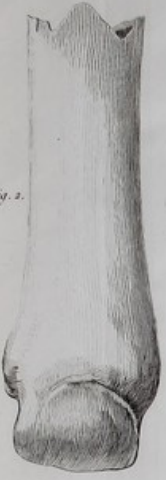


Fig. 3.





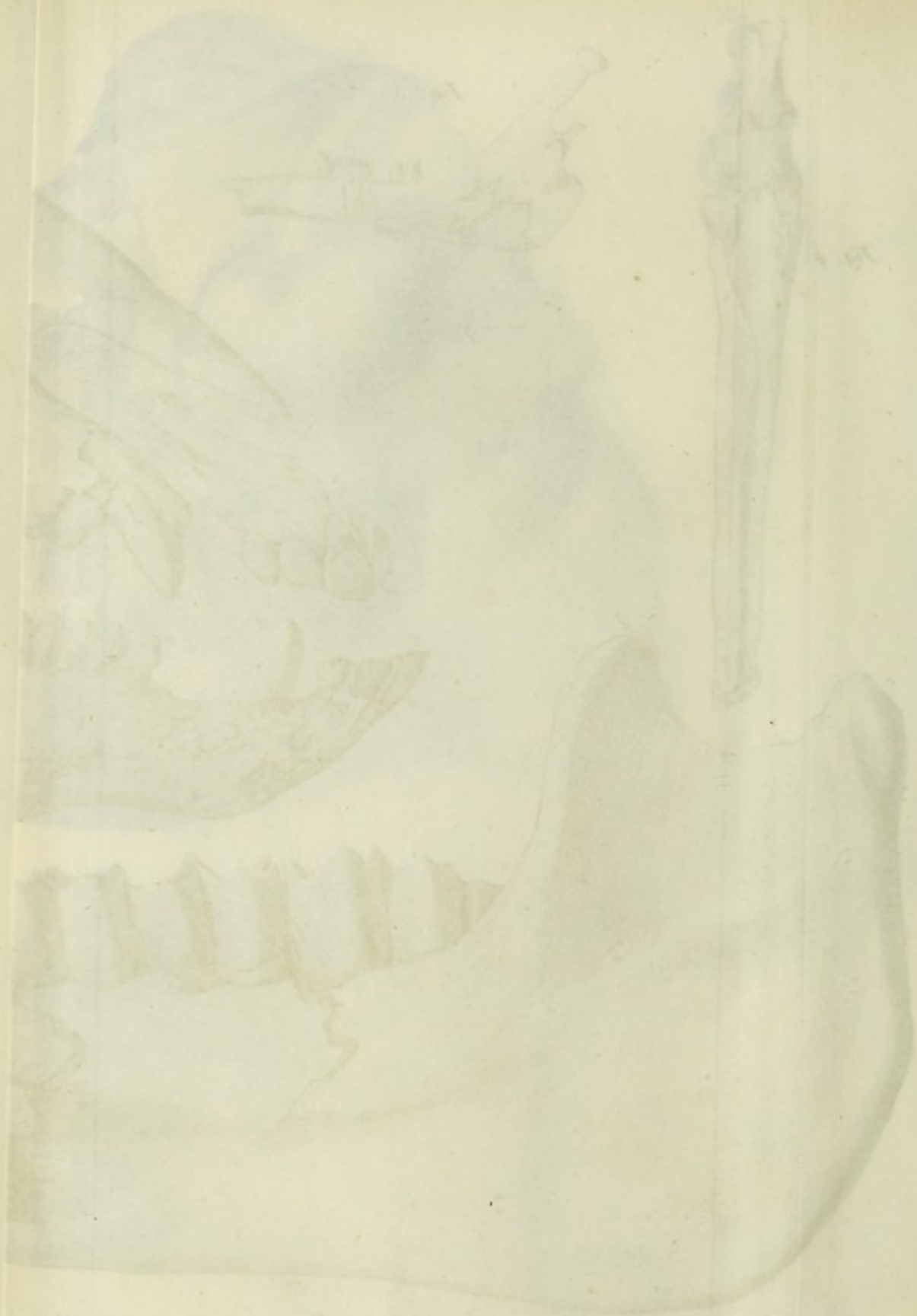


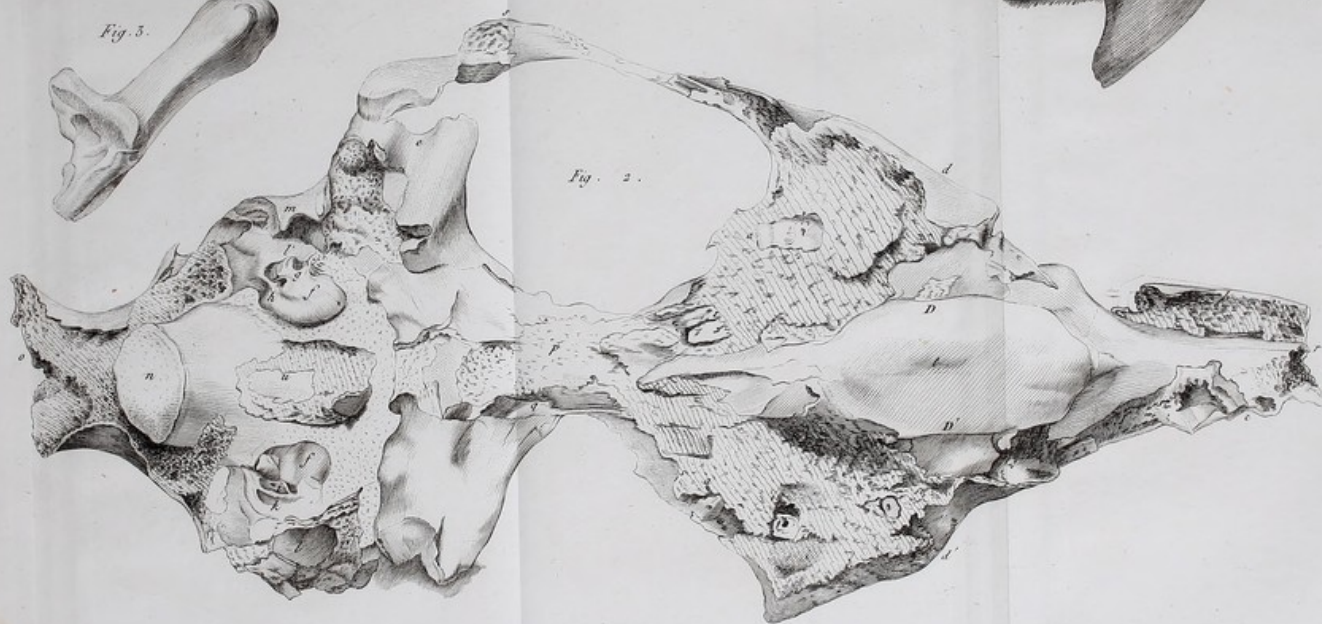
Fig. 1.



Fig. 3.



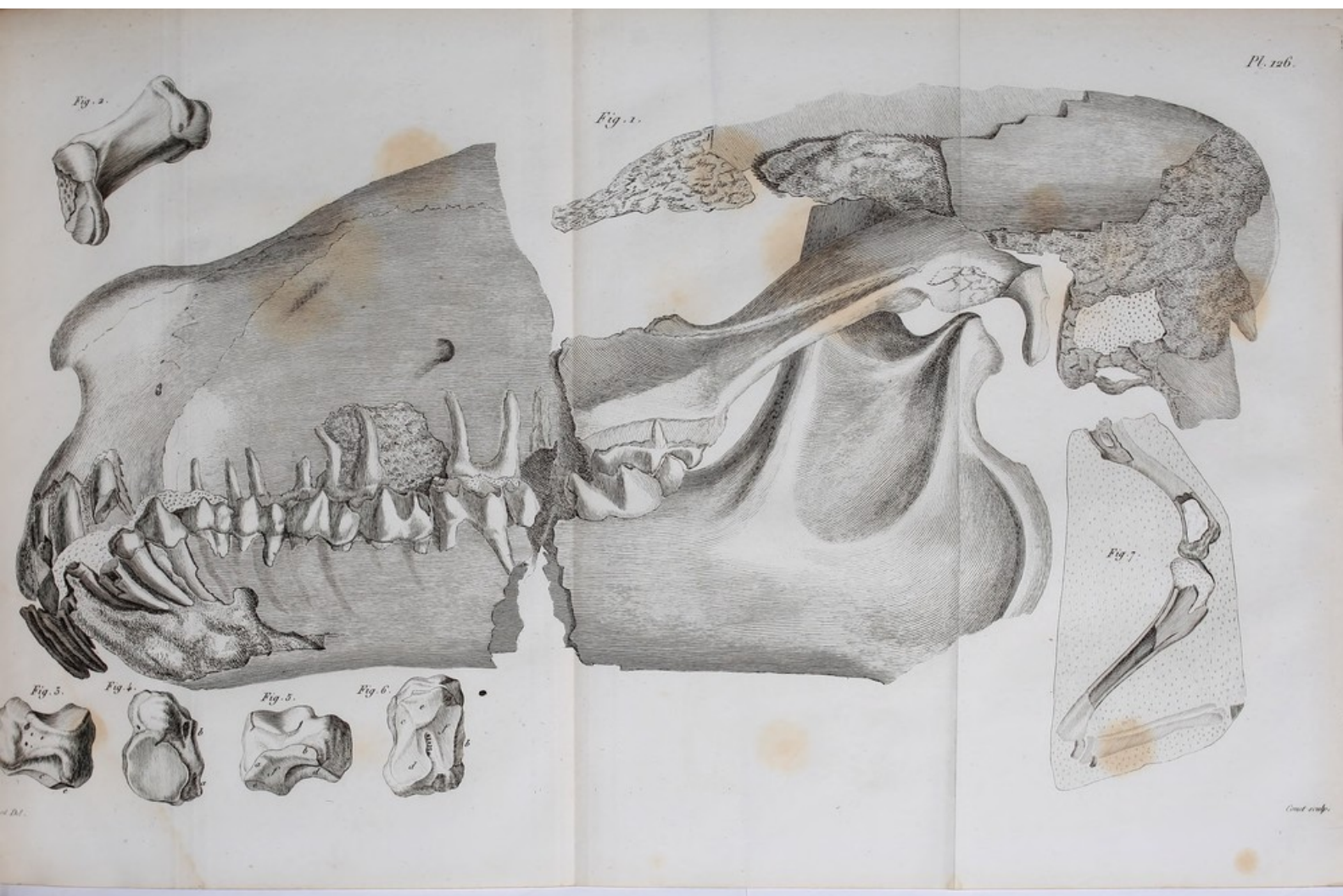
Fig. 2.



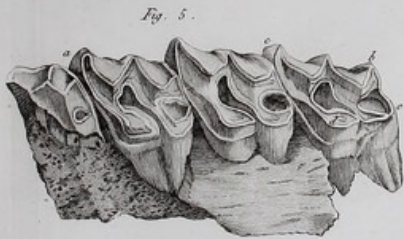
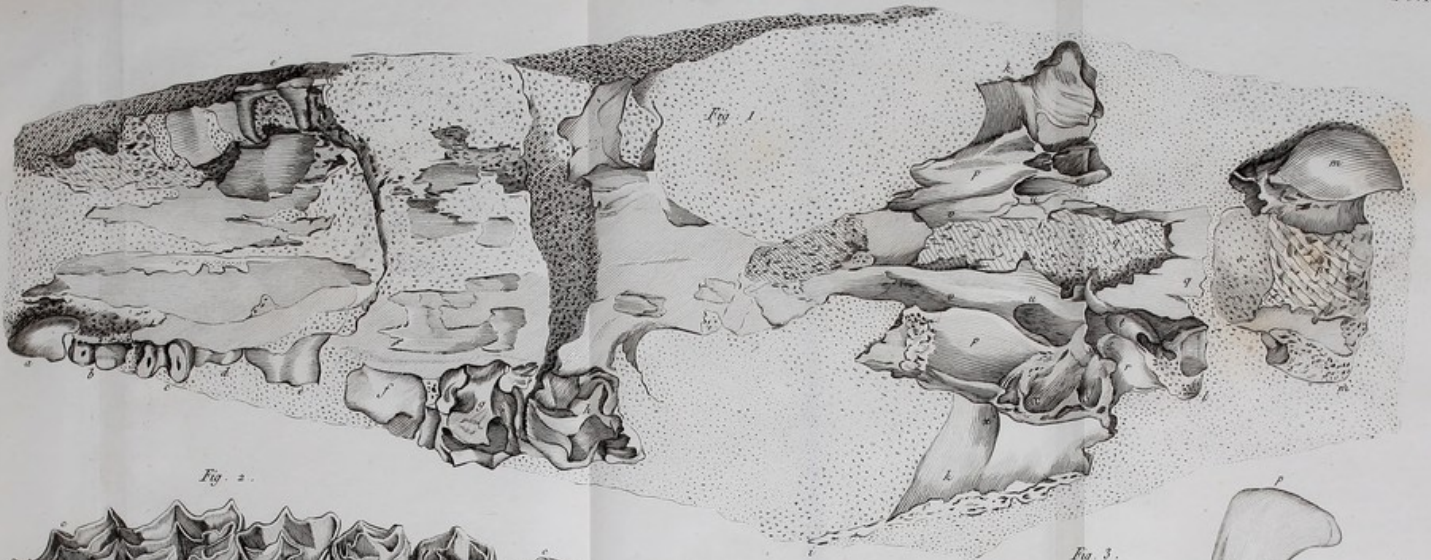












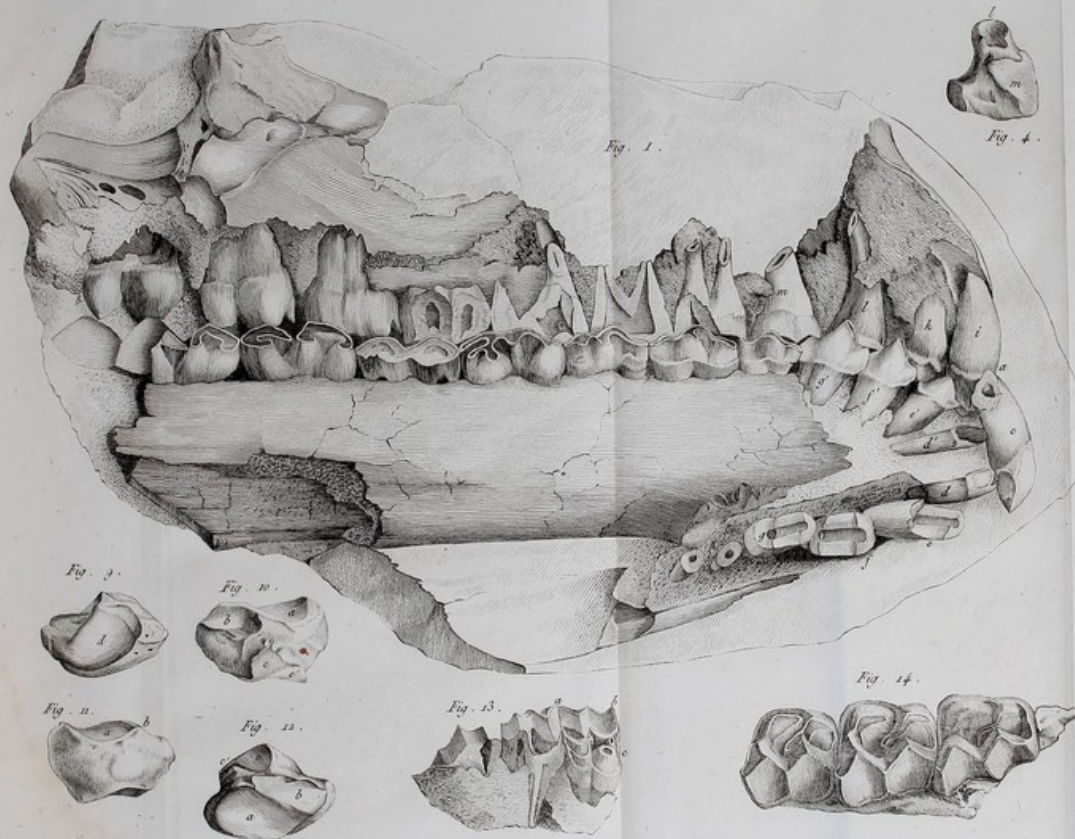


Fig. 3.



Fig. 4.



Fig. 6.



Fig. 12.



Fig. 11.



Fig. 10.



Fig. 9.



Fig. 5.



Fig. 8.



Fig. 7.



Fig. 2.



Fig. 2.

Fig. 2.

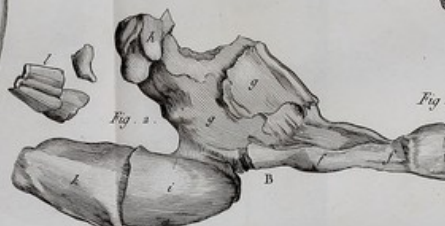


Fig. 1.





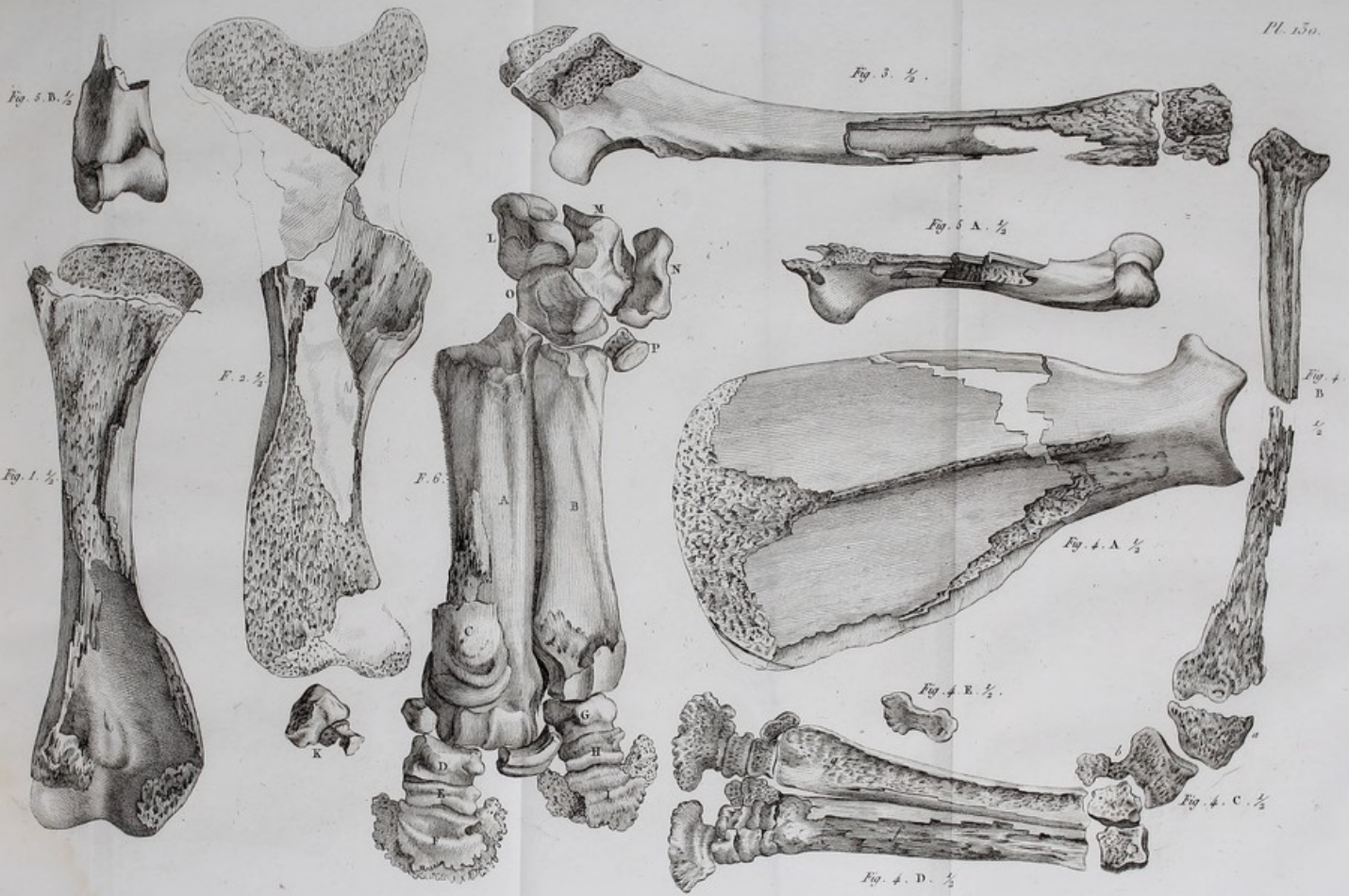
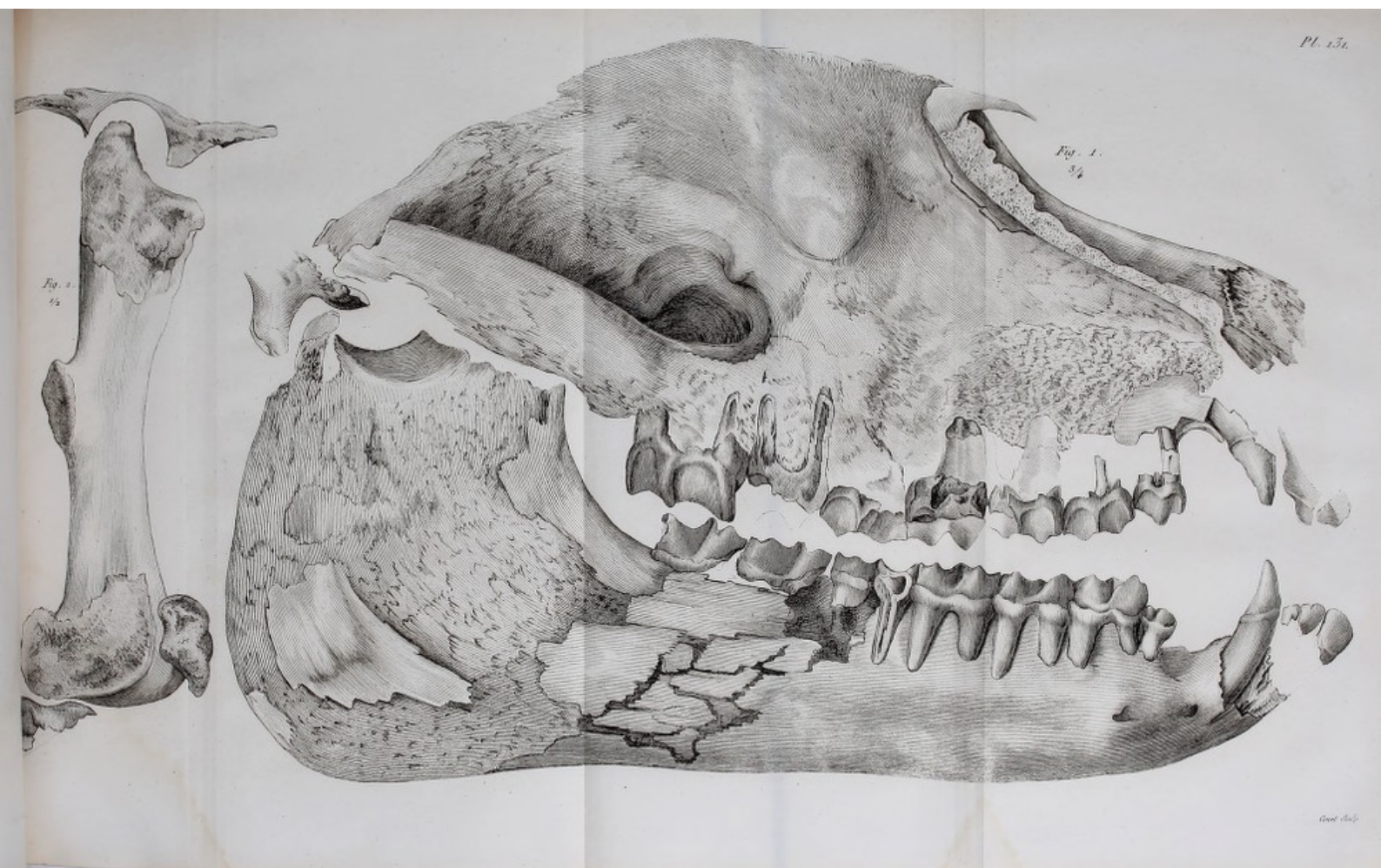


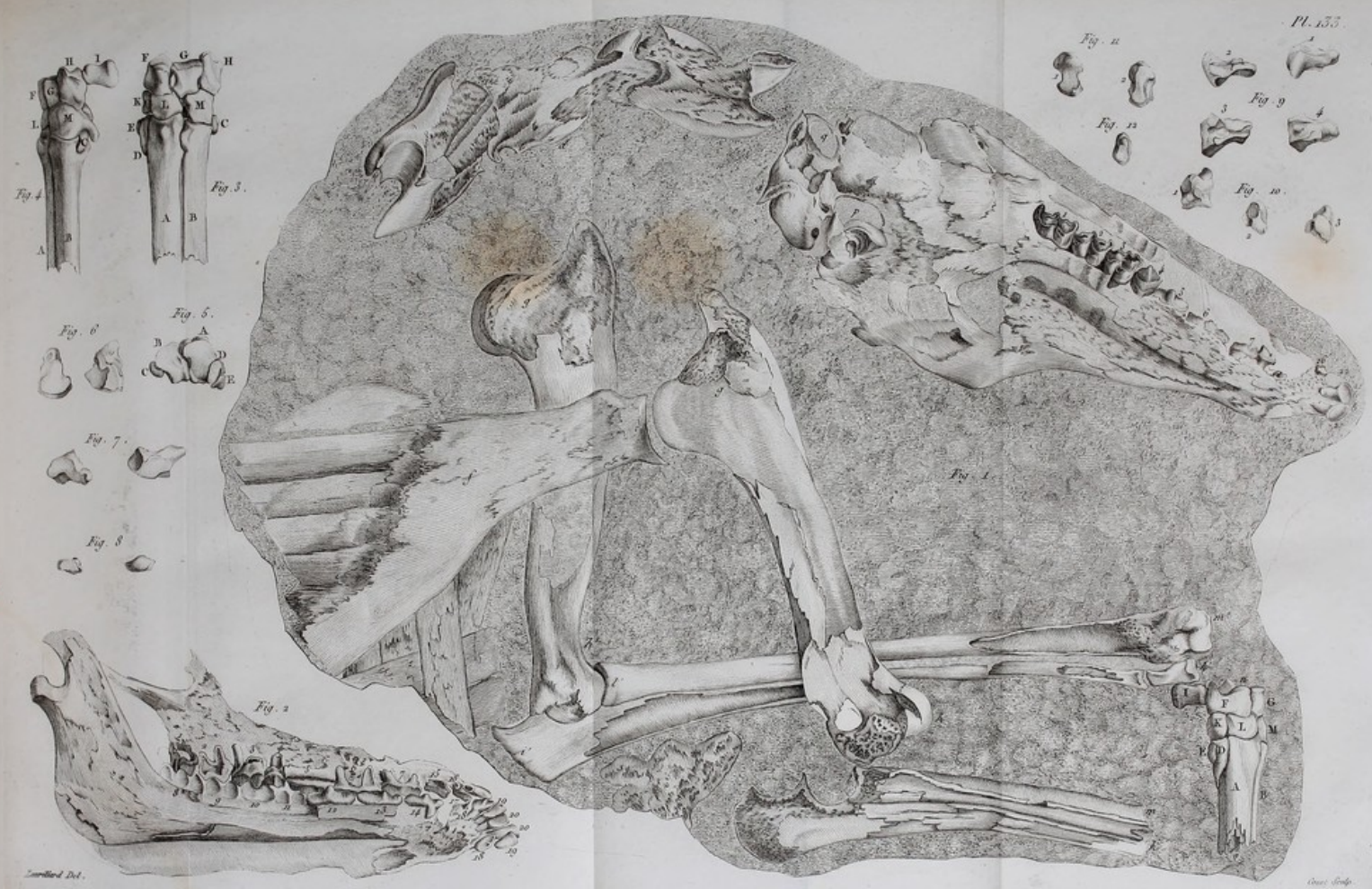


Fig. 1.
5/4

Fig. 2.
1/2









Handwritten text, possibly a signature or a label, located below the two small anatomical sketches.

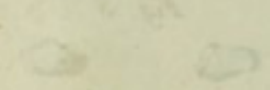
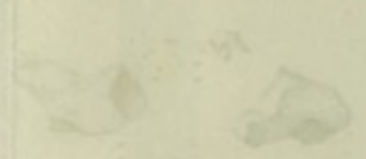


Fig. 1.

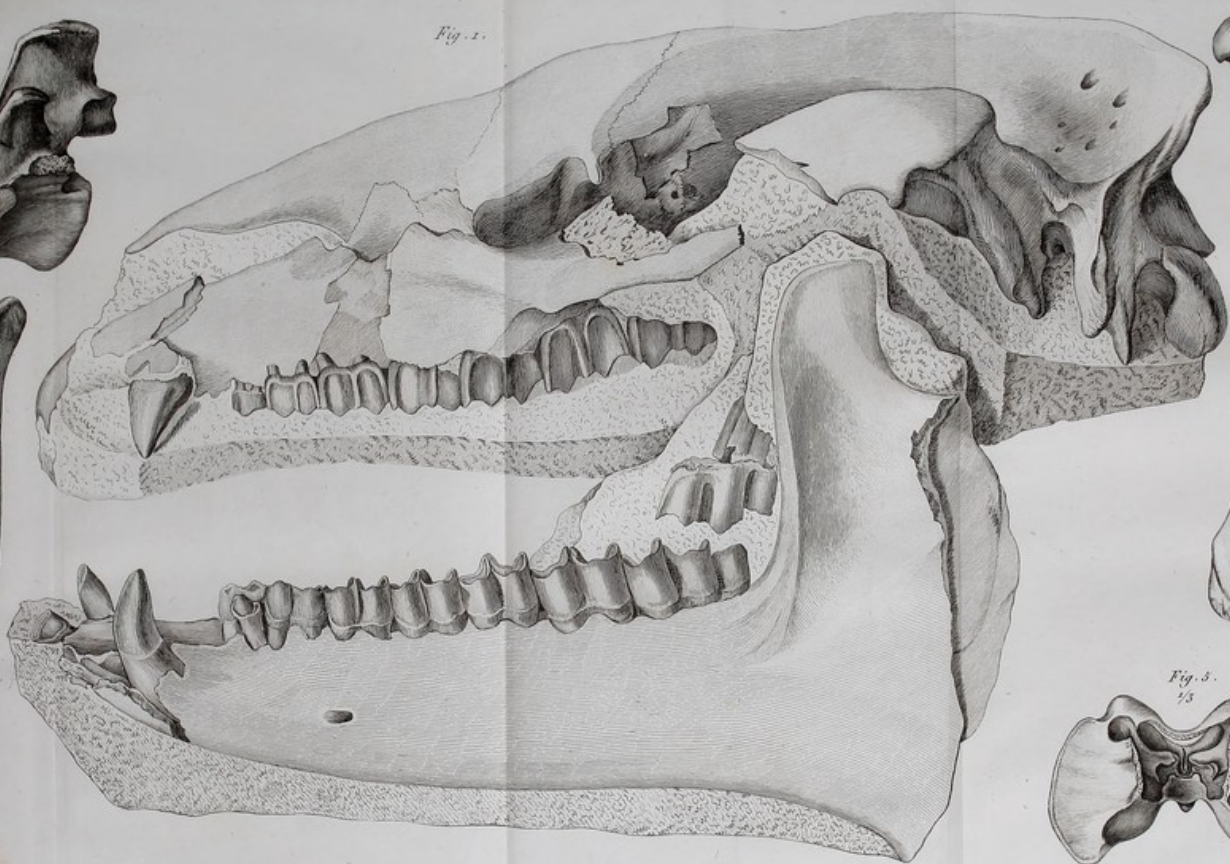


Fig. 3.
2/3



Fig. 2.
2/3

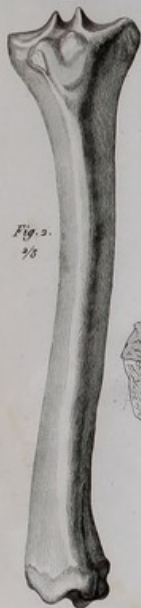


Fig. 4.



Fig. 3.
1/3



Lawson del.

Constant sculp.



Fig. 1.

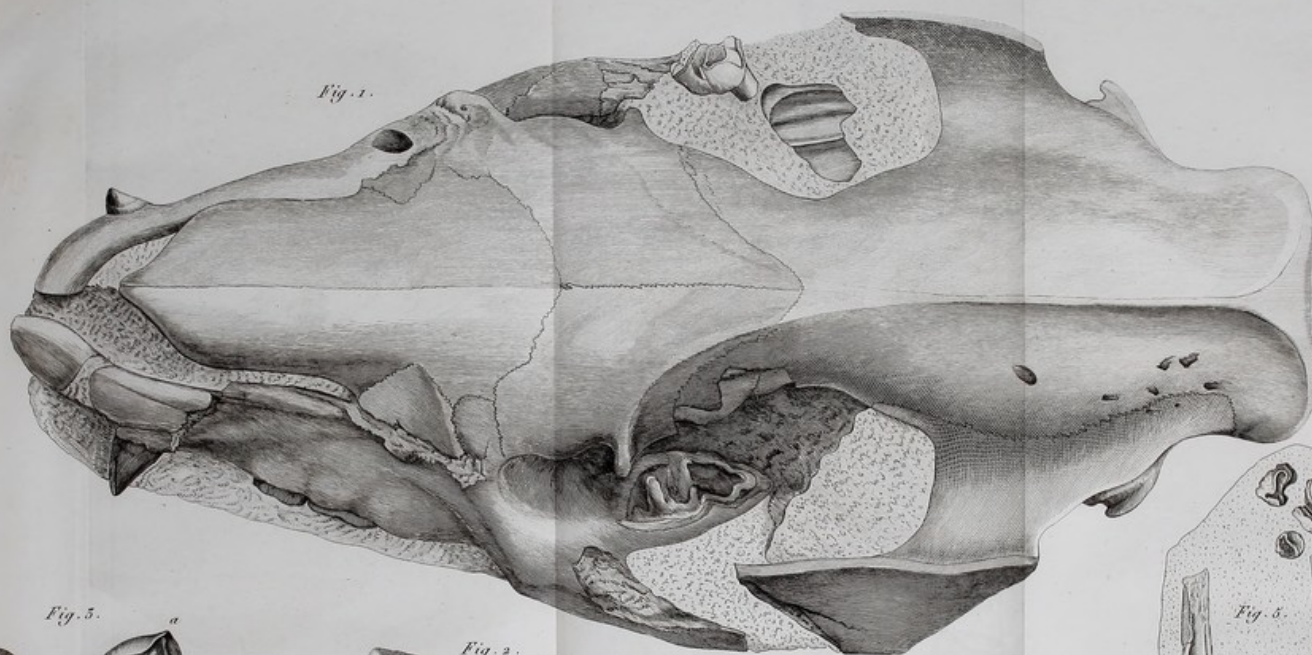


Fig. 5.

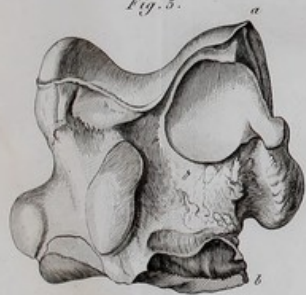


Fig. 2.

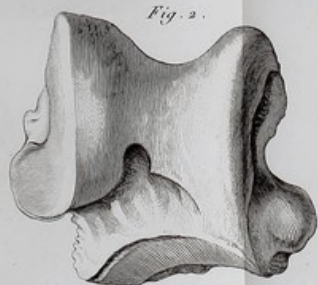


Fig. 4.

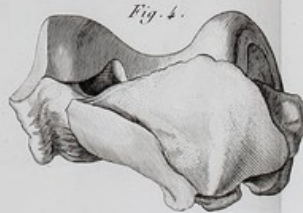
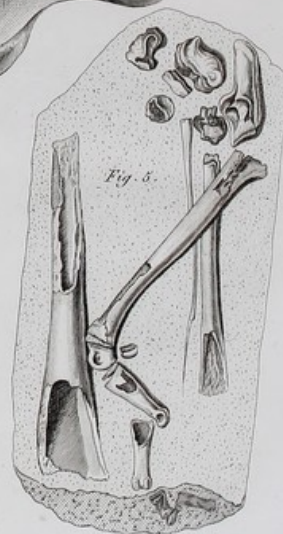
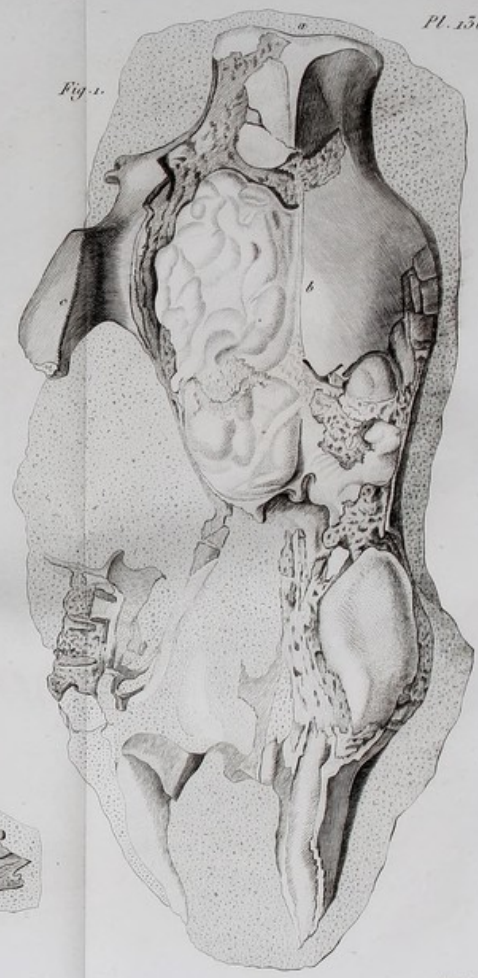


Fig. 6.

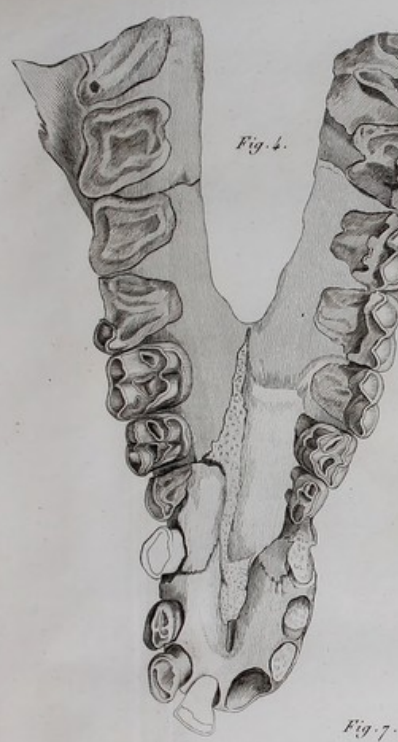
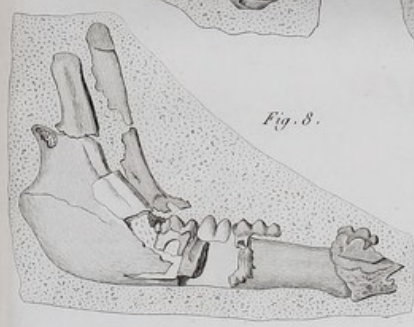
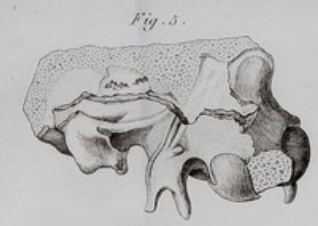


Costae sculp.

Laurillard del.



Costant sculp.



Scutellus del.

Fig. 2.

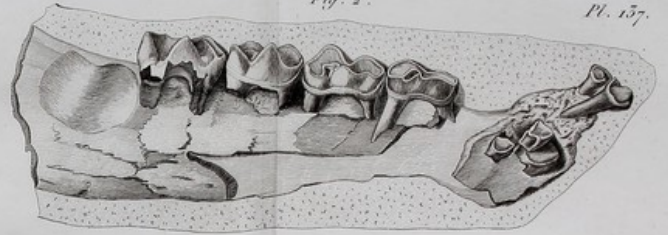


Fig. 8.



Fig. 7.



Fig. 6.

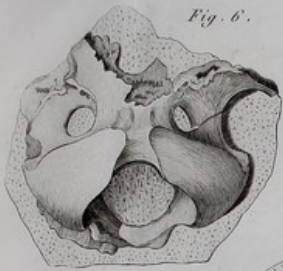


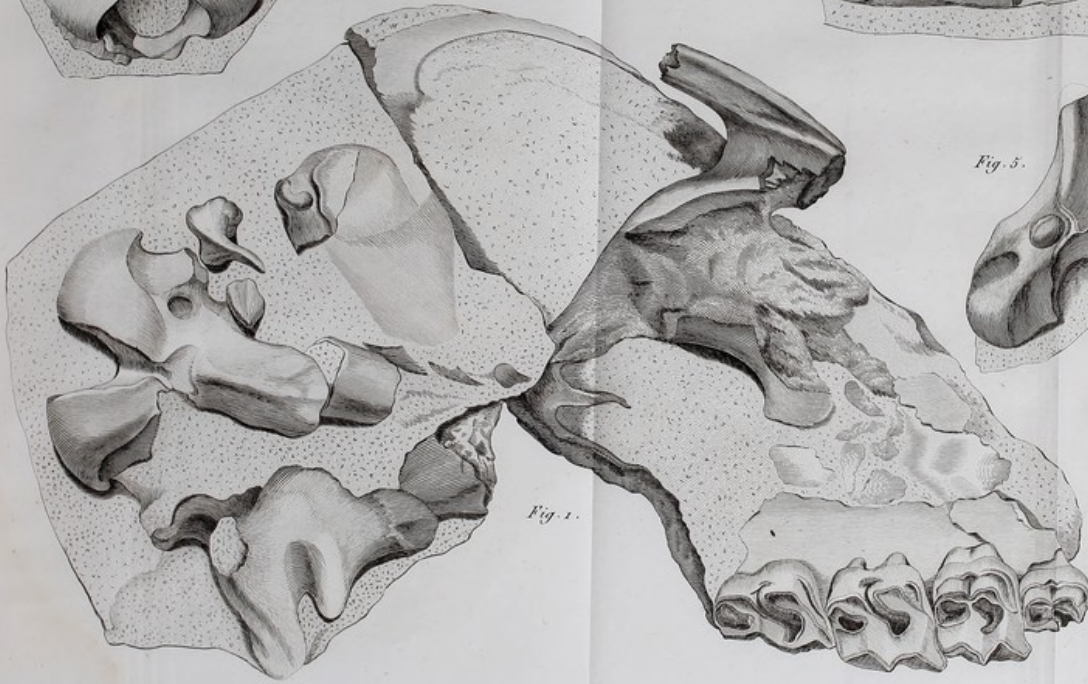
Fig. 5.



Fig. 4.
 $\frac{1}{2}$



Fig. 1.



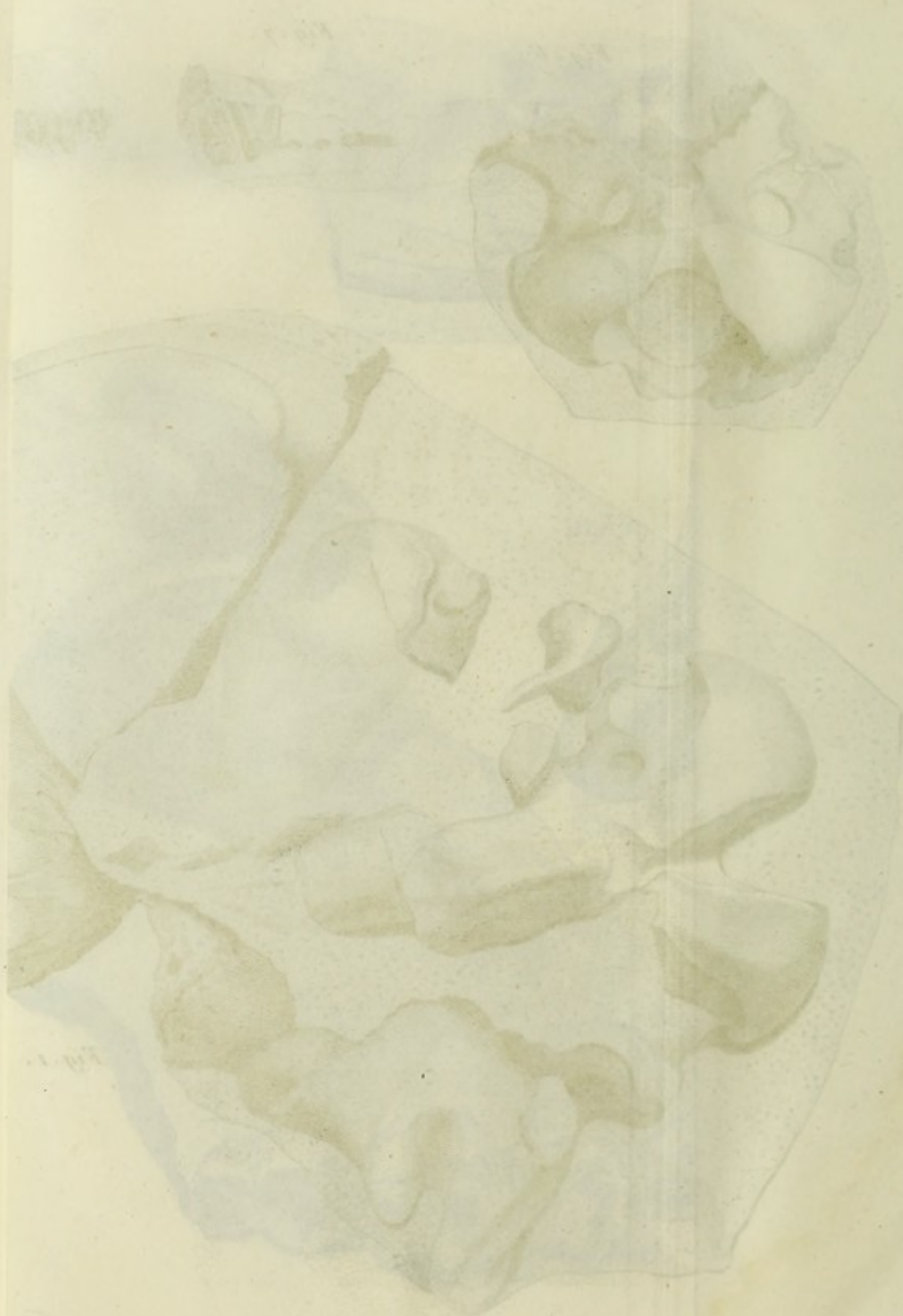


Fig. 1.

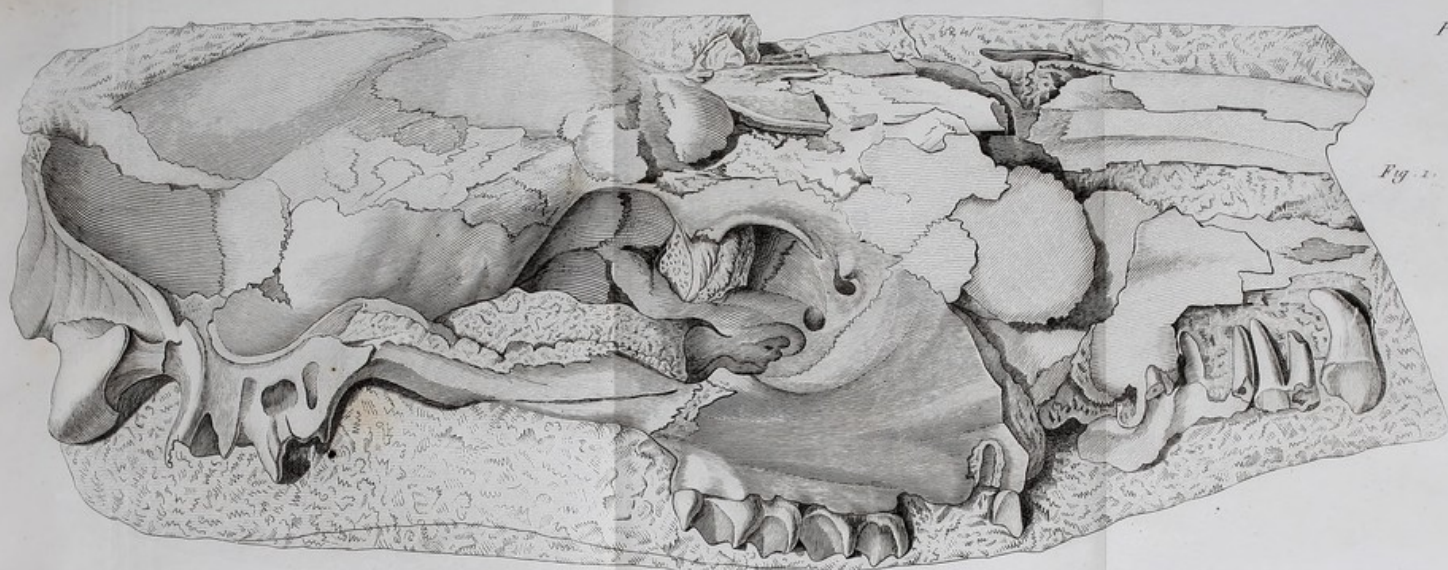


Fig. 2.





Fig. 1.

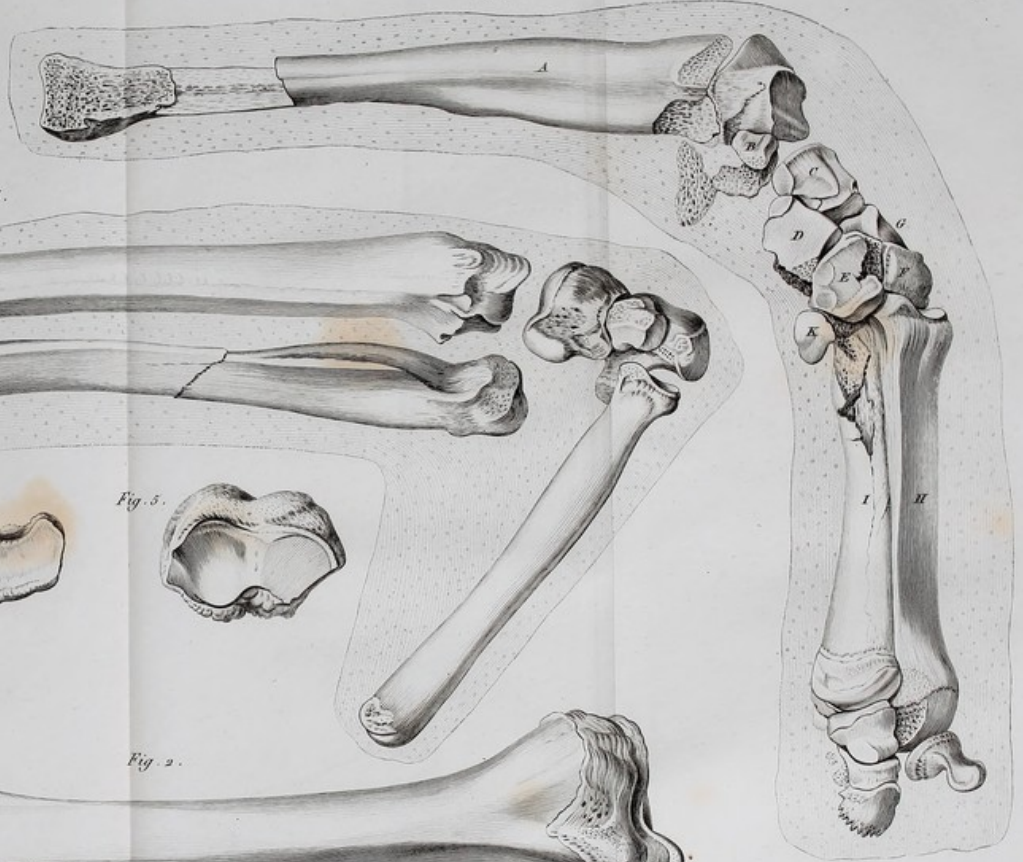


Fig. 3.

Fig. 5.



Fig. 4.



Fig. 2.



Fig. 6.



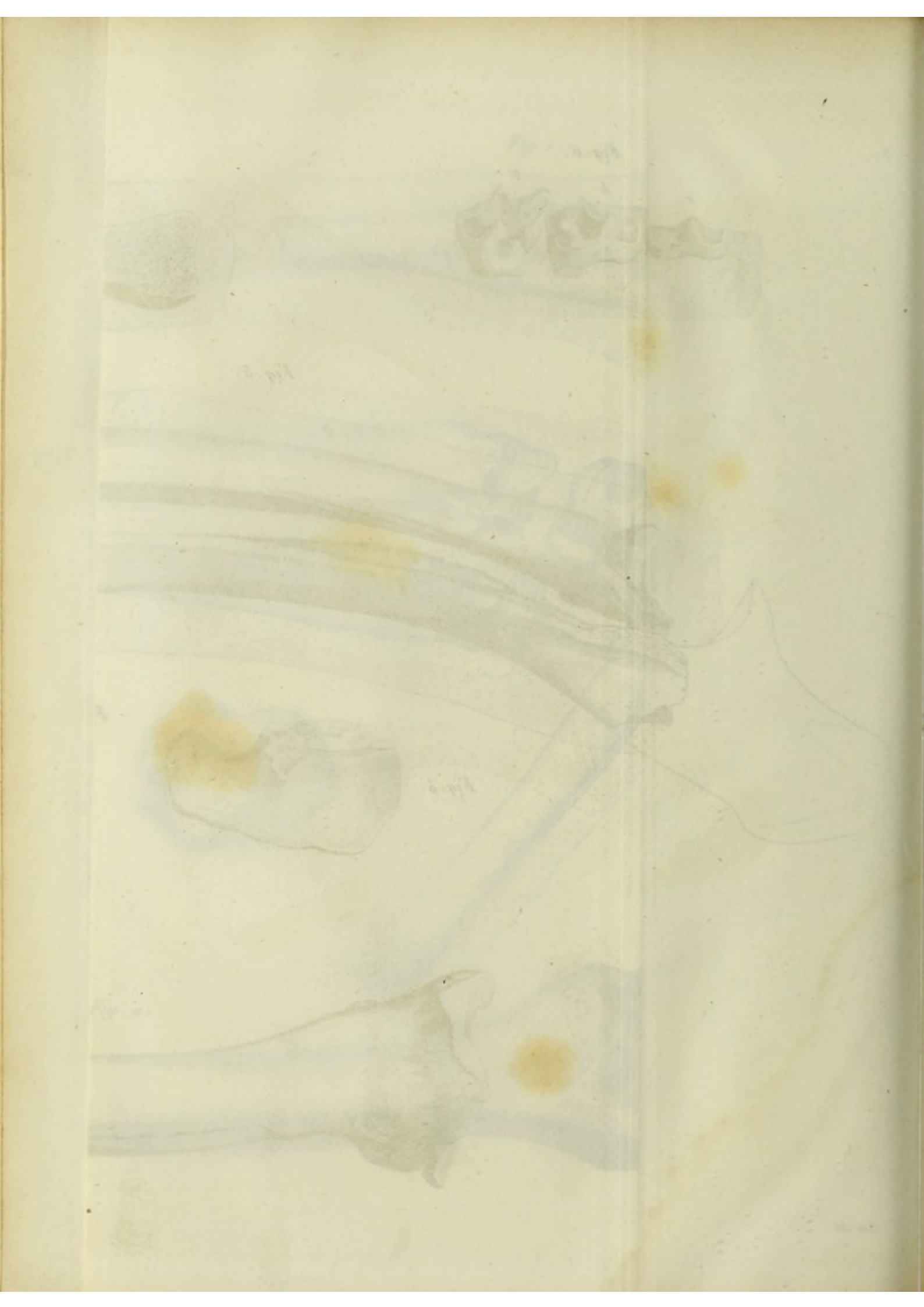


Fig. 6.



Fig. 5.

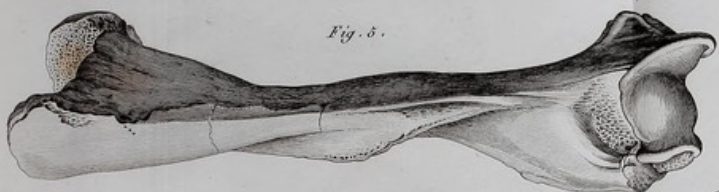


Fig. 7.



Fig. 2.

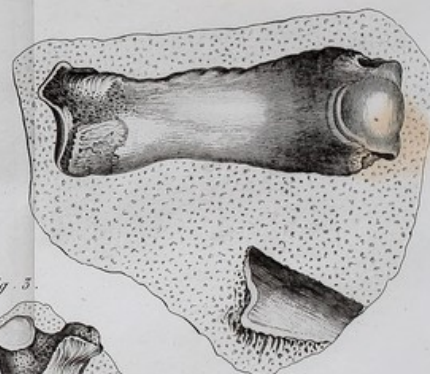


Fig. 3.



Fig. 1.

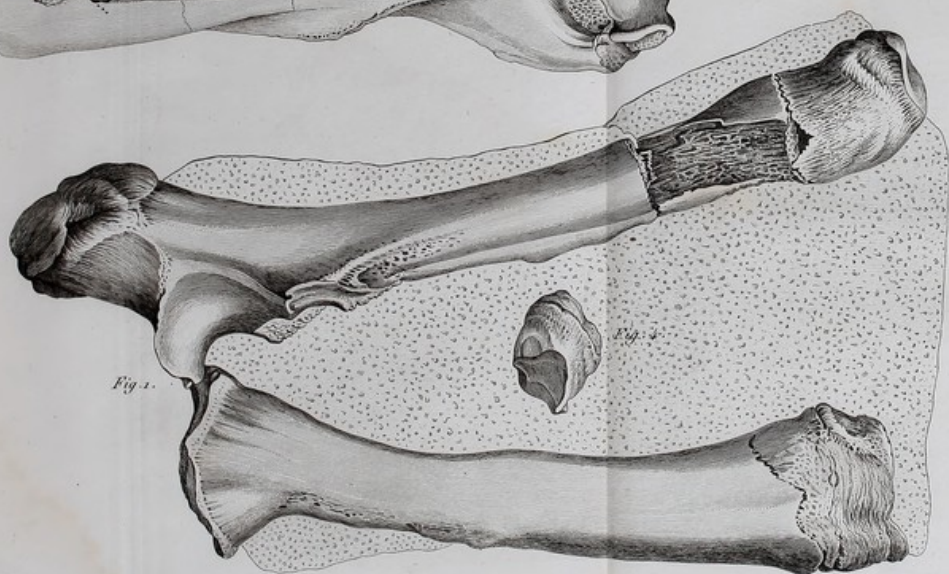


Fig. 4.







Fig. 2.
4/15

Contest. corp.

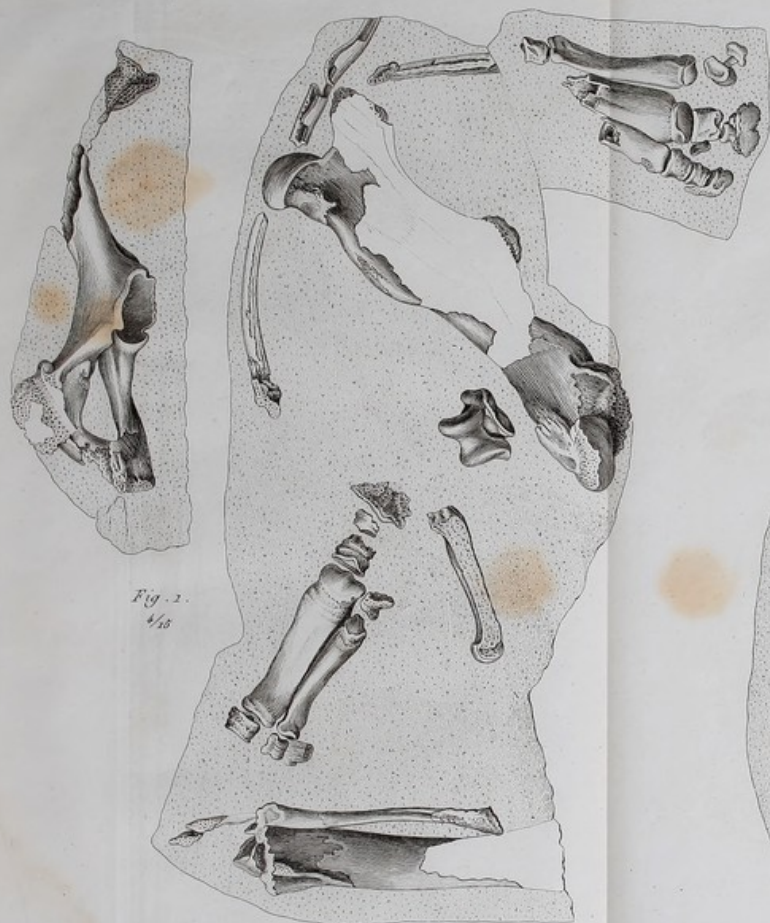
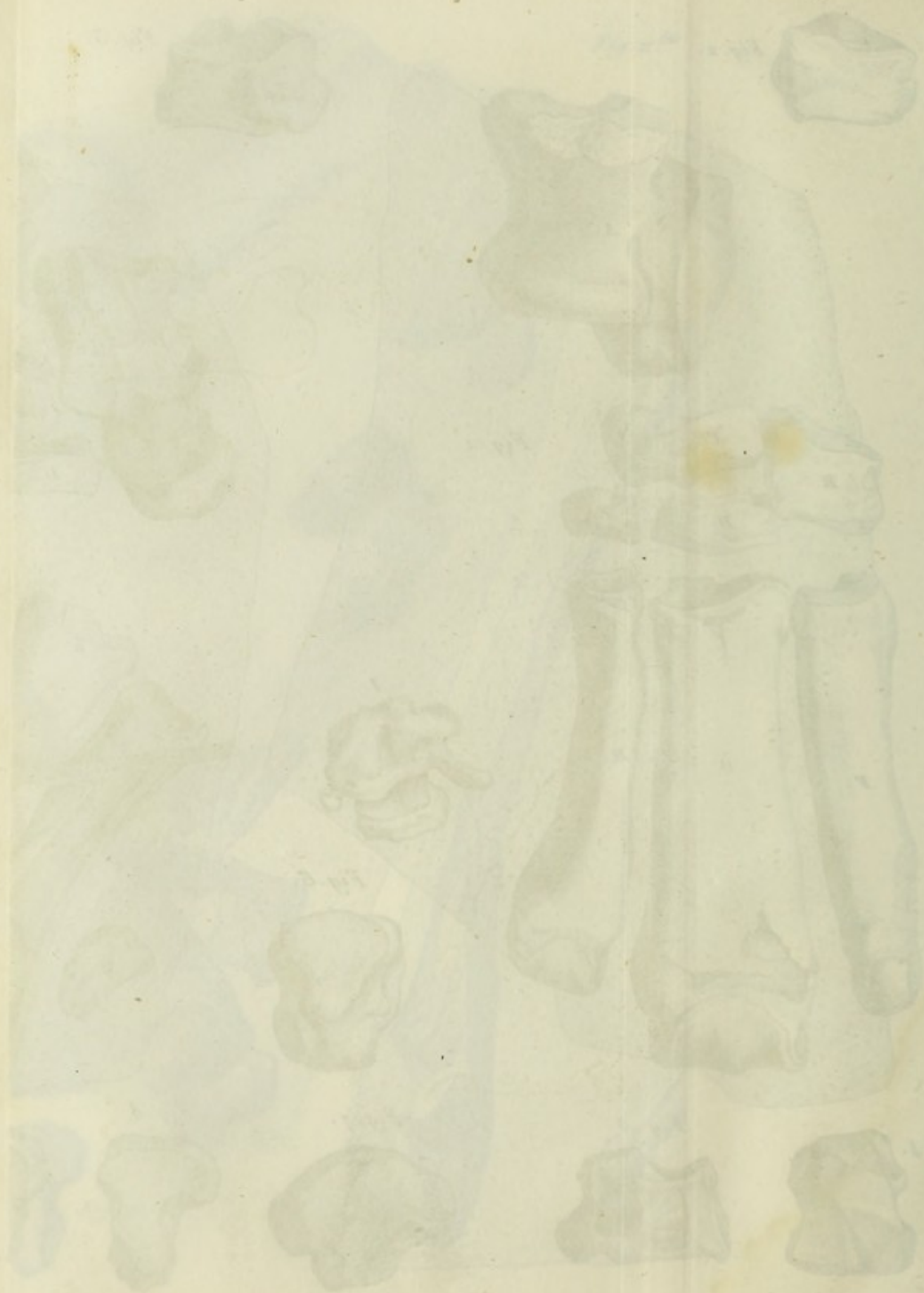


Fig. 1.
4/15

not del.





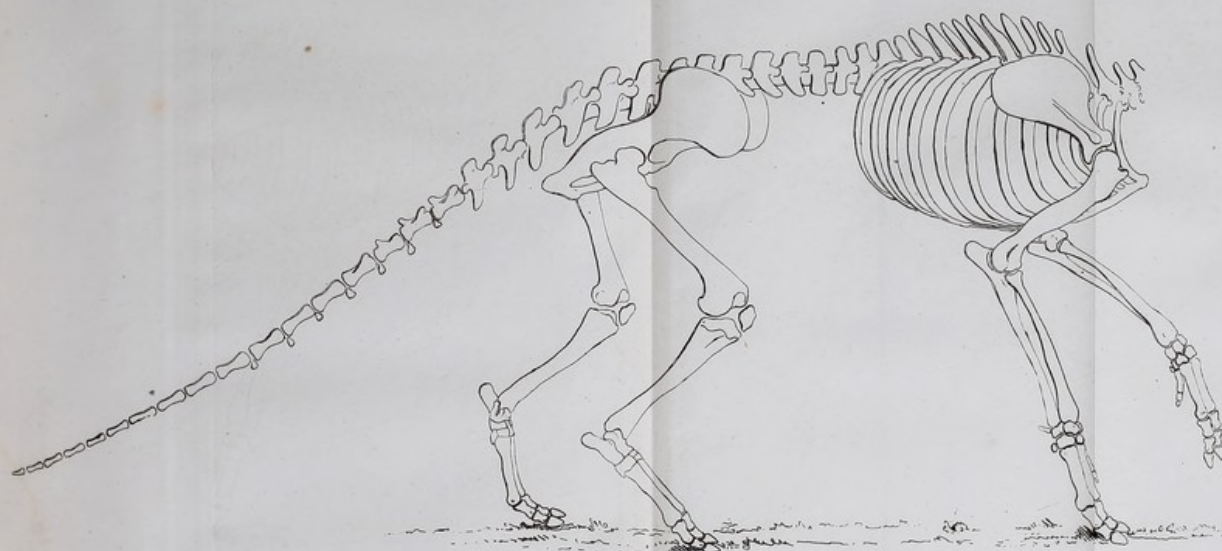
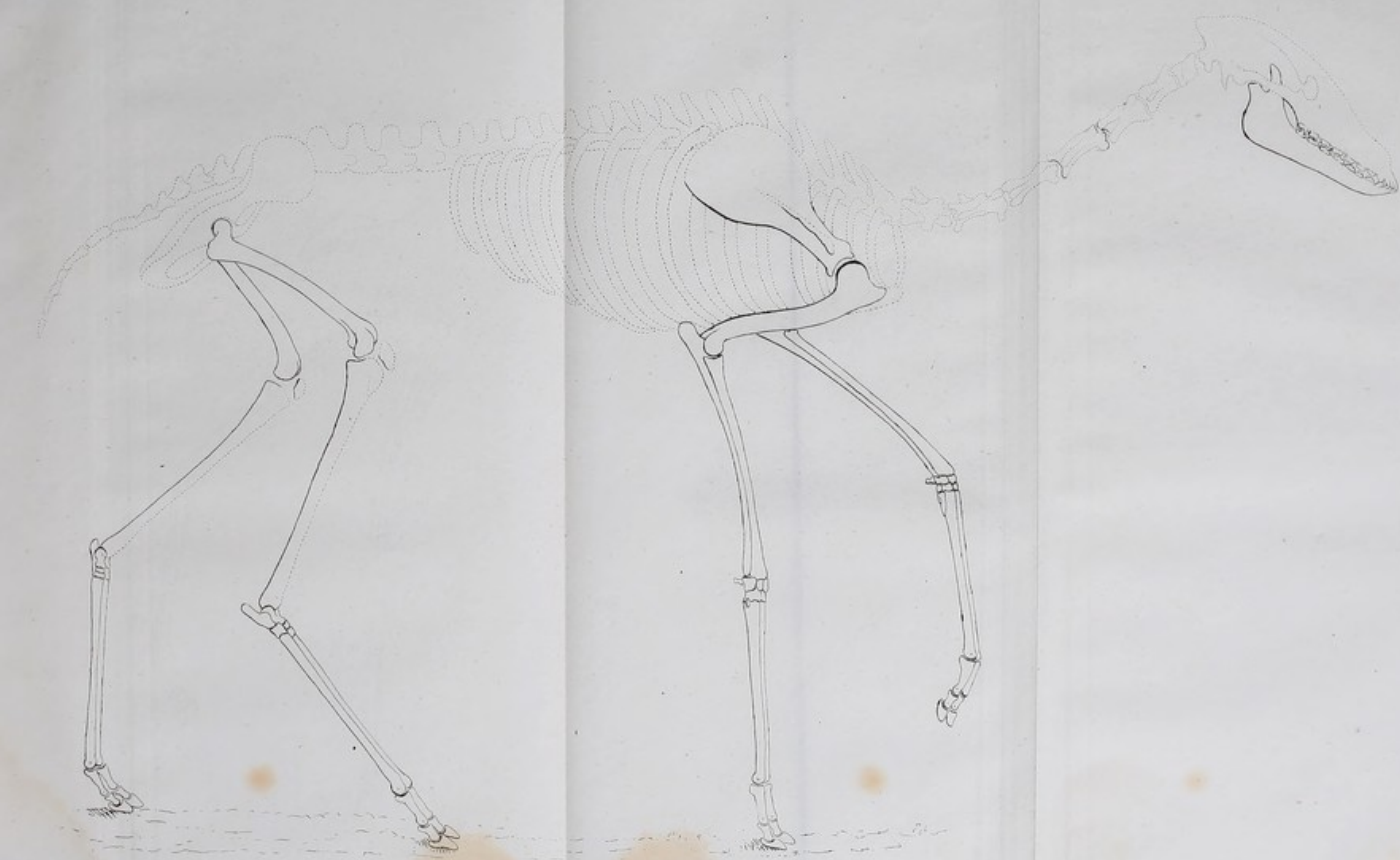


Illustration de la collection

SQUELETTE D'NOPTOTHERIUM COMMUNE RESTITUE, Système de la grande





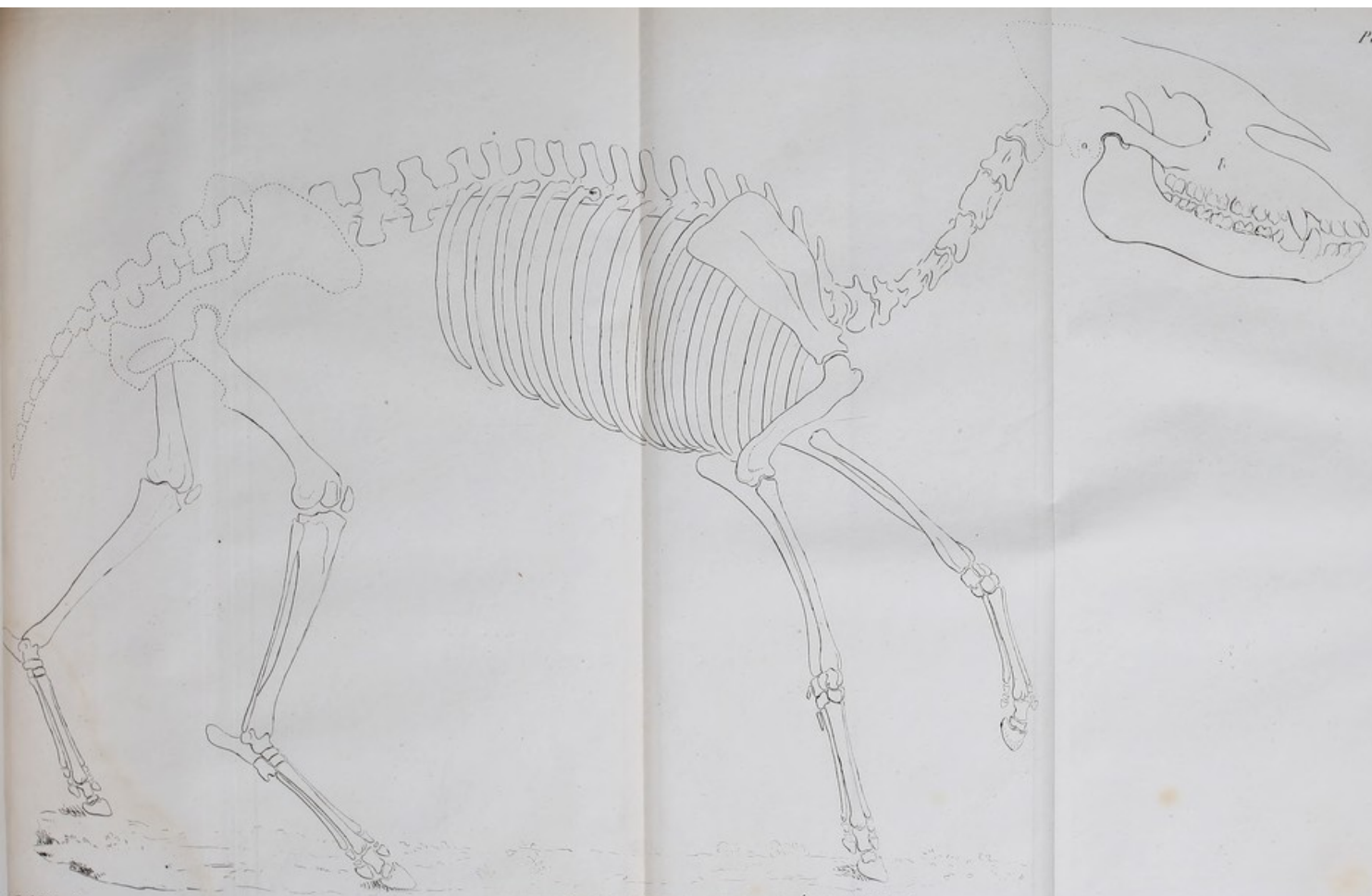
Leveillé del. et sculp.

SQUELETTE D'ANOPLOTHERIUM GRACILE RESTITUÉ. Tiroir de la Grandeur.



Faint, illegible text at the bottom left, possibly a signature or date.

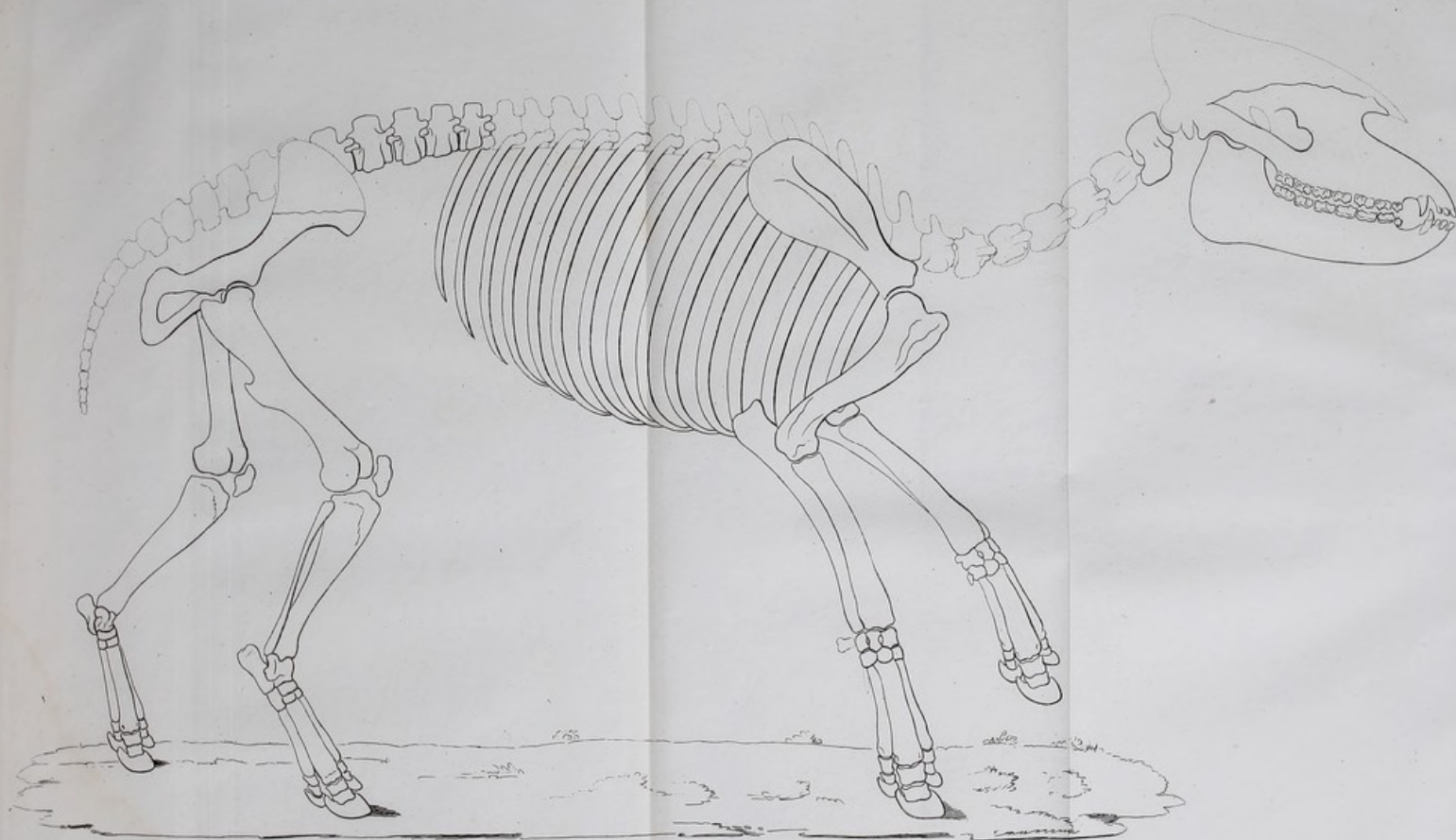
Faint, illegible text at the bottom right, possibly a signature or date.



collar del cuerpo.

SQUELETTE DE PALAEOTHERIUM MINUS RESTITUE. Monté de la grandeur





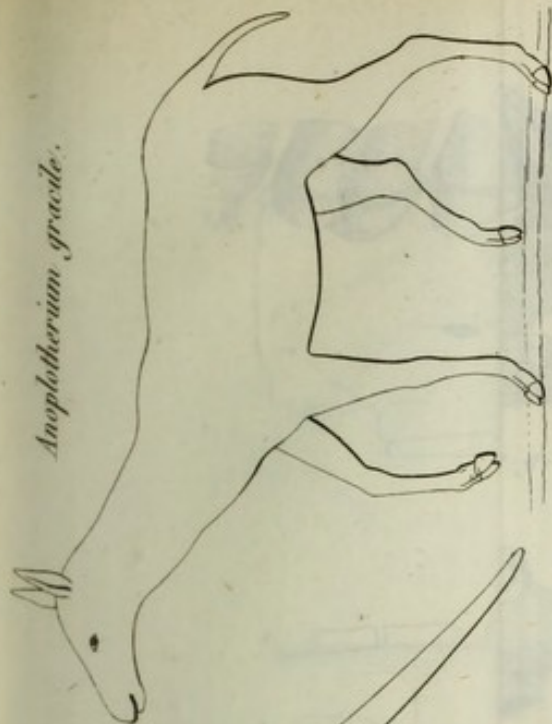
Leveillé del.

SQUELETTE DU PALAEOTHERIUM MAGNUM RESTITUE. Sept^{me} de la grandeur.

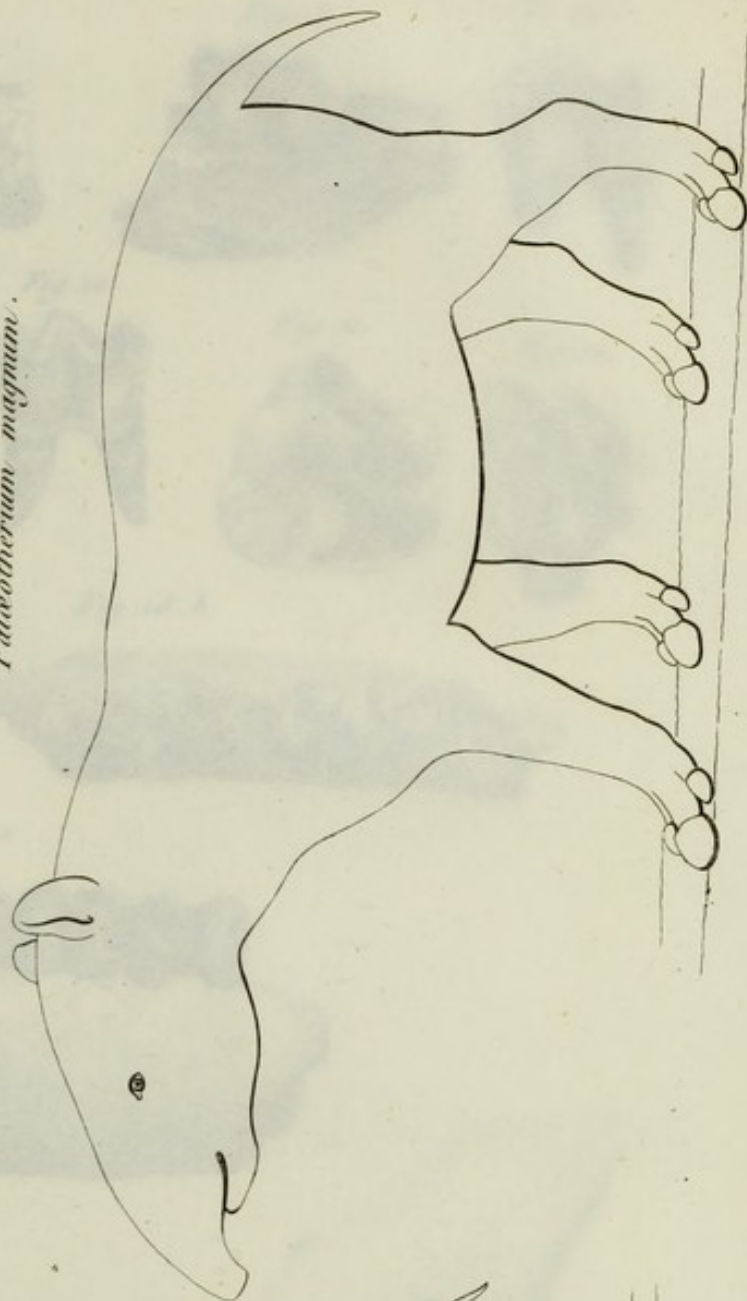
Costant sculp.



Anoplotherium gracile.



Palaeotherium magnum.



Palaeotherium minus.

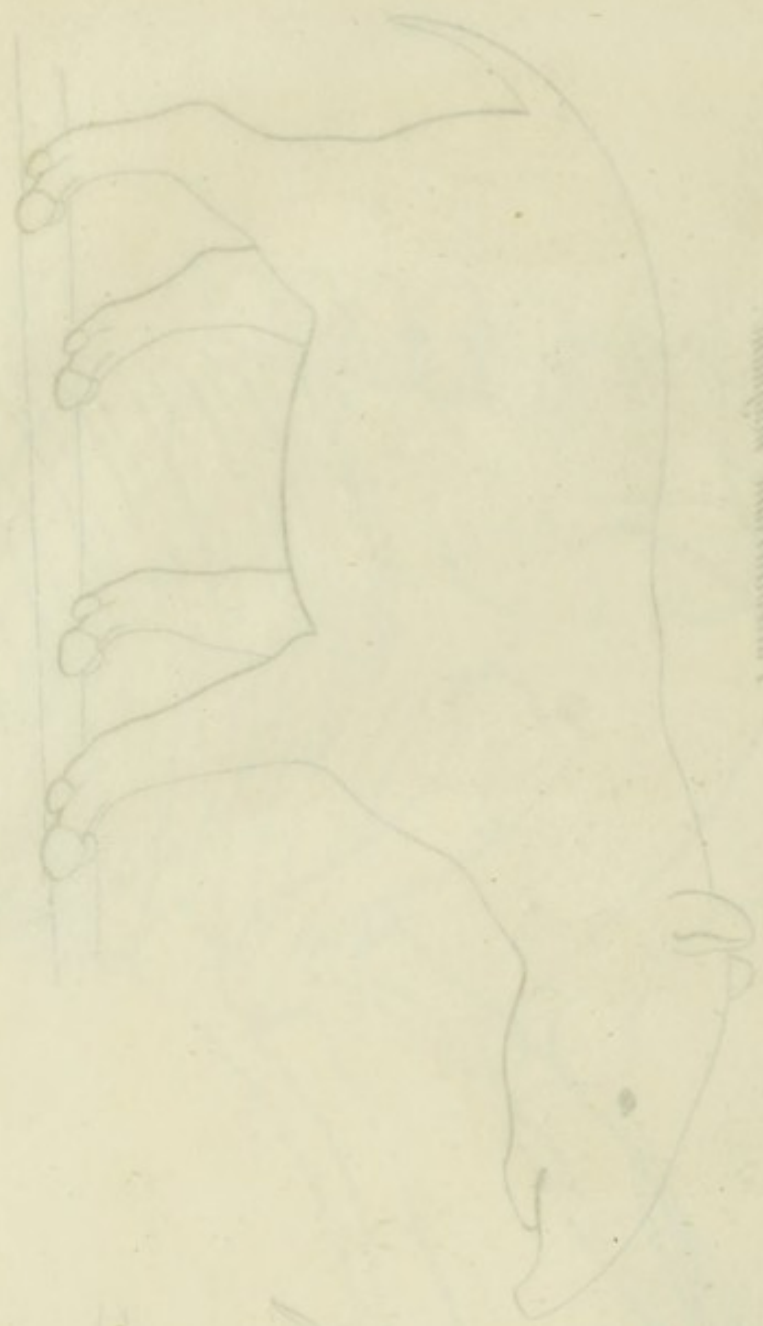


Anoplotherium commune.

Wood del.

Costant sculp.

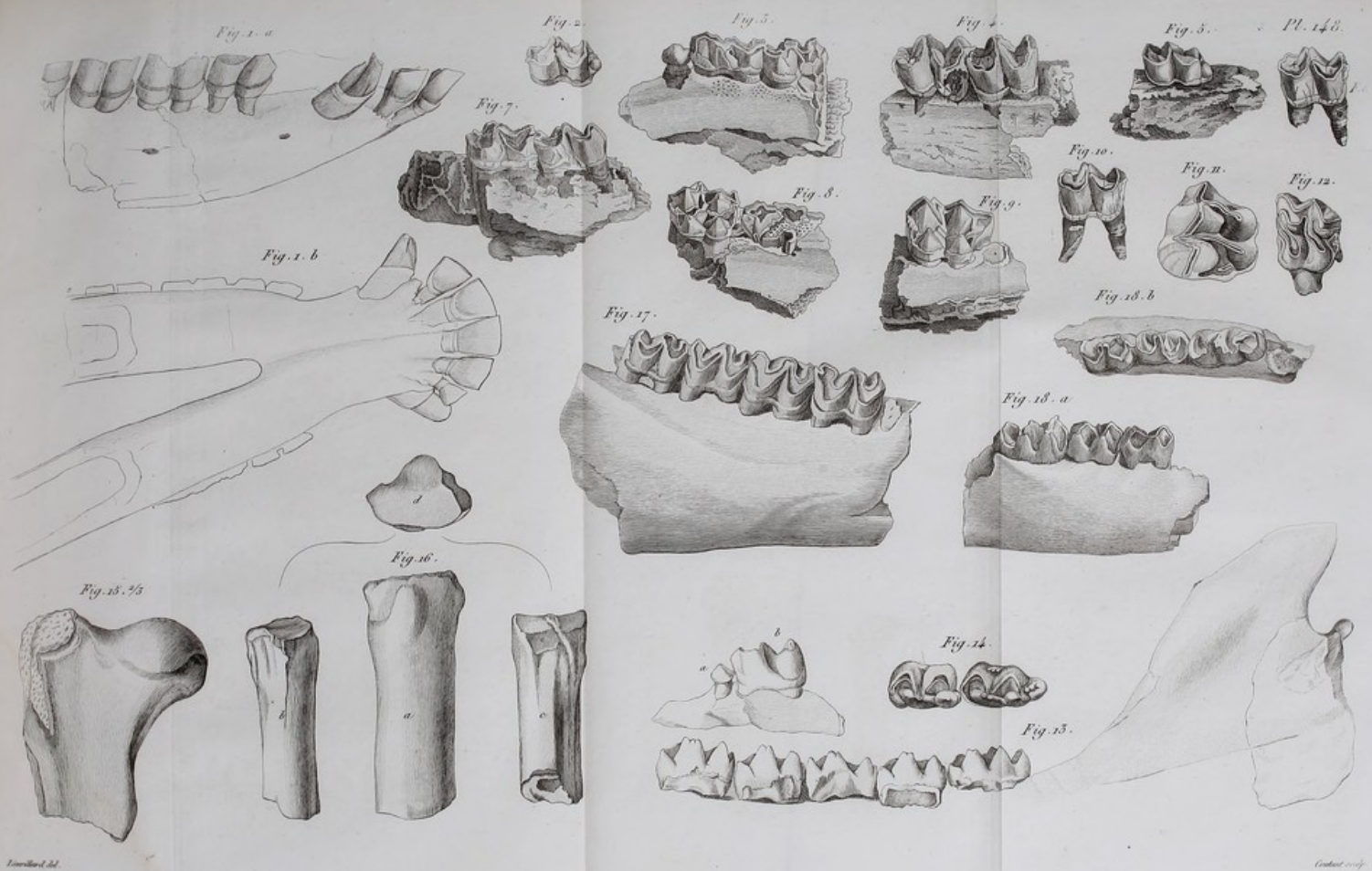
Pl. 19



Ursus arctos



Ursus arctos



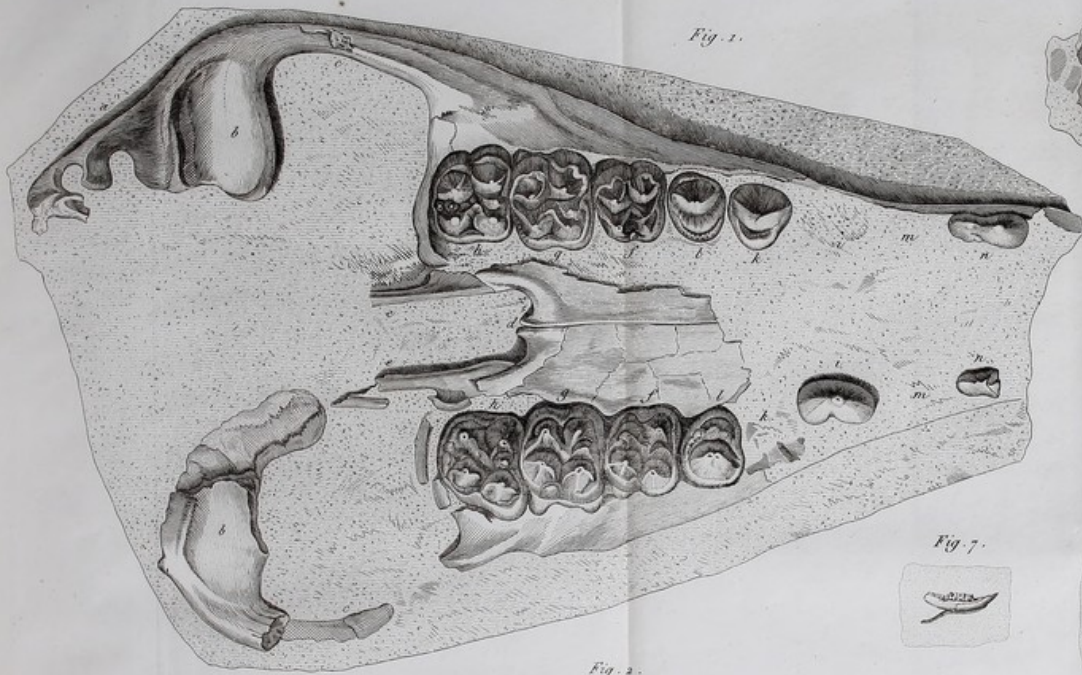


Fig. 1.



Fig. 3.



Fig. 4.



Fig. 12.



Fig. 13.



Fig. 10.



Fig. 9.



Fig. 8.



Fig. 11.

Fig. 5.

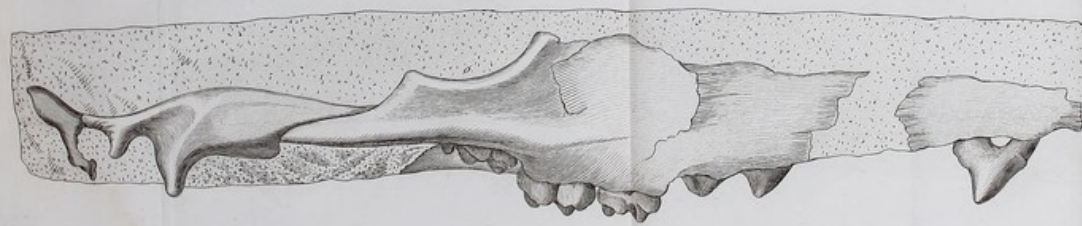


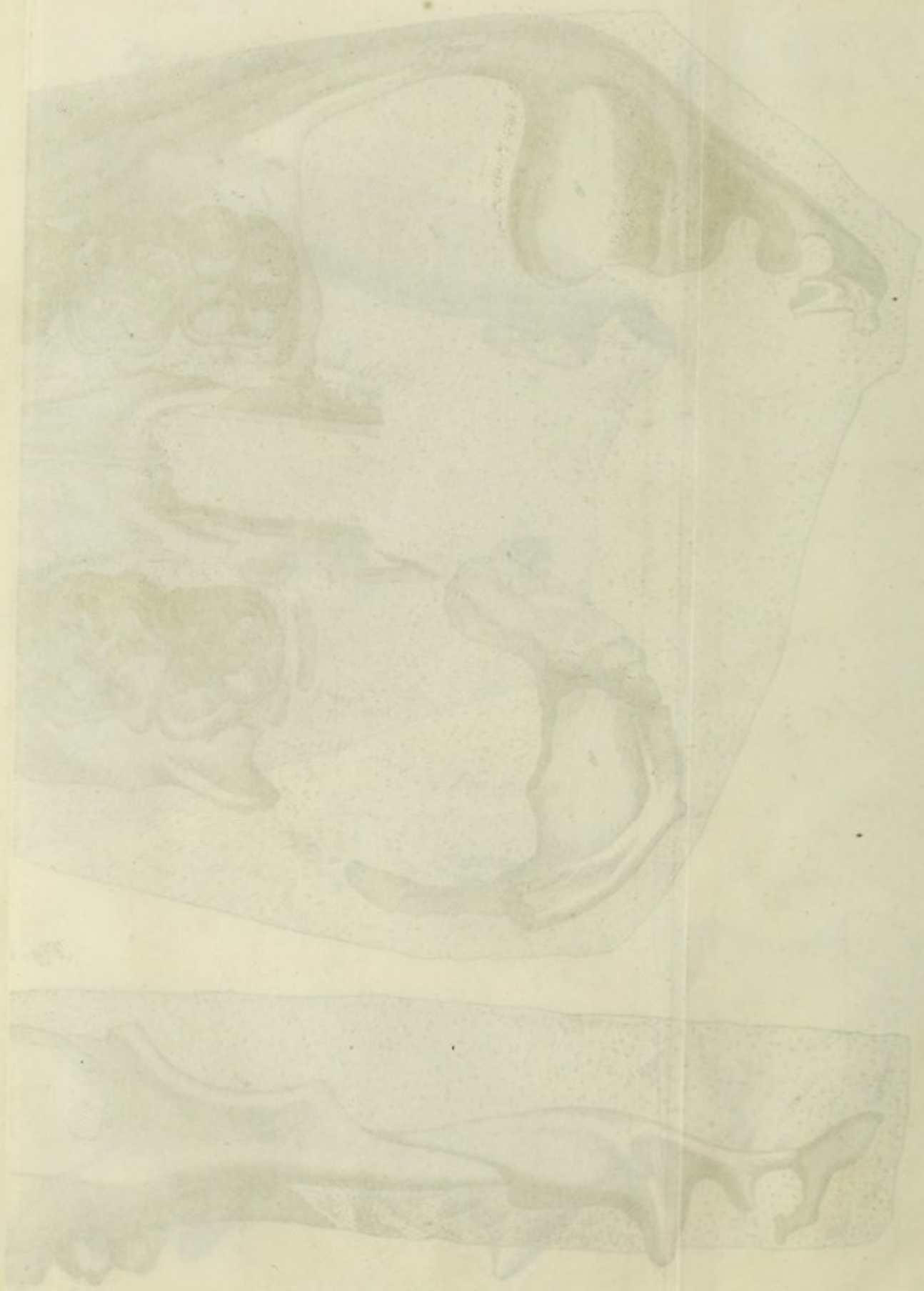
Fig. 2.

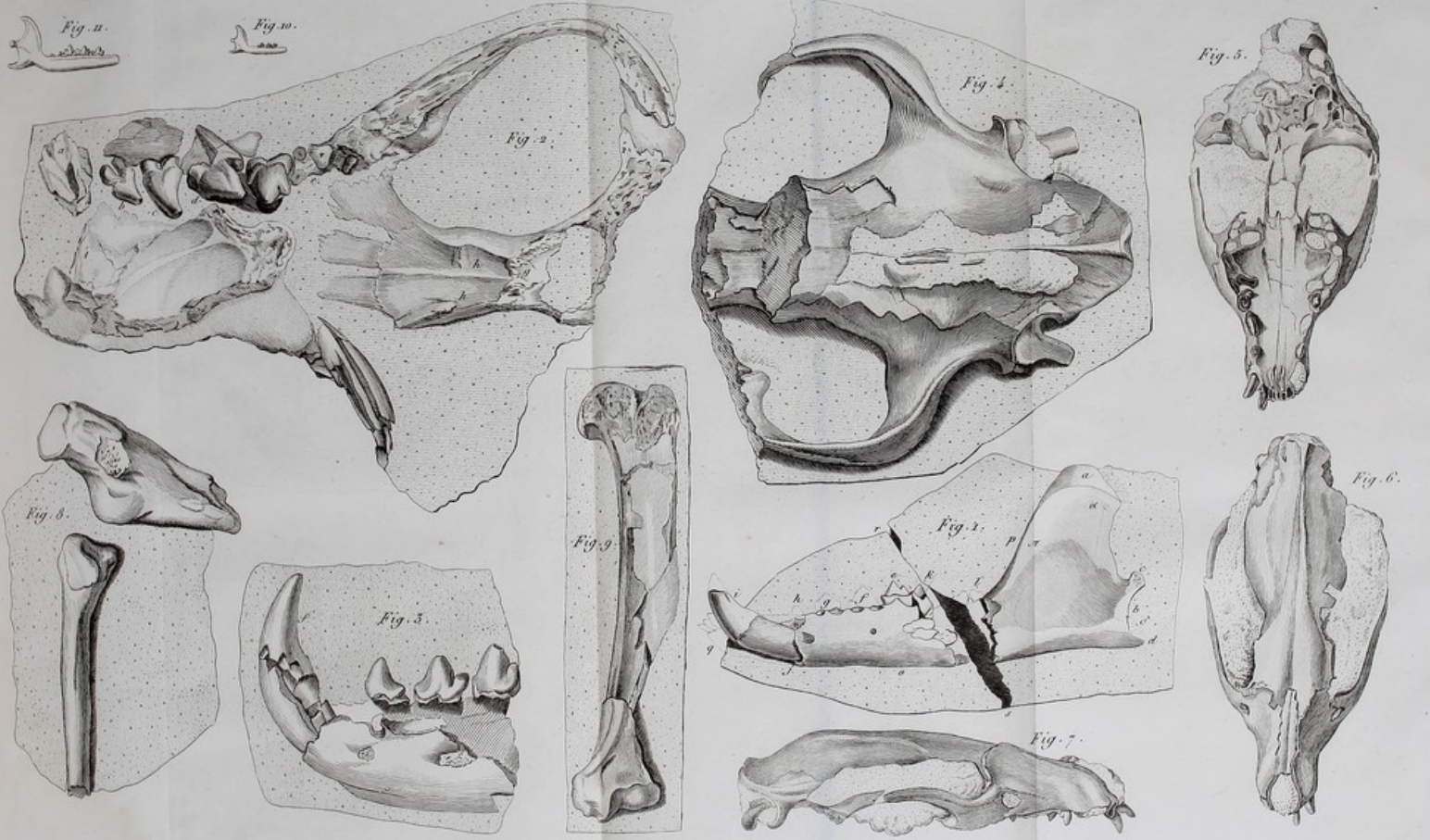


Fig. 6.

Levelland del.

Godard sculp.





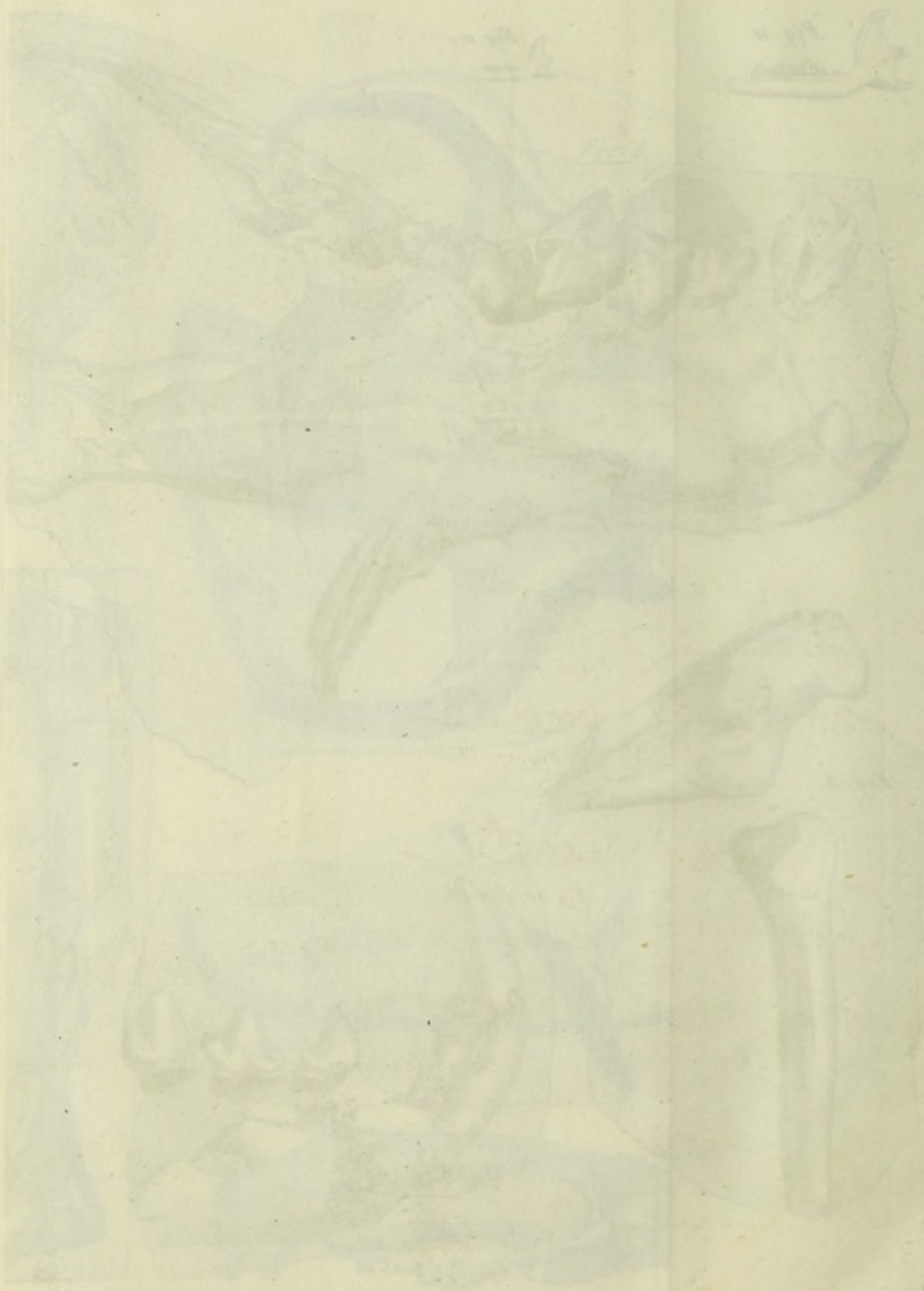
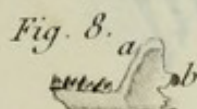
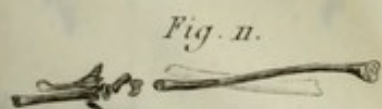
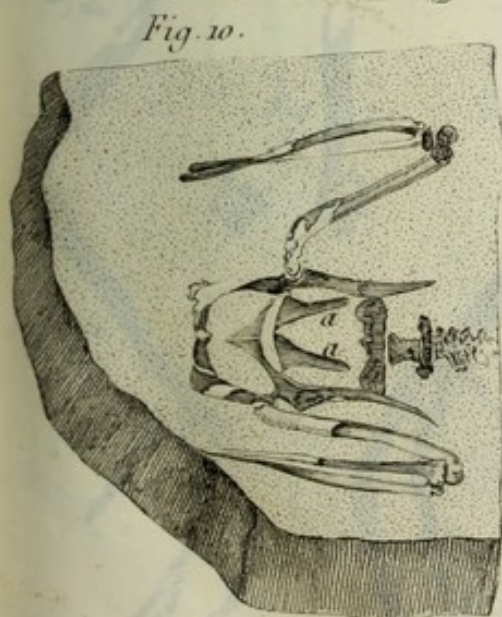
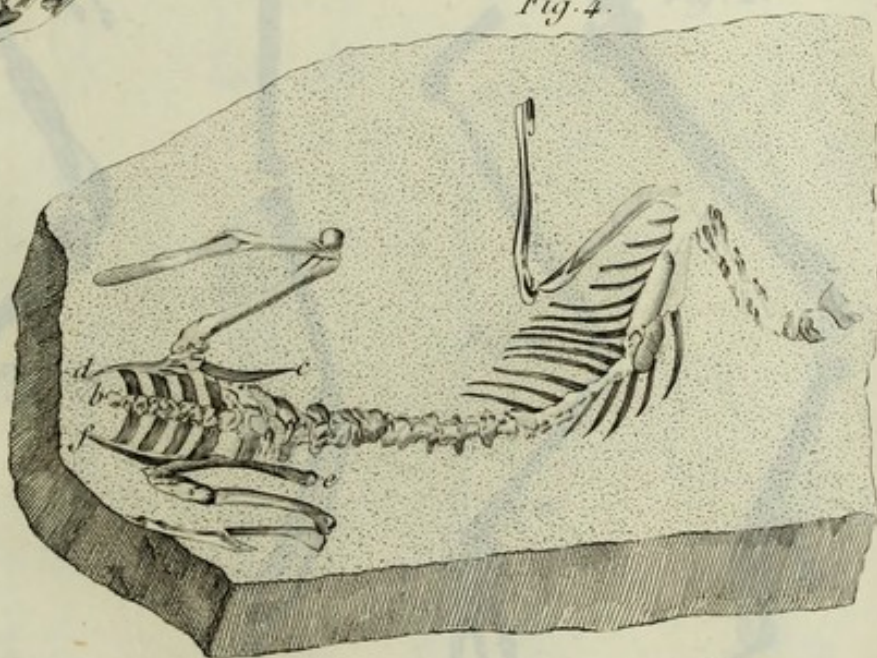






Fig. 4.



SARIGUE fossile.

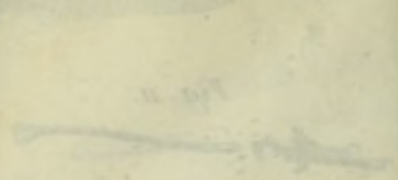
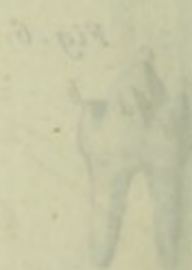
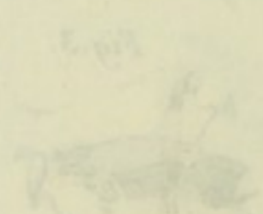


PLANCHE I



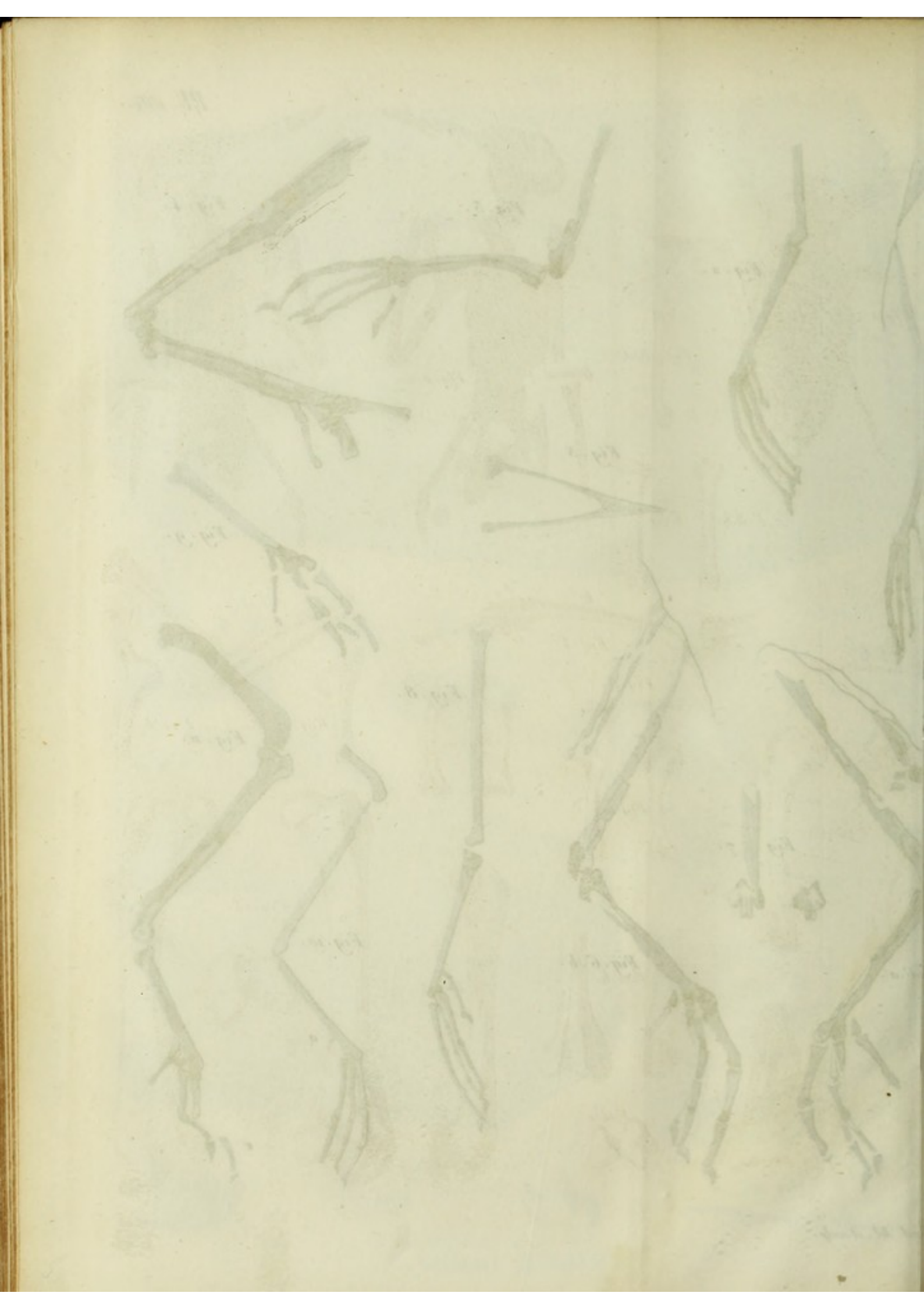




Fig. 1.



Fig. 3. a.



Fig. 2. a.



Fig. 2. b.



F. 3. b.

F. 3. c.

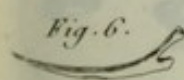


Fig. 6.

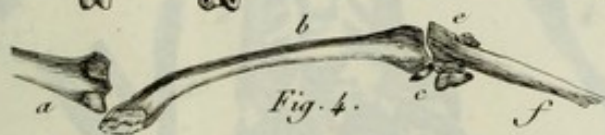


Fig. 4.

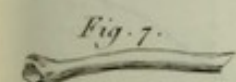


Fig. 7.

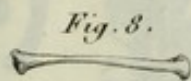


Fig. 8.



Fig. 11.

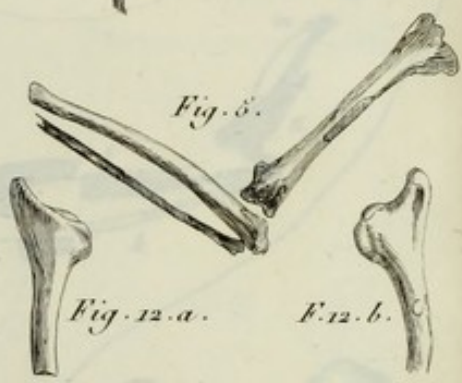


Fig. 5.

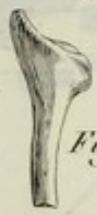


Fig. 12. a.



F. 12. b.



Fig. 9.



Fig. 10.



F. 14. b.



Fig. 14. a.

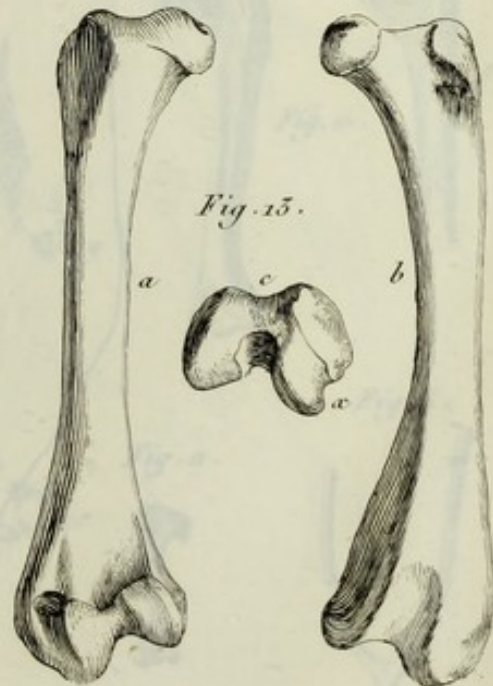


Fig. 13.



a.

c.

b.

a.



Fig. 15.



F. 14. c.



Fig. 7.

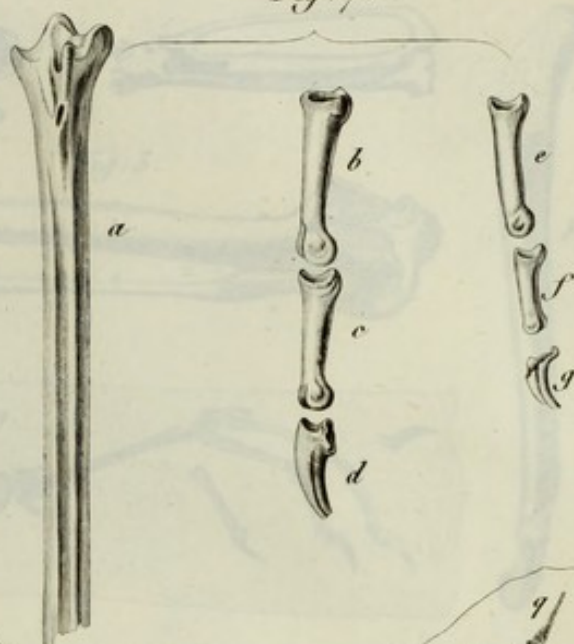


Fig. 8.

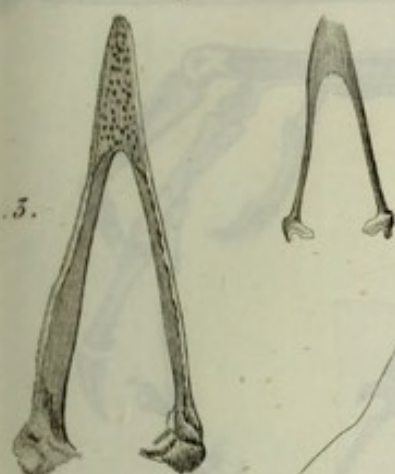


Fig. 1.

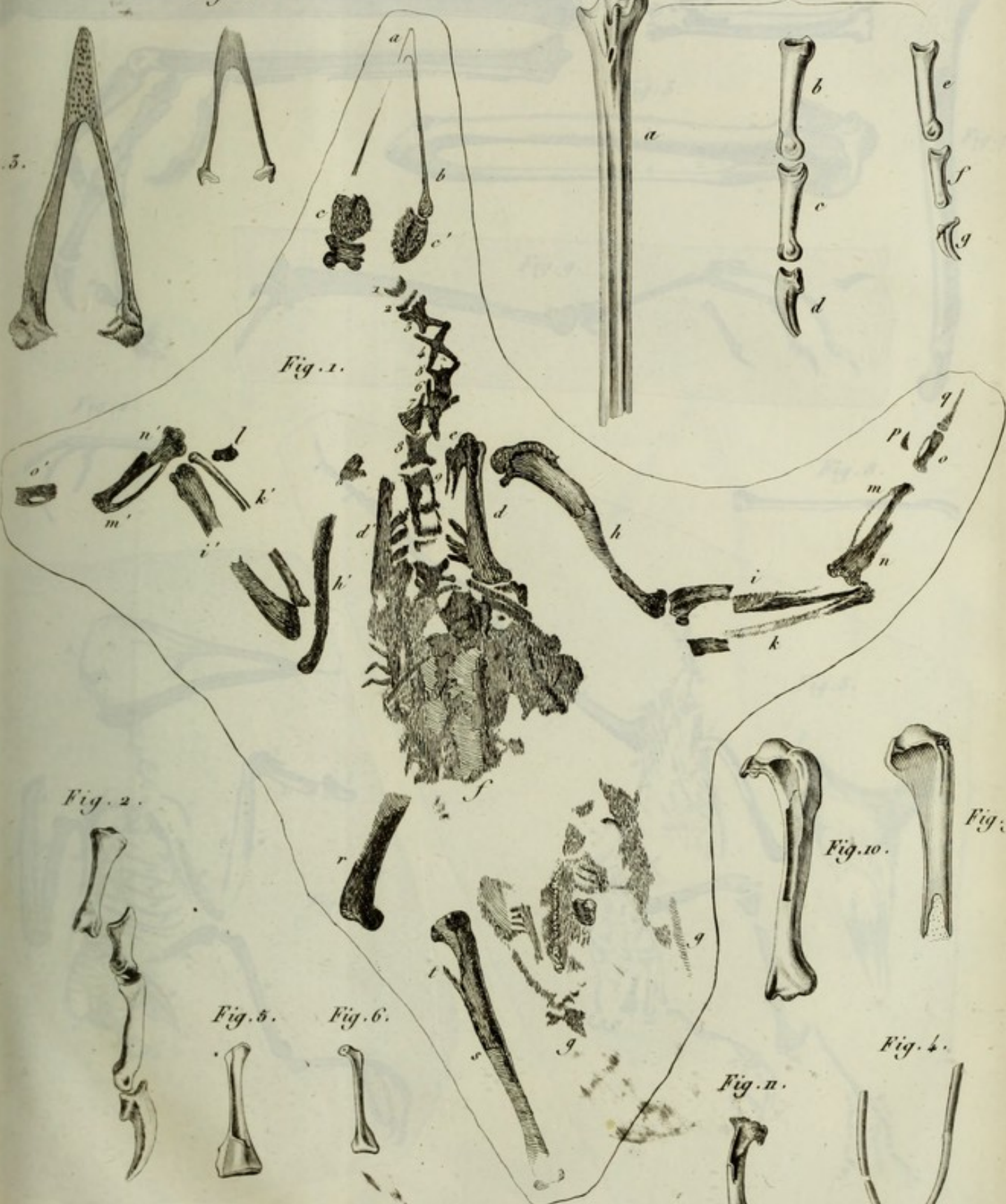


Fig. 9.

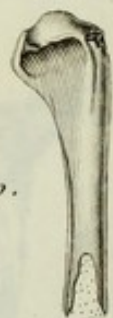


Fig. 10.



Fig. 4.

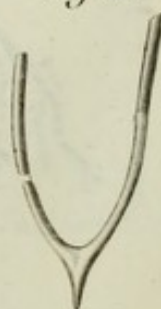


Fig. n.



Fig. 6.



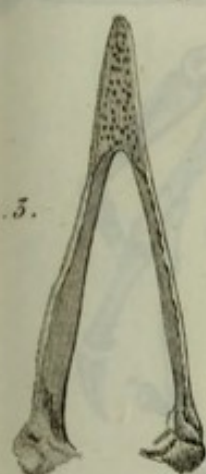
Fig. 5.



Fig. 2.



Fig. 3.



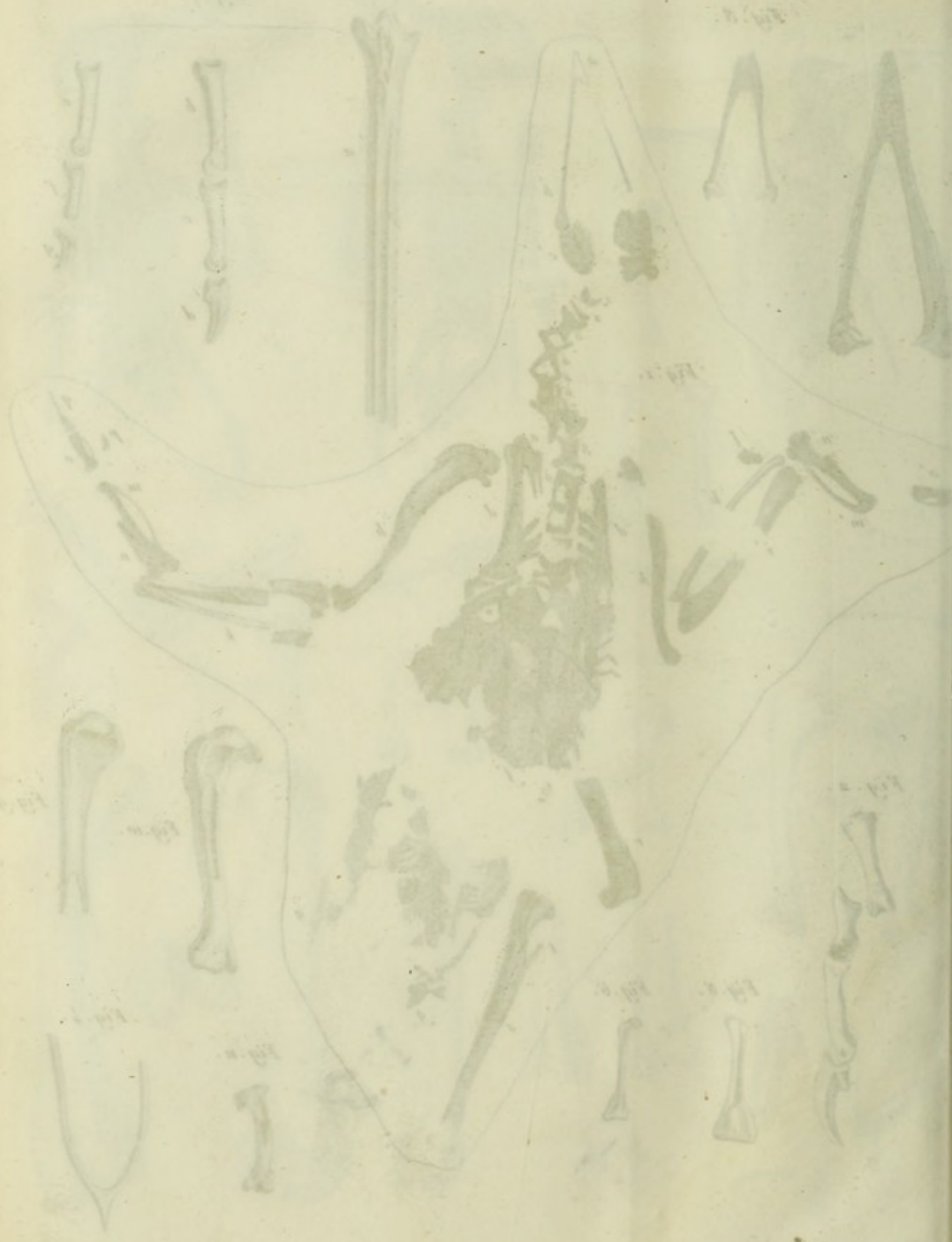


Fig. 1.

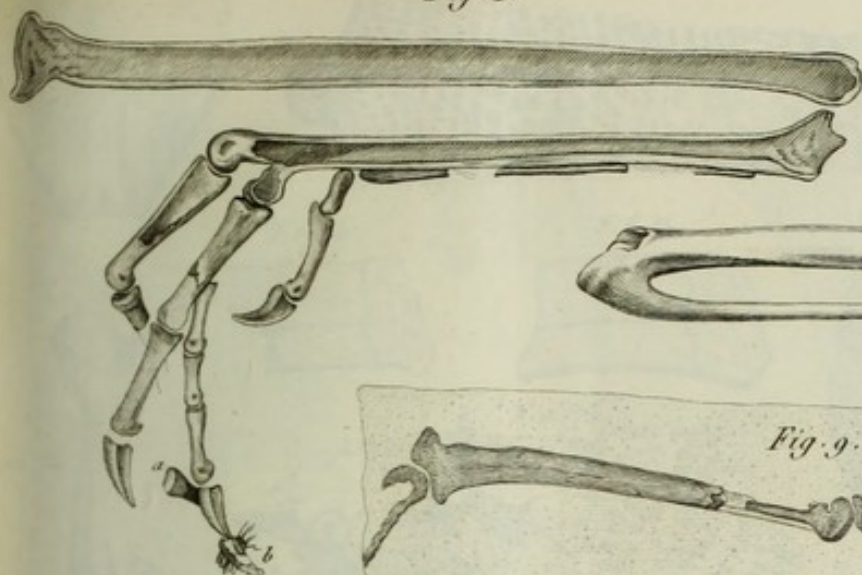


Fig. 4.

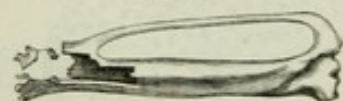


Fig. 3.

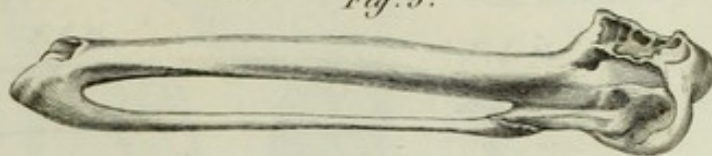


Fig. 7.



Fig. 9.

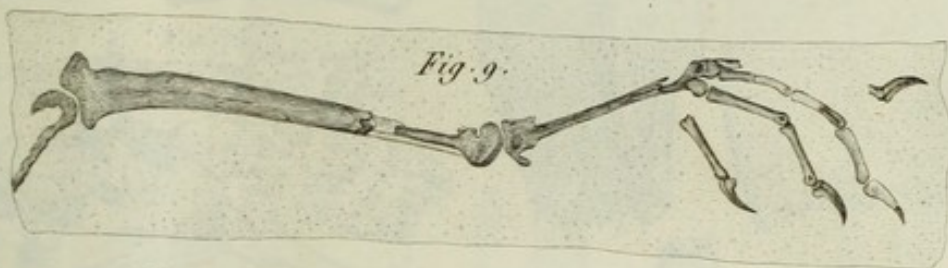


Fig. 2.



Fig. 8.

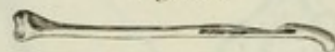
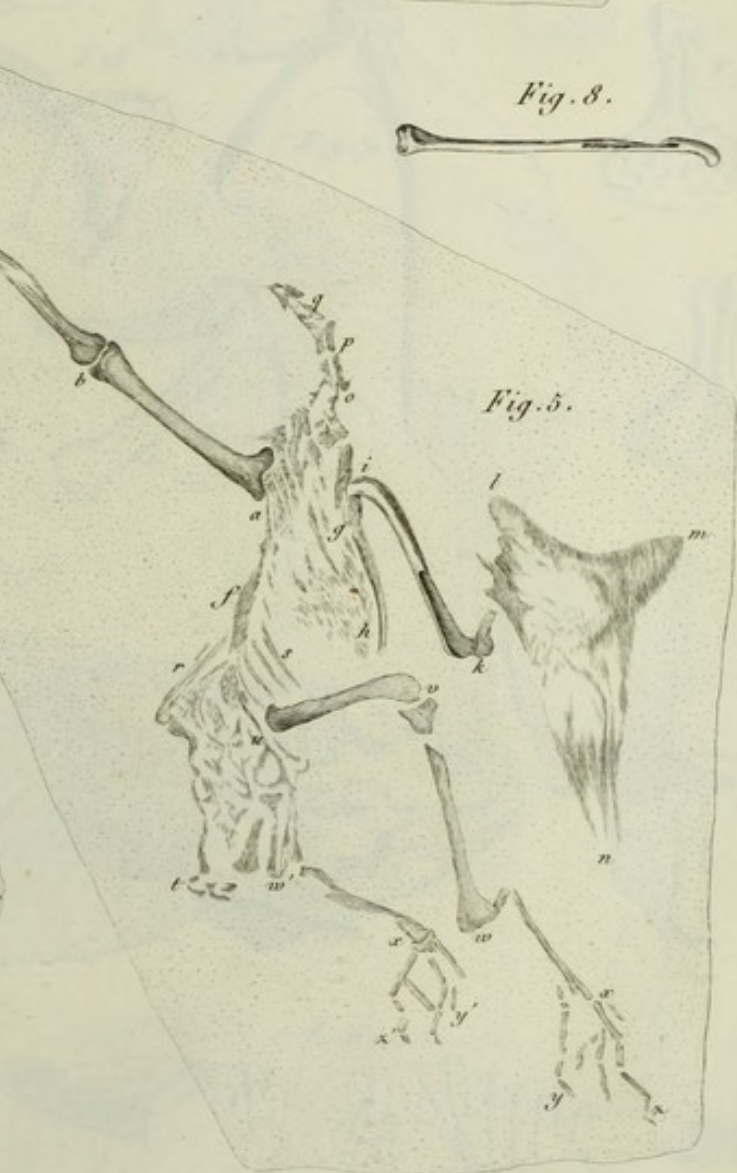


Fig. 6.



Fig. 5.



F.5.



F.2. 1/2

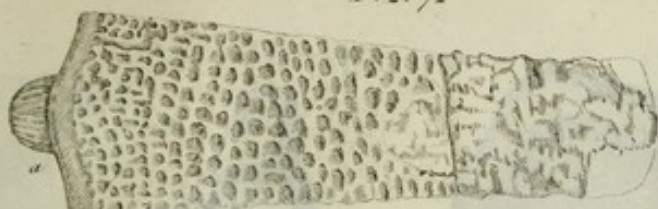
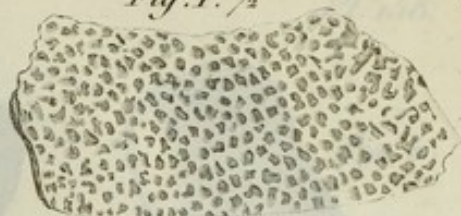
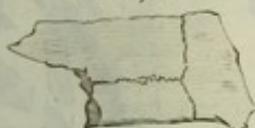


Fig.1. 1/2



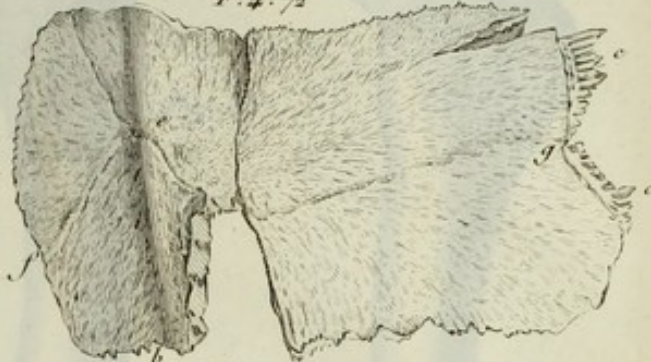
F.6. 1/2



F.5. 1/2



F.4. 1/2



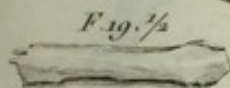
20. 1/2



F.11. 1/2



F.19. 1/2



F.18



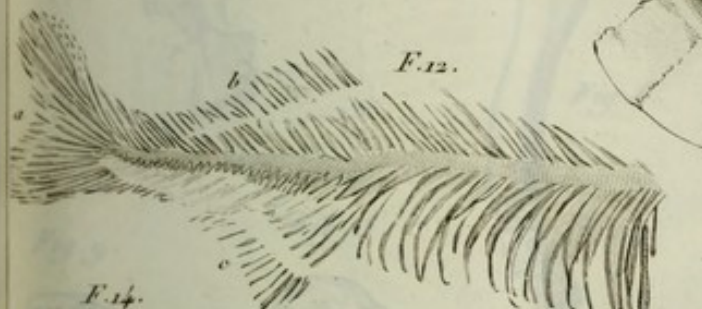
F.9. 1/2



F.7.



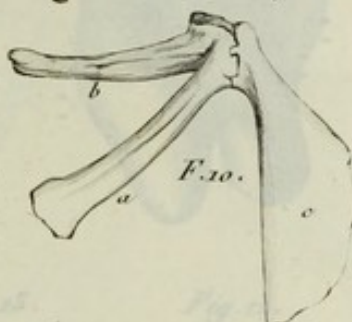
F.12.



F.14.



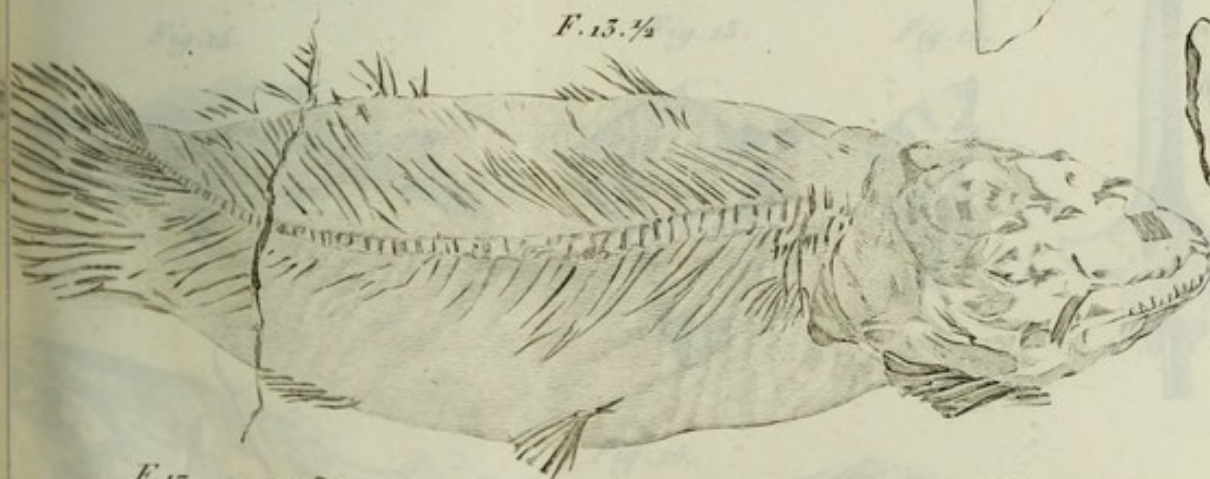
F.10.



F.8.



F.13. 1/2



F.15. 1/2



F.17.



F.16.



Fig. 1

Fig. 2

Fig. 3

Fig. 4

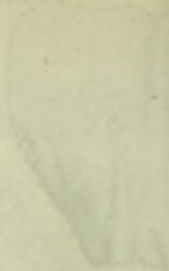
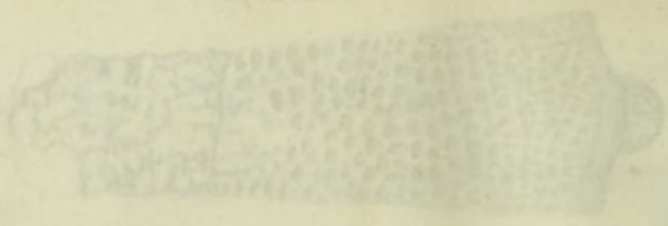


Fig. 5

Fig. 6

Fig. 7

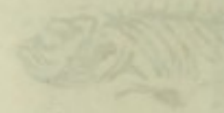
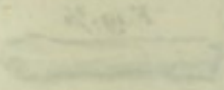
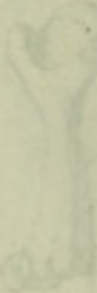
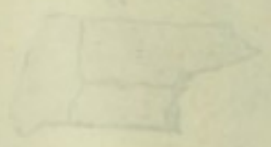
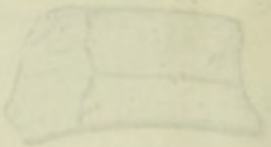




Fig. 1.

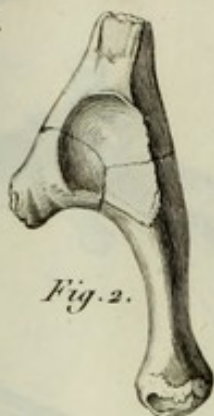


Fig. 2.



Fig. 3.



Fig. 4.

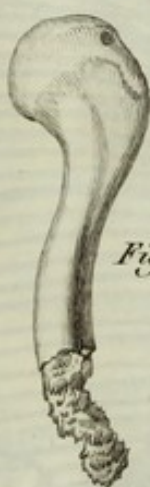


Fig. 6.

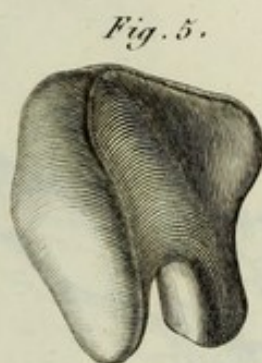


Fig. 5.



Fig. 10.



Fig. 9.



Fig. 8.

Fig. 14.



Fig. 13.



Fig. 12.

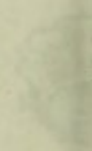
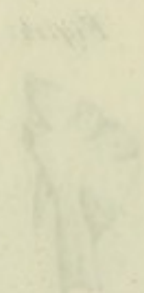
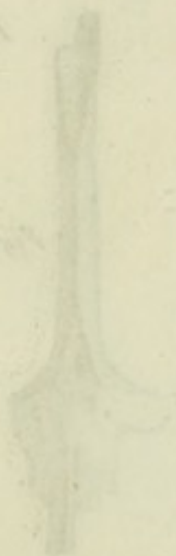
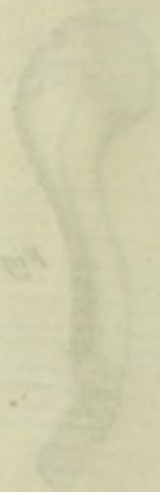


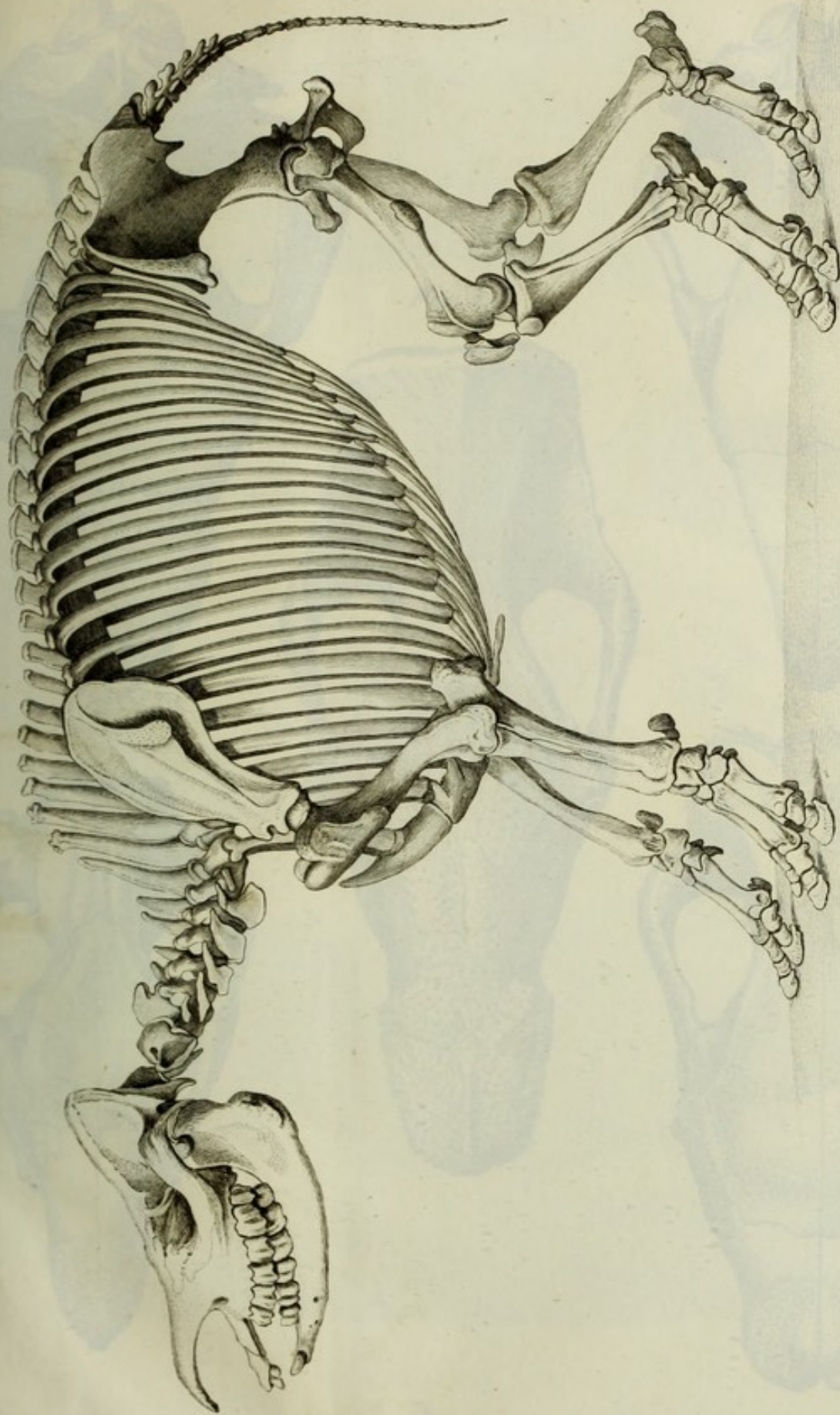
Fig. 11.



Fig. 15.







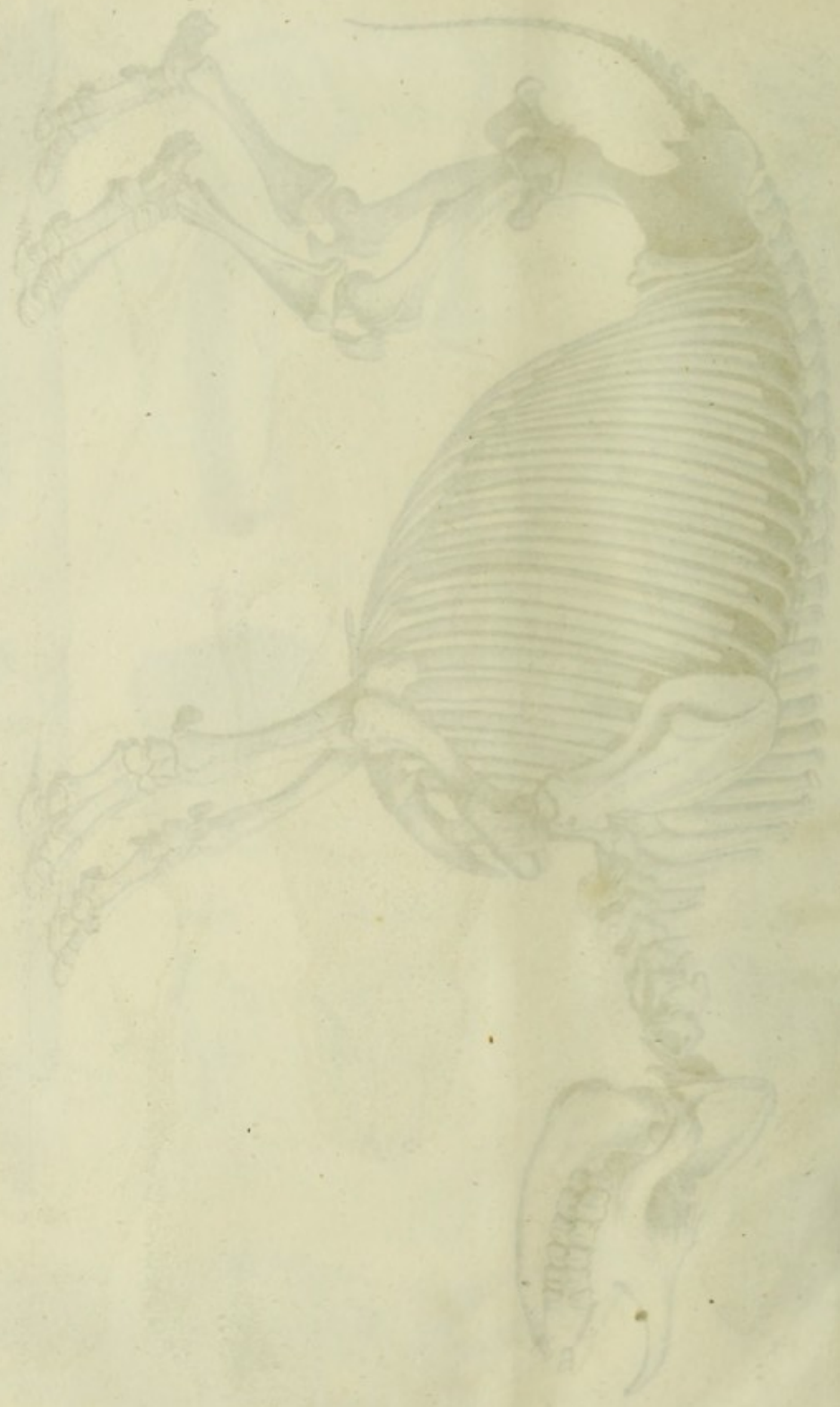


Fig. 1.

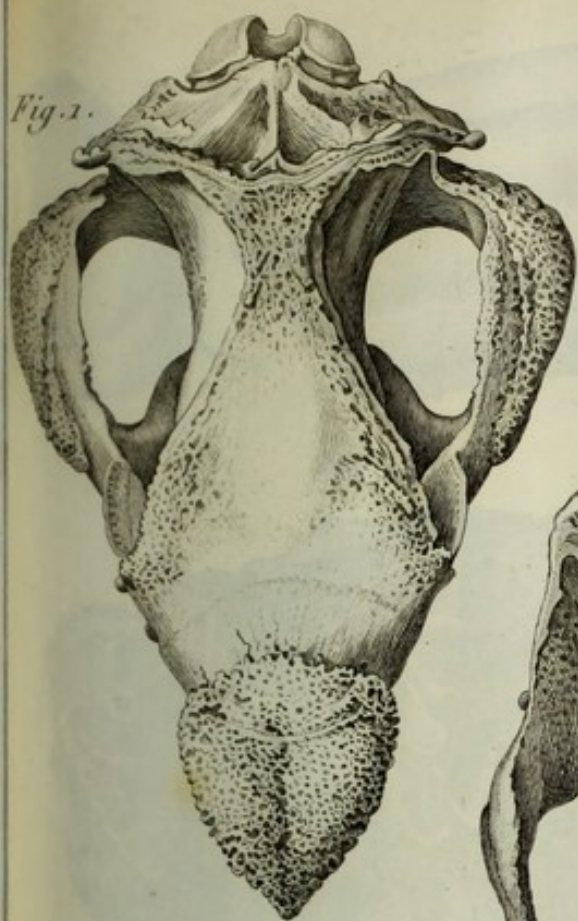


Fig. 2.

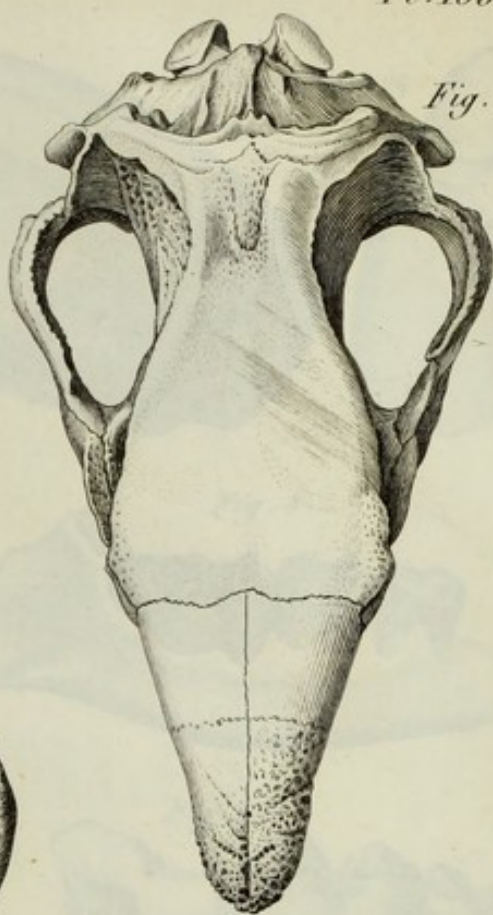


Fig. 5.

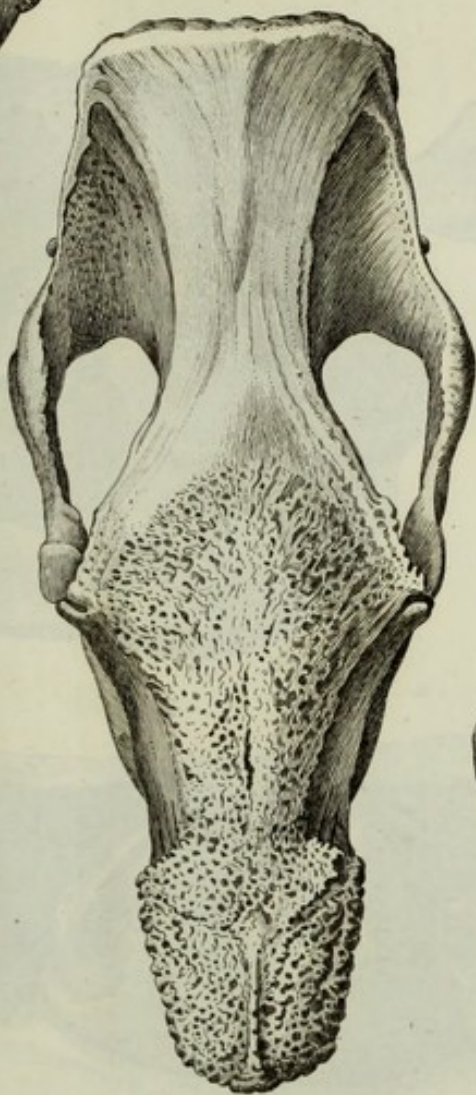


Fig. 3.



Fig. 4.

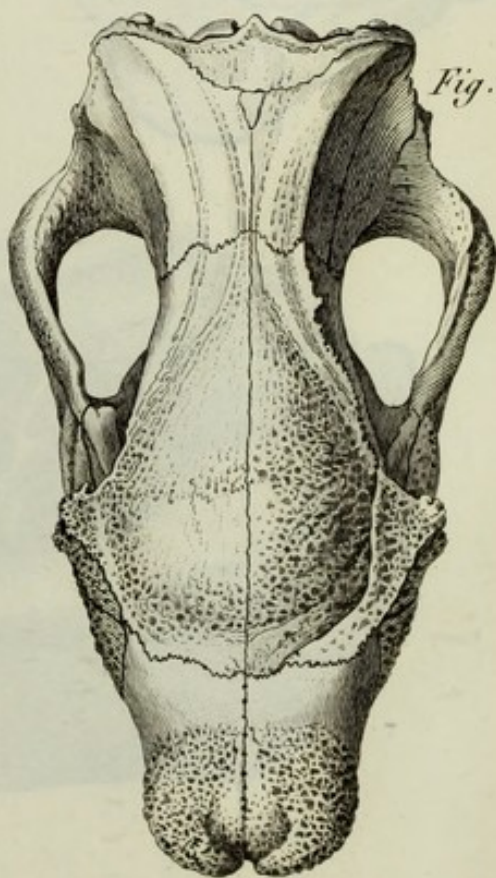




Fig. 3.

Fig. 6.

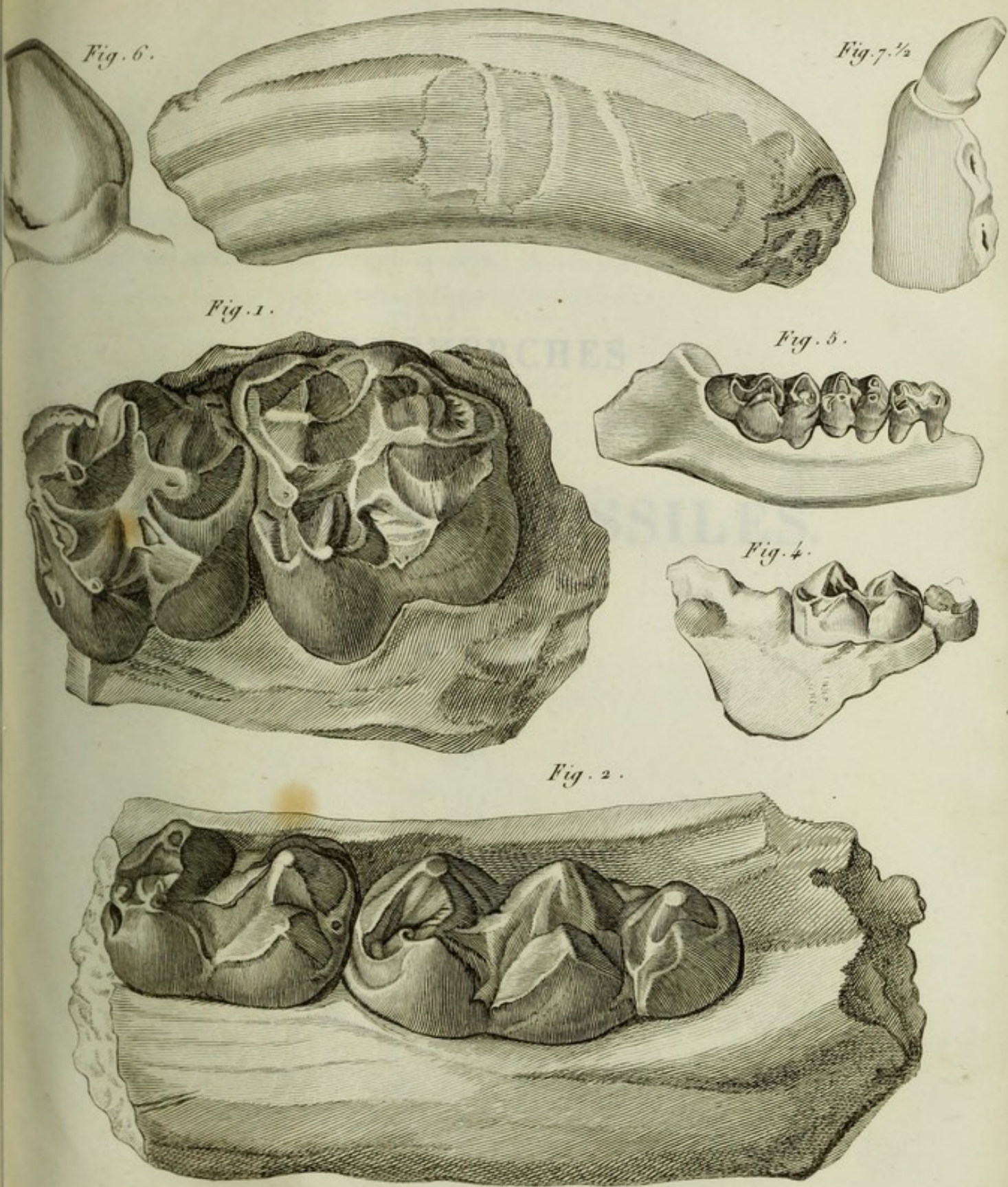
Fig. 7. 1/2

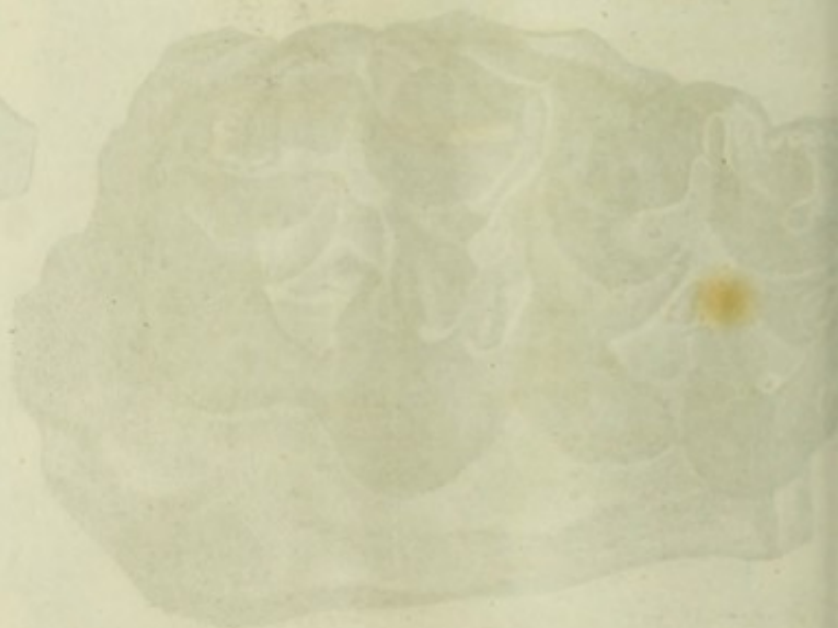
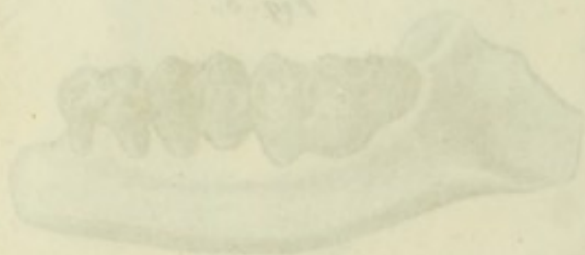
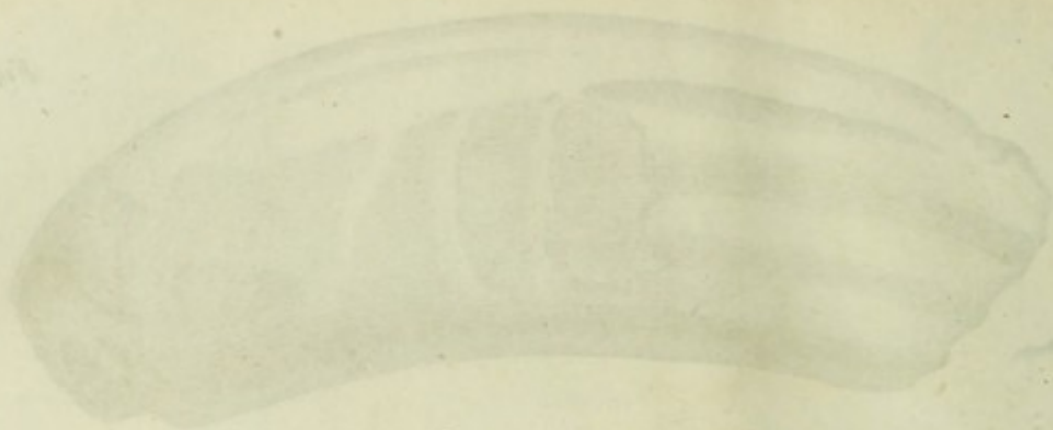
Fig. 1.

Fig. 5.

Fig. 4.

Fig. 2.





RECHERCHES

AUX

OSSEMENTS FOSSILES,

NOTA

DE L'ÉTAT ACTUEL DES RECHERCHES

LES RECHERCHES SONT FAITES DANS LES ENVIRONS DE PARIS

La description des planches de l'Atlas géologique des environs de Paris

GEORGES COTTER

RECHERCHES

SUR LES

OSSEMENTS FOSSILES.

ATLAS.

II.

PARIS.

EDMOND DUCASSE, ÉDITEUR,

12, RUE DES FOSSES-SAINTE-MARTINE.

J. B. BAILLIÈRE,

1, RUE DE LA HARPE.

M. G. LÉVY,

1, RUE DE LA HARPE.

CHOCARD,

1, RUE DE LA HARPE.

BOIS,

1, RUE DE LA HARPE.

1856.

NOTA.

La description des planches de l'Atlas géologique des environs de Paris
se trouve au tome IV, p. 608-650.



PARIS. — IMPRIMERIE DE CASIMIR, RUE DE LA VIEILLE-MONNAIE, N° 12,
entre la rue des Lombards et la place du Châtelet.



RECHERCHES SUR LES OSSEMENTS FOSSILES,

OÙ L'ON RÉTABLIT LES CARACTÈRES
DE PLUSIEURS ANIMAUX DONT LES RÉVOLUTIONS DU GLOBE ONT DÉTRUIT LES ESPÈCES ;

PAR

GEORGES CUVIER.

Quatrième Edition,

APPROUVÉE ET ADOPTÉE PAR LE CONSEIL ROYAL DE L'INSTRUCTION PUBLIQUE.

Triomphante des eaux, du trépas et du temps,
La terre a cru revoir ses premiers habitants.
DE LILLE.

ATLAS.

TOME DEUXIÈME,

Contenant : 1° les planches 162 à 260, avec leur explication ; 2° l'Atlas de la description géologique des environs de Paris, planches A à S.



PARIS.

EDMOND D'OCAGNE, ÉDITEUR,

12, RUE DES PETITS-AUGUSTINS.

J.-B. BAILLIÈRE,

13 bis, rue de l'École-de-Médecine.

F.-G. LEVRAULT,

81, rue de la Harpe.

CROCHARD,

13, place de l'École-de-Médecine.

RORET,

10 bis, rue Hautefeuille.

1836.

RECHERCHES

DE

OSSEMENTS FOSSILES

PAR

DE M. LE COMTE DE CAUVIN

DE M. LE COMTE DE CAUVIN

DE M. LE COMTE DE CAUVIN

GEORGES CUVIER

Georges Cuvier

ATLAS

ATLAS

ATLAS

TOME DEUXIÈME

Contenant : 1. les planches 103 à 106, avec leur explication ; 2. l'Atlas de la description géologique des carrières de Paris, planches A à F.



PARIS

EDMOND D'OCAGNE, ÉDITEUR

12, rue des Écoles - ANCIENNE

CHODARD

11, place de l'École-de-Médecine

BOULEVARD

10, rue de l'École-de-Médecine

J.-B. MARIÉ

13, rue de l'École-de-Médecine

J.-B. MARIÉ

13, rue de l'École-de-Médecine

1836

EXPLICATION DES PLANCHES.

PLANCHE 162.

Fig. 1. 2. 3 et 4. Ostéologie de la tête du mouton.

1. Tête de mouton vue de profil.
2. ————— vue en dessus.
3. ————— vue en dessous.
4. ————— par sa face occipitale.
- a. b.* Os inter-maxillaires.
- c. c.* Trous incisifs.
- d. e.* Maxillaires.
- d'. d'.* Portion postérieure du maxillaire.
- f. f.* Os du nez.
- g. g.* Lacrymaux.
- g'.* Trou lacrymal.
- h. h.* Juguux.
- i. i.* Frontaux.
- k. k.* Les palatins.
- k'.* Suture du palatin avec le lacrymal.
- m. m.* Apophyse ptérygoïde interne, distincte, et formant l'os ptérygoïdien.
- n.* Aile orbitaire du sphénoïde antérieur.
- o. o. o.* Sphénoïde postérieur.
- p. p.* Pariétal.
- q.* Occipital.
- q'. q'.* Apophyse analogue de la mastoïde, mais qui naît de l'occipital.
- r.* Le rocher.
- s. s.* La facette glénoïde.
- t.* Orifice du canal sous-orbitaire.
- u. u.* Trou sur-orbitaire.

Fig. 5. Portion de mâchoire inférieure de veau.

- | | | |
|------------------------------|---|------------------|
| <i>a.</i> Troisième | } | molaire de lait. |
| <i>b.</i> Deuxième | | |
| <i>c.</i> Première | | |
| <i>d.</i> Incisives de lait. | | |

Fig. 6. Portion de mâchoire inférieure de bœuf.

- a.* Dernière mâchelière inférieure.
 - b. c.* Les deux avant-dernières molaires.
 - d.* Troisième molaire
 - e.* Deuxième molaire
 - f.* Première molaire
 - g.* Incisives
- } de remplacement.

Fig. 7. Molaires de lait supérieures du veau.

- a. b. c.* Dernière, pénultième et antépénultième molaire.

Fig. 8. Molaires supérieures d'un bœuf adulte.

- a. b. c.* Les troisième, seconde et première arrière-molaires.
- d. e. f.* Les troisième, deuxième et première molaires de remplacement.

Fig. 9. Mâchoire inférieure de jeune cerf.

- a. b. c.* Troisième, deuxième et première molaire de lait.
- d.* Incisives de lait.

Fig. 10. Portion d'une mâchoire inférieure de cerf.

- a.* Dernière molaire inférieure.
 - b. c.* La pénultième et l'antépénultième molaire.
 - d.* Troisième molaire
 - e.* Deuxième molaire
 - f.* Première molaire
 - g.* Incisives
- } de remplacement.

Fig. 11. *a. b. c.* Les dernière, pénultième et antépénultième molaires de lait supérieures du cerf.

Fig. 12. Molaires supérieures du cerf adulte.

- a. b. c.* Les troisième, deuxième et première arrière-molaires.
- d. e. f.* Les troisième, deuxième et première molaires de remplacement.

Fig. 13. Dernière mâchelière inférieure de bœuf, en germe.

- a'. a''. a'''.* Les trois demi-cylindres dont le germe est formé. (Grand. nat.)

Fig. 14. Avant-dernière molaire inférieure de bœuf, en germe.

Fig. 15. Troisième molaire inférieure de remplacement du bœuf, en germe.

Fig. 16. Troisième molaire de lait inférieure de bœuf, en germe.

Fig. 17. Deuxième molaire de lait inférieure de bœuf, en germe.

Fig. 18. Dernière molaire inférieure de mouton, sur laquelle les progrès de la détritition ont bien caractérisé les doubles croissans.

Fig. 19. Dernière molaire inférieure de lama.

PLANCHE 163.

OS DE BOEUF ET DE CERF, AU CINQUIÈME.

*Os de bœuf.**Fig. 1. Omoplate.*

1. *a.* Vu par sa face humérale.
1. *b.* Vu par sa face externe.

Fig. 2. Humérus.

2. *a.* Face antérieure.
2. *b.* ——— postérieure.
2. *c.* Tête supérieure.
2. *d.* ——— inférieure.

Fig. 3. Cubitus et radius.

3. *a.* Face antérieure.
3. *b.* ——— externe.
3. *c.* Tête supérieure du radius, et facette sigmoïde du cubitus.
3. *d.* Tête inférieure.

Fig. 4. Pied de devant.

4. *a.* Face antérieure.
4. *b.* Facette supérieure du métacarpien.

*Fig. 5. Bassin, vu par sa face antérieure.**Fig. 5'. Le même, vu par sa face latérale.**Fig. 6. Fémur.*

6. *a.* Face antérieure.
6. *b.* ——— postérieure.
6. *c.* Tête supérieure.
6. *d.* ——— inférieure.

Fig. 7. Tibia.

7. *a.* Face antérieure.
7. *b.* Tête supérieure.
7. *c.* ——— inférieure.

Fig. 8. Astragale.

8. *a.* Face supérieure.
8. *b.* ——— externe.
8. *c.* ——— inférieure.
8. *d.* ——— interne.

Fig. 9. Calcaneum.

9. *a.* Face supérieure.
9. *b.* ——— interne.

Fig. 10. Pied de derrière.

10. *a.* Face antérieure.
10. *b.* Facette supérieure du métatarsien.

*Os de cerf.**Fig. 11. Omoplate.*

11. *a.* Face humérale.
11. *b.* ——— externe.

Fig. 12. Humérus.

12. *a.* Face antérieure.
12. *b.* ——— postérieure.
12. *c.* Tête supérieure.
12. *d.* ——— inférieure.

Fig. 13. Cubitus et radius.

13. *a.* Face antérieure.
13. *b.* ——— externe.
13. *c.* Tête supérieure du radius, et facette sigmoïde du cubitus.
13. *d.* Tête inférieure.

Fig. 14. Pied de devant.

14. *a.* Face antérieure.
14. *b.* Facette supérieure du métacarpien.

*Fig. 15. Bassin vu par sa face antérieure.**Fig. 15'. ————— latérale.**Fig. 16. Fémur.*

16. *a.* Face antérieure.
16. *b.* ——— postérieure.
16. *c.* Tête supérieure.
16. *d.* ——— inférieure.

Fig. 17. Tibia.

17. *a.* Face antérieure.
17. *b.* Tête supérieure.
17. *c.* ——— inférieure.

Fig. 18. Astragale.

18. *a.* Face supérieure.
18. *b.* ——— externe.
18. *c.* ——— inférieure.
18. *d.* ——— interne.

Fig. 19. Calcanéum.

19. *a.* Face supérieure.
19. *b.* ——— interne.

Fig. 20. Pied de derrière.

20. *a.* Face antérieure.
20. *b.* Facette supérieure du métatarsien.

PLANCHE 164.

Fig. 1 à 12. Série des bois du cerf commun.

1. Premier bois, c'est-à-dire celui qui tombe la seconde année de l'âge de l'animal, et que l'on nomme *dague*.

2. Second bois, nommé *fourche*.

3 et 4. Seconds bois, mais ayant, contre l'ordinaire, deux et trois andouillers.

5. Troisième bois.

6. Quatrième bois.

7 et 8. Cinquième bois, ou bois de *cerf de dix cors jeunement*.

9. 10. 11 et 12. Sixième bois, ou bois de *cerf de dix cors*. Ces bois sont ceux que le cerf jette à sept ans et au-dessus.

Fig. 13. 14. 15. 16 et 17. Bois de cerf du Canada, provenant d'individus plus ou moins âgés, mais dont le plus jeune devait avoir au moins 6 ou 7 ans.

13. Bois anciennement au Cabinet d'anatomie.

14. Bois d'un individu envoyé de New-York, par M. Milbert.

15. Bois de l'individu décrit par Perrault, et conservé au Cabinet d'anatomie.

16. Bois envoyé de New-York.

17. Bois envoyé autrefois de Versailles au Cabinet, et décrit par Daubenton, t. VI, p. XXVI.

Fig. 18. 19 et 20. Bois du cerf du Canada qui a vécu à la Ménagerie.

18. Bois qu'il jeta, en 1820, avant de partir d'Amérique.

19. Bois qu'il fit pendant le voyage.

20. Bois jeté à la Ménagerie l'année suivante (janvier 1822).

Fig. 22. Bois très-irrégulier, fait par un cerf du Canada pendant la traversée.

Fig. 22^a. Bois produit l'année suivante par le même individu.

Fig. 23 à 31. Série des bois du daim.

23. Dague.

24. Second bois.

25. 26. 27. 28 et 29. Troisième bois de divers individus.

30 et 31. Quatrième bois.

Fig. 32. 33 et 34. Bois de vieux daims, devenus plus ou moins irréguliers.

Fig. 35. Bois de vieux daim, à peine reconnaissable.

Fig. 36. Bois du Cabinet de zoologie. — Cerf ou hippélaphe.

Fig. 37 à 40. Bois de chevreuil d'Europe.

37. La dague.

38. 39 et 40. Bois des années suivantes, n'ayant jamais que deux grands andouillers.

Fig. 41 et 42. Bois du grand cerf rouge de Cayenne (*Cervus rufus*), qui restent toujours des dagues simples et sans branches.

Fig. 43. 44 et 45. Dagues du petit cerf rouge de Cayenne (*Cervus nemorivagus*), qui ne diffèrent de celles du précédent que par la taille.

Fig. 46. 47 et 48. Bois du guazouti (*Cervus campestris*) de l'Amérique méridionale.

46. Bois d'une tête donnée à M. Geoffroy.

47. Bois d'un individu probablement plus âgé, venu du port Désiré. — Communiqué par M. Desmarests.

48. Bois d'un individu sans doute encore plus âgé, de l'intérieur du Brésil, et donné au Cabinet par M. Letourneur.

Fig. 49 à 53. Bois du *Cervus muntjac*.

49. Bois du daguet, copié d'après une tête du Muséum des chirurgiens de Londres.

50. 51. 52 et 53. Bois des années suivantes.

50. Est le bois de la tête représentée pl. 166, fig. 48.

50^b. Bois qui était encore en croissance, et couvert de sa peau.

51. 52 et 53. Appartiennent à des portions de crâne conservées au Cabinet.

Fig. 54. Bois d'un crâne conservé au Cabinet d'anatomie comparée, et qui paraît provenir d'une espèce différente du *Muntjac*.

PLANCHE 165.

Fig. 1 à 18. Divers bois de renne, montrant leurs principales différences.

1. Premier bois, encore couvert de poils.

2. Probablement un premier bois d'un mâle.

3. Bois d'un individu femelle, très-vieux.

4. Bois d'un mâle; probablement son second bois. — Donné par le maréchal Mortier.

5. Autre bois de renne.

6. Bois d'un renne qui a vécu à Chantilly.

7. Bois d'une femelle, originaire de la Laponie suédoise.

8. Bois de renne du Cabinet de zoologie.

9. C'est le n° 1128 de Daubenton.

10. Autre bois de renne.

11. Bois de renne d'Amérique. — Envoyé de Terre-Neuve.

12. Bois de renne du Cabinet de zoologie.

13. C'est le n° 1129 de Daubenton.

14. Bois de renne d'Amérique. — Envoyé de Terre-Neuve.

15. Bois de renne du Cabinet de zoologie.

16. C'est le n° 1127 de Daubenton.

17. Bois de renne d'Amérique. — Envoyé de Terre-Neuve.

18. Bois de renne, conservé au Cabinet, et long-temps pris pour celui d'une espèce particulière.

Fig. 19 et 20. Deux bois portés successivement par un renne mâle; probablement ses deuxième et troisième bois. — Copiés de Mellin.

Fig. 21. Bois d'un renne de six ans, copié de Mellin, et qui a cela de particulier que son andouiller mitoyen est extrêmement petit.

Fig. 22. Dague d'un élan envoyé vivant de New-York par M. Milbert.

Fig. 23. Deuxième bois du même individu.

Fig. 24. Bois de la tête d'élan représentée pl. 167, [fig. 8; provenant probablement d'un individu de cinq ans.

Fig. 25. Bois un peu plus âgé que le précédent.

Fig. 26. Bois d'élan, originaire du Canada. C'est le n° 1116 de Daubenton.

Fig. 27. Bois d'élan. C'est le n° 1117 de Daubenton.

Fig. 28. Bois d'élan. C'est le n° 1118 de Daubenton.

Fig. 29. Vieux bois d'élan que l'on a placé sur la tête de l'élan empaillé du Cabinet, envoyé de Suède, mais qui n'appartient pas à cet individu.

PLANCHE 166.

Fig. 1 à 5. Succession des bois du cerf de Virginie, telle qu'elle a été observée à la ménagerie du Muséum.

1. Dague.

2. Second bois.

3. Troisième bois.

4. Quatrième bois.

5. Cinquième bois.

Fig. 6 et 7. Bois de cerf de Virginie de 5 ou 6 ans.

Fig. 8 et 9. Bois de vieux cerf de Virginie.

Fig. 10 et 11. Deux bois de quatrième année du cerf de Virginie, et qui ne sont guère plus développés qu'une dague.

Fig. 12. Bois de quatrième année du cerf de Virginie, ressemblant à un second bois.

Fig. 13. Bois plus petit que celui du même âge.

Fig. 14. Bois plus élancé qu'un bois ordinaire de même âge.

Fig. 15. Bois de cerf de Virginie, remarquable par sa grandeur et la petitesse du maître andouiller.

Fig. 16. Bois de cerf de Virginie, remarquable par la petitesse du maître andouiller, et par l'andouiller extraordinaire qui part de l'extérieur du merrain.

Fig. 17. Bois de vieux cerf de Virginie, offrant le merrain un peu aplati.

Fig. 18. Bois de cerf de Cayenne, envoyé par M. Poiteau.

Fig. 19. 20. 21 et 22. Bois réunis depuis long-temps au Cabinet sous le nom de *bois de chevreuil d'Amérique*, et qui proviennent peut-être du cerf des Palétuviers de Cayenne.

Fig. 22. a. Bois envoyé de Cayenne par M. Poiteau, comme venant du cerf des Palétuviers.

Fig. 23. Perche d'une tête d'origine inconnue, et semblable à celle du cerf de Virginie.

Fig. 24 à 28. Série des bois de l'axis, recueillis à la Ménagerie.

24. Dague.

25. Deuxième bois.

26. Troisième bois.

27. Quatrième bois.

28. Cinquième bois.

Fig. 29. Bois du cerf décrit par Buffon sous le nom de *cerf-cochon*.

Fig. 30. Dague du *Cervus equinus*, envoyée de Sumatra par MM. Diard et Duvaucel.

Fig. 31 à 34. Plusieurs des bois du *Cervus hippelaphus*, sans âge précis.

32. Est celui de l'individu vivant à la Ménagerie. C'est probablement son deuxième ou troisième bois.

Fig. 32 *. Bois du *Cervus Aristotelis*, apporté de la côte de Coromandel par M. Leschenault.

Fig. 35. Bois apporté de la côte nord-ouest de l'Amérique, lors de l'expédition de Lewis et Clarke, et envoyé de New-York par M. Milbert; il ressemble au bois du grand cerf hippélaphe de l'Inde.

Fig. 37 et 38. Perches gauches de deux bois du *Cervus equinus*, envoyés de Sumatra par MM. Diard et Duvaucel.

Fig. 39 et 40. Bois du *Cervus marianus*, apportés des Mariannes par MM. Quoy et Gaymard.

Fig. 41. Perche appartenant à une tête du Cabinet d'anatomie comparée, rapportée de Timor par Péron (*Cervus Peronii*).

Fig. 42. Tête du cerf hippélaphe des Indes.

Fig. 43. Tête du cerf de Virginie ou de la Louisiane.

Fig. 44. Tête du grand cerf rouge à dagues de Cayenne (*Cervus rufus*, F. Cuv.).

Fig. 45. Tête du *Cervus Peronii*.

Fig. 46. Tête du Russo ou *Cervus equinus*.

Fig. 47. Tête de renne.

Fig. 48. Tête du *Cervus muntjac*. — Du Cabinet d'anatomie comparée.

Fig. 49. Tête d'élan.

Fig. 50. Tête du petit cerf rouge à dagues de Cayenne (*Cervus nemorivagus*).

PLANCHE 167.

- Fig. 1.* Perche du crâne de cerf à bois gigantesques, représenté par Molineux, en 1697, dans les *Transact. philosoph.*, n° 227.
- Fig. 2.* Perche de la même espèce, décrite en 1785 par le docteur Percy; copiée de l'*Archéologie britannique*.
- Fig. 3.* Fragment d'un bois de cerf à bois gigantesques, trouvé dans le Rhin, près de Worins, en 1771, et publié par M. de Rochow dans les *Écrits des naturalistes de Berlin*. — Copie réduite.
- Fig. 4.* Perche de cerf à bois gigantesques, découvert, en 1746, en Angleterre. — Copiée de Pennant.
- Fig. 5.* Perche de la même espèce, publiée par le comte de Razoumowski dans les *Mémoires de la société de Lausanne*.
- Fig. 6.* Perche du cerf à bois gigantesques, représentée par Kelly dans les *Transact. philosoph.*, n° 394.
- Fig. 7.* Copie réduite de la tête d'élan fossile, publiée par M. de Razoumowsky dans les *Mémoires de la société de Lausanne*.
- Fig. 8.* Tête d'élan vivant.
- Fig. 9.* Partie supérieure d'un crâne de cerf à bois gigantesques, trouvée dans la forêt de Bondy. — Cinquième de la grandeur.
- a. a.* Rupture indiquant l'endroit d'où sortait le premier andouiller.
- Fig. 10. 11. 12 et 13.* Fragmens de bois fossiles d'une espèce de cerf, déterrés à Étampes du temps de Guettard, et conservés au Muséum.
- Fig. 14. 15. 16 et 17.* Fragmens de bois fossiles déterrés à Étampes, décrits par Guettard et conservés au Muséum. — De la même espèce que la précédente, mais d'un autre âge.
- Fig. 18.* Bois de chevreuil provenant des tourbières de la Somme.
- Fig. 19.* Bois fossile d'une espèce voisine du daim, trouvé auprès d'Abbeville et envoyé par M. Traullé.
19. A. Le merrain.
19. B. L'empaumure.

PLANCHE 168.

- Fig. 1.* Tête du cerf à bois gigantesques, donnée au Cabinet par M. le colonel Thornton; vue perpendiculairement au chanfrein. — Septième de la grandeur.
- Fig. 2.* Perche droite de la même tête, vue perpendiculairement à sa face postérieure. — Dixième de la grandeur.
- Fig. 3.* La même tête vue de profil.
- Fig. 4.* La même vue par-dessous.

- Fig. 5.* Boîte du crâne d'un cerf fossile, trouvée à Brengues, département du Lot, et envoyée par M. Delpont. C'est de la même espèce que le cerf fossile d'Étampes.
- Fig. 6.* Portion de crâne d'un cerf fossile, trouvée dans la même caverne, et qui paraît provenir d'une autre espèce.
- Fig. 7.* Autre fragment de crâne de cerf fossile, de Brengues. C'est la tempe droite de la même espèce que la fig. 5.
- Fig. 8.* Canon de derrière et sa tête articulaire supérieure
- Fig. 9.* Canon de devant et sa tête articulaire supérieure
- } de cerf fossile de Brengues.
— Même espèce que les fig. 5 et 7.
- Fig. 10.* Tête inférieure de tibia fossile de Brengues, de l'espèce des fig. 5 et 7.
- Fig. 11.* Fragment du crâne du cabinet de Stuttgart, et qui se rapporte à l'espèce voisine du daim, fig. 19, pl. 167. — Copié d'après un dessin de M. Autenrieth, qui rapportait cette pièce au cerf à bois gigantesques.

PLANCHE 169.

- Fig. 1.* Squelette entier de cerf à bois gigantesques, trouvé dans l'île de Man, et conservé à l'Université d'Édimbourg. — Copié d'après une gravure envoyée par le professeur Jameson.
- Fig. 2.* Crâne de cerf à bois gigantesques, conservé dans le cabinet du Collège romain.
- Fig. 3 et 4.* Fragments de bois d'une espèce inconnue, à peu près de la taille du chevreuil, et trouvés à Montabusard dans le calcaire d'eau douce.
- Fig. 5.* Mâchelières inférieures de la même espèce, et provenant du même lieu.
- Fig. 6.* Morceau montrant les six mâchelières supérieures du côté droit, et cinq du côté gauche, de la même espèce. — Ce morceau a été envoyé de Montabusard par M. de Morogues.

PLANCHE 170.

- Fig. 1 et 2.* Tête de l'aurochs.

1. Vue en dessus.
2. — de profil.

- Fig. 3 et 4.* Tête de bœuf sans cornes.

3. Vue en dessus.
4. — de profil.

- Fig. 5 et 6.* Tête de zébu à cornes.

5. Vue en dessus.
6. — de profil.

- Fig. 7 et 8.* Tête d'un bœuf de la Romagne, à grandes cornes.

7. Vue en dessus.
8. — de profil.

Fig. 9 et 10. Tête d'un petit bœuf d'Écosse, à cornes descendantes.

9. Vue en dessus.

10. — de profil.

Fig. 11 et 12. Tête de buffle.

11. Vue en dessus.

12. — de profil.

Fig. 13. Tête d'arni, copiée dans les *Abbildungen* de Blumenbach.

Fig. 14 et 15. Tête du buffle du Cap (*Bos caffer*, L.).

14. Vue en dessus.

15. — de profil.

PLANCHE 171.

Fig. 1 et 2. Tête d'un vieux mâle d'aurochs, du cabinet de Schœnbrunn.

1. Vue en dessus.

2. — de profil.

Fig. 3 et 4. Tête de buffalo ou bison d'Amérique, adulte.

3. Vue en dessus.

4. — de profil.

Fig. 5 et 6. Tête d'un squelette de bison femelle, envoyée d'Amérique par M. Milbert.

5. Vue en dessus.

6. — de profil.

Fig. 7. 8 et 9. Tête de buffle sans cornes, venue des Indes. — Du cabinet de Camper.

7. Vue en dessus.

8. — de profil.

9. — par sa face occipitale.

Fig. 10. Très-grande paire de cornes d'arni, du cabinet de Camper.

Fig. 11 et 12. Tête d'arni, tirée d'un squelette envoyé de l'Inde par MM. Diard et Duvaucel.

11. Vue en dessus.

12. — de profil.

Fig. 13 et 14. Jeune tête, envoyée de l'Inde par MM. Diard et Duvaucel, comme celle d'un yak (*Bos grunniens*, L.).

13. Vue en dessus.

14. — de profil.

Fig. 15. 16 et 17. Tête du buffle musqué (*Bos moschatus*, L.), dessinée dans le cabinet de Camper.

15. Vue en dessus.

16. — de profil.

17. — par sa face occipitale.

PLANCHE 172.

Fig. 1. 2. 3 et 4. Tête fossile, parfaitement conservée, de bœuf de l'espèce domestique, retirée de la tourbe dans les marais de Saint-Vrain, canton d'Arpajon.

1. Vue en dessus.
2. — en dessous.
3. — de profil.
4. — en arrière.

Fig. 5. Tête fossile de l'espèce voisine de l'aurochs, bien entière. — Du cabinet de l'Université de Pavie.

Fig. 6 et 7. Tête fossile de l'espèce analogue au buffle musqué d'Amérique, trouvée en Sibérie. — Copiée des Mémoires de l'Académie de Pétersbourg.

6. Vue en dessus.
7. — en dessous.

Fig. 8. Os du métacarpe, avec ses deux premières phalanges, d'aurochs fossile. — Du val d'Arno.

Fig. 9 et 10. Pied de derrière d'aurochs fossile, contenant le bas du tibia, le tarse et le métatarse entiers. — Rapporté du val d'Arno, par M. Brongniart.

9. Vu par sa face antérieure.
10. — par sa face interne.

Fig. 11. Humérus de bœuf fossile, trouvé à Brengues et appartenant probablement à l'aurochs fossile.

PLANCHE 173.

Fig. 1. Crâne fossile d'une espèce voisine de l'aurochs, trouvé sur les bords du Rhin, près de Bonn, et conservé au Cabinet. — La même tête est représentée de profil, fig. 11.

Fig. 2. Fragment de crâne de la même espèce, trouvé en Amérique, et envoyé par M. Peale.

Fig. 3 et 8. Crâne fossile de bœuf, de même espèce que le bœuf domestique.

3. Vu en dessus.
8. — de profil.

Fig. 4 et 5. Crâne fossile d'une espèce voisine de l'aurochs, trouvé en Sibérie et décrit par Pallas. — De Pétersbourg.

4. Vu en dessus.
5. — de profil.

Fig. 6 et 7. Crâne supposé fossile, d'origine inconnue, conservé depuis long-temps au Cabinet du roi, et tout-à-fait semblable à ceux d'aurochs.

C'est peut-être un crâne d'aurochs vivant. (Voy. p. 288, t. VI, in-8.)

Fig. 8. Voy. plus haut, fig. 3.

Fig. 9 et 10. Crâne fossile incomplet, d'une espèce analogue au buffle musqué du Canada, et trouvé en Sibérie. — Copié d'après Pallas.

Fig. 11. Profil de la tête *fig. 1.*

Fig. 12. Bois fossile déterré dans une tourbière en Scanie, et décrit d'abord comme un grand bois de daim, mais qui paraît n'être qu'un bois de renne. (Voy. t. VI, in-8°, p. 194, note.) — Copié d'après le dessin de M. Retzius. Mémoires de l'Académie de Stockholm, 1802, 4^e trimestre, p. 285, pl. 9.

PLANCHE 174.

Fig. 1. Fragment de mâchoire et dernière molaire inférieure d'un ruminant du genre des cerfs. — Des brèches osseuses de Gibraltar.

Fig. 2. Tête inférieure de fémur de ruminant. — De Gibraltar.

a. d. Coulisse rotulienne.

c. e. Condyle externe.

b. f. Condyle interne.

Fig. 3. Dernière molaire inférieure d'un ruminant du genre des cerfs. — De Gibraltar.

Fig. 4. Morceau des brèches osseuses de Gibraltar, du cabinet de Camper et dessiné par lui. Il contient deux demi-mâchoires et deux autres os de rongeurs. La mâchoire A appartient au genre des lièvres.

Fig. 5. Bloc des brèches osseuses d'Illyrie, contenant deux arrière-molaires inférieures et les empreintes de deux autres d'une espèce de cerf. — Morceau de la collection du Muséum.

a. b. Dernière molaire inférieure.

e. d. Hauteur de son fût.

a. c. Pénultième molaire.

g. f. Sa hauteur, en y comprenant une portion de racine.

Fig. 6. Morceau contenant les quatre premières molaires inférieures gauches d'une espèce de cerf, vues par leur face externe. — Des brèches osseuses de Dalmatie. — Gravé d'après un dessin d'Adrien Camper.

Fig. 7. Fragment de mâchoire inférieure d'une espèce de cerf, contenant les quatre dernières molaires, vues par leur face interne. — Des brèches osseuses de Dalmatie. — Gravé d'après un dessin d'Adrien Camper.

Fig. 8. Morceau des brèches osseuses d'Illyrie, contenant deux arrière-molaires supérieures d'un ruminant du genre des cerfs, et de la taille du daim. — De la collection de Faujas.

PLANCHE 175.

Fig. 1 et 2. Crâne mutilé, et mâchoires du lagomys ogotonna retirées d'une peau rapportée de Lisbonne par M. Geoffroy.

1. Vu en dessus.

2. — de profil.

a. Petit crochet en avant de la branche montante de la mâchoire inférieure.

Fig. 3. Copie au trait de la tête et de la mâchoire du lagomys alpinus de Sibérie, donnée par Pallas.

a. Petit crochet en avant de la branche montante de la mâchoire inférieure.

Fig. 4. 5 et 6. Crâne d'un rongeur voisin du *lagomys alpinus*. — Des brèches osseuses de Corse.

4. Vu de côté.

5. — en dessus.

6. — par derrière.

a. a. Apophyse crochue à la racine antérieure de l'arcade.

b. b. Prolongement du jugal en arrière.

Fig. 7. Demi-mâchoire inférieure d'un rongeur voisin du campagnol. — Des brèches osseuses de Corse.

Fig. 8. Portion de mâchoire supérieure d'un cerf adulte de Romagnano, contenant la première et la deuxième molaire de remplacement, ainsi que la première et la deuxième arrière-molaire. — Du cabinet de Faujas. — Au tiers de la grandeur.

Fig. 9. Morceau contenant les trois arrière-molaires et deux portions d'os longs d'un cerf de la grandeur du commun. — De Romagnano. — D'après un dessin de Camper. — Au tiers de la grandeur naturelle.

Fig. 10. Portion de mâchoire inférieure du côté gauche d'un ruminant de la taille du daim, contenant les trois dents de remplacement et quelques restes de la première arrière-molaire. — Des brèches osseuses d'Antibes.

Fig. 11. Les mêmes dents vues par leur couronne.

Fig. 12. Portion de mâchoire inférieure d'une espèce de cerf, contenant les deux dernières molaires et les deux premières arrière-molaires. — D'un morceau des concrétions osseuses du Véronais, rapporté par M. Bosc.

Fig. 13 et 14. Deux demi-mâchoires de lapin. — Des brèches osseuses de Cette.

Fig. 15. Portion d'humérus de lapin. — Des brèches osseuses de Cette.

Fig. 16. Portion supérieure de fémur de lapin. — Des brèches osseuses de Cette.

Fig. 17. Portion de cubitus de lapin. — Des brèches osseuses de Cette.

Fig. 18. Portion inférieure de fémur de lapin. — Des brèches osseuses de Cette.

Fig. 19. Métatarsien du petit doigt du lapin. — Des brèches osseuses de Cette.

Fig. 20 et 21. Première et seconde phalange du petit doigt d'un lapin. — Des brèches osseuses de Cette.

Fig. 23. Fémur d'un ruminant de la taille du daim. — Des brèches osseuses de Cette, et du cabinet de M. Gouan.

Fig. 22. Tête inférieure du même morceau.

c. c. Condyle interne.

d. d. Condyle externe.

Fig. 24 et 25. Dents de campagnols, au triple de leur grandeur. — Des brèches osseuses de Cette.

24. Vues de côté.

25. — par la couronne.

Fig. 26. Portion d'omoplate d'une petite espèce de lapin de la taille du cochon d'Inde. — Des brèches osseuses de Cette.

Fig. 27. Deux petits os du tarse, du même genre que le morceau précédent.

PLANCHE 176.

Fig. 1. Fragment de mâchoire inférieure d'un ruminant, contenant les trois molaires de lait. — Des brèches osseuses de Nice.

Fig. 2. Fragment de mâchoire inférieure d'un ruminant un peu plus grand que le précédent, contenant la dernière molaire de lait et la première arrière-molaire. — Des brèches osseuses de Nice.

Fig. 3. Les deux dernières molaires de remplacement et la première arrière-molaire d'un ruminant. — Des brèches osseuses de Nice.

Fig. 4. Fragment de mâchoire supérieure droite d'un ruminant de la taille d'un grand cerf commun, contenant les deux dernières molaires de lait et les deux premières arrière-molaires. — Des brèches osseuses de Nice.

a. Deuxième	}	molaire de lait.
b. Troisième		
c. Première	}	arrière-molaire.
d. Seconde		

e. Reste de l'alvéole de la troisième arrière-molaire.

f. f. f. Pointe conique, caractéristique des dents de cerfs.

Fig. 5. Première ou seconde arrière-molaire inférieure droite de ruminant. — Des brèches osseuses de Nice.

Fig. 6. Première arrière-molaire inférieure d'un ruminant. Cette dent est peut-être celle du côté opposé à la dent analogue de la fig. 2. — Des brèches osseuses de Nice.

Fig. 7. Antépénultième molaire supérieure, du côté gauche, d'un grand *felis*. — Des brèches osseuses de Nice.

Fig. 8. Première arrière-molaire d'un grand bœuf. — Des brèches osseuses de Nice.

Fig. 9. Dernière arrière-molaire d'un grand bœuf. — Des brèches osseuses de Nice.

Fig. 10. Portion inférieure de fémur, encore épiphysé, d'un ruminant. — Des brèches osseuses de Nice. — Demi-grandeur.

Fig. 11. Incisive de ruminant. — Des brèches osseuses de Nice.

Fig. 12. Première petite machelière, du côté droit, d'un grand *felis*. — Des brèches osseuses de Nice.

Fig. 13. Seconde phalange de ruminant d'une grande espèce. — Des brèches osseuses de Gibraltar.

Fig. 14. Portion de première phalange de ruminant de la grandeur d'un jeune daim. — Des brèches de Gibraltar.

Fig. 15. Dernière molaire inférieure gauche d'un cerf de la taille du chevreuil. — Des brèches osseuses d'Uliveto, près de Pise.

Fig. 16 et 17. Os maxillaire supérieur droit d'une espèce de lagomys. — Des brèches osseuses de Sardaigne.

16. Vu latéralement.

17. — inférieurement.

Fig. 18. Molaires d'une espèce de lagomys. — Des brèches osseuses de Sardaigne.

Fig. 19. Épiphyse de tête d'humérus, probablement de l'espèce précédente. — Du même lieu.

Fig. 20. Radius également de la même espèce. — Du même lieu.

Fig. 21 et 22. Humérus de la même espèce.

21. Partie supérieure, sans son épiphyse.

22. — — inférieure.

Fig. 23. Cubitus de campagnol. — Des brèches osseuses de Sardaigne.

Fig. 24. Moitié supérieure de fémur d'une espèce de campagnol. — Des brèches osseuses de Sardaigne.

Fig. 25. Tête inférieure du même os.

Fig. 26. Calcanéum } de campagnol. — Du même lieu.

Fig. 26'. Astragale }

Fig. 27. Trois dents du côté gauche de la mâchoire supérieure d'une espèce de musaraigne. — Des brèches osseuses de Sardaigne. — Grossies quatre fois.

Fig. 28. Humérus de la même espèce, et grossi de même. — Des mêmes brèches.

Fig. 29. Fragment de crâne d'une espèce de campagnol. — Des brèches osseuses de Sardaigne.

Fig. 30. Tibia mutilé de la même espèce.

PLANCHE 177.

Fig. 1. Appareil des dents de lait supérieures du chat.

a. Première molaire de lait.

b. Seconde molaire de lait.

c. Dernière molaire de lait ou tuberculeuse.

Fig. 2. Appareil persistant des dents supérieures du chat.

a'. Première molaire.

d. Seconde molaire, sans analogue dans la première dentition.

b'. Troisième molaire ou carnassière.

c'. Quatrième molaire ou tuberculeuse.

Fig. 3. Appareil des dents de lait inférieures du chat.

a. Première molaire de lait.

b. Seconde molaire de lait.

Fig. 4. Appareil persistant des dents inférieures du chat.

a' et *d.* Première et seconde molaires de remplacement.

b'. Troisième ou arrière-molaire de l'adulte.

Fig. 5. Appareil des dents de lait supérieures du chien.

a. Première molaire de lait.

b. Seconde molaire de lait ou carnassière.

c. Troisième molaire de lait ou tuberculeuse.

Fig. 6. Appareil persistant des dents supérieures du chien.

a'. Seconde molaire de remplacement analogue à *a*, fig. 5.

b'. Carnassière analogue à *b*, fig. 5.

c'. Tuberculeuse analogue à *c*, fig. 5.

d. Première molaire persistante sans analogue dans la dentition de lait.

e. Troisième molaire persistante de l'adulte sans analogue.

f. Dernière molaire persistante.

Fig. 7. Appareil des dents de lait inférieures du chien.

a et *b.* Première et seconde molaires de lait.

c. Troisième molaire de lait ou carnassière.

Fig. 8. Appareil persistant des dents inférieures du chien.

a'. *b'* et *c'.* Molaires de remplacement analogues à *a*, *b* et *c*, fig. 7.

d. *e.* *f* et *g.* Dents nouvelles sans analogues dans la première dentition.

Fig. 9. 10. 11. 12 et 13. Dents du RATEL.

9. Molaires supérieures	}	vues par leur face interne.
10. Molaires inférieures		

11. Molaires supérieures	}	vues par leur face externe.
12. Molaires inférieures		

13. Réunion des molaires des deux mâchoires.

Fig. 14. 15. 16. 17 et 18. Dents du SURICATE.

14. Molaires supérieures	}	vues par leur face interne.
15. Molaires inférieures		

16. Molaires supérieures	}	vues par leur face externe.
17. Molaires inférieures		

18. Réunion des molaires des deux mâchoires.

Fig. 19. 20. 21 et 22. Tête de chacal.

19. Vue en dessus.

20. — par sa base.

21. — de profil.

22. — par derrière.

a. Apophyse post-orbitaire du frontal.

b. Apophyse post-orbitaire de l'arcade zygomatique.

b. b. Crête occipitale.

c. La caisse.

- d* yse mastoïde, naissant de l'occipital.
f. f. Les deux facettes glénoïdes.
g. Apophyse descendante du temporal derrière la facette glénoïde.
h. Antépénultième molaire ou carnassière.
i. i. Pénultième molaire ou tuberculeuse.
k. k. Crêtes ptérygoïdes.
 A. Le basilaire.
 B. B. Les deux os du nez.
 C. C. Les frontaux.
 D. D. Les inter-maxillaires.
 E. E. Les lacrymaux.
 F. F. Les maxillaires.
 G. G. Les jugaux.
 H. H. Les palatins.
 L. Le corps du sphénoïde postérieur.
 M. M. Les pariétaux.
 N. N. Les temporaux.
 P. Le sphénoïde antérieur.
 Q. Le vomer.
 R. L'occipital.
 α. Les deux trous incisifs.
 β. β. Le trou lacrymal.
 γ. γ. Le trou sous-orbitaire.
 ε. ε. Trou percé dans le palatin.
 δ. δ. Autre trou percé entre le palatin et le maxillaire.
 ζ. ζ. Trou ovale.
 ζ. ζ. Canal vidien.
 φ. φ. Trou déchiré postérieur.

PLANCHE 178.

- N° 1. Dents de Chats.
 II. Dents d'Hyènes.
 III. Dents de Putois.
 IV. Dents de Zorilles.
 V. Dents de Martes.
 VI. Dents de Grisons.
 VII. Dents de Gloutons.

A chacun de ces numéros correspond une série de cinq figures, marquées par des chiffres arabes.

Dans chaque série :

Le n° 1 représente les molaires supérieures	} vues par leur face interne.
Le n° 2 ——— les molaires inférieures	

- Le n° 3 représente les molaires supérieures } vues par leur face externe.
 Le n° 4 ——— les molaires inférieures }
 Le n° 5 ——— la réunion des molaires des deux mâchoires, au trait.

PLANCHE 179.

N° I. Dents de Moufettes.

II. Dents de Loutres.

III. Dents de Blaireaux.

IV. Dents de Civettes.

V. Dents de Chiens.

VI. Dents de Mangoustes.

VII. Dents de Ratons.

VIII. Dents d'Ours.

L'explication des séries de chiffres arabes de 1 à 5 est la même que pour la planche précédente.

PLANCHE 180.

N° I. Dents supérieures de Mygales.

Fig. 1. Vues par leur couronne.

2. Vues par leur face externe.

N° II. Dents de Taupes.

III. Dents de Roussettes.

IV. Dents de Chauves-souris.

V. Dents de Galéopithèques.

VI. Dents de Kinkajou.

VII. Dents de Chrysochlores.

VIII. Dents de Tenrecs.

IX. Dents de Hérissons.

X. Dents de Musaraignes.

A chacun de ces numéros correspond une série de cinq figures marquées par des chiffres arabes.

Dans chaque série :

- Le N° 1 représente les molaires supérieures } vues par leur couronne.
 Le N° 2 ——— les molaires inférieures }
 Le N° 3 ——— les molaires supérieures } vues par leur face externe.
 Le N° 4 ——— les molaires inférieures }
 Le N° 5 ——— la réunion des molaires des deux mâchoires, au trait.

PLANCHE 181.

Têtes d'Ours.

- Fig. 1.* Crâne du grand Ours à front bombé, ou premier Ours des cavernes, vu en dessus.
— Individu bien adulte. (Ce crâne est représenté de profil, pl. 182, fig. 3.)
- Fig. 2.* Ours noir d'Europe de Daubenton. (Le profil pl. 182, fig. 1.)
- Fig. 3.* Autre Ours noir d'Europe, trouvé au Muséum. (Le profil pl. 182, fig. 2.)
- Fig. 4.* Ours blanc polaire ou maritime. (Le profil pl. 182, fig. 4.)
- Fig. 5.* Incisives et canines des deux mâchoires de l'Ours noir d'Europe, vues par devant.
- Fig. 6.* Incisives et canines des deux mâchoires de l'Ours des cavernes, vues par devant.
- Fig. 7.* Séries des dents supérieures et inférieures d'un Ours noir d'Amérique, montrant un exemple notable de la conservation d'une petite dent surnuméraire, qui n'est vraisemblablement qu'une dent de lait qui n'est pas tombée.

PLANCHE 182.

Têtes d'Ours.

- Fig. 1.* Ours noir d'Europe de Daubenton. (Ce crâne est vu en dessus pl. 181, fig. 2.)
- Fig. 2.* Autre Ours noir d'Europe. (Ce crâne est vu en dessus pl. 181, fig. 3.)
- Fig. 3.* Crâne du grand Ours à front bombé ou des cavernes, bien adulte, vu de profil.
(Il est représenté en dessus pl. 181, fig. 1.)
- Fig. 4.* Ours blanc polaire ou maritime. (Voyez le crâne en dessus pl. 181, fig. 4.)
- Fig. 5.* Dents de la mâchoire supérieure du premier Ours des cavernes, montrant leur couronne.
- Fig. 6.* Dents de la mâchoire supérieure de l'Ours noir d'Europe, montrant leur couronne.
- Fig. 7.* Dents de la mâchoire inférieure du premier Ours des cavernes.
- Fig. 8.* *Idem* de l'Ours noir d'Europe.

PLANCHE 183.

Têtes d'Ours.

- Fig. 1 et 2.* Crâne de l'Ours brun des Alpes.
1. Vu en dessus.
2. Vu de profil.
- Fig. 3.* Crâne de l'Ours brun de Pologne, vu de profil.
- Fig. 4.* Crâne d'un autre Ours brun de Pologne, vu également de profil.

Fig. 5 et 6. Crâne de l'ours noir d'Amérique.

5. Vu en dessus.

6. — de profil.

PLANCHE 184.

Ostéologie de l'Ours.

Fig. 1 et 2. Crâne d'un ours noir d'Amérique.

1. Vu de profil.

2. — en dessus.

Fig. 3 et 4. Tête d'ours envoyée de Java par M. Diard, et qui se rapproche de celle du jeune individu de Leschenault, fig. 5. (*Ursus malayanus* de Horsfield.)

3. Vue de profil.

4. — en dessus.

Fig. 5. Crâne d'un jeune ours des Gattes, rapporté par Leschenault.

Fig. 6. Tête d'un ours des Indes, pris pour un Paresseux, montré à Londres en 1790, et nommé par Pennant *Bradypus ursinus*. — Du collège des chirurgiens de Londres, et d'après un dessin de M. Clift.

Fig. 7 et 8. Omoplate.

7. Vue par sa face externe.

8. ———— articulaire.

a. Angle supérieur antérieur.

b. ——— postérieur.

c. Échancrure demi-circulaire du bord postérieur.

d. Partie saillante et arrondie du bord antérieur.

Fig. 9. 10 et 11. Humérus.

9. L'os entier vu par sa face antérieure.

10. Sa tête articulaire supérieure.

11. ——— inférieure.

Fig. 12. 13 et 13 a. Les deux os de l'avant-bras.

12. Vus par leur face externe.

13. Leurs facettes articulaires supérieures.

13 a. Leurs facettes articulaires inférieures.

Fig. 14. Pied de devant.

Fig. 15. 16 et 17. Fémur.

15. L'os entier vu par sa face antérieure.

16. Tête articulaire supérieure.

17. ——— inférieure.

Fig. 18. 19 et 20. Péroné et tibia.

18. Les deux os vus par leur face antérieure.

19. Leurs facettes articulaires supérieures.

20. ——— inférieures.

Fig. 21. Pied de derrière.

Fig. 22 et 23. L'astragale.

22. Vu par sa face tibiale ou supérieure.

23. ————— calcanienne ou inférieure.

Fig. 24 et 25. Le calcanéum.

24. Vu par sa face interne.

25. ————— supérieure ou astragaliennne.

Fig. 26. Le bassin, vu par sa face pubienne.

Fig. 27 et 28. L'atlas.

27. Vu par sa face supérieure.

28. ————— inférieure.

PLANCHE 185.

Os fossiles d'Ours.

Fig. 1 et 2. Crâne du grand ours à front bombé, d'un individu plus jeune que celui de la pl. 181, fig. 1.

1. Vu en dessus.

2. — de profil.

Fig. 3 et 4. Portion considérable de crâne d'un ours à front bombé, distingué par M. Cuvier, dans sa première édition, sous le nom d'*Ursus arctoïdeus*; mais qu'il a considéré, dans la seconde, comme une variété de la première espèce ou *Ursus spelæus*.

3. Vue de profil.

4. — en dessus.

Fig. 5 et 6. Dessin d'une tête d'un jeune ours fossile de la caverne d'Altenstein, envoyé par M. Blumenbach; peut-être est-ce le jeune de l'ours des cavernes.

5. Vue de profil.

6. — en dessus.

Fig. 7. Dessin d'une mâchoire inférieure d'ours fossile d'Altenstein, envoyé par M. Blumenbach, et qui semble convenir, pour la grandeur, à l'espèce des fig. 5 et 6.

Fig. 8. Mâchoire inférieure d'ours fossile, caractérisée par la largeur de l'apophyse coronoïde; probablement celle de l'*Ursus spelæus*.

Fig. 9, 10 et 11. Unciforme d'ours fossile.

9. Vu par-devant.

10. — Par la face externe.

11. — en dessous.

PLANCHE 186.

Os fossiles d'Ours.

Fig. 1. 2 et 3. Humérus d'ours fossile.

1. Vu par sa face antérieure.
2. ————— postérieure.
3. Tête articulaire inférieure.

Fig. 4. 5. 6 et 7. Humérus d'ours fossile d'une autre espèce que celui qui est représenté fig. 1 à 3.

4. Face postérieure.
5. ——— antérieure.
6. Tête articulaire supérieure.
7. ————— inférieure.
- a. Trou au-dessus du condyle externe pour le passage de l'artère cubitale.

Fig. 8 et 9. Bassin fossile un peu mutilé.

8. Vu par le côté droit.
9. — Par-dessous ou par sa face pubienne.

Fig. 10. Calcanéum d'ours fossile.

Fig. 11 et 12. Astragale d'ours fossile.

11. Vu par sa face tibiale.
12. ————— calcanienne.

Fig. 13 et 14. Scaphoïde du tarse d'ours fossile.

13. Vu par sa face astragalienne.
14. ————— cunéiformienne ou antérieure.

Fig. 15, 16 et 17. Cuboïde d'ours fossile.

15. Vu par-devant.
16. — en dessous.
17. — par sa face interne.

Fig. 18 et 19. Premier cunéiforme d'ours fossile.

18. Vu par ses faces supérieure et externe ou cuboïdienne.
19. Vu par ses faces inférieure et interne.

Fig. 20 et 21. Troisième cunéiforme d'ours fossile.

20. Faces supérieure et tarsienne.
21. Faces inférieure et interne.

PLANCHE 187.

Os fossiles d'Ours.

Fig. 1. 2. 3 et 4. Radius d'ours fossile des cavernes de Franconie.

1. Vu par sa face antérieure.
2. ————— postérieure.
3. Tête articulaire supérieure.
4. ————— inférieure.

Fig. 5. 6. 7 et 8. Radius fossile d'un animal du genre des lions, provenant des mêmes cavernes que le radius des fig. 1-4, et représenté ici pour mieux faire saisir la différence des deux os.

5. Vu par sa face antérieure.
6. ————— postérieure.
7. Tête articulaire supérieure.
8. ————— inférieure.

Fig. 9, 10 et 11. Fémur d'ours.

9. Vu par sa face antérieure.
10. ————— postérieure.
11. Tête articulaire inférieure.

Fig. 12. 13. 14 et 15. Fémur d'ours fossile plus court et plus gros que le précédent.

12. Face antérieure.
13. ——— postérieure.
14. Tête articulaire supérieure.
15. ————— inférieure.

Fig. 16. 17. 18 et 19. Tibia bien complet d'ours fossile.

16. Vu par sa face antérieure.
17. ————— postérieure.
18. Tête articulaire supérieure.
19. ————— inférieure.

Fig. 20 et 21. Os du carpe d'ours fossile, qui tient lieu du scaphoïde et du semi-lunaire.

20. Vu en dessous.
21. — en dessus.
- a. Tubérosité.

Fig. 22 et 23. Pisiforme d'ours fossile.

22. Face externe.
23. ——— interne.

Fig. 24 et 25. Trapézoïde d'ours fossile.

24. Montrant ses faces supérieure, antérieure et interne.
25. Montrant ses faces inférieure et postérieure.

Fig. 26 et 27. Grand os d'ours fossile.

26. Face antérieure.

27. ——— supérieure.

a. Enfoncement très-marqué pour la tubérosité de la tête du métacarpien de l'index.

PLANCHE 188.

Os fossiles d'Ours.

Fig. 1 et 2. Tiers supérieur de cubitus d'ours fossile.

1. Vu par sa face antérieure.

2. ——— interne.

Fig. 3 et 4. Les deux tiers supérieurs d'un cubitus d'ours fossile.

3. Face antérieure.

4. ——— interne.

Fig. 5. Quatre os du métacarpe gauche d'ours fossile.

Fig. 6 et 7. Atlas d'ours fossile.

6. Vu par-dessous.

7. — par-dessus.

Fig. 8. Quatre os du métatarse gauche d'ours fossile.

Fig. 9. 10 et 11. Trois phalanges d'ours fossile, de la première rangée, choisies dans les différentes grandeurs.

Fig. 12 et 13. Deux phalanges de la deuxième rangée, choisies également dans les différentes grandeurs.

Fig. 14. 15 et 16. Trois phalanges de la troisième rangée, ou onguéales, choisies de même dans les différentes grandeurs.

Fig. 17 et 18. Atlas d'ours fossile.

17. Vu par sa face supérieure.

18. ——— inférieure.

Fig. 19. Axis d'ours fossile, vu de profil.

Fig. 20. Vertèbre lombaire d'ours fossile, vue de côté.

Fig. 21 et 22. Deux vertèbres dorsales d'ours fossile, vues de côté.

Fig. 23. Péroné d'ours fossile.

Fig. 24. Incisive latérale supérieure.

Fig. 25. Incisive moyenne inférieure.

Fig. 26. Incisive moyenne supérieure.

Fig. 27. Incisive latérale inférieure.

Fig. 28. Dernière molaire d'en bas d'ours fossile.

Fig. 29. Molaire antérieure inférieure de la série continue.

- Fig. 30. Pénultième molaire d'en bas.
 Fig. 31. Antépénultième molaire d'en bas.
 Fig. 32. Antépénultième molaire d'en haut.
 Fig. 33. Pénultième molaire d'en haut.
 Fig. 34. Dernière dent molaire d'en haut.
 Fig. 35. Mâchoire inférieure d'ours fossile caractérisée par une apophyse coronoïde moins large.
 Fig. 36. Fragment de mâchoire inférieure d'ours fossile, de l'espèce à apophyse coronoïde moins large.
 Fig. 37. Dessin d'une mâchoire inférieure très-jeune d'ours fossile.—Du cabinet de Darmstadt, envoyé par M. Fischer.

PLANCHE 189.

Têtes d'Ours fossiles.

- Fig. 1 et 2. Crâne du grand ours à front bombé, copié d'après des planches lithographiées, publiées par M. de Sœmmerring.
 1. Vu en dessus.
 2. — de profil.
 Fig. 3 et 4. Crâne de l'ours fossile à front bombé, distingué d'abord du précédent sous le nom d'*Ursus arctoïdeus*. — D'après un morceau rapporté d'Allemagne par M. Héron de Villefosse.
 3. Vu en dessus.
 4. — de profil.
 Fig. 5 et 6. Dessin d'une tête d'ours fossile, décrite et figurée par M. Goldfuss dans les Mémoires de l'Académie des curieux de la Nature, sous le nom d'*Ursus priscus*.
 — Cette tête appartient à M. de Sœmmerring.
 5. Vue en dessus.
 6. — de profil.
 Fig. 7. Mâchoire inférieure d'ours fossile à crâne bombé, qui se rapporte au crâne des fig. 1 et 2. — Lithographiée à Munich, et copiée du dessin de M. de Sœmmerring.
 Fig. 8. Fragment de la partie antérieure du maxillaire supérieur d'ours fossile déterré dans le val d'Arno (*Ursus etruscus*, ou plutôt *cultridens*). — Grandeur naturelle.
 Fig. 9. Fragment de mâchoire supérieure d'ours fossile de Toscane.
 Fig. 10. Autre fragment de mâchoire supérieure d'ours fossile de Toscane.
 Fig. 11. Autre morceau semblable à celui de la fig. 8.

PLANCHE 190.

Ostéologie de la Hyène tachetée (1).

Fig. 1 et 2. Crâne d'hyène tachetée vivante.

1. Vue de profil.

2. — en dessus.

Fig. 3 et 4. Tête de jeune hyène qui n'a encore que ses dents de lait.

3. Vue de profil.

4. — en dessus.

Fig. 5 et 6. L'omoplate.

5. Vue par sa face externe.

6. ————— articulaire.

Fig. 7. Carnassière inférieure d'hyène tachetée, dépourvue du tubercule saillant qui s'observe dans l'hyène rayée.

Fig. 8. Carnassière inférieure d'hyène rayée, montrant le tubercule saillant à la face interne du deuxième lobe.

Fig. 9. 10 et 11. L'humérus.

9. Tête articulaire supérieure.

10. L'os entier, vu par sa face antérieure.

11. Sa tête articulaire inférieure.

Fig. 12. 13 et 14. Les deux os de l'avant-bras.

12. Têtes articulaires supérieures.

13. Les deux os entiers, vus par leur face latérale externe.

14. Têtes articulaires inférieures.

Fig. 15. 16 et 17. Le fémur.

15. Tête articulaire supérieure.

16. L'os entier, vu par-devant.

17. Tête articulaire inférieure.

Fig. 18. 19 et 20. La jambe.

18. Facettes articulaires supérieures.

19. Le tibia et le péroné, vus par-devant.

20. Facettes articulaires inférieures.

Fig. 21. Le carpe, le métacarpe et les phalanges de l'extrémité antérieure.

Fig. 22. Le tarse, le métatarse et les phalanges de l'extrémité postérieure.

Fig. 23. Le bassin, vu par sa face pubienne ou inférieure.

(1) C'est par erreur que cette planche porte dans l'édition in-4° le titre d'*Ostéologie de la hyène rayée*.

Fig. 24 et 25. L'atlas.

24. Vu par sa face inférieure.

25. ————— supérieure.

Fig. 26 et 27. L'astragale.

26. Vu par sa face supérieure ou tibiale.

27. ————— inférieure ou calcaneienne.

Fig. 28 et 29. Le calcanéum.

28. Vu par sa facette supérieure ou astragaliennne.

29. ————— face inférieure.

PLANCHE 191.

Fig. 1 et 2. Crâne d'hyène rayée vivante.

1. Vu de profil.

2. — par sa face occipitale.

Fig. 3 et 4. Fragment de crâne d'hyène fossile de Canstadt. — D'après un dessin envoyé par MM. Kielmeyer et Jøger.

3. Vu par sa face occipitale.

4. — latéralement.

Fig. 5. Demi-atlas d'hyène vivante, vu par sa face supérieure.

Fig. 6. Atlas d'hyène fossile, vu par sa face supérieure.

Fig. 7. Humérus d'hyène fossile de Gaylenreuth, vu par sa face interne.

Les *fig. 5. 6 et 7* ont été gravées d'après des dessins envoyés par Adrien Camper, des morceaux de son cabinet.

Fig. 8 et 9. Portion d'humérus d'hyène fossile, envoyée de Fouvent par M. Lefèvre Demorey.

8. Vue par sa face postérieure.

9. ————— antérieure.

Fig. 10. Fragment de mâchoire inférieure d'hyène fossile, de Gaylenreuth, donné anciennement au Muséum par le margrave d'Anspach.

Fig. 11. Quatrième molaire supérieure d'hyène fossile, de Canstadt.

Fig. 12. Quatrième molaire inférieure d'hyène fossile.

Fig. 13. Fragment de mâchoire supérieure d'hyène fossile, contenant la troisième molaire. — De Gaylenreuth, et donné anciennement au Muséum par le margrave d'Anspach.

Fig. 14. Portion de mâchoire inférieure d'hyène fossile, contenant les quatre molaires d'en bas, et envoyée de Fouvent par M. Lefèvre Demorey.

Fig. 15. Astragale d'hyène fossile de Gaylenreuth. — Donné par le margrave d'Anspach.

PLANCHE 192.

Fig. 1 et 2. Tête d'hyène fossile, copiée de Collini.

1. Le profil.

2. La tête, vue en dessus.

Fig. 3. 4 et 5. Crâne d'hyène fossile, dessiné à Brème, dans le cabinet de M. Ebel.

3. Vu de profil.

4. — par sa face occipitale.

5. — en dessus.

Fig. 6 et 7. Crâne d'une vieille hyène fossile, de Gaylenreuth, communiqué par M. de Sæmmerring, et remarquable par la blessure qu'il a reçue à sa crête occipitale et dont il a guéri.

6. Vu de profil.

7. — en dessus.

Fig. 8. Mâchoire inférieure presque entière d'hyène, d'Osterode, vue de face pour faire connaître l'angle de la symphyse.

Fig. 9. Demi-mâchoire droite, de Gaylenreuth, communiquée par M. de Sæmmerring.

Fig. 10. Première molaire supérieure d'hyène fossile.

Fig. 11. Deuxième molaire supérieure d'hyène fossile.

Fig. 12. Troisième molaire supérieure d'hyène fossile.

Fig. 13. Quatrième molaire supérieure ou carnassière d'hyène fossile.

Fig. 14. Tuberculeuse, ou cinquième molaire supérieure d'hyène fossile.

Fig. 15. Première molaire inférieure d'hyène fossile.

Fig. 16. Deuxième molaire inférieure d'hyène fossile.

Fig. 17. Troisième molaire inférieure d'hyène fossile.

PLANCHE 193.

Fig. 1. Humérus d'hyène fossile, de Kirkdale, vu par sa face antérieure. — D'après un dessin de M. Clift.

Fig. 2. Rotule d'hyène fossile, envoyée de Kirkdale par MM. Salmond et Gibson.

Fig. 3. Tête inférieure de péroné d'hyène fossile.

Fig. 4. Calcanéum d'hyène fossile, de Kirkdale, envoyé par MM. Gibson et Salmond.

Fig. 5. Cubitus d'hyène fossile, de Kirkdale, envoyé par M. Gibson.

Fig. 6. Os du métacarpe du doigt médus d'hyène fossile.

Fig. 7. Os du métacarpe du petit doigt d'hyène fossile.

Fig. 8 et 10. Grand cunéiforme du tarse d'hyène fossile.

8. Vu par sa face antérieure.

10. ————— postérieure.

ATLAS. TOME II.

- Fig. 9. Astragale d'hyène fossile, de Kirkdale, envoyé par MM. Salmond et Gibson.
- Fig. 11. Première dent de lait d'en bas, d'hyène fossile.
- Fig. 12. Deuxième dent de lait d'en bas.
- Fig. 13. Troisième dent de lait d'en bas.
- Fig. 14. Deuxième dent de lait d'en haut.
- Fig. 15. Fragment de mâchoire inférieure d'hyène fossile, avec ses dents de lait.
- Fig. 16. Os du métatarse du second doigt après le vestige du pouce, d'hyène fossile.
- Fig. 17. Os du métatarse du pénultième doigt d'hyène fossile.
- Fig. 18. Os du métatarse du dernier ou petit doigt d'hyène fossile.
- Fig. 19. Scaphoïde du tarse d'hyène fossile.
- Fig. 20. Mâchelière tuberculeuse d'un *canis* de taille gigantesque, trouvée à Avaray, près de Beaugency.
- Fig. 21. Canine inférieure d'un *canis* de taille gigantesque, trouvée avec la précédente.
- Fig. 22 23 et 24. Tête de glouton fossile, de Gaylenreuth, prêtée par M. de Sœmmerring.
22. Vue de profil.
23. — en dessus.
24. — par sa face occipitale.

PLANCHE 194.

- Fig. 1. Fragment de mâchoire inférieure d'hyène fossile, de Gaylenreuth, donné au Muséum par le margrave d'Anspach et M. de Roissy.
- Fig. 2. Autre fragment garni d'une mâchelière très-usée. — Du même lieu.
- Fig. 3. Seconde molaire d'en haut d'une grande espèce de *félis* fossile, de Gaylenreuth, encore implantée dans un fragment de mâchoire.
- Fig. 4. Troisième ou principale molaire d'en haut d'un grand *félis* fossile, de Gaylenreuth.
- Fig. 5. Troisième molaire d'en haut de l'hyène.
- Fig. 6. Troisième molaire supérieure de *félis* fossile, vue du côté interne. — De la caverne d'Altenstein.
- Fig. 7. Demi-mâchoire inférieure d'un grand *félis*, de Gaylenreuth. — Du cabinet d'Adrien Camper, et d'après un dessin fait et envoyé par lui.
- Fig. 8. Incisive inférieure interne de renard fossile, de Gaylenreuth.
- Fig. 9. Canine inférieure de renard fossile, de Gaylenreuth.
- Fig. 10. Phalange unguéale de renard fossile, de Gaylenreuth.
- Fig. 11. Phalange intermédiaire de renard fossile, de Gaylenreuth.
- Fig. 12. *a* et *b*. Phalange ou vestige du pouce du pied de derrière de renard fossile, de Gaylenreuth.
12. *a*. Vue par sa face inférieure ou plantaire.

12. *b.* Vue par sa face supérieure ou métatarsienne.

Fig. 13. a et b. Os cunéiforme du carpe de renard fossile, de Gaylenreuth.

a. Face externe ou pisiformienne.

b. ——— interne ou unciformienne.

Fig. 14. Portion de bassin de renard fossile, de Gaylenreuth.

Fig. 15 et 16. Premier os du métatarse de renard fossile, de Gaylenreuth.

15. Vu par sa face externe.

16. ——— interne.

Fig. 17. Vertèbre du milieu de la queue de renard fossile.

Fig. 18. Première phalange de renard fossile, de Gaylenreuth.

Fig. 19 et 20. Premier cunéiforme du tarse de renard fossile.

19. Face latérale externe ou cuboïdienne.

20. ——— interne ou cunéiformienne.

Fig. 21 et 22. Second cunéiforme du tarse de renard fossile.

21. Face latérale externe.

22. ——— interne.

PLANCHE 195.

Fig. 1 et 2. Tête de lion.

1. Vue de profil.

2. — en dessus.

a. Extrémité des os du nez.

b. b. Apophyses post-orbitaires du frontal.

c. Crête occipitale.

Fig. 3 et 4. Tête de lionne.

3. Vue de profil.

4. — en dessus.

Fig. 5 et 6. Tête de tigre.

5. Vue de profil.

6. — en dessus.

PLANCHE 196.

Fig. 1 et 2. Tête de tigre femelle.

1. Vue de profil.

2. — en dessus.

Fig. 3 et 4. Tête de jaguar.

3. Vue de profil.

4. — en dessus.

Fig. 5 et 6. Tête de panthère.

5. Vue de profil.

6. — en dessus.

Fig. 7 et 8. Tête de jaguar noir.

7. Vue de profil.

8. — en dessus.

Fig. 9 et 10. Tête de tigre noir.

9. Vue de profil.

10. — en dessus.

PLANCHE 197.

Ostéologie du Tigre royal.

Fig. 1 et 2. L'omoplate.

1. Vu par sa face externe.

2. ————— articulaire.

Fig. 3. 4 et 5. L'humérus.

3. L'os entier, vu par sa face antérieure.

4. Sa tête articulaire supérieure.

5. ————— inférieure.

Fig. 6. 7 et 8. L'avant-bras.

6. Le cubitus et le radius, vus par leur face latérale externe.

7. Leurs facettes articulaires supérieures.

8. ————— inférieures.

Fig. 9. Le carpe, le métacarpe et les phalanges, en place et formant la main.

Fig. 10. Le bassin, vu par sa face pubienne.

Fig. 11. 12 et 13. Le fémur.

11. L'os entier, vu par sa face antérieure.

12. Sa tête articulaire supérieure.

13. ————— inférieure.

Fig. 14. 15 et 16. Les deux os de la jambe.

14. Le tibia et le péroné, vus par leur face antérieure.

15. Tête articulaire supérieure.

16. Facettes articulaires inférieures.

Fig. 17. Le tarse, le métatarse et les phalanges, en place et formant le pied.

Fig. 18 et 19. Le calcanéum.

18. Vu par sa face interne.

19. ————— externe.

Fig. 20 et 21. L'astragale.

20. Vu par sa face supérieure ou tibiale.

21. ————— inférieure ou calcanienne.

Fig. 22 et 23. L'atlas.

22. Vu par sa face supérieure.

23. — — — — — inférieure.

PLANCHE 198.

Fig. 1. Mâchoire inférieure d'un très-grand *félis* fossile, observée et dessinée, au tiers de grandeur naturelle, chez M. Ebel, avec le contour d'une demi-mâchoire de lion de même grandeur, tracée en points.

Fig. 2. Fragment de mâchoire inférieure de *félis* fossile, de même taille que le précédent, trouvé entre Osterode et Scharzfels et dessiné chez M. Blumenbach.

Fig. 3. Mâchoire inférieure de *félis* fossile, groupée avec une portion de mâchoire d'ours, et dessiné dans le cabinet de M. Ebel, à Brème.

Fig. 4. Mâchelière supérieure d'un *félis* fossile, de Gaylenreuth, de la taille d'une panthère médiocre.

Fig. 5. Fragment de mâchoire inférieure, avec la dernière mâchelière, d'un *félis* fossile, de Gaylenreuth, de même taille que le précédent.

Fig. 6. Tête de la grande espèce de *félis* fossile ou *Felis spelæa*, copiée d'après M. Goldfuss.

Fig. 7. Os du métatarse de *félis* fossile, de Kirkdale. — D'après un dessin de M. Clift.

Fig. 8. Os du métatarse d'un très-grand *félis* fossile, trouvé avec le fragment de la fig. 2, et dessiné à Göttingue, chez M. Blumenbach.

Fig. 9, 10 et 11. Tête du guépard.

9. Vue en dessus.

10. — de profil.

11. — par sa face occipitale.

Fig. 12. Les trois molaires d'en bas du guépard.

PLANCHE 199.

Fig. 1. Tête de loup fossile, de Gaylenreuth, d'après un dessin envoyé par M. Fischer. — Aux deux tiers de la grandeur naturelle.

Fig. 2. Mâchoire inférieure de *canis* fossile (loup ou chien), de Gaylenreuth. — De la collection du Muséum.

Fig. 3. Fragment de mâchoire inférieure de loup fossile, de Gaylenreuth. — De la collection du Muséum.

Fig. 4. Autre fragment de mâchoire inférieure de loup fossile, de Gaylenreuth. — De la collection du Muséum.

Fig. 5. Fragment de mâchoire inférieure de loup fossile, de Gaylenreuth. — Du cabinet de Camper.

Fig. 6. Dent de *canis* fossile (loup ou chien), retirée d'un bloc de tuf des cavernes, pétri d'ossements.

- Fig. 7.* Principale molaire inférieure de *canis* fossile (loup ou chien), de Canstadt. — D'après un dessin de M. Jæger.
- Fig. 8.* Dent de *canis* fossile, trouvée à Romagnano. — D'après un dessin envoyé par Camper.
- Fig. 9 et 10.* Os du métacarpe du pouce d'un *canis* fossile (loup ou chien), retiré d'un bloc de tuf des cavernes, pétri d'ossements.
9. Vu par sa face antérieure.
10. ————— postérieure.
- Fig. 11.* Portion de bassin, comprenant l'ischion et le pubis, d'un putois fossile. — Tirée d'un bloc de tuf de Gaylenreuth.
- Fig. 12.* Avant-dernière vertèbre dorsale d'un putois fossile, de Gaylenreuth.
- Fig. 13 et 14.* Les deux os les plus extérieurs du métatarse d'un putois fossile, de Gaylenreuth.
- Fig. 15.* Phalange de la seconde rangée d'un pied de putois fossile, de Gaylenreuth.
- Fig. 16 et 17.* Deux vertèbres caudales d'un putois fossile, de Gaylenreuth.

PLANCHE 200.

Os de Glouton vivant.

- Fig. 1.* 2 et 3. Tête de glouton.
1. Vue de profil.
2. — en dessus.
3. — par sa face occipitale.
- Fig. 4 et 5.* L'omoplate.
4. Vue par sa face externe.
5. ————— articulaire.
- Fig. 6.* 7 et 8. L'humérus.
6. L'os entier, vu par sa face antérieure.
7. Sa tête articulaire supérieure.
8. ————— inférieure.
- Fig. 9.* 10 et 11. Les deux os de l'avant-bras.
9. Le cubitus et le radius, vus par leur face latérale externe.
10. Leurs facettes articulaires supérieures.
11. ————— inférieures.
- Fig. 12.* Les os du carpe, du métacarpe et les phalanges formant la main.
- Fig. 13.* Le bassin.
- Fig. 14.* 15 et 16. Le fémur.
14. Vu par sa face antérieure.
15. Sa tête articulaire supérieure.
16. ————— inférieure.

Fig. 17. 18 et 19. Les deux os de la jambe.

17. Vus par leur face antérieure.

18. Tête articulaire supérieure.

19. Facettes articulaires inférieures.

Fig. 20. Le tarse, le métatarse et les phalanges formant le pied.

Fig. 21 et 22. L'astragale.

21. Vu par sa face inférieure ou calcanienne.

22. ————— supérieure ou tibiale.

Fig. 23 et 24. Le calcaneum.

23. Vu par sa face externe.

24. ————— interne.

Fig. 25 et 26. L'atlas.

25. Vu par sa face inférieure.

26. ————— supérieure.

PLANCHE 201.

Fig. 1. Tête d'un rhinocéros ordinaire d'Afrique.

Fig. 2. Dessin, donné par sir Everard Home, d'une tête de rhinocéros bicolore du midi de l'Afrique, envoyée en Angleterre par M. Campbell.

Fig. 3. Figure publiée par sir Everard Home, d'une tête de rhinocéros fossile, donnée à sir Joseph Banks par l'empereur de Russie, et aujourd'hui au Muséum britannique.

Fig. 4. Profil d'une tête de rhinocéros fossile à narines cloisonnées, déterrée près de Montpellier.

Fig. 5. Mâchoire inférieure d'antracotherium, découverte en Alsace et donnée par M. Strauss.

a. Antépénultième molaire.

b. Dernière dent de lait.

c. d. Les deux premières molaires de remplacement.

e. Alvéole de la canine.

f. Alvéole d'une incisive.

Fig. 6. 7 et 8. Bois du Cervus Duvaucelii, envoyés de l'Inde par Duvaucel.

Fig. 9. Bois du Cervus Leschenaulti, envoyé de la côte de Coromandel par Leschenault.

Fig. 10. Bois du Cervus Aristotelis, Cuv., envoyé du Bengale par Duvaucel.

PLANCHE 202.

Dents molaires de Rongeurs.

Fig. 1. Écureuil.

Fig. 2. Marmotte.

Fig. 3. Rat.

Fig. 4. Loir.

Fig. 5. Hamster. { a. Jeune âge.
b. Dents usées.

Fig. 6. Hydromys.

Fig. 7. Spalax.

Fig. 8. Géoriques.

Fig. 9. Porc-Épic.

Fig. 10. Agouti adulte.

Fig. 11. Paca.

Fig. 12. Castor.

Fig. 13. Gerboises.

Fig. 14 et 15. Échimys.

14. Rat épineux. { a. Dents inférieures.
b. ——— supérieures.

15. Léroto à queue dorée. { a. Dents inférieures.
b. ——— supérieures.

Fig. 16. Oryctère, ou Rat-Taupe du Cap.

La série de gauche représente les dents supérieures, celle de droite les inférieures.

Fig. 17. Cabiai.

Fig. 18. Cochon d'Inde.

Fig. 19. Ondatra. { a. Dents inférieures.
b. ——— supérieures.

Fig. 20. Lièvre.

Fig. 21. Hélamys.

Fig. 22. Mérions. (*Dipus Americanus*, Bart.)

La série de gauche représente les dents supérieures, celle de droite les inférieures.

Fig. 23. Gerbilles.

La série de gauche représente le jeune âge, celle de droite les dents usées.

Fig. 24. Kerodonte.

Fig. 25. *Spermophiles*. *Souslick*.

La série de gauche représente les dents supérieures, et celle de droite les inférieures.

Fig. 26. *Sacomys*.

La série de gauche représente les dents supérieures, et celle de droite les inférieures.

Pour toutes les espèces dont on n'a représenté qu'une série de dents, ce sont celles de la mâchoire supérieure.

PLANCHE 203.

*Ostéologie du Castor, et dentition du Lapin et du Cochon d'Inde.**Fig. 1.* Omoplate.*Fig. 2.* 3. 4 et 5. Humérus.

2. Vu par sa face antérieure.

3. ————— postérieure.

4. Tête articulaire supérieure.

5. ————— inférieure.

Fig. 6. Cubitus, vu par devant.*Fig. 7.* 8 et 9. Radius.

7. Tête articulaire supérieure.

8. L'os vu par devant.

9. Tête articulaire inférieure.

Fig. 10. Carpe et pied de devant, gauches.*Fig. 11.* Bassin, vu par sa face inférieure ou antérieure.*Fig. 12.* 13. 14 et 15. Fémur.

12. Vu par sa face antérieure.

13. ————— postérieure.

14. Tête articulaire supérieure.

15. ————— inférieure.

Fig. 16. 17. 18 et 19. Tibia et péroné soudés ensemble.

16. Vus par devant.

17. ———— derrière.

18. Face articulaire supérieure.

19. ————— inférieure.

Fig. 20. Tarse et pied de derrière, gauches.*Fig. 21 et 22.* Dents de lait, dents de remplacement et arrière-molaires du Lapin.

21. Mâchoire supérieure.

22. ———— inférieure.

Fig. 23 et 24. Dents de lait, dents de remplacement et arrière-molaires du Cochon d'Inde.

23. Dents de la mâchoire supérieure.

24. ————— inférieure.

PLANCHE 204.

*Rongeurs fossiles.**Fig. 1.* 2 et 4. Tête de Castor, retirée des tourbes de la vallée de la Somme. — Envoyée par M. Traullé. — Demi-grandeur.

ATLAS. TOME II.

1. Vue en dessus.
2. — en dessous.
4. — de profil.

Fig. 3 et 6. Tête de Castor vivant, jeune et de même âge que le fossile. — Demi-grandeur.

3. Vue en dessus.
6. — de profil.

Fig. 5. Mâchoire inférieure de la tête de Castor, représentée fig. 1, 2 et 4.

Fig. 7. Mâchoire inférieure de la tête représentée fig. 3 et 6.

Fig. 8 et 9. Tête de Castor vivant, adulte. — Demi-grandeur.

8. Vue en dessus.
9. — de profil.

Fig. 10. Mâchoire inférieure de la tête précédente.

Fig. 11 et 12. Tête de Castor, déterrée sur les bords de la mer d'Azof, et de la grande espèce nommée *Trogotherium Cuvieri* par M. de Fischer. — Copiée d'après le dessin de M. de Fischer. — Demi-grandeur.

11. Vue de profil.
12. — par dessous.

Fig. 13. Rongeur des couches fissiles de Walsch en Bohême. — Copié de Mylius. — Demi-grandeur.

Fig. 14. Tête de l'animal représenté en entier fig. 18. — Copiée des Mémoires de l'Académie de Lausanne, t. III. — Grandeur naturelle.

Fig. 15. Fémur de l'animal représenté fig. 18. — Copié comme la fig. 14. — Grandeur naturelle.

Fig. 16 et 17. Dents molaires de Castor vivant.

16. Dents supérieures gauches; les mêmes que celles pl. 202, fig. 12.
17. Dents inférieures du même côté.

Fig. 18. Figure d'un rongeur fossile trouvé dans les schistes d'Oeningen, d'une espèce entièrement inconnue, et qui se rapproche des cabiais et des ondatras. — Copié du mémoire de M. Karg, dans les Mémoires de la Société des naturalistes de Souabe, t. I. — Demi-grandeur.

PLANCHE 205.

Squelette de l'Ai.

PLANCHE 206.

Tête et pieds de l'Ai.

Fig. 1. Tête vue de profil avec sa mâchoire inférieure.
a. Angle postérieur de celle-ci.

Fig. 2. Tête vue un peu en dessous, lorsqu'on a enlevé la mâchoire inférieure.

Fig. 3. La mâchoire inférieure, vue à part.

a. Extrémité antérieure de la mâchoire.

c. c. Angle postérieur.

d. d. Condyle.

Fig. 4. Cornes antérieures de l'os hyoïde.

Fig. 5. Carpe, métacarpe et phalanges.

A. Scaphoïde et trapèze réunis.

B. Semi-lunaire.

C. Cunéiforme.

E. Grand os et trapézoïde réunis.

F. Unciforme.

G. Pisiforme.

g. Tubercule ou vestige du petit doigt.

M. Os du métatarse et premières phalanges réunis en un seul os.

Fig. 6. Tarse, métatarse et phalanges.

A. Astragale.

a. Facette du péroné.

b. Facette du calcaneum.

c. Cou rétréci de l'astragale.

d. Facette scaphoïdienne un peu ginglymoïde.

e. Petite facette pour le bord antérieur du calcaneum.

B. Le calcaneum.

f. Partie postérieure de cet os.

g. Tubercule pour la première articulation avec l'astragale.

h. Petite facette pour la seconde articulation de l'astragale.

i. Facette interne pour le scaphoïde.

k. Facette externe pour le cuboïde.

D. Scaphoïde.

E. Cuboïde.

M". Phalanges unguéales.

N. Les os du métatarse et les premières phalanges soudés en un seul os.

Fig. 7. L'ongle d'une des phalanges.

PLANCHE 207.

Fig. 1. 2 et 3. Tête et mâchoire inférieure de l'Unau.

1. La tête vue de profil.

2. La mâchoire inférieure vue en dessus.

3. Tête vue en dessous.

a. a. Os propres du nez.

a'. fig. 3. Canine supérieure.

- b.* fig. 1. Maxillaires supérieurs.
- b. b.* fig. 2. Les canines inférieures.
- c.* Inter-maxillaires.
- d. d.* fig. 2. Condyles articulaires.
- e.* Lacrymal.
- f.* Jugal.
- g.* Frontal.
- h.* Occipital.
- i.* Pariétal.
- k.* Palatin.
- l.* fig. 3. Union de la caisse à l'aile ptérygoïde.
- m.* Temporal.

Fig. 4. Pied de derrière gauche de l'Unau.

- A. Astragale.
- B. Calcanéum.
- C. Grand cunéiforme.
- D. Scaphoïde.
- E. Cuboïde.
- F. Petit cunéiforme.
- G. Moyen cunéiforme.
- H. Vestige du pouce.
- H'. Métatarsien du deuxième doigt.
- H. Métatarsien du troisième doigt.
- H'. Métatarsien du quatrième doigt.
- H''. Vestige du cinquième doigt.
- I, I' et I. Premières phalanges.
- I''. Une de ces phalanges vue de profil.
- L, L' (1) et L. Secondes phalanges.
- L''. Une de ces phalanges vue de profil.
- M, M' et M. Phalanges unguéales.
- M''. Une de ces phalanges vue de profil.

Fig. 5. Pied de devant gauche.

- A. Scaphoïde et trapèze réunis.
- B. Semi-lunaire.
- C. Cunéiforme.
- D. Trapézoïde.
- E. Grand os.
- F. Unciforme.
- G. Pisiforme.

(1) La phalange placée à côté de *L* doit être marquée *L'* et non point *L''*, comme cela a été fait sur la planche par erreur.

- n. Vestige de l'index.
 n' et h. Métacarpiens des troisième et quatrième doigts.
 h'. Vestige du cinquième doigt.
 i. Première phalange.

PLANCHE 208.

Fig. 1. Bassin de l'Aï.

- a. a. Trou qui remplace l'échancrure ischiatique.
 q. q. Fémur.

Fig. 2. Pied de l'Aï.

- a. Facette conique de la face supérieure de l'astragale, dans laquelle pénètre l'extrémité du péroné.

Fig. 3. Jambe et tarse de l'Unau.

- A. Partie supérieure de l'astragale.
 a. Sa partie inférieure.
 c. Calcanéum.
 c'. Sa tubérosité postérieure.
 p. Péroné.
 s. Scaphoïde.
 t. Tibia.

Fig. 4. Avant-bras de l'Unau.

- c. Cubitus.
 r. Radius.

Fig. 5. Facette articulaire inférieure de ces deux os.

Fig. 6. Omoplate et clavicule de l'Unau.

- A. Omoplate.
 b. Bec coracoïde.
 c. Acromion.
 d. Clavicule.

PLANCHE 209.

Ostéologie du Pangolin à courte queue.

Fig. 1. Squelette entier.

Fig. 2. 3. 4 et 5. La tête, aux trois quarts de sa grandeur naturelle.

2. Vue en dessus.
 3. — en dessous.
 4. — de profil.
 5. — par sa face occipitale.
 a. Os du nez.

- b.* Frontaux.
- c.* Maxillaires.
- d.* Pariétaux.
- e.* Temporaux.
- f.* Sphénoïde postérieur.
- g.* ———— antérieur.
- h.* Condyles occipitaux.
- i.* Apophyses ptérygoïdes.
- l.* Inter-maxillaires.
- n.* Palatin.
- 1. Trou sous-orbitaire.
- 2. ——— lacrymal.
- 3. ——— sphéno-palatin.
- 4. ——— orbitaire antérieur.
- 5. ——— optique.
- 6. ——— sphéno-orbitaire.
- 7. ——— ovale.
- 8. ——— condyloïdien.
- 9. ——— déchiré postérieur.

Fig. 6 et 7. Omoplate.

- 6. Vue par sa face externe.
- 7. ———— articulaire.
- a.* Angle postérieur.
- b.* ——— antérieur.
- c.* Acromion.

Fig. 8. 9 et 10. Humérus.

- 8. L'os vu par sa face antérieure.
- 9. Sa tête articulaire supérieure.
- 10. ———— inférieure.
- a.* Facette articulaire supérieure.
- b.* Condyle interne.
- c.* Portion de la tête inférieure qui s'articule avec le radius.
- d.* Crête deltoïdienne.

Fig. 11. 12. 13 et 14. L'avant-bras.

- 11. Le cubitus et le radius, vus par leur face externe.
- 12. Tête supérieure du cubitus, vue en face.
- 13. Tête supérieure du radius.
- 14. Facettes articulaires inférieures du radius et du cubitus.

Fig. 15. Pied de devant.

- a.* Pisiforme.
- b.* Cunéiforme.

- c. Semi-lunaire
- d. Scaphoïde
- e. Trapèze.
- f. Trapézoïde.
- g. Grand os.
- h. Unciforme.
- i. Pouce.
- k. Index.
- l. Médius.
- m. Annulaire.
- n. Petit doigt.

} réunis.

Fig. 16. Bassin.

- a. Trou ischiatique.
- b. Articulation de l'os des iles avec la dernière vertèbre lombaire.

Fig. 17. 18 et 19. Fémur.

- 17. Vu par devant.
- 18. Tête articulaire supérieure.
- 19. ————— inférieure.

Fig. 20. 21 et 22. Tibia et péroné.

- 20. Les deux os, vus par devant.
- 21. Leurs facettes articulaires supérieures.
- 22. ————— inférieures.

Fig. 23. Pied de derrière gauche.

- a. Astragale.
 - b. Calcanéum.
 - c. Scaphoïde.
 - d. Cuboïde.
 - e. e. e. Les trois cunéiformes.
 - f. Os surnuméraire.
 - g. Pouce.
 - h. Deuxième doigt,
 - i. Troisième doigt,
 - k. Quatrième doigt,
 - l. Cinquième doigt,
- } montrant les phalanges unguéales bifurquées, comme
au pied de devant.

PLANCHE 210.

Ostéologie du Tamanoir.

Fig. 1. Le squelette entier.

Fig. 2. 3. 4 et 5. Tête, aux trois quarts, vue par ses différentes faces.

- 2. Vue en dessus.
- 3. — en dessous.
- 4. — de profil.
- 5. — par sa face occipitale.

L'explication des lettres pour toutes les figures de cette planche est la même que celles de la planche précédente ; il faut seulement y ajouter pour la tête :

- b'*. Le lacrymal.
- b''*. L'os jugal.
- i'*. fig. 5. Tube des narines, auquel les apophyses ptérygoïdes qui se rejoignent servent de plancher.
- 6'. Trou rond.

Fig. 6. L'omoplate, vue par sa face externe.

Fig. 7. La même, vue par sa face articulaire.

Fig. 8. 9 et 10. Humérus.

- 8. Vu par sa face antérieure.
- 9. Sa tête articulaire supérieure.
- 10. ————— inférieure.

Fig. 11. 12 et 13. Les deux os de l'avant-bras.

- 11. Le cubitus et le radius, vus par leur face externe.
- 12. Tête articulaire supérieure du cubitus.
- a.* Facette humérale.
- b.* ——— radiale.
- 13. Tête supérieure du radius.

Fig. 15. Pied de devant.

Fig. 16. Bassin.

L'articulation, *b*, du Pangolin, n'existe pas ici.

Fig. 17. 18 et 19. Fémur.

- 17. Vu par devant.
- 18. Tête articulaire supérieure.
- 19. ————— inférieure.

Fig. 20. 21 et 22. Tibia et péroné.

- 20. Les deux os, vus par devant.
- 21. Leurs facettes articulaires supérieures.
- 22. ————— inférieures.

Fig. 23. Pied de derrière gauche.

PLANCHE 211.

Ostéologie du Tatou noir.

Fig. 1. Squelette du cachicame.

Fig. 2. 3. 4 et 5. Tête du tatou mulet.

- 2. Vue en dessus.
- 3. — en dessous.
- 4. — de profil.
- 5. — par sa face occipitale.
- a. a. Frontaux.
- b. Pariétal.
- c. Occipital.
- d. d. Temporaux.
- e. e. Jugaux.
- f. f. Lacrymaux.
- g. g. Maxillaires.
- h. h. Inter-maxillaires.
- i. i. Os du nez.
- k. k. Palatins.

Fig. 4' et 5'. L'omoplate.

- 4'. Vue par sa face externe.
- 5'. ————— articulaire.

Fig. 6. 7 et 8. L'humérus.

- 6. Vu par-devant.
- 7. Sa tête articulaire supérieure.
- 8. ————— inférieure.

Fig. 9. 10 et 11. Le cubitus et le radius.

- 9. Vus par leur face externe.
- 10. Leurs têtes articulaires supérieures.
- 11. ————— inférieures.

Fig. 12. La main.

Fig. 13. Le bassin, vu en dessous.

Fig. 14. 15 et 16. Le fémur.

- 14. Vu par-devant.
- 15. Sa tête articulaire supérieure.
- 16. ————— inférieure.

Fig. 17. 18 et 19. Le tibia et le péroné.

- 17. Vus par-devant.
- 18. Facettes articulaires supérieures.

19. Facettes articulaires inférieures.

Fig. 20. Le pied.

Fig. 21. Le sternum, les clavicules et les côtes sternales du tatou encoubert, vus en dessous.

Fig. 22. Le bassin du même, vu en dessous.

PLANCHE 212.

Têtes et pieds de divers Tatous.

Fig. 1. 2 et 3. Tête du tatou géant.

1. Vue en dessus.

2. — en dessous.

3. — de profil.

Fig. 4. 5 et 6. Tête du tatou encoubert.

4. Vue en dessus.

5. — en dessous.

6. — de profil.

Fig. 7. 8 et 9. Tête du tatou cabassou.

7. Vue de profil.

8. — en dessus.

9. — en dessous.

L'explication des lettres gravées sur les figures 2, 3 et 4 de la planche précédente, s'applique exactement aux différentes têtes de celle-ci. Voyez ci-dessus, p. 49.

Fig. 10. L'avant-bras et la main du tatou géant.

Fig. 11. ————— du cabassou.

Fig. 12 et 13. Os de la main du tatou géant, résultant de l'ossification du tendon du fléchisseur profond. — Demi-grandeur.

12. Face qui regarde les doigts.

13. Face opposée à la précédente.

Fig. 14. L'avant-bras et la main du tatou encoubert.

Fig. 15 et 16. L'os du tendon de ses fléchisseurs.

15. Face qui regarde les doigts.

16. Face opposée à la précédente.

Fig. 17. Pied du tatou encoubert.

Fig. 18. ————— cabassou.

Fig. 19. ————— géant.

PLANCHE 213.

Ostéologie de l'Oryctérope.

Fig. 1. Le squelette.

Fig. 2. 3. 4 et 5. La tête.

2. Vue en dessus.

3. — en dessous.

4. — de profil.

5. — par sa face occipitale.

Voyez, pour l'explication des lettres de ces figures, celle des fig. 2, 3 et 4, pl. 211, p. 49.

Fig. 6. Une de ses dents entière.

Fig. 7. Une de ses dents, coupée verticalement.

Fig. 8. Une dent, coupée transversalement.

Fig. 9 et 10. L'omoplate.

9. Vue par sa face externe.

10. ———— articulaire.

Fig. 11. 12 et 13. L'humérus.

11. Vu par-devant.

12. Sa tête articulaire supérieure.

13. ———— inférieure.

Fig. 14. 15 et 16. Le cubitus et le radius.

14. Vus par leur face externe.

15. Tête supérieure du cubitus.

16. ———— du radius.

Fig. 17. La main.

Fig. 18. Le bassin, vu en dessous.

Fig. 19. 20 et 21. Le fémur.

19. Vu par-devant.

20. Sa tête articulaire supérieure.

21. ———— inférieure.

Fig. 22. 23 et 24. Le tibia et le péroné.

22. Vus par-devant.

23. Facettes articulaires supérieures.

24. ———— inférieures.

Fig. 25. Le pied.

PLANCHE 214.

Ostéologie de l'Échidné.

Fig. 1. Le squelette entier.

Fig. 2. 3. 4 et 5. La tête.

2. Vue en dessus.

3. — de profil.

4. — en dessous.

5. — par sa face occipitale.

Fig. 6. L'omoplate, vue par sa face externe.

a b. Côté postérieur.

a c. Angle postérieur supérieur.

d. ——— antérieur.

e. Apophyse qui porte la fourchette *f*, *fig. 21*.

g. Échancrure qui marque le col de l'omoplate.

h. Face articulaire concave.

i. Partie inférieure renflée qui s'articule avec les pièces *k*, *m m* et *n* du sternum, *fig. 21*.

Fig. 7. 8 et 9. L'humérus.

7. Vu par-devant.

8. Sa tête articulaire supérieure.

9. ——— inférieure.

Fig. 10. 11 et 12. Les os de l'avant-bras.

10. Vus par leur face externe.

11. Leurs têtes articulaires supérieures.

12. ——— inférieures.

Fig. 13. La main.

Fig. 14. Le bassin, vu par-dessous.

Fig. 15. 16 et 17. Le fémur.

15. Vu par-devant.

16. Sa tête articulaire supérieure.

17. ——— inférieure.

Fig. 18. 19 et 20. Les os de la jambe.

18. Vus par leur face externe.

19. Leurs têtes supérieures.

20. ——— articulaires inférieures.

Fig. 21. Les os de l'épaule et du sternum.

d. d. Angle antérieur de l'omoplate (voyez *fig. 6*).

e. e. Apophyse du bord antérieur de l'omoplate.

f. f. Les branches transversales de l'os de la fourchette, analogue à celui des oiseaux, et dont les deux pièces représentant les clavicules sont déjà soudées

avec la pièce impaire *n*. Ces différentes parties sont encore distinctes dans l'ornithorhynque pl. 215, fig. 5'.

g. g. Échancrure du col de l'omoplate.

h. h. Face articulaire concave du même os.

i. i. Partie inférieure de cet os, représentant le tubercule ou le bec coracoïde des autres mammifères.

k. Première pièce impaire du sternum.

m. m. Pièce paire analogue à une des branches de l'os coracoïde de l'épaule des lézards.

n. Manche de la fourchette.

Fig. 22. Le pied.

PLANCHE 215.

Ostéologie de l'Ornithorhynque.

Fig. 1. Le squelette entier.

Fig. 2. 4 et 5. La tête.

2. Vue en dessus.

4. — en dessous.

5. — par sa face occipitale.

Fig. 5'. Les os de l'épaule et du sternum.

Dans cette figure et dans la suivante, les lettres indiquent les mêmes objets que dans les figures 21 et 6 de la planche précédente. Voyez-en l'explication ci-dessus.

Il y a de plus ici :

w. w. qui sont les analogues des clavicules, et s'uniront plus tard aux branches *f f*, comme dans l'échidné pl. 214, fig. 21. La première pièce du sternum est divisée en deux parties *k k*.

Fig. 6. L'omoplate.

Fig. 7. 8 et 9. L'humérus.

7. Vu par-devant.

8. Sa tête supérieure.

9. — inférieure.

Fig. 10. 11 et 12. Les os de l'avant-bras.

10. Vus par leur face externe.

11. Leurs têtes supérieures.

12. — inférieures.

Fig. 13. La main.

Fig. 14. Le bassin vu par-dessous.

Fig. 15. 16 et 17. Le fémur.

15. Vu par-devant.
 16. Sa tête supérieure.
 17. ——— inférieure.
Fig. 18. 19 et 20. Les os de la jambe.
 18. Vus par leur face externe.
 19. Leurs têtes articulaires supérieures.
 20. ————— inférieures.
Fig. 22. Le pied.
Fig. 23 et 24. L'astragale.
 23. Vu en dessus.
 24. — en dessous.
Fig. 25 et 26. L'atlas.
 25. Vu en dessus.
 26. — en dessous.
Fig. 27. La mâchoire inférieure. On y voit, ainsi qu'en *fig. 4*, les couronnes des dents, plates et creusées de deux fossettes; l'intérieur en est creusé de petits canaux comme dans l'oryctérope.

PLANCHE 216.

Os de Mégalonyx.

- Fig. 1. 2. 3 et 4.* Métacarpien et phalanges du doigt médius gauche du mégalonyx, trouvés dans la Virginie (Amérique septentrionale).
 1. Os onguéal ou troisième phalange.
 2. Seconde phalange.
 3. Première phalange.
 4. Métacarpien.
Fig. 5. Onguéal trouvé au même endroit, appartenant probablement au même pied que celui de la *fig. 1*, et au doigt annulaire de ce pied.
Fig. 6. Le radius.
 La figure de droite représente l'os par sa face externe, et celle de gauche par sa face interne (1).
Fig. 7. Le cubitus, vu par ses faces antérieure et postérieure.
Fig. 8. Métacarpien de l'annulaire, qui s'articulait avec celui de la *fig. 4*, et portait les phalanges des *fig. 5 et 10*.
Fig. 9. Onguéal (probablement de l'index) trouvé au même lieu et appartenant vraisemblablement au même pied que ceux des *fig. 1 et 5*.

(1) Cet os, sur la planche, est renversé de haut en bas.

Fig. 10. Seconde phalange; probablement du même doigt que la *fig. 5*.

Fig. 11. Os du métacarpe; probablement de l'index et du même doigt que l'onguéal, *fig. 9*.

Fig. 12. Os qui paraît être le vestige du pouce ou du petit doigt. — Communiqué par M. de Beauvois.

a. Empreinte d'insertion musculaire.

b. Terminaison inférieure.

c. Facette pour le métacarpien.

d. Autre facette pour le carpe.

Fig. 14. Dent vue dans sa longueur et de grandeur naturelle. Communiquée par M. de Beauvois.

La *fig. 13* est vraisemblablement la coupe horizontale de la dent précédente, pour montrer son épaisseur.

PLANCHE 217.

Ostéologie du Mégathérium.

Fig. 1. Le squelette entier.

Fig. 2. 3 et 4. La tête.

2. Vue de profil.

3. — en dessus.

4. — en devant.

Fig. 5 et 6. L'omoplate.

5. Vue par sa face externe.

6. ————— articulaire.

Fig. 7. Humérus vu en devant.

Fig. 8 et 9. Radius.

8. Vu par-devant.

9. — de profil.

Fig. 10. 11 et 12. Cubitus.

10. Vu par-devant.

11. — par-derrière.

12. — de profil.

Fig. 13. Pied de devant.

Fig. 14 et 15. Bassin.

14. Vu de profil.

15. — par sa face antérieure.

Fig. 16 et 17. Fémur.

16. Vu par-devant.

17. — de profil.

Fig. 18 et 19. Tibia et péroné réunis.

18. Vus par-devant.
 19. — de profil.
Fig. 20. Pied de derrière.
Fig. 21. Clavicule.
Fig. 22. Une phalange onguéale dont la gaine est ouverte.
Fig. 23. Vertèbre lombaire.
Fig. 24. ——— dorsale.
Fig. 25. ——— cervicale.
Fig. 26 et 27. Phalange onguéale d'un pangolin gigantesque, trouvée à Eppelsheim (ancien Palatinat).
 26. Vue de profil.
 27. — par-dessous.
Fig. 28. Dent séparée de mégathérium, vue dans toute sa longueur, et par sa couronne.

PLANCHE 218.

Ostéologie du Phoque à ventre blanc.

- Fig.* 1. Le squelette entier.
Fig. 2. 3. 4 et 5. La tête.
 2. Vue de profil.
 3. — en dessus.
 4. — en dessous.
 5. — par sa face occipitale.
Fig. 6. 7 et 8. L'humérus.
 6. Vu par-devant.
 7. Sa tête articulaire supérieure.
 8. ——— inférieure.
Fig. 9. 10 et 11. Le cubitus et le radius.
 9. Vus par leur face externe.
 10. Leurs têtes supérieures vues par-devant.
 11. Facettes articulaires inférieures.
Fig. 12. Le carpe et le métacarpe.
 a. Le scaphoïde et le semi-lunaire réunis pour l'articulation avec le radius.
 b. Cuneiforme.
 c. Trapèze.
 d. Trapézoïde.
Fig. 13. Le bassin, vu en dessous.
Fig. 14. 15 et 16. Le fémur.
 14. Vu par-devant.

15. Sa tête supérieure.

16. ——— inférieure.

Fig. 17. 18 et 19. Le tibia et le péroné.

17. Vus par-devant.

18. Leurs facettes articulaires supérieures.

19. ————— inférieures.

Fig. 20. Le tarse et le métatarse.

a. Astragale.

b. Calcanéum.

Fig. 21 et 22. L'astragale, vu séparément.

21. Face interne ou calcanienne.

22. Face externe.

Fig. 23 et 24. Le calcanéum, vu séparément.

23. Face interne ou libre.

24. Face externe ou astragaliennne.

Fig. 25 et 26. Atlas.

25. Vu par sa face inférieure.

26. ————— supérieure.

PLANCHE 219.

Têtes de Phoques.

Fig. 1. Phoque à trompe.

Fig. 2. *Phoca leptonyx*, BLAINV.

Fig. 3. *Phoca mitrata*.

Fig. 4. *Phoca leonina*.

Fig. 5. Otarie adulte du Cap (*Phoca ursina*).

PLANCHE 219 bis.

Ostéologie du Morse.

Fig. 1. Le squelette.

Fig. 2. 3. 4 et 5. La tête.

2. Vue par sa face supérieure.

3. ————— inférieure.

4. ————— antérieure.

5. ————— postérieure.

Fig. 6. Face articulaire de l'omoplate.

Fig. 7. 8 et 9. L'humérus.

7. Vu par sa face antérieure.

8. Sa tête supérieure.

9. ——— inférieure.

Fig. 10. 11 et 12. Le cubitus et le radius.

10. Vus par leur face externe.

11. Leur tête supérieure, vue par sa face antérieure.

12. Leur tête articulaire inférieure.

Fig. 13. Le carpe et le métacarpe.

Fig. 14. Le bassin, vu en dessous.

Fig. 15. 16 et 17. Le fémur.

15. Vu en devant.

16. Tête supérieure.

17. ——— inférieure.

Fig. 18. 19 et 20. Le tibia et le péroné.

18. Vus par leur face antérieure.

19. Leur tête supérieure.

20. ——— inférieure.

Fig. 21. L'astragale, vu par sa face inférieure.

Fig. 22. Le calcanéum, vu par sa face supérieure.

Fig. 23. Le tarse et le métatarse.

Fig. 24 et 25. L'atlas.

24. Vu par sa face supérieure.

25. ————— inférieure.

PLANCHE 220.

Fig. 1. Squelette du lamantin d'Amérique.

Fig. 2 et 3. Sa tête.

2. Vue de profil.

3. — en dessus.

a. a. Os inter-maxillaires.

b. b. Trou sous-orbitaire.

c. Os maxillaire.

d. d. Frontaux.

d'. d'. Apophyse post-orbitaire.

e. e'. Os de la pommette.

f. Apophyse zygomatique du temporal.

g. Pariétal.

h. Trous mentonniers.

Fig. 4 et 5. Tête du lamantin du Sénégal.

4. Vue de profil.

5. — en dessus.

Fig. 6 et 7. Tête de dugong.

6. Vue de profil.

7. — en dessus.

Fig. 8. 9 et 10. Os de l'oreille du lamantin.

8. Vu par dehors.

9. — du côté de l'intérieur du crâne.

10. — par-dessous.

a. Dôme de la caisse.

b. Cadre du tympan.

c. Labyrinthe ou rocher proprement dit.

b. Partie antérieure du cadre du tympan.

d. ——— postérieure *id.*

f. Dôme.

g. Rocher.

h. Partie postérieure du rocher.

k. ——— antérieure *id.*

m. n. o. Les trois osselets de l'intérieur de la caisse, dont l'étrier est en o.

p. q. Trous de la face interne du labyrinthe.

s. Fenêtre ronde.

t. Promontoire qui sépare la fenêtre ronde de l'ovale.

Fig. 11. Molaire supérieure de lamantin.

Fig. 12. A et B. Atlas de lamantin fossile d'Angers.

A. Vu par-devant.

B. — par-derrière.

Fig. 13. Dent de dugong, dont la couronne est usée.

Fig. 14. 15 et 16. Avant-bras de lamantin.

14. Vu par sa face externe.

15. ——— antérieure.

16. ——— interne.

Fig. 17 et 18. Humérus de lamantin.

17. Vu par sa face antérieure.

18. ——— postérieure.

Fig. 19. 20 et 21. Avant-bras de lamantin fossile d'Angers.

19. Vu par sa face interne.

20. ——— antérieure.

21. ——— externe.

Fig. 22 et 23. Partie supérieure d'un crâne de lamantin fossile d'Angers.

22. Vu en dessus.

23. Vu de profil.

a. a. Arcade occipitale.

b. b. Branches antérieures des frontaux.

c. c. Os du nez.

Fig. 24. 25 et 26. Partie supérieure d'un humérus de phoque fossile des environs d'Angers.

24. Vue par sa face postérieure.

25. ————— antérieure.

26. ————— articulaire.

Fig. 27. Facette articulaire de l'omoplate du lamantin.

Fig. 28 et 29. Partie inférieure d'un humérus de phoque fossile des environs d'Angers.

28. Vue par-devant.

29. ———— derrière.

PLANCHE 221.

Ostéologie du Dugong.

Fig. 1. Le squelette entier.

Fig. 2. 3 et 4. La tête.

2. Vue en dessus.

3. — en dessous.

4. — par sa face occipitale.

Fig. 5. 6. 7 et 8. L'humérus.

5. Vu par sa face postérieure.

6. ————— antérieure.

7. Tête articulaire supérieure.

8. ————— inférieure.

Fig. 9. 10 et 11. L'avant-bras.

9. Vu par sa face externe.

10. ————— interne.

11. ————— antérieure

Fig. 12. 13 et 14. Os de l'oreille.

12. Vu par-dessous.

13. ———— dehors.

14. ———— l'intérieur du crâne.

Fig. 15. L'atlas, vu par sa face occipitale.

PLANCHE 222.

Diverses têtes de Dauphins.

Fig. 1 et 2. Tête de marsouin.

1. Vue en dessus.

2. — de profil.

Fig. 3 et 4. Tête du *Delphinus tursio*.

3. Vue en dessus.

4. — de profil.

Fig. 5 et 6. Tête du delphinaptère à museau blanc.

5. Vue en dessus.

6. — de profil.

Fig. 7 et 8. Tête du *Delphinus rostratus*.

7. Vue en dessus.

8. — de profil.

Fig. 9 et 10. Tête du dauphin vulgaire (*Delphinus delphis*).

9. Vue en dessus.

10. — de profil.

Fig. 11. 12 et 13. Tête du *Delphinus globiceps*.

11. Vue en dessus

12. — en dessous.

13. — de profil.

a. a. Inter-maxillaires.

b. b. Maxillaires.

b'. b'. Partie du maxillaire qui recouvre le frontal.

b''. Portion du maxillaire qui paraît entre les inter-maxillaires.

c. c. Frontal.

c'. Plafond des orbites.

c''. Apophyse post-orbitaire du frontal.

d. d. Os du nez.

e. et o. Ethmoïde (1).

f. Occipital latéral.

f'. Basilaire.

g. g. Pariétaux.

h. Jugal.

h'. Apophyse du jugal.

(1) L'autre e, situé vers le milieu du museau sur la ligne médiane, indique le vomer.

- i.* Sphénoïde postérieur.
- k.* ———— antérieur.
- l.* *l.* Apophyses ptérygoïdes internes.
- l'.* Une des courbures des apophyses ptérygoïdes internes, laquelle s'unit à l'un des arcs du palatin.
- m. m.* Palatins.
- n.* Temporal.

PLANCHE 223.

Têtes de divers Dauphins.

Fig. 1 et 2. Tête du *Delphinus griseus*.

- 1. Vue en dessus.
- 2. — de profil.

Fig. 3 et 4. Tête de l'épaulard (*D. orca*).

- 3. Vue en dessus.
- 4. — de profil.

Fig. 5 et 6. Tête du béluga (*Delphinus leucas*).

- 5. Vue en dessus.
- 6. — de profil.

Fig. 7. Tête de narval, vue en dessus.

Fig. 8. 9 et 10. Tête du dauphin du Gange.

- 8. Vue de profil.
- 9. — en dessous.
- 10. — en dessus.

PLANCHE 224.

Fig. 1. Squelette presque entier d'un dauphin fossile, voisin de l'épaulard et du globiceps, trouvé en 1793, dans la colline de Torazza (Apennins), par M. Cortesi.

Fig. 2. Tête du dauphin, du morceau précédent, vue en dessous.

Ce dessin et le précédent ont été envoyés par M. Moreau de Saint-Méry.

Fig. 3. Os du sternum du même dauphin, d'après le dessin communiqué par M. Moreau de Saint-Méry.

- a.* Premier os
 - b.* Deuxième os
 - c.* Troisième os
- } du sternum.

Fig. 4 et 5. Mâchoire inférieure d'un dauphin fossile, voisin du *Delphinus rostratus*, trouvée

à Sort, département des Landes. — Dessinée par M. Cuvier dans le cabinet de M. Borda, à Dax.

4. Vue en dessus.

5. — de côté.

Fig. 6. 7 et 8. Coupe transversale du museau du *Delphinus rostratus*.

6. Prise près de la base.

7. — dans le milieu.

8. — vers le devant.

a. Le vomer.

b. b. Les maxillaires.

c. c. Les inter-maxillaires.

Fig. 9. 10 et 11. Fragmens de mâchoire supérieure de dauphin fossile, envoyés du département des Landes par M. Borda.

9. Vus de profil.

10. — en dessus.

11. Coupe transversale.

Fig. 12. Cubitus de cétacé fossile trouvé dans les environs du Hâvre.

Fig. 13. Omoplate de marsouin.

Fig. 14. ——— du *Delphinus orca*.

Fig. 15. ——— *griseus*.

Fig. 16. ——— *globiceps*.

Fig. 17. ——— *tursio*.

Fig. 18. ——— *delphis*.

Fig. 19. ——— du dauphin du Gange.

Fig. 20. ——— du *Delphinus leucoramphus*.

Fig. 21. Sternum du *Delphinus tursio*.

Fig. 22. Membre antérieur du dauphin.

a. Humérus.

b. Radius.

c. Cubitus.

d. Os antérieur

e. — postérieur

f. — intermédiaire

} du carpe.

g. Métacarpien.

h. Vestige de pouce.

i. Deuxième doigt.

k. Troisième doigt.

l. Quatrième doigt.

m. Cinquième doigt.

Fig. 22 bis. Humérus du morceau précédent, vu par sa face externe.

Fig. 23. Atlas du *Delphinus tursio*.

a. Apophyse transverse.

Fig. 24. Cinquième cervicale du *Delphinus tursio*.

Fig. 25. Quatrième dorsale.

Fig. 26. Huitième dorsale.

Fig. 27. Deuxième lombaire.

Fig. 28. Neuvième lombaire.

Fig. 29. Quatrième

Fig. 30. Douzième

Fig. 31. Dix-huitième

Fig. 32. Vingtième

} vertèbre caudale.

Fig. 33. 34. 35 et 36. Os de l'oreille du dauphin.

33. Vu en dessous.

34. — à l'extérieur.

35. — à l'intérieur.

36. — en dessus.

a. Rocher.

b. Caisse.

c. d. Portion plus grande du rocher en ellipsoïde.

f. Autre portion plus petite du rocher, en forme de quart de sphère.

g. Fosse qui sépare ces deux portions.

h. partie postérieure de la caisse, bilobée.

i. Canal formé par la caisse et ouvert en avant.

k. Apophyse rugueuse qui unit la caisse au rocher.

m. Solution de continuité entre le bord interne de la caisse et le rocher.

Fig. 37. Os styloïdien de la fig. 1.

Fig. 38. Portion de mâchoire supérieure de dauphin fossile, trouvée dans le calcaire grossier du département de l'Orne.

PLANCHE 225.

Ostéologie des Cachalots et de l'Hypéroodon.

Fig. 1. 2. 3. 4 et 5. Tête de cachalot.

1. Vue en dessous.

2. — en dessus.

3. — de profil.

4. — obliquement en dessus.

5. — par sa face occipitale.

- a. a.* Maxillaires.
- b. b'. b''. b'''.* Inter-maxillaires.
- c.* Vomer.
- d. d'.* Os du nez.
- e. e'.* Frontal.
- f. f.* Grand trou qui tient lieu du sous-orbitaire.
- g.* Apophyse zygomatique du temporal.
- h.* Jugal.
- i.* Pariétal.
- k. k.* Occipital.
- m. m.* Ptérygoïdiens.
- n.* Palatin.

Fig. 6. Mâchoire inférieure de la tête précédente, vue en dessus.

Fig. 7. Extrémité de la mâchoire inférieure d'un cachalot échoué à Audierne.

Fig. 8. Extrémité d'une mâchoire inférieure de cachalot, rapportée des mers antarctiques.

Fig. 9. Demi-mâchoire inférieure d'un petit cachalot, conservée au cabinet d'anatomie.

Fig. 10. La mâchoire inférieure, représentée *fig. 6*, vue de profil.

Fig. 11. Omoplate de cachalot.

Fig. 12. Atlas de cachalot.

Fig. 13. Les six dernières vertèbres du cou du cachalot, soudées ensemble.

Fig. 14. Bras et avant-bras de cachalot.

- a.* Humérus.
- b.* Cubitus.
- c.* Radius.

Fig. 15. Deuxième vertèbre dorsale de cachalot.

Fig. 16. Neuvième vertèbre dorsale de cachalot.

Fig. 17. Troisième vertèbre lombaire de cachalot.

Fig. 18. Vertèbre caudale de cachalot.

- a.* Os en V.

Fig. 19. 20 et 21. Tête osseuse d'hypéroodon, dessinée à Kleinlankum près de Franeker, dans le cabinet d'Adrien Camper.

- 19. Vue en dessous.
- 20. — de profil.
- 21. — par sa face occipitale.
- a. a.* Maxillaires.
- a'.* Crête verticale du maxillaire.
- a''.* Apophyse post-orbitaire.
- a'''.* Crête occipitale transverse.
- b. b'.* Inter-maxillaires.
- c.* Les os du nez.

f. Apophyse zygomatique du temporal.

g. g. Ptérygoïdiens.

h. h. Palatins.

i. Vomer.

Fig. 22. Mâchoire inférieure de la tête précédente.

Fig. 23. Omoplate de l'hypérodont.

PLANCHE 226.

Têtes de Baleines.

Fig. 1. 2. 3 et 4. Tête de baleine proprement dite, d'après un jeune individu du Cap.

1. Vue de côté.

2. --- en dessus.

3. --- en dessous

4. --- par sa face occipitale.

Fig. 5. 6. 7 et 8. Tête de baleine proprement dite, d'après un adulte du Cap.

5. Vue de côté.

6. --- en dessus.

7. --- en dessous.

8. --- par sa face occipitale.

a. a. a''. a''. Maxillaires.

b. b. Inter-maxillaires.

c. fig. 5 et f. f. fig. 6. Frontal.

d. fig. 5 et h. fig. 6. Occipital.

e. e. Os du nez.

g. g. Pariétal.

k. k. Jugal.

m. m. Temporal.

p. p. Palatin.

s. Ptérygoïdien.

Fig. 9. 10 et 11. Tête de baleine du Groenland, adulte.—Du Muséum britannique.

9. Vue de côté.

10. --- en dessus.

11. --- en dessous.

Fig. 12. Os hyoïde de dauphin.

a Corne postérieure,

b. b. Os styloïdiens.

Fig. 13. Os hyoïde de rorqual du Cap.

Fig. 14. Os hyoïde de la grande baleine du Cap.

Fig. 15. Corps d'un très-grand os hyoïde, probablement du cachalot d'Audierne.

PLANCHE 227.

Ostéologie de diverses Baleines.

Fig. 1. 2. 3 et 4. Tête de rorqual du Cap.

1. Vue de côté.
2. — en dessus.
3. — en dessous.
4. — par sa face occipitale.
- a, a. a'. a'. a'''. a'''. Maxillaires supérieurs.
- b. fig. 3 et d. fig. 2. Vomer.
- c. c. Inter-maxillaires.
- e. e. Os du nez.
- f. f. Frontal.
- g. Pariétal.
- h. h''. Occipital.
- i. Trou occipital.
- k. k. Jugal.
- m. m. Temporal.
- m'. m'. Facette glénoïde du temporal.
- o. o. Lacrymal.
- p. p. Palatins.
- q. Région basilaire.
- r. r. Os de l'oreille.
- s. s. Os ptérygoidien.
- t. Corps du sphénoïde postérieur.

Fig. 5. Tête de rorqual de la Méditerranée échoué aux îles Sainte-Marguerite ; vue en dessus.

Fig. 6. Tête de rorqual de la mer du Nord, également vue en dessus — Copiée de Rudolphi.

Fig. 7. Omoplate de baleine du Cap.

Fig. 8. ——— de baleine franche.

Fig. 9. ——— de rorqual du Cap.

Fig. 10. Omoplate conservée au Cabinet d'anatomie, qui, par sa forme et son peu d'épaisseur, paraît être celle d'un marsouin dont les dimensions seraient du double plus grandes que celles de nos plus grands orcas, et qui, si elle appartient à une baleine, est d'une espèce toute différente de celles que nous connaissons.

Fig. 11. Os du sternum de baleine.

Fig. 12. Os du sternum du rorqual du Cap.

Fig. 13. L'atlas, l'axis et les cinq autres vertèbres cervicales de la baleine proprement dite, unies par leur corps.

- Fig. 14. Quatrième vertèbre dorsale de baleine proprement dite.
 Fig. 15. Onzième dorsale de baleine proprement dite.
 Fig. 16. Première lombaire de baleine proprement dite.
 Fig. 17. Une des premières caudales de baleine proprement dite.
 Fig. 18. Groupe de vertèbres, composé des sept cervicales et de la première dorsale, d'une espèce de baleine proprement dite, différente de celle du Cap.
 Fig. 19. Atlas de rorqual du Cap.
 Fig. 20. L'axis du rorqual du Cap, uni à la troisième cervicale.
 Fig. 21. Quatrième cervicale de rorqual du Cap.
 Fig. 22. Membre pectoral de rorqual du Cap.
 a. Humérus.
 b. Cubitus.
 c. Radius.
 Fig. 23. Membre thoracique de baleine.
 a. Humérus.
 b. Radius.
 c. Cubitus.
 Fig. 24. Os du bassin du rorqual du Cap.
 Fig. 25. ————— de la grande baleine du Cap.

PLANCHE 228.

Cétacés fossiles.

- Fig. 1. Squelette de rorqual fossile, trouvé dans le *monte Pulgnasco* en Lombardie. — Copié d'après Cortesi.
 Fig. 2 et 3. Tête de ziphius, cétacé d'un genre inconnu, trouvée dans le département des Bouches-du-Rhône en 1804 (*Ziphius cavirostris*).
 2. Vue par dessous.
 3. — obliquement en dessus.
 a. Fosse temporale.
 b. Apophyse zygomatique du temporal.
 c. Bord supérieur de l'orbite.
 d. Face supérieure du frontal.
 e. e. e. Ligne qui indique la fracture du maxillaire.
 f. f. Maxillaire.
 g. g. g'. Inter-maxillaires.
 h. Vomer.
 i. k. l. o. Branche montante des maxillaires et inter-maxillaires unis.
 m. m. Fosses nasales.
 n. Os du nez.

Fig. 4. 5 et 6. Tête de ziphius déterrée en creusant les bassins d'Anvers en 1809.

4. Vue de côté.
5. — en dessus.
6. — en dessous.
- a. b. Partie du museau formée par les maxillaires et les inter-maxillaires.
- c. c. Partie dilatée de chaque côté au-devant de l'orbite.
- d. e. Deux fosses au-devant des narines.
- d'. e'. Petit canal formé par la pointe de ces deux fosses.
- f. Crête plate appartenant au vomer.
- g. Portion incomplète de la face antérieure du crâne.
- h. Bords des narines.
- i. Os du nez.
- k. k. Empreinte laissée par les palatins et les ptérygoïdiens sur la face inférieure des maxillaires.

Fig. 7 et 8. Autre tête de ziphius, mais d'une espèce peut-être différente de la précédente (*Ziphius planirostris*). — Déterrée au même lieu.

7. Vue en dessus.
8. — en dessous.

Voyez, pour l'explication des lettres, celle des figures 4-6.

Fig. 9 et 10. Morceau de mâchoire supérieure conservé au Muséum et d'origine inconnue, indiquant une espèce différente des précédentes (*Ziphius longirostris*).

9. Vu en dessus.
10. — de côté.
- a. Partie de la base élargie et aplatie horizontalement.
- b. Empreinte des palatins.
- c. c. Os long et étroit qui représente les deux inter-maxillaires.

Fig. 10. 11. 12. 13. 14 et 15. L'os de l'oreille de la baleine franche du Cap.

10. Vu par sa face antérieure.
11. ———— externe.
12. ———— postérieure.
13. ———— interne.
14. ———— inférieure.
15. ———— supérieure.
- a. Caisse.
- b. Rocher.
- c. Apophyse postérieure et un peu supérieure.
- d. Apophyse antérieure et inférieure.

Fig. 16. Portion considérable d'un temporal droit et du pariétal d'une baleine fossile déterrée à Paris en 1779. — Morceau du cabinet de Harlem. — D'après un dessin de M. Van Marum.

- A. B. c. Portion du temporal droit, vu par sa face antérieure.
- D. E. Portion du pariétal.

PLANCHE 229.

Crânes des différentes espèces de crocodiles, vus de face et de profil, réduits à la même longueur.

Les noms des espèces sont au-dessous de chacune des têtes.

PLANCHE 230.

Nuques et pieds des diverses espèces de crocodiles.

Les noms des espèces sont au-dessous de chacune des figures.

PLANCHE 231.

Ostéologie des Crocodiles.

Fig. 1. 2. 3 et 5. Tête du crocodile à losange.

1. Vue en dessus.
2. — en dessous.
3. — de côté, avec sa mâchoire inférieure.
5. — par sa face postérieure.

Fig. 4. La mâchoire inférieure, vue par sa face interne.

- n. Frontal.
- a. a. Inter-maxillaires.
- b. b. b'. b'. Maxillaires.
- c. c. Jugal.
- c'. Apophyse post-orbitaire du jugal.
- d. d. Os transverse.
- e. e. Palatins.
- f. f. f'. Os ptérygoïdiens.
- g. g. Ailes temporales du sphénoïde.
- h. h. Frontal antérieur.
- h'. h'. Frontal postérieur.
- h''. h''. Apophyse post-orbitaire du frontal postérieur.
- i. i. Lacrymal.
- k. k. Nasal.
- m. Pariétal.
- n. n. n'. n'. Mastoïdien.
- o. o. Caisse ou os tympanique.
- o'. o'. Facette transverse de l'os tympanique.

- p. p.* Temporal écailléux.
q. Occipital supérieur.
r. ——— inférieur ou basilaire.
s. s. ——— latéral.
u. Dentaire.
v. Angulaire.
x. Sur-angulaire.
y. Articulaire.
z. Complémentaire.
&. Operculaire.

Fig. 6. Tête de gavial du Gange, vue en dessus.

Fig. 7. Mâchoire inférieure du même individu, aussi vue en dessus.

L'explication des lettres des figures 1-5 s'applique également à celles-ci.

PLANCHE 232.

Os séparés de Crocodile (Espèce des Indes ou à deux arêtes).

Fig. 1. Atlas.

- a.* Lambe transverse formant le dos de la partie annulaire.
b. b. Pièces latérales.
b'. b'. Facettes de ces pièces pour le condyle occipital.
b''. Apophyse offrant en dessous la facette articulaire.
c. Quatrième pièce représentant le corps.
d. d. Apophyses transverses.

Fig. 2. Axis.

- a.* Pièce supérieure ou annulaire.
b. Le corps.
c. Pièce convexe qui tient lieu d'apophyse odontoïde.
d. d. Apophyses transverses.

Fig. 3. Vertèbre cervicale.

- a.* Partie annulaire.
b. b. b. Corps.
c. c. Apophyses articulaires.
d. Apophyse épineuse.
e. Autre apophyse épineuse en dessous du corps.
g. Apophyse transverse inférieure.
h. Compléments d'apophyses transverses.
i. Pédicelle supérieur.
k. ——— inférieur.
l. Pointe en avant de la branche longitudinale.
m. ——— en arrière.

Fig. 4. Vertèbre du dos.

- c. c.* { Apophyses articulaires.
c'. c'. {
d. Apophyse épineuse.
e. Apophyse épineuse inférieure.
f. f. Apophyses transverses.
g. Tubercule latéral.
i. i. Tubercule de la côte.
k. k. Tête de la côte.

Fig. 5. 6 et 7. Vertèbres de la queue.

- n.* Apophyse épineuse inférieure.

Fig. 8. Les deux apophyses du corps des vertèbres sacrées, et leur manière de s'attacher à l'os des iles.*Fig. 9* et 9 B. Omoplate.

- 9.* Vu par sa face externe.
9 B. Vu par sa face articulaire.
a. Partie plane.
b. Col de l'os.
c. Facette pour le coracoïdien.
d. ———— l'humérus.

Fig. 10 et 10 B. Os coracoïdien.

- 10.* Vu par sa face externe.
10. B. Vu par sa face articulaire.
a. Partie plane.
b. Col.

Fig. 11 A, B, C, et D. Humérus.

- A* Vu par devant.
B. — par derrière.
C. Face articulaire supérieure.
D. ———— inférieure.

Fig. 12 A, B, C et D. Fémur.

- A.* Vu en dehors.
B. — en dedans.
C. Facette articulaire supérieure.
D. ———— inférieure.

Fig. 13. L'avant-bras et la main.

- a.* Cubitus.
b. Radius.
c. Os radial
d. — cubital
e. Troisième os
f. Quatrième os
- } du carpe.

Fig. 15. Bassin.

- a.* Os des iles.
- b.* Ischion.
- c.* Pubis. — Ce pubis est de plus représenté séparément, et par sa face supérieure, un peu au-dessus de cette figure.

Fig. 16. La jambe et le pied.

- a.* Tibia.
- b.* Péroné.
- c.* Astragale.
- d.* Calcanéum.
- e.* Cuboïde.
- f.* Cunéiforme.

Fig. 17. A, B, C et D. Tibia.

- 17 A. Vu par sa face externe.
- 17 B. ——— interne.
- 17 C. Face articulaire supérieure.
- 17 D. ——— inférieure.

Fig. 18. A, B, C et D. Calcanéum.

- 18 A. Vu en dessus.
- 18 B. — en dessous.
- 18 C. — en avant.
- 18 D. — par le côté interne.

Fig. 19. A, B, C et D. Astragale.

- 19 A. Vu par devant.
- 19 B. — par derrière.
- 19 C. — en dessus.
- 19 D. — en dessous.

PLANCHE 233.

Fig. 1 et 2. Tête et nuque du crocodile à nuque cuirassée (*Crocod. cataphractus*) observé au collège des chirurgiens de Londres en 1818.

- 1. Vues de profil.
- 2. — en dessus.

Fig. 3 et 4. Os hyoïde de crocodile.

- 3. Vu de face.
- 4. — de profil.
- a. a.* Deux petites échancrures du corps.
- b. b.* Cornes antérieures.
- c. c.* Petits appendices cartilagineux de ces cornes.

Fig. 5. Sternum de crocodile.

Fig. 6. Bassin de crocodile, vu en dessous pour montrer la manière dont les côtes ventrales s'insèrent sur le côté des pubis.

Fig. 7. Fragment d'une mâchoire inférieure de crocodile, trouvée dans les carrières des collines d'Elm, près d'Erkerode, à l'est de Brunswick, au même lieu que la tête dont parle M. de Sæmmerring au § 13 de son mémoire sur le *Crocodylus priscus* (Mémoires de Munich, 1814).

Fig. 8. Une dent séparée, grossie, trouvée dans le même bloc que la pièce précédente.

Fig. 9. Coupe de cette dent pour en faire mieux sentir les cannelures.

Ces trois figures ont été gravées d'après des dessins envoyés par M. de Sæmmerring, mais il n'en est pas fait mention dans le texte de M. Cuvier.

Fig. 10. Deux vertèbres, probablement sacrées, de crocodile fossile à système concave.

PLANCHE 234.

Fig. 1. Gavial des schistes calcaires de Monheim en Franconie. — Copie réduite du dessin publié par M. de Sæmmerring.

a. Mâchoire inférieure.

b. ———— supérieure.

c. Condyle pour l'articulation avec l'atlas.

d. Os tympanique.

f. — des iles.

g. — coracoïde.

h. Pied de derrière gauche.

k. ———— droit.

Fig. 2. Vertèbre dorsale

Fig. 3. ——— sacrée

Fig. 4. ——— caudale

} d'un crocodile semblable à celui de Caen, trouvé dans le Jura.

Fig. 6. Fragment d'écaille d'un crocodile semblable à celui de Caen, trouvé dans le Jura.

Fig. 7. Dent obtuse d'un crocodile du Jura, peut-être d'une espèce différente de la précédente.

Fig. 8. Dent pointue et tranchante de la même espèce que les fig. 2-6.

Fig. 9. Dent de crocodile de la craie de Meudon, donnée par M. Brongniart.

Fig. 10. 11. 12. 13. 14 et 15. Fragments de tête de crocodile découverte par Bauder et conservée au cabinet de Darmstadt, et qui est de même espèce que le crocodile de Honfleur. (Voyez pl. 236, fig. 3, 4, et 8, et pl. 238, fig. 1-4.) — D'après des dessins envoyés par M. Schleyermacher.

10. Reste de crâne, vu par sa face supérieure.

11. Museau, vu *idem*.

12. Face inférieure du crâne.

- a. a.* Reste de fosses temporales.
- b.* Fragment de la mâchoire inférieure.
- 13 et 14. Profil du côté gauche.
- 15. Coupe transversale du museau.

Fig. 16. Restitution de la tête du crocodile de Caen, faite à l'aide des morceaux de la pl. 235, *fig. 1-5*, et *fig. 8, 9, 11, 12* et 13.

Fig. 17. Moitié supérieure de fémur gauche de crocodile fossile trouvé dans les lignites de Provence.

Fig. 18. Fragment d'humérus d'un petit crocodile fossile de l'argile plastique d'Auteuil.

Fig. 19. Crocodile de Boll en Wurtemberg, conservé au cabinet de Dresde. — D'après deux dessins, l'un de M. Reichenbach, l'autre de M. de Sæmmerring.

Fig. 19'. Très-petite dent de crocodile fossile trouvée avec le morceau représenté *fig. 18*.

PLANCHE 235.

Crocodiles fossiles.

Fig. 1. 2. 3. 4 et 5. Portion considérable du côté gauche d'une tête de crocodile de Caen, donnée par M. Lamouroux (grandeur naturelle).

1. Cette figure représente la coupe verticale et longitudinale, qui résulte de la manière dont la tête a été brisée.
2. Le même morceau, vu par le côté entier opposé au précédent.
3. Ce morceau, vu en dessus.
4. ————— en dessous.
5. ————— par la face occipitale.
- a.* Frontal antérieur.
- b.* Lacrymal.
- c.* Jugal.
- d.* Frontal principal.
- e.* Trou du crotaphite.
- f.* Frontal postérieur.
- f.* Apophyse post-orbitaire du frontal postérieur.
- g.* Orbites.
- h.* Pariétal.
- i. i.* Crête occipitale.
- k.* Mastoïdien.
- l.* Apophyse articulaire de la caisse.
- m.* Crête tranchante de l'occipital.
- n.* Concavité du mastoïdien.
- p.* Tubérosité du basilaire.
- q. q.* Palatins.
- r.* Grand trou palatin.

- s.* Arrière-narines.
- t.* Trou des artères.
- u.* Aile ptérygoïde.
- v.* Os transverse.
- w. w.* Vide entre l'orbite et le bord antérieur de la caisse.
- x.* Cavité de la caisse.

Fig. 6. Débris du frontal, du pariétal et des frontaux antérieurs du crocodile de Caen, provenant du même bloc que le morceau représenté *fig. 13*.

Fig. 7. Dent de crocodile de Caen usée à son sommet.

Fig. 8 et 9. Portion de mâchoire supérieure de crocodile de Caen, provenant du même bloc que le morceau représenté *fig. 13*.

8. Vue en dessous.

9. — en dessus.

Fig. 10. Extrémité antérieure de la mâchoire inférieure du crocodile de Caen.

Fig. 11 et 12. Fragment de mâchoire inférieure de crocodile de Caen, voisin de la pointe.

11. Vu en dessous.

12. — de côté.

Fig. 13. Morceau contenant divers ossemens de crocodile de Caen. — D'après un dessin de M. Cordier.

Fig. 14. Morceau contenant quinze à seize vertèbres, quelques fragmens de côtes et des écailles de crocodile de Caen.

a. b. Deux vertèbres sacrées.

c. d. e. Trois lombaires.

h. i. k. Les trois premières caudales.

Fig. 15. Parties annulaires de deux vertèbres cervicales, avec des fragmens de petites côtes, de crocodile de Caen.

Fig. 16. Vertèbre de la queue du crocodile de Caen, provenant du même morceau que la *fig. 14*.

Fig. 17. Écaille du crocodile de Caen.

PLANCHE 236.

Crocodiles de Honfleur.

Fig. 1 et 2. Mâchoire inférieure de crocodile de Honfleur, de la collection de l'abbé Bachelet, probablement de la même espèce que la mâchoire supérieure, pl. 238, *fig. 5-7*.

1. Face latérale.

2. — supérieure.

Fig. 3 et 4. Deux fragmens d'une mâchoire supérieure de crocodile de Honfleur, publiés isolément dans la première édition, et qui sont représentés de nouveau avec d'autres fragmens de la tête à laquelle ils ont appartenu, pl. 238, *fig. 1-3.*

3. Vus en dessous.

4. — en dessus.

Fig. 5. 6 et 7. Fragment de mâchoire supérieure de crocodile de Honfleur, probablement de même espèce que le morceau pl. 238, *fig. 5-7.*

5. Coupe transversale.

6. Le morceau vu en dessous.

7. ————— en dessus.

Fig. 8. Fragment de crâne de crocodile fossile de Honfleur.

a. Partie supérieure des os du nez.

b. Pointe antérieure du frontal.

c. c. Grande portion des frontaux antérieurs.

Fig. 9. 10 et 11. Atlas et axis soudés ensemble d'un crocodile de Honfleur.

9. Vus de côté.

10. — en dessous.

11. — en avant.

a. Pièce inférieure de l'atlas.

b. c. Pièces latérales *id.*

d. d. Premiers tubercules costaux de l'axis.

e. Second tubercule costal.

h. Corps de l'axis.

Fig. 12. Trois des premières vertèbres dorsales d'un crocodile fossile de Honfleur (système convexe).

Fig. 13. Une des vertèbres du morceau précédent, représentée en position horizontale et à demi-grandeur. Vue de profil.

a. Face antérieure du corps, convexe.

b. — postérieure, concave.

PLANCHE 237.

Fig. 1. Empreinte de saurien du genre des monitors, des schistes pyriteux de la Thuringe. — D'après un dessin fait par M. Wachsman.

Fig. 2. Queue et pied de derrière d'un saurien du genre des monitors, des schistes pyriteux de la Thuringe. — Copiés d'après Swedenborg.

Fig. 3. Vertèbre de crocodile fossile, à système convexe.

Fig. 4. Quatrième ou cinquième dorsale, à système concave.

f. Facette costale.

Fig. 5. Une des vertèbres antérieures de la queue de crocodile fossile, à système concave.

Fig. 6. Trois vertèbres, dernières dorsales, ou lombaires, de crocodile (système convexe).

Fig. 7 et 8. Atlas et axis réunis d'un crocodile fossile, à système convexe. — Morceau envoyé d'Alençon.

7. Vus en dessous.

8. — de côté.

Fig. 9. Sixième ou septième dorsale, à système concave.

Fig. 10. Corps d'une vertèbre dorsale de crocodile, à système convexe.

Fig. 11. Deuxième vertèbre dorsale de crocodile fossile, à système concave.

a. b. Tubercules inférieurs

c. e. ———— supérieurs

} pour l'articulation des côtes.

Fig. 12. Une des vertèbres moyennes de la queue, à système concave.

PLANCHE 238.

Crocodiles fossiles.

Fig. 1. 2. 3 et 4. Tête de crocodile de Honfleur, composée de plusieurs morceaux provenant du même bloc et retrouvés dans différents cabinets.

Les premiers morceaux du musée ont déjà été représentés, pl. 236, *fig. 3 et 4.*

1. Vue en dessus.

2. — en dessous.

3. — de côté.

4. — par sa face occipitale.

Fig. 5. 6 et 7. Fragment de mâchoire supérieure d'une seconde espèce de crocodile de Honfleur, dessiné à Genève en 1811.

5. Vu en dessus.

6. — en dessous.

7. — de côté.

a. a. Extrémités antérieures des os du nez.

b. b. Maxillaires.

c. c. Inter-maxillaires.

Fig. 8. 9 et 10. Partie postérieure de la symphyse d'une mâchoire inférieure de crocodile, d'une espèce semblable à celle de Honfleur, et trouvée sur la rive gauche de l'Yonne.

8. Vue par dessus.

9. — de côté.

10. — en arrière.

Fig. 11. Fémur de crocodile fossile de Honfleur, donné par M. Jurine.

Fig. 12. Autre fémur de crocodile fossile de Honfleur d'une autre espèce. — Donné par le même.

- Fig. 14. 15 et 16. Dents de crocodiles fossiles des marnières d'Argenton.
- Fig. 17. Fragment de maxillaire supérieur de crocodile fossile des marnières d'Argenton.
- Fig. 18. Fragment de crâne, offrant le devant de l'orbite d'un crocodile fossile des marnières d'Argenton.
- Fig. 19. Partie supérieure d'un fémur de crocodile fossile. — D'Argenton.
- Fig. 20. Autre fémur de crocodile d'Argenton dont la tête articulaire manque.
- Fig. 21. Tête supérieure de tibia
- Fig. 22. — inférieure de tibia
- Fig. 23. Quatrième dorsale
- Fig. 24. Vertèbre caudale moyenne
- Fig. 25. 26. 27 et 30. Dents de crocodile fossile, provenant du comté de Sussex, en Angleterre. — Communiquées par M. Mantell.
- Fig. 28. Vertèbre caudale de crocodile fossile de Sussex, communiquée par M. Mantell.
- Fig. 29. Dent cassée dans sa longueur, communiquée par le même.
- Fig. 31 et 32. Vertèbres du milieu de la queue, de crocodile fossile du comté de Sussex, communiquées par M. Mantell.
- Fig. 33 et 34. Quatrième dorsale de crocodile fossile du comté de Sussex, communiquée par M. Mantell.
33. Vue de profil.
34. — par dessus.
- Fig. 35. Axis de crocodile fossile des couches de gravier de Castelnaudary.
- Fig. 36. Quatrième ou cinquième dorsale du même lieu.

PLANCHE 239.

Ostéologie de la tête des Tortues.

- Fig. 1. 2. 3 et 4. Tête de la chélonée caret (*Testudo imbricata*).
- Fig. 5. 6. 7 et 8. Tête du trionyx du Gange.
- Fig. 9. 10. 11 et 12. Tête de l'*Emys expansa*.
- Fig. 13. 14. 15 et 16. Tête de la tortue d'eau douce d'Europe (*Test. Europæa*).
- Fig. 17. 18. 19 et 20. Tête de la grande tortue des Indes (Tortue de terre).

Dans chacune de ces séries, le premier numéro représente la tête de profil avec sa mâchoire inférieure.

Le second numéro la représente en dessus;

Le troisième, en dessous;

Le quatrième, par sa face occipitale.

Fig. 21. 22. 23 et 24. Tête de la tortue matamata (chélyde).

21. Vue en dessus.

22. — en dessous.

23. — de profil, avec sa mâchoire inférieure.

24. — par sa face occipitale.

La même explication s'applique à toutes les têtes de cette planche.

a. a. Frontaux antérieurs.

b. b. Maxillaires supérieurs.

c. c. Palatins.

d. Vomer.

e. e. Inter-maxillaires.

f. f. Frontaux principaux.

g. g. Frontaux postérieurs.

h. h. Pariétaux.

i. i. Jugaux.

k. k. Temporaux.

l. l. Tympaniques.

l'. l'. Facette articulaire du tympanique.

m. m. Mastoïdiens.

n. Rocher.

o. o. Occipitaux extérieurs.

p. Occipital supérieur.

q. q. Occipitaux latéraux.

r. Basilaire.

s. s. Ptérygoïdiens.

t. Sphénoïde.

1. Dentaire.

2. Operculaire.

3. Angulaire.

4. Sur-angulaire.

5. Articulaire.

6. Apophyse coronoïde ou os complémentaire.

PLANCHE 240.

Ostéologie des Tortues.

Fig 1. 2. 3. 4 et 5. Os de l'épaule.

1. De la tortue de terre Couï (*Test. radiata*).

2. De la tortue d'eau douce d'Europe.

3. De la chélyde matamata.

4. Du trionyx du Gange.

5. Du caret.
- a. Omoplate.
- b. Acromion.
- c. Coracoïdien.

Fig. 6. 7. 8. 9 et 10. Humérus.

6. Du Couï.
7. De la tortue d'eau douce.
8. De la matamata.
9. Du trionyx du Gange.
10. De la chélonée caret.
- a. Tubérosité interne.
- b. ———— externe.

Fig. 11. 12. 13. 14 et 15. Membres thoraciques de tortues.

11. Couï.
12. Émyde d'Europe.
13. Chélyde matamata.
14. Trionyx du Gange.
15. Caret.
- a. Radius.
- a'. fig. 11. Grand os radial, ou scaphoïdo-semi-lunaire.
- b. Cubitus.
- c. et d. Deux os du carpe du premier rang adhérant au cubitus.
- e. Os intermédiaire entre le premier et le second rang, et qui paraît correspondre à l'os démembré du trapézoïde que l'on voit dans les singes.
- f. Pisiforme.
1. } Cinq os du carpe du second rang portant les cinq os du métacarpe.
2. }
3. }
4. }
5. }

Fig. 16. 17. 18. 19. 20. 21. 22. 23 et 24. Bassins de tortues, vus en dessous et de profil.

- 16 et 17. Tortue de terre. Couï.
- 18 et 19. Émyde d'Europe.
20. Chélyde matamata. Ce bassin n'est vu que de profil.
- 21 et 22. Trionyx du Gange.
- 23 et 24. Tortue de mer. Caret.
- a. a. Os des iles.
- b. b. Pubis.
- b'. b'. Apophyse pointue de l'angle du pubis.
- c. c. Ischion.
- d. d. Plastron (Voyez fig. 20).
- o. o. Trou ovalaire entre les pubis et les ischions.

Fig. 25. 26. 27. 28. 29. 30. 31. 32. 33 et 34. Fémurs de tortues, vus par leurs faces antérieure et latérale externe.

- 25 et 26. Couï.
- 27 et 28. Émyde d'Europe.
- 29 et 30. Matamata.
- 31 et 32. Trionyx.
- 33 et 34. Tortue de mer. Caret.

Fig. 35. 36. 37. 38 et 39. Membres postérieurs de tortues.

- 35. Tortue de terre. Couï.
- 36. Émyde d'Europe.
- 37. Chélyde matamata.
- 38. Trionyx du Gange.
- 39. Chélonée caret.

- a* Tibia.
- a'* Astragale.
- b* Péroné.
- b'* Calcanéum.
- c* Métatarsien du petit doigt.

Fig. 40. 41. 42 et 43. Os hyoïde de tortues.

- 40. Couï.
- a* Corps de l'hyoïde.
- b. b.* Cornes antérieures.
- c. c.* ——— postérieures.
- e* Os de la langue.
- 41. Chélyde matamata.
- a* Corps de l'hyoïde.
- a'. a'* Pièces mitoyennes de ce corps.
- a''. a''* ——— latérales, représentant peut-être les cornes antérieures.
- b. b.* Cornes moyennes.
- b'. b'* Pièce osseuse et pointue qui termine les cornes moyennes.
- c. c.* Cornes postérieures.
- e* Os de la langue.

42. Trionyx.

- a. a. a. a.* Quatre pièces environnant le corps de l'os dont elles paraissent des subdivisions.
- a'* Corps de l'os hyoïde.
- a''. a''* Pièce osseuse rhomboïdale qui représente les cornes antérieures.
- b. b.* Cornes moyennes.
- c. c.* ——— postérieures.
- c'. c'* Cartilage qui prolonge les cornes postérieures.
- e* Cartilage lingual.

43. Tortue de mer. Caret.

- a* Corps de l'hyoïde.

- b. b. Grandes cornes.
- c. c. Cornes postérieures.
- d. d. ——— antérieures.
- e. Os de la langue.

Fig. 44. 45. 46 et 47. Sternums ou plastrons de tortues.

44. Plastron d'un jeune *Testudo scabra*.

45. Tortue terrestre. Couï.

46. Trionyx du Gange.

47. *Trionyx granosus*.

a¹. a¹. Première paire de pièces du plastron.

a². a². Seconde paire.

a³. a³. Troisième paire, latérale.

a⁴. a⁴. Quatrième et dernière paire.

a⁹. Pièce impaire du plastron.

b. (fig. 45.) Échancrure pour le passage du pied de devant.

b'. Apophyse pour l'articulation avec la carapace.

c. Échancrure pour le pied de derrière.

c'. Autre apophyse pour l'articulation avec la carapace.

PLANCHE 241.

Fig. 1. Carapace de tortue d'eau douce, vue en dessus.

Fig. 2. Carapace de tortue de mer, vue en dessus.

Fig. 3. La même, vue en dessous.

Fig. 4. Carapace de tortue de terre, vue en dessus et de trois quarts.

Fig. 5. Trionyx. (Cette fig. est la seule qui soit retournée de haut en bas.)

a¹ à a⁸. Huit paires de côtes.

b¹ à b¹³. Suite longitudinale de plaques anguleuses formées par la dilatation des parties annulaires des vertèbres.

i² à i¹¹. (fig. 3). Corps des vertèbres dorsales (1).

c¹ à c¹⁰ (fig. 3). Les côtes, vues en dessous.

d¹ à d¹¹. Cadre de pièces osseuses autour de la carapace.

Fig. 6. Sternum de tortue de mer (tortue franche). Voyez pour l'explication des lettres de cette figure, celle des figures 44-47, pl. 240.

Fig. 7. Plastron de tortue de mer (caret).

(1) Sur la planche, la lettre *i* a cessé d'être marquée sur le corps des vertèbres à partir du n° 5, et l'on n'a plus gravé sur ce corps que le numéro, qui lui-même a été oublié sur le corps des dixième et onzième vertèbres.

- a. b.* Deuxième paire de pièces.
c. d. Quatrième paire de pièces.

Fig. 8. Carapace d'émyde des environs de Bruxelles, copiée de l'Oryctographie de M. de Burtin.

Fig. 9. 10 et 11. Morceaux de tortues terrestres, tirés des environs d'Aix. — Figures copiées d'après Lamanon, Journal de Physique, tome XVI, pl. 111.

PLANCHE 242.

Fig. 1 et 2. Portions incomplètes de carapaces de tortues de mer de Maëstricht.

Fig. 3. Morceau contenant des débris d'ossements de tortue de mer de Maëstricht.

- a. b.* Pièce latérale du plastron, semblable à celle du caret.
c. d. Partie inférieure du même plastron.
e. f. Deux os du carpe.
g. h. i. Humérus.
k. l. Fémur.

Fig. 4. Tortue de mer des ardoises de Glaris, copiée d'Andrea, *Lettres sur la Suisse*, pl. 16.

Fig. 5. Les os de l'épaule d'une tortue de mer, pour servir de comparaison avec le morceau suivant.

- a.* Facette articulaire pour l'humérus.
b. Omoplate.
c. Acromion.
d. Os coracoïdien.

Fig. 6. Fragment des trois os qui forment l'épaule de la tortue. — Trouvé à Maëstricht, et publié par Faujas comme un fragment de bois de cerf ou d'élan.

Voyez pour les lettres de cette figure l'explication de la précédente.

Fig. 7. Onzième et douzième plaques médianes du bouclier d'une jeune tortue marine de Maëstricht.

PLANCHE 243.

Tortues fossiles.

Fig. 1. Carapace de trionyx des plâtrières d'Aix, d'après un dessin de M. Bourdet.

Fig. 2. Moitié gauche du plastron d'un trionyx des plâtrières d'Aix, d'après un dessin de M. Bourdet.

Fig. 3. Épaule de trionyx provenant du Quercy, et très-semblable à celui de Montmartre. — D'après M. Bourdet.

Fig. 4 et 5. Cuirasse complète, c'est-à-dire la carapace et le plastron d'une tortue d'eau douce du calcaire jurassique des environs de Soleure, d'après un dessin de M. Hugi.

4. Vue en dessus.

5. — en dessous.

Fig. 6. Portion latérale de carapace de tortue d'eau douce du calcaire jurassique des environs de Soleure, et qui pourrait bien être de la même espèce que l'humérus *fig 11'*. — D'après un dessin de M. Hugi.

Fig. 7. Tête d'émyde du calcaire jurassique de Soleure.

Fig. 8. Deux plaques de la série dorsale d'une tortue d'eau douce de Soleure, probablement la sixième et la septième.

Fig. 9. Pièce postérieure impaire et fragment des deux dernières pièces paires du cadre du bouclier d'une tortue d'eau douce du calcaire jurassique de Soleure.

N. B. Cette figure a été retournée de bas en haut par le graveur.

Fig. 10. Bassin mutilé de tortue d'eau douce de Soleure.

Fig. 11. Os qui semble être un fragment de plastron, et annoncer un genre particulier encore indéchiffrable. — De Soleure.

Fig. 11'. Humérus fort semblable à celui de la chélyde. — Trouvé à Soleure.

Fig. 12. Carapace d'émyde de l'île Sheppey.

Fig. 13. Plastron d'émyde de l'île Sheppey. — Copié de l'ouvrage de M. Parkinson.

Fig. 13'. Fragment d'une carapace d'émyde trouvé dans l'Astésan en Piémont. — D'après un dessin de M. Bourdet.

Fig. 14 et 15. Cuirasse d'émyde de l'île Sheppey. — Copiée de M. Bourdet, et conservée dans le cabinet de Deluc, à Genève.

14. Vue par sa face supérieure.

15. ————— inférieure.

Fig. 16. Carapace d'émyde des environs de Bruxelles, dessinée dans cette ville en 1811. — Vue par son côté concave.

Fig. 17. Humérus de tortue terrestre fossile, trouvé à l'Île-de-France sous des couches volcaniques.

Fig. 18. Tibia de tortue terrestre fossile, venu de la même île et des mêmes couches.

Fig. 19. Humérus de grande tortue d'eau douce. — Des molasses de la Grave (Dordogne).

PLANCHE 244.

Ostéologie de la tête des Lézards.

Fig. 1. 2 et 3. Tête du grand monitor du Nil (*Lacerta nilotica*).

1. Vue latéralement et un peu en dessus.

2. Vue en dessus.

3. — en dessous.

Fig. 4. Branche gauche de la mâchoire inférieure du même, vue par sa face externe.

Fig. 5. La même, vue par sa face interne.

Fig. 6. Dent grossie, avec sa coupe au-dessous.

Fig. 7 et 8. Tête et mâchoire inférieure du monitor de Java.

— *Fig. 9.* Dent du même, grossie et avec sa coupe au-dessous.

Fig. 10 et 11. Tête et mâchoire inférieure de sauvegarde d'Amérique.

Fig. 12 et 13. Tête et mâchoire inférieure de dragonne.

Fig. 14 et 15. Tête et mâchoire inférieure de lézard ocellé.

Fig. 16. Dent du même, grossie et avec sa coupe au-dessous.

Fig. 17 et 18. Tête et mâchoire inférieure du stellion fouette-queue.

Fig. 19. Deux dents grossies avec leur coupe au-dessous.

Fig. 20 et 21. Tête et mâchoire inférieure d'agame ombre.

Fig. 22. Dent du même, grossie avec sa coupe au-dessous.

Fig. 23. Tête de l'iguane cornu.

Fig. 24. Branche gauche de la mâchoire inférieure, vue par sa face externe.

Fig. 25. La même, vue par sa face interne.

Fig. 26. Dent de la même espèce, grossie et montrant à sa base une dent de remplacement.

Fig. 27 et 28. Tête et mâchoire inférieure de gecko.

Fig. 29. Dent grossie et avec sa coupe au-dessous.

Fig. 30 et 31. Tête et mâchoire inférieure du *Chameleo Parsoni*.

Fig. 32 et 33. Tête et mâchoire inférieure du *Cham. bifurcus*.

Fig. 34. Dent grossie et avec sa coupe au-dessous.

Fig. 35 et 36. Tête et mâchoire inférieure du grand scinque. (*Lacerta scincoides* Shaw.)

Fig. 37. Dent grossie et avec sa coupe au-dessous.

La même explication s'applique aux lettres de toutes ces figures.

1°. *Crânes.*

a. Inter-maxillaire.

b. Os nasal.

c. c. Frontaux.

d. d. Maxillaires.

e. e. Frontal antérieur.

f. f. Lacrymal.

g. g. Jugal.

h. h. Surcilier.

i. i. Frontaux postérieurs.

- l. l.* Temporal.
- m. m.* Mastoïdien.
- n.* Pariétal.
- n' n'.* Apophyses postérieures du pariétal.
- o.* Occipital supérieur.
- p. p.* Rochers.
- q. q.* Occipital latéral.
- r. r.* Os tympanique.
- s.* Sphénoïde.
- s'. s'.* Apophyses latérales du sphénoïde pour le ptérygoidien.
- s''.* Prolongement de l'apophyse antérieure du sphénoïde.
- t.* Basilaire.
- u. u.* Palatins.
- v. v. v. v.* Ptérygoïdiens.
- x. x.* Os transverse.
- y.* Columelle.
- z.* Branche osseuse au milieu du cartilage qui occupe cette partie du crâne, et qui représente l'aile temporale et l'aile orbitaire.
- α. α.* Vomers.
- β. β.* Cornets inférieurs du nez.

2°. *Mâchoires inférieures.*

- a.* Le dentaire.
- b.* L'operculaire.
- c.* Le complémentaire.
- d.* L'articulaire.
- e.* L'angulaire.
- f.* Le sur-angulaire.

PLANCHE 245.

Ostéologie des Lézards.

- Fig. 1.* Os hyoïde de monitor.
- Fig. 2.* ——— de sauvegarde d'Amérique.
- Fig. 3.* ——— de gecko.
- Fig. 4.* ——— d'iguane.
- Fig. 5 et 6.* Os hyoïde et larynx de lézard.
 - 5. Vus en dessous.
 - 6. — de profil.
- Fig. 7.* Os hyoïde de scinque.
- Fig. 8.* Os hyoïde de caméléon.
 - a.* Corps de l'os.
 - b. b.* Cornes antérieures.

b', b'. Leur seconde pièce.

c. c. Deuxième paire de cornes.

c'. c'. Leur seconde pièce.

d. d. fig. 4. 5. 6 et 7. Troisième paire de cornes.

e. e. fig. 5. 6 et 7. Tige cartilagineuse attachant par un ligament à la pointe externe de la corne antérieure.

Fig. 9. 10. 11 et 12. Atlas de monitor.

Fig. 13. 14. 15 et 16. Axis

Fig. 17. 18. 19 et 20. Troisième cervicale

Fig. 21. 22. 23 et 24. Deuxième dorsale

Fig. 25. 26. 27 et 28. Première vertèbre sacrée

Fig. 29. 30. 31 et 32. Huitième caudale

} de monitor.

Dans chacune de ces séries :

Le 1^{er} numéro représente l'os par sa face latérale.

Le 2^e ————— antérieure.

Le 3^e ————— inférieure.

Le 4^e ————— postérieure.

Fig. 33. Os du sternum et de l'épaule du monitor.

Fig. 34. ————— de l'iguane.

Fig. 35 et 36. ————— du lézard vert.

35. Vus inférieurement.

36. L'épaule seule, vue latéralement.

Fig. 37. Os du sternum et de l'épaule du scinque.

Fig. 38. ————— du caméléon.

a. Os impair du sternum, comparable à celui du plastron des tortues.

b. Cartilage rhomboïdal, auquel s'articulent les cartilages des côtes.

c. Coracoïdien.

c' et c''. Apophyses du coracoïdien qui donnent attache au cartilage *d.*

d. Arc cartilagineux qui passe sur l'os *a*, et se croise avec celui du côté opposé.

e. Omoplate.

f. Portion cartilagineuse de l'omoplate.

g. Clavicule.

Fig. 39 et 40. Bassin de monitor.

39. Vu par sa face antérieure.

40. ————— latérale externe.

Fig. 41 et 41 bis. Bassin de caméléon, vu par sa face antérieure et par sa face latérale.

a. Os des iles.

a'. fig. 41. Cartilage qui surmonte l'os des iles.

b. Pubis.

c. Ischion.

Fig. 42. 43 et 44. Humérus de monitor.

42. Le corps de l'os.

43. Sa tête supérieure.

44. Sa poulie inférieure.

Fig. 45. L'avant-bras et la main du monitor.

a. Cubitus.

b. Radius.

c. Os radial.

d. Os cubital.

e. Neuvième os placé entre l'os radial et l'os cubital, et la seconde rangée.

f. Pisiforme.

1. Métacarpien du pouce.

5. ——— du petit doigt.

Fig. 46. 47. 48 et 49. Fémur de monitor.

46. Vu par sa face antérieure.

47. ——— postérieure.

48. Sa tête articulaire supérieure.

49. ——— inférieure.

Fig. 50. Jambe et pied de derrière du monitor.

a. Tibia.

a'. Os tibial.

b. Péroné.

b'. Os péronien.

c. Os triangulaire portant les métatarsiens du quatrième et du cinquième doigt.

d. Os plus petit que le précédent, placé entre celui-ci et les métatarsiens du troisième et du deuxième doigt.

Fig. 51. Bras et main de caméléon.

a. Cubitus.

b. Radius.

c. Os radial.

d. — cubital.

e. — central.

Fig. 52. Jambe et pied de derrière de caméléon.

a. Tibia.

a'. Os tibial.

b. Péroné.

b'. Os péronien.

c. Autre os placé au côté externe.

d. Os du centre.

PLANCHE 246.

Fig. 1. Tête du saurien fossile de Maëstricht (*Mosasaurus*).

- a. b.* Côté gauche de la mâchoire inférieure, vu par sa face externe (1).
- c. d.* Côté droit de la mâchoire inférieure, vu par sa face interne.
- e.* Extrémité de la partie postérieure du côté droit de la mâchoire inférieure.
- f. g.* Os maxillaire supérieur droit, vu par sa face interne.
- h. i.* Fragment de l'os maxillaire supérieur gauche, déplacé et tombé sur la mâchoire inférieure.
- k. l. m. et k'. l'. m'. o.* Les deux os ptérygoïdiens, déplacés et jetés l'un sur l'autre, et sur la partie droite de la mâchoire inférieure.
- p.* Apophyse coronoïde de la mâchoire inférieure.
- r.* Facette articulaire.

Fig. 2. Moitié de tête d'iguane, vue en dessous.

Fig. 3. Moitié de tête de monitor, vue en dessous.

- A.* Os transverse.
- B.* Palatin.
- D.* Maxillaire supérieur.
- E.* Sphénoïde.
- k. l. m. o.* Ptérygoïdien.

Fig. 4 et 5. Branche de la mâchoire inférieure du monitor du Nil (*Lacerta nilotica*).

- 4. Vue par sa face externe.
- 5. ————— interne.

Fig. 6 et 7. Branche de la mâchoire inférieure de l'iguane cornu de Saint-Domingue.

- 6. Vue par sa face externe.
- 7. ————— interne.
- u.* Dentaire.
- v.* Angulaire.
- x.* Sur-angulaire.
- y.* Articulair.
- z.* Supplémentaire.
- &.* Operculaire.

Fig. 8. Fragment du maxillaire supérieur de l'animal de Maëstricht ou *Mosasaurus*, conservé à Haarlem.

(1) Cette figure n'ayant pas été gravée au miroir, toutes les parties du côté droit sont représentées comme étant à gauche, et réciproquement.

PLANCHE 247.

- Fig. 1.* Une des dernières vertèbres du cou du mosasaurus.
- Fig. 2.* Une des vertèbres moyennes du dos du même animal.
- Fig. 3.* Une des dernières vertèbres du dos du même.
- Fig. 4.* Une des dernières vertèbres du tronc, ou lombaires, du même.
- Fig. 5.* Une des vertèbres caudales du même.
- Fig. 6 a et 6 b.* Autres vertèbres caudales du même, avec leur os en V.
- Fig. 7.* Vertèbre caudale du même, venant après les précédentes.
- Fig. 8.* Une des dernières vertèbres caudales du même.
- Fig. 9.* Omoplate de mosasaurus, trouvée à Seichem.
- Fig. 10.* Pubis de mosasaurus.
- Fig. 11.* Omoplate de monitor.
- Fig. 12.* Pubis de monitor.
- Fig. 13.* Humérus d'une grande tortue, vu par le côté de sa petite tubérosité, et donné par Faujas pour un fémur de mosasaurus.
- Fig. 14.* Os de mosasaurus qui paraît ressembler ou à une omoplate, ou à l'os claviculaire d'un lézard. — D'après un dessin envoyé de Maëstricht.
- Fig. 15.* Autre os trouvé sur la même pierre que le précédent, et que l'on peut aussi prendre pour l'os coracoïdien.

PLANCHE 248.

- Fig. 1.* Morceau représentant des restes du frontal principal et des deux frontaux antérieurs du mosasaurus.
- a. a.* Deux apophyses par lesquelles les frontaux antérieurs s'articulent avec les palatins.
 - b. b.* Parties latérales de ces mêmes apophyses.
 - c. c.* Quelques restes du frontal principal.
 - d.* Extrémité postérieure du frontal principal.
- Fig. 2.* Os tympanique du mosasaurus, suivant Adrien Camper.
- a. b.* Bord par lequel cet os était suspendu au mastoïdien et au temporal.
 - c. d.* Bord par lequel il portait la mâchoire inférieure.
- Fig. 3.* Pièce copiée d'après Adrien Camper, et qu'il prenait pour l'inter-maxillaire du mosasaurus, mais qui est très-probablement une extrémité de mâchoire inférieure du même animal.
- a.* Terminaison du canal dentaire.

- Fig. 4.* Os de mosasaurus ressemblant beaucoup à l'os interne principal du carpe du crocodile.
- Fig. 5.* Os qu'on ne peut comparer qu'à l'os cubital du premier rang d'un saurien de taille énorme.
- Fig. 6.* Autre os ressemblant à l'os externe principal du carpe du crocodile.
- Fig. 7 et 8.* Os qui pourraient être des phalanges.
- Fig. 9.* Morceau du cabinet de Camper, représentant les vertèbres à tubercules inférieurs du mosasaurus. — De Seichem.
- Fig. 10.* Deux autres vertèbres dorsales de mosasaurus, montrant l'obliquité des apophyses transverses.
- Fig. 11.* Une de ces mêmes vertèbres, vue de face.
- Fig. 12 et 13.* Vertèbres qui doivent être des vertèbres de l'arrière du dos ou des lombes.
- Fig. 14 et 15.* L'atlas et l'axis du mosasaurus, gravés par Camper d'après des dessins laissés par Hofmann.
14. Vus probablement obliquement en dessus et en avant.
15. ————— en dessous et en arrière.
- a. b. b.* Corps de l'axis.
- c.* Corps de l'atlas.
- d. d.* Les deux pièces latérales de l'atlas.
- Fig. 16 et 17.* Pièces latérales de l'atlas du côté supérieur et inférieur.
- Fig. 18 et 19.* Le corps de l'atlas du côté supérieur et inférieur.
- Fig. 20.* Petite côte ressemblant à celles des dernières vertèbres cervicales, et que Camper considérait comme l'analogue de celle qui, dans le crocodile, adhère au corps de l'atlas.
- Fig. 21.* Os qui pourrait être une phalange onguéale de mosasaurus.
- Fig. 22 et 23.* Os provenant peut-être des tortues des mêmes carrières.
- Fig. 24.* Morceau que Camper a cru être un humérus mutilé de mosasaurus, mais qui paraît plutôt être le cubitus.

Toutes les figures de cette planche sont copiées du mémoire de M. Adrien Camper, inséré dans le tome 19 des Annales du Muséum d'Histoire naturelle.

PLANCHE 249.

Sauriens fossiles.

- Fig. 1.* Partie postérieure d'un bouclier dorsal de tortue d'eau douce du calcaire jurassique des environs de Soleure, vue par dedans. — D'après un dessin de M. Hugi.
- Fig. 2 et 3.* Tête du géosaurus.

2. Vue du côté droit.

3. ——— gauche.

Fig. 4 et 5. Dents du même animal.

Fig. 6. Coupe de l'une de ces dents.

Fig. 7. Suite de vertèbres et de côtes du même.

Fig. 8. Autres fragmens de vertèbres et de côtes.

Les fig. 2-8 sont des copies réduites des dessins publiés dans les mémoires de Munich, en 1816, par M. de Reysach.

Fig. 9 et 10. Fragment de mâchoire de mégalosaurus, trouvé à Stonesfield.

9. Vue par la face interne.

10. ——— externe.

Fig. 11. 12 et 13. Une des plus fortes dents de la mâchoire précédente.

11. Représentée par le tranchant et à moitié grandeur.

12. Représentée par le plat et à moitié grandeur.

13. Représentée de grandeur naturelle.

Fig. 14. Suite de cinq vertèbres de mégalosaurus.

Fig. 15 et 16. Autres vertèbres du même animal.

Fig. 17. Grand os plat qui semble un coracoïdien de mégalosaurus.

Fig. 18 et 19. Fémur de mégalosaurus de Stonesfield.

18. Vu par sa face externe.

19. ——— interne.

Fig. 20. Os long qui paraît ressembler à un humérus plus qu'à aucun autre os.

Fig. 21. Os plat qui paraît ressembler à un ischion de saurien. — Du même lieu.

Fig. 22. Os qui peut être, soit un radius, soit un péroné de reptile voisin du monitor et du crocodile. — Du même lieu.

Fig. 23 et 24. Os que M. Buckland pense être une clavicule de saurien. — Du même lieu.

Fig. 25. Une côte cervicale d'un saurien voisin des crocodiles. — Du même lieu.

Fig. 26. Autre côte d'un saurien voisin du crocodile. — Du même lieu.

Tous ces os figurés de 21 à 26, sont considérés, par M. Buckland, comme des os de mégalosaurus.

Fig. 27. Vertèbre de mégalosaurus de la forêt de Tilgate, vue en dessous.

Toutes les figures de 9 à 27 sont copiées du mémoire de M. Buckland.

Fig. 28. 29 et 30. Dents d'un animal inconnu nommé par M. Mantell *Iguanodon*, recueillies dans le sable ferrugineux de Tilgate, comté de Sussex, en Angleterre, et envoyées par M. Gédéon Mantell.

Sous le n° 28 et sous le n° 30, on a représenté les deux faces de ces dents.

La face externe est cannelée.

La face interne est en biseau.

Fig. 31. 32 et 33. Dents de même nature que les précédentes, copiées d'après les dessins publiés par M. Gédéon Mantell.

Fig. 34 et 35. Extrémité inférieure de tibia avec l'astragale, appartenant sans doute à l'une ou à l'autre des espèces annoncées par les vertèbres représentées pl. 250, fig. 1 et 2. — De Honfleur.

34. Vue par sa face antérieure.

35. ————— postérieure.

a. L'astragale.

Fig. 36. L'astragale séparé du morceau précédent.

Fig. 37. Os qui pourrait être l'extrémité inférieure d'un péroné dont la fig. 39 serait la tête supérieure.

Fig. 38. Os de tarse du même pied.

Fig. 39. Os qui pourrait être la tête supérieure du péroné du pied du morceau précédent.

PLANCHE 250.

Fig. 1 et 2. Très-grandes vertèbres recueillies à Honfleur, et qui doivent appartenir à une espèce de saurien d'un genre encore inconnu.

Fig. 3. Os plat trouvé à Honfleur, et qui ressemble un peu à un pubis de très-grand crocodile.

Fig. 4. Operculaire du côté gauche de la mâchoire inférieure d'un reptile gigantesque (peut-être d'un mégalosaurus) trouvé dans les carrières d'oolithes de Caen.

Fig. 5 à 18. Ossements fossiles d'un saurien des environs de Lunéville, très-probablement de quelque genre intermédiaire entre les crocodiles et les autres sauriens, et qui peuvent appartenir à la même espèce.

5 et 6. Un côté de la mâchoire inférieure.

5. Vu par sa face externe.

6. ————— interne.

7 et 8. Vertèbre caudale.

7. Vue par sa face externe.

8. — en dessus.

9. 10. 11 et 12. Dents d'individus plus grands que celui d'où provenait la mâchoire.

13. Coracoïdien.

a. b. Deux facettes pour recevoir l'omoplate et l'humérus.

14. Os ressemblant beaucoup à un pubis de plésiosaurus.

15. Os qui a aussi beaucoup de rapport avec l'humérus du plésiosaurus.

16. 17 et 18. Trois côtes.

PLANCHE 251.

Ptérodactyle.

Fig. 1. Squelette de ptérodactyle, trouvé à Aichstedt et conservé à Munich. — D'après un dessin fait par M. Oppel.

- A. Os maxillaire droit.
 - c. c. Grand vide laissé par la fosse temporale.
 - E. F. Mâchoire inférieure.
 - c'. Coracoïdien du côté droit.
 - K. Vertèbres coccygiennes.
 - L. Ischion du côté gauche.
 - M et m. Les deux os des iles.
 - N. La cuisse
 - o. La jambe
 - P. Le pied
 - R. Pied de l'extrémité postérieure droite.
 - S. Main du côté droit.
 - T. La cuisse
 - U. La jambe
 - X. Coracoïdien du côté gauche.
 - Y. Probablement le pubis du côté droit.
 - a. b. Orbites.
 - d. Reste du frontal.
 - e. c. Basilaire.
 - e. g. Ptérygoidien.
 - 1. Empreinte de l'humérus gauche.
 - 1'. Humérus droit.
 - 1''. Tubérosité de l'humérus gauche.
 - 2 et 2'. Les avant-bras.
 - 3 et 3'. Métacarpes.
 - 4. 4.
 - 5. 5.
 - 6. 6.
 - 7. 7.
 - 8. Le carpe.
 - 9. Empreinte de l'omoplate gauche.
 - 9'. Omoplate droite.
 - 18. 18. 18. Probablement la dilatation rhomboïdale du sternum.
- } de l'extrémité postérieure gauche.
- } de l'extrémité postérieure droite.
- } Les quatre phalanges du grand doigt du pied de devant.

Fig. 2. Tête et mâchoire inférieure de la petite roussette des Indes (*Pteropus minimus* Geoff.).

Fig. 3. Figure un peu grossie des os du carpe droit de la fig. 1, d'après un dessin fait à Munich par MM. Brongniart et Prevost.

Fig. 4. Figure un peu grossie des os du carpe gauche de la fig. 1, d'après un dessin de MM. Brongniart et Prevost.

Fig. 5. Dessin des os du tarse de la fig. 1, d'après un dessin de M. Brongniart.

Fig. 6. Figure grossie de deux des doigts du pied *a*, fig. 1, d'après un dessin fait à la loupe par MM. Brongniart et Prevost.

Fig. 7. Ptérodactyle à museau court, provenant des mêmes couches que celui de la fig. 1. — D'après les figures publiées par MM. de Sæmmerring et Oken.

A. Omoplate.

B. Os coracoïdien.

C. Disque du sternum.

A. Os des iles (1).

B. Ischion.

C. Pubis.

a et *d*. Fémurs.

b et *e*. Tibias.

c et *f*. Pieds de derrière.

g. Humérus gauche.

h. Avant-bras.

i. Os du métacarpe.

k. l. m. n. Les quatre phalanges du long doigt.

o. Avant-bras droit.

p. Probablement des os du carpe.

q. Métacarpe réduit à un seul os.

r. s. Les deux premières phalanges du grand doigt.

2. 3 et 4. Trois petits doigts onguiculés.

Fig. 8. Morceau provenant des schistes calcaires, conservé au cabinet de Carlsruhe, et qui présente plusieurs os d'une grande espèce de ptérodactyle. — D'après une lithographie de M. de Sæmmerring.

A. Fémur.

B. Tibia.

C. Deuxième

D. Troisième

} phalanges du grand doigt.

E. Reste de l'articulation à laquelle adhérait la troisième phalange.

F. Os de l'avant-bras.

G. Petit reste d'os indéchiffrable.

Fig. 9. Plaque des carrières de Solenhofen qui contient une extrémité de doigt pouvant

(1) On doit faire attention que, sur cette figure, les os de l'épaule et ceux du bassin ont été marqués des mêmes lettres.

provenir d'un ptérodactyle ou d'une chauve-souris. — Copiée d'après le dessin publié par M. Spix dans les Mémoires de l'Académie de Bavière, t. V.

PLANCHE 252.

Ostéologie des Grenouilles.

Fig. 1 et 2. Tête de grenouille verte commune (*Rana esculenta*).

1. Vue de trois quarts, latéralement et en dessus.
2. — en dessous.
- a. Os en ceinture.
- b. b. Occipitaux latéraux.
- c. c. Os longs qui représentent les pariétaux, et peut-être aussi les frontaux.
- d. Sphénoïde.
- e. e. Rochers.
- f. f. Inter-maxillaires.
- g. g. Vestiges des os du nez.
- h. h. Frontaux antérieurs.
- i. i. Palatins.
- k. k. Maxillaires supérieurs.
- l. l. Vomers.
- m. m. Ptérygoïdiens.
- n. n. Tympaniques.
- o. o. Jugaux.
- r. s. t. Les trois os composant la branche de la mâchoire inférieure.
1. Trou pour le nerf olfactif.
2. Espace membraneux où passe la cinquième paire.

Fig. 3. Tête de grande grenouille d'Amérique (*Rana boans* L.).

Fig. 4. Tête du crapaud du Bengale (Daud.).

Fig. 5. Tête du crapaud perlé.

Fig. 6 et 7. Tête du pipa.

6. Vue en dessus.

7. — en dessous.

Fig. 8 à 21. Série de figures représentant les transformations successives de l'appareil branchial, telles qu'elles ont lieu dans la grenouille commune, depuis le moment où les branchies sont en pleine activité jusqu'à celui où les diverses pièces de l'hyoïde se sont soudées ensemble.

8. L'appareil branchial du têtard, au moment où ses branchies sont en pleine activité.

9. La tête, et l'appareil de la fig. 8 qui lui est attaché, vus de profil.

- a. a.* Branche qui suspend l'os hyoïde.
- b.* Pièce impaire du milieu.
- c. c.* Pièces latérales.
- d.* Mâchoire inférieure.
- e. e.* Os tympaniques.
- 12. Profil de la fig. 11.
- 15. Profil de la fig. 14.
- 17. 18. 19. 20 et 21. Ces figures représentent des têtards de plus en plus âgés; on y voit les branches qui suspendent l'appareil devenir de plus en plus longues, de plus en plus grêles, et se changer en deux longs filets cartilagineux qui supportent l'os hyoïde et l'attachent au crâne un peu au-dessous de la fenêtre ovale.

Fig. 22. 23. 24 et 25. Transformations de l'appareil branchial dans la jackie (*Rana paradoxa*).

- 22. L'appareil branchial en pleine activité.
- 23. La tête de profil, avec l'appareil précédent qui s'y attache.
- 24 et 25. Représentent aussi, par-dessous et de profil, le même appareil à une époque plus éloignée de la naissance.

Voyez, pour les lettres, l'explication de la fig. 8.

Fig. 26. Os hyoïde du crapaud *agua*, avec le larynx et les poumons.

Fig. 27. Os hyoïde de la grande grenouille de l'Amérique septentrionale, placé de manière à laisser voir comment le filet *a* s'attache au crâne.

Fig. 28. Épine et bassin de la grande grenouille d'Amérique.

Fig. 28'. Bassin de la grenouille d'Amérique, vu de profil.

Fig. 29. Épine et bassin du pipa.

- b. b.* Apophyses transverses de l'os sacrum.
- c.* Ailes de l'os des iles.

Fig. 30. 31 et 32. Os de l'épaule et du sternum de la grande grenouille d'Amérique.

30. Épaule vue de profil.

31. Épaule et sternum vus en dessous.

32. ————— vus de profil.

a. Portion spinale de l'omoplate à bord cartilagineux.

b. Portion articulaire du même os.

c. Clavicule.

d. Coracoidien.

e. Pièce antérieure du sternum.

f. Pièce postérieure du même.

g. Filet ossifié intermédiaire entre les deux pièces du sternum.

h. Pièces que l'on peut considérer ou comme des pièces du sternum, ou comme des épiphyses de la clavicule.

Fig. 33 et 34. Os de l'épaule et du sternum du pipa.

33. Vus de profil.

34. — par-dessous.

Voyez, pour les lettres, l'explication ci-dessus.

Fig. 35 et 36. Humérus de la grenouille d'Amérique.

35. Vu en avant.

36. — par sa face externe.

Fig. 37. L'os de l'avant-bras, vu par sa face externe.

Fig. 38. Avant-bras et pied de devant.

a. L'os de l'avant-bras, vu par devant.

b. Os radial du carpe.

c. — cubital du carpe.

d. — formant le second rang.

e. e. f. Os formant le troisième rang.

Fig. 39 et 40. Fémur de la grenouille d'Amérique.

39. Vu par sa face antérieure.

40. — latérale externe.

Fig. 41. Os de la jambe.

Fig. 42. Pied de derrière (tarse, métatarse et phalanges).

a. b. Os du tarse répondant à l'astragale et au calcanéum.

c. d. e. f. Autres os du tarse.

PLANCHE 253.

Fig. 1. Squelette de la salamandre terrestre, vu en dessus. — De grandeur naturelle.

Les fig. 9 et 10 représentent la tête de la même espèce en dessous et de profil.

L'explication de la tête de la grenouille, pl. 252, fig. 1 et 2, s'applique aux lettres de celle-ci; seulement ici les frontaux *c c* sont distincts des pariétaux *c' c'*.

Et il y a de plus, aux figures 9 et 10, la pièce *u u*, analogue de l'aile orbitaire du sphénoïde.

Fig. 2. Copie, réduite au sixième, du morceau des schistes d'OEningen, contenant une portion de squelette de salamandre gigantesque, et qui a été publiée par Scheuchzer comme provenant d'un squelette humain contemporain du déluge.

a. a. Cornes de l'os hyoïde.

Fig. 3. Copie, réduite au sixième, d'un morceau analogue au précédent, et publié par M. Karg, dans les Mémoires de la Société de Souabe, comme représentant un *silure*.

Fig. 4. Squelette de *silure* (*Silurus glanis*) pour servir de comparaison avec les morceaux précédents.

Fig. 5. Animal du genre de la grenouille retiré des carrières d'OEningen et conservé dans

le cabinet de Lavater à Zurich. — Copié d'Andrea, Lettres sur la Suisse. — Copie réduite à moitié.

Fig. 6. 7 et 8. Vertèbres d'ichtyosaurus, trouvées dans les environs d'Altorf par Scheuchzer, et publiées par lui comme des vertèbres humaines. — Copiées de Scheuchzer, *Piscium querelæ*, pl. III.

Fig. 9 et 10. Tête de salamandre terrestre (voy. fig. 1).

PLANCHE 254.

Fig. 1. Nouvelle représentation du morceau de la fig. 3 de la planche précédente, d'après un dessin fait à Londres au Muséum britannique en 1818.

b. b. Omoplate.

c. c. Humérus.

h. h. Cornes de l'os hyoïde.

Fig. 2. La table de schiste d'OEningen, contenant le morceau représenté pl. 253, fig. 2, dans l'état où elle s'est représentée après que M. Cuvier eut creusé la pierre pour y mettre à découvert les os qui pouvaient encore y être cachés.

a. a. Occipitaux latéraux.

b. b. Omoplate.

c. c. Humérus.

d. d. Avant-bras.

h. h. Cornes de l'os hyoïde.

Fig. 3. 4 et 5. Tête de la grande salamandre des monts Alleghany (*Sal. gigantea*, Barton; *Menopoma*, Harlan).

3. Vue de profil.

4. — en dessus.

5. — en dessous.

Fig. 6. 7 et 8. Tête de la salamandre aquatique.

6. Vue en dessus.

7. — en dessous.

8. — de profil.

Voyez, pour l'explication des lettres de ces têtes, celles de la grenouille et de la salamandre, pl. 252, fig. 1 et 2, et 253, fig. 1, 9 et 10.

Fig. 9. Os hyoïde de salamandre aquatique adulte.

a. a. Cornes antérieures ou suspensives.

b. Corps de l'os.

h. h. Cornes postérieures ou branchifères.

Fig. 10 et 11. Épaule de salamandre aquatique.

10. Vue en dessous.

11. — de profil.

- Fig. 12.* Les six premières vertèbres de la salamandre aquatique, vues par-dessus.
a. L'atlas.
- Fig. 13 et 14.* L'humérus dépouillé de ses têtes supérieure et inférieure cartilagineuses.
 13. Vu de profil.
 14. — de face.
- Fig. 15.* L'avant-bras et la main.
- Fig. 16 et 17.* Le bassin.
 16. Vu de profil.
 17. — par-dessous.
- Fig. 18.* Le fémur dépouillé de ses têtes cartilagineuses.
- Fig. 19.* La jambe et le pied.

Les figures de 6 à 19 sont toutes au double de la grandeur naturelle.

PLANCHE 255.

- Fig. 1.* Squelette entier de la sirène, vu de profil.
- Fig. 1'.* La mâchoire inférieure, vue par sa face interne.
- Fig. 2. 3. 4. 5 et 6.* Tête de la sirène.
 2. Vue par-dessus.
 3. — par-dessous.
 4. — par sa face occipitale.
 5. — de trois quarts par-dessous.
 6. — de trois quarts par-dessus.

Voyez, pour les lettres, l'explication de la tête de la grenouille et de la salamandre, pl. 252 et 253.

- Fig. 7.* Os hyoïde de la sirène, vu par-dessous.

Dans cette figure, ainsi que dans la même partie de la fig. 1, l'explication des lettres est la suivante :

- a. a.* Cornes antérieures ou suspensives.
b. Corps de l'os ou première pièce impaire.
b'. Deuxième pièce impaire.
 1. 2. Cornes branchifères.

- Fig. 8.* Os de l'épaule et sternum de la sirène, vus en dessous.

Dans cette figure, ainsi que dans la même partie de la fig. 1, on trouve :

- a. a. b. b.* Lobes cartilagineux représentant la clavicule et le coracoïdien.
c. Lame osseuse représentant la partie osseuse du coracoïdien.
 3. Omoplate.
 4. Humérus.
 5. Os de l'avant-bras.

Fig. 9. 10. 11. 12 et 13. Vertèbre dorsale de la sirène.

9. Vue par le côté.

10. --- par-dessus

11. --- par-dessous.

12. --- en avant.

13. --- en arrière.

Fig. 14. Squelette du *Proteus anguinus*.

Fig. 15. La tête, vue en dessous.

Les mêmes lettres désignent pour la tête les mêmes os que dans la sirène.

Fig. 16. Os hyoïde du proteus, vu en dessous.

a. a. Cornes suspensives.

b. Corps de l'os.

1. 1. 2. 2. Cornes branchifères.

3. 4. 5. Arceaux osseux des branchies.

Fig. 17. Épaule du proteus, vue en dessous.

Voyez l'explication ci-dessus, fig. 8.

Seulement, dans le squelette, fig. 14, la lettre A remplace le chiffre 3, fig. 1, pour représenter de même la partie osseuse de l'omoplate.

Fig. 18. Bassin du proteus.

a. a. Cartilage répondant à l'ischion.

Fig. 19. 20. 21. 22 et 23. Vingtième vertèbre du proteus.

19. Vue par-dessus.

20. --- par-dessous.

21. --- par le côté.

22. --- en avant.

23. --- en arrière.

Fig. 24 et 25. Tête de l'axolotl.

24. Vue par-dessus et de trois quarts.

25. --- par-dessous et de trois quarts.

Les mêmes lettres indiquent les mêmes os que dans la sirène et les reptiles précédents de cet ordre.

PLANCHE 256.

Ichtyosaurus.

Fig. 1. Squelette d'*ichtyosaurus* (*Ich. tenuirostris*), contenant la plus grande partie des vertèbres, la tête assez complète, les deux extrémités antérieures, la postérieure gauche, et quelques débris des côtes et du bassin.

Fig. 2. Autre squelette provenant d'un individu plus grand (*Icht. communis*), et offrant notamment les extrémités antérieures presque complètes, divers os de la tête en bon état, plusieurs côtes dans toute leur longueur, un reste assez considérable de bassin et presque toute une extrémité postérieure.

Fig. 3. Très-grande mâchoire inférieure de l'*Icht. platyodon*.

Fig. 4. Une des dents du morceau précédent, de grandeur naturelle.

Fig. 5. Coupe de cette dent.

Fig. 6 et 7. Deux autres os du squelette de la fig. 1, représentées de grandeur naturelle.

6. La treizième, vue par sa face antérieure.

8. La seizième, vue par sa face postérieure.

a. a. a. a. Proéminence des apophyses épineuses, qui servent d'apophyses articulaires.

b. b. b. b. Tubercules qui servent d'apophyses transverses.

c. c. c. c. Tubercules qui reçoivent la tête inférieure de la côte.

Fig. 9. Apophyse épineuse de vertèbre, tirée du squelette de l'*Icht. communis*, fig. 2.

Fig. 10. Apophyse épineuse de vertèbre, tirée du même groupe que le morceau, pl. 257, fig. 11.

Fig. 11 et 12. Vertèbres courtes de l'argile de Kimmeridge.

Fig. 13. Coupe de deux vertèbres, afin de faire sentir la concavité de leur corps et la figure des espaces intermédiaires.

Fig. 14. Bassin et nageoire postérieure du petit squelette, fig. 1.

Fig. 15. Bassin et fémur du grand squelette, fig. 2.

PLANCHE 257.

Ichtyosaurus.

Fig. 1. Tête d'*Ichtyosaurus communis*, à laquelle il ne manque que le bout antérieur du museau, et une partie de la région occipitale et basilaire.

a. Inter-maxillaire.

b. Maxillaire.

c. Os du nez.

d. Ouverture extérieure des narines.

e. Frontal antérieur.

f. Lacrymal.

g. Frontal principal.

h. Frontal postérieur.

i. Jugal.

k. Mastoïdien.

l. Pariétal.

Fig. 2. 3. 4 et 5. Autre tête dont le museau est encore plus tronqué, mais où se trouve toute la région basilaire et palatine (peut-être de l'*Icht. intermedius*).

2. Vue de profil.

3. — en dessus.

4. — en dessous.

5. — par sa face occipitale.

Les mêmes lettres désignent les mêmes os que dans la figure précédente.

m. Trou du pariétal.

o. Occipital.

q. Sphénoïde.

s. s. Ptérygoïdiens.

Fig. 6 et 7. Tête d'*Icht. tenuirostris*, tronquée de l'avant jusqu'au pariétal, où se voit la région temporale entière. Ce morceau offre aussi l'os hyoïde.

6. Vue de profil.

7. — par-dessus.

m. Trou du pariétal.

Fig. 8. Fragment de tête et des deux mâchoires de l'*Icht. tenuirostris*.

Voyez, pour les lettres, la fig. 1 ci-dessus.

Fig. 9. Fragment de mâchoire inférieure de l'*Icht. communis*, vu par-dessous.

Fig. 10. Sphénoïde trouvé avec les morceaux de la figure suivante, et qui, ainsi que ceux-ci, annonce une cinquième espèce d'ichtyosaurus.

q. Corps du sphénoïde.

Fig. 11. Occipitaux latéraux et supérieurs d'ichtyosaurus d'une espèce nouvelle, trouvés avec le morceau précédent.

m. Occipital supérieur.

o. Basilaire.

p. p. Occipitaux latéraux.

Fig. 12 et 13. Fragment de la base du crâne de l'*Icht. communis*.

12. Vu par sa face supérieure ou crânienne.

13. ——— inférieure ou basilaire.

o. Basilaire.

q. Sphénoïde.

Fig. 14. Coupe montrant la succession des dents. La nouvelle dent, *a*, quoiqu'il existe encore une partie de la racine de l'ancienne dent *c*, a une partie de son noyau pulpeux ossifié *e*.

Fig. 15 et 16. Mâchoire inférieure d'ichtyosaurus.

15. Vue par sa face externe.

16. ——— interne.

a. Dentaire.

b. Operculaire.

c. Angulaire.

d. Sur-angulaire.

e. Complémentaire.

Fig. 17. Coupe d'une dent d'ichtyosaurus, pour montrer la cavité de la couronne, remplie de spath en même temps que la racine est ossifiée.

PLANCHE 258.

Ichtyosaurus.

Fig. 1. Morceau d'un très-grand individu où l'on voit, avec beaucoup de vertèbres et de côtes, le sternum, les clavicules, les coracoïdiens, une omoplate, deux humérus et deux avant-bras.

a. Pièce moyenne du sternum.

b. b. Clavicules.

c. c. Coracoïdiens.

d. Omoplate.

e. e. Humérus.

f. Radius.

g. Cubitus.

Fig. 2. Morceau offrant les os de l'épaule et une extrémité antérieure.

Les mêmes lettres indiquent les mêmes os que dans la figure précédente.

Fig. 3. Morceau d'un individu assez petit, et montrant la nageoire gauche entière attachée à son épaule, également complète.

Voyez, pour les lettres, la fig. 1 ci-dessus.

Fig. 4. Nageoire du morceau précédent, vue par sa face interne.

Fig. 5. Morceau offrant en situation le sternum, les clavicules, les coracoïdiens, une omoplate, un humérus, un avant-bras et un os du carpe.

Voyez, pour les lettres, la figure 1 ci-dessus.

Fig. 6. Copie, d'après sir Everard Home, des os du sternum et de l'épaule restitués.

Voyez de même, pour les lettres, les figures ci-dessus.

PLANCHE 259.

Plesiosaurus.

Fig. 1. Squelette du *Plesiosaurus dolichodeirus*, trouvé à Lyme-Regis, appartenant au duc de Buckingham. — Copié d'après les dessins de M. Conybeare.

ATLAS. TOME II.

Fig. 2. Fragment de squelette trouvé à Lyme. — D'après un dessin envoyé par ma demoiselle Moreland.

Fig. 3 et 4. Copies de la première tête de plésiosaure qu'avait représentée M. Conybeare.

3. Vue par sa face supérieure.

4. — de profil.

a. Pariétal.

b. Orbite.

c. Fosse temporale.

Fig. 5. Os dentaires entiers de la mâchoire inférieure du plésiosaure. — D'après un moule envoyé par M. Conybeare.

Fig. 6 et 7. Deux groupes de vertèbres dorsales de plésiosaure de Honfleur.

Fig. 8. Pubis de plésiosaure du même lieu.

PLANCHE 260 ET DERNIÈRE.

Squelettes d'Ichtyosaurus et de Plésiosaure restitués.

Fig. 1. Squelette restitué de *Plesiosaurus dolichodeirus*. — Copié de M. Conybeare.

Fig. 2. Appareil huméro-sternal restitué du plésiosaure. — Copié du même.

a. Coracoïdien.

b. Omoplates.

c. Sternum.

Fig. 3. Bassin du plésiosaure restitué.

a. Pubis.

b. Ischion.

c. Os des iles.

Fig. 4. Deux des côtes du même restituées.

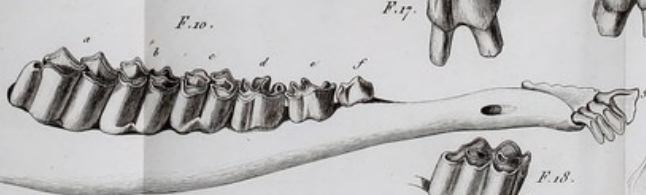
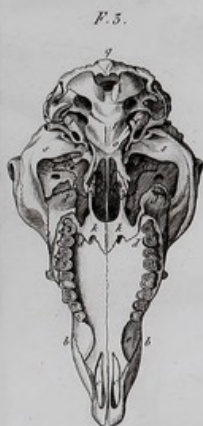
Fig. 5. Une de ses vertèbres cervicales également restituée.

Fig. 6. Squelette restitué de l'*Ichtyosaurus communis*. — Copié de M. Conybeare.

Fig. 7. Restitution du sternum et de l'épaule de l'*Ichtyosaurus communis*. — D'après M. Conybeare.

FIN DE L'ATLAS.

PARIS. — IMPRIMERIE DE CASIMIR, RUE DE LA VIEILLE-MONNAIE, N° 12,
entre la rue des Lombards et la place du Châtelet.



Illustrated by J. G. Cooper

Continued on p. 163

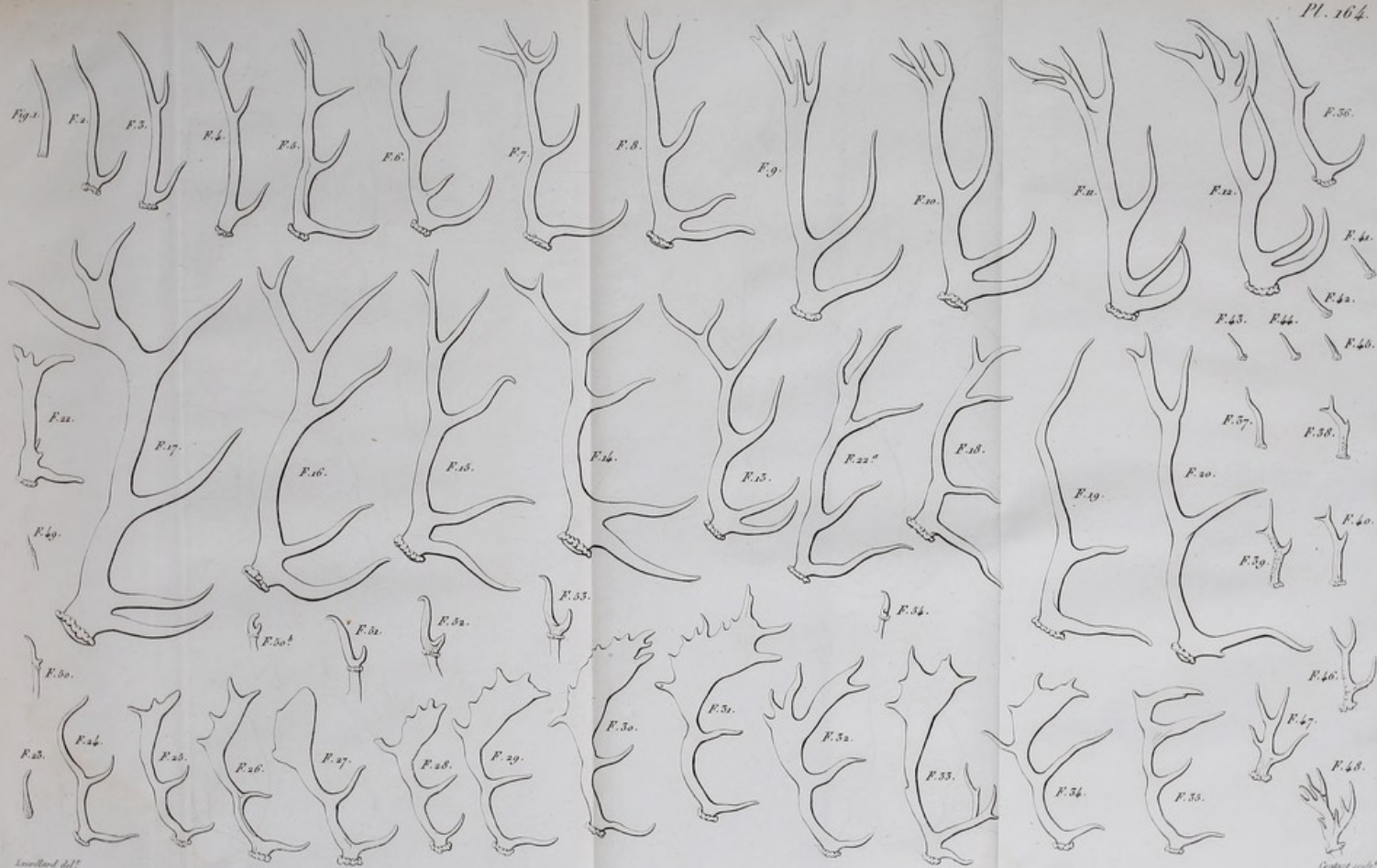




OS DE BŒUF ET DE CERF. au 5^e.

Contour en relief



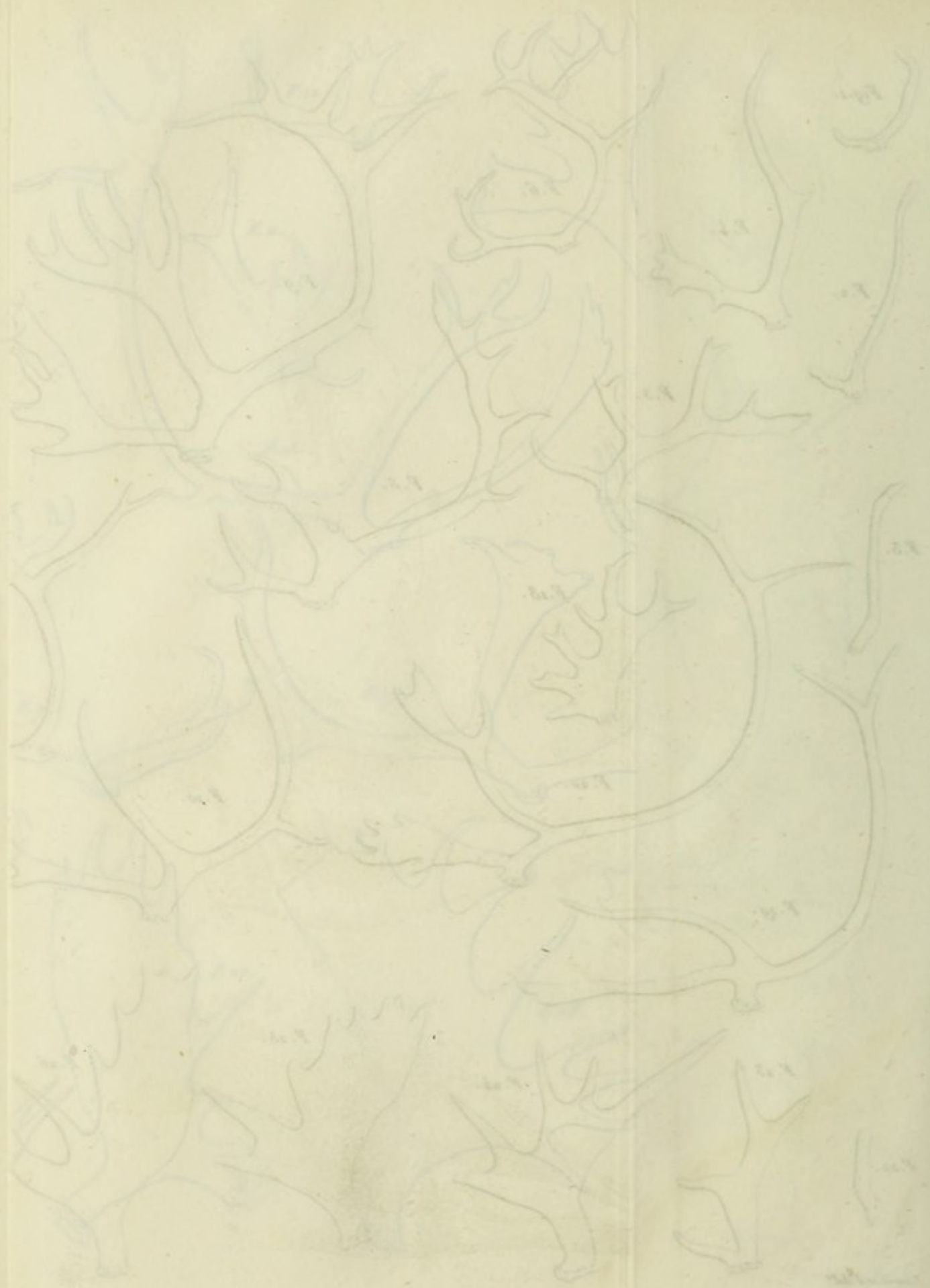






1 smaller & dull

Grated 1000



$\frac{1}{10}$



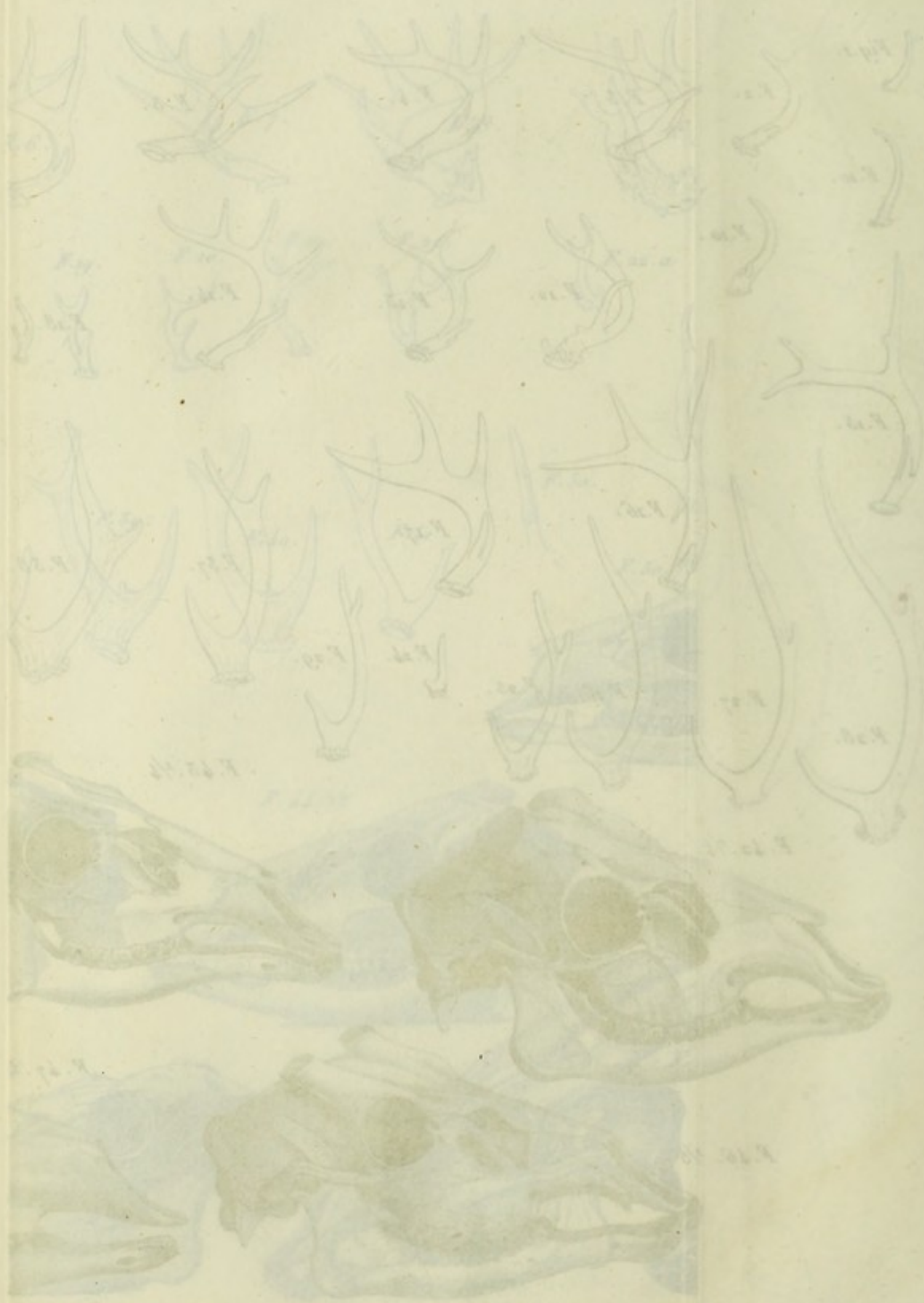


Fig. 1.

Fig. 3.

Fig. 6.

Fig. 10.

Fig. 12.

Fig. 13.

Fig. 11.

Fig. 15.

Fig. 16.

Fig. 2.

Fig. 7.

Fig. 9.

Fig. 14.

Fig. 17.

Fig. 18.

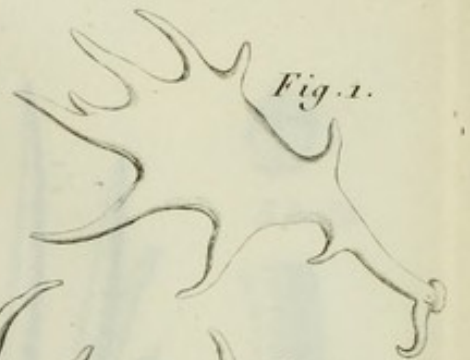
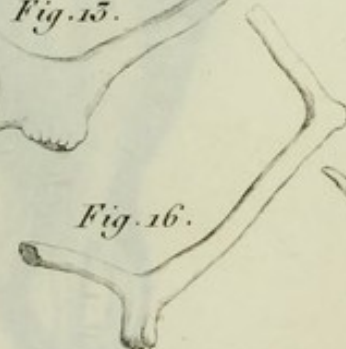
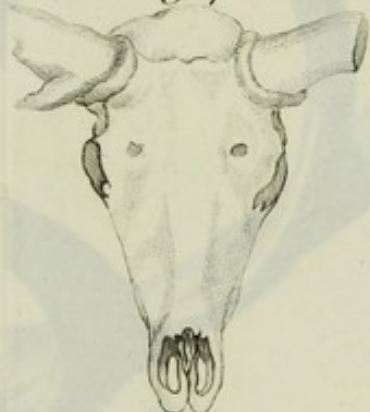
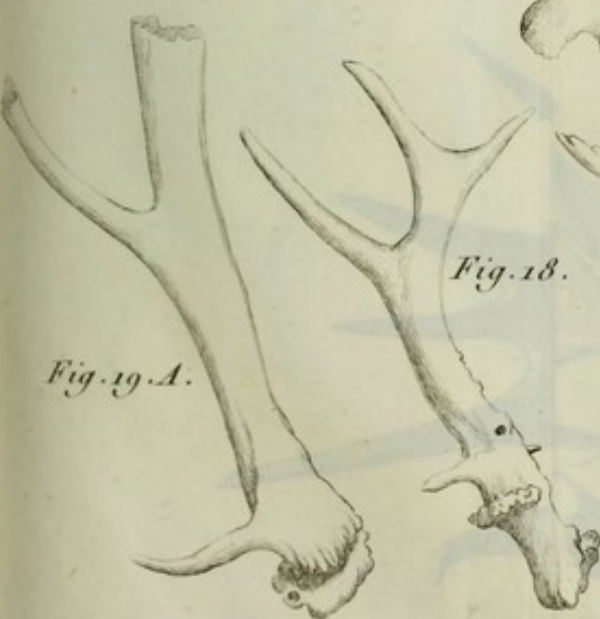
Fig. 5.

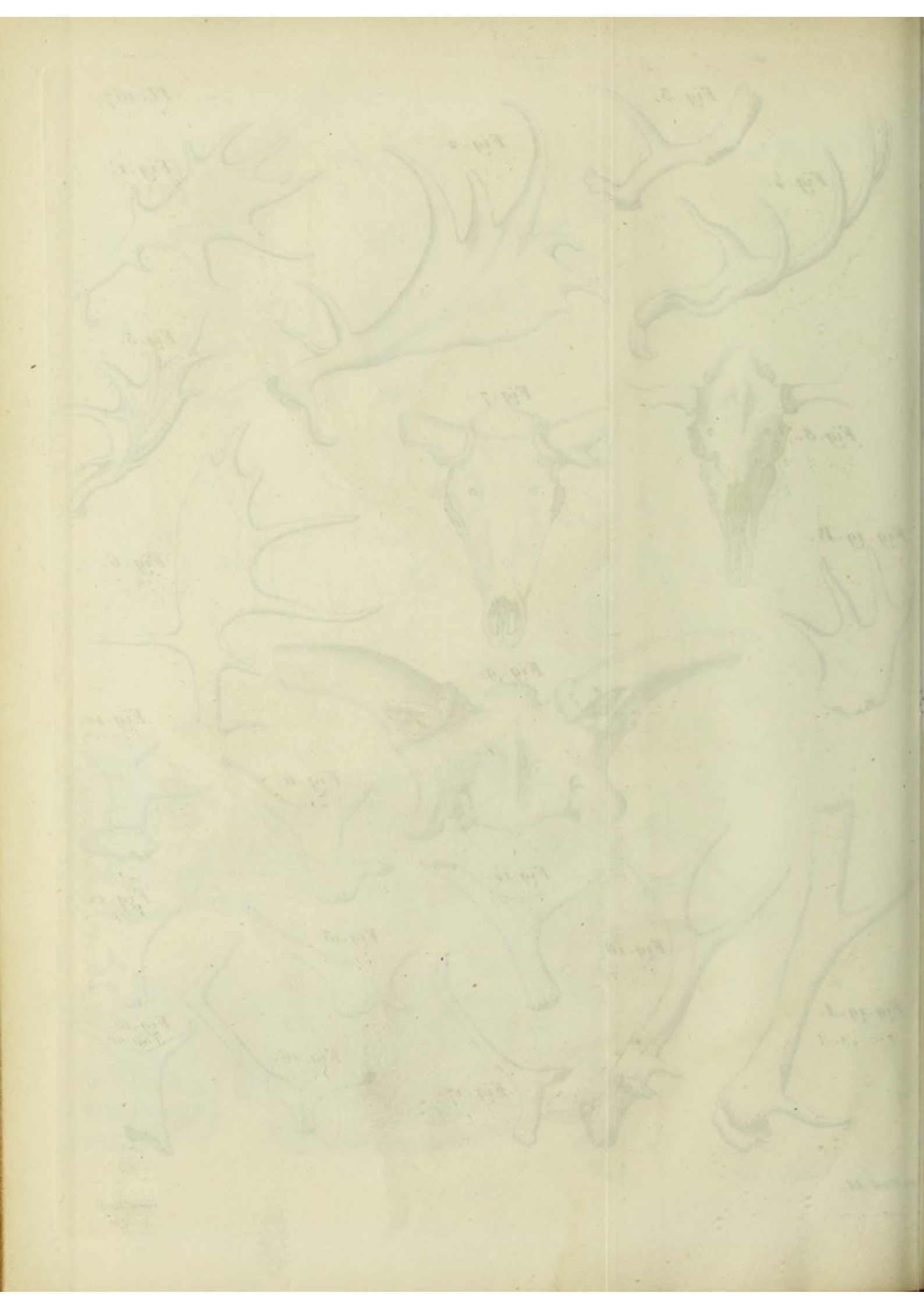
Fig. 4.

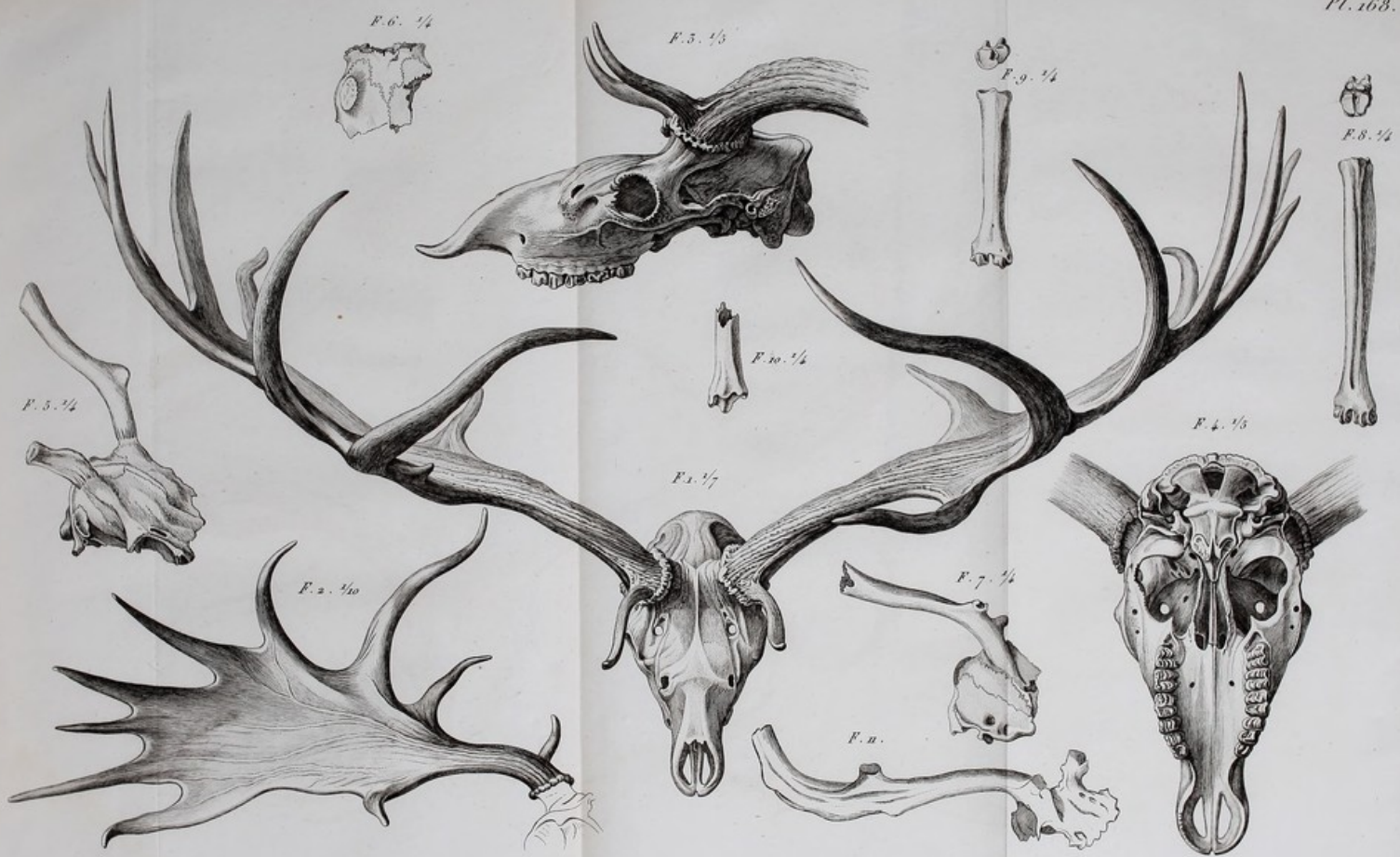
Fig. 8.

Fig. 19. B.

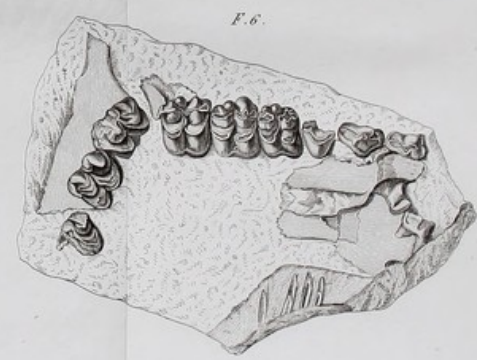
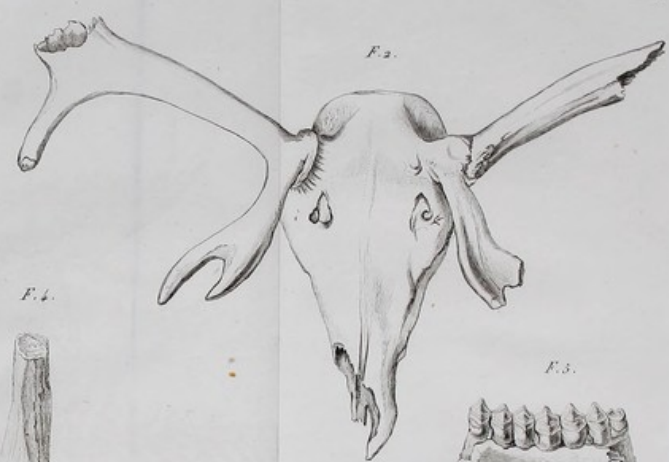
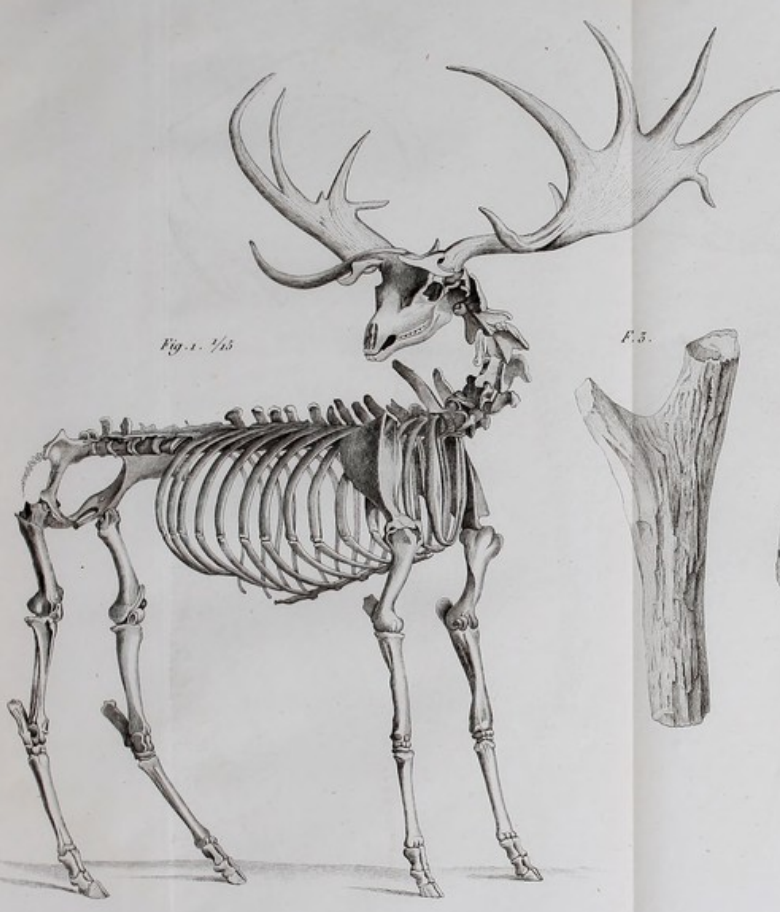
Fig. 19. A.

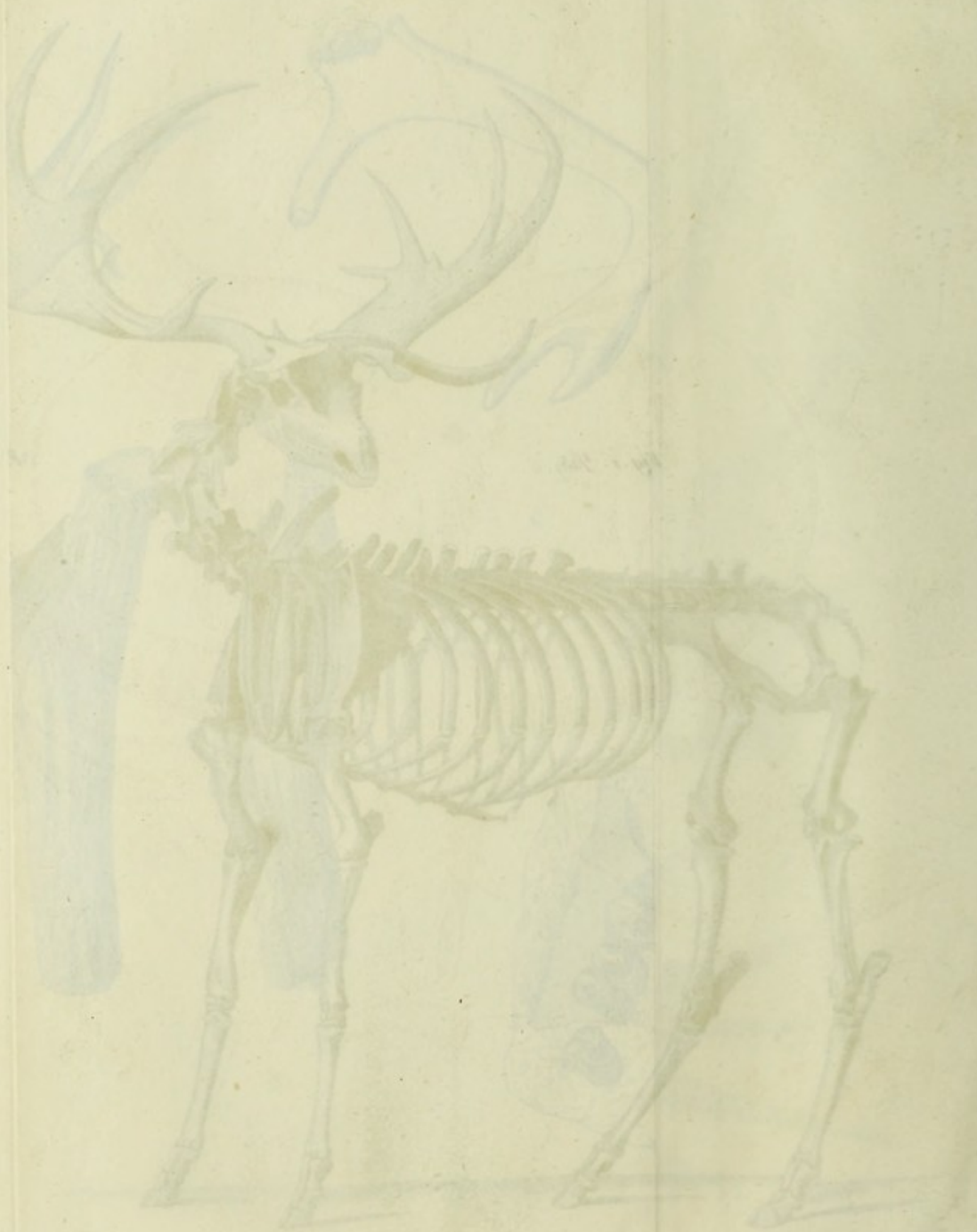












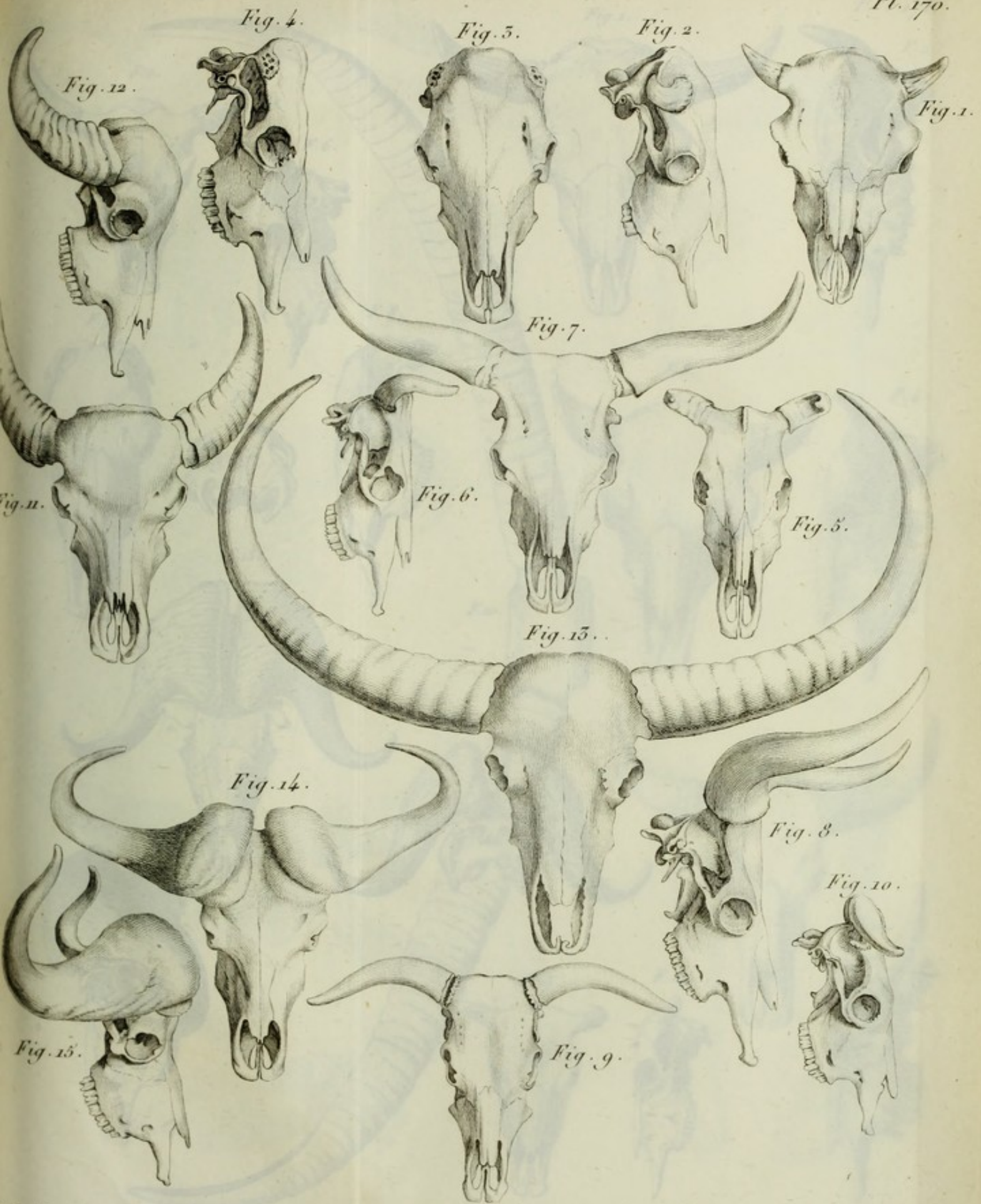


Fig. 1

Fig. 2

Fig. 3

Fig. 4

Fig. 5



Fig. 6



Fig. 7

Fig. 8

Fig. 9

Fig. 10

Fig. 11



Fig. 1.

F. 2.

F. 5.

F. 6.

F. 8.

F. 5.

F. 4.

F. 7.

F. 9.

F. 15.

F. 10.

F. 17.

F. 11.

F. 16.

F. 12.

F. 13.

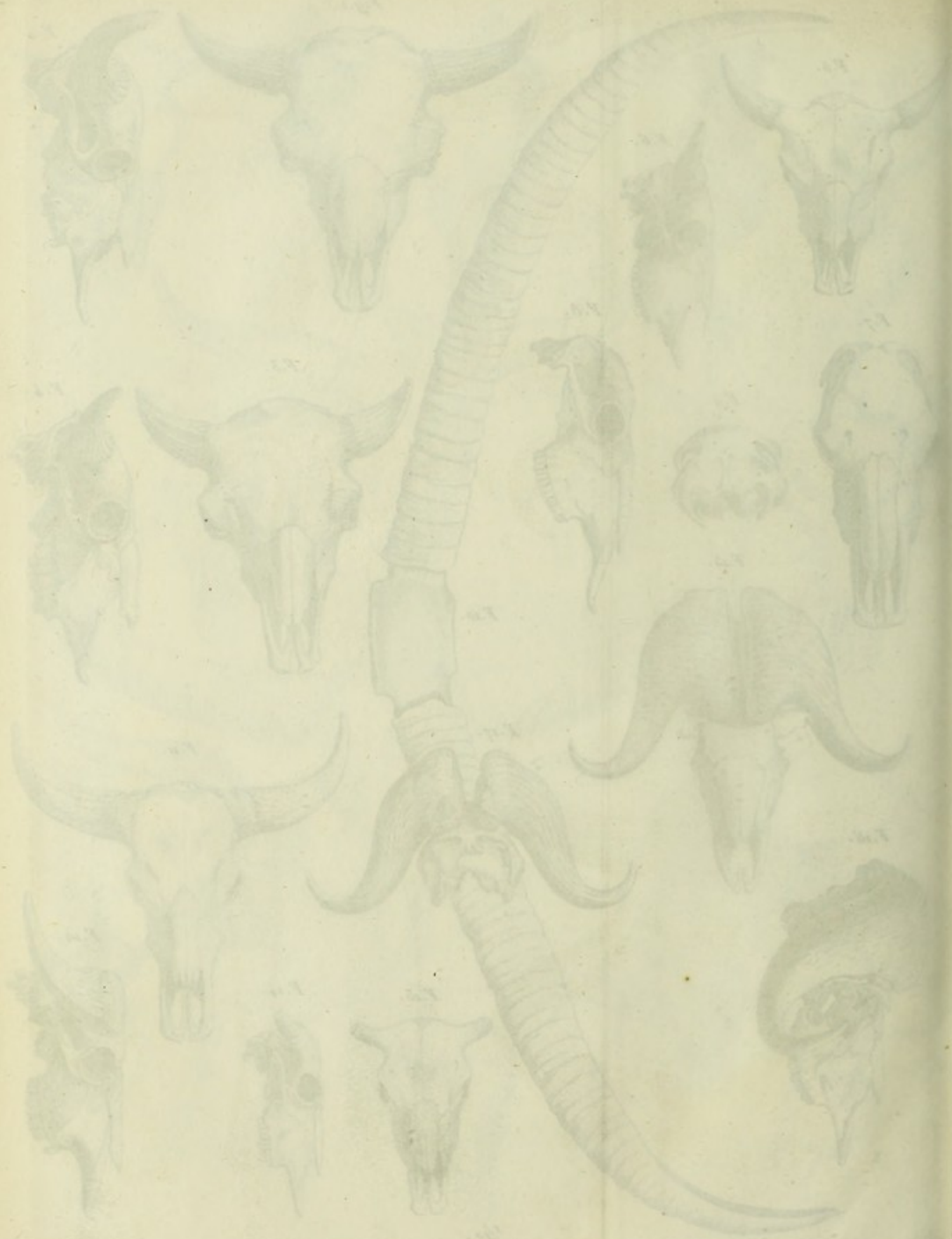
F. 14.

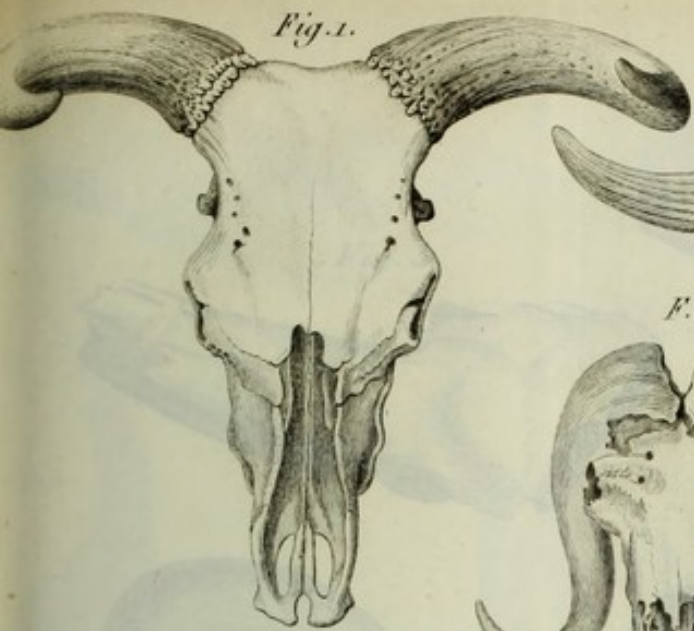
1/10.

Contant sculpt.

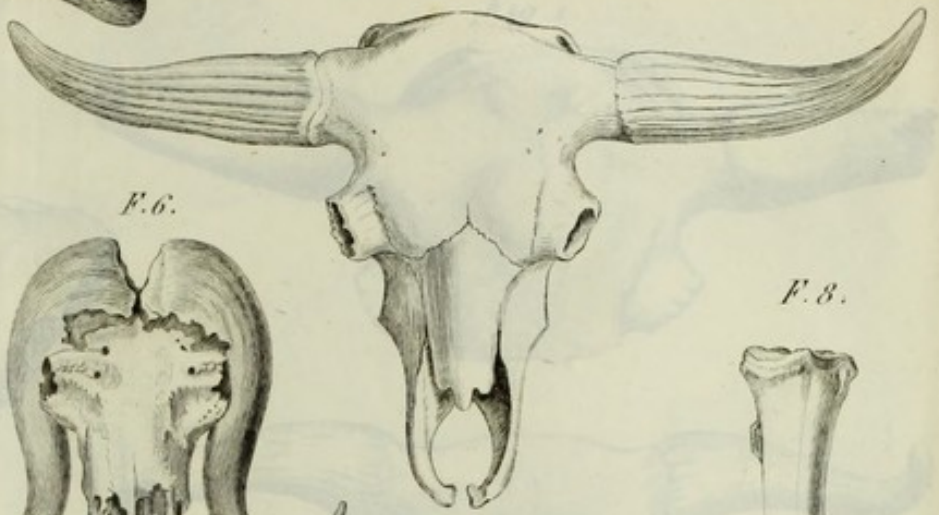
Laurillard del.



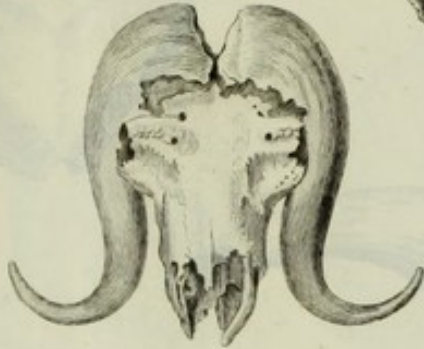




F. 5.



F. 6.



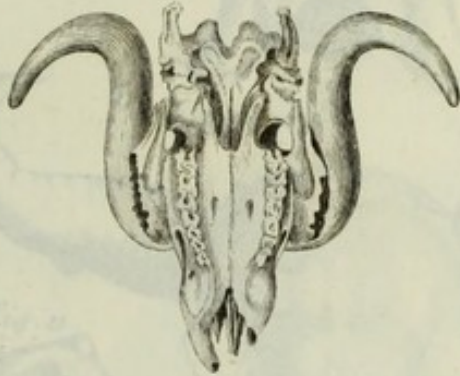
F. 8.



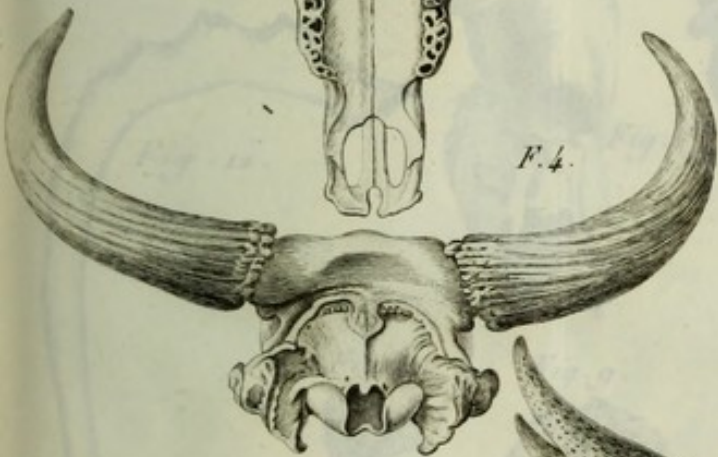
F. 2.



F. 7.



F. 4.



F. 9.



F. 10.



F. 11.



F. 3.



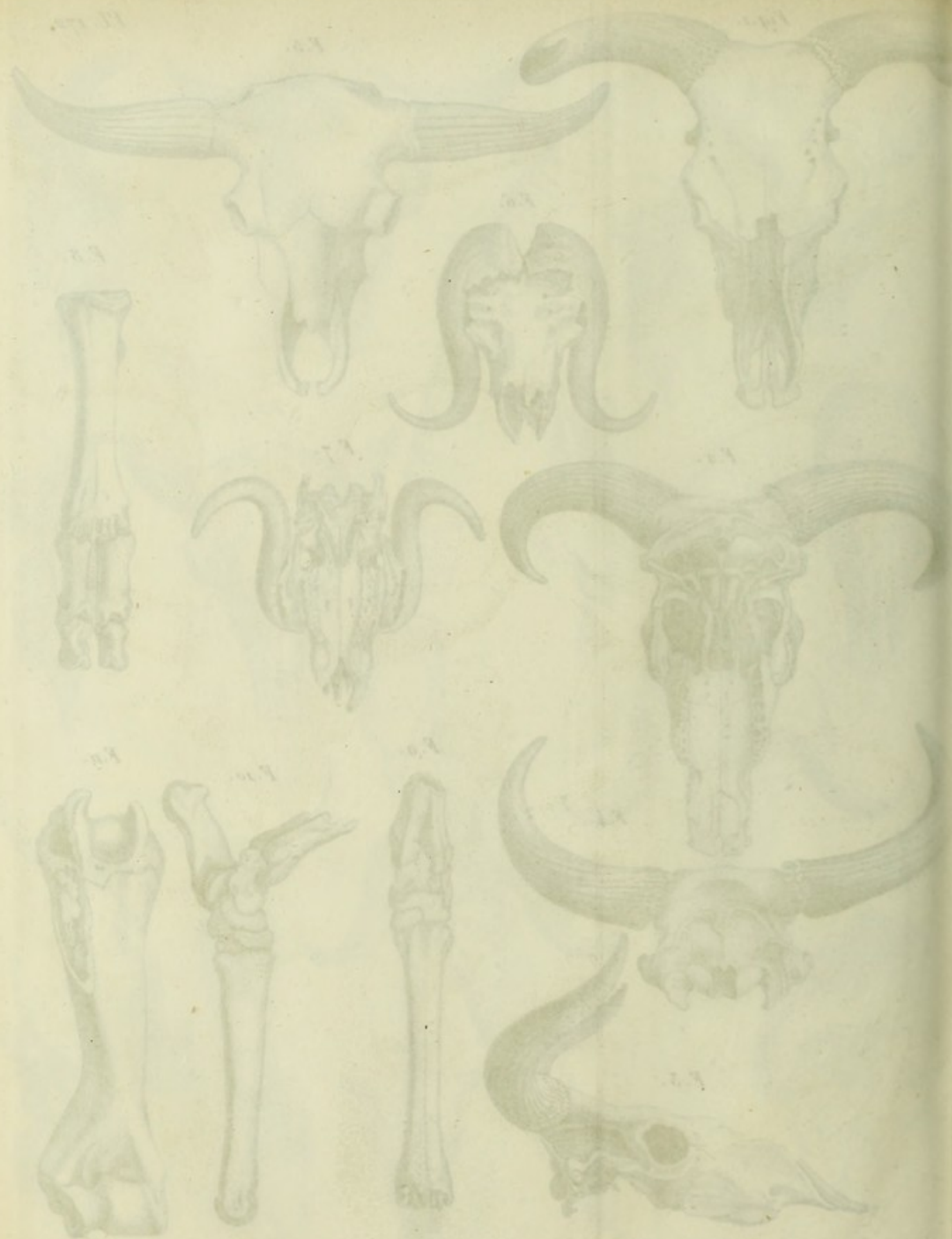


Fig. 1.

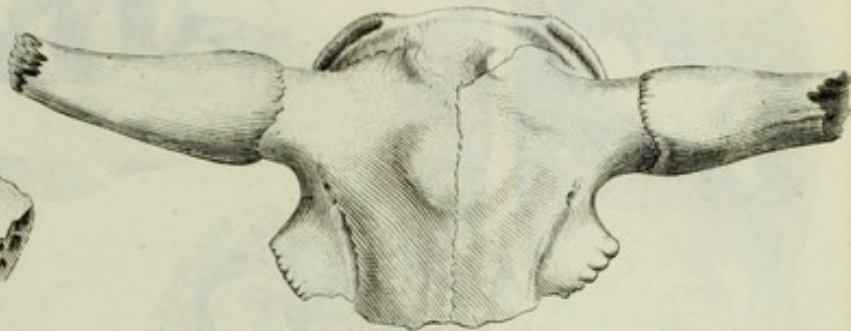


Fig. 2.



Fig. 8.



Fig. 5.

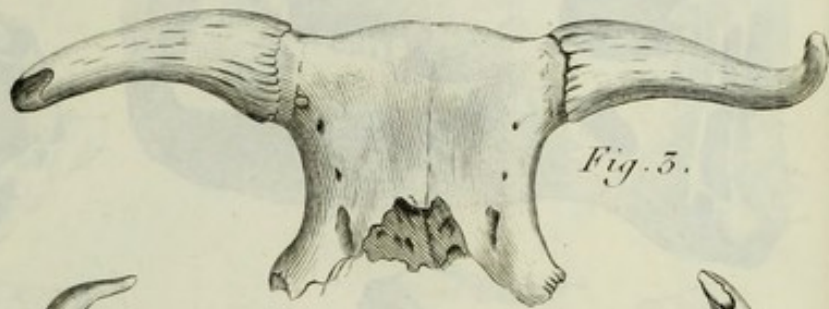


Fig. 11.



Fig. 4.



Fig. 5.



Fig. 12.

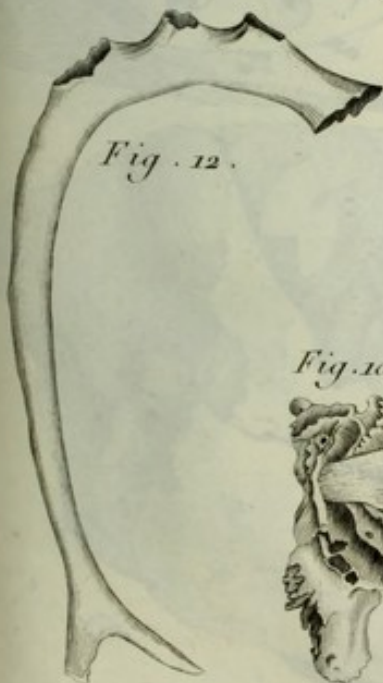


Fig. 7.



Fig. 6.



Fig. 10.



Fig. 9.





Fig. 1.



Fig. 4.

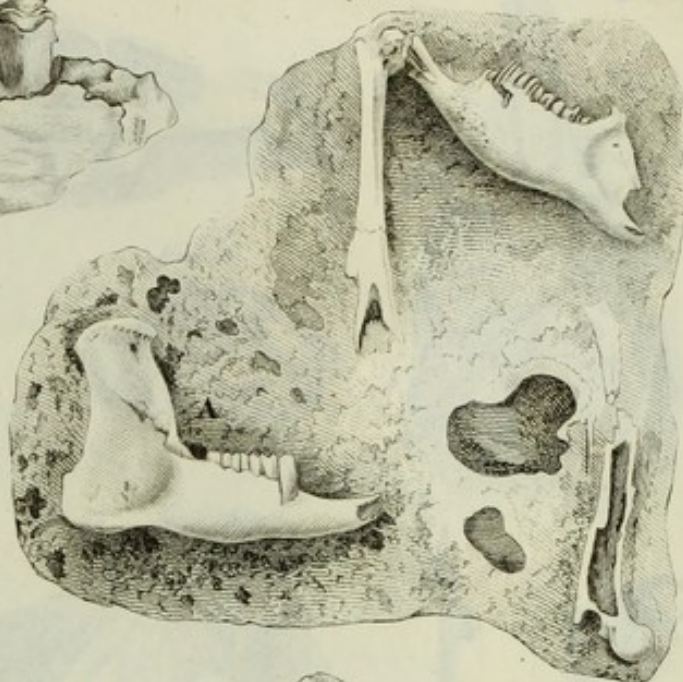


Fig. 3.



Fig. 6.

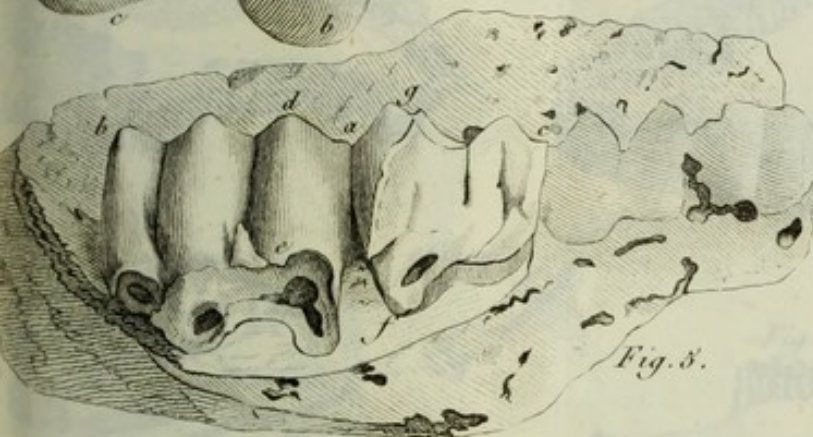
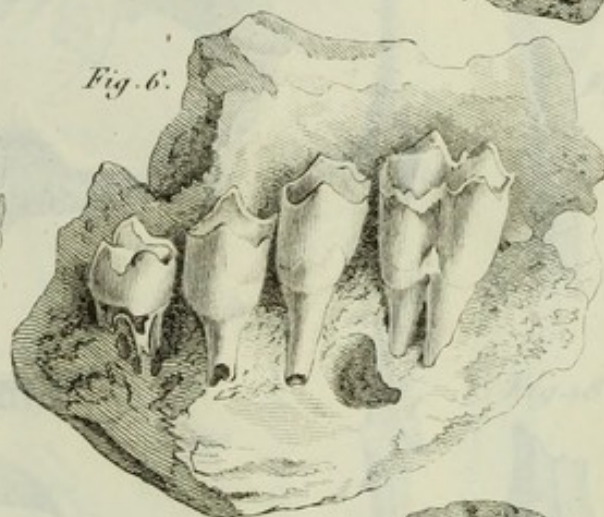


Fig. 8.

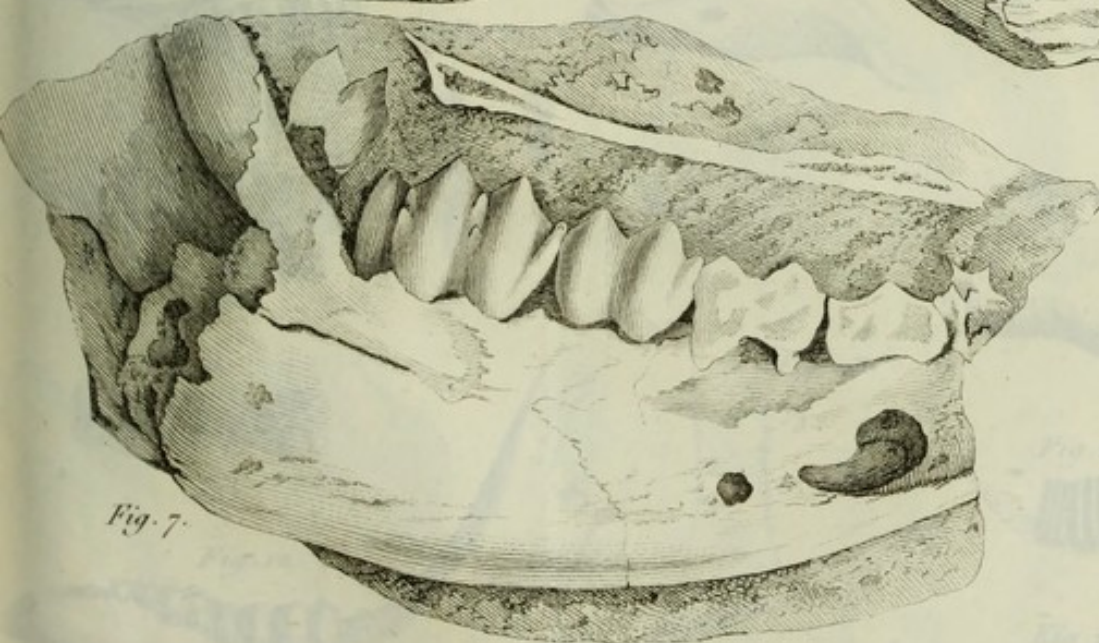


Fig. 7.

Fig. 8.

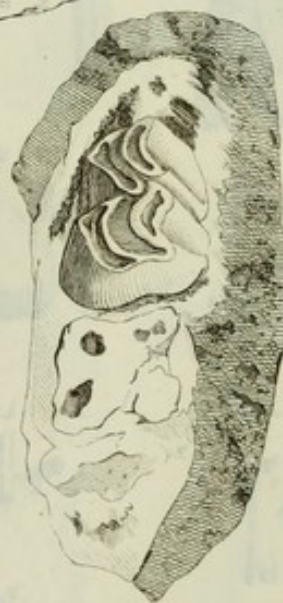
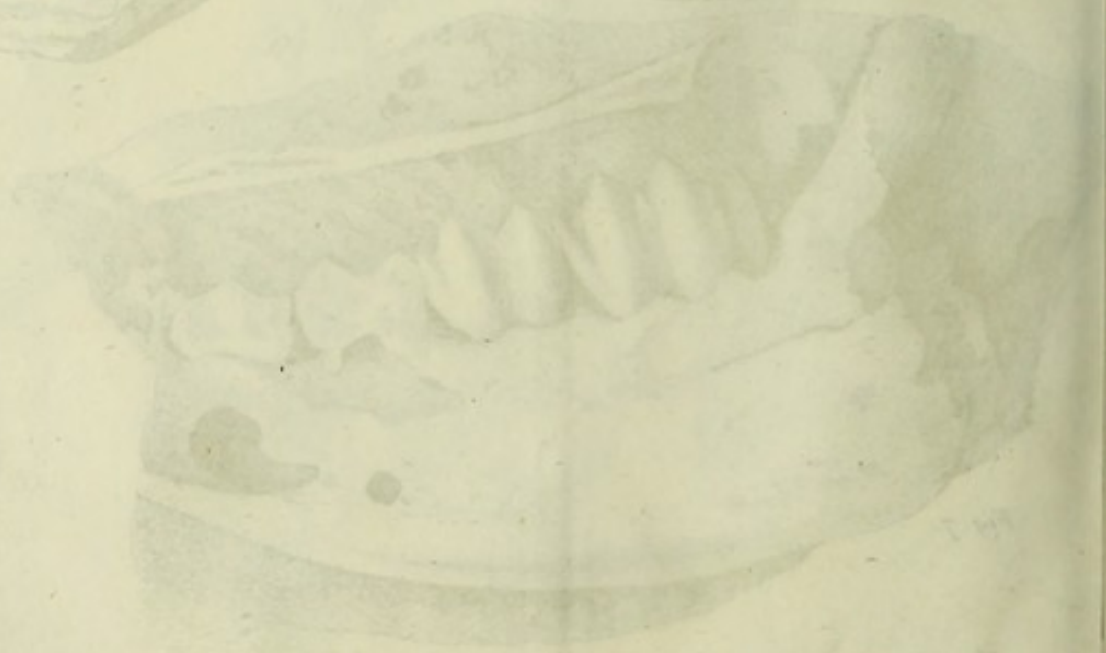
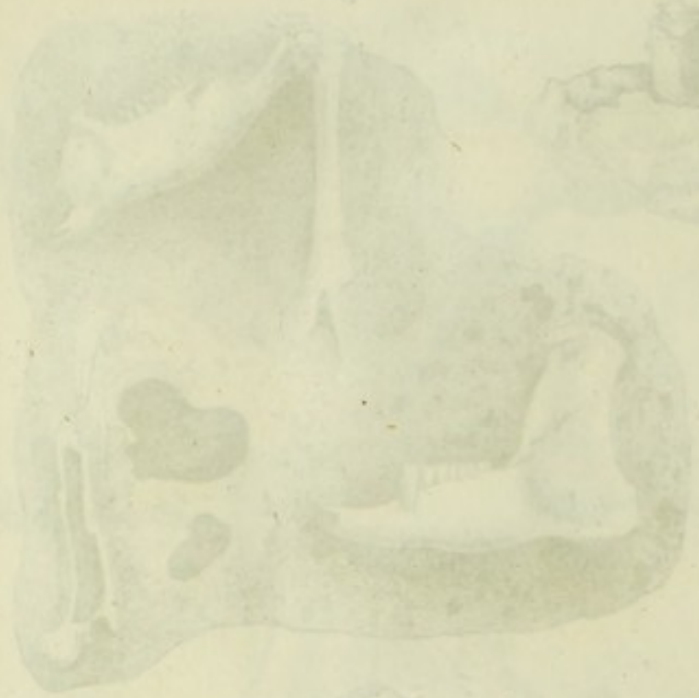
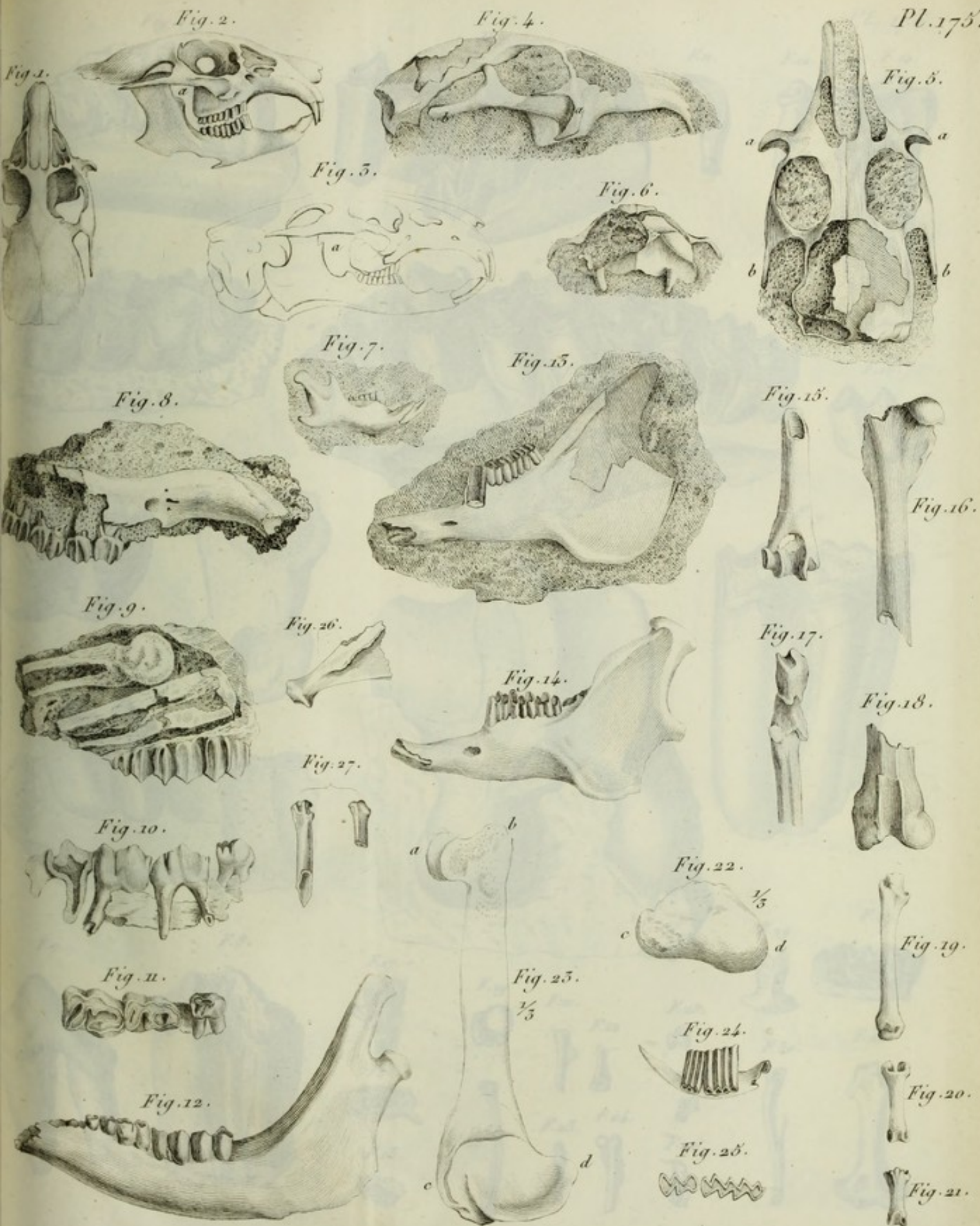


Fig. 1

Fig. 2

Fig. 3





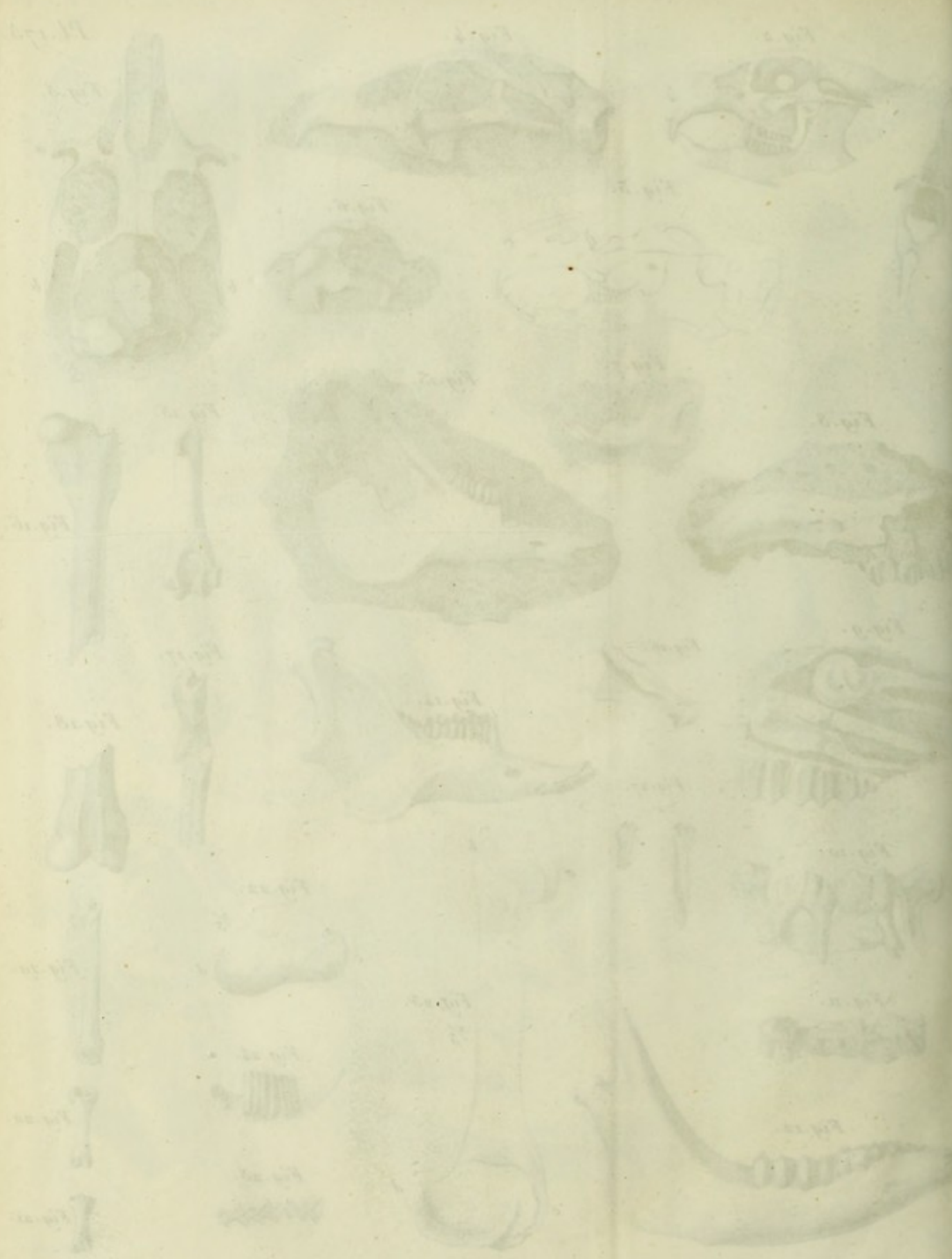
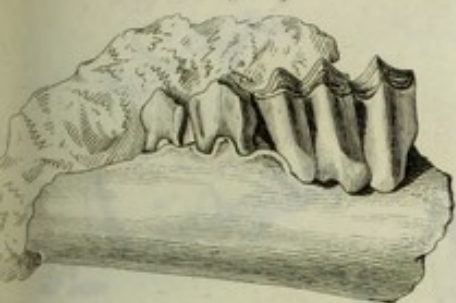
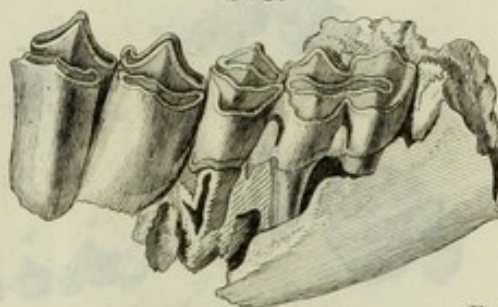


Fig. 1.



F. 2.



F. 11.



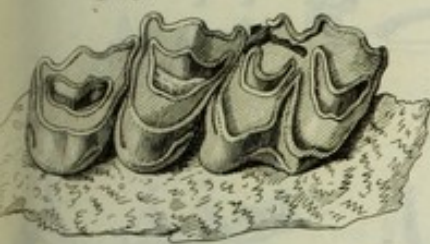
F. 12.



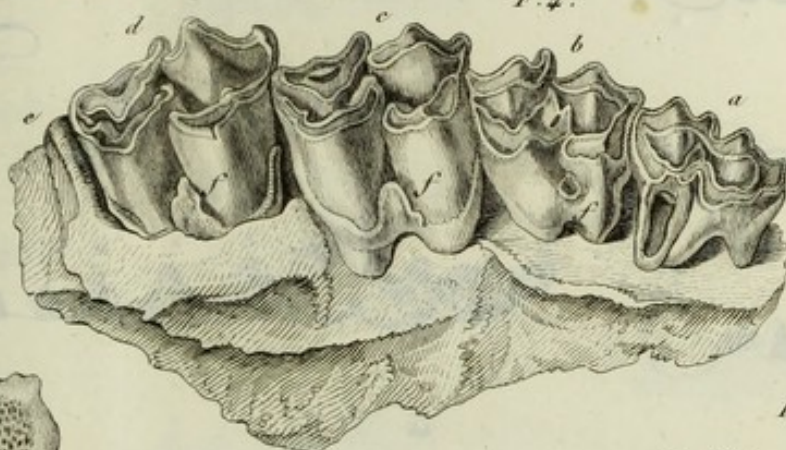
F. 14.



F. 3.



F. 4.



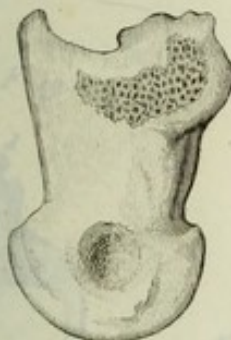
F. 15.



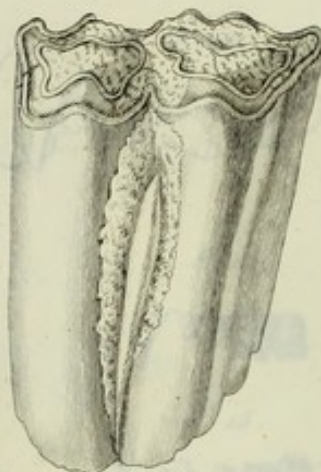
F. 5.



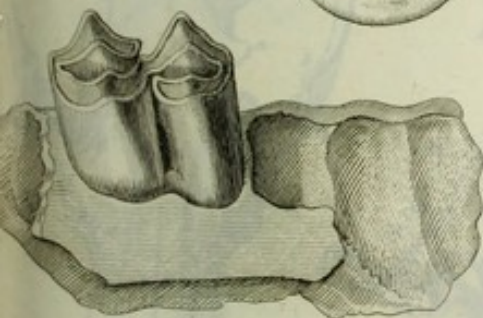
F. 13.



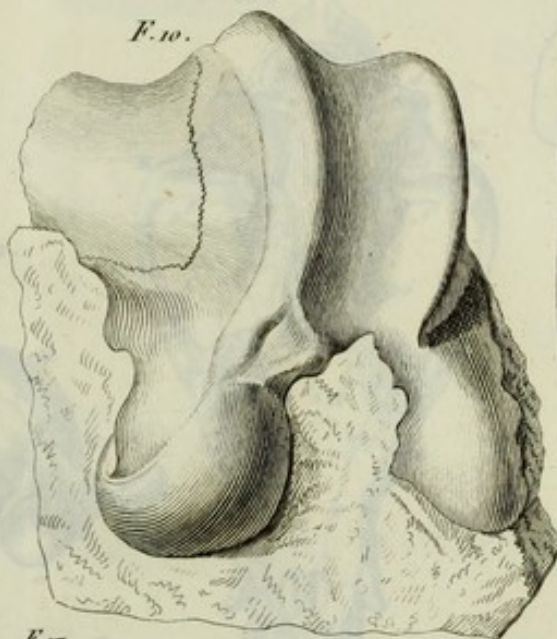
F. 9.



F. 6.



F. 10.



F. 7.



F. 8.



F. 17.



F. 19.



F. 21.



F. 22.



F. 25.



F. 26.



F. 26.



F. 29.



F. 27.



F. 30.



F. 28.



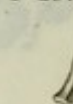
F. 16.



F. 18.



F. 20.

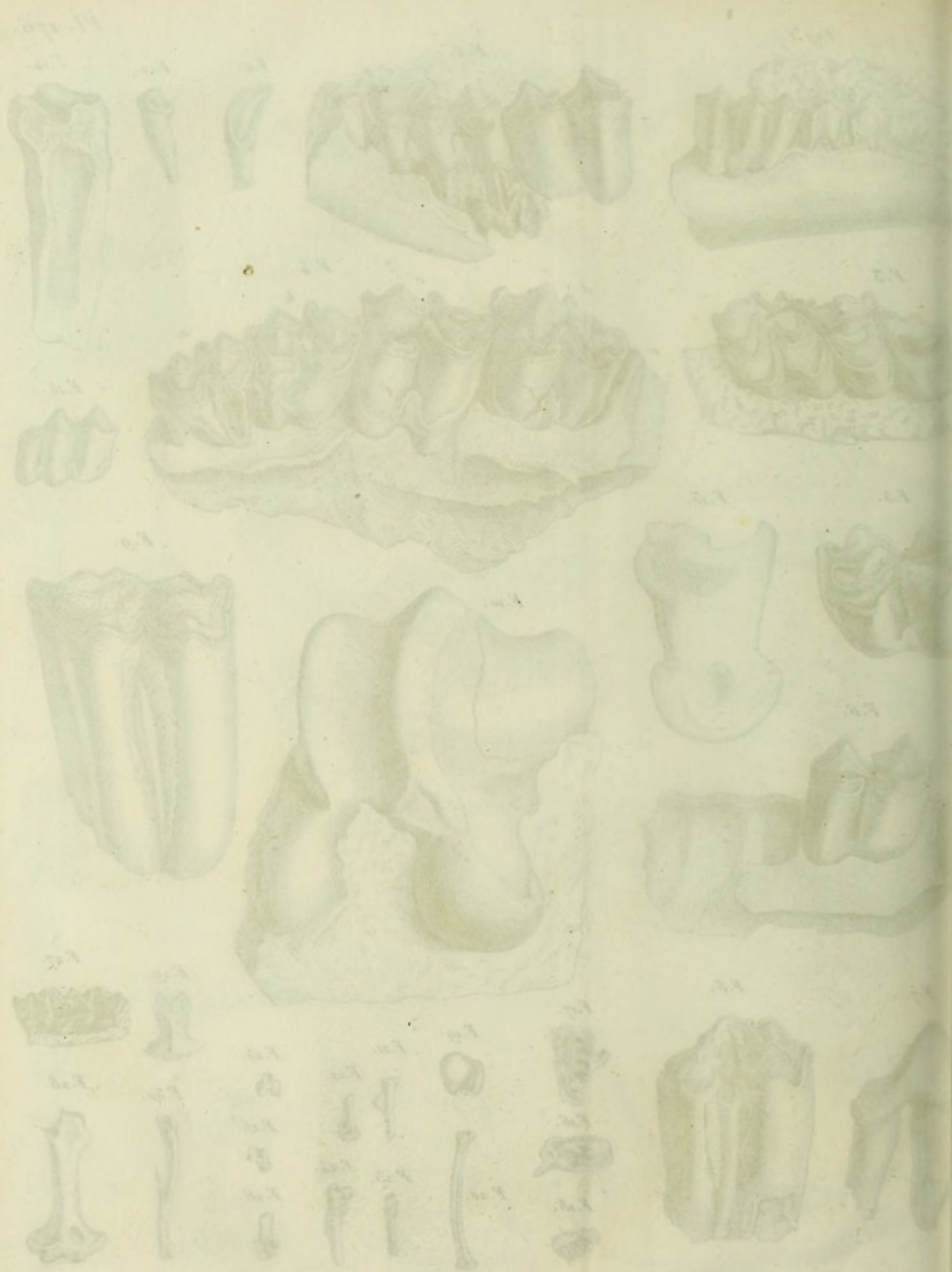


F. 23.



F. 24.





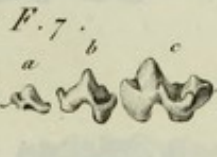
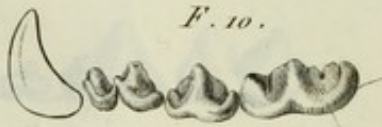


Pl. 177.

F. 9.



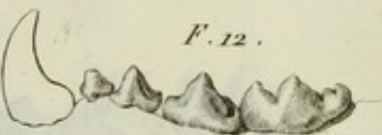
F. 10.



F. 11.

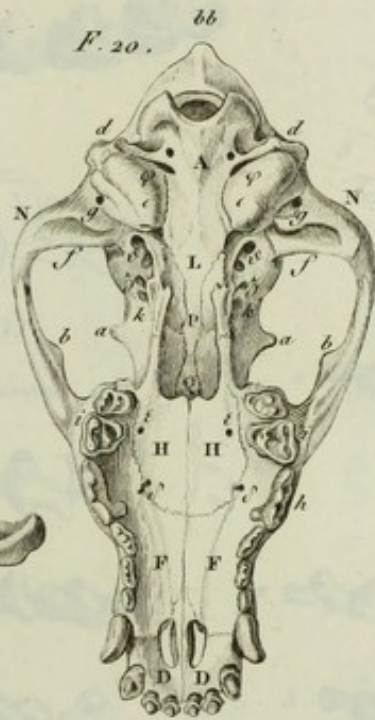
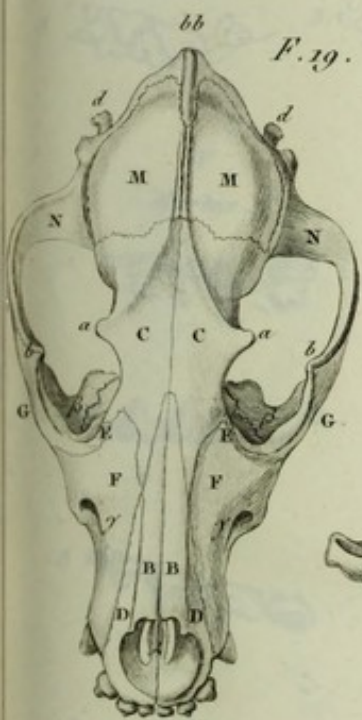


F. 12.

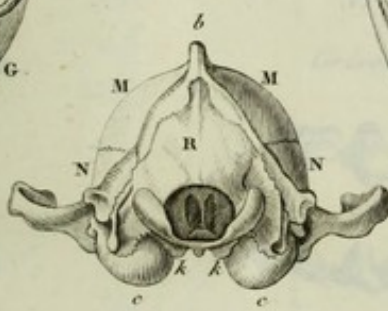


bb F. 19.

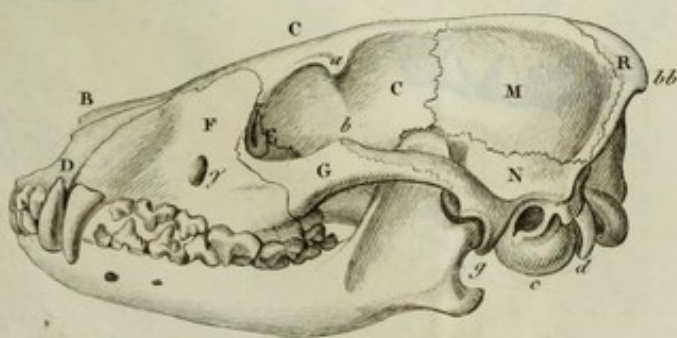
bb F. 20.



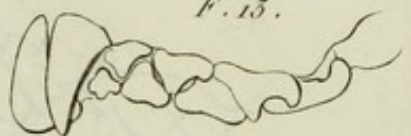
F. 22.



F. 21.



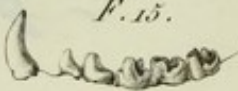
F. 13.



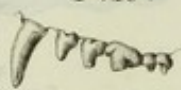
F. 14.



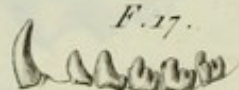
F. 15.



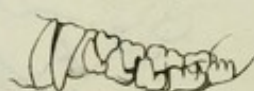
F. 16.



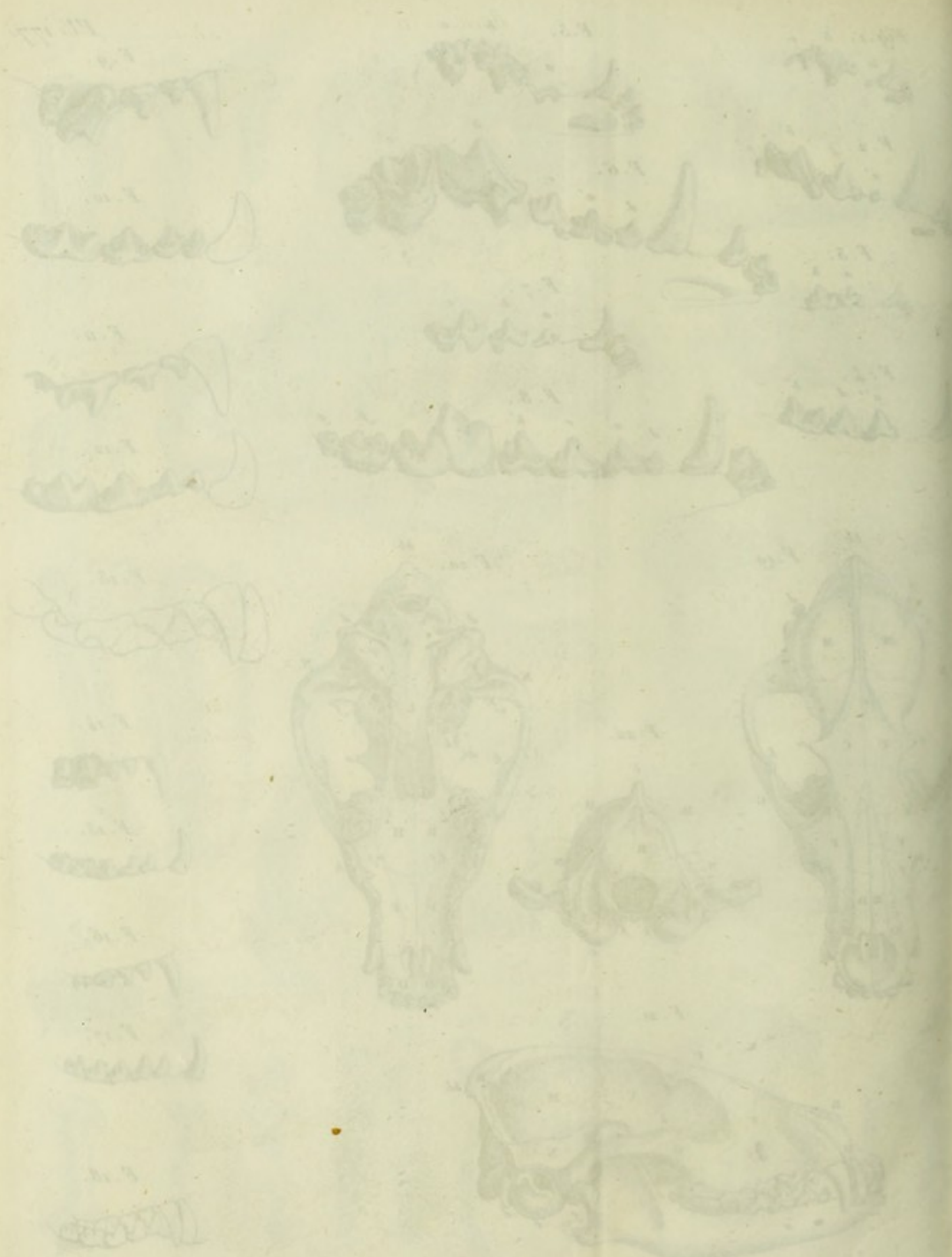
F. 17.



F. 18.



Dents molaires de mammifères carnassiers. Pl. I.



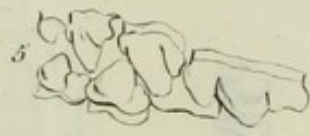
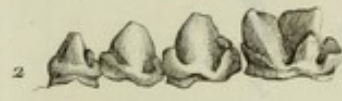
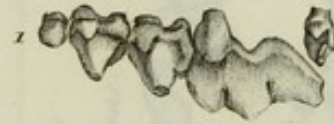
Chats.



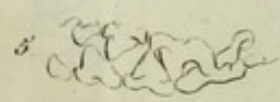
VII
Gloutons.



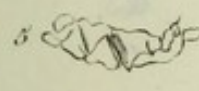
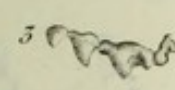
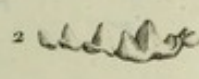
Hyenes. II



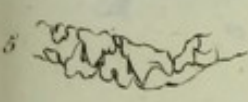
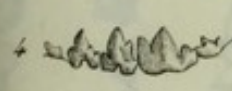
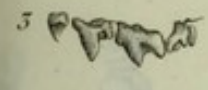
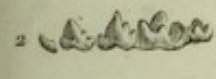
VI
Grisons.



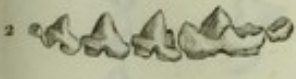
III
Putois.



IV
Zorilles.



V
Martes.

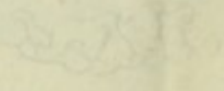
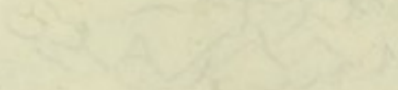
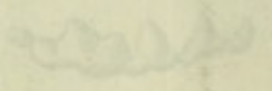
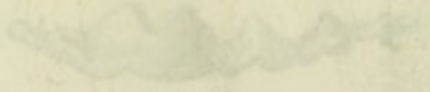
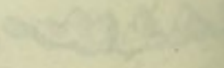
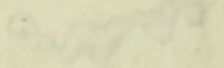
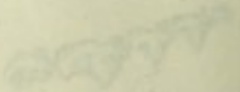
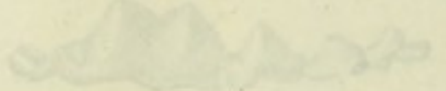
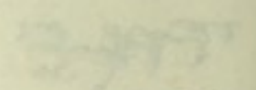
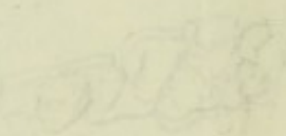
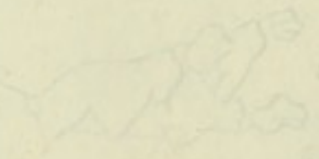
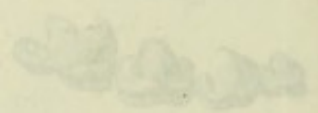
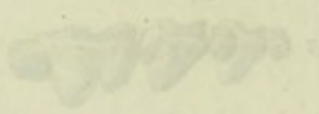
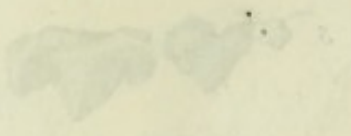
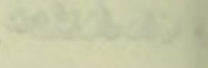
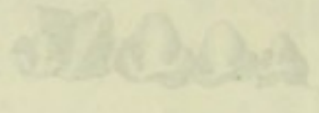
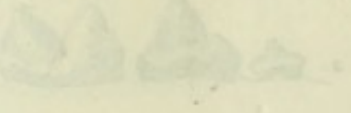
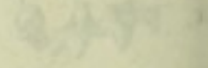
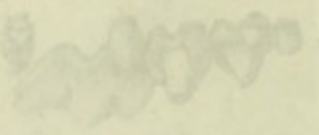


Class. 17. 17. 17.

Hygiene. 17.

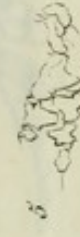
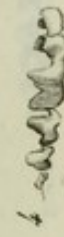
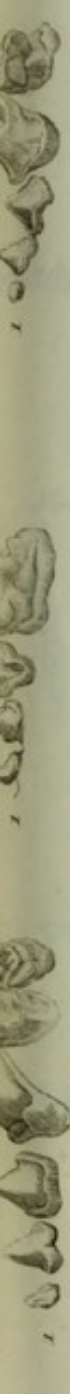
III.

II.



Deutsches Institut für wissenschaftliche Kunstgeschichte. Pl. 1.

Mongellus.



V

Chinus.



VI

Mangouster.



VII

Ralons.



VIII

Ours.



Dents molaires de mammifères carnivores Pl. II.

Levard d'el.

Canis sculp.

I
Mygales.



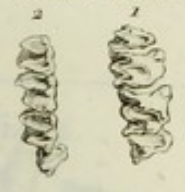
II
Taupes.



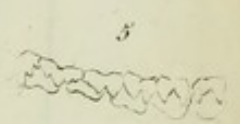
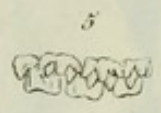
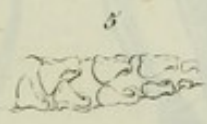
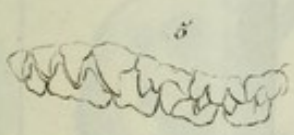
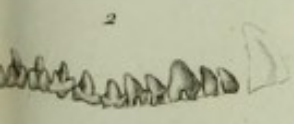
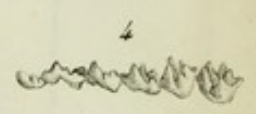
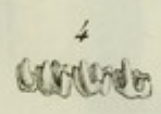
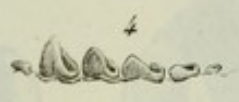
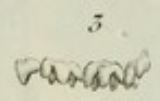
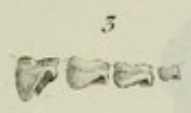
III
Roussettes.



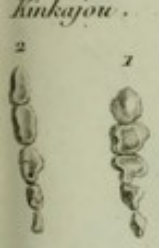
IV
Chauvesouris.



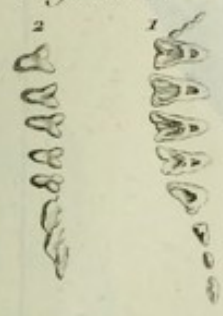
V
Galeopithecus.



VI
Kinkajou.



VII
Chrysoclores.



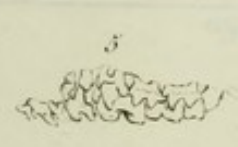
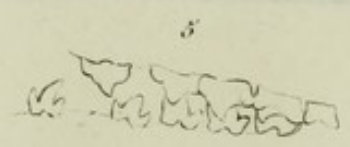
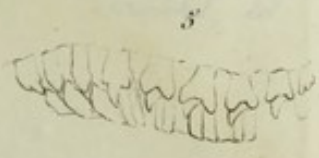
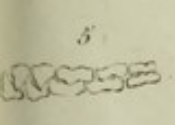
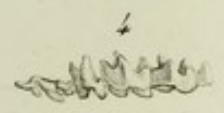
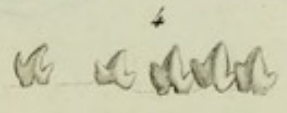
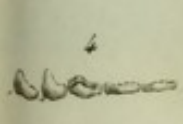
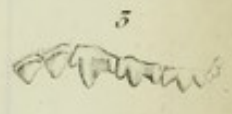
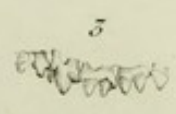
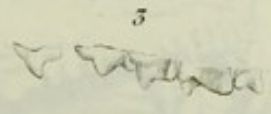
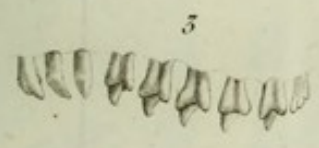
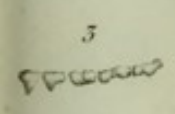
VIII
Tenrecs.

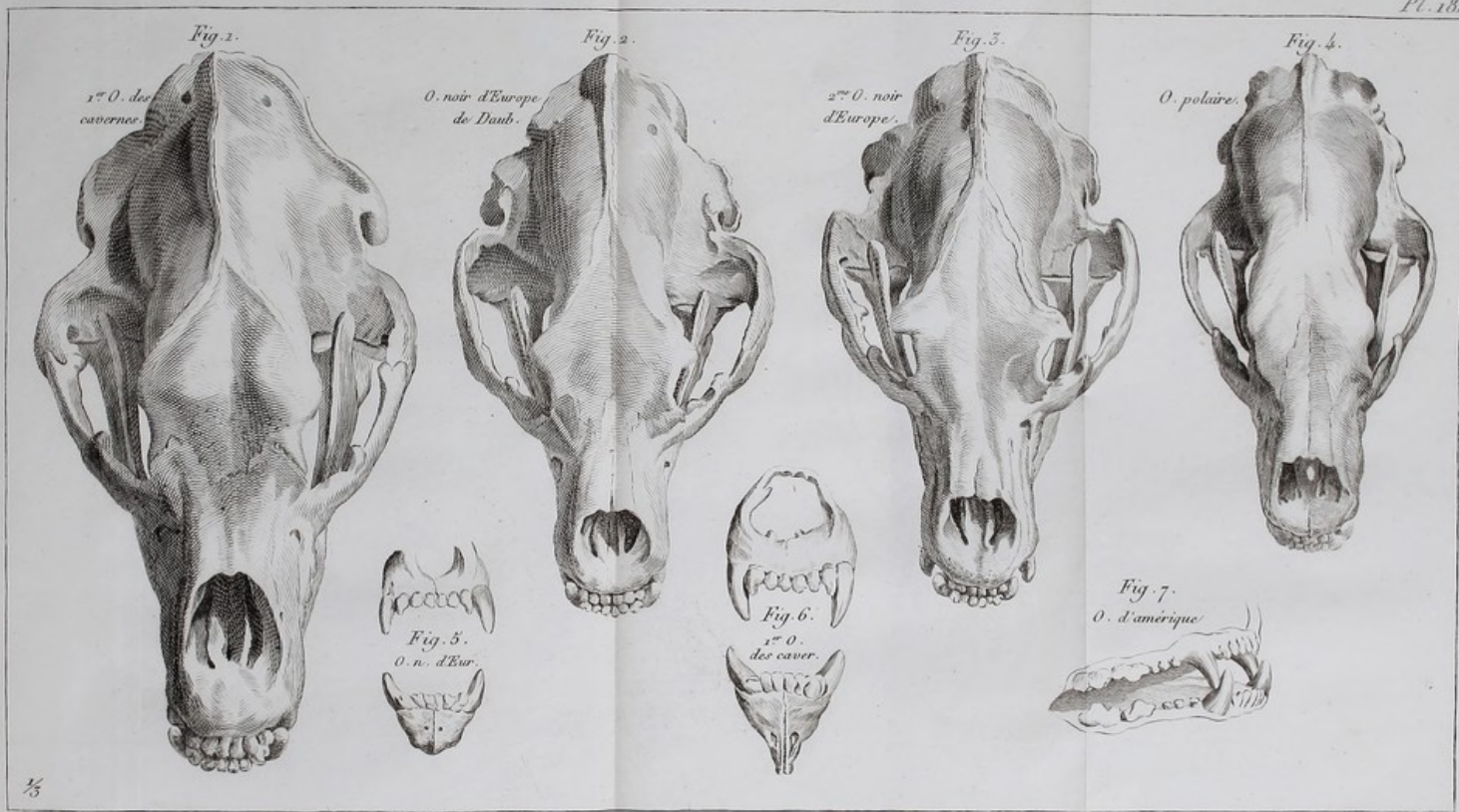


IX
Hérissons.

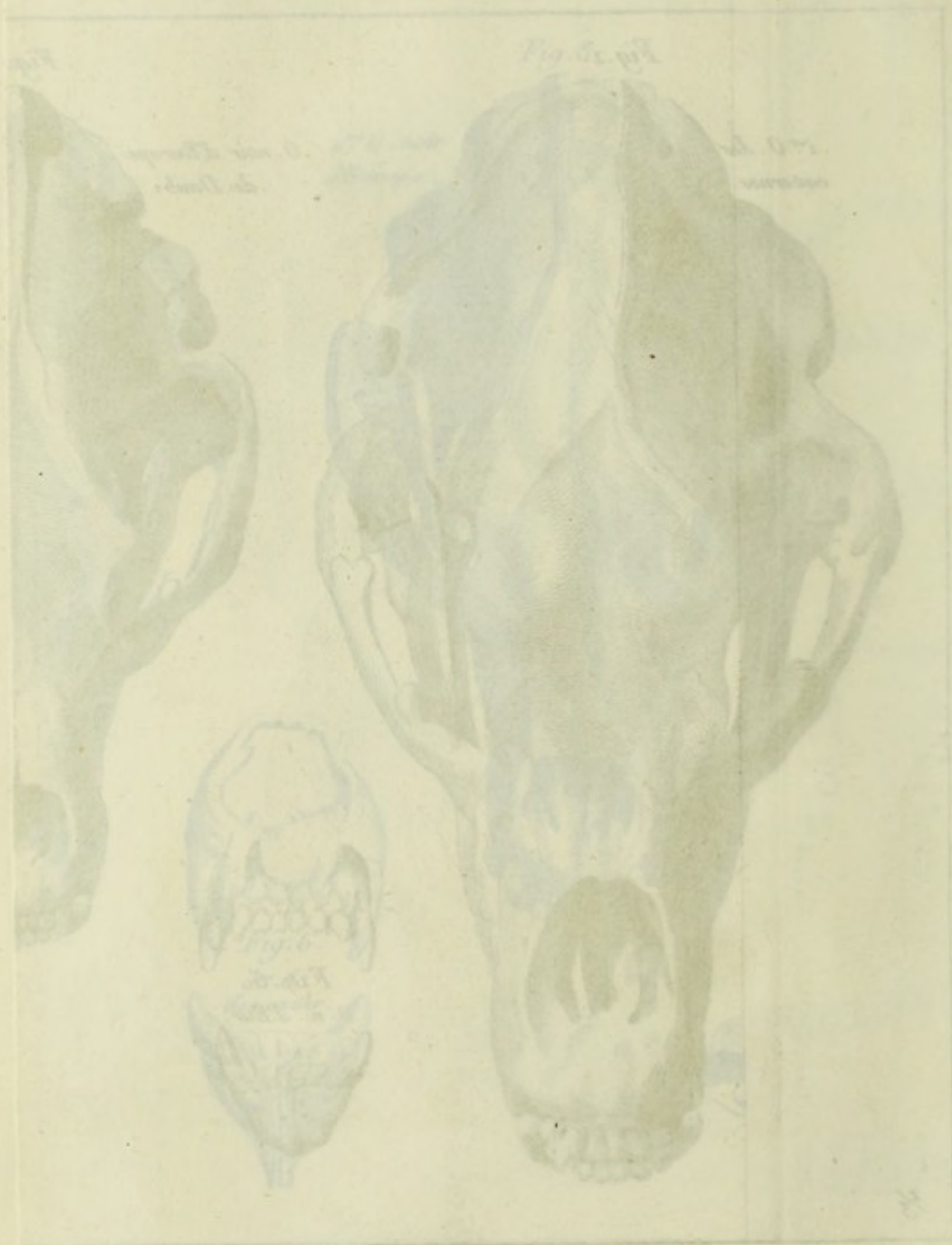


X
Musaraignes.



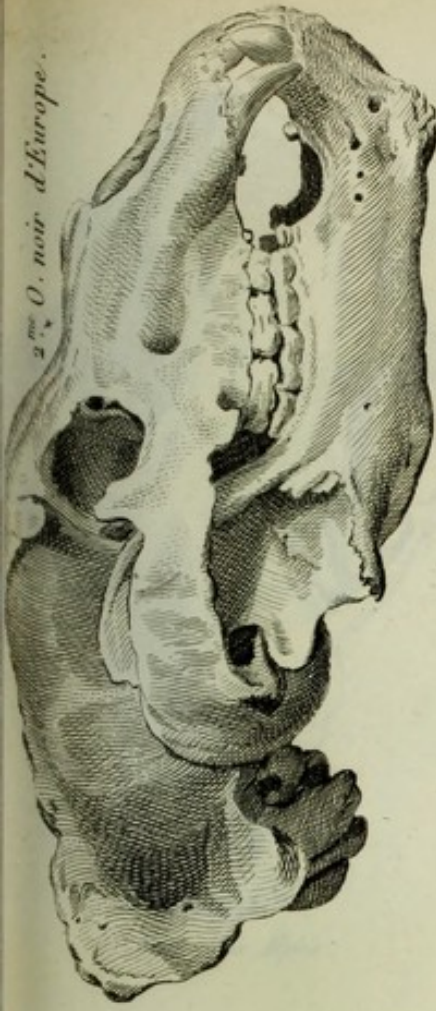
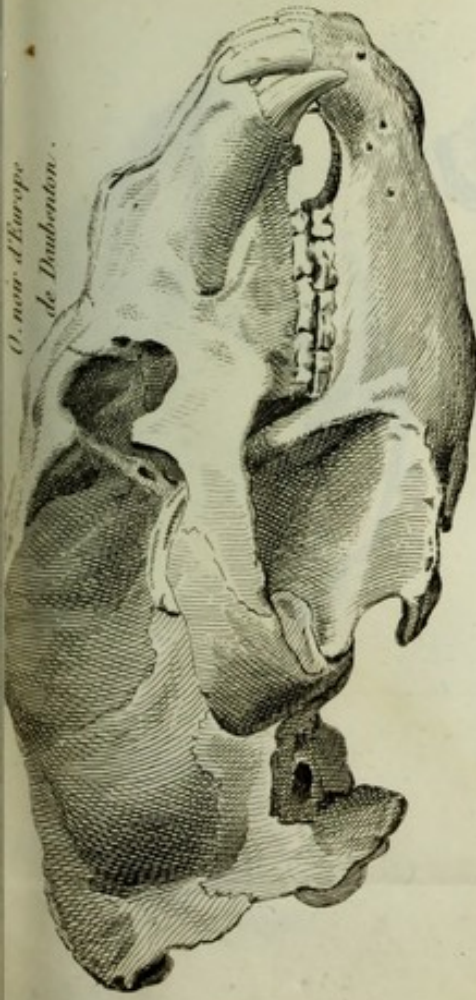


TÊTES D'OURS.



Têtes d'Ours

*O. noir d'Europe
de Dubouton.*



*Fig. 5.
1^{re} O. des cavernes.*



*Fig. 6.
O. noir d'Europe.*



*Fig. 4.
O. polaire*

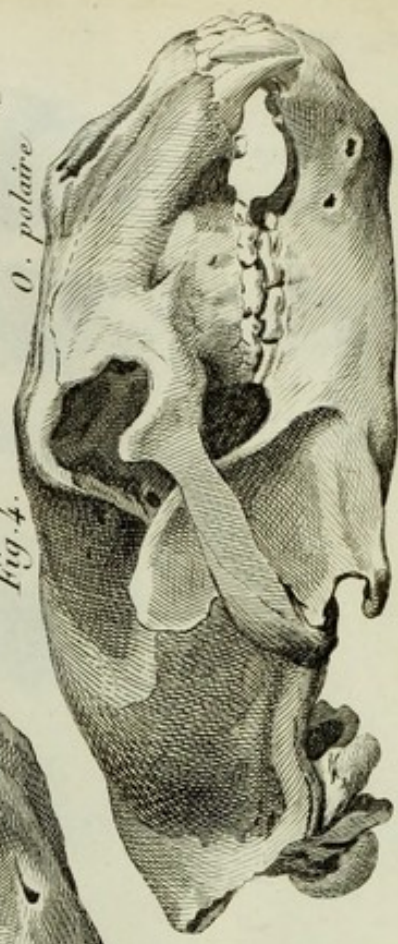


Fig. 3.

1^{re} O. des cavernes.

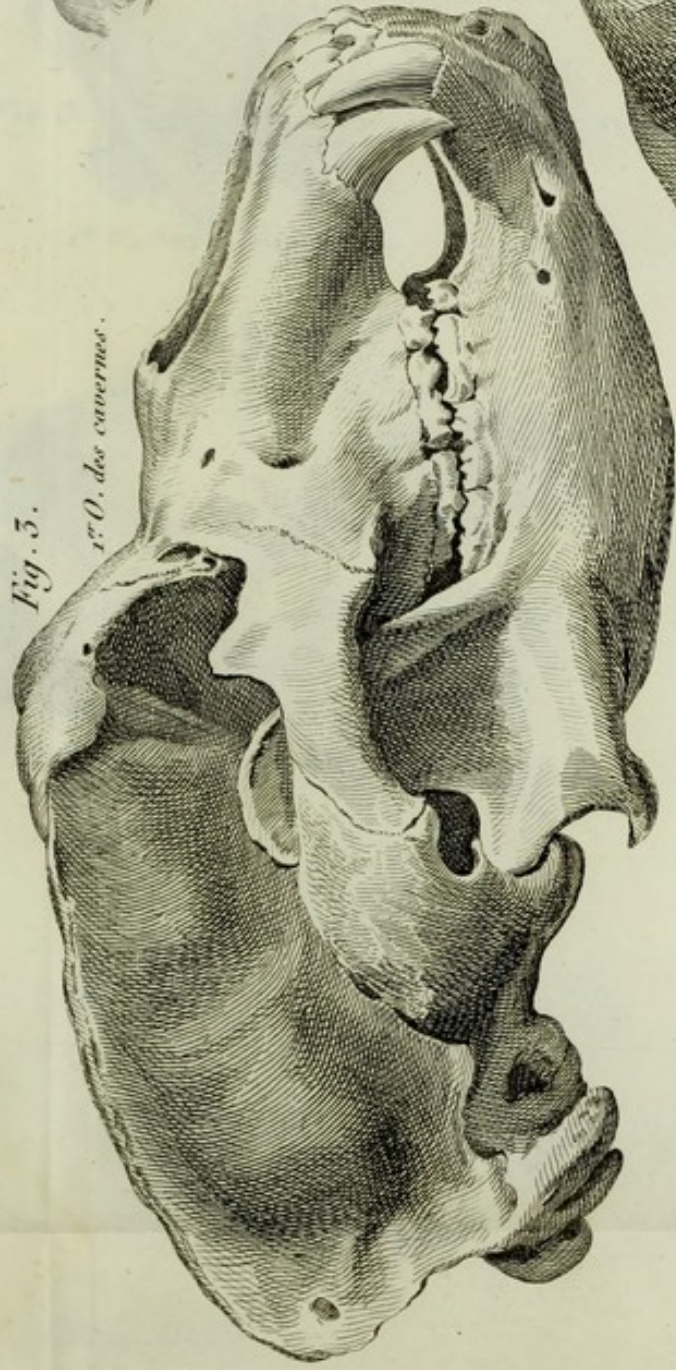


Fig. 7. 1^{re} O. des cavernes.



Fig. 8. O. n. d'Europe



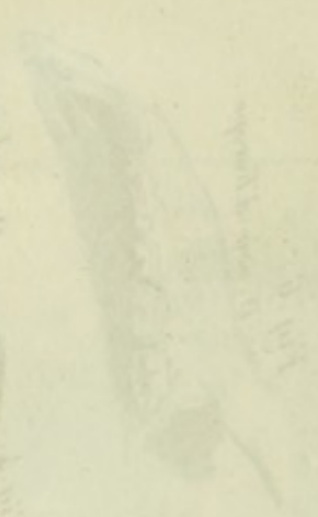


PLATE I



Fig. 1.

O. brun des Alpes.



Fig. 2.

O. brun des Alpes.

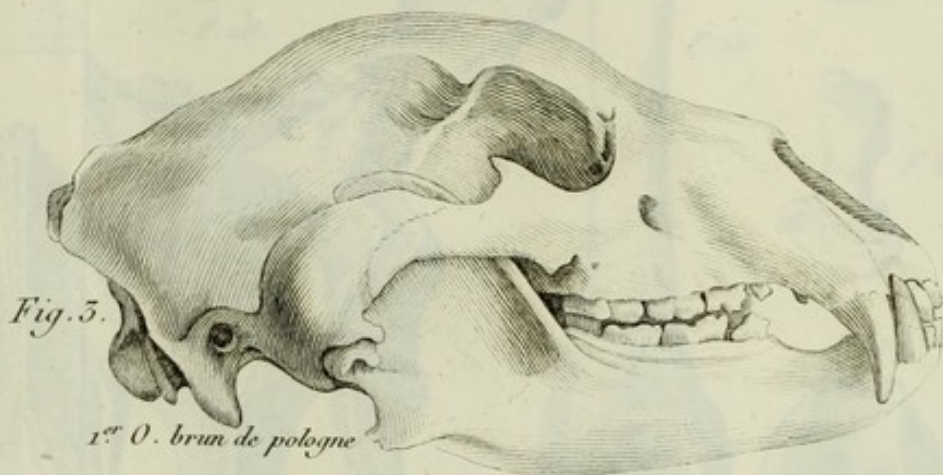


Fig. 3.

1^{re} O. brun de pologne



Fig. 5.

O. noir d'amérique

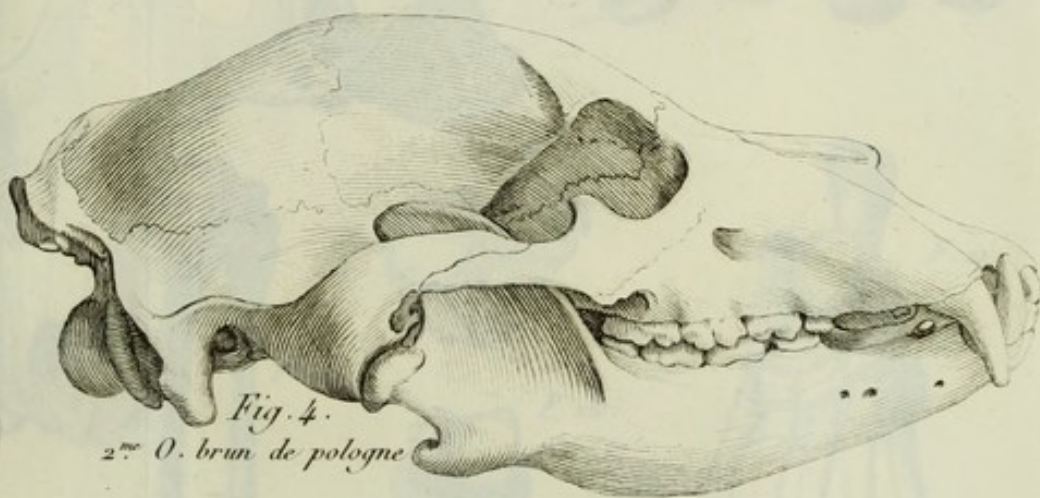


Fig. 4.

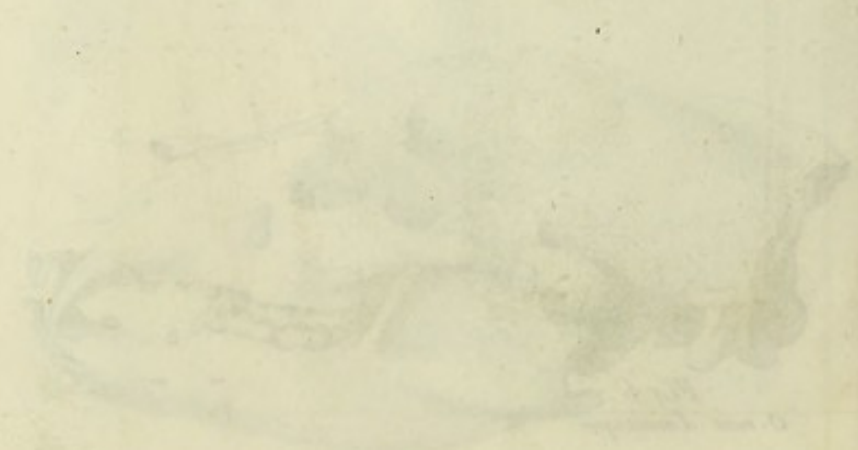
2^{me} O. brun de pologne



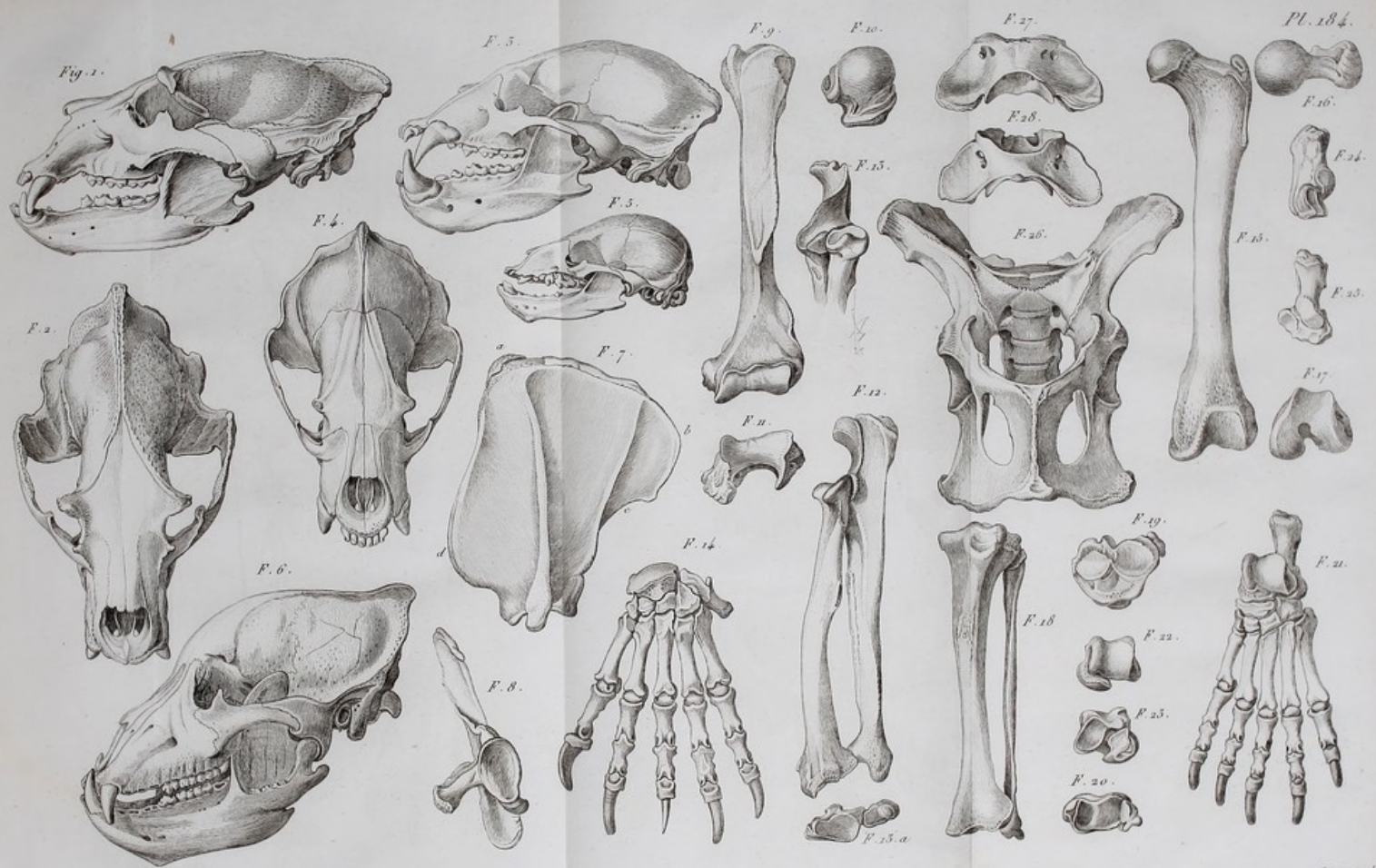
Fig. 6.

O. noir d'amérique

TÊTES D'OURS.



Study of the head



OSTÉOLOGIE DE L'OURS.

Gravé sur bois.



OSTEOLOGIE DE L'ÉLÉPHANT.

PLANCHE



TÊTES D'OURS.

1807
1808
1809

1810

1811

1812

1813

1814

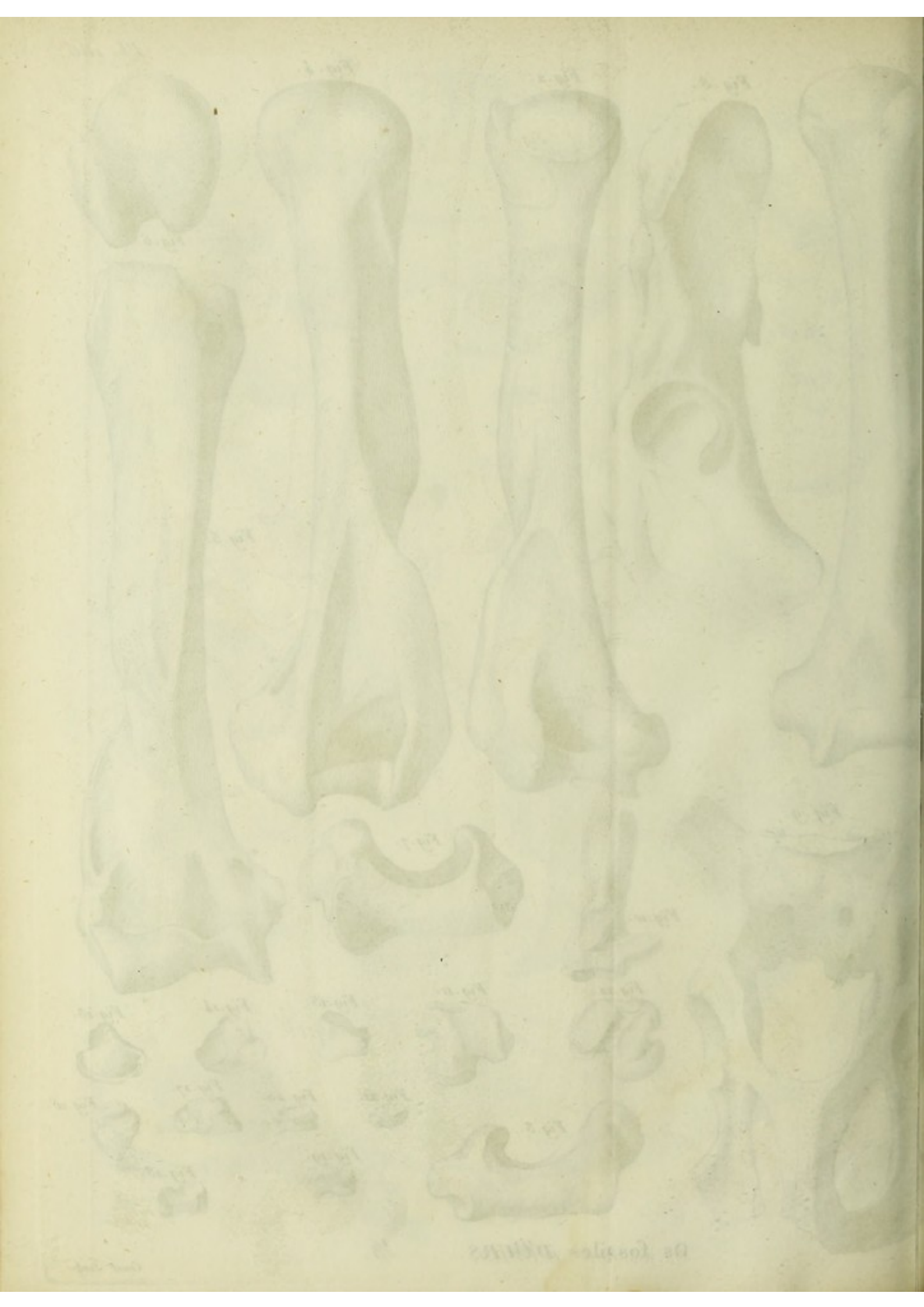
1815

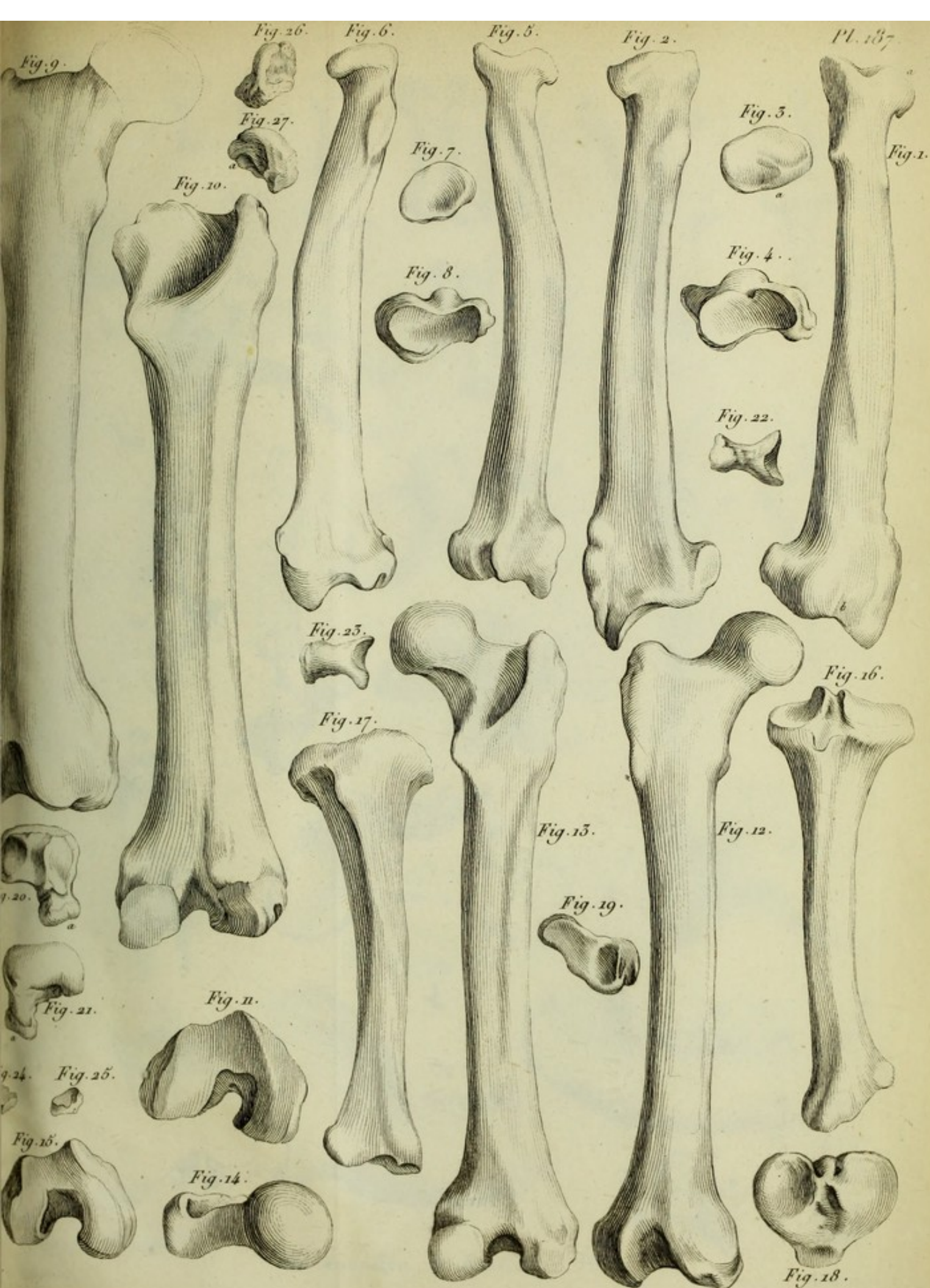
1816

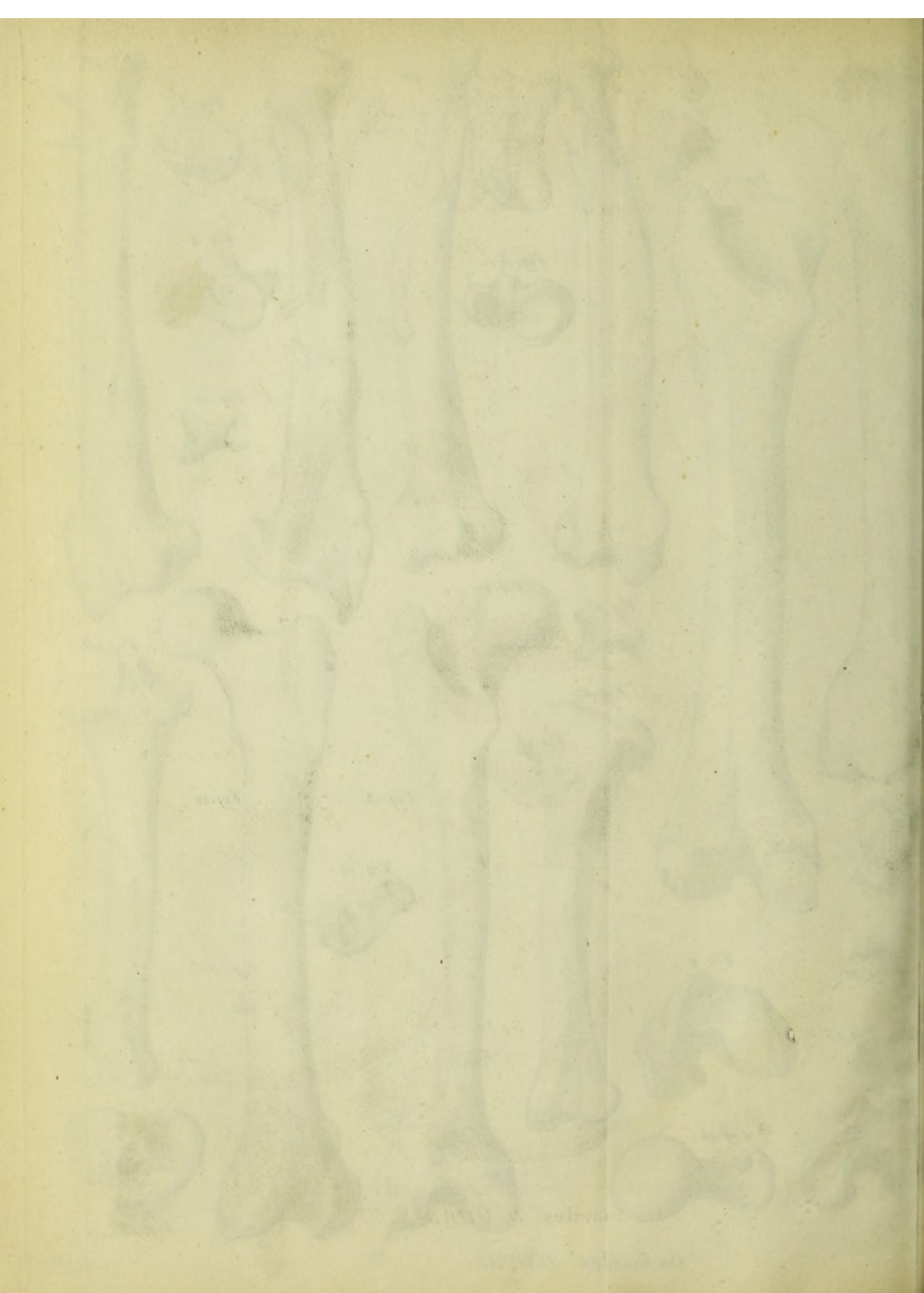


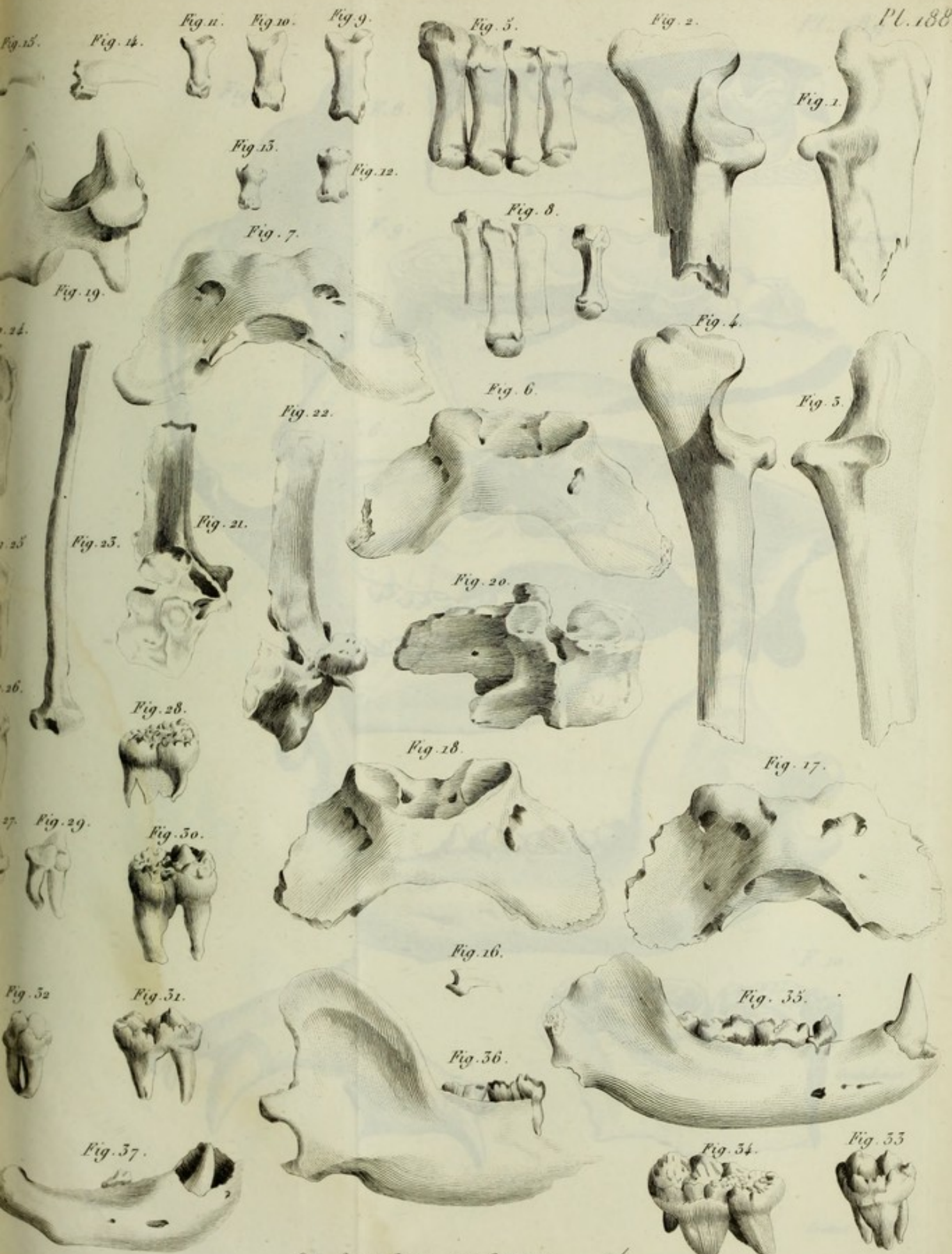
Os fossiles D'OURS.

$\frac{1}{3}$.

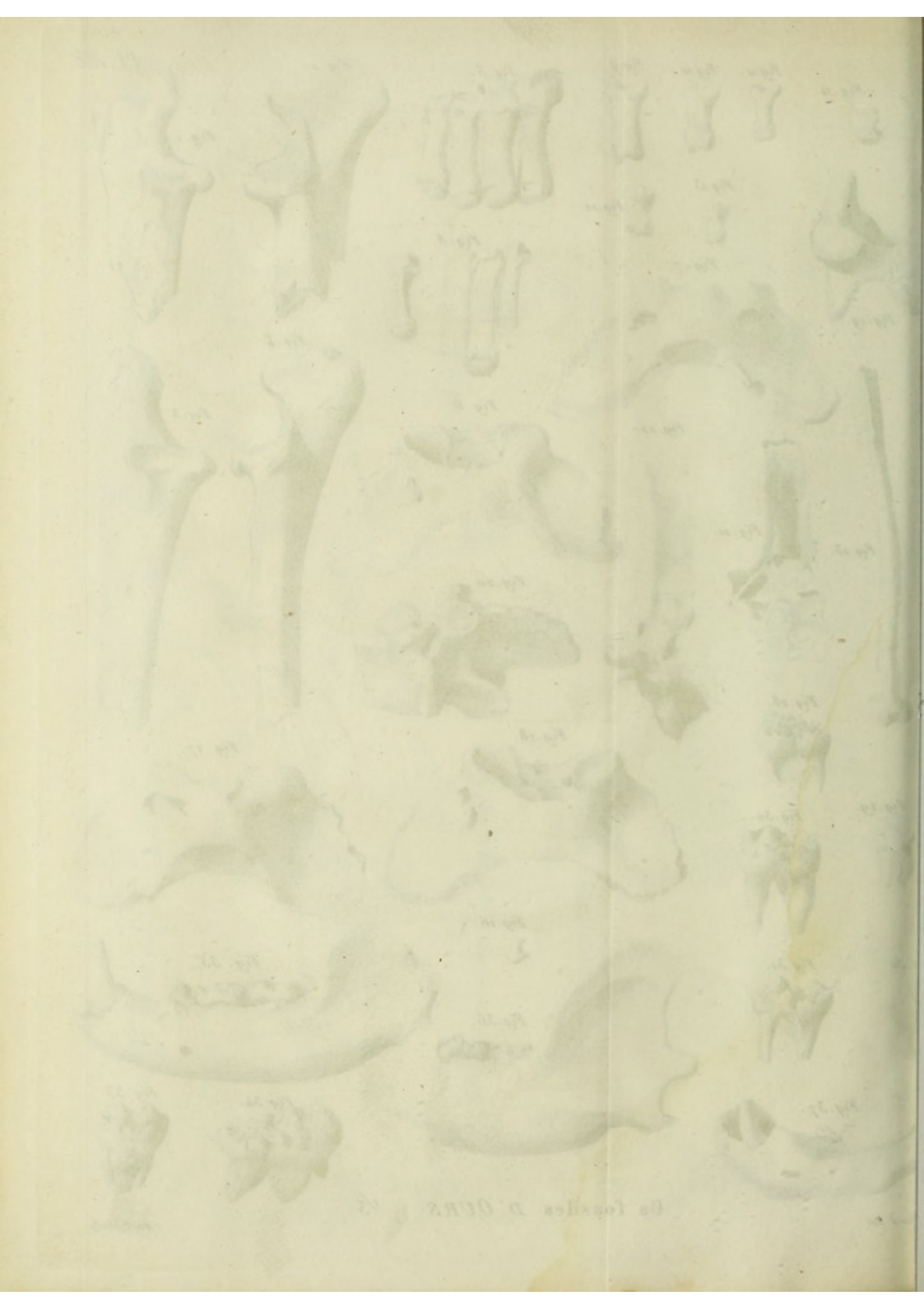








Os fossiles D'OURS $\frac{1}{3}$





TÊTES D'OURS FOSSILES. 1/3

Goussier del.



Fig. 1.

F. 3.

F. 15.

F. 18.

F. 23.

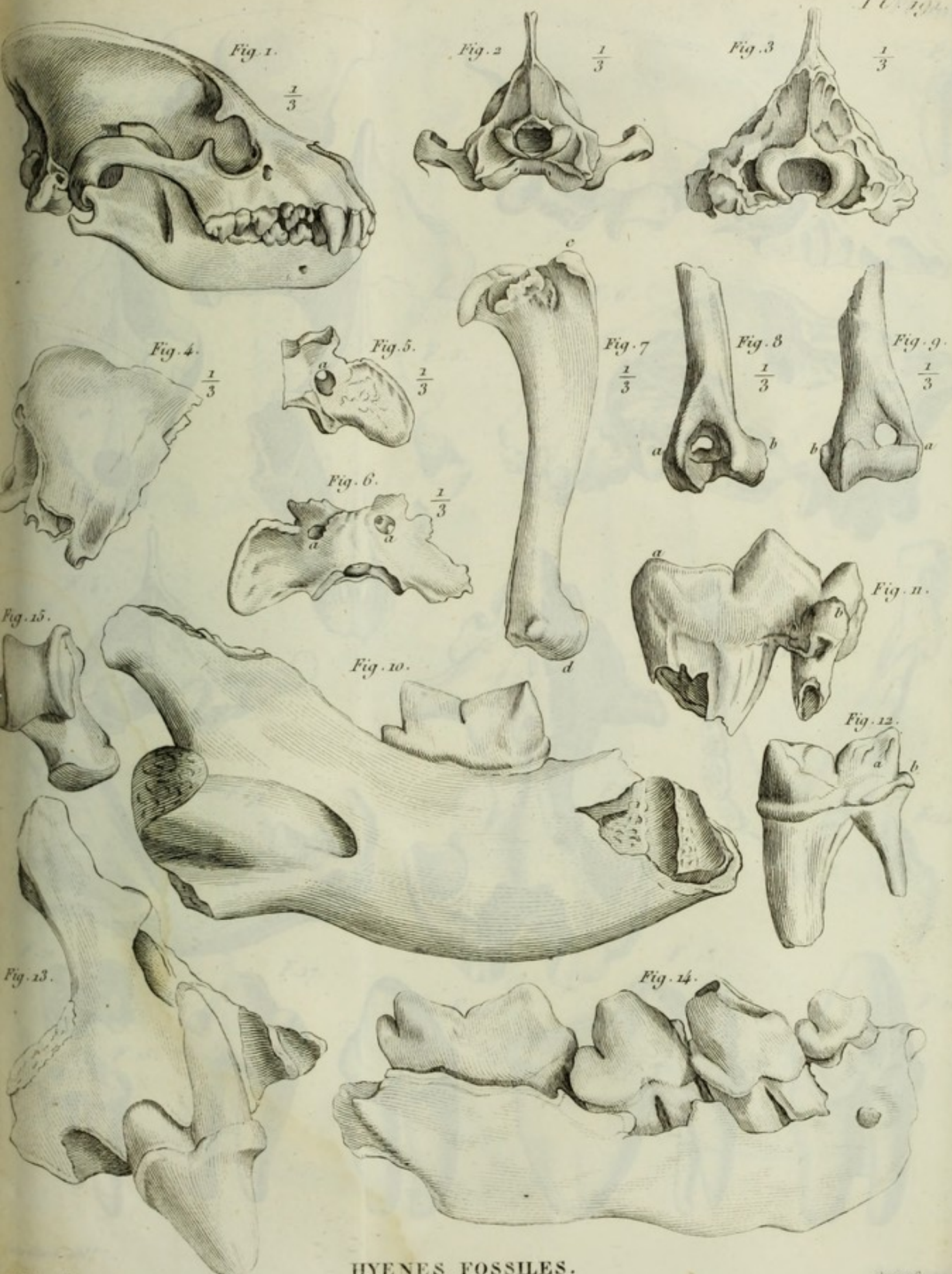


OSTÉOLOGIE DE LA HYÈNE TACHETÉE.

Cuvier sculp.



PLATE I. OF THE BONES OF THE HORSE



HYENES FOSSILES.

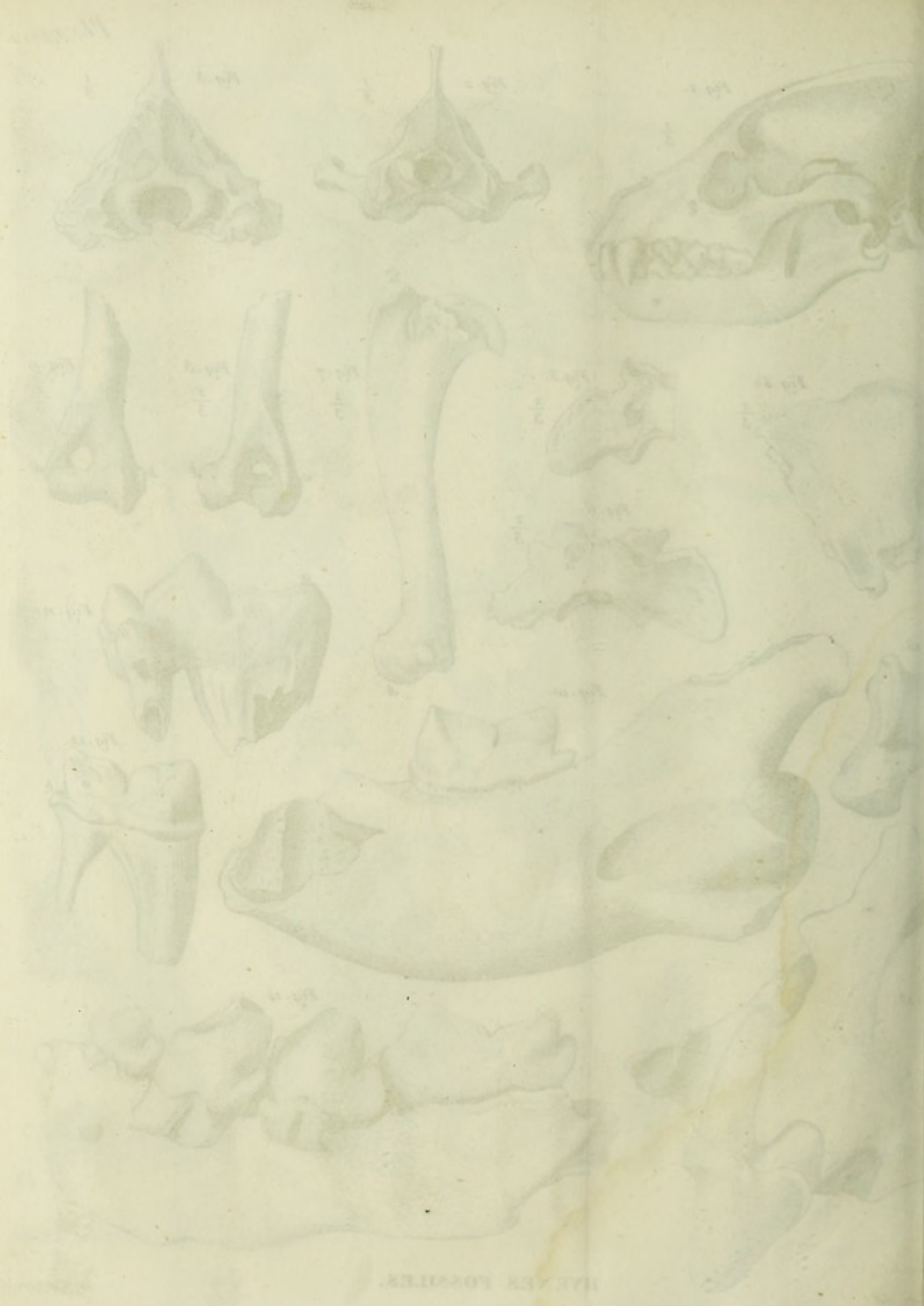


PLATE 10. BONES.



1891



1891



Fig. 1.

F. 2.



F. 5.



F. 6.



F. 7.



F. 8.



F. 10.



F. 9.



F. 11.



F. 3.



F. 4.



F. 12.



F. 13.



F. 14.



F. 15.



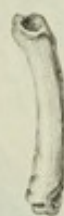
F. 16.



F. 17.



F. 18.



F. 19.



F. 21.



F. 20.



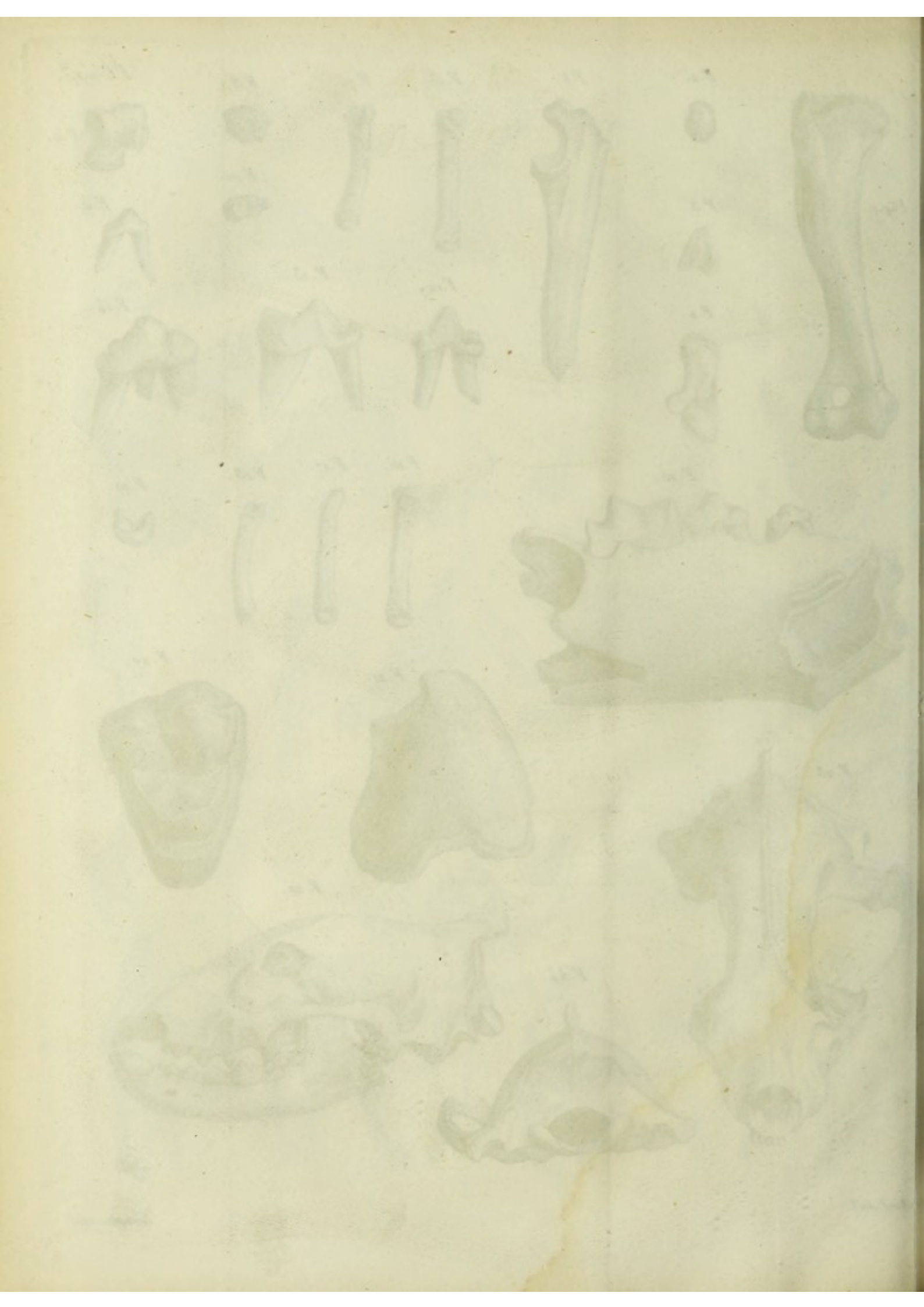
F. 22.

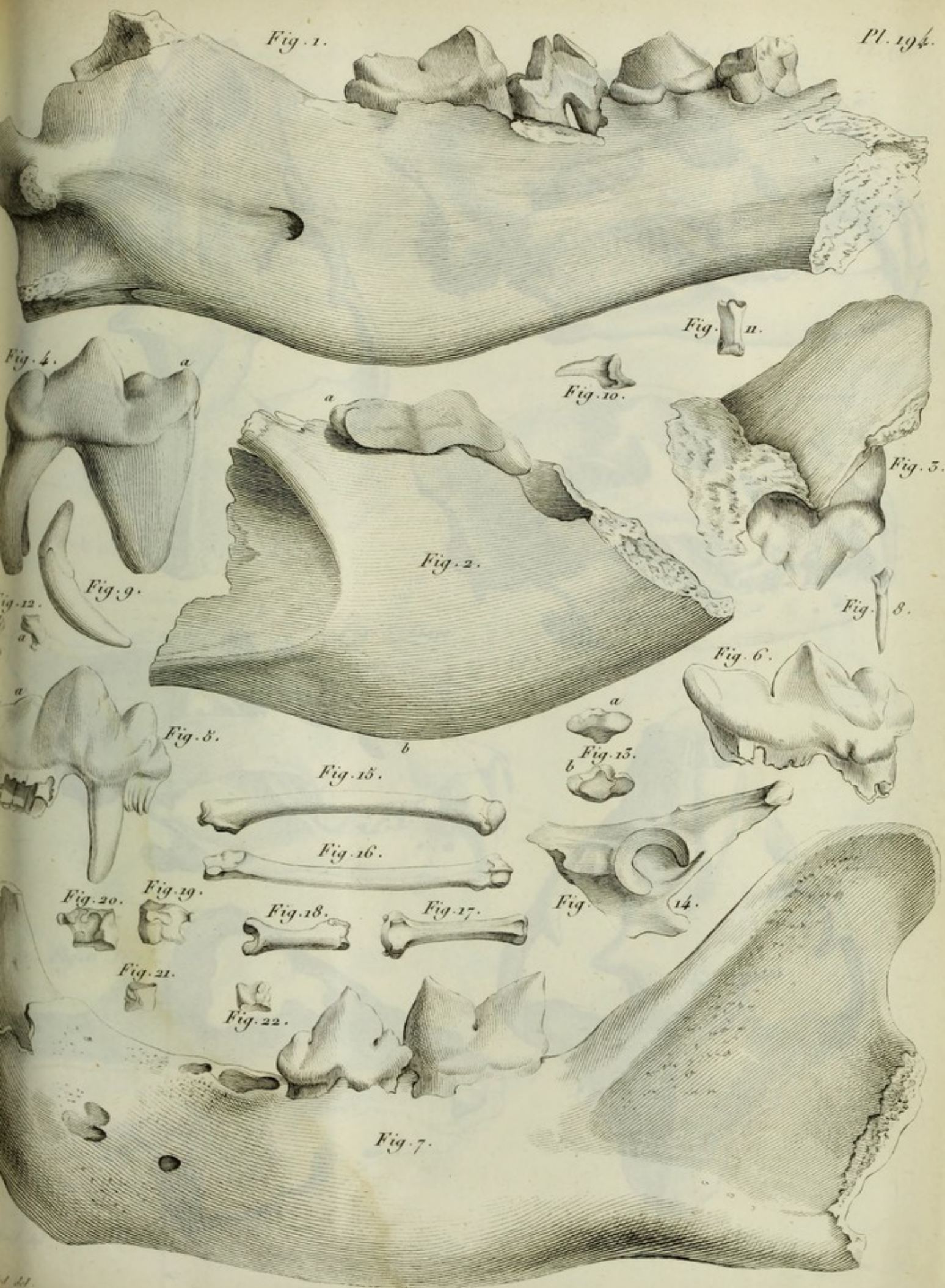


F. 23.

F. 24.







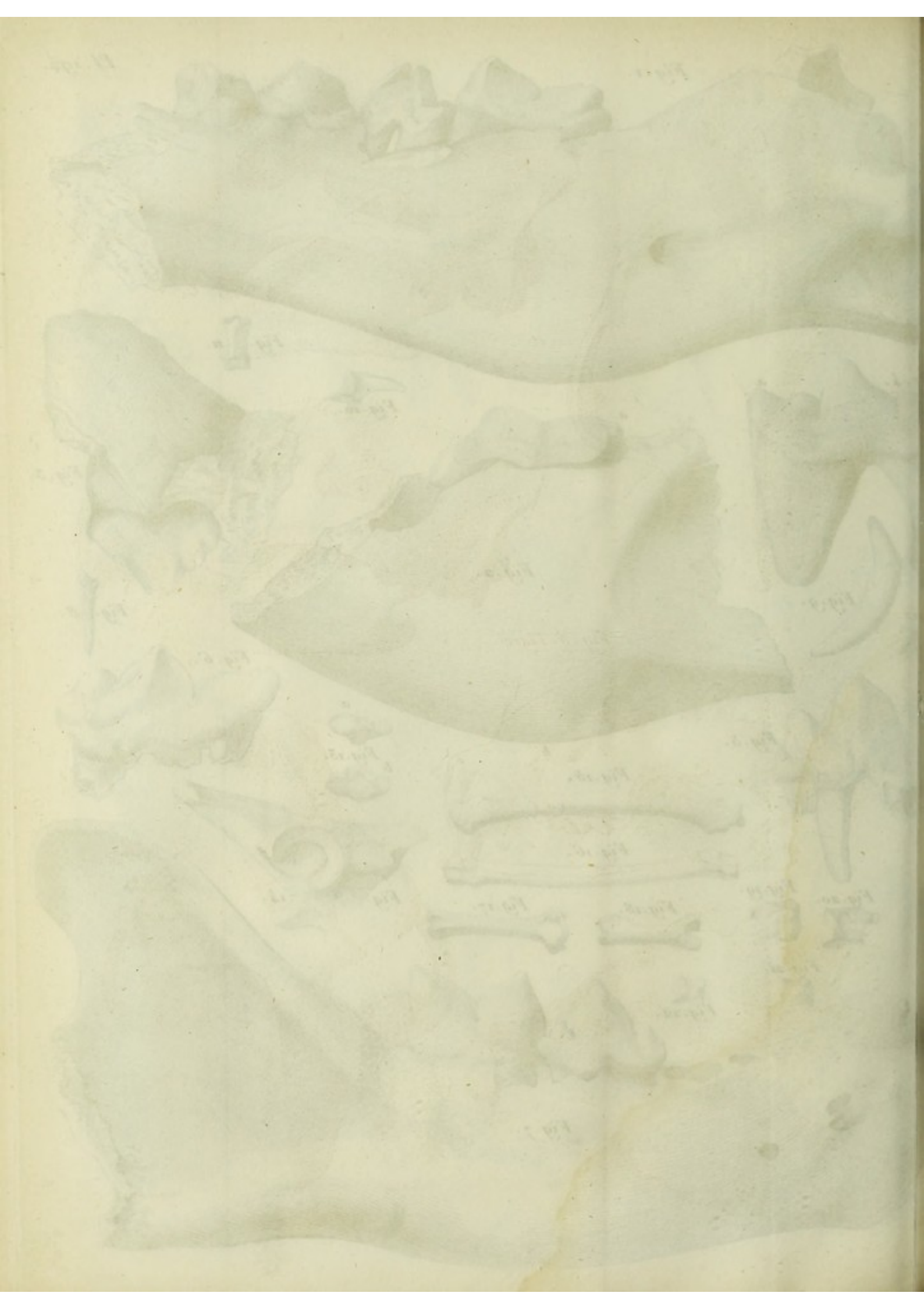


Fig. 1. Lion



Fig. 2. Lion.



Fig. 3. Lionne.

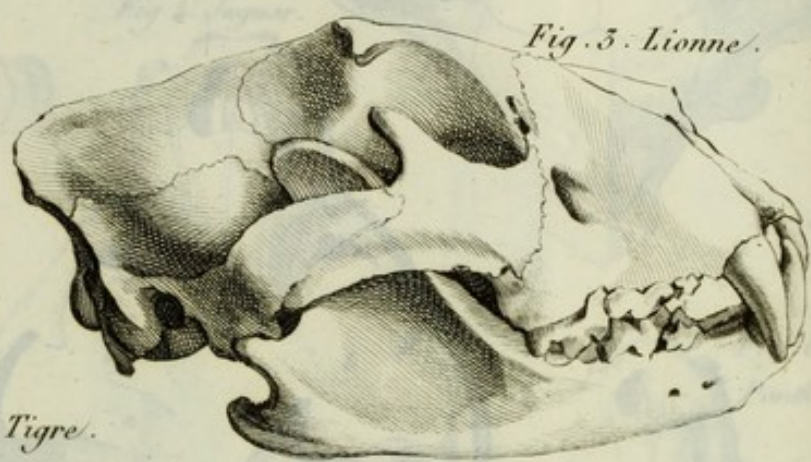


Fig. 5. Tigre.

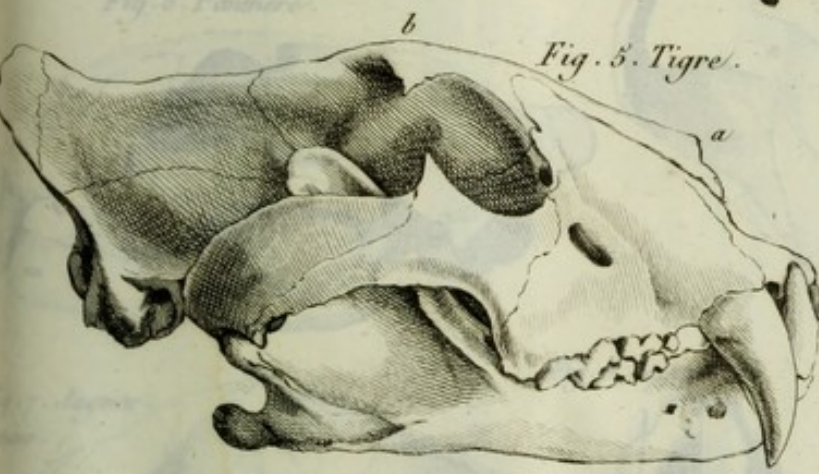


Fig. 4. Lionne.

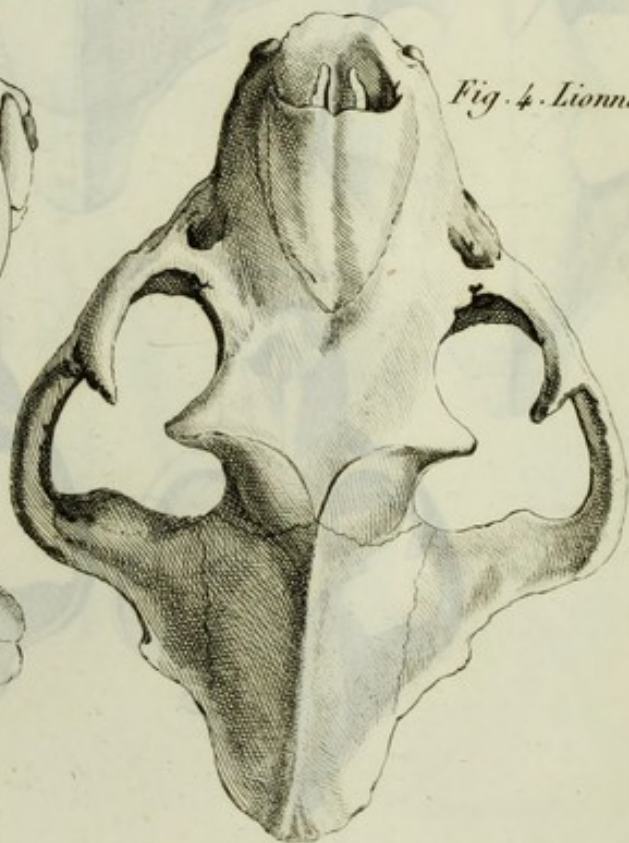
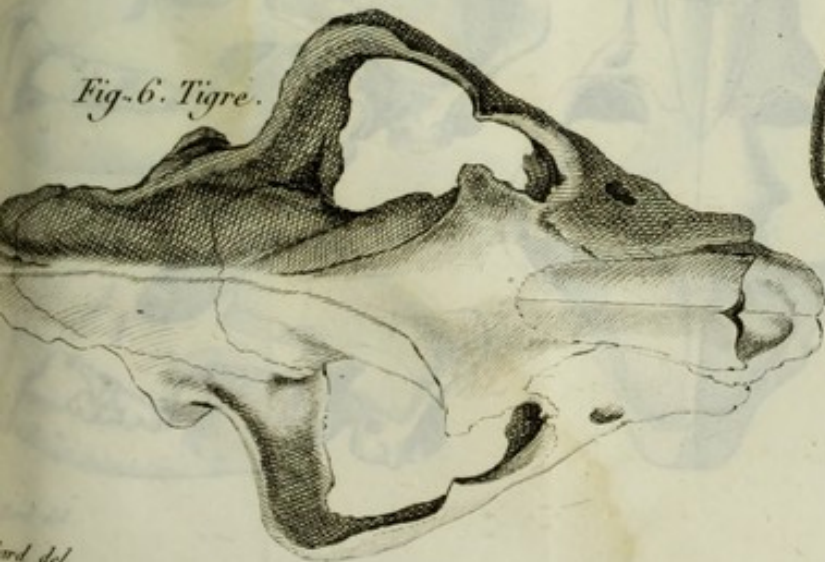


Fig. 6. Tigre.



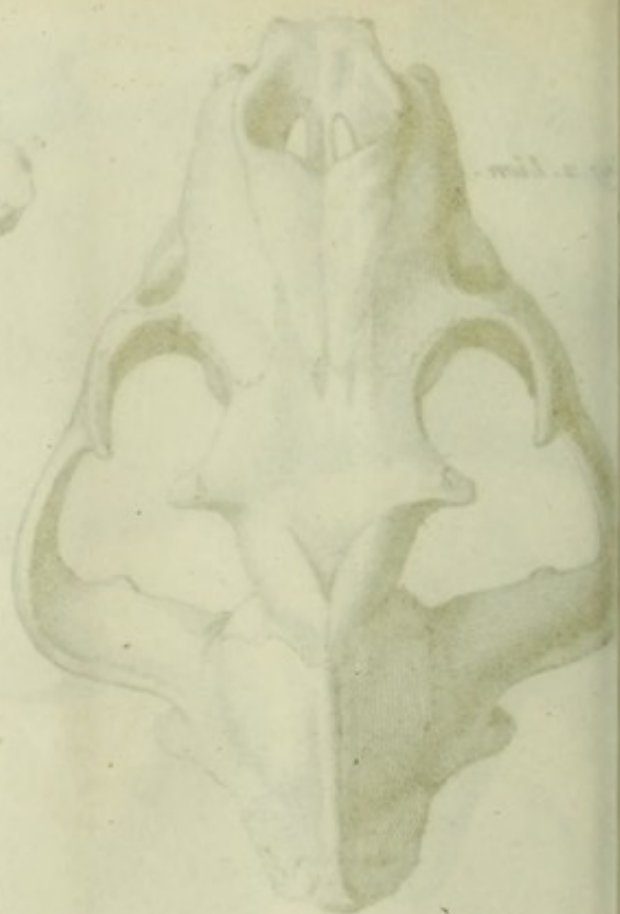


Fig. 1. Tigre femelle.



Fig. 2. Tigre femelle.

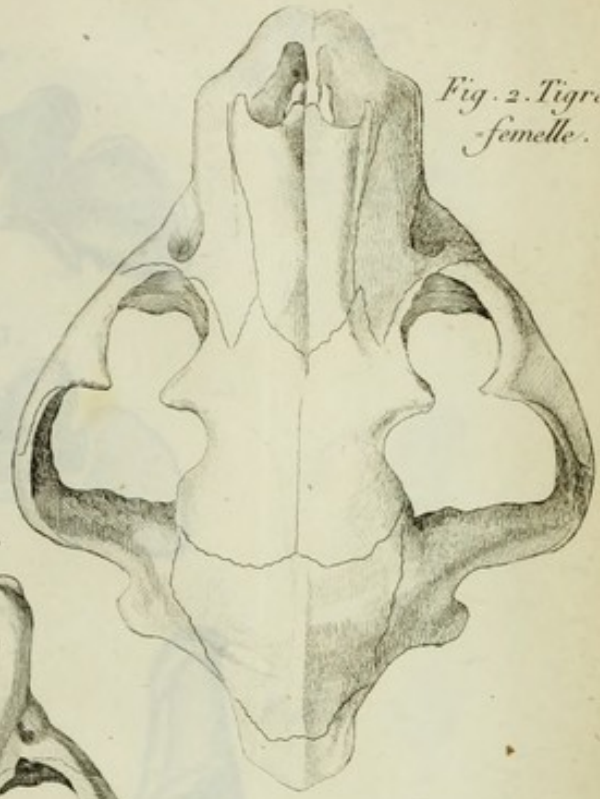


Fig. 4. Jaguar.

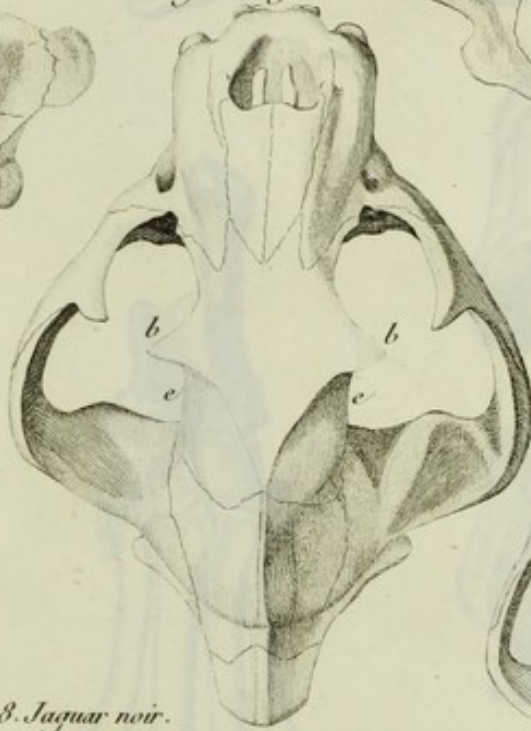


Fig. 5. Panthère.



Fig. 6. Panthère.

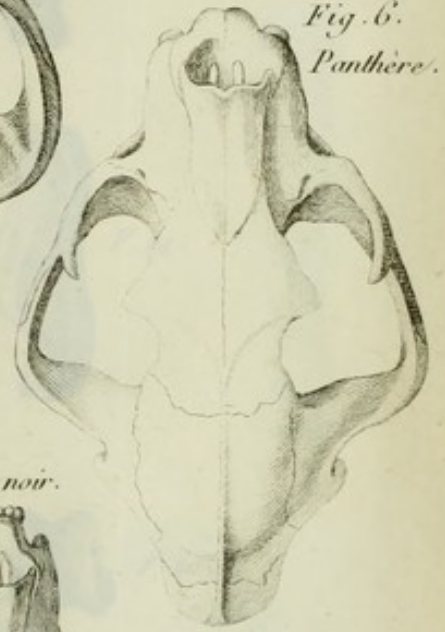


Fig. 8. Jaguar noir.



Fig. 10. Tigre noir.

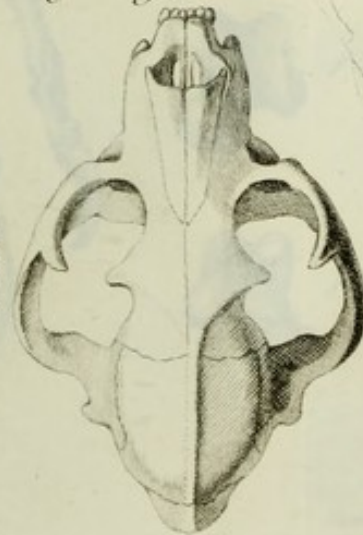


Fig. 9. Tigre noir.



Fig. 1. *Tricus* *lanceolatus*



Fig. 2. *Tricus* *lanceolatus*



Fig. 3. *Tricus* *lanceolatus*



Fig. 4. *Tricus* *lanceolatus*



Fig. 5. *Tricus* *lanceolatus*



Fig. 6. *Tricus* *lanceolatus*



Fig. 7. *Tricus* *lanceolatus*



Fig. 8. *Tricus* *lanceolatus*



Fig. 1.



F. 3.



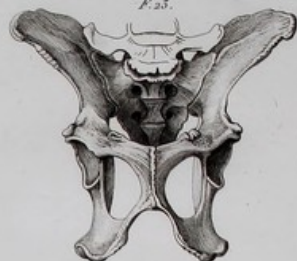
F. 15.



F. 18.



F. 25.



F. 4.



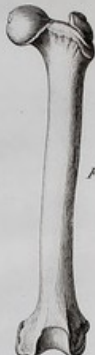
F. 9.



F. 12.



F. 16.



F. 19.



F. 24.



F. 2.



F. 10.



F. 15.



F. 17.



F. 20.



F. 23.



F. 8.



F. 5.



F. 14.



F. 21.



F. 22.



F. 26.



F. 27.



F. 28.



F. 29.



F. 6.



F. 11.

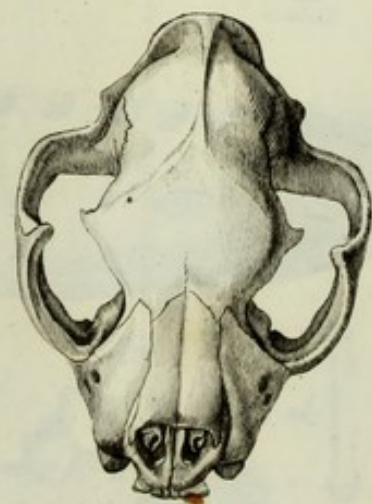
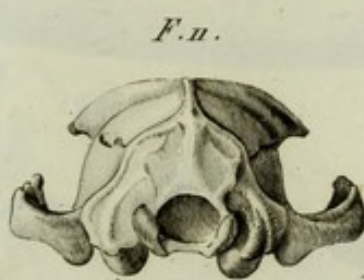
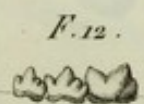
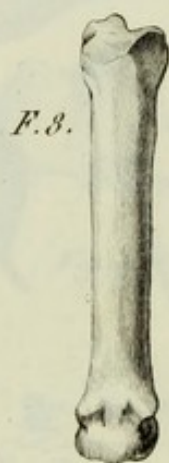
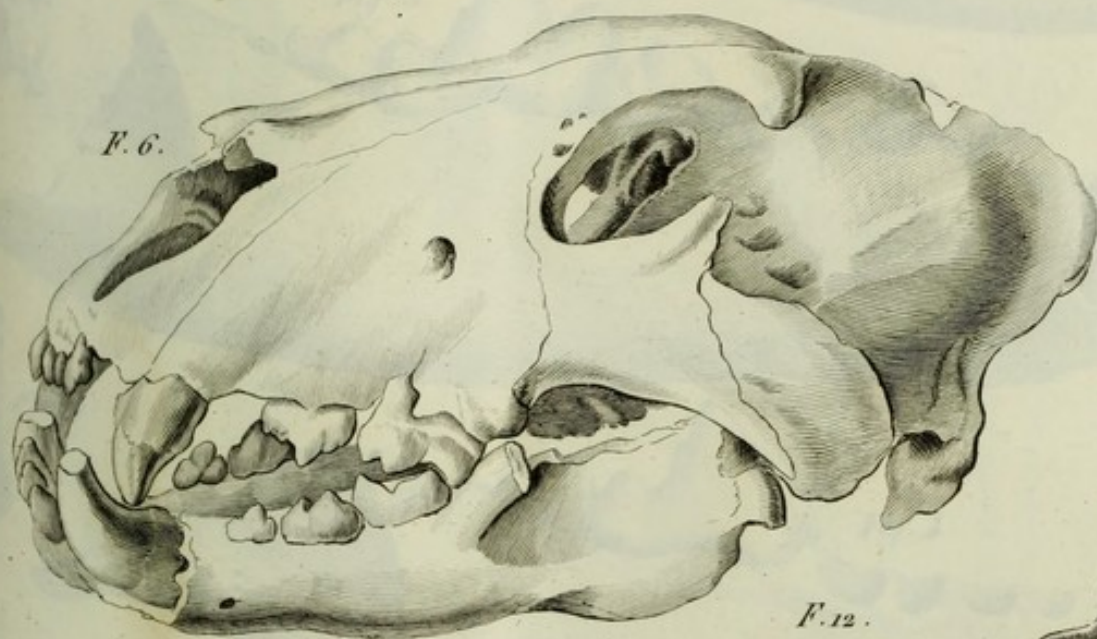
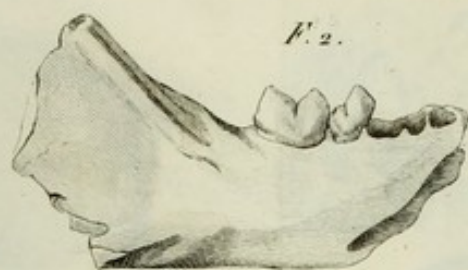
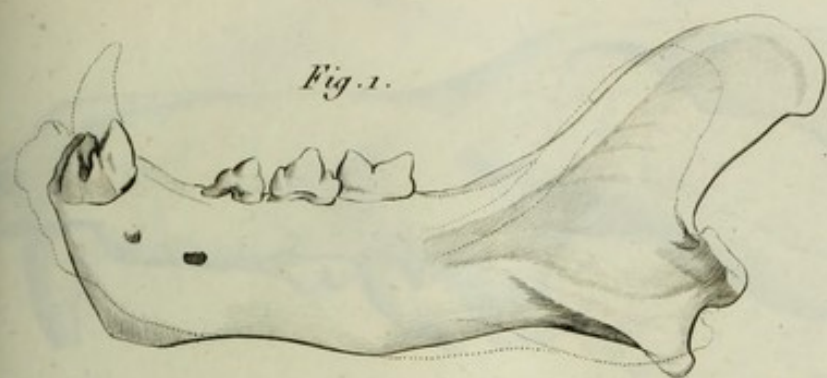


OSTÉOLOGIE DE LA HYÈNE TACHETÉE.

Tab. 10



O-PROLOGUE DE TIGER ROSS



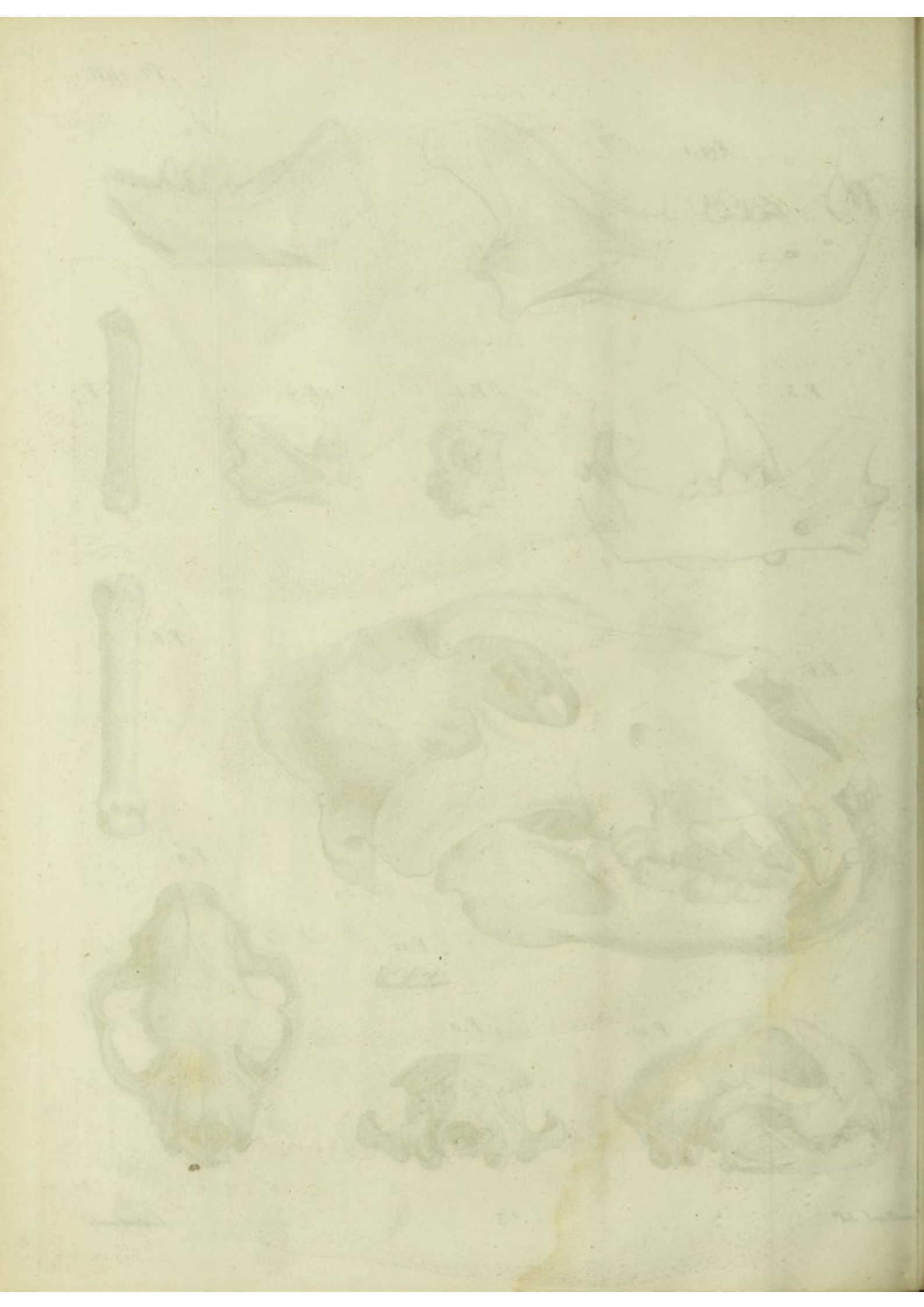


Fig. 1.

Fig. 6.



Fig. 8.

Fig. 2.



Fig. 3.

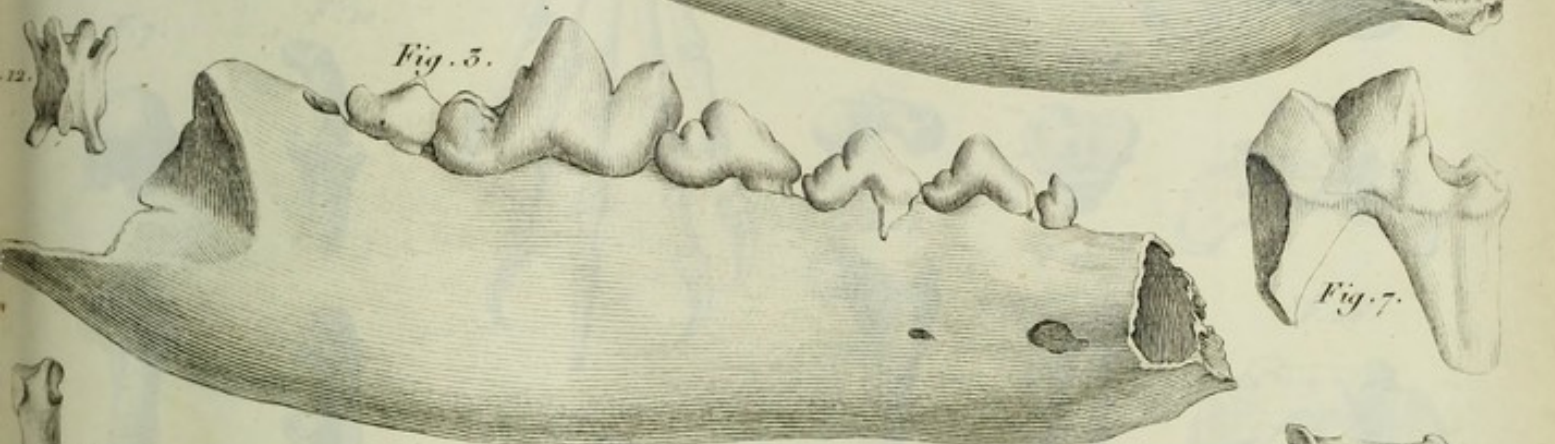


Fig. 9.

Fig. 4.



Fig. 5.

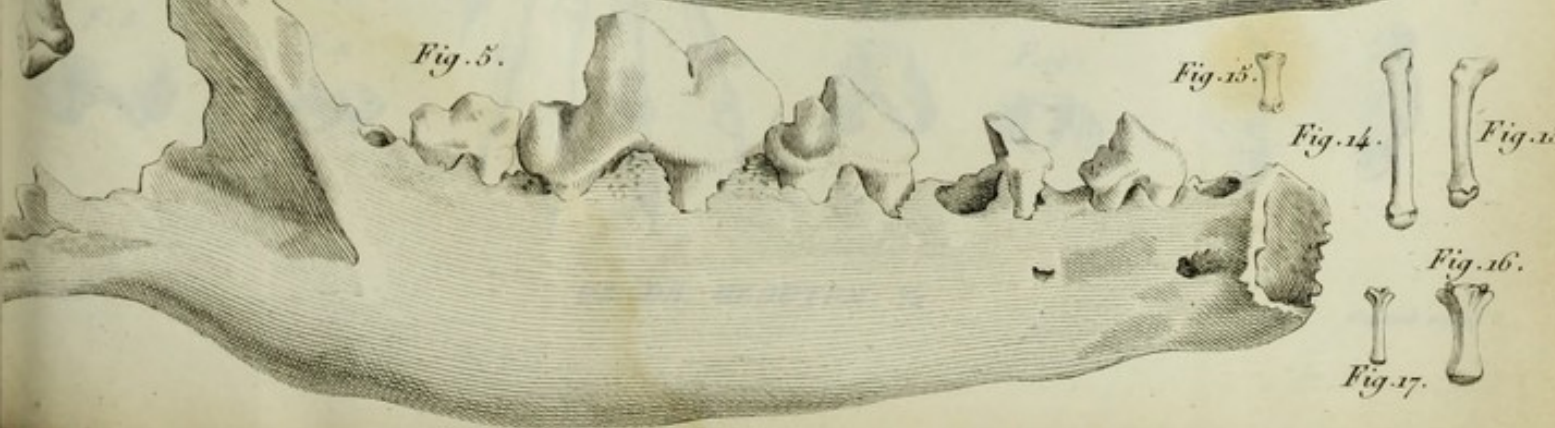
Fig. 13.

Fig. 14.

Fig. 15.

Fig. 16.

Fig. 17.



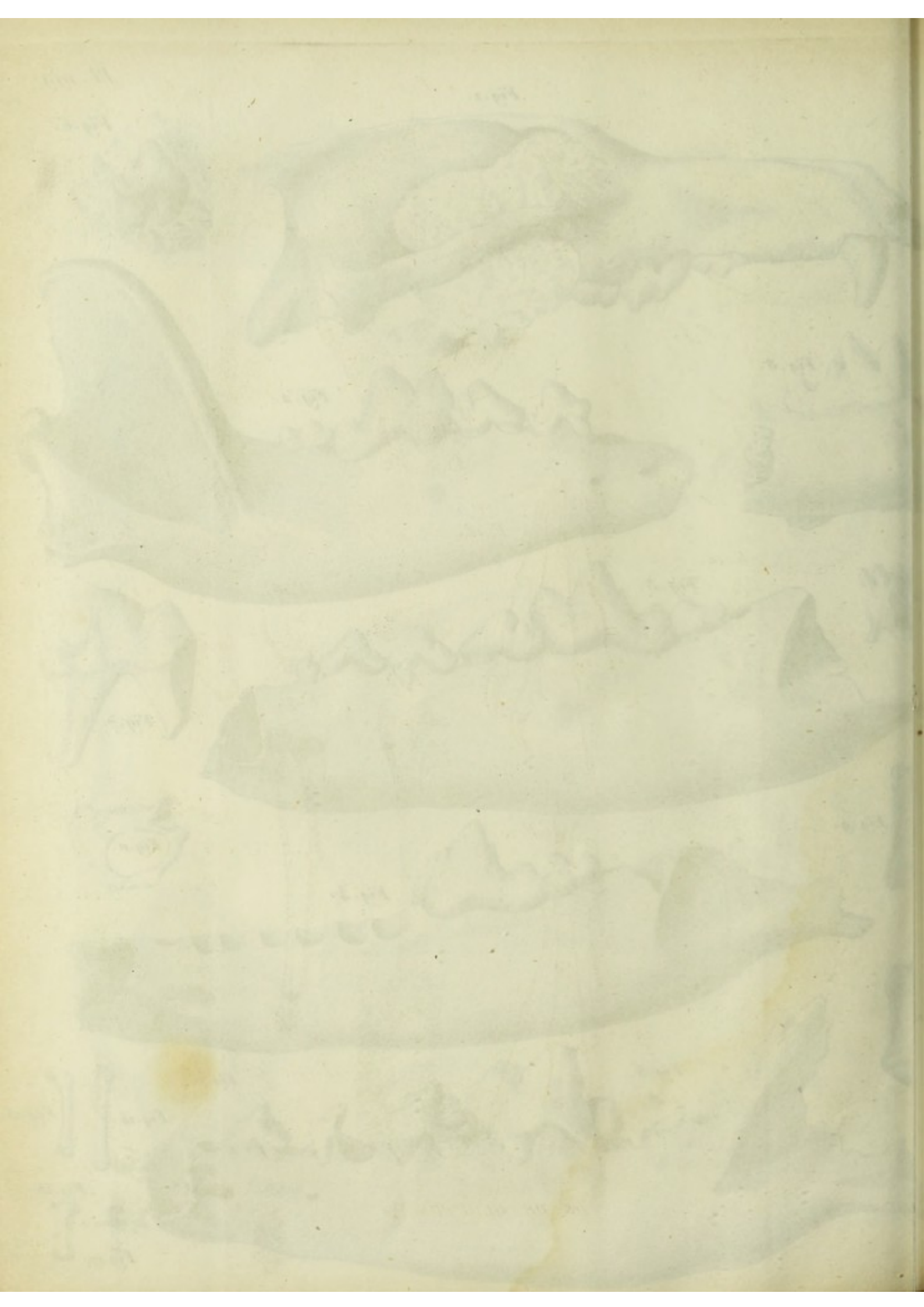
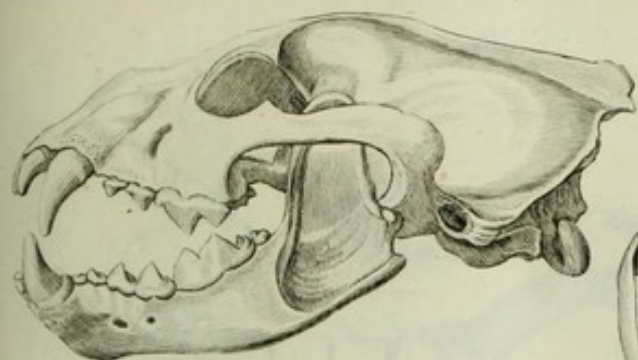


Fig. 1.



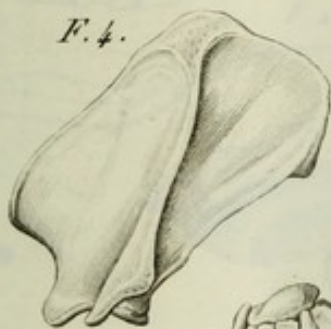
F. 2.



F. 3.



F. 4.



F. 5.



F. 13.



F. 12.



F. 7.



F. 10.



F. 15.



F. 18.



F. 25.



F. 14.



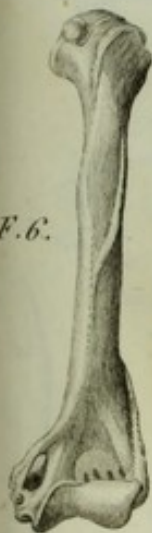
F. 17.



F. 26.



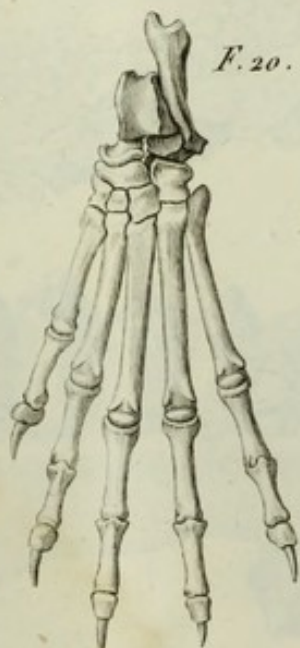
F. 6.



F. 9.



F. 20.



F. 21.



F. 22.



F. 8.



F. 11.



F. 16.



F. 19.



F. 23.

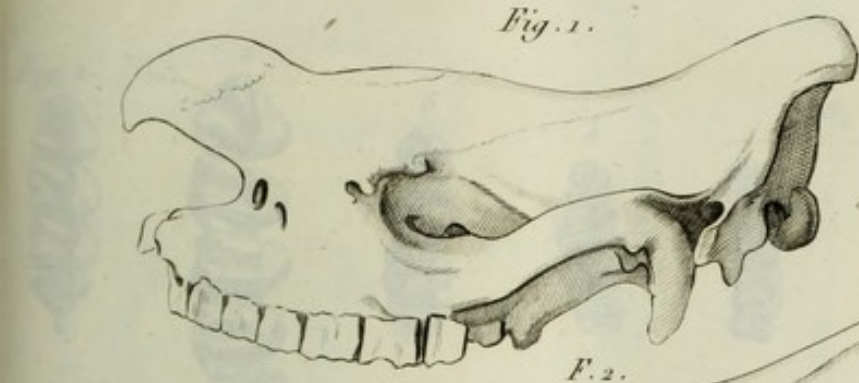


F. 24.





Fig. 1.



F. 2.



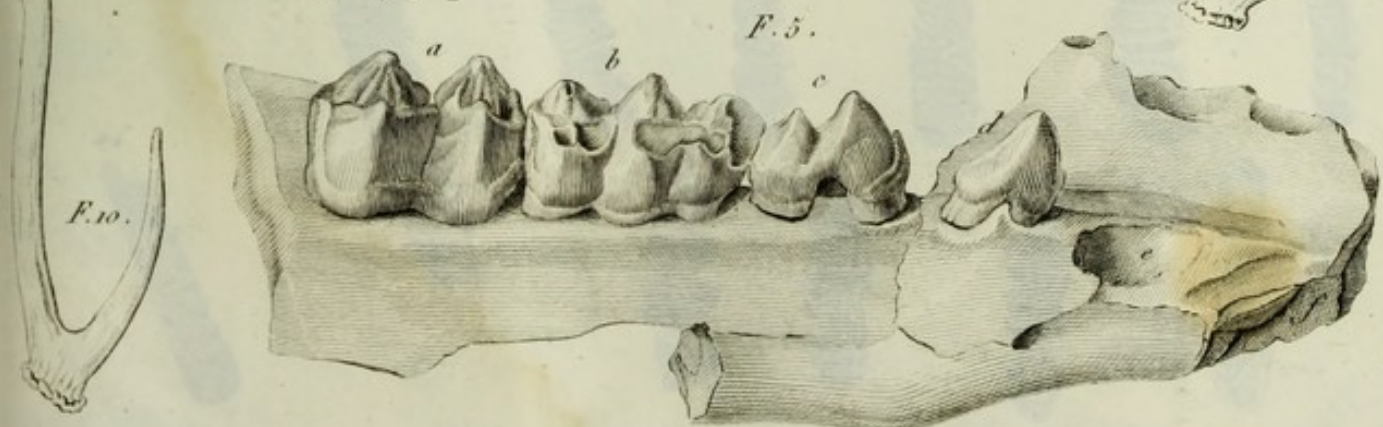
F. 3.



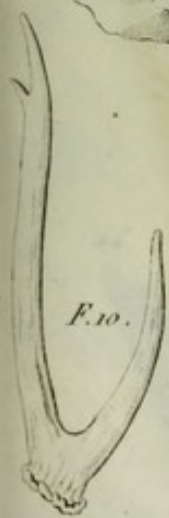
F. 4.



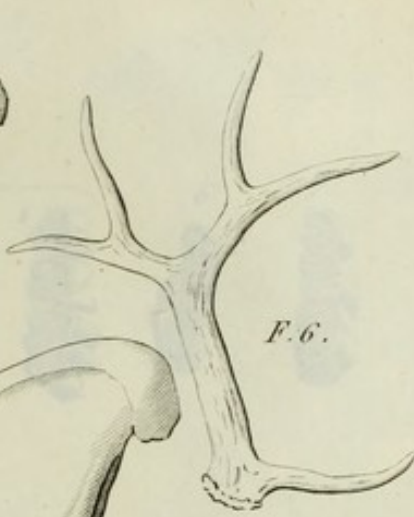
F. 5.



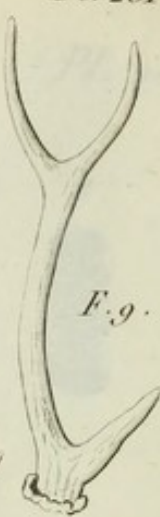
F. 10.



F. 6.



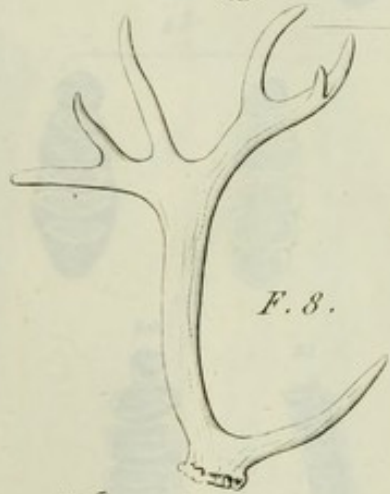
F. 9.



F. 7.



F. 8.



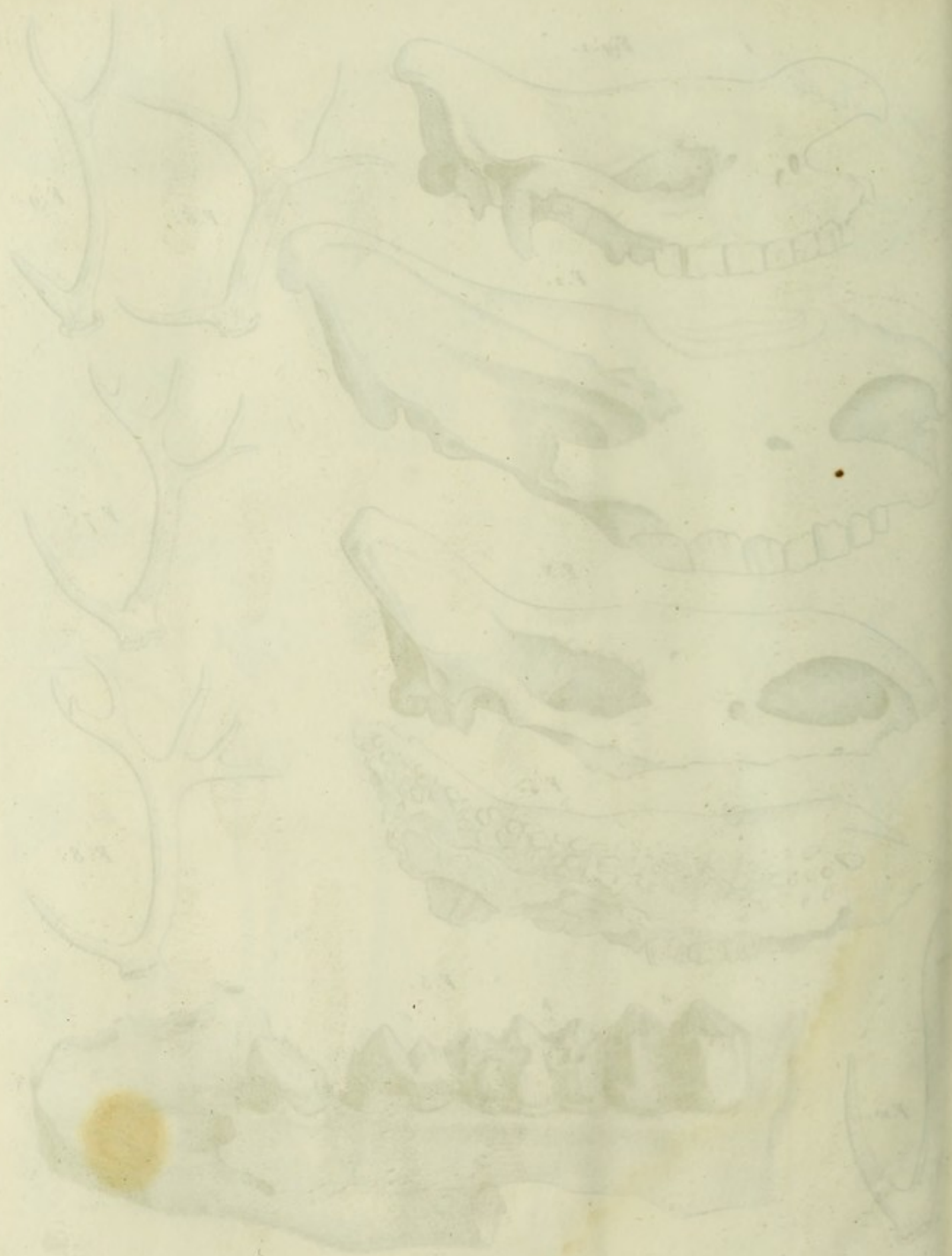
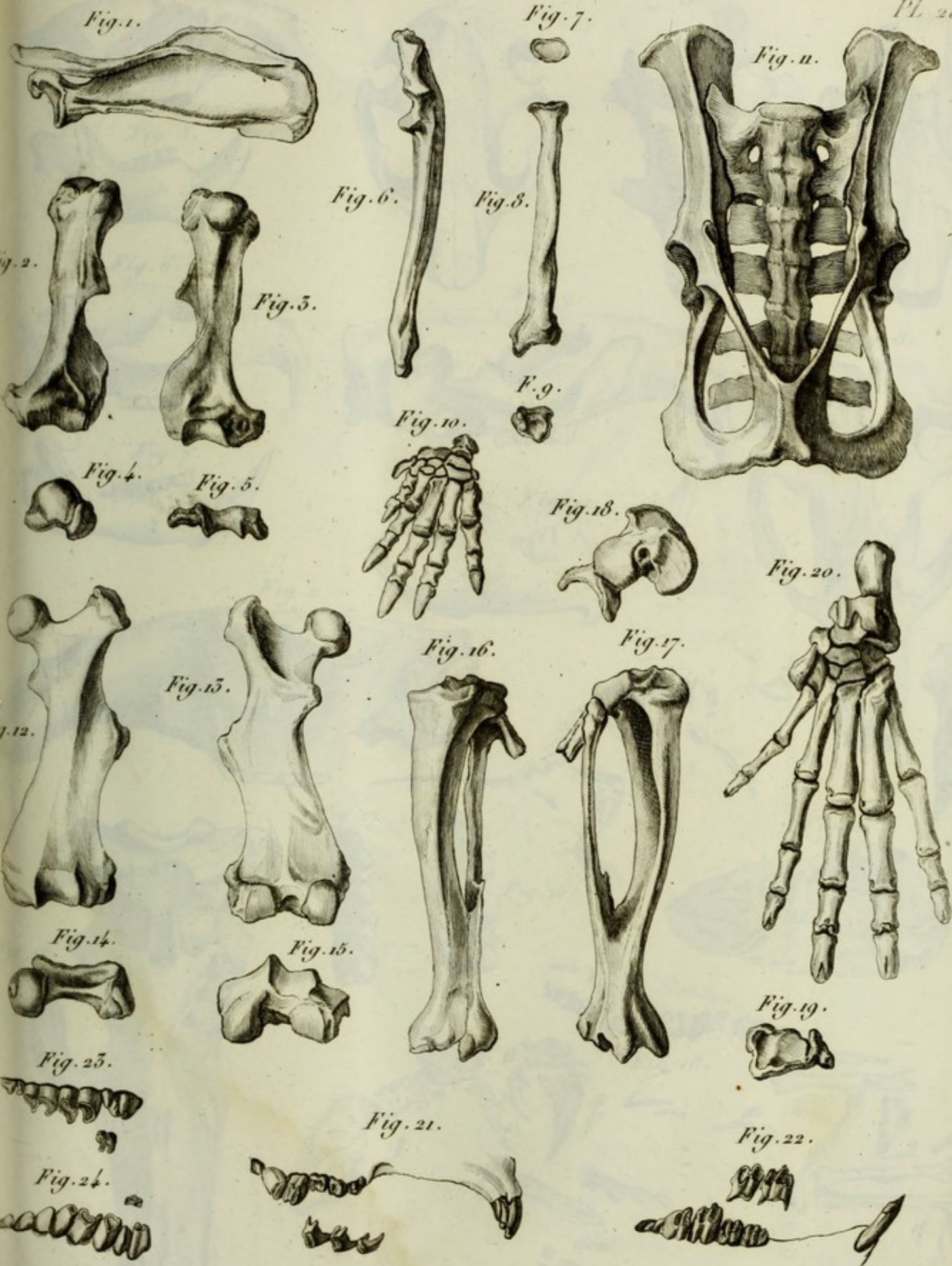
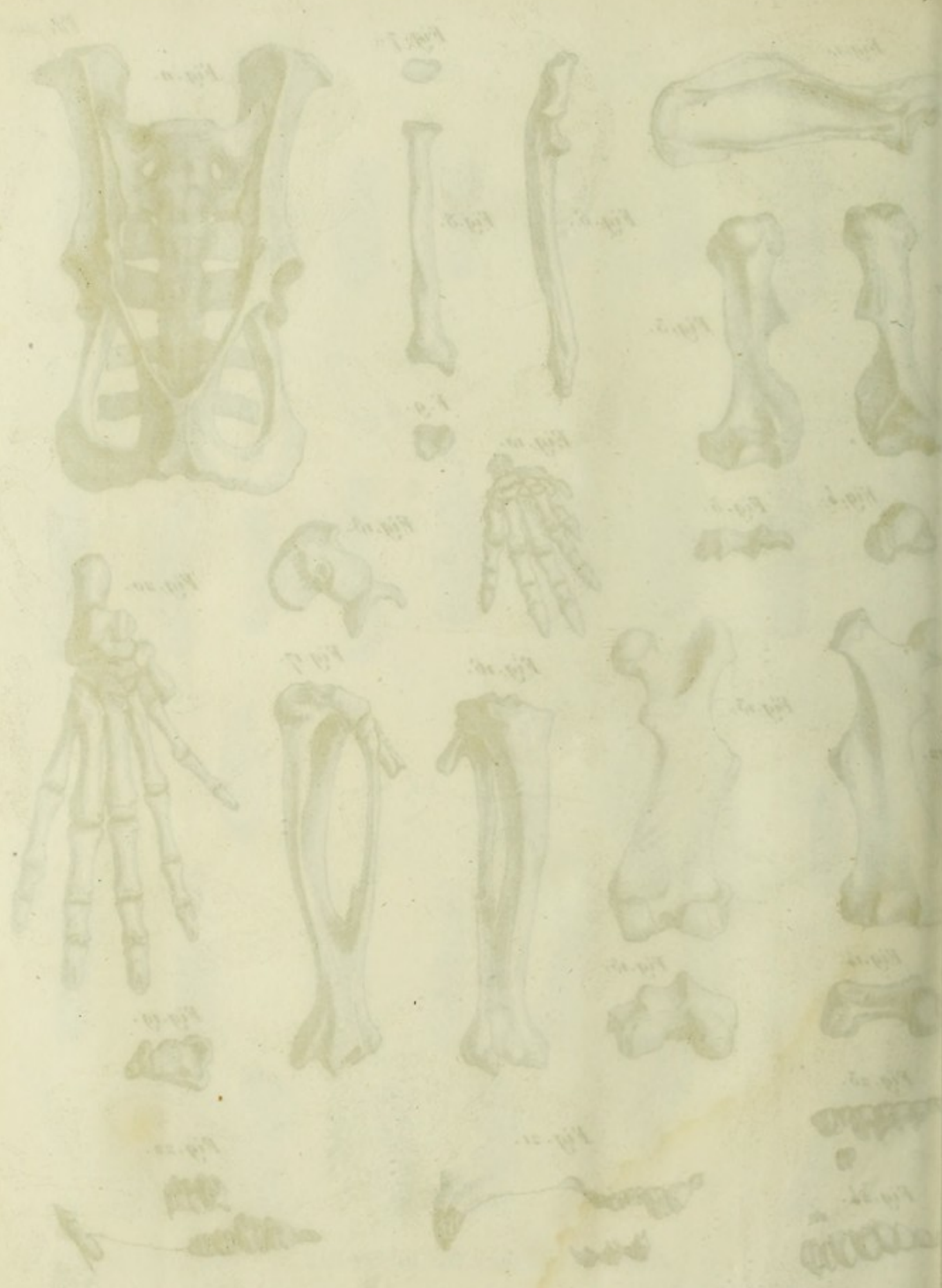
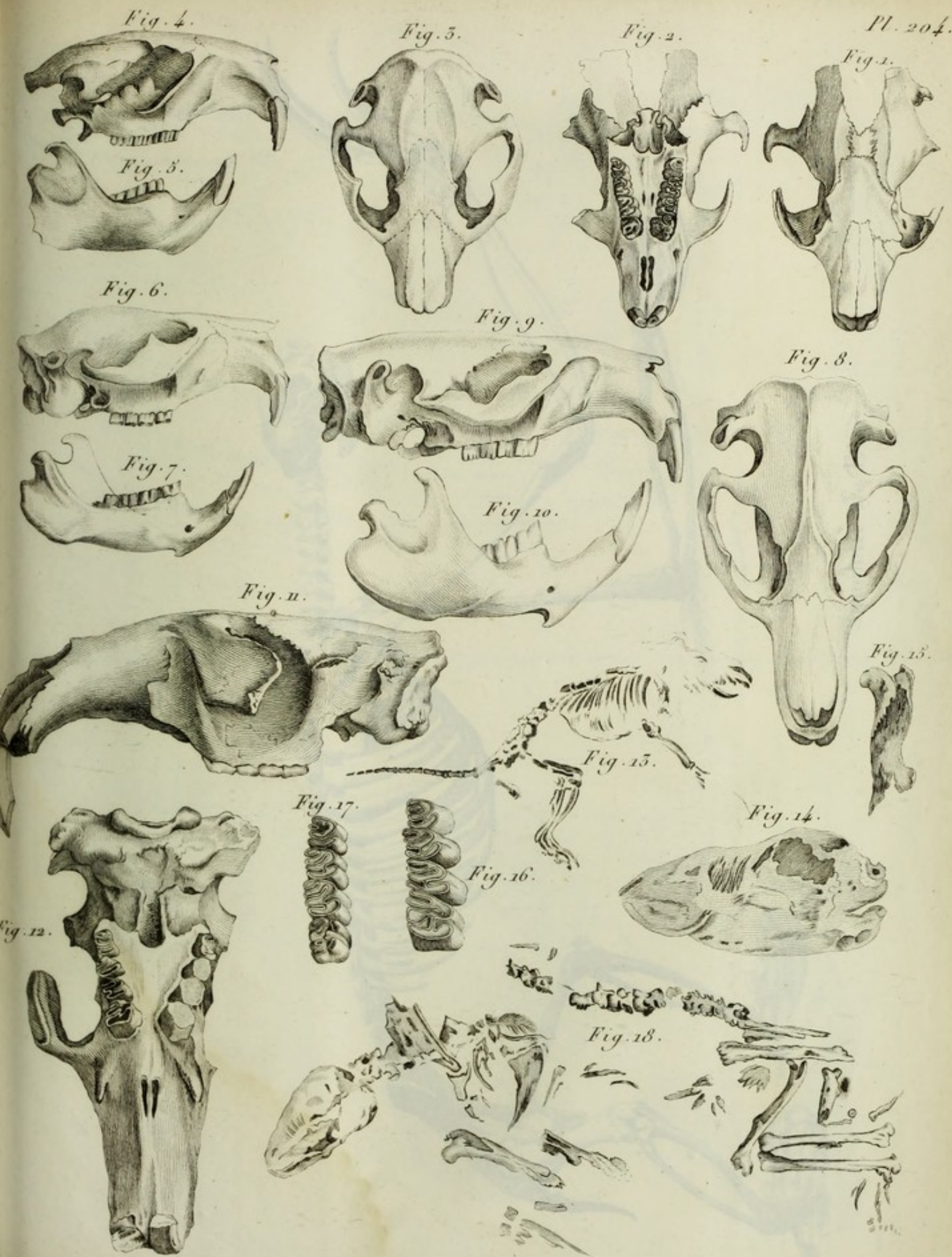


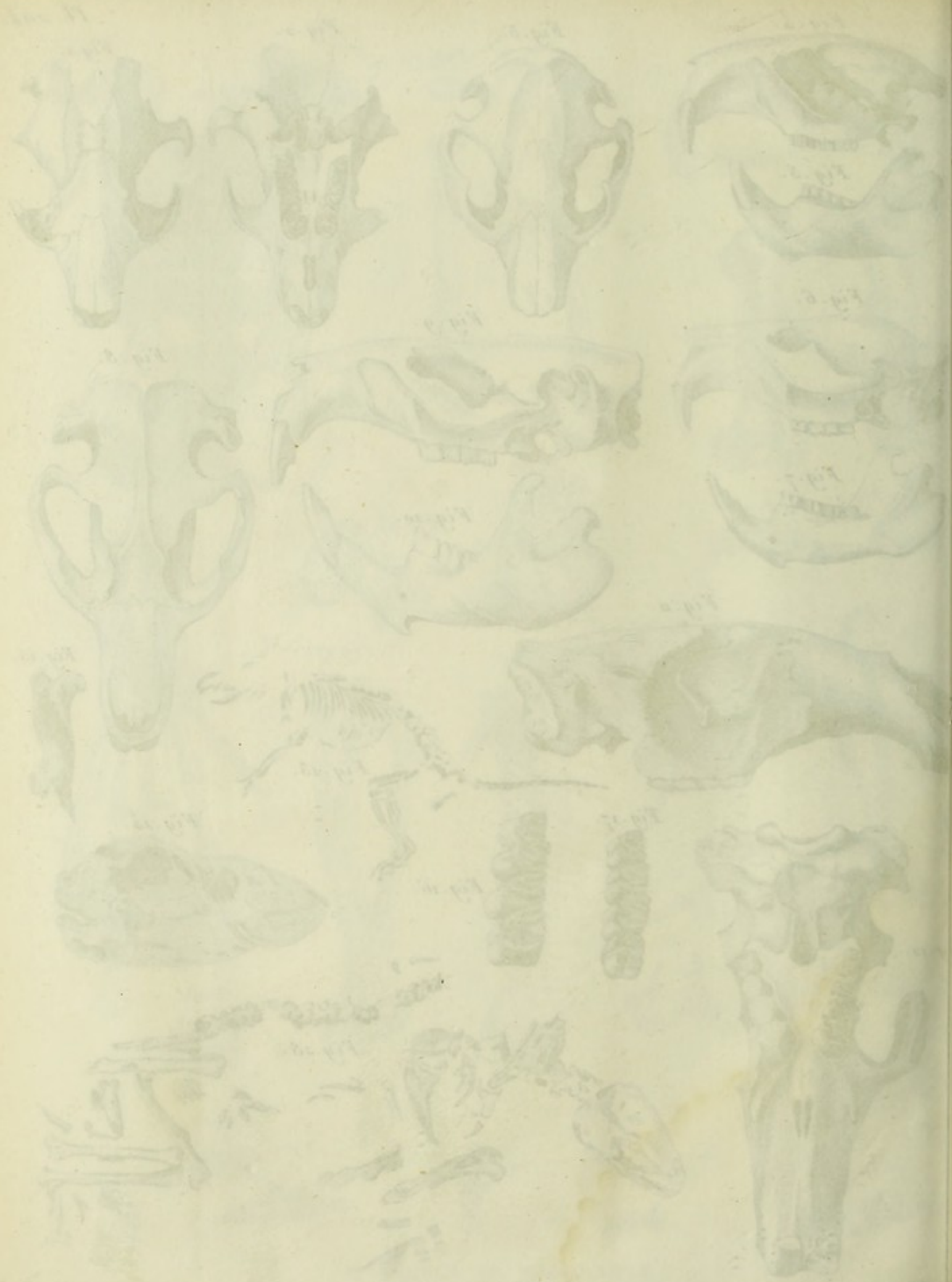
Fig. 1.

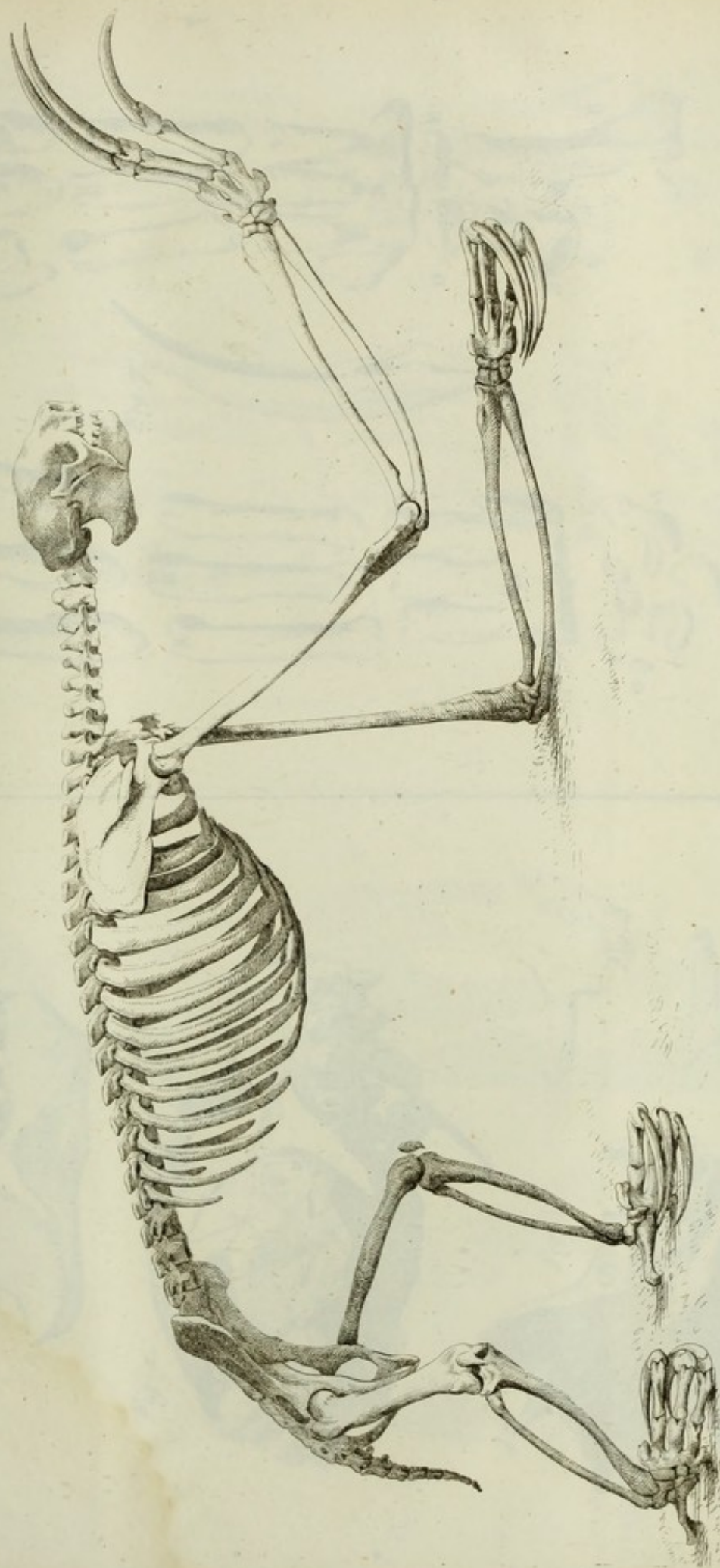












Squelette de l'Âi.

181 9th and 10th

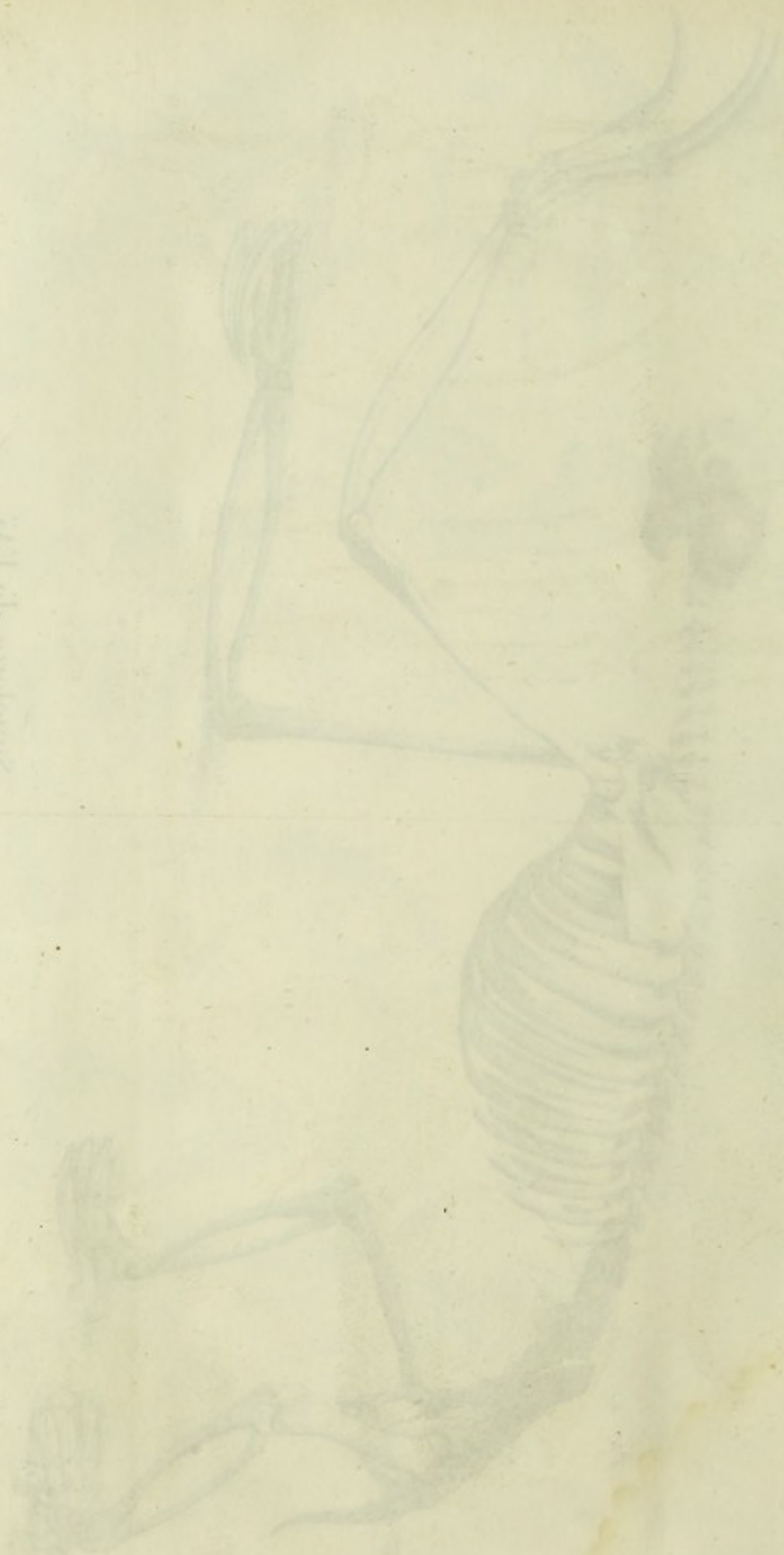


Fig. 1.



Fig. 2.



Fig. 3.



Fig. 4.



Fig. 5.

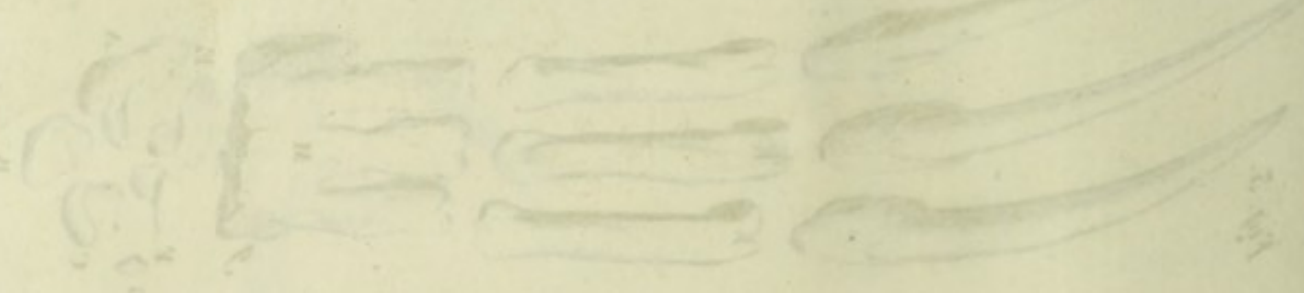
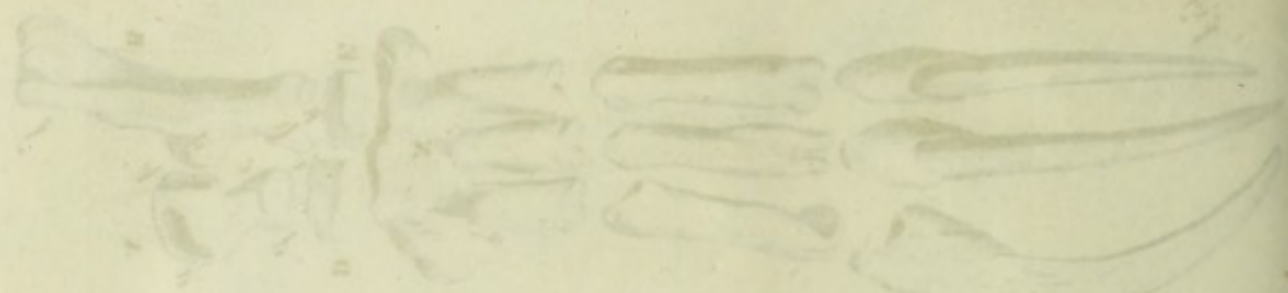


Fig. 7.



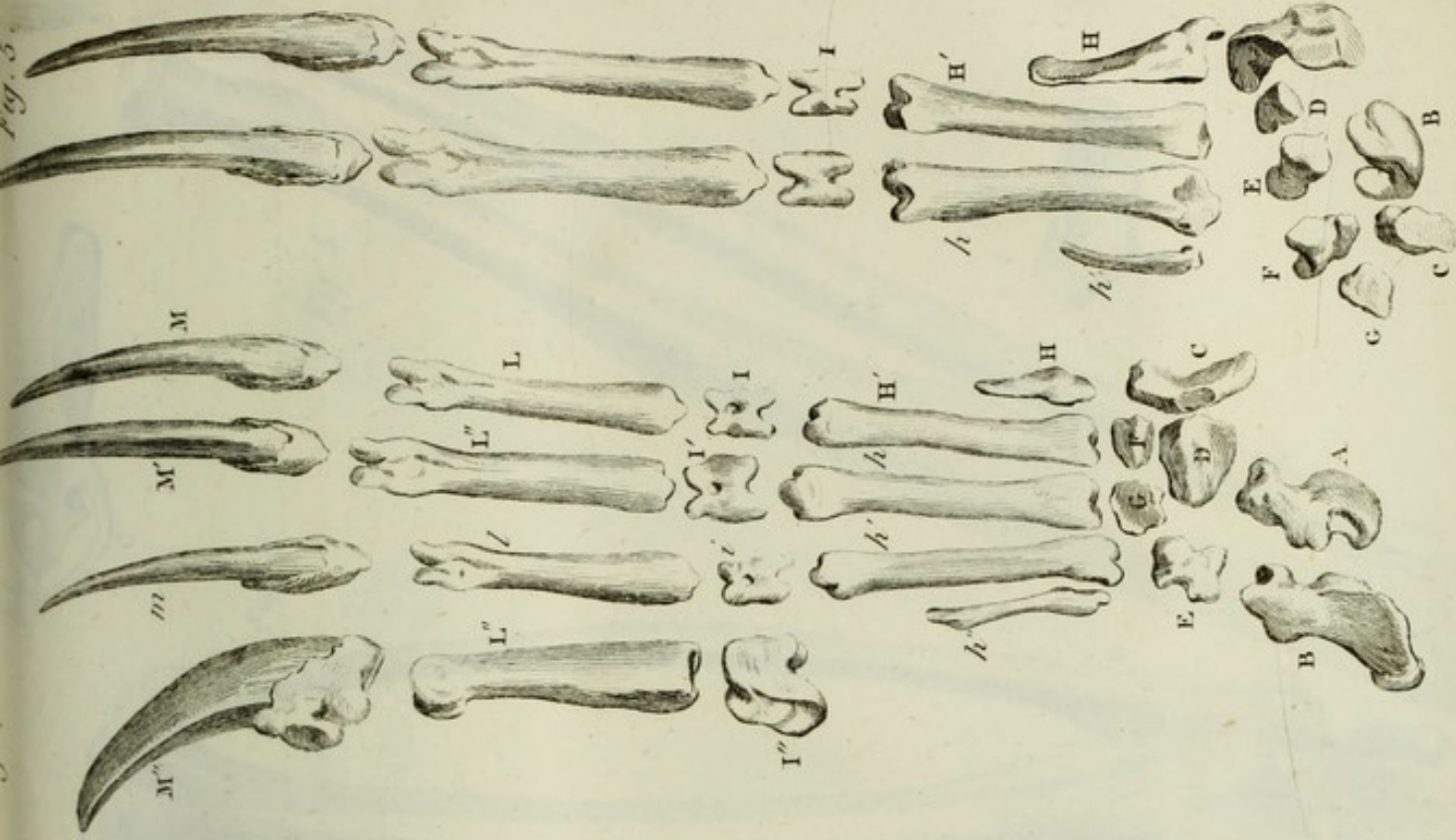
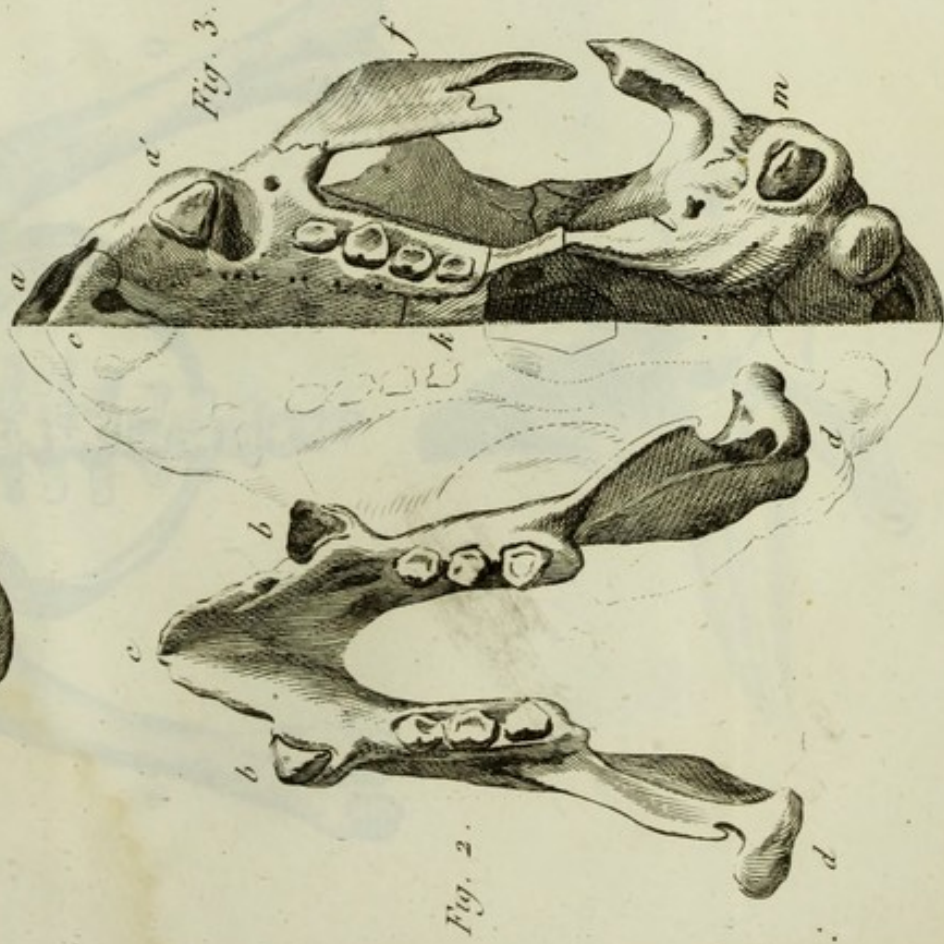
Fig. 6.





1846 of 1849 95 177





Tête et Pieds de l'Unau.



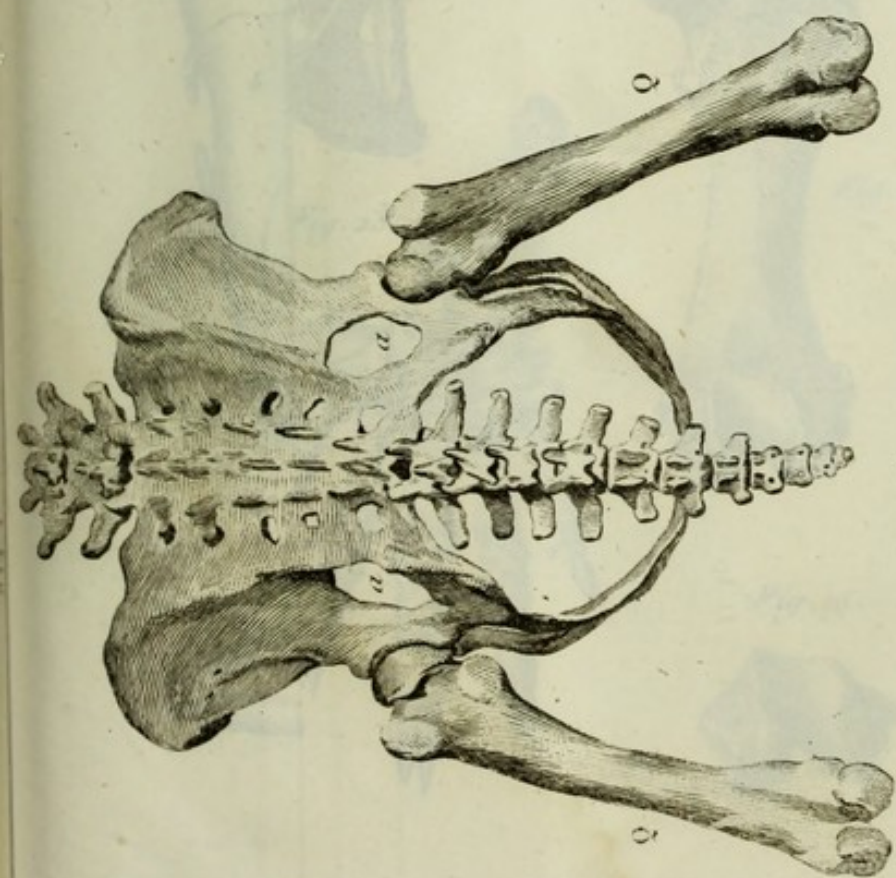


Fig. 2.

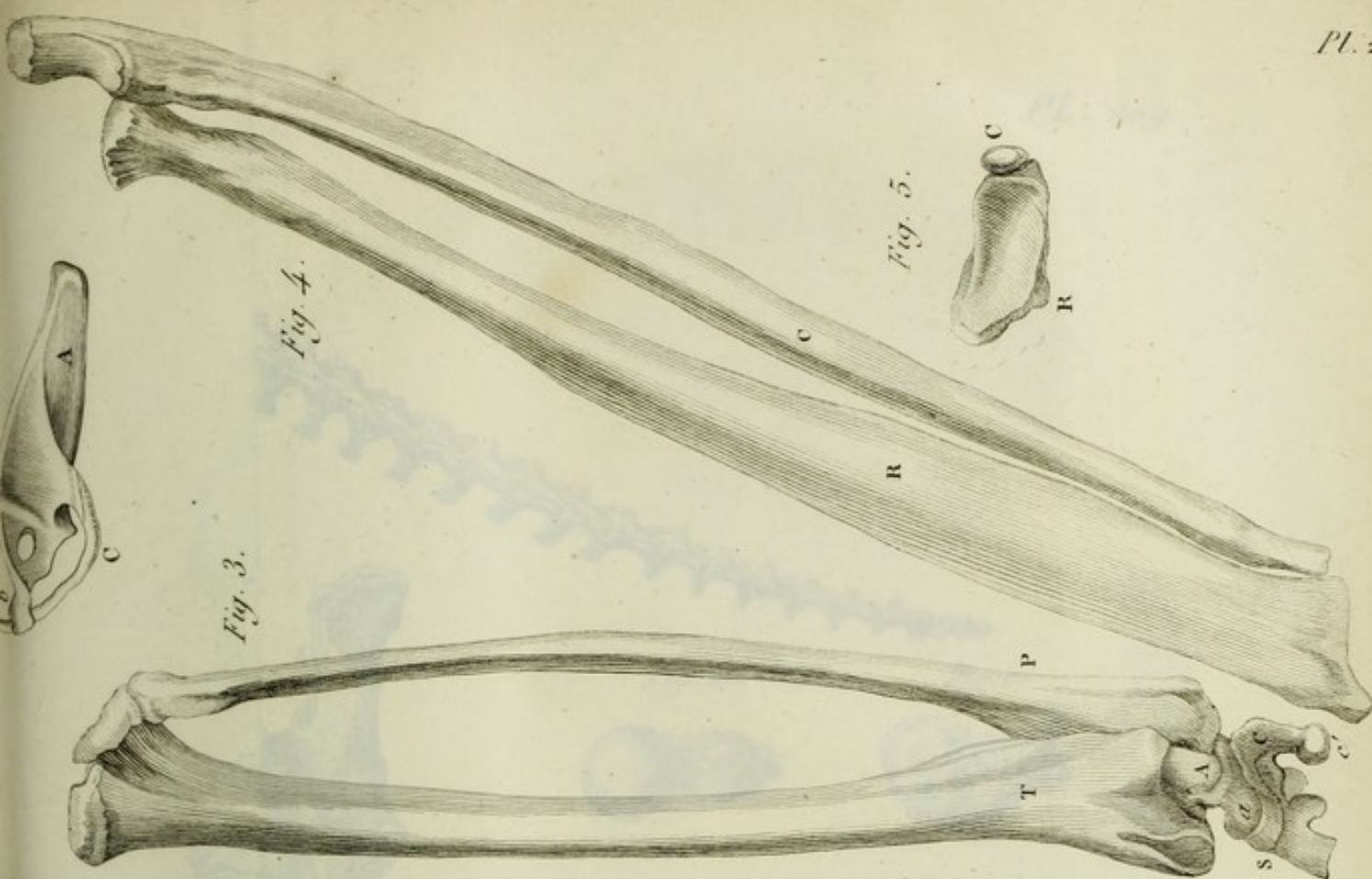


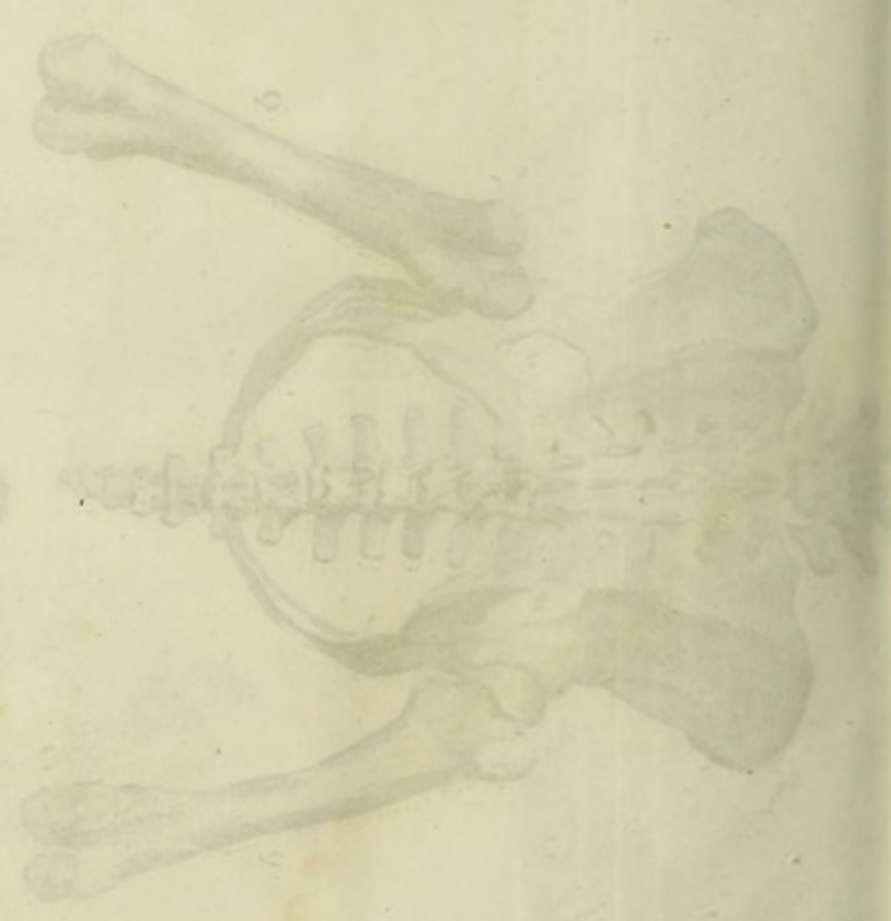
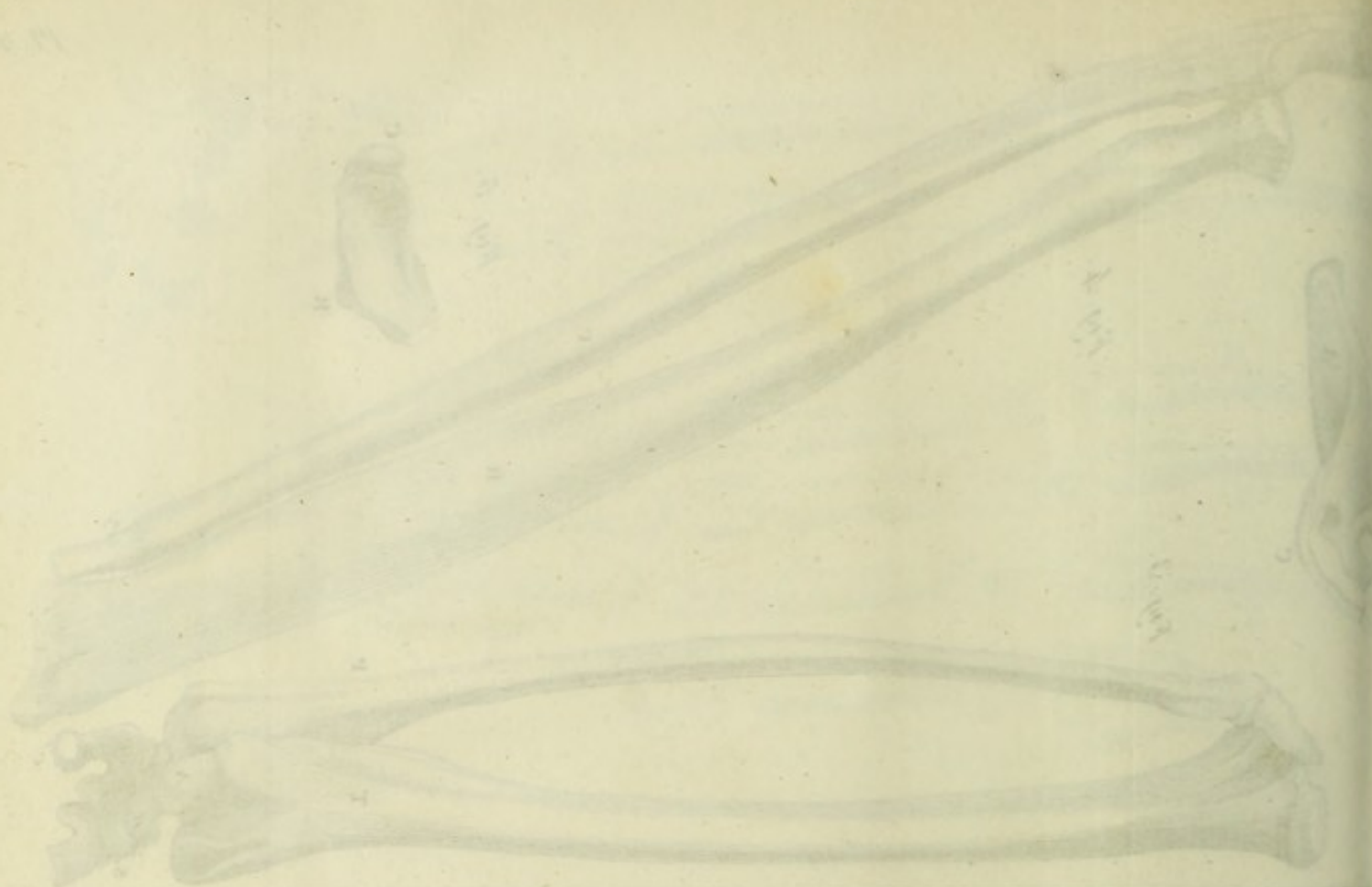
Fig. 3.

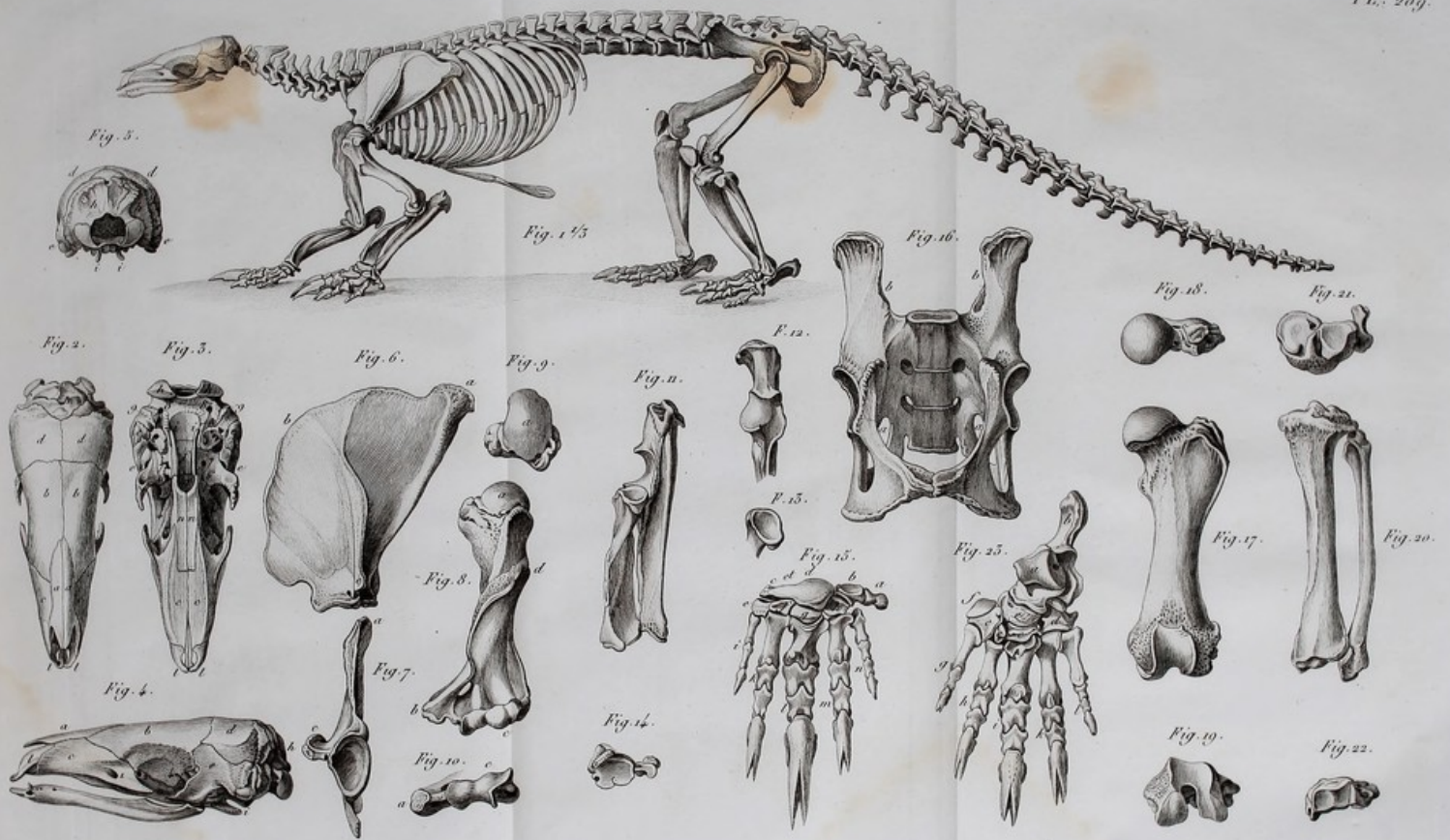
Fig. 4.

Fig. 5.



From the collection of the University of Cambridge, 1773. In the collection of the University of Cambridge, 1773.

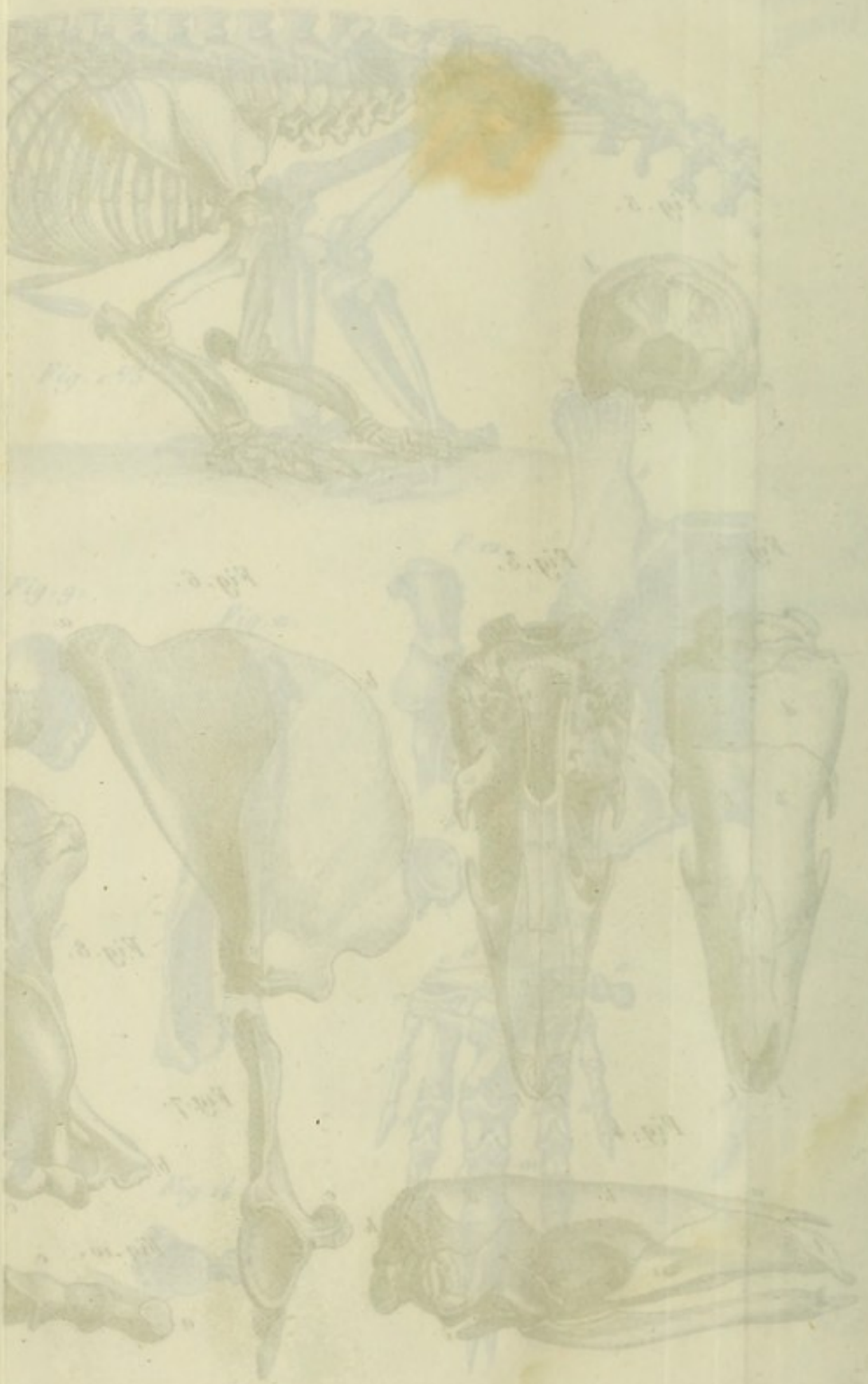


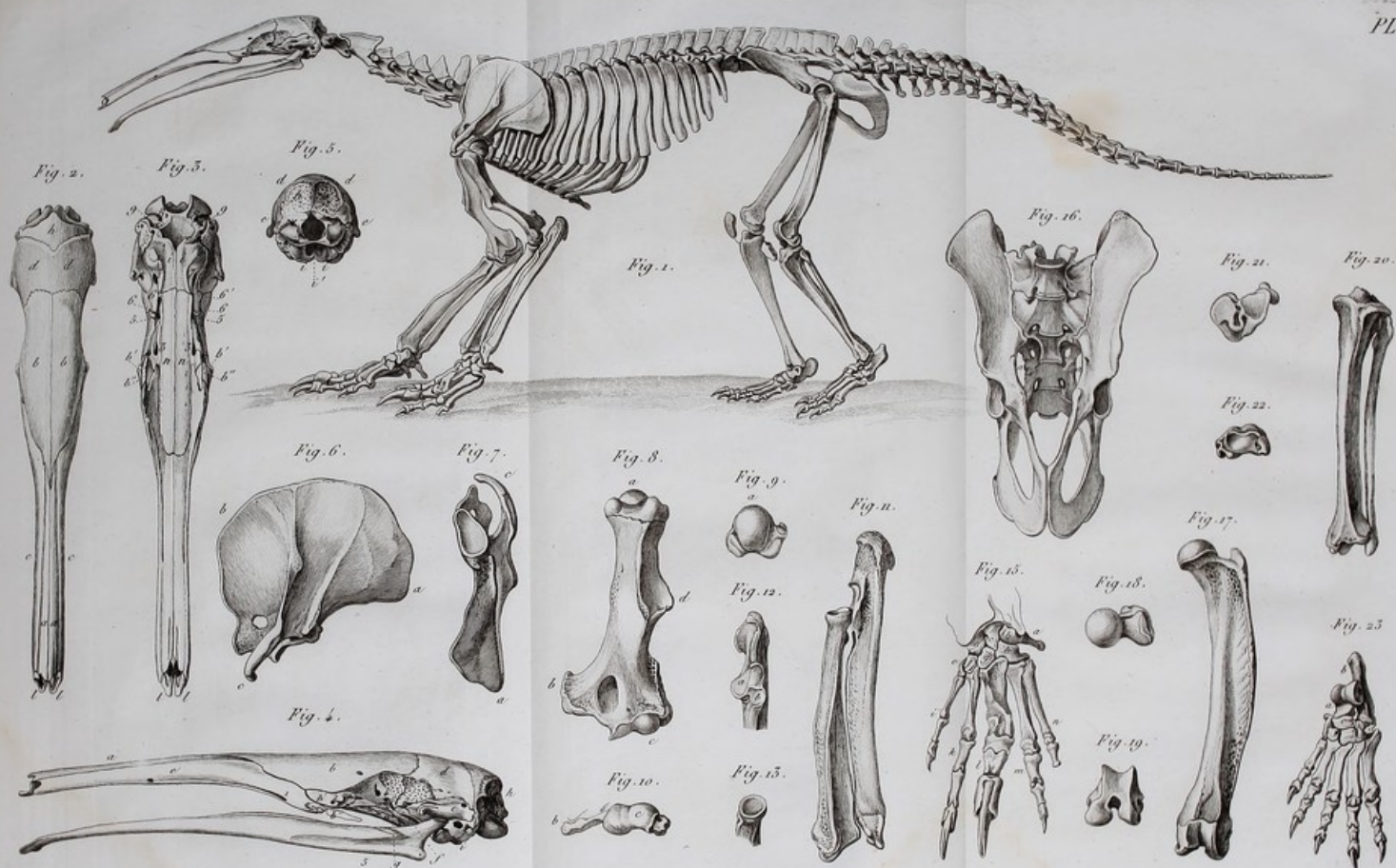


OSTÉOLOGIE DU PANGOLIN À COURTE QUEUE. 34

Boett. del.

Costant. sculp.



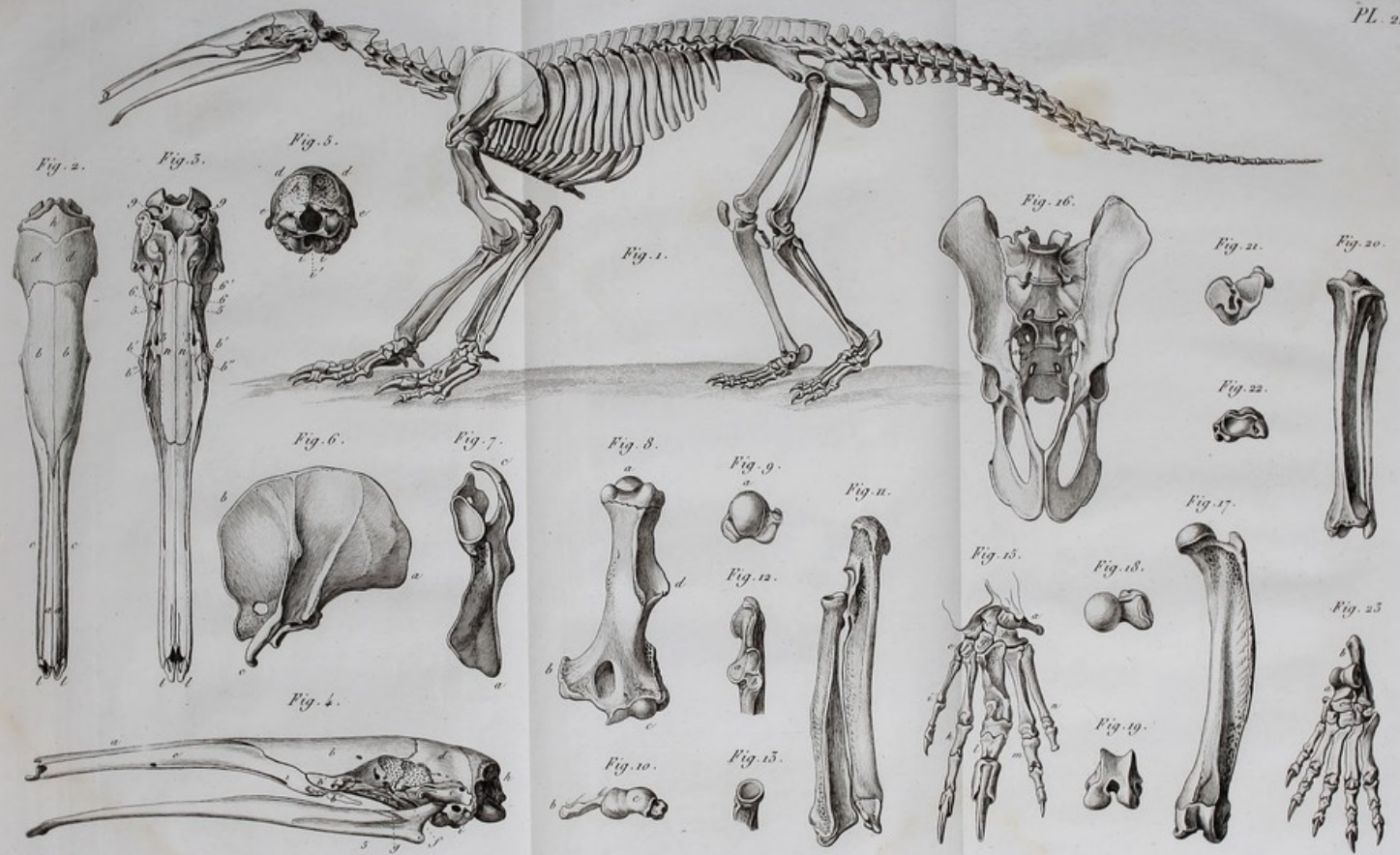


OSTÉOLOGIE DU TAMANOIR.

Costant sculpt.



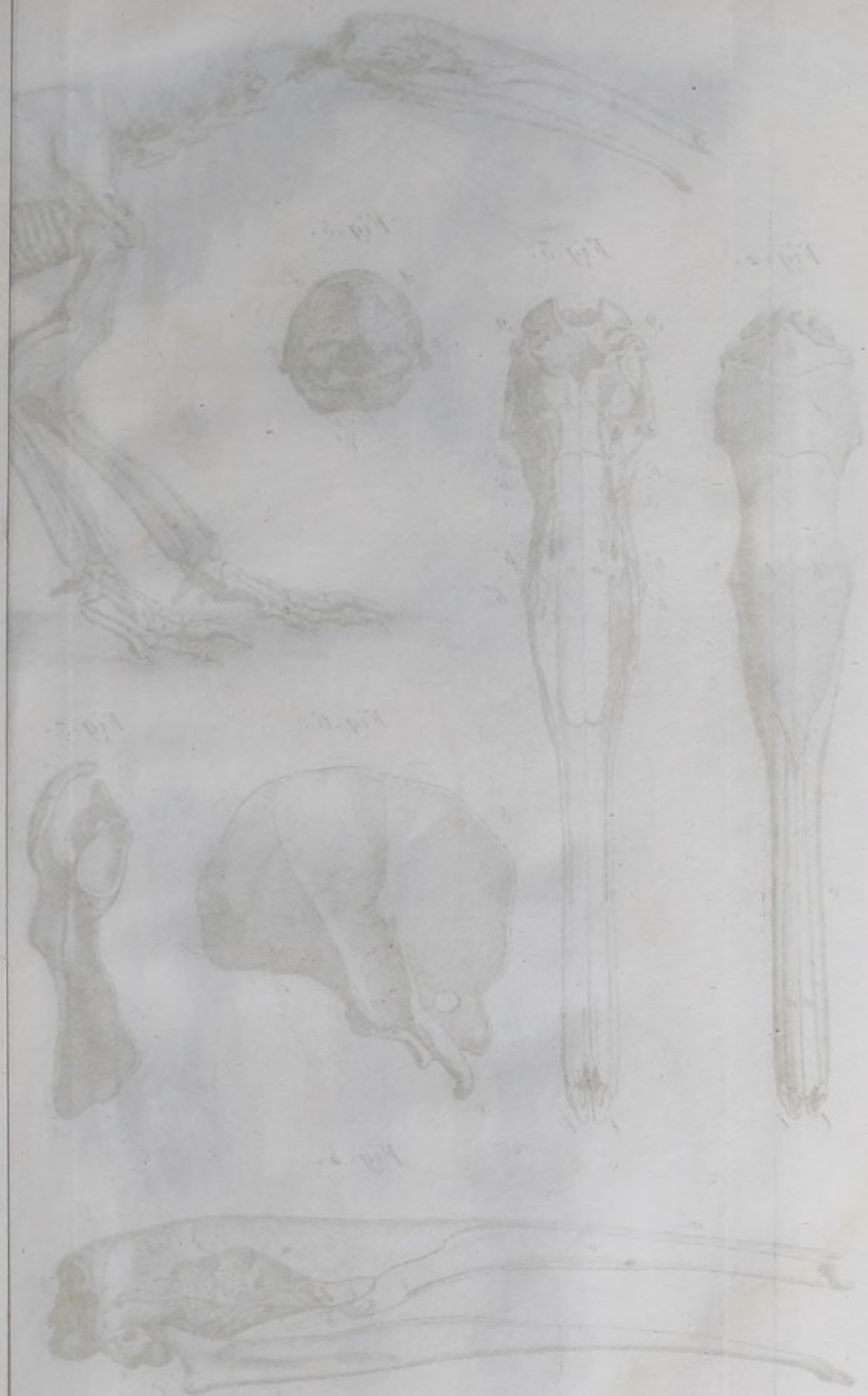
OSTÉOLOGIE DU TAMANOR.

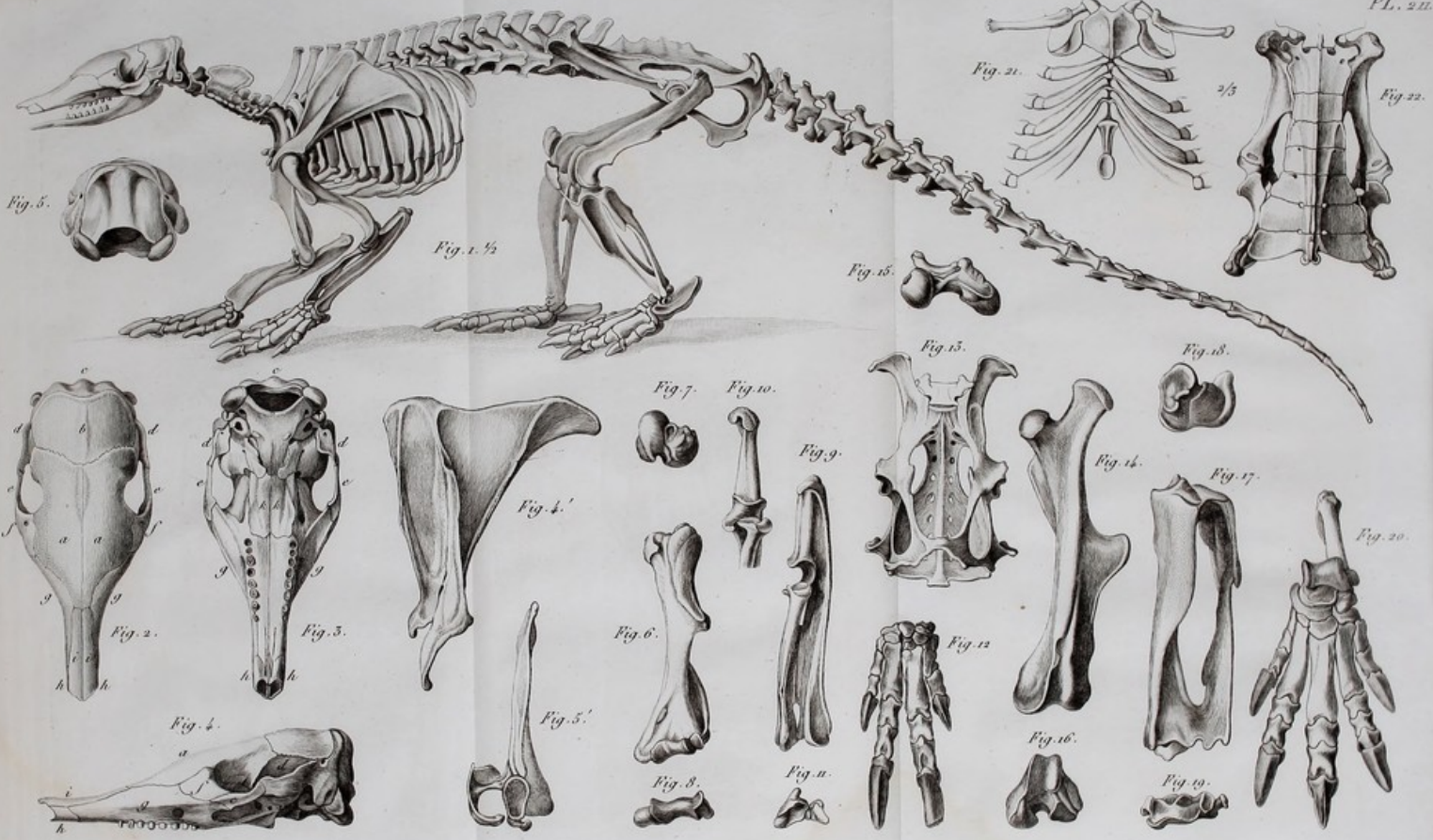


OSTÉOLOGIE DU TAMANOIR.

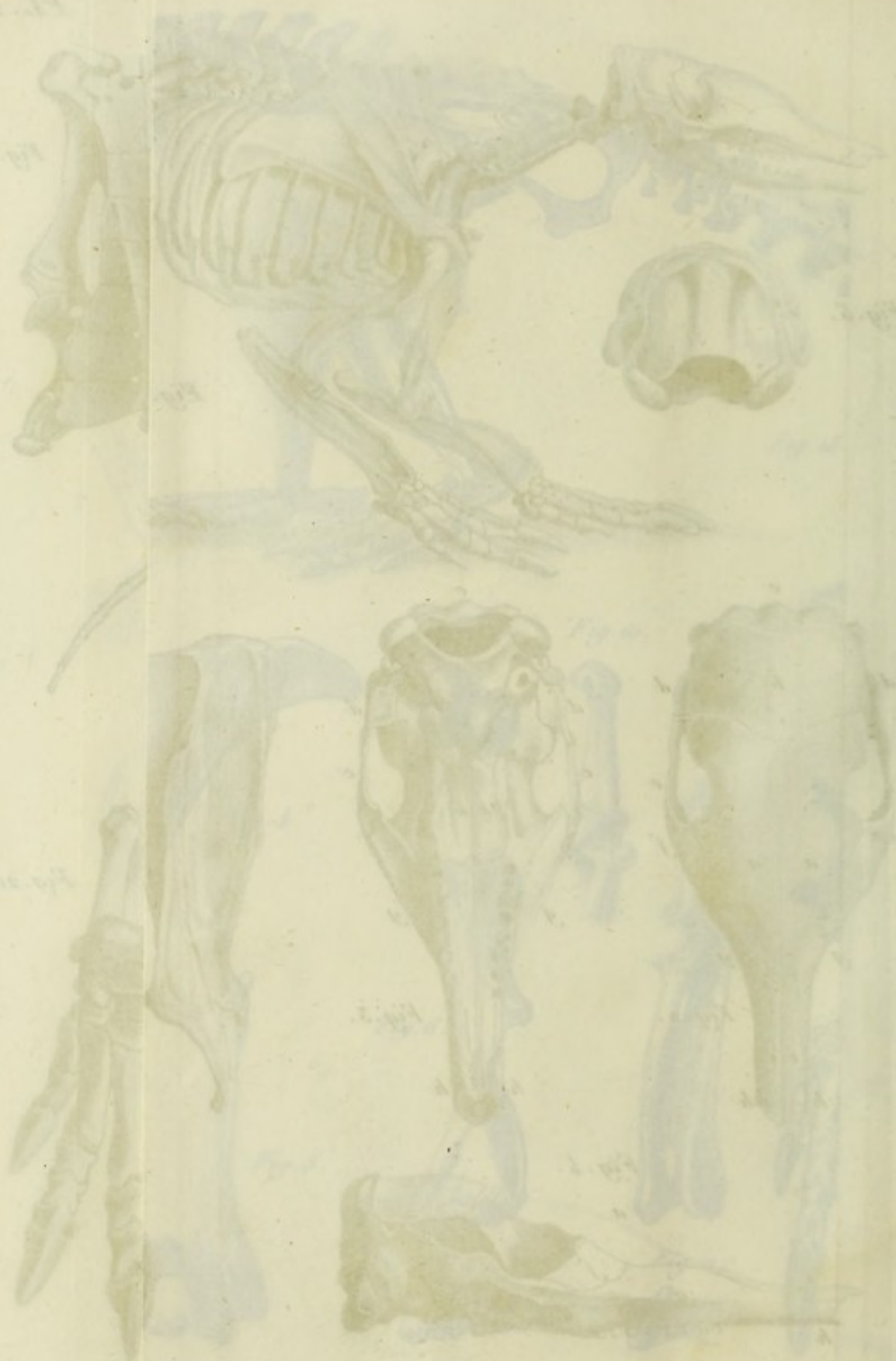
Bout del?

Contant sculp?

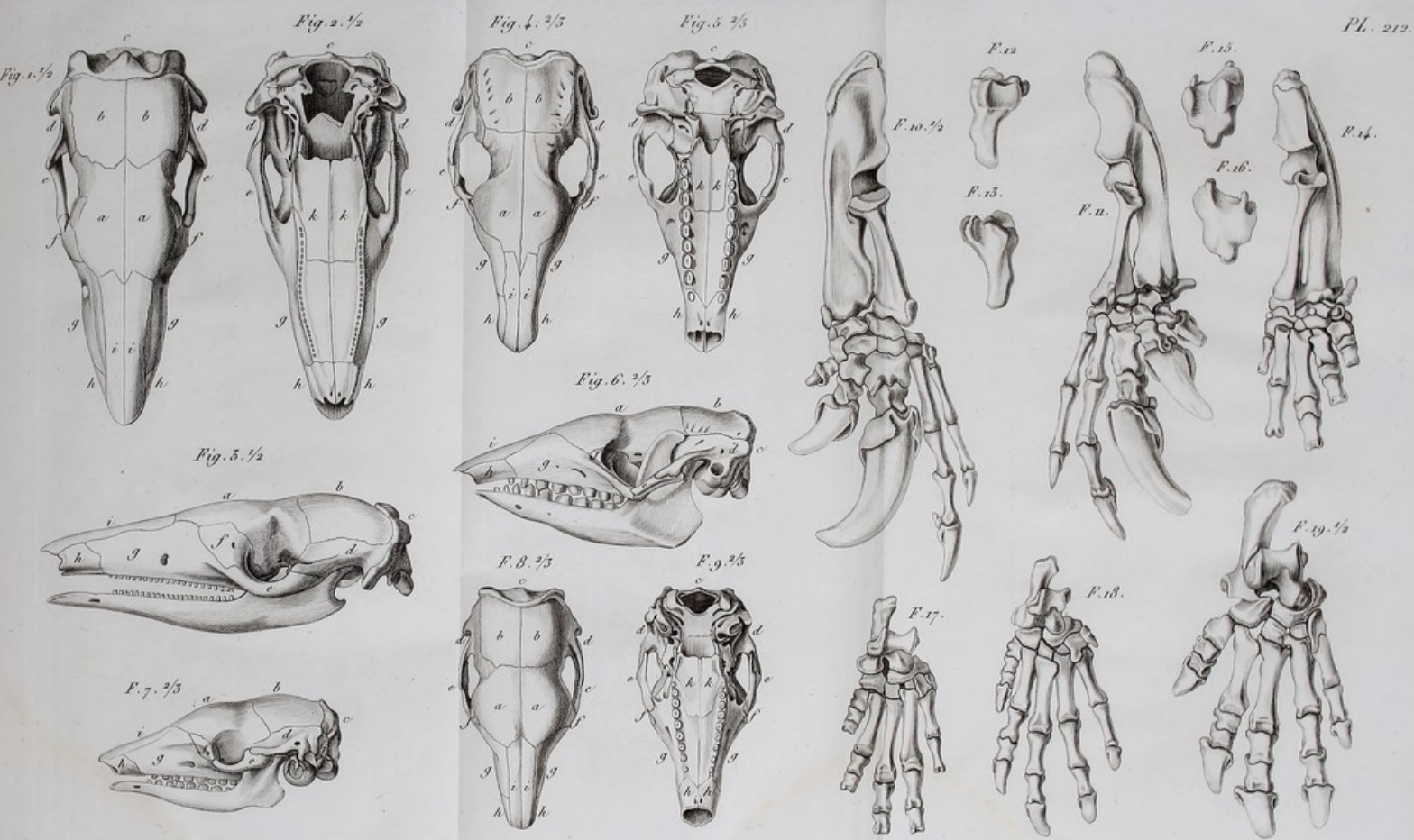




OSTÉOLOGIE DU TATOU NOIR.



OSTÉOLOGIE DU TATOU NOIR.



TÊTES ET PIEDS DE DIVERS TATOUS.

Costant sculpt.

Fig. 24

Fig. 25

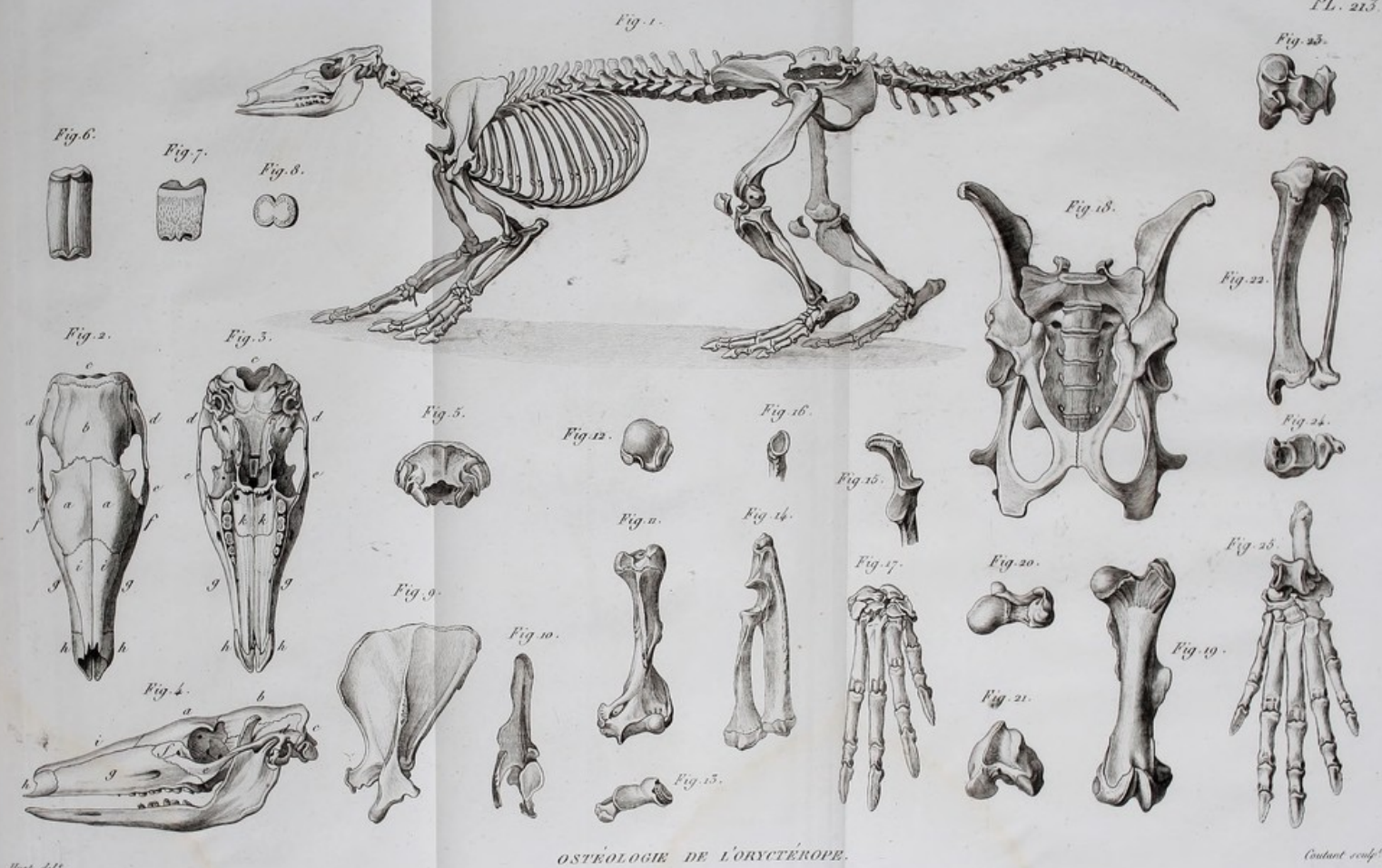
Fig. 26

Fig. 27



TÊTES ET DENTS DE DIFFÉRENTS CHIROPTÈRES.

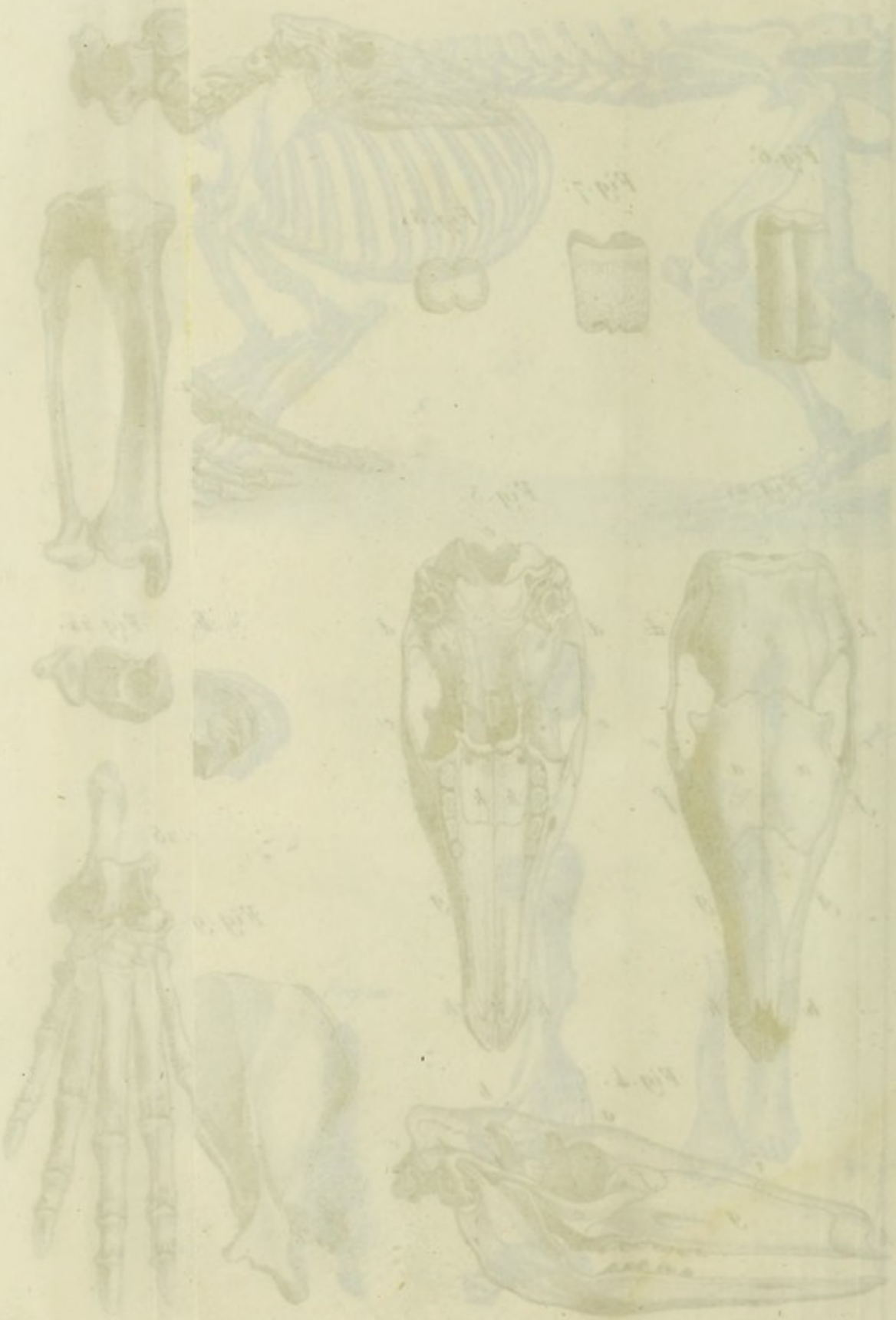
Pl. III.

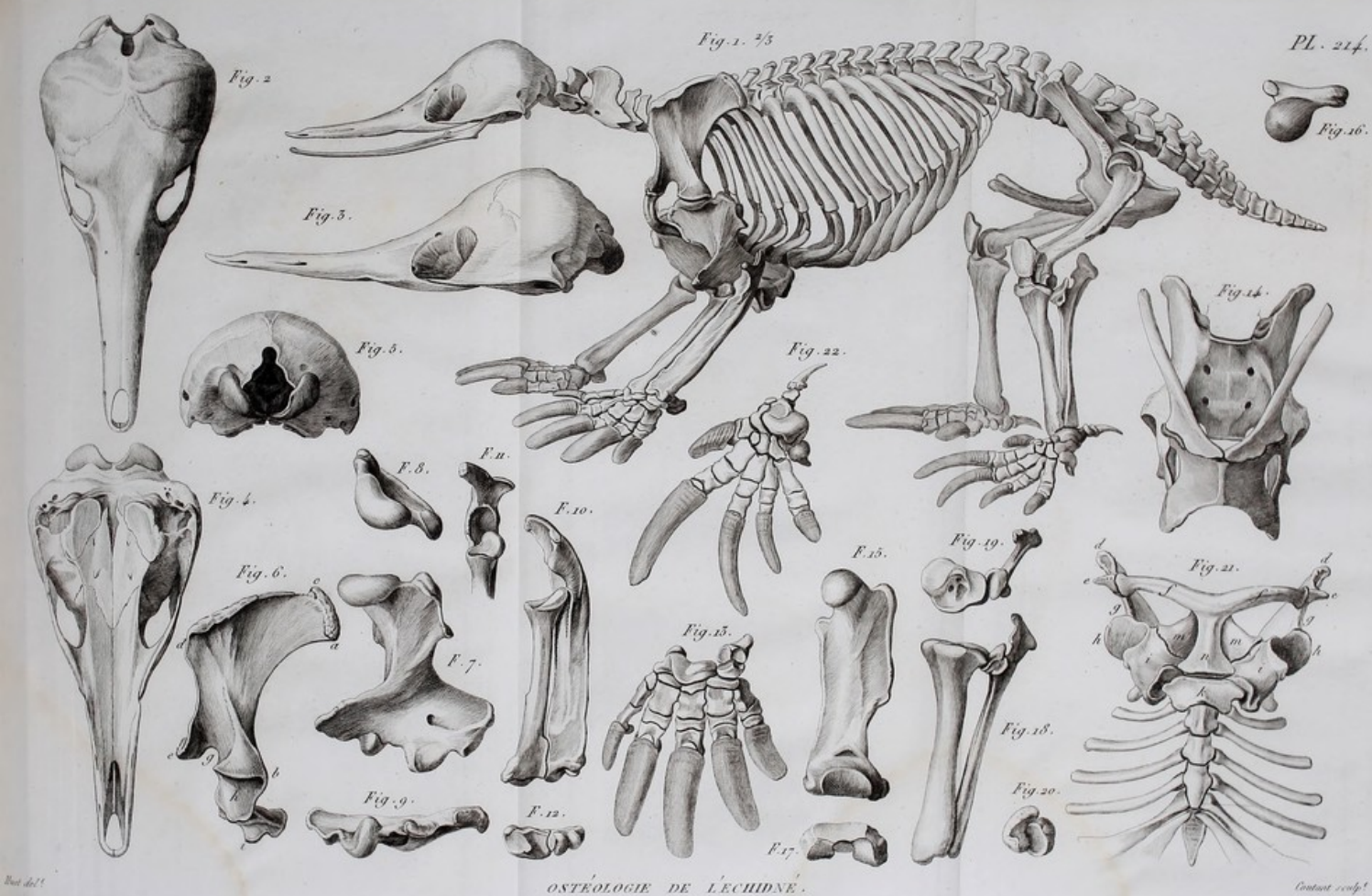


OSTÉOLOGIE DE L'ORYCTÉROPE.

Mont del.

Goussier sculp.





OSTÉOLOGIE DE L'ÉCHIDNÉ.

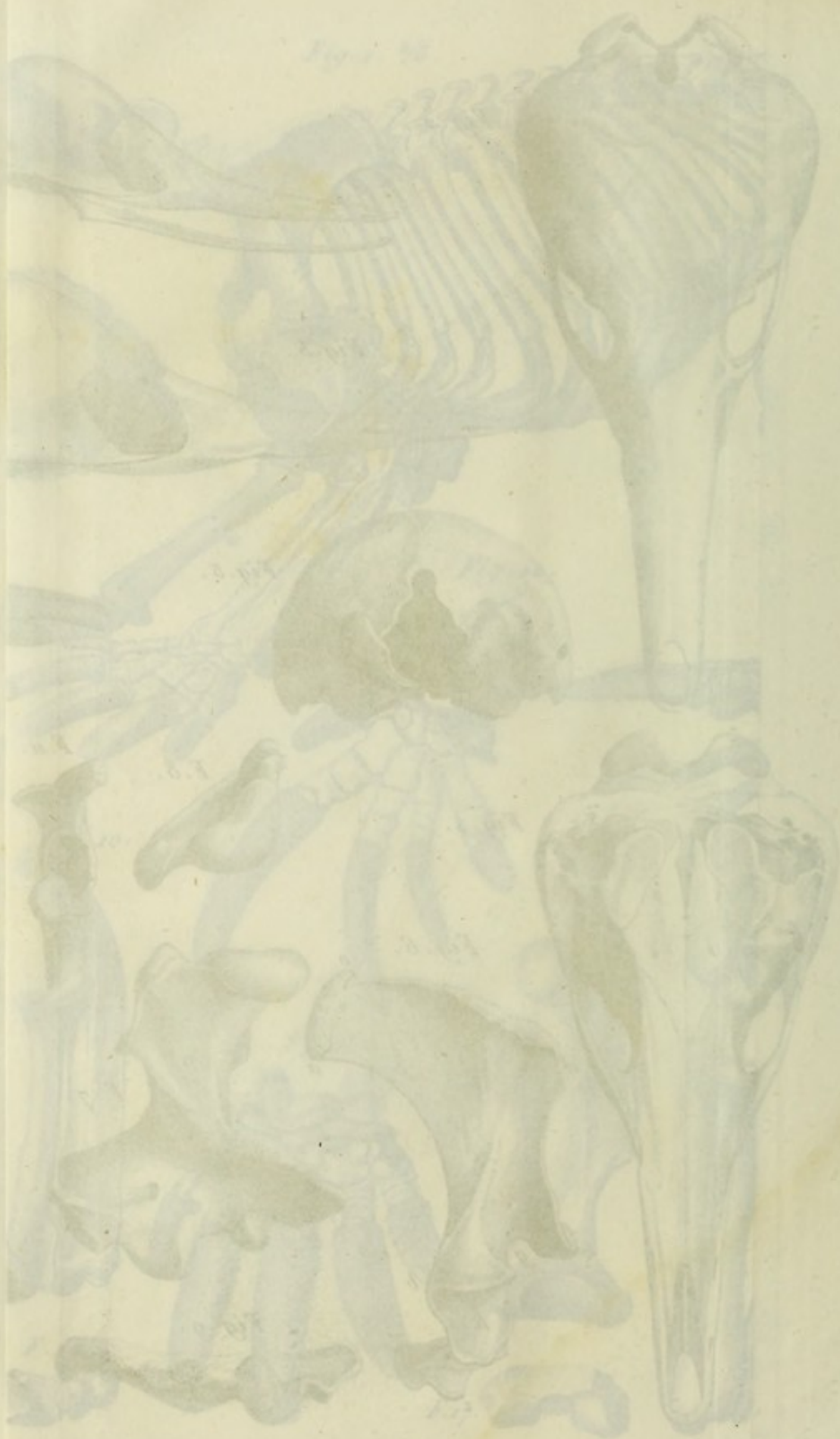


Fig. 1.

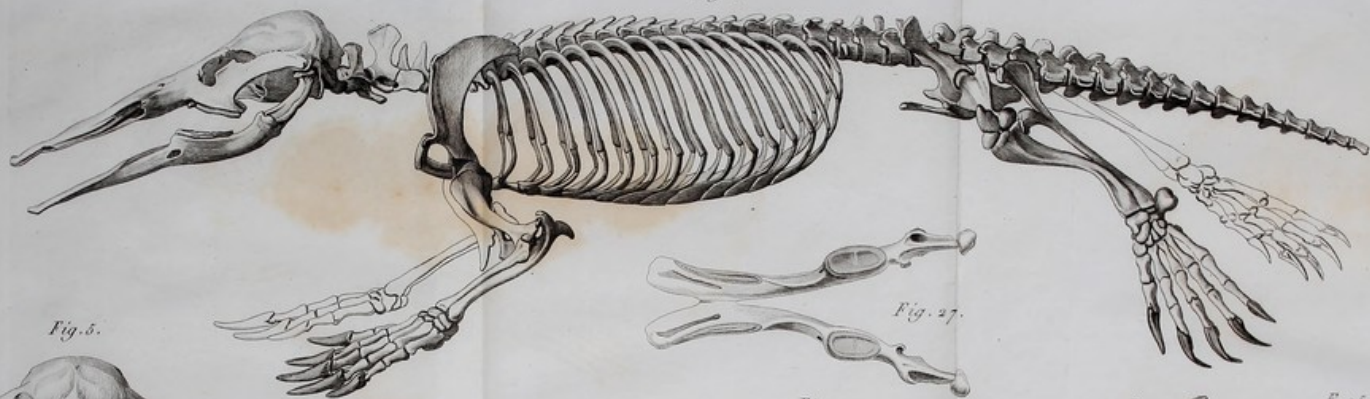


Fig. 5.



Fig. 2.



Fig. 4.



Fig. 5'.



F. 11.



F. 8.



Fig. 7.



F. 9.



Fig. 10.



F. 12.



F. 13.



Fig. 14.

F. 16.



Fig. 15.



F. 17.



F. 18.

F. 20.



F. 25.



F. 24.



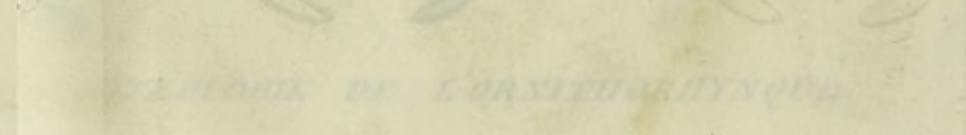
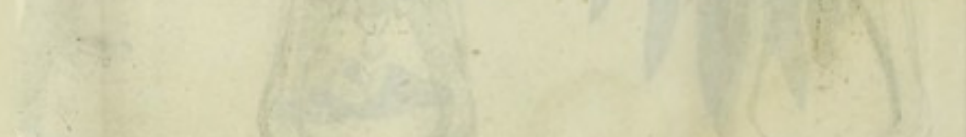
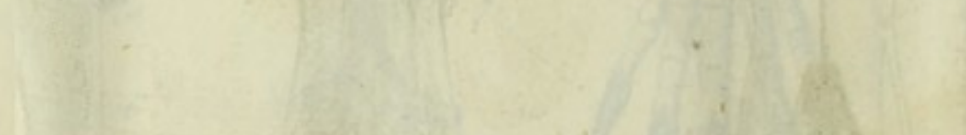
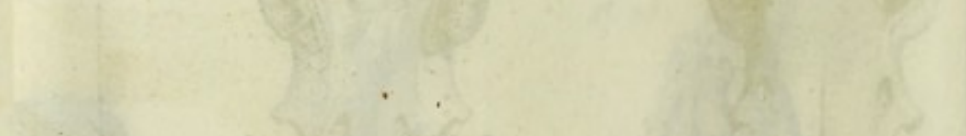
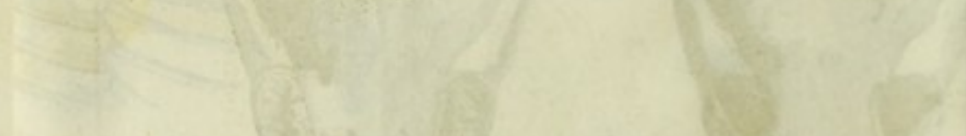
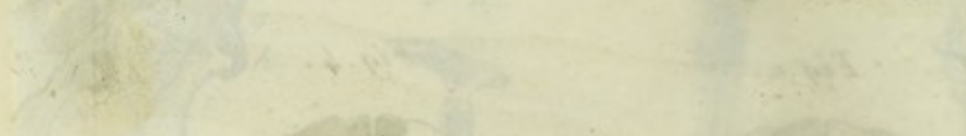
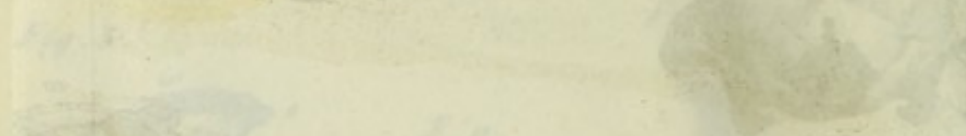
F. 26.

F. 22.



OSTÉOLOGIE DE L'ORNITHORHYNQUE.

Contant sculpt.



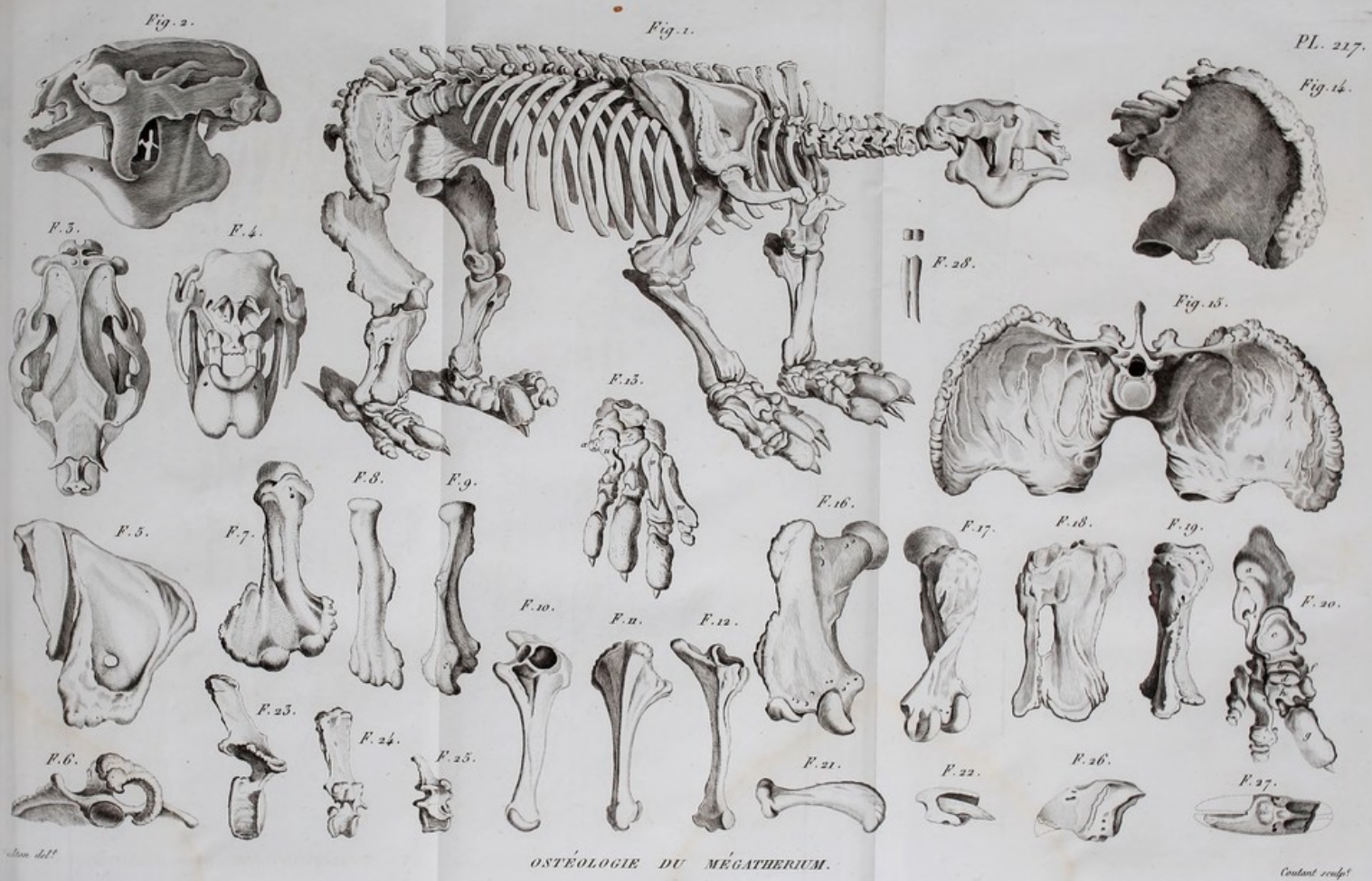
ANATOMIE DE L'ORNITHOMYX



MEGALONYX.

ΠΕΡΥΓΟΙ









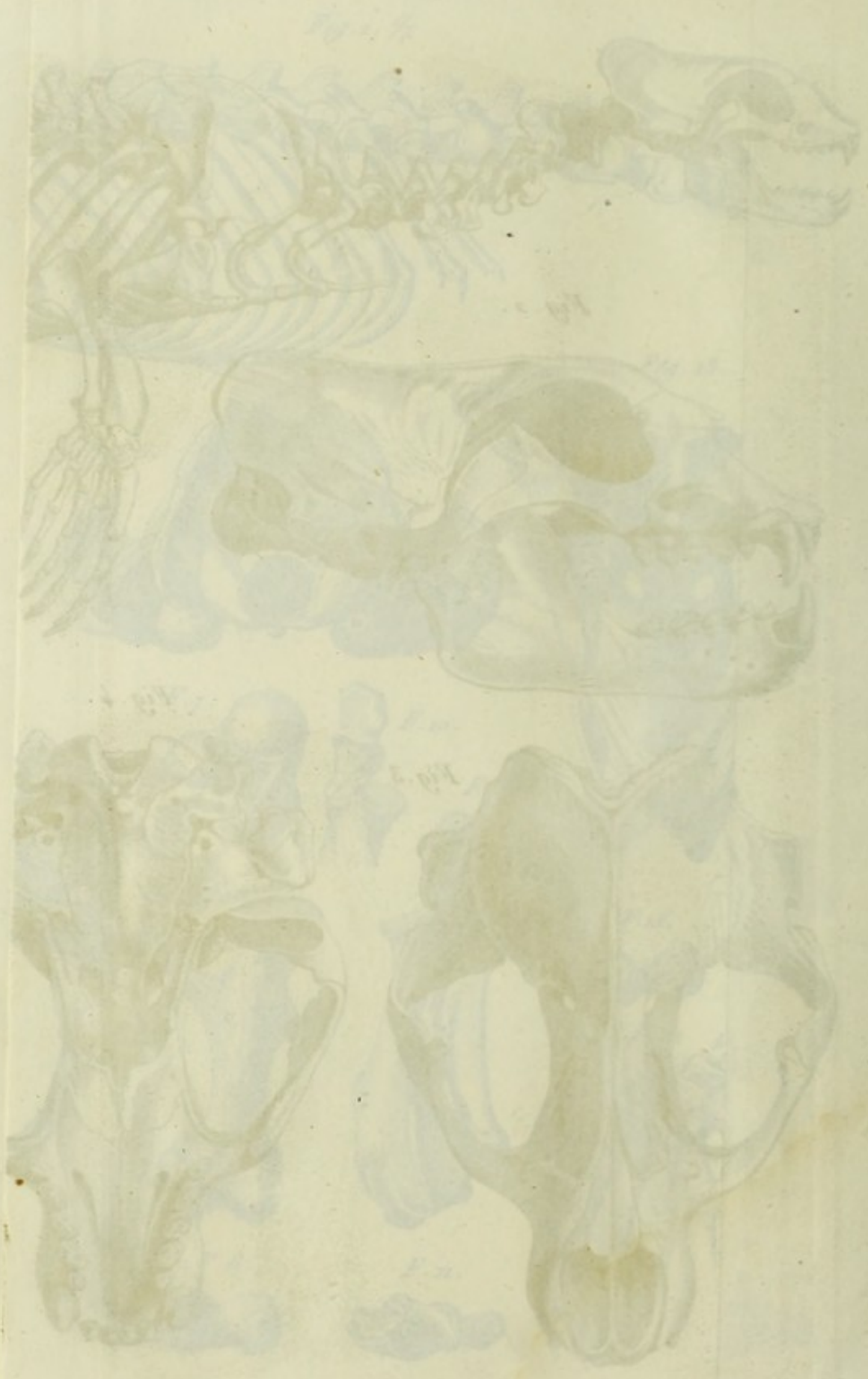


PLATE I. FIGURE 1. A. THE STOMACH OF THE BULL. B. THE STOMACH OF THE SHEEP. C. THE STOMACH OF THE GOAT. D. THE STOMACH OF THE HORSE. E. THE STOMACH OF THE MAN.

Fig. 1. $\frac{1}{4}$



Fig. 2. $\frac{1}{4}$



Fig. 3. $\frac{1}{3}$



Fig. 4. $\frac{1}{4}$



Fig. 5. $\frac{1}{3}$



TÊTES DE PHOQUES.

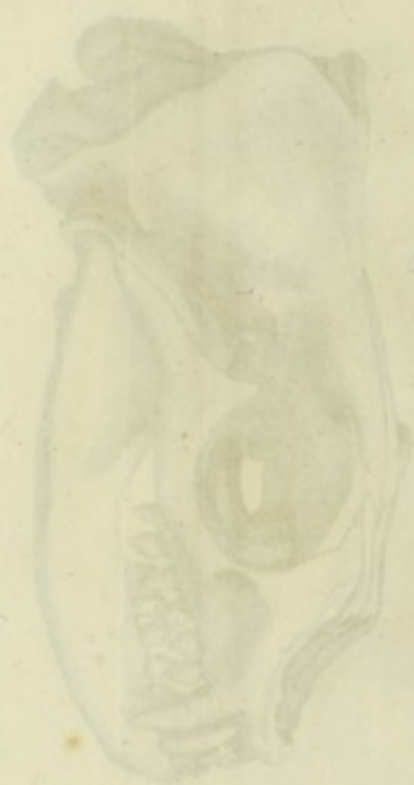


Fig. 1



Fig. 2

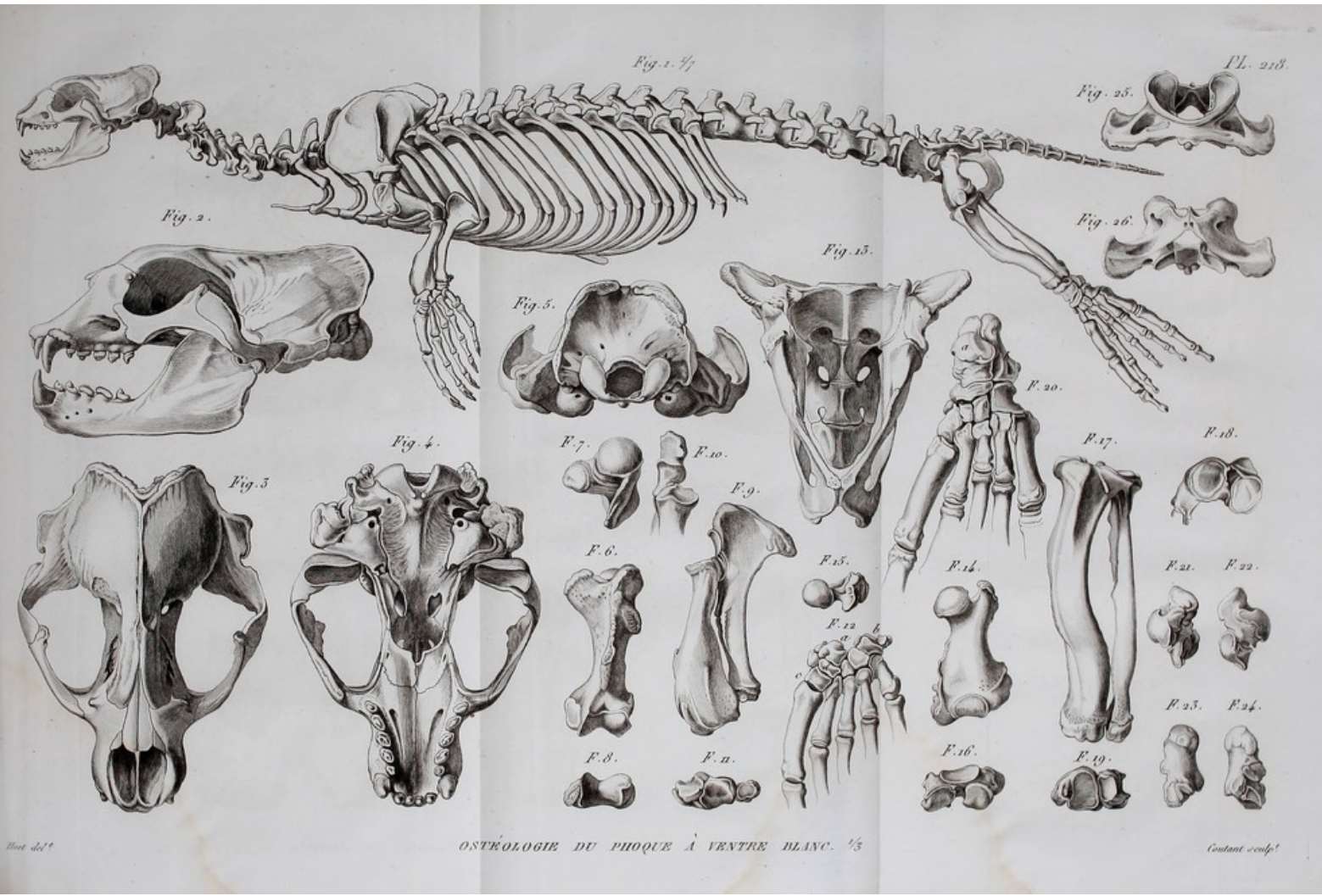


Fig. 3



Fig. 4

Fig. 5



Boat del.

OSTÉOLOGIE DU PHOQUE À VENTRE BLANC. 1/3

Goussier sculp.

ARIZONA DE MICHIGAN



Fig. 1

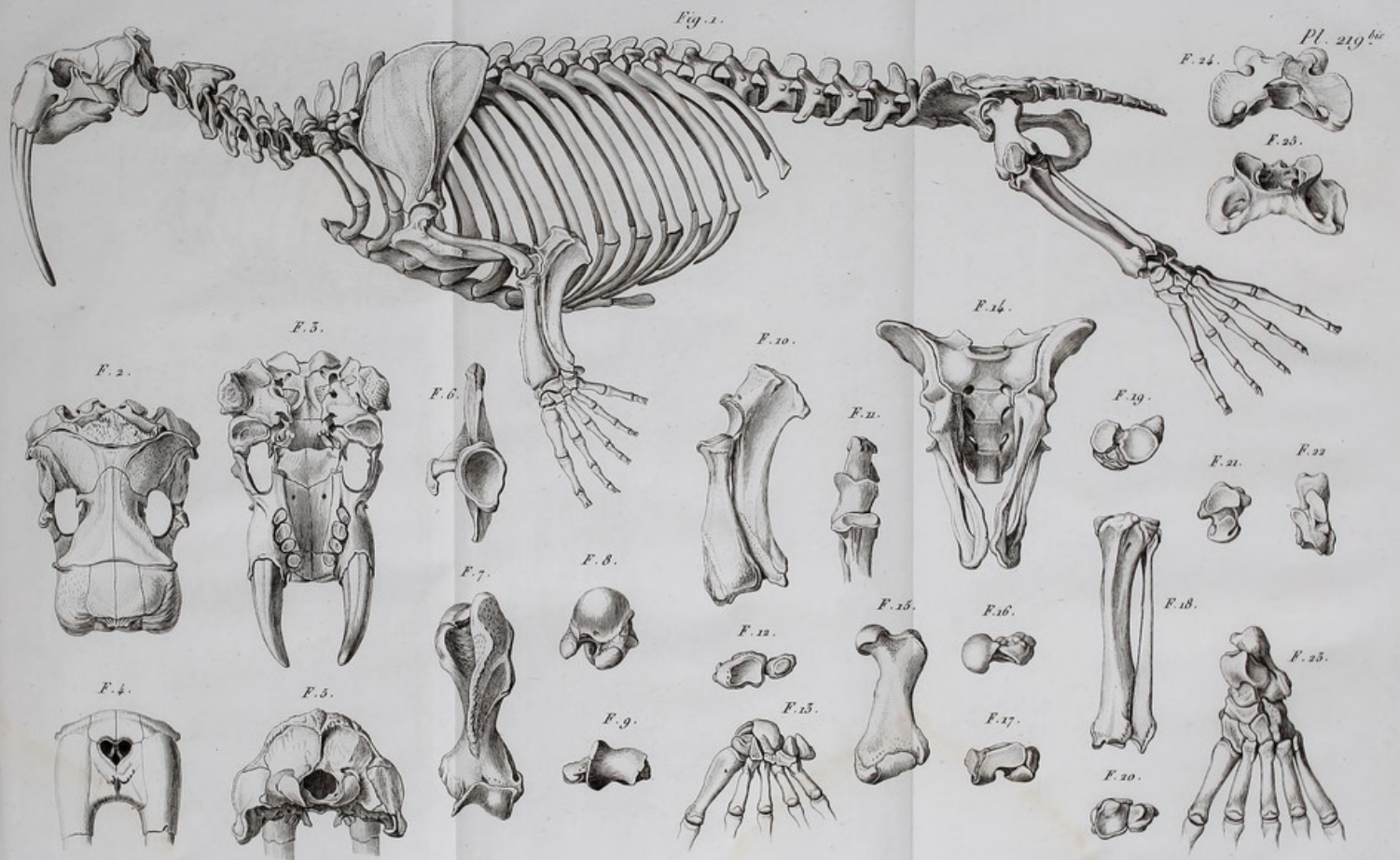


Fig. 2



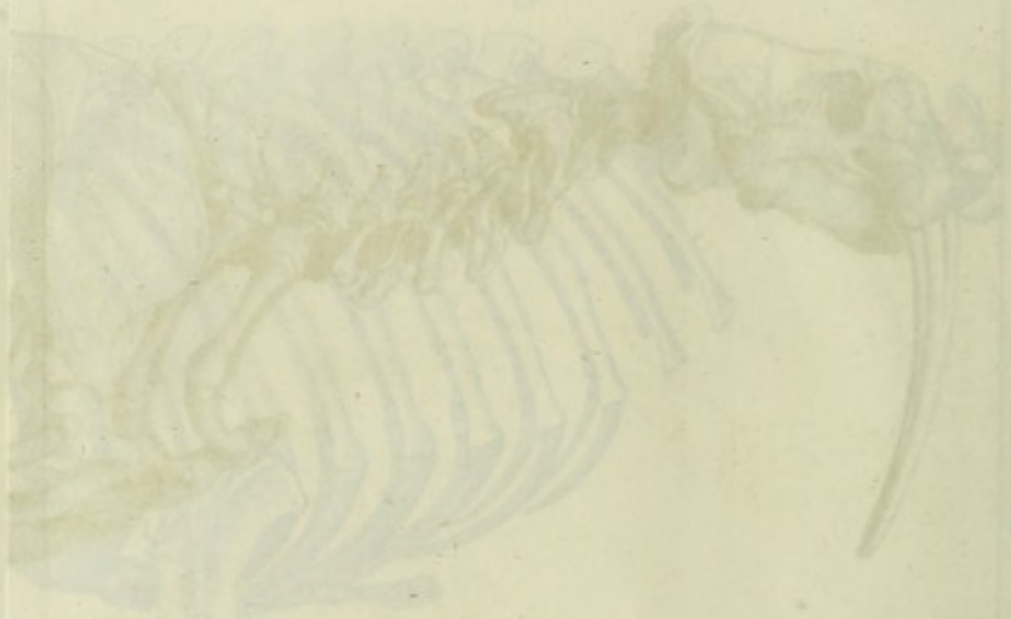
Fig. 3

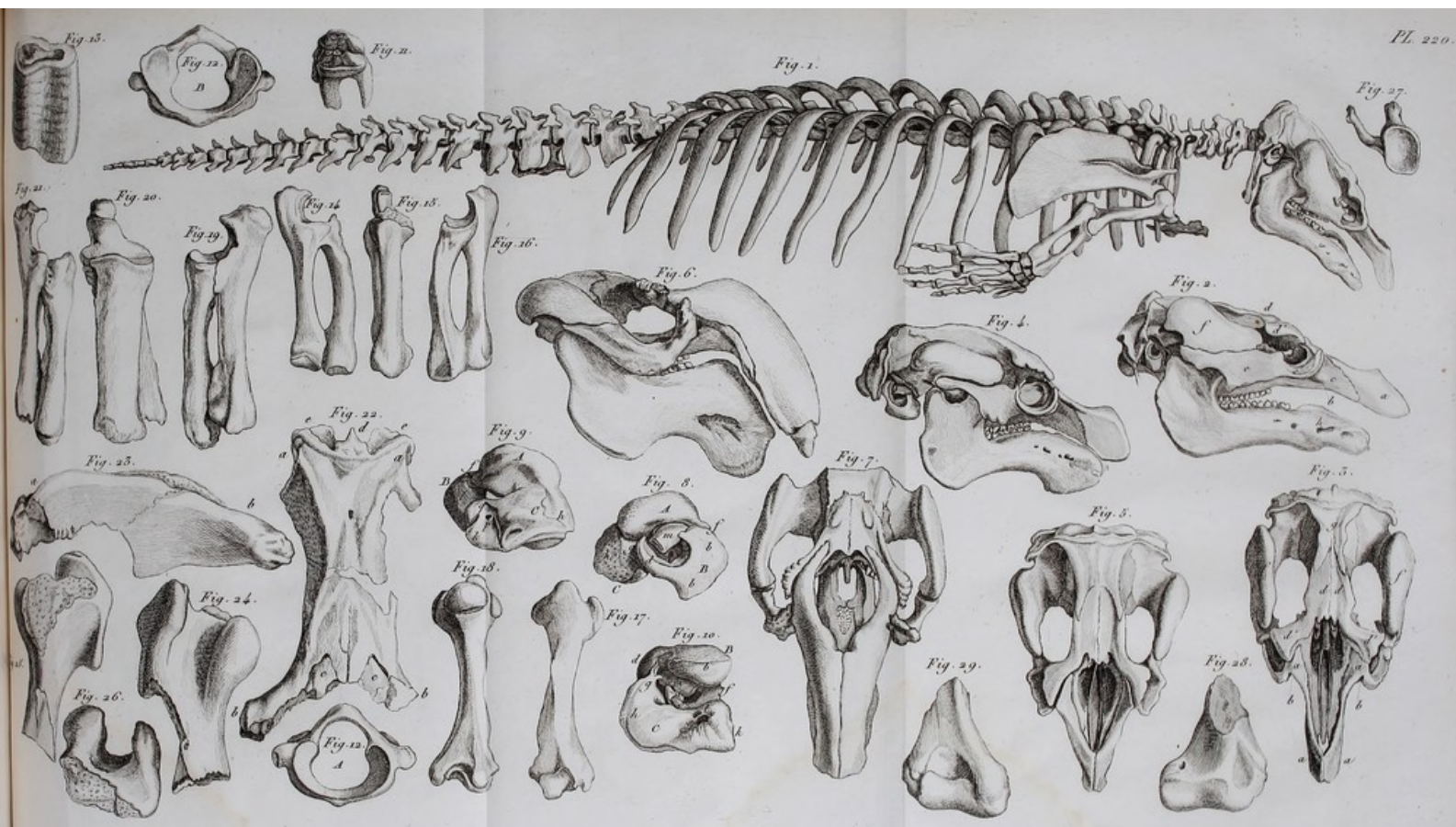




OSTÉOLOGIE DU MORSE.

Costant sculp^r





LAMANTINS & DUGONG.

Cass. sculp.



LAMANTINS - DUGONG.

Fig. 1. $\frac{1}{6}$

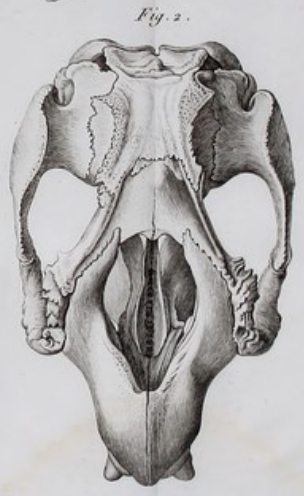
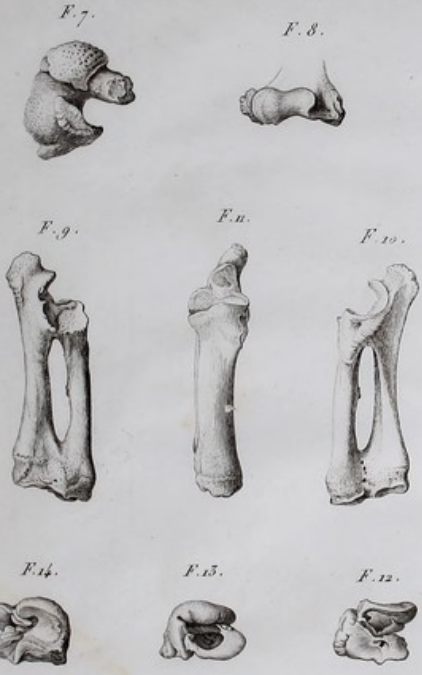
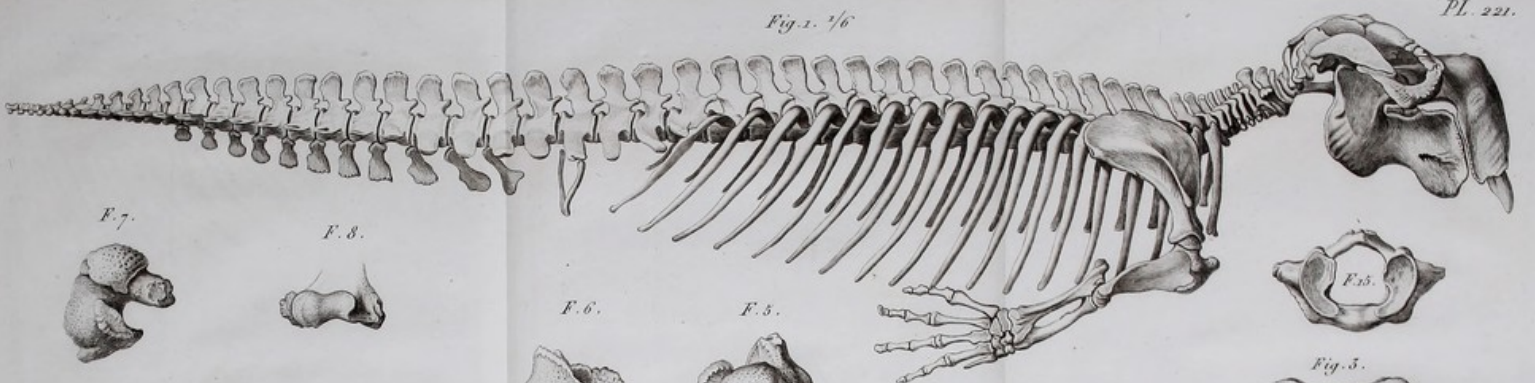




Fig. 1. $\frac{1}{4}$



Fig. 2.

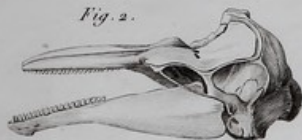


Fig. 5. $\frac{1}{5}$



Fig. 6.



Fig. 9. $\frac{1}{5}$



Fig. 3. $\frac{1}{5}$



Fig. 4.

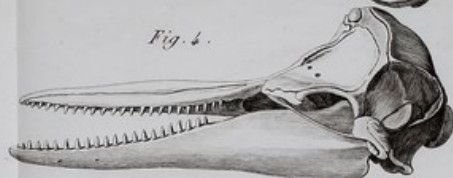


Fig. 7. $\frac{1}{5}$



Fig. 8.



Fig. 10.

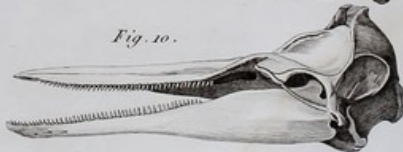


Fig. 11. $\frac{1}{6}$

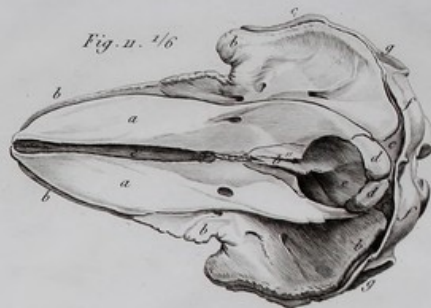


Fig. 12.

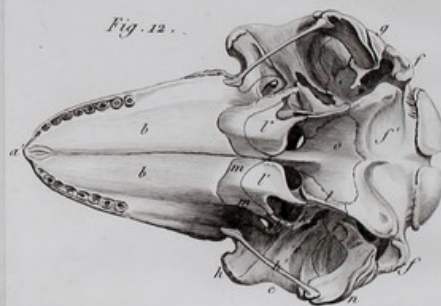


Fig. 13.



DIVERSES TÊTES DE DAUPHINS.

Gravé par



DIVERSES TÊTES DE DAPHNIES.

Fig. 1. $\frac{1}{3}$



Fig. 3. $\frac{1}{8}$

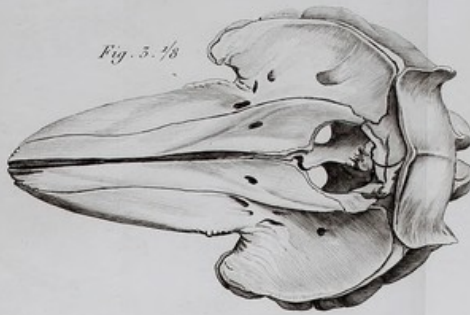


Fig. 5. $\frac{1}{3}$



Fig. 2. $\frac{1}{3}$

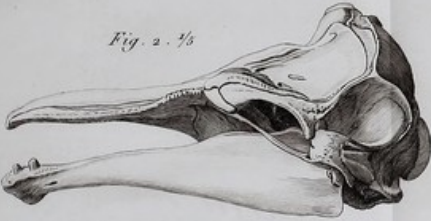


Fig. 6.

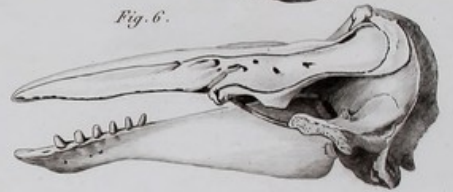


Fig. 4. $\frac{1}{8}$



Fig. 9. $\frac{1}{3}$



Fig. 7. $\frac{1}{3}$

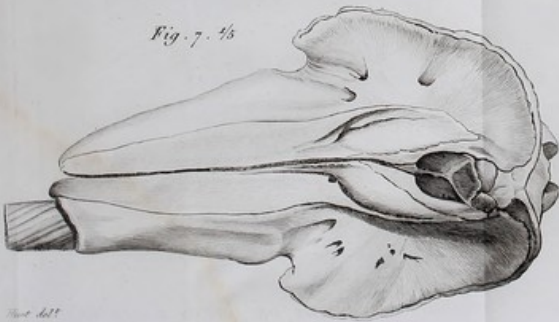


Fig. 8. $\frac{1}{3}$

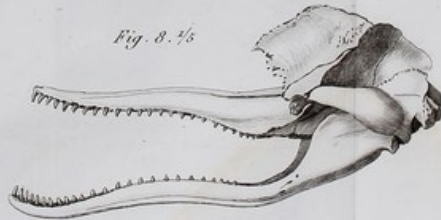


Fig. 10. $\frac{1}{3}$



TÊTES DE DIVERS DAUPHINS.

Contant sculpt.



POISSONS DE DIVERS DAUPHINA.

Fig. 1. $\frac{1}{6}$

Fig. 2. $\frac{1}{6}$

Fig. 4. $\frac{1}{4}$

Fig. 3. $\frac{1}{6}$

Fig. 5. $\frac{1}{4}$

F. 12. $\frac{1}{6}$

F. 37. $\frac{1}{6}$

F. 38. $\frac{1}{4}$

F. 9. $\frac{1}{4}$

F. 10.

F. 11.

F. 6. $\frac{1}{3}$

F. 11. $\frac{1}{6}$

F. 33. $\frac{1}{2}$

F. 34. $\frac{1}{2}$

F. 35. $\frac{1}{2}$

F. 36. $\frac{1}{2}$

F. 19. $\frac{1}{5}$

F. 17. $\frac{1}{6}$

F. 15. $\frac{1}{8}$

F. 13. $\frac{1}{3}$

F. 20. $\frac{1}{4}$

F. 18. $\frac{1}{4}$

F. 16. $\frac{1}{8}$

F. 14. $\frac{1}{10}$

F. 7.

F. 8.

F. 22. $\frac{1}{3}$

F. 21. $\frac{1}{6}$

F. 31.

F. 32.

F. 30.

F. 28.

F. 29.

F. 27.

F. 26.

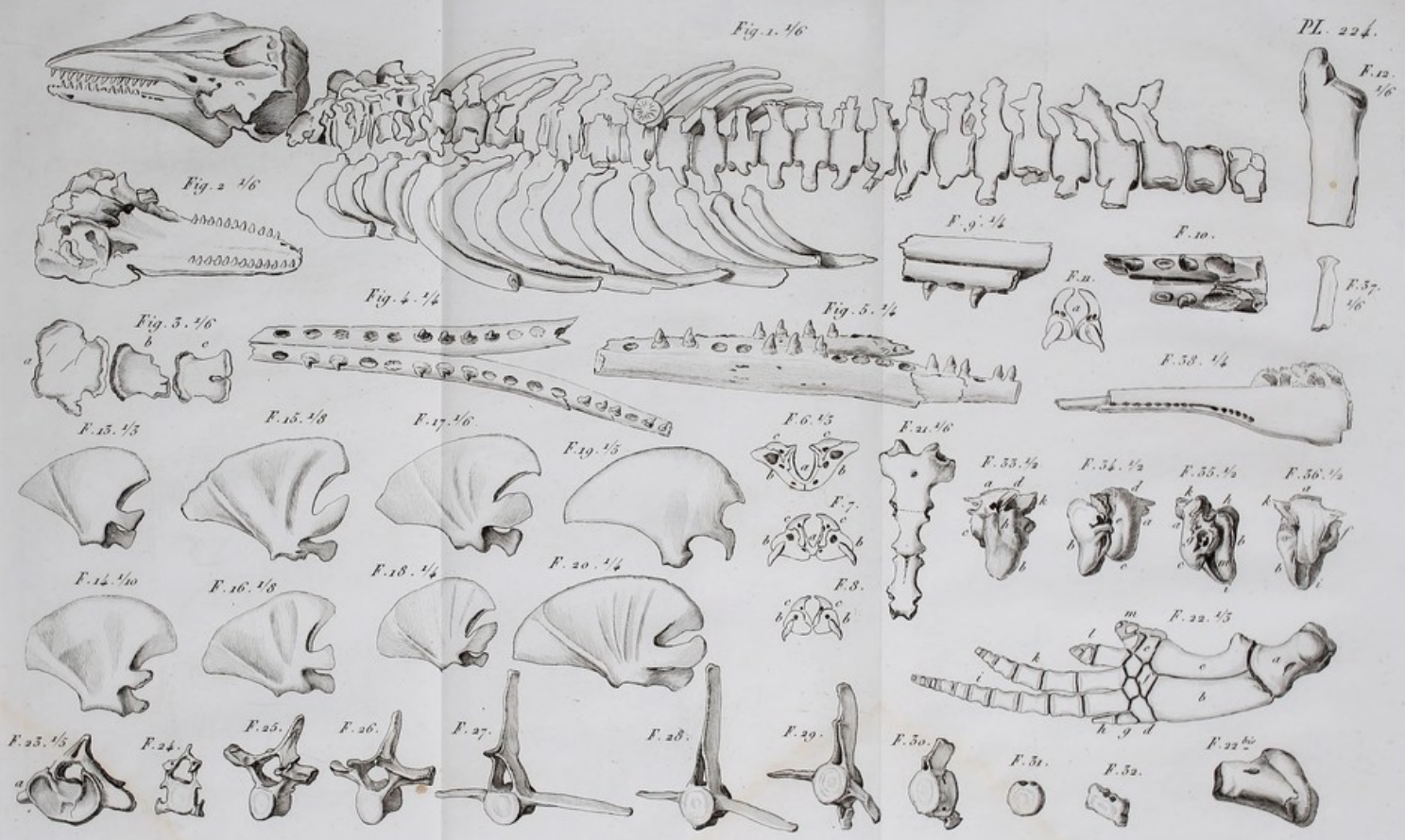
F. 25.

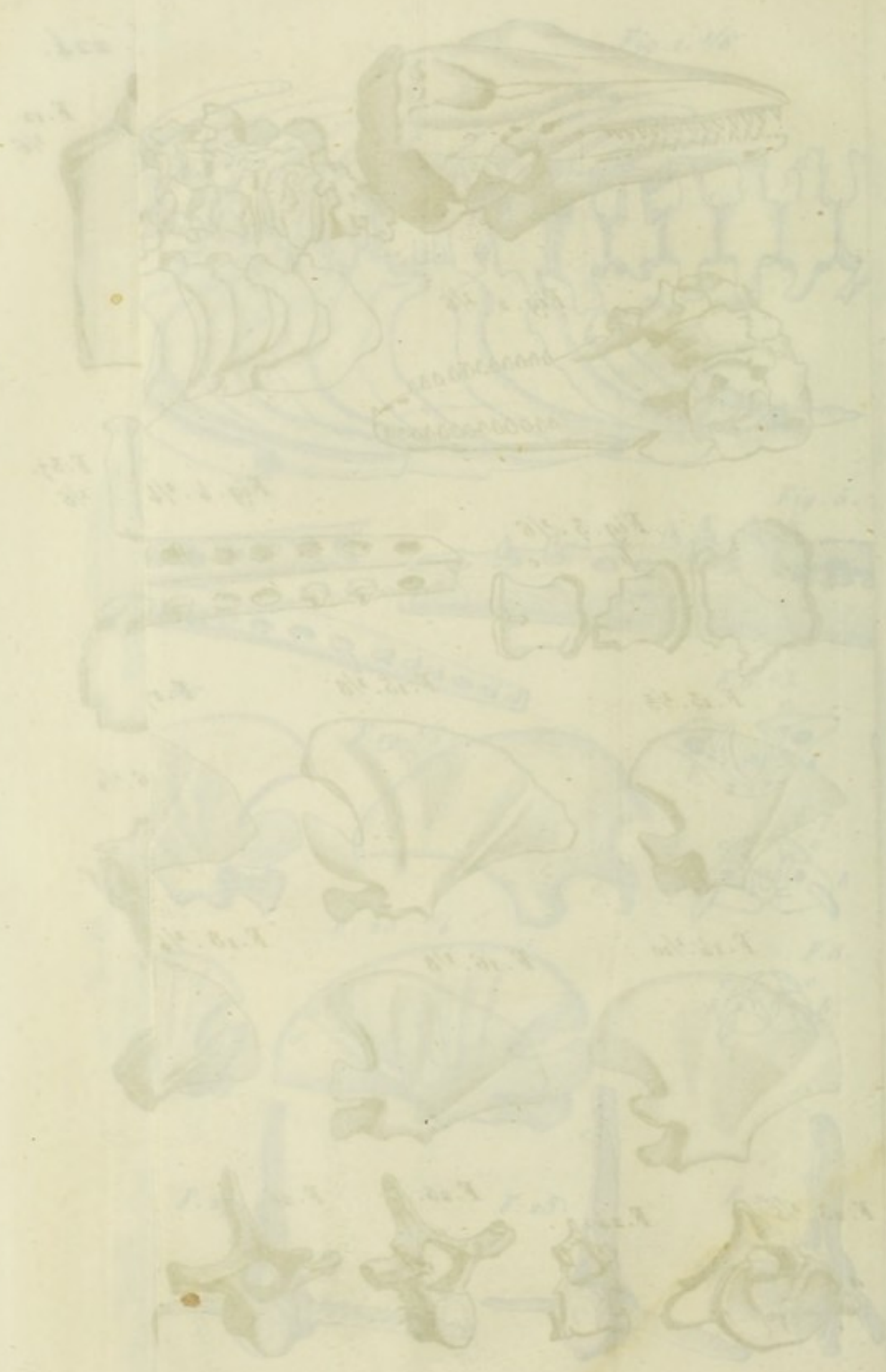
F. 24.

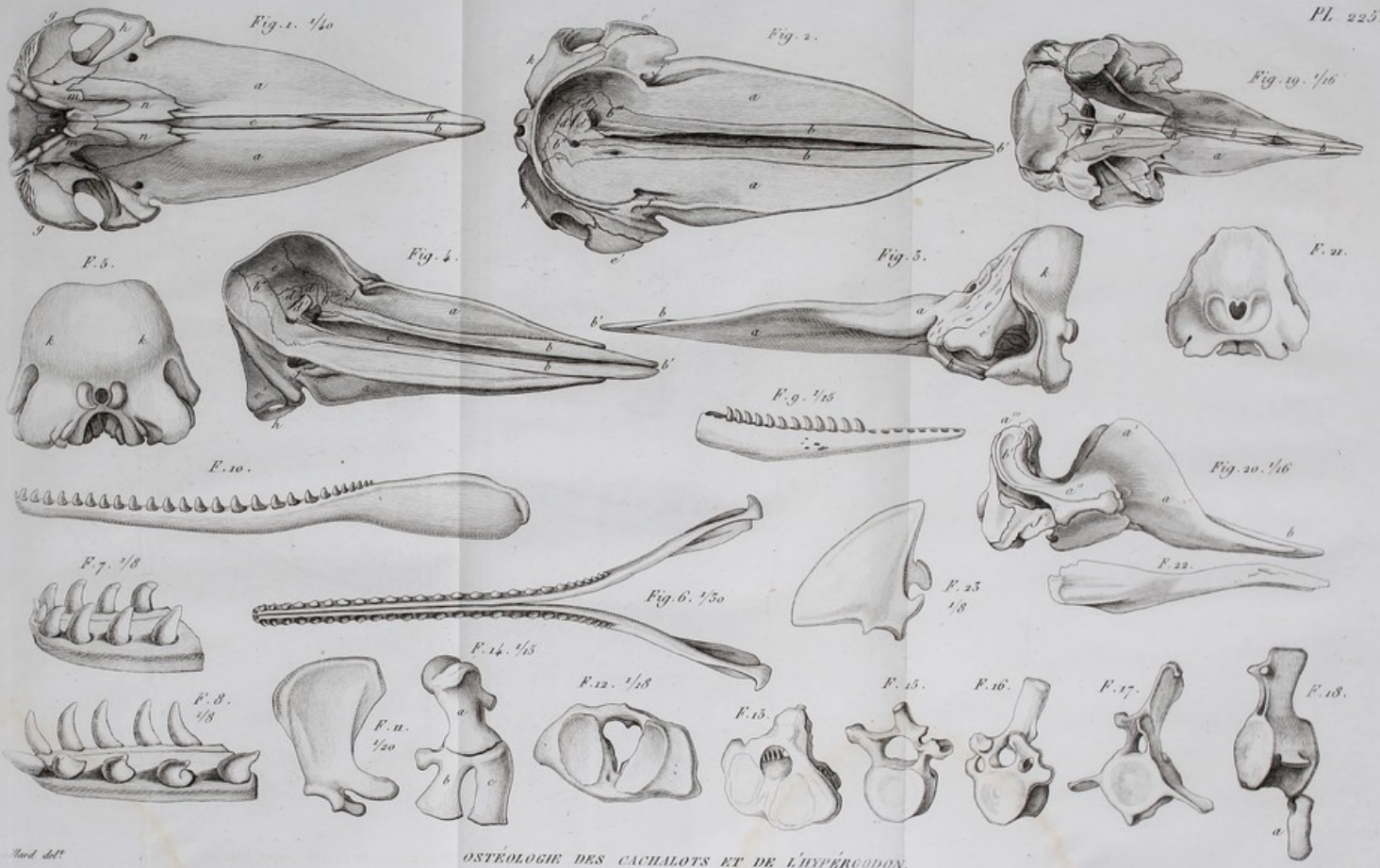
F. 23. $\frac{1}{5}$

Lacépède del.

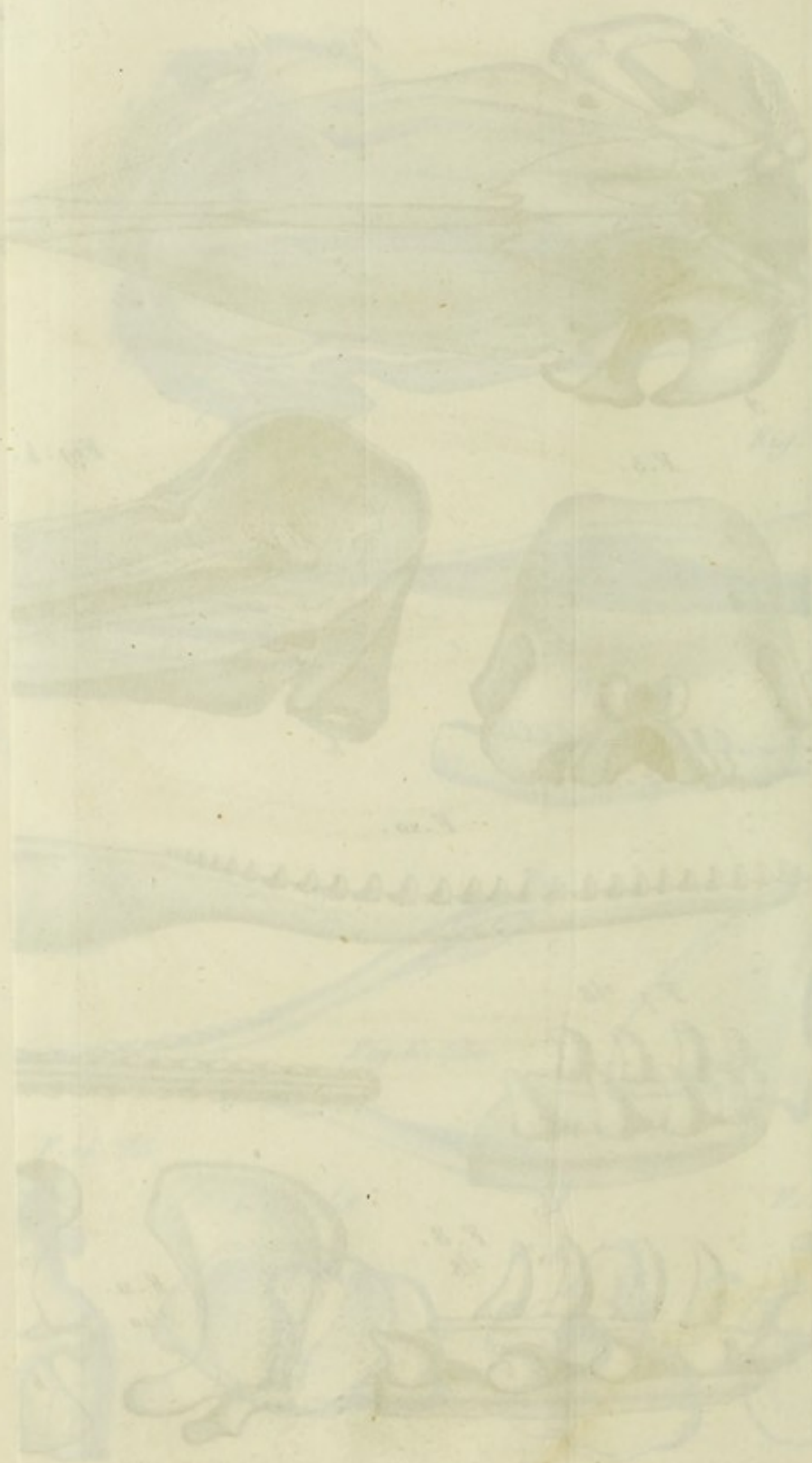
Costant sculp.







OSTÉOLOGIE DES CACHALOTS ET DE L'HYPÉRODON.



DETERMINATION DES CACHALOTS ET DE L'ESPÈCE

Fig. 1. $\frac{1}{10}$



Fig. 2.

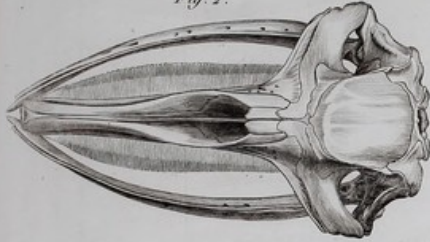
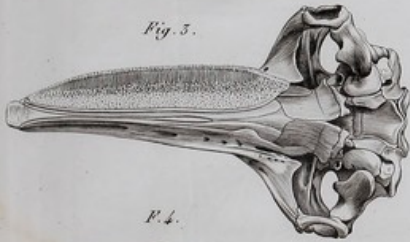


Fig. 3.



F. 4.

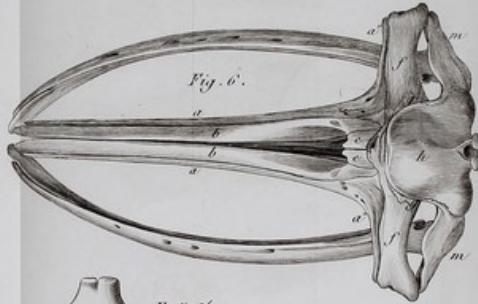


Best. del.

Fig. 5. $\frac{1}{20}$



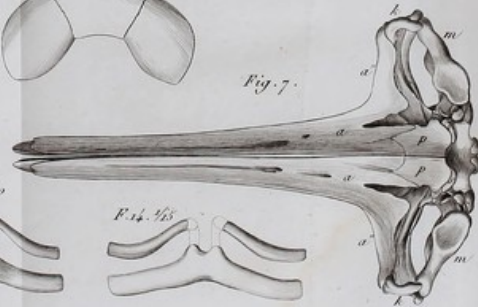
Fig. 6.



F. 15. $\frac{1}{20}$



Fig. 7.



F. 13. $\frac{1}{10}$



F. 14. $\frac{1}{15}$



TÊTES DE BALEINES.

Fig. 9. $\frac{1}{54}$



Fig. 10.

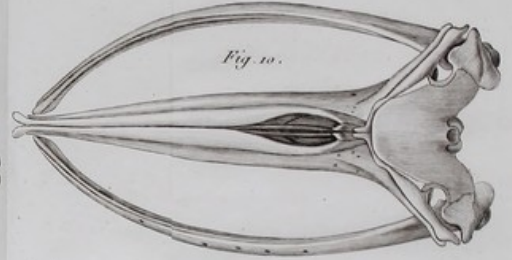


Fig. 11.



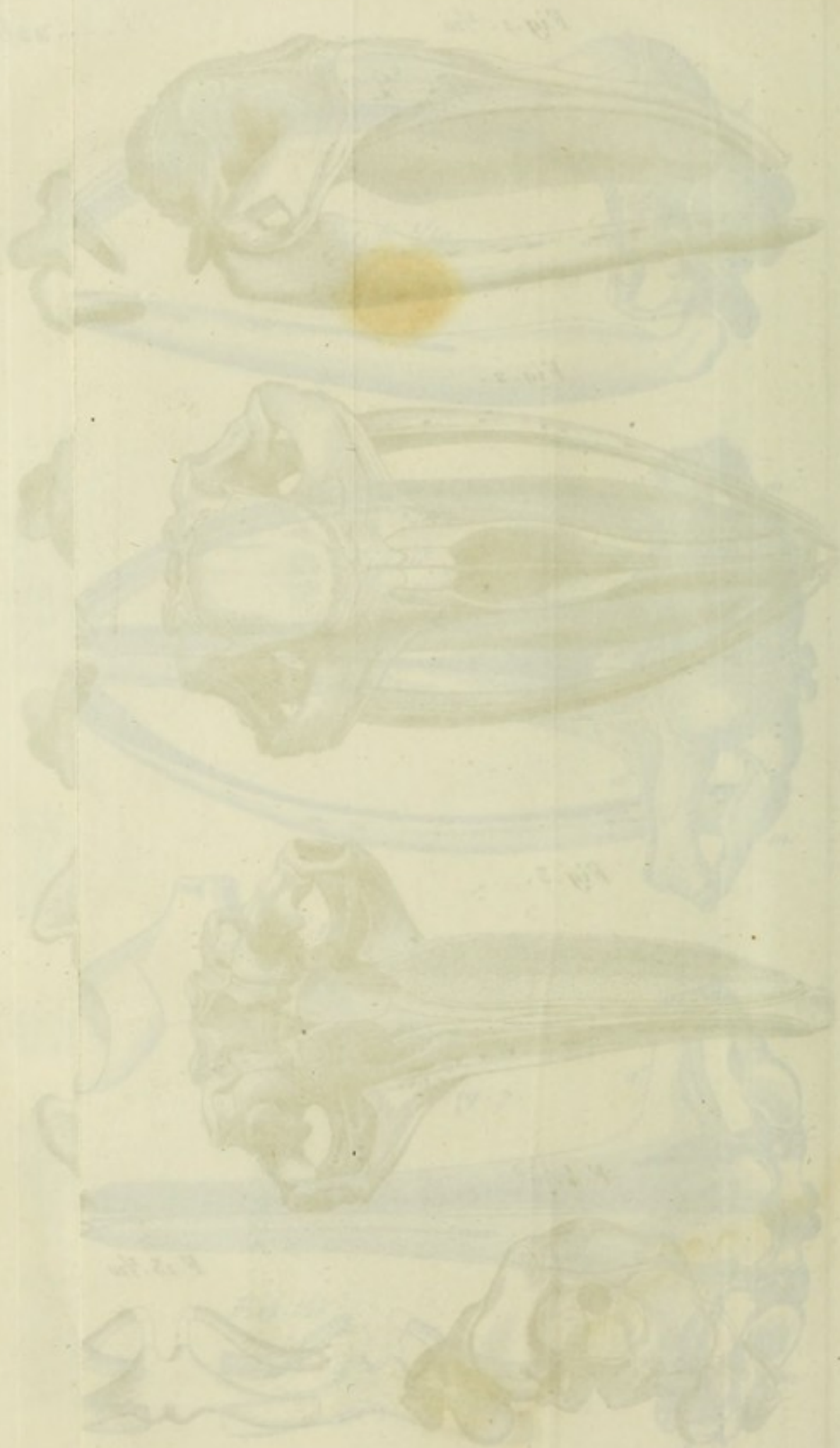
F. 12. $\frac{1}{4}$



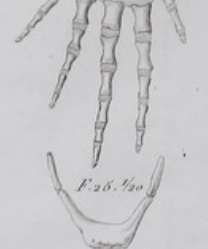
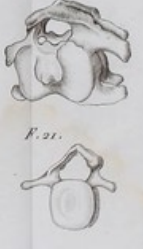
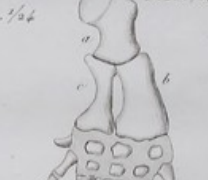
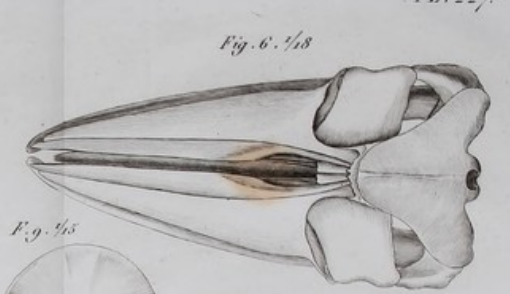
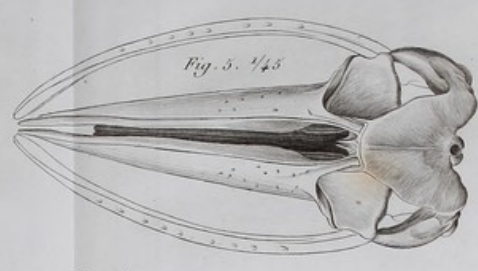
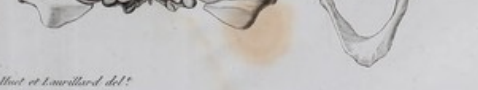
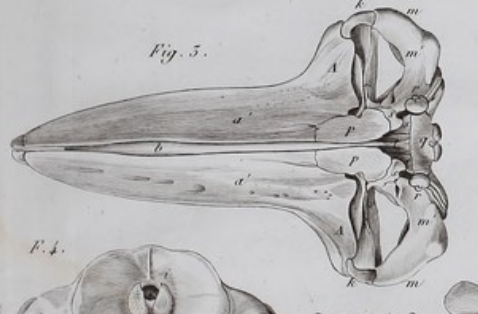
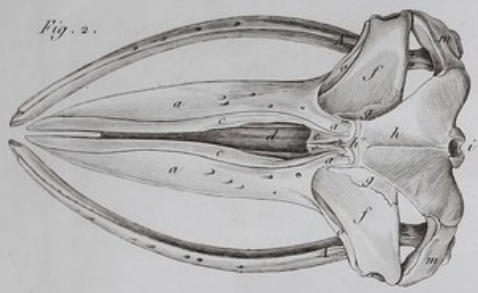
F. 8.



Contant. sculp.



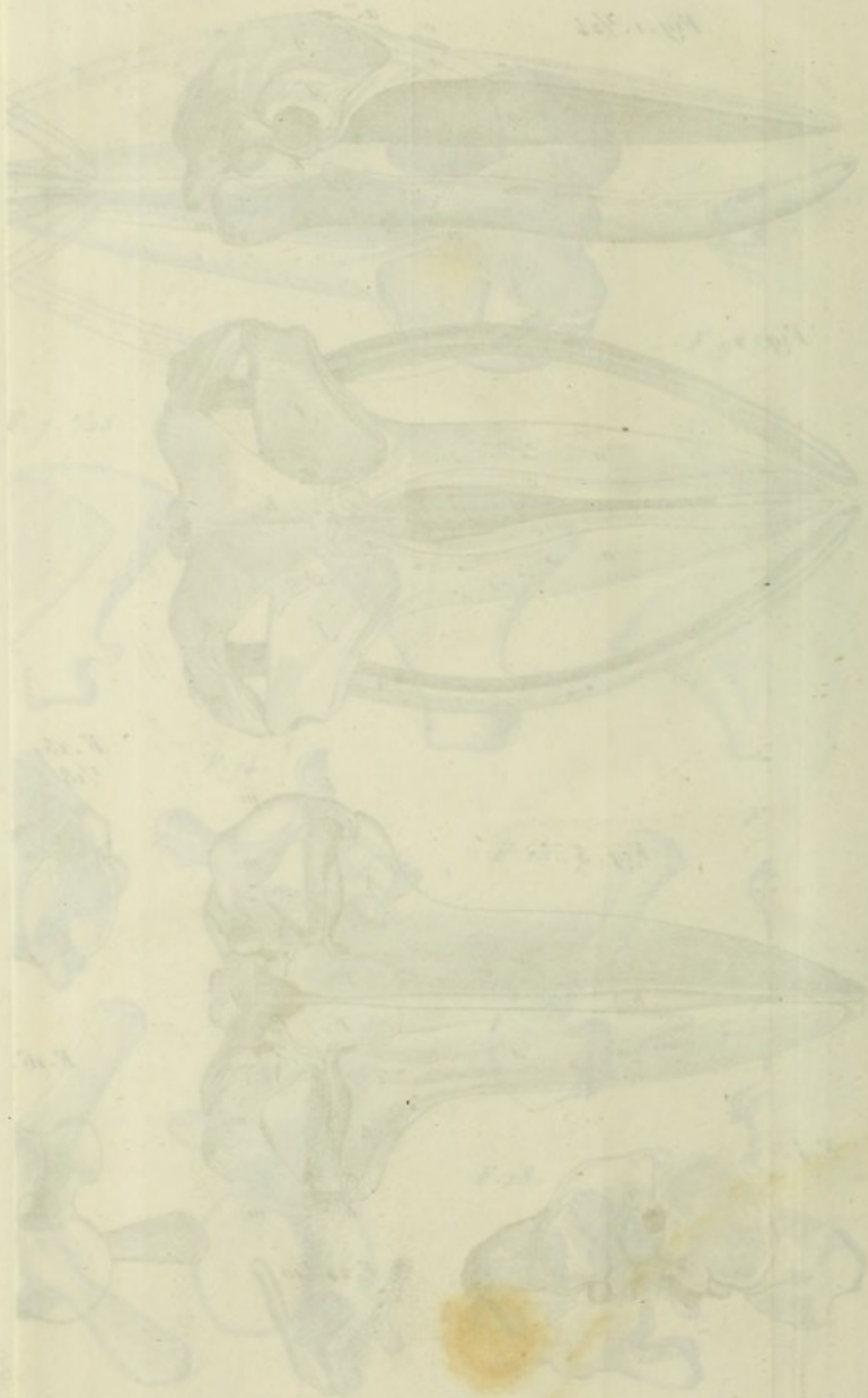
TÊTES DE SALMONS.



Huet et Lacroix del.

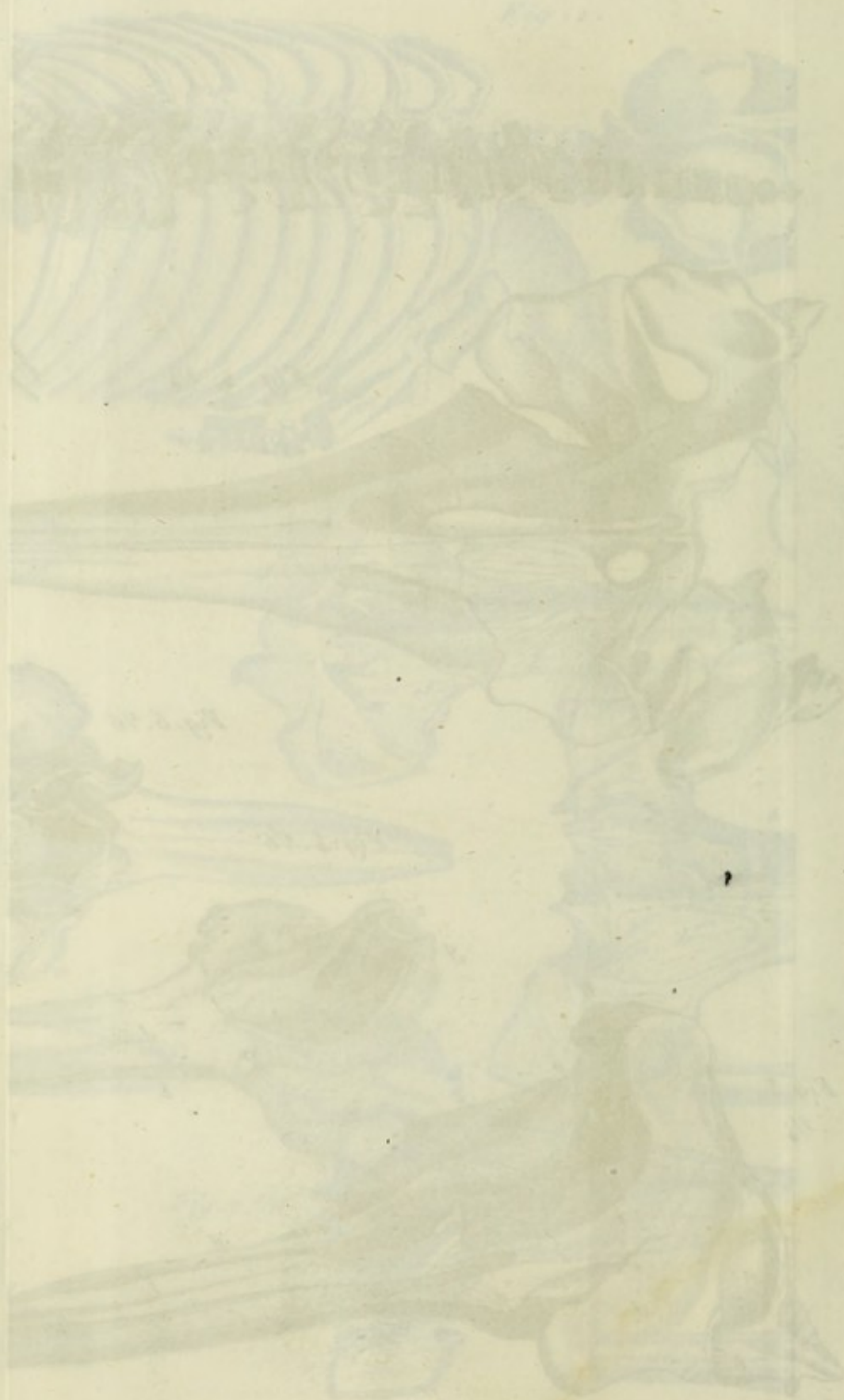
OSTÉOLOGIE DE DIVERSES BALEINES.

Contant sculpt.

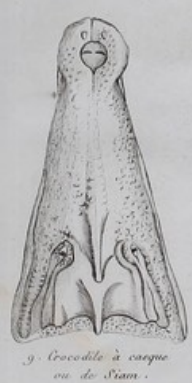
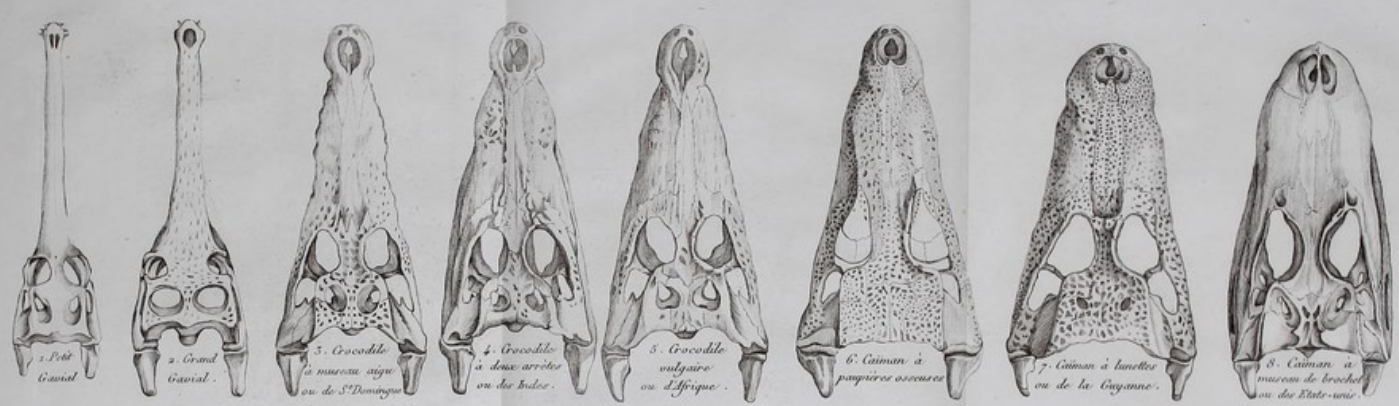


ASTROSCOPUS DE DIVERSES ALPINES

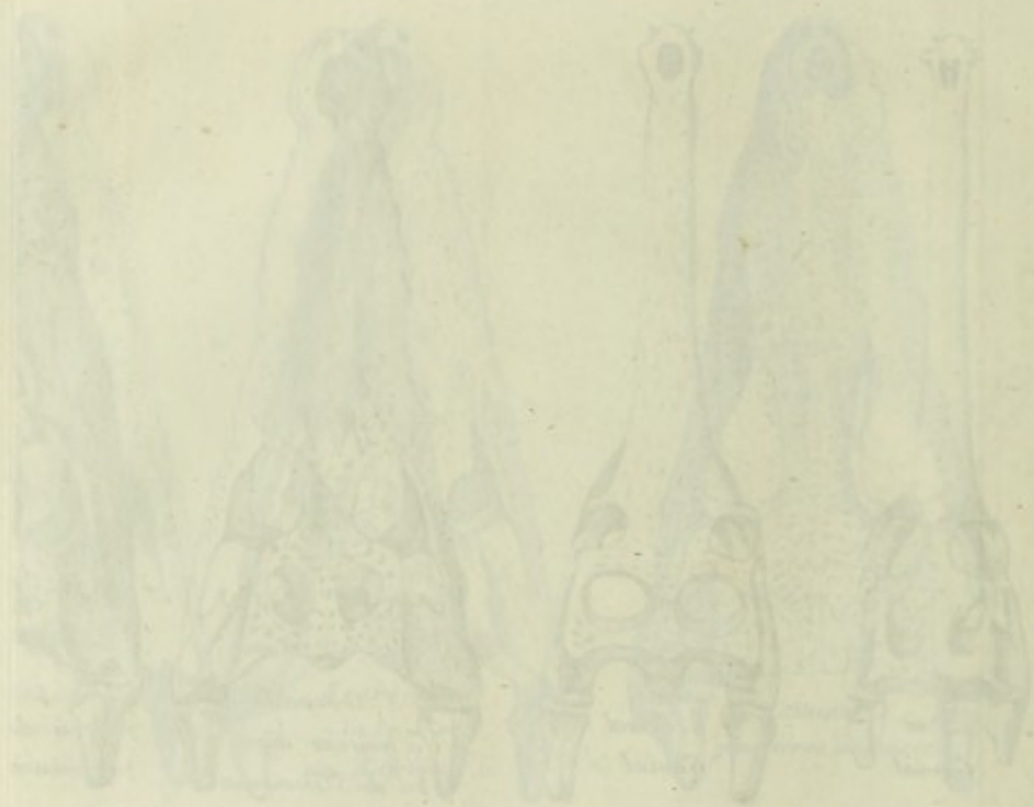




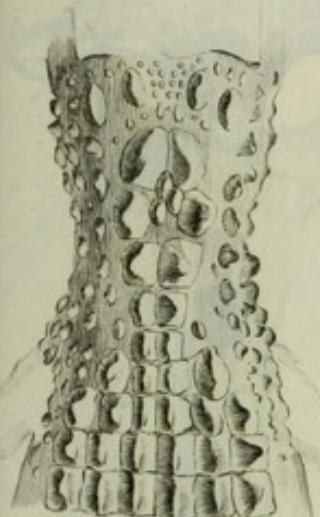
FOLIOLES FOSSILES



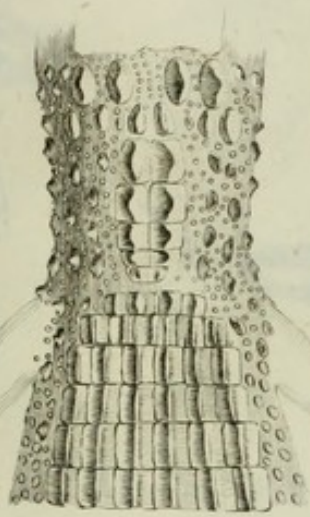
1. Cranes des différentes espèces de Crocodiles, vue de face et de profil, réduits à la même longueur.



Spodites ...



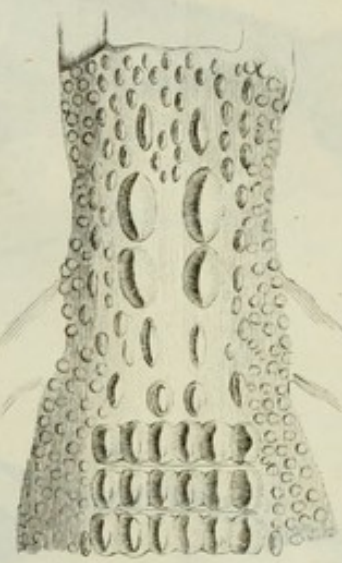
1. Caïman à paupières osseuses. 2^e variété.



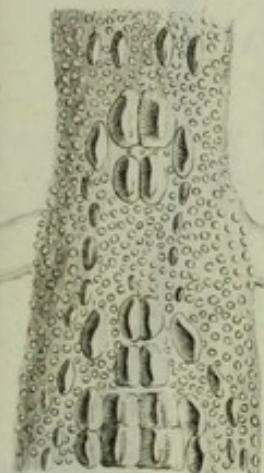
2. Caïman à paupières osseuses. 1^{re} variété.



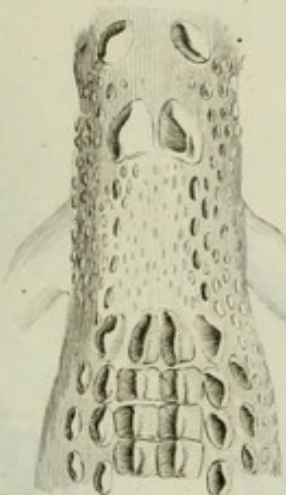
3. Caïman à lunettes.



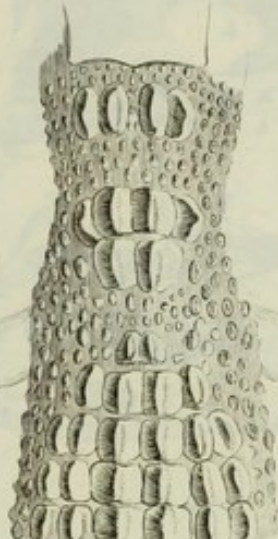
4. Caïman à museau de brochet.



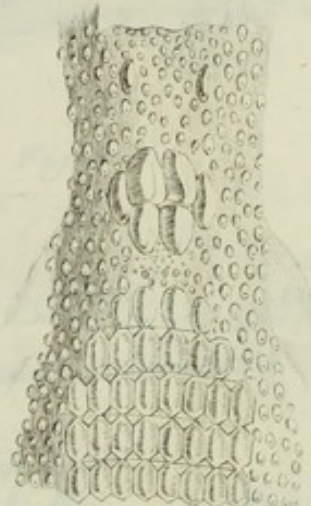
5. Crocodile de St. Domingo.



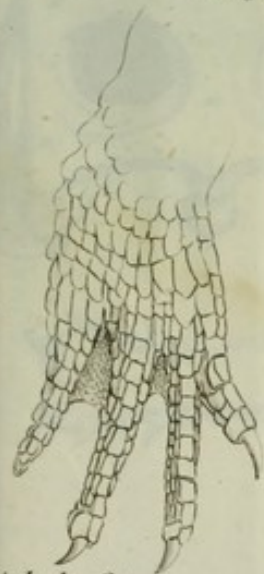
6. Crocodiles à deux plaques.



7. Crocodile vulgaire.



8. Crocodile à 2 arrêtes



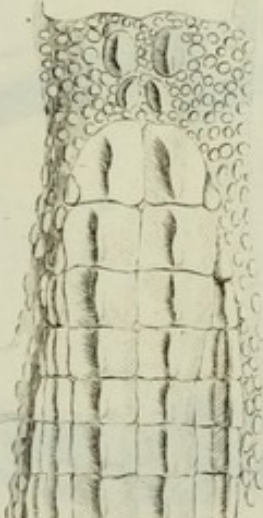
Pied de Caïman.



10. Pied de Crocodile



11. Grand Gaviol.



12. Petit Gaviol.

II. Nuques et pieds des diverses espèces de Crocodiles.

Fig. 3.



Fig. 6.

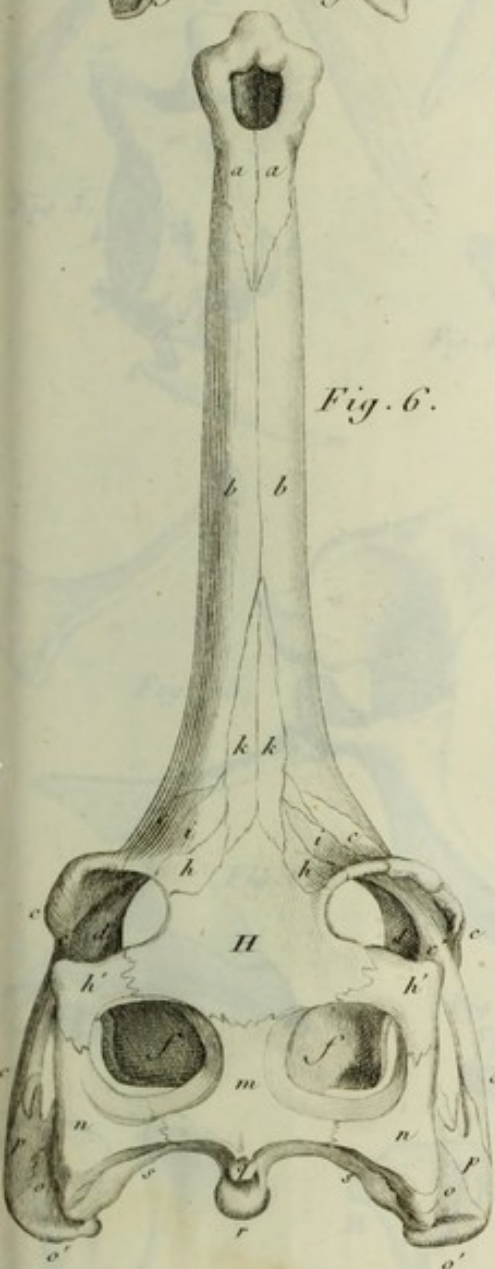


Fig. 1.

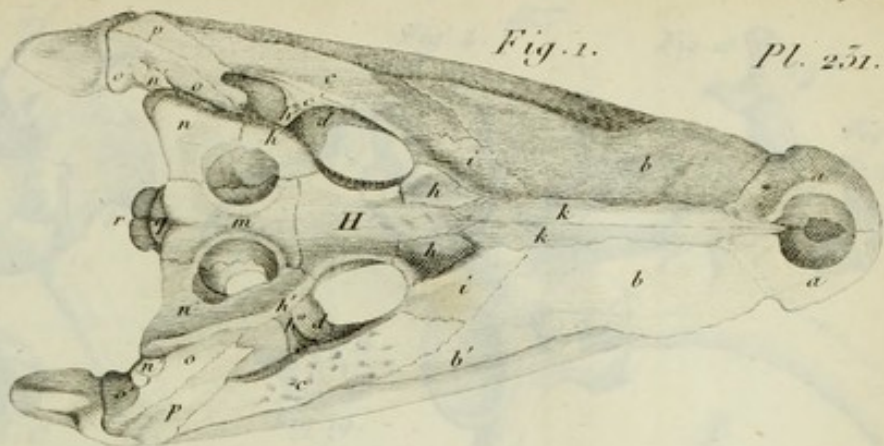


Fig. 2.

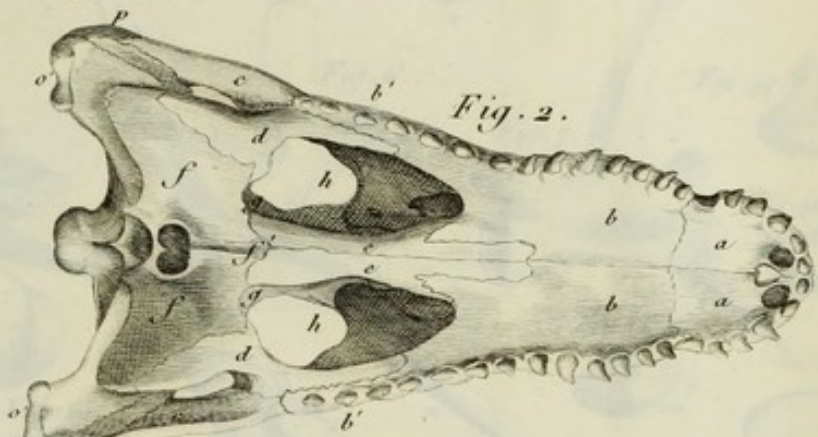


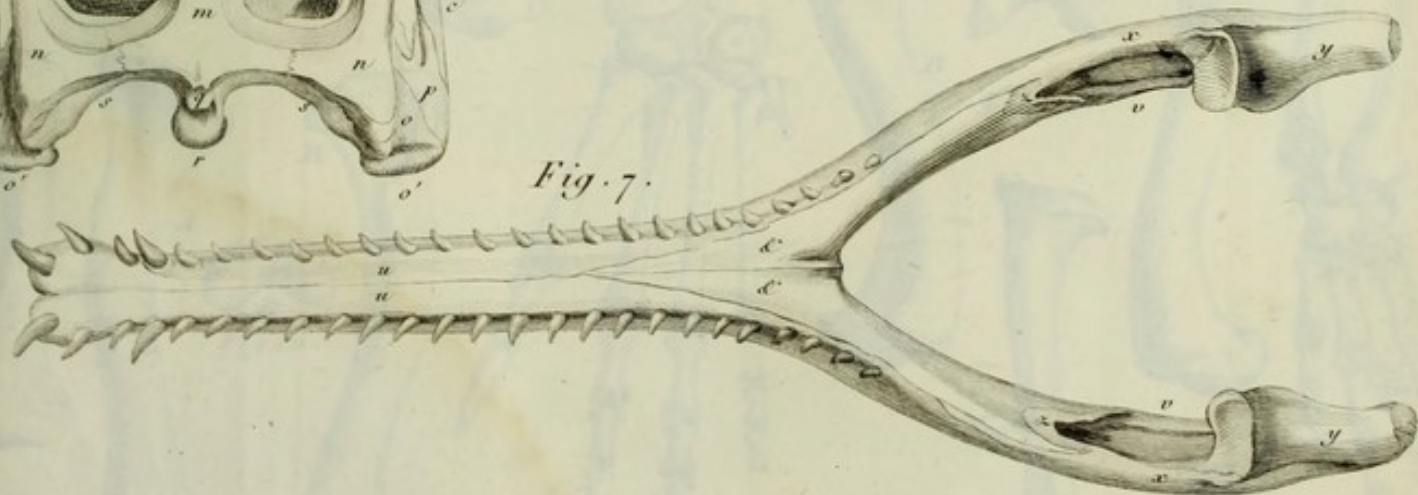
Fig. 5.

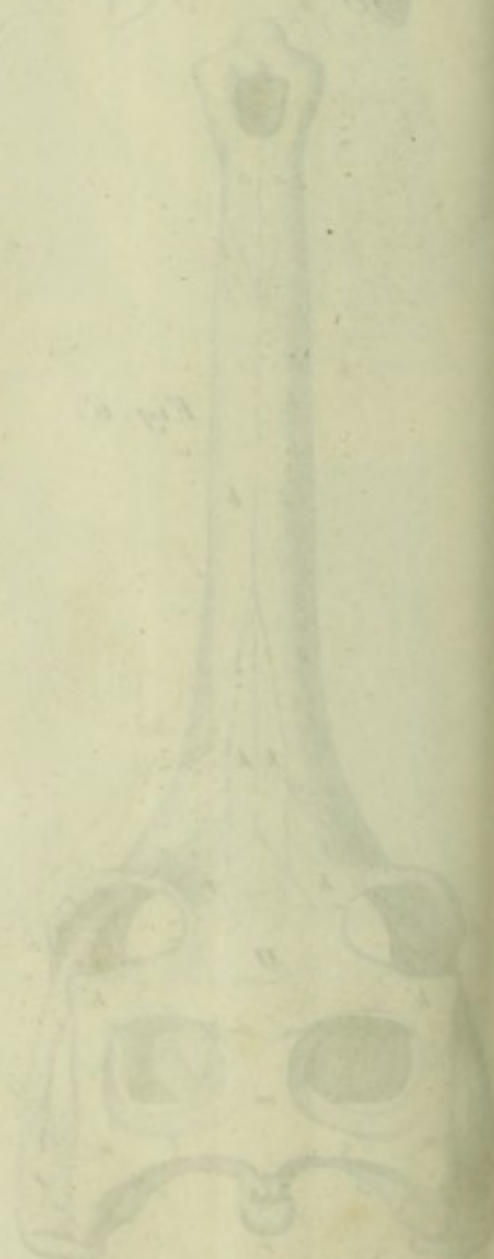
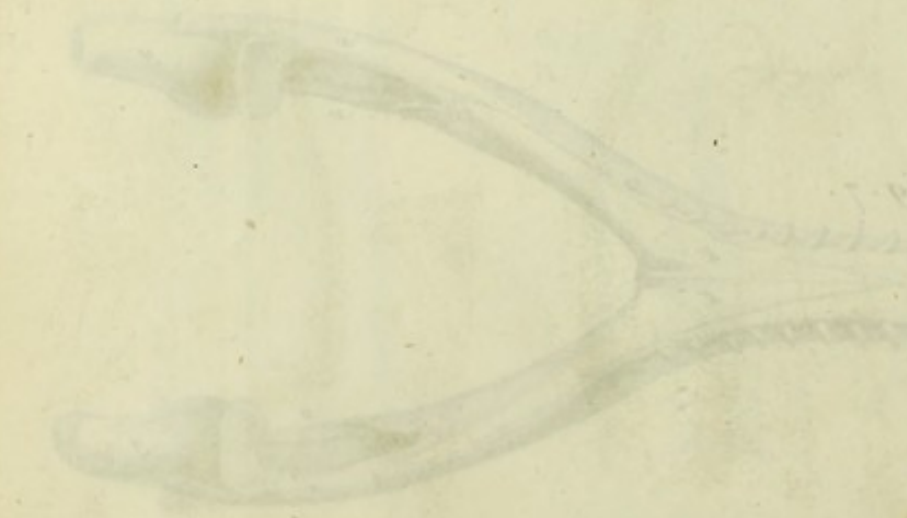
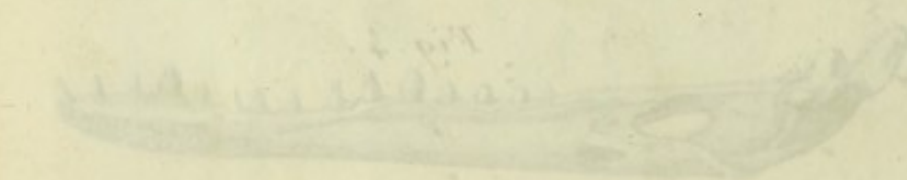
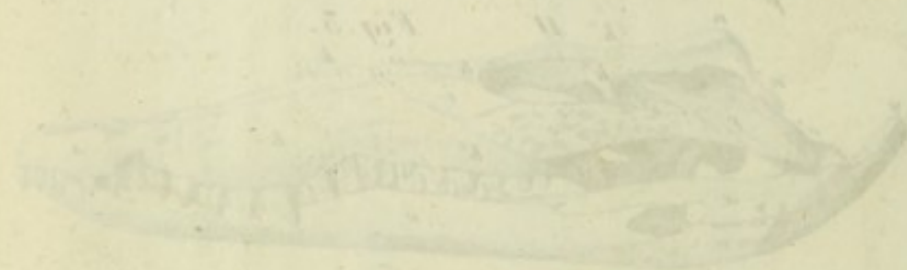
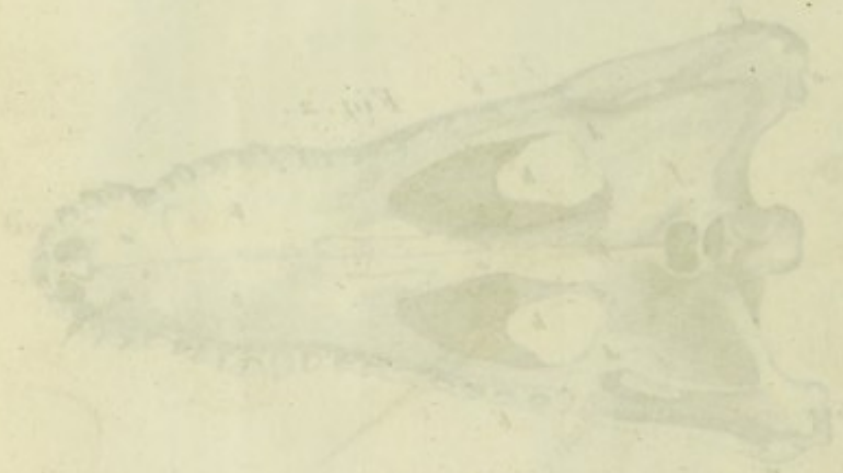


Fig. 4.

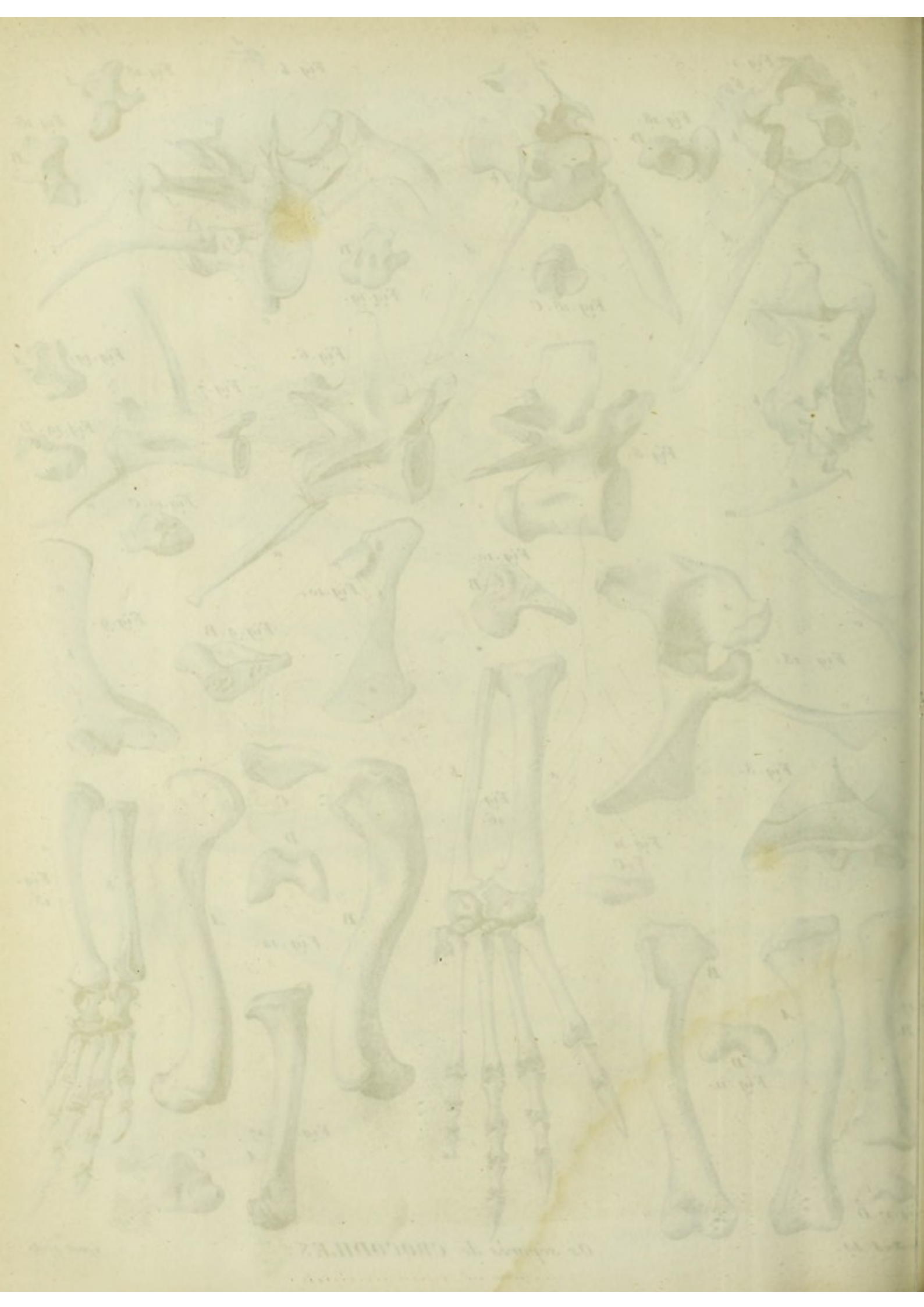


Fig. 7.





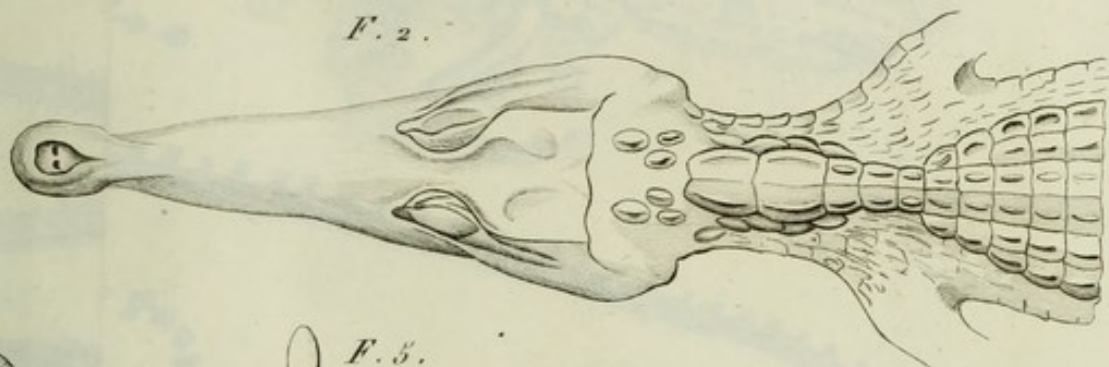




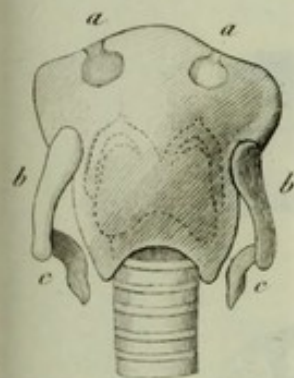
F. 10.



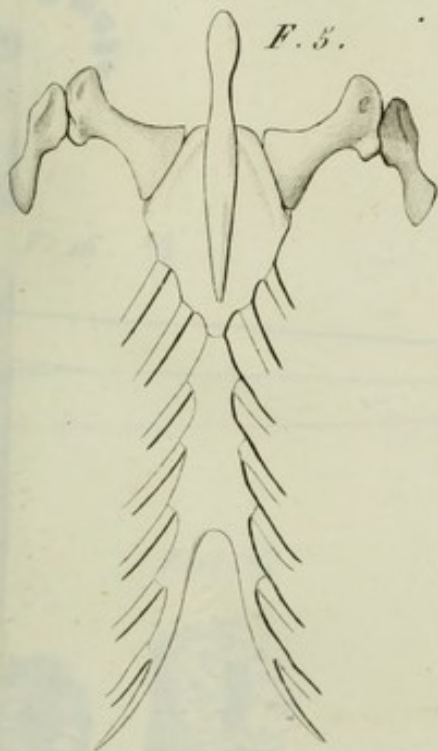
F. 2.



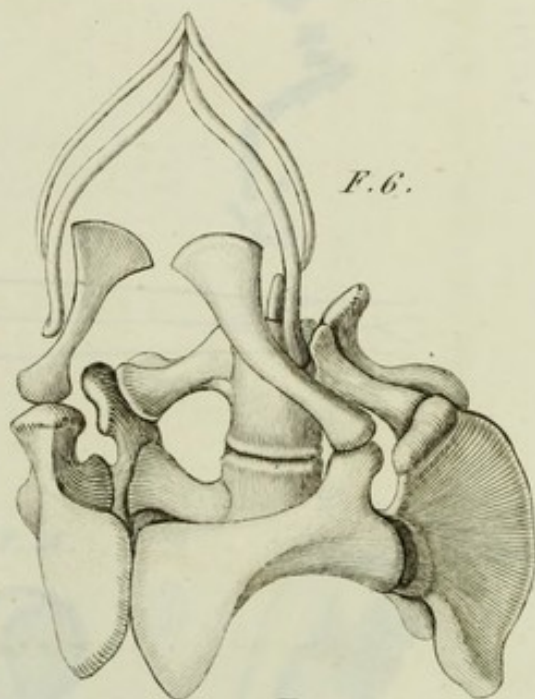
F. 3.



F. 5.



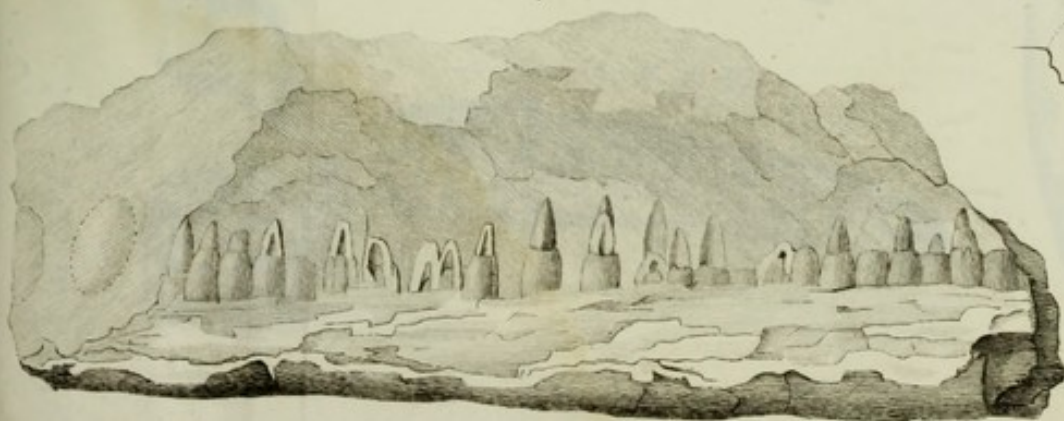
F. 6.



F. 4.



F. 7.

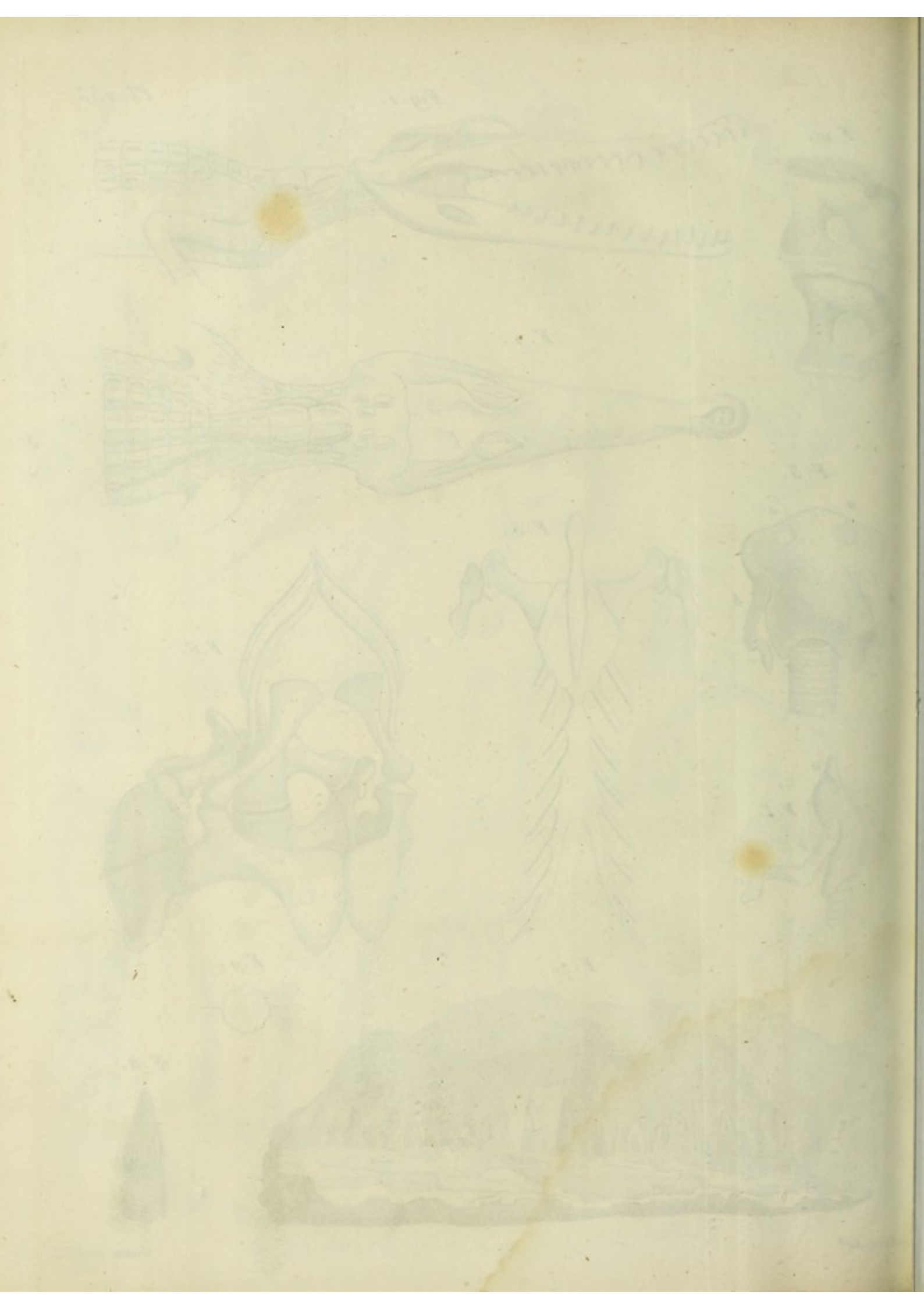


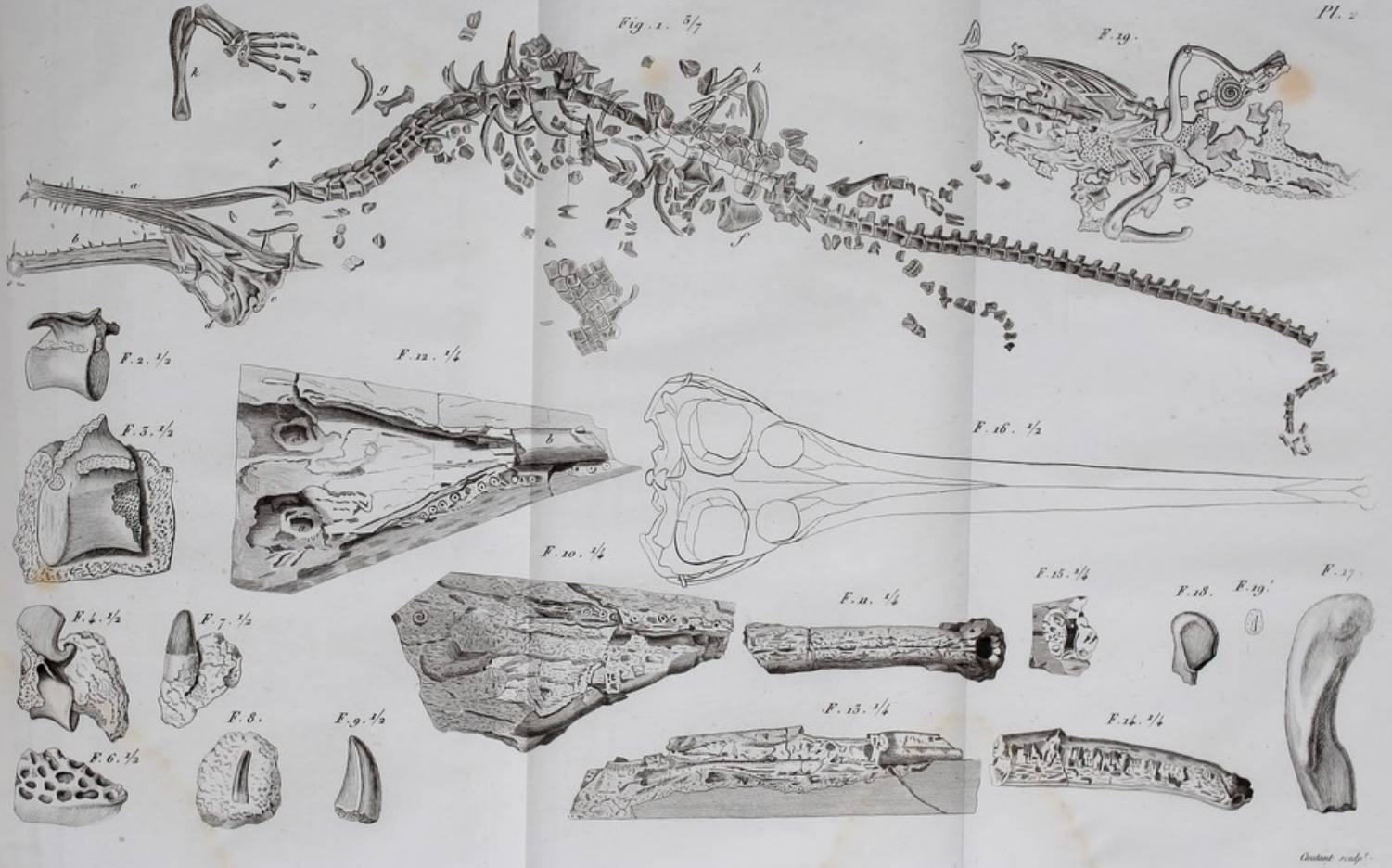
F. 9.



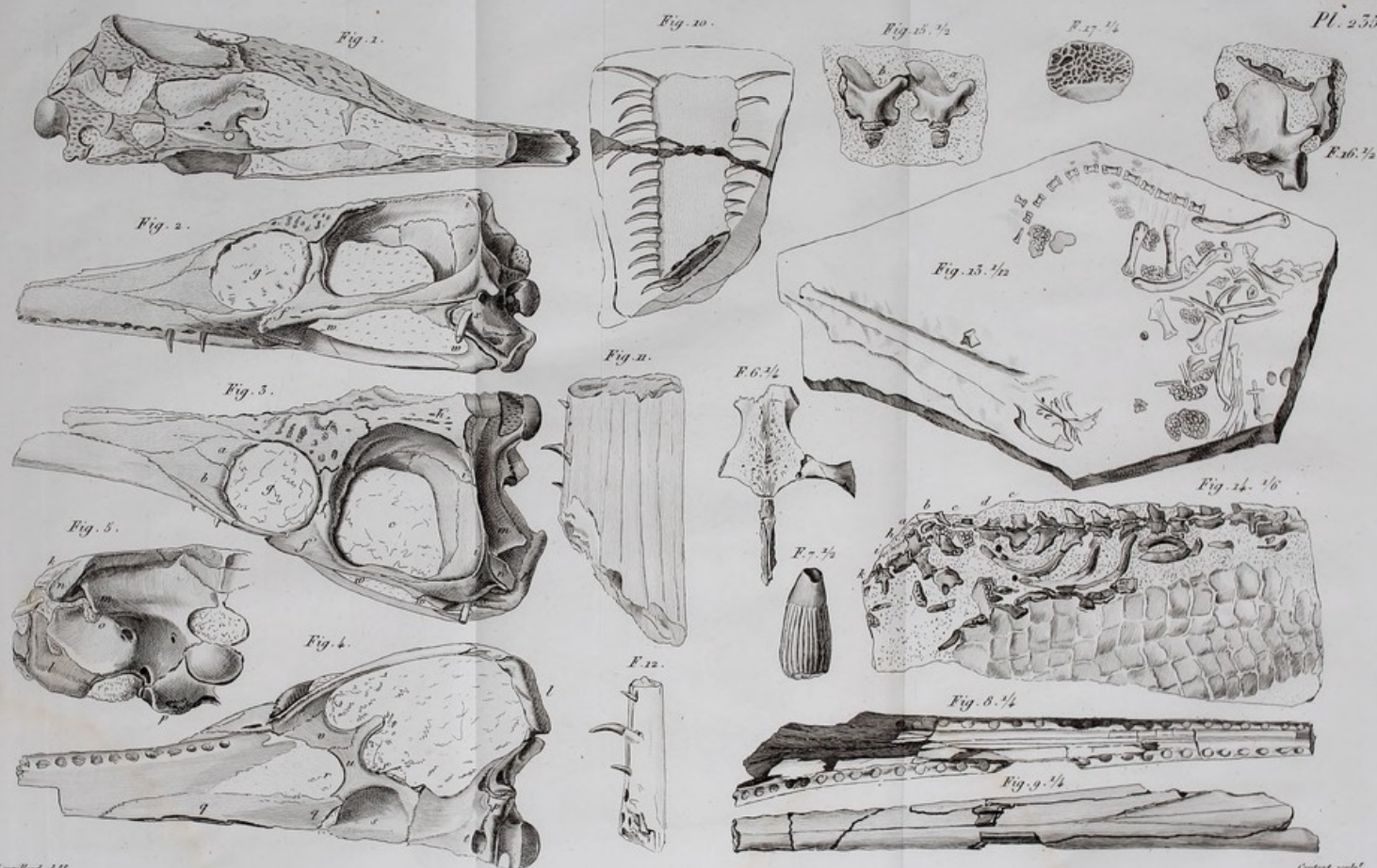
F. 8.











Amorland del.

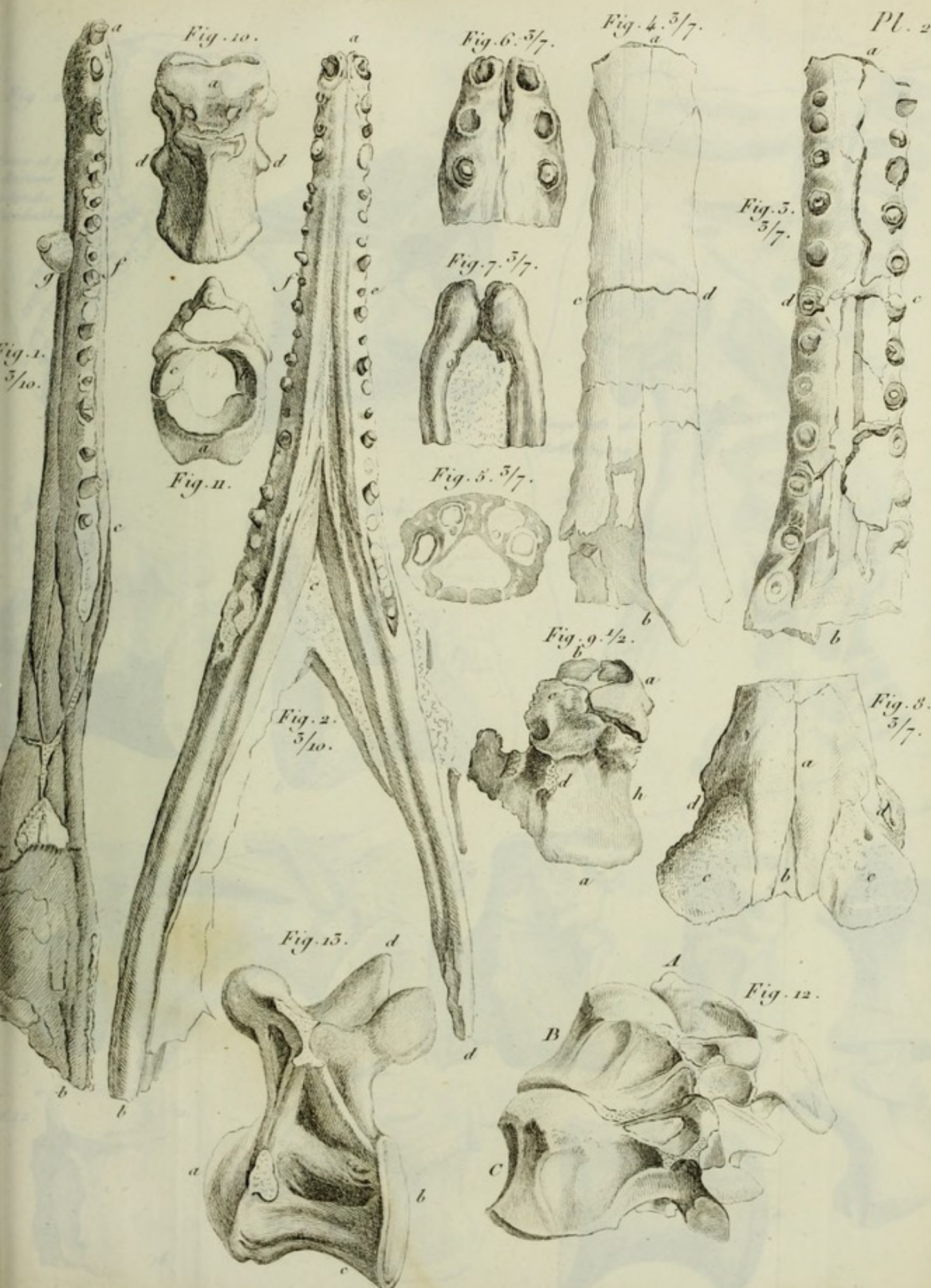
CROCODILES FOSSILES.

Gratant sculp.



CROCODILES FOSSILES.

EXAMINÉES PAR M. DE MEUSE.



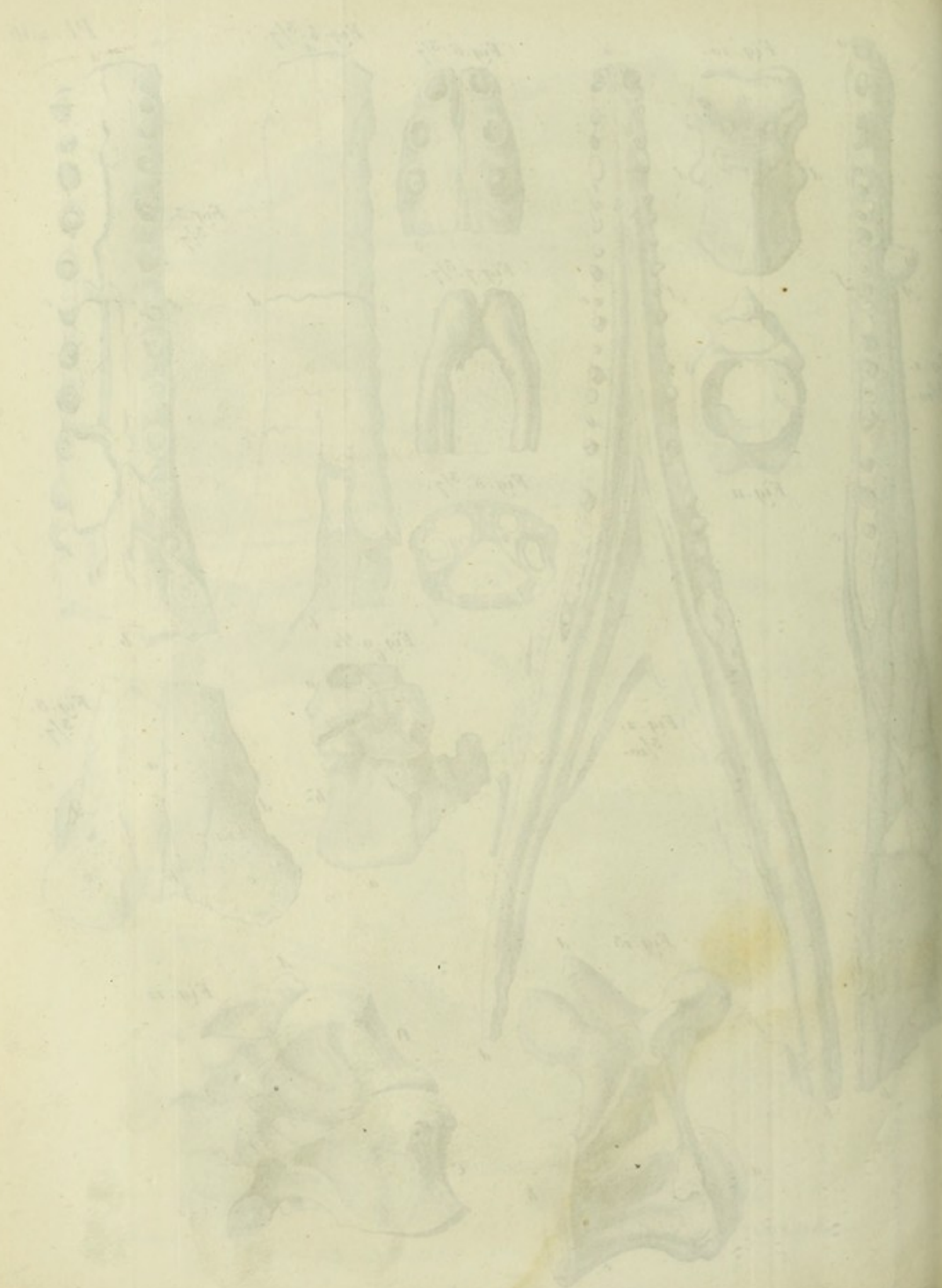


Fig. 1. 2. 3. 4. 5. 6. 7. 8. 9. 10. 11. 12. 13. 14. 15. 16. 17. 18. 19. 20. 21. 22. 23. 24. 25. 26. 27. 28. 29. 30. 31. 32. 33. 34. 35. 36. 37. 38. 39. 40. 41. 42. 43. 44. 45. 46. 47. 48. 49. 50. 51. 52. 53. 54. 55. 56. 57. 58. 59. 60. 61. 62. 63. 64. 65. 66. 67. 68. 69. 70. 71. 72. 73. 74. 75. 76. 77. 78. 79. 80. 81. 82. 83. 84. 85. 86. 87. 88. 89. 90. 91. 92. 93. 94. 95. 96. 97. 98. 99. 100.

Fig. 2.

Queue et pied
derrière de
l'individu de
Wedemborg.



Fig. 3.

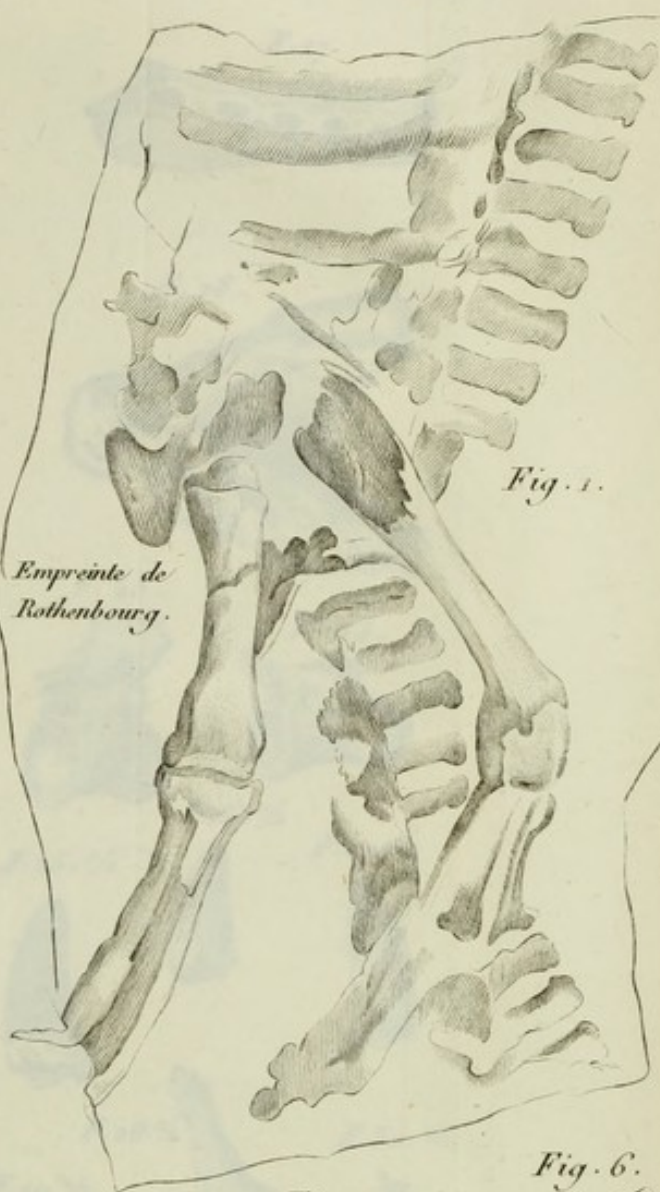
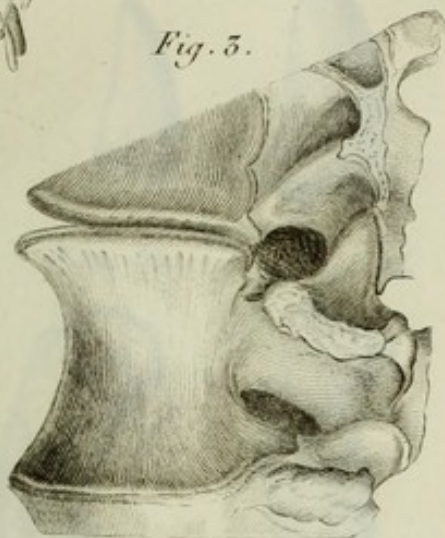


Fig. 1.

Empreinte de
Rothenbourg.

Fig. 5.



Fig. 4.



Fig. 9.

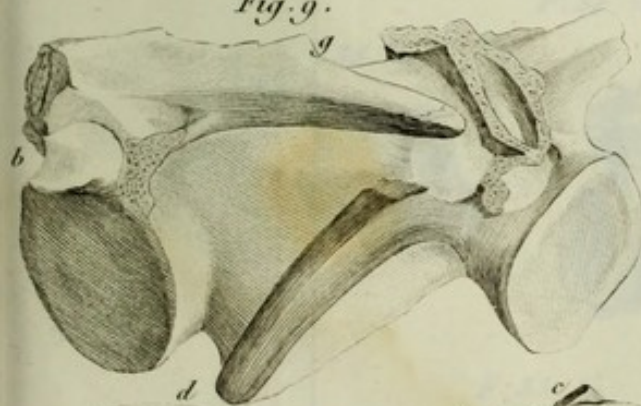


Fig. 8.

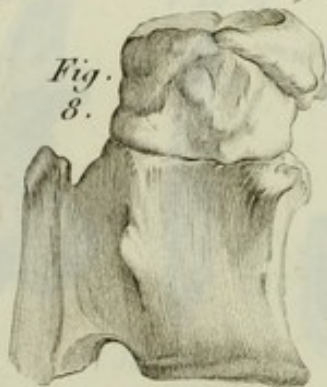


Fig. 7.



Fig. 6.

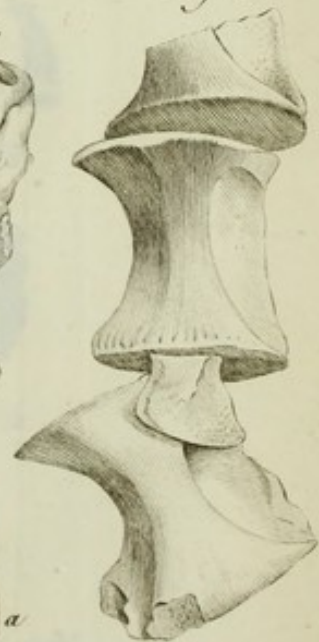


Fig. 10.

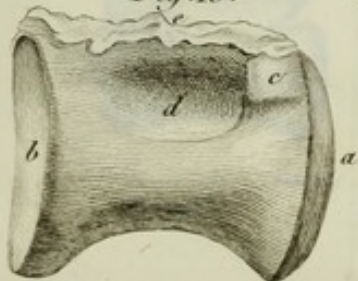


Fig. 11.

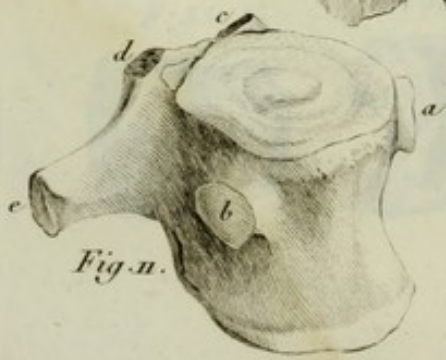
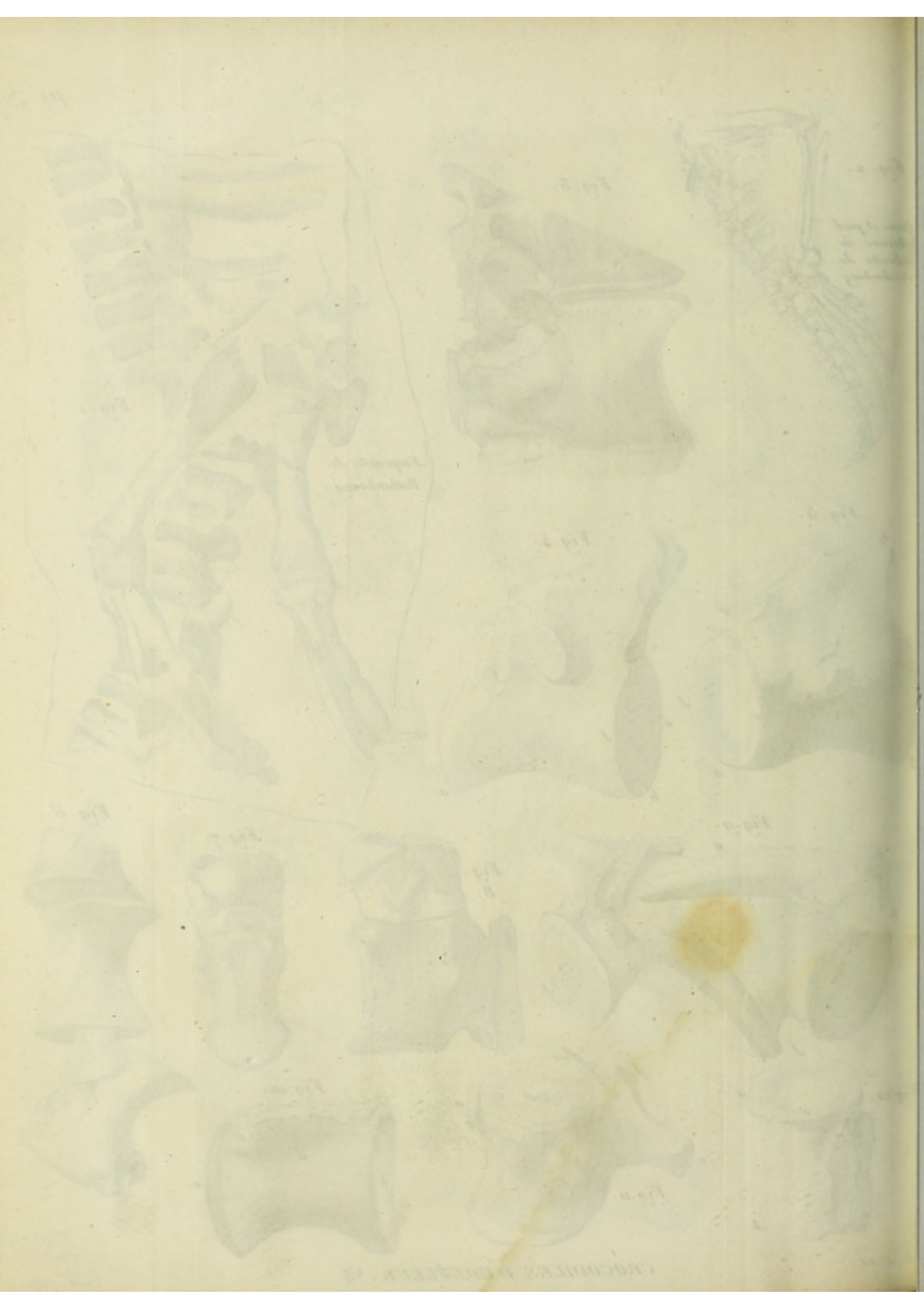
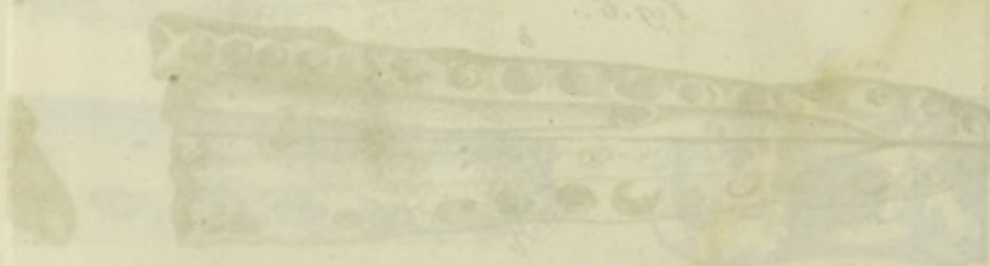


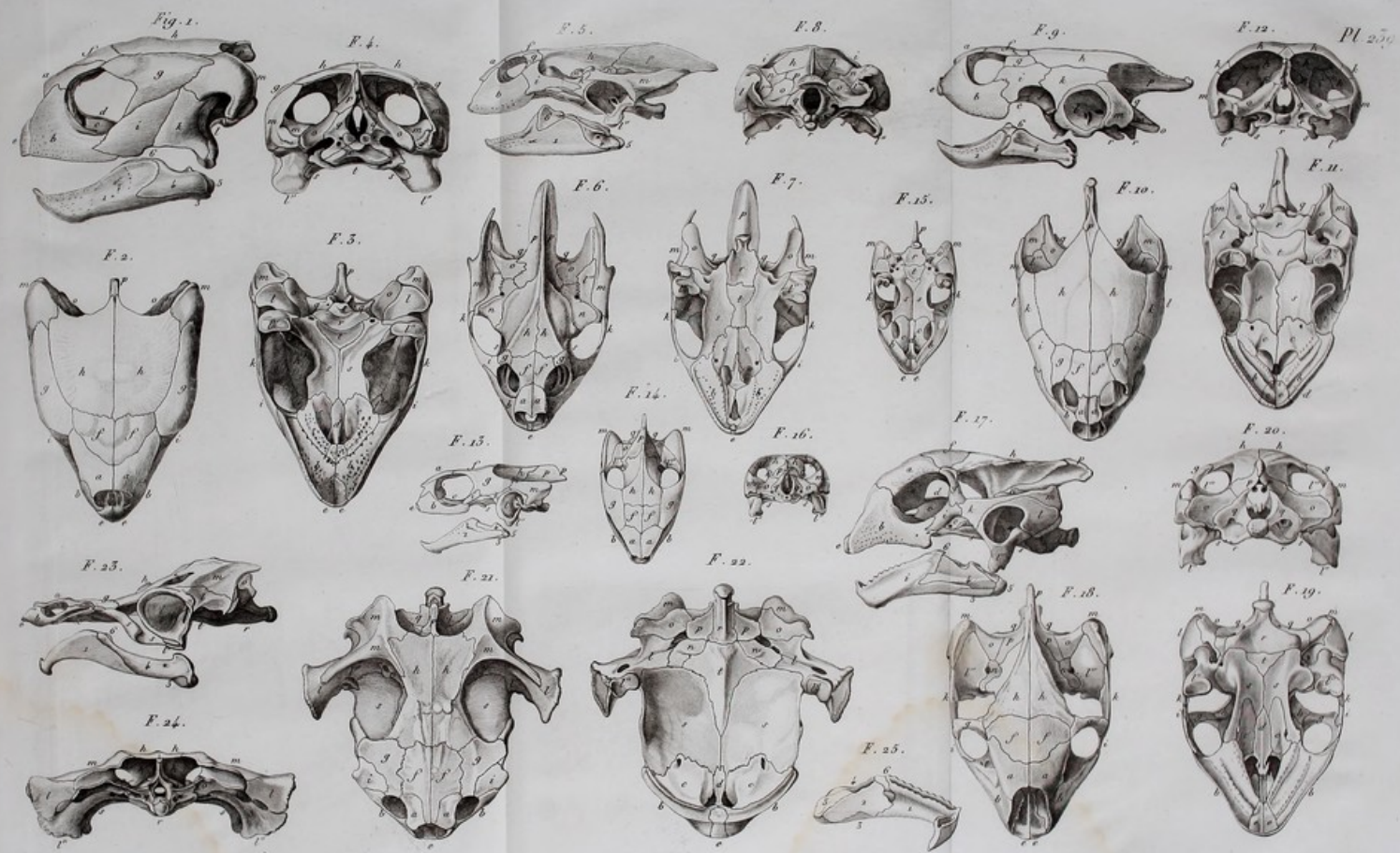
Fig. 12.



rd del.







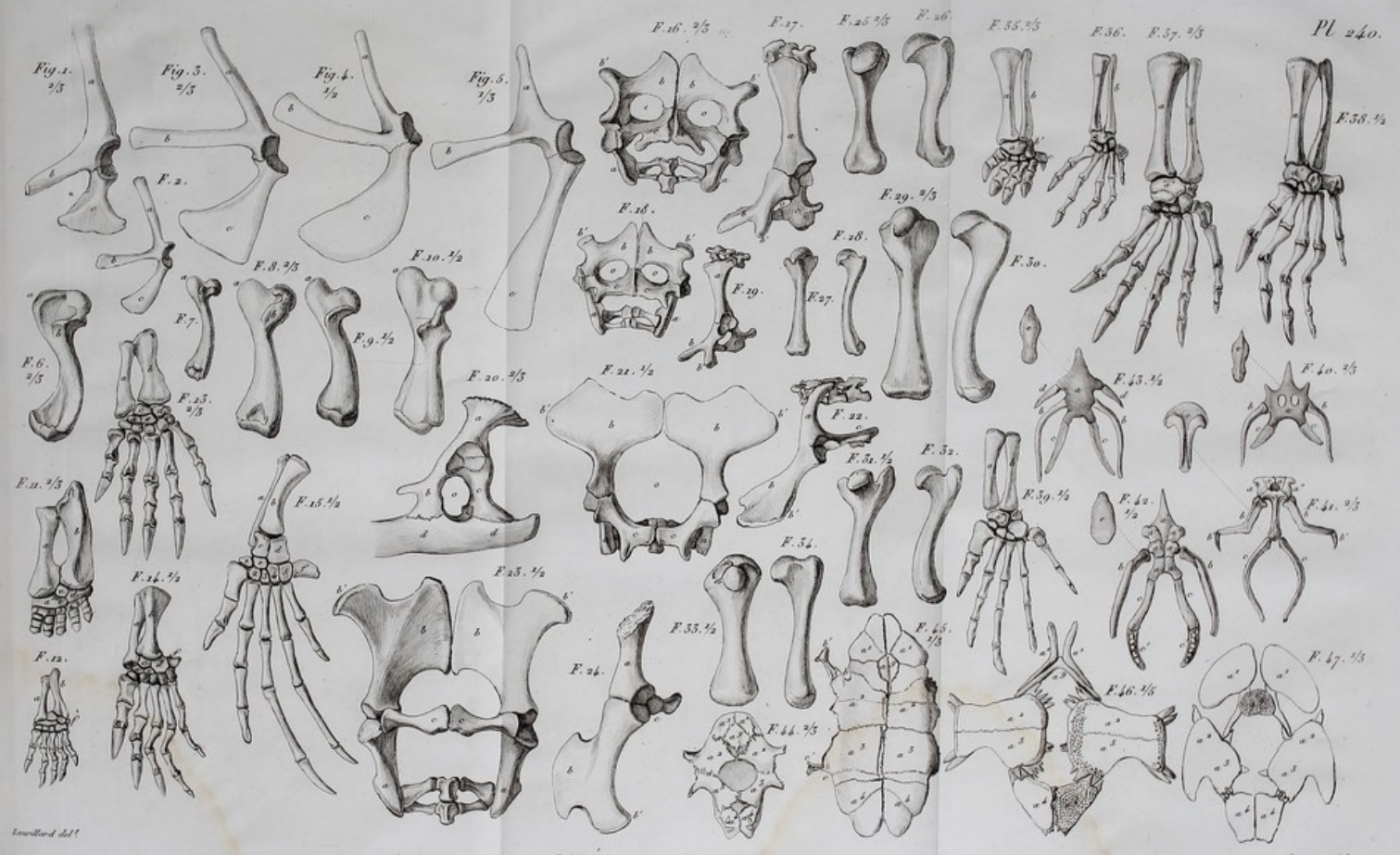
Pl 250

OSTÉOLOGIE DE LA TÊTE DES TORTUES.

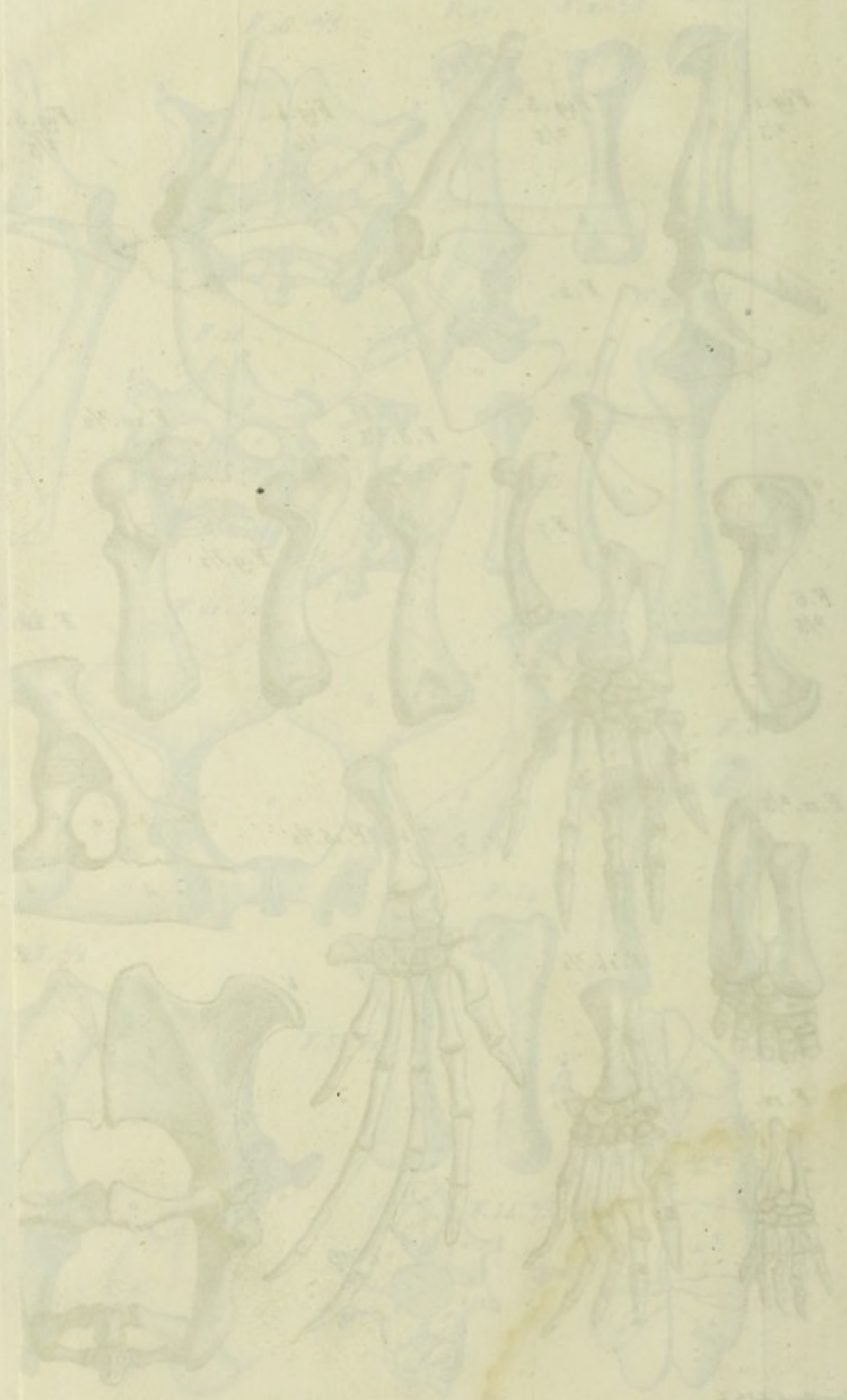
Bonn del?

Costant sculp?





OSTÉOLOGIE DES TORTUES.



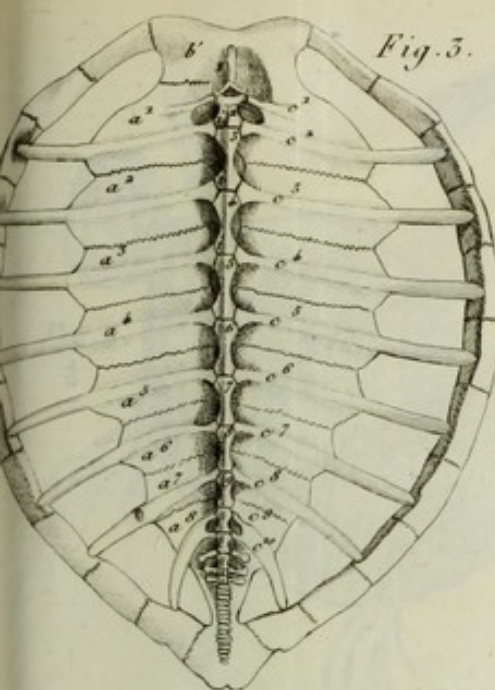


Fig. 3.

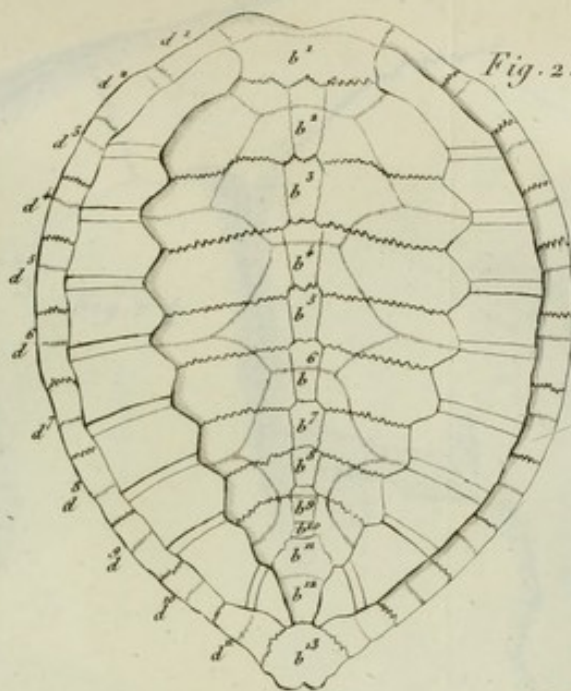


Fig. 2.

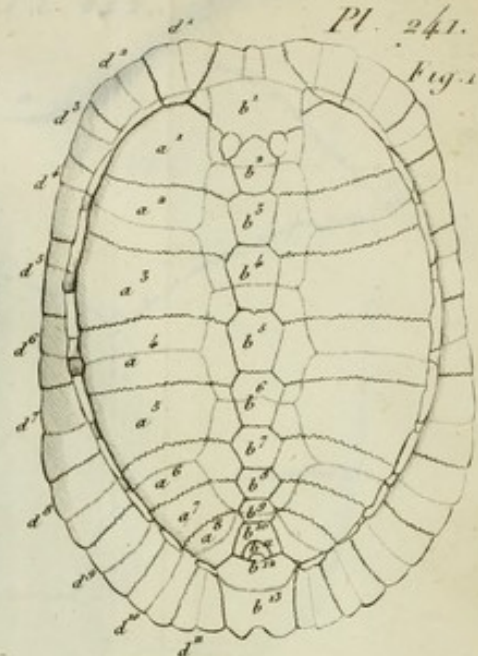


Fig. 1.

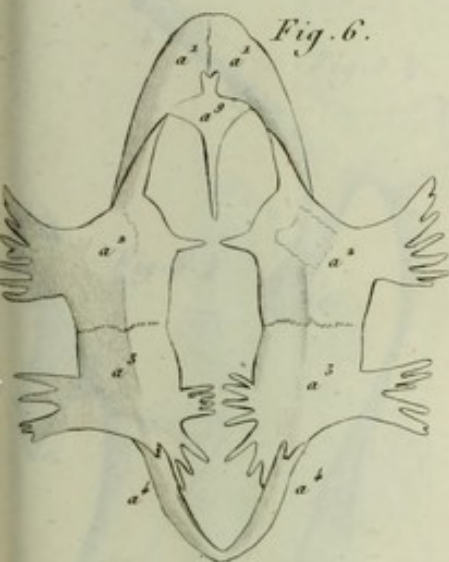


Fig. 6.

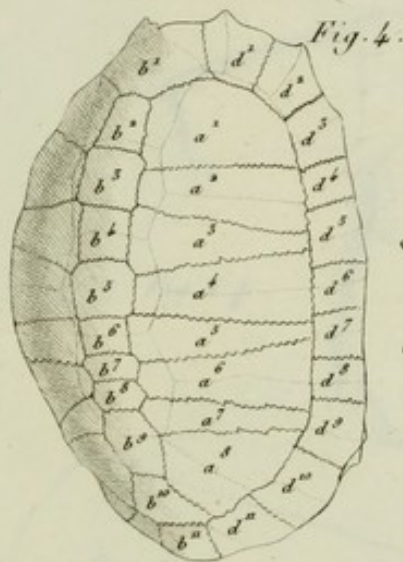


Fig. 4.

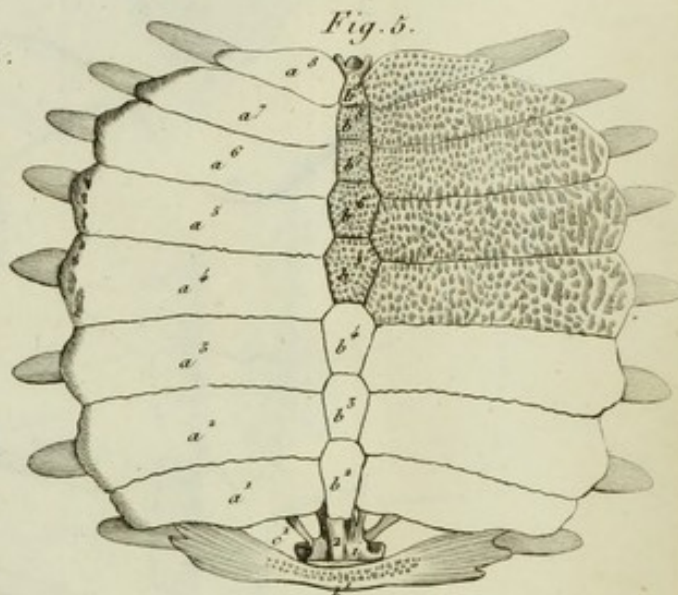


Fig. 5.



Fig. 9. $\frac{1}{6}$

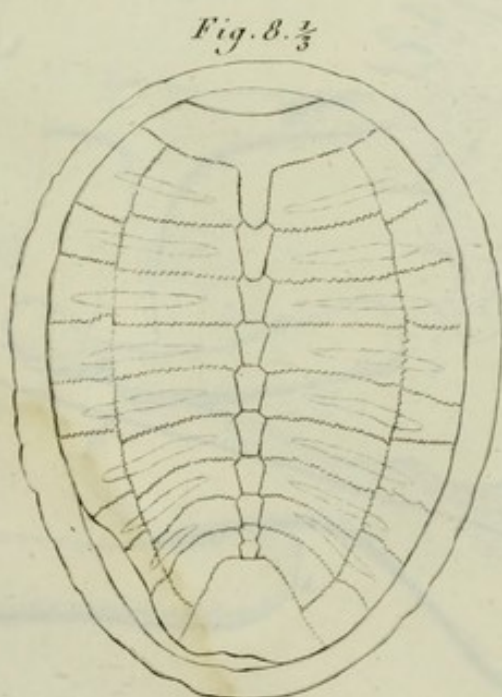


Fig. 8. $\frac{1}{3}$

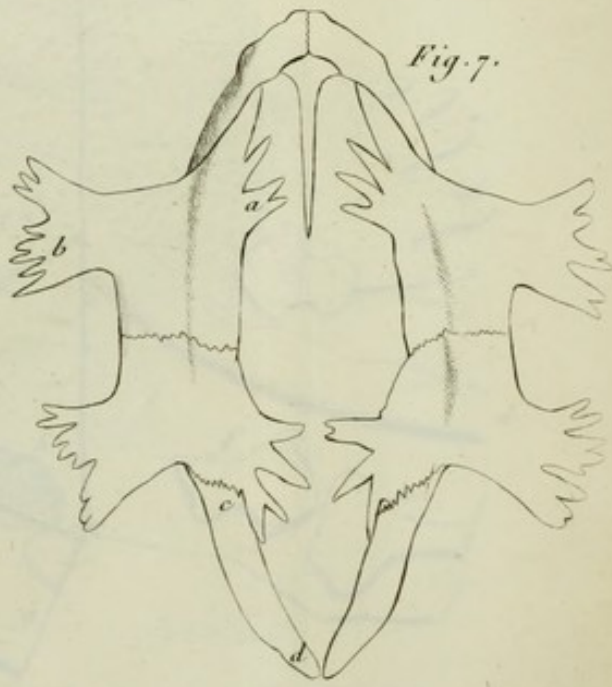


Fig. 7.



Fig. 10. $\frac{1}{6}$

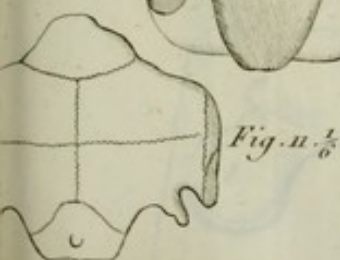


Fig. 11. $\frac{1}{6}$

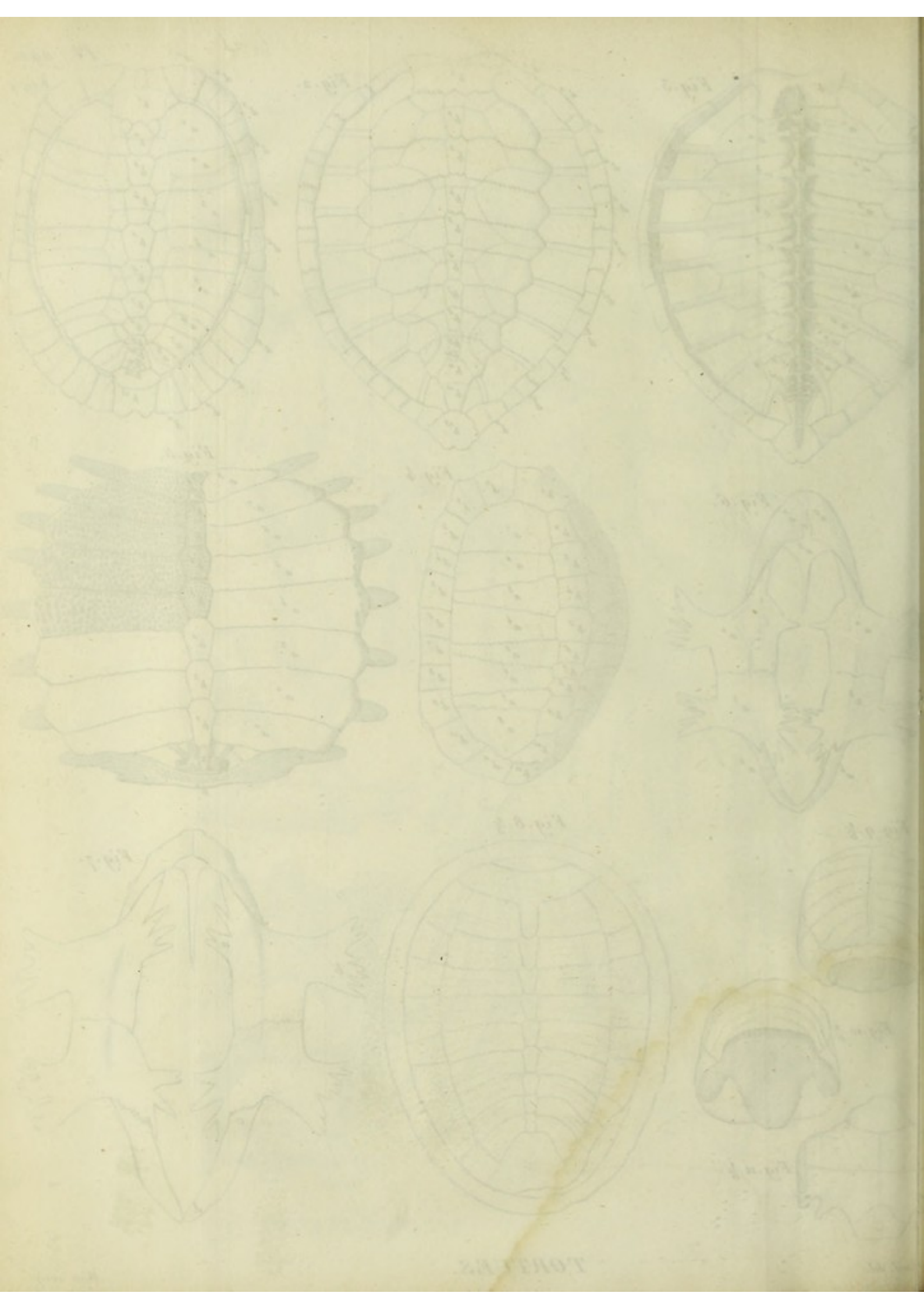


Fig. 4.
 $\frac{1}{2}$



Fig. 1. $\frac{1}{6}$

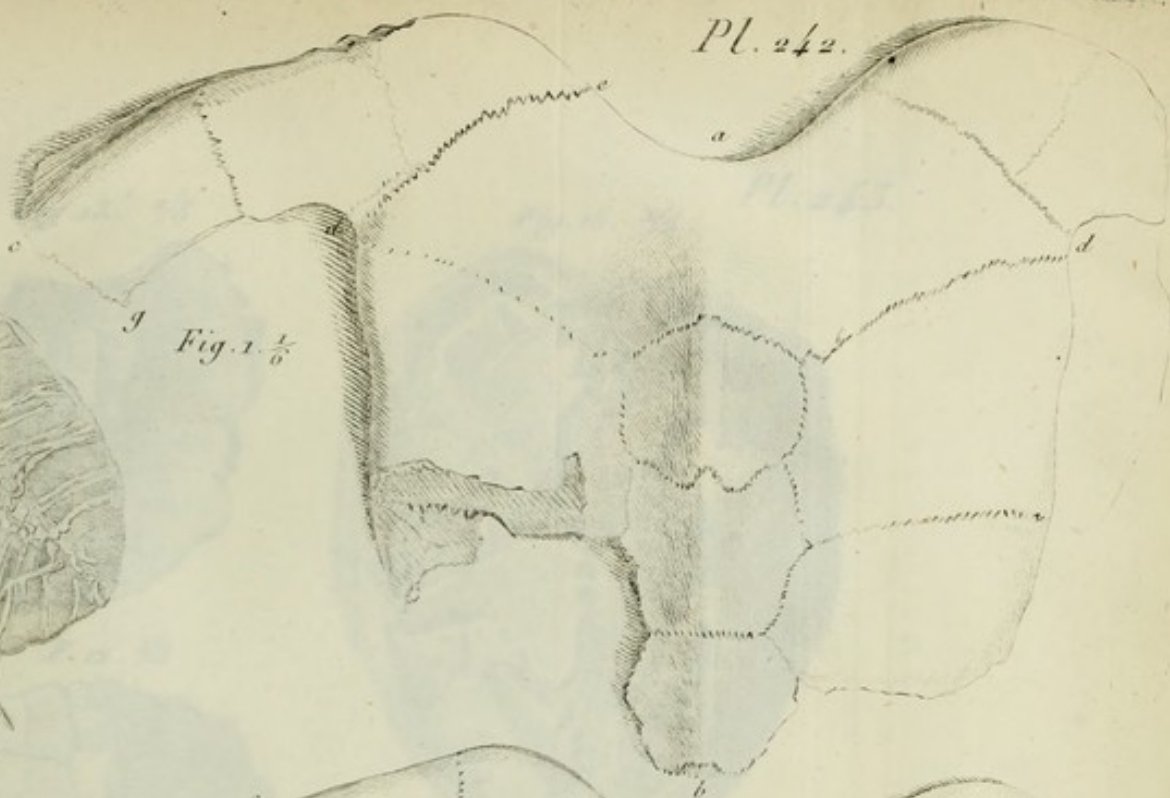


Fig. 3. $\frac{1}{6}$



Fig. 6. $\frac{1}{6}$

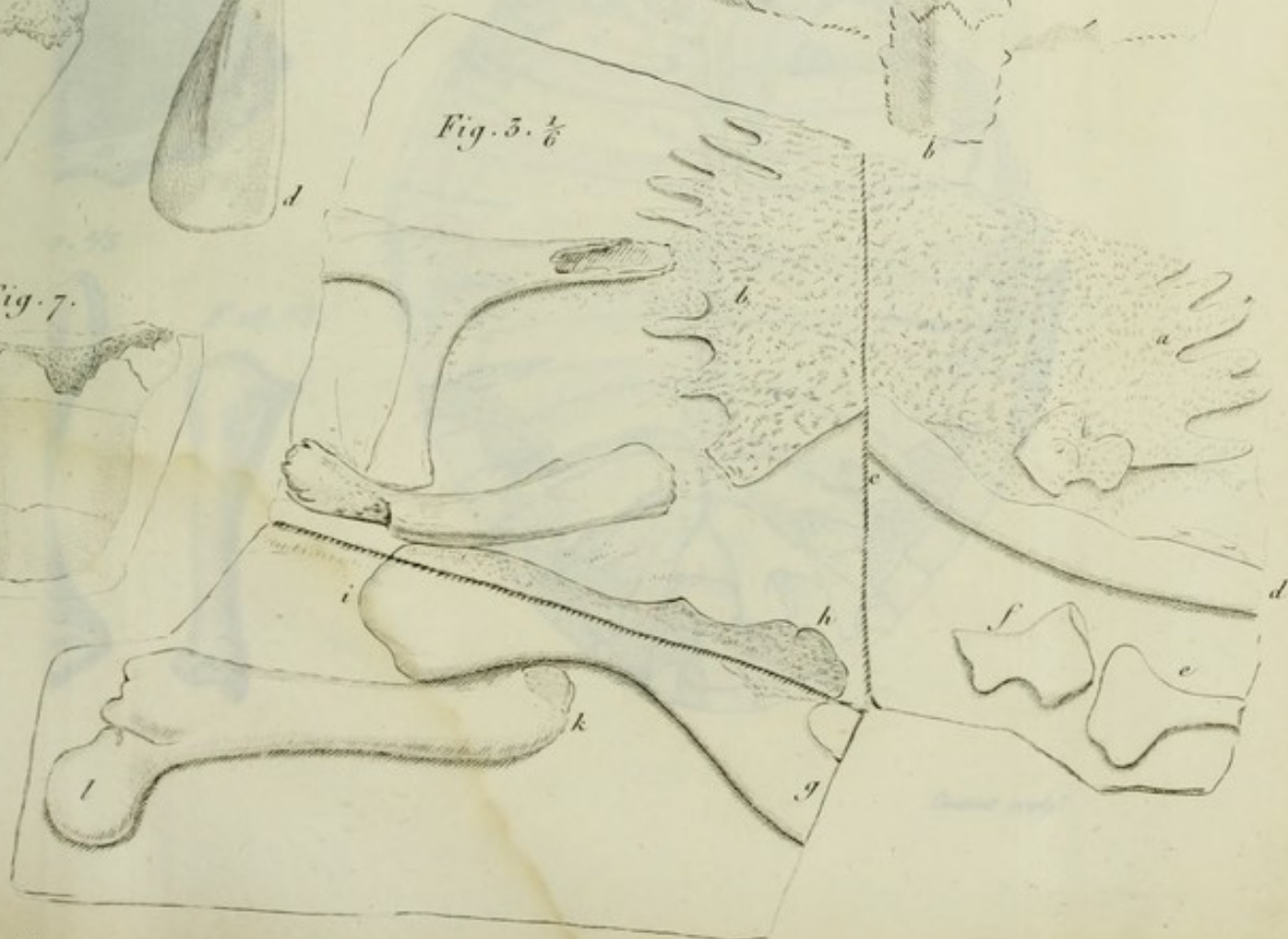


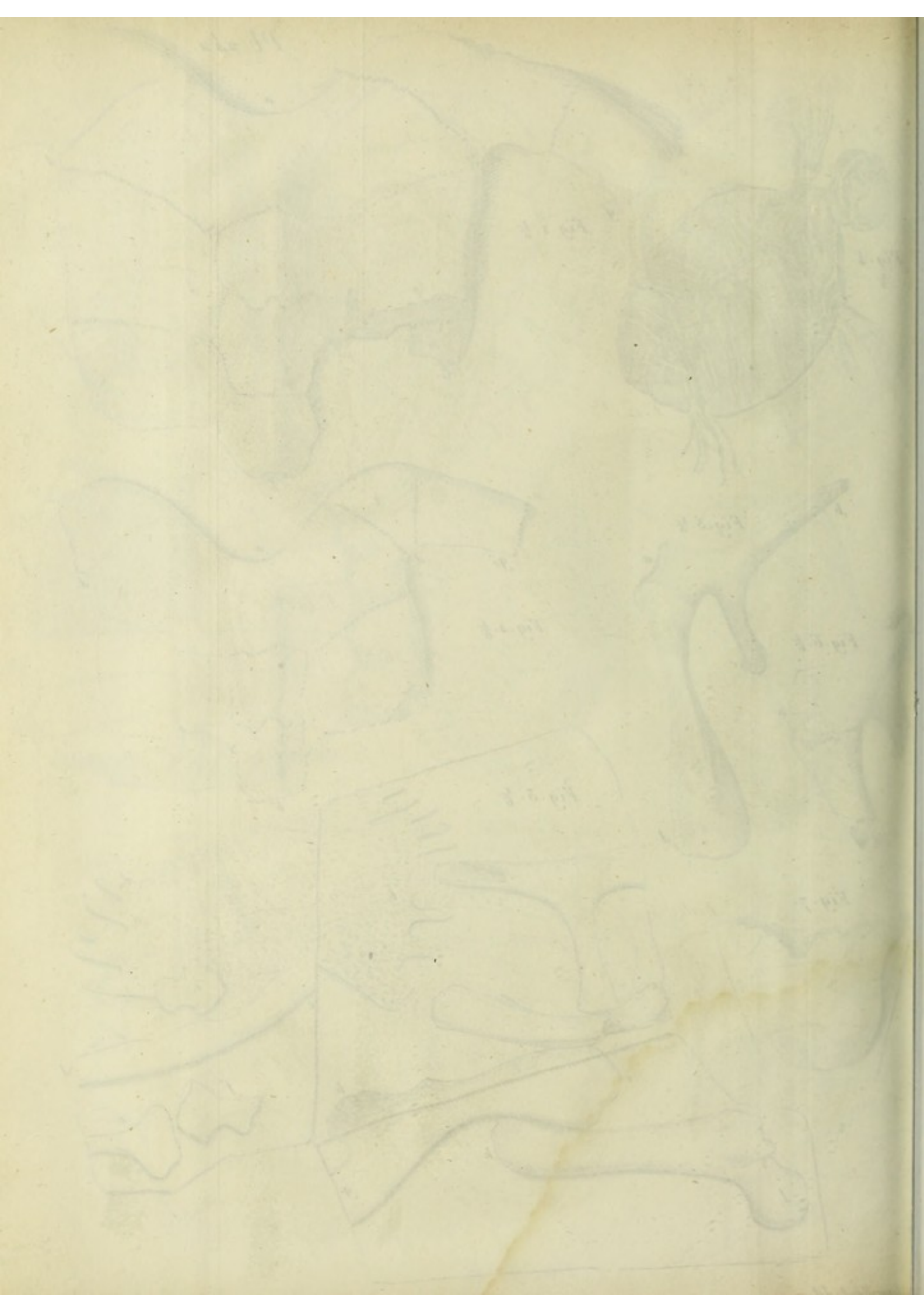
Fig. 2. $\frac{1}{6}$

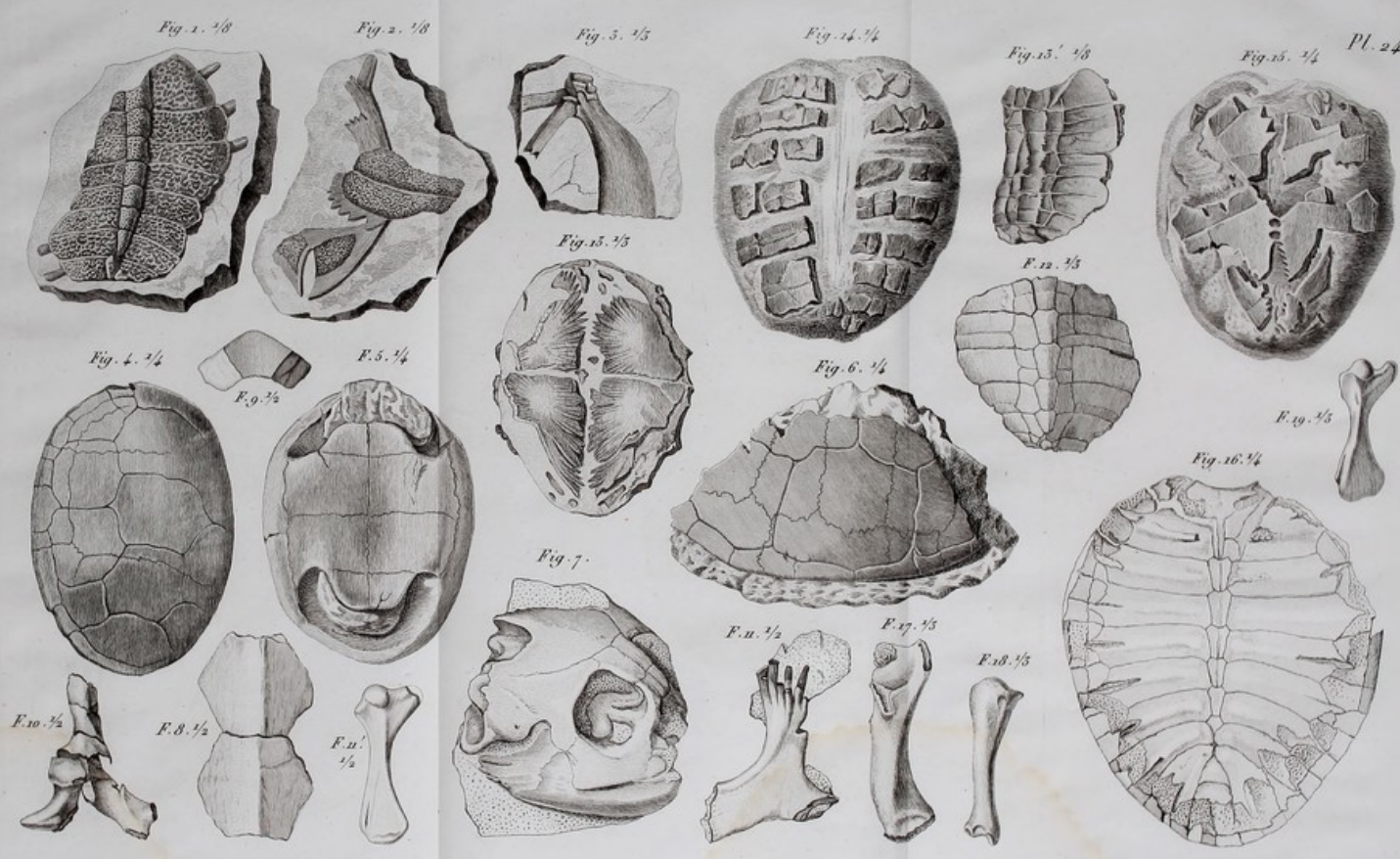


Fig. 5. $\frac{1}{6}$

Fig. 7.







TORTUES FOSSILES

Gravé par M. G. B.

Fig. 1.

Fig. 2.

Fig. 3.



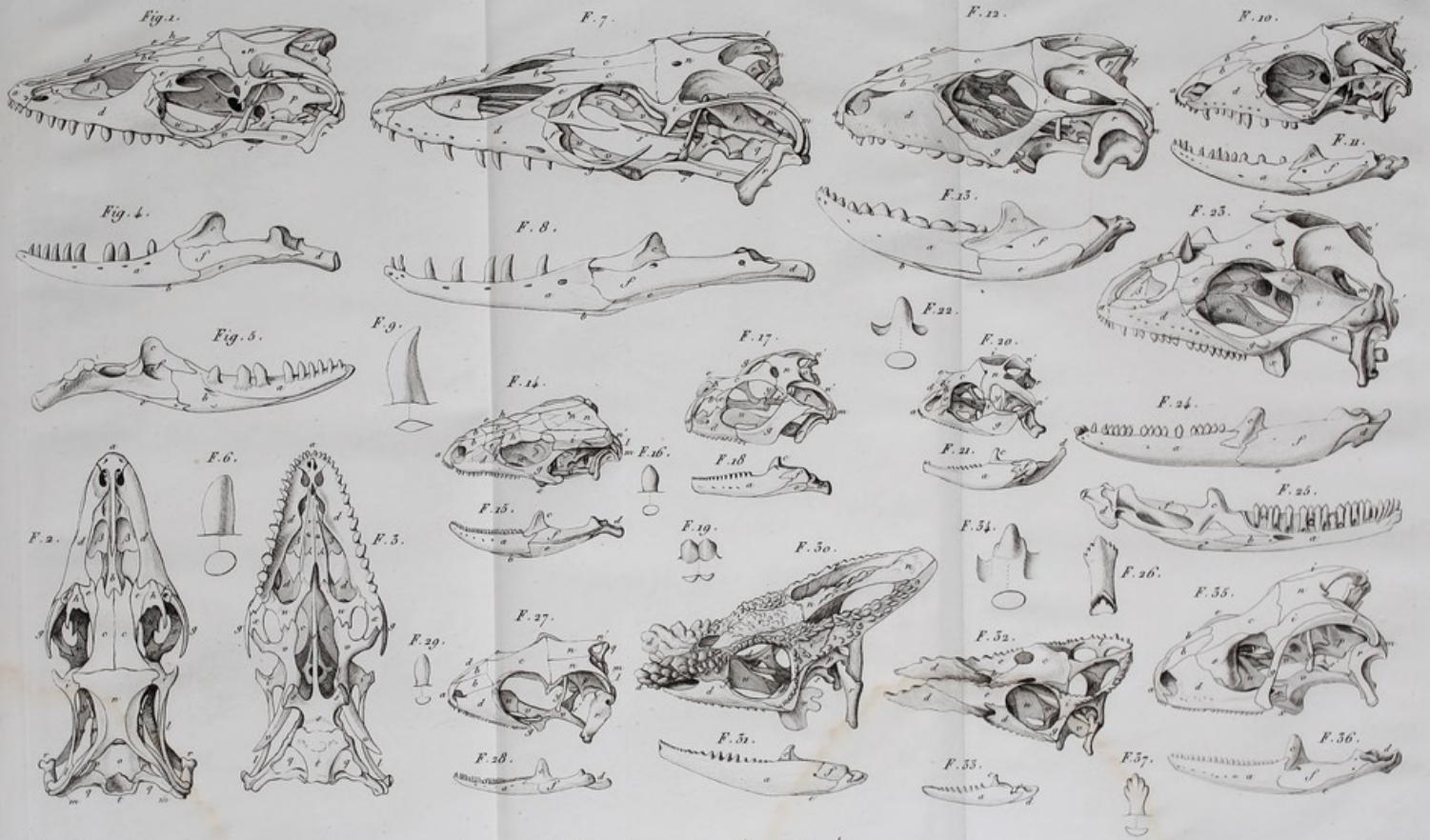
Fig. 4.

Fig. 5.

Fig. 6.



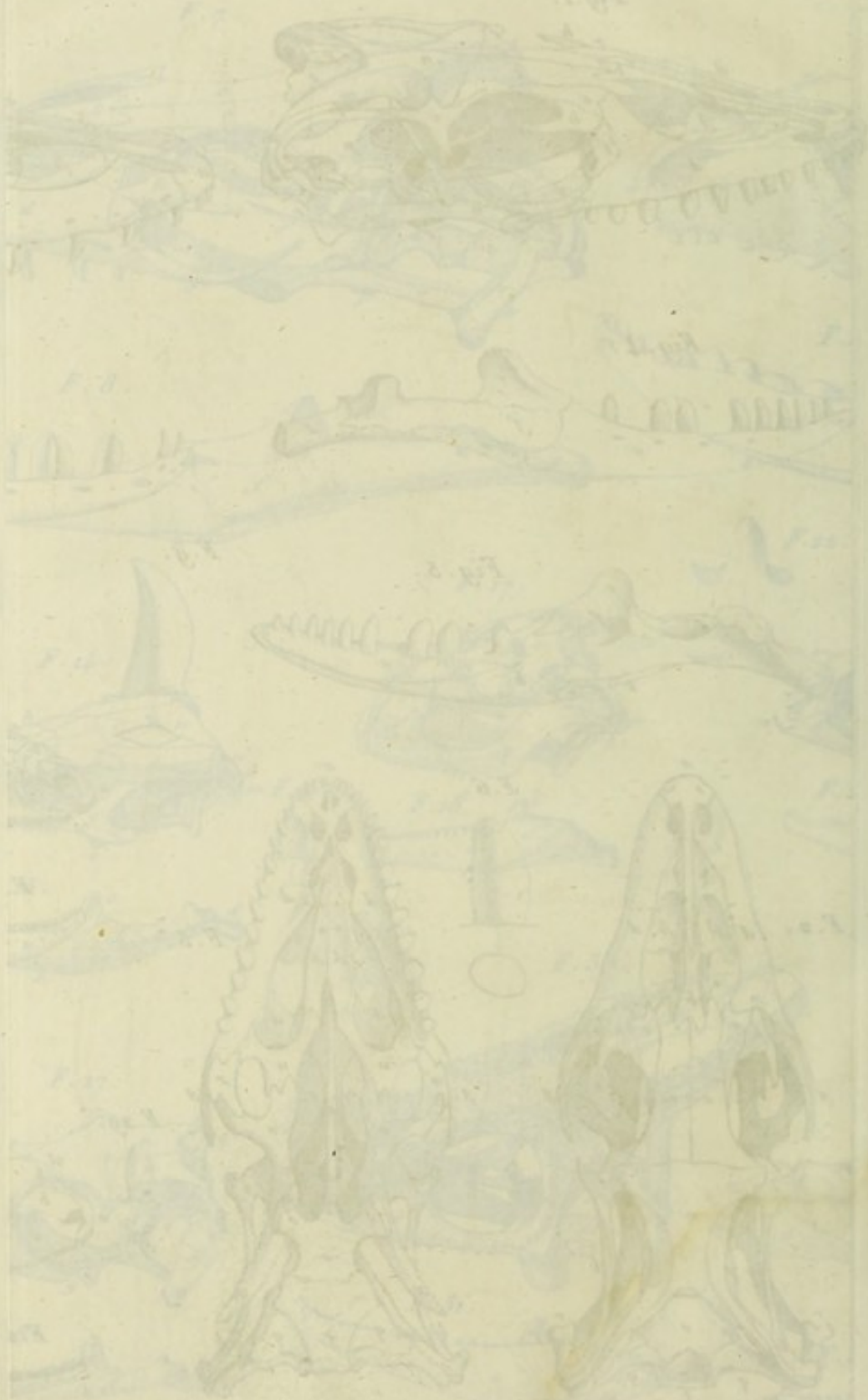
TORTOISES FOSSILES



OSTÉOLOGIE DE LA TÊTE DES LÉZARDS.

Laurent del.

Contant sculp.



OSTÉOLOGIE DE LA TÊTE DES LÉZARDS.



OSTÉOLOGIE DES LÉZARDS.

Fig. 1.

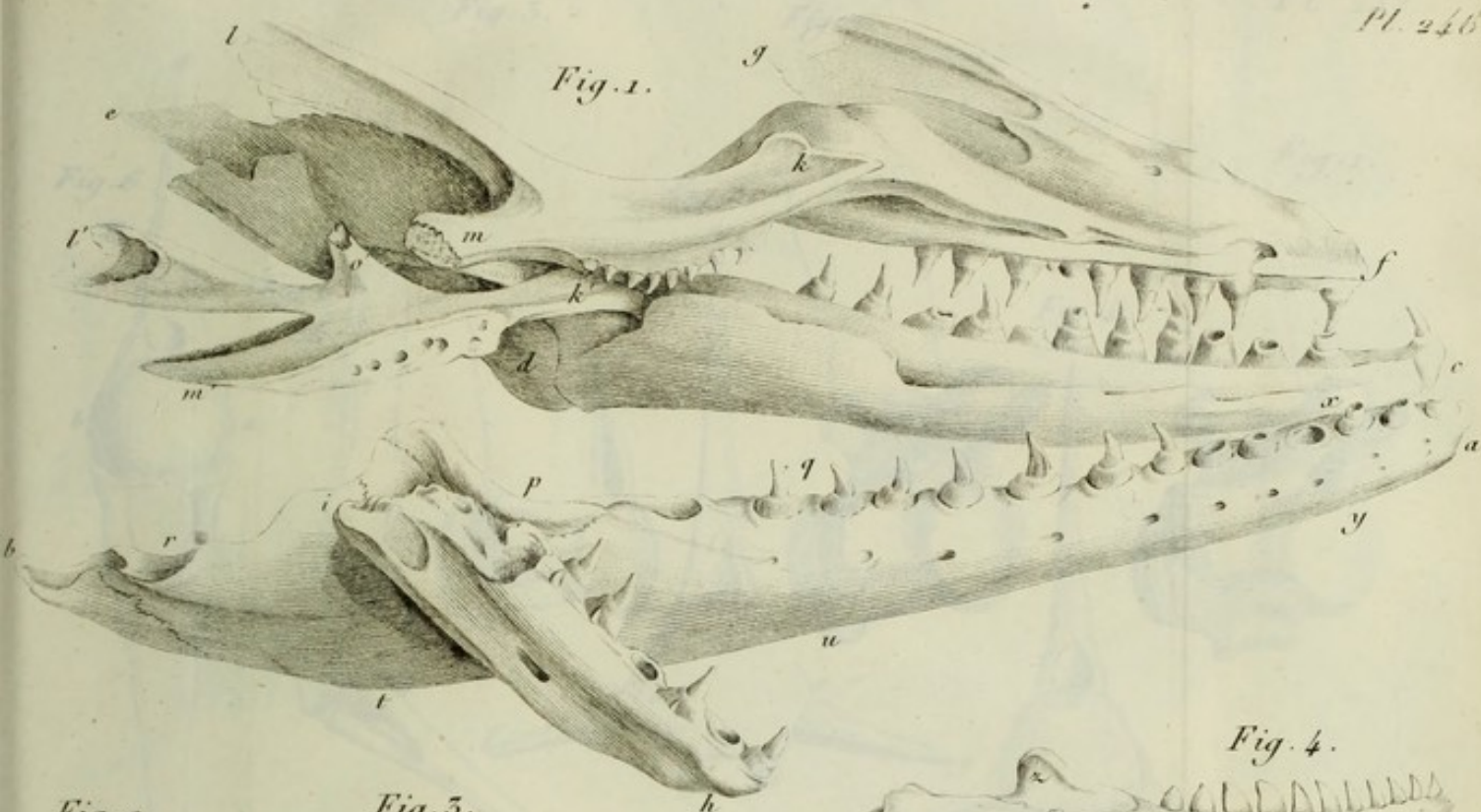


Fig. 2.

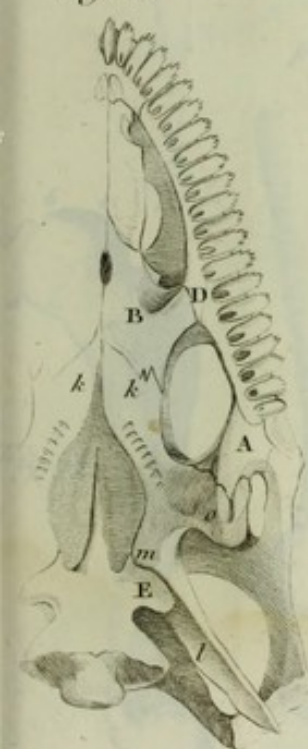


Fig. 3.



Fig. 4.



Fig. 5.



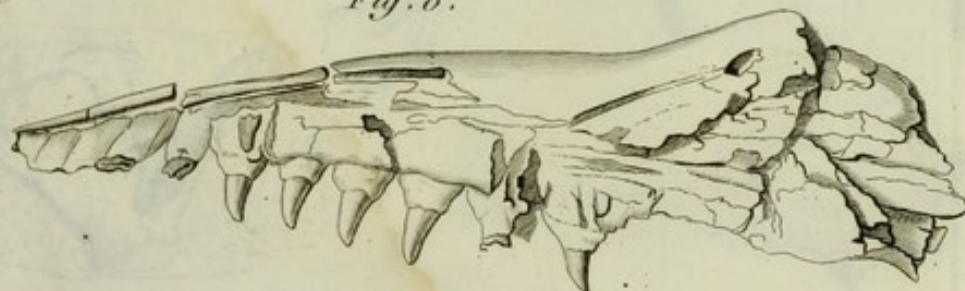
Fig. 6.



Fig. 7.



Fig. 8.



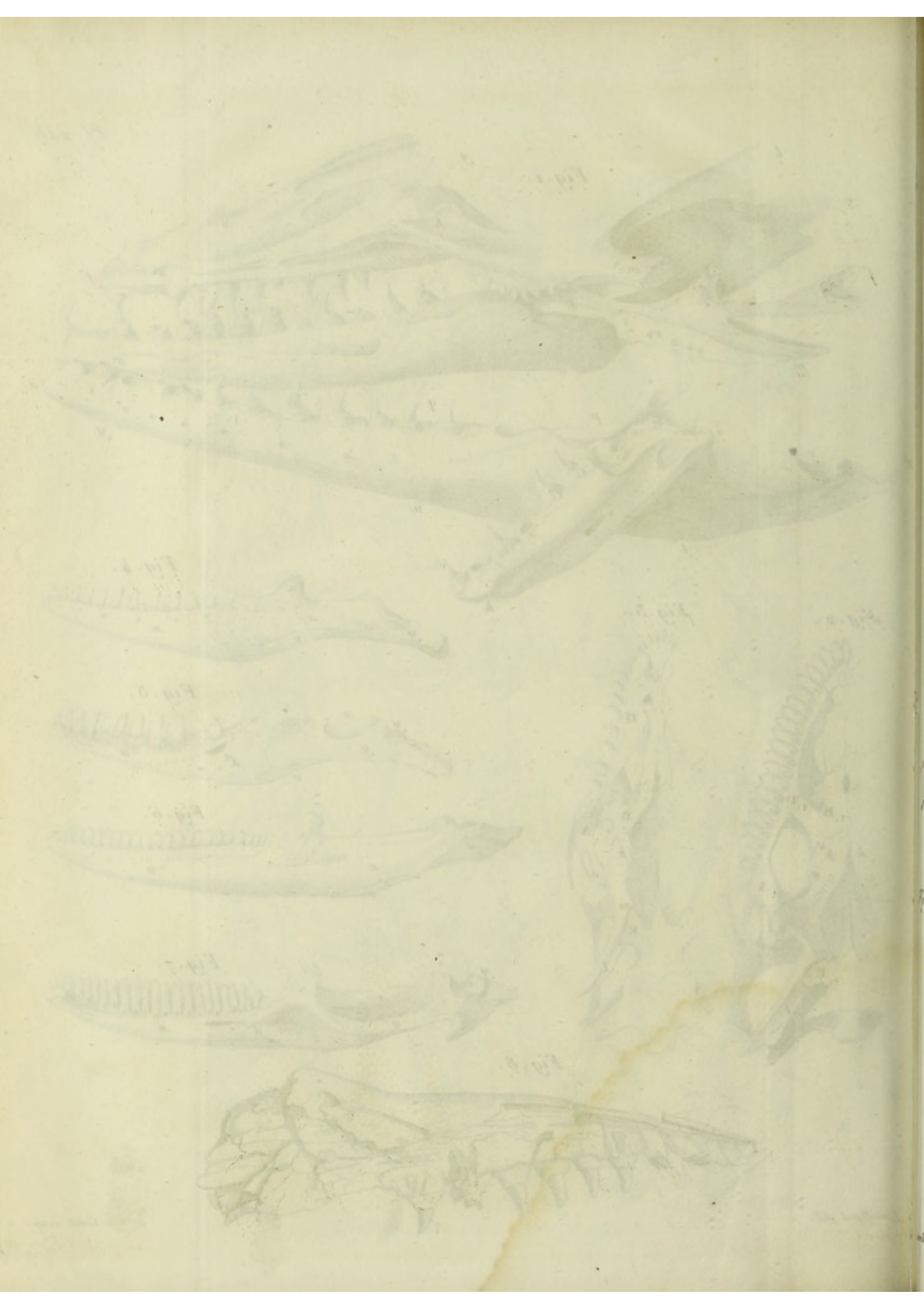


Fig. 5.

Fig. 2.

Fig. 1.

Fig. 6.

B

Fig. 6.

A

Fig. 3.

Fig. 4.

Fig. 10. $\frac{1}{4}$.

Fig. 9. $\frac{1}{4}$.

Fig. 7.

Fig. 13.

Fig. 12.

Fig. 11.

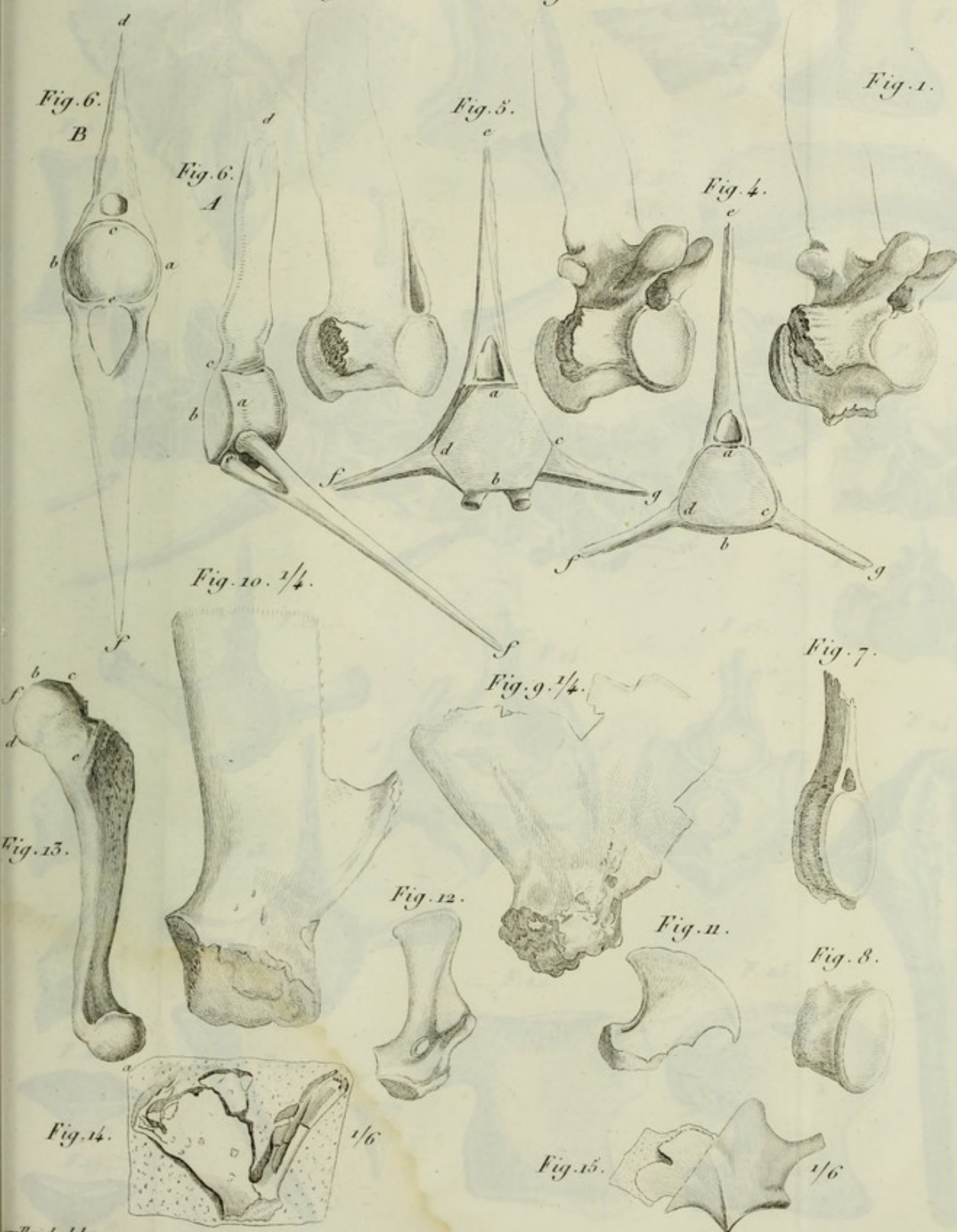
Fig. 8.

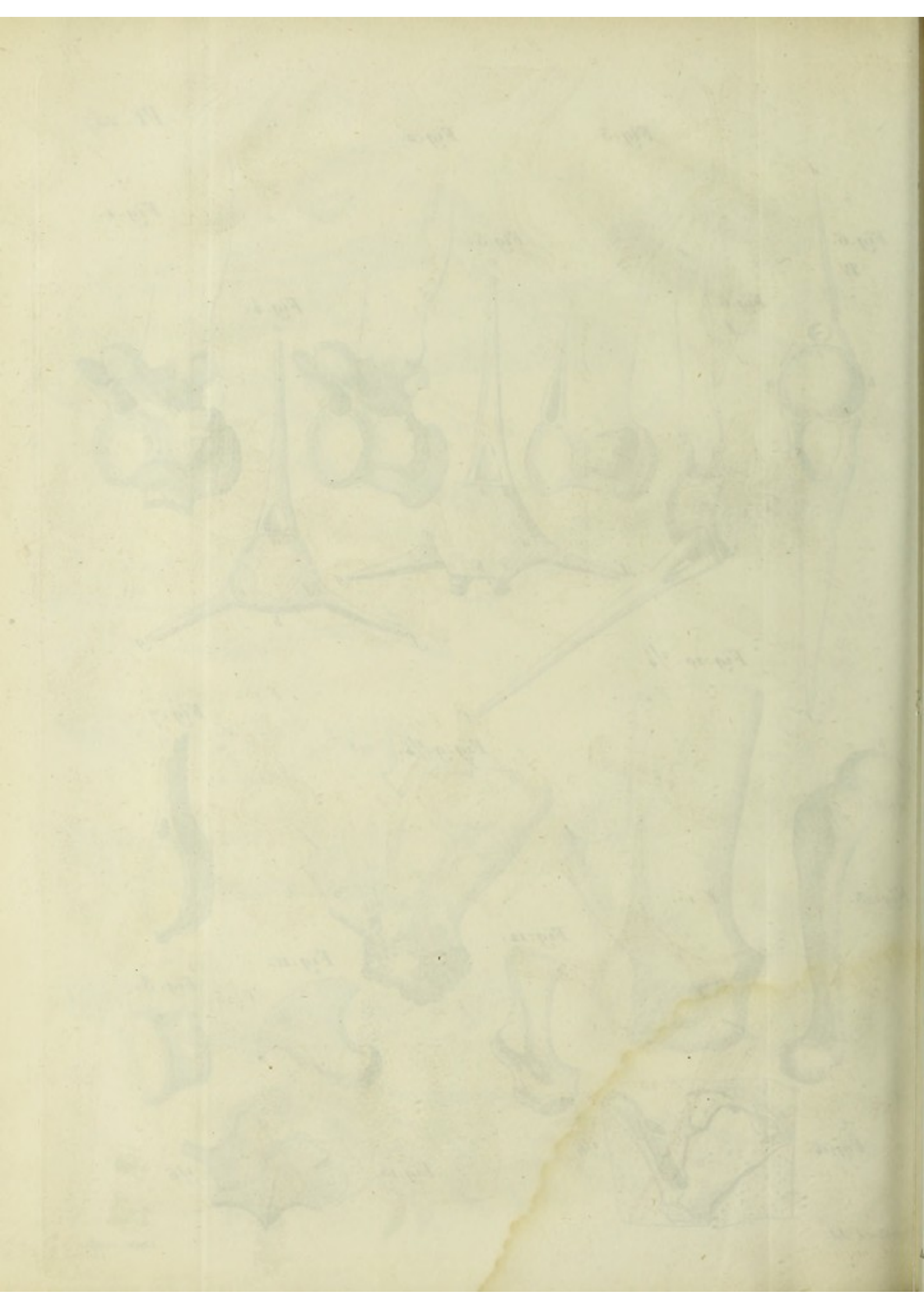
Fig. 14.

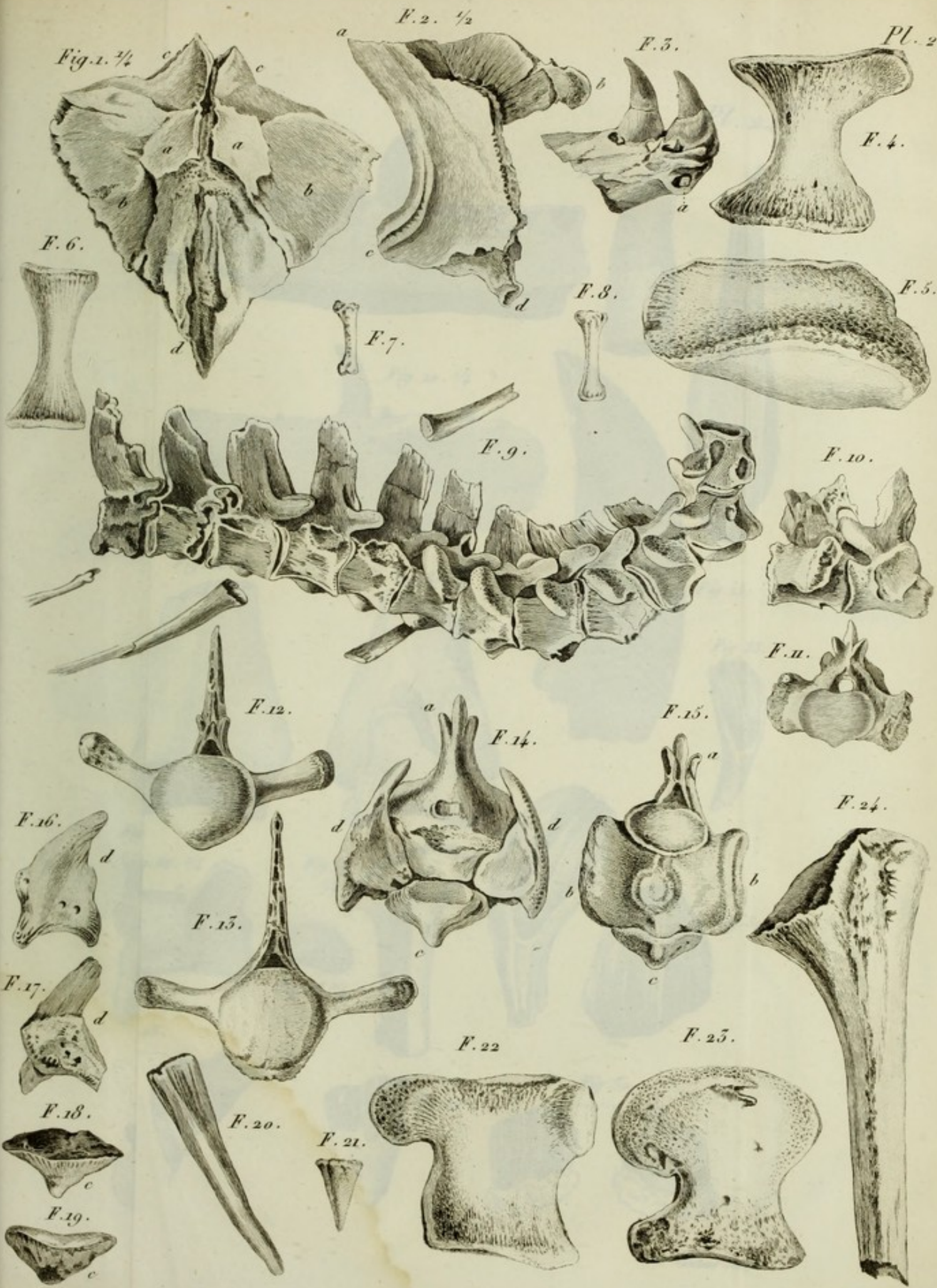
$\frac{1}{6}$

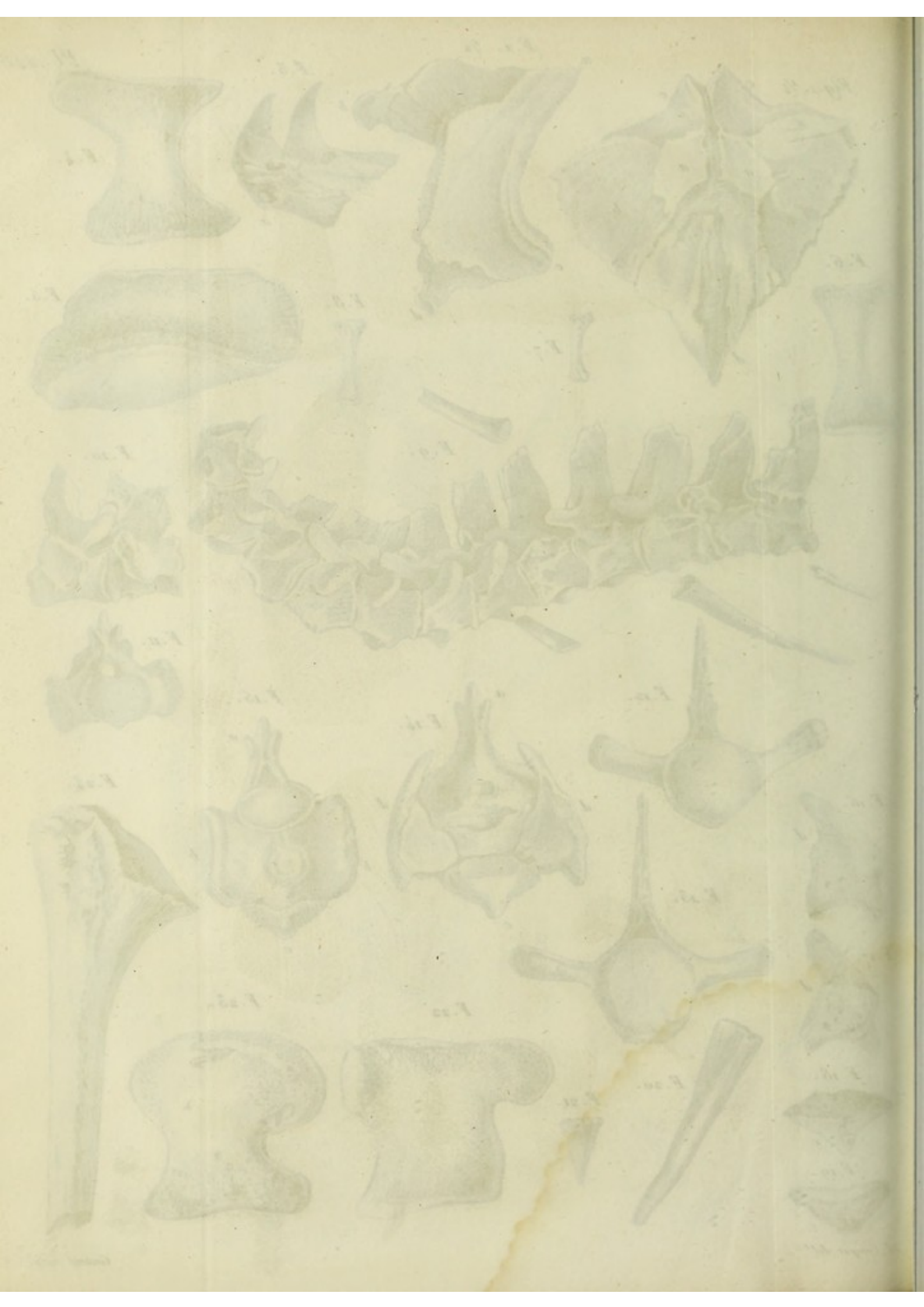
Fig. 15.

$\frac{1}{6}$





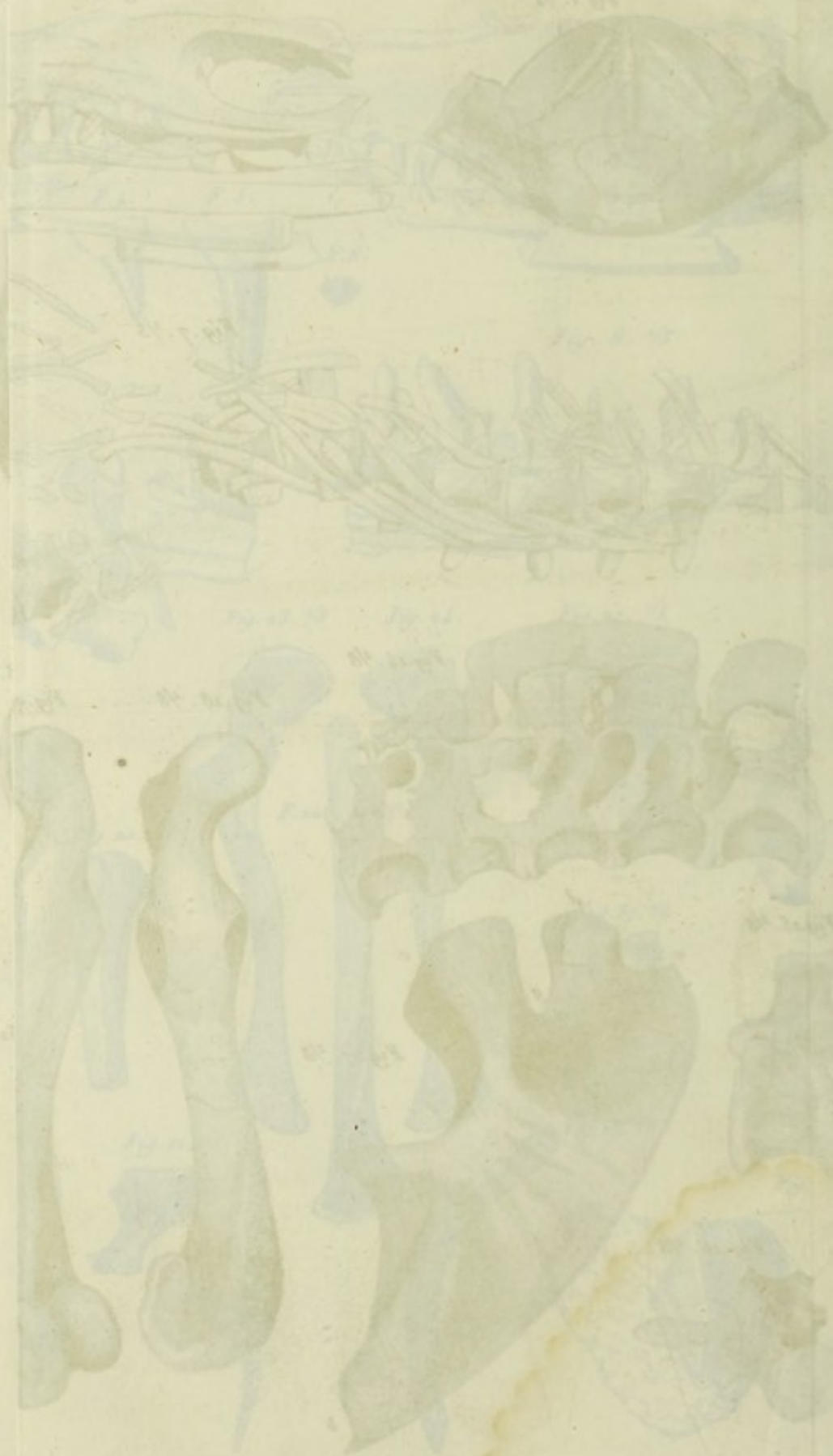






SAURIENS FOSSILES.

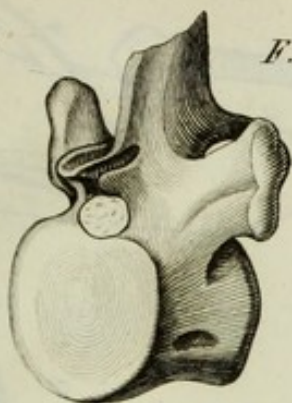
Contour sculpt.



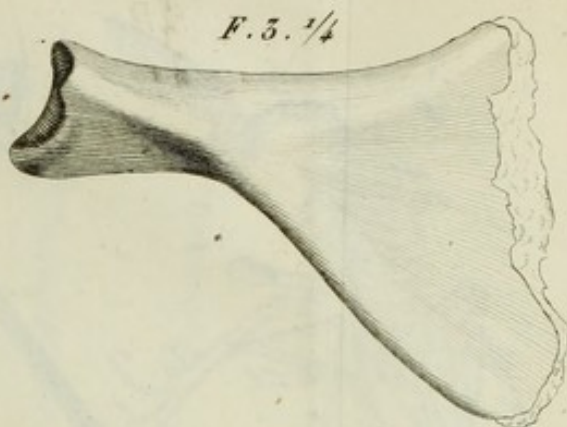
SAURIENS FOSILES.



Fig. 1. $\frac{1}{4}$

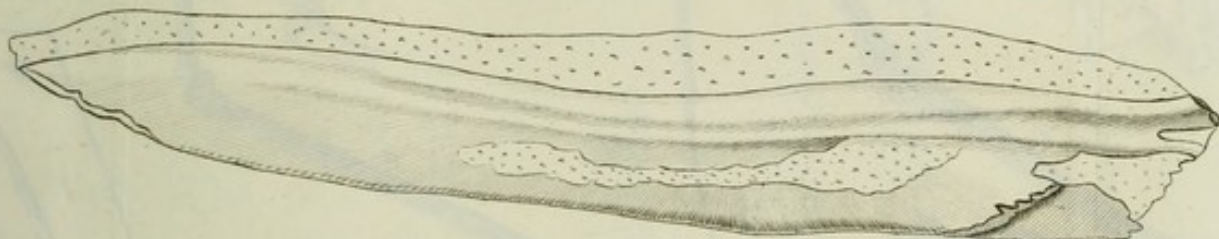


F. 2. $\frac{1}{4}$

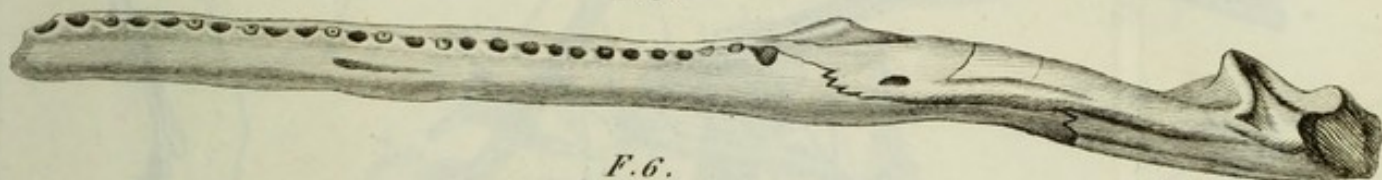


F. 3. $\frac{1}{4}$

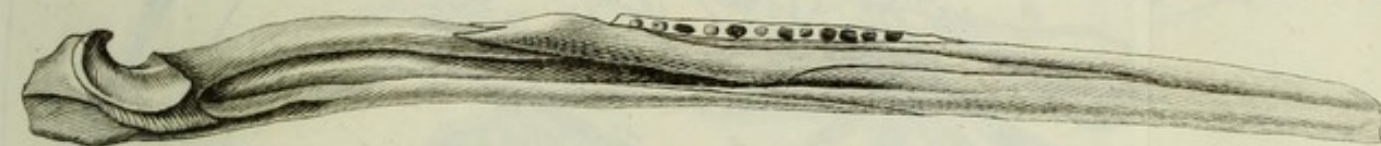
F. 4. $\frac{1}{4}$



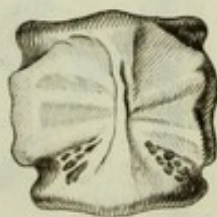
F. 5.



F. 6.



F. 7.



F. 8.



F. 9.



F. 10.



F. 11.



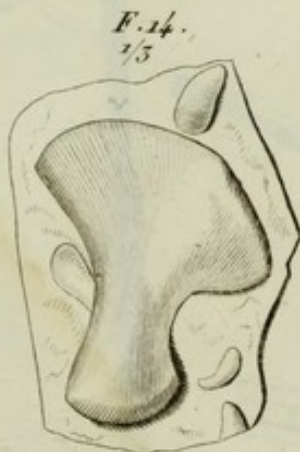
F. 12.



F. 13. $\frac{1}{5}$



F. 14. $\frac{1}{3}$



F. 15. $\frac{1}{3}$



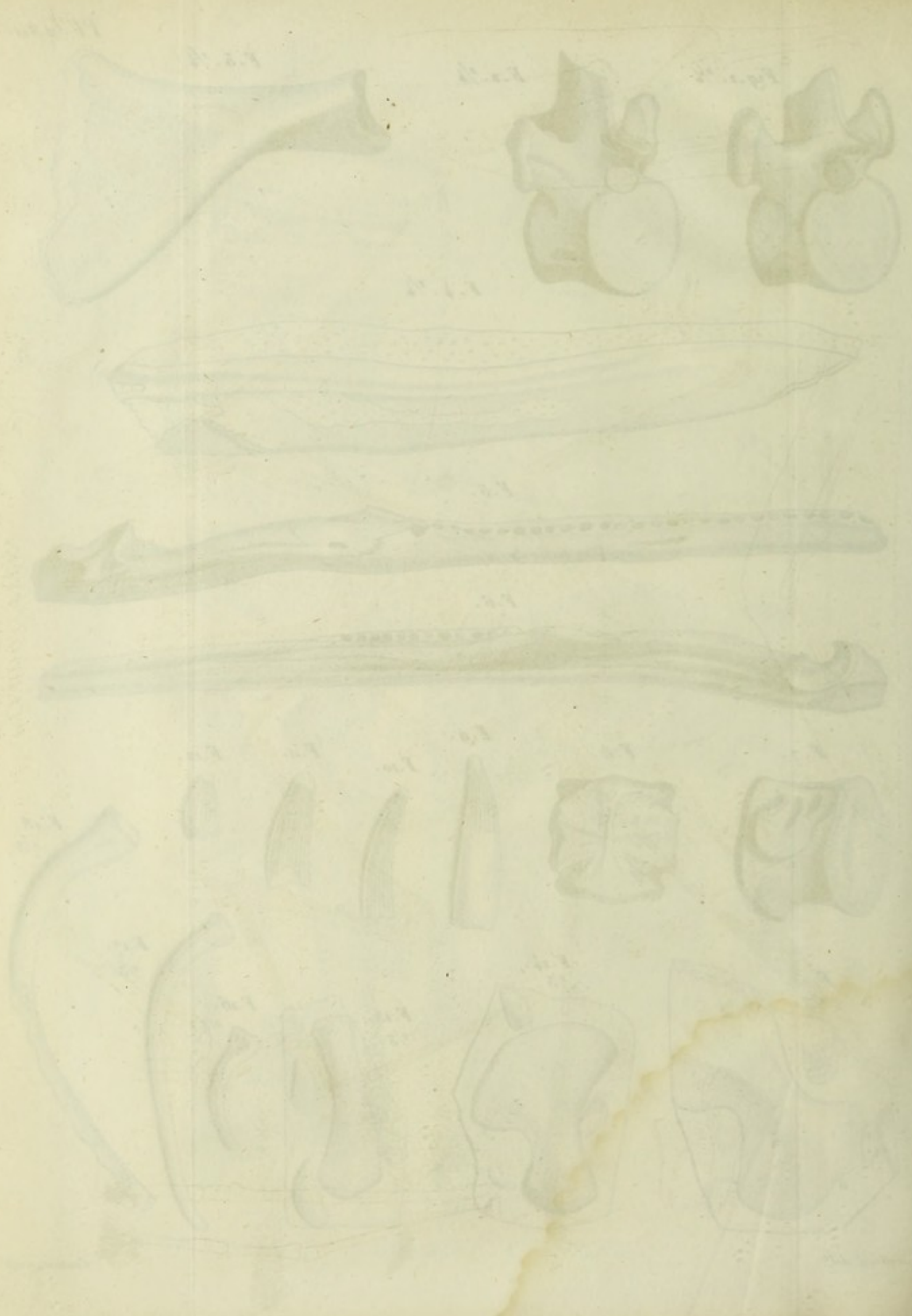
F. 16. $\frac{1}{3}$



F. 17. $\frac{1}{5}$



F. 18. $\frac{1}{5}$



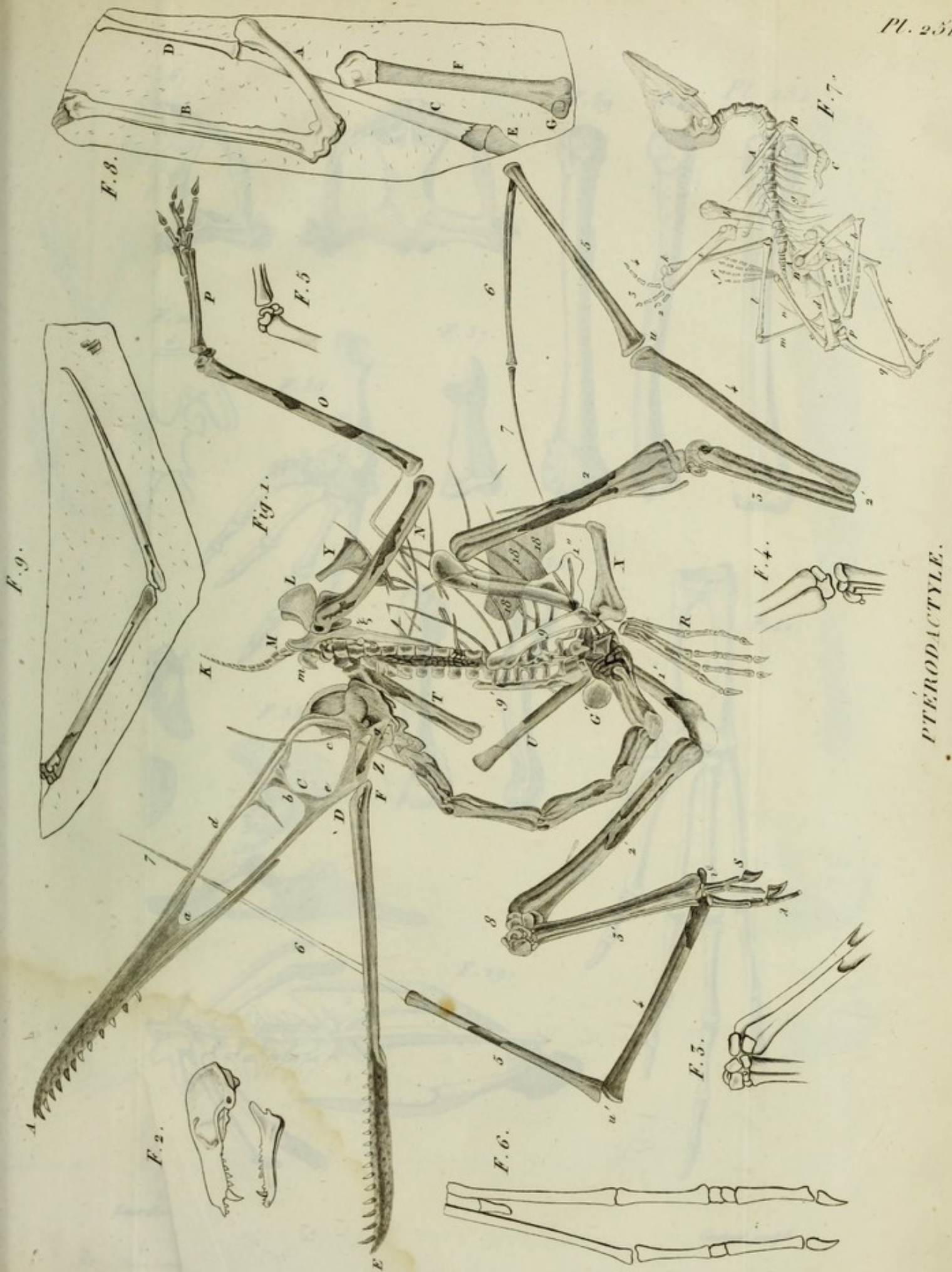
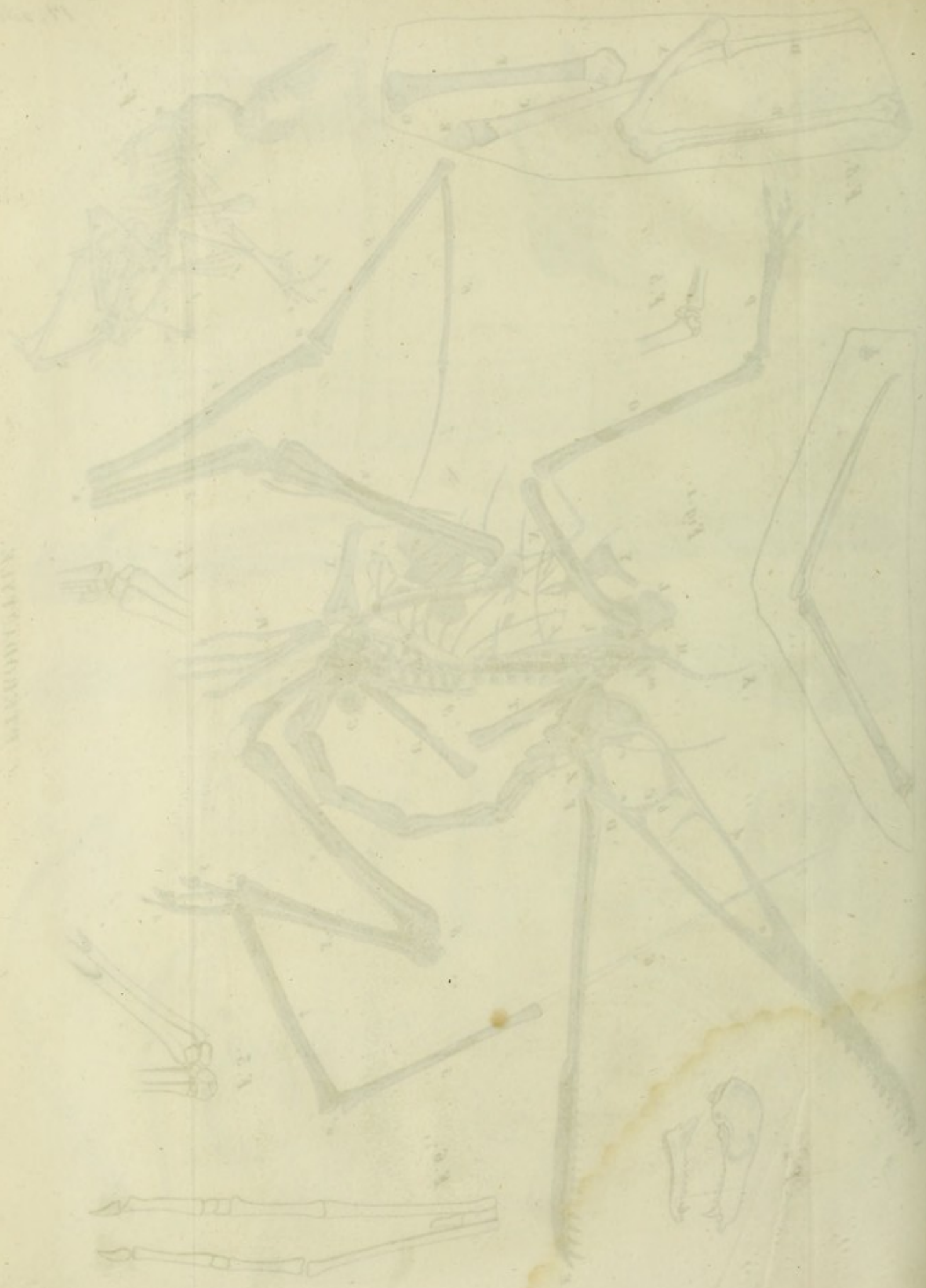


Fig. 11

ACCEPTED





OSTÉOLOGIE DES GRENOUILLES.

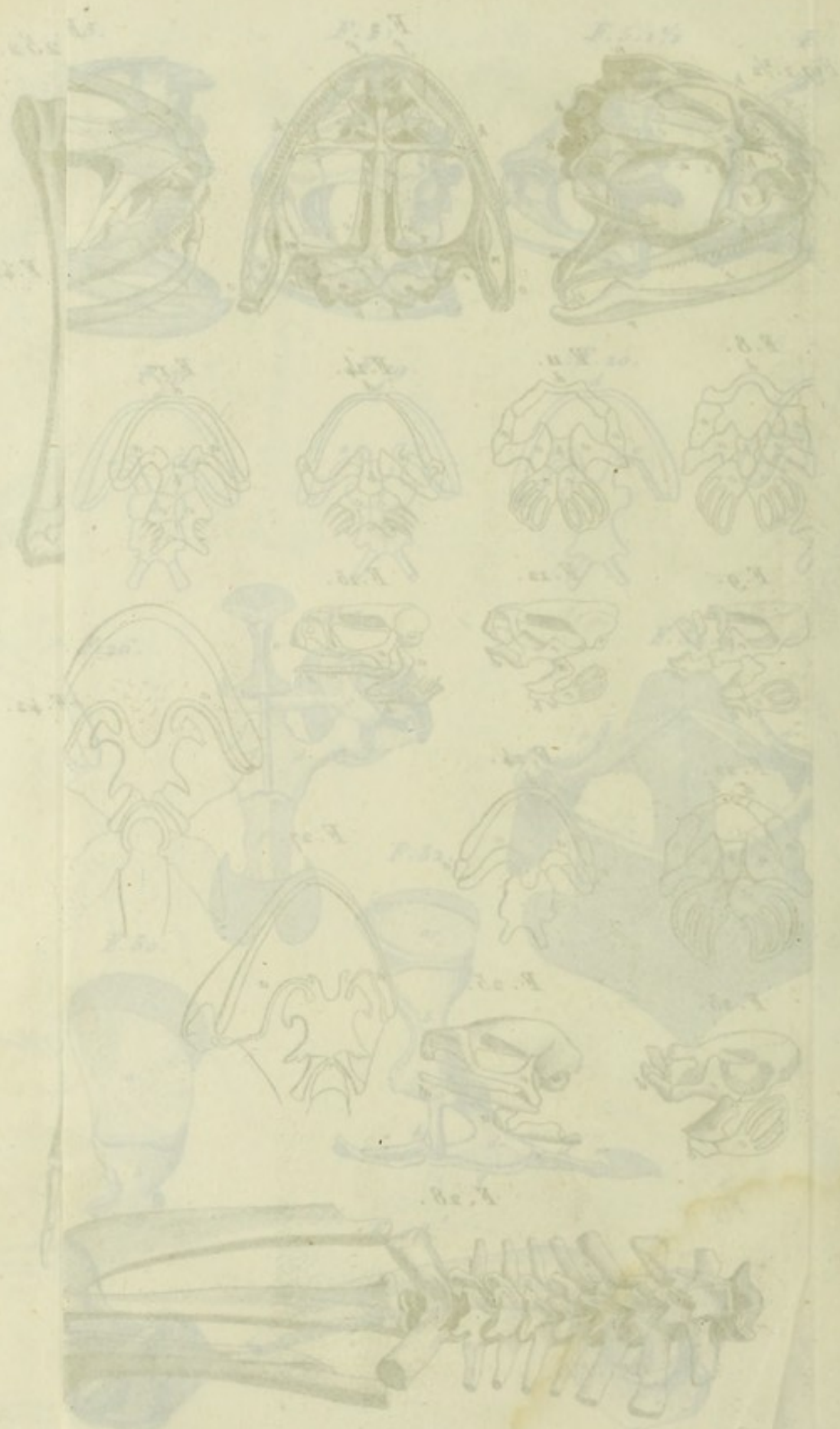


Fig. 1.

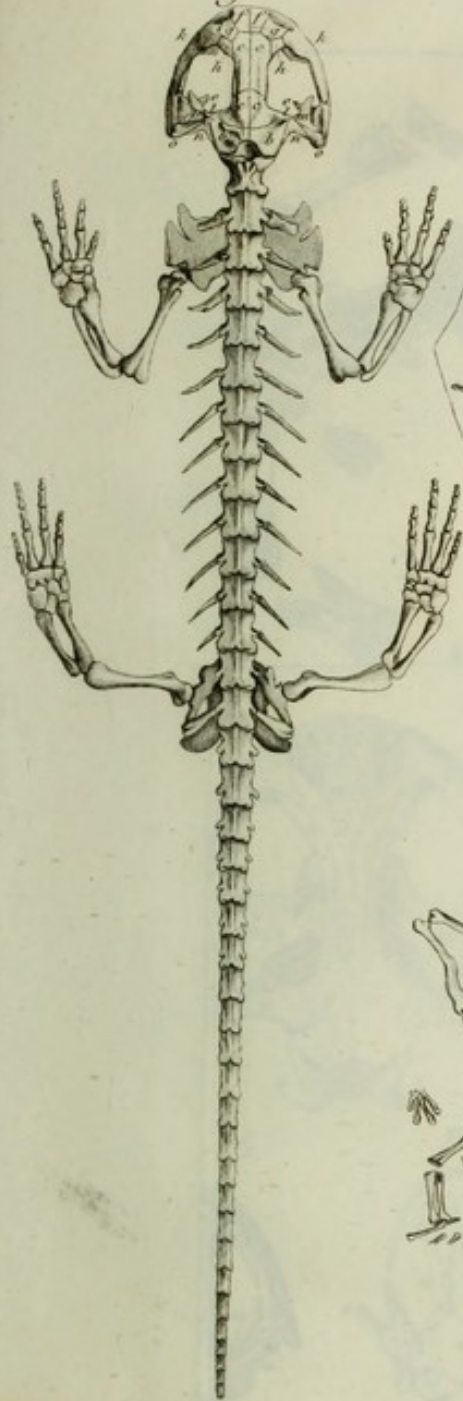


Fig. 2.



Fig. 3.



Fig. 4.



Fig. 5.



Fig. 8.

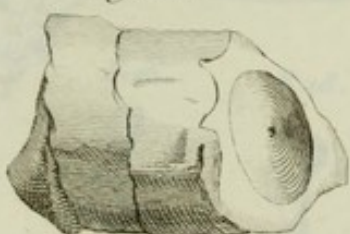


Fig. 6.

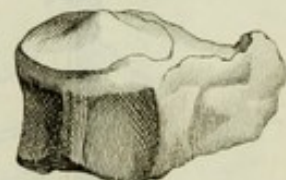


Fig. 7.

Fig. 9.



Fig. 10.

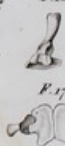
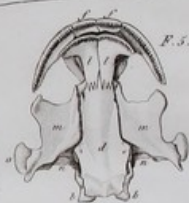
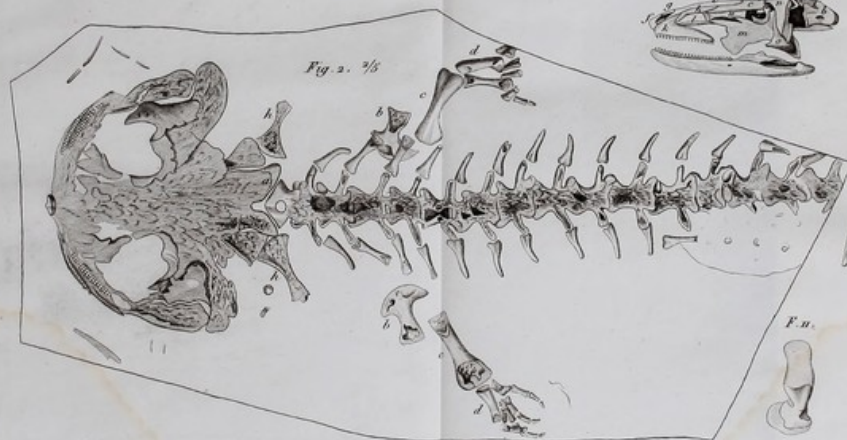
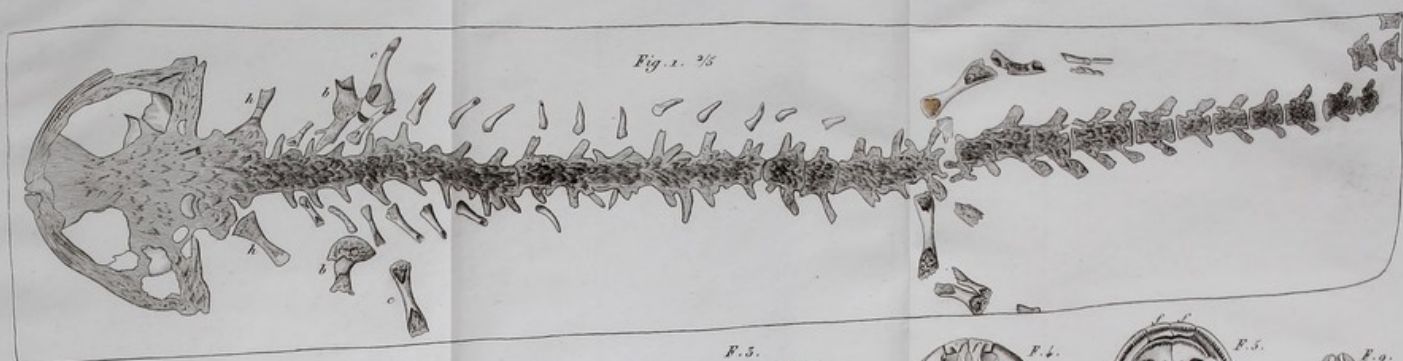


PROTEUS et GRENOUILLE d'Eningen.

Cuvillier del.

Canu sculp.





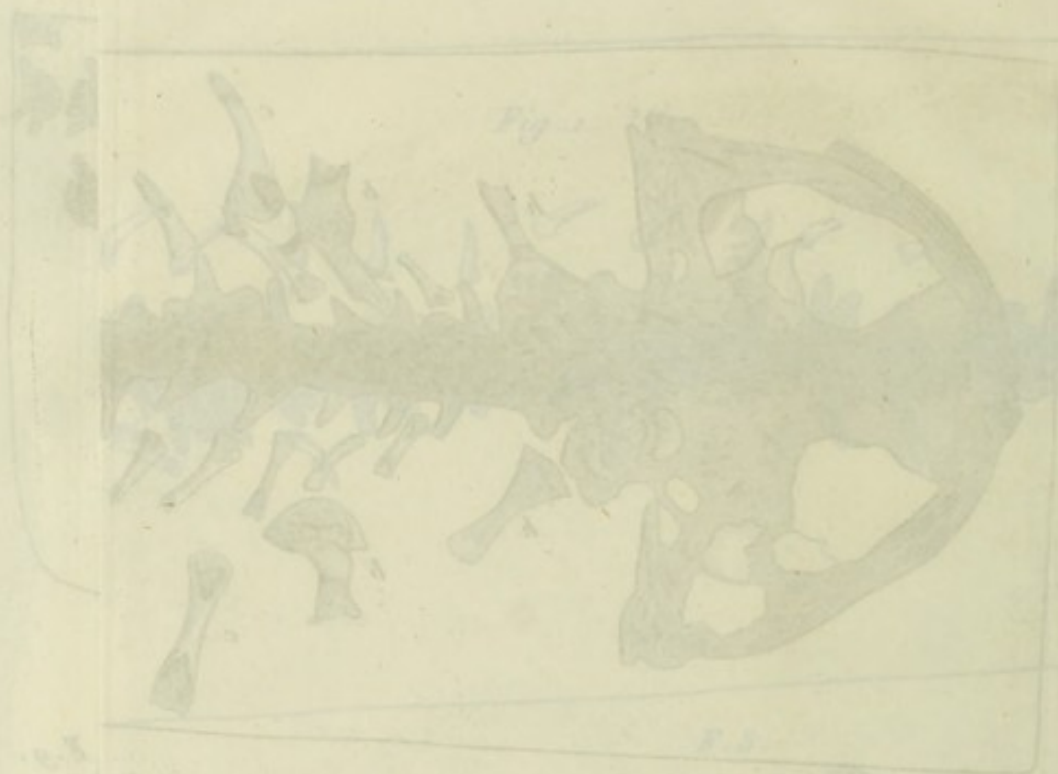


Fig. 1.

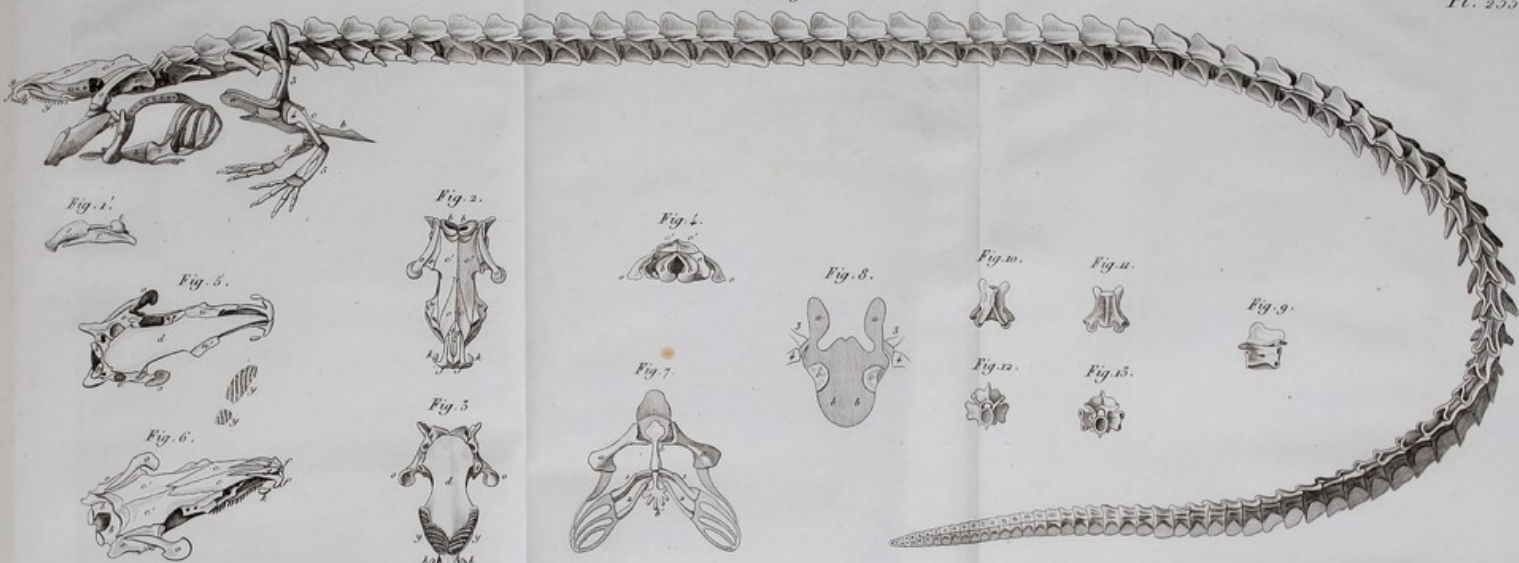


Fig. 1.



Fig. 2.



Fig. 4.



Fig. 8.



Fig. 10.



Fig. 11.



Fig. 9.



Fig. 12.



Fig. 13.



Fig. 5.



Fig. 6.



Fig. 3.



Fig. 7.



Fig. 14.

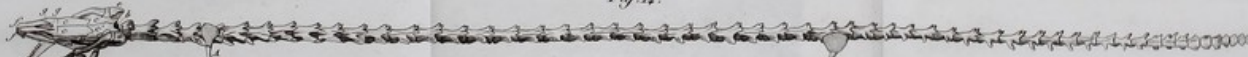


Fig. 24.



Fig. 25.



Fig. 17.



Fig. 18.



Fig. 19.



Fig. 20.



Fig. 21.



Fig. 22.



Fig. 23.



Fig. 15.



Fig. 16.



Fig. 1.



Fig. 2.

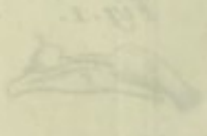


Fig. 4.



Fig. 5.



Fig. 6.

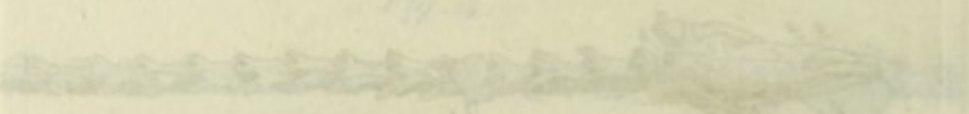
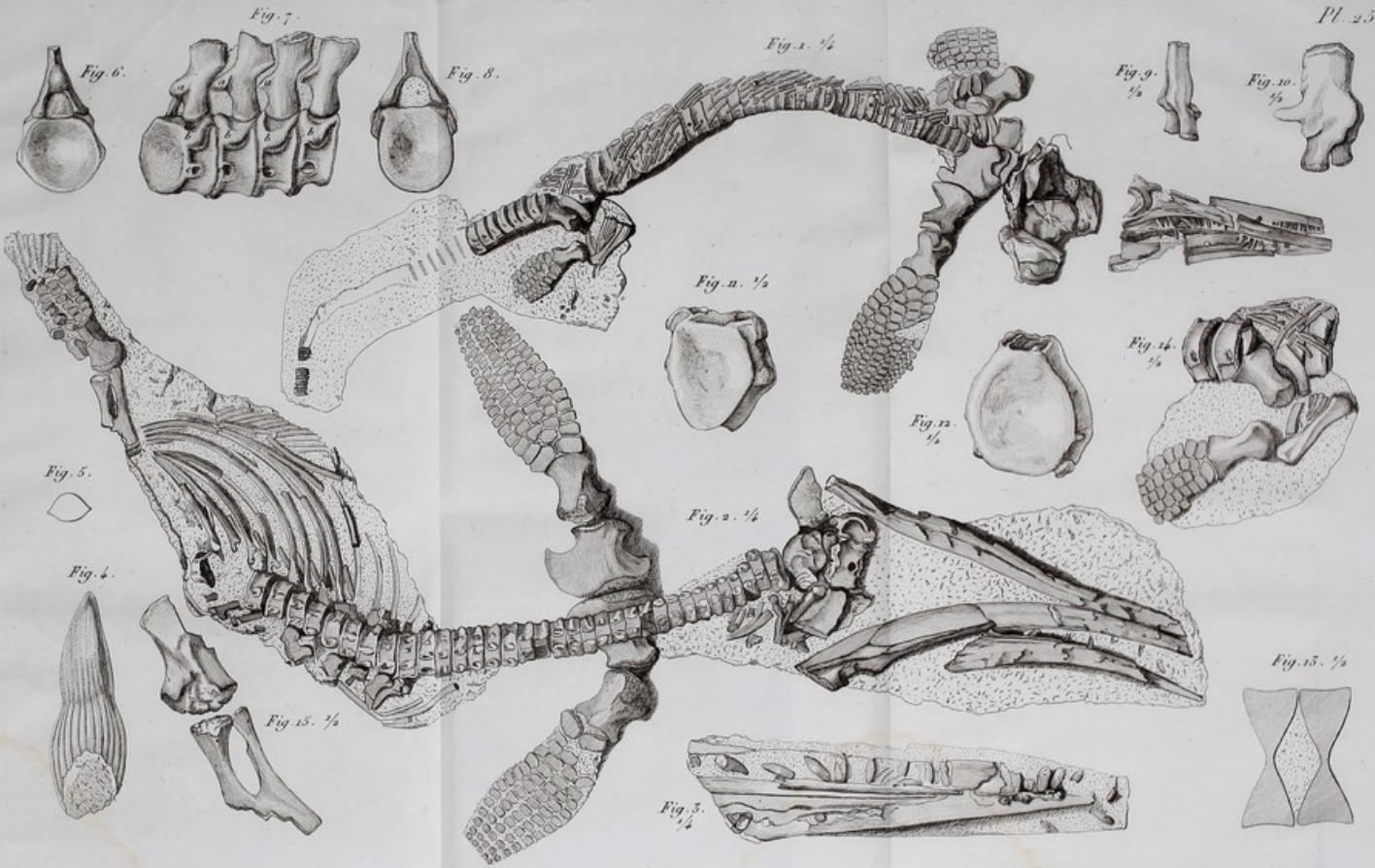


Fig. 7.

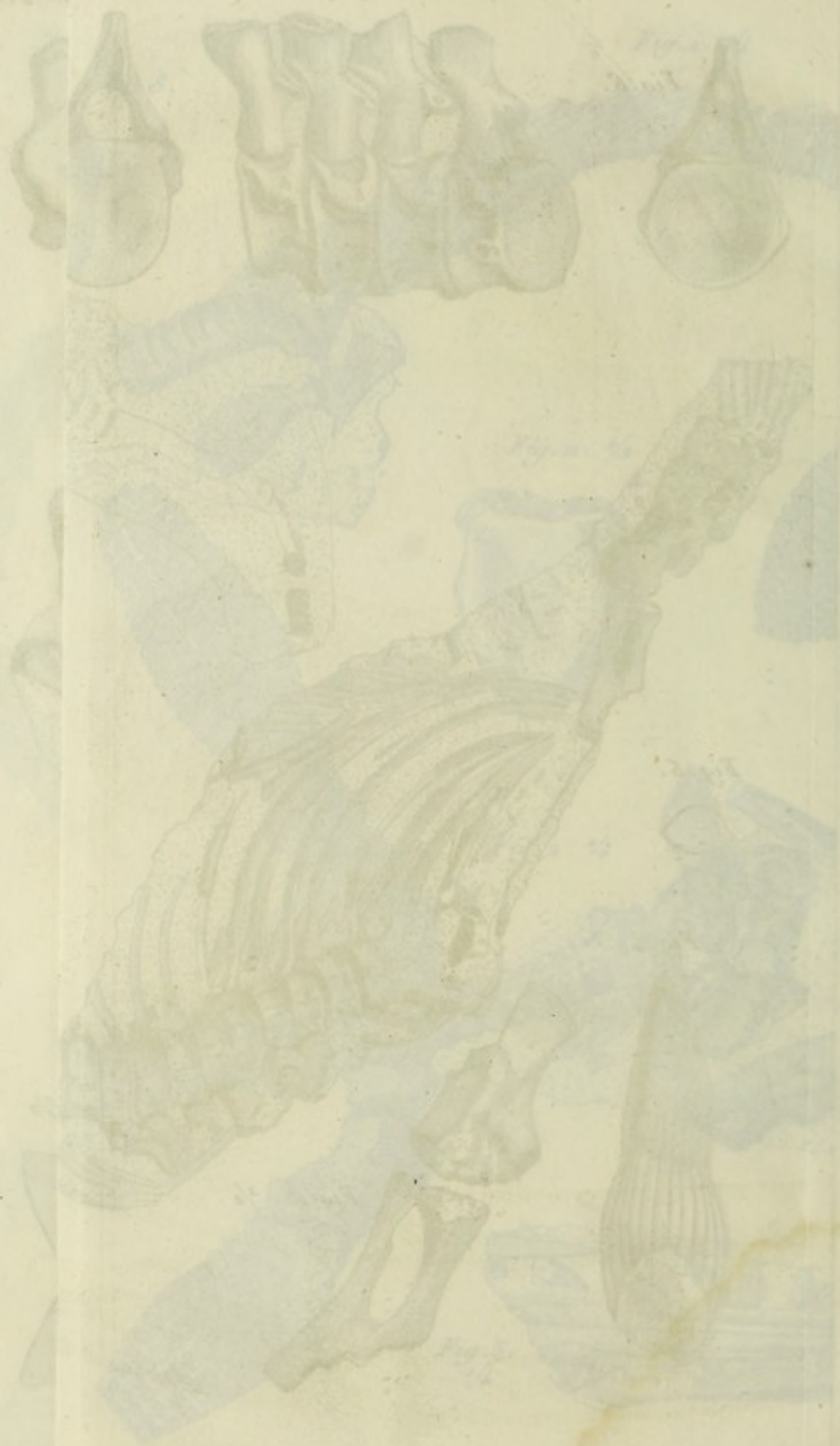




ICHTHYOSAURUS.

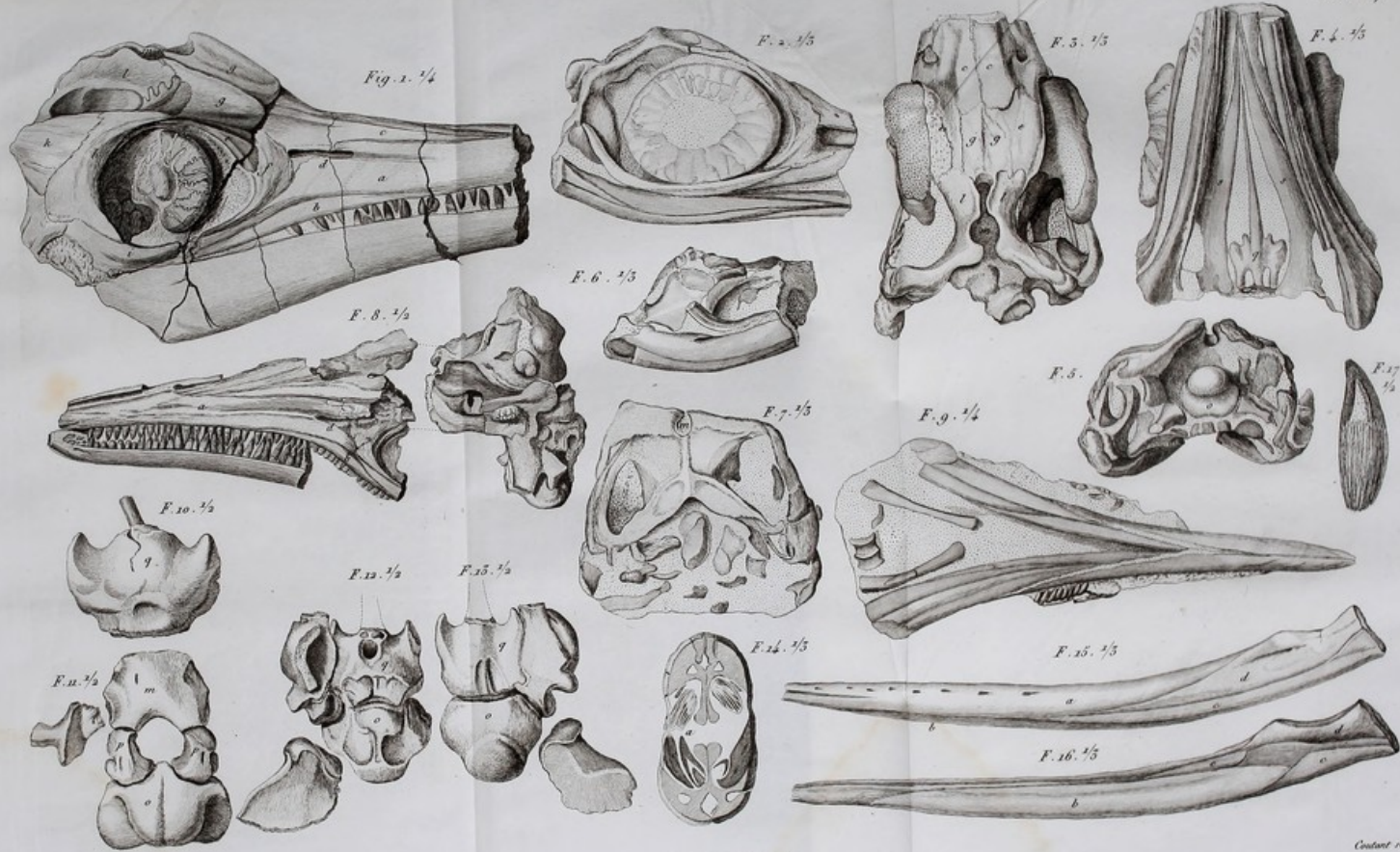
Woodward del.

Robert sculp.



ICHTHYOSAURUS

Plate 1



ICHTHYOSAURUS.

Costant sculp.

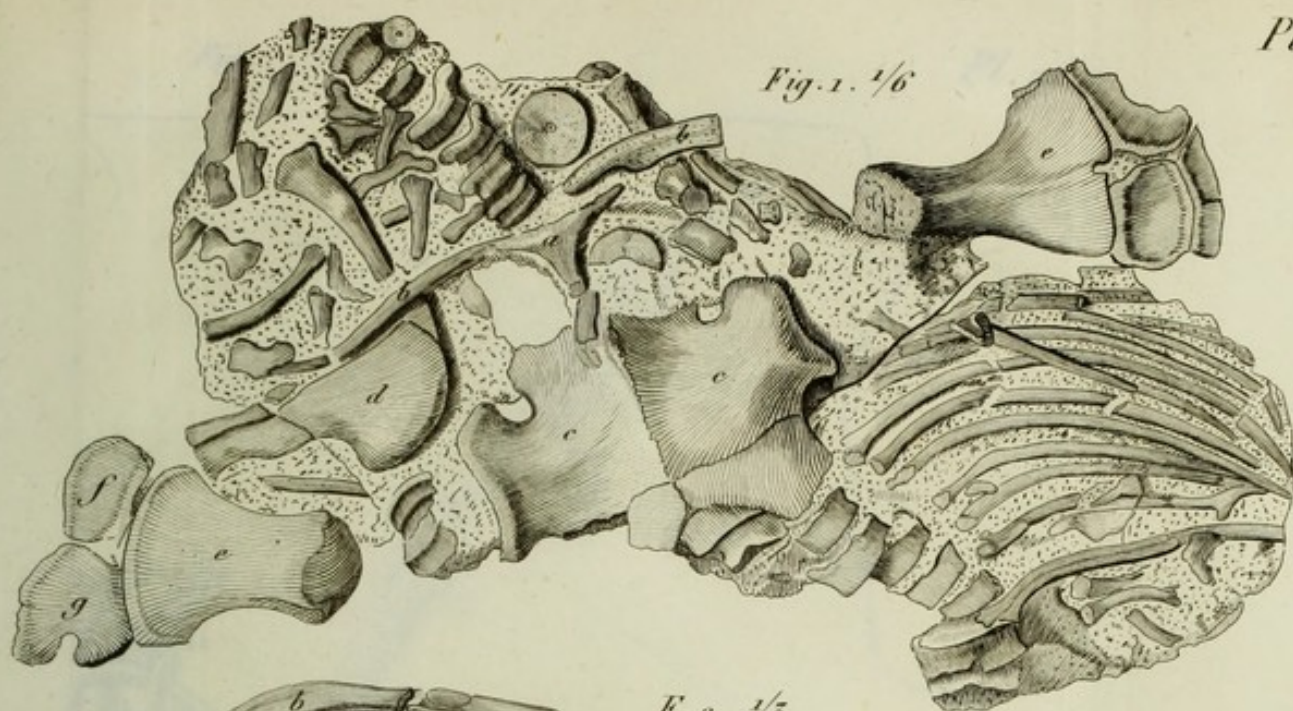
Lamirault del.



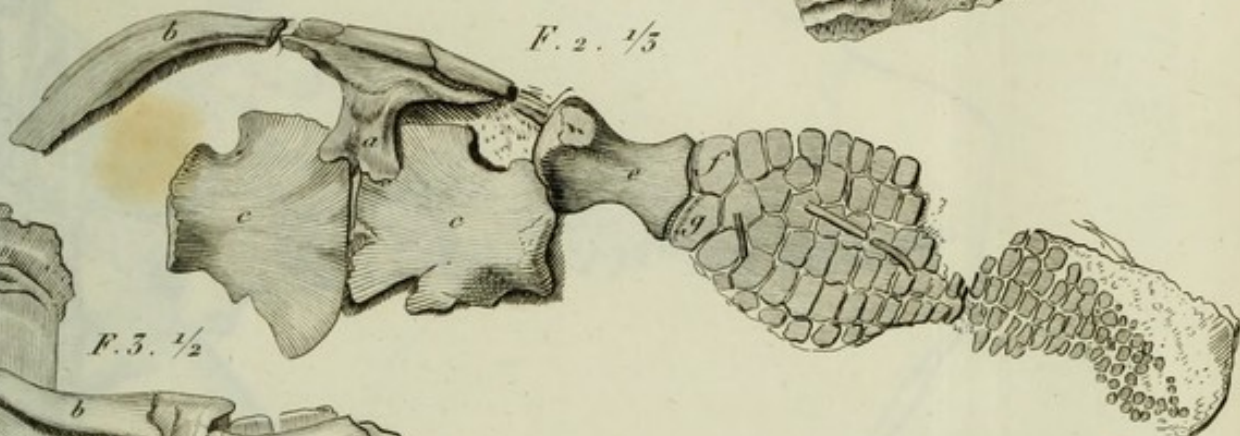
ICHTHYOSAURUS.

Pl. 1. 1830.

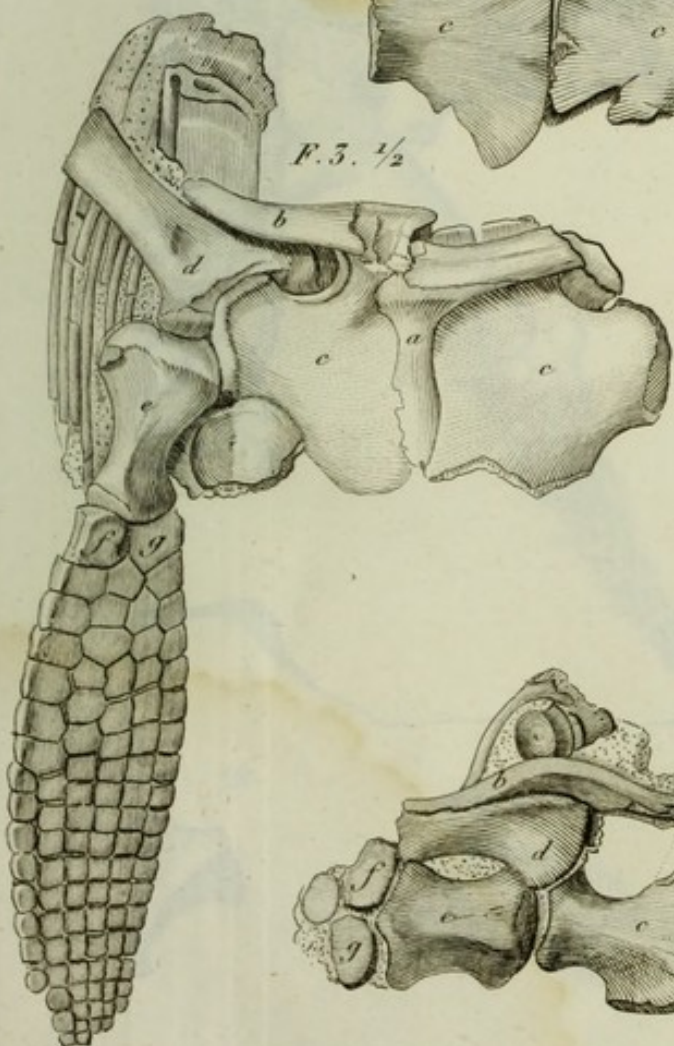
Fig. 1. $\frac{1}{6}$



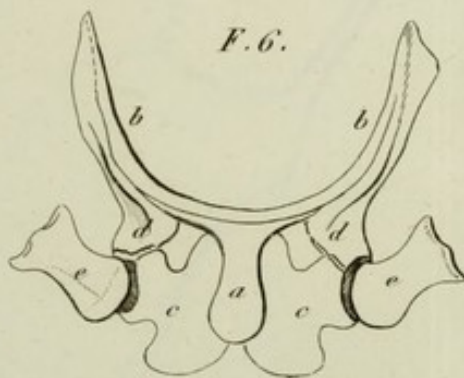
F. 2. $\frac{1}{5}$



F. 3. $\frac{1}{2}$



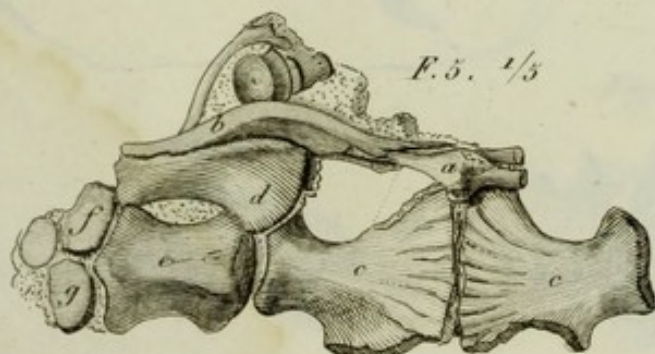
F. 6.



F. 4. $\frac{1}{2}$



F. 5. $\frac{1}{3}$



ICHTYOSAURUS.

Fig. 11



Fig. 12

Fig. 1. $\frac{1}{2}$

Fig. 3. $\frac{1}{2}$



Fig. 2. $\frac{1}{2}$

Fig. 5. $\frac{1}{4}$

Fig. 4. $\frac{1}{2}$

Fig. 8. $\frac{1}{8}$

Fig. 6. $\frac{1}{4}$

Fig. 7. $\frac{1}{4}$

PLESIOSAURUS.

Constant sculpt.



PLESIOMERIS

Fig. 6.

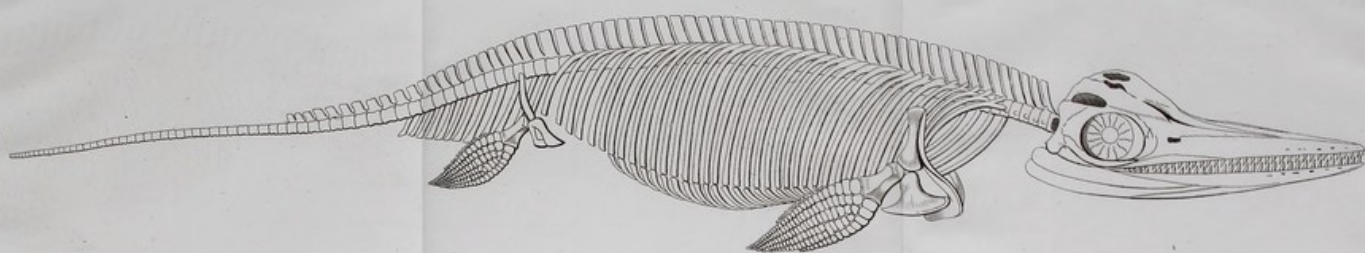


Fig. 1.



Fig. 3.

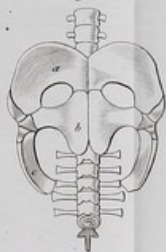


Fig. 2.



Fig. 4.



Fig. 7.

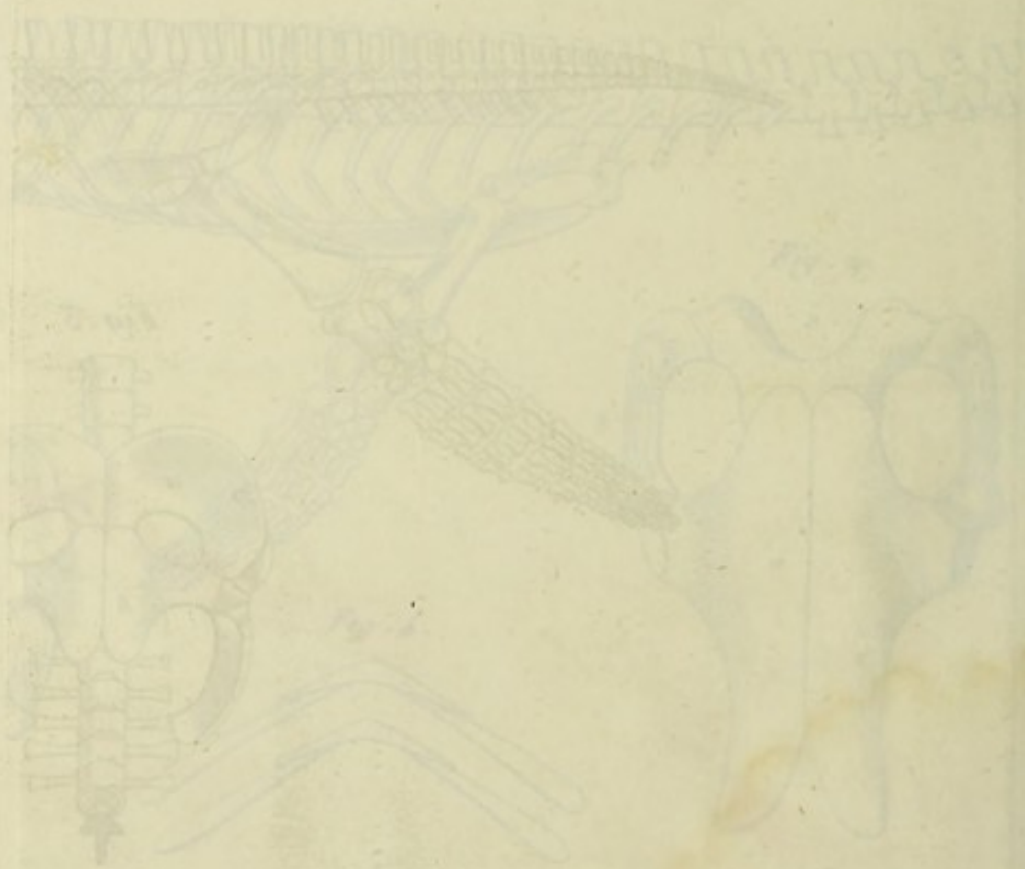
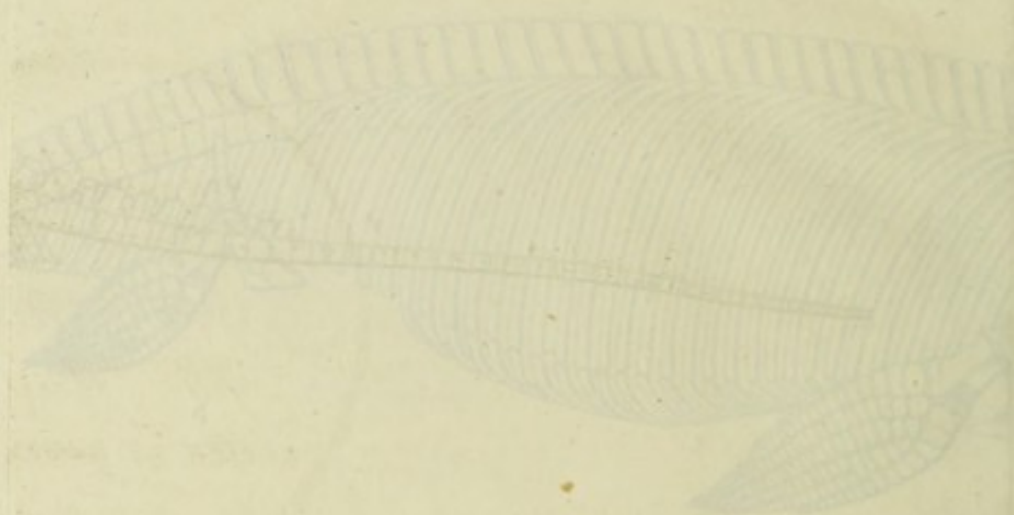


Fig. 5.



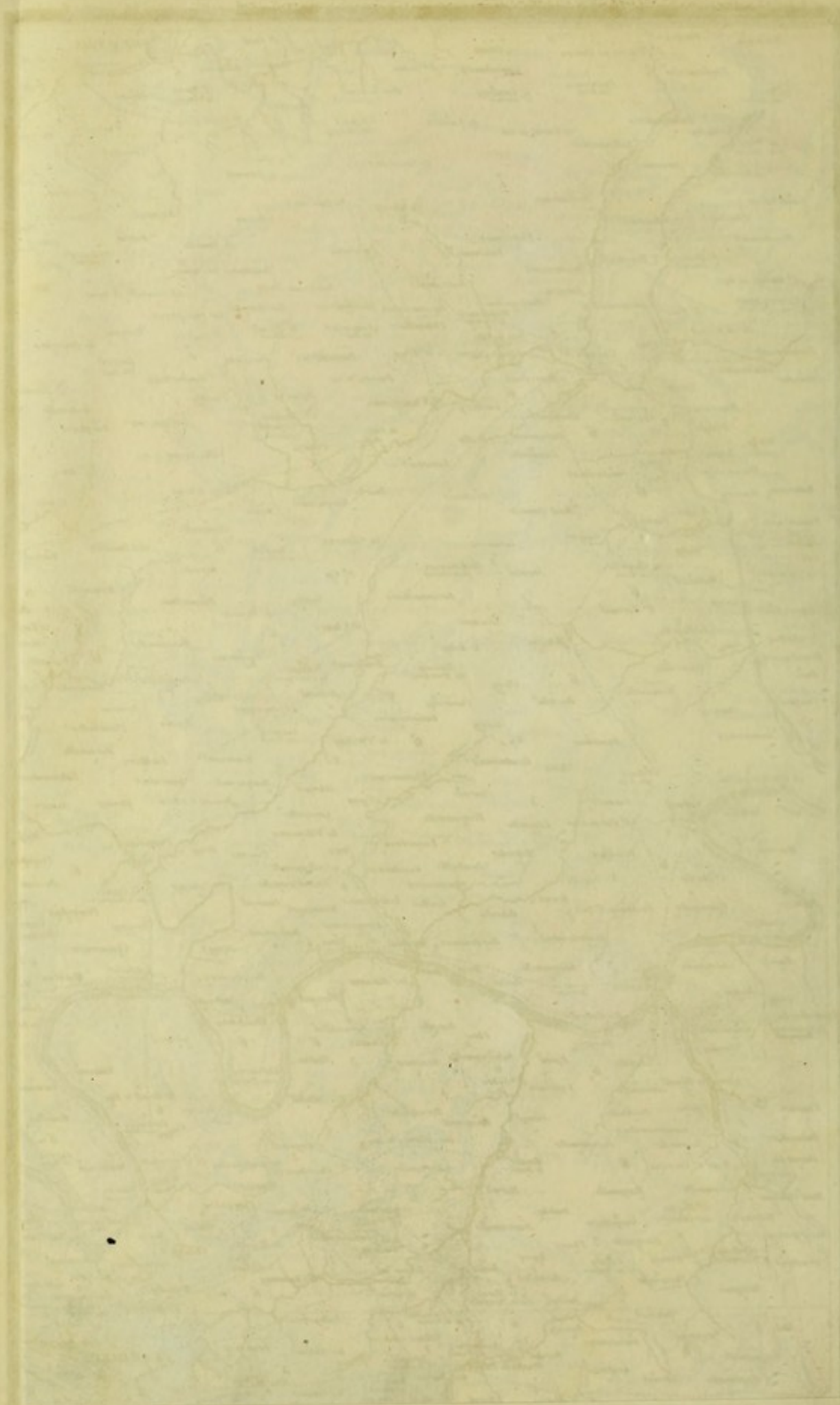
SQUELETTES D'ICHTHYOSAURUS ET DE PLESIOSAURUS RESTITUÉS.

Goussier sculpt.

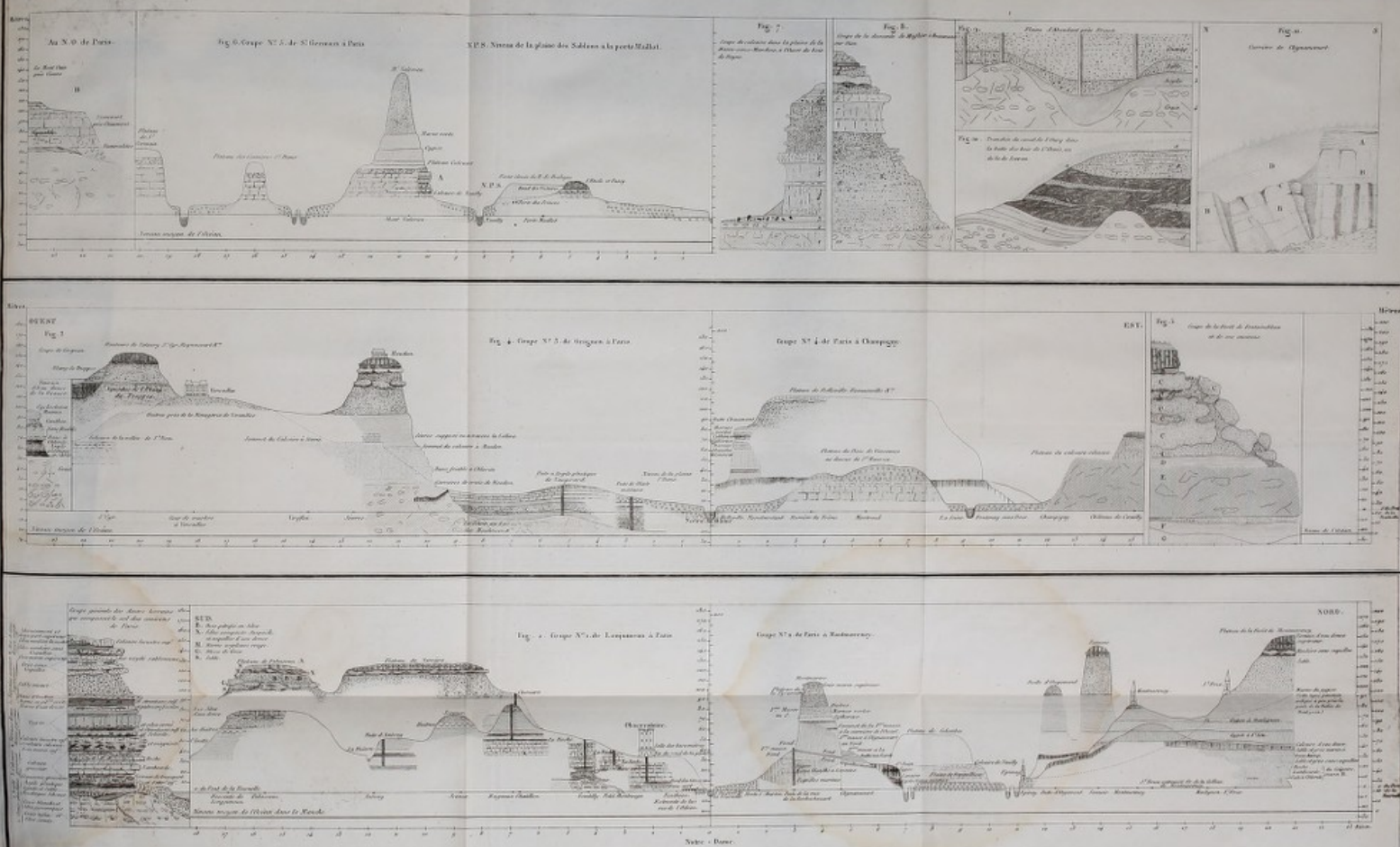


ANATOMY OF THE PLESIOSAURUS AND THE PLESIOSAURUS





14.1



AB-AC. Coupes des Terrains d'Argile et de Lignite du Soissonnais.

fig. 1. AB.

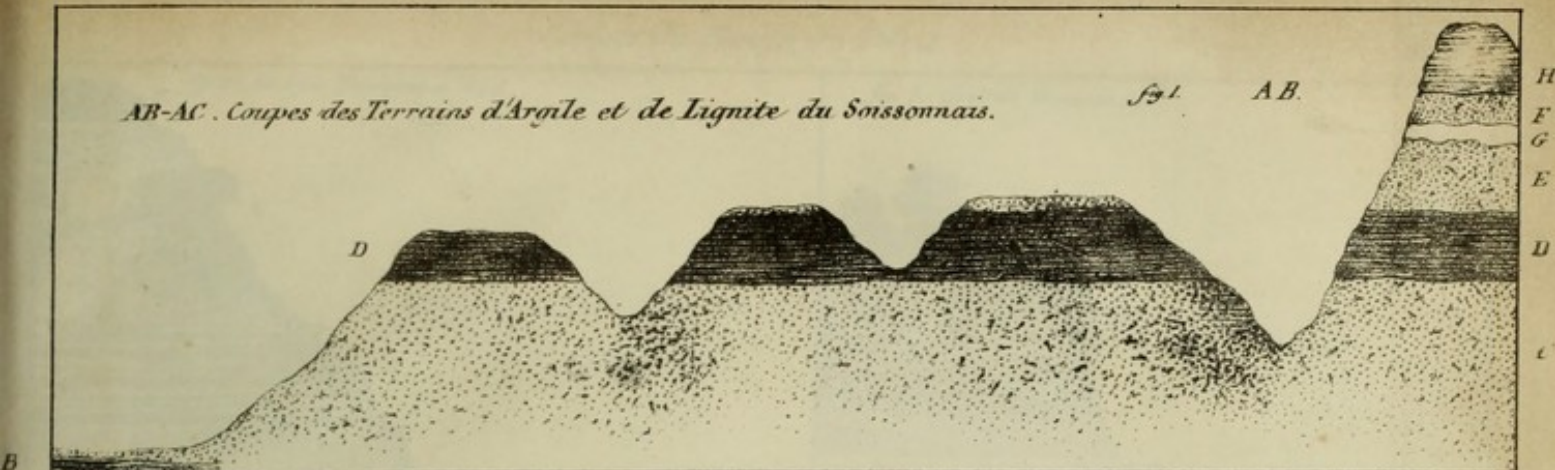
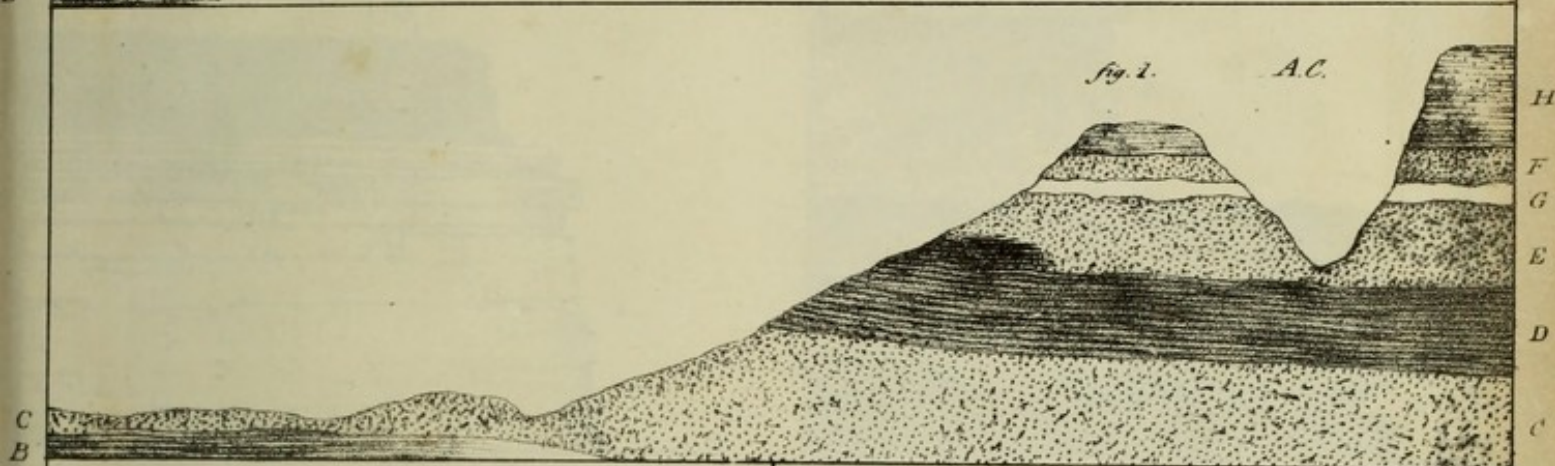
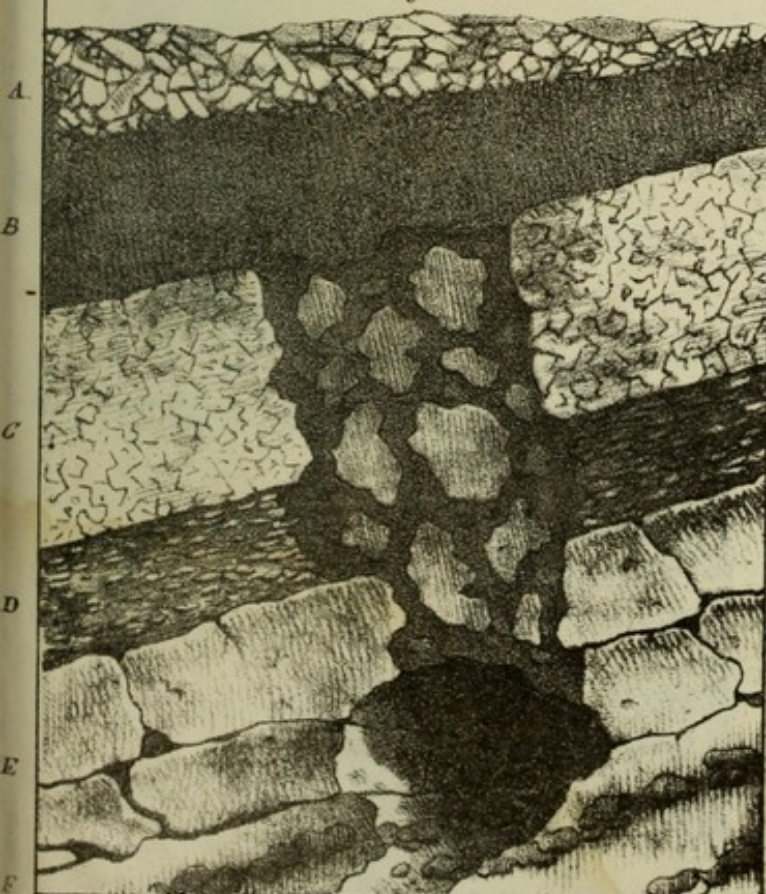


fig. 2. AC.

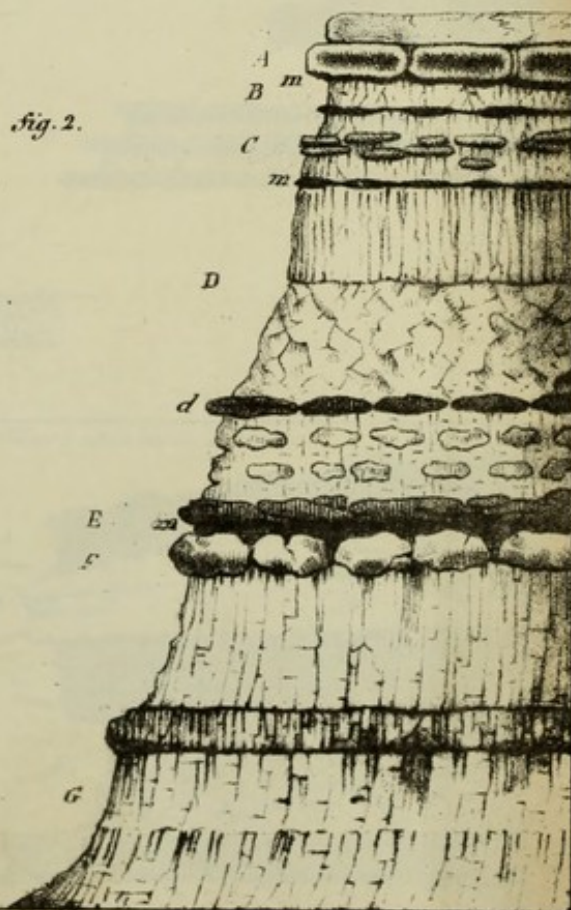


Bois de Cerf dans un Terrain de transport pénétrant dans la Craie à Meudon.
Fig. 3



Disposition de la Magnésite à Coulommiers.

fig. 2.



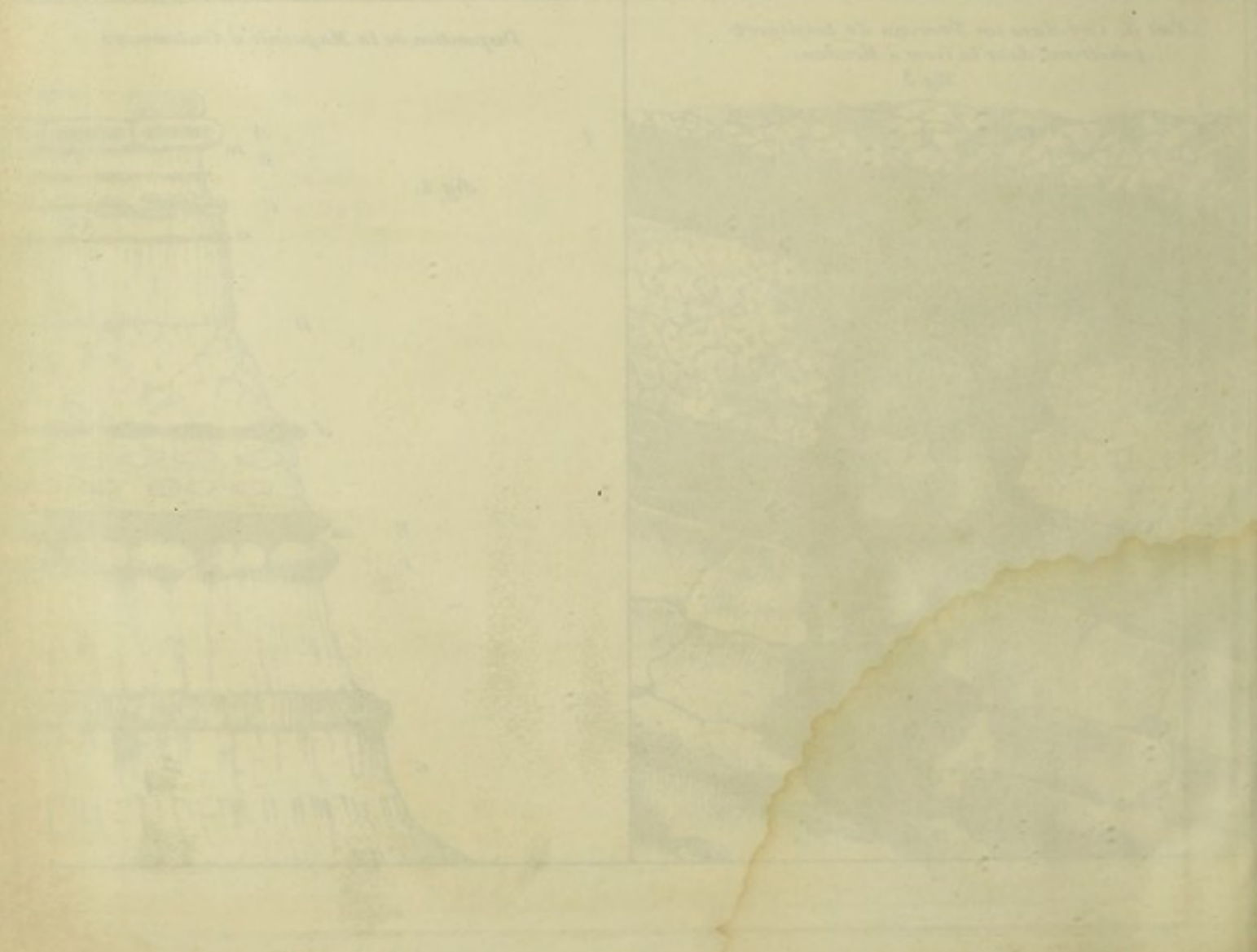


fig. 2. Les trois Terrains à Tril.

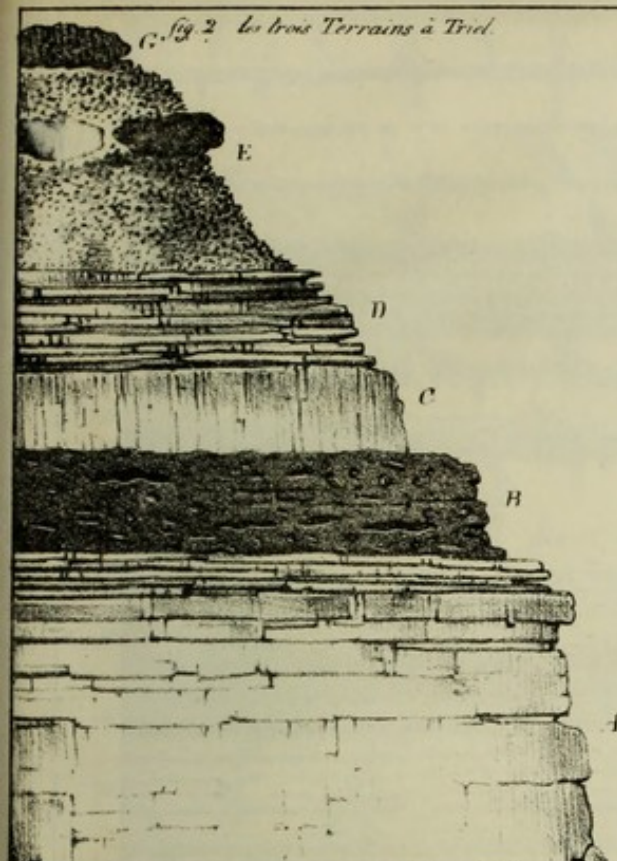
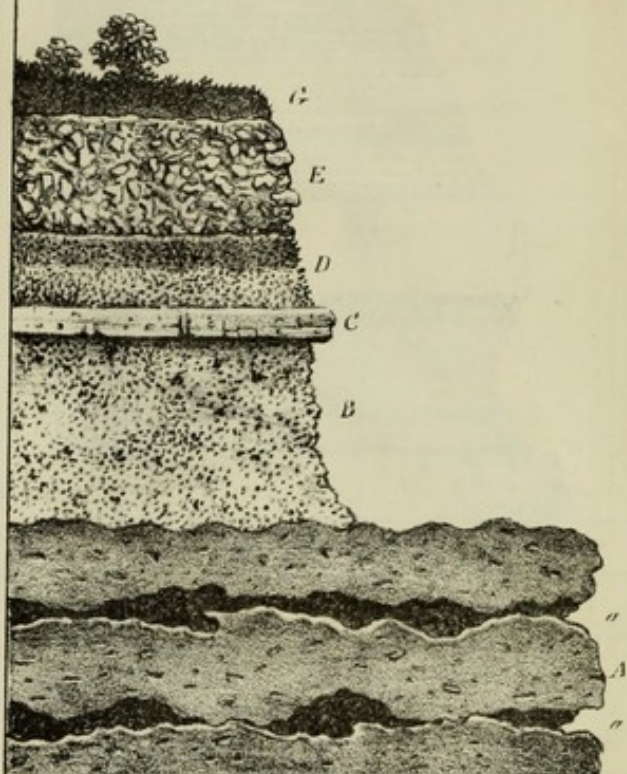
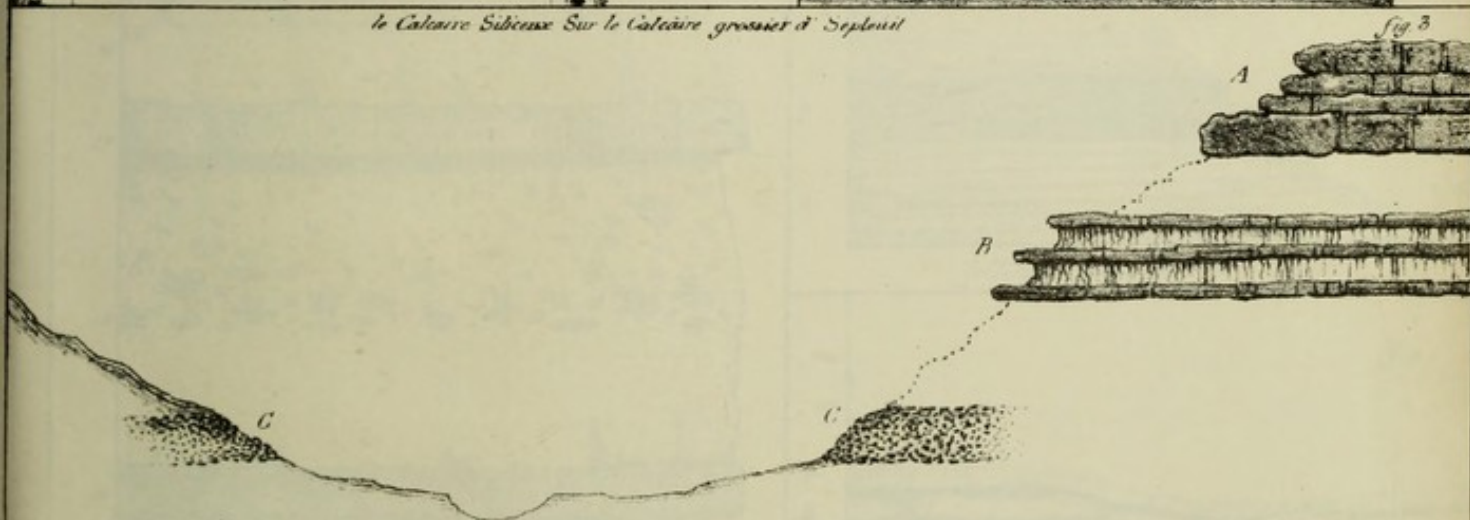


fig. 1. Grès de Beauchamps.



le Calcaire Siliceux Sur le Calcaire grossier à Seploux

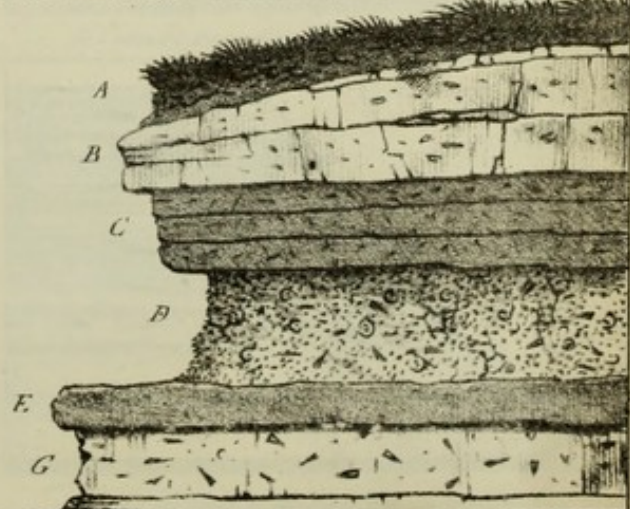


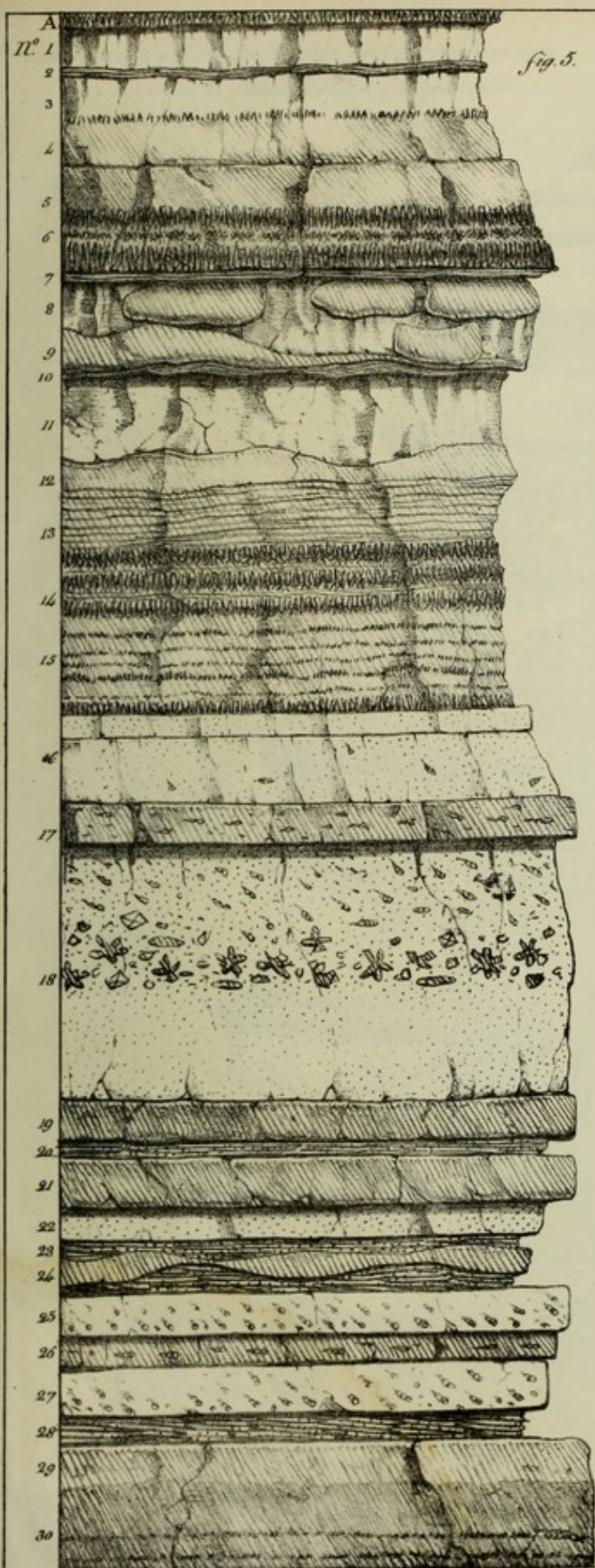
le Silex Corné dans le Calcaire grossier à Gentilly. fig. 5.



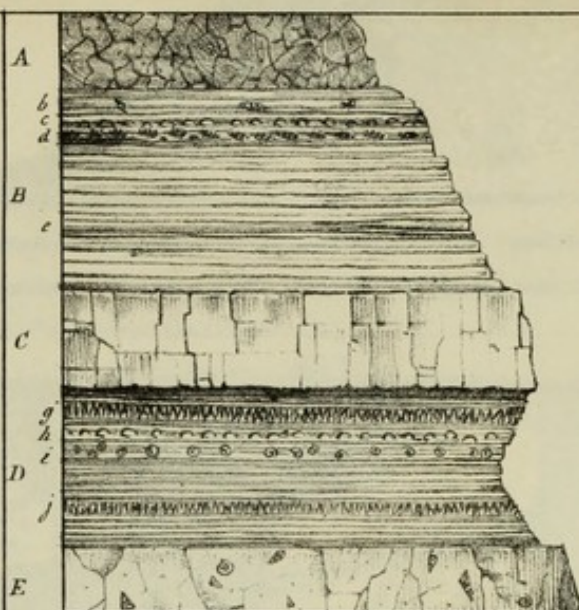
le Calcaire (Clicart) doux doux à Villiers.

fig. 6.

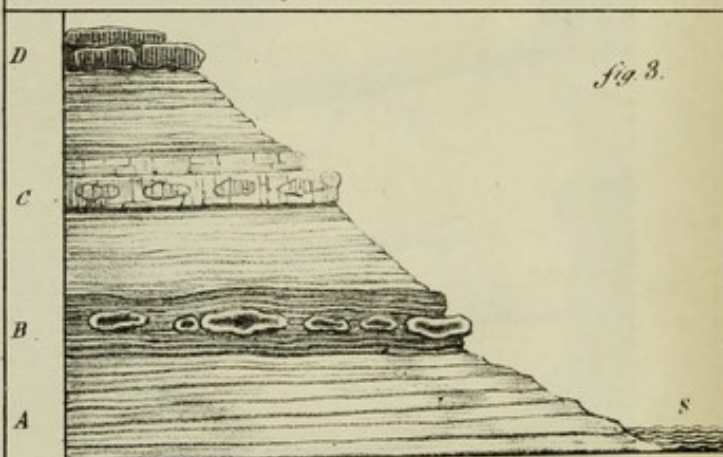




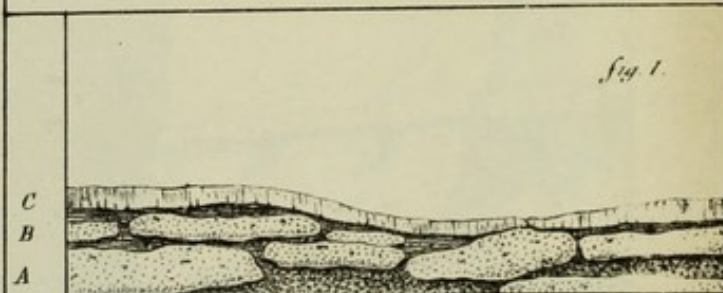
les Coquilles marines dans le Gypse inférieur à Montmartre.



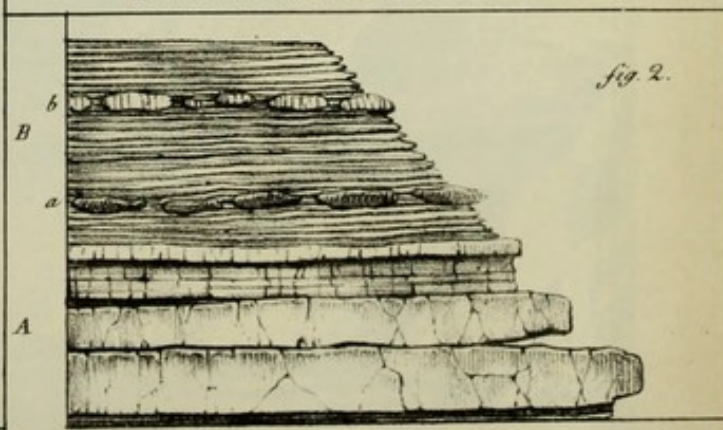
Lits de Cytherees à la Bulle Chaumont.



le Terrain d'eau-douce à St. Ouen.



le Calcaire d'eau-douce sur le Grès à Evreux.

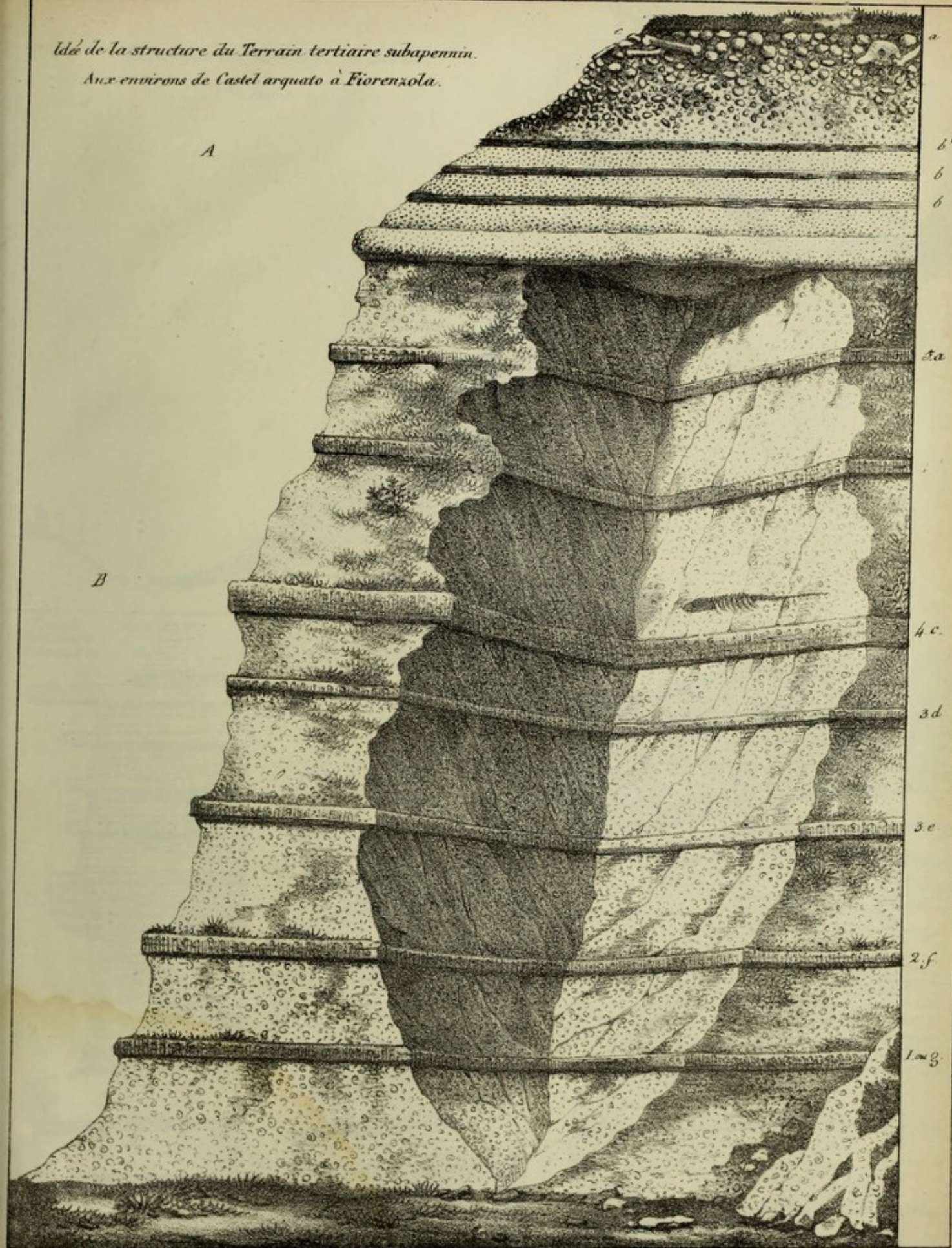


le Terrain d'eau-douce à Moissettes.

*Idee de la structure du Terrain tertiaire subapennin.
Aux environs de Castel arquato à Fiorenzola.*

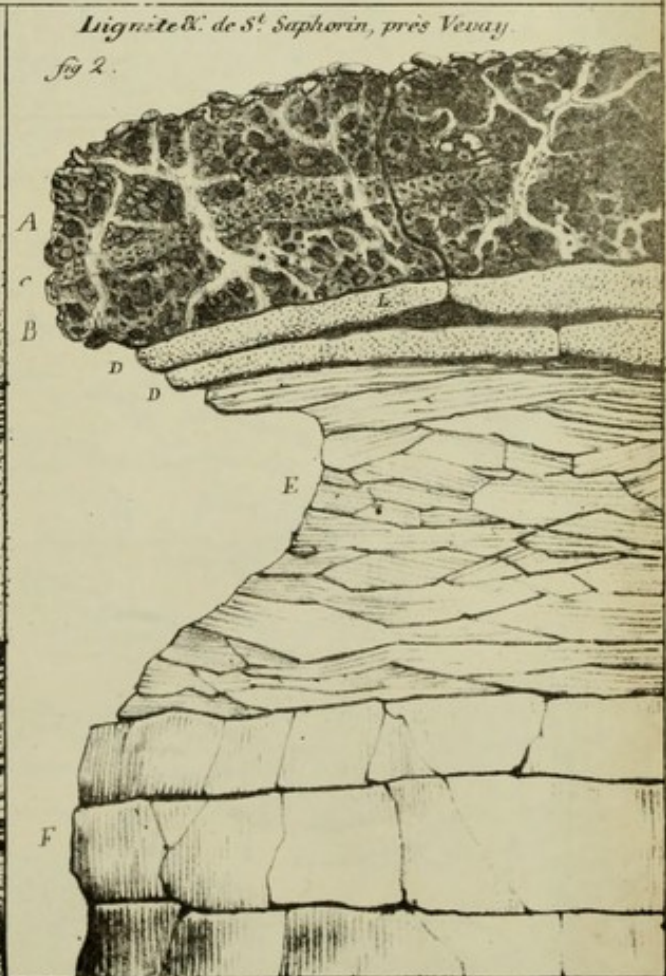
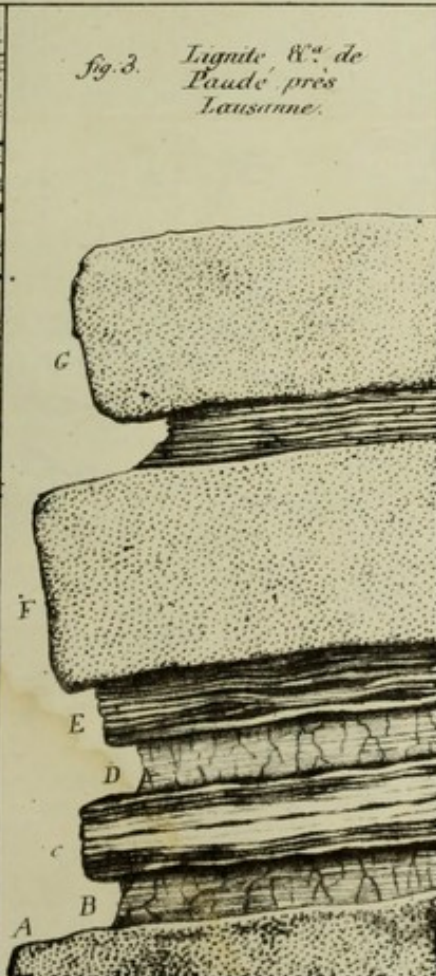
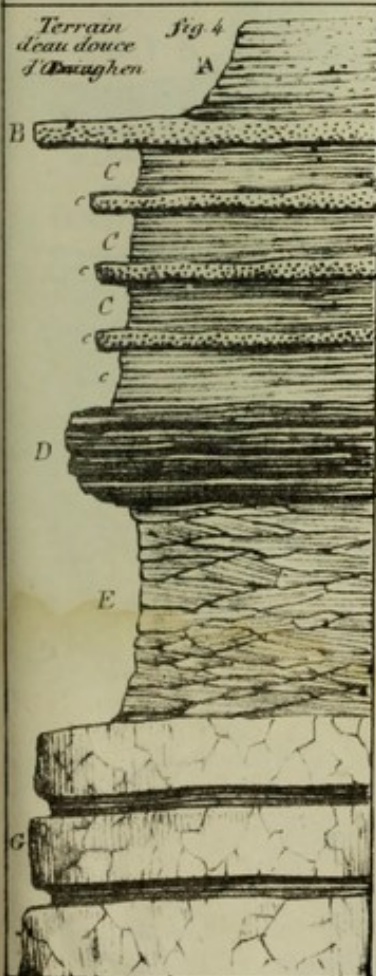
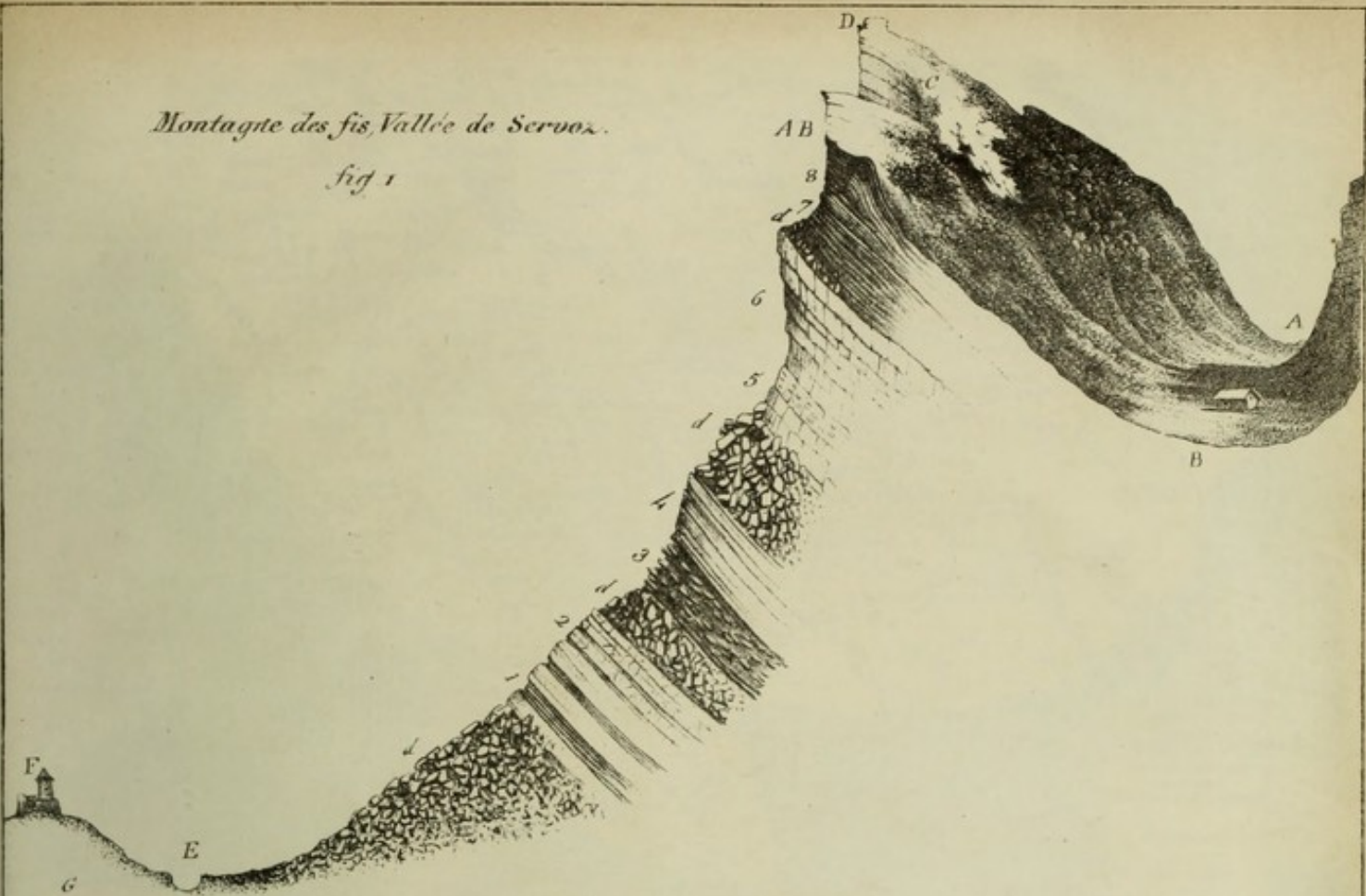
A

B



Montagne des fis, Vallée de Servoz.

fig. 1





BASSINS GÉOLOGISTES DE PARIS ET DE LONDRES.

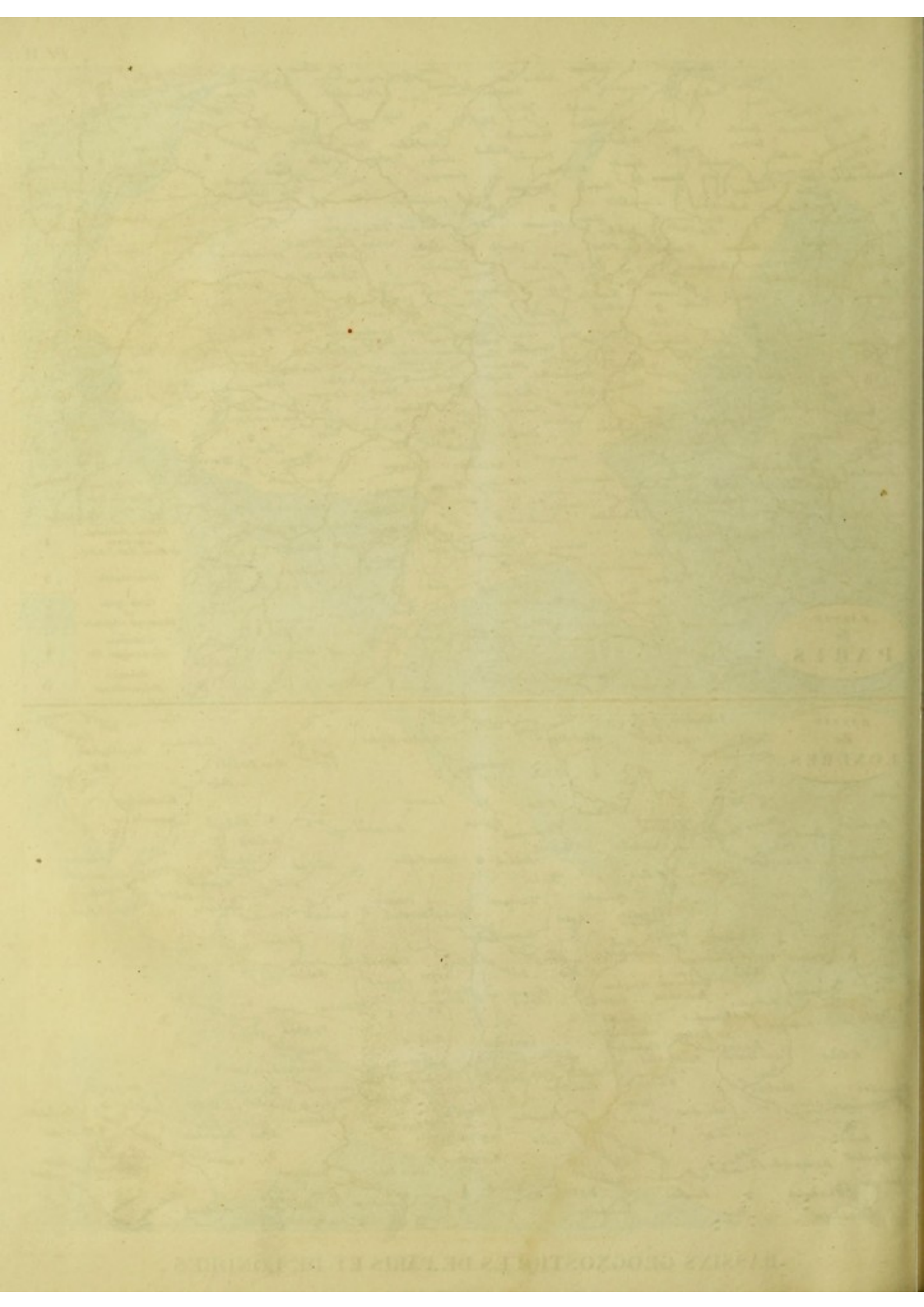
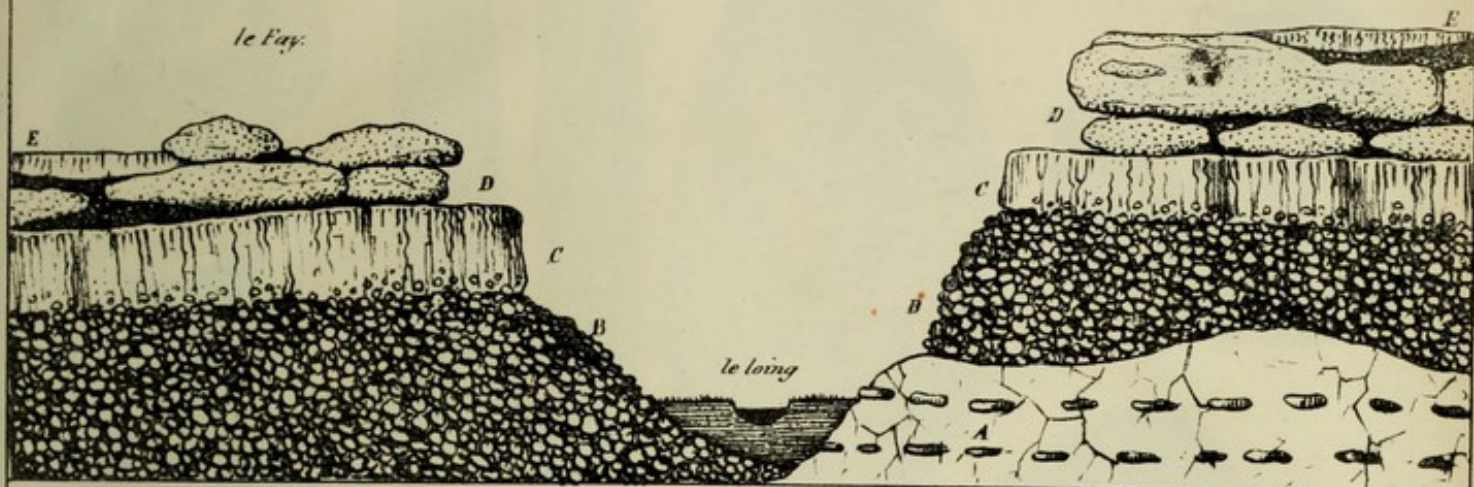


fig. 2

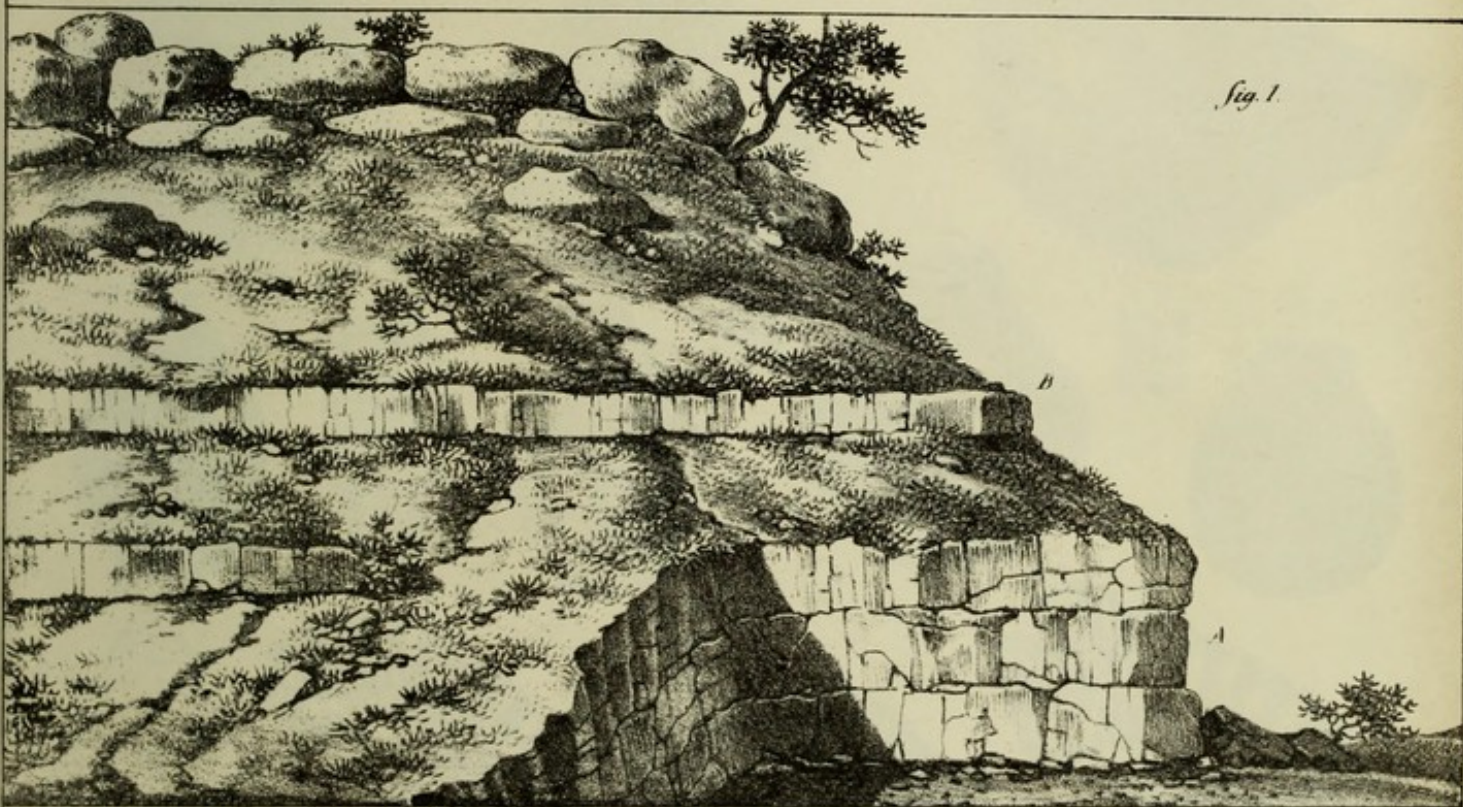
Vallee des Chataigniers.

le Fay.



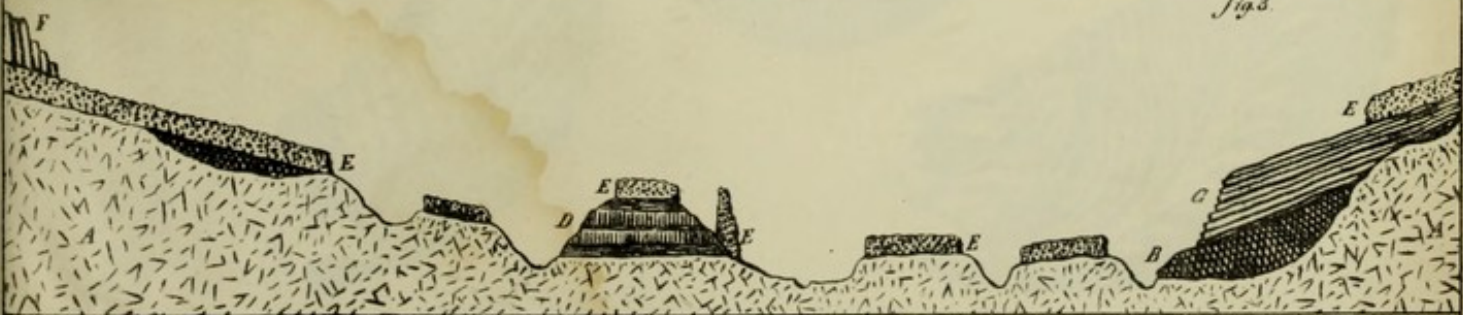
les deux Terrains d'eau-douce entre Nemours et Chateau-landon.

fig. 1.

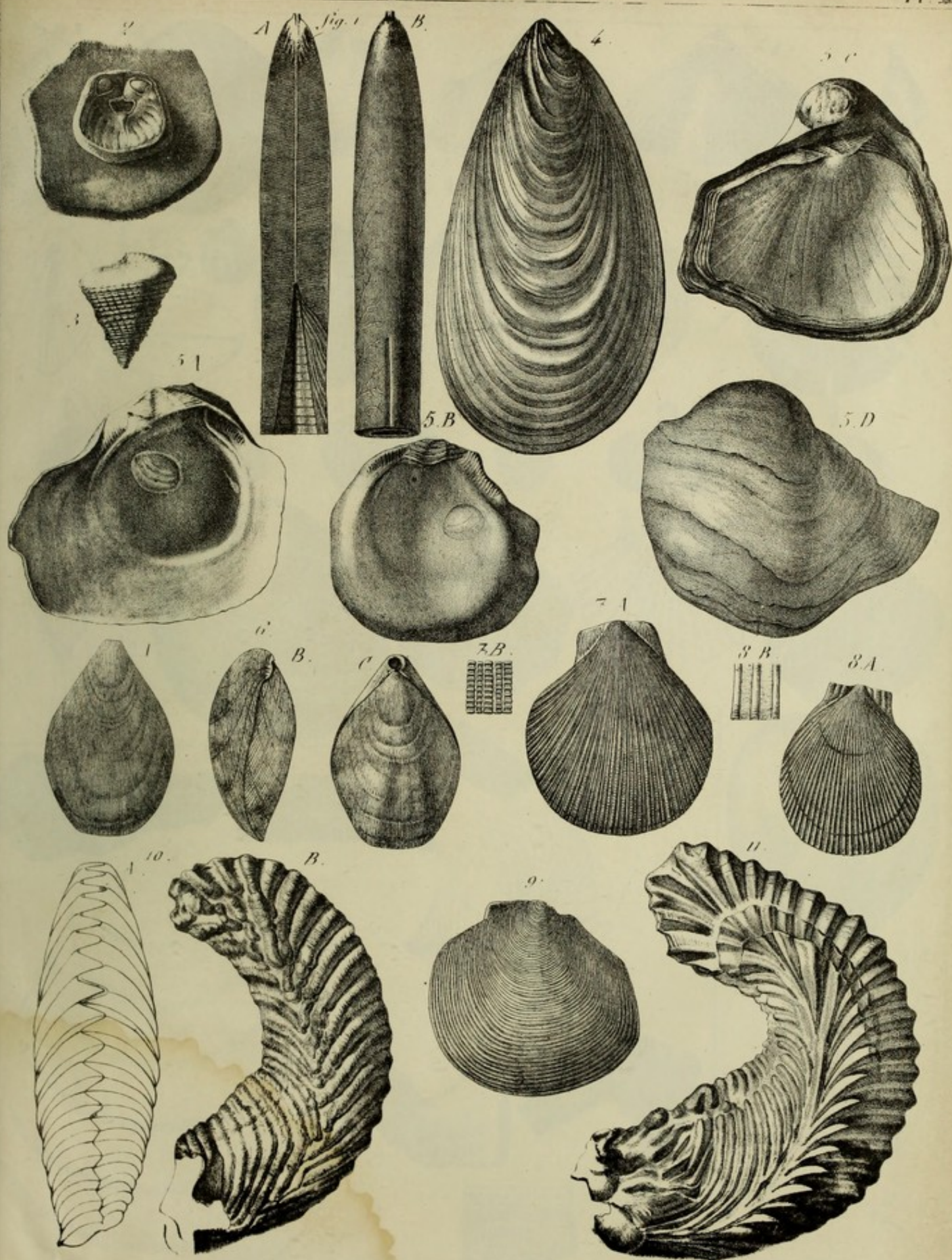


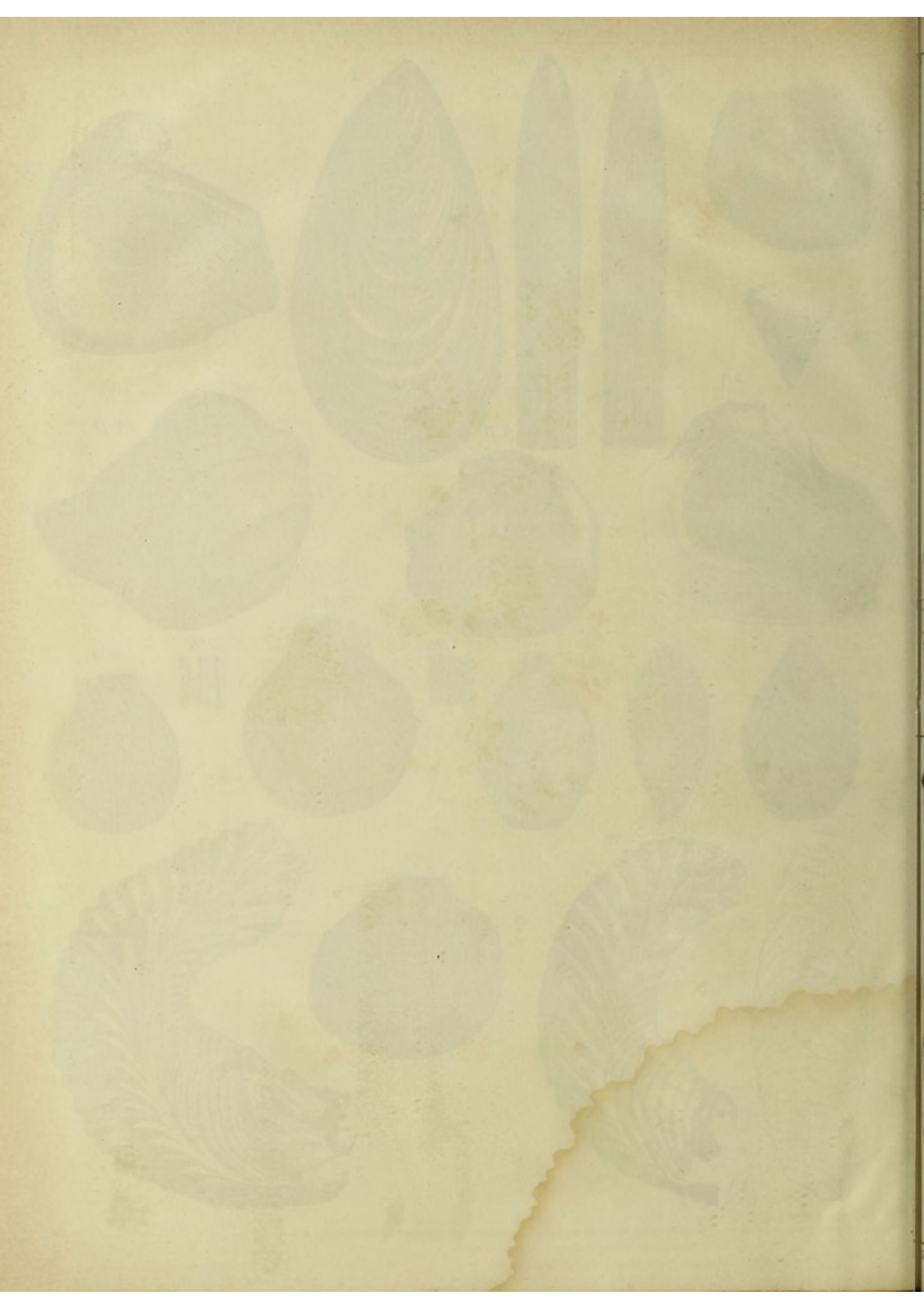
le Calcaire d'eau-douce siliceux sous le Grès près Fontainebleau.

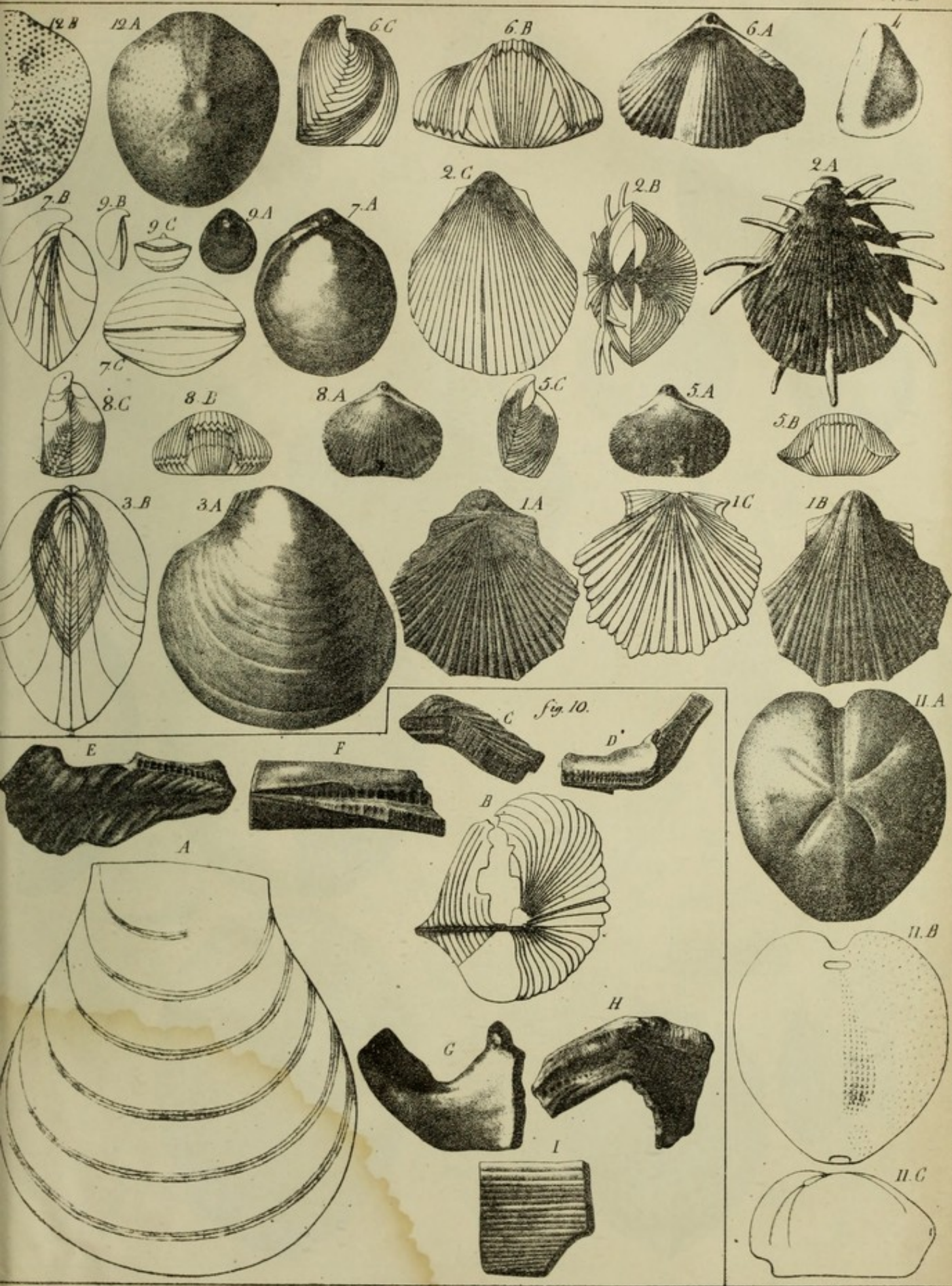
fig. 3.

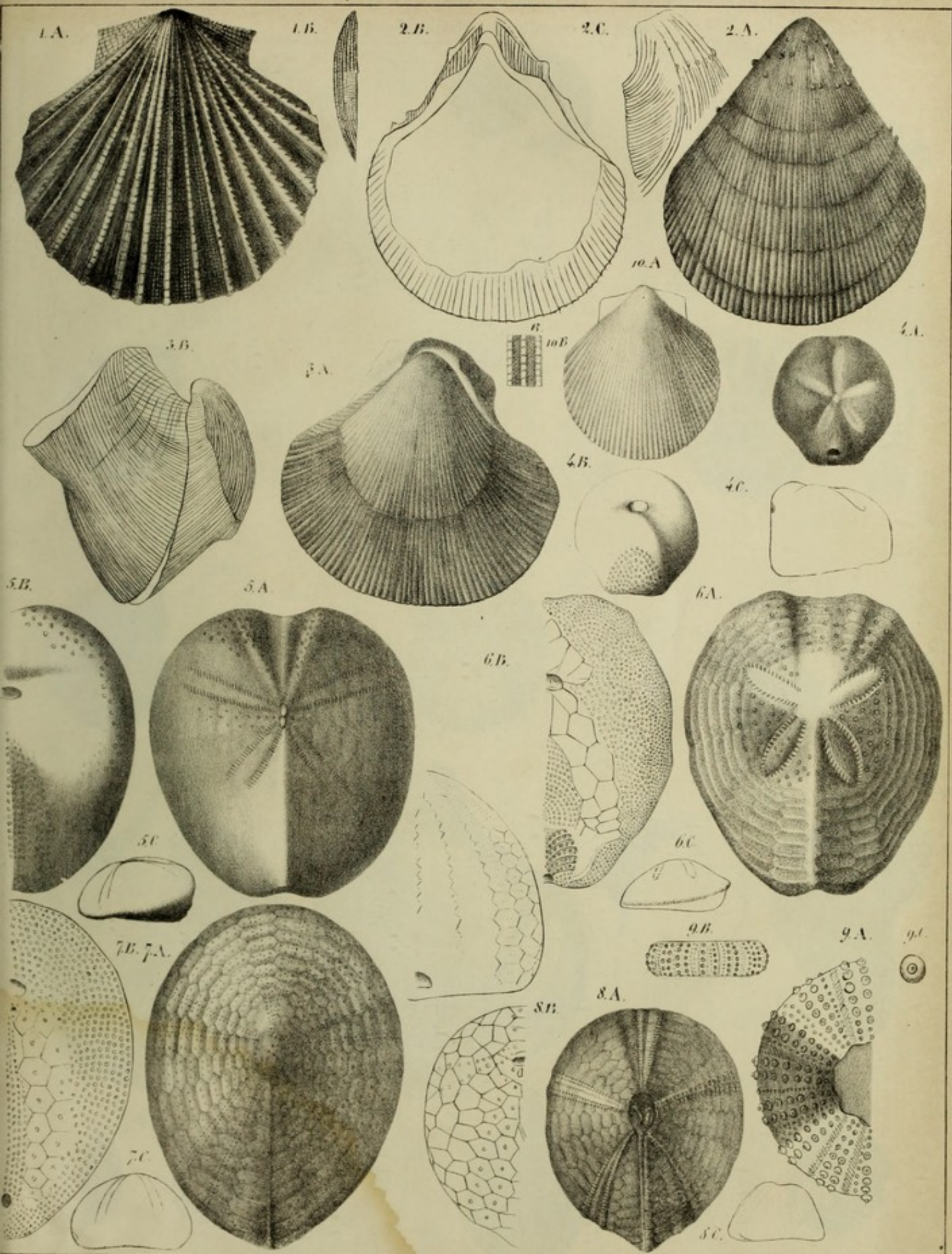


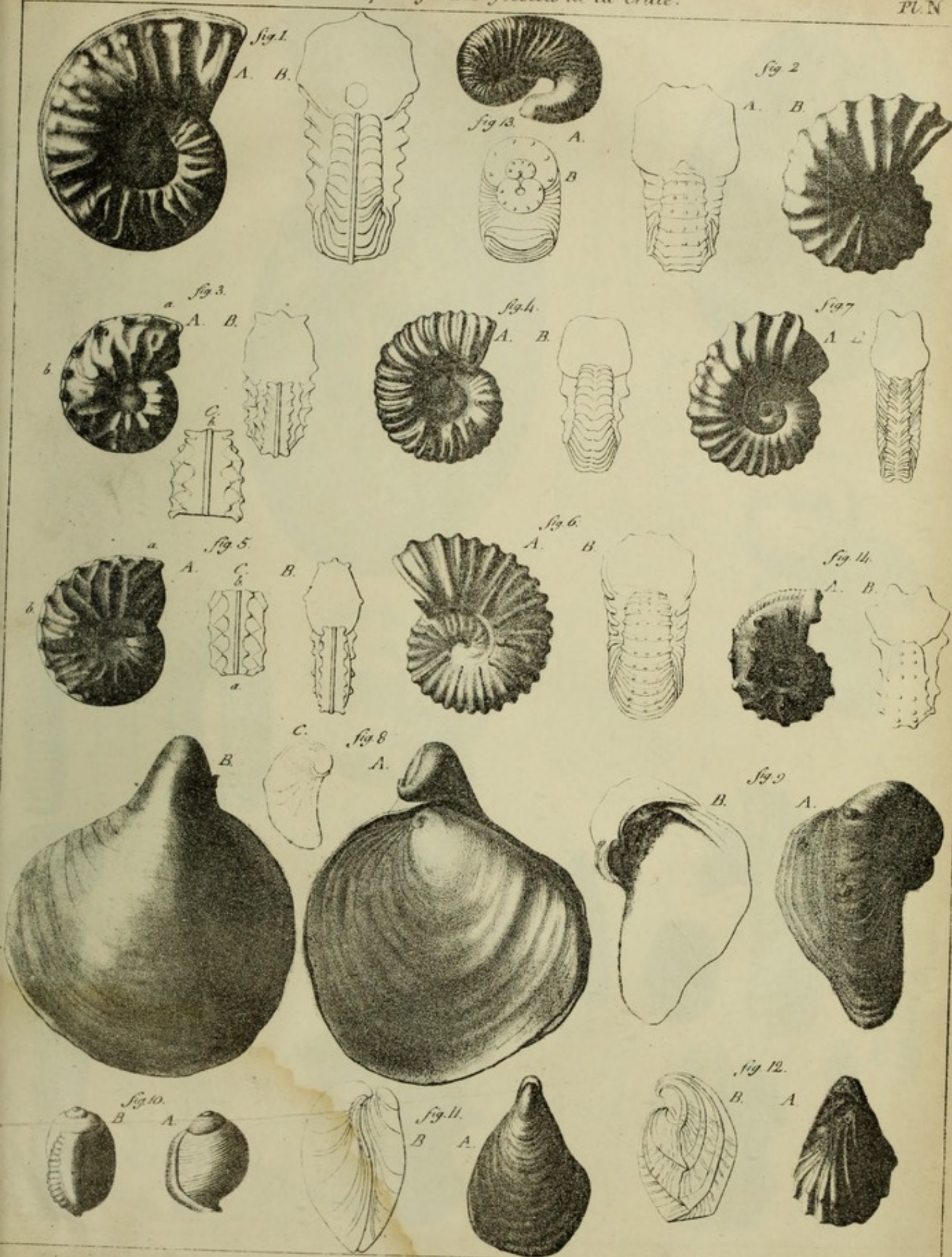
Esquisse d'une Coupe des Terrains du Puy en Velay.

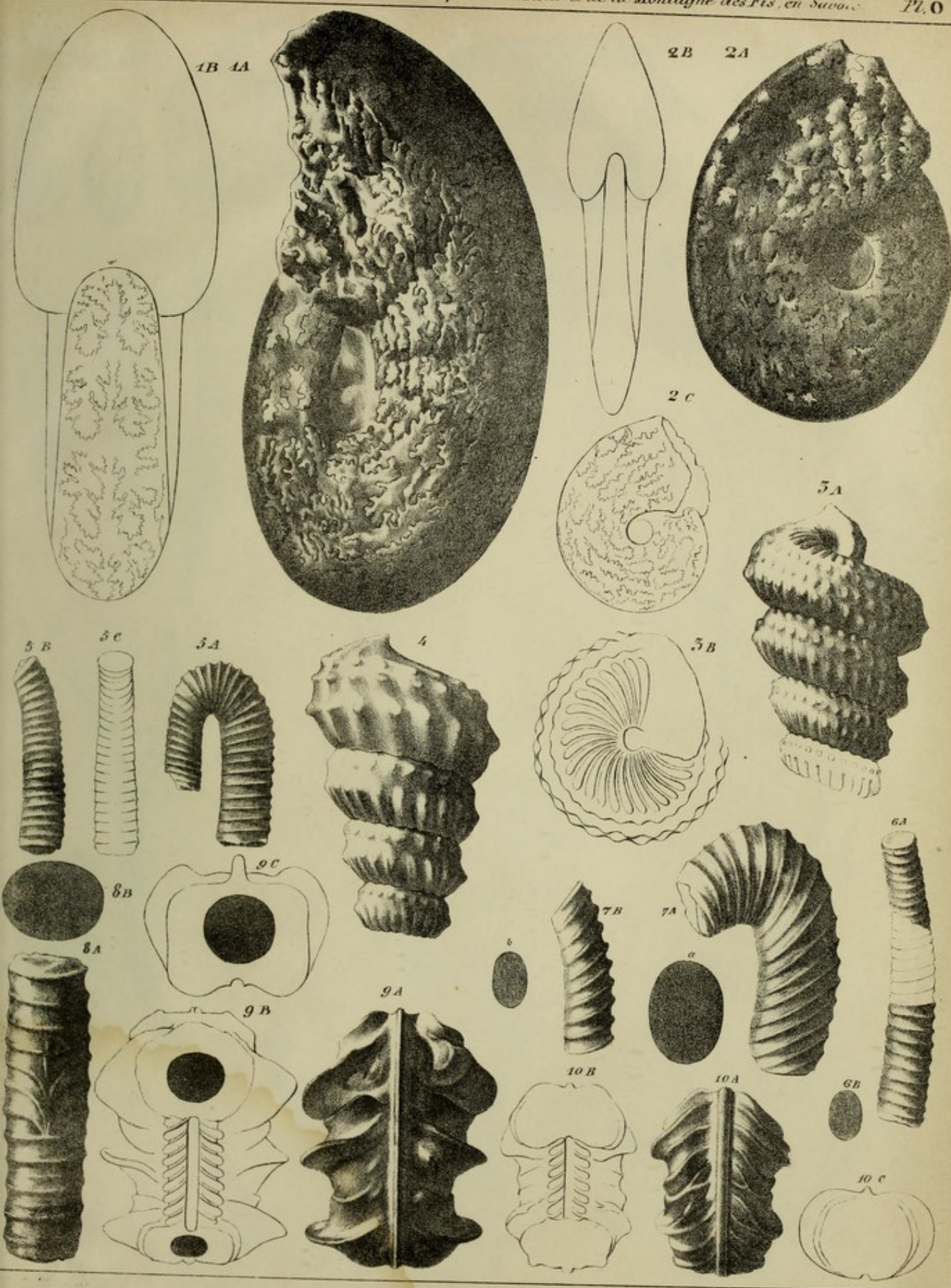


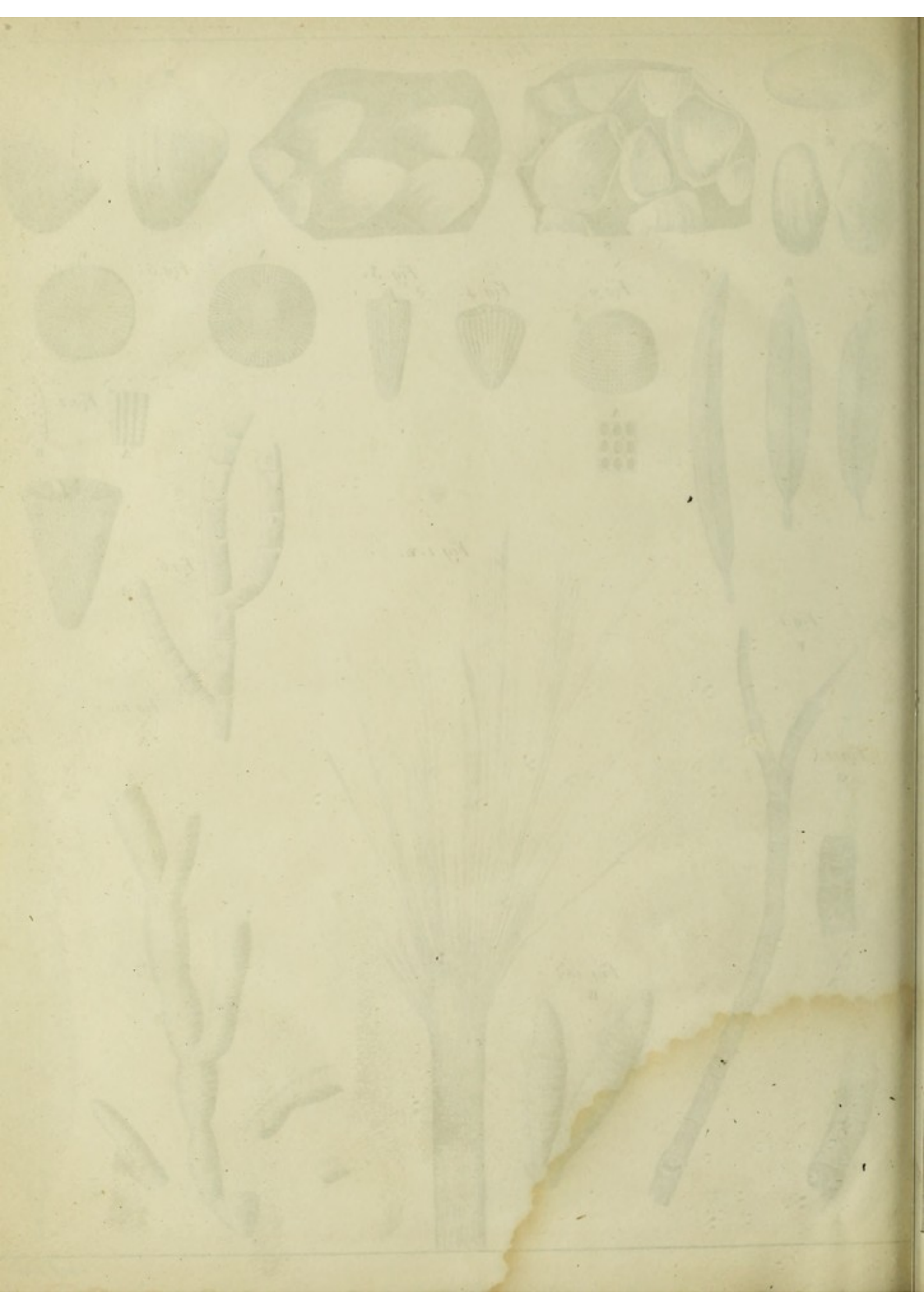


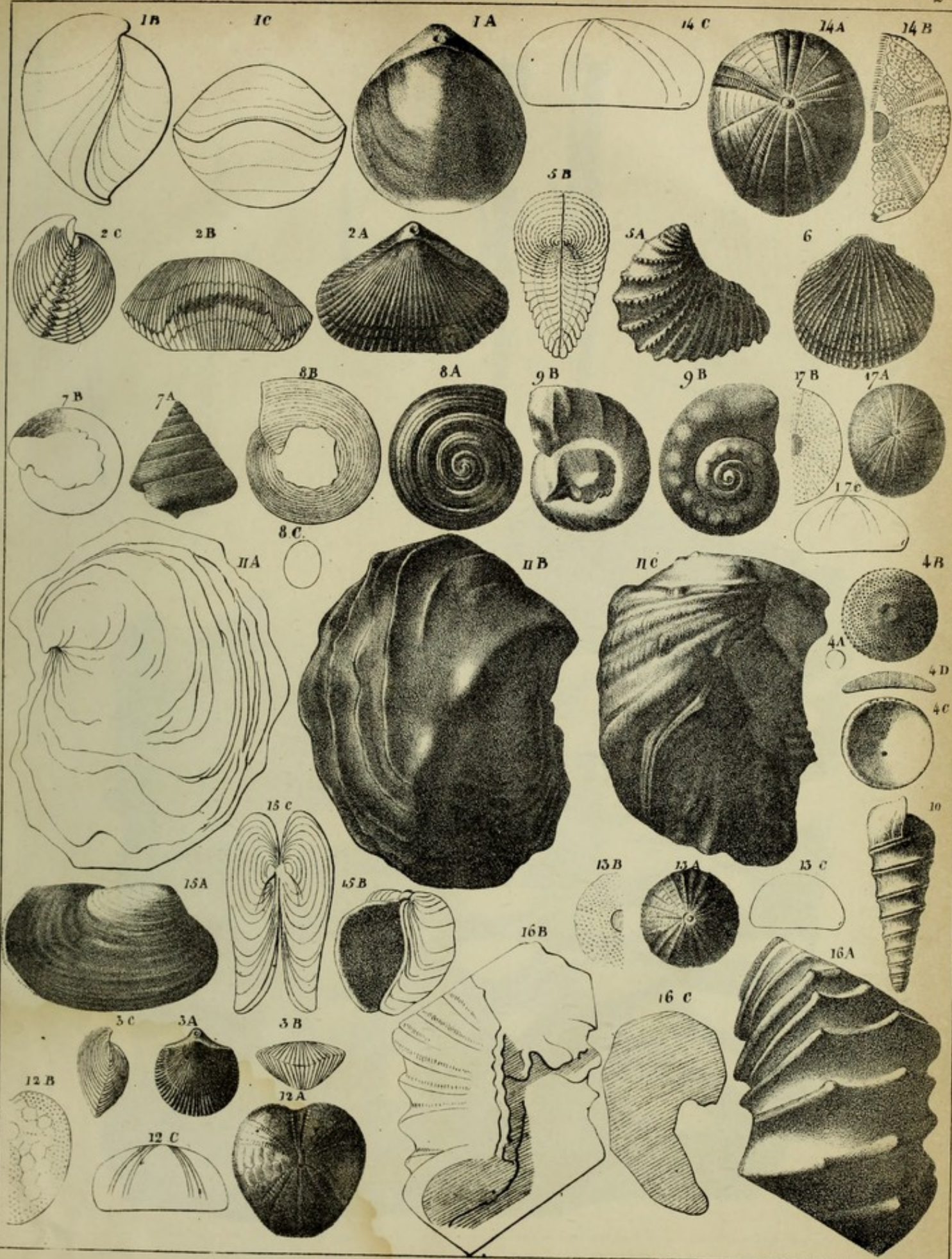












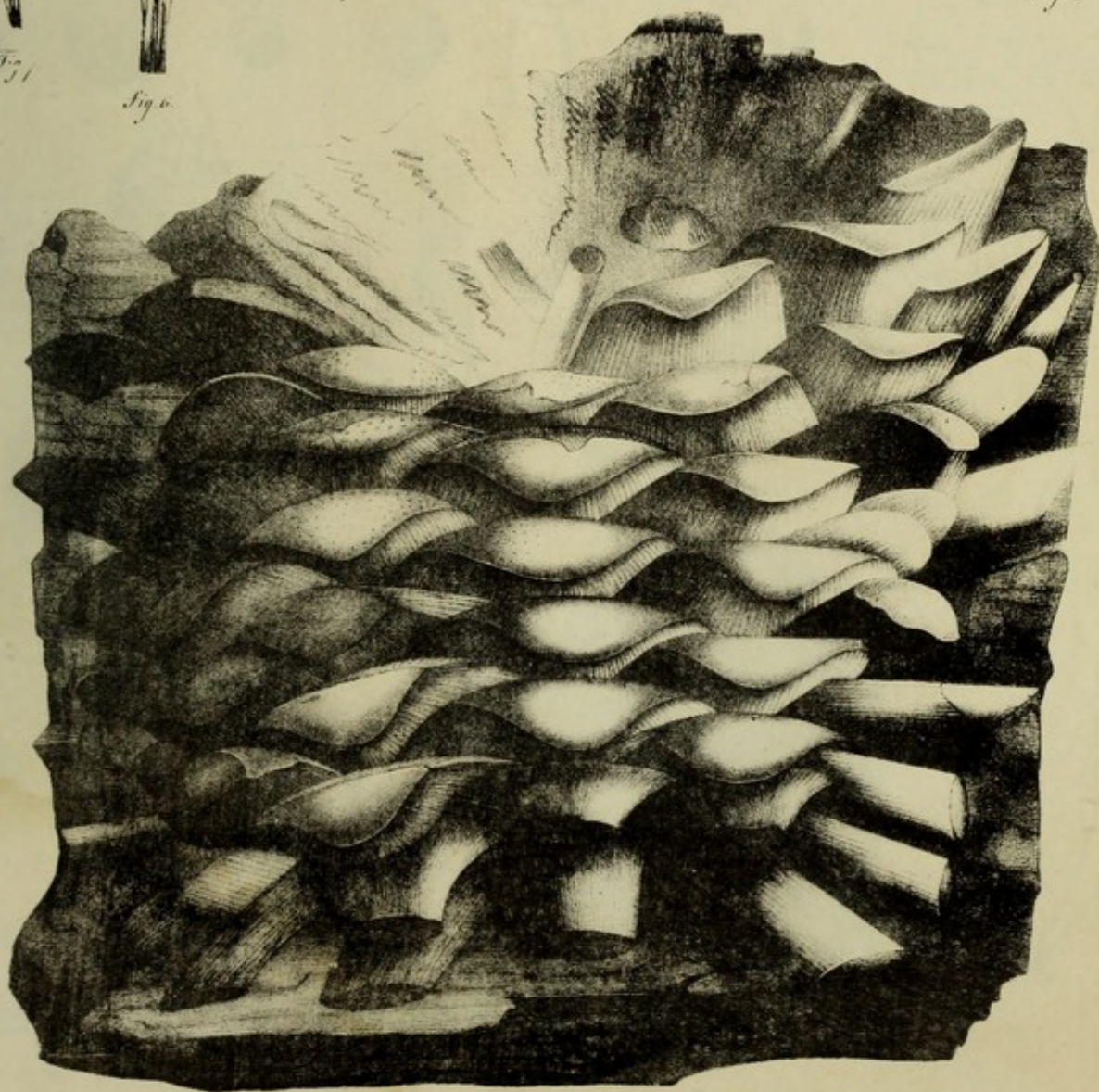
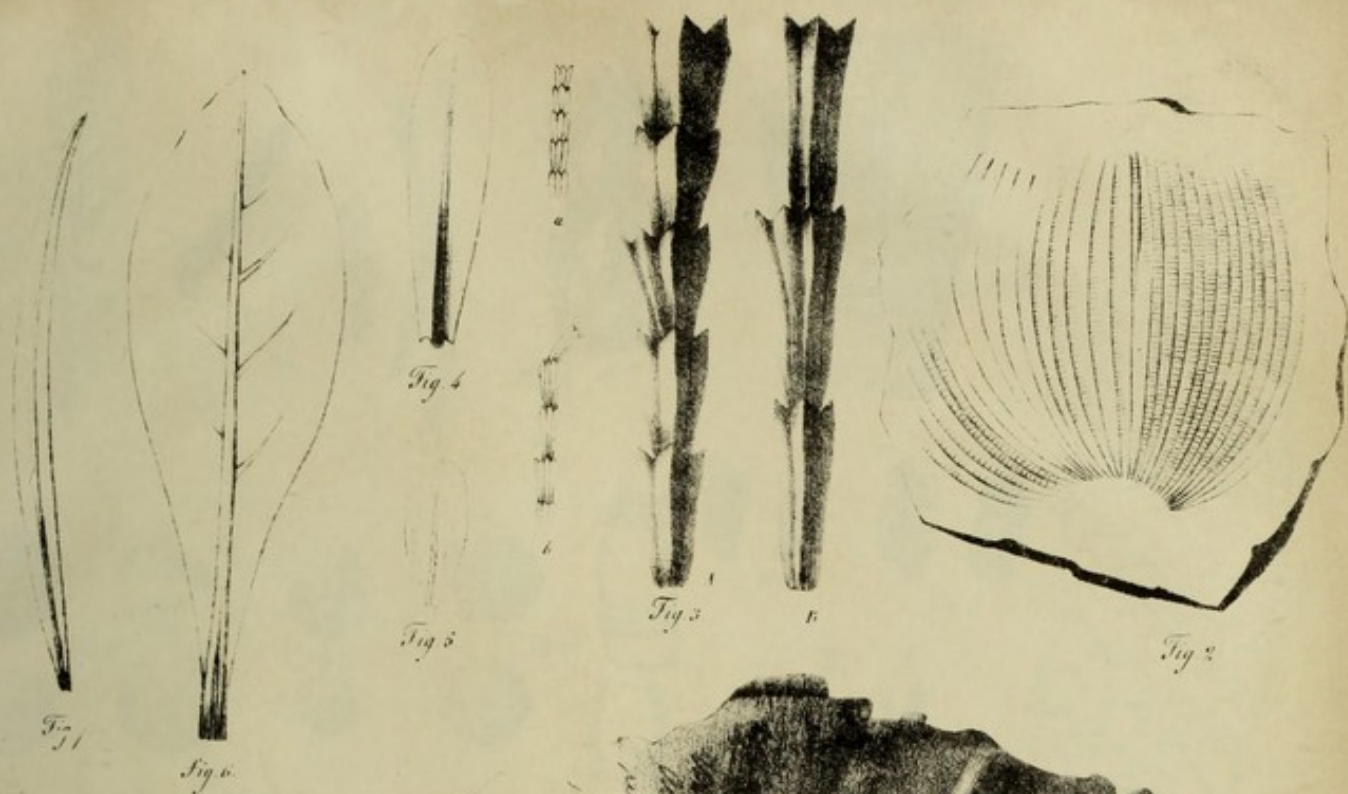
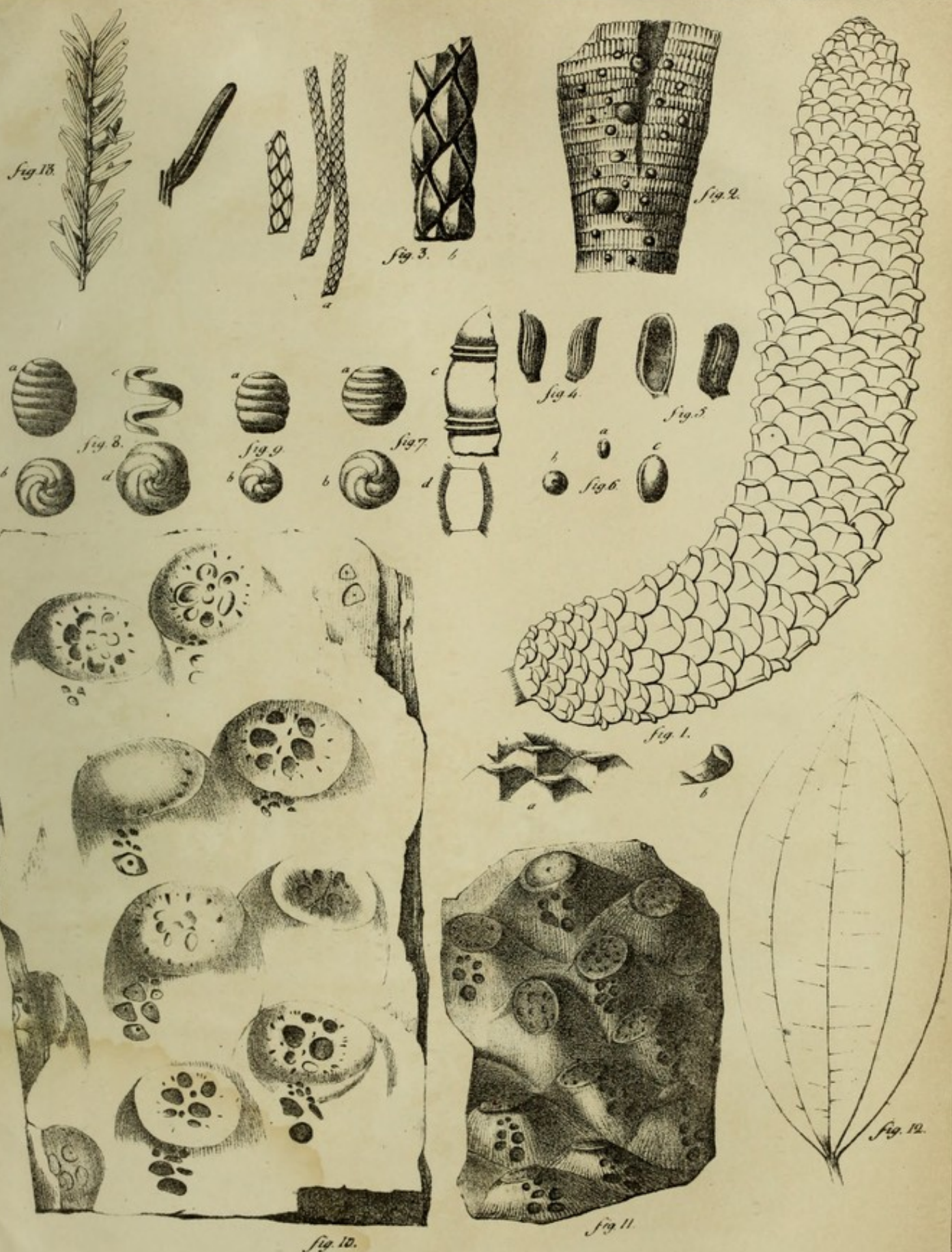
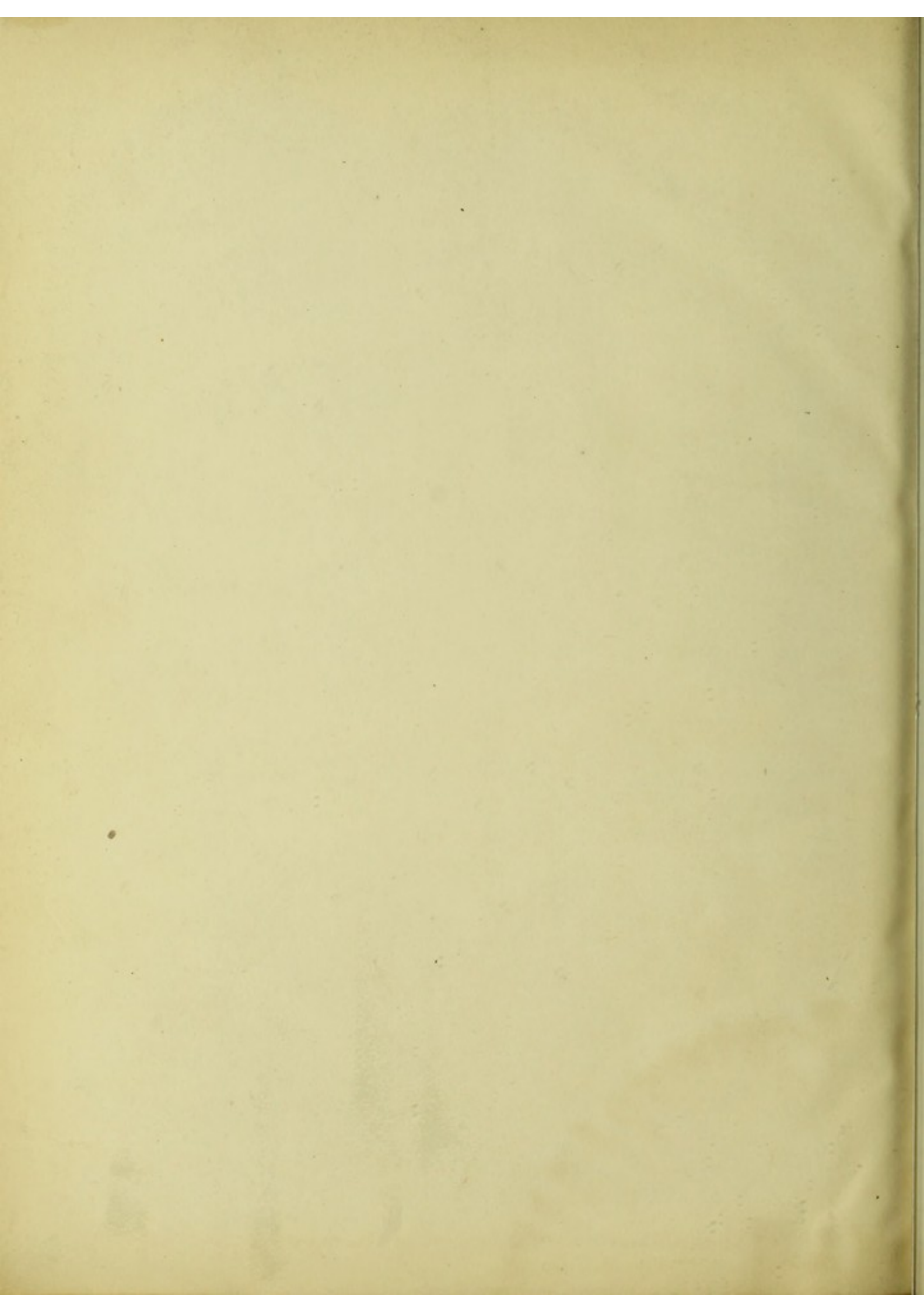


Fig. 1





v5/23 Tyl

Dremel 15/12/20

